

*Paul E. Sterian • Nicolae N. Puşcaş*

# LASERI ŞI PROCESE MULTIFOTONICE

III-9.054



*Paul E. Sterian*

*Nicolae N. Puşcaş*

**LASERI  
ŞI  
PROCESE MULTIFOTONICE**



246793  
B.C.U. - IASI



**EDITURA TEHNICĂ**  
**Bucureşti — 1988**



## PREFAȚĂ

Domeniile electronicii cuantice și opticii cuantice, aflate în plină dezvoltare în zilele noastre, fascinează prin rezultatele obținute privind descoperirea și evidențierea unor corelații dintre cele mai profunde, care guvernează mecanismele de interacție câmp-substanță, efectele de coerență optică și atomică, pe care se fundamentează realizările ingineresti imprevizibile ale opticii integrate, ce constituie elemente de referință pentru cele mai avansate tehnologii ale viitorului.

Produs și suport redutabil al acestor domenii, optica neliniară coerentă ocupă o poziție privilegiată în complexul interdisciplinar metodic al sinergeticii, prin rafinamentul soluțiilor pe care le oferă privind mecanismele intime ale proceselor de autoorganizare, învăluite încă parțial în mister. Totodată, o serie de comportări cooperative specifice acestor domenii, descrise prin interacții cu unul sau mai mulți fotoni, explicitate, de exemplu, prin superradianță, superfluorescență, ecoul fonic, transparența autoindusă, bistabilitatea optică, precum și prin generarea de armonici optice și alte procese multifotonice, specifice spectroscopiei laser, se conturează ca elemente esențiale pentru noi salturi tehnologice, marcate de aplicații așteptate cu nerăbdare, cum ar fi tranzistorul optic, element de structură specific al arhitecturii calculatoarelor optice.

Problemele relativ critice ale omenerii, energia și comunicațiile, ocupă un loc central în cadrul cercetărilor privind aplicațiile electronicii cuantice, urmărindu-se cu îndreptățite așteptări controlul eficient al reacțiilor termonucleare cu ajutorul laserului sau cablarea optică a rețelelor de comunicații. Specialiștii își pun mari speranțe în prezent în utilizarea laserului în medicină și biologie pentru tratamentul cancerului și controlul evoluției speciilor.

Se poate aprecia că astăzi nu există domeniu al ingineriei unde laserul să nu fie aplicat pe scară largă.

În același timp, numeroase preocupări de cercetare fundamentală beneficiază din plin de aportul laserului.

Prin realizarea în țara noastră, în anul 1962 a laserului cu He-Ne (printre primele țări din lume care au construit astfel de dispozitive), R.S. România a contribuit la dezvoltarea electronicii cuantice încă de la începuturile sale, obținând rezultate deosebite și în prezent. Nu întâmplător, una dintre conferințele de prestigiu ale Societății Europene de Fizică, „Trends in Quantum Electronics”, se ține la fiecare trei ani în țara noastră, la Institutul Central de Fizică, anul acesta desfășurându-se a treia ediție. Bogata bibliografie a lucrării evidențiază rezultatele semnificative obținute de cercetătorii din țara noastră în acest domeniu.



*Răspunzînd, prin problematica abordată, unor cerințe reale privind literatura de specialitate publicată, lucrarea, aparținînd electronicii și opticii cuantice, se adresează unui cerc larg de specialiști care lucrează în cercetare și proiectare, cadrelor didactice și studenților din învățămîntul superior, precum și altor categorii de cititori interesați în descifrarea problemelor fundamentale teoretice și aplicative ale acestor domenii, remarcabile prin eleganță și spectaculozitate, deosebit de fertile pentru ingineria și știința modernă.*

**Autori i**



## CUPRINS

<b>I. BAZELE TEORETICE ALE INTERACȚIEI RADIAȚIEI CU SUBSTANȚA</b>	<b>9</b>
<b>1. Interacția radiației cu atomii individuali și cu colectivele de atomi</b>	<b>9</b>
1.1. Introducere	9
1.2. Probabilitatea de tranziție în cazul perturbațiilor armonice	10
1.3. Hamiltonianul de interacție a atomilor cu radiația	11
1.4. Reguli de selecție și polarizarea radiației emise. Stări metastabile	13
1.5. Teoria lui Einstein asupra emisie și absorbției radiației	14
1.6. Ecuațiile de mișcare pentru tranzițiile de dipol electric	16
1.7. Fenomenele de absorbție rezonantă, dispersie și saturație	23
1.8. Ecuațiile de mișcare pentru tranzițiile de dipol magnetic ale sistemelor cu spinul $1/2$	29
1.9. Analogia dintre sistemele atomice cu două nivele și sistemele cu spin	31
1.10. Ecuațiile Maxwell-Bloch ale interacției câmp-substanță	34
1.11. Tratarea cuantică a interacției câmp-substanță	39
1.12. Procesele de disipare și fluctuațiile	44
<b>2. Teoria coerenței optice</b>	<b>52</b>
2.1. Introducere	52
2.2. Teoria clasică a coerenței	55
2.3. Teoria cuantică a coerenței	65
<b>II. FUNDAMENTELE ELECTRONICII CUANTICE</b>	<b>77</b>
<b>3. Teoria rezonatorilor laser</b>	<b>77</b>
3.1. Considerații generale privind utilizarea structurilor deschise ca rezonatori laser	77
3.2. Distribuția modală a câmpului într-un rezonator optic	82
3.3. Stabilitatea rezonatorilor optici	90
3.4. Fascicule gaussiene	96
<b>4. Bazele fizice ale proceselor laser</b>	<b>103</b>
4.1. Posibilități de descriere a proceselor laser	103
4.2. Ecuațiile generale ale ratelor ca ecuații de bilanț	104
4.3. Ecuațiile cuplate de amplitudine și ecuațiile ratelor	113
4.4. Dinamica proceselor laser	119
4.5. Mecanisme de excitare a dispozitivelor laser	124
4.6. Caracteristici constructive și funcționale ale diferitelor tipuri de laseri	141
4.7. Bazele fizice ale amplificatorilor laser	154
<b>5. Teoria semicuantică a laserilor</b>	<b>159</b>
5.1. Introducere	159
5.2. Ecuațiile semicuantice pentru un mediu atomic cu două nivele cu lărgire omogenă	160
5.3. Teoria liniară a laserilor cu atomi staționari	169
5.4. Teoria neliniară a laserilor cu atomi staționari	171
5.5. Teoria laserilor cu atomi în mișcare	174
5.6. Competiția modurilor și condițiile de stabilitate	180
5.7. Sincronizarea modurilor de oscilație	185
<b>6. Teoria cuantică a laserilor</b>	<b>197</b>
6.1. Descrieri cuantice ale laserilor	197
6.2. Formalismul matricei densitate	199
6.3. Fenomenul laser ca tranziție de fază	213



<b>7. Fenomene optice cooperative</b>	<b>216</b>
7.1. Introducere	216
7.2. Stările atomice Dicke și stările atomice coerente	217
7.3. Fluorescența de rezonanță a atomilor în câmpuri puternice coerente	224
7.4. Superradianța	225
7.5. Superfluorescența	231
7.6. Transparența autoindusă	233
7.7. Bistabilitatea optică	236
<b>III. TEORIA GENERALĂ A PROCESELOR MULTIFOTONICE</b>	<b>265</b>
<b>8. Procese multifotonice fundamentale</b>	<b>265</b>
8.1. Caracterizarea generală a proceselor multifotonice fundamentale	265
8.2. Exemple de procese multifotonice fundamentale	267
<b>9. Teoria susceptibilităților optice neliniare</b>	<b>268</b>
9.1. Deducerea formulei susceptibilității neliniare de ordinul $n$ în aproximația neglijării structurii fine a nivelelor energetice	268
9.2. Calculul susceptibilităților neliniare de diferite ordine pentru vaporii metalelor alcaline cu luarea în considerare a structurii fine a nivelelor energetice	276
9.3. Evaluarea numerică a susceptibilităților neliniare de diferite ordine	282
9.4. Proprietățile tensoriale ale susceptibilității	286
<b>10. Teoria absorbției și emisiei multifotonice în atomi</b>	<b>289</b>
10.1. Probabilitatea absorbției multifotonice în atomi	289
10.2. Procese multifotonice rezonante în atomi	294
10.3. Ionizarea atomilor prin absorbția rezonantă a mai multor fotoni	300
<b>11. Excitarea multifotonică coerentă a moleculelor</b>	<b>302</b>
11.1. Descrierea sistemelor moleculare cu mai multe nivele energetice cu formalismul Schrödinger	302
11.2. Interacția cvasirezonantă dintre radiația laser și un sistem cu mai multe nivele energetice nedegenerate și echidistante	305
11.3. Interacția cvasirezonantă dintre radiația laser și un sistem cu mai multe nivele energetice neechidistante. Rezonanțe multifotonice în sisteme moleculare	312
11.4. Evaluarea numerică a amplitudinilor de probabilitate și a populațiilor nivelelor	314
11.5. Metode aproximative folosite pentru descrierea sistemelor de tip oscilator	319
11.6. Excitarea unui sistem cu mai multe nivele energetice care au o structură cvasi-continuu	323
11.7. Excitarea multifotonică a modurilor de vibrație triplu degenerate ale moleculelor sferice	325
<b>12. Generarea armonicilor optice</b>	<b>335</b>
12.1. Generarea armonicii a doua	335
12.2. Generarea armonicii a treia	347
12.3. Generarea armonicilor de ordin superior	363
<b>13. Generarea parametrică de oscilații optice</b>	<b>368</b>
13.1. Interacția parametrică a patru unde într-un mediu neliniar	368
13.2. Descrierea fenomenelor de mixare neliniară și de propagare a undelor în medii neliniare	369
13.3. Rezultate experimentale obținute în procesele de generare parametrică de oscilații și de armonici optice în medii gazoase	375
13.4. Procese care limitează eficiența conversiei	375
<b>IV. SPECTROSCOPIE ATOMICĂ ȘI MOLECULARĂ NELINIARĂ</b>	<b>385</b>
<b>14. Spectroscopie atomică și moleculară cu laseri limitată de efectul Doppler</b>	<b>385</b>
14.1. Spectroscopia de absorbție și emisie	385
14.2. Studiul proceselor de relaxare a moleculelor și măsurarea timpilor de viață	387
14.3. Studiul proceselor de ciocnire	388
14.4. Studiul proceselor de fotoionizare	388



<b>15. Spectroscopie optică liniară fără lărgire Doppler . . . . .</b>	<b>390</b>
15.1. Lărgirea liniilor spectrale prin efect Doppler . . . . .	390
15.2. Spectroscopie cu fascicule atomice și moleculare . . . . .	391
15.3. Dubla rezonanță radiooptică . . . . .	392
15.4. Intersecții de nivele . . . . .	393
15.5. Bătăi cuantice . . . . .	394
<b>16. Lărgirea liniilor spectrale și efecte de îngustare . . . . .</b>	<b>395</b>
16.1. Mecanisme de lărgire omogenă a liniilor spectrale . . . . .	395
16.2. Mecanisme de lărgire neomogenă a liniilor spectrale . . . . .	401
<b>17. Spectroscopie neliniară . . . . .</b>	<b>405</b>
17.1. Spectroscopie prin absorbție saturată . . . . .	405
17.2. Teoria proceselor de interacție rezonantă dintre radiația laser și un sistem gazos cu două nivele . . . . .	408
17.3. Calculul coeficientului de absorbție al radiației de pompaj într-un sistem cu două nivele . . . . .	413
17.4. Saturarea absorbției undelor staționare . . . . .	414
17.5. Interacția unui sistem gazos cu două unde de aceeași frecvență și amplitudini diferite care se propagă în sensuri contrare . . . . .	420
17.6. Rezonanțe înguste obținute cu ajutorul a două unde unidirecționale de amplitudini diferite . . . . .	423
17.7. Teoria proceselor de interacție rezonantă dintre radiația laser și un sistem gazos cu trei nivele energetice . . . . .	424
17.8. Forma liniei tranzițiilor cuplate într-un sistem gazos cu trei nivele energetice . . . . .	432
<b>18. Spectroscopie laser bazată pe absorbția a doi fotoni . . . . .</b>	<b>435</b>
18.1. Caracteristicile spectroscopiei laser bazate pe absorbția a doi fotoni . . . . .	435
18.2. Teoria absorbției bifotonice. Probabilități de tranziție. Reguli de selecție . . . . .	436
<b>19. Bătăi cuantice . . . . .</b>	<b>441</b>
19.1. Tratarea fenomenului de bătăi cu ajutorul teoriei electrodinamicii cuantice . . . . .	441
19.2. Aplicarea formalismului matricei densitate la calculul intensității semnalului de bătăi cuantice determinate de un singur atom . . . . .	445
<b>V. FIZICA EXPERIMENTALĂ A PROCESELOR MULTIFOTONICE . . . . .</b>	<b>451</b>
<b>20. Metode experimentale de cercetare în spectroscopia neliniară . . . . .</b>	<b>451</b>
20.1. Tehnici experimentale folosite în generarea armonicilor optice și mixarea optică . . . . .	451
20.2. Tehnici experimentale folosite în spectroscopia laser prin metoda absorbției saturate . . . . .	456
20.3. Experiențe de rezonanță în sisteme cu trei nivele . . . . .	461
20.4. Metode experimentale în spectroscopia bifotonică . . . . .	466
20.5. Rezultate experimentale obținute în spectroscopia laser bifotonică . . . . .	468
20.6. Experiențe privind lărgirea liniilor spectrale datorită ciocnirilor . . . . .	470
<b>21. Aplicații în știință și inginerie . . . . .</b>	<b>474</b>
21.1. Tehnici experimentale utilizate pentru stabilizarea în frecvență a laserilor folosind rezonanțele înguste . . . . .	479
21.2. Măsurarea unor constante fizice fundamentale prin metodele opticii neliniare . . . . .	
21.3. Determinarea constantelor atomice și moleculare prin utilizarea metodelor spectroscopiei moleculare . . . . .	482
<i>Bibliografie . . . . .</i>	<b>501</b>



# I. BAZELE TEORETICE ALE INTERACȚIEI RADIAȚIEI CU SUBSTANȚA

## 1. INTERACȚIA RADIAȚIEI CU ATOMII INDIVIDUALI ȘI CU COLECTIVELE DE ATOMI

### 1.1 Introducere

Interacția câmpului de radiație cu substanța poate fi descrisă în mai multe moduri, după cum unul sau ambele dintre sistemele aflate în interacție sînt sau nu cuantificate. Ca urmare, se deosebesc nivelele de descriere clasic, semicuantic (semiclasic) și cuantic (tabelul 1.1).

Tabelul 1.1

Nivelul de descriere	Cîmpul de radiație	Sistemul substanțial (atomi, molecule, cristale)
Clasic	Ecuațiile lui Maxwell	Ecuațiile lui Newton
Semicuantic		Ecuația Schrödinger, cuantificarea a doua
Cuantic	Electrodinamica cuantică (cuantificarea câmpului de radiație)	

Fiecărui nivel de descriere îi sînt caracteristice mai multe formalisme cu diferite posibilități de analiză și interpretare a fenomenelor fizice. Astfel, în teoria cuantică a laserilor sînt cunoscute formalismele matricei densitate, precum și cele ale ecuațiilor Langevin cuantice sau Fokker-Planck. Corelația strînsă care există între formalismele caracteristice diferitelor nivele de descriere va fi evidențiată în capitolele 4—6 ale acestei lucrări. Se va arăta, de exemplu, că ecuațiile semicuantice ale laserilor pot fi obținute din ecuațiile cuantice prin mediere peste procesele de pompaj și relaxare.

În acest capitol se vor discuta unele aspecte fundamentale ale interacției radiației cu atomii individuali sau cu colectivele de atomi, privind probabilitățile de tranziție în cazul perturbațiilor armonice, tranzițiile de dipol electric, teoria lui Einstein asupra absorbției și emisiei radiației, ecuațiile generale semicuantice de mișcare pentru tranzițiile de dipol electric și ecuațiile Maxwell-Bloch etc.

Studiul acestor probleme este cerut de abordarea ulterioară a formalismelor de interacție câmp-substanță specifice laserilor.



## 1.2. Probabilitatea de tranziție în cazul perturbațiilor armonice

Fie un sistem cuantic al cărui hamiltonian are forma

$$\hat{H} = \hat{H}_0 + \hat{W}(t) \quad (1.1)$$

unde operatorul  $\hat{W}(t)$  descrie o perturbație armonică

$$\hat{W}(\mathbf{r}, t) = \begin{cases} \hat{W}(\mathbf{r}) \cos \omega t, & t \geq 0 \\ 0, & t < 0 \end{cases} \quad (1.2)$$

$\hat{H}_0$  fiind hamiltonianul neperturbat al sistemului. (Pentru  $\hat{W}(t)$  se mai utilizează notația  $H_i(t)$  sau  $H'(t)$ ).

Conform teoriei perturbațiilor dependente de timp, dacă la momentul  $t_0 = 0$  sistemul se află în starea  $|n\rangle$  probabilitatea ca la momentul  $t$  sistemul să se găsească (în urma unei tranziții) în starea  $|m\rangle$ , calculată în aproximația de ordinul întâi, are expresia :

$$P_{mn} = |c_m(t)|^2 = \frac{1}{\hbar^2} \left| \int_0^\infty W_{mn} e^{i\omega_{mn}t} dt \right|^2, \quad (1.3)$$

elementul de matrice  $W_{mn}$  al perturbației rezultând din teoria generală a perturbațiilor dependente de timp (Anexa 3).

Prin evaluarea integralei (1.3) utilizându-se forma (1.2) a perturbației se obține

$$P_{mn} = \frac{|W_{mn}|^2}{4\hbar^2} \left| \frac{e^{i(\omega_{mn}-\omega)t} - 1}{\omega_{mn} - \omega} + \frac{e^{i(\omega_{mn}+\omega)t} - 1}{\omega_{mn} + \omega} \right|^2. \quad (1.4)$$

Ținându-se seama că termenii, *rezonant* (avînd  $\omega = \omega_{mn}$ ) și *antirezonant* (avînd  $\omega = -\omega_{mn}$ ) nu pot fi nuli simultan, cu excepția cazului limită  $\omega_{mn} \rightarrow 0$  și neglijînd efectele de interferență dintre aceștia se obține

$$P_{mn} = \frac{|W_{mn}|^2}{4\hbar} \frac{\sin^2 \eta t}{\eta^2} \text{ unde } \eta = \frac{\omega_{mn} \pm \omega}{2}. \quad (1.5)$$

Din dependența de frecvență a probabilității de tranziție prezentată în figura 1.1, rezultă *lărgimea de rezonanță*  $\Delta\omega = 4\pi/t$  astfel încît pentru o perturbație de frecvență variabilă este satisfăcută relația de incertitudine

$$\Delta E = \hbar \Delta\omega \simeq \frac{\hbar}{t} \quad (1.6)$$

care evidențiază *lărgimea finită* a valorilor proprii ale energiei corespunzătoare diferitelor stări proprii.

Rezultă că probabilitatea de tranziție din starea inițială  $E_n$  într-un grup de stări finale centrate în jurul lui  $E_m > E_n$  (ne limităm la termenul



rezonant), are expresia

$$P_{mn} = \int_{-\infty}^{+\infty} \frac{|W_{nm}|^2}{h} \frac{\sin^2 \frac{(\omega_{mn} - \omega) t}{2}}{(\omega_{mn} - \omega)^2} f(E) dE \quad (1.7)$$

unde  $f(E)$  reprezintă *densitatea de stări*.

În cazul unor variații lente ale mărimilor  $|W_{mn}|^2$  și  $f(E)$  funcție de starea finală, prin evaluarea integralei (1.7), se poate calcula rata probabilității de tranziție

$$w_{n \rightarrow m} = \frac{dP_{mn}}{dt} = \frac{|W_{mn}|^2}{2\hbar} f(E_m = E_n + \hbar\omega) \pi \quad (1.8)$$

numită „regula de aur“ a lui Fermi.

În domeniul frecvenței expresia (1.8) are forma

$$w_{m \rightarrow n} = \frac{|W_{mn}|^2}{4\hbar^2} g(\nu) \quad (1.9)$$

unde  $g(\nu)$  este *funcția de formă a liniei spectrale* naturale.

Studiul funcției  $g(\nu)$  pentru linia spectrală lărgită *omogen* (atunci când se referă la un singur atom) sau *neomogen* (atunci când se referă la colective de atomi cu frecvențe de rezonanță afectate, de exemplu, de efect Doppler) va fi efectuat în §1.7.3.

## 1.2. Hamiltonianul de interacție a atomilor cu radiația

Să considerăm o undă electromagnetică plană descrisă de potențialul vector

$$\mathbf{A}(\mathbf{r}, t) = \mathbf{A}_0 \cos(\mathbf{k}\mathbf{r} - \omega t) \quad (1.10)$$

astfel încît

$$\mathbf{E}(\mathbf{r}, t) = -\frac{\partial \mathbf{A}(\mathbf{r}, t)}{\partial t} \text{ și } \mathbf{B}(\mathbf{r}, t) = \nabla \times \mathbf{A}(\mathbf{r}, t) \quad (1.11)$$

potențialul scalar  $V(\mathbf{r}, t)$  fiind presupus nul (ca urmare a absenței sarcinilor și curenților).

Interacția undei cu un electron atomic de masă  $m$  și sarcină  $q$ , situat într-un potențial central  $U(\mathbf{r})$ , este descrisă de hamiltonianul

$$H = \frac{1}{2m} [\mathbf{p} - q\mathbf{A}(\mathbf{r}, t)]^2 + U(\mathbf{r}) - \frac{q}{m} \mathbf{s}\mathbf{B}(\mathbf{r}, t) \quad (1.12)$$

s fiind spinul electronului, iar  $\mathbf{p}$  impulsul acestuia. Conform ecuației (1.1) hamiltonianul de interacție  $W(t)$  are forma

$$W(t) = -\frac{q}{m} \mathbf{p} \cdot \mathbf{A}(\mathbf{r}, t) - \frac{q}{m} \mathbf{s}\mathbf{B}(\mathbf{r}, t) + \frac{q^2}{2m} \mathbf{A}^2(\mathbf{r}, t). \quad (1.13)$$



Dacă se neglijează ultimul termen în expresia (1.13) (pentru câmpuri slabe) se poate scrie

$$W(t) = W'(t) + W''(t) \quad (1.14)$$

unde

$$W'(t) = -\frac{q}{m} \mathbf{p} \cdot \mathbf{A}(\mathbf{r}, t) \quad (1.15)$$

iar

$$W''(t) = -\frac{q}{m} \mathbf{s} \cdot \mathbf{B}(\mathbf{r}, t). \quad (1.16)$$

Inegalitatea  $\frac{W''(t)}{W'(t)} \simeq \frac{r_0}{\lambda} \ll 1$ , unde  $r_0$  este raza primei orbite a lui Bohr, evidențiază faptul că interacțiile de dipol electric descrise de  $W'$  sînt predominante.

O altă formă a energiei de interacție  $W(t)$  care pune în evidență termenii  $W^{DE}(t)$ ,  $W^{DM}(t)$  și  $W^{QE}(t)$  corespunzători interacțiilor de dipol electric, de dipol magnetic respectiv de cvadрупol electric este următoarea

$$W(t) = W^{DE}(t) + W^{DM}(t) + W^{QE}(t), \quad (1.17)$$

calculul efectiv al acestor termeni conform relației (1.13) pentru o perturbare armonică  $\mathbf{E}(t) = E_0 e^{i\omega t} \mathbf{k}$  determinînd expresiile

$$W^{DE}(t) = \frac{qE_0}{m\omega} p_z \sin \omega t \quad (1.18)$$

$$W^{DM}(t) = -\frac{q}{2m} (l_x + 2s_x) B_0 \cos \omega t \quad (1.19)$$

$$W^{QE}(t) = -\frac{q}{2mc} (yp_z + zp_y) E_0 \cos \omega t, \quad (1.20)$$

$E_0$  și  $B_0$  fiind amplitudinile câmpurilor electric, respectiv magnetic ale unde ( $E_0 = B_0 \cdot c$ ). Din expresiile de mai sus ale perturbațiilor  $W^{DM}(t)$  și  $W^{QE}(t)$  rezultă că tranzițiile de dipol magnetic și de cvadрупol electric au cam aceeași intensitate.

În cazul tranzițiilor de dipol electric (care sînt cam de  $10^3$  ori mai intense decît cele de dipol magnetic și de cvadрупol electric) se utilizează pentru probabilitatea de tranziție expresia (1.5), unde intervine elementul de matrice al momentului de dipol electric  $\mathbf{d}_{mn}$  ( $\mathbf{d} = -q\mathbf{r}$ ) definit de relația

$$\mathbf{d}_{mn} = -\langle \psi_m(\mathbf{r}) | \hat{\mathbf{d}} | \psi_n(\mathbf{r}) \rangle \quad (1.21)$$

astfel încît

$$W_{mn}^{DE}(t) = -\mathbf{E}(t) \cdot \mathbf{d}_{mn} \quad (1.22)$$

$\psi_m(\mathbf{r})$  și  $\psi_n(\mathbf{r})$  fiind funcții proprii ale hamiltonianului neperturbat.

O altă formă a hamiltonianului sistemului (1.12), în aproximația neglijării spinului și a efectelor relativiste, se obține utilizîndu-se expresia (1.11) a câmpului electric al unde. Astfel, dacă ne referim la un atom cu



un singur electron (fig. 1.1), în raport cu sistemul de referință considerat se poate scrie

$$H = \frac{p^2}{2m} + U - \mathbf{d} \cdot \mathbf{E}(\mathbf{R}, t) - m \mathbf{B}(\mathbf{R}, t) + \frac{e}{2} \mathbf{r} \cdot \nabla \mathbf{R} \mathbf{E}(\mathbf{R}, t) + \frac{e^2}{8m} [\mathbf{r} \times \mathbf{B}(\mathbf{R}, t)]^2 \quad (1.23)$$

unde  $\mathbf{p} = m \dot{\mathbf{r}}$  este impulsul electronului,  $\mathbf{d} = -e \mathbf{r}$  momentul de dipol electric,  $\mathbf{m} = -\left(\frac{e}{2m}\right) \mathbf{L}$  — momentul de dipol magnetic,  $\mathbf{L} = \mathbf{r} \times \mathbf{p}$  — momentul cinetic,  $\mathbf{R}$  — vectorul de poziție al nucleului în raport cu originea sistemului de referință, iar  $U(\mathbf{r})$  potențialul nucleului în punctul în care se află electronul.

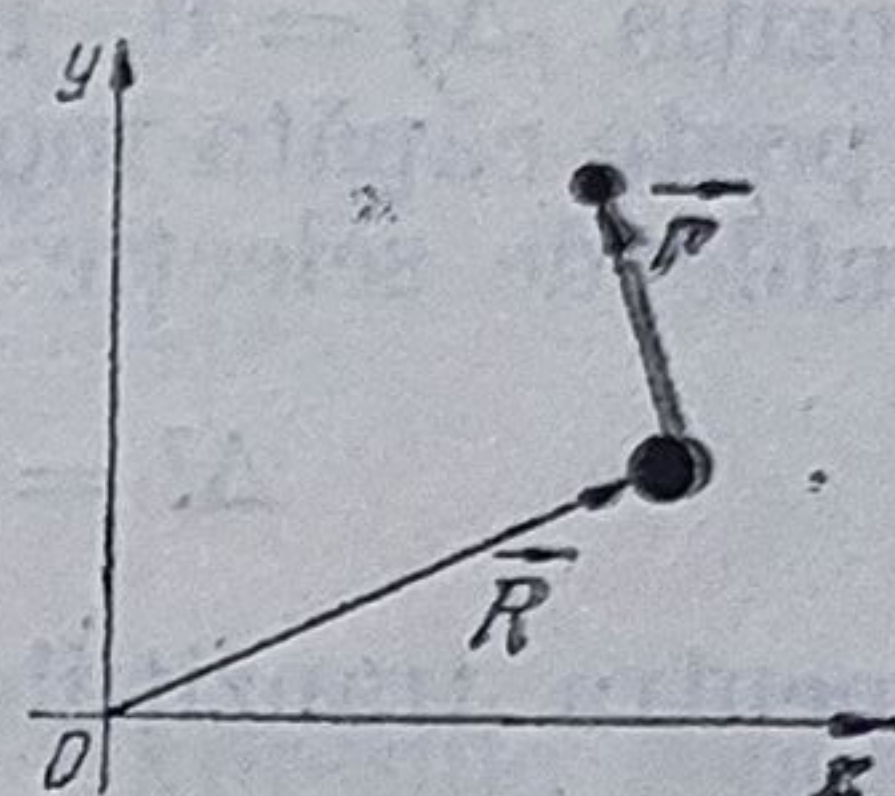


Fig. 1.1

Primii doi termeni în expresia (1.23) reprezintă hamiltonianul sistemului neperturbat, al treilea și al patrulea corespund interacțiilor de dipol electric respectiv magnetic, al cincilea corespunde interacției de cvadrupol electric, iar ultimul termen ia în considerare proprietățile diamagnetice ale atomului.

#### 1.4. Reguli de selecție și polarizarea radiației emise. Stări metastabile

Întrucât calculul elementelor de matrice (1.22) se reduce la calculul elementelor de matrice ale operatorului momentului de dipol electric  $\mathbf{d}$  rezultă că sînt permise tranzițiile avînd  $\mathbf{d}_{mn} \neq 0$ , unde

$$\mathbf{d}_{mn} = d_{mn}^{(x)} \mathbf{i} + d_{mn}^{(y)} \mathbf{j} + d_{mn}^{(z)} \mathbf{k}. \quad (1.24)$$

Pentru evaluarea componentelor momentului  $\mathbf{d}_{mn}$  se utilizează funcțiile de undă caracteristice mișcării în cîmp central. Se obțin expresiile :

$$d_{mn}^{(x)} \sim \int_0^{2\pi} \{e^{i(m_m - m_n + 1)\varphi} + e^{i(m_n - m_m - 1)\varphi}\} d\varphi \quad (1.25)$$

$$d_{mn}^{(y)} \sim -i \int_0^{2\pi} \{e^{i(m_n - m_m + 1)\varphi} - e^{i(m_m - m_n - 1)\varphi}\} d\varphi \quad (1.26)$$

$$d_{mn}^{(z)} \sim \int_0^{2\pi} e^{i(m_n - m_m)\varphi} d\varphi \quad (1.27)$$

$m_m$  și  $m_n$  fiind numerele cuantice magnetice ale stărilor  $|m\rangle$  respectiv  $|n\rangle$ . Întrucît  $d_{mn}^{(x)} \neq 0$  și  $d_{mn}^{(y)} \neq 0$  pentru  $\Delta m = \pm 1$  și  $d_{mn}^{(z)} \neq 0$  pentru



$\Delta m = 0$ , rezultă regulile de selecție pentru numărul cuantic magnetic

$$\Delta m = 0, \pm 1 \quad (1.28)$$

care implică și  $\Delta l = \pm 1$ , tranziția  $\Delta l = 0$  fiind interzisă. Dacă stările staționare ale electronului sînt specificate de numerele cuantice  $l, s, j, m$ , din calculul elementelor de matrice, rezultă regulile de selecție echivalente

$$\Delta j = 0, \pm 1, \quad \Delta m_j = 0, \pm 1, \quad \Delta l = \pm 1 \quad (1.29)$$

tranziția  $\Delta j = 0$ , unde  $j_m = j_n = 0$ , fiind interzisă (fotonul implicat nu poate căpăta moment cinetic de spin). În mod asemănător se stabilesc regulile de selecție pentru tranzițiile de dipol magnetic

$$\Delta l = 0, \quad \Delta m_l = \pm 1, 0; \quad \Delta m_s = \pm 1, 0 \quad (1.30)$$

și pentru tranzițiile de cvadrupol electric

$$\Delta l = 0, \pm 2, \quad \Delta m = 0, \pm 1, \pm 2, \quad (1.31)$$

din calculul elementelor de matrice ale lui  $W^{DM}$  respectiv  $W^{ex}$ .

Pentru  $\Delta m = 0$ , întrucît  $d_{mn}^{(z)} \neq 0$  și  $d_{mn}^{(x)} = d_{mn}^{(y)} = 0$ , rezultă că radiația este polarizată liniar după direcția  $z$ ; analog pentru  $\Delta m = \pm 1$ ,  $d_{mn}^{(x)} = \pm i d_{mn}^{(y)}$  ( $d_{mn}^{(z)} = 0$ ), deci radiația este polarizată circular dreapta sau stînga, după cum  $\Delta m = +1$  sau  $\Delta m = -1$ .

Regulile de selecție sînt corelate cu proprietățile de simetrie privind paritatea stărilor, fiind o consecință a acestora.

Astfel, tranzițiile de dipol electric nu se pot produce decît între stări de parități opuse, pe cînd tranzițiile de dipol magnetic și de cvadrupol electric se pot produce numai între stări de aceeași paritate (regula lui Laporte). Ca urmare, tranzițiile de dipol electric nu intră în competiție cu cele de dipol magnetic sau de cvadrupol electric. Pe lîngă regulile de selecție discutate mai sus mai pot fi stabilite *reguli de selecție speciale*, cum ar fi cele care se referă la tranzițiile între termeni de aceeași multiplicitate (singlet-singlet, triplet-triplet etc.), tranzițiile de intercombinație (singlet-triplet) fiind interzise.

În cazul în care tranzițiile de dipol electric sînt interzise printr-o anumită regulă de selecție, stările excitate corespunzătoare, avînd un timp de viață lung sînt relativ stabile și se numesc *metastabile*. Astfel de stări avînd probabilități de tranziție de  $10^5$ — $10^8$  ori mai scăzute în raport cu tranzițiile dipolare, constituie adevărate rezervoare de energie pentru sistemele atomice, cu aplicații în realizarea laserilor. De exemplu, stările heliului  $1s2s^3S_1$  și  $1s2s^1S_0$  sînt metastabile.

### 1.5. Teoria lui Einstein asupra emisiei și absorbției radiației

În anul 1917, Einstein a elaborat teoria elementară a interacției radiației cu colectivele de atomi pe baza considerării celor trei tipuri de tranziții care se pot produce între stările  $|n\rangle$  și  $|m\rangle$  ale unui sistem cuantic cu două nivele, în prezența radiației electromagnetice și anume: absorbție, emisie spontană și emisie stimulată (fig. 1.2).



Fie  $\rho_E(\nu)$  densitatea spectrală de energie a unui câmp de radiație aflat în interacție cu un sistem atomic cu două nivele, alcătuit din  $N_0 = N_n + N_m$  atomi, unde  $N_n$  și  $N_m$  sînt populațiile celor două nivele care, conform distribuției Boltzmann, satisfac relația

$$\frac{N_2}{N_1} = \frac{g_2}{g_1} e^{-\frac{h\nu}{kT}}, \quad (1.32)$$

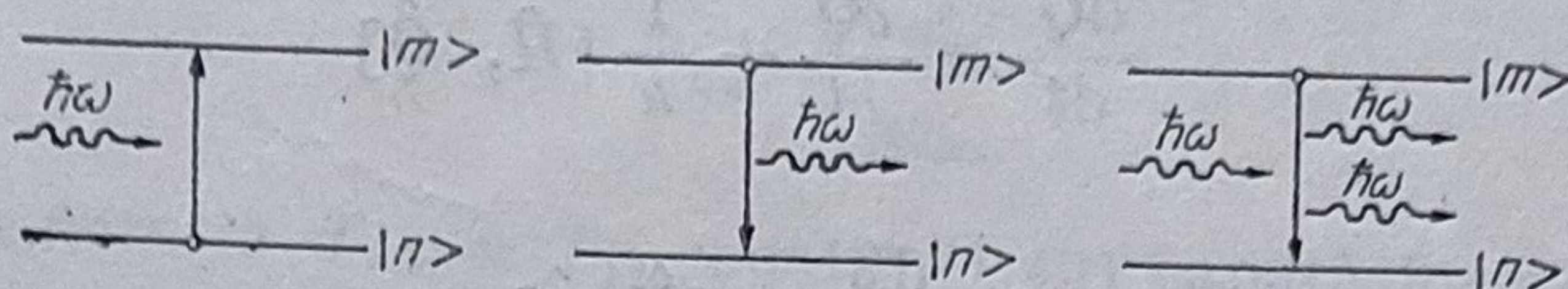


Fig. 2

iar  $g_1$  și  $g_2$  sînt degenerescențele nivelelor implicate. Expresiile generale ale probabilităților de emisie spontană, emisie stimulată și absorbție au forma

$$(P_{mn})_{sp} = A_{mn} \quad (1.33)$$

$$(P_{mn})_{st} = B_{mn} \rho_E(\nu) \quad (1.34)$$

$$(P_{nm})_{ab} = C_{nm} \rho_E(\nu) \quad (1.35)$$

unde  $A_{mn}$ ,  $B_{mn}$  și  $C_{nm}$  sînt coeficienții lui Einstein de *emisie spontană*, *emisie stimulată*, respectiv, *absorbție*.

Dacă se consideră că  $\rho_E(\nu)$  este dată de legea lui Planck a radiației termice

$$\rho_E(\nu) = \frac{8\pi h \nu^3}{c^3} \frac{1}{e^{\frac{h\nu}{kT}} - 1}, \quad (1.36)$$

ecuația de bilanț între procesele de emisie și absorbție pentru regimul staționar are forma

$$(B_{mn} \rho_E(\nu) + A_{mn}) N_m = C_{nm} \rho_E(\nu) N_n, \quad (1.37)$$

astfel încît ținînd seama de (1.32) rezultă pentru  $T \rightarrow \infty$  condiția

$$C_{nm} = B_{mn}, \quad (1.38)$$

adică egalitatea coeficienților lui Einstein de emisie stimulată și absorbție. Totodată se obține relația de legătură dintre coeficienții  $A_{mn}$  și  $B_{mn}$

$$\frac{A_{mn}}{B_{mn}} = \frac{8\pi h \nu^3}{c^3}. \quad (1.39)$$

Expresiile intensităților radiațiilor emise spontan, stimulată sau absorbită au forma

$$I_{sp} = N_m A_{mn} h \nu_{mn} \quad (1.40)$$

$$I_{st} = N_m B_{mn} \rho_E(\nu) h \nu_{mn} \quad (1.41)$$

$$I_{ab} = N_n B_{nm} \rho_E(\nu) h \nu_{mn}, \quad (1.42)$$

fîind utile pentru studiul condițiilor de amplificare a radiației în laseri.



## 1.6. Ecuațiile de mișcare pentru tranzițiile de dipol electric

### 1.6.1. Ecuațiile generale de mișcare pentru operatori

Ecuațiile de mișcare pentru operatorii cuantici  $\hat{Q}$  și pentru operatorii densitate au forma

$$\frac{d\hat{Q}}{dt} = \frac{\partial \hat{Q}}{\partial t} + \frac{i}{\hbar} [\hat{H}, \hat{Q}] \quad (1.43)$$

respectiv

$$i\hbar \frac{d\hat{\rho}}{dt} = [\hat{H}, \hat{\rho}] \quad (1.44)$$

valoarea medie a operatorului  $\hat{Q}$  fiind dată de relația

$$\langle \hat{Q} \rangle = \text{Urm} [\hat{\rho}, \hat{Q}]. \quad (1.45)$$

Pe baza ecuației (1.44) se poate scrie ecuația de mișcare pentru elementele de matrice ale operatorului densitate în cazul prezenței unei perturbații a mediului atomic

$$i\hbar \frac{\partial \rho_{mn}}{\partial t} = (E_m - E_n) \rho_{mn} + [\hat{W}, \hat{\rho}]_{mn}. \quad (1.46)$$

Dacă se ține seama în expresia perturbației  $W(t)$  și de interacțiile interne  $W_i(t)$  (dintre atomi și rețea, ciocnirile dintre molecule etc.), astfel încât  $W(t) = W_e(t) + W_i(t)$ , în ecuația (1.46) intervin termeni de relaxare corespunzători proceselor de interacție internă, care determină modificări ale elementelor de matrice  $\rho_{mn}$  și în absența perturbației exterioare. În consecință se poate scrie

$$i\hbar \frac{\partial \rho_{mn}}{\partial t} = (E_m - E_n) \rho_{mn} + [\hat{W}_e, \hat{\rho}]_{mn} + [\hat{W}_i, \hat{\rho}]_{mn}. \quad (1.47)$$

Dacă la  $t = 0$  sistemul se află în starea  $|u_i\rangle$ , conform aproximației Wigner-Weisskopf [79], elementele  $\rho_{mm}$  încep să scadă exponențial în timp în absența perturbației exterioare, astfel încât ultimul termen în ecuația (1.47) este un termen de relaxare.

În ceea ce privește elementele nediagonale ale lui  $\hat{\rho}$ , întrucât la echilibru termic  $\rho_{mn} = 0$  pentru  $m \neq n$ ,  $W_i(t)$  va modifica elementele de matrice  $\rho_{mn}$  conform ecuației

$$i\hbar \frac{\partial \rho_{mn}}{\partial t} = \hbar \omega_{mn} \rho_{mn} + [\hat{W}_e, \hat{\rho}]_{mn} - \frac{i\hbar}{\tau_{mn}} \rho_{mn} \quad (1.48)$$

unde  $\tau_{mn} = \tau_{nm}$ ,  $\hat{\rho}$  fiind hermitic. Constanta  $\tau_{mn}$  se notează, în continuare, cu  $T_2$  și se numește *timp de relaxare transversal* sau timp de relaxare *spin-spin*. Se va arăta [12] că această constantă este corelată cu lărgimea de bandă a tranziției și constituie astfel o măsură a timpului de coerență.

În același timp, se constată că elementele diagonale ale lui  $\hat{\rho}$  satisfac ecuația

$$i\hbar \frac{\partial \rho_{mm}}{\partial t} = [\hat{W}_e, \hat{\rho}]_{mm} + i\hbar \sum_n (\rho_{nn} \omega_{nm} - \rho_{mm} \omega_{mn}) \quad (1.49)$$



unde termenii de formă  $-\rho_{mm}w_{mn}$  și  $\rho_{nn}w_{nm}$  reprezintă ratele de tranziție care determină scăderea respectiv creșterea probabilității de ocupare a stării  $|m\rangle$ , încît la echilibru

$$\rho_{mm}^e w_{mn} = \rho_{nn}^e w_{nm}. \quad (1.50)$$

Dacă definim constantele de timp

$$T_{mn} = \frac{\rho_{nn}^e}{w_{mn}} \quad (1.51)$$

și introducem notația  $T_{mn} = T_1$ , ecuația (1.49) capătă forma

$$i\hbar \frac{\partial \rho_{mm}}{\partial t} = [W_e, \rho]_{mm} + \frac{i\hbar}{T_1} (\rho_{mm}^e - \rho_{mm}). \quad (1.52)$$

Întrucît pentru  $W_e = 0$ , sistemul se relaxează cu constanta de timp  $T_1$ , aceasta va fi numită *timp de relaxare longitudinal* sau *spin-rețea*. Principalele procese care determină constanta de timp  $T_1$  sînt emisiile spontane, interacția cu rețeaua și ciocnirile inelastice;  $T_2$  fiind cauzată în plus de ciocnirile elastice, rezultă că în general  $T_2 \leq T_1$ . (Constantele de relaxare  $T_1$  și  $T_2$  intervin în mod analog și pentru caracterizarea interacțiilor sistemelor cu spin (vezi § 1.8), de unde și denumirile menționate mai sus).

Dacă se evaluează derivata valorii medii a unui operator  $\hat{Q}$ , care nu depinde explicit de timp, ținîndu-se seama de ecuațiile (1.1), (1.45), (1.48) și (1.52) se obține

$$\langle \dot{\hat{Q}} \rangle + \frac{\langle \hat{Q} \rangle}{T_2} - \frac{\langle \hat{Q} \rangle^e}{T_1} = \frac{1}{i\hbar} \langle [\hat{Q}, \hat{H}] \rangle + \left( \frac{1}{T_2} - \frac{1}{T_1} \right) \sum_n \rho_{nn} Q_{nn}. \quad (1.53)$$

Această ecuație prezintă un interes particular în cazurile în care : a) toate elementele diagonale ale lui  $\hat{Q}$  sînt nule; b) numai elementele diagonale ale lui  $\hat{Q}$  sînt nenule, după cum se va arăta în paragrafele următoare.

### 1.6.2. Ecuația de polarizare

Fie un sistem atomic sau molecular, caracterizat de stările proprii  $|n_1\rangle$  și  $|n_2\rangle$  avînd parități opuse, astfel că sînt posibile tranziții de dipol electric între aceste stări.

Partea de interacție a hamiltonianului care determină tranzițiile de dipol electric are expresia (1.22)

$$W^{DE} = -\mathbf{d} \cdot \mathbf{E} = - \sum_{i=1}^3 d_i E_i. \quad (1.54)$$

Ținîndu-se seama de forma nediagonală a matricei asociate operatorului dipol electric

$$d_i = \begin{bmatrix} 0 & d_i \\ d_i^* & 0 \end{bmatrix}, \quad (1.55)$$



determinată de paritățile opuse ale funcțiilor proprii nedegenerate ale sistemului cu două nivele considerat, hamiltonianul de interacție  $W^{DE}$  se scrie sub forma

$$W^{DE} = \begin{bmatrix} 0 & -\sum d_i E_i \\ -\sum d_i^* E_i & 0 \end{bmatrix}. \quad (1.56)$$

De un deosebit interes în cele ce urmează este, în cazul tranzițiilor de dipol, observabila momentului de dipol electric, a cărei valoare medie se poate scrie sub forma

$$\langle \hat{d}_i \rangle = \text{Urm} [\hat{\rho} \hat{d}_i]. \quad (1.57)$$

Dacă numărul de atomi sau molecule pe unitatea de volum a mediului este

$$N = \frac{N_0}{V} \quad (1.58)$$

polarizarea macroscopică a mediului se obține însumând contribuțiile fiecărui dipol atomic sau molecular și mediind peste toate moleculele, astfel încât se poate scrie

$$P_i = \frac{1}{V} \sum_{k=1}^{N_0} \langle d_i \rangle^k = N \langle \tilde{d}_i \rangle. \quad (1.59)$$

Medierea peste toate moleculele, specificată prin linia ondulată, este necesară deoarece orientările moleculelor sînt diferite.

Ecuția de mișcare pentru polarizarea macroscopică se va obține dacă se stabilește în prealabil ecuația de mișcare pentru operatorul moment de dipol electric. Întrucît, conform ecuației (1.55), toate elementele diagonale ale matricei asociate acestui operator sînt nule, ecuația derivatei temporale a valorii medii a operatorului  $\hat{d}$  se obține, ținîndu-se seama de ecuația (1.53) sub forma

$$\langle \dot{\hat{d}}_i \rangle + \frac{\langle \hat{d}_i \rangle}{T_2} = \frac{1}{i\hbar} \langle [\hat{d}_i, \hat{H}] \rangle \quad (1.60)$$

unde  $\hat{H} = \hat{H}_0 + \hat{W}$ .

Ecuția de mișcare pentru observabila moment electric de dipol se obține considerînd derivata a doua în raport cu timpul a ecuației (1.60)

$$\langle \ddot{\hat{d}}_i \rangle + \frac{\langle \dot{\hat{d}}_i \rangle}{T_2} = \frac{1}{i\hbar} \langle [\dot{\hat{d}}_i, \hat{H}] \rangle \quad (1.61)$$

și înlocuind în membrul drept pe  $\langle \dot{\hat{d}}_i \rangle$  conform ecuației (1.53). Rezultă

$$\begin{aligned} \langle \ddot{\hat{d}}_i \rangle + \frac{2}{T_2} \langle \dot{\hat{d}}_i \rangle + \frac{1}{T_2^2} \langle \hat{d}_i \rangle = & -\frac{1}{\hbar^2} \langle [[\hat{d}_i, \hat{H}], \hat{H}] \rangle + \\ & + \frac{1}{i\hbar} \left[ \frac{1}{T_2} - \frac{1}{T_1} \right] \sum_j \rho_{jj} [\hat{d}_i, \hat{W}]_{jj} \end{aligned} \quad (1.62)$$

însă pentru cazurile de interes  $[\hat{d}_i, \hat{W}] = 0$ .



Întrucît comutatorul interior din membrul drept are expresia

$$[\hat{d}_i, \hat{H}] = [\hat{d}_i, \hat{H}_0] = \hbar\Omega \begin{bmatrix} 0 & d_i \\ -d_i^* & 0 \end{bmatrix} \quad (1.63)$$

unde  $\Omega = \frac{E_2 - E_1}{\hbar}$  este frecvența de tranziție și introducîndu-se matricea diagonală

$$D = \begin{bmatrix} 1 & 0 \\ 0 & -1 \end{bmatrix} \quad (1.64)$$

astfel încît

$$\langle \hat{D} \rangle = \text{Urm} [\hat{\rho}, \hat{D}] = \rho_{11} - \rho_{22} \quad (1.65)$$

reprezintă diferența probabilităților de ocupare a stărilor proprii cu energiile  $E_1$  și  $E_2$ , se obține

$$[[\hat{d}_i, \hat{H}], \hat{H}] = \hbar^2\Omega^2\hat{d}_i - 2\hbar\Omega d_i d_j^* E_j D. \quad (1.66)$$

Ca urmare, ecuația de mișcare (1.62) pentru operatorul  $\hat{d}$  capătă forma

$$\langle \ddot{\hat{d}}_i \rangle + \frac{2}{T_2} \langle \dot{\hat{d}}_i \rangle + \Omega^2 \langle \hat{d}_i \rangle = \frac{2\Omega}{\hbar} (d_i d_j^*) (\rho_{11} - \rho_{22}) E_j^{loc}. \quad (1.67)$$

În scrierea ecuației (1.67) s-a neglijat termenul  $\frac{\langle \hat{d}_i \rangle}{T_2^2}$  datorită condiției  $\Omega^2 \gg \frac{1}{T_2^2}$ ; de asemenea prin  $E_j^{loc}$  (sau  $E_j'$ ) se înțelege cîmpul local văzut de o moleculă, care este diferit de cîmpul macroscopic, datorită polarizării locale a substanței.

Ecuația de mișcare pentru observabila „polarizare” se obține însușind și mediind ecuația (1.67) peste toate orientările posibile și pentru toate moleculele din unitatea de volum conform relației (1.59). Rezultă

$$\ddot{\mathbf{P}}_i + \frac{2}{T_2} \dot{\mathbf{P}}_i + \Omega^2 \mathbf{P}_i = \frac{2\Omega}{\hbar} \widetilde{(d_i d_j^*)} (N_1 - N_2) \mathbf{E}_j^{loc}. \quad (1.68)$$

Aici s-a notat cu  $N_1 - N_2$  diferența de populație pe unitatea de volum

$$N_1 - N_2 = N(\rho_{11} - \rho_{22}) \quad (1.69)$$

considerîndu-se că diferența  $\rho_{11} - \rho_{22}$  este aproximativ constantă pentru toate moleculele, indiferent de orientare, iar media orientatională a produsului este egală cu produsul mediilor.

Pe de altă parte, într-un gaz izotrop format din molecule anizotrope, cum este mediul considerat în cazul de față,  $\widetilde{(d_i d_j^*)} = 0$  pentru  $i \neq j$ , deoarece momentul electric de dipol indus trebuie să fie orientat în direcția cîmpului aplicat astfel că ținînd seama de echivalența direcțiilor  $x$ ,  $y$  și  $z$  se poate scrie

$$|\mathbf{d}_{12}|^2 = |\tilde{d}_x|^2 + |\tilde{d}_y|^2 + |\tilde{d}_z|^2 = 3|\tilde{d}_x|^2. \quad (1.70)$$



Ca urmare, ecuația (1.68) a observabilei polarizare în medii cuantificate are forma

$$\ddot{\mathbf{P}} + \frac{2}{T_2} \dot{\mathbf{P}} + \Omega^2 \mathbf{P} = \frac{2\Omega}{h} \frac{|\mathbf{d}_{12}|^2}{3} (N_1 - N_2) \mathbf{E}'. \quad (1.71)$$

Se observă că polarizarea mediului acționează ca un oscilator armonic avînd frecvența  $\Omega$ , care, în lipsa cîmpului, se relaxează cu constanta de timp  $T_2$ , ca urmare a defazării interne a dipolilor individuali prin interacție mutuală. Acestui oscilator i se furnizează energie prin intermediul cîmpului electric.

Coeficientul de cuplaj dintre cîmp și polarizare este proporțional cu diferența de populație ( $N_1 - N_2$ ), astfel că atunci cînd  $N_1 - N_2 \rightarrow 0$ , cuplajul dintre cîmp și polarizare dispăre, obținîndu-se „transparență” substanței în raport cu cîmpul, caracteristică fenomenelor de saturație.

### 1.6.3. Ecuația de populații

Prin relația (1.69) s-a definit diferența de populație pe unitatea de volum, care constituie o altă observabilă de importanță deosebită în studiul interacției cîmp—substanță.

Într-adevăr, diferența de populație determină atît tăria cuplajului cîmp-polarizare după cum s-a arătat anterior cît și cantitatea de energie înmagazinată în mediul cuantificat. Ecuația de mișcare pentru diferența de populație se obține scriînd ecuația (1.53) pentru operatorul  $\hat{D}$  avînd matricea diagonală (1.64), sub forma

$$\langle \dot{\hat{D}} \rangle + \frac{\langle \hat{D} \rangle - \langle \hat{D} \rangle^e}{T_1} = \frac{1}{i\hbar} \langle [\hat{D}, \hat{H}] \rangle \quad (1.72)$$

sau echivalent

$$\frac{\partial}{\partial t} (\rho_{11} - \rho_{22}) + \frac{(\rho_{11} - \rho_{22}) - (\rho_{11} - \rho_{22})^e}{T_1} = \frac{1}{i\hbar} \langle [\hat{D}, \hat{H}] \rangle. \quad (1.73)$$

Întrucît

$$[\hat{D}, \hat{H}] = [\hat{D}, \hat{W}] = -2E_i \begin{bmatrix} 0 & d_i \\ -d_i^* & 0 \end{bmatrix} \quad (1.74)$$

ținîndu-se seama de (1.63) se poate scrie

$$[\hat{D}, \hat{H}] = -\frac{2E_i [\hat{d}_i, \hat{H}]}{\hbar\Omega}. \quad (1.75)$$

Pe de altă parte, din ecuația (1.60), cu condiția  $\Omega T_2 \gg 1$ , se obține

$$\langle \dot{\hat{P}}_i \rangle = \frac{1}{i\hbar} \langle [\hat{P}_i, \hat{H}] \rangle \quad (1.76)$$

astfel încît ținîndu-se seama de (1.69) ecuația (1.73) devine

$$\frac{\partial}{\partial t} (N_1 - N_2) + \frac{(N_1 - N_2) - (N_1 - N_2)^e}{T_1} = -\frac{2}{\hbar\Omega} \dot{\mathbf{P}}_i \mathbf{E}_i'. \quad (1.77)$$



Ecuatia (1.77) este fundamentală pentru diferența de populație în mediile cuantificate. Se observă că modificările în energia înmagazinată pe unitatea de volum

$$\rho_E = - \frac{\partial}{\partial t} \left[ \frac{\hbar \Omega}{2} (N_1 - N_2) \right] \quad (1.78)$$

sînt determinate de termenul  $\dot{\mathbf{P}}\mathbf{E}$  care reprezintă energia cedată de cîmp mediului ce se polarizează.

În absența cîmpului, diferența de populație tinde către o valoare de echilibru cu constanta de timp  $T_1$  de relaxare longitudinală, energia fiind cedată termostatului atomic.

#### 1.6.4. Ecuatiile de cîmp

Ecuatiile de cîmp pentru un mediu polarizabil, izotrop, neîncărcat, se obțin utilizîndu-se ecuațiile lui Maxwell în care se ține seama că polarizarea totală  $\mathbf{P}^{tot}$  a mediului este determinată atît de polarizarea  $\mathbf{P}'$  corelată cu tranziția care interesează numită *sursă*, cît și de alte tranziții care au loc în mediu astfel încît se poate scrie

$$\mathbf{D} = \epsilon_0 \mathbf{E} + \mathbf{P}^{tot} = \epsilon \mathbf{E} + \mathbf{P}' \quad (1.79)$$

unde efectul altor tranziții este luat în considerare prin înlocuirea  $\epsilon_0 \rightarrow \epsilon$ . Înlocuind expresia (1.79) a inducției în ecuațiile lui Maxwell se obține următoarea ecuație diferențială de propagare

$$\nabla \times (\nabla \times \mathbf{E}) + \frac{n}{c} \gamma \frac{\partial \mathbf{E}}{\partial t} + \frac{n^2}{c^2} \frac{\partial^2 \mathbf{E}}{\partial t^2} = - \mu_0 \frac{\partial^2 \mathbf{P}'}{\partial t^2} \quad (1.80)$$

unde  $n$  este indicele de refracție relativ al mediului, iar  $\gamma = \mu_0 \sigma c/n$  un coeficient de atenuare. Un astfel de cîmp electromagnetic progresiv este descris cu ajutorul modelului undelor plane conform descompunerii

$$\mathbf{E}(\mathbf{r}, t) = \sum_{\alpha} \frac{\mathbf{E}_0^{\alpha}}{2} e^{i(\omega_{\alpha} t - \mathbf{k}_{\alpha} \cdot \mathbf{r})} + \text{c.c.} \quad (1.81)$$

$\alpha$  fiind un indice de însumare.

În cazul laserilor, însă, prezintă un interes deosebit cîmpul electromagnetic închis într-o cavitate rezonantă, astfel că pentru descrierea acestuia se utilizează modelul *modurilor normale Slater de oscilație ale cavității*.

Fie o cavitate cu pereții perfect conducători, în interiorul cavității fiind situat un mediu dielectric avînd permitivitatea  $\epsilon$ . Ținîndu-se seama de condițiile la limită ( $E_t = 0$  și  $B_n = 0$  pe suprafață), cîmpul din cavitate admite dezvoltările

$$\mathbf{E} = - \frac{1}{\sqrt{\epsilon}} \sum_c p_c(t) \mathbf{E}_c(\mathbf{r}) \quad (1.82)$$

respectiv

$$\mathbf{H} = \frac{1}{\sqrt{\mu}} \sum_c \omega_c q_c(t) \mathbf{H}_c(\mathbf{r}) \quad (1.83)$$



unde  $\mathbf{E}_c(\mathbf{r})$  și  $\mathbf{H}_c(\mathbf{r})$  specifică modurile normale de oscilație, dependența de timp a cîmpului fiind exprimată de coeficienții  $p_c(t)$  și  $q_c(t)$ . Ecuația (1.80) în care s-au introdus dezvoltările (1.82) și (1.83) și s-a ținut seama că modurile de oscilație nu sînt ortonormate, se transformă astfel

$$\ddot{p}_c + \frac{\gamma^c}{n} \dot{p}_c + \omega_c^2 p_c = \frac{1}{V_\varepsilon} \int \ddot{\mathbf{P}}' \mathbf{E}_c(\mathbf{r}) dV. \quad (1.84)$$

Dacă se introduce timpul de viață în cavitate al radiației  $\tau_c = \frac{n}{\gamma^c}$  și se consideră important un singur mod de oscilație al cîmpului, ecuația (1.84) devine

$$\ddot{\mathbf{E}} + \frac{1}{\tau_c} \dot{\mathbf{E}} + \omega_c^2 \mathbf{E} = - \frac{1}{\varepsilon} \mathbf{E}_c(\mathbf{r}) \int \ddot{\mathbf{P}}' \mathbf{E}_c(\mathbf{r}) dV \quad (1.85)$$

sau pentru o distribuție a polarizării analogă cîmpului

$$\ddot{\mathbf{E}} + \frac{1}{\tau_c} \dot{\mathbf{E}} + \omega_c^2 \mathbf{E} = - \frac{1}{\varepsilon} \ddot{\mathbf{P}}' \quad (1.86)$$

(la studiul rezonatorilor optici se va arăta că în general  $\tau_c$  este determinat atît de pierderile de radiație prin oglinzile rezonatorului ( $\tau_m$ ) cît și de pierderile prin împrăștiere și absorbție ( $\tau_s$ ) la care se adaugă pierderile prin difracție ( $\tau_d$ ) astfel încît  $1/\tau_c = 1/\tau_m + 1/\tau_s + 1/\tau_d$ ).

În ecuațiile (1.71), (1.77), (1.80) și (1.86) trebuie să se țină seama că intervine cîmpul local  $\mathbf{E}'$  și polarizarea sursă  $\mathbf{P}'$  astfel că se impune stabilirea unor relații directe între mărimile microscopice și mărimile macroscopice corespunzătoare. Se poate arăta [12] că

$$\mathbf{P}' = \frac{n^2 + 2}{3} \mathbf{P} = \sqrt{L} \mathbf{P} \quad (1.87)$$

$$\mathbf{E}' = \frac{n^2 + 2}{3} \mathbf{E} = \sqrt{L} \mathbf{E}; \quad (1.88)$$

$L$  se numește *factorul de corecție Lorentz*. (Expresia  $L = \left(\frac{n^2 + 2}{3}\right)^2$  a fost stabilită utilizîndu-se relația cunoscută  $\mathbf{E}' = \mathbf{E} + \frac{1}{3\varepsilon_0} \mathbf{P}^{tot}$ , unde  $\mathbf{E}$  este cîmpul macroscopic).

Dacă se introduce factorul de corecție Lorentz în ecuațiile pentru polarizare, populație și cîmp se obține următorul sistem de ecuații de mișcare pentru tranzițiile de dipol electric

$$\ddot{\mathbf{P}} + \frac{2}{T_2} \dot{\mathbf{P}} + \Omega^2 \mathbf{P} + \frac{2\Omega}{\hbar} L \frac{|\mathbf{d}_{12}|^2}{3} (N_1 - N_2) \mathbf{E} \quad (1.89)$$

$$\frac{\partial}{\partial t} (N_1 - N_2) + \frac{(N_1 - N_2) - (N_1 - N_2)^e}{T_1} = - \frac{2}{\hbar\Omega} \dot{\mathbf{P}} \mathbf{E} \quad (1.90)$$

$$\nabla \times (\nabla \times \mathbf{E}) + \frac{n\gamma}{c} \frac{\partial \mathbf{E}}{\partial t} + \frac{n^2}{c^2} \frac{\partial^2 \mathbf{E}}{\partial t^2} = - \mu_0 \frac{\partial^2 \mathbf{P}}{\partial t^2} \quad (1.91)$$

$$\ddot{\mathbf{E}} + \frac{1}{\tau_c} \dot{\mathbf{E}} + \omega_c^2 \mathbf{E} = - \frac{1}{\varepsilon} \mathbf{E}_c(\mathbf{r}) \int \ddot{\mathbf{P}} \mathbf{E}_c(\mathbf{r}) dV. \quad (1.92)$$

unde s-a notat  $\mathbf{P}'$  cu  $\mathbf{P}$  pentru simplificarea scrierii.



## 1.7. Fenomenele de absorbție rezonantă, dispersie și saturație

### 1.7.1. Proprietățile de absorbție rezonantă și dispersie ale mediului

Studiul proprietăților de absorbție și dispersie ale mediului se poate face ținându-se seama de forma foarte variată a relației  $\mathbf{D} = \mathbf{D}(\mathbf{E})$  în diferite medii, pe baza căreia se definește susceptibilitatea complexă a acestor medii conform dezvoltării

$$\begin{aligned}\mathbf{D} &= \varepsilon_0(1 + \bar{\chi}) \mathbf{E} + \varepsilon_0(\bar{\bar{\chi}} \mathbf{E} \mathbf{E} + \bar{\bar{\bar{\chi}}} \mathbf{E} \mathbf{E} \mathbf{E} + \dots) = \\ &= \varepsilon \mathbf{E} + \mathbf{P}_{NL}\end{aligned}\quad (1.93)$$

în care cu  $\mathbf{P}_{NL}$  s-a notat partea neliniară a polarizării.

Dacă într-o primă aproximație se neglijează polarizarea neliniară, susceptibilitatea liniară va fi definită de relația

$$\mathbf{P} = \varepsilon_0 \chi(\omega) \mathbf{E} \quad (1.94)$$

în care  $\chi(\omega)$  este o mărime complexă

$$\chi(\omega) = \chi'(\omega) + i\chi''(\omega), \quad (1.95)$$

$\chi'(\omega)$  caracterizînd proprietățile de dispersie ale mediului iar  $\chi''(\omega)$  proprietățile de absorbție ale acestuia. Dependența explicită de frecvență a susceptibilității se poate obține prin compararea relației (1.94) cu soluția  $\mathbf{P}(\mathbf{E})$  a ecuației (1.89) care rezultă admitînd pentru polarizare și intensitatea cîmpului electric la frecvențe optice expresii de forma

$$\mathbf{P} = \frac{1}{2} \mathbf{P}_0 e^{i(\omega t - kz)} + \text{c.c.} \quad (1.96)$$

respectiv

$$\mathbf{E} = \frac{1}{2} \mathbf{E}_0 e^{i(\omega t - kz)} + \text{c.c.} \quad (1.97)$$

unde  $\omega \simeq \Omega$ .

Pentru regim staționar  $\frac{\partial}{\partial t}(N_1 - N_2) = 0$  întrucît  $\omega T_1 \gg 1$  astfel încît

$$\mathbf{P}_0 = \frac{L}{h} \frac{|\mathbf{d}_{12}|^2}{3} (N_1 - N_2) \frac{1}{(\Omega - \omega) + i\left(\frac{1}{T_2}\right)} \mathbf{E}_0. \quad (1.98)$$

Prin urmare

$$\chi(\omega) = \frac{\pi}{h \varepsilon_0} L \frac{|\mathbf{d}_{12}|^2}{3} (N_1 - N_2) g_L^c(\omega, \Omega) \quad (1.99)$$

unde mărimea  $g_L^c(\omega, \Omega)$  este dată de expresia

$$g_L^c(\omega, \Omega) = \frac{1}{\pi} \frac{1}{(\Omega - \omega) + i(1/T_2)} \quad (1.100)$$

numită funcție complexă de formă a liniei spectrale a lui Lorentz.



Dacă în locul ecuației (1.89) pentru mediile izotrope se utilizează ecuația (1.68) valabilă în mediile anizotrope, susceptibilitatea electrică va fi un tensor care corelează o anumită componentă a polarizării cu componentele câmpului electric după direcții diferite :

$$\mathbf{P}_{0i} = \frac{\pi}{\hbar} (\widetilde{d_i d_j^*}) (N_1 - N_2) g_L^c(\omega, \Omega) \mathbf{E}_{0j} = \varepsilon_0 \chi_{ij}(\omega) \mathbf{E}_{0j} \quad (1.101)$$

unde  $\chi_{ij}$  sînt componentele unui tensor de ordinul al doilea.

În cele ce urmează se vor analiza proprietățile de absorbție și dispersie ale mediilor izotrope, în apropierea frecvenței de rezonanță  $\Omega$ . Astfel din expresiile (1.95) și (1.99) ținîndu-se seama de (1.100) rezultă

$$\chi'(\omega) = \frac{\pi}{\hbar \varepsilon_0} L \frac{|\mathbf{d}_{12}|^2}{3} (N_1 - N_2) \left[ \frac{1}{\pi} \frac{(\Omega - \omega)}{(\Omega - \omega)^2 + (1/T_2)^2} \right] \quad (1.102)$$

respectiv

$$\chi''(\omega) = -\frac{\pi}{\hbar \varepsilon_0} L \frac{|\mathbf{d}_{12}|^2}{3} (N_1 - N_2) \left[ \frac{1}{\pi} \frac{1/T_2}{(\Omega - \omega)^2 + (1/T_2)^2} \right]. \quad (1.103)$$

Pentru a se găsi dependența dintre  $\chi(\omega)$  și constanta de propagare complexă  $k(\omega)$  care intervine în soluțiile de forma (1.96) și (1.97) se utilizează ecuația de câmp (1.91) în care se introduc aceste soluții. Se obține

$$k^2(\omega) = \frac{n^2 \omega^2}{c^2} \left[ 1 + \frac{\chi(\omega)}{n^2} \right] \quad (1.104)$$

$$\text{În ipoteza} \quad \chi(\omega) \ll \frac{1}{n^2} \quad (1.105)$$

acceptabilă din punct de vedere fizic și ținînd seama de dezvoltare

$$\sqrt{1 + \chi/n^2} \simeq 1 + \chi/2n^2 \quad (1.106)$$

se obține

$$k = k' + ik'' \simeq \frac{n\omega}{c} \left[ 1 + \frac{\chi(\omega)}{2n^2} \right] + i \frac{\omega \chi''(\omega)}{2nc}, \quad (1.107)$$

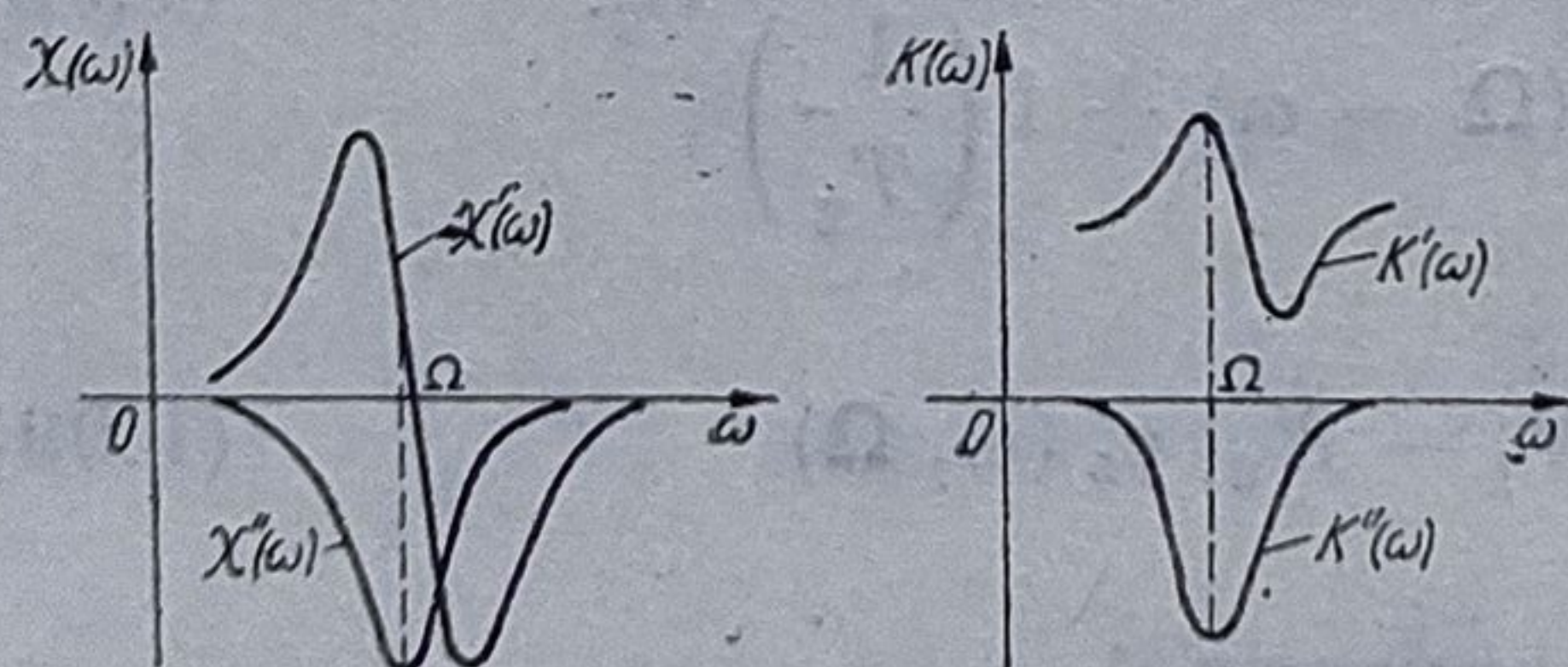


Fig. 1.3

În figurile 1.3a și b se reprezintă grafic, calitativ, dependența de frecvență a mărimilor  $\chi$  respectiv  $k$ , în jurul frecvenței de tranziție, folosindu-se expresiile (1.102) și (1.103) ale lui  $\chi'(\omega)$  și  $\chi''(\omega)$ .

Constanta de propagare  $k'(\omega)$  ia în considerare proprietățile de dispersie ale mediului, aceste proprietăți fiind determinate de  $\chi'(\omega)$  care

se comportă la fel cu  $k'(\omega)$  în jurul frecvenței de rezonanță.

Dependența lui  $\chi'(\omega)$  de frecvență evidențiază fenomenul de dispersie anormală, caracteristic acestor medii în jurul frecvenței de tranziție  $\Omega$ .



Proprietățile de absorbție ale mediului sînt determinat de  $k''(\omega)$ , a cărei dependență de frecvență este dată de  $\chi''(\omega)$ .

Definind coeficientul de atenuare  $\Gamma$  pentru intensitatea undei care se propagă în medie cu ajutorul legii

$$I = I_0 \exp [-\Gamma z], \quad (1.108)$$

relația de definiție a intensității fiind

$$I = \frac{nc\epsilon_0}{2} |\mathbf{E}_0 \exp [-ikz]|^2, \quad (1.109)$$

din compararea expresiilor de mai sus se obține direct dependența de frecvență a coeficientului  $\Gamma$ :

$$\Gamma = -2k'' = \frac{\Omega\pi}{\epsilon_0 \hbar cn} L \frac{|\mathbf{d}_{12}|}{3} (N_1 - N_2) g_L(\omega, \Omega). \quad (1.110)$$

În expresia (1.110) a lui  $\Gamma$ ,  $g_L(\omega, \Omega)$  reprezintă *partea imaginară a funcției complexe Lorentz*  $g_L^c(\omega, \Omega)$  avînd expresia:

$$g_L(\omega, \Omega) = \frac{1}{\pi} \frac{1/T_2}{(\Omega - \omega)^2 + (1/T_2)^2}. \quad (1.111)$$

Deoarece prin intermediul lui  $\Gamma$ , funcția  $g_L(\omega, \Omega)$  determină forma liniei de absorbție a radiației de către mediu, ea poartă numele de *funcția de formă a liniei spectrale Lorentz*. Dependența de frecvență a funcției  $g_L(\omega, \Omega)$  este prezentată grafic în figura 1.4.

Funcția de formă a liniei spectrale Lorentz intervine în studiul tuturor fenomenelor de absorbție și rezonanță optică. Se poate verifica că  $g_L(\omega, \Omega)$  dat de relația (1.111) satisface condiția de normare

$$\int g_L(\omega, \Omega) d\omega = 1. \quad (1.112)$$

Cu ajutorul acesteia se poate determina lărgimea de bandă a liniei spectrale „lorentziene”, definită prin expresia

$$B = 2\Delta\omega_L \quad (1.113)$$

unde  $\Delta\omega_L$  rezultă din condiția

$$[g_L(\omega, \Omega)]_{\Delta\omega_L} = \frac{1}{2} [g_L(\omega, \Omega)]_{\max}, \quad (1.114)$$

adică  $B$  reprezintă ecartul de frecvență între punctele situate simetric în raport cu frecvența centrală  $\Omega$ , pe curba  $g_L(\omega, \Omega)$ , pentru care valoarea lui  $g_L(\omega, \Omega)$  se reduce la jumătate din valoarea sa maximă. Rezultă

$$\Delta\omega_L = \frac{1}{T_2}, \quad (1.115)$$

$T_2$  fiind timpul de relaxare spin-spin caracteristic mediului.

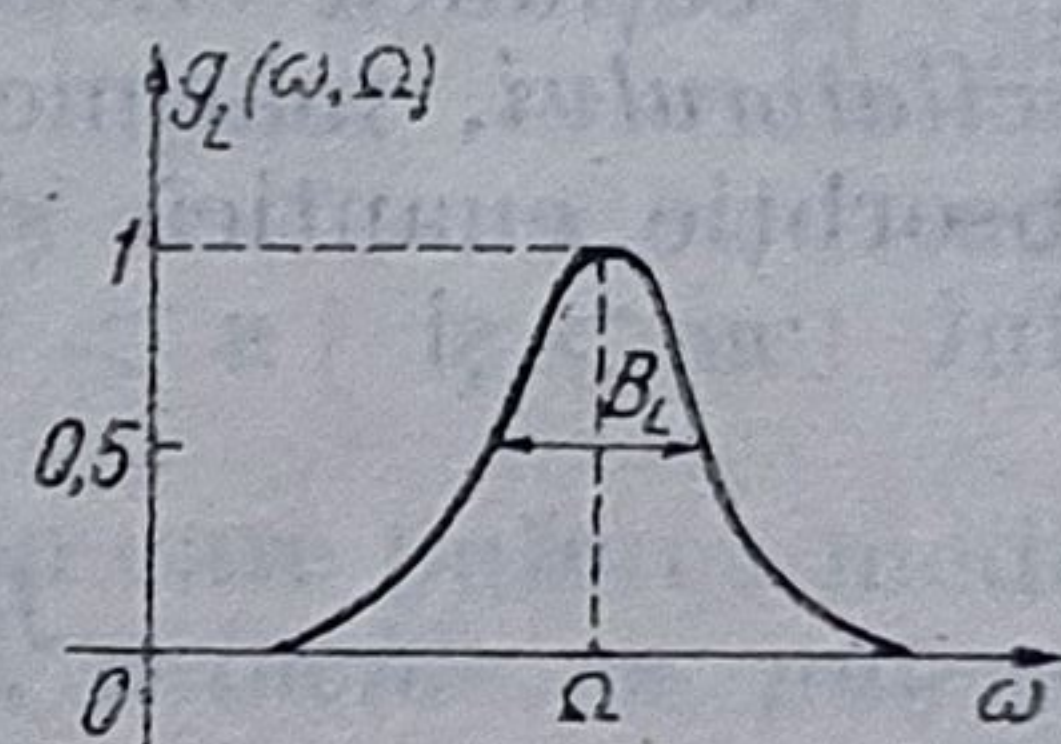


Fig.1. 4



Din expresia lui  $\Gamma$  rezultă dependența liniară a coeficientului de absorbție de diferența de populație ( $N_1 - N_2$ ). Se observă că  $N_2$  are o contribuție negativă la coeficientul de absorbție, favorizând transferul de energie de la mediu către câmpul electromagnetic, deci procesele de emisie. Pentru  $N_2 > N_1$  absorbția mediului devine negativă astfel că are loc amplificarea radiației, fenomen caracteristic funcționării laserilor și maserilor.

Alte modalități prin care pot fi descrise proprietățile de absorbție ale mediului, sau *tăria tranzițiilor* între stările atomice implicate, sînt determinate de utilizarea unor mărimi ca *secțiunea eficace de absorbție per atom*, respectiv, *tăria oscilatorului*. Secțiunea eficace de absorbție per atom  $\sigma_e$ , se definește pentru un mediu atomic cu două stări, avînd  $N_1 = N$  și  $N_2 = 0$ , prin raportul dintre puterea absorbită per atom către puterea incidentă pe unitatea de arie

$$\sigma_e = \frac{P}{NI} = - \frac{1}{NI} \frac{dI}{dz} = \frac{\Gamma}{N} \quad (1.116)$$

unde  $I$  este puterea incidentă pe unitatea de arie, iar  $P$  este puterea absorbită pe unitatea de volum. Din relația (1.116) rezultă că  $\sigma_e$  poate fi scrisă numai funcție de coeficientul de atenuare  $\Gamma$  și de numărul  $N$  de atomi pe unitatea de volum, ceea ce conduce de următoarea formă explicită a acestei mărimi :

$$\sigma_e = \frac{\Omega\pi}{3\varepsilon_0 h c n} L |\mathbf{d}_{12}|^2 g_L(\omega, \Omega). \quad (1.117)$$

Secțiunea eficace de absorbție pe atom poate fi corelată cu *tăria oscilatorului*, mărime definită prin raportul dintre secțiunile eficace de absorbție cuantică și clasică. Astfel, dacă stările implicate în tranziție sînt  $|m\rangle$  și  $|n\rangle$  tăria oscilatorului  $f_{mn}$  este dată de expresia

$$f_{mn} = \frac{(\sigma_e)_{\text{cuantic}}}{(\sigma_e)_{\text{clasic}}} = \frac{2m\Omega_{mn} |\mathbf{d}_{mn}|^2}{3e^2 h} \quad (1.118)$$

putînd avea valori pozitive sau negative funcție de natura tranziției (absorbție sau emisie),  $e/m$  fiind sarcina specifică a dipolului oscilant.

Tăriile oscilatorilor sînt deosebit de utile pentru estimarea elementelor matricei de dipol electric, atunci cînd lipsesc datele experimentale, utilizîndu-se în acest scop diferite reguli de însumare funcție de natura proceselor fizice implicate. De exemplu, pentru tranzițiile la care participă un singur electron, suma tărilor oscilatorilor trebuie să fie unitară. În cazul în care participă la o tranziție particulară mai mulți electroni se utilizează regula de însumare Kuhn-Thomas, conform căreia suma tărilor oscilatorilor care descriu tranzițiile pe un nivel dat este determinată de numărul electronilor implicați.

### 1.7.2. Fenomene de saturație ale mediului atomic

Din ecuația de polarizare (1.89) au fost deduse proprietățile de dispersie și absorbție ale mediului. Ecuațiile cuantice care descriu comportarea mediilor substanțiale trebuie să țină seama și de proprietățile de saturație ale acestor medii, care se manifestă prin *trecerea neatenuată a radiației prin mediu, cînd aceasta devine suficient de intensă*. Din punct de vedere fizic, proprietățile de saturație se explică astfel : energia absor-



bită de atomii substanței în prezența câmpurilor electrice de frecvențe egale cu frecvența de tranziție, la nivele mici ale intensităților acestora, este cedată rapid mediului datorită fenomenelor de relaxare, rămânând neschimbate proprietățile de absorbție.

Atunci când intensitatea radiației absorbite devine suficient de puternică, energia absorbită nu mai poate fi disipată prin procesele de relaxare, astfel că are loc o redistribuție a populațiilor între nivelele care participă la tranziție, intervenind în expresiile lui  $\chi'(\omega)$  și  $\chi''(\omega)$  prin factorul  $(N_1 - N_2)$ , în sensul saturării proprietăților de dispersie și absorbție.

O tratare mai riguroasă a proprietăților de saturație se poate face utilizându-se ecuația de populații (1.77):

— în absența câmpului electric, la regim staționar, diferența de populație  $(N_1 - N_2)$ , atinge valoarea de echilibru dată de distribuția Boltzmann

$$(N_1 - N_2) = (N_1 - N_2)^e; \quad (1.119)$$

— în prezența câmpului electric, se poate atinge din nou regimul staționar  $\left(\frac{\partial}{\partial t}(N_1 - N_2) = 0\right)$ , dar la o altă valoare de echilibru a diferenței de populație, determinată de ecuația

$$\begin{aligned} \frac{\hbar \Omega}{2} \frac{(N_1 - N_2) - (N_1 - N_2)^e}{T_1} &= \\ &= -\frac{i\omega}{4} (\mathbf{P}_0 \mathbf{E}_0^* - \mathbf{P}_0^* \mathbf{E}_0). \end{aligned} \quad (1.120)$$

Noua valoare de echilibru corespunde situației în care puterea medie cedată de mediul atomic, prin procesele de relaxare, coincide cu puterea primită de la câmp prin procesele de absorbție. În acest caz, atomii nu mai absorb radiația, aceasta trecând neatenuată prin mediu. Folosind expresia

$$\mathbf{P} = \varepsilon_0(\chi'(\omega) + i\chi''(\omega)) \mathbf{E} \quad (1.121)$$

pentru legătura dintre câmp și polarizare, din ecuația (1.120) se obține

$$N_1 - N_2 = \frac{(N_1 - N_2)^e}{1 + \frac{I}{I_{sat}} \frac{g_L(\omega, \Omega)}{T_2/\pi}} \quad (1.122)$$

unde  $I_{sat}$  reprezintă puterea pe unitatea de arie, a unei unde care la rezonanță reduce diferența de populație la jumătate din valoarea sa nesaturată

$$I_{sat} = \frac{n \varepsilon_0 c}{(2T_1 T_2 / \hbar^2) L(|\mathbf{d}_{12}|^2/3)} \quad (1.123)$$

Scăderea diferenței de populație cu creșterea intensității câmpului, peste o anumită valoare a acestuia, ca urmare a fenomenelor de saturație reprezintă un efect nedorit pentru laseri unde se urmărește obținerea unei inversii de populație cât mai ridicate. Din expresiile (1.110) și (1.122)



rezultă că atunci cînd fenomenele de saturație devin importante, coeficientul de absorbție  $\Gamma_{sat}$  are expresia

$$\Gamma_{sat} = \frac{\Omega\pi}{h\varepsilon_0 cn} L \frac{|\mathbf{d}_{12}|^2}{3} (N_1 - N_2)^e \frac{1}{\pi} \times \\ \times \frac{1}{T_2} \frac{1}{(\Omega - \omega)^2 + (1/T_2)^2 (1 + I/I_{sat})}.$$

Prin urmare  $\Gamma_{sat}(\Omega) = \Gamma(\Omega) \frac{1}{1 + I/I_{sat}}$ , (1.125)

efectul saturației manifestîndu-se prin scăderea înălțimii liniei de absorbție. Totodată, puterea absorbită pe unitatea de volum se saturează la valoarea

$$P_{sat}(\Omega) = \frac{h\Omega}{2T_1} (N_1 - N_2)^e. \quad (1.126)$$

#### 4.7.3. Lărgirea omogenă și neomogenă a liniei spectrale

Linia spectrală lorentziană definită de funcția  $g_L(\omega, \Omega)$ , avînd expresia (1.111) se mai numește *lărgită „omogen”* întrucît procesele de relaxare care o determină acționează la fel pentru toți atomii, aceștia avînd aceeași frecvență de tranziție. Ca urmare, caracteristica de frecvență a polarizării macroscopice este identică cu cea a atomilor individuali.

Procese tipice care determină lărgirea omogenă a liniei spectrale sînt: ciocnirile, cuplajul între atomi, cuplajul cu vibrațiile rețelei.

În cazul în care atomii sau moleculele unui ansamblu au frecvențe de tranziție  $\Omega_i$ , diferite, linia spectrală emisă de ansamblu diferă de liniile spectrale lărgite omogen ale oscilatorilor individuali, fiind *lărgită neomogen*.

Procese tipice care determină distribuția frecvențelor  $\Omega_i$  de tranziție, sînt: efectul Doppler, defectele rețelei cristaline, neomogenitățile câmpurilor implicate etc.

De exemplu, în cazul lărgirii Doppler, mișcarea moleculelor gazului determină modificarea frecvenței de tranziție  $\omega_0 \rightarrow \Omega_i$  funcție de viteza de mișcare  $v_i$ , pentru fiecare oscilator.

Astfel, în intervalul  $d\Omega_i$  vor fi situate frecvențele de tranziție pentru  $dN$  molecule, din cele  $N$  molecule pe unitatea de volum încît

$$dN = N g_G(\omega_0, \Omega_i) d\Omega_i \quad (1.127)$$

unde

$$g_G(\omega_0, \Omega_i) = \frac{[(4/\pi) \ln 2]^{1/2}}{\Delta\omega_G} \exp \left[ -4(\ln 2) \frac{(\Omega_i - \omega_0)^2}{(\Delta\omega_G)^2} \right] \quad (1.128)$$

este funcția de *forma gaussiană* a liniei spectrale, fiind satisfăcută condiția de normare

$$\int_{-\infty}^{+\infty} g_G(\omega_0, \Omega_i) d\Omega_i = 1. \quad (1.129)$$



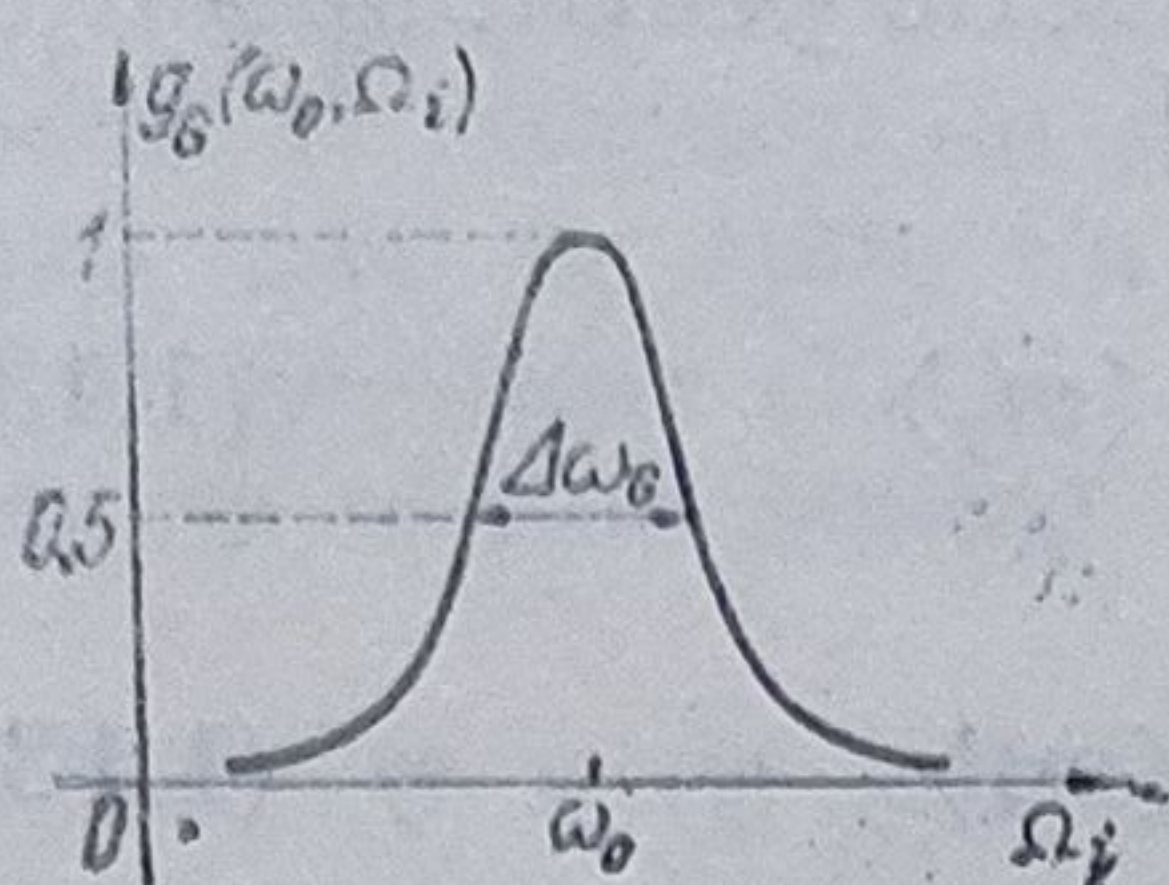


Fig. 1.5

Linia spectrală lărgită neomogen, are lărgimea  $\Delta\omega_G$  definită prin analogie cu  $\Delta\omega_L$  (fig. 1.5) fiind centrată pe frecvența  $\omega_0$ .

Pentru evaluarea susceptibilității liniei neomogene lărgită Doppler trebuie să se țină seama că polarizarea  $dP$ , pe frecvența  $\omega$  rezultă prin însumarea contribuțiilor componentelor de forma  $d\chi(\omega, \Omega_i)$ , astfel încât se poate scrie

$$\chi(\omega) = \frac{\pi}{h\epsilon_0} L \frac{|d_{12}|^2}{3} (N_1 - N_2) \int_{-\infty}^{+\infty} g_L(\omega, \Omega_i) g_G(\omega_0, \Omega_i) d\Omega_i \quad (1.130)$$

deci se pot evalua  $\chi'(\omega)$  și  $\chi''(\omega)$ .

### 1.8. Ecuațiile de mișcare pentru tranzițiile de dipol magnetic ale sistemelor cu spinul 1/2

Momentul magnetic al electronului  $m$  poate fi descris utilizându-se matricele lui Pauli cu ajutorul operatorilor

$$\begin{aligned} m_x &= -\frac{\gamma\hbar}{2} \begin{bmatrix} 0 & 1 \\ 1 & 0 \end{bmatrix}; m_y = -\frac{\gamma\hbar}{2} \begin{bmatrix} 0 & -i \\ i & 0 \end{bmatrix}; \\ m_z &= -\frac{\gamma\hbar}{2} \begin{bmatrix} 1 & 0 \\ 0 & -1 \end{bmatrix} \end{aligned} \quad (1.131)$$

unde  $\gamma$  este *raportul magneto-mecanic de spin*.

Pentru studiul interacției momentului magnetic al electronului cu câmpul magnetic, se consideră un câmp magnetic de inducție

$$\mathbf{B} = \mathbf{B}_0 + \mathbf{B}' \quad (1.132)$$

unde  $\mathbf{B}_0 = \mathbf{1}_z B_{0z}$  este un câmp magnetic static aplicat în direcția  $z$ , iar  $\mathbf{B}'$  este partea dependentă de timp a inducției. Ca urmare, se poate pune în evidență hamiltonianul  $H_0$  datorat atât interacțiilor intraatomice cât și câmpului magnetic static

$$H_0 = \begin{bmatrix} E_n + \frac{\gamma\hbar}{2} B_{0z} & 0 \\ 0 & E_n - \frac{\gamma\hbar}{2} B_{0z} \end{bmatrix} \quad (1.133)$$

la care se adaugă hamiltonianul de interacție

$$W = -m\mathbf{B}' = \frac{\gamma\hbar}{2} \begin{bmatrix} B'_z & B'_x - iB'_y \\ B'_x + iB'_y & -B'_z \end{bmatrix}. \quad (1.134)$$



Ecuatia (1.53) de mișcare pentru operatori se scrie pentru operatorii nediagonali  $m_x$  și  $m_y$  și diagonal  $m_z$  sub forma [12]

$$\langle \dot{m}_x \rangle + \frac{\langle m_x \rangle}{T_2} = \gamma(\mathbf{B}' \times \langle \mathbf{m} \rangle)_x - \Omega \langle m_y \rangle \quad (1.135)$$

$$\langle \dot{m}_y \rangle + \frac{\langle m_y \rangle}{T_2} = \gamma(\mathbf{B}' \times \langle \mathbf{m} \rangle)_y + \Omega \langle m_x \rangle \quad (1.136)$$

respectiv

$$\langle \dot{m}_z \rangle + \frac{\langle m_z \rangle - \langle m_z \rangle^e}{T_1} = \gamma(\mathbf{B}' \times \langle \mathbf{m} \rangle)_z \quad (1.137)$$

unde  $\Omega = \gamma B_{0z}$ .

Dacă se trece de la momentul magnetic  $\mathbf{m}$  la magnetizarea macroscopică  $\mathbf{M}$  conform relației  $\mathbf{M} = N \langle \tilde{\mathbf{m}} \rangle$  prin analogie cu relația (1.59) pentru polarizare, ecuațiile (1.135) – (1.137) se transformă astfel

$$\dot{M}_x + \frac{M_x}{T_2} = \gamma(\mathbf{B}' \times \mathbf{M})_x - \Omega M_y \quad (1.138)$$

$$\dot{M}_y + \frac{M_y}{T_2} = \gamma(\mathbf{B}' \times \mathbf{M})_y + \Omega M_x \quad (1.139)$$

$$\dot{M}_z + \frac{M_z - M_z^e}{T_1} = \gamma(\mathbf{B}' \times \mathbf{M})_z \quad (1.140)$$

cunoscute sub numele de *ecuațiile Bloch*.

O formă mai compactă a acestor ecuații se obține grupînd termenii din mebrul drept conform relației (1.132). Se obține sistemul

$$\dot{M}_x + \frac{M_x}{T_2} = \gamma(\mathbf{B} \times \mathbf{M})_x \quad (1.141)$$

$$\dot{M}_y + \frac{M_y}{T_2} = \gamma(\mathbf{B} \times \mathbf{M})_y \quad (1.142)$$

$$\dot{M}_z + \frac{M_z - M_z^e}{T_1} = \gamma(\mathbf{B} \times \mathbf{M})_z \quad (1.143)$$

În sfîrșit, în absența relaxărilor se poate scrie

$$\frac{d\mathbf{M}}{dt} = \gamma(\mathbf{B} \times \mathbf{M}). \quad (1.144)$$

Se observă că în cîmp magnetic static magnetizarea are mișcare de precesie în jurul cîmpului magnetic. Dacă se aplică un cîmp magnetic alternativ  $\mathbf{B}'$ , în planul  $xy$ , atunci componentele magnetizării după direcțiile  $x$  și  $y$  joacă același rol ca și polarizarea în cazul tranzițiilor de dipol electric în timp ce magnetizarea după axa  $z$  corespunde diferenței de populație, conform relațiilor

$$M_z = N \langle \tilde{m}_z \rangle = N \widetilde{\text{Ŭrm}}(\rho m_z) = \frac{\gamma \hbar}{2} (N_2 - N_1). \quad (1.145)$$



Prin urmare, magnetizarea după axa  $z$  măsoară energia înmagazinată în sistemul cu spin,  $N_1$  și  $N_2$  fiind populațiile corespunzătoare celor două stări de spin. Ca și în cazul tranzițiilor de dipol electric, ecuațiilor de magnetizare (1.141) — (1.143) trebuie să li se adauge o ecuație de câmp, care se obține analog cu ecuația (1.80) sub forma

$$\nabla \times (\nabla \times \mathbf{B}) + \frac{n\gamma}{c} \frac{\partial \mathbf{B}}{\partial t} + \frac{n^2}{c^2} \frac{\partial^2 \mathbf{B}}{\partial t^2} = \mu_0 \nabla \times (\nabla \times \mathbf{M}). \quad (1.146)$$

În consecință, se poate construi o teorie a susceptibilității magnetice  $\chi_m(\omega) = \mathbf{M}/\mathbf{H}$  prin aceeași metodă cu cea utilizată pentru susceptibilitatea electrică. Dependența de factorul de formă al liniei spectrale  $g_L(\omega, \Omega)$  a susceptibilității magnetice arată că tranzițiile de dipol magnetic ale sistemului cu spin (între cele două stări de spin) au un caracter rezonant, avînd intensitatea maximă în jurul frecvenței  $\Omega$ .

Prin urmare, schimbul de energie între câmpul electromagnetic și sistemul cu spin, care stă la baza metodei de rezonanță paramagnetică de spin, se tratează cu ajutorul ecuațiilor Bloch prin analogie cu studiul tranzițiilor de dipol electric ale unui sistem atomic cu două nivele.

### 1.9. Analogia dintre sistemele atomice cu două nivele și sistemele cu spin

Analogia dintre sistemele atomice cu două nivele și sistemele cu spin evidențiată în paragraful anterior este mai completă după cum se va arăta în cele ce urmează.

Fie un sistem atomic cu două nivele desemnate prin  $|a\rangle$  și  $|b\rangle$  în figura 1.6, rolul altor nivele fiind luat în considerare în studiul proceselor laser prin intermediul „pompaajului” și al „pierderilor”. Fie hamiltonianul sistemului atomic  $\hat{H}_A$  și  $\hat{W} = \hbar \hat{V}$  hamiltonianul de interacție astfel încît hamiltonianul total are expresia :

$$\hat{H} = \hat{H}_A + \hat{W}, \quad (1.147)$$

unde

$$\hat{H}_A \psi_a(x) = \hbar \omega_a \psi_a(x) \text{ și } \hat{H}_A \psi_b(x) = \hbar \omega_b \psi_b(x) \quad (1.148)$$

$$\text{iar } \hat{W} = \hbar \hat{V} = -ex E(\mathbf{r}, t) \quad (1.148')$$

$\mathbf{r}$  specificînd un punct în interiorul atomului.

Interacția sistemului atomic cu un câmp coerent rezonant determină tranziții atomice cu frecvența

$$\Omega = \frac{E_a - E_b}{\hbar} = \omega_a - \omega_b. \quad (1.149)$$

Sub influența perturbației, sistemul aflat inițial în starea  $|a\rangle$  la momentul  $t = t_0$ , poate suferi tranziții induse în starea  $|b\rangle$  astfel încît la

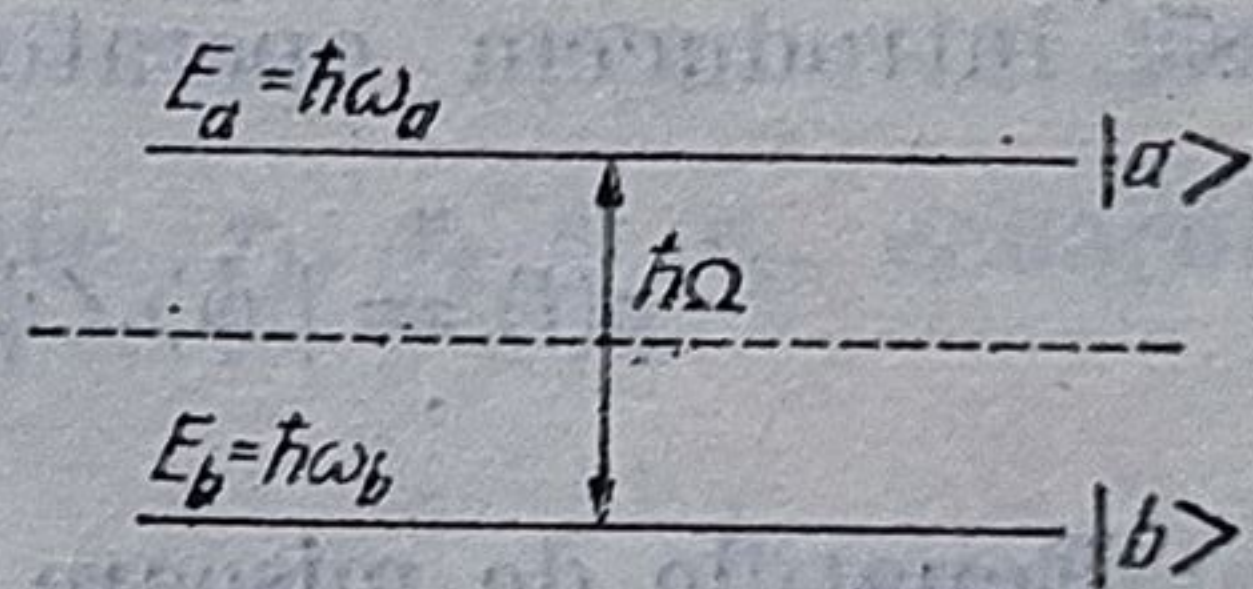


Fig. 1.6



momentul  $t > t_0$ , funcția de undă atomică se poate exprima ca o superpoziție liniară a stărilor  $|a\rangle$  și  $|b\rangle$  astfel

$$\psi(x, t) = a(t) \psi_a(x) + b(t) \psi_b(x) \quad (1.150)$$

care verifică ecuația Schrödinger

$$i\hbar \frac{\partial \psi}{\partial t} = (\hat{H}_A + \hbar \hat{V})\psi = i\hbar(\dot{a}\psi_a(x) + \dot{b}\psi_b(x)). \quad (1.151)$$

Ținând seama de condiția de ortonormare a funcțiilor de undă  $\psi_a(x)$  și  $\psi_b(x)$  se obține sistemul

$$i\dot{a} = \omega_a a + V_{ab}b \quad (1.152)$$

$$i\dot{b} = V_{ba}a + \omega_b b \quad (1.153)$$

unde

$$V_{ab} = V_{ba}^* = -\frac{E(\mathbf{r}, t)e}{\hbar}(\psi_a, x\psi_b) \quad (1.154)$$

iar

$$V_{aa} = V_{bb} = 0,$$

în mod evident (stările staționare au parități bine definite spre deosebire de superpoziția de stări).

Să reprezentăm starea descrisă de funcția de undă (1.150) prin vectorul coloană

$$|\psi\rangle_t = \begin{bmatrix} a(t) \\ b(t) \end{bmatrix} \quad (1.155)$$

și să introducem operatorul densitate atomic

$$\rho(t) = |\psi\rangle_t \langle\psi|_t = \begin{bmatrix} a \\ b \end{bmatrix} [a^* \ b^*] = \begin{bmatrix} |a|^2 & ab^* \\ a^*b & |b|^2 \end{bmatrix}. \quad (1.156)$$

Ecuațiile de mișcare (1.152) și (1.153) se scriu matriceal sub forma

$$i \frac{d}{dt} \begin{bmatrix} a \\ b \end{bmatrix} = [H] \begin{bmatrix} a \\ b \end{bmatrix}, \quad (1.157)$$

unde

$$[H] = \begin{bmatrix} \omega_a & 0 \\ 0 & \omega_b \end{bmatrix} + \begin{bmatrix} 0 & V_{ab} \\ V_{ba} & 0 \end{bmatrix} \quad (1.158)$$

astfel încît din (1.156) și (1.158) rezultă pentru operatorul densitate ecuația de mișcare cunoscută

$$i \frac{d\hat{\rho}}{dt} = [\hat{H}, \hat{\rho}]. \quad (1.159)$$

Matricea densitate se poate exprima funcție de matricele lui Pauli sub forma

$$\rho(t) = \frac{1}{2}(\rho_0 I + \mathbf{r}\boldsymbol{\sigma}) = \frac{1}{2} \begin{bmatrix} \rho_0 + r_3 & r_1 - ir_2 \\ r_1 + ir_2 & \rho_0 - r_3 \end{bmatrix} \quad (1.160)$$



de unde ținându-se seama de (1.56) rezultă

$$\rho_0 = |a|^2 + |b|^2 = 1 \quad (1.161)$$

$$r_1 = ab^* + a^*b \quad (1.162)$$

$$r_2 = i(ab^* - a^*b) \quad (1.163)$$

$$r_3 = |a|^2 - |b|^2. \quad (1.164)$$

În mod asemănător, hamiltonianul  $\hat{H}$  al sistemului se exprimă cu ajutorul matricelor lui Pauli astfel

$$\begin{aligned} H &= \frac{1}{2} \begin{bmatrix} 0 & V_1 - iV_2 \\ V_1 + iV_2 & 0 \end{bmatrix} = \\ &= \frac{1}{2} (V_1 \sigma_1 + V_2 \sigma_2 + \omega_0 \sigma_3) \end{aligned} \quad (1.165)$$

unde  $V_1 - iV_2 = 2V_{ab} = 2V_{ba}^*.$  (1.166)

Înlocuind dezvoltările (1.160) și (1.156) în ecuația (1.159) și identificând coeficienții matricelor lui Pauli se obțin egalitățile importante

$$\dot{\rho}_0 = 0 \quad (1.167)$$

$$\dot{r}_1 = V_2 r_3 - \omega_0 r_2 \quad (1.168)$$

$$\dot{r}_2 = \omega_0 r_1 - V_1 r_3 \quad (1.169)$$

$$\dot{r}_3 = V_1 r_2 - V_2 r_1 \quad (1.170)$$

unde  $r_1^2 + r_2^2 + r_3^2 = r_0^2 = 1.$  (1.171)

Dacă definim un vector  $\mathbf{r}$  de componente  $r_1, r_2$  și  $r_3$ , ecuațiile (1.168) – (1.170) se scriu compact sub forma

$$\frac{d\mathbf{r}}{dt} = \boldsymbol{\omega} \times \mathbf{r}, \quad (1.172)$$

unde vectorul  $\boldsymbol{\omega}$  are componentele  $\omega_1 = V_1, \omega_2 = V_2$  și  $\omega_3 = 0$ .

Prin urmare, evoluția în timp a sistemului cu două nivele poate fi descrisă printr-o mișcare de precesie a vectorului unitar  $\mathbf{r}(t)$  în jurul vectorului  $\boldsymbol{\omega}(t)$ . În același timp, ecuația (1.167) exprimă conservarea probabilității.

Din calcul rezultă, totodată, expresiile

$$r_1 = \text{Urm}(\rho \sigma_1) = \langle \sigma_1 \rangle \text{ și } \mathbf{r} = \langle \boldsymbol{\sigma} \rangle \quad (1.173)$$

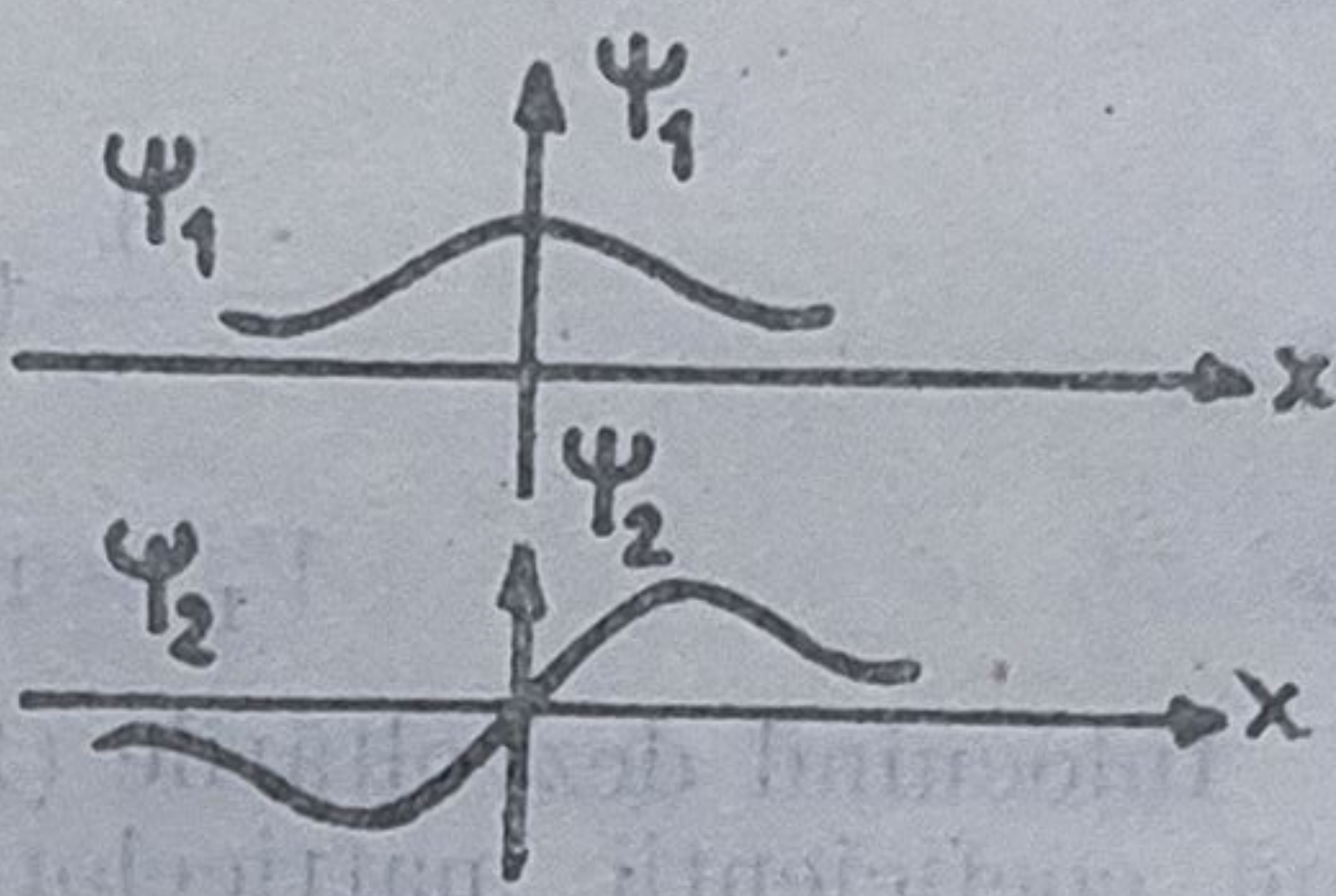
$$H = \frac{1}{2} \boldsymbol{\omega} \boldsymbol{\sigma} \text{ deci } \langle H \rangle = \frac{1}{2} \boldsymbol{\omega} \mathbf{r}. \quad (1.174)$$

Aceste expresii permit evidențierea mai precisă a corespondenței existente între un sistem atomic cu două nivele și un sistem cu spin, ținându-se seama și de analogia dintre ecuațiile (1.144) și (1.172). Se observă că  $\mathbf{r}$  este proporțional cu valoarea medie a momentului magnetic  $\mathbf{m}$ , iar



$\omega$  este proporțional cu inducția magnetică  $\mathbf{B}$ , spațiul matematic al vectorului  $\mathbf{r}$  identificându-se în acest fel cu spațiul fizic. Ca urmare, vectorul  $\mathbf{r}$  se mai numește *pseudospin*. Această analogie a permis, ca o serie de rezultate cunoscute de la studiul rezonanței de spin să fie stabilite și în domeniul optic, după cum se va arăta ulterior la studiul ecoului fonic, superradianței etc. O analiză sistematică a principalelor analogii dintre un sistem atomic și spin este prezentată în lucrarea [80] (tabelul 1.2).

Tabelul 4.2

Analogia	Sisteme cu spin	Pseudo-spin (sisteme cu două nivele)
Specificarea stărilor	$\left\{ \begin{array}{l} \downarrow \quad \varphi \downarrow \\ \uparrow \quad \varphi \uparrow \end{array} \right.$	
Energia	$\left\{ \begin{array}{l} -\frac{1}{2} \hbar \Omega \\ \frac{1}{2} \hbar \Omega \end{array} \right.$	$\begin{array}{l} E_1 \\ E_2 \end{array}$
Superpoziția stărilor	$\varphi = c_1 \varphi \downarrow + c_2 \varphi \uparrow$	$\psi = c_1 \psi_1 + c_2 \psi_2$
Precesia liberă	$\begin{cases} c_1 = a \exp[i\Omega t/2] \\ c_2 = b \exp[i\Omega t/2] \end{cases}$	$\begin{cases} c_1 = a \exp[-i E_1 t/\hbar] \\ c_2 = b \exp[-i E_2 t/\hbar] \end{cases}$
Ecuția de mișcare a valorii medii	$\frac{d}{dt} \langle \mathbf{s} \rangle = m \langle \mathbf{s} \rangle \times \mathbf{B}$	$\frac{d}{dt} \mathbf{r} = \omega \times \mathbf{r}$
Răspunsul la un câmp coerent rezonant	$\left\{ \langle s_x \rangle, \langle s_y \rangle, \langle s_z \rangle \right.$	$r_1, r_2, r_3$
Răspunsul la un impuls $\pi/2$ + un impuls $\pi$	$\left. \begin{array}{l} \text{Ecou de spin} \end{array} \right\} \text{(Comportări identice)}$	Ecou fonic

O abordare mai completă a analogiilor semicuantice evidențiate dintre un sistem atomic cu două nivele și un sistem cu spin este posibilă în teoria cuantică.

### 1.10. Ecuațiile Maxwell-Bloch ale interacției câmp-substanță

Ecuațiile Maxwell-Bloch descriu interacția câmpului electromagnetic cu un mediu atomic cu două nivele (fig. 1.6) situat în interiorul unei cavități Fabry-Pérot (fig. 1.7).



Fie  $\omega$  frecvența cîmpului incident, presupus coerent și  $\omega_c$  frecvența de rezonanță a cavității pasive, astfel încît  $|\omega - \omega_c| \ll \omega$  și  $|\omega - \Omega| \ll \omega$ . Reflectivitatea oglinzilor s-a notat pe figură cu  $R$ , lungimea cavității Fabry-Pérot fiind  $L$ .

În aproximația Wigner-Weisskopf, nivelele energetice au un timp de viață finit, dezexcitarea lor făcîndu-se exponențial, astfel încît funcția de undă dependentă de timp a stării  $|a\rangle$  are forma

$$\psi(\mathbf{r}, t) = \psi_a(\mathbf{r}) \exp \left[ -i \left( \omega_a - i \frac{\gamma_a}{2} \right) t \right]. \quad (1.175)$$

Întrucît

$$|\psi(\mathbf{r}, t)|^2 = \exp(-\gamma_a t) |\psi(\mathbf{r}, 0)|^2 \quad (1.176)$$

rezultă pentru timpul de viață al stării  $|a\rangle$  expresia  $\tau_a = \frac{1}{\gamma_a}$ ,  $\gamma_a$  fiind constanta de relaxare a stării  $|a\rangle$ . Analog, parametrii de dezexcitare ai stării  $|b\rangle$  sînt  $\tau_b$  și  $\gamma_b$ . Întrucît pentru tranzițiile coerente între stările  $|a\rangle$  și  $|b\rangle$  procesele caracterizate de constantele  $\gamma_a$  și  $\gamma_b$  reprezintă pierderi, rezultă că putem descrie sistemul atomic „cuplat” cu „rezervorul de pierderi” prin introducerea fenomenologică a termenilor de amortizare

$$\omega_a \rightarrow \omega_a - i(\gamma_a/2) \quad (1.177)$$

și

$$\omega_b \rightarrow \omega_b - i(\gamma_b/2)$$

în ecuația (1.157)

$$i \frac{d}{dt} \begin{bmatrix} a \\ b \end{bmatrix} = \begin{bmatrix} \omega_a - i(\gamma_a/2) & V_{ab} \\ V_{ab} & \omega_b - i(\gamma_b/2) \end{bmatrix} \begin{bmatrix} a \\ b \end{bmatrix}. \quad (1.178)$$

Definind matricea de amortizare

$$\Gamma = \begin{bmatrix} \gamma_a & 0 \\ 0 & \gamma_b \end{bmatrix} \quad (1.179)$$

și ținîndu-se seama de (1.178), ecuația de mișcare (1.159) pentru operatorul densitate capătă forma

$$\frac{\partial \hat{\rho}(\mathbf{r}, t)}{\partial t} = -\frac{i}{\hbar} [\hat{H}_A - \mathbf{dE}, \hat{\rho}] - \frac{1}{2} [\hat{\Gamma} \hat{\rho} + \hat{\rho} \hat{\Gamma}] \quad (1.180)$$

unde  $\mathbf{d} = e\mathbf{r}$  este momentul de dipol electric. Ținîndu-se seama de procesele care determină relaxarea nivelelor  $|a\rangle$  și  $|b\rangle$  rezultă

$$\gamma_a = \gamma_{\perp} = T_2^{-1} \text{ și } \gamma_b = \gamma_{\parallel} = T_1^{-1}. \quad (1.181)$$

Atomul  $i$  cu două nivele este descris de operatorii de progresie și regresie  $\hat{r}_i^+$ , respectiv  $\hat{r}_i^-$  și de operatorul  $\hat{r}_{3i} = \frac{1}{2} (\hat{r}_i^+ \hat{r}_i^- - \hat{r}_i^- \hat{r}_i^+)$ . Ca

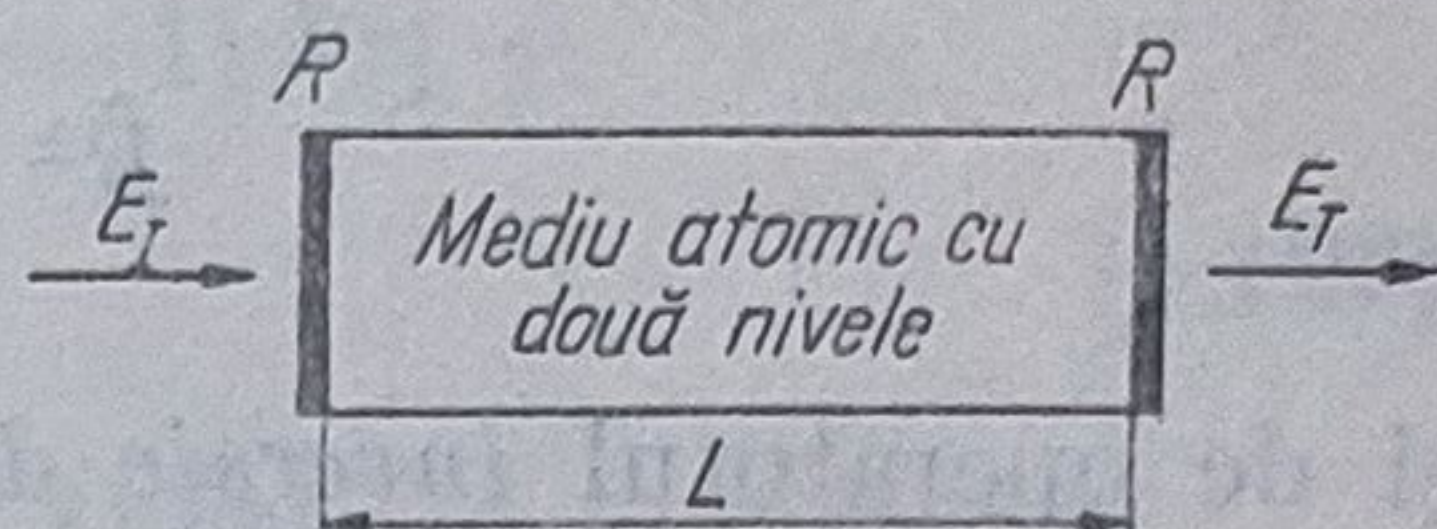


Fig. 1.7



urmăre un colectiv de  $N$  atomi va fi descris de *operatorii de dipol colectiv*  $\hat{R}_{\pm}$  definiți prin

$$\hat{R}^{\pm} = \sum_{i=1}^N \hat{r}_i^{\pm} \exp [\pm i k_0 r_i] \quad (1.182)$$

și de operatorul *inversie de populație*

$$\hat{R}_3 = \sum_{i=1}^N \hat{r}_{3i}. \quad (1.183)$$

În relațiile de mai sus  $k_0$  este vectorul de undă al câmpului injectat, iar  $r_i$  vectorul de poziție al atomului. (Se știe că operatorii  $\hat{R}^{\pm}$  și  $\hat{R}_3$  satisfac relațiile de comutare  $[\hat{R}^+, \hat{R}^-] = 2 \hat{R}_3$ ,  $[\hat{R}_3, \hat{R}^{\pm}] = \pm \hat{R}^{\pm}$ ).

Ținându-se seama de notațiile (1.181) — (1.183), ecuația de mișcare (1.180) este echivalentă cu următorul sistem de ecuații pentru elementele matricei densitate

$$\frac{\partial \hat{\rho}_{21}}{\partial t} = - \left( i\omega_0 + \frac{1}{T_2} \right) \hat{\rho}_{21} + i\hbar^{-1} \mathbf{d} \mathbf{E} \hat{R}_3 \quad (1.184)$$

$$\frac{\partial \hat{R}_3}{\partial t} = 2 i\hbar^{-1} \mathbf{d} \mathbf{E} (\hat{\rho}_{21} - \hat{\rho}_{21}^*) - \frac{\hat{R}_3 + 1}{T_1} \quad (1.185)$$

unde  $\hat{\rho}_{12} = \hat{\rho}_{21}^*$ , iar  $\hat{R}_3 = \hat{\rho}_{22} - \hat{\rho}_{11}$ .

În continuare, ținându-se seama de expresia câmpului electric

$$\mathbf{E} = \mathbf{E}^{(+)}(\mathbf{r}, t) e^{-i\omega t} + \mathbf{E}^{(-)}(\mathbf{r}, t) e^{i\omega t} \quad (1.186)$$

unde  $\mathbf{E}^{(+)} = \mathbf{E}^{(-)*}$ , ecuațiile (1.184) și (1.185) se pot scrie sub forma

$$\frac{\partial \hat{R}^{(\pm)}}{\partial t} = - [i(\omega - \omega_0) + T_2] \hat{R}^{(\pm)} + i \mathbf{d} \mathbf{E}^{(\pm)} \hat{D} \quad (1.187)$$

$$\frac{\partial \hat{D}}{\partial t} = - \frac{\hat{D} + 1}{T_1} + 2 i \mathbf{d} \hbar^{-1} (\mathbf{E}^{(-)} \hat{R}^{(+)} - \mathbf{E}^{(+)} \hat{R}^{(-)}) \quad (1.188)$$

unde s-au introdus notațiile

$$\hat{D}(\mathbf{r}, t) = \hat{R}_3, \text{ conform definiției (1.64);} \quad (1.189)$$

$$\hat{\rho}_{12} = \hat{R}^{(-)}(\mathbf{r}, t) e^{i\omega t}, \quad (1.190)$$

$$\hat{\rho}_{21} = \hat{R}^{(+)}(\mathbf{r}, t) e^{-i\omega t};$$

astfel încît

$$\hat{R}^{(-)} = \hat{R}^{(+)} \quad (1.191)$$

și s-au neglijat (aproximația undei rotitoare) termenii de forma  $e^{2i\omega t}$ . La ecuațiile (1.187) și (1.188) trebuie adăugată ecuația de câmp (în aproximația undelor plane)

$$\frac{\partial^2 \mathbf{E}(z, t)}{\partial z^2} - \frac{1}{c^2} \frac{\partial^2 \mathbf{E}(z, t)}{\partial t^2} = \mu_0 \frac{\partial^2 \mathbf{P}(z, t)}{\partial t^2} \quad (1.192)$$

astfel că polarizarea macroscopică se comportă ca o sursă de câmp.



În cele ce urmează se admit pentru mărimile  $E^{(+)}(z, t)$ ,  $\hat{R}^{(+)}(z, t)$  și  $\hat{D}(z, t)$  din cavitatea Fabry-Pérot dezvoltările [235]:

$$E^{(+)}(z, t) = \sum_{m=1}^{\infty} E_m(z, t) \exp[i(2m-1)kz] + \sum_{m=-1}^{-\infty} E_m(z, t) \exp[i(2m+1)kz] \quad (1.193)$$

$$P(z, t) = \sum_{m=1}^{\infty} P_m(z, t) \exp[i(2m-1)kz] + \sum_{m=-1}^{-\infty} P_m(z, t) \exp[i(2m+1)kz] \quad (1.194)$$

$$\hat{D}(z, t) = \hat{D}_0(z, t) + \sum_{m=1}^{\infty} \hat{D}_m(z, t) \exp(i2mkz) + \text{c.c.}, \quad (1.195)$$

care permit luarea în considerare a efectului undelor staționare din cavitate. (Forma acestor dezvoltări se obține cu ajutorul teoriei perturbațiilor (Anexa 3).

În continuare, se trunchiază dezvoltările (1.193) — (1.195) sub forma

$$E^+(z, t) = E_+(z, t) e^{ikz} + E_-(z, t) e^{-ikz} \quad (1.196)$$

$$P^+(z, t) = P_+(z, t) e^{ikz} + P_-(z, t) e^{-ikz} \quad (1.197)$$

respectiv

$$\hat{D}(z, t) = \hat{D}_0(z, t) + \hat{D}_1(z, t) e^{2ikz} + \text{c.c.} \quad (1.198)$$

unde s-au introdus notațiile

$$E_+(z, t) = E_1(z, t), \quad E_-(z, t) = E_{-1}(z, t)$$

$$P_+(z, t) = P_1(z, t) \text{ și } P_-(z, t) = P_{-1}(z, t).$$

Aceste trunchieri sînt posibile ca urmare a faptului că pentru  $|m| > 1$  amplitudinile sînt neglijabile, după cum se poate verifica [95]. În plus, se fac aproximațiile de amplitudini lent variabile sub forma

$$\left| \frac{\partial E_+}{\partial z} \right| \ll \frac{|E_+|}{k} \text{ și } \left| \frac{\partial E_+}{\partial t} \right| \ll \frac{|E_+|}{\omega} \quad (1.199)$$

și se ține și de mișcarea termică a atomilor prin intermediul distribuției gaussiene

$$g(u) du = \frac{1}{\sqrt{\pi} \sigma} \exp[-(u/\sigma)^2] du \quad (1.200)$$

unde  $u$  este viteza după direcția  $z$ , a atomilor.



Cu aceste observații, ecuațiile (1.187), (1.188) și (1.192) se transformă astfel [82]:

$$\frac{\partial P_+}{\partial t} = - \left[ \frac{1}{T_2} - i(\Delta + u') \right] P_+ + \frac{id}{h} (E_+^* D_0 + E_-^* D_1) \quad (1.201)$$

$$\frac{\partial P_-}{\partial t} = - \left[ \frac{1}{T_2} - i(\Delta - u') \right] P_- + \frac{id}{h} (E_-^* D_0 + E_+^* D_1) \quad (1.202)$$

$$\frac{\partial D_0}{\partial t} = - \frac{D_0 + 1}{T_1} + \frac{id}{2h} (E_+^* P_+ + E_-^* P_- - \text{c.c.}) \quad (1.203)$$

$$\frac{\partial D_1}{\partial t} = \frac{D_1}{T_1} + \frac{id}{4h} [(1 - i) E_+^* P_- + (1 + i) E_-^* P_+ - \text{c.c.}] \quad (1.204)$$

$$\frac{\partial E_{+(-)}}{c \partial t} \pm \frac{\partial E_{+(-)}}{\partial z} = ig \int_{-\infty}^{+\infty} P_{+(-)}^* g(u') du' \quad (1.205)$$

cunoscute sub numele de *ecuațiile Maxwell-Bloch*. S-a notat  $u' = \frac{u}{T_2}$  iar  $\Delta$  este dezacordul atomic, expresia coeficientului  $g$  fiind evidentă ( $g = \frac{\omega_0 d N}{c \varepsilon}$ ,  $N$  fiind concentrația atomilor).

Sistemul de ecuații (1.201) – (1.205) trebuie completat cu condițiile la limită care reflectă conservarea componentelor tangențiale ale câmpurilor pe oglinzile cavității

$$E_+(L, t) = \sqrt{R} E_-(L, t) e^{-i\theta} + \sqrt{1 - R} E_I(t) \quad (1.206)$$

$$E_R(t) = -\sqrt{R} E_I(t) + \sqrt{1 - R} E_-(L, t) e^{i\theta} \quad (1.207)$$

$$E_-(0, t) = \sqrt{R} E_+(0, t) \quad (1.208)$$

$$E_T(t) = \sqrt{1 - R} E_+(0, t) \quad (1.209)$$

unde  $E_I$  este câmpul incident,  $E_T$  – câmpul transmis,  $E_R$  – câmpul reflectat iar  $\theta = \frac{\omega_c - \Omega}{v}$  (unde  $v = c/2L$ ) este dezacordul cavității.

În condițiile în care  $\sigma = \Delta = \theta = 0$ , ecuațiile Maxwell-Bloch se scriu sub formă simplificată, în care toate mărimile sînt reale, astfel

$$\frac{\partial P_+}{\partial t} = - \frac{P_+}{T_2} + \frac{d}{h} (E_+ D_0 + E_- D_1) \quad (1.210)$$

$$\frac{\partial P_-}{\partial t} = - \frac{P_-}{T_2} + \frac{d}{h} (E_- D_0 + E_+ D_1) \quad (1.211)$$

$$\frac{\partial D_0}{\partial t} = - \frac{D_0 + 1}{T_1} - \frac{d}{h} (E_+ P_+ + E_- P_-) \quad (1.212)$$



$$\frac{\partial D_1}{\partial t} = -\frac{D_1}{T_1} - \frac{d}{\hbar} (E_+ P_- + E_- P_+) \quad (1.213)$$

$$\frac{1}{c} \frac{\partial E_+}{\partial t} + \frac{\partial E_+}{\partial z} = g P_+ \quad (1.214)$$

$$\frac{1}{c} \frac{\partial E_-}{\partial t} - \frac{\partial E_-}{\partial z} = g P_- \quad (1.215)$$

O formă deosebit de utilă a acestor ecuații se obține în *aproximația câmpului mediu*, introdusă de Bonifacio și Lugiato [90] prin următoarele ipoteze :

a) variabilele din cavitate pot fi mediate spațial peste lungimea cavității, astfel încît

$$\tilde{F}(z, t) = \frac{1}{L} \int_0^L F(z, t) dz = F(t); \quad (1.216)$$

b) un produs de două variabile se mediază spațial sub forma

$$\widetilde{F(z, t) G(z, t)} = \widetilde{F(z, t)} \widetilde{G(z, t)} = F(t) G(t); \quad (1.217)$$

$$c) \quad \tilde{P}_+ = \tilde{P}_- = P \text{ și } \tilde{E}_+ = \tilde{E}_- = E. \quad (1.218)$$

În aproximația câmpului mediu ecuațiile Maxwell-Bloch (1.210) — (1.215) capătă forma standard pentru studiul bistabilității optice

$$\frac{\partial P}{\partial t} + \frac{P}{T_2} = \frac{d}{\hbar} ED \quad (1.219)$$

$$\frac{\partial D}{\partial t} + \frac{D+1}{T_1} = \frac{d}{\hbar} EP \quad (1.220)$$

$$\frac{\partial E}{\partial t} + \frac{E - E_r \sqrt{T}}{\tau_c} = qP \quad (1.221)$$

unde  $D(t) = \tilde{D}_0 + \tilde{D}_1$ .

*Observație.* Sistemul de ecuații Maxwell-Bloch sub forma (1.219) — (1.221) poate fi stabilit și pe altă cale utilizându-se ecuațiile de mișcare pentru tranzițiile de dipol electric ale lui Pantell [12].

### 1.11. Tratarea cuantică a interacției câmp-substanță

În general, hamiltonianul unui sistem atomic aflat în prezența radiației are forma

$$\hat{H} = \hat{H}_E + \hat{H}_R + \hat{H}_I \quad (1.222)$$



unde  $\hat{H}_E$  este hamiltonianul atomic,  $\hat{H}_R$  este hamiltonianul câmpului de radiație, iar  $\hat{H}_I$  hamiltonianul de interacție. Hamiltonianul cuantic al câmpului de radiație are expresia (Anexa 2)

$$\hat{H}_R = \sum_k \hbar \omega_k \left( \hat{a}_k^\dagger \hat{a}_k + \frac{1}{2} \right) \quad (1.223)$$

unde  $\hat{a}_k^\dagger$  și  $\hat{a}_k$  sînt operatorii de creare și anihilare.

În cele ce urmează se vor exprima funcție de operatorii de creare și anihilare (cuantificarea a doua) și ceilalți termeni ai hamiltonianului,  $\hat{H}_E$  și  $\hat{H}_I$ . Teoria cuantificării a doua a hamiltonianului atomic este prezentată în Anexa 2.

O altă metodă directă folosită în acest scop utilizează ecuația cu vectorii proprii și valori proprii a lui  $\hat{H}_E$

$$\hat{H}_E |u_r\rangle = \hbar \omega_r |u_r\rangle \quad (1.224)$$

vectorii  $|u_r\rangle$  satisfăcînd condiția de ortonormare și închidere

$$\sum_r |u_r\rangle \langle u_r| = 1. \quad (1.225)$$

Pe baza relațiilor (1.224) și (1.225) hamiltonianul  $\hat{H}_E$  se poate exprima sub forma

$$\hat{H}_E = \sum_r |u_r\rangle \langle u_r| \hat{H}_E \sum_s |u_s\rangle \langle u_s| = \sum_r \hbar \omega_r |u_r\rangle \langle u_r|. \quad (1.226)$$

Pe de altă parte, întrucît se poate scrie

$$|u_r\rangle \langle u_s| u_n\rangle = |u_r\rangle \delta_{sn} \quad (1.227)$$

rezultă că operatorul  $|u_r\rangle \langle u_s|$  anihilează starea atomică  $|u_s\rangle$  și crează starea atomică  $|u_r\rangle$ .

În continuare este util să se definească operatorii de creare și anihilare  $\hat{b}_r^\dagger$  și  $\hat{b}_r$  ai stărilor atomice prin analogie cu operatorii  $\hat{a}_k^\dagger$  și  $\hat{a}_k$  ai câmpului și avînd aceleași proprietăți, prin corespondența

$$\hat{b}_r^\dagger \hat{b}_s \leftrightarrow |u_r\rangle \langle u_s| \quad (1.228)$$

astfel încît se pot scrie ecuațiile

$$\hat{H}_E = \sum_r \hbar \omega_r \hat{b}_r^\dagger \hat{b}_r \quad (1.229)$$

și

$$\hat{b}_r^\dagger \hat{b}_s |u_n\rangle = |u_r\rangle \delta_{sn}. \quad (1.230)$$

(Utilizarea notațiilor  $\hat{b}_r^\dagger$ ,  $\hat{b}_r$  diferite de  $\hat{a}_k^\dagger$ ,  $\hat{a}_k$  a fost impusă de prezența hamiltonianului de interacție  $\hat{H}_I$  în care trebuie să intervină ambele tipuri de operatori). Pentru evaluarea hamiltonianului de interacție, în aproximația de dipol electric, se scrie acesta sub forma

$$\hat{H}_{ED} = e \sum_k \hat{\mathbf{r}}_k \mathbf{E}_T(0) = e \hat{\mathbf{D}} \mathbf{E}_T(0) \quad (1.231)$$

unde  $e \mathbf{D} = \sum_k e \mathbf{r}_k$  este momentul de dipol atomic (cele  $Z$  sarcini negative

$-e$  sînt poziționate în punctele  $\mathbf{r}_k$ ), iar  $\mathbf{E}_T = -\frac{\partial \mathbf{A}}{\partial t}$ ,  $\mathbf{A}$  fiind potențialul



vector (cealaltă componentă a câmpului electric)  $\mathbf{E}_L$  satisface ecuația  $\mathbf{E}_L = -\Delta V$ ,  $V$  fiind potențialul scalar al undei).

Prin urmare, ținându-se seama de (1.228) se obține succesiv

$$\begin{aligned}\hat{\mathbf{D}} &= \sum_r |u_r\rangle \langle u_r| \hat{\mathbf{D}} \sum_s |u_s\rangle \langle u_s| = \\ &= \sum_{rs} \mathbf{D}_{rs} |u_r\rangle \langle u_s| = \sum_{rs} \mathbf{D}_{rs} \hat{b}_r^+ \hat{b}_s\end{aligned}\quad (1.232)$$

unde  $\mathbf{D}_{rs} = \langle u_r | \hat{\mathbf{D}} | u_s \rangle$  este elementul de matrice al momentului de dipol atomic. Dacă se ține seama de expresia cuantificată a lui  $\mathbf{E}_T(0)$  și de rezultatele (1.232), expresia (1.231) a lui  $\hat{H}_{DE}$  se pune sub forma

$$\hat{H}_{DE} = i \sum_k \mathcal{D}_k \hbar (a_k e^{-i\omega_k t} - a_k^+ e^{i\omega_k t}) (\hat{b}_r^+ \hat{b}_s + \hat{b}_s^+ \hat{b}_r) \quad (1.233)$$

unde  $\mathcal{D}_k \hbar = e \sqrt{(\hbar \omega_k / 2 \epsilon_0 V)} \epsilon_k \mathbf{D}_{rs}$ , iar indicii  $r$  și  $s$  se referă la o pereche particulară de stări atomice  $|r\rangle$  și  $|s\rangle$ .

Cei patru termeni din expresia (1.233) pun în evidență tipurile de interacție permise, de dipol electric, conform tabelului 1.3.

Tabelul 1.3

Forma termenului	Diagrama de interacție ← Stări finale ( $\hbar\omega_s > \hbar\omega_r$ ) Stări inițiale →	Descrierea interacției
$\hat{a}_k \hat{b}_s^+ \hat{b}_r$		Excitarea atomului prin absorția unui foton din starea $ r\rangle$ în starea $ s\rangle$
$\hat{a}_k^+ \hat{b}_r^+ \hat{b}_s$		Dezexcitarea atomului prin emisia unui foton din starea $ s\rangle$ în starea $ r\rangle$
$\hat{a}_k \hat{b}_r^+ \hat{b}_s$		Procese radiative de ordin superior
$\hat{a}_k^+ \hat{b}_s^+ \hat{b}_r$		



Expresia (1.233) a hamiltonianului de interacție poate fi utilizată pentru evaluarea ratelor de tranziție  $|r\rangle \rightleftharpoons |s\rangle$  prin absorbția și emisia de fotoni, cu considerarea riguroasă a emisiei spontane, problemă nerezolvată satisfăcător de teoria semicuantică.

În acest scop ne vom referi la atomul aflat în starea  $|r\rangle$ , în prezența radiației caracterizată de  $n_k$  fotoni în modul  $k$ , sistemul global fiind astfel în starea  $|n_k, r\rangle$ . Elementele de matrice

$$\langle n_k - 1, s | \hat{H}_{DE} | n_k, r \rangle = -i\hbar \mathcal{D}_k \sqrt{n_k} e^{-i\omega_k t} \quad (1.234)$$

$$\langle n_k + 1, r | \hat{H}_{DE} | n_k, s \rangle = -i\hbar \mathcal{D}_k \sqrt{n_k + 1} e^{i\omega_k t} \quad (1.235)$$

descriu procesele de absorbție, respectiv de emisie (starea inițială este în dreapta hamiltonianului). Pentru calculul probabilităților de tranziție, în procesele de mai sus, se utilizează teoria perturbațiilor dependente de timp dezvoltată în Anexa 3.

Astfel, dacă se evaluează probabilitățile pentru tranzițiile  $|r\rangle \rightleftharpoons |s\rangle$  se obține

$$P_{rs} = 2\pi \mathcal{D}_k^2 n_k t \delta(\Omega - \omega_k) \quad (1.236)$$

respectiv

$$P_{sr} = 2\pi \mathcal{D}_k^2 (n_k + 1) t \delta(\Omega - \omega_k), \quad (1.237)$$

adică rata de absorbție este proporțională cu  $n_k$  pe cînd rata de emisie este proporțională cu  $(n_k + 1)$ , unde indicele  $k$  specifică vectorul de undă al fotonului, care participă la interacție, iar unitatea din expresia  $(n_k + 1)$  descrie emisie spontană.

Spre deosebire de absorbție și emisia indusă, emisia spontană se produce în absența radiației, vectorul de undă al fotonului emis avînd o orientare arbitrară.

Pentru *timpul de viață radiativ*  $\tau_R$  definit ca inversul ratei de tranziție, se obține expresia

$$\frac{1}{\tau_R} = A_{sr} = e^2 \omega_0^3 |D_{rs}|^2 / 3\pi \epsilon_0 \hbar c^3 \quad (1.238)$$

unde  $A_{sr}$  este coeficientul lui Einstein pentru emisia spontană.

O altă posibilitate oferită de teoria cuantică o reprezintă calculul susceptibilității atomice. În acest scop, se trece de la ecuația de undă „mixtă”

$$(\hat{H}_E + \hat{H}_{DE}(t)) \psi(t) = i\hbar \frac{\partial \psi}{\partial t} \quad (1.239)$$

în care descrierea este de tip Schrödinger pentru partea atomică și de tip Heisenberg pentru partea radiativă, la ecuația de tip Schrödinger pentru întregul sistem, simetrică în partea atomică și radiativă

$$(\hat{H}_E + \hat{H}_R + \hat{H}_{DE}) \Phi(t) = i\hbar \frac{\partial \Phi(t)}{\partial t} \quad (1.240)$$

după regulile cunoscute, unde

$$\Phi(t) = \exp \left[ -\frac{i}{\hbar} \hat{H}_R(t) \right] \psi(t). \quad (1.241)$$



Dacă ne referim în continuare, la un sistem atomic cu două stări  $|r\rangle$  și  $|s\rangle$ ,  $\Omega$  fiind frecvența de tranziție corespunzătoare, este utilă pentru descrierea interacției, introducerea operatorilor de tranziție  $\hat{\pi}^+$  și  $\hat{\pi}$  definiți prin relațiile

$$\hat{\pi}^+ = \hat{b}_s^+ \hat{b}_r = |s\rangle\langle r| \text{ (operatorul de excitare)} \quad (1.142)$$

respectiv

$$\hat{\pi} = \hat{b}_r^+ \hat{b}_s = |r\rangle\langle s| \text{ (operatorul de dezexcitare)} \quad (1.243)$$

astfel încît

$$\hat{\pi}^+ \hat{\pi} = \hat{b}_s^+ \hat{b}_s \text{ și } \hat{\pi} \hat{\pi}^+ = \hat{b}_r^+ \hat{b}_r. \quad (1.244)$$

Cu ajutorul acestor operatori hamiltonianul sistemului se scrie sub forma

$$\hat{H} = \hbar\Omega\hat{\pi}^+\hat{\pi} + \sum_k \hbar\omega_k \hat{a}_k^+ \hat{a}_k + \quad (1.245)$$

$$+ i \sum_k \hbar\mathcal{D}_k(\hat{a}_k - \hat{a}_k^+)(\hat{\pi}^+ + \hat{\pi}).$$

Expresia (1.245) se poate simplifica și mai mult dacă se rețin în hamiltonianul de interacție numai termenii care corespund proceselor de excitare-dezexcitare a atomului în tranzițiile  $|r\rangle \rightleftharpoons |s\rangle$  (tabelul 1.3), adică

$$\hat{H}_{DE} = i \sum_k \hbar\mathcal{D}_k(\hat{\pi}^+ \hat{a}_k - \hat{a}_k^+ \hat{\pi}). \quad (1.246)$$

Pentru calculul dependenței de frecvență a susceptibilității se consideră modelul unui atom plasat într-o cavitate închisă, astfel încît stările proprii  $|z\rangle$  ale sistemului cuplat atom-radiație sînt mixturi ale stării atomice excitate și modurile cavității.

Ca urmare, în loc de a se mai atașa constante de timp de amortizare pentru stările atomice excitate ca în teoria semicuantică, se consideră interacția radiației incidente cu un număr mare de stări neamortizate, fiecare dintre acestea fiind o superpoziție a stării atomice excitate cu un anumit mod al cavității. Un calcul detaliat conform acestei metode pentru calculul susceptibilității atomice este prezentat în lucrarea [86]. Se obține expresia

$$\chi(\omega) = \frac{Ne^2 |\mathbf{D}_{12}|^2}{3\epsilon_0 \hbar V} \left\{ \frac{1}{\Omega - \omega - \sum_k \mathcal{D}_k^2/(\omega_k - \omega)} + \frac{1}{\Omega + \omega - \sum_k \mathcal{D}_k^2/(\omega_k + \omega)} \right\} \quad (1.247)$$

în care nu mai apare ca în teoria semicuantică parametrul fenomenologic  $\gamma$ .

O altă formă a expresiei (1.247) care pune în evidență caracterul lorentzian al liniei spectrale este următoarea

$$\chi(\omega) = \frac{Ne^2 |\mathbf{D}_{12}|^2}{3\epsilon_0 \hbar V} \frac{1}{\Omega - \omega - \Delta(\omega) - i\gamma(\omega)} + \frac{1}{\Omega + \omega - \Delta(-\omega) + i\gamma(-\omega)} \quad (1.248)$$



Se remarcă pe lângă rezultatul semicuantic, apariția unei deplasări  $\Delta(\omega)$  a frecvenței și un parametru  $\gamma(\omega)$ , corespunzător parametrului fenomenologic  $\gamma$  (dependența de frecvență a lui  $\gamma(\omega)$  determină o distorsionare slabă a liniei lorentziene).

Calculul cantității  $\Delta(\omega)$  se reduce la evaluarea unei integrale divergente, dificultate înlăturată de Bethe printr-un procedeu de renormalizare a masei electronului care interacționează cu câmpul electromagnetic [85].

În ceea ce privește parametrul  $\gamma(\omega)$ , se poate considera aproximativ  $\gamma(\omega) \simeq \gamma(\Omega)$ , astfel că  $\tau_R = \frac{1}{2\gamma(\Omega)}$ , rezultat cunoscut din teoria semicuantică.

Metoda poate fi extinsă pentru evaluarea susceptibilității atomilor cu mai multe nivele excitate, accesibile din starea fundamentală prin tranziții de dipol electric (de exemplu, un gaz atomic).

## 1.12. Procesele de disipare și fluctuațiile

Pe lângă tranzițiile care prezintă interes, în studiul interacției radiației cu atomii trebuie luat în considerare și efectul celorlalte sisteme cu care interacționează atomii și câmpul de radiație, care constituie *rezervoarele sau termostatele*. Astfel atomii sînt influențați de pompaj, vibrațiile rețelei, ciocnirile atomice, radiația incoerentă etc.

De asemenea, câmpul de radiație este influențat de centrii de împrăștiere, reflexia pe oglinzi în cazul cavităților optice rezonante și alți factori. Toate aceste sisteme au caracteristicile unor termostate.

Acțiunea termostatelor asupra atomilor și câmpului este aleatoare, determinînd procesele de disipare și fluctuațiile acestora, care se comportă astfel ca particule browniene, mediul de mișcare al acestora fiind constituit de către termostate.

Formalismele tipice pentru studiul proceselor de disipație și fluctuațiilor sînt cele ale ecuațiilor Langevin, Fokker-Planck, precum și cel al matricei densitate.

### 1.12.1. Ecuația master și ecuația Fokker-Planck

Fie un sistem descris prin mai multe variabile aleatoare discrete reprezentate prin vectorul  $\mathbf{m}$  (de exemplu, o particulă care se mișcă în rețeaua cristalină) și  $P(\mathbf{m}, t)$  probabilitatea ca la momentul  $t$  sistemul să fie în punctul  $\mathbf{m}$ . Ca urmare a tranzițiilor pe care sistemul poate să le sufere din punctul  $\mathbf{m}$  în  $\mathbf{m}'$  și invers din  $\mathbf{m}'$  în  $\mathbf{m}$ , se poate scrie ecuația generală

$$\frac{dP(\mathbf{m}, t)}{dt} = \sum_{\mathbf{m}'} w(\mathbf{m}, \mathbf{m}') P(\mathbf{m}', t) - P(\mathbf{m}, t) \sum_{\mathbf{m}'} w(\mathbf{m}', \mathbf{m}) \quad (1.249)$$

unde  $w(\mathbf{m}, \mathbf{m}')$  este rata de tranziție din punctul  $\mathbf{m}'$  în  $\mathbf{m}$ , iar  $w(\mathbf{m}', \mathbf{m})$  rata de tranziție din  $\mathbf{m}$  în  $\mathbf{m}'$ , însumarea făcîndu-se peste toate punctele  $\mathbf{m}'$ .

Ecuația (1.249) se numește *ecuația master*. Utilizarea sa este condiționată de determinarea explicită a ratelor de tranziție  $w$ , care face apel



la metodele fizicii statistice. Pentru regim staționar, ecuația (1.249) exprimă *principiul echilibrului detaliat sau principiul microreversibilității*. Se observă că ecuația master este echivalentă cu un set de ecuații diferențiale de ordinul întâi, care se pot reduce în anumite condiții la un sistem de ecuații algebrice.

Dacă se înlocuiește  $m$  (în cazul unei singure variabile) cu variabila continuă  $x$ , unde  $m = x/a$  ( $a \rightarrow 0$ ), astfel încât

$$P(m, t) \Delta m = f(x, t) \Delta x \quad (1.250)$$

și se notează cu  $\tau$  durata tranziției  $m \rightarrow m'$  (dintre două evenimente succesive) ( $\Delta x / \Delta m = a$ ), ecuația (1.249) se scrie după o serie de transformări sub forma

$$\frac{df(x, t)}{dt} = \frac{1}{2} Q \frac{d^2 f(x, t)}{dx^2} \quad (1.251)$$

numită *ecuația difuziei* ( $Q = a^2 / \tau$ ) și reprezintă sub o formă simplă *ecuația Fokker-Planck*,  $Q$  fiind un coeficient de difuzie. Se observă că funcția  $f(x, t)$  are semnificația unei densități de probabilitate.

### 1.12.2. Ecuațiile Langevin și Fokker-Planck clasice

a) *Ecuațiile Langevin*. Se știe că mișcarea unei particule browniene este descrisă de ecuația

$$\frac{d}{dt} \mathbf{v} = -\gamma \mathbf{v} + \mathbf{F}(t) + \mathbf{\Gamma}(t) \quad (1.252)$$

unde  $\mathbf{F}_r = -\gamma \mathbf{v}$  este forța de frecare care determină amortizarea mișcării,  $\mathbf{F}(t)$  este o forță externă dată, iar  $\mathbf{\Gamma}(t)$  este o forță aleatoare (forța Langevin).

Forțele  $\mathbf{F}_r$  și  $\mathbf{\Gamma}(t)$ , care descriu efectul rezervorului asupra particulei, imprimă mărimii  $\mathbf{v}$  un caracter aleator, având proprietăți statistice care pot fi determinate dacă sînt cunoscute cele ale lui  $\mathbf{\Gamma}(t)$ .

Întrucît acțiunea forței  $\mathbf{\Gamma}(t)$  se exercită într-un interval care tinde la zero, aceasta poate fi reprezentată satisfăcător cu ajutorul funcției  $\delta$  a lui Dirac

$$\mathbf{\Gamma}(t) = \alpha \sum \delta(t - t_i) (\pm 1)_i \quad (1.253)$$

simbolul  $(\pm 1)_i$  specificînd cele două direcții posibile de mișcare în urma interacțiilor care au loc la momentele  $t_i$ .

Ecuația (1.252) poate fi generalizată sub forma

$$\frac{du_i}{dt} = \sum_j F_{ij}(u) u_j + \Gamma_i(t) \quad (1.254)$$

unde  $u = (u_1(\tau) \dots u_n(\tau))$  reprezintă un set de mărimi fizice, iar  $F_{ij}$  sînt forțe care descriu atît procesele de relaxare, cît și forțele externe. Ecuațiile (1.252) și (1.254) sînt cunoscute sub numele de *ecuații Langevin clasice*.



În numeroase probleme de interes, funcția de corelație a forței aleatoare  $\Gamma(t)$  are forma

$$\langle \Gamma_i(t) \Gamma_j(t') \rangle = Q_{ij} \delta(t - t'). \quad (1.255)$$

Procese care au o astfel de proprietate se numesc *proces Markov* și sînt caracterizate de o „memorie” a rezervorului mult mai mică decît celelalte constante de timp ale sistemului. Mărimea  $Q_{ij}$  în ecuația (1.255) este o măsură a intensității fluctuațiilor, numită *tăria forței Langevin*.

Din calculul mediei statistice, pentru cazul mișcării browniene,

$$\langle u(t) u(t') \rangle = \frac{Q}{2\gamma} \exp [-\gamma(t - t')] \quad (1.256)$$

se poate evalua factorul  $Q$  pentru care se obține

$$Q = 2\gamma kT/m^2 \quad (1.257)$$

unde  $m$  este masa particulei browniene. Din ecuația (1.256) mai rezultă că variabila  $u(t)$  își pierde memoria după un interval de timp  $\Delta t = 1/\gamma$ .

Relația (1.257) exprimă sub o formă simplă *teorema fluctuație-disipare*, și permite aprecierea mărimii fluctuațiilor pe baza mărimii disipării.

Prin generalizarea ecuației (1.256) se pot defini funcțiile de corelație de ordin superior ale variabilei  $u(t)$

$$\langle u(t_n) u(t_{n-1}) \dots u(t_1) \rangle$$

care implică calculul unor funcții de corelație de tipul ecuației (1.255) de același ordin  $\langle \Gamma(\tau_n) \Gamma(\tau_{n-1}) \dots \Gamma(\tau_1) \rangle$ ; calculul acestor medii presupune ipoteze adiționale asupra funcției  $\Gamma(t)$ , de exemplu, distribuția gaussiană a acesteia [80].

Trebuie observat, de asemenea, că introducerea forțelor de frecare  $(-\gamma v)$  prezintă o serie de dificultăți legate de faptul că ecuațiile microscopice de mișcare sînt invariante la inversarea timpului, pe cînd forțele de frecare violează această invarianță.

În acest sens, se arată că pot fi cunoscute și utilizate valorile inițiale ale oscilatorilor rezervorului numai în sens statistic. Prin urmare, obținerea ecuațiilor Langevin depășește cadrul pur mecanic obișnuit.

b) *Ecuația Fokker-Planck*. În ecuația Langevin (1.252) variabila  $v$  are un caracter aleator imprimat de forța  $\Gamma(t)$  astfel încît se poate vorbi de o funcție de distribuție a acestei variabile  $f(v, t)$ , care reprezintă probabilitatea ca la momentul  $t$  viteza particulei să fie cuprinsă în intervalul  $v$  și  $v + dv$ . Se poate arăta că funcția de distribuție  $f(v, t)$  satisface ecuația

$$\frac{\partial}{\partial t} f = \left[ \frac{\partial}{\partial v} \gamma v + \frac{Q}{2} \frac{\partial^2}{\partial v^2} \right] f \quad (1.258)$$

numită *ecuația Fokker-Planck*. Factorul  $\gamma v$  se numește *coeficient de drift* iar factorul  $Q$  *coeficient de difuzie*. Soluția de regim staționar a ecuației (1.258) este, așa cum era de așteptat, funcția de distribuție maxwelliană a vitezelor.



Ecuatia (1.258) poate fi generalizată pentru variabilele aleatoare  $u_i$  descrise de funcția de distribuție  $f(u, t)$ , în cazul proceselor Markov, sub forma [81]

$$\frac{\partial f(u, t)}{\partial t} = - \sum_i \frac{\partial}{\partial u_i} (G_i(u) f) + \frac{1}{2} \sum_{i,j} \frac{\partial^2 (Q_{ij}(u) f)}{\partial u_i \partial u_j} \quad (1.259)$$

unde

$$G_i(u) = \lim_{t \rightarrow 0} \frac{1}{t} \langle u_i(t) - u_i(0) \rangle \quad (1.260)$$

și

$$Q_{ij}(u) = \lim_{t \rightarrow 0} \frac{1}{t} \langle (u_i(t) - u_i(0))(u_j(t) - u_j(0)) \rangle \quad (1.261)$$

sînt coeficienți de drift, respectiv, de difuzie generalizați.

Stabilirea ecuației Fokker-Planck pentru mișcarea browniană a unei particule descrisă de variabila  $q$  utilizează funcția de distribuție  $P(q, t)$ , care pentru traseul  $i$  (între două interacții) are forma

$$P_i(q, t) = \delta(q - q_i(t)) \quad (1.262)$$

astfel încît

$$f(q, t) = \langle P(q, t) \rangle = \langle \delta(q - q(t)) \rangle \quad (1.263)$$

unde  $f dq$  reprezintă probabilitatea la care momentul  $t$ , particula să fie în intervalul  $dq$  în jurul lui  $q$ .

Pentru stabilirea ecuației diferențiale a funcției  $f(q, t)$  se calculează expresia

$$\frac{\Delta f(q, t)}{\Delta t} = \frac{f(q, t + \Delta t) - f(q, t)}{\Delta t} \quad (1.264)$$

ținîndu-se seama că variabila  $q$  satisface ecuația de mișcare Langevin.

Prin dezvoltarea în serie în jurul lui  $\Delta q(t) = q(t + \Delta t) - q(t)$  și limitarea la termenii de ordinul al doilea în  $\Delta q$  se obține

$$\frac{\Delta f(q, t)}{\Delta t} = \frac{1}{\Delta t} \left\langle - \frac{d}{dq} \delta(q - q(t)) \Delta q(t) \right\rangle + \frac{1}{2} \left\langle \frac{d^2}{dq^2} \delta(q - q(t)) (\Delta q(t))^2 \right\rangle. \quad (1.265)$$

Prin evaluarea celor doi termeni din membrul drept ținînd seama de condiția (1.255) și trecere la limită, pentru  $\Delta t \rightarrow 0$  rezultă ecuația Fokker-Planck

$$\frac{df}{dt} = \frac{d}{dq} (\gamma q f) + \frac{1}{2} Q \frac{d^2}{dq^2} f \quad (1.266)$$

de forma (1.258) sau (1.259).

*Observații. 1.* Se poate arăta că pentru o distribuție gaussiană a forțelor Langevin, ecuația Fokker-Planck (1.266) este exactă evitîndu-se aproximațiile introduse de dezvoltarea în serie a funcției  $f(q, t)$ .

*2.* Dacă se definește curenul de probabilitate

$$j = \gamma q f - \frac{1}{2} Q \frac{df}{dq},$$



ecuația Fokker-Planck (4.266) se reduce la ecuația de continuitate a funcției de distribuție

$$\dot{f} + \frac{d}{dq} j = 0.$$

### 1.12.3. Ecuațiile Langevin cuantice și ecuațiile matricei densitate

Tratarea cuantică a proceselor de disipare și a fluctuațiilor prezintă o serie de particularități în raport cu descrierea clasică a acestor fenomene, nefiind posibilă o simplă transpunere a ecuațiilor în limbaj cuantic.

În principiu, pot fi utilizate ecuațiile de mișcare Heisenberg pentru operatori, cărora li se atașează termeni care să ia în considerare procesele de disipare și fluctuațiile, în condițiile: valorile medii ale operatorilor trebuie să verifice ecuațiile clasice corespunzătoare; forțele aleatoare utilizate trebuie să verifice relațiile de comutare.

O altă posibilitate este oferită de ecuațiile de mișcare Heisenberg scrise pentru sistemul global, din care se elimină variabilele rezervorului astfel că apare posibilitatea descrierii proceselor de disipare și fluctuațiilor pentru subsistemul care prezintă interes.

a) *Ecuațiile Langevin cuantice. Procesele de disipare și fluctuațiile pentru cîmp.* Să arătăm mai întâi că nu este posibilă simpla translatăre în limbaj cuantic a ecuațiilor clasice. Într-adevăr, expresiei clasice a cîmpului afectat de procesele de disipare

$$E = E_0 e^{-\kappa t - i\omega t} \quad \left( \kappa = \frac{\sigma}{2\varepsilon_0} \right) \quad (1.267)$$

ii corespund operatori de cîmp

$$\hat{a}^+(t) = \hat{a}^+(0) e^{-\kappa t + i\omega t} \quad (1.268)$$

$$\hat{a}(t) = \hat{a}(0) e^{-\kappa t - i\omega t} \quad (1.269)$$

a căror relație de comutare are forma

$$[\hat{a}(t), \hat{a}^+(t)] = e^{-2\kappa t} \quad (1.270)$$

în contradicție cu relația de comutare  $[\hat{a}, \hat{a}^+] = 1$ , satisfăcută la orice moment de timp.

Acest neajuns poate fi înlăturat dacă pe lângă procesele de disipare ale cîmpului sînt luate în considerare și fluctuațiile prin intermediul unor operatori care depind de coordonatele rezervorului,  $\hat{F}(t)$ . Ca urmare, operatorii  $\hat{a}^+$  și  $\hat{a}$  satisfac ecuațiile diferențiale următoare, ușor de stabilit pe baza expresiilor (1.268) și (1.269)

$$\dot{\hat{a}}^+ = (i\omega - \kappa) \hat{a}^+ + \hat{F}^+(t) \quad (1.271)$$

$$\dot{\hat{a}} = (-i\omega - \kappa) \hat{a} + \hat{F}(t). \quad (1.272)$$



Pentru ca ecuațiile (1.271) și (1.272) să conducă la soluții care satisfac relațiile de comutare, operatorii  $\hat{F}^+(t)$  și  $\hat{F}(t)$  trebuie să aibă următoarele proprietăți

$$\langle \hat{F}(t) \rangle = \langle \hat{F}^+(t) \rangle = 0 \quad (1.273)$$

$$\langle \hat{F}(t) \hat{F}(t') \rangle = \langle \hat{F}^+(t) \hat{F}^+(t') \rangle = 0 \quad (1.274)$$

$$\langle \hat{F}^+(t) \hat{F}(t') \rangle = 2\kappa \bar{n} \delta(t - t') \quad (1.275)$$

$$\langle \hat{F}(t) \hat{F}^+(t') \rangle = 2\kappa(\bar{n} + 1) \delta(t - t'). \quad (1.276)$$

În relațiile de mai sus medierea peste fluctuații înseamnă de fapt medierea peste variabilele rezervorului. Ecuațiile (1.275) și (1.276) evidențiază ipoteza caracterului markovian al proceselor studiate. Mărimea  $\bar{n}$  reprezintă numărul mediu de fotoni ai modului la temperatura  $T_R$  a rezervorului.

De exemplu, hamiltonianul cuantic al sistemului cuplat cu un rezervor alcătuit dintr-un set infinit de oscilatori armonici, are forma

$$\hat{H} = \hat{H}_0 + \hat{H}_R + \hat{H}_I, \quad (1.277)$$

unde

$$\hat{H}_0 = \hbar \omega \hat{a}^+ \hat{a}$$

este hamiltonianul câmpului,

$$\hat{H}_R = \sum_{\omega} \hbar \omega \hat{A}_{\omega}^+ \hat{A}_{\omega} \quad (1.278)$$

este hamiltonianul rezervorului,  $\hat{A}_{\omega}^+$  și  $\hat{A}_{\omega}$  fiind operatorii de creare și anihilare ai excitatorului rezervorului, iar

$$\hat{H}_I = \hbar \sum_{\omega} (\alpha_{\omega} \hat{a}^+ \hat{A}_{\omega} + \alpha_{\omega}^* \hat{A}_{\omega}^+ \hat{a}) \quad (1.279)$$

este hamiltonianul de interacție,  $\alpha_{\omega}$  fiind constante de cuplaj.

Din ecuațiile de mișcare Heisenberg pentru operatorii  $\hat{a}^+$  și  $\hat{A}^+$  se poate pune în evidență forța aleatoare  $F^+(t)$

$$F^+(t) = i \sum_{\omega} \alpha_{\omega}^* \hat{A}_{\omega}^+(0) e^{i\omega t} \quad (1.280)$$

și proprietățile acesteia.

Ecuațiile (1.271) — (1.276) pot fi generalizate pentru mai multe moduri ale câmpului.

*Procese de disipare și fluctuațiile pentru atomi.* Numărul mediu de ocupare al stării  $r = 1, 2$  pentru un sistem cu două nivele, la care ne referim, este dat de relația

$$n_r = \langle \psi | \hat{a}_r^+ \hat{a}_r | \psi \rangle. \quad (1.281)$$



Ca urmare, variația în timp a numerelor de ocupare a stărilor implicate se scrie sub forma

$$\frac{dn_2}{dt} = w_{21}n_1 - w_{12}n_2 \quad (1.282)$$

$$\frac{dn_1}{dt} = -w_{21}n_1 + w_{12}n_2 \quad (1.283)$$

$w_{ij}$  fiind ratele de tranziție.

La ecuațiile de mai sus se adaugă ecuația valorilor medii ale operatorilor  $\hat{b}_1^+\hat{b}_2$  și  $\hat{b}_2^+\hat{b}_1$ , care descriu momentul de dipol electric. Prin urmare se poate scrie

$$\frac{d\beta}{dt} = -i\omega\beta - \gamma_{12}\beta \quad (1.284)$$

unde

$$\beta = \langle \psi | \hat{b}_1^+ \hat{b}_2 | \psi \rangle \quad \text{și} \quad \beta^* = \langle \psi | \hat{b}_2^+ \hat{b}_1 | \psi \rangle \quad (1.285)$$

$\gamma_{12}$  fiind un factor de amortizare a stării.

Ecuațiile pentru valorile medii (1.282), (1.283) și (1.284) pot fi scrise și pentru operatorii corespunzători.

Întrucât factorul de fază pentru operatorul de dipol electric  $\hat{b}_2^+\hat{b}_1$  tinde exponențial spre zero, datorită interacției sistemului cu rezervorul, soluțiile ecuațiilor nu sînt consistente cu relațiile de comutare pentru fermioni.

Pentru a se restabili relațiile de comutare se adaugă în membrul drept al fiecăreia dintre ecuațiile (1.286) — (1.289) termenul  $\Gamma_{ij}$  care descrie forța aleatoare Langevin.

Se obține sistemul :

$$\frac{d}{dt} (\hat{b}_2^+ \hat{b}_2) = w_{21} \hat{b}_1^+ \hat{b}_1 - w_{12} \hat{b}_2^+ \hat{b}_2 + \Gamma_{22}(t) \quad (1.286)$$

$$\frac{d}{dt} (\hat{b}_1^+ \hat{b}_1) = -w_{21} \hat{b}_1^+ \hat{b}_1 + w_{12} \hat{b}_2^+ \hat{b}_2 + \Gamma_{11}(t) \quad (1.287)$$

$$\frac{d}{dt} (\hat{b}_2^+ \hat{b}_1) = (i\omega_{21} - \gamma_{21}) \hat{b}_2^+ \hat{b}_1 + \Gamma_{21}(t) \quad (1.288)$$

$$\frac{d}{dt} (\hat{b}_1^+ \hat{b}_2) = (-i\omega_{21} - \gamma_{12}) \hat{b}_1^+ \hat{b}_2 + \Gamma_{12}(t). \quad (1.289)$$

Ca și forțele aleatoare  $F(t)$  pentru cîmp, forțele  $\Gamma(t)$  se determină din condițiile :

— trebuie să aibă caracter Markov, adică să fie  $\delta$  corelate :

$$\langle \Gamma_{ij}(t) \Gamma_{kl}(t') \rangle = G_{ij,kl} \delta(t' - t) \quad (1.290)$$



— soluțiile ecuațiilor pentru operatori trebuie să satisfacă regulile de comutare pentru fermioni, cerință echivalentă cu condiția :

$$\hat{b}_i^+ \hat{b}_j \hat{b}_k^+ \hat{b}_l = \hat{b}_i^+ \hat{b}_l \delta_{jk}. \quad (1.291)$$

Aceste condiții permit evaluarea univocă a factorilor  $G_{ij,kl}$ . Condiția suplimentară  $\langle \Gamma_{ij}(t) \rangle = 0$  asigură trecerea inversă de la ecuațiile (1.286) — (1.289) la ecuațiile (1.282) — (1.284).

b) *Ecuațiile matricei densitate*. Întrucât ecuațiilor Langevin clasice le corespund ecuațiile Langevin cuantice se pune problema stabilirii unui corespondent cuantic pentru ecuația Fokker-Planck clasică.

Se poate arăta că rolul funcției de distribuție  $f$  care verifică ecuația Fokker-Planck este jucat de către operatorul densitate  $\hat{\rho}$ .

La baza acestei constatări stă analogia dintre relațiile de calcul ale valorilor medii corespunzătoare care au forma

$$\langle q^n \rangle = \int q^n f(q, t) dq \leftrightarrow \langle \hat{\Omega} \rangle = \text{Urm} (\hat{\Omega} \hat{\rho}). \quad (1.292)$$

Prin urmare, ecuația de mișcare a matricei densitate (1.159) trebuie aplicată sistemului cuplat cu rezervorul. În continuare se prezintă ecuația pentru *matricea densitate redusă* a sistemului, obținută prin eliminarea variabilelor rezervorului, folosind teoria perturbațiilor de ordinul al doilea. O astfel de ecuație va descrie procesele de disipare și fluctuațiile. De exemplu, în cazul laserilor se poate scrie

$$\frac{d\hat{\rho}}{dt} = \left( \frac{\partial \hat{\rho}}{\partial t} \right)_{\text{coerent}} + \left( \frac{\partial \hat{\rho}}{\partial t} \right)_{\text{necoerent}} \quad (1.293)$$

unde

$$\left( \frac{\partial \hat{\rho}}{\partial t} \right)_{\text{coerent}} = -\frac{i}{\hbar} [\hat{H}_I, \hat{\rho}] \quad (1.294)$$

iar

$$\left( \frac{\partial \hat{\rho}}{\partial t} \right)_{ij} = \sum_{kl} R_{ijkl} \rho_{kl} \quad (1.295)$$

unde  $\hat{H}_I$  este hamiltonianul de interacție, iar  $R_{ijkl}$  o constantă care descrie procesele de relaxare.

*Observație.* Ecuația (1.293) scrisă pentru o funcție de distribuție  $f$  clasică, poartă numele de *ecuația Fokker-Planck generalizată*

$$\frac{df}{dt} = (L_{\text{coerent}} + L_{\text{necoerent}}) f \quad (1.296)$$

coeficienții lui  $f$  fiind cunoscuți sub numele de *operatorii diferențiali Liouville generalizați*.



## 2. TEORIA COERENȚEI OPTICE

### 2.1. Introducere

Introdus în fizică pentru descrierea fenomenelor de interferență și difracție, conceptul de coerență optică este utilizat în prezent pentru descrierea generală a proprietăților statistice ale câmpului electromagnetic. Lumina poate fi descrisă complet numai statistic astfel că s-a dezvoltat atât o teorie statistică clasică cât și o teorie statistică cuantică a coerenței.

Descrierea statistică a luminii este impusă de : modul de generare al acesteia de către un număr mare de radiatori independenți — atomii, modul de detecție al radiației sub forma unor medii statistice ale câmpului incident, caracterul statistic al unor fenomene de propagare caracterizate de fluctuații, natura cuantică a proceselor de fotodetecție etc.

În studiul statistic al luminii se consideră mărimile de stare ale câmpului electromagnetic  $\mathbf{E}(\mathbf{r}, t)$  și  $\mathbf{B}(\mathbf{r}, t)$  ca fiind funcții aleatoare de spațiu și timp și se utilizează reprezentarea lor sub forma unor semnale analitice complexe, desemnate prin funcția  $V(\mathbf{r}, t)$  care poate fi oricare din componentele câmpurilor  $\mathbf{E}(\mathbf{r}, t)$  și  $\mathbf{B}(\mathbf{r}, t)$ , urmînd ca efectele de polarizare să fie analizate separat.

Se știe că pentru semnalul real asociat unei radiații policromatice

$$V^r(\mathbf{r}, t) = \int_{-\infty}^{+\infty} v^r(\mathbf{r}, \nu) e^{-2\pi i \nu t} d\nu \quad (2.1)$$

se definește semnalul analitic

$$V(\mathbf{r}, t) = \int_0^{\infty} v(\mathbf{r}, \nu) e^{-2\pi i \nu t} d\nu \quad (2.2)$$

astfel încît

$$V^r(\mathbf{r}, t) = 2 \operatorname{Re} [V(\mathbf{r}, t)]. \quad (2.3)$$

Întrucît  $V^r$  este real

$$v^r(\mathbf{r}, -\nu) = [v^r(\mathbf{r}, \nu)]^*, \quad (2.4)$$

adică toată informația este conținută în componentele cu frecvențe pozitive sau în cele cu frecvențe negative, redundanța putînd fi înlăturată prin stabilirea corespunzătoare a limitelor de integrare. Ținînd seama de definiția (2.2) se poate scrie

$$V(\mathbf{r}, t) = \frac{1}{2} \{ V^r(\mathbf{r}, t) + i\mathcal{H}[V^r(\mathbf{r}, t)] \} \quad (2.5)$$



unde  $\mathcal{H}[V^r(\mathbf{r}, t)]$  reprezintă transformata Hilbert a funcției  $V^r(\mathbf{r}, t)$ . ( $\text{Re}[V(\mathbf{r}, t)]$  și  $\text{Im}[V(\mathbf{r}, t)]$  sînt transformate Hilbert reciproce).

Utilizarea semnalelor analitice, pe lîngă simplitate matematică, prezintă importanța pentru trecerea de la descrierea clasică la descrierea cuantică a coerenței corelat cu procesele de detecție, după cum se va constata ulterior. Se poate arată direct că semnalul analitic  $V(\mathbf{r}, t)$  satisface ecuația de propagare a undelor

$$\Delta V - \frac{1}{c^2} \frac{\partial^2 V}{\partial t^2} = 0. \quad (2.6)$$

Fie  $p_1(V)$  densitatea de probabilitate asociată cu variabila aleatoare  $V(\mathbf{r}, t)$ , adică probabilitatea de a găsi în punctul  $(\mathbf{r}, t)$  cîmpul avînd valoarea cuprinsă între  $V$  și  $V + dV$ . Valoarea medie a unei funcții  $f(V)$  va fi dată de relația

$$\langle f(V) \rangle = \int f(V) p_1(V) d^2V \quad (2.7)$$

integrala fiind efectuată peste planul  $V$ -complex.

De exemplu, intensitatea medie în punctul  $(\mathbf{r}, t)$  este dată de relația

$$\langle I(\mathbf{r}, t) \rangle = \langle V^*(\mathbf{r}, t) V(\mathbf{r}, t) \rangle. \quad (2.8)$$

În cazul general al cîmpului electromagnetic  $V_\mu(x, t)$  de polarizare  $\mu$ , proprietățile statistice ale acestuia sînt descrise de funcția de corelație de ordinul  $N = m + n$  definită ca media statistică a funcției de cîmp  $V_\mu(x, t)$  considerată în diferite puncte  $x_j = (\mathbf{r}_j, t)$ , pentru diferite polarizări, astfel

$$\Gamma_{\mu_1 \mu_2 \dots \mu_{m+n}}^{(m,n)}(x_1, x_2, \dots, x_{m+n}) = \left\langle \prod_{j=1}^m V_{\mu_j}^*(x_j) \prod_{k=m+1}^{m+n} V_{\mu_k}(x_k) \right\rangle. \quad (2.9)$$

Se va arăta că funcției de corelație clasice (2.9) îi corespunde funcția de corelație cuantică

$$\Gamma_{\mathcal{N}, \mu_1 \mu_2, \dots, \mu_{m+n}}^{(m,n)}(x_1, \dots, x_{m+n}) = \text{Urm} \left\{ \hat{\rho} \prod_{j=1}^m \hat{A}_{\mu_j}^{(-)}(x_j) \prod_{k=m+1}^{m+n} \hat{A}_{\mu_k}^{(+)}(x_k) \right\} \quad (2.10)$$

unde  $\hat{\rho}$  este operatorul densitate,  $\hat{A}_{\mu}^{(-)}$  și  $\hat{A}_{\mu}^{(+)}$  sînt operatorii de anihilare și creare pentru fotonii, iar indicele  $\mathcal{N}$  semnifică forma *normală de ordonare a operatorilor* (operatorii  $\hat{A}^{(+)}$  sînt așezați în dreapta operatorilor  $\hat{A}^{(-)}$ ). Media statistică (2.7) se generalizează în acest caz astfel

$$\langle f(V_1, \dots, V_N) \rangle = \int f(V_1, V_2, \dots, V_N) p_N(V_1, V_2, \dots, V_N) dV_N \quad (2.11)$$

$p_N(V_1, V_2, \dots, V_N)$  fiind densitatea de probabilitate condițională a variabilelor statistice  $V_1, V_2, \dots, V_N$ .

În cazul cîmpurilor *stationare*, funcțiile de corelație (2.9) și (2.10) și densitatea de probabilitate (2.11) sînt independente de translația în timp



a originii. În cazul câmpurilor *ergodice*, media statistică poate fi înlocuită cu media temporală. Astfel pentru un câmp staționar și ergodic se poate scrie

$$\begin{aligned} \Gamma^{(m,n)}(r_1, \dots, r_{m+n}; t_1, \dots, t_{m+n}) &= \Gamma^{(m,n)}(r_1, r_2, \dots, r_{m+n}; \tau_2, \dots, \tau_{m+n}) = \\ &= \lim_{T \rightarrow \infty} \frac{1}{2T} \int_{-T}^T \prod_{j=1}^m V^*(r_j, t + \tau_j) \prod_{k=m+1}^{m+n} V(r_k, t + \tau_k) dt \end{aligned} \quad (2.12)$$

unde  $\tau_1 = 0$  și  $\tau_j = t_j - t_1$ , starea de polarizare  $\mu_j$  pentru câmpul în punctul  $x_j$  nemaifiind explicitată.

Utilizarea cât mai deplină a aparatului statisticii matematice pentru studiul coerenței implică definirea funcției de corelație spectrale  $G^{(m,n)}(x_1, x_2, \dots, x_{m+n}; \nu)$

$$G^{(m,n)}(r_1, r_2, \dots, r_{m+n}; \nu) = \int_{-\infty}^{+\infty} \Gamma^{(m,n)}(r_1, r_2, \dots, r_{m+n}; t) \times \exp[-i2\pi(\nu, t)] dt \quad (2.13)$$

unde s-a notat

$$a) \quad \pi(\nu, t) = \sum_{j=1}^{m+n} \varepsilon_j \nu_j t_j, \quad \varepsilon_j = \begin{cases} +1, & (j = 1, 2, \dots, m) \\ -1 & (j = m+1, \dots, m+n); \end{cases}$$

$$b) \quad t = (t_1, t_2, \dots, t_{m+n});$$

$$c) \quad \nu = (\nu_1, \nu_2, \dots, \nu_m; -\nu_{m+1}, \dots, -\nu_{m+n}).$$

Prin urmare

$$G^{(m,n)}(r_1, r_2, \dots, r_{m+n}; \nu) = \left\langle \prod_{j=1}^m v^*(r_j, \nu_j) \prod_{k=m+1}^{m+n} v(r_k, \nu_k) \right\rangle \quad (2.14)$$

unde conform relației (2.2) semnalele  $V(r_j, t_j)$  și  $v(r_j, \nu_j)$  sînt corelate prin transformate Fourier reciproce.

Relația (2.13) mai este cunoscută și sub numele de *teorema Wiener-Hincin generalizată*.

De asemenea, se poate arăta că ecuația (2.6) implică următoarele ecuații „de propagare” pentru funcția de corelație  $\Gamma^{(m,n)}$  și funcția de corelație spectrală  $G^{(m,n)}$

$$\square_j \Gamma^{(m,n)}(x_1, x_2, \dots, x_{m+n}; t) = 0 \quad (2.15)$$

$$\left[ \nabla_j^2 + \left( \frac{2\pi\nu_j}{c} \right)^2 \right] G^{(m,n)}(x_1, x_2, \dots, x_{m+n}; \nu) = 0 \quad (2.16)$$

unde  $j = 1, 2, \dots, m+n$ , iar  $\square_j$  și  $\nabla_j^2$  sînt operatorii lui d'Alembert respectiv Laplace.



## 2.2. Teoria clasică a coerenței

### 2.2.1. Funcția de coerență de ordinul al doilea

a) *Funcția de coerență mutuală și gradul de coerență.* Funcția de corelație de ordinul (1,1) pentru cîmpurile staționare și ergodice

$$\Gamma^{(1,1)}(x_1, x_2; \tau) = \Gamma(x_1, x_2; \tau) = \lim_{T \rightarrow \infty} \frac{1}{2T} \int_{-T}^T V^*(x_1, t) V(x_2, t + \tau) dt \quad (2.17)$$

se mai numește *funcția de coerență mutuală* a cîmpurilor implicate și joacă un rol important în descrierea fenomenelor de interferență și difracție.

Efectele de coerență de ordin superior vor fi descrise prin funcții de corelație de același ordin, fiind utilizați pentru evidențiere fotodetectori pătratici ai căror curenți sînt corelați.

Fie două unde emise în punctele  $P_1(r_1)$  și  $P_2(r_2)$  ale unei surse (de exemplu, un dispozitiv de tip Young), care se suprapun într-un punct  $Q(r)$  situat la distanțele  $d_1 = ct_1$  și  $d_2 = ct_2$  de punctele  $P_1$ , respectiv  $P_2$ . Intensitatea medie în punctul  $Q$  este dată de relația

$$\begin{aligned} \langle I(Q, t) \rangle &= \langle [K_1 V(P_1, t - t_1) + K_2 V(P_2, t - t_2)]^* \times \\ &\times [K_1 V(P_1, t - t_1) + K_2 V(P_2, t - t_2)] \rangle \end{aligned} \quad (2.18)$$

unde  $K_1$  și  $K_2$  sînt conform teoriei difracției niște factori imaginari.

Expresia (2.18) se poate scrie sub forma:

$$\begin{aligned} \langle I(r, t) \rangle &= |K_1|^2 \langle I(r_1, t - t_1) \rangle + |K_2|^2 \langle I(r_2, t - t_2) \rangle + \\ &+ 2|K_1 K_2| \cdot \text{Re}[\Gamma(r_1, t - t_1; r_2, t - t_2)] \end{aligned} \quad (2.19)$$

unde

$$\Gamma(r_1, t_1; r_2, t_2) = \langle V^*(r_1, t_1) V(r_2, t_2) \rangle \quad (2.20)$$

este funcția de coerență mutuală; pentru semnale staționare ergodice (2.20) se identifică cu (2.17).

Se numește *grad de coerență complex* mărimea normată

$$\gamma(r_1, r_2, \tau) = \frac{\Gamma(r_1, r_2, \tau)}{\sqrt{\langle I(r_1) \rangle \langle I(r_2) \rangle}} \quad (2.21)$$

sau

$$\gamma_{12}(\tau) = \frac{\Gamma_{12}(\tau)}{[\Gamma_{11}(0)]^{1/2} [\Gamma_{22}(0)]^{1/2}} \quad (2.22)$$

unde

$$\begin{aligned} \Gamma(r_1, r_2, \tau) &= \Gamma_{12}(\tau), \text{ iar} \\ \Gamma_{11}(0) &= \langle I(r_1) \rangle \text{ și } \Gamma_{22}(0) = \langle I(r_2) \rangle \end{aligned} \quad (2.23)$$

sînt *funcțiile de autocorelație* sau de *autocoerență* ale perturbațiilor și se obțin din funcția de coerență mutuală cînd punctele  $P_1$  și  $P_2$  coincid,



iar intervalul  $\tau$  este egal cu zero. Ținând seama de definiția (2.21) și de inegalitatea lui Schwarz rezultă

$$0 \leq |\gamma(\mathbf{r}_1, \mathbf{r}_2; \tau)| \leq 1, \quad (2.24)$$

cîmpul de radiație fiind *total coerent* dacă  $|\gamma| = 1$  și *total necoerent* dacă  $|\gamma| = 0$ . Pentru sursele reale  $|\gamma| \in (0, 1)$ , adică cîmpul de radiație este *parțial coerent*.

În general, se poate scrie

$$\gamma(\mathbf{r}_1, \mathbf{r}_2, \tau) = |\gamma(\mathbf{r}_1, \mathbf{r}_2, \tau)| \exp [i\varphi(\mathbf{r}_1, \mathbf{r}_2, \tau)] \quad (2.25)$$

astfel încît se obține legea de interferență

$$\langle I(r) \rangle = 2I[1 + |\gamma(\mathbf{r}_1, \mathbf{r}_2, \tau)| \cos \varphi(\mathbf{r}_1, \mathbf{r}_2, \tau)] \quad (2.26)$$

unde s-a notat

$$I = |K_i|^2 \langle I(\mathbf{r}_i) \rangle \quad (i = 1, 2).$$

Se observă că pentru o undă monocromatică

$$V(\mathbf{r}) = |V(\mathbf{r})| e^{-i\omega t} \quad (2.27)$$

$$\gamma(\mathbf{r}_1, \mathbf{r}_2, \tau) = e^{-i\omega\tau} \quad (2.28)$$

deci  $|\gamma| = 1$  adică un astfel de cîmp este total coerent.

Dacă se definește, pentru caracterizarea coerenței, *vizibilitatea franjelor* astfel

$$\mathcal{V} = \frac{\langle I \rangle_{\max} - \langle I \rangle_{\min}}{\langle I \rangle_{\max} + \langle I \rangle_{\min}} \quad (2.29)$$

unde  $\langle I \rangle_{\max}$  și  $\langle I \rangle_{\min}$  corespund [punctelor de maxim, respectiv de minim ale figurii de interferență se constată că

$$\mathcal{V} = |\gamma| \quad (2.30)$$

adică între gradul de coerență complex și vizibilitatea franjelor este o legătură directă.

De asemenea, se constată că funcția de coerență mutuală  $\Gamma$  satisface ecuația diferențială

$$\nabla_j^2 \Gamma_{12}(\tau) - \frac{1}{c^2} \frac{\partial^2 \Gamma_{12}(\tau)}{\partial \tau^2} = 0 \quad (2.31)$$

de forma (2.15), unde indicele  $j$  specifică coordonatele punctelor  $\mathbf{r}_1$  și  $\mathbf{r}_2$  în care se consideră perturbația. Analog pentru funcția de coerență spectrală  $G_{12}(\nu)$  se obține ecuația

$$\nabla_j^2 G_{12}(\nu) + k^2 G_{12}(\nu) = 0 \quad (j = 1, 2) \quad (2.32)$$

pentru orice  $\nu$ , unde  $k = \frac{2\pi\nu}{c}$ . Ecuația (2.32) se poate obține și din (2.16) prin particularizare.

b) *Coerența temporală și spațială. Condiția de coerență totală de ordinul al doilea.* Corelația dintre cele două unde care interferează conform relației (2.19) poate fi considerată în două cazuri particulare:  $\alpha$ ) cînd



undele sînt emise în același punct al sursei la momente diferite;  $\beta$ ) cînd undele sînt emise în puncte diferite ale sursei la un moment de timp dat. Corespunzător celor două situații se introduc conceptele de coerență temporală, respectiv spațială.

*Coerența temporală* se poate studia urmărindu-se condițiile de obținere a franjelor de interferență într-un dispozitiv interferențial de tip Michelson, analiza făcîndu-se fie în domeniul timp fie în domeniul frecvență. Dacă  $\Delta t$  este durata fenomenului de emisie a unor trenuri de undă ideale, se definește timpul de coerență  $\tau_c = \Delta t$ , astfel încît la limită

$$\tau_c = \frac{2\pi}{\Delta\omega}, \quad (2.33)$$

$\Delta\omega$  fiind lărgimea spectrală a radiației. Dacă diferența de drum introdusă de interferometru  $c\tau$  satisfac condiția  $c\tau < c\tau_c$ , maximul de interferență de ordinul  $m$  pentru  $\omega$  nu se suprapune peste maximul de ordinul  $(m + 1)$  pentru  $\omega' = \omega + \Delta\omega$ , obținîndu-se interferență. Cu alte cuvinte se admite că „fiecare foton interfere numai cu el însuși” (Dirac) astfel că nu este posibilă localizarea sa în unul sau altul dintre brațele interferometrului.

Se numește *lungime de coerență*  $l_c$  mărimea  $l_c = \tau_c c$ . În cazul surselor reale pentru duratele și lărgimile spectrale ale trenurilor de undă se adoptă definiții care să ia în considerare atenuarea acestora în timpul emisie și existenței efectului Doppler care afectează atomii.

Coerența spațială se poate studia analizîndu-se fenomenul de interferență produs într-un dispozitiv Young, utilizîndu-se o sursă extinsă. Dacă se urmărește corelația care există la un moment dat între undele emise în puncte diferite ale sursei se obține condiția de interferență

$$ld < \lambda R$$

unde  $l$  este lărgimea sursei primare,  $d$  distanța dintre sursele secundare ale dispozitivului Young,  $R$  distanța de la sursa primară la sursele secundare, iar  $\lambda$  lungimea de undă a radiației.

Corelat cu condiția de mai sus se definește lărgimea de coerență

$$d_c = \frac{\lambda R}{l} \quad (2.34)$$

și aria de coerență

$$A_c = \frac{R^2 \lambda^2}{A_s} \quad (2.35)$$

unde  $A_s$  este aria sursei.

Dacă se ține seama de expresia lungimii de coerență se poate defini și *volumul de coerență*

$$V_c = A_c l_c = \frac{c}{\Delta\nu} \lambda \frac{R^2}{A_s} \quad (2.36)$$

astfel încît două surse secundare din volumul de coerență produc unde care interfere stacionar, în concordanță deplină cu relațiile de incertitudine ale lui Heisenberg. Gradul de coerență  $\gamma_{12}(\tau)$  definit de relația



(2.21) ia în considerare atât coerența temporală, cât și coerența spațială a radiației. Corelația de principiu între coerența temporală și spațială a radiației este evidențiată și de ecuația (2.31) de propagare a funcției de coerență mutuală, acestea neputând fi separate în cazul general.

Totuși, în multe cazuri practice, se poate exprima cu o bună aproximație  $\gamma_{12}(\tau)$  ca un produs al gradelor de coerență temporală și spațială.

Condiția de coerență totală de ordinul al doilea

$$|\gamma(x_1, x_2)| = 1$$

implică egalitatea

$$|\Gamma(x_1, x_2)|^2 = \Gamma(x_1, x_1) \cdot \Gamma(x_2, x_2). \quad (2.37)$$

Se poate arăta că în acest caz

$$\Gamma(x_1, x_2) = V^*(x_1) V(x_2), \quad (2.38)$$

adică în cazul coerenței totale de ordinul al doilea, funcția de coerență corespunzătoare se poate factoriza. Proprietatea de factorizare poate fi considerată ca o definiție echivalentă a coerenței totale și se poate ilustra în mod asemănător pentru funcția de corelație  $\Gamma^{(m, n)}$ , care descrie coerența totală de ordin superior. Din relațiile (2.27) și (2.28) se observă că un astfel de câmp total coerent trebuie să fie monocromatic. (Definiția câmpului total coerent poate fi generalizată astfel încât acesta să nu fie în mod necesar monocromatic).

*Observație.* Pe lângă tratarea funcțională a coerenței este posibilă și o descriere matriceală a acesteia bazată pe utilizarea cuantizării funcțiilor de câmp în conformitate cu teorema eșantionării. Relația dintre tratările matriceală și funcțională a coerenței este analogă relației dintre mecanicile cuantice ondulatorie și matriceală.

### 2.2.2. Coerența câmpurilor vectoriale

Teoria scalară a coerenței prezentată mai sus este valabilă în mod riguros numai pentru lumina polarizată, astfel încât se impune evidențierea unor particularități ale coerenței câmpurilor vectoriale, deși teoria scalară descrie cu o aproximație suficient de bună proprietățile de coerență ale luminii.

În primul rând vor fi analizate, în cele ce urmează, corelațiile existente între componentele câmpului cu diferite polarizări urmînd ca în continuare să se dezvolte, pe scurt, formalismul tensorial al coerenței care permite studiul unitar al fenomenelor de coerență și polarizare.

a) *Matricea de coerență și proprietățile de polarizare.* Fie  $E_x$  și  $E_y$  componentele unei unde electromagnetice plane staționare, care se propagă în direcția  $z$ . Prin definiție matricea :

$$\begin{aligned} \mathcal{P}(\tau) &= \left\langle \begin{bmatrix} E_x^*(t) \\ E_y^*(t) \end{bmatrix} \cdot [E(t + \tau), E_y(t + \tau)] \right\rangle = \\ &= \begin{bmatrix} \langle E_x^*(t) E_x(t + \tau) \rangle & \langle E_x^*(t) E_y(t + \tau) \rangle \\ \langle E_y^*(t) E_x(t + \tau) \rangle & \langle E_y^*(t) E_y(t + \tau) \rangle \end{bmatrix} = \begin{bmatrix} \mathcal{P}_{xx}(\tau) & \mathcal{P}_{xy}(\tau) \\ \mathcal{P}_{yx}(\tau) & \mathcal{P}_{yy}(\tau) \end{bmatrix} \end{aligned} \quad (2.39)$$



se numește *matricea de coerență* a undei. Analog se definește *matricea de coerență spectrală*

$$\mathcal{R}(\nu) = \lim_{T \rightarrow \infty} \frac{1}{2T} \left\langle \begin{bmatrix} e_x^*(\nu) \\ e_y^*(\nu) \end{bmatrix} \cdot [e_x(\nu), e_y(\nu)] \right\rangle \quad (2.40)$$

mărimile  $E_{x,y}(t)$  și  $e_{x,y}(\nu)$  fiind corelate prin transformate Fourier reciproce.

Se poate arăta că matricea de coerență spectrală poate fi exprimată funcție de matricele lui Pauli  $\sigma_i$ , coeficienții dezvoltării fiind parametrii Stokes spectrali  $s_i$ , sub forma:

$$\mathcal{R} = \frac{1}{2} \sum_{i=0}^3 s_i \sigma_i \quad (2.41)$$

unde matricele lui Pauli au expresiile:

$$\sigma_0 = \begin{bmatrix} 1 & 0 \\ 0 & 1 \end{bmatrix}; \quad \sigma_1 = \begin{bmatrix} 1 & 0 \\ 0 & -1 \end{bmatrix}; \quad \sigma_2 = \begin{bmatrix} 0 & 1 \\ 1 & 0 \end{bmatrix}; \quad \sigma_3 = \begin{bmatrix} 0 & i \\ -i & 0 \end{bmatrix} \quad (2.42)$$

iar parametrii Stokes spectrali sînt definiți prin matricea

$$\mathcal{R}(\nu) = \frac{1}{2} \begin{bmatrix} s_0 + s_1 & s_2 + is_3 \\ s_2 - is_3 & s_0 - s_1 \end{bmatrix} \quad (2.43)$$

astfel încît

$$s_j = \text{Urm} [\sigma_j \mathcal{R}]. \quad (2.44)$$

Analog se poate defini și matricea de coerență  $\mathcal{P}(0)$  considerîndu-se parametrii Stokes  $S_j(\tau)$ , obținuți astfel

$$S_j(\tau) = \int_0^\infty s_j(\nu) \exp [-i 2\pi \nu \tau] d\nu. \quad (2.45)$$

Corelația dintre componentele  $x$  și  $y$  ale cîmpului electric poate fi exprimată cu ajutorul coeficientului  $\gamma_{xy}$  definit prin expresia

$$\gamma_{xy} = \frac{\mathcal{P}_{xy}}{[\mathcal{P}_{xx} \mathcal{P}_{yy}]^{1/2}} \quad (2.46)$$

astfel încît joacă rolul gradului de coerență  $\gamma(\mathbf{r}_1, \mathbf{r}_2, 0)$ . De exemplu, pentru lumina nepolarizată

$$|\gamma_{xy}| = 0 \quad (2.47)$$

și  $\mathcal{P}_{xx} = \mathcal{P}_{yy}$ , adică  $E_x$  și  $E_y$  sînt mutual necoerente. Matricea de coerență capătă în acest caz forma

$$\mathcal{P} = \frac{1}{2} I \begin{bmatrix} 1 & 0 \\ 0 & 1 \end{bmatrix} \quad (2.48)$$

În general, se poate arăta că matricea de coerență poate fi explicitată astfel

$$\mathcal{P} = \mathcal{P}_p + \mathcal{P}_n \quad (2.49)$$



unde  $\mathcal{P}_p$  este o matrice de coerență pentru lumina complet polarizată, iar  $\mathcal{P}_n$  o matrice de coerență pentru lumina nepolarizată. Ca urmare se definește gradul de polarizare  $P$ , prin relația

$$P = \frac{\text{Urm}[\mathcal{P}_p]}{\text{Urm}[\mathcal{P}_p] + \text{Urm}[\mathcal{P}_n]} = \frac{\sqrt{(S_1^2 + S_2^2 + S_3^2)}}{S_0} \quad (2.50)$$

încît, în general,  $0 \leq P \leq 1$  ( $P = 1$  pentru lumina complet polarizată).

b) *Tensorii de corelație ai câmpurilor vectoriale.* Componentele  $E_j$  și  $H_j$  ale câmpului electromagnetic exprimate sub formă analitică pot fi utilizate pentru definirea *tensorilor de corelație*  $\mathcal{E}, \mathcal{H}, \mathcal{M}, \mathcal{N}$ , avînd componentele [78]

$$\mathcal{E}_{jk}(x_1, x_2) = \langle E_j^*(x_1) E_k(x_2) \rangle \quad (j, k = 1, 2, 3) \quad (2.51)$$

$$\mathcal{H}_{jk}(x_1, x_2) = \langle H_j^*(x_1) H_k(x_2) \rangle \quad (2.52)$$

$$\mathcal{M}_{jk}(x_1, x_2) = \langle E_j^*(x_1) H_k(x_2) \rangle \quad (2.53)$$

$$\mathcal{N}_{jk}(x_1, x_2) = \langle H_j^*(x_1) E_k(x_2) \rangle. \quad (2.54)$$

Cu ajutorul celor pentru tensori (2.51)–(2.54) se definește matricea  $\mathcal{K}$  avînd expresia

$$\mathcal{K}_{jk}(x_1, x_2) = \begin{bmatrix} \mathcal{E}_{jk}(x_1, x_2) & \mathcal{M}_{jk}(x_1, x_2) \\ \mathcal{N}_{jk}(x_1, x_2) & \mathcal{H}_{jk}(x_1, x_2) \end{bmatrix} \quad (2.55)$$

și tensorii

$$U_{jk}(x_1, x_2) = \text{Urm}[\mathcal{K}_{jk}(x_1, x_2)] \quad (2.56)$$

$$S_{jk}(x_1, x_2) = \text{Urm}[\hat{\sigma} \mathcal{K}_{jk}(x_1, x_2)] \quad (2.57)$$

unde 
$$\hat{\sigma} = \begin{bmatrix} 0 & -1 \\ 1 & 0 \end{bmatrix}. \quad (2.58)$$

Acești tensori asigură cadrul matematic necesar pentru descrierea unitară a fenomenelor de coerență și polarizare.

Se poate arăta că tensorii de corelație satisfac ecuațiile dinamice următoare, echivalente cu ecuațiile lui Maxwell în vid

$$\sum_{k,l} \varepsilon_{jkl} \frac{\partial}{\partial x_{1k}} \mathcal{K}_{lm}(x_1, x_2) - \frac{\hat{\sigma}}{c} \frac{\partial}{\partial t_1} \mathcal{K}_{jm}(x_1, x_2) = 0 \quad (2.59)$$

$$\sum_j \frac{\partial}{\partial x_{1j}} \mathcal{K}_{jm}(x_1, x_2) = 0 \quad (2.60)$$

și ecuații analoge privind variabilele  $x_{2k}$ .

Aceste ecuații constituie ecuațiile diferențiale fundamentale ale teoriei corelațiilor de ordinul al doilea ale câmpului electromagnetic.



Ecuatiilor diferențiale de ordinul întâi de mai sus li se adaugă ecuația de undă (de ordinul al doilea) pentru tensorii de corelație

$$\nabla_{1,2}^2 \mathcal{K}_{jm} = \frac{1}{c^2} \frac{\partial^2}{\partial t_{1,2}^2} \mathcal{K}_{jm} \quad (2.61)$$

care rezultă din (2.59) și (2.60).

Cu ajutorul tensorilor  $U_{jk}(x_1, x_2)$  și  $S_{jk}(x_1, x_2)$  se pot defini:

scalarul

$$S(x_1, x_2) = \sum_{k=1}^3 S_{kk}(x_1, x_2), \quad (2.62)$$

vectorul

$$S_i(x_1, x_2) = \sum_{j,k=1}^3 \varepsilon_{ijk} S_{jk}(x_1, x_2) \quad (2.63)$$

și tensorul

$$T_{jk}(x_1, x_2) = U_{jk}(x_1, x_2) + U_{kj}(x_1, x_2) - \delta_{jk} \sum_{i=1}^3 U_{ii}(x_1, x_2) \quad (2.64)$$

care pot fi asociați cu densitatea de energie a câmpului electromagnetic, densitatea de impuls în vid a câmpului electromagnetic, respectiv, tensorul tensiune (stress) al câmpului electromagnetic.

În sfârșit, din ecuațiile dinamice (2.59) și (2.60) se obțin și legile de conservare tensoriale

$$\sum_{k,l} \varepsilon_{jkl} \frac{\partial}{\partial x_{1k}} \left( \frac{U}{S} \right)_{lm} + \frac{\hat{\sigma}}{c} \frac{\partial}{\partial t_1} \left( \frac{U}{S} \right)_{jm} = 0 \quad (2.65)$$

$$\sum_j \frac{\partial}{\partial x_{1j}} \left( \frac{U}{S} \right)_{jm} = 0. \quad (2.66)$$

Ecuatii analoge rezultă și pentru tensorii de corelație spectrali care se obțin conform teoriei generale cu ajutorul transformatelor Fourier.

Ecuatiile diferențiale pentru tensorii de corelație pot fi utilizate la studiul general al legilor de interferență pentru coerența și polarizarea parțială. În mod asemănător pot fi definiți și tensorii de corelație de ordin superior, precum și tensorii de corelație cuantici.

### 2.2.3. Funcțiile de coerență de ordin superior

Generalizarea funcției de coerență de ordinul al doilea în conformitate cu relația de definiție (2.9) a funcției de corelație de ordinul  $(m+n)$  reprezintă funcția de coerență de ordinul  $(m+n)$

$$\begin{aligned} \Gamma^{(m,n)}(x_1, x_2, \dots, x_{m+n}) &= \\ &= \langle V^*(x_1) \dots V^*(x_m) V(x_{m+1}) \dots V(x_{m+n}) \rangle \end{aligned} \quad (2.67)$$

unde  $x_j = (r_j, t_j)$ , iar  $j = 1, 2, \dots, m+n$ .



Evident că o astfel de generalizare prezintă interes în măsura în care pot fi evidențiate experimental efectele de coerență de ordin superior, teoria coerenței fiind fondată pe mărimi fizice măsurabile experimental deși câmpul de radiație reprezintă prin excelență un sistem dinamic statistic.

Posibilitatea măsurării unor efecte de coerență de ordin superior a fost demonstrată de experimentul efectuat în 1956 de către Hanbury Brown și Twiss care, pentru evaluarea funcției de coerență, au utilizat detectori fotoelectrici pentru măsurarea corelațiilor fluctuațiilor de intensitate în două puncte diferite și nu a corelațiilor dintre amplitudinile câmpului cum se procedase în experimentele de interferență și difracție anterioare. Astfel, prin prelucrarea într-un corelator electronic a semnalelor detectate de doi fotomultiplicatori s-a obținut funcția de corelație a intensităților

$$\langle I_1(P_1, t + \tau) I_2(P_2, t) \rangle = \langle E_1(P_1, t + \tau) E_1^*(P_1, t + \tau) E_2(P_2, t) E_2^*(P_2, t) \rangle. \quad (2.68)$$

Dacă fluctuațiile intensității au expresia generală

$$\Delta I = I - \langle I \rangle \quad (2.69)$$

se poate arăta că

$$\langle \Delta I_1(P_1, t + \tau) \Delta I_2(P_2, t) \rangle = |\Gamma_{12}(\tau)|^2, \quad (2.70)$$

adică din măsurarea fluctuațiilor intensităților rezultă posibilitatea calculului funcției de coerență. De remarcă că prin astfel de măsurări de corelație se pierde informația de fază a gradului de coerență, a cărei recuperare este posibilă pe baza transformatorilor Hilbert.

Evident că măsurările în acest caz sînt limitele atît de imposibilitatea fotodectiei componentelor rapid variabile ale fluctuațiilor, cît și de zgomotul cuantic. Ca urmare a expresiei (2.8) acest experiment a pus pentru prima dată în evidență efectele de coerență de ordinul patru.

Studiile teoretice și experimentale ulterioare au arătat existența a două tipuri de tehnici neconvenționale pentru determinarea efectelor de coerență de ordin arbitrar și anume: măsurări de corelație și de coincidență fotoelectrică și măsurarea statisticilor fotonilor fotodectați (probabilităților de detecție).

Dintre experimentele tipice privind tehnicile de corelație și de coincidență, menționăm pe lîngă cele ale lui Hanbury Brown și Twiss, pe cele ale Twiss și Little, Rebka și Pound și alții. Astfel, funcția de coerență de ordinul șase a fost măsurată în 1968 de către Davison și Mandel.

Metoda utilizării statisticilor fotonilor fotodectați pentru evaluarea funcțiilor de corelație a fost dezvoltată de Arecchi, Berné și Burlamachi etc.

*Statisticile fotonilor fotodectați.* Metoda statisticilor fotonilor fotodectați constă în determinarea probabilității  $p(x, T, t)$  de emisie a  $n$  fotoelectroni, adică de detecție a  $n$  fotoni incidenți pe un catod plan în



intervalul  $t$  și  $t + T$ , astfel că mărimea  $p(x, T, t)$  mai poate fi numită *distribuția fotoelectronilor*. Fie  $P(t, t + T)$  probabilitatea de emisie a unui electron în intervalul  $(t, t + T)$  ca urmare a intensității aleatorii clasice  $I(t)$  a luminii evasimonocromatice incidente pe fotocatod

$$p(t, t + T) = \eta I(t) dt \quad (2.71)$$

unde  $\eta$  este eficiența cuantică a suprafeței fotodetectoare.

Probabilitatea de emisie a  $n$  fotoelectroni în intervalul  $(t, t + T)$  satisface ecuația diferențială

$$\frac{dp_n}{dt} = \eta I(t) p_{n-1}(t) - \eta I(t) p_n(t) \quad (2.72)$$

care admite soluții de forma

$$\begin{aligned} p_n(t) &= \frac{1}{n!} \langle (\eta m)^n \exp(-\eta m) \rangle = \\ &= \frac{1}{n!} \int_0^\infty (\eta m)^n \exp(-\eta m) P(m) dm \end{aligned} \quad (2.73)$$

unde mărimea

$$m = \int_t^{t+T} I(t') dt' \quad (2.74)$$

se numește *nivelul probabilității* sau integrala intensității,  $P(m)$  fiind distribuția acestei mărimi. Ecuația (2.73) se numește *ecuația fotodectiei*.

Studiul statistic al proceselor de detecție implică cunoașterea unor mărimi statistice fundamentale, cum ar fi funcțiile caracteristice, momentele de diferite ordine etc.

*Funcția caracteristică*  $C^n(ix)$  este definită prin relația

$$C^n(ix) = \langle \exp(ixn) \rangle = \sum_{n=0}^{\infty} p(n, T, t) \exp(ixn) \quad (2.75)$$

astfel că

$$p(n, T, x) = \frac{1}{2\pi} \int_0^{2\pi} \exp(-inx) C^n(ix) dx. \quad (2.76)$$

*Momentul de ordinul  $k$*  este definit prin relația

$$\langle n^k \rangle = \frac{d^k}{d(ix)^k} C^n(ix) \Big|_{ix=0} \quad (2.77)$$



De exemplu, rezultă

$$\langle n \rangle = \sum_{n=0}^{\infty} p(n, T, t) n = \eta \langle m \rangle \quad (2.78)$$

$$\langle n^2 \rangle = \sum_{n=0}^{\infty} p(n, T, t) n^2 = \eta \langle m \rangle + \eta^2 \langle m^2 \rangle \quad (2.79)$$

$$\langle n^3 \rangle = \eta \langle m \rangle + 3\eta^2 \langle m^2 \rangle + \eta^3 \langle m^3 \rangle \dots \quad (2.80)$$

De asemenea, se obține pentru varianța lui  $n$  expresia

$$\langle (\Delta n)^2 \rangle = \langle n^2 \rangle - \langle n \rangle^2 = \langle n \rangle + \eta^2 (\langle m^2 \rangle - \langle m \rangle^2). \quad (2.81)$$

Un rol important îl joacă momentul factorial

$$\left\langle \frac{n!}{(n-k)!} \right\rangle = \eta^k \langle m^k \rangle \quad (2.82)$$

precum și *cumulanții* de diferite ordine definiți prin

$$\kappa_j = \frac{d^j}{d(ix)^j} \log C^{(n)}(ix) \Big|_{ix=0} \quad j = 1, 2, \dots \quad (3.83)$$

Studiul statistic al radiației pe baza relațiilor de mai sus arată că distribuția acesteia pentru valori reduse ale cîmpului este de tip Poisson pe cînd pentru cîmpuri puternice semnalul fotodetectat poate fi considerat continuu.

Din ecuația (2.73) a fotodectecției se obține pentru distribuția intensității integrate expresia

$$P(m) = \exp(m) \sum_{n=0}^{\infty} (-1)^n p(n) \delta^{(n)}(m) \quad (2.84)$$

unde  $\delta^{(n)}(m)$  este derivata de ordinul  $n$  a funcției  $\delta$  a lui Dirac.

Pentru intervale de măsură  $T$  mult mai mici decît timpul de coerență,  $m = IT$  și ecuația fotodectecției capătă forma

$$p(n, T) = p(n, T, t) = \int_0^{\infty} \frac{(\eta IT)^n}{n!} \exp(-\eta IT) P(I) dI \quad (2.85)$$

care permite o interpretare fizică mai simplă a diferitelor cîmpuri de radiație.

Astfel, în cazul radiației laser  $P(I) = \delta(I - \langle I \rangle)$ , încît ecuația (2.85) devine

$$p(n, T) = \frac{\langle n \rangle^n}{n!} \exp(-\langle n \rangle) \quad (2.86)$$

care este de tip Poisson.

De asemenea, în cazul unui cîmp haotic, cum este cîmpul generat de sursele termice, care reprezintă un proces aleator gaussian, cu valoare medie nulă, se obține o distribuție

$$p(n, T) = \frac{\langle n \rangle^n}{1 + \langle n \rangle^{1+n}} \quad (2.87)$$

unde  $\langle n \rangle = \eta \langle I \rangle T$ , adică distribuția Bose-Einstein. O astfel de distribuție este valabilă și pentru dispozitivul laser aflat sub pragul de oscilație.



Dacă funcția de distribuție gaussiană pentru câmpul haotic este complet determinată de funcția de corelație de ordinul al doilea, în cazul câmpurilor negausiene sînt necesare și funcțiile de corelație de ordin superior.

Într-adevăr, calculul momentelor de diferite ordine implică efectuarea unor integrale de tipul

$$\langle n_1 \dots n_N \rangle = \eta_1 \eta_2 \dots \eta_N \int_{t_1}^{t_1+T} \dots \int_{t'_N}^{t'_N+T_N} \Gamma^{(N,N)}(x_1, x_2 \dots x_N, x_N, \dots x_1; t'_1 \dots t'_N, t'_N \dots t'_1) dt'_1 \dots dt'_N. \quad (2.88)$$

Măsurarea funcțiilor de coerență de ordin superior este posibilă în principiu prin tehnici de coincidență multiplă.

## 2.3. Teoria cuantică a coerenței

### 2.3.1. Forma cuantică a funcției de coerență

Studiul riguros al coerenței depășește cadrul teoriei clasice a câmpului de radiație. Tratarea cuantică a coerenței implică utilizarea formalismelor cuantice ale matricei densitate și cuantificării a doua dezvoltate în anexele 1 și 2, analiza procesului de măsură (fotodetecție) fiind fundamentală.

Analogul cuantic al funcției de coerență clasice (2.9) are forma generală (2.10) astfel că se impune stabilirea unei „corespondențe” între cele două expresii menționate.

În cele ce urmează se va stabili o astfel de corespondență pentru funcția de coerență de ordinul al doilea, urmînd ca prin generalizare să se admită expresia generală (2.10).

Să considerăm câmpul de radiație dintr-o incintă cubică de latura  $L$ , descris prin potențialul vector  $\mathbf{A}(\mathbf{r}, t)$ , avînd expresia :

$$\mathbf{A}(\mathbf{r}, t) = \frac{1}{L^{3/2}} \sum \frac{1}{\sqrt{2\omega_k}} \hat{a}_k \boldsymbol{\varepsilon}_k e^{i(\mathbf{k}\mathbf{r} - \omega_k t)} + \hat{a}_k^+ \boldsymbol{\varepsilon}_k^* e^{-i(\mathbf{k}\mathbf{r} - \omega_k t)} = \mathbf{A}^{(+)}(\mathbf{r}, t) + \mathbf{A}^{(-)}(\mathbf{r}, t) \quad (2.89)$$

unde  $k = \frac{2\pi}{L} (n_1, n_2, n_3)$ ,  $n = 0, \pm 1, \pm 2, \dots$ , vectorii  $\boldsymbol{\varepsilon}_k$  specificînd starea de polarizare a câmpului transversal cuantificat din incintă.

Operatorilor de anihilare  $\hat{a}_k$  și creare  $\hat{a}_k^+$  le corespund părțile  $\mathbf{A}^{(+)}(\mathbf{r}, t)$  (cu frecvențe pozitive), respectiv  $\mathbf{A}^{(-)}(\mathbf{r}, t)$  (cu frecvențe negative).

Aceeași dezvoltare este valabilă și pentru intensitatea câmpului electric cuantificat  $\mathbf{E}(\mathbf{r}, t)$ , pe baza relației

$$\mathbf{E}(\mathbf{r}, t) = -\dot{\mathbf{A}}(\mathbf{r}, t)$$

astfel încît

$$\mathbf{E}(\mathbf{r}, t) = \mathbf{E}^{(+)}(\mathbf{r}, t) + \mathbf{E}^{(-)}(\mathbf{r}, t), \quad (2.90)$$

potențialul scalar fiind admis nul în regiunea de studiu.



Particularitățile statistice ale câmpului vor fi descrise cu ajutorul operatorului densitate a cărui reprezentare diagonală are forma

$$\hat{\rho} = \sum_k p_k |\psi_k\rangle\langle\psi_k| \quad (2.91)$$

unde  $p_k$  sînt ponderile statistice ale stărilor  $|\psi_k\rangle$ , iar  $|\psi_k\rangle\langle\psi_k|$  operatorii de proiecție în stările  $|\psi_k\rangle$ . În consecință, valoarea medie a unui operator  $\Omega$  are expresia

$$\langle\hat{\Omega}\rangle = \text{Urm}(\hat{\rho}\hat{\Omega}). \quad (2.92)$$

Considerarea procesului de măsură în această analiză evidențiază existența unei *asimetrii* între componentele  $E^{(+)}(\mathbf{r}, t)$  și  $E^{(-)}(\mathbf{r}, t)$  ale câmpului, partea de anihilare  $E^{(+)}(\mathbf{r}, t)$  jucînd un rol important în absorbție pe cînd partea de creare  $E^{(-)}(\mathbf{r}, t)$  intervenind în procesele de emisie stimulată.

Prin urmare detectorii „prin absorbție” corespund lui  $E^{(+)}(\mathbf{r}, t)$  pe cînd detectorii „prin emisie stimulată” numiți și *numărători de cuante*, corespund lui  $E^{(-)}(\mathbf{r}, t)$ . Această diferență dispăre la limita clasică, cînd energiile comparabile cu cuanta  $\hbar\omega$  a câmpului se neglijează, astfel încît fotodetectorii, cît și numărătorii de cuante dau același rezultat.

Un detector se numește *ideal* dacă are bandă largă și extensie spațială limitată încît la un moment dat  $t$  răspunde la câmp într-un singur punct  $\mathbf{r}$ . Dacă ne referim la detectorii prin absorbție se poate calcula rata de tranziție din starea inițială  $|\psi_i\rangle$  în starea finală  $|\psi_f\rangle$  prin absorbția unui foton, ținîndu-se seama că starea finală nu este determinată

$$\begin{aligned} w &= \sum_f w_{i-f} = \sum_f |\langle\psi_f|E^{(+)}(\mathbf{r}, t)|\psi_i\rangle|^2 = \\ &= \sum_f \langle\psi_i|E^{(-)}(\mathbf{r}, t)|\psi_f\rangle \langle\psi_f|E^{(+)}(\mathbf{r}, t)|\psi_i\rangle = \\ &= \langle\psi_i|E^{(-)}(\mathbf{r}, t)E^{(+)}(\mathbf{r}, t)|\psi_i\rangle; \end{aligned} \quad (2.93)$$

s-a utilizat relația de închidere

$$\sum_f |\psi_f\rangle\langle\psi_f| = 1 \quad (2.94)$$

și relațiile de comutare între operatorii  $\hat{a}_k$  și  $\hat{a}_k^+$ .

Ținînd seama că starea inițială  $|\psi_k\rangle$  este descrisă de operatorul densitate (2.91) se obține pentru media statistică a ratei de tranziție  $w$  expresia

$$\langle w \rangle = \sum_k p_k w_k = \text{Urm}[\hat{\rho}E^{(-)}(\mathbf{r}, t)E^{(+)}(\mathbf{r}, t)]. \quad (2.95)$$

Întrucît rata de tranziție  $\langle w \rangle$  poate fi considerată o măsură a intensității medii în punctul  $(\mathbf{r}, t)$  rezultă că expresia (2.95) determină funcția de coerență cuantică de ordinul al doilea sub forma

$$\Gamma^{(1,1)}(\mathbf{r}, t; \mathbf{r}', t') = \text{Urm}[\hat{\rho}E^{(-)}(\mathbf{r}, t)E^{(+)}(\mathbf{r}', t')] \quad (2.96)$$

astfel încît  $\Gamma(\mathbf{r}, t; \mathbf{r}, t)$  este intensitatea medie detectată. Prin generalizare se admite că funcția de coerență cuantică de ordin superior are expresia (2.10).

În cazul în care se consideră detectorul ca fiind constituit dintr-un singur atom cu un singur electron de valență studiul probabilității de tranziție din starea inițială a sistemului  $|\varphi_i\psi_i\rangle$  și starea finală  $|\varphi_f\psi_f\rangle$ , unde



$|\varphi\rangle$  se referă la atom iar  $|\psi\rangle$  se referă la câmp, se face utilizându-se formalismul de interacție și metoda perturbațiilor.

Astfel, pentru lungimi de undă mai mari decât dimensiunile atomice se utilizează aproximația de dipol electric, încît hamiltonianul de interacție are forma

$$\hat{H}_I = - e\hat{x}(t) E(0, t). \quad (2.97)$$

Întrucît operatorul unitar de evoluție al sistemului supus câmpului la  $t = 0$ , are forma

$$\hat{U}(t, 0) = 1 - i \int_0^t \hat{H}_I(t') \hat{U}(t', 0) dt'; \quad (\hat{U}(0, 0) = 1), \quad (2.98)$$

rezultă pentru probabilitatea de tranziție din starea inițială în starea finală expresia

$$p_{|\varphi_i \psi_i\rangle \rightarrow |\varphi_f \psi_f\rangle} = |\langle \varphi_f \psi_f | \hat{U}(t, 0) | \varphi_i \psi_i \rangle|^2 \quad (2.99)$$

a cărei dependență de  $E(0, t')$  arată rolul preponderent al componentei  $E^{(+)}$  în absorbție întrucît conține factorul  $\exp[i(\omega_{\varphi_i \varphi_f} - \omega_k)t']$  spre deosebire de  $E^{(-)}$  care conține factorul  $\exp[i(\omega_{\varphi_i \varphi_f} + \omega_k)t']$  rapid variabil, în comparație cu timpul de răspuns al detectorului.

(Deoarece nu toți fotoelectronii sînt detectați se introduce un factor numit eficiența cuantică a detectorului.)

În mod asemănător se poate studia, într-un experiment prin coincidență, realizat prin considerarea a  $n$  detectori formați dintr-un singur atom, plasați în punctele  $\mathbf{r}_1, \mathbf{r}_2, \dots, \mathbf{r}_n$  și expuși radiației la momentul  $t = 0$ , probabilitatea  $p^{(n)}(t)$  ca fiecare detector să fi absorbit cîte un foton la momentul  $t$ .

În acest scop se utilizează aproximația de dipol electric în scrierea hamiltonianului de interacție pentru cei  $n$  atomi care nu interacționează mutual și metoda perturbațiilor. Soluția iterativă a lui Dyson [78]

$$\hat{U}(t, 0) = \sum_{n=0}^{\infty} \frac{(-i)^n}{n!} \int_0^t dt_1 \dots \int_0^t dt_n \hat{T}[\hat{H}_I(t_1) \dots \hat{H}_I(t_n)] \quad (2.100)$$

unde  $T$  este operatorul de ordonare temporală a produsului, conduce la expresia probabilității de tranziție

$$p^{(n)}(t) = ct. \int_0^t dt'_1 \dots \int_0^t dt'_n \text{Urm}[\hat{\rho} E^{(-)}(x_1) \dots E^{(-)}(x_n) E^{(+)}(x_{n+1}) \dots \\ \dots E^{(+)}(x_{2n})] \quad (2.101)$$

care pune în evidență efectele cuantice de ordin superior și faptul important că funcția de coerență este asociată cu un produs ordonat normal al operatorilor de câmp, datorită rolului preponderent al proceselor de absorbție în detectorii de acest tip.



În mod analog, în cazul detectorilor prin emisie stimulată se poate arăta că pot fi măsurate funcții care corespund unui *produs anti-normal ordonat* al operatorilor de câmp avînd forma

$$\text{Urm}[\hat{p}E^{(+)}(x_1) \dots E^{(+)}(x_n) E^{(-)}(x_{n+1}) \dots E^{(-)}(x_{2n})]. \quad (2.102)$$

În cazul acestor detectori rata de detecție este determinată atît de emisia stimulată, cît și de emisia spontană, ceea ce arată diferența dintre ratele de detecție prin emisie și absorbție fapt evidențiat teoretic de necomutativitatea operatorilor de câmp de creare și anihilare.

(De exemplu, un detector prin absorbție așezat simetric într-un dispozitiv Young,  $x$  și  $y$  caracterizînd sursele secundare ale dispozitivului, măsoară mărimea  $\text{Re}\{\text{Urm}[\hat{p}E^{(-)}(x)E^{(+)}(y)]\}$  pe cînd un detector prin emisie stimulată plasat în același loc măsoară mărimea  $\text{Re}\{\text{Urm}[\hat{p}E^{(+)}(y)E^{(-)}(x)]\}$  diferența dintre cele două rezultate datorîndu-se emisiei spontane.)

Principalele proprietăți ale funcției de coerență cuantice

$$p^{(n,m)}(x_1, x_2, \dots, x_n; x_{n+1}, \dots, x_{n+m}) = \text{Urm}[\hat{p}E^{(-)}(x_1) \dots E^{(-)}(x_n)E^{+}(x_{n+1}) \dots E^{+}(x_{n+m})] \quad (2.103)$$

sînt următoarele: hermiticitatea, deoarece operatorii  $E^{(-)}$  și  $E^{(+)}$  sînt hermitic conjugați, invarianța spațio-temporală pentru cîmpurile statistic omogene și staționare, comutativitatea „locală” în cadrul aceluiași tip de operatori, precum și alte proprietăți analoge celor ale funcțiilor *Wightman*, care ca valori medii ale produsului operatorilor de câmp în raport cu vectorii de stare ai vidului, reprezintă un tip special de funcții de coerență. Pentru un produs de operatori de câmp ordonat normal  $\Gamma_{\mathcal{N}(\text{vid})}^{(n,n)} = 0$ , ca urmare a condiției de stabilitate a vidului

$$\hat{A}^{+}|0\rangle = 0, \quad (2.104)$$

deci vidul fizic nu afectează măsurările de corelație de acest tip.

### 2.3.2. Cîmpuri coerente și stări coerente ale cîmpurilor

În cazul fenomenelor de coerență de ordinul al doilea, condiția de coerență completă

$$|\gamma_{\mathcal{N}}^{(1,1)}(x_1, x_2)| = 1 \quad (2.105)$$

este echivalentă ca și în cazul clasic cu condiția de factorizare

$$\Gamma_{\mathcal{N}}^{(1,1)}(x_1, x_2) = V^{*}(x_1) V(x_2) \quad (2.106)$$

care este necesară și suficientă.

Prin analogie cu condiția (2.106) se poate vorbi de „coerență” completă de ordinul  $2N$ , dacă pentru orice  $n, m \leq N$  (de obicei  $m = n$ ) este satisfăcută condiția de factorizare

$$\Gamma_{\mathcal{N}}^{(m,n)}(x_1, x_2, \dots, x_{m+n}) = \prod_{j=1}^m V^{*}(x_j) \prod_{k=m+1}^{m+n} V(x_k). \quad (2.107)$$

Dacă din punct de vedere clasic cîmpurile complet coerente (fără zgomot) sînt descrise cu ajutorul funcției  $\delta$  a lui Dirac, din punct de



vedere cuantic, cîmpurile complet coerente, care satisfac condiția (2.107), sînt descrise cu ajutorul *stărilor coerente ale cîmpului*.

Un exemplu de cîmp care posedă coerență completă de ordinul al doilea este un cîmp monocromatic, deși monocromaticitatea nu este o condiție necesară pentru coerența de ordinul al doilea.

Se poate arăta că cel mai general cîmp care posedă coerența de ordinul al doilea este cel în care este excitat un singur mod, nu neapărat monocromatic. Această observație conduce la o analogie interesantă între modurile coerente ale cîmpului de radiație și stările de superfluiditate și superconductivitate, unde se utilizează conceptul de condensare Bose-Einstein într-un singur mod.

a) *Stările coerente ale cîmpului*. În capitolul 1 s-au definit *stările Fock* sau *stările operatorului număr de particule*  $|n\rangle$  ca fiind stările proprii ale operatorului  $\hat{n} = \hat{a}^+ \hat{a}$ , conform ecuației

$$\hat{n}|n\rangle = n|n\rangle. \quad (2.108)$$

Aceste stări pot fi exprimate funcție de starea vidului  $|0\rangle$ , astfel

$$|n\rangle = \frac{1}{\sqrt{n!}} \hat{a}^{+n} |0\rangle \quad (2.109)$$

și alcătuiesc un sistem ortonormat încît

$$\sum_{n=0}^{\infty} |n\rangle \langle n| = 1. \quad (2.110)$$

Utilizarea stărilor Fock pentru descrierea cuantică a coerenței este nesatisfăcătoare întrucît acestea nu conțin informația de fază privind cîmpurile și nu permit trecerea la limita clasică.

Aceste limitări sînt înlăturate dacă se utilizează formalismul stărilor coerente ale cîmpului, introdus de Schrödinger în 1927, dar dezvoltat și aplicat pentru studiul cuantic al coerenței de către Glauber (1963).

Prin definiție, *stările coerente*  $|\alpha\rangle$  sînt stările proprii ale operatorului de anihilare  $\hat{a}$  conform ecuațiilor

$$\hat{a}|\alpha\rangle = \alpha|\alpha\rangle \quad (2.111)$$

$$\langle\alpha|\hat{a}^+ = \langle\alpha|\alpha^* \quad (2.112)$$

unde  $\alpha$  este un număr complex ( $\hat{a}$  nu este hermitic).

Se poate arăta că stările coerente se pot obține cu ajutorul *operatorului unitar „deplasare”*

$$\hat{U}(\alpha) = \exp(\alpha\hat{a}^+ - \alpha^*\hat{a}) \quad (2.113)$$

pornindu-se de la stările vidului, astfel

$$|\alpha\rangle = \hat{U}(\alpha)|0\rangle. \quad (2.114)$$

Dezvoltînd în serie Taylor operatorul  $\hat{U}(\alpha)$  se obține

$$|\alpha\rangle = \exp\left(-\frac{1}{2}|\alpha|^2\right) \sum_{n=0}^{\infty} \frac{\alpha^n}{\sqrt{n!}} |n\rangle, \quad (2.115)$$

adică exprimarea lui  $|\alpha\rangle$  funcție de stările Fock ale cîmpului  $|n\rangle$ .



(Se observă  $\hat{U}^{-1}(\alpha) \hat{a} \hat{U}(\alpha) = \hat{a} + \alpha$  și  $\hat{U}^{-1}(\alpha) \hat{a}^+ \hat{U}(\alpha) = \hat{a}^+ + \alpha^*$ , adică  $\hat{U}(\alpha)$  acționează asupra operatorului  $\hat{a}$  ca un operator de deplasare cu cantitatea complexă  $\alpha$ .)

Stările coerente sînt *normate*  $\langle \alpha | \alpha \rangle = 1$ , dar *nu sînt ortogonale*, după cum rezultă din produsul

$$\langle \alpha | \beta \rangle = \exp \left( -\frac{1}{2} |\alpha|^2 - \frac{1}{2} |\beta|^2 + \alpha^* \beta \right), \quad (2.116)$$

ortogonalitatea fiind numai aproximativă, acoperirea lor devenind foarte mică, dacă  $|\alpha - \beta| \gg 1$ . Deși sînt mutual dependente, stările coerente alcătuiesc un sistem *supracomplet* de stări proprii întrucît o stare arbitrară poate fi exprimată funcție de stările coerente.

Condiția de *completitudine*

$$\frac{1}{\pi} \int |\alpha\rangle \langle \alpha| d^2\alpha = \hat{1} \quad (2.117)$$

determină „rezoluția unitară” a sistemului supracomplet de stări proprii.

Dacă se introduc variabilele dinamice  $\hat{p}$  și  $\hat{q}$  ale cîmpului

$$\hat{p} = -i \sqrt{\frac{\hbar\omega}{2}} (\hat{a} - \hat{a}^+) \text{ și } \hat{q} = \sqrt{\left(\frac{\hbar}{2\omega}\right)} (\hat{a} + \hat{a}^+) \quad (2.118)$$

și se calculează abaterile

$$\begin{aligned} \langle (\Delta \hat{q})^2 \rangle &= \langle \hat{q}^2 \rangle - \langle \hat{q} \rangle^2 \text{ și } \langle (\Delta \hat{p})^2 \rangle = \\ &= \langle \hat{p}^2 \rangle - \langle \hat{p} \rangle^2 \end{aligned} \quad (2.119)$$

funcție de stările coerente ale cîmpului, se obține egalitatea

$$\langle (\Delta \hat{q})^2 \rangle \langle (\Delta \hat{p})^2 \rangle = \frac{\hbar^2}{4}. \quad (2.120)$$

ceea ce evidențiază faptul că stările coerente se apropie cel mai mult de limita clasică (sînt stări cu incertitudine minimă).

Numărul de fotoni într-o stare coerentă  $|\alpha\rangle$  poate lua orice valoare între 0 și  $\infty$ , după cum rezultă din calculul lui  $\langle n \rangle$  ținînd seama de expresia (2.115)

$$\langle n \rangle = \langle \alpha | \hat{a}^+ \hat{a} | \alpha \rangle = |\alpha|^2, \quad (2.121)$$

probabilitatea de a găsi  $n$  fotoni în starea  $|\alpha\rangle$  fiind de tip Poisson :

$$|\langle n | \alpha \rangle|^2 = \frac{\langle n \rangle^n}{n!} e^{-\langle n \rangle}. \quad (2.122)$$

Fie

$$\hat{q}(t) = \sqrt{\frac{\hbar}{2\omega}} (\hat{a} e^{-i\omega t} + \hat{a}^+ e^{i\omega t}) \quad (2.123)$$

operatorul coordonată asociat oscilatorului armonic, în descrierea Heisenberg și  $\alpha = |\alpha| e^{i\varphi}$  o valoare proprie a stării coerente  $|\alpha\rangle$ . Din calcul rezultă

$$\langle \alpha | \hat{q}(t) | \alpha \rangle = 2 \sqrt{\frac{\hbar}{2\omega}} |\alpha| \cos(\omega t - \varphi) \quad (2.124)$$



adică valoarea medie a lui  $\hat{q}(t)$  într-o stare coerentă este chiar coordonata oscilatorului armonic clasic.

Aceste rezultate arată că stările coerente sînt potrivite pentru a utilizîndu-se descrierea cuantică să se treacă la limita clasică.

De remarcat că trecerea la limita clasică trebuie să fie posibilă pentru stări cu numere mari de fotoni, pentru numere mici de fotoni fiind posibilă numai descrierea cuantică. În același timp se arată că

$$\langle n | \hat{q}(t) | n \rangle = 0 \quad (2.125)$$

adică stările Fock nu sînt potrivite pentru descrierea limitei clasice.

Din calculul expresiei  $\langle x | v \rangle$  rezultă că funcția de undă a unei stări coerente în reprezentarea  $x$  este constituită de pachetul de undă gaussian al stării fundamentale a oscilatorului armonic, avînd centrul deplasat cu partea reală  $q$  a lui  $|\alpha\rangle$  și un factor de fază determinat de partea imaginară a lui  $|\alpha\rangle$

$$\langle x | v \rangle = N e^{ipx - ipq/2} \exp \left[ -\left( \frac{x - q}{2q_0} \right)^2 \right] \quad (2.126)$$

unde

$$\alpha = q_0(\omega q + ip), \text{ deci } |\alpha\rangle \doteq |q, p\rangle \quad (2.127)$$

iar  $N$  este un factor de normare.

Reprezentarea vectorilor de stare  $|v\rangle$  și a operatorilor  $\hat{Q}$  funcție de stările coerente conduce la expresiile

$$|v\rangle = \frac{1}{\pi} \int |\alpha\rangle \langle \alpha | v \rangle d^2\alpha = \frac{1}{\pi} \int d^2\alpha \exp \left( -\frac{1}{2} |\alpha|^2 \right) v(\alpha^*) |\alpha\rangle \quad (2.128)$$

respectiv

$$\begin{aligned} \hat{Q} &= \frac{1}{\pi^2} \iint |\alpha\rangle \langle \alpha | \hat{Q} | \beta \rangle \langle \beta | d^2\alpha d^2\beta = \\ &= \frac{1}{\pi^2} \int d^2\beta \int d^2\alpha \exp \left[ -\frac{1}{2} |\beta|^2 + |\alpha|^2 \right] \hat{Q}(\beta^*, \alpha) |\beta\rangle \langle \alpha|. \end{aligned} \quad (2.129)$$

b) *Reprezentarea diagonală a matricei densitate.* Stările mixte ale cîmpului fiind descrise cu ajutorul matricei densitate, se pune problema exprimării acestei matrice cu ajutorul stărilor coerente.

Prin analogie cu expresia (2.129), operatorul densitate se poate exprima sub forma nediagonală

$$\hat{\rho} = \frac{1}{\pi^2} \iint |\alpha\rangle \langle \alpha | \hat{\rho} | \beta \rangle \langle \beta | d^2\alpha d^2\beta. \quad (2.130)$$

Problema care se pune este de a se stabili în ce condiții matricea densitate admite reprezentarea diagonală

$$\hat{\rho} = \int \mathcal{P}_N(\alpha) |\alpha\rangle \langle \alpha | d^2\alpha \quad (2.131)$$



care constă dintr-o mixtură de operatori de proiecție  $|\alpha\rangle\langle\alpha|$  pe stările coerente,  $\varphi_{\mathcal{R}}(\alpha)$  fiind o funcție de pondere care satisface condiția de normare

$$\int \varphi_{\mathcal{R}}(\alpha) d^2\alpha = 1 \quad (2.132)$$

( $\varphi_{\mathcal{R}}(\alpha)$  este o funcție reală de variabilă complexă  $\alpha$ ).

Un exemplu simplu de reprezentare diagonală îl constituie operatorul densitate pentru o stare coerentă pură

$$\hat{\rho} = |\alpha_0\rangle\langle\alpha_0|. \quad (2.133)$$

Reprezentarea (2.131) există dacă se poate evalua funcția de pondere  $\varphi_{\mathcal{R}}(\alpha)$ , prin rezolvarea ecuației integrale

$$\langle\alpha|\hat{\rho}|\alpha\rangle = \int \varphi_{\mathcal{R}}(\beta) |\langle\beta|\alpha\rangle|^2 d^2\beta \quad (2.134)$$

care este de forma unui produs de convoluție.

Funcția de pondere  $\varphi_{\mathcal{R}}(\beta)$  nu poate fi interpretată ca o distribuție de probabilitate obișnuită deoarece nu este nenegativă și poate avea singularități mai puternice decât funcția  $\delta$  ca urmare a faptului că nu poate fi măsurată direct (datorită necomutativității operatorilor de creare și anihilare). O astfel de funcție constituie o *ultradistribuție* sau o *funcție de cvasiprobabilitate*, fiind corelată cu distribuția Wiener [78].

Interpretând funcția  $\varphi_{\mathcal{R}}(\beta)$  ca o ultradistribuție, Sudarshan a arătat posibilitatea evaluării sale și reprezentării diagonale a oricărui operator densitate astfel încât reprezentarea diagonală corespunzătoare se mai numește *reprezentarea Glauber-Sudarshan*. (Glauber a studiat reprezentarea diagonală pentru câmpul de radiație termic).

Forma diagonală a matricei densitate este deosebit de utilă pentru calculul valorilor medii ale operatorilor de câmp ordonați normal. Astfel de valori medii intervin în evaluarea funcțiilor de corelație care descriu procesele de fotodetecție.

Ca urmare, valorile medii ale unor operatori de câmp ordonați normal pot fi exprimate ca valori medii clasice, fiind evidențiată echivalența formală dintre cele două moduri de descriere a coerenței.

De exemplu, valoarea medie a operatorului  $\hat{a}^{+r}\hat{a}^s$  se calculează astfel

$$\text{Urm} [\hat{\rho}\hat{a}^{+r}\hat{a}^s] = \int \varphi_{\mathcal{R}}(\alpha) \alpha^{*r}\alpha^s d^2\alpha. \quad (2.146)$$

O altă ultradistribuție care ne interesează este reprezentată de funcția  $\langle\alpha|\hat{\rho}|\alpha\rangle$  care intervine în calculul valorii medii a produsului anti-normal ordonat al operatorilor de câmp. Într-adevăr

$$\text{Urm} [\hat{\rho}\hat{a}^s\hat{a}^{+r}] = \frac{1}{\pi} \int [\alpha^{+r}\alpha^s \langle\alpha|\hat{\rho}|\alpha\rangle] d^2\alpha, \quad (2.147)$$

deci funcția  $\frac{1}{\pi} \langle\alpha|\hat{\rho}|\alpha\rangle$  joacă același rol cu  $\varphi_{\mathcal{R}}(\alpha)$ , însă pentru produsul antinormal ordonat, astfel că o vom desemna prin  $\varphi_{\mathcal{A}}(\alpha)$ .



Se constată că între ultradistribuțiile  $\varphi_{\mathcal{N}}(\alpha)$  și  $\varphi_{\mathcal{A}}(\beta)$  există relația

$$\varphi_{\mathcal{A}}(\beta) = \frac{1}{\pi} \int \varphi_{\mathcal{N}}(\alpha) \exp(-|\beta - \alpha|^2) d^2\alpha. \quad (2.148)$$

c) *Corespondența dintre teoriile cuantică și clasică ale coerenței.* Corespondența dintre teoriile cuantică și clasică ale coerenței evidențiată tangențial în paragrafele anterioare se referă în primul rând la echivalența funcțiilor de corelație cuantică (2.10) și clasică (2.9). Așa cum s-a mai menționat, această echivalență este în mare măsură formală, întrucât din punct de vedere fizic rezultatele cuantice diferă pentru câmpuri de mică intensitate, de cele clasice. Pentru câmpuri suficient de puternice însă, diferitele ordonări ale operatorilor nu joacă nici un rol,  $\varphi_{\mathcal{N}} \rightarrow \varphi_{\mathcal{A}}$ , astfel că există și o echivalență fizică a descrierilor clasică și cuantică ale coerenței. Alte aspecte ale corespondenței dintre cele două teorii se referă la statisticile de detecție.

Astfel, dacă se evaluează pe baza teoriei cuantice a detecției probabilitatea distribuției  $p(n)$  a numărului de fotoni la un moment dat  $t$  într-un volum normat  $L^3$ , se obține

$$p(n) = \int_0^\infty P_{\mathcal{N}}(m) \frac{m^n}{n!} \exp(-m) dm, \quad (2.149)$$

expresie identică cu ecuația clasică a fotodetecției (2.73), cu  $\eta = 1$ . Prin urmare, proprietățile statistice ale fotoelectronilor reflectă proprietățile statistice ale fotonilor. Acest lucru se datorește faptului că măsurările de fotodetecție sînt corelate cu un produs ordonat normal al operatorilor câmpului, încît fluctuațiile vidului nu dau contribuții la funcția de corelație „normală” (pentru o astfel de ordonare valoarea medie a vidului este nulă).

O altă analogie formală este determinată de valoarea medie cuantică

$$\langle \hat{n}^2 \rangle = \langle \hat{n}^2 \rangle_{\mathcal{N}} + \langle \hat{n} \rangle_{\mathcal{N}} \quad (2.150)$$

identică cu relația (2.79).

Același lucru se poate spune despre identitatea momentelor factoriale pentru cele două tipuri de distribuții, clasică și cuantică.

Dintre diferențele care apar între teoriile cuantică și clasică ale coerenței menționăm ca esențială comportarea funcțiilor de pondere  $\varphi_{\mathcal{N}}$  și  $\varphi_{\mathcal{A}}$  ca ultradistribuții.

### 2.3.3. Particularități ale unor câmpuri de radiație tipice

a) *Radiația termică* Se poate arăta că operatorul densitate pentru radiația termică de echilibru are forma [79]

$$\hat{\rho} = e^{-\beta \hat{H}} / \text{Urm}(e^{-\beta \hat{H}}) \quad (2.151)$$

unde  $\beta = 1/k_B T$ ,  $k_B$  fiind constanta lui Boltzmann, iar  $\hat{H}$  hamiltonianul câmpului de radiație

$$\hat{H} = \sum_k \omega_k \hat{a}_k^\dagger \hat{a}_k. \quad (2.152)$$



În raport cu vectorii proprii ai reprezentării Fock  $|n\rangle$ , se obține

$$\hat{\rho} = (1 - e^{-\beta\omega}) \sum_{n=0}^{\infty} (e^{-\beta\omega})^n |n\rangle \langle n| \quad (2.153)$$

astfel încât

$$\langle n \rangle = \text{Urm} (\hat{\rho} \hat{a}^\dagger \hat{a}) = \frac{1}{e^{\beta\omega} - 1}, \quad (2.154)$$

în concordanță cu legea lui Planck a radiației termice. Punînd în evidență funcția de distribuție  $p(m)$  în expresia lui  $\hat{\rho}$  se poate scrie

$$\hat{\rho} = \sum_{m=0}^{\infty} p(m) |m\rangle \langle m| \quad (2.155)$$

unde distribuția

$$p(m) = \frac{1}{(1 + \langle n \rangle)} \left( \frac{\langle n \rangle}{1 + \langle n \rangle} \right)^m \quad (2.156)$$

este de tip Bose-Einstein.

Exprimînd operatorul densitate în raport cu stările coerente printr-o schimbare a bazei în expresia (2.155), se obține reprezentarea diagonală

$$\hat{\rho} = \frac{1}{\pi \langle n \rangle} \int \exp \left( -\frac{|\alpha|^2}{\langle n \rangle} \right) |\alpha\rangle \langle \alpha| d^2\alpha \quad (2.157)$$

unde funcția de pondere pentru un singur mod are forma :

$$\varphi_{\mathcal{N}}(\alpha) = \frac{1}{\pi \langle n \rangle} \exp \left( -\frac{\alpha^2}{\langle n \rangle} \right) \quad (2.158)$$

adică este o funcție gaussiană.

Rezultatele pot fi extinse pentru orice sursă de radiație haotică, condiția de echilibru termic nefiind absolut necesară. O astfel de sursă poate fi considerat și un tub de descărcare în gaze. Un câmp haotic este definit prin maximul entropiei

$$S = - \text{Urm} [\hat{\rho} \log \hat{\rho}]. \quad (2.159)$$

Pe baza rezultatelor de mai sus se pot studia funcțiile de corelație pentru descrierea coerenței temporale a radiației termice [72], precum și statisticile de fotoni corespunzătoare [73].

Întrucît pentru distribuțiile gaussiene, momentele de ordin superior pot fi exprimate funcție de cele de ordinul al doilea, rezultă că această proprietate o au și funcțiile de coerență de ordin superior, pentru radiația termică.

b) *Radiația laser*. Obținută prin emisie stimulată, spre deosebire de radiația termică care este obținută prin emisie spontană, radiația laser are proprietăți statistice diferite de cele ale radiației termice. Studiul riguros al acestor proprietăți, implică utilizarea unor formalisme cum ar fi : ecuațiile Langevin pentru amplitudinile complexe, ecuația Fokker-Planck pentru distribuția de probabilitate sau ecuația master pentru matricea densitate. În cele ce urmează vor fi evidențiate unele aspecte statistice ale radiației laser ideale, urmînd ca în capitolele următoare să fie dezvoltate formalismele semicuantic și cuantic ale laserilor.



Mecanismul de producere al radiației laser, ca urmare a oscilațiilor coerente în raport cu câmpul a atomilor mediului priviți ca dipoli care suferă tranziții, face ca acest tip de radiație să se afle, atunci când este excitat un singur mod, într-o stare coerentă descrisă de matricea densitate diagonală

$$\hat{\rho} = |\alpha\rangle\langle\alpha| \quad (2.160)$$

avînd funcția de pondere

$$\varphi_{\mathcal{N}}(\alpha) = \delta(\beta - \alpha). \quad (2.161)$$

Se știe că probabilitatea de a se găsi  $n$  fotoni într-o stare coerentă pentru un singur mod excitat este de tip Poisson. Rezultatele pot fi extinse pentru cazul excitării mai multor moduri, obținîndu-se o distribuție de probabilitate sub forma unei medii statistice peste diferitele distribuții Poisson [74]. Proprietățile statistice ale radiației laser sînt diferite pentru operarea sub prag a laserului în raport cu cele care caracterizează operarea în apropierea pragului sau peste pragul de oscilație.

Peste pragul de oscilație, proprietățile statistice ale radiației laserului real, rezultă din studiul superpoziției radiației coerente multimodale cu cea haotică multimodală. În acest caz, funcția de pondere  $\varphi_{\mathcal{N}}$  de exemplu, rezultă ca o convoluție între o gaussiană și distribuția  $\delta$  a lui Dirac. Metoda generală de studiu a superpoziției câmpurilor coerente cu cele haotice se bazează pe utilizarea funcțiilor de corelație.

*Observație.* Studiul proprietăților de coerență ale câmpurilor de radiație implică și analiza efectelor de interferență ale fasciculelor independente. Astfel, au fost observate bătăi între componentele necoerente ale unui dublet Zeeman [75], între fasciculele a doi laseri independenți [76] sau între două surse termice independente [77], utilizîndu-se tehnici de corelație. O analiză mai atentă însă a acestor experimente arată că afirmația lui Dirac privind „interferența unui foton numai cu el însuși”, se aplică și în acest caz.



## II. FUNDAMENTELE ELECTRONICII CUANTICE

### 3. TEORIA REZONATORILOR LASER

#### 3.1. Considerații generale privind utilizarea structurilor deschise ca rezonatori laser

Dispozitivele cuantice de emisie și amplificare a radiației în regiunea optică și cea a microundelor a spectrului electromagnetic, denumite *laseri* respectiv *maseri*, își bazează funcționarea pe interacția a două sisteme fizice: câmpul electromagnetic dintr-o cavitate optică rezonantă și mediul activ, situat în aceeași cavitate rezonantă, format din atomi, ioni, molecule etc. Prin excitarea mediului activ printr-un procedeu oarecare (clocniri electronice, pompaj optic, transfer rezonant de excitație, injecție etc.) în mediul activ se acumulează o mare cantitate de energie electromagnetică, care în anumite condiții poate fi eliberată prin emisie stimulată sub forma radiației laser (maser). În cele ce urmează se vor face referiri în special la dispozitivele laser. Posibilitatea realizării dispozitivelor laser a fost arătată de Townes, în anul 1958. În anul 1960, Maiman în S.U.A și Prohorov în U.R.S.S., realizează primii laseri din lume. În anul 1962, la Institutul de fizică atomică, s-a realizat sub conducerea prof. I. Agârbiceanu, primul laser din R. S. România, care a fost astfel printre primele țări din lume în acest domeniu.

Condițiile de „amplificare a luminii prin emisie stimulată a radiației (LASER)” pentru un sistem atomic cu două nivele  $|1\rangle$  și  $|2\rangle$  având populațiile  $N_1$  și  $N_2$ , pot fi stabilite sub o formă simplă, utilizându-se relațiile (1.40) — (1.42).

Astfel, din inegalitatea

$$(I_{si} + I_{sp}) > I_{ab} \text{ unde } I_{sp} \ll I_{st} \quad (3.1)$$

se obține condiția de *inversie de populație*

$$N_2 - N_1 > 0. \quad (3.2)$$

Această condiție este echivalentă, pe baza distribuției Boltzmann (1.32) a populațiilor, cu o stare având temperatura absolută negativă

$$T = \frac{1}{k} \frac{E_2 - E_1}{\ln \frac{N_1}{N_2}}. \quad (3.3)$$



În laseri, posibilitatea fizică a creării inversiei de populație este oferită de existența nivelelor atomice metastabile definite în § 1.4.

Condiția necesară de realizare a inversiei de populație nu este și suficientă pentru obținerea efectului laser, ca urmare a pierderilor care se produc în mediul de interacție. În consecință, se impune existența unui „cîștig” al liniei spectrale emise mai ridicat decît pierderile, condiție care poate fi îndeplinită numai dacă inversia de populație depășește un anumit prag  $N_p$ , numit *prag de oscilație*, adică

$$N_2 - N_1 > N_p. \quad (3.4)$$

În scopul micșorării pierderilor mediul activ se situează într-o cavitate optică rezonantă. (Utilizarea cavităților optice rezonante de tip Fabry-Pérot a fost propusă de către Prohorov, Dicke, Schawlow și Townes în anul 1958.)

Cavitatea optică rezonantă folosită în construcția laserilor are dimensiuni mult mai mari decît lungimea de undă a radiației electromagnetice din cavitate, prin aceasta deosebindu-se de cavitățile rezonante folosite în dispozitivele cu microunde. Constructiv este o structură deschisă, fiind formată din două oglinzi de înaltă reflectivitate, așezate la distanță mare una de alta (vezi fig. 1.7). Radiația electromagnetică din interiorul cavității apare datorită dezexcitării spontane sau stimulate a mediului activ, care se manifestă astfel ca o sursă de energie. Cavitatea se numește pasivă în absența mediului activ și activă în prezența acestuia. O cavitate optică rezonantă poate suporta un număr mare de „moduri de oscilație”, longitudinale și transversale, care sînt configurații stabile ale cîmpului electromagnetic din cavitate (vezi § 3.2). Modurile longitudinale sînt specificate prin numărul de noduri în lungul axei cavității, pe cînd modurile transversale sînt specificate prin numărul de noduri în planul oglinzilor, adică într-un plan normal pe axa optică.

Pentru o cavitate optică rezonantă de lungime  $L$ , frecvențele corespunzătoare diferitelor moduri de oscilație longitudinale sînt determinate de condiția

$$L = q \left( \frac{\lambda_q}{2} \right) \quad (3.5)$$

deci

$$\nu_q = \frac{q \cdot c}{2L}. \quad (3.6)$$

Fiecărui mod de oscilație transversal îi corespund numeroase moduri longitudinale, date de numărul de noduri în lungul axei cavității.

Specificarea modurilor de oscilație se face cu ajutorul notației  $TEM_{r,s,q}$ . Indicii  $r, s$ , se referă la modurile transversale și indică numărul de noduri (schimbări de fază) ale cîmpului electric peste oglindă în direcțiile  $x$  și  $y$ . Indicele  $q$  se referă la modurile longitudinale și indică numărul de noduri pentru undele staționare formate în lungul axei rezonatorului (de ordinul  $10^4 \div 10^7$ ).

Modurile longitudinale se deosebesc unul de altul numai prin frecvența de oscilație, pe cînd cele transversale se deosebesc atît în privința frecvenței cît și în privința distribuției cîmpului într-un plan normal pe axa laserului.



Mediul activ furnizează energie prin emisie stimulată acelor moduri ale cavității care se află sub profilul liniei tranziției laser (fig. 3.1). Dacă energia furnizată diferitelor moduri depășește pierderile acestora (este

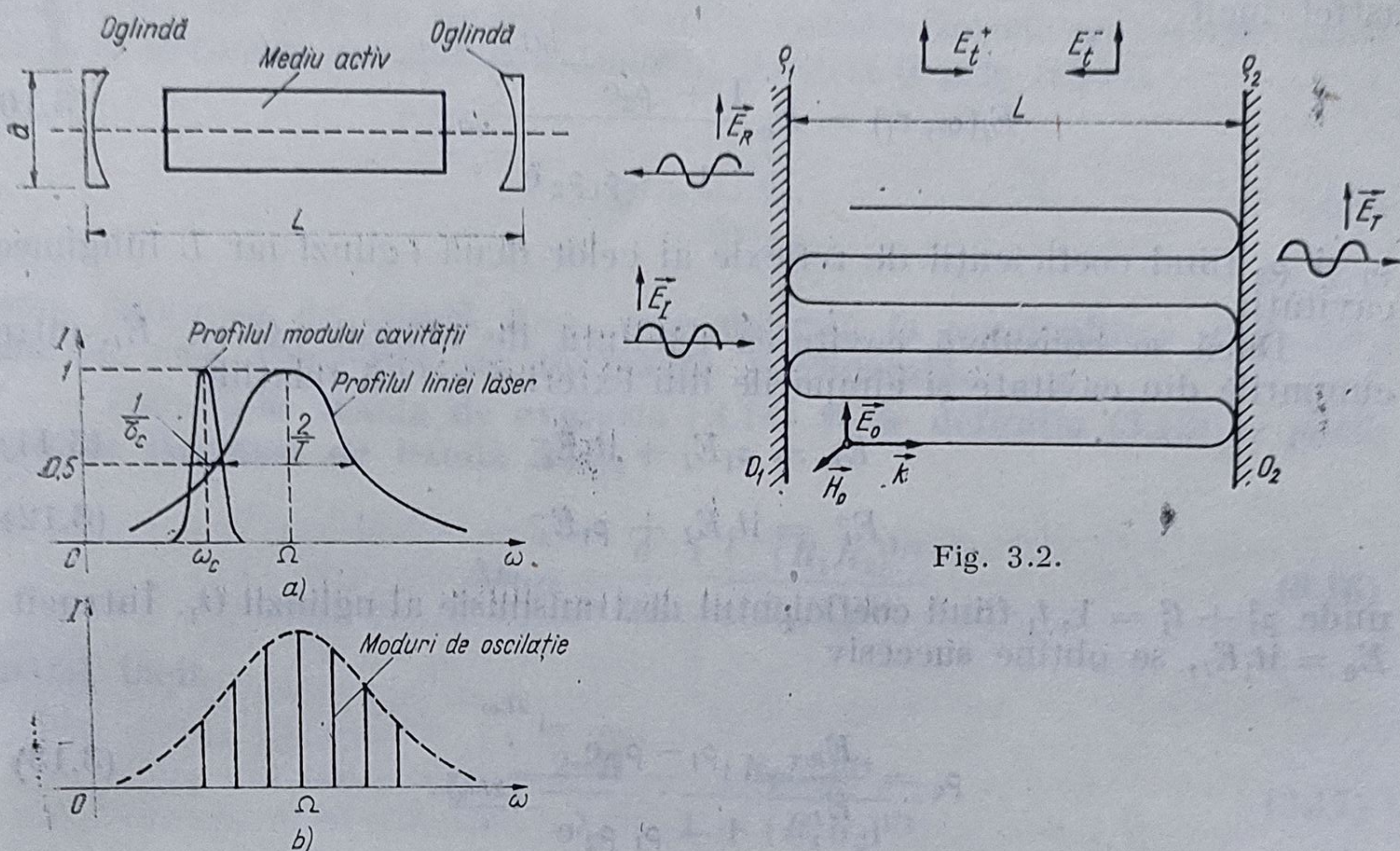


Fig. 3.1.

îndeplinită condiția de prag) laserul începe să oscileze pe aceste moduri, între care apar procese competitive.

Puterea laser utilă este extrasă din cavitate prin oglinzile rezonatorului (care au o transmisivitate de câteva procente) și reprezintă „pierderi” pentru funcționarea peste prag a dispozitivului. Prin urmare, oglinzile rezonatorului au și rolul de cuplaj cu exteriorul a energiei laser.

Dacă ne referim la cavitatea rezonantă pasivă din figura 3.2, formată din oglinzile  $O_1$  și  $O_2$  și definim coeficientul de reflexie

$$\rho_e = \frac{E_R}{E_I}, \quad (3.7)$$

adică prin raportul dintre intensitatea cîmpului reflectat  $E_R$  către intensitatea cîmpului incident  $E_I$ , se pot evalua, la rezonanță, cîmpurile totale care se propagă în cavitate, în cele două sensuri, pentru o schimbare de fază  $\varphi$  arbitrară,  $E_t^+$  și  $E_t^-$  și cîmpul total  $E_t$

$$E_t^+(\omega, z_1) = E_0(1 + \rho_1 \rho_2 e^{-i\varphi} + (\rho_1 \rho_2)^2 e^{-2i\varphi} + \dots)$$

$$= \frac{E_0(z_1)}{1 - \rho_1 \rho_2 e^{-\frac{-i2L\omega}{c}}} \left( \varphi = \frac{2L\omega}{c} \right) \quad (3.8)$$



respectiv

$$E_t^-(\omega, z_1) = \rho_2 E_t^+(\omega, z_1) e^{-\frac{2i(L - z_1)\omega}{c}} \quad (3.9)$$

astfel încît

$$E_t(\omega, z_1) = E_0 \frac{1 + \rho_2 e^{-\frac{2i(L - z_1)\omega}{c}}}{1 - \rho_1 \rho_2 e^{-\frac{2iL\omega}{c}}} \quad (3.10)$$

$\rho_1$  și  $\rho_2$  fiind coeficienții de reflexie ai celor două oglinzi iar  $L$  lungimea cavității.

Dacă se consideră cavitatea excitată de câmpul extern  $E_I$ , între câmpurile din cavitate și câmpurile din exterior există relațiile

$$E_R = \rho_1 E_I + it_1 E_t^- \quad (3.11)$$

$$E_t^+ = it_1 E_I + \rho_1 E_t^- \quad (3.12)$$

unde  $\rho_1^2 + t_1^2 = 1$ ,  $t_1$  fiind coeficientul de transmisie al oglinzii  $O_1$ . Întrucît  $E_0 = it_1 E_I$ , se obține succesiv

$$\rho_e = \frac{E_R}{E_I} = \frac{\rho_1 - \rho_2 e^{-i\frac{2L\omega}{c}}}{1 - \rho_1 \rho_2 e^{-i\frac{2L\omega}{c}}} \quad (3.13)$$

$$T = 1 - \rho_e \rho_e^* = \frac{(1 - R_1)(1 - R_2)}{[1 - (R_1 R_2)^{1/2}]^2 + 4(R_1 R_2) \sin^2\left(\frac{\omega}{c} L\right)} \quad (3.14)$$

unde  $R_{1,2} = \rho_{1,2}^2$  sînt reflectivitățile oglinzilor iar  $T$  transmitanța cavității.

Dependența transmitanței funcție de unghiul  $\theta = \frac{\omega}{c} L$  este prezentată în figura 3.3.

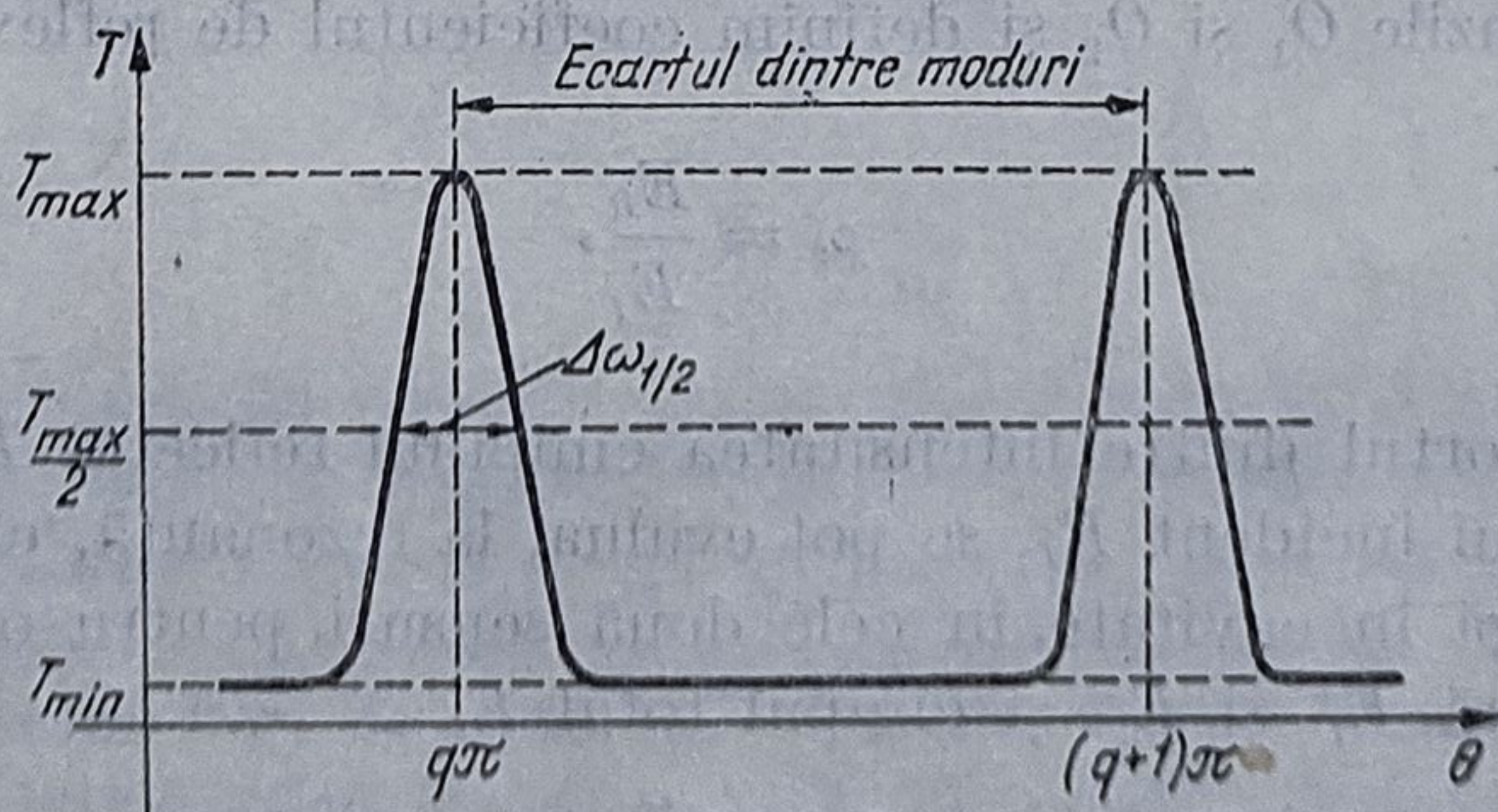


Fig. 3.3

Se observă că la rezonanță puterea transmisă este maximă (Pentru  $R_1 = R_2$ ,  $T = 1$ ; deci, în acest caz la rezonanță, toată puterea este transmisă de cavitate).



Întrucît reflectivitatea oglinzilor este ridicată ( $R_1 = R_2 \simeq 0,99$ ), rezultă că în interiorul cavității energia trebuie să fie foarte mare, pentru ca puterea emergentă în aceste condiții să fie egală cu puterea incidentă. Prin urmare, în cavitate se stochează energia de la sursă, ca urmare a proceselor de reflexie multiplă. Pentru caracterizarea selectivității cavității se definește *factorul de calitate* al acesteia  $Q$  prin relația

$$Q = \frac{\omega_0}{\Delta\omega_{1/2}} \quad (3.15)$$

unde lărgimea de bandă  $\Delta\omega_{1/2}$  este definită la semiînălțime (fig. 3.3), iar  $\omega_0$  este frecvența de rezonanță considerată.

Ținîndu-se seama de expresia (3.14) și de definiția (3.15) se poate calcula lărgimea de bandă  $\Delta\omega_{1/2}$ :

$$\Delta\omega_{1/2} = \frac{c}{2L} \frac{1 - (R_1 R_2)^{1/2}}{\pi(R_1 R_2)^{1/4}} \quad (3.16)$$

astfel încît

$$Q = \frac{2\pi L}{\lambda_0} \cdot \frac{(R_1 R_2)^{1/4}}{1 - (R_1 R_2)^{1/2}}. \quad (3.17)$$

La frecvențe optice  $Q \simeq 10^8 \div 10^9$  deci are o valoare foarte mare ( $\Delta\omega_{1/2}$  fiind de ordinul sutelor de kHz). Proprietățile „de filtrare” ale cavității mai pot fi descrise cu ajutorul unei alte mărimi, numită *finețe* definită prin relația:

$$F = \frac{c}{2L} \cdot \frac{1}{\Delta\omega_{1/2}}. \quad (3.18)$$

adică prin raportul dintre ecartul dintre moduri și lărgimea de bandă  $\Delta\omega_{1/2}$  ( $F$  este de ordinul sutelor).

Alte definiții echivalente ale factorului de calitate  $Q$ , utilizate în calcule sînt următoarele:

$$Q = 2\pi \frac{\text{energia stocată în sistem la rezonanță}}{\text{pierderea de energie într-o perioadă}} \quad (3.19)$$

sau

$$Q = \omega_0 \frac{\text{energia stocată în sistem la rezonanță}}{\text{pierderea de putere medie}}. \quad (3.20)$$

O altă caracteristică importantă a cavității rezonante o reprezintă timpul de viață al fotonului în cavitate  $\tau_c$ .

Pentru a se evalua acest timp se consideră un ansamblu de fotoni  $n$  care se propagă în cavitatea din fig. 3.2. Întrucît pentru un parcurs



— întors prin cavitate numărul de fotoni  $n$  scade la valoarea  $R_1 R_2 n$ , rezultă pentru rata de variație a lui  $n$  expresia

$$\frac{dn}{dt} = - \frac{1 - R_1 R_2}{2L/c} n. \quad (3.21)$$

Ecuatia diferențială (3.21) admite soluția

$$n(t) = n_0 e^{-\frac{t}{\tau_c}} \quad (3.22)$$

unde

$$\tau_c = \frac{2L/c}{1 - R_1 R_2} \quad (3.23)$$

este timpul de viață al fotonilor în cavitate,  $n_0$  fiind numărul inițial de fotoni.

Ținând seama de definiția (3.20) a factorului de calitate

$$Q = \omega_0 \frac{E}{-dE/dt} \quad (3.24)$$

unde  $E$  este energia stocată la rezonanță se obține prin integrare

$$E(t) = E_0 e^{-\frac{t\omega_0}{Q}} \quad (3.25)$$

deci

$$\tau_c = \frac{Q}{\omega_0} \text{ sau } \Delta\omega_{1/2} \tau_c = 1, \quad (3.26)$$

relații care stabilesc legătura dintre timpul de viață al fotonului și factorul de calitate al rezonatorului.

### 3.2. Distribuția modală a câmpului într-un rezonator optic

În teoria electromagnetică a rezonatorilor optici, se utilizează pentru calculul distribuției modale a câmpului de radiație integrala Kirchhoff-Fresnel din teoria scalară a difracției și principiul lui Huygens, datorită dificultăților care apar în rezolvarea directă a ecuațiilor lui Maxwell, cu condiții la limită corespunzătoare, ca în microunde, ca urmare a numărului mare de moduri de oscilație ale cavității optice, având dimensiuni mult mai mari decât lungimea de undă a radiației.

În cele ce urmează ne vom referi la o cavitate optică pasivă, confocală, formată din două oglinzi sferice, pătrate, de latură  $2a$ , apertura, raza de curbură  $R$  și distanța dintre oglinzi  $L$  fiind mult mai mari decât  $\lambda$  (fig. 3.4). Teoria electromagnetică dezvoltată de Li, Fox, Boyd și Gordon permite determinarea condiției generale de rezonanță, calculul distribuției câmpului optic în interiorul și în afara cavității precum și stabilirea unor expresii matematice pentru factorul de calitate al modurilor de oscilație.



Cîmpul din cavitate aproximativ transversal este presupus liniar polarizat în direcția  $y$ . Datorită pierderilor mici ale cavității, radiația parcurge de un mare număr de ori distanța dintre oglinzi prin reflexii

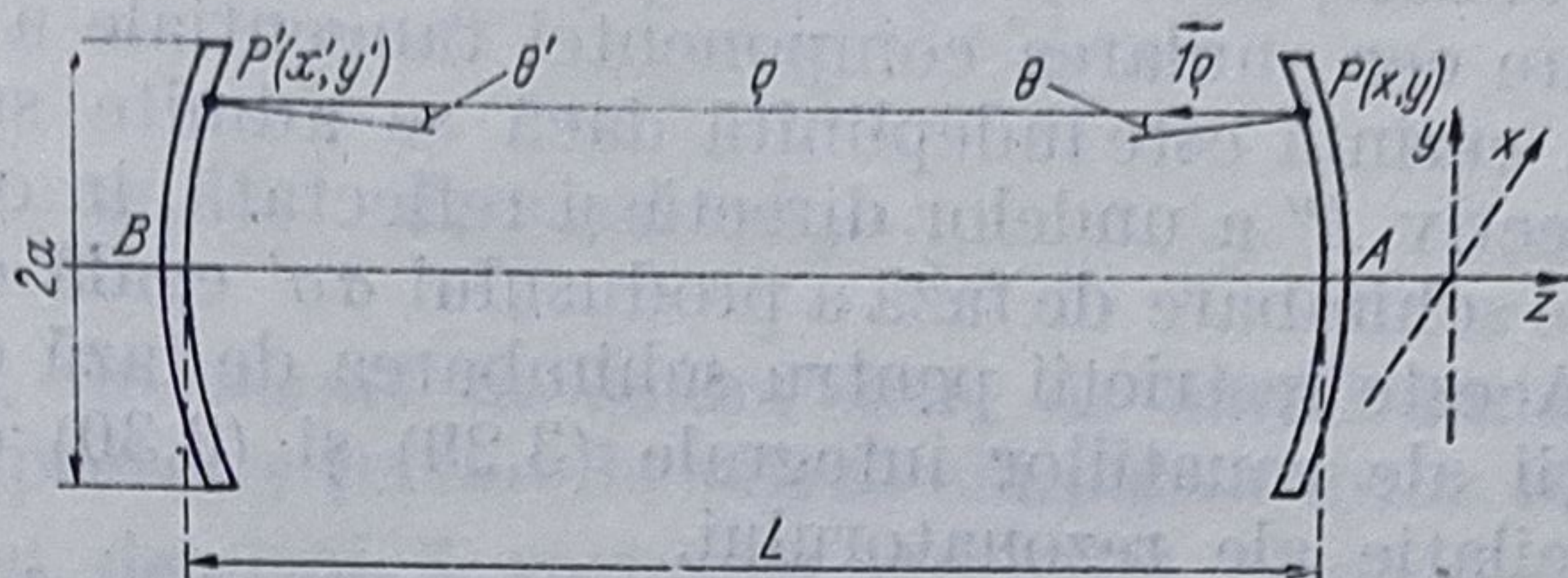


Fig. 3.4

succesive pe acestea, distribuțiile cîmpului pe cele două oglinzi fiind  $E_A$  și  $E_B$ . Cîmpul la o oglindă se poate exprima funcție de cîmpul la cealaltă oglindă cu ajutorul ecuației integrale Kirchhoff-Fresnel a difracției. Funcțiile proprii ale acestei ecuații vor determina modurile de oscilație ale cavității, iar valorile proprii corespunzătoare vor conduce la condiția de rezonanță.

Prin urmare, cîmpul  $E(x, y)$  în punctul  $P(x, y)$  de pe oglinda  $A$ , se va obține prin însumarea contribuțiilor surselor constituite de toate punctele  $P'(x', y')$  de pe oglinda  $B$ , conform ecuației

$$E(x, y) = \int_{S'} \frac{ik(1 + \cos \theta')}{4\pi \rho} e^{-ik\rho} E'(x', y') dS' \quad (3.27)$$

unde  $S'$  este suprafața oglinzii  $B$ ,  $\rho$  raza vectorie dintre punctele  $P$  și  $P'$ , iar  $\theta'$  unghiul format de direcția vectorului  $\rho$  cu normala la suprafața oglinzii  $B$  în punctul  $P'$ .

În mod analog se poate scrie expresia cîmpului în punctele  $P'$  ale oglinzii  $B$

$$E'(x', y') = \int_S \frac{ik(1 + \cos \theta)}{4\pi \rho} e^{-ik\rho} E(x, y) dS \quad (3.28)$$

unde  $S$  și  $\theta$  au semnificații asemănătoare lui  $S'$  și  $\theta'$ .

Dacă, la regim staționar, mărimile  $E(x, y)$  și  $E'(x', y')$  reprezintă cîmpul aceluiași mod de oscilație, care se reproduce peste oglinzile cavității ca urmare a reflexiilor succesive, atunci acestea trebuie să verifice ecuațiile cuplate cu valori proprii și funcții proprii

$$\sigma E(x, y) = \int_{S'} \frac{ik(1 + \cos \theta')}{4\pi \rho} e^{-ik\rho} E'(x', y') dS' \quad (3.29)$$

$$\sigma' E'(x', y') = \int_S \frac{ik(1 + \cos \theta)}{4\pi \rho} e^{-ik\rho} E(x, y) dS \quad (3.30)$$

unde  $\sigma$  și  $\sigma'$  sînt constante complexe care specifică valorile proprii ale ecuațiilor integrale de mai sus.



(Într-adevăr, calculul  $E = E(E') = E(E'(E))$  implică admiterea relației  $E_{i+1} = \sigma E_i$  care pentru regim staționar se scrie  $E = \sigma E$ ).

Soluțiile ecuațiilor de mai sus satisfac ecuațiile lui Maxwell în aproximația Kirchhoff, deci vor satisface și condițiile la limită pe suprafețele  $S$  și  $S'$  care cer anularea componentei tangențiale a lui  $E$ , respectiv  $E'$ . Această cerință este îndeplinită dacă se admite suprapunerea în punctele  $P$ , respectiv  $P'$  a undelor directă și reflectată, în opoziție de fază, ceea ce implică o schimbare de fază a produsului  $\sigma\sigma'$  egală cu  $2\pi q$ , unde  $q$  este un întreg. Aceste restricții pentru schimbarea de fază determină setul discret de soluții ale ecuațiilor integrale (3.29) și (3.30) care reprezintă modurile de oscilație ale rezonatorului.

*Determinarea analitică a distribuției modale a câmpului și a condiției de rezonanță.*

Dintre metodele de rezolvare a ecuațiilor (3.29) și (3.30) mai semnificative sînt metoda de analiză numerică a lui Fox și Li și metoda analitică dezvoltată de Boyd, Gordon și Kogelnik [61].

În cele ce urmează să vor discuta aceste metode pentru cazul rezonatorului confocal prezentat în fig. 3.4.

*Metoda numerică a lui Fox și Li* este o metodă iterativă și constă în calculul succesiv al câmpurilor în punctele  $P(P')$  funcție de câmpurile în punctele  $P'(P)$  utilizîndu-se principiul lui Huygens. După un număr suficient de mare de iterații se ajunge la regim staționar pentru distribuția câmpului și fazei, comportarea fiind diferită pentru modurile simetrice în raport cu cele asimetrice. Curbele obținute de Fox și Li pentru distribuția amplitudinilor și fazei câmpului sînt prezentate calitativ în figura 3.5.

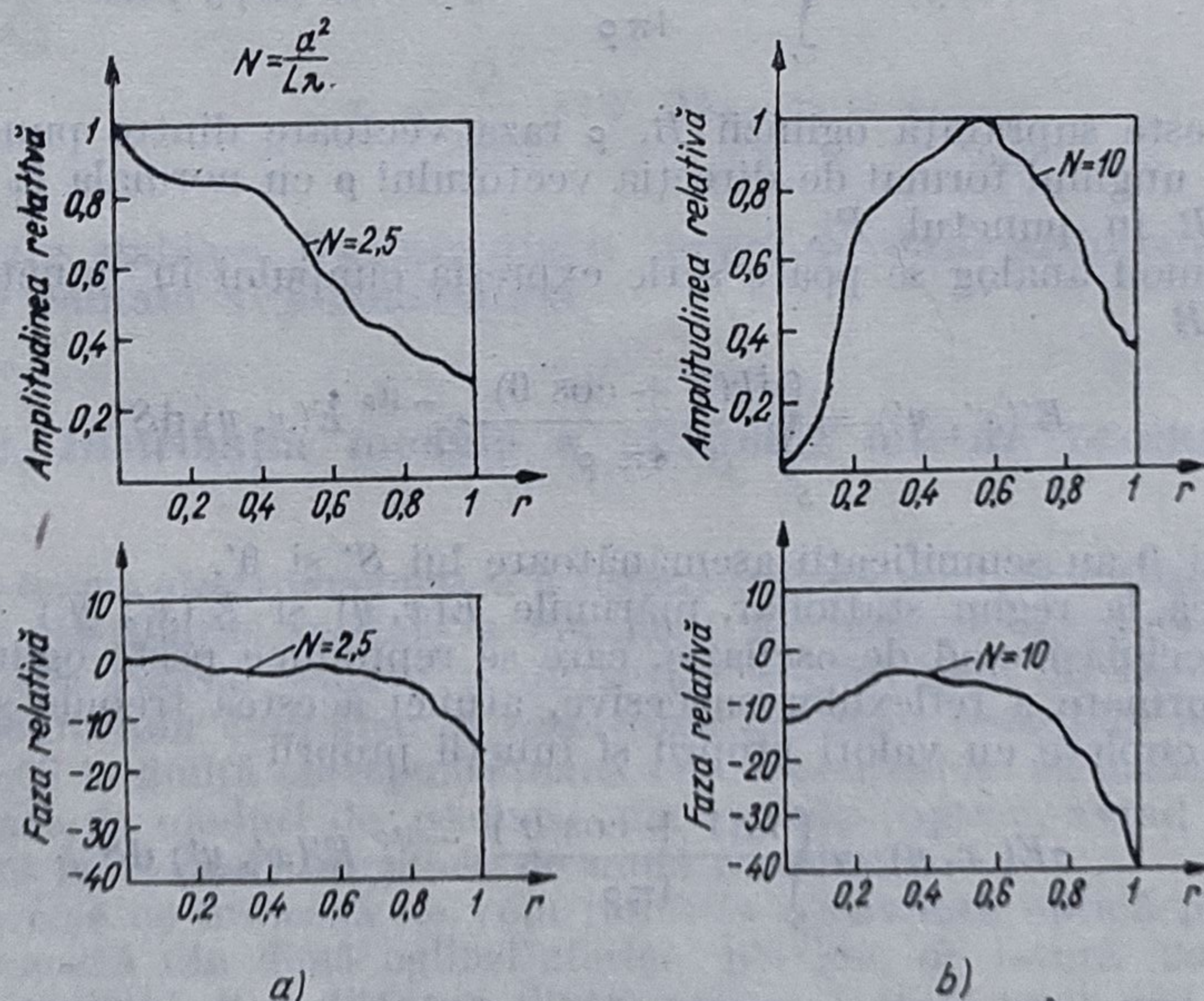


Fig. 3.5

*Metoda analitică* de calcul a distribuției modale a câmpului constă în transformarea ecuațiilor integrale ale lui Kirchhoff în ecuații Fredholm de speța a doua ale căror soluții generale sînt cunoscute.



Vom presupune că distribuția câmpului care determină modurile normale ale rezonatorului se reproduce peste fiecare oglindă succesiv după relația

$$E = E_1 f_r(x) g_s(y) \quad (3.31)$$

unde

$$E_1 = \sigma_r \sigma_s E_0. \quad (3.32)$$

Factorii  $\sigma_r$  și  $\sigma_s$  țin seama de schimbările de amplitudine și fază după direcțiile  $x$  și respectiv  $y$  pe care le suferă câmpul în urma reflexiilor succesive,  $f_r(x)$  și  $g_s(y)$  determină variațiile câmpului peste apertura oglinzii, iar  $E_0$  este un factor de amplitudine constant. Indicii întregi  $r$  și  $s$  specifică distribuțiile posibile ale câmpului în cavitate, care determină modurile rezonatorului. Evident că  $f_r(x)$  și  $g_s(y)$  reprezintă soluții pentru oglinzi „infinite-strip”, adică benzi paralele cu direcțiile  $x$ , respectiv  $y$ . Prin urmare, soluțiile pentru oglinda rectangulară se vor obține ca produse ale soluțiilor de mai sus.

Cu notațiile prezentate ecuațiile (3.29) și (3.30) se pot scrie astfel

$$\begin{aligned} E &= \int_{S'} \frac{ik(1 + \cos \theta)}{4\pi \rho} e^{-ik\rho} E_0 f_r(x') g_s(y') dS' = \\ &= E_0 \sigma_r \sigma_s f_s(x) g_r(y) \end{aligned} \quad (3.33)$$

care pentru  $\theta$  mic și  $\rho \simeq R$  capătă forma

$$\sigma_r \sigma_s f_r(x) g_s(y) \int_{-a}^{+a} \int_{-a}^{+a} \frac{ik}{2\pi R} e^{-ik\rho} f_r(x') g_s(y') dx' dy'. \quad (3.34)$$

Evaluarea termenului de fază  $e^{-ik\rho}$  se face ținându-se seama de expresia lui  $\rho$  care se poate calcula astfel

$$\rho = \sqrt{L'^2 + (x' - x)^2 + (y' - y)^2} \quad (3.35)$$

unde

$$L' = L - \delta - \delta' \quad (3.36)$$

mărimile  $\delta$  și  $\delta'$  avînd expresiile aproximative

$$\delta = R - (R^2 - r^2)^{1/2} \simeq \frac{r^2}{2R} \quad (3.37)$$

respectiv

$$\delta' = R - (R^2 - r'^2)^{1/2} \simeq \frac{r'^2}{2R}, \quad (3.38)$$

$r$  și  $r'$  fiind distanțele punctelor curențe  $P$  și  $P'$  în raport cu originea sistemelor de axe rectangulare  $Ox$  și  $Oy$ , respectiv  $O'x'$  și  $O'y'$ , poziționate în planele normale pe axa sistemului, care trec prin punctele  $P$  și  $P'$  iar  $\delta$  și  $\delta'$  distanțele de la aceste plane la vîrfurile oglinzilor, măsurate pe axa



sistemului. Se obține

$$\rho = L - \frac{xx' + yy'}{L} - \frac{L - R}{2RL} (x^2 + x'^2 + y^2 + y'^2) + \text{termeni nesemnificativi.} \quad (3.39)$$

Pentru rezonatorul confocal  $L = R$  astfel că rezultă

$$\rho = R - \frac{xx' + yy'}{R}. \quad (3.39')$$

Prin urmare, factorul de fază  $e^{-ik\rho}$  se poate scrie sub forma

$$\exp[-ik\rho] = \exp\{-ikR[1 - (xx' + yy')/R^2]\}. \quad (3.40)$$

Din relațiile (3.34) și (3.40) rezultă ecuația integrală

$$\sigma_r \sigma_s f_r(x) g_s(y) = \int_{-a}^{+a} \int_{-a}^{+a} \frac{ik}{2\pi R} e^{-ikR} e^{\frac{ikxx'}{R}} e^{\frac{ikyy'}{R}} \cdot f_r(x') g_s(y') dx' dy'. \quad (3.41)$$

În continuare, dacă se introduc coordonatele reduse

$$X = \frac{x\sqrt{c}}{a}, \quad Y = \frac{y\sqrt{c}}{a}, \quad \text{unde } c = \frac{a^2 k}{R} = 2\pi N, \quad (3.42)$$

$N$  fiind numărul lui Fresnel ( $N = a^2/\lambda R$ , vezi § 3.3.3), și notațiile

$$F_r(X) = f_r(x) \text{ și } G_s(Y) = g_s(y) \quad (3.43)$$

rezultă ecuația integrală

$$\sigma_r \sigma_s F_s(X) G_s(Y) = \frac{i}{2\pi} e^{-ikR} \int_{-\sqrt{c}}^{+\sqrt{c}} \int_{-\sqrt{c}}^{+\sqrt{c}} F_r(X') e^{iXX'} \cdot G_s(Y') e^{iYY'} dX' dY'. \quad (3.44)$$

În cazul rezonatorului cu oglinzi dreptunghiulare, în ecuația (3.44) se pot separa variabilele astfel că se obțin două ecuații de tip Fredholm, de speța a doua, cu nucleu simetric, fiecare fiind valabilă pentru o oglindă „infinite-strip”. Funcțiile proprii care se obțin sînt funcțiile prolate sferoidale unghiulare.

În cazul rezonatorilor cu oglinzi circulare se pot introduce coordonatele polare și în locul „transformatei Fourier” caracteristică ecuațiilor de tip Fredholm se obțin „transformate” de tip Hankel, funcțiile proprii corespunzătoare fiind funcțiile hipersferoidale.

Deoarece în ambele cazuri, intensitatea modului scade exponențial de la centrul oglinzii spre exterior, astfel că influența dimensiunii finite a oglinzilor asupra configurației modurilor este neglijabilă, apar simplificări ale teoriei care conduc la funcții proprii de tip Hermite-Gauss, pentru



cazul oglinzilor „infinite-strip“ și la funcții proprii de tip Laguerre — Gauss pentru cazul oglinzilor circulare.

În cazul oglinzilor dreptunghiulare pe care-l analizăm, introducându-se notația

$$\beta_r \beta_s = \sigma_r \sigma_s / i \exp [-ikR], \quad (3.45)$$

în ecuația (3.44) se separă variabilele obținându-se ecuațiile integrale de tip Fredholm unidimensionale

$$F_r(X) = \frac{1}{\sqrt{2\pi} \beta_r} \int_{-V_c^-}^{+V_c^-} F_r(X') e^{iXX'} dX' \quad (3.46)$$

$$G_s(Y) = \frac{1}{\sqrt{2\pi} \beta_s} \int_{-V_c^-}^{+V_c^-} G_s(Y') e^{iYY'} dY'. \quad (3.47)$$

Ținând seama că pentru sistemele laser practice  $N$  are valori de ordinul zecilor, ceea ce face posibilă neglijarea influenței dimensiunilor finite ale oglinzilor, limitele de integrare în ecuațiile de mai sus pot fi făcute infinite, astfel că soluțiile aproximative ale ecuațiilor de mai sus sînt polinoame de tip Hermite.

Pentru găsirea lor, se pleacă de la funcția generatoare a acestui tip de polinoame

$$\begin{aligned} g(y, t) &= \exp(-t^2 + 2ty) = \exp(y^2) \exp[-(t-y)^2] = \\ &= \sum_{r=0}^{\infty} \frac{H_r(y)}{r!} t^r. \end{aligned} \quad (3.48)$$

Multiplicînd expresia (3.48) cu  $\exp[ixy - y^2/2]$  și integrînd se obține egalitatea

$$\begin{aligned} &\int_{-\infty}^{+\infty} \exp[2yt - t^2 + ixy - (y^2/2)] dy = \\ &= \int_{-\infty}^{+\infty} \exp[ixy - (y^2/2)] \sum_{r=0}^{\infty} \frac{H_r(y)}{r!} dy. \end{aligned} \quad (3.49)$$

Prin efectuarea integralei din partea stîngă a egalității (3.49), ținîndu-se seama de expresia (3.48) și intervertind integrarea cu însumarea în partea dreaptă, ecuația (3.49) se transformă astfel

$$\begin{aligned} &\sqrt{2} \exp(-x^2/2) \sum_{r=0}^{\infty} \frac{(it)^r}{r!} H_r(x) = \\ &= \sum_{r=0}^{\infty} \frac{t^r}{r!} \int_{-\infty}^{+\infty} \exp[ixy - (y^2/2)] H_r(y) dy. \end{aligned} \quad (3.50)$$



Deoarece egalitatea este valabilă pentru orice valoare a lui  $t$ , coeficienții aceluiași puteri ale lui  $t$  sînt egali încît se obține

$$\exp[-x^2/2] H_r(x) = \frac{1}{i^r \sqrt{2\pi}} \int_{-\infty}^{+\infty} \exp[ixy - (y^2/2)] H_r(y) dy. \quad (3.51)$$

Comparînd expresiile (3.46) și (3.51), rezultă soluțiile căutate ale ecuației integrale

$$F_r(X) = \exp(-X^2/2) H_r(X) \quad (3.52)$$

cu

$$\beta_r = i^r. \quad (3.53)$$

Analog, pentru ecuația (3.47) rezultă

$$G_s(Y) = \exp(-Y^2/2) H_s(Y) \quad (3.54)$$

cu

$$\beta_s = i^s. \quad (3.55)$$

Funcțiile proprii  $F_r(X)$  și  $G_s(Y)$  vor determina astfel distribuțiile modale ale cîmpului pe suprafața oglinzii după direcțiile  $x$  respectiv  $y$ .

Pierderile cavității și condiția de rezonanță se pot obține din analiza valorilor proprii ale ecuației (3.41). Astfel din ecuația (3.45), introducîndu-se expresiile (3.53) și (3.55), se obține condiția de fază

$$\sigma_r \sigma_s = i^{r+s+1} e^{-ikR}. \quad (3.56)$$

Dacă se ține seama că la rezonanță schimbarea de fază pentru un drum dus-întors trebuie să fie  $2\pi q$ , unde  $q$  este un întreg rezultă condiția de rezonanță

$$2|(r+s+1)\left(\frac{\pi}{2}\right) - kR| = 2\pi q, \quad (3.57)$$

unde factorul 2 din partea stîngă a relației de mai sus ia în considerare cele două reflexii la un drum dus-întors al radiației între oglinzi.

O exprimare echivalentă a condiției de rezonanță (3.57) este următoarea

$$(4R/\lambda) = 2q + (r+s+1). \quad (3.58)$$

Setul de numere  $r, s, q$ , specifică modurile de oscilație ale cavității, obținute prin rezolvarea ecuației (3.41). Întrucît cîmpul care specifică modurile de oscilație are componenta după direcția  $z$  neglijabilă, modurile sînt transversal electromagnetice și se notează  $TEM_{rsq}$ .

Toate modurile  $TEM_{rsq}$  formează un set complet ortonormat de funcții proprii pentru orice cîmp transversal electromagnetic din cavitate.

În rezonatorii confocali, modurile  $TEM_{rsq}, TE_{srq}, TEM_{r+1, s-1, q}, TEM_{r-1, s+1, q} \dots$  au aceeași frecvență de rezonanță, prezentînd astfel o degenerescență ridicată, care dispare în cazul rezonatorilor neconfocali.



Indicii  $r, s = 0, 1, 2, 3, \dots$  specifică variațiile modurilor în direcțiile  $x$ , respectiv  $y$ , deci modurile de oscilație transversale, pe cînd indicele  $q \simeq 10^4 \div 10^7$  specifică modurile de oscilație longitudinale. Întrucît  $\sigma_r$  și  $\sigma_s$  iau în considerare și variațiile în amplitudine ale cîmpului datorită difracției, se poate defini un coeficient de pierderi pe tranzit

$$\alpha_d = 1 - |\sigma_r \sigma_s|^2. \quad (3.59)$$

Întrucît funcțiile proprii (3.53), (3.54) sînt reale, suprafețele reflectătoare ale oglinzilor sînt suprafețe de fază constantă.

Forma explicită a funcțiilor proprii  $f_r(x)$  și  $g_s(y)$  se obține dacă se ține seama de notațiile (3.42). Astfel funcțiile proprii  $f_r(x)$  vor fi date de expresiile :

$$f_r(x) = \text{ct } H_r[x \sqrt{2\pi/R\lambda}] \exp[-\pi x^2/R\lambda] \quad (3.60)$$

care reprezintă produse între un polinom Hermite și o gaussiană, astfel că se numesc „de tip Hermite — Gauss“.

Ținîndu-se seama și de forma funcțiilor  $g_s(y)$ , distribuția cîmpului peste apertură va fi dată de produsul dintre funcția gaussiană,  $\exp[-(x^2 + y^2)\pi/R\lambda]$  și polinoamele lui Hermite corespunzătoare.

În figura 3.6 se prezintă calitativ curbele care dau distribuția intensității cîmpului, pentru cîteva moduri de oscilație:  $TEM_{00q}$ ,  $TEM_{10q}$ ,  $TEM_{20q}$ . Se poate arăta că în doi lobi alăturați, cîmpul electric are faze

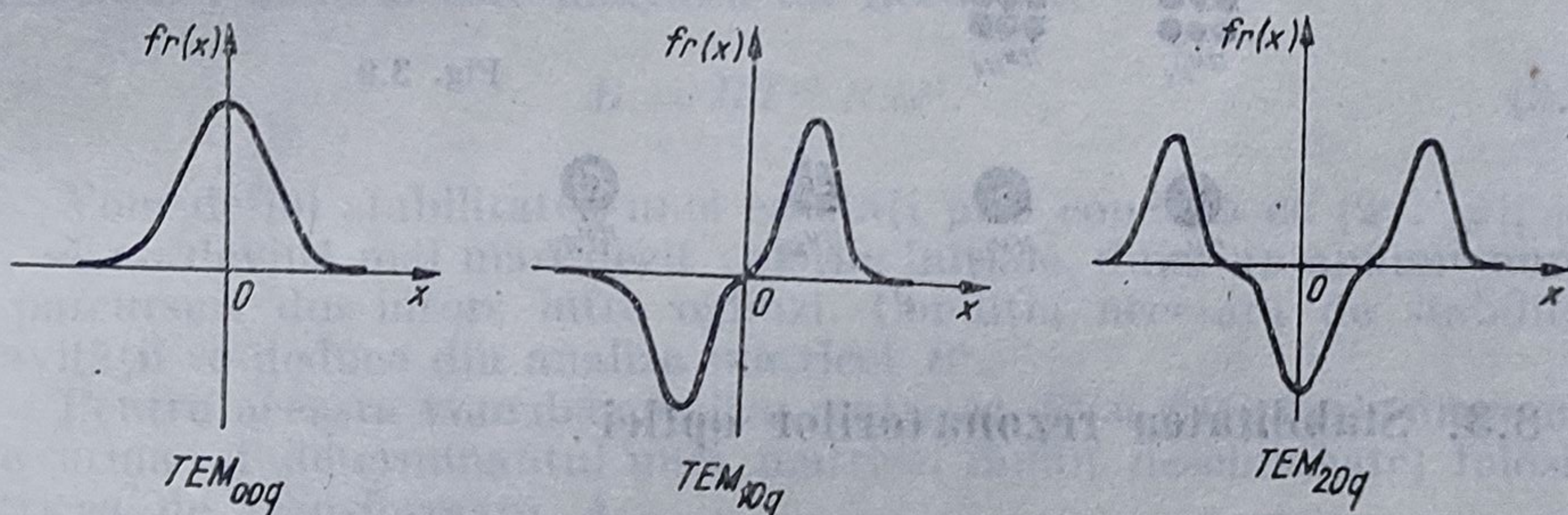


Fig. 3.6

opuse, deci numărul de noduri după o direcție transversală indică numărul de schimbări de fază pe care le suferă cîmpul electric. O prezentare sugestivă a distribuției de fază a cîmpului pentru diferite moduri de oscilație ale rezonatorului analizat este prezentată în fig. 3.7. În cazul rezonatorului cu

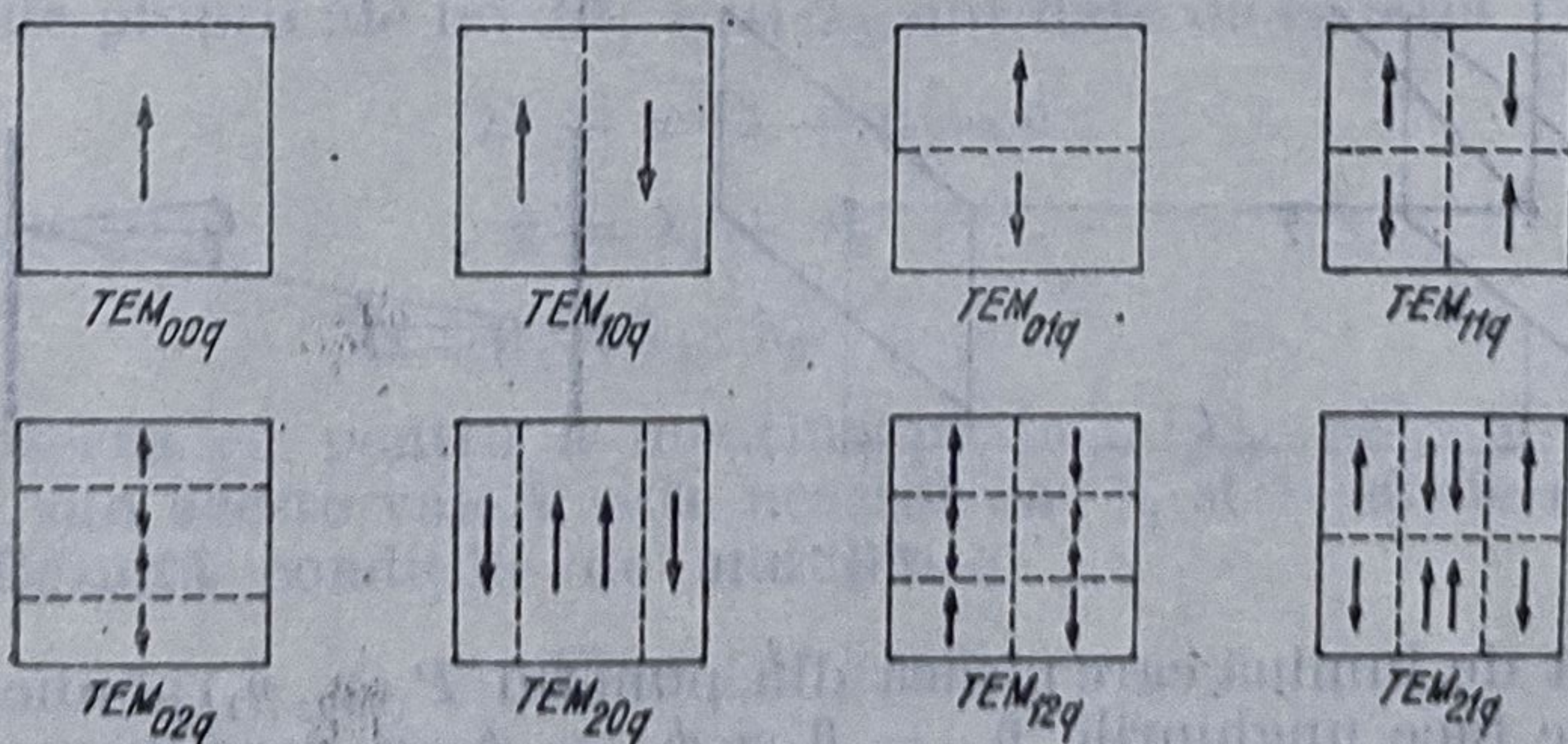


Fig. 3.7



oglinzi circulare, configurația fazei modurilor normale are aspectul din fig. 3.8. Distribuția spațială a intensității pe suprafața oglinzii este, de asemenea, prezentată calitativ în fig. 3.9, pentru primele moduri de oscilație : a) rezonatori cu oglinzi pătrate ; b) rezonatori cu oglinzi circulare.

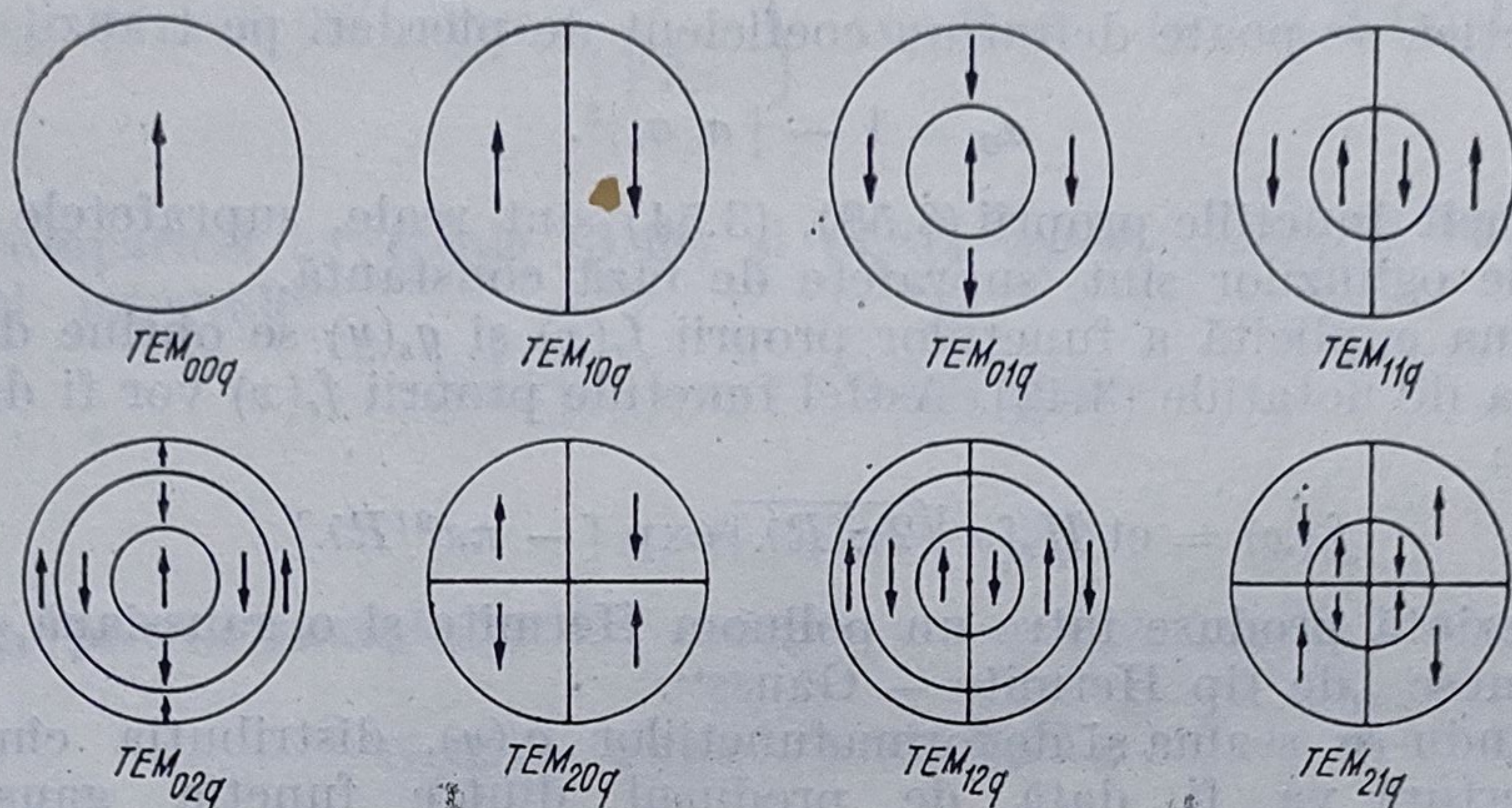


Fig. 3.8

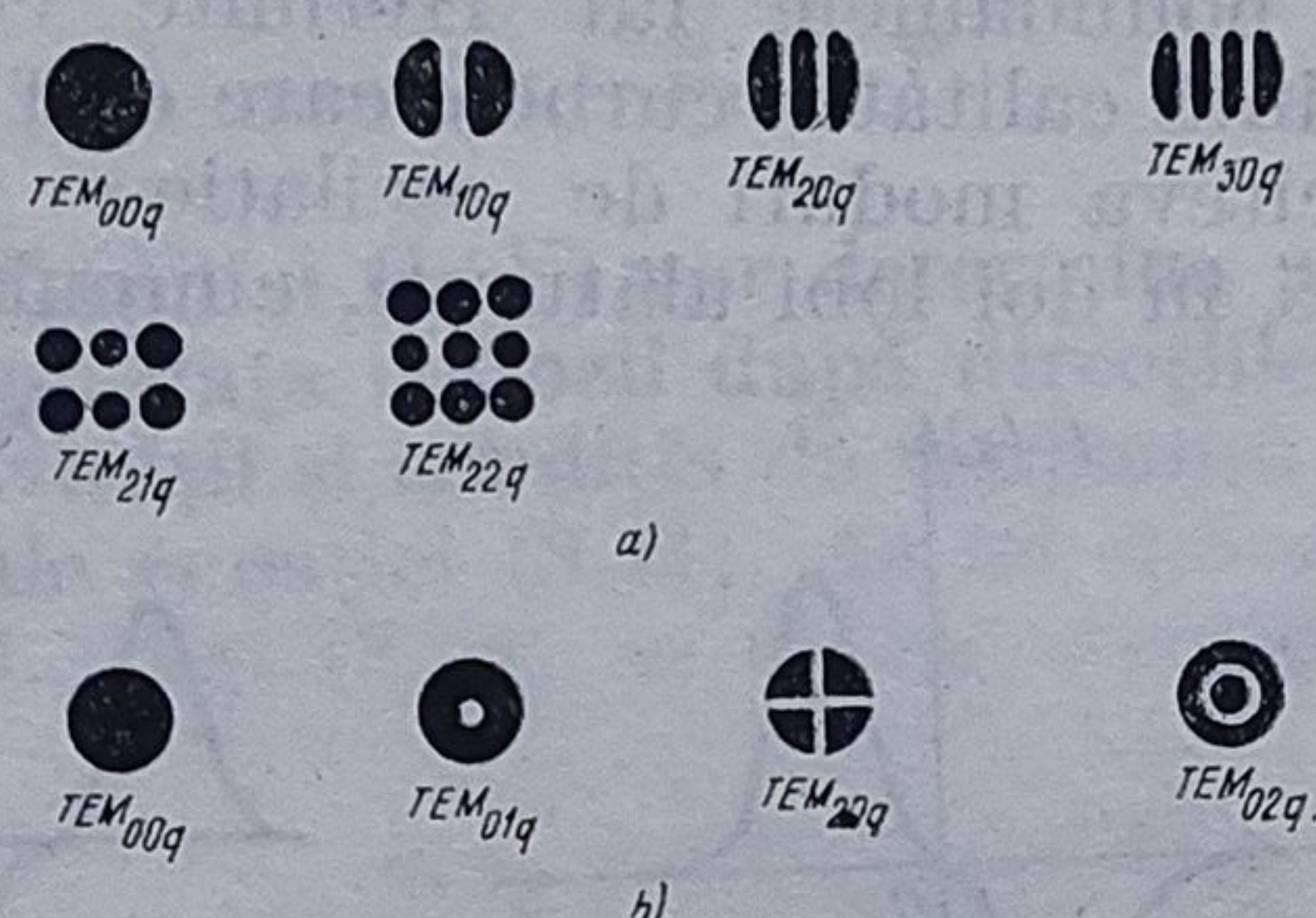


Fig. 3.9

### 3.3. Stabilitatea rezonatorilor optici

#### 3.3.1. Condiția de stabilitate a unei cavități optice

Pentru analiza stabilității unei cavități optice rezonante, vom studia cazul particular al unei cavități formate din două oglinzi plane  $O_1$  și  $O_2$ , așezate la distanța  $L$  (fig. 3.10). Concluziile obținute se pot generaliza apoi ușor la cavitățile optice cu oglinzi de orice tip.

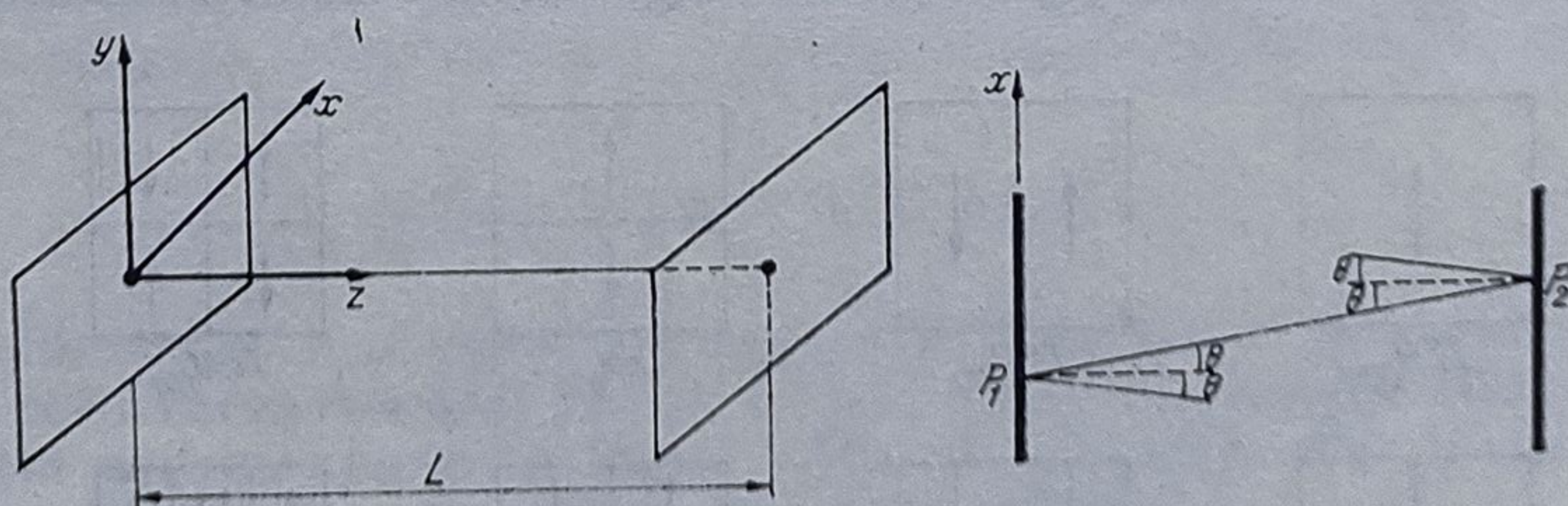


Fig. 3.10

O rază de lumină care pleacă din punctul  $P_1(x_1, y_1)$  al unei oglinzi în direcția care face unghiurile  $\theta_{r1} = 0$  și  $\phi_{r1} = \phi$  cu raza normală în acel punct la oglindă, în planele  $xz$  și  $yz$  respectiv, ajunge în punctul  $P_2(x_2, y_2)$



al celeilalte oglinzi, după direcția care face unghiurile  $\theta_{i2}$  și  $\phi_{i2}$  cu raza normală în acest punct. De la oglinda  $O_2$  raza va pleca în direcția determinată de unghiurile  $\theta_{r2}$  și  $\phi_{r2}$  în raport cu normala în  $P_2$ .

Parcursul razelor de lumină între cele două oglinzi va putea fi descris cu ușurință dacă se definesc matricele de transfer  $T_x^{12}$ ,  $T_y^{12}$

$$\begin{bmatrix} x_2 \\ \theta_{i2} \end{bmatrix} = T_x^{12} \begin{bmatrix} x_1 \\ \theta \end{bmatrix} \quad (3.61)$$

$$\begin{bmatrix} y_2 \\ \phi_{i2} \end{bmatrix} = T_y^{12} \begin{bmatrix} y_1 \\ \phi \end{bmatrix} \quad (3.62)$$

și matricele de reflexie  $R_x$ ,  $R_y$

$$\begin{bmatrix} x_2 \\ \theta_{r2} \end{bmatrix} = R_x \begin{bmatrix} x_2 \\ \theta \end{bmatrix} \quad (3.63)$$

și

$$\begin{bmatrix} y_2 \\ \phi_{r2} \end{bmatrix} = R_y \begin{bmatrix} y_1 \\ \phi \end{bmatrix}. \quad (3.64)$$

Un număr de  $n$  parcursuri dus-întors între oglinzi va fi descris de matricea  $B^n$ , unde  $B$  este matricea lui Bertolotti

$$B = RT^{12} RT^{21}. \quad (3.65)$$

Vom defini stabilitatea unei cavități prin condiția ca  $|x|$ ,  $|y|$ ,  $|\theta|$ ,  $|\phi|$ , să nu devină mai mari decât valorile inițiale, după un anumit număr de parcursuri dus-întors între oglinzi. Condiția necesară de stabilitate a cavității se deduce din analiza matricei  $B^n$ .

Pentru aceasta vom diagonaliza matricea  $B^n$  (se știe că prin diagonalizare urma și determinantul unei matrice rămân neschimbate) folosind matricea de transformare  $A$

$$B_d^n = A^{-1} B^n A. \quad (3.66)$$

Se obține

$$B_d^n = \begin{bmatrix} \lambda_1 & 0 \\ 0 & \lambda_2 \end{bmatrix}. \quad (3.67)$$

Valorile proprii ale lui  $B^n$ ,  $\lambda_1$  și  $\lambda_2$  sînt date de ecuația

$$\lambda^2 - \alpha \cdot \lambda + \beta = 0 \quad (3.68)$$

unde

$$\alpha = \lambda_1 + \lambda_2 \quad (3.69)$$

$$\beta = \lambda_1 \cdot \lambda_2. \quad (3.70)$$

Se observă că pentru a menține pe  $|x|$ ,  $|y|$ ,  $|\phi|$ ,  $|\theta|$  la valorile inițiale sau sub aceste valori, este necesar ca  $\lambda_1$  și  $\lambda_2$  să fie mai mici ca unitatea. Rezultă condițiile de stabilitate

$$\text{Urm } [B^n] \leq 2 \quad (3.71)$$

$$\text{Det } [B^n] \leq 1. \quad (3.72)$$



În cazul cavității cu oglinzi plane considerate se obține pentru matricea  $B$ , expresia

$$B = \begin{bmatrix} 1 & 0 \\ 0 & -1 \end{bmatrix} \begin{bmatrix} 1 & L \\ 0 & -L \end{bmatrix} \begin{bmatrix} 1 & 0 \\ 0 & -1 \end{bmatrix} \begin{bmatrix} 1 & L \\ 0 & -1 \end{bmatrix} = \begin{bmatrix} 1 & 2L \\ 0 & 1 \end{bmatrix} \quad (3.73)$$

astfel că  $B^n$  este dată de formula

$$B^n = \begin{bmatrix} 1 & 2nL \\ 0 & 1 \end{bmatrix}. \quad (3.74)$$

În cazul unei cavități formată din două oglinzi concave  $O_1$  și  $O_2$ , de raze de curbură  $R_1$  și  $R_2$  separate prin distanța  $L$ , calculul matricei  $B$  se face în mod asemănător.

$$B = \begin{bmatrix} 1 & 0 \\ -2/R_1 & -1 \end{bmatrix} \begin{bmatrix} 1 & L \\ 0 & -1 \end{bmatrix} \begin{bmatrix} 1 & 0 \\ -2/R_2 & -1 \end{bmatrix} \begin{bmatrix} 1 & L \\ 0 & -1 \end{bmatrix}. \quad (3.76)$$

În acest caz condiția de stabilitate se reduce la inegalitatea

$$g_1 \cdot g_2 \leq 1 \quad (3.76)$$

unde

$$g_1 = 1 - \frac{L}{R_1} \text{ și } g_2 = 1 - \frac{L}{R_2}. \quad (3.76')$$

Într-un sistem de axe  $g_1, g_2$  se poate obține grafic diagrama de stabilitate pentru cavitățile cu oglinzi concave (fig. 3.11). Zona hașurată corespunde unor geometrii de cavități stabile. O tratare mai completă a rezonatorilor optici este prezentată în lucrarea [61].

### 3.3.2. Cavitătea rezonantă tratată ca o secvență de lentile

Fie, în cazul general, traseul unei raze printr-un sistem optic (fig. 3.12) definit în aproximația paraxială prin parametrii:  $r_i$  — distanțele față de axa optică a sistemului și  $r'$  pantele razei în raport cu aceeași axă, în diferite plane

$P_i, P_1$  fiind planul de intrare,  $P_3$  și  $P_4$  planele principale ale sistemului optic, iar  $P_2$  planul de ieșire al acestuia.

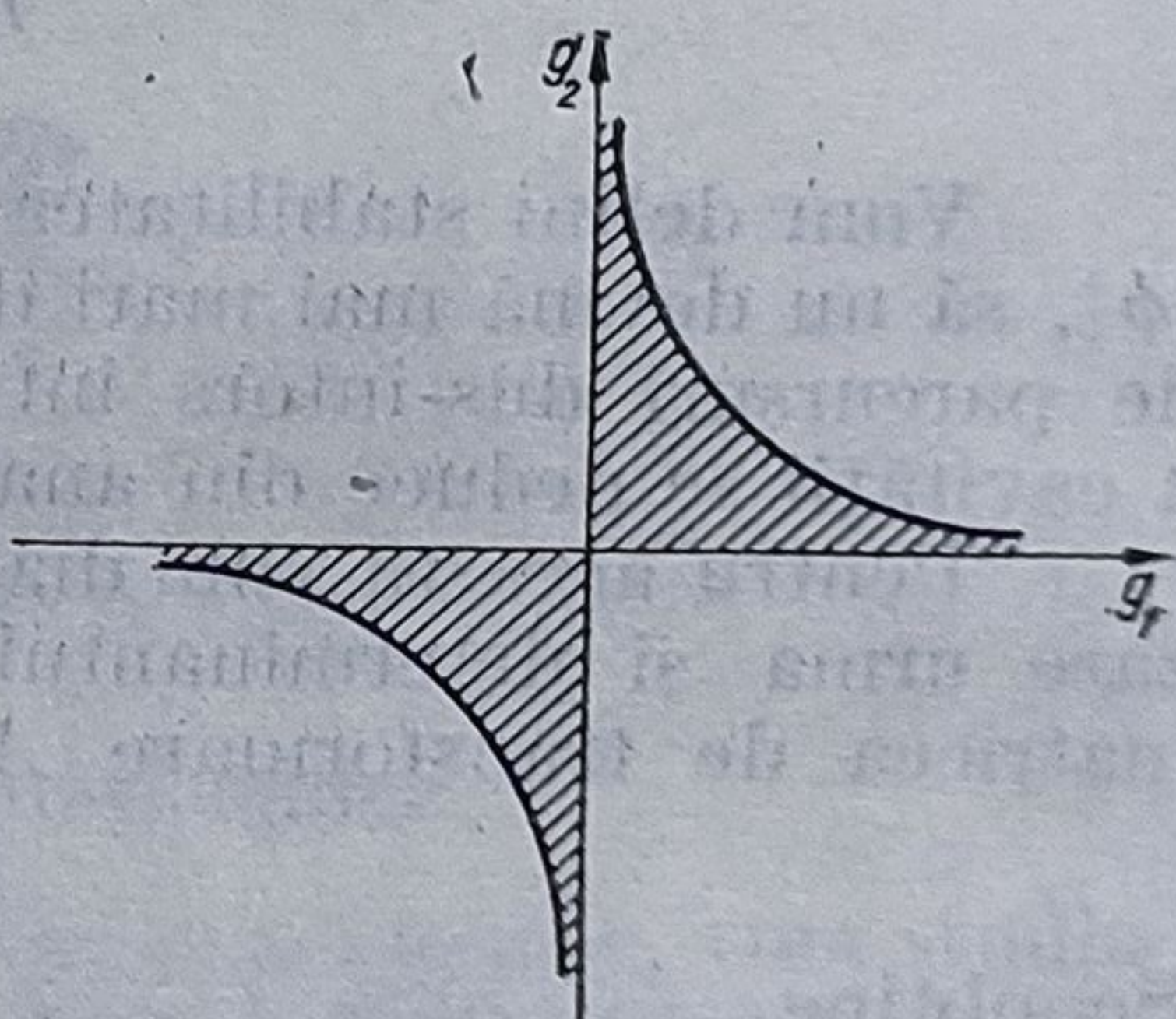
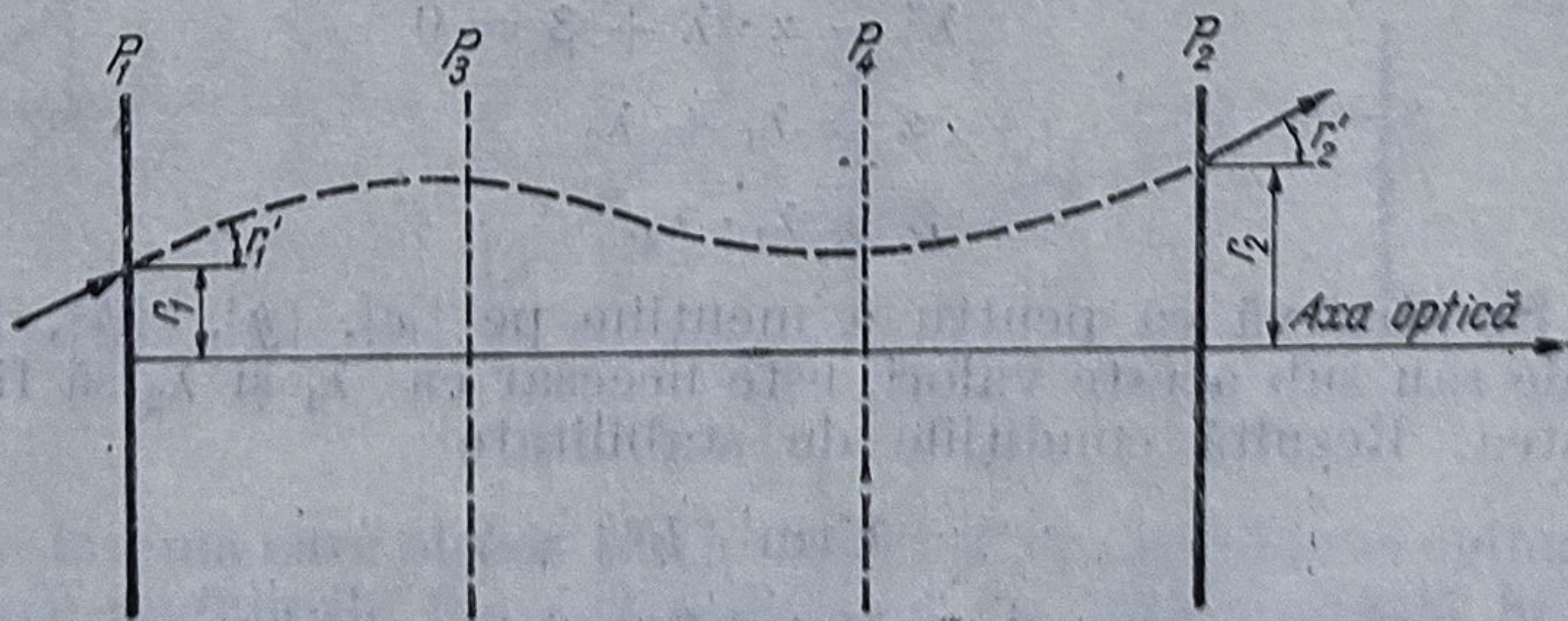


Fig. 3.11

Fig. 3.12





Dependența între parametrii de ieșire  $r_2, r'_2$  și cei de intrare  $r_1, r'_1$  este liniară, putându-se exprima cu ajutorul matricei  $ABCD$ , de determinant unitar, definită astfel

$$\begin{bmatrix} r_2 \\ r'_2 \end{bmatrix} = \begin{bmatrix} A & B \\ C & D \end{bmatrix} \begin{bmatrix} r_1 \\ r'_1 \end{bmatrix}. \quad (3.77)$$

Să considerăm cazul unui rezonator cu oglinzi sferice de raze de curbură  $R_1$  și  $R_2$ . Razele de lumină care se propagă între cele două oglinzi ale rezonatorului sînt supuse unui efect de focalizare periodică ca și cum ar parcurge o secvență de lentile care formează o linie optică de transmisie (fig. 3.13). Se poate admite că un element al acestei secvențe periodice este format dintr-un interval de lărgime  $L$  și o lentilă cu distanța focală  $f_1 = R_1/2$  urmate de un alt interval de lărgime  $L$  și o lentilă cu distanța focală  $f_2 = R_2/2$ . Matricea  $ABCD$  de transfer a razelor pentru un astfel de element are expresia

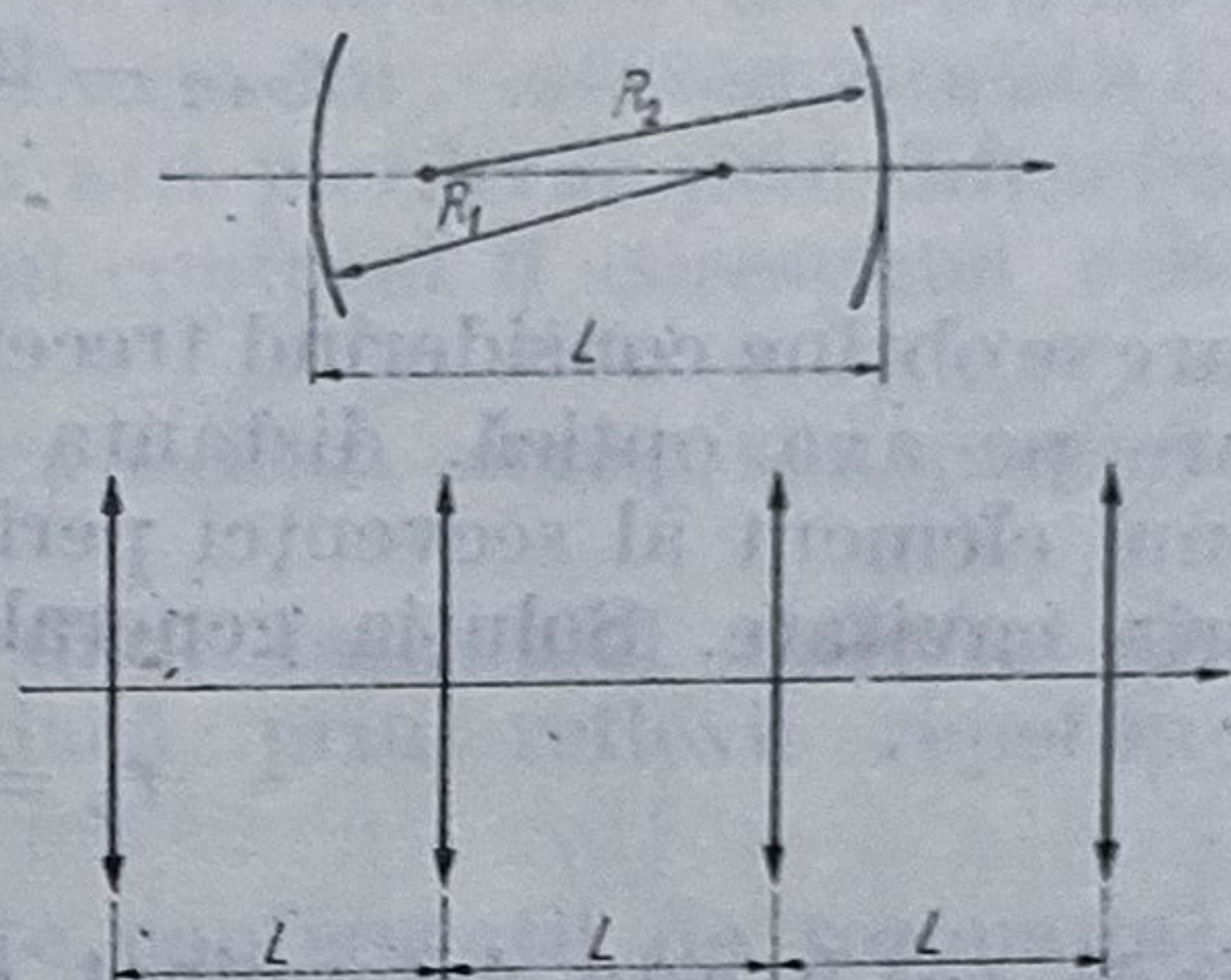


Fig. 3.13

$$\begin{aligned} \begin{bmatrix} A & B \\ C & D \end{bmatrix} &= \begin{bmatrix} 1 & L \\ -\frac{1}{f_1} & 1 - \frac{L}{f_1} \end{bmatrix} \begin{bmatrix} 1 & L \\ -\frac{1}{f_2} & 1 - \frac{L}{f_2} \end{bmatrix} = \\ &= \begin{bmatrix} 1 - \frac{L}{f_2} & L + L\left(1 - \frac{L}{f_2}\right) \\ -\frac{1}{f_1} - \frac{1}{f_2}\left(1 - \frac{L}{f_1}\right) & \left(1 - \frac{L}{f_1}\right)\left(1 - \frac{L}{f_2}\right) - \frac{L}{f_1} \end{bmatrix}. \end{aligned} \quad (3.78)$$

Pentru întreaga secvență, formată din  $n$  astfel de elemente se obține

$$\begin{bmatrix} A & B \\ C & D \end{bmatrix}^n = \frac{1}{\sin \theta} \begin{bmatrix} A \sin n\theta - \sin(n-1)\theta & B \sin n\theta \\ C \sin n\theta & D \sin n\theta - \sin(n-1)\theta \end{bmatrix}, \quad (3.79)$$

unde  $\cos \theta = \frac{1}{2}(A + D).$  (3.80)

Condiția

$$-1 \leq \cos \theta = \frac{A + D}{2} \leq 1 \quad (3.81)$$

este suficientă pentru ca secvența periodică să fie stabilă. Scriind condiția (3.81) sub forma

$$0 \leq \frac{A + D + 2}{4} \leq 1 \quad (3.82)$$



din (3.78) rezultă

$$0 \leq \left(1 - \frac{L}{R_1}\right) \left(1 - \frac{L}{R_2}\right) \leq 1, \quad (3.83)$$

identică cu condiția (3.67).

Un alt mod de obținere a condiției (3.81) se bazează pe ecuația cu diferențe de ordinul al doilea

$$r_{p+2} - 2 \left( \frac{A + D}{2} \right) r_{p+1} + r_p = 0 \quad (3.84)$$

care se obține considerînd trecerea razelor prin diferite plane  $p$ , perpendiculare pe axa optică, distanța dintre două astfel de plane corespunzînd unui element al secvenței periodice sau echivalent unui drum dus-întors prin cavitate. Soluția generală a acestei ecuații

$$r_p = r_{max} \sin(p\theta + \alpha) \quad (3.85)$$

unde  $\cos \theta$  este determinat de ecuația (3.80), implică condiția (3.81).

### 3.3.3. Tipuri de rezonatori optici

În paragrafele anterioare s-au făcut referiri la două tipuri particulare de rezonatori și anume rezonatorul Fabry-Pérot (cu oglinzi plane) și rezonatorul confocal.

Alte tipuri de rezonatori optici vor fi prezentate în continuare, evidențiindu-se particularitățile constructive și funcționale cele mai importante ale acestora.

În general, un bun rezonator optic este caracterizat prin: un factor de calitate  $Q$  cît mai ridicat; selectivitate ridicată a modurilor; cuplare optimă cu exteriorul; volum optim al modurilor; toleranță ridicată la aliniere.

Astfel, factorul de calitate ridicat al cavității determină un prag de oscilație mai scăzut al oscilatorului laser, selectivitatea modurilor este direct corelată cu monocromaticitatea liniei emise, volumul modului determină partea mediului activ care contribuie la amplificarea radiației etc.

Tabelul 3.1

Tipul rezona- torului	Razele oglinzilor	Distanța dintre oglinzi	Tipul rezonato- rului	Razele oglinzilor	Distanța dintre oglinzi
Confocal	$R$	$R$	Semiconfocal	$R, \infty$	$R/2$
Plan-paralel	$\infty$	$L$ (oarecare)	Semiconcentric	$R, \infty$	$R$
Concentric	$R$	$2R$	Emisferic	$R, \infty$	$R$
Nesimetric	$R_1, R_2$	$L < R_1 + R_2$			

În cazul unui rezonator Fabry-Pérot cu oglinzi circulare de rază  $a$  situate la distanța  $L$  una în raport cu altă, se definește, corelat cu fenomenele



de difracție, numărul lui Fresnel  $N = \frac{a^2}{\lambda L}$ , ea fiind aproximativ egal cu numărul de zone Fresnel văzute din centrul unei oglinzi pe cealaltă oglindă.

Această definiție se formulează pe baza condiției de pierderi mici  $\frac{a}{Ln} > \frac{\lambda}{a}$ , pentru  $n$  treceri ale radiației prin sistem. În mod obișnuit

$N$  este de ordinul  $10^2$ , ceea ce atestă faptul că mecanismele de atenuare ale radiației prin difracție, transmisie și reflexie nu sînt semnificative. Cu cît numărul lui Fresnel este mai mare cu atît pierderile prin difracție sînt mai mici. Se poate arăta că rezonatorului confocal îi corespund cele mai mici pierderi prin difracție.

Principalele tipuri de rezonatori optici cu oglinzi sferice sînt prezentate în tabelul 3.1

Un astfel de rezonator este stabil, dacă fasciculul reflectat de oglinzi este focalizat periodic și instabil dacă prin reflexii repetate fasciculul se lărgeste.

Diagrama de stabilitate pentru diferite configurații de rezonatori cu oglinzi sferice este prezentată în fig. 3.14.

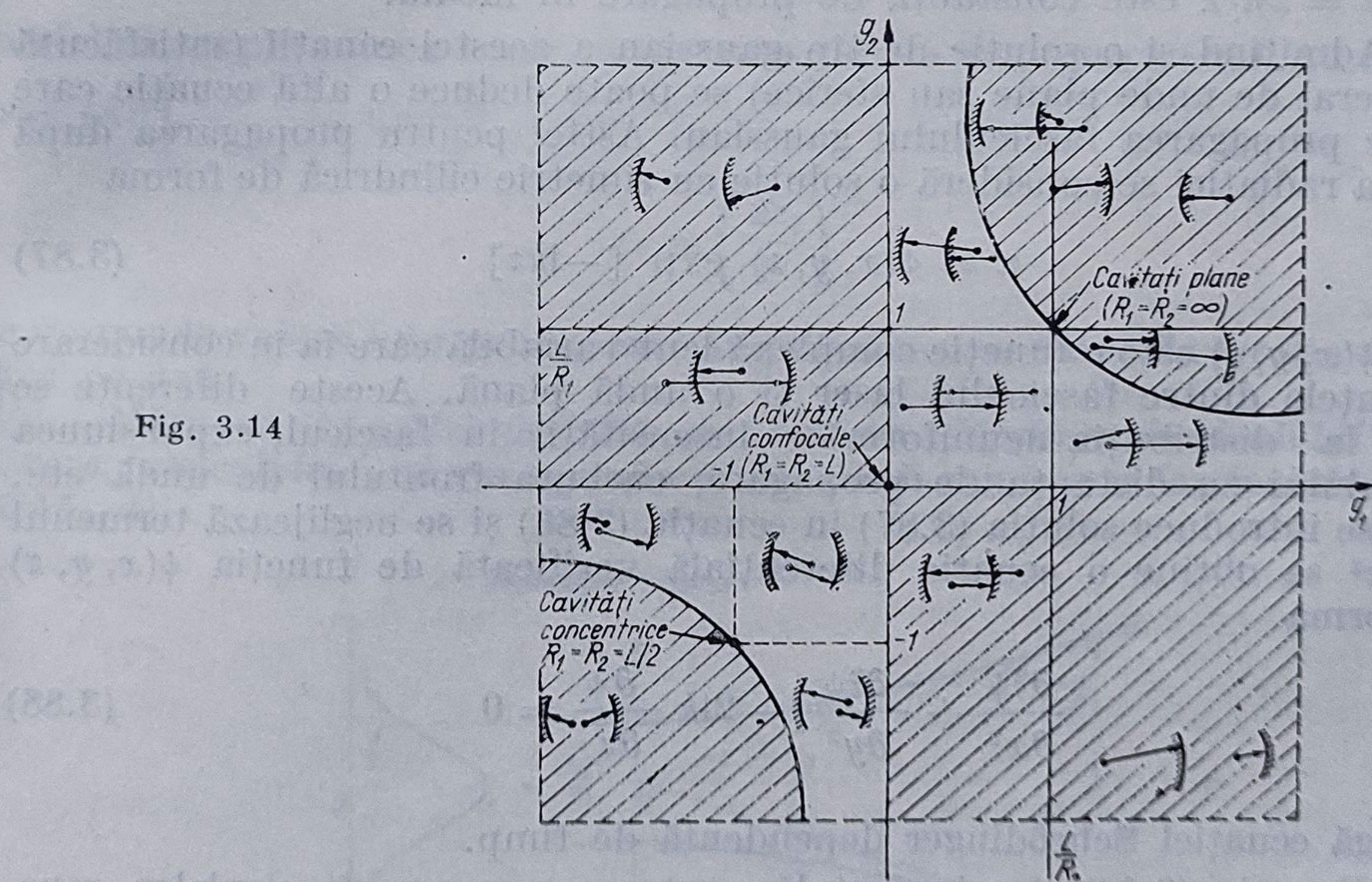


Fig. 3.14

Se constată că pentru același sistem de oglinzi, funcție de distanța dintre ele, rezonatorul poate fi stabil sau instabil. Originea sistemului de coordonate corespunde rezonatorilor confocali cu oglinzi avînd aceeași rază de curbură.

Funcție de raza de curbură a oglinzilor și de distanța dintre ele un rezonator format din două oglinzi concave sau dintr-o oglindă concavă și una convexă poate fi stabil sau instabil, pe cînd un rezonator format din două oglinzi convexe este întotdeauna instabil. Alte tipuri de rezonatori optici care prezintă interes sînt rezonatorii multireflector, rezonatorii în inel, rezonatorii cu oglinzi neegale, rezonatorii cu elemente de focali-



zare și dispersie interne etc. Un loc aparte îl ocupă rezonatorii cu reflectori Bragg sau cu reacție distribuită utilizați în realizarea laserilor cu semiconductori integrați.

### 3.4. Fascicule gaussiene

#### 3.4.1. Parametri caracteristici ai fasciculului gaussian

Din teoria scalară a radiației electromagnetice dintr-o cavitate optică rezonantă, dezvoltată în § 3.2 pe baza ecuației Kirchhoff-Fresnel, s-a obținut pentru modul fundamental  $TEM_{00}$  o distribuție gaussiană, rezultat care poate fi corelat cu faptul că transformatele Fourier ale unor funcții gaussiene (realizate prin reflexii pe oglinzi) sînt funcții gaussiene. O descriere echivalentă se obține dacă se caută o soluție analitică aproximativă a ecuației de undă de tip Helmholtz

$$\Delta u + k^2 u = 0 \quad (3.86)$$

unde  $k = 2\pi/\lambda$  este constantă de propagare în mediu.

Admițînd și o soluție de tip gaussian a acestei ecuații (satisfăcută în general de unde plane sau sferice) se poate deduce o altă ecuație care descrie propagarea fasciculului gaussian. Astfel pentru propagarea după axa  $z$  a radiației se consideră o soluție cu simetrie cilindrică de forma

$$u = \psi(x, y, z) \exp [-ikz] \quad (3.87)$$

unde  $\psi(x, y, z)$  este o funcție complexă lent variabilă care ia în considerare diferențele dintre fasciculul laser și o undă plană. Aceste diferențe se referă la: distribuția neuniformă a intensității în fascicul, expansiunea fasciculului cu distanța de propagare, curbura frontului de undă etc. Dacă se introduce soluția (3.87) în ecuația (3.86) și se neglijează termenul  $\partial^2 \psi / \partial z^2$  se obține o ecuație diferențială verificată de funcția  $\psi(x, y, z)$  sub forma

$$\frac{\partial^2 \psi}{\partial x^2} + \frac{\partial^2 \psi}{\partial y^2} - 2ik \frac{\partial \psi}{\partial z} = 0 \quad (3.88)$$

analogă ecuației Schrödinger dependentă de timp.

Ecuația (3.88), fundamentală pentru propagarea fasciculelor gaussiene, se scriu în coordonate cilindrice astfel

$$\frac{1}{r} \frac{\partial}{\partial r} \left( r \frac{\partial \psi}{\partial r} \right) - 2ik \frac{\partial \psi}{\partial z} = 0. \quad (3.89)$$

În continuare, se stabilesc condițiile în care ecuația (3.89) admite o soluție gaussiană de forma

$$\psi = \exp \left\{ -i \left[ P(z) + \frac{kr^2}{2q(z)} \right] \right\} \quad (3.90)$$



unde  $r^2 = x^2 + y^2$ , semnificația mărimilor  $P(z)$  și  $q(z)$  urmînd a fi determinată. Substituind soluția (3.90) în ecuația (3.89) și egalînd cu zero coeficienții diferitelor puteri ale lui  $r$  se obțin ecuațiile diferențiale ordinare

$$q'(z) = 1 \quad (3.91)$$

$$P'(z) = -\frac{i}{q(z)}. \quad (3.92)$$

Ecuația (3.91) admite soluția

$$q(z) = z + q_0 \quad (3.93)$$

unde  $q_0$  corespunde lui  $q(z)$  pentru  $z = 0$ . Din examinarea soluției  $\psi$  se observă că  $q(z)$  nu poate fi real, iar printr-o alegere corespunzătoare a punctului  $z = 0$ ,  $q(z)$  poate fi considerat pur imaginar, de forma

$$q(z) = iz_0. \quad (3.94)$$

Pentru  $z = 0$ , soluția (3.90) devine

$$\psi_0 = \exp \left[ -\frac{kr^2}{2z_0} \right] \exp [-iP_0] \quad (3.95)$$

astfel că amplitudinea scade cu distanța  $r$  de la axa optică conform expresiei  $\exp \left[ -\frac{r^2}{w_0} \right]$ , unde

$$w_0 = \left( \frac{2z_0}{k} \right)^{1/2} \quad (3.96)$$

corespunde valorii lui  $r$  pentru care amplitudinea se reduce la  $1/e$  din valoarea pe axă.

Mărimea  $w_0$  astfel definită se numește „lărgimea fasciculului” sau „raza fasciculului”, și corespunde dimensiunii minime a fasciculului (fig. 3.15, a).

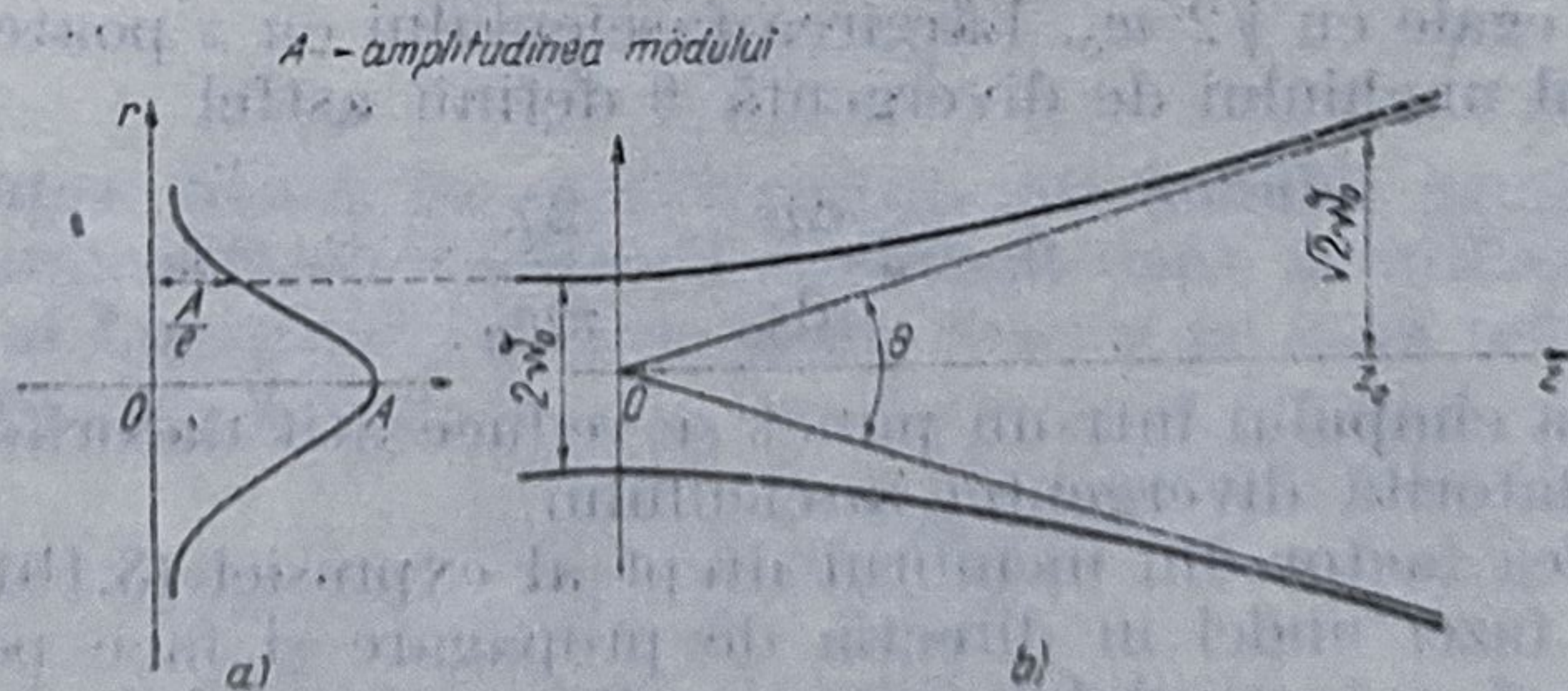


Fig. 3.15

Pentru  $z \neq 0$ ,  $q(z)$  este determinat de expresia (3.93) astfel încît soluția (3.90) se scrie explicit astfel

$$\psi = \exp \left[ -\frac{kz_0 r^2}{2(z^2 + z_0^2)} \right] \cdot \exp \left[ -\frac{ikzr^2}{2(z^2 + z_0^2)} \right] \exp [-iP(z)]. \quad (3.97)$$



Prin analogie cu  $w_0$ , pe baza expresiei (3.97) se definește dimensiunea fascicului la distanța  $z$  prin expresiile echivalente

$$w(z) = \left[ \frac{2}{kz_0} (z_0^2 + z^2) \right]^{1/2} = w_0 \left[ 1 + \left( \frac{\lambda z}{\pi w_0^2} \right)^2 \right]^{1/2}. \quad (3.98)$$

Totodată se definește și mărimea

$$R(z) = \frac{1}{z} (z^2 + z_0^2) = z \left[ 1 + \left( \frac{\pi w_0^2}{\lambda z} \right)^2 \right] \quad (3.99)$$

numită *rază de curbură a frontului de undă* al fascicului gaussian. Se observă că  $R(z)$  și  $w(z)$  sînt parametri reali ai fascicului corelați cu mărimea  $q(z)$  numită *parametrul complex al fascicului*. Dacă se integrează ecuația (3.92) se obține expresia

$$P(z) = \frac{1}{i} \left\{ \ln \left[ 1 + \left( \frac{z}{z_0} \right)^2 \right]^{1/2} - \frac{i}{\operatorname{tg} \frac{z}{z_0}} \right\} \quad (3.100)$$

astfel încît soluția (3.87) are forma generală completă

$$u = \left\{ \frac{w_0}{w(z)} \exp \left[ -\frac{r^2}{w^2(z)} \right] \right\} \exp \left\{ -i \left[ kz - \frac{1}{\operatorname{tg} \frac{z}{z_0}} \right] \right\} \exp \left[ -i \frac{kr^2}{2R(z)} \right]. \quad (3.101)$$

Pe baza expresiei (3.101) pot fi analizați în continuare parametrii fascicului gaussian care constituie modul fundamental  $TEM_{00}$  al câmpului electromagnetic din cavitate (fig. 3.15, b).

Primul factor din membrul drept al expresiei (3.101) descrie dependența amplitudinii modului de coordonatele  $r$  și  $z$ , mărimea  $w_0$  corespunzînd secțiunii transversale minime a fascicului, iar mărimea  $z_0$  unei secțiuni transversale egale cu  $\sqrt{2} w_0$ . Lărgirea fascicului cu  $z$  poate fi exprimată și cu ajutorul unghiului de divergență  $\theta$  definit astfel

$$\theta = 2 \frac{dw}{dz} = \frac{2\lambda}{\pi w_0}. \quad (3.102)$$

Amplitudinea câmpului într-un punct se reduce atît datorită dependenței de  $r$  cît și datorită divergenței fascicului.

Al doilea factor din membrul drept al expresiei (3.101) evidențiază modificările fazei undei în direcția de propagare și face posibil calculul vitezei de fază a fascicului (care rezultă puțin mai mare decît viteza luminii în mediu).

În sfîrșit, ultimul factor al expresiei (3.101) evidențiază faptul că planele  $z = \text{ct.}$  nu sînt suprafețe echifaze, aceste suprafețe fiind sferice cu raza de curbură  $R(z)$ , centrul aparent de curbură pentru fronturile de undă nefiind fix.

Prin urmare, mărimile  $P(z)$  și  $q(z)$  au semnificațiile:

— mărimea  $P(z)$  indică schimbarea de fază complexă asociată cu propagarea fascicului gaussian, partea reală a lui  $P$  reprezentînd dife-



Prin analogie cu  $w_0$ , pe baza expresiei (3.97) se definește dimensiunea fasciculului la distanța  $z$  prin expresiile echivalente

$$w(z) = \left[ \frac{2}{kz_0} (z_0^2 + z^2) \right]^{1/2} = w_0 \left[ 1 + \left( \frac{\lambda z}{\pi w_0^2} \right)^2 \right]^{1/2}. \quad (3.98)$$

Totodată se definește și mărimea

$$R(z) = \frac{1}{z} (z^2 + z_0^2) = z \left[ 1 + \left( \frac{\pi w_0^2}{\lambda z} \right)^2 \right] \quad (3.99)$$

numită *rază de curbură a frontului de undă* al fasciculului gaussian. Se observă că  $R(z)$  și  $w(z)$  sînt parametri reali ai fasciculului corelați cu mărimea  $q(z)$  numită *parametrul complex al fasciculului*. Dacă se integrează ecuația (3.92) se obține expresia

$$P(z) = \frac{1}{i} \left\{ \ln \left[ 1 + \left( \frac{z}{z_0} \right)^2 \right]^{1/2} - \frac{i}{\operatorname{tg} \frac{z}{z_0}} \right\} \quad (3.100)$$

astfel încît soluția (3.87) are forma generală completă

$$u = \left\{ \frac{w_0}{w(z)} \exp \left[ -\frac{r^2}{w^2(z)} \right] \right\} \exp \left\{ -i \left[ kz - \frac{1}{\operatorname{tg} \frac{z}{z_0}} \right] \right\} \exp \left[ -i \frac{kr^2}{2R(z)} \right]. \quad (3.101)$$

Pe baza expresiei (3.101) pot fi analizați în continuare parametrii fasciculului gaussian care constituie modul fundamental  $TEM_{00}$  al cîmpului electromagnetic din cavitate (fig. 3.15, b).

Primul factor din membrul drept al expresiei (3.101) descrie dependența amplitudinii modului de coordonatele  $r$  și  $z$ , mărimea  $w_0$  corespunzînd secțiunii transversale minime a fasciculului, iar mărimea  $z_0$  unei secțiuni transversale egale cu  $\sqrt{2} w_0$ . Lărgirea fasciculului cu  $z$  poate fi exprimată și cu ajutorul unghiului de divergență  $\theta$  definit astfel

$$\theta = 2 \frac{dw}{dz} = \frac{2\lambda}{\pi w_0}. \quad (3.102)$$

Amplitudinea cîmpului într-un punct se reduce atît datorită dependenței de  $r$  cît și datorită divergenței fasciculului.

Al doilea factor din membrul drept al expresiei (3.101) evidențiază modificările fazei undei în direcția de propagare și face posibil calculul vitezei de fază a fasciculului (care rezultă puțin mai mare decît viteza luminii în mediu).

În sfîrșit, ultimul factor al expresiei (3.101) evidențiază faptul că planele  $z = \text{ct.}$  nu sînt suprafețe echifaze, aceste suprafețe fiind sferice cu raza de curbură  $R(z)$ , centrul aparent de curbură pentru fronturile de undă nefiînd fix.

Prin urmare, mărimile  $P(z)$  și  $q(z)$  au semnificațiile:

— mărimea  $P(z)$  indică schimbarea de fază complexă asociată cu propagarea fasciculului gaussian, partea reală a lui  $P$  reprezentînd dife-



rența de fază dintre fasciculul gaussian și o undă plană ideală, iar partea imaginară a lui  $P$  evidențiind descreșterea expectată a intensității pe axă datorită expansiunii fascicului;

— parametrul complex al fasciculului  $q(z)$  descrie variațiile în intensitate ale acestuia cu distanța  $z$  de la axa optică precum și curbura frontului de undă (care lângă axă este sferic).

Soluția (3.101) a ecuației (3.86) care definește modul fundamental al câmpului electromagnetic din rezonator  $TEM_{00}$  nu este unică, deși este cea mai importantă.

În general, ecuația (3.86) admite un sistem ortogonal complet de soluții, numite „moduri de propagare”, care sînt reprezentate analitic prin produse de polinoame Hermite și funcții Gauss, rezultate în concordanță cu teoria dezvoltată în § 3.2.

### 3.4.2. Transformarea printr-o lentilă și legea ABCD pentru fascicule gaussiene

În aplicații, prezintă interes modul în care parametrii  $R$  și  $w$  care specifică geometria fasciculului gaussian se transformă la trecerea printr-un sistem optic.

Dacă ne referim la o lentilă subțire, se constată că aceasta transformă frontul de undă al fasciculului laser ca și pe cel al undelor sferice.

Se știe că o undă sferică poate fi caracterizată printr-un singur parametru — raza de curbura a frontului de undă  $R$ .

Astfel razele de curbura ale celor două fronturi de undă separate prin distanța  $z$  sînt corelate prin relația

$$R_2 = R_1 + z, \quad (3.103)$$

iar la trecerea printr-o lentilă cu distanța focală  $f$ , raza de curbura  $R_1$  devine  $R_2$  conform relației

$$\frac{1}{R_2} = \frac{1}{R_1} - \frac{1}{f}. \quad (3.104)$$

Dificultatea creată de caracterizarea fasciculului gaussian cu ajutorul a doi parametri  $R$  și  $w$  poate fi evitată dacă se utilizează parametrul complex al fasciculului  $q$  care poate fi scris pe baza relațiilor (3.93), (3.98) și (3.99) sub forma

$$\frac{1}{q} = \frac{1}{R} - \frac{2i}{kw^2}. \quad (3.105)$$

Ținîndu-se seama de analogia relațiilor (3.93) și (3.103) se poate observa că  $q$  trebuie să joace pentru fasciculul gaussian rolul razei de curbura pentru unda sferică  $R$ , astfel încît se mai numește *rază de curbura complexă a fasciculului*. Ca urmare, prin analogie cu ecuația (3.104), la trecerea printr-o lentilă  $q(z)$  trebuie să se transforme conform ecuației

$$\frac{1}{q_2} = \frac{1}{q_1} - \frac{1}{f} \quad (3.106)$$



$q_1$  și  $q_2$  fiind parametrii complecși de intrare respectiv de ieșire ai fasciculului, măsurați lângă lentilă. Evident că atunci când acești parametri se măsoară la distanțele  $d_1$  respectiv  $d_2$  de lentilă, ecuația (3.106) se transformă astfel

$$q_2 = \frac{(1 - d_2/f)q_1 + (d_1 + d_2 - d_1 d_2/f)}{(-q_1/f) + (1 - d_1/f)}. \quad (3.107)$$

O altă metodă de calcul a parametrului  $q_2$  al fasciculului emergent la trecerea printr-un sistem optic constă în aplicarea legii  $ABCD$ , dacă matricea de transfer  $ABCD$  a razelor paraxiale este cunoscută. Conform acestei legi, la trecerea printr-un sistem optic, parametrul complex  $q_1$  al unui fascicul gaussian se modifică astfel

$$q_2 = \frac{Aq_1 + B}{Cq_1 + D}. \quad (3.108)$$

Această lege exprimă o corelație directă între teoria razelor paraxiale și teoria fasciculelor gaussiene. Stabilirea sa se face tot pe baza analogiei cu propagarea undelor sferice, pentru care raza de curbură de intrare  $R_1$  se modifică conform relației

$$R_2 = \frac{AR_1 + B}{CR_1 + D}, \quad (3.109)$$

rezultat cunoscut din optică geometrică.

Cu ajutorul acestei legi se poate calcula, de exemplu, dimensiunea minimă a spotului focal pentru o lentilă dată.

### 3.4.3. Fascicule gaussiene în rezonatori stabili

Generarea setului complet de moduri de oscilație în cavitățile optice rezonante stabile trebuie corelată cu „adaptarea” dintre razele de curbură ale fasciculului gaussian la oglinzi și razele de curbură ale oglinzilor cavității.

În cazul adaptării, razele asociate cu fasciculul gaussian cad perpendicular pe suprafețele oglinzilor astfel că se reflectă pe același drum, determi-

nind configurația selfconsistentă stabilă caracteristică modurilor cavității. Dacă ne referim, de exemplu, la rezonatorul cu două oglinzi sferice, cu razele de curbură neegale,  $R_1$  și  $R_2$ , din figura 3.16, se pune problema determinării poziției planului  $z=0$  în raport cu oglinzile, astfel încât suprafețele echifa-ze să fie adaptate cu suprafețele oglinzilor. Problema implică

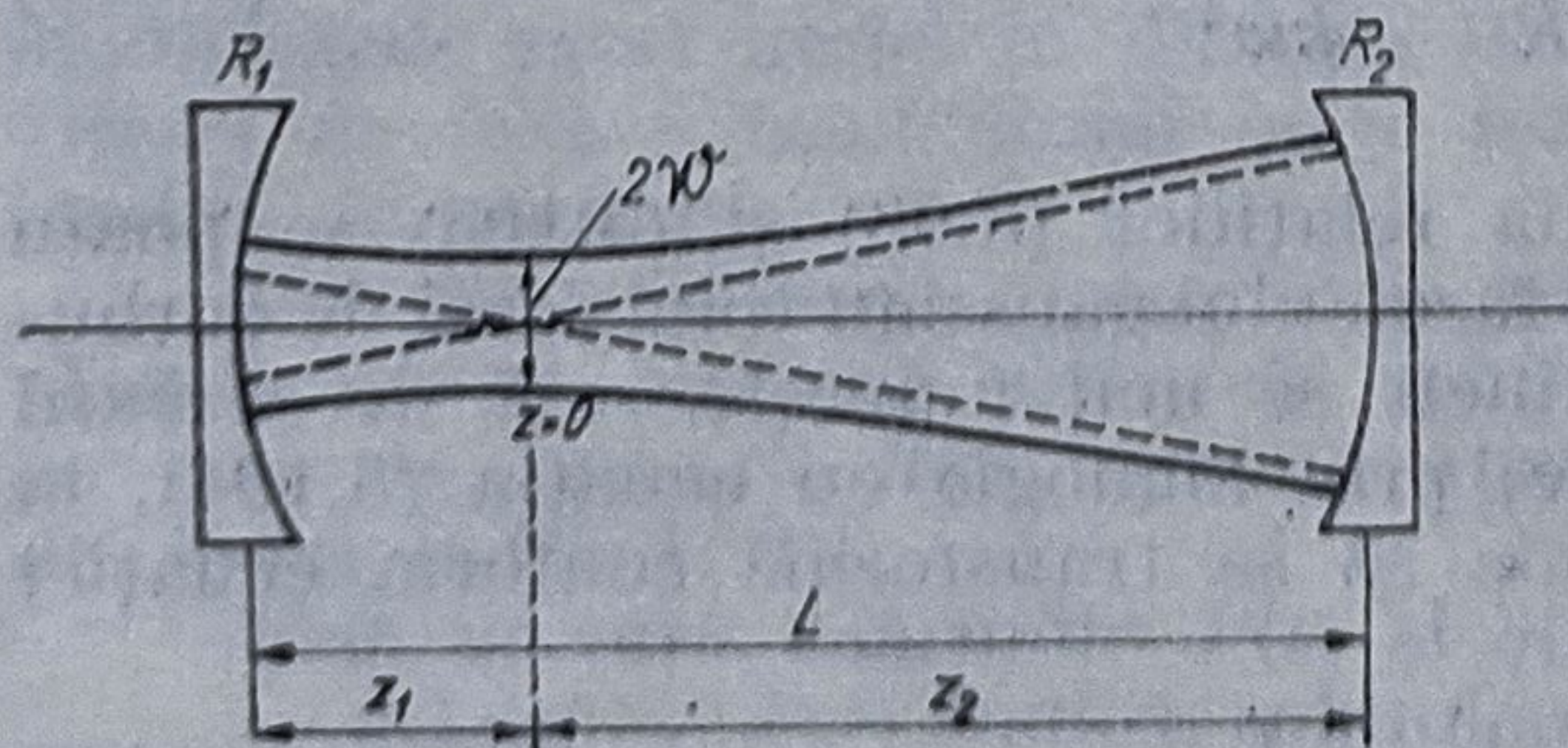


Fig. 3.16



rezolvarea următorului sistem neliniar de ecuații

$$z_1 + z_2 = L \quad (3.110)$$

$$R(z_2) = R_2 = z_2 \left[ 1 + \left( \frac{z_0}{z_2} \right)^2 \right] \quad (3.111)$$

$$R(z_1) = -R_1 = -z_1 \left[ 1 + \left( \frac{z_0}{z_1} \right)^2 \right] \quad (3.112)$$

ale cărui soluții sînt următoarele

$$z_0^2 = \frac{L(R_1 - L)(R_2 - L)(R_1 + R_2 - L)}{(R_1 + R_2 - 2L)^2} \quad (3.113)$$

$$z_1 = \frac{L(R_2 - L)}{R_1 + R_2 - 2L} \quad (3.114)$$

$$z_2 = \frac{L(R_1 - L)}{R_1 + R_2 - 2L} \quad (3.115)$$

unde  $z_0 = \frac{\pi w_0^2}{\lambda}$  conform ecuației (3.96).

În cazul general al unor sisteme complexe, problema se rezolvă cu ajutorul legii  $ABCD$ , postulînd existența unor soluții de tip Hermite-Gauss pentru cîmpul din cavitate și impunînd condiția ca parametrul complex al fascicului să se transforme în el însuși după fiecare traseu dus-întors prin cavitate, conform ecuației

$$q(z_1) = \frac{Aq(z_1) + B}{Cq(z_1) + D} \quad (3.116)$$

Soluția acestei ecuații

$$\frac{1}{q(z_1)} = \frac{D - A}{2B} \pm \frac{i}{2B} \sqrt{4 - (A + D)^2} \quad (3.117)$$

este utilizată pentru calculul razei de curbură  $R(z)$  și dimensiunii fascicului la oglinzi  $w(z)$ .

Din condiția (3.117) rezultă și domeniile de valori pentru parametrii cavității, care asigură stabilitatea modurilor de oscilație.

#### 3.4.4. Adaptarea modurilor

Atunci cînd modurile laser cu anumiți parametri, determinați de geometria rezonatorului sînt injectate în alte sisteme optice, o problemă importantă este cea a adaptării modurilor, adică a transformării unor fascicule gaussiene în altele, cu proprietăți date.



Se arată că o astfel de adaptare se realizează în cazul cel mai simplu cu o lentilă a cărei distanță focală  $f$  trebuie să fie mai mare decât o lungime caracteristică  $f_0$  avînd expresia

$$f_0 = \pi w_1 w_2 / \lambda, \quad (3.118)$$

prin ajustarea distanței dintre lentilă și planele  $z = 0$  ale celor două fascicule de lărgimi  $w_1$  și  $w_2$ , la aceste plane.

Ținînd seama de ecuația transformării printr-o lentilă (3.106) și de definițiile

$$q_1 = \frac{i\pi w_1^2}{\lambda} \text{ respectiv } q_2 = \frac{i\pi w_2^2}{\lambda} \quad (3.119)$$

ale parametrilor complecși ai fasciculelor care se adaptează se obțin pentru pozițiile  $d_1$  și  $d_2$  ale planelor  $z = 0$ , ale fasciculelor în raport cu lentila de adaptare, expresiile

$$d_1 = f \pm \frac{w_1}{w_2} \sqrt{f^2 - f_0^2} \quad (3.120)$$

$$d_2 = f \pm \frac{w_2}{w_1} \sqrt{f^2 - f_0^2} \quad (3.121)$$

putîndu-se alege în ambele expresii semnele (+) sau (-).

Problema adaptării modurilor intervine frecvent în studiul cuplării cavității laser cu diferite sisteme ca: interferometrele Fabry-Perot cu baleiaj, amplificatoarele regenerative, cristalele neliniare, secvențele de lentilă cu gaz sau dielectrice etc.

#### Observație

Propagarea fasciculelor gaussiene poate fi reprezentată grafic cu ajutorul diagramei cercului, utilizîndu-se planele complexe ale variabilelor

$$W = \frac{\lambda}{\pi w^2} + i \frac{1}{R} \quad (3.122)$$

și

$$Z = \frac{\pi w_0^2}{\lambda} - iz \quad (3.123)$$

corelate prin transformarea conformă

$$W = \frac{1}{Z}. \quad (3.124)$$

Expresiile (3.122) și (3.123) depind de variabilele  $w$ ,  $R$ ,  $w_0$  și  $z$ , utilizate pentru descrierea propagării fasciculelor gaussiene și corelate prin relația

$$\left( \frac{\lambda}{\pi w^2} + i \frac{1}{R} \right) \left( \frac{\pi w_0^2}{\lambda} - iz \right) = 1, \quad (3.125)$$

identică cu (3.124) și obținută prin eliminarea parametrului complex al fasciculului  $q$  între ecuațiile (3.93) și (3.105).



## 4. BAZELE FIZICE ALE PROCESELOR LASER

### 4.1. Posibilități de descriere a proceselor laser

Pentru studiul interacției câmp-substanță în cazul laserilor s-au dezvoltat mai multe tipuri de formalisme cu diferite grade de generalitate. Prezentarea acestor formalisme are la bază modelul general al sistemului laser prezentat în figura 4.1.

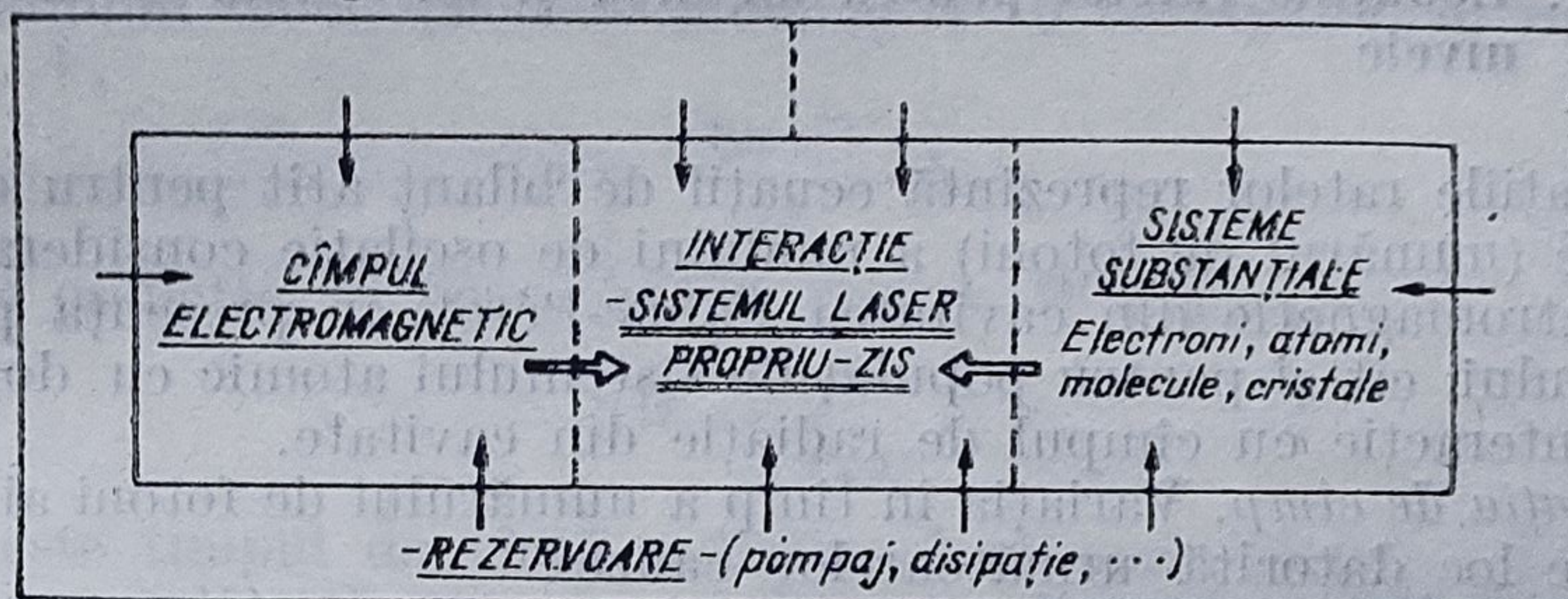


Fig. 4.1

În tabelul 4.1 se prezintă sintetic principalele „nivele” de analiză a proceselor laser, cu ajutorul teoriilor cuantică, semicuantică sau termodinamică precum și corelațiile dintre acestea și posibilitățile de descriere a fenomenelor fizice din sistemele laser oferite de fiecare în parte.

Tabelul 4.1

Teorii generale ale laserilor		
Nivelul de analiză	Modele și formalisme	Posibilități de descriere
1	2	3
I. CUANTIC	<ul style="list-style-type: none"> <li>— Ecuatiile cuantice Lan-gevin</li> <li>— Ecuatiile matricei densitate</li> <li>— Ecuatiile generale Fokker-Planck</li> </ul>	<ul style="list-style-type: none"> <li>— Lărgimea liniei, fluctuațiile, coerența, statisticile de fotoni etc.</li> </ul>
Mediere peste procesele de pompaj și relaxare		
II. SEMICUANTIC	<ul style="list-style-type: none"> <li>— Pe baza formalismelor cuantice</li> <li>— Formalisme proprii (teoria lui Lamb etc.)</li> </ul>	<ul style="list-style-type: none"> <li>— Modificările frecvenței, efectele de modulație, impulsurile ultracurte, ecoul fonic, superradianța, generarea de armonici, alte efecte neliniare, dependența de timp a pulsațiilor populațiilor etc. ...</li> </ul>



1	[2	3
Neglijarea tuturor relațiilor de fază		
III. TERMODINAMIC	— Pe baza formalismelor semicuantice	— Condiția de prag, puterea de ieșire, impulsurile laser gigant, cascadele laser, competiția și coexistența modurilor de oscilație etc.
	— Formalisme proprii (bilanțuri pentru populații și fotoni)	

În cele ce urmează se va face o prezentare sistematică a principalelor formalisme care conduc la ecuațiile ratelor pentru laseri și se vor aplica ecuațiile obținute la studiul proceselor laser. Formalismele semicuantice și cuantice ale laserilor vor fi abordate ulterior în capitolele 5 și 6.

## 4.2. Ecuațiile generale ale ratelor ca ecuații de bilanț

### 4.2.1. Ecuațiile ratelor pentru un mod și un sistem atomic cu două nivele

Ecuațiile ratelor reprezintă ecuații de bilanț atât pentru densitatea de energie (numărul de fotoni) a modului de oscilație considerat al câmpului electromagnetic din cavitatea Fabry-Pérot, în prezența pierderilor și a câștigului, cât și pentru populațiile sistemului atomic cu două nivele aflat în interacție cu câmpul de radiație din cavitate.

*Ecuația de câmp.* Variația în timp a numărului de fotoni ai modului,  $dn/dt$ , are loc datorită următoarelor cauze:

- pierderile de fotoni prin oglinzile rezonatorului și prin alte mecanisme (refracție, împrăștiere, neomogenități), descrise prin termenul  $-2\kappa n$ , unde  $2\kappa = 1/\tau_c$ ,  $\tau_c$  fiind timpul de viață al fotonului în cavitate;
- emisia spontană determinată de termenul  $WN_2$ , unde  $W$  este rata de emisie spontană pentru un singur atom;
- emisia stimulată, determinată de termenul  $WN_2n$ , fiind proporțională cu densitatea de energie a modului;
- absorbția, luată în considerare prin termenul  $-N_1Wn$ .

Prin urmare ecuația de câmp are forma

$$\frac{dn}{dt} = W(N_2 - N_1)n + WN_2 - 2\kappa n. \quad (4.1)$$

(Ecuațiile ratelor pentru fotoni au fost scrise pentru prima dată de către Einstein, fiind aplicate la studiul laserilor de către H. Statz și G. A. de Mars în 1960.)

*Ecuațiile de populații.* Populațiile celor două nivele  $N_1$  și  $N_2$  (fig. 4.2) se modifică atât datorită emisiei stimulate și absorbției cât și datorită tranzițiilor cauzate de pompaj și procesele necoerente de tipul: ciocniri de speța a doua, tranziții spontane neradiative și radiative etc., luate în considerare prin ratele de tranziție  $w_{12}$  sau  $w_{21}$ .

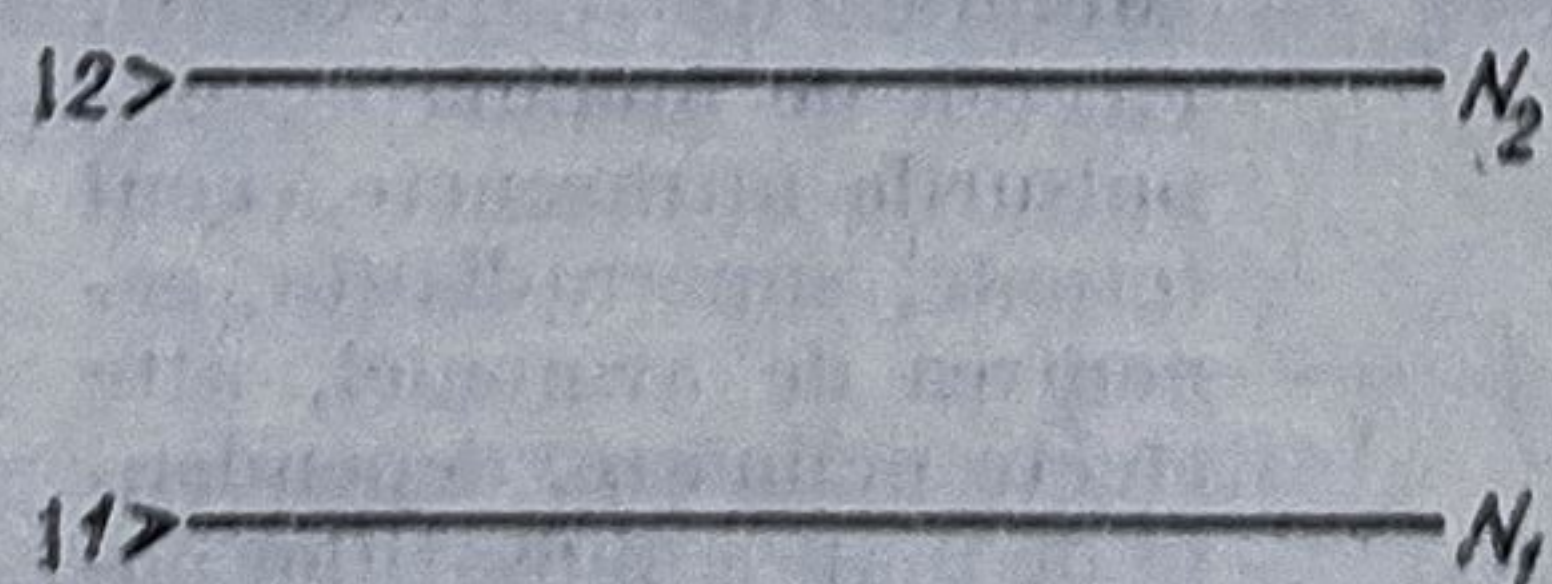


Fig. 4.2



Rezultă ecuațiile

$$\frac{dN_2}{dt} = -(N_2 - N_1)Wn - N_2w_{21} + N_1w_{12} \quad (4.2)$$

$$\frac{dN_1}{dt} = (N_2 - N_1)Wn + N_2w_{21} - N_1w_{12} \quad (4.3)$$

Dacă se introduc notațiile  $D = N_2 - N_1$  și  $N_0 = N_1 + N_2$  din ecuațiile (4.2) și (4.3) se obține ecuația verificată de diferența de populație  $D$ ,

$$\frac{dD}{dt} = \frac{D_0 - D}{T} - 2DWn \quad (4.4)$$

unde

$$\frac{1}{T} = w_{12} + w_{21} \text{ și } D_0 = \frac{w_{12} - w_{21}}{w_{12} + w_{21}} \quad (4.5)$$

Condiția de „efect laser,  $n > 0$  rezultă din (4.1) sub forma

$$WD > 2\kappa \quad (4.6)$$

Întrucât lărgimii liniei spectrale atomice  $\Delta\nu$  îi corespund, în rezonatorul de volum  $V$ ,

$$p = \frac{8\pi\nu^2 V}{c^3} \Delta\nu \quad (4.7)$$

moduri de oscilație, se poate utiliza pentru  $W$  expresia

$$W = \frac{1}{\tau_R p} \quad (4.8)$$

unde  $\tau_R$  este timpul de viață radiativ al atomului (emit spontan  $1/\tau_R$  atomi pe secundă). Ca urmare, condiția de efect laser (4.6) capătă forma

$$\frac{Dc^3}{8\tau_R\pi\nu^2 V\Delta\nu} > \frac{1}{\tau_c} \quad (4.9)$$

stabilită pentru prima dată în 1958 de către Schawlow și Townes. Din condiția (4.9) rezultă influența diferiților parametri ( $\tau_c$ ,  $\Delta\nu$ ,  $D$ ) asupra regimului optim de funcționare a laserului. Dacă se neglijează emisia spontană în ecuația (4.1) se obține soluția de regim staționar

$$\frac{dn}{dt} = 0; \quad \frac{dD}{dt} = 0; \quad (4.10)$$

$$n = \frac{D_0 W - 2\kappa}{4TW\kappa} \quad (4.11)$$

unde  $n$  reprezintă numărul de fotoni emiși coerent.

O altă formă a ecuațiilor ratelor, utilizată în unele lucrări, pentru un sistem atomic cu două nivele este următoarea:

$$\begin{array}{c} |2\rangle \text{-----} N_2 \\ \uparrow W_p \quad \uparrow W_i \quad \downarrow W_i \quad \downarrow \frac{1}{\tau_s} \\ |1\rangle \text{-----} N_1 \end{array} \quad \frac{dN_2}{dt} = W_p N_1 - W_i(N_2 - N_1) - \frac{N_2}{\tau_s} \quad (4.12)$$

$$\frac{dN_1}{dt} = -W_p N_1 + W_i(N_2 - N_1) + \frac{N_2}{\tau_s} \quad (4.13)$$

Fig. 4.3



unde  $N_1 + N_2 = N_0$ , semnificațiile diferitelor rate de tranziție fiind specificate în figura 4.3 și anume:  $W_p$  este rata de pompaj de pe nivelul  $|1\rangle$  pe nivelul  $|2\rangle$ ,  $W_i$  este rata de emisie indusă sau de absorbție, ambele fiind proporționale cu densitatea de fotoni iar  $\tau_s = \tau_{21}$  este timpul de relaxare, datorat pierderilor prin emisie spontană. La ecuațiile (4.12) și (4.13) se adaugă ecuația pentru densitatea de energie în cavitate.

#### 4.2.2. Ecuațiile ratelor pentru un sistem atomic cu trei nivele

Diagrama nivelelor energetice pentru laserul cu trei nivele este prezentată schematic în fig. 4.4.

Laserul cu trei nivele tipic este laserul cu rubin ( $\text{Al}_2\text{O}_3$  cu impurități de  $\text{Cr}^{+++}$ ) care emite o radiație cu lungimea de undă de 6943 Å.

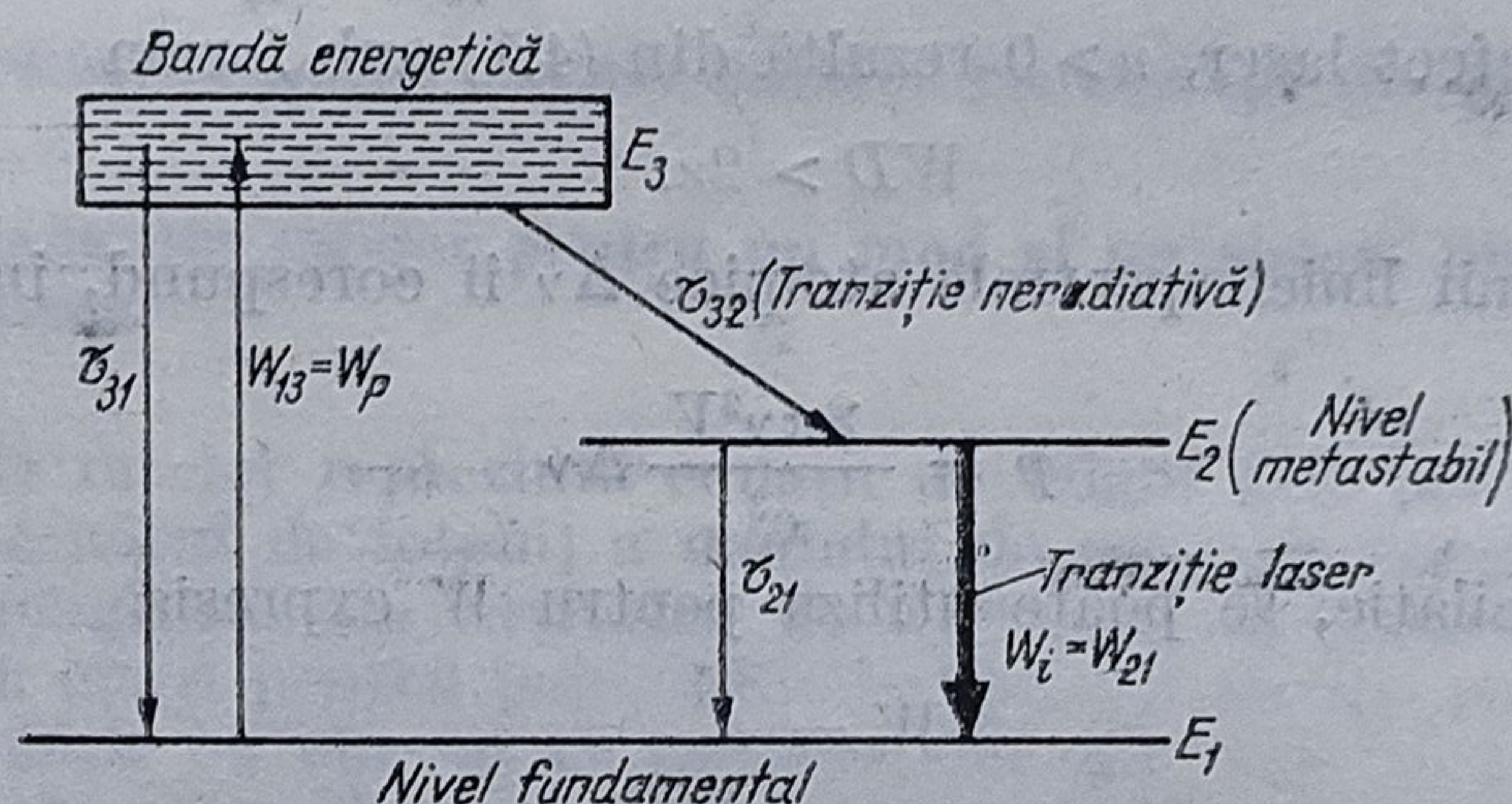


Fig. 4.4.

Ecuațiile ratelor pentru laserul cu trei nivele se scriu în conformitate cu notațiile din fig. 4.4 astfel

$$\frac{dN_3}{dt} = W_p(N_1 - N_3) - \frac{N_3}{\tau_{32}} - \frac{N_3}{\tau_{31}} \quad (4.15)$$

$$\frac{dN_2}{dt} = W_i(N_1 - N_2) - \frac{N_2}{\tau_{21}} + \frac{N_3}{\tau_{32}} \quad (4.16)$$

$$\frac{dN_1}{dt} = W_i(N_2 - N_1) + W_p(N_3 - N_1) + \frac{N_3}{\tau_{31}} + \frac{N_2}{\tau_{21}} \quad (4.17)$$

unde  $\tau_{ij}$  sînt constantele de timp de relaxare spontană între nivelele  $i$  și  $j$  (timpul de relaxare  $\tau_{31}$  este suficient de mare astfel încît termenul corespunzător se poate neglija).

Evident că, întrucît  $N_1 + N_2 + N_3 = N_0$ , există și dependența

$$\frac{dN_1}{dt} + \frac{dN_2}{dt} + \frac{dN_3}{dt} = 0. \quad (4.18)$$

La ecuațiile privind populațiile de mai sus trebuie adăugată și ecuația de câmp

$$\frac{d\rho_E}{dt} = W_i(N_2 - N_1) + K \frac{N_2}{\tau_{21}} - \frac{\rho_E}{\tau_c} \quad (4.19)$$



unde  $\rho_E$  este densitatea de energie din cavitatea Fabry-Pérot. Termenii  $W_i(N_2 - N_1)$  și  $K \frac{N_2}{\tau_{21}}$  ( $K = c^3/8\pi\nu^2\Delta\nu V \ll 1$ ) determină energia primită de câmp prin emisie stimulată respectiv prin fluorescență ( $K$  determină fracția din radiația de fluorescență emisă în modul coerent care prezintă interes) iar ultimul termen  $\rho_E/\tau_c$  ia în considerare pierderile în cavitatea Fabry-Pérot avînd constanta de timp  $\tau_c$ . Întrucît coeficienții de emisie stimulată  $W_i$  sînt dependenți de densitatea de energie se poate explicita această dependență sub forma

$$W_i = B \left( \frac{\rho_E}{\Delta\nu} \right) = B_s \rho_E \quad (4.20)$$

unde  $B_s$  este coeficientul de emisie stimulată al lui Einstein definit în § 1.5.

Ca urmare, ecuațiile ratelor pentru laserul cu trei nivele se pot scrie sub forma

$$\frac{dN_3}{dt} = W_p(N_1 - N_3) - \frac{N_3}{\tau_{32}} \quad (4.21)$$

$$\frac{dN_2}{dt} = B_s \rho_E (N_1 - N_2) + \frac{N_3}{\tau_{32}} - \frac{N_2}{\tau_{21}} \quad (4.22)$$

$$N_1 + N_2 + N_3 = N_0 \quad (4.23)$$

$$\frac{d\rho_E}{dt} = B_s \rho_E (N_2 - N_1) + K \frac{N_2}{\tau_{21}} - \frac{\rho_E}{\tau_c} \quad (4.24)$$

ecuația (4.23) fiind echivalent cu (4.17) în virtutea relației (4.18).

Se observă că ecuațiile ratelor sînt ecuații diferențiale neliniare datorită produselor de forma  $\rho_E N_i$ .

Condițiile de echilibru (regim staționar) pentru laserul cu trei nivele pot fi stabilite utilizîndu-se ecuațiile (4.21) — (4.24). Astfel, pentru o putere de pompaj scăzută (mult sub prag),  $\rho_E$  este puțin important încît pot fi neglijați termenii neliniari. Ca urmare, din condițiile

$$\frac{dN_1}{dt} = \frac{dN_2}{dt} = \frac{dN_3}{dt} = \frac{d\rho_E}{dt} = 0 \quad (4.25)$$

se obțin pentru populații și densitatea de energie soluțiile

$$\frac{N_3}{N_0} = \frac{\tau_{32}}{2\tau_{32} + (1/W_p) + \tau_{21}} \quad (4.26)$$

$$\frac{N_2}{N_0} = \frac{\tau_{21}}{2\tau_{32} + \tau_{21} + (1/W_p)} \quad (4.27)$$

$$\frac{N_1}{N_0} = \frac{\tau_{32} + (1/W_p)}{2\tau_{32} + \tau_{21} + (1/W_p)} \quad (4.28)$$

$$\rho_E = \frac{K(N_2/\tau_{21})}{(1/\tau_c) - B_s(N_2 - N_1)} \quad (4.29)$$



O altă situație corespunde puterii de pompaj ridicate. Presupunem că este satisfăcută condiția  $\rho_E/\tau_c > K(N_3/\tau_{32})$  astfel încît la echilibru

$$\Delta N = \frac{1}{B_s \tau_c} \quad (4.30)$$

unde  $\Delta N = D = N_2 - N_1$ . În acest caz ecuațiilor (4.26) — (4.29) le corespund ecuațiile

$$\frac{N_1}{N_0} = \frac{[1 - (1/N_0 B_s \tau_c)](1 + W_p \tau_{32})}{3W_p \tau_{32} + 2} \quad (4.31)$$

$$\frac{N_2}{N_0} = \frac{(1 + W_p \tau_{32}) + (1/N_0 B_s \tau_c)(2W_p \tau_{32} + 1)}{3W_p \tau_{32} + 2} \quad (4.32)$$

$$\frac{N_3}{N_0} = W_p \tau_{32} \left[ \frac{1 - (1/N_0 B_s \tau_c)}{3W_p \tau_{32} + 2} \right] \quad (4.33)$$

$$\frac{\rho_E}{N_0} \left( \frac{\tau_{21}}{\tau_c} \right) = \frac{[W_p(\tau_{21} - \tau_{32}) - 1] - (1/N_0 B_s \tau_c)[W_p(\tau_{21} - 2\tau_{32}) + 1]}{3W_p \tau_{32} + 2} \quad (4.34)$$

Presupunînd că nivelul laser fluorescent are timpul de viață mult mai mare, decît celelalte nivele (este metastabil) din ecuațiile (4.31) — (4.34) rezultă pentru valoarea minimă a lui  $W_p$  condiția

$$W_p \tau_{21} \geq \frac{NB_s \tau_c + 1}{NB_s \tau_c - 1} \quad (4.35)$$

Pentru a se obține dependența de timp a densității de energie  $\rho_E$ , trebuie integrată ecuația (4.34) în care se neglijează emisia spontană, astfel încît se obține:

$$\frac{1}{\rho_E} \frac{d\rho_E}{dt} = \frac{1}{\tau_c} \left( \frac{\Delta N}{(\Delta N)_p} - 1 \right) \quad (4.36)$$

unde  $N_p = (N_2 - N_1)_p = \frac{1}{B_s \tau_c}$  este inversia de populație la pragul de oscilație. Dacă  $\Delta N > (\Delta N)_p$ , rezultă

$$\rho_E = \rho_{E_0} \exp \left\{ \int \frac{dt}{\tau_c} \left[ \frac{\Delta N}{(\Delta N)_p} - 1 \right] \right\} \quad (4.37)$$

adică o creștere exponențială a densității de energie.

Această ecuație este dificil de integrat întrucît nu este cunoscută dependența de timp a lui  $\Delta N$ . Se poate totuși determina valoarea maximă a lui  $\rho_E$  care se obține pentru  $d\rho_E/dt = 0$ , adică  $\Delta N = (\Delta N)_p$ , astfel încît  $\Delta N$  este chiar valoarea de prag a inversiei de populație.

*Observații.* a) Ecuațiile ratelor pentru un sistem cu trei nivele se reduc la ecuațiile ratelor pentru un sistem cu două nivele dacă sînt îndeplinite condițiile: constanta de timp  $\tau_{32}$  este foarte mică, adică electronii care suferă tranziții în banda de pompaj sînt transferați rapid pe nivelul laser superior, astfel că densitatea de electroni în banda de pompaj, rămîne scăzută; rata de emisie spontană din banda de pompaj, în starea fundamentală, descrisă de  $\tau_{31}$  este neglijabilă. În acest caz ecuația (4.15) admite soluția

$$N_3 \simeq N_1(W_p \tau_{32})[1 - \exp(-t/\tau_{32})] \simeq n_1(W_p \tau_{32}) \quad (4.38)$$



astfel încât cu condiția  $\tau_{32} \ll \tau_{31}$ , ecuațiile (4.16) și (4.17) se reduc la ecuațiile (4.12) și (4.13) dacă  $\tau_s = \tau_{21}$ .

Prin urmare, transferul electronilor din starea fundamentală pe nivelul laser superior este limitat de rata de pompaj  $W_p$  și nu de rata de relaxare neradiativă descrisă de  $\tau_{32}$ .

b) Dacă se înlocuiesc constantele de timp de relaxare spontană  $\tau_{ij}$  cu ratele de relaxare spontană  $w_{ij}$  în ecuațiile ratelor (4.15) – (4.17) și se ține seama de condițiile de regim staționar se obține pentru inversia de populație de echilibru expresia

$$(N_2 - N_1) = N \frac{W_p [\eta(w_{32} + w_{31}) - w_{21}] - w_{21}(w_{32} - w_{31})}{(W_p + w_{32} + w_{31})(2W_t + w_{21}) + W_p(W_t + w_{32} + w_{31})} \quad (4.39)$$

unde  $\eta = w_{32}/(w_{32} + w_{31})$ .

Dacă se ține seama de condiția

$$w_{31} + w_{32} \gg w_{21} \quad (4.40)$$

satisfăcută în cele mai multe materiale laser și se consideră un pompaj care nu saturează tranziția de pompaj ( $w_{32} \gg W_p$ ) relația (4.39) se simplifică astfel

$$N_2 - N_1 = N \frac{W_p \eta - w_{21}}{2W_t + w_{21} + W_p \eta} \quad (4.41)$$

Sub pragul de oscilație,  $W_t = 0$ , astfel că rezultă o dependență liniară a inversiei de populație de pompaj. Peste pragul de oscilație inversia de populație nu poate depăși o valoare critică  $\Delta N_c$ , întrucât numărul de fotoni ar crește în timp, astfel încât trebuie admis că  $W_t$  crește odată cu atingerrea pragului. Se obține [81]

$$W_t = \frac{N_0}{2\Delta N_c} (W_p \eta - w_{21}) - \frac{1}{2} (W_p \eta + w_{21}) \quad (4.42)$$

unde din considerente fenomenologice rezultă pentru laserul cu două nivele

$$\Delta N_c = \frac{8\pi\nu^2\tau_s}{c^3\tau_c g(0)} \quad (4.43)$$

$g(0)$  fiind determinat de funcția lorentziană a liniei  $g(\nu - \nu_0)$ . Condiția (4.43) este echivalentă cu condiția de amorsare a oscilației (4.9) a lui Schawlow și Townes. Cu ajutorul expresiei (4.42) se poate calcula puterea de oscilație totală conform relației

$$P = Vh\nu(N_2 - N_1)W_t \quad (4.44)$$

Expresia (4.42) a ratei tranziției induse  $W_t$  se poate stabili și fenomenologic utilizându-se expresia (4.44) și ținându-se seama de relațiile:  $N_2 - N_1 = \Delta N_c$ ,  $N_3 \ll N_2$ ,  $N_1 + N_2 + N_3 = N_0$ , astfel

încât  $N_1 = \frac{1}{2}(N_0 - \Delta N_c)$  și  $N_2 = \frac{1}{2}(N_0 + \Delta N_c)$ ; numărul de atomi pompați pe unitatea

de timp și pe unitatea de volum este  $W_p N_1$  iar numărul de atomi care populează nivelul laser superior este  $W_p N_1 \eta$ , tranzițiile spontane de pe nivelul 2 pe nivelul 1 fiind date de termenul  $N_2 w_{21}$  etc.

### 4.2.3. Ecuațiile ratelor pentru un sistem atomic cu patru nivele

Diagrama nivelelor energetice pentru laserul cu patru nivele este prezentată schematic în fig. 4.5.

Dezavantajul principal al laserilor cu trei nivele constă în faptul că nivelul inferior care participă la tranziția laser este nivelul fundamental, ceea ce face ca inversia de populație să se obțină greu. Acest neajuns este înlăturat la laserul cu patru nivele, unde prin emisie stimulată atomii trec



pe un nivel intermediar, care este în general foarte puțin populat, astfel încît inversia de populație se realizează mai ușor.

Laserii cu patru nivele reprezentativi sînt laserul cu ioni de neodim introduși ca impurități în cristalul de  $Y_2Al_2O_{12}$  și laserul cu sticlă dopată cu neodim.

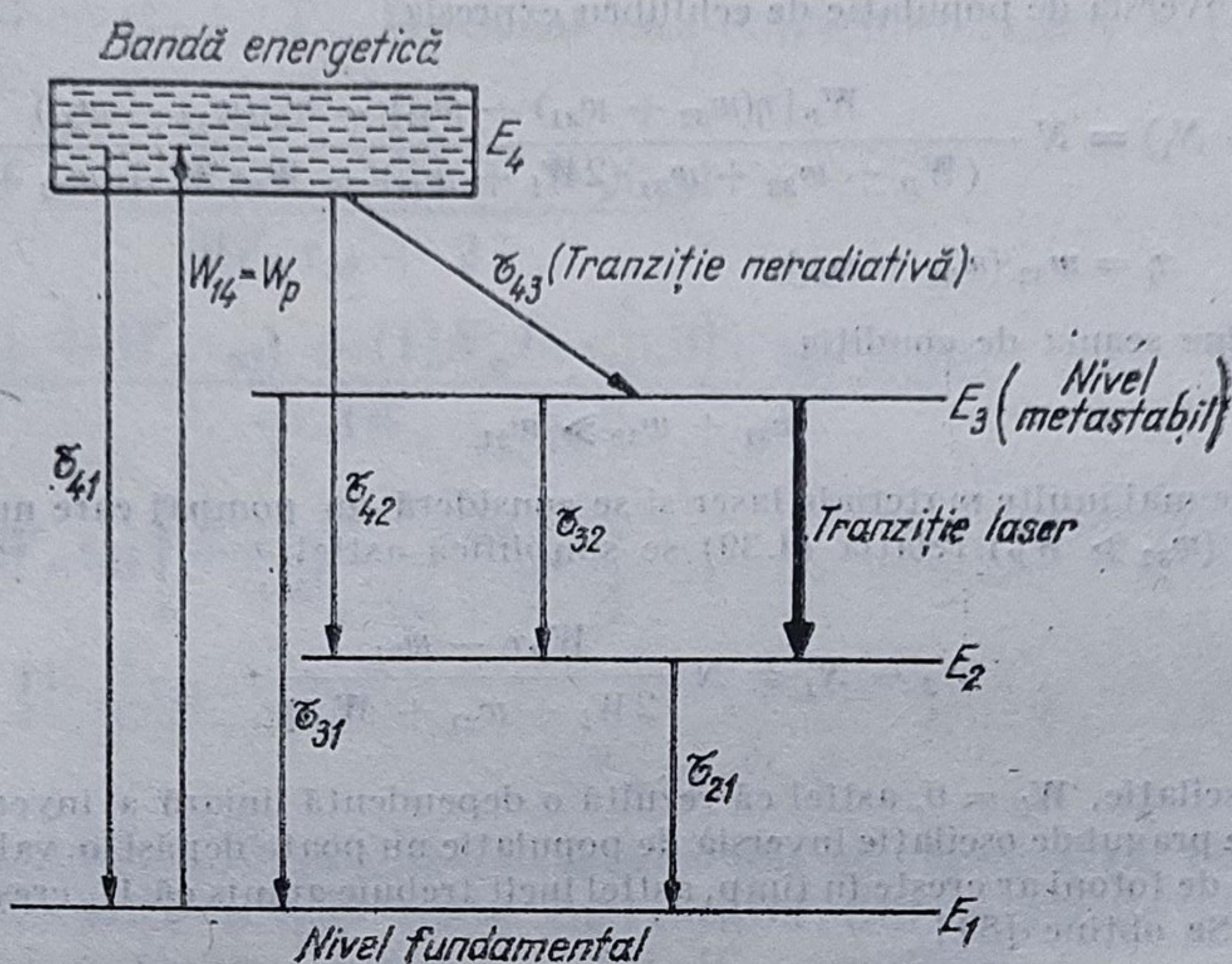


Fig. 4.5

Ecuatiile ratelor pentru laserul cu patru nivele, se scriu prin analogie cu ecuațiile (4.15) — (4.17) astfel

$$\frac{dN_4}{dt} = W_p(N_1 - N_4) - \frac{N_4}{\tau_{43}} - \frac{N_4}{\tau_{42}} - \frac{N_4}{\tau_{41}} \quad (4.45)$$

$$\frac{dN_3}{dt} = \frac{N_4}{\tau_{43}} - \frac{N_3}{\tau_{32}} - W_i(N_3 - N_2) - \frac{N_{31}}{\tau_{31}} \quad (4.46)$$

$$\frac{dN_2}{dt} = W_i(N_3 - N_2) + \frac{N_3}{\tau_{32}} - \frac{N_2}{\tau_{21}} + \frac{N_4}{\tau_{42}} \quad (4.47)$$

$$\frac{dN_1}{dt} = W_p(N_4 - N_1) + \frac{N_4}{\tau_{21}} + \frac{N_3}{\tau_{31}} + \frac{N_2}{\tau_{21}} \quad (4.48)$$

$$\frac{d\rho_E}{dt} = W_i(N_3 - N_2) + K \frac{N_3}{\tau_{32}} - \frac{\rho_E}{\tau_e} \quad (4.49)$$

Se poate arăta că timpii de relaxare  $\tau_{42}$  și  $\tau_{31}$  se pot neglija. În plus se admite că nivelul laser fluorescent are timpul de viață mult mai mare decît al celorlalte nivele (este metastabil).

În continuare, ecuațiile ratelor se pot transforma și analiza conform modelului dezvoltat pentru laserul cu trei nivele.

Comparativ cu acesta se ajunge la următoarele concluzii:

— în condiții de echilibru, regimul de oscilație al dispozitivului laser este determinat de o putere de pompaj mult mai mică pentru laserul



cu patru nivele în raport cu laserul cu trei nivele, presupunînd că timpii de relaxare sînt egali;

— nivelul laser inferior este „aproape populat” pentru laserul cu trei nivele spre deosebire de laserul cu patru nivele unde nivelul laser inferior este „aproape nepopulat”;

— inversia de populație are un nivel aproximativ constant pentru laserul cu trei nivele și este proporțională cu puterea pentru laserul cu patru nivele;

— de asemenea, se arată că eficiența de ciocnire este mult mai mare pentru sistemele cu patru nivele, comparativ cu sistemele cu trei nivele.

Ca și în cazul laserului cu trei nivele, în anumite condiții, se poate utiliza și pentru laserul cu patru nivele aproximația laserului cu două nivele.

Astfel: se neglijează tranzițiile directe dintre banda de pompaj și nivelul laser superior, se neglijează emisia spontană din banda de pompaj și se presupune rata de relaxare  $w_{43}$  dintre banda de pompaj și nivelul laser superior mult mai mare decît rata de pompaj astfel încît  $N_4 \ll N_1$ . Prin urmare, transferul electronilor din banda de pompaj pe nivelul laser superior este presupus practic instantaneu.

Pentru a fi operative avantajele laserului cu patru nivele trebuie ca populația  $N_2$  a nivelului laser inferior să rămînă foarte mică, de unde rezultă condiția suplimentară ca timpul de relaxare  $\tau_{21}$  să fie foarte scăzut. Totodată este necesară condiția de echilibru:  $dN_1/dt=0$ . Cu aceste condiții ecuațiile ratelor pentru laserul cu patru nivele capătă forma

$$\frac{dN_3}{dt} = \frac{N_2}{\tau_{21}} - W_i(N_3 - N_2) - \frac{N_3}{\tau_{32}} \quad (4.50)$$

$$\frac{dN_2}{dt} = \frac{N_2}{\tau_{21}} + W_i(N_3 - N_2) + \frac{N_3}{\tau_{32}} \quad (4.51)$$

Ecuațiile (4.50) și (4.51) sînt identice cu (4.12) — (4.13) dacă  $W_p = 1/\tau_{21}$  și  $\tau_s = \tau_{32}$ . Se observă că timpul de relaxare spontană  $\tau_{21}$  determină o rată echivalentă de pompaj  $W_p = 1/\tau_{21}$ , astfel încît pompajul nu este descris direct de tranzițiile de pe nivelul fundamental în banda de pompaj. Această constantă de timp va limita prin urmare și popularea nivelului laser superior.

#### 4.2.4. Ecuațiile generale ale ratelor pentru mai multe moduri și un sistem cu mai multe nivele

În cazul general, în scrierea ecuațiilor ratelor trebuie să se țină seama de existența mai multor moduri, avînd o distribuție spațială dată, care interacționează cu atomii mediului activ cu mai multe nivele, a căror distribuție în spațiu trebuie, de asemenea, specificată.

În continuare cele  $M$  moduri ale cavității vor fi specificate cu indicele  $r$ , iar cele  $P$  nivele energetice ale atomilor vor fi specificate de indicele  $s$

În consecință, ecuațiile (4.1) — (4.3) pentru laserul cu două nivele se pot generaliza astfel [81]



— ecuația de cîmp

$$\frac{dn_r}{dt} = -2\kappa_r n_r + n_r \underbrace{\sum_s W_{mn,r,s} (N_m - N_n)_s}_{\text{emisie stimulată}} + \underbrace{\sum_s W_{mn,r,s} N_{n,s}}_{\text{emisie spontană}} \quad (4.52)$$

— ecuațiile de populații:

— pentru nivelele între care are loc tranziția laser

$$\frac{dN_{m,s}}{dt} = \sum_{l \neq m} w_{lm,s} N_{l,s} - N_{m,s} \sum_{l \neq m} w_{ml,s} - \sum_r n_r W_{mn,r,s} (N_m - N_n)_s \quad (4.53)$$

$$\frac{dN_{n,s}}{dt} = \sum_{l \neq n} w_{ln,s} N_{l,s} - N_{n,s} \sum_{l \neq n} w_{nl,s} + \sum_r n_r W_{mn,r,s} (N_m - N_n)_s \quad (4.54)$$

— pentru alte nivele utilizate pentru pompaj

$$\frac{dN_{j,s}}{dt} = \sum_{l \neq j} w_{lj,s} N_{l,s} - N_{j,s} \sum_{l \neq j} w_{jl,s} \quad (4.55)$$

Faptul că ecuațiile (4.53) — (4.55) nu sînt independente este exprimat de condiția

$$\sum_{l=1}^P N_{l,s} = \text{const.} \quad (4.56)$$

În relațiile de mai sus, termenul  $-2\kappa_r n_r$  reprezintă rata de pierderi a modului  $r$ ,  $N_{m,s}$  este numărul de ocupare al nivelului laser superior, rata de emisie pentru un singur atom în aproximația de dipol electric fiind dată de relația

$$W_{mn,r,s} = \frac{2\gamma}{\gamma^2 + (\Omega_s - \Omega_r)^2} |g_{sr}|^2 \quad (4.57)$$

unde

$$g_{sr} = i \sqrt{\frac{2\pi\omega_r}{\hbar}} \mathbf{e}_r \mathbf{d}_{nm} U_r(\mathbf{x}_s) \quad (4.58)$$

sau

$$|g_{sr}|^2 = g^2 V |U_r(\mathbf{x}_s)|^2. \quad (4.59)$$

Mărimile din expresia lui  $W_{mn,r,s}$  au semnificațiile următoare:  $U_r(\mathbf{x}_s)$  este amplitudinea modului în punctul  $\mathbf{x}_s$ ,  $V$  este volumul cavității,  $\mathbf{d}_{nm}$  elementul de matrice al tranziției de dipol electric,  $\mathbf{e}_r$  versorul direcției de polarizare a modului,  $\omega_r$  frecvența modului,  $\Omega_s$  este frecvența de tranziție a atomului  $s$ , iar  $\gamma$  semilărgimea liniei spectrale lorentziene ( $\gamma = 1/T_2 = \Delta\omega_L$ ). Expresia (4.57) reprezintă un rezultat al teoriei semi-cuantice care poate fi de asemenea utilizată pentru obținerea ecuațiilor ratelor (tabelul 4.1).

Dacă se neglijează emisia spontană în ecuația (4.52), cu condiția de regim staționar

$$\frac{dn_r}{dt} = \frac{dN_{l,s}}{dt} = 0 \quad (4.60)$$



se obține expresia inversiei de populație

$$\Delta N_{mn,s} = \frac{A_s}{B_s + \left( \sum_r^M n_r W_{mn,r,s} \right) C_s} \quad (4.61)$$

unde  $A_s$ ,  $B_s$ ,  $C_s$  sînt factori independenți de  $n_r$ .

Pentru a determina numărul de fotoni pe mod funcție de pompaj, la regim staționar, se introduce rezultatul (4.61) în ecuația (4.52) obținându-se un sistem de  $M$  ecuații avînd ca necunoscute mărimile  $n_r > 0$ .

Prin particularizarea ecuațiilor de mai sus se obțin rezultatele cunoscute pentru laserul cu două, trei sau patru nivele.

### 4.3. Ecuațiile cuplate de amplitudine și ecuațiile ratelor

#### 4.3.1 Ecuațiile cuplate de amplitudine în regim tranzitoriu. Posibilități de amplificare

Studiul tranzițiilor de dipol electric se poate face atît în regim staționar cît și în regim tranzitoriu. Astfel, fenomenele de absorbție, dispersie și saturație au fost analizate pentru regimul staționar, ecuațiile de mișcare pentru tranzițiile de dipol electric fiind scrise în aceste condiții.

În cele ce urmează vor fi stabilite ecuațiile cuplate de amplitudine pentru regimul tranzitoriu, care joacă, de asemenea, un rol important în procesele laser. Îe acest scop se presupune pentru simplificare o variație lentă în timp a coeficienților de regim staționar, ipoteză în concordanță cu situațiile fizice care ne interesează. Un astfel de regim *cvasistaționar* este determinat de intervalele temporale mari în care se face transferul de energie în raport cu perioada de oscilație și de intervalele spațiale mari în care au loc variații semnificative ale intensității cîmpului, în raport cu lungimea de undă a radiației. Se obține un sistem neliniar de ecuații algebrice (în cazul undelor progresive) sau un sistem neliniar de ecuații diferențiale de ordinul I (în cazul cîmpului din cavitățile rezonante) care constituie ecuațiile cuplate de amplitudine, deosebit de utile pentru studiul tranzițiilor de dipol electric.

a) *Cazul undelor progresive.* Să considerăm un sistem atomic cu două nivele avînd energiile  $E_1$  și  $E_2$  și populațiile  $N_1$  respectiv  $N_2$ . Să presupunem că sub acțiunea unui cîmp optic incident, rezonant, se produce în mediul aflat la echilibru inversia de populație

$$N^e = N_2^e - N_1^e > 0. \quad (4.62)$$

O astfel de stare fizică a sistemului este caracterizată de o absorbție negativă, care va determina amplificarea radiației incidente.



Interacția cîmp-substanță în cazul undelor progresive este descrisă de ecuațiile (§ 1.6)

$$\ddot{\mathbf{P}} + \frac{2}{T_2} \dot{\mathbf{P}} + \Omega^2 \mathbf{P} = - \frac{2\Omega}{h} L \frac{|\mathbf{d}_{12}|^2}{3} N \mathbf{E} \quad (4.63)$$

$$\frac{\partial N}{\partial t} + \frac{N - N^e}{T_1} = \frac{2}{h\Omega} \dot{\mathbf{P}} \mathbf{E} \quad (4.64)$$

$$\nabla \times (\nabla \times \mathbf{E}) + \frac{n\gamma}{c} \frac{\partial \mathbf{E}}{\partial t} + \frac{n^2}{c^2} \frac{\partial^2 \mathbf{E}}{\partial t^2} = - \mu_0 \frac{\partial^2 \mathbf{P}}{\partial t^2} \quad (4.65)$$

Soluțiile de regim evasistationar ale ecuațiilor de mai sus pot fi considerate de forma

$$\mathbf{P} = \frac{1}{2} \mathbf{P}_0(z) \exp [i(\Omega t - kz)] + \text{c.c.} \quad (4.66)$$

$$\mathbf{E} = \frac{1}{2} \mathbf{E}_0(z) \exp [i(\Omega t - kz)] + \text{c.c.} \quad (4.67)$$

$$N = N(z) \quad (4.68)$$

unde  $\mathbf{P}_0(z)$  și  $\mathbf{E}_0(z)$  sînt amplitudini complexe, staționare în timp, lent variabile după direcția de propagare  $z$ , iar variațiile temporare ale lui  $N(z)$  se neglijează.

Înlocuind soluțiile (4.66) — (4.68) în ecuațiile (4.63) — (4.65) se obțin ecuațiile cuplate de amplitudine sub forma

$$\mathbf{P}_0(z) = \frac{i T_2}{h} L \frac{|\mathbf{d}_{12}|^2}{3} N \mathbf{E}_0(z) \quad (4.69)$$

$$\frac{N - N^e}{T_1} = \frac{i}{2h} [\mathbf{P}_0(z) \mathbf{E}_0(z)^* - \mathbf{P}_0(z)^* \mathbf{E}_0(z)] \quad (4.70)$$

$$2ik \frac{\partial \mathbf{E}_0(z)}{\partial z} + i\gamma k \mathbf{E}_0(z) = \Omega^2 \mu_0 \mathbf{P}_0(z). \quad (4.71)$$

Sistemul de ecuații neliniare algebrice (4.69) — (4.71) constituie *ecuațiile cuplate de amplitudine*. Soluțiile acestui sistem determină modul de variație a amplitudinilor mărimilor: polarizare, intensitate a cîmpului electric, diferență de populație, funcție de distanța de interacție, considerată în direcția  $z$ .

În cele ce urmează ne interesează modul de variație al intensității

$$I(z) = \frac{n \epsilon_0 c |\mathbf{E}_0(z)|^2}{2} \quad (4.72)$$

funcție de parametrii sistemului cuplat substanță-cîmp.

Eliminînd polarizarea  $\mathbf{P}_0(z)$  între ecuațiile (4.69) și (4.71) se obține ecuația

$$\frac{\partial}{\partial t} |\mathbf{E}_0(z)|^2 + \gamma |\mathbf{E}_0(z)|^2 = \frac{\Omega T_2}{h \epsilon_0 c n} L \frac{|\mathbf{d}_{12}|^2}{3} N(z) |\mathbf{E}_0(z)|^2 \quad (4.73)$$



unde

$$N(z) = \frac{N^e}{1 + (T_1 T_2 / \hbar) L |d_{12}|^2 / 3 |E_0(z)|^2}. \quad (4.74)$$

Mărimea  $|E_0(z)|^2$  este proporțională cu densitatea medie de energie a undei, astfel că ecuația (4.73) reprezintă *ecuația ratelor*, pentru energia transferată cîmpului de către mediu funcție de distanță. De observat, că spre deosebire de ecuațiile cuplate de amplitudine, ecuația ratelor nu conține informația de fază deoarece este luat în considerare numai  $|E_0(z)|^2$ . Ținîndu-se seama de expresia (4.72), ecuația (4.73) se poate scrie sub forma

$$\frac{dI}{dz} = \left[ g_0 \frac{I(0) + I_{sat}}{I + I_{sat}} - \gamma \right] I = g(I)I \quad (4.75)$$

unde

$$g_0 = \frac{\hbar \Omega N^e}{2 T_1} \frac{1}{I(0) + I_{sat}} \quad (4.76)$$

este cîștigul la planul de intrare, iar  $g(I)$  este *coeficientul de cîștig*.

Funcție de valorile lui  $g_0$  se pun în evidență trei regiuni care prezintă interes privind dependența  $I(z)$ :

i) Dacă  $g_0 > \gamma$  (cîștigul este ridicat), cîștigul total  $g(I)$  este pozitiv și crește exponențial cu parcursul  $z$ . Datorită însă descreșterii primului termen din paranteză, apare o saturație după o anumită distanță, cînd cîștigul echilibrează pierderile.

ii) Dacă  $\gamma < g_0 < \frac{\gamma(I + I_{sat})}{I(0) + I_{sat}}$  (cîștigul este mediu), cîștigul total  $g(I)$  este negativ la planul de intrare și începe să scadă exponențial. Pe măsură că  $I$  scade, primul termen din paranteză crește, se ajunge la un echilibru al pierderilor cu cîștigul și unda trece neatenuată prin mediu.

iii) În sfîrșit, pentru  $g_0 < \gamma I_{sat} / [I(0) + I_{sat}]$  (cîștigul este scăzut),  $g(I)$  este negativ la planul de intrare și rămîne negativ în continuare, astfel că  $I(z) \rightarrow 0$ .

b) *Cazul cîmpului din cavitățile rezonante.* Interacția cîmp — substanță în cazul cavităților rezonante este descrisă de soluții ale ecuațiilor de mișcare ale tranzițiilor de dipol electric ce sînt staționare în spațiu dar variabile în timp. Fie ecuațiile de mișcare standard (§.1.6)

$$\ddot{\mathbf{P}} + \frac{2}{T_2} \dot{\mathbf{P}} + \Omega^2 \mathbf{P} = - \frac{2\Omega}{\hbar} L \frac{|d_{12}|^2}{3} N \mathbf{E} \quad (4.77)$$

$$\dot{N} + \frac{N - N^e}{T_1} = \frac{2}{\hbar \Omega} \dot{\mathbf{P}} \mathbf{E} \quad (4.78)$$

$$\ddot{\mathbf{E}} + \frac{1}{\tau_e} \dot{\mathbf{E}} + \omega_e^2 \mathbf{E} = - \frac{1}{\epsilon} \ddot{\mathbf{P}} \quad (4.79)$$



care descriu oscilatorii cuplați, polarizare-cîmpul din cavitate. Ecuațiile cuplate de amplitudine, rezultă căutînd pentru sistemul de mai sus soluții de forma

$$\mathbf{P} = \frac{1}{2} \mathbf{P}_0(t) e^{i\Omega t} + \text{c.c.} \quad (4.80)$$

$$\mathbf{E} = \frac{1}{2} \mathbf{E}_0(t) e^{i\Omega t} + \text{c.c.} \quad (4.81)$$

cu condițiile

$$\omega_c \simeq \Omega = \omega \text{ și } 2/T_2 \ll \Omega, 1/\tau_c \ll \Omega. \quad (4.82)$$

Se obțin ecuațiile cuplate de amplitudine

$$\dot{\mathbf{P}}_0 + \frac{1}{T_2} \mathbf{P}_0 = \frac{i}{\hbar} L \frac{|\mathbf{d}_{12}|^2}{3} N \mathbf{E}_0 \quad (4.83)$$

$$\dot{\mathbf{E}}_0 + \frac{1}{2\tau_c} \mathbf{E}_0 = -\frac{i\Omega}{2\varepsilon} \mathbf{P}_0 \quad (4.84)$$

$$\dot{N} + \frac{N - N^e}{T_1} = \frac{i}{2\hbar} (\mathbf{P}_0 \mathbf{E}_0^* - \mathbf{P}_0^* \mathbf{E}_0). \quad (4.85)$$

(S-au considerat, de asemenea, condițiile  $\dot{\mathbf{P}}_0 \ll \Omega \mathbf{P}_0$  și  $\dot{\mathbf{E}}_0 \ll \Omega \mathbf{E}_0$ , deoarece amplitudinile variază lent în raport cu frecvența de oscilație.)

Atunci cînd frecvența de rezonanță a tranziției  $\Omega$  (a oscilatorului polarizare) diferă de frecvența de rezonanță a cavității  $\omega_c$  (a cîmpului din cavitate) sistemul cuplat polarizare-cîmp va oscila pe o frecvență situată între cele două frecvențe  $\Omega$  și  $\omega_c$  avînd expresia

$$\omega = \sqrt{\frac{T_2 \Omega^2 - 2\omega_c^2 \tau_c}{T_2 - 2\tau_c}}. \quad (4.86)$$

Efectul corespunzător, cunoscut sub numele de „tîrîrea frecvenței“ va fi analizat ulterior.

În cazul laserilor, unde  $1/\tau_c \ll 2/T_2$ , adică lărgimea liniei de rezonanță a cavității este mult mai mică decît cea a tranziției, se poate scrie

$$\omega - \omega_c \simeq (\Omega - \omega_c) \frac{1/\tau_c}{2/T_2} \simeq (\Omega - \omega_c) \frac{Q_i}{Q_c} \quad (4.87)$$

unde  $Q_i = \frac{\Omega T_2}{2}$  și  $Q_c = \omega_c \tau_c$  reprezintă factorii de calitate pentru tranziție respectiv pentru cavitate (fig. 4.6).



— În cazul maserilor, unde  $2/T_2 < \frac{1}{\tau_c}$ , adică lărgimea liniei de rezonanță a cavității este mult mai mare decât cea a tranziției, se poate scrie (fig. 4.7)

$$\omega = \Omega \simeq (\omega_c - \Omega) \frac{2/T_2}{1/\tau_c} \simeq (\omega_c - \Omega) \frac{Q_c}{Q_t} \quad (4.88)$$

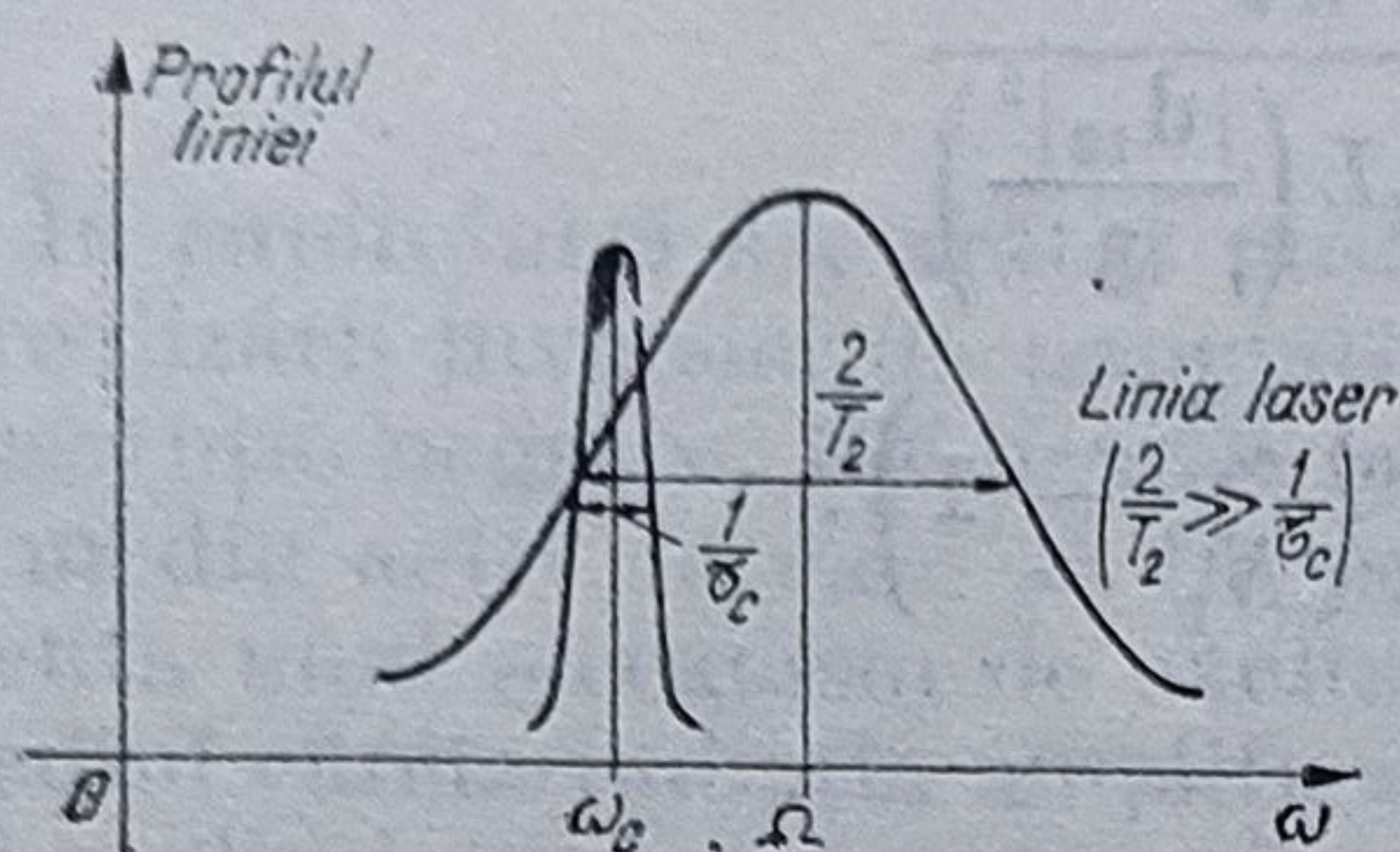


Fig. 4.6

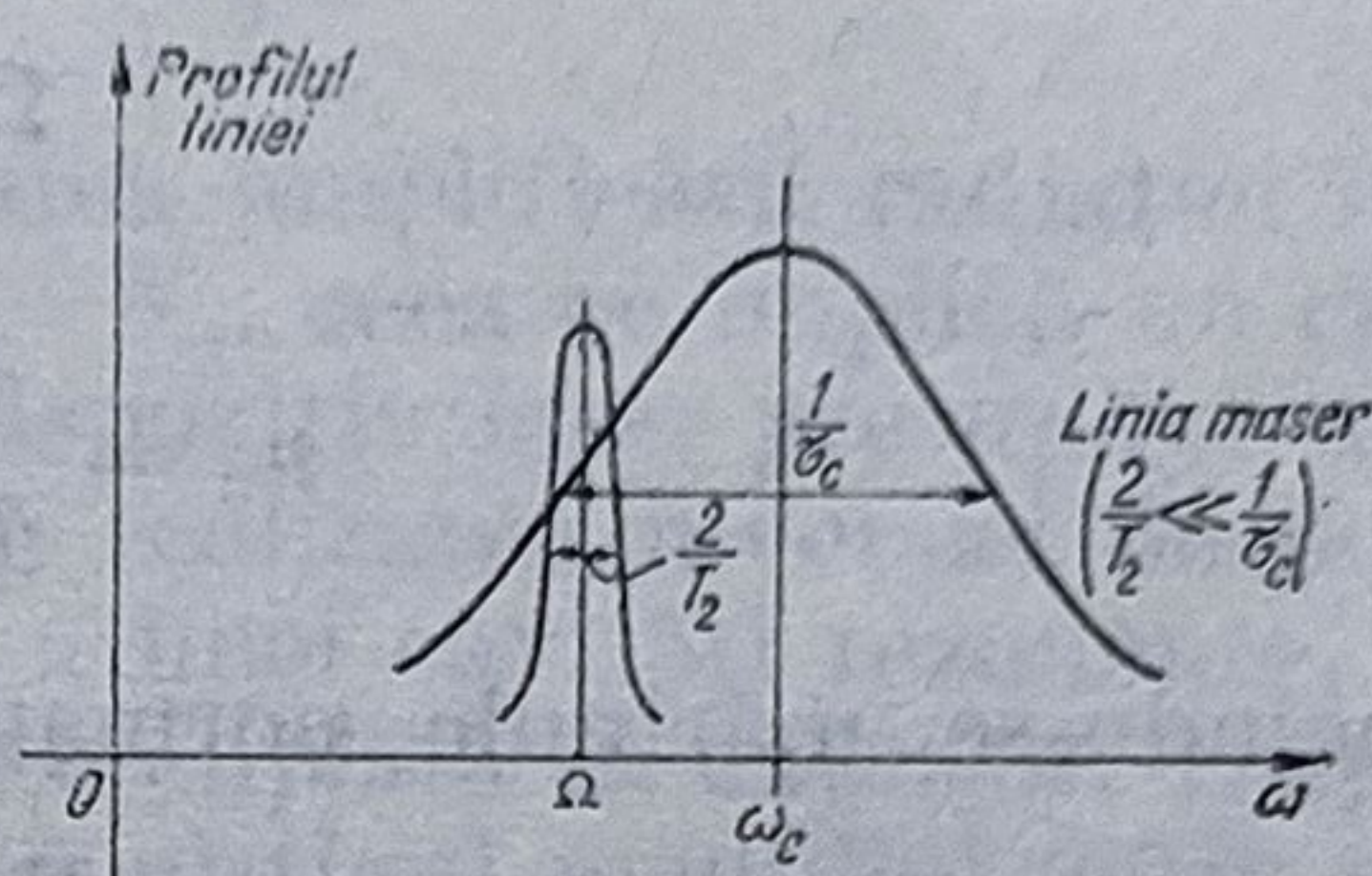


Fig. 4.7

#### 4.3.2. Ecuațiile ratelor pentru laseri și maseri

Ecuațiile cuplate de amplitudine se pot simplifica în continuare, dacă se renunță la informația de fază, obținându-se ecuațiile ratelor.

a) În cazul laserilor, ținându-se seama de condiția  $\frac{2}{T_2} \gg \frac{1}{\tau_c}$  astfel că  $\frac{\partial}{\partial t} \ll \frac{2}{T_2}$ ,  $\dot{P}_0$  poate fi neglijat în ecuația polarizării (4.83). Exprimând polarizarea  $P_0$  funcție de  $E_0$  sub forma

$$P_0 = \frac{i T_2}{\hbar} L \frac{|d_{12}|^2}{3} N E_0 \quad (4.89)$$

ecuațiile de populații și câmp devin

$$\dot{N} + \frac{N - N^e}{T_1} = - \frac{T_2}{\hbar^2} L \frac{|d_{12}|^2}{3} N |E_0|^2 \quad (4.90)$$

$$|\dot{E}_0|^2 + \frac{1}{\tau_c} |E_0|^2 = \frac{\Omega T_2}{\hbar \epsilon} L \frac{|d_{12}|^2}{3} N |E_0|^2. \quad (4.91)$$

Introducându-se „densitatea” de fotoni

$$n = \epsilon \frac{|E_0|^2}{2 \hbar \Omega} \quad (4.92)$$

ecuațiile (4.90) și (4.91) se transformă astfel

$$\dot{N} + \frac{N - N^e}{T_1} = - \frac{2 \Omega T_2}{\hbar \epsilon} L \frac{|d_{12}|^2}{3} N n \quad (4.93)$$

$$\dot{n} + \frac{n}{\tau_c} = \frac{\Omega T_2}{\hbar \epsilon} L \frac{|d_{12}|^2}{3} N n. \quad (4.94)$$



Ecuatiile (4.93) și (4.94) se numesc *ecuațiile ratelor* deoarece evidențiază ratele sub care se face schimbul de energie între câmpul cavității și mediu.

Soluția de regim staționar a ecuațiilor ratelor se obține pentru:

$$\frac{\partial N}{\partial t} = \frac{\partial n}{\partial t} = 0. \text{ Rezultă}$$

$$N_0 = \frac{h\varepsilon}{\Omega\tau_c T_2 L \left( \frac{|\mathbf{d}_{12}|^2}{3} \right)} \quad (4.95)$$

$$n_0 = \frac{\tau_c}{T_1} \frac{N_0}{2} \left( \frac{N^e}{N_0} - 1 \right). \quad (4.96)$$

Introducându-se mărimile normate

$$N_n = \frac{N}{N_0} \text{ și } n_n = \frac{n}{n_0}, \quad (4.97)$$

ecuațiile ratelor capătă forma standard

$$\dot{N}_n + \frac{N_n - N_n^e}{T_1} = \frac{1 - N_n^e}{T_1} N_n n_n \quad (4.98)$$

$$\dot{n}_n + \frac{n_n}{\tau_c} = \frac{1}{\tau_c} N_n n_n. \quad (4.99)$$

b) În cazul maserilor ținându-se seama de condiția  $\frac{2}{T_2} \ll \frac{1}{\tau_c}$ , astfel că  $\frac{\partial}{\partial t} \ll \frac{1}{\tau_c}$ ,  $\dot{E}_0$  poate fi neglijat în ecuația de câmp (4.84).

Exprimînd polarizarea  $\mathbf{P}_0$  funcție de câmpul  $\mathbf{E}_0$  sub forma

$$\mathbf{P}_0 = \frac{i\varepsilon}{\tau_c \Omega} \mathbf{E}_0 \quad (4.100)$$

ecuațiile de populații și câmp devin

$$\dot{N} + \frac{N - N^e}{T_1} = -\frac{2}{\tau_c} n \quad (4.101)$$

$$\dot{n} + \frac{2}{T_2} n = \frac{2\Omega\tau_c}{h\varepsilon} L \frac{|\mathbf{d}_{12}|^2}{3} N n. \quad (4.102)$$

Introducându-se mărimile normate (4.97) se obțin ecuațiile ratelor pentru maseri sub formă standard

$$\dot{N}_n + \frac{N_n - N_n^e}{T_1} = -\frac{N_n^e - 1}{T_1} n_n \quad (4.103)$$

$$\dot{n}_n + \frac{2}{T_2} n_n = \frac{2}{T_2} N_n n_n. \quad (4.104)$$



Se observă că în cazul maserilor, în ecuația de fotoni intervine constanta de timp  $T_2$  în loc de  $\tau_c$  în cazul laserilor. De asemenea, în membrul drept, în ecuația de populații apare în cazul maserilor densitatea de fotoni  $n_n$  în loc de produsul  $N_n \cdot n_n$  în cazul laserilor.

#### 4.4. Dinamica proceselor laser

În capitolul 6 s-a arătat posibilitatea amplificării radiației în condițiile realizării inversiei de populație  $N_2 > N_1$ , ceea ce implică un coeficient de absorbție negativ. Realizarea unui dispozitiv laser presupune utilizarea unui mediu activ în care să fie posibilă realizarea inversiei de populație, existența unui mecanism de excitare și a unei cavități rezonante, prin intermediul căreia radiația amplificată este cuplată în exterior. Dispozitivul astfel realizat va începe să oscileze dacă câștigul mediului activ este mai mare decât pierderile cavității, ceea ce este echivalent cu o condiție „de prag” pentru nivelul inversiei de populație.

##### 4.4.1. Pragul de oscilație și puterea de pompaj

Ecuatiile normate ale ratelor pentru laseri stabilite în § 4.3.2 au forma (4.98) și (4.99).

Sistemul atomic analizat este situat într-o cavitate rezonantă optică avînd un factor de calitate  $Q$  determinat de pierderile fracționare de energie pe tranzit ale radiației din rezonator.

Se poate arăta că  $\Delta\omega_c$  corespunde în cazul tranzițiilor optice condiției  $\Delta\omega_c \ll \Delta\omega_L$ , în care au fost stabilite ecuațiile ratelor.

De observat că în deducerea ecuațiilor ratelor nu a fost luată în considerare emisia spontană. Pentru simplificarea analizei, în continuare se presupune că există radiație într-un singur mod de oscilație al cavității rezonante, cerință ușor realizabilă constructiv.

În principiu, dacă rata de generare a energiei în cavitate  $\frac{N_n n_n}{\tau_c}$  este mai mare decât rata de pierderi  $\frac{n_n}{\tau_c}$ , atunci la regim staționar  $N_n = N_n^e > 1$  și dispozitivul oscilează. Soluțiile de regim staționar ale ecuațiilor ratelor

$$N_n = n_n = 1 \quad (4.105)$$

$$N_n = N_n^e; \quad n_n = 0 \quad (4.106)$$

permit și analiza stabilității regimurilor de funcționare corespunzătoare, prin metoda perturbațiilor.

Astfel, admitînd abateri exponențiale  $\delta n(t)$  și  $\delta N(t)$  pentru soluțiile  $n_n$  și  $N_n$ , de forma

$$n_n(t) = 1 + \delta n(t) \quad (4.107)$$

$$N_n(t) = 1 + \delta N(t) \quad (4.108)$$



unde  $\delta \ll 1$  din (4.98) și (4.99) rezultă ecuațiile

$$\dot{N}(t) + \frac{N_n^e}{T_1} N(t) = \frac{1 - N_n^e}{T_1} n(t) \quad (4.109)$$

$$\dot{n}(t) = -\frac{1}{\tau_c} N(t). \quad (4.110)$$

Pentru dependențe exponențiale de timp ale mărimilor  $n(t)$  și  $N(t)$  de forma  $e^{\xi t}$  se obține o ecuație algebrică în  $\xi$

$$\xi^2 + \frac{N_n^e}{T_1} \xi - \frac{1 - N_n^e}{T_1 \tau_c} = 0 \quad (4.111)$$

ale cărei soluții au partea reală negativă pentru  $N_n^e > 1$ , astfel că soluția (4.105) este stabilă.

Analog se arată că soluția (4.106) este stabilă pentru  $N_n^e < 0$ , însă această soluție cu  $n_n = 0$  nu corespunde realității, energia în cavitate fiind nulă.

Prin urmare, condiția de prag pentru dispozitivul laser este determinată de inegalitatea

$$N_n^e \geq 1. \quad (4.112)$$

Această condiție se poate explicita funcție de parametrii sistemului astfel

$$N^e = \frac{N_2^e}{g_2} - \frac{N_1^e}{g_1} = N_0 N_n^e > \frac{3\hbar \varepsilon}{L |\mathbf{d}_{12}|^2 \Omega \tau_c F T_2} \quad (4.113)$$

unde  $g_1, g_2$  reprezintă factorii de degenerare ai nivelelor implicate în tranziție, iar  $F$  factorul de umplere al rezonatorului de către mediul activ.

Condiția de prag de oscilație poate fi utilizată pentru calculul puterii de pompaj a dispozitivului laser. Prin pompaj trebuie să se asigure o diferență de populație peste valoarea  $N_T^e$  a acesteia la echilibru termic, astfel că puterea absorbită prin pompaj are expresia

$$P_{excitare} = \frac{\hbar \Omega}{2} \left( \frac{N^e - N_T^e}{2} \right). \quad (4.114)$$

Din ecuația (4.113) se poate obține expresia puterii de pompaj la pragul de oscilație

$$P_{pr} = \frac{\hbar \Omega}{2 T_1} \left[ \frac{3\hbar \varepsilon}{L |\mathbf{d}_{12}|^2 \Omega \tau_c T_2 F} - N_T^e \right]. \quad (4.115)$$

#### 4.4.2. Puterea de ieșire în regim staționar

Cuplarea cu exteriorul a energiei cavității se face prin transmisia oglinzilor astfel că trebuie calculat timpul de viață al energiei electromagnetice din cavitate  $\tau_m$  datorat transmisiei acestora. Dacă  $R_1$  și  $R_2$  sînt reflectivitățile oglinzilor se poate scrie egalitatea

$$R_1 R_2 = e^{-2n l / \tau_m} \quad (4.116)$$



astfel încât se obține expresia lui  $\tau_m$

$$\tau_m = - \frac{2nl}{c \ln(R_1 R_2)} \quad (4.117)$$

unde  $l$  este distanța dintre oglinzi.

Densitatea de volum a energiei electromagnetice din cavitate  $\rho_E$  scade în timp după legea

$$\rho_E = \rho_{E0} e^{-t/\tau_m} \quad (4.118)$$

unde

$$\rho_E = nh\Omega. \quad (4.119)$$

La prag, conform relației (4.105),  $n_n = 1$  astfel încât

$$n = n_0 = \frac{\tau_c}{T_1} \frac{N_0}{2} (N_n^e - 1). \quad (4.120)$$

Întrucât puterea de ieșire pe unitatea de volum este dată de relația

$$P_0 = \frac{\rho_E}{\tau_m} \quad (4.121)$$

se obține pe baza relațiilor de mai sus expresia acesteia, funcție de parametrii celor doi oscilatori cuplați, sistem atomic-cavitate rezonantă

$$P_0 = \frac{h\Omega}{\tau_m} \frac{\tau_c}{T_1} \frac{N_0}{2} (N_n^e - 1). \quad (4.122)$$

#### 4.4.3. Studiul regimului tranzitoriu

Comportarea tranzitorie a dispozitivelor laser este deosebit de importantă pentru studiul regimului de lucru în impulsuri, perioada de repetiție a impulsurilor putând fi comparabilă cu constantele de timp ale oscilatorului laser.

Analiza cantitativă a regimului tranzitoriu se face cu ajutorul ecuațiilor ratelor (4.98) și (4.99), ținându-se seama de condițiile inițiale. Astfel, la momentul  $t = 0$ ,  $N_n = 1$  și  $n_n \ll 1$  iar  $N_n^e > 1$ .

Calculînd raportul  $dn_n/dN_n$  pentru  $N_n = 1$  se obține ecuația diferențială

$$\frac{dn_n}{dN_n} = \frac{T_1(N_n - 1)n_n}{\tau_c(1 - N_n^e)(n_n - 1)} \quad (4.123)$$

care se poate integra prin separarea variabilelor, considerîndu-se pentru  $N_n = 1$ ,  $n_n = n_n^i$ .

Rezultă dependența dintre  $n_n$  și  $N_n$  sub forma

$$\frac{T_1}{2\tau_c(N_n^e - 1)} (N_n - 1)^2 = \ln \frac{n_n}{n_n^i} - (n_n - n_n^i). \quad (4.124)$$



Sensurile de variație ale densității de fotoni  $n_n$  funcție de diferența de populație  $N_n$  sînt arătate calitativ în fig. 4.8, a, iar dependența temporală a acestor mărimi este arătată în figura 4.8, b.

Pe aceste diagrame se disting patru regiuni diferite:

a) deoarece inițial  $n_n < 1$ , ecuația (4.98) se scrie sub forma:

$$\dot{N}_n - \frac{N_n - N_n^e}{T_1} = 0 \quad (4.125)$$

assfel că  $N_n$  crește exponențial în timp.

Din ecuația (4.99) rezultă simultan și creșterea lui  $n_n$ , deoarece  $\dot{n}_n > 0$ ;

b) cînd  $n_n > 1$ , întrucît  $N_n^e > 1$ ,  $N_n \simeq 1$ ,  $\dot{N}_n$  este negativ astfel că  $N_n$  începe să descrească conform ecuației (4.98);

c) cînd  $N_n$  devine subunitar, din ecuația (4.99), rezultă că  $\dot{n}_n$  devine negativ și  $n_n$  începe să scadă;

d) prin scădere,  $n_n$  devine subunitar;  $\dot{N}_n$  fiind pozitiv,  $N_n$  crește, ajungînd supraunitar și ciclul se repetă.

Ecuația (4.124) permite calculul valorilor maxime pentru densitatea de fotoni  $n_{n,max}$  și pentru inversia de populație  $N_{n,max}$ . Astfel pentru  $N_n = 1$  se obține ecuația

$$n_{n,max} = \ln \frac{n_{n,max}}{n_n^i}. \quad (4.126)$$

Fig. 4.8.

De asemenea, pentru  $n_n = 1$  și  $n_n^i \ll 1$  se obțin valorile

$$N_{n,max} = 1 \pm \left[ \frac{2\tau_c(N_n^e - 1)}{T_1} \right]^{1/2} [-1 - \ln n_n^i]^{1/2}. \quad (4.127)$$

De remarcat că valorile  $n_n^i$  obținute după fiecare ciclu din soluțiile exacte ale ecuațiilor ratelor sînt crescătoare, astfel că traiectoria  $n_n(N_n)$  nu este o curbă închisă ci o spirală.

#### 4.4.4. Funcționarea în regim Q-switch

Din ecuațiile ratelor pentru laseri rezultă că valoarea maximă a diferenței de populație care se poate obține prin pompaj este limitată la valori care nu pot depăși mult pragul de oscilație. S-a constatat însă că diferența de populație poate depăși semnificativ acest prag, dacă este împiedicată oscilația, prin varierea controlată a pierderilor rezonatorului.

Regimul de funcționare care se obține în acest fel, numit de *Q-switch*, este în impulsuri fiind caracterizat de puteri de ieșire crescute cu mai multe ordine de mărime în raport cu cele de regim staționar.



Dacă printr-o metodă oarecare se cresc pierderile rezonatorului la un moment dat, pragul de oscilație nu mai este atins și diferența de populație poate atinge valori însemnate. O reducere bruscă a pierderilor cavității, după ce este atinsă valoarea de echilibru  $N_n^e$ , într-un interval de timp mult mai scurt decât timpul de relaxare al stărilor inițiale, determină inițierea imediată a oscilației laser, energia ridicată înmagazinată în mediul activ fiind cedată în cea mai mare parte cîmpului din cavitate.

Analiza regimului de  $Q$ -switch se poate face în planul  $n_n N_n$ . Astfel, din ecuațiile ratelor, se poate calcula raportul  $dn_n/dN_n$ , neglijîndu-se termenul  $\frac{N_n - N_n^e}{T_1}$  în raport cu  $\frac{1 - N_n^e}{T_1} n_n N_n$ , datorită condiției  $n_n \gg 1$ .

Rezultă ecuația diferențială

$$\frac{dn_n}{dN_n} = - \frac{T_1}{\tau_c(N_n^e - 1)} \left( \frac{N_n - 1}{N_n} \right). \quad (4.128)$$

care se integrează prin metoda separării variabilelor obținîndu-se dependența

$$n_n = \frac{T_1}{\tau_c(N_n^e - 1)} \left[ \ln \frac{N_n}{N_n^e} + N_n^e - N_n \right], \quad (4.129)$$

fiind valabilă totodată condiția la limită

$$N_n = N_n^e \text{ pentru } n_n = 0.$$

Dependența  $n_n(N_n)$  este prezentată grafic calitativ în fig. 4.9.

Pentru  $N_n^e = 2$ , de exemplu, amorsarea oscilației prin creșterea bruscă a lui  $Q$ , determină o creștere însemnată a densității de fotoni din cavitate. După ce se atinge nivelul  $N_n = 1$ , densitatea de fotoni începe să scadă, rapid către zero. Energia cedată cîmpului cavității se poate calcula cu relația

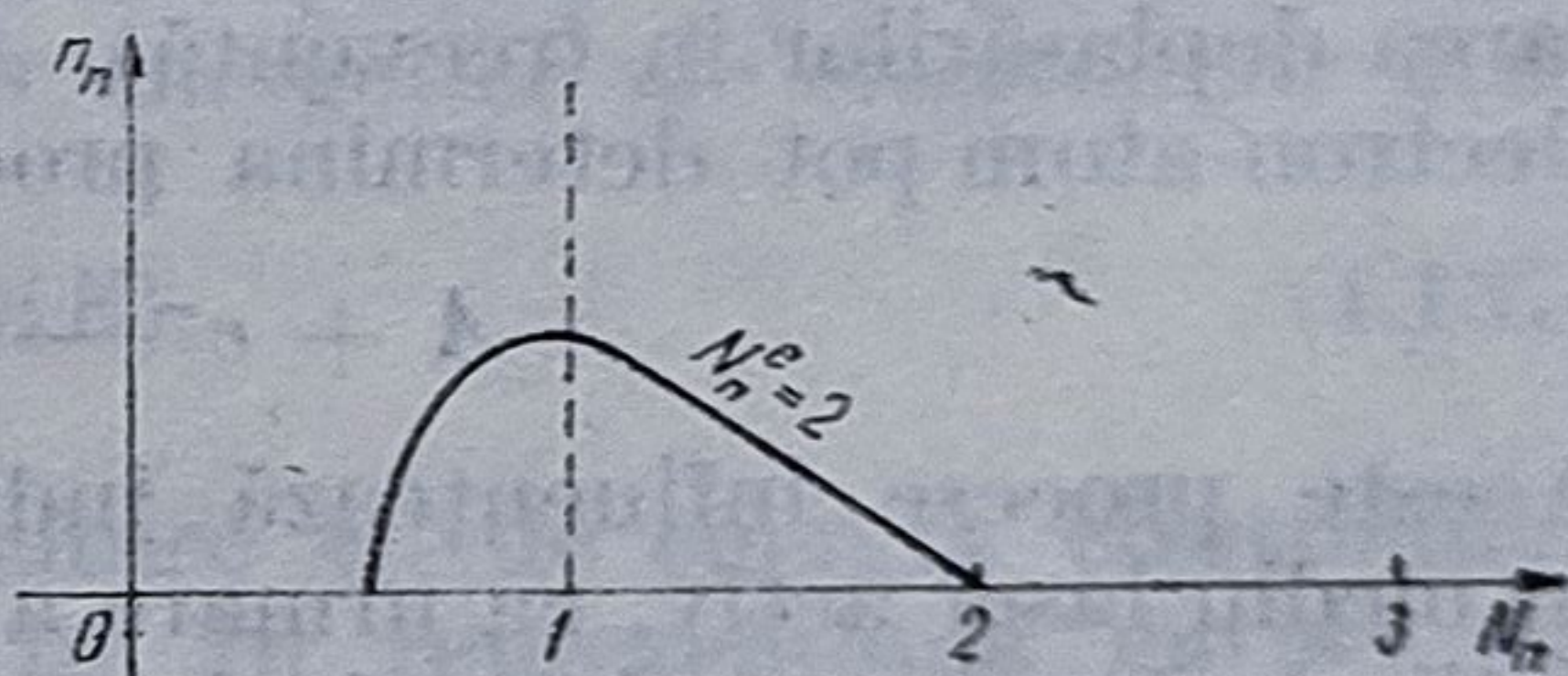


Fig. 4.9

$$E = \frac{h\Omega}{2} (N_{n,max} - N_{n,min}) N_0 V. \quad (4.130)$$

Ținîndu-se seama de puterea maximă a impulsului emis care rezultă din ecuația (4.129) și de energia cedată cîmpului cavității care rezultă din relația (4.130) se poate estima durata impulsurilor emise.

Metodele cele mai mult utilizate pentru controlul factorului de calitate al cavității în vederea obținerii regimului de funcționare  $Q$ -switch sînt: folosirea elementelor modulatorie în cavitate, introducerea în cavitate a unor absorbânți saturabili etc.

Densitățile de energie caracteristice regimului  $Q$ -switch sînt de  $10^5 \div 10^6$  ori mai mari în raport cu cele de regim staționar. De asemenea, puterile de vîrf ating valori uriașe, de ordinul a 10 MW, pentru laseri avînd puteri de regim staționar relaxat de ordinul zecilor de wați.

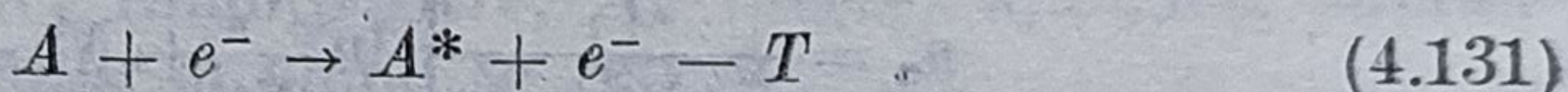


## 4.5. Mecanisme de excitare a dispozitivelor laser

Excitarea mediului laser activ în vederea creării inversiei de populație peste nivelul de prag se poate obține prin diferite mecanisme, cele mai utilizate fiind: ciocnirile electronice, transferul rezonant de excitație, pompajul optic, procesele gaz dinamice, reacțiile chimice, efectul Penning, injectia, pompajul cu fascicule de electroni, cîmpuri electrice și magnetice etc. Unele particularități definitorii ale acestor mecanisme de excitare se prezintă în continuare.

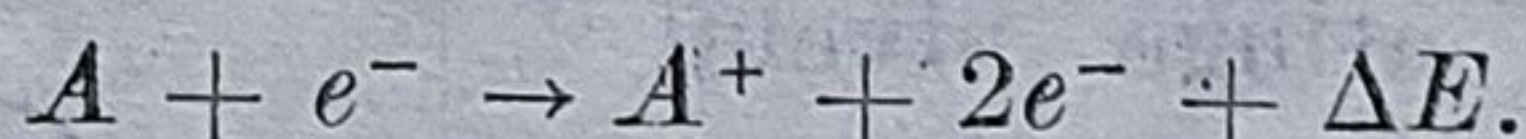
### 4.5.1. Excitarea prin ciocniri electronice

Este metoda cea mai utilizată pentru excitarea laserilor cu gaz. În urma unei descărcări electrice într-un mediu gazos, în incintă apar ioni și electroni care prin accelerare în cîmp electric pot excita prin ciocniri atomii și moleculele neutre. Cîmpul electric accelerator poate fi continuu, de radiofrecvență, pulsatoriu etc. Ținîndu-se seama că deplasarea electronilor este mult mai mare decît a ionilor, procesele caracteristice de ciocnire vor fi de tipul



numite *ciocniri de speța întâi*. În aceste procese electronul accelerat în cîmp cedează energia sa cinetică  $T$  atomului pe care-l excită.

De observat că ciocnirile de speța întâi sînt ciocniri neelastice, caracterizate de modificarea energiei și eventual a direcției electronului incident. Rolul ciocnirilor elastice, care au de asemenea loc în descărcare, va fi reliefat ulterior (sînt importante în lărgirea liniei emise și în explicarea deplasărilor în frecvență). Alături de procesele de excitare, ciocnirile electron-atom pot determina procese de ionizare prin interacții de tipul



Aceste procese influențează indirect producerea inversiei de populație în mediu laser activ, ca urmare a rolului pe care îl au în creșterea densității electronice a plamei, după cum se va arăta în continuare.

O mărime importantă pentru caracterizarea cantitativă a proceselor de ciocnire o constituie secțiunea eficace de excitare  $\sigma^e$  definită prin relația

$$d\Phi_e = - \sigma^e N_0 \Phi_e dz \quad (4.132)$$

unde  $N_0$  reprezintă densitatea de atomi în stare fundamentală,  $\Phi_e$  fluxul de electroni, iar  $d\Phi_e$  variația fluxului de electroni pe distanța  $dz$ .

Dacă se notează cu  $|v_1\rangle$  și  $|v_2\rangle$  nivelele laser implicate în tranziție, se poate defini secțiunea eficace de excitare  $\sigma_{12}^e$  care ia în considerare numai procesele de excitare utile pentru crearea inversiei de populație între nivelele considerate.

Astfel, dacă se notează cu  $N_2$  populația nivelului laser superior, variația în timp a populației acestui nivel este dată de relația

$$\left( \frac{dN_2}{dt} \right)_e = - \left( \frac{d\Phi_e}{dz} \right)_{12} = N_0 N_e v \sigma_{12}^e = N_0 R_{12}. \quad (4.133)$$



În relația de mai sus s-a considerat că

$$\Phi_e = N_e v \quad (4.134)$$

unde  $N_e$  reprezintă densitatea electronilor din descărcare, iar  $v$  viteza acestora. De asemenea, s-a introdus notația

$$R_{12} = \sigma_{12}^e \Phi_e \quad (4.135)$$

unde  $R_{12}$  reprezintă *rata de pompaj* electron-atom.

Calculul efectiv al secțiunii eficace de excitare se face în aproximația Born presupunându-se o interacție slabă între electronul incident și atom, în urma ciocnirii producându-se cu o probabilitate semnificativă numai o singură tranziție. Se obține

$$\sigma_{12}^e \sim \int_{K_{min}}^{K_{max}} \left| \int \psi_1 \exp(ikz) \psi_2^* d\tau \right|^2 K dK, \quad (4.136)$$

$\psi_1$  și  $\psi_2$  fiind funcțiile de undă caracteristice stărilor  $|v_1\rangle$  și  $|v_2\rangle$ , iar  $K$  modulul vectorului ce caracterizează transferul de impuls al electronului incident.

În general, se cunosc două tipuri de ciocniri electronice :

- a) care determină tranziții permise optic ;
- b) care determină tranziții interzise optic.

a) În cazul tranzițiilor permise optic, din ecuația (4.136), rezultă că secțiunea de excitare  $\sigma_{12}^e$  este proporțională cu pătratul elementului de matrice al momentului de dipol electric pentru tranziția laser multiplicat, cu funcția de distribuție a stărilor energetice ale electronilor  $g(E)$

$$\sigma_{12}^e \sim |\mathbf{d}_{12}|^2 g(E). \quad (4.137)$$

Dependența calitativă a secțiunii de excitare  $\sigma_{12}^e$  de energia electronilor excitatori este prezentată în figura 4.10. În reprezentarea curbei s-a notat cu  $E_p$  energia pragului de excitare  $E_p = E_{12}$ , s-a considerat pe ordonată secțiunea de excitare normată la valoarea maximă, iar pe abscisă s-a luat energia electronilor normată la valoarea de prag.

Se constată că  $\sigma_{12}^e = 0$  pentru  $E < E_p$ , o creștere aproximativ liniară a lui  $\sigma_{12}^e$  cu energia electronilor pînă la  $\sigma_{12}^e(\max)$  după care  $\sigma_{12}^e$  scade lent, putînd fi aproximată prin funcția  $\ln E/E$ .

Intrucît numărul electronilor avînd  $E > E(\sigma_{max})$  este relativ mic, rezultă că procesele de ciocnire neelastice se produc cu precădere pentru  $E_p < E < E(\sigma_{max})$ .

Valoarea tipică a lui  $\sigma_{max}^e$  este de aproximativ  $10^{-16} \text{cm}^2$ , iar lărgimea curbei de excitare de aproximativ  $10 E_p$ .

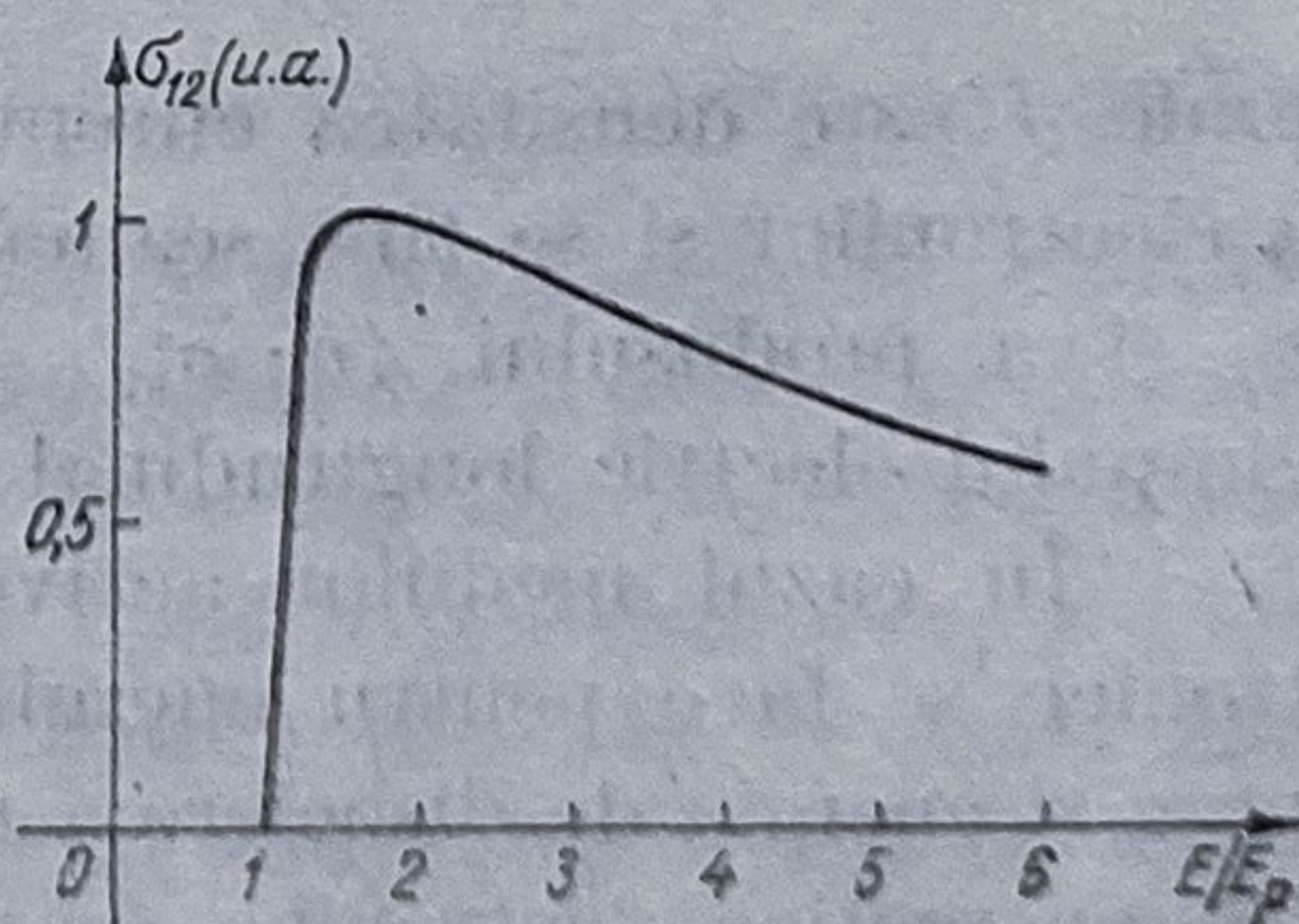


Fig. 4.10



b) În cazul tranzițiilor interzise optic, care au loc pe nivelul  $N_2$  metastabil, procesele corespunzătoare pot determina sau nu modificarea multiplicității spinului. În cazul cînd nu se produce modificarea multiplicității spinului calculul secțiunii de excitare se face de asemenea în aproximația Born obținîndu-se pentru secțiunea de excitare o curbă cu o rată de scădere mai rapidă decît în cazul tranzițiilor permise optic (cu  $E^{-1}$ ), valoarea maximă a secțiunii de excitare fiind mult mai scăzută, de aproximativ  $10^{-19} \text{ cm}^2$ .

În cazul cînd se produce modificarea multiplicității spinului, calculul secțiunii de excitare nu se mai poate face în aproximația Born, nemaifiind vorba de o simplă „cuplare” a electronului incident la mișcarea orbitală a atomului, ci de o interacție cu schimb de electroni, electronul incident și emergent avînd spin opus.

Conform aproximației Bethe, secțiunea de excitare crește brusc în vecinătatea pragului, și apoi scade puternic, determinînd o lărgime redusă a curbei de excitare, valorile maxime ale lui  $\sigma^e$  fiind de aproximativ  $10^{-16} \text{ cm}^2$ , deci apreciabile.

Un studiu mai exact al proceselor de excitare trebuie să țină seama de distribuția energetică a electronilor, în calculul ratei de pompaj (4.135). Mediind produsul  $v \cdot \sigma_{12}^e(E)$  care intervine în relația (4.133) cu ajutorul distribuției  $g(E)$  se obține pentru rata de pompaj expresia

$$R_{12} = \langle v \cdot \sigma_{12}^e \rangle N_e. \quad (4.138)$$

Pentru o distribuție  $g(E)$  maxwelliană a electronilor, se constată că rata de pompaj este puternic dependentă de temperatura electronică  $T_e$  a plasmii descărcării.

O importanță deosebită o prezintă exprimarea ratei de pompaj  $R_{12}$  funcție de parametrii descărcării. Pentru aceasta se observă că în formula (4.138), densitatea electronică se poate obține din formula

$$N_e = \frac{J}{v_d e} \quad (4.139)$$

unde  $J$  este densitatea curentului descărcării, iar  $v_d$  este viteza de drift a electronilor și se ține seama de posibilitatea exprimării vitezei de drift  $v_d$  și a produsului  $\langle v \cdot \sigma_{12}^e \rangle$  cu ajutorul raportului dintre intensitatea cîmpului electric longitudinal și densitatea totală de atomi din descărcare.

În cazul mediilor active moleculare, excitarea prin ciocniri electronice se face pentru energii ale electronilor cuprinse între energia de prag și energia de disociere a moleculelor. Existența cuplajului între nivelele energetice electronice, de vibrație și de rotație ale moleculelor precum și posibilitățile de disociere și ionizare a moleculelor, complică foarte mult calculul teoretic al secțiunii de excitare prin ciocniri electron-moleculă, deoarece energia electronilor se distribuie competitiv între diferite procese de excitare, cele mai probabile fiind conform datelor experimentale cele de excitare vibrațională.

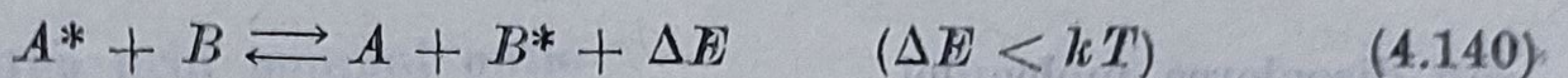


Exemple de laseri pompați prin ciocniri electronice:

- excitarea nivelelor  $2^3S$  și  $2^1S$  ale heliului în laserul cu He—Ne;
- laserul  $\text{CO}_2 : \text{N}_2 : \text{He}$  (molecular); o parte din energia electronilor este folosită pentru excitarea prin ciocniri a nivelului  $00^0_1$  al moleculei de  $\text{CO}_2$ ;
- laserul cu neon pur — excitat prin ciocniri electronice directe;
- laserii cu heliu, argon, kripton, xenon.

#### 4.5.2. Excitarea prin transfer rezonant de excitație

Transferul rezonant de excitație apare ca urmare a proceselor de ciocnire de tipul



numite *ciocniri de speța a doua*.

În relația de mai sus  $A$  și  $B$  reprezintă atomii a două specii de gaz aflate în amestec, atomii  $A^*$  ( $B^*$ ) fiind în stare excitată, iar atomii  $A$  ( $B$ ) în stare fundamentală.

S-a constatat că pentru anumite mixturi atomice există o probabilitate ridicată pentru producerea proceselor descrise de ecuația (4.140), fiind deosebit de utile ca mecanisme de excitare a stărilor  $B^*$  pentru care secțiunea de excitare directă este mică, prin intermediul stărilor  $A^*$  meta-stabile, dar care au secțiune ridicată de excitare prin procese de alte tipuri, de exemplu, prin ciocniri electronice.

Secțiunea eficace de ciocnire pentru transfer rezonant de energie  $\sigma_{A^*B}$ , poate fi definită cu ajutorul relației

$$\left( \frac{dN}{dt} \right)_{A^*B} = N_{A^*} \cdot N_B \cdot v_{AB} \cdot \sigma_{A^*B} \quad (4.141)$$

unde  $\left( \frac{dN}{dt} \right)_{A^*B}$  reprezintă numărul de tranziții de tipul (4.140) care au loc în unitatea de timp pe unitatea de volum,  $N_{A^*}$  și  $N_B$  populațiile stărilor atomice implicate în tranziție, iar  $v_{AB}$  viteza relativă a celor doi atomi.

Caracterul rezonant al tranziției duce la o variație puternică a lui  $\sigma_{A^*B}$  cu diferența de energie  $\Delta E$  dintre cele două nivele între care are loc tranziția, fiind maximă pentru  $\Delta E = 0$ . Valorile pe care le poate lua  $\sigma_{A^*B}$  sînt cuprinse între  $10^{-13} - 10^{-16} \text{ cm}^2$ , fiind mai ridicate pentru tranzițiile permise optice „în ambii atomi”, fără a fi interzise nici tranzițiile care nu satisfac regulile de selecție optice (putînd avea loc procese de transfer rezonant și între stări de aceeași paritate). În privința spinului, se respectă în general regula de conservare Wigner, datorită cuplării slabe a mișcărilor orbitale și de spin.



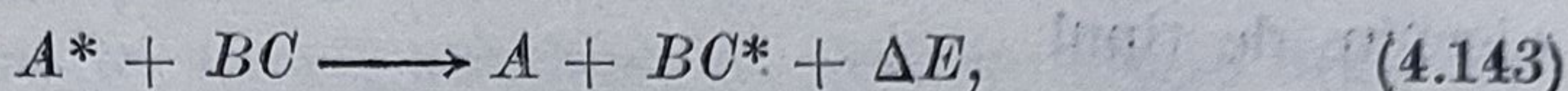
Se mai remarcă, de asemenea, o creștere rapidă a secțiunii de excitare  $\sigma_{A^*B}$  cu viteza relativă  $v_{AB}$  a celor doi atomi, pînă la valori ale acesteia

$$v \leq \frac{d\Delta E}{h} \quad (4.142)$$

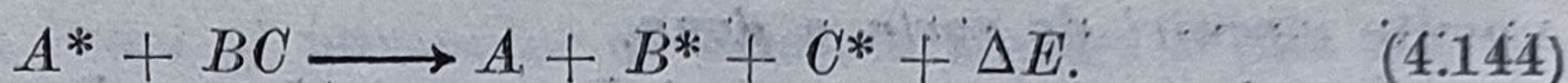
unde  $d$  este distanța de interacție dintre atomi, după care se observă o scădere a lui  $\sigma_{A^*B}$  cu viteza.

Alte scheme de producere a transferului rezonant de energie se referă la procesele de ciocnire atom-moleculă sau moleculă-moleculă.

Astfel, ciocnirile atom-moleculă pot determina trecerea moleculei într-o stare vibrațională excitată



sau disocierea moleculei



Atomii  $B$  și  $C$  pot fi sau nu identici, și pot rezulta din interacție ambii sau numai unul în stare excitată.

În ceea ce privește procesele de transfer rezonant moleculă-moleculă, acestea pot fi tratate în mod asemănător cu observația că în urma ciocnirii molecula care se dezexcită poate rămîne într-o altă stare excitată.

Exemple de laseri pompați prin transfer rezonant de energie:

a) ciocniri atom-atom

*laseri atomici*: laserul cu He-Ne (energia stărilor  $2^3S$  și  $2^1S$  ale heliului, excitate prin ciocnirile electronice, este transferată rezonant nivelelor  $2s$  ( $\sigma = 3,6 \cdot 10^{-17} \text{ cm}^2$ ) și  $3s$  ( $\sigma = 4 \cdot 10^{-16} \text{ cm}^2$ ) ale neonului).

b) ciocniri atom-moleculă

*laseri moleculari*

$\alpha$ ) excitarea unei stări vibraționale

Atomul excitat electronic

$Hg^*(6^3P_{10})$

$Na^*(3^2P_{3/2, 1/2})$

$Br_2 \rightarrow$  Fotodisociere  $Br^*(4^2P_{1/2})$

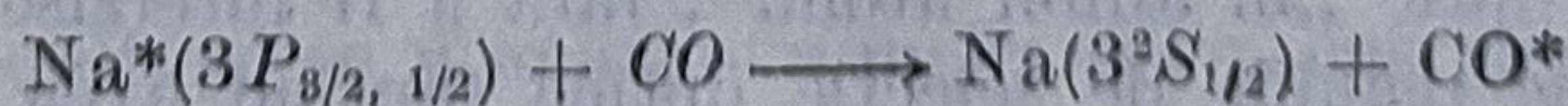
Molecule excitate pe stări vibraționale

CO, NO, HF

CO

$CO_2$ ,  $N_2O$ , HCN,  $C_2H_2$ ,  $H_2O$

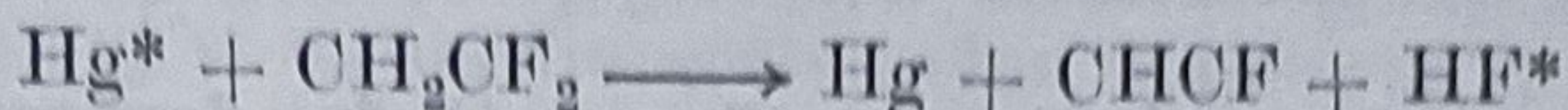
*Schemă de proces:*



$\beta$ ) excitarea prin disociere (transfer disociativ de excitare) — gaze poliatomice ( $O_2$ ,  $CO_2$ , CO, NO,  $NO_2$ ,  $SF_6$ ,  $Br_2$  etc)



### Schemă de proces



(rezultă molecule de  $\text{HF}^*$  excitate pe nivele vibraționale)

c) ciocniri moleculă-moleculă

— pomparea moleculelor de  $\text{CO}_2$  cu ajutorul moleculelor de  $\text{N}_2$

$$(\Delta E = -18^{-1} \text{ cm})$$

(moleculele de  $\text{N}_2^*$  excitate pe un nivel vibrațional al stării electronice fundamentale nu se pot dezexcita prin tranziții de dipol electric, avînd timp de viață lung).

### 4.5.3. Excitarea prin pompaj optic

Metoda excitării prin pompaj optic, propusă de către Schawlow și Townes, constă în crearea unor diferențe de populație diferite de cele de la echilibru termic, prin excitare optică rezonantă sau cvasirezonantă a mediului studiat, cu ajutorul unor surse de radiații de bandă largă sau monocromatice. Atunci cînd procesele de excitare optică rezonantă depășesc pe cele de dezexcitare, se poate crea în mediul studiat inversia de populație, caracteristică dispozitivelor cuantice de tip laser.

Numeroase tipuri de laseri utilizează pompajul optic pentru realizarea inversiei de populație.

Astfel, primul laser realizat în lume, iaserul cu rubin, folosea pentru pompajul optic un flash cu Xe. Alte exemple le constituie laserul cu sticlă dopată cu Nd pompat de asemenea cu o sursă flash cu Xe, laserul cu iod pompat cu o sursă flash tot cu Xe, laserul cu cesiu pompat cu o sursă conținînd He, laserii rotaționali, unii laseri moleculari etc.

*Scheme pentru realizarea inversiei de populație prin pompaj optic :*  
— schemele cu trei nivele, normală și inversată (fig. 4.11).

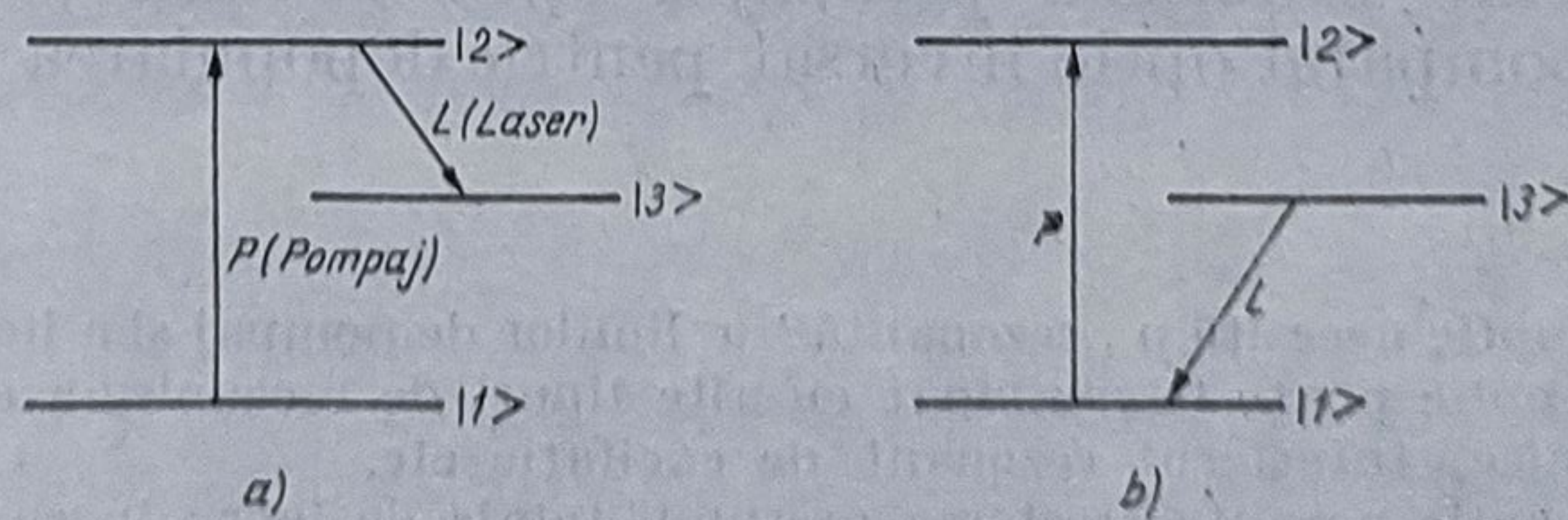


Fig. 4.11

Schema cu trei nivele normală (fig. 4.11) cuprinde excitarea nivelului laser superior  $|2\rangle$  prin pompaj optic astfel că se creează inversia de populație între nivelele laser  $|2\rangle$  și  $|3\rangle$ . Dacă  $E_2 > E_3 \gg E_1 + kT$ ,



nivelele  $|2\rangle$  și  $|3\rangle$  sînt practic nepopulate înainte de pompaj, astfel că prin pompaj se poate realiza relativ ușor inversia de populație între aceste nivele.

Schema cu trei nivele inversată constă în depopularea nivelului laser inferior  $|1\rangle$  prin pompaj optic pe nivelul  $|2\rangle$ , astfel că se realizează inversia de populație între nivelele laser  $|3\rangle$  și  $|1\rangle$ .

— schemele de pompaj optic cu patru nivele (fig. 4.12).

Schema cu patru nivele din fig. 4.12, a, cuprinde pompajul optic între nivelele  $|1\rangle$  și  $|2\rangle$ , dezexcitarea neradiativă sau radiativă între nivelele  $|2\rangle$  și  $|3\rangle$  și tranziția laser între nivelele  $|3\rangle$  și  $|4\rangle$ . Atunci cînd au loc tranziții laser și între nivelele  $|2\rangle$  și  $|3\rangle$ , urmate de tranziția laser  $|3\rangle - |4\rangle$ , se produce fenomenul cunoscut sub numele de *cascade laser*.

Avantajul utilizării schemelor cu patru nivele e determinat în general de populația redusă a nivelului laser inferior, situat mult deasupra nivelului fundamental, astfel că se poate crea ușor inversia de populație.

Schema cu patru nivele din fig. 4.12, b, utilizează transferul rezonant de energie între nivelele  $|2\rangle$  și  $|3\rangle$ , nivelul  $|2\rangle$  fiind pompat optic.

Schema cu patru nivele din fig. 4.12, c, utilizează pompajul optic în două trepte (push-push) prin procese bifotonice.

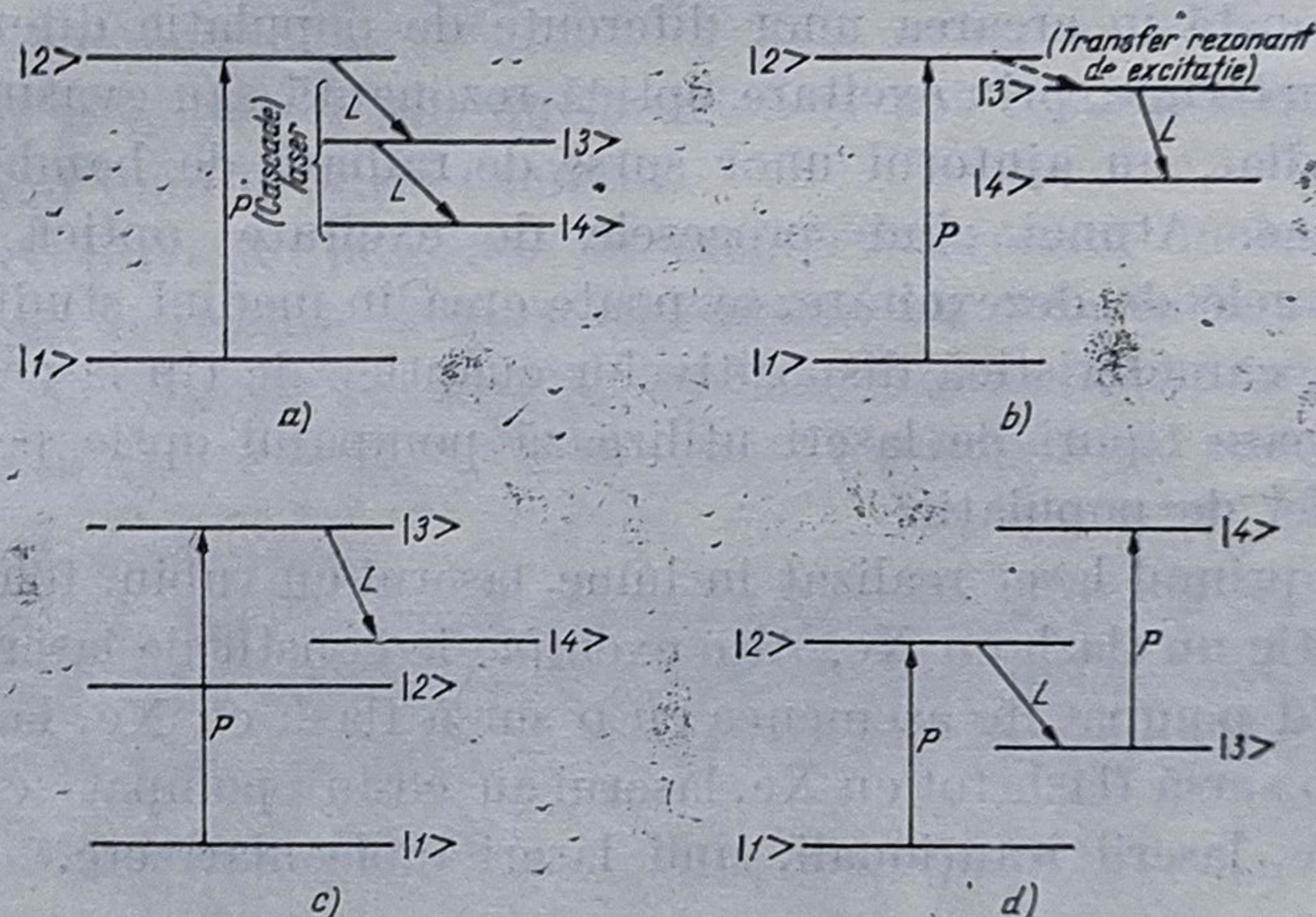


Fig. 4.12

În sfîrșit, schema cu patru nivele din fig. 4.12, d, este o schemă de tip push-pull, care utilizează pompajul optic normal pe nivelul laser superior  $|2\rangle$  și pompajul optic inversat pentru depopularea nivelului laser inferior  $|3\rangle$ .

#### Observații.

- Pompajul optic necesită o „rezonanță” a liniilor de pompaj și a liniilor de absorbție.
- Pompajul optic poate fi combinat cu alte tipuri de mecanisme de excitație cum ar fi ciocnirile electronice, transferul rezonant de excitație etc.
- Pompajul optic permite creșterea presiunii totale de lucru în cazul mediilor active gazoase, ca urmare a scăderii pericolului de disociere a moleculelor în timpul descărcărilor electrice.
- Pompajul optic se poate face selectiv, făcînd posibilă excitarea preferențială a tranzițiilor.
- Pompajul optic a permis extinderea gamei de linii laser în infraroșul îndepărtat ca urmare a acordabilității și îmbogățirii surselor de pompaj, printre care un rol important îl joacă chiar pompajul laser.



*Estimarea ratei de pompaj.* Fie o sursă de pompaj monocromatică, avînd frecvența  $\nu_p$  și un mediu activ avînd populația nivelului de pe care se face pompajul  $N_0$ , nivelul superior fiind nepopulat.

Puterea de pompaj absorbită de unitatea de volum a mediului activ, va fi dată de relația

$$\frac{dP}{dV} = WN_0 h \nu_p \quad (4.145)$$

unde  $W$  reprezintă rata de absorbție. Dacă se notează cu  $\sigma$  secțiunea de absorbție a atomilor mediului activ și cu  $I_\nu$  intensitatea cîmpului de radiație se poate scrie

$$\frac{dP}{dV} = N_0 \sigma I_\nu = N_0 \frac{\sigma c}{n} \rho_E \quad (4.146)$$

unde  $\rho_E$  este densitatea energiei de pompaj iar  $n$  indicele de refracție al mediului activ.

Prin urmare, rata de absorbție  $W$  se obține din relațiile (4.145) și (4.146)

$$W = \frac{\sigma I_\nu}{h \nu_p} = \frac{\sigma c \rho_E}{n h \nu_p} \quad (4.147)$$

Alți parametri utilizați pentru caracterizarea dispozitivelor care utilizează pompajul optic sînt:

— eficiența de conversie teoretică

$$\eta = \frac{1}{2} \frac{\lambda_p}{\lambda} \delta \quad \delta = 1 - \exp(-\alpha NL); \quad (4.148)$$

— eficiența de conversie energetică

$$\eta_e = E/E_p \delta; \quad (4.149)$$

— eficiența globală =  $\frac{\text{energia emisă de laser}}{\text{energia totală consumată}}$ .

#### 4.5.4. Excitarea prin procese gaz-dinamice

Excitarea prin procese gaz dinamice este utilizată pentru crearea inversiei de populație pe cale termică, astfel că mai poartă numele de *pompaj termic*.

Principiul acestei metode de excitare a fost propus de către Basov și Oraevski în anul 1963.

Amestecul de gaz care constituie mediul laser curge printr-o conductă ce prezintă pe traseul său o duză prin care se produce o expansiune puternică a gazului (fig. 4.13). În interiorul conductei gazul este încălzit astfel că în regiunea duzei temperatura și presiunea ating valori importante ( $T_a = 1000 \div 1500$  K,  $p_a = 10 \div 20$  atm).

La ieșirea din duză parametrii gazului care suferă destinderea se modifică substanțial, obținîndu-se valori scăzute ale presiunii și temperaturii, viteza gazului crescînd foarte mult ( $T_e = 300 \div 400$  K,  $p_e = 0,1$  atm,  $v_r = 2 \div 6$  M).



În regiunea I,  $0,1 \div 0,2$  din energie este constituită din energia de vibrație a moleculelor, iar restul, din energia de translație și de rotație a acestora.

După destindere, în regiunea II, energiile de translație și rotație se transformă în energie cinetică, pe când energia de vibrație rămâne practic neschimbată, deoarece timpii de relaxare vibrațională sînt mult mai mari decît cei de relaxare rotațională.

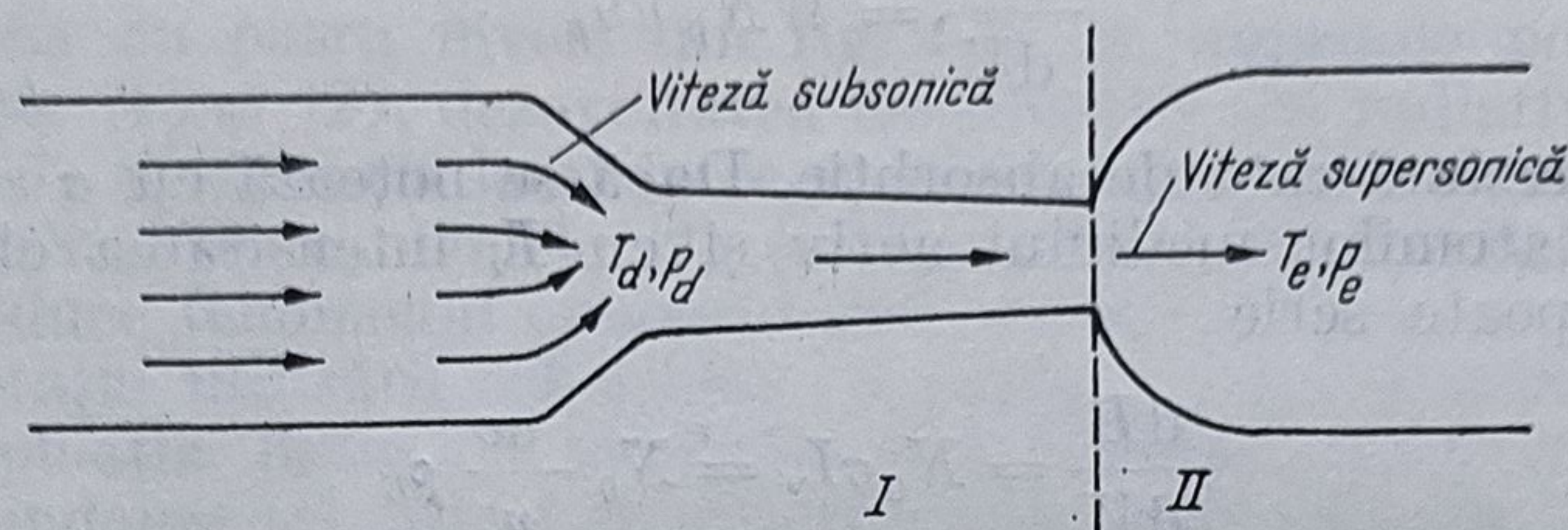


Fig. 4.13

Pentru laserul cu  $\text{CO}_2$ , de exemplu, tranzițiile laser au loc între nivelul combinat  $\text{CO}_2(00^01)$  și  $\text{N}_2(v=1)$  care constituie nivelul laser superior (energia fiind acumulată în starea metastabilă a  $\text{N}_2$  și nivelul laser inferior, constituit de nivelele  $\text{CO}_2(10^0$  și  $02^0)$

Populația nivelului I este cea corespunzătoare temperaturii ridicate din regiunea I, datorită metastabililor de  $\text{N}_2$ . Se păstrează la valoare ridicată cam pînă la 1m de duză.

Populația nivelului II este cea corespunzătoare temperaturii scăzute din regiunea II (se anulează la cîtiva centimetri de duză).

Apare astfel inversia de populație între nivelele I și II care se menține cam pînă la 1 m de duză.

Ca urmare energia termică este convertită direct în energie laser (pompație termică).

Temperaturile ridicate din regiunea duzei se pot obține prin încălzirea cu arc sau arderea diferitelor gaze.

#### 4.5.5. Excitarea prin reacții chimice (pompație chimică)

Pompație chimică constă în utilizarea energiei degajate în reacțiile chimice în vederea creării inversiei de populație, pentru unul sau mai mulți dintre produșii de reacție, astfel că energia chimică este transformată în energie electromagnetică.

În anul 1961, J. C. Polanyi a propus utilizarea reacțiilor chimice exoterme pentru crearea inversiei de populație, însă primii laseri chimici au fost realizați în 1964 (laserul cu iod provenit din fotoliza  $\text{CH}_3\text{I}$  și laserul cu  $\text{HCl}$ ).

Radiația electromagnetică care se produce în laserii chimici poate proveni din tranziții între stări electronice, vibraționale și rotaționale, astfel că acoperă un spectru larg, cuprins între cîtiva microni și cîteva sute de microni.

a) *Tipuri de reacții chimice pentru pompație.* Se cunosc mai multe tipuri de reacții chimice care pot fi utilizate pentru pompație chimică al dispozitivelor laser, cele mai importante fiind următoarele [32]: reacții



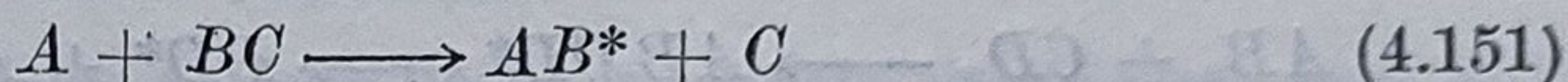
de schimb cu trei atomi; reacții de extragere; reacții de eliminare; reacții de fotodisociere.

Reacțiile chimice utilizate pentru pompaj chimic trebuie să fie caracterizate de rate de reacție ridicate pentru a fi compensate procesele de dezexcitare și alte procese de pierderi ale energiei. Energia disponibilă într-o reacție chimică  $E_D$  este dată de suma dintre energia de reacție  $\Delta H$  și energia de activare  $E_A$

$$E_D = \Delta H + E_A. \quad (4.150)$$

Întrucât  $E_D$  trebuie să depășească energia de excitare a stării laser superioare, reacțiile de pompaj chimic trebuie să fie direct sau indirect exoterme.

$\alpha$ ) *Reacțiile de schimb cu trei atomi.* Sînt reacții care au loc după schema

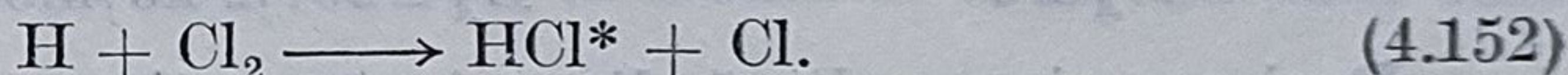


în condițiile în care legătura chimică  $AB$  este mai puternică decît legătura chimică  $BC$  și energia de activare a reacției este mică. Molecula  $AB$  rezultă într-o stare vibrațională excitată, prin utilizarea energiei de reacție.

Prin urmare, acest tip de reacții necesită prezența atomilor liberi în mediul laser.

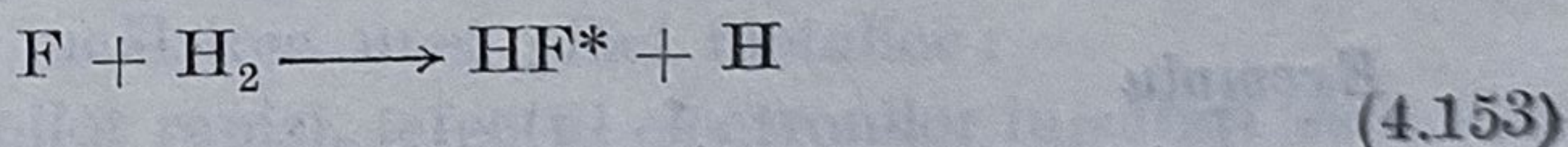
Exemple de laseri chimici pompați prin reacții de schimb:

— laserul cu HCl



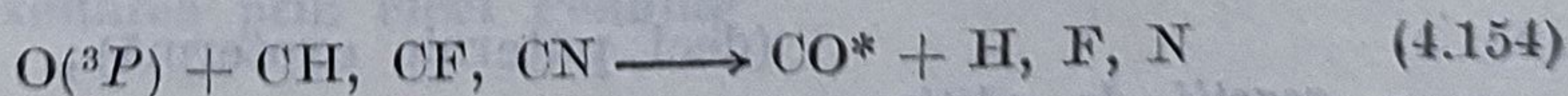
Energia de activare a reacției este  $E_A = 7,5$  kJ/mol iar energia rezultată din reacție este  $-\Delta H = 189$  kJ/mol, astfel că se eliberează o mare cantitate de energie pentru excitarea moleculelor de HCl pe nivele vibraționale (Se arată că în cazul de mai sus 39% din energia rezultată este utilizată pentru excitarea moleculelor de HCl, ajungîndu-se în stări excitate avînd chiar  $v = 6$ );

— laserul cu HF



$$(-\Delta H = 132 \text{ kJ/mol}, \quad E_A = 7,1 \text{ kJ/mol});$$

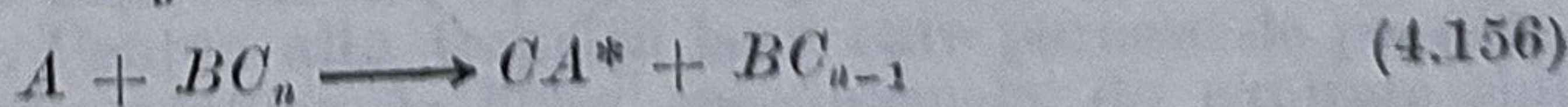
— laserul cu oxid de carbon (CO)



sau



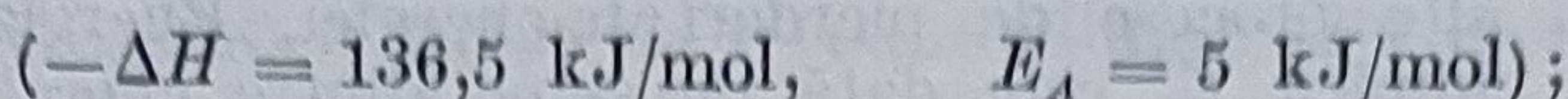
$\beta$ ) *Reacțiile de extragere.* Sînt reacții care au loc după schema:



în condițiile în care energia de legătură  $CA^*$  este mai mare decît energia de legătură a lui  $C$  în  $BC_n$ , iar energia de activare a reacției este coborîtă. Ca și reacțiile de schimb, reacțiile de extragere necesită prezența atomilor liberi în mediul laser.

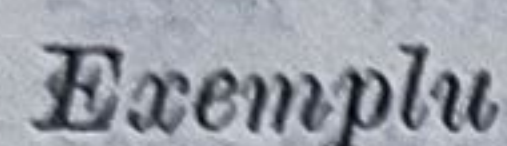


— laserul cu HF

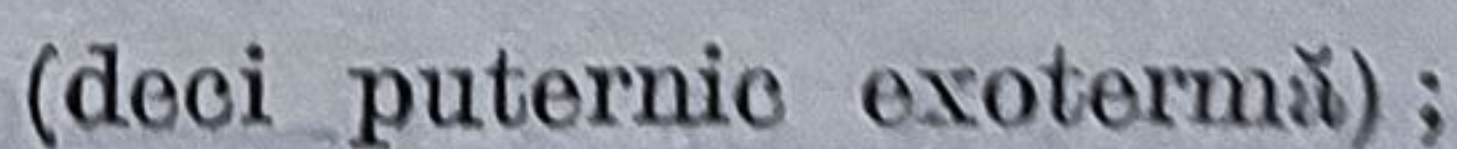
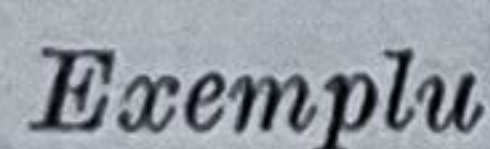

$$\text{O} + \text{CS}_2 \longrightarrow \text{CO}^* + \text{S}_2 \quad (4.158)$$

— hidrurile anorganice:  $\text{SiH}_4$ ,  $\text{GeH}_4$ , hidrocarburi ciclice etc.

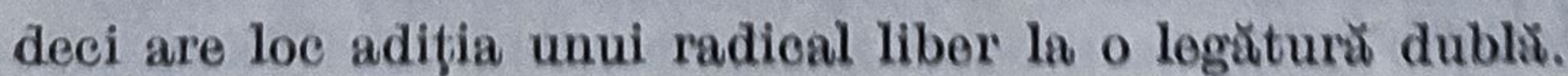
— cu combinarea radicalilor


$$\begin{array}{c} \text{CH}_3 + \text{CF}_3 \longrightarrow \text{CH}_3\text{CF}_3^* \longrightarrow \text{HF}^* + \text{H}_2\text{C} + \text{CF}_2 \\ \begin{array}{c} | \\ | \\ | \end{array} \quad \begin{array}{c} | \\ | \\ | \end{array} \\ \hline \begin{array}{cc} -\Delta H = 418,5 \text{ kJ/mol} & \Delta H = 130 \text{ kJ/mol} \\ E_A \simeq 0 & E_A \simeq 297,2 \text{ kJ/mol.} \end{array} \end{array} \quad (4.160)$$

— reacții de inserție a atomilor



### Exemplu



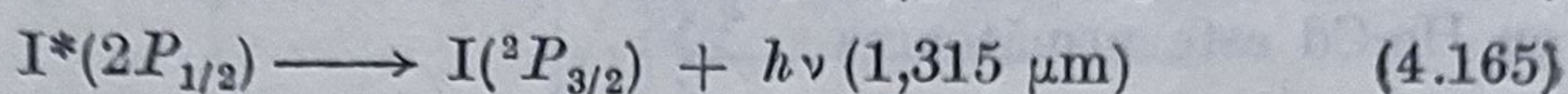
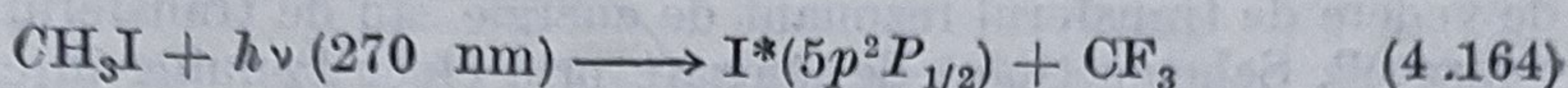


— reacții de fotoeliminare: de exemplu, s-a obținut efect laser atât în HF cât și în HCl, prin fotoliza  $\text{HClO} = \text{CHF}$ .

### δ) Reacțiile de fotodisociere.

În reacțiile de fotosidociere se produce excitarea electronică a unei molecule, iar ulterior ruperea chimică a legăturii printr-un proces de disociere.

**Exemplu : laserul cu iod**



(tranziție între nivelele cu inversie de populație).      (emisie laser)

Excitarea moleculelor se face optic, pe nivele electronice, prin reacția de disociere rezultând inversia de populație între stările  $^2P_{1/2}$  și  $^2P_{3/2}$  ale iodului.

Alte tipuri de laseri cu reacții de fotodisociere: laserul cu Br ( $\lambda = 2,713 \mu\text{m}$ ); laserul cu Rb:  $2,253 \mu\text{m}$ ; laserul cu Cs:  $3,095 \mu\text{m}$ ; laserul cu NO; laserul cu CN.

b) Producerea atomilor liberi pentru reacțiile de pompaj chimic se realizează prin:

— metodă fotolitică (fotodisociere): prin iradiere în ultraviolet a moleculelor de  $F_2$ , acestea sînt disociate în atomii de F care inițiază reacția chimică;

— descărcări electrice (disociere prin ciocniri): atomii liberi necesari reacției de pompaj rezultă în principiu prin ciocniri între atomi și molecule;

— reacții chimice: reacțiile chimice de tipul



conduc la apariția atomilor liberi în mediul laser;

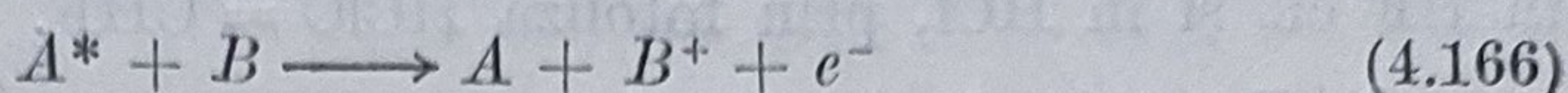
- disocieri termice (termodisociere);
- evaporări prin încălzirea unei plăci metalice;
- injecția electronilor rapizi, (efectul electronilor injectați este același cu cel al electronilor care apar într-o descărcare electrică).

#### 4.5.6. Excitarea prin efect Penning

Se întâlnește în cazul laserilor ionici. De exemplu, pentru laserul cu He-Cd, pentru tranzițiile joase ce pornesc de pe nivelul  $2D_{3/2(5/2)}$  al Cd II (441,6 și 325 nm) procesul preponderent pentru realizarea inversiei de populație îl constituie ciocnirile de tip Penning între atomii metastabili de He și atomii de Cd. Pentru alte tranziții laser care pornesc de pe nivelele superioare ale metastabililor de heliu, mecanismele de excitare sunt reprezentate prin ciocniri cu transfer de sarcină între ionii de He și atomii de Cd și prin ciocniri electronice. Nivelele superioare ale ionului de Cd nu pot fi excitate Penning deoarece au energia mai mare decât a metastabililor de He.



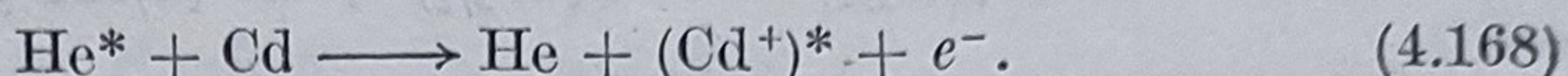
Procesul Penning tipic are următoarea schemă



în care ionul  $B^+$  poate fi sau nu în stare excitată. Evident că trebuie îndeplinită condiția

$$(W_{excitare})_A > (W_{ionizare})_B. \quad (4.167)$$

Procesele Penning sînt nerezonante, deosebindu-se din acest punct de vedere de transferul rezonant de energie sau de transferul rezonant „de ionizare”. Schema tipică de ionizare prin efect Penning în cazul laserului cu He-Cd este următoarea



Secțiunea eficace de excitare prin efect Penning este în jur de  $10^{-15} \text{ cm}^2$ .

#### 4.5.7. Excitarea prin injecție

Excitarea prin injecție este metodă tipică de pompaj pentru laserii cu semiconductori.

Admițînd densitățile de stări în benzile de conducție și de valență ale semiconductorului ca fiind funcții cunoscute de energie, se pot exprima probabilitățile de ocupare a unui nivel energetic  $E$  din banda de conducție sau din cea de valență cu un electron, respectiv cu un gol, cu ajutorul expresiilor

$$f_c(E) = \frac{1}{1 + \exp\left[\frac{E - E_{F_v}}{kT}\right]} \quad (4.169)$$

respectiv

$$f_v(E) = \frac{1}{1 + \exp\left[\frac{E - E_{F_c}}{kT}\right]} \quad (4.170)$$

unde  $E_{F_c}$  și  $E_{F_v}$  sînt *cvasinivelele Fermi*, pentru banda de conducție, respectiv de valență. Aceste nivele definesc *cvasiechilibrul* din interiorul benzilor corespunzătoare, banda de conducție fiind ocupată pînă la *cvasinivelul Fermi*  $E_{F_c}$ , iar banda de valență fiind goală pînă la *cvasinivelul Fermi*  $E_{F_v}$ , în condițiile în care banda de conducție nu este în echilibru cu cea de valență). (Pentru un sistem la echilibru termic,  $E_{F_c} = E_{F_v} = E_F$ . Pentru sistemele excitate  $E_{F_c} > E_{F_v}$ , separarea dintre *cvasinivelele Fermi* fiind o măsură a gradului de excitare).

Modelarea cu ajutorul *cvasinivelelor Fermi* devine posibilă atunci cînd împrăștierea purtătorilor în interiorul benzilor implicate are loc foarte repede, în comparație cu procesele de recombinare bandă-bandă, astfel că stările din interiorul benzilor sînt considerate la echilibru (este, de exemplu, cazul materialelor semiconductoare cu un mare număr de purtători liberi).

Utilizarea joncțiunilor  $p-n$  pentru crearea inversiei de populație constituie metoda cea mai răspîdită pentru realizarea dispozitivelor laser cu materiale semiconductoare.



Atunci cînd joncțiunea este polarizată direct, electronii sînt injectați în zona de tip  $p$  a structurii, iar golurile în zona de tip  $n$  a acesteia, creîndu-se un exces de purtători peste valoarea de echilibru, care determină inversia de populație necesară pentru emisia stimulată.

Structura benzilor energetice pentru joncțiunea  $p$ - $n$  polarizată direct este prezentată în fig. 4.14.

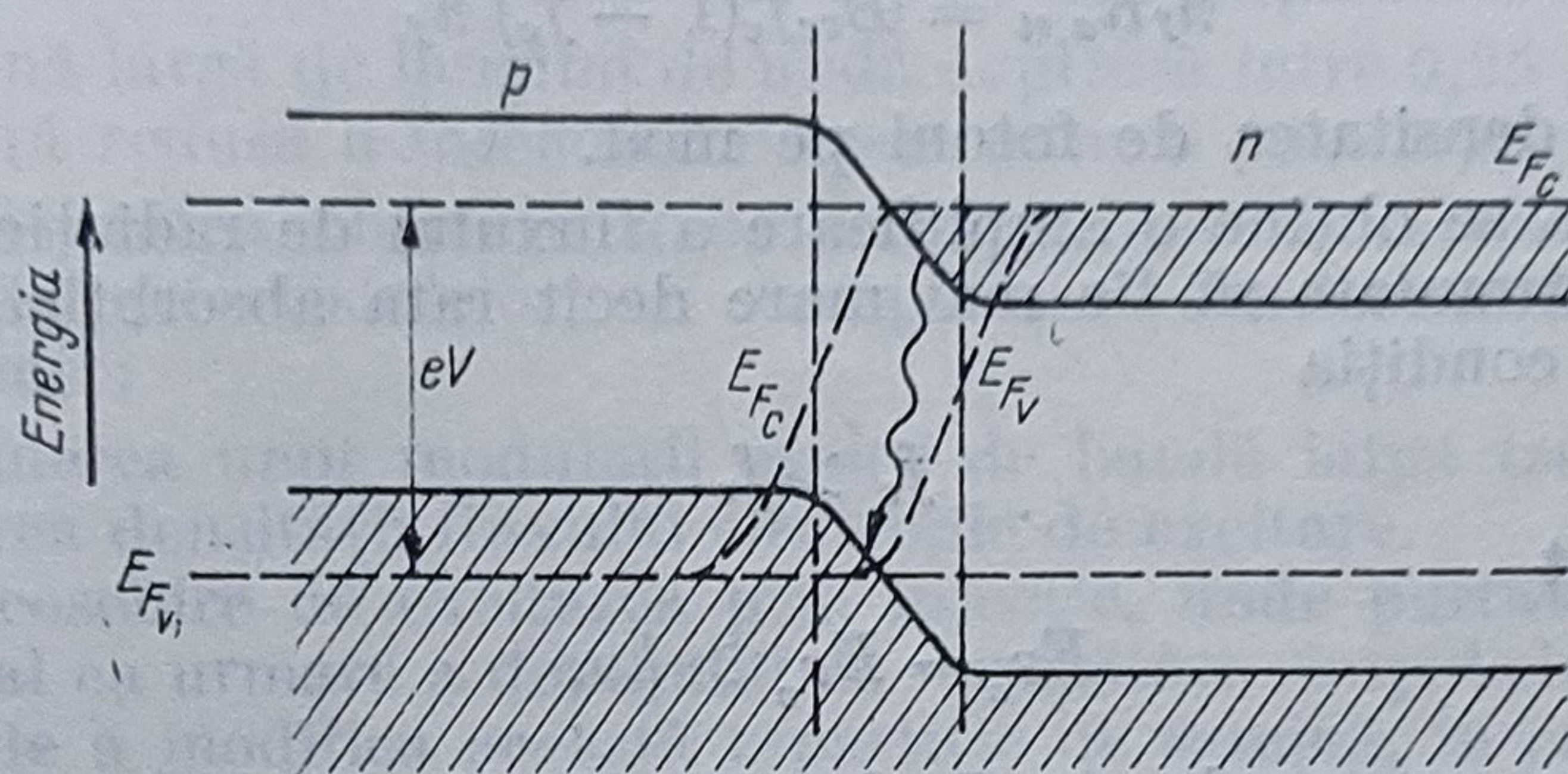


Fig. 4.14

Zona activă a structurii este determinată de stratul paralel cu joncțiunea în care are loc inversia de populație (se poate arăta că acest strat este poziționat în regiunea de tip  $p$  a structurii ca urmare a lungimilor de difuzie diferite pentru cele două categorii de purtători, precum și a proceselor de absorbție și recombinărilor neradiative, deși există injecție de purtători în ambele sensuri prin joncțiune).

Întrucît electronii injectați ocupă bandă de conducție pînă la cvasinivelul Fermi  $E_{F_c}$ , iar golurile ocupă banda de valență pînă la cvasinivelul Fermi  $E_{F_v}$ , fotonii cu energie mai mare decît  $E_i$  dar mai mică decît

$$\Delta E_F = E_{F_c} - E_{F_v} \quad (4.171)$$

nu pot fi absorbiți deoarece stările corespunzătoare din bandă de conducție sînt ocupate, astfel încît acești fotoni pot induce tranziții electronice din banda de conducție, pe nivelele libere din banda de valență, prin fenomenul de emisie stimulată. Prin urmare, condiția

$$h\nu < \Delta E_F \quad (4.172)$$

este fundamentală pentru fenomenul de emisie stimulată în semiconductori.

Procese de absorbție și emisie stimulată pentru un material semiconductor cu bandă interzisă directă, funcție de densitățile de stări, sînt prezentate schematic în figura 4.15.

Pentru analiza cantitativă a ratelor de tranziție se consideră cazul unui semiconductor cu o distribuție parabolică a stărilor.

Dacă se notează cu  $A_{cv}$ ,  $B_{cv}$  parametrii de interacție ai tranzițiilor de emisie spontană, emisie stimulată și absorbție și cu  $f_c$  și

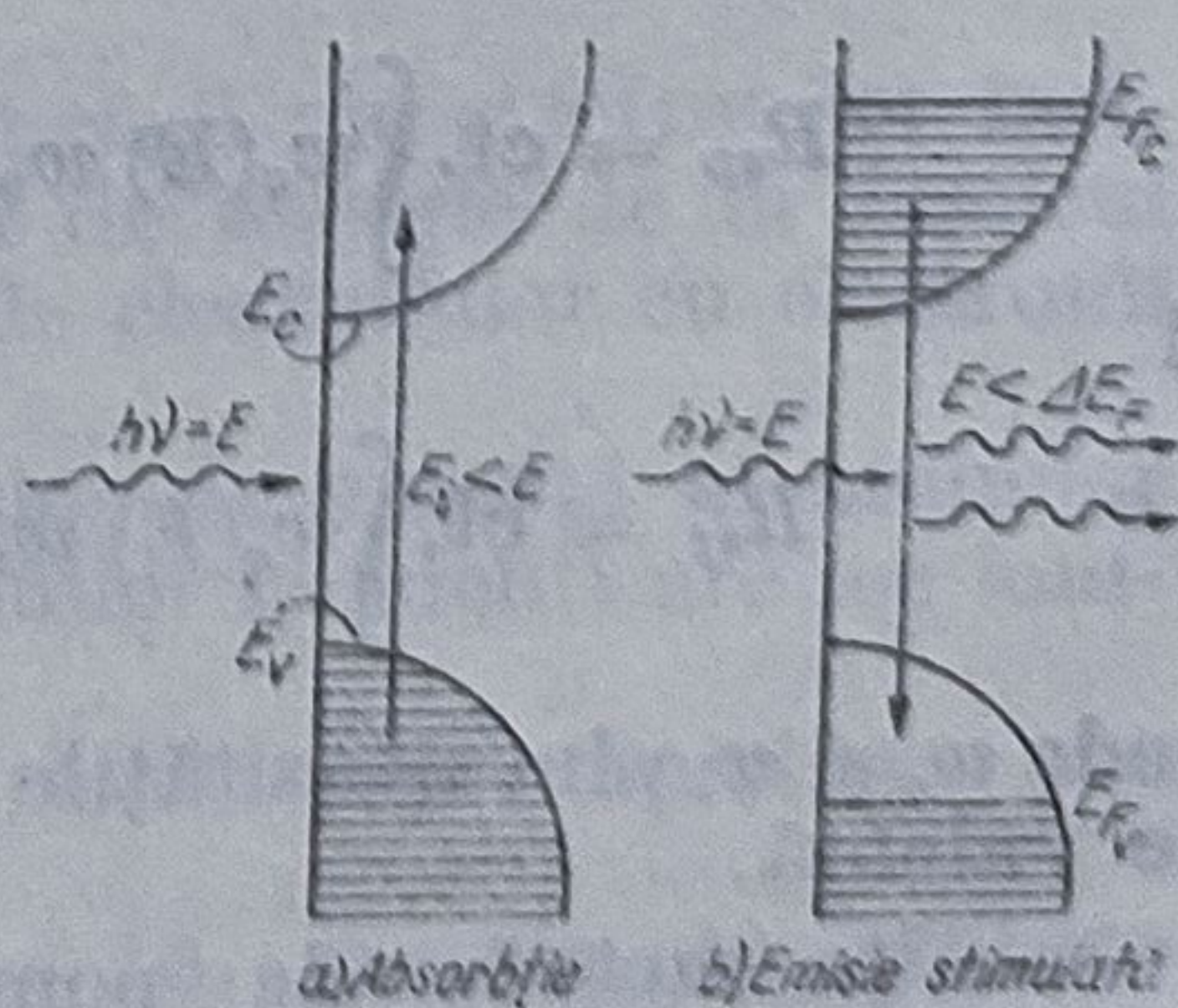


Fig. 4.15



$f_v$  probabilitățile de ocupare a stărilor energetice  $E_c$  și  $E_v$ , ratele de emisie spontană, respectiv de emisie stimulată și absorbție au expresiile

$$R_{e,sp} = A_{ev}(1 - f_v) \quad (4.173)$$

$$n_f R_{e,st} = B_{ev} f_c (1 - f_v) n_f \quad (4.174)$$

$$n_f R_{a,st} = B_{vc} f_v (1 - f_c) n_f \quad (4.175)$$

unde  $n_f$  este densitatea de fotoni pe mod.

Pentru a se obține o amplificare a fluxului de radiație, trebuie ca rata emisie stimulate să fie mai mare decât rata absorbției, ceea ce se exprimă prin condiția

$$f_c > f_v \quad (4.176)$$

sau echivalent

$$E_{F_c} - E_{F_v} > h\nu. \quad (4.177)$$

Ținându-se seama de numărul mediu de fotoni pe mod la echilibru termic se poate scrie ecuația de bilanț pentru tranzițiile de emisie și absorbție, obținându-se egalitatea parametrilor de tranziție

$$B_{ev} = B_{vc}. \quad (4.178)$$

Se poate arăta că ratele emisie spontane și stimulate pe unitatea de volum pentru tranzițiile bandă-bandă, au expresiile

$$R_{sp} = \frac{8\pi n e^2 \nu}{m^2 \hbar c^3} \sum |\mathbf{d}|^2 [f_c(1 - f_v)] \quad (4.179)$$

$$n_f R_{st} = \frac{8\pi n e^2 \nu n_f}{m^2 \hbar c^3} \sum |\mathbf{d}|^2 [f_c(1 - f_v) - f_v(1 - f_c)] \quad (4.180)$$

unde

$$R_{st} = R_{e,st} - R_{a,st} \quad (4.181)$$

este rata netă a emisie stimulate,  $\mathbf{d}$  elementul de matrice al tranziției,  $n_f$  densitatea de fotoni pe mod iar  $n$  indicele de refracție al mediului.

Admițându-se egalitatea elementelor de matrice pentru toate tranzițiile, rezultă pentru ratele de tranziție formulele :

$$R_{sp} = \text{ct.} \int w_c(E) w_v(E - h\nu) f_c(E) [1 - f_v(E - h\nu)] dE \quad (4.182)$$

și

$$R_{st} = \text{ct.} \int w_c(E) w_v(E - h\nu) [f_c(E) - f_v(E - h\nu)] dE \quad (4.183)$$

unde  $w_c$  și  $w_v$  sînt densitățile de stări pentru benzile de conducție respectiv de valență.

Alte metode de pompaj pentru laserii cu semiconductori sînt : excitarea optică, excitarea cu fascicule energetice de electroni, excitarea prin cîmpuri puternice etc.



#### 4.5.8. Excitarea cu fascicule de electroni (bombardament electronic)

Metoda de excitare cu fascicule de electroni se utilizează pentru laserii cu semiconductori, alături de pompajul prin injecție, prezentînd în raport cu acesta din urmă, următoarele avantaje [69]:

- posibilitatea obținerii unor puteri în impuls foarte ridicate, de zeci de MW, cu o frecvență mare de repetiție a impulsurilor;
- o zonă largă de lungimi de undă cuprinsă între  $0,25 \mu\text{m}$  și  $15 \mu\text{m}$ , și o divergență redusă a fascicului laser (cîteva minute);
- posibilitatea obținerii unor laseri pentru baleiaj cu fascicul electronic a suprafeței cristalelor, cu comportare cvasicontinuă, cu puteri de zeci de wați;
- obținerea unor modulații optice de bandă largă (zeci de GHz), prin modularea densității fluxului electronic de excitare.

Spre deosebire de excitarea prin injecție, unde purtătorii în exces apar în cristal ca urmare a dopajului cu impurități, cîmpul electric aplicat avînd rolul de a modifica această repartitie de sarcină, în cazul laserilor excitați cu fascicule de electroni, apariția purtătorilor de neechilibru, se datorește transferului de energie de la electronii primari ai fascicului către electronii și golurile rețelei cristaline.

Prin urmare, dopajul cu impurități al materialului semiconductor, nu mai constituie pentru laserii pompați cu fascicule de electroni o condiție absolut necesară.

Studiul mecanismului de interacție al fascicului electronic cu rețeaua cristalină necesită evaluarea distribuției spațiale a purtătorilor de sarcină în afara echilibrului.

S-au pus în evidență trei tipuri de procese de interacție caracteristice mecanismului de excitare prin bombardament electronic:

- procese de ionizare care determină reducerea energiei electronilor din fascicul;
- procese de excitare prin trecerea electronilor din banda de valență în banda de conducție și crearea de perechi electron-gol. Aceste procese au loc atunci cînd energia electronilor din fascicul este comparabilă cu lărgimea benzii interzise a semiconductorului, nemaifiind posibile procese de ionizare a straturilor electronice interne;
- procese de interacție a electronilor cu rețeaua cristalină și termalizarea electronilor prin emisie de fononi.

Evident că aceste procese au loc prin reducerea în „trepte” a energiei electronilor din fascicul.

a) *Studiul proceselor de ionizare.* Pentru energii ale electronilor incidenti ridicate (zeci și sute de keV) transferul de energie de la fascicul la mediul se face prin ciocnirile coulombiene ale electronilor cu electronii legați ai cristalului.

Deoarece energia de legătură a electronilor de valență ai atomilor rețelei este mult mai mică decît energia electronilor incidenti are loc ionizarea acestora.

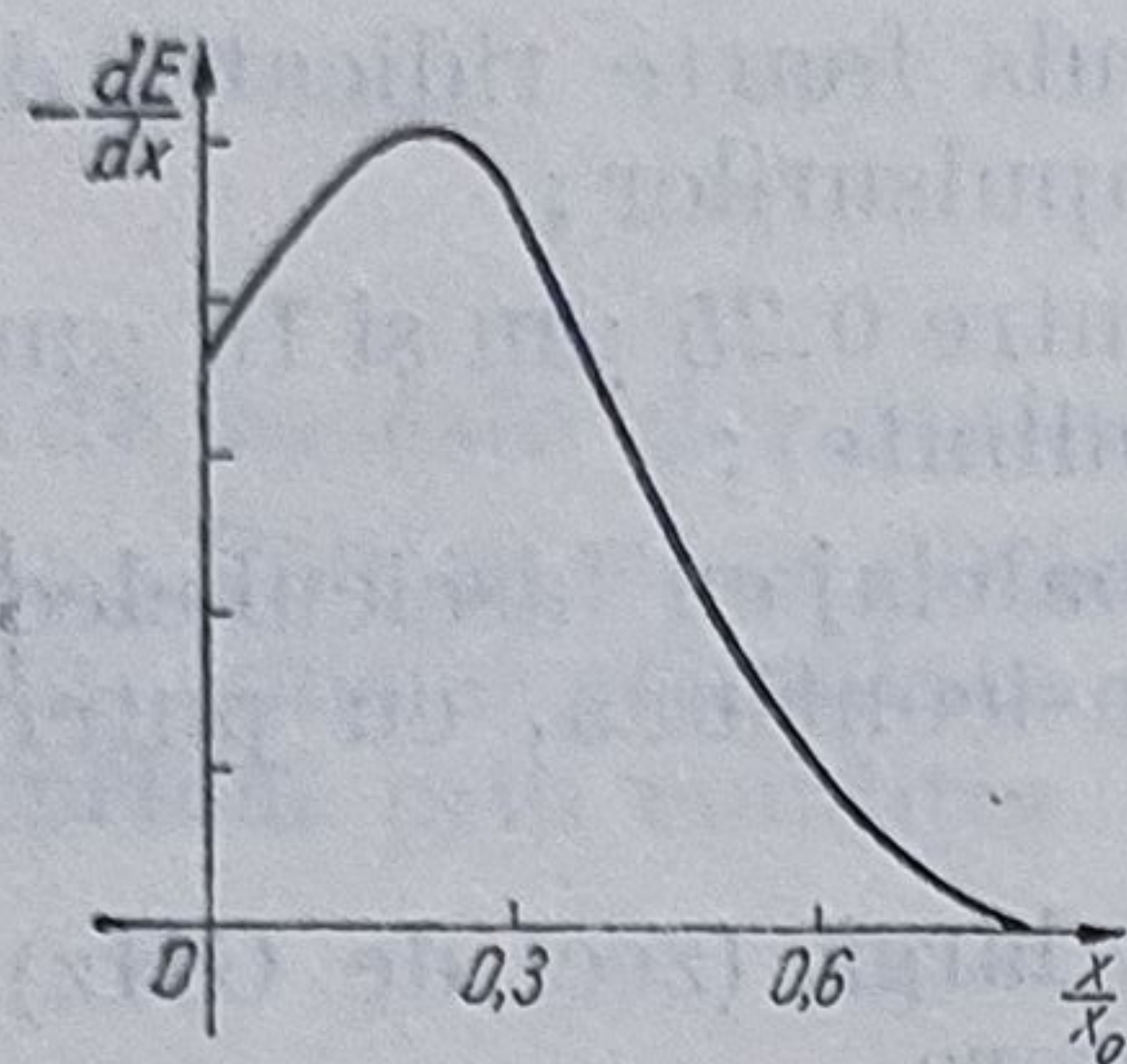
Pierderile de energie prin ionizare a electronilor rapizi se pot calcula cu formula lui G. Bethe.

Se constată că pentru elemente cu  $Z < 15$ , energia de ionizare  $E_i \approx 10,5Z$  eV iar pentru elemente cu  $Z > 15$ ,  $E_i = 9Z$  eV. Calculul exact al densităților de ionizare este dificil datorită proceselor complexe de



difuzie multiplă și ciocniri elastice pe care le suferă electronii din fasciculul energetic.

Calitativ, dependența densității pierderilor de ionizare funcție de adâncimea de pătrundere în cristal, este prezentată (în coordonate reduse) în fig. 4.16, unde



$$x_0 = \int_0^{E_0} \left( \frac{dE}{dx} \right)^{-1} dE \quad (4.184)$$

reprezintă adâncimea maximă de pătrundere în mediu (pentru  $x$  în linie dreaptă) iar  $E_0$  energia cinetică inițială a electronilor.

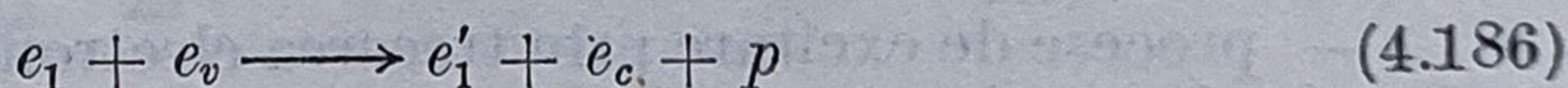
În gama de energii cuprinse între 50 keV și 200 keV,

$$x_0 = \alpha E_0 + \beta E_0^2 \quad (4.185)$$

$\alpha$  și  $\beta$  fiind constante depinzând de material.

b) *Generarea de perechi electron-gol*. Atunci când energia electronilor scade ajungând comparabilă cu energia de ionizare  $E_i$ , ( $\sim 200 \div 300$  keV) procesul de multiplicare „în avalanșă” al electronilor continuă printr-un alt mecanism. Electronii rapizi care au luat naștere nu pot ioniza în continuare atomii rețelei, dar pot ciocni electronii din banda de valență pe care-i transferă în bandă de conducție. Aceste procese se produc pînă cînd energia purtătorilor scade sub o valoare egală cu lărgimea benzii interzise după care procesele care au loc sînt de *termalizare* fără variația numărului de purtători.

Energia necesară formării perechilor electron-gol se poate calcula utilizîndu-se legile de conservare ale energiei și impulsului. Schema proceselor de ciocnire prin care se formează perechi electron-gol este următoarea



unde  $e_1$  este electronul primar,  $e_v$  un electron din banda de valență,  $e_1'$  electronul secundar,  $e_c$  un electron din banda de conducție, iar  $p$  un gol din banda de valență. Se poate arăta că energia minimă (de prag) necesară unei particule pentru a avea loc un proces după schema (4.186) este superioară lărgimii benzii interzise. Astfel, dacă particula primară este electron

$$(E_e)_{\text{prag}} = E_i \left( 1 + \frac{m_e^-}{m_e + m_g} \right), \quad (4.187)$$

$m_e$  fiind masa electronului, iar  $m_g$  masa golului.

Dacă particula primară este un gol

$$(E_g)_{\text{prag}} = E_i \left( 1 + \frac{m_g}{m_e + m_g} \right). \quad (4.188)$$

Se poate arăta, de asemenea, că eficiența maximă a unui laser cu excitație electronică este de aproximativ 30%, adică pentru formarea unei perechi electron-gol se utilizează în toate procesele care au loc o energie de aproximativ trei ori mai mare decît lărgimea benzii interzise.



## 4.6. Caracteristici constructive și funcționale ale diferitelor tipuri de laseri

### 4.6.1 Laserul cu He-Ne

Laserul cu He-Ne, realizat în anul 1961 de către Javan și alții [13] a fost primul laser funcționând cu undă continuă, fiind totodată și primul laser cu gaz din lume. La puțin timp după raportarea sa pe plan mondial, în anul 1962, a fost construit primul laser cu He-Ne și în țara noastră, România fiind astfel printre primele țări care dețineau dispozitive de acest tip.

Cele mai importante linii spectrale pe care funcționează laserul cu He-Ne sînt cele ale neonului avînd  $\lambda = 0,6328 \mu\text{m}$ ,  $1,15 \mu\text{m}$  și  $3,38 \mu\text{m}$ , numărul tranzițiilor laser cunoscute ale neonului fiind mult mai numeroase.

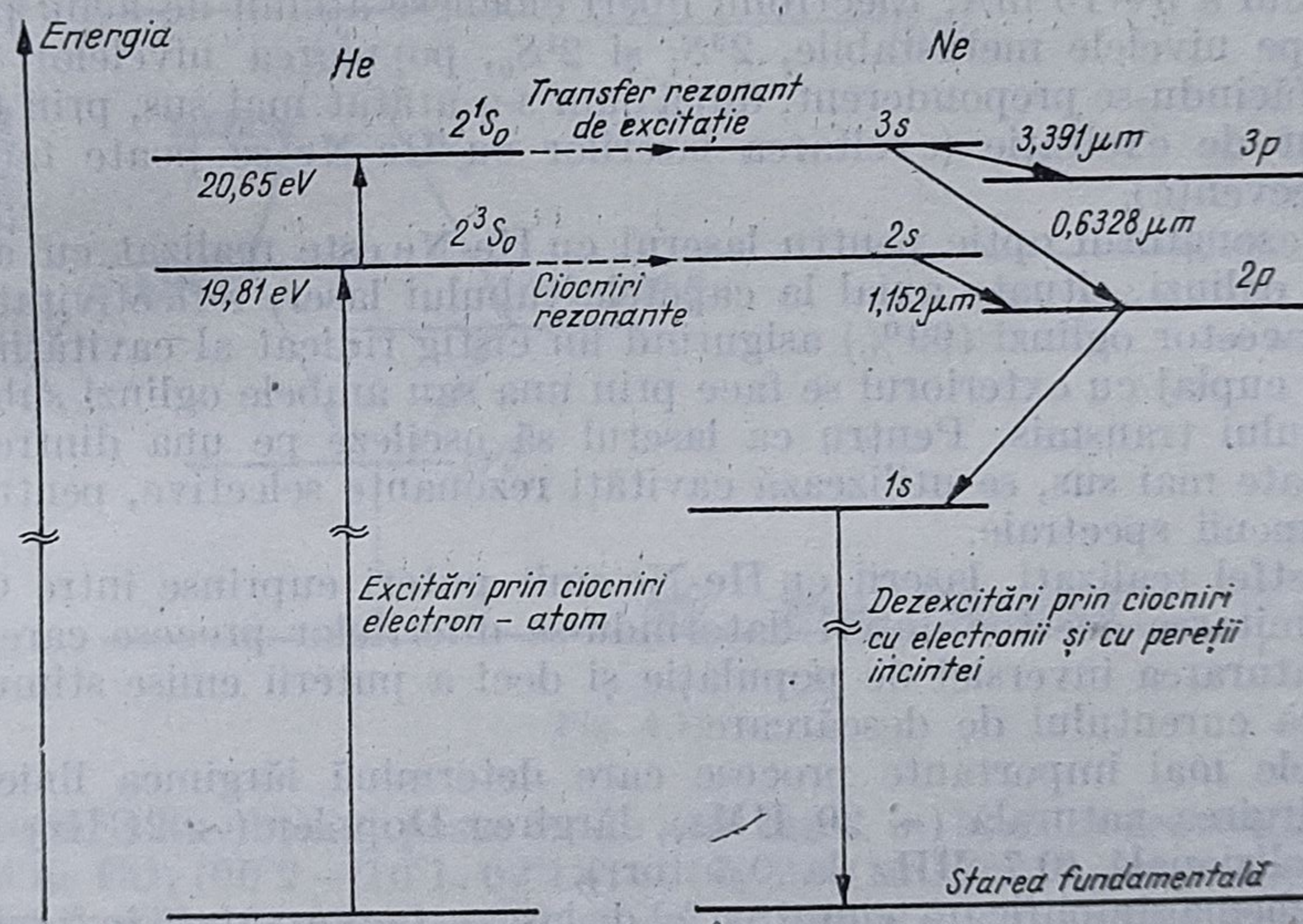


Fig. 4.17

Schema simplificată a nivelelor energetice implicate în aceste tranziții este prezentată în fig. 4.17. Faptul că între nivelele  $2^3S$  și  $2^1S$  ale heliului și nivelele  $2s$  respectiv  $3s$  ale neonului există o bună coincidență face posibil transferul rezonant de excitație între nivelele corespunzătoare ale heliului (metastabile), care sînt excitate direct prin ciocniri electron-atom din starea fundamentală și nivelele specificate mai sus ale neonului determinînd *inversii de populație* între stările  $2s - 2p$ ,  $3s - 2p$  și  $3s - 3p$  ale neonului și emisia laser prin tranziții stimulate între aceste stări. De exemplu, starea metastabilă a heliului  $2^3S$ , are un timp de viață  $\tau = 100 - 200 \mu\text{s}$ , în timp ce pentru nivelul laser superior  $2s$  timpul de viață este  $\tau \approx 100 \text{ ms}$  iar pentru nivelul laser inferior,  $\tau \approx 10 - 20 \text{ ns}$ .

Pe lângă transferul rezonant de excitație, care constituie mecanismul principal în realizarea inversiei de populație, excitarea nivelelor laser superioare ale neonului se poate face și direct prin ciocniri electronice.



Linia laser avînd  $\lambda = 1,152 \mu\text{m}$  este cea mai puternică din cele 30 de tranziții  $2s - 2p$  permise în neon între  $0,88$  și  $1,171 \mu\text{m}$ .

În ceea ce privește tranzițiile  $3s - 2p$  pot apărea 89 linii diferite, situate între  $0,5433$  și  $0,7305 \mu\text{m}$ , pe cînd pentru tranzițiile  $3s - 3p$  sînt cunoscute 12 linii situate între  $2,78$  și  $3,98 \mu\text{m}$ .

Constructiv, laserul cu He-Ne tipic este realizat sub forma unui tub din sticlă pyrex umplut cu un amestec de  $\text{He} : \text{Ne} = (7 - 10) : 1$ , la o presiune totală de cîtiva torr. Tubul laser are încorporați doi electrozi, un anod din nichel și un catod din aluminiu, trecerile prin sticlă fiind făcute cu ajutorul unor bare de wolfram. Un astfel de tub „de descărcare” are lungimea cuprinsă între  $0,1$  și  $2 \text{ m}$  și diametrul cuprins între  $0,8 - 1,4 \text{ mm}$ , extremitățile fiind prevăzute cu ferestre din cuarț optic, lipite la unghi Brewster.

Pompajul unui astfel de laser se face cu ajutorul unei descărcări în curent continuu care produce electroni și ioni liberi în gaz, tensiunea de alimentare fiind de ordinul a  $2 - 3 \text{ kV}$ , iar curentul descărcării fiind de ordinul a  $5 - 10 \text{ mA}$ . Electronii liberi ciocnesc atomii de heliu pe care-i excită pe nivelele metastabile,  $2^3S_1$  și  $2^1S_0$ , popularea nivelelor  $3s$  și  $2s$  ale Ne făcîndu-se preponderent, după cum s-a arătat mai sus, prin transfer rezonant de excitație (excitarea laserilor cu He-Ne se poate face și în radiofrecvență).

Rezonatorul optic pentru laserul cu He-Ne este realizat cu ajutorul a două oglinzi, situate axial la capetele tubului laser, reflectivitatea ridicată a acestor oglinzi ( $99\%$ ) asigurînd un câștig ridicat al cavității optice al cărei cuplaj cu exteriorul se face prin una sau ambele oglinzi sub forma fasciculului transmis. Pentru ca laserul să oscileze pe una dintre liniile prezentate mai sus, se utilizează cavități rezonante selective, pentru diferite domenii spectrale.

Astfel realizați, laserii cu He-Ne emit puteri cuprinse între  $0,5 - 50 \text{ mW}$ , limitarea acestor puteri datorîndu-se diferitelor procese care determină saturarea inversiei de populație și deci a puterii emise stimulat, cu creșterea curentului de descărcare.

Cele mai importante procese care determină lărgimea liniei laser sînt: lărgirea naturală ( $\sim 20 \text{ HMz}$ ), lărgirea Doppler ( $\sim 2 \text{ GHz}$ ) și lărgirea colizională ( $0,7 \text{ MHz}$  la  $0,5 \text{ torr}$ ).

Schema simplificată a unui astfel de laser este prezentată în figura 4.18.

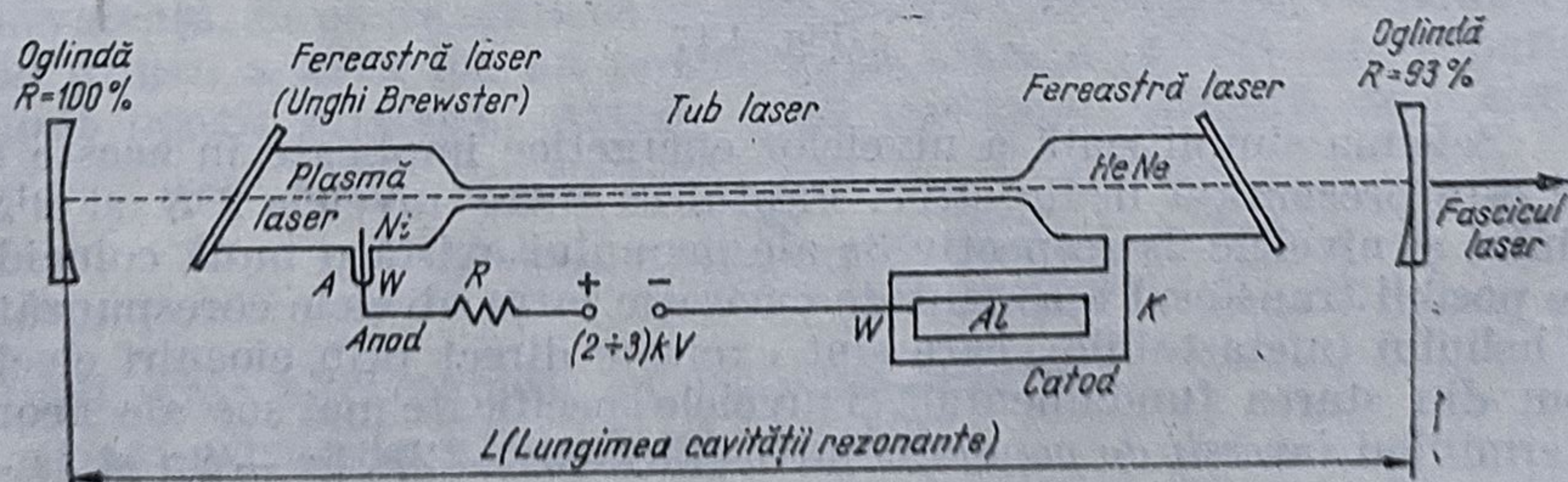


Fig. 4.18

Parametrii tipici pentru laserul cu He-Ne sînt:  $\omega \simeq 3 \cdot 10^{15} \text{ rad/s}$ ,  $\Delta\omega_c \simeq 5 \cdot 10^9 \text{ rad/s}$ ,  $T_1 \simeq 10^{-7} \text{ s}$ ,  $\tau_c \simeq 10^{-7} \text{ s}$ ,

$$|d_{12}| = 1,4 \text{ debye} = \frac{1,4 \cdot 10^{-29}}{3} \text{ C}\cdot\text{m}.$$



#### 4.6.2. Laserul cu CO<sub>2</sub>

Primul laser cu CO<sub>2</sub> a fost realizat în anul 1964 de către C. N. Patel, utilizând o descărcare în CO<sub>2</sub> pur. În prezent se realizează laseri cu CO<sub>2</sub> având puteri de peste 100 kW în funcționare continuă, cu eficiențe de 20–30%.

Primele linii laser observate în CO<sub>2</sub> aparțin benzilor „regulate” ale acestui tip de moleculă și corespund tranzițiilor de vibrație-rotatie de 10,6 μm (00°1 — (10°0, 02°0)<sub>I</sub>) și 9,4 μm (00°1 — (10°0, 02°0)<sub>II</sub>), ale moleculei în starea electronică fundamentală.

Schema acestor nivele vibraționale (joase) ale moleculei de CO<sub>2</sub> și tranzițiile laser observate sînt prezentate în figura 4.19.

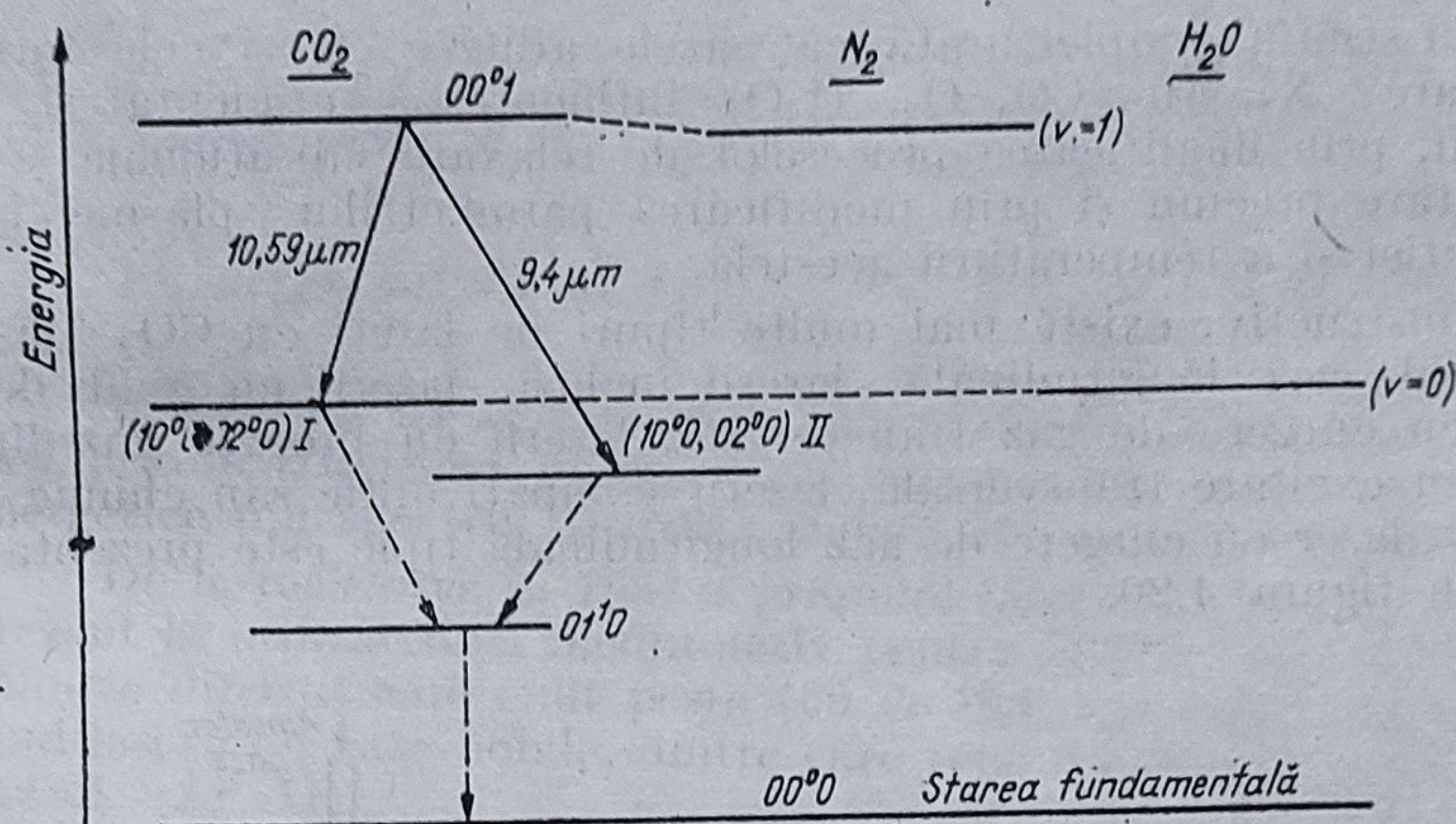


Fig. 4.19

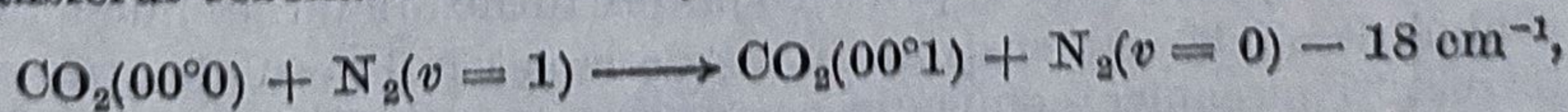
Ulterior s-au obținut peste 80 de linii laser în benzile secvențiale ale moleculei de CO<sub>2</sub> (00°2 — (10°1, 02°1)<sub>I</sub>) și (00°2 — (10°1, 02°1)<sub>II</sub>) și de asemenea în benzile superioare avînd originea pe nivelele 00°3 și 00°4, în benzile fierbinți (01°1 — (11°0, 03°0)<sub>I</sub>) și (01°1 — (11°0, 03°0)<sub>II</sub>) etc.

Pentru funcționarea laserului cu CO<sub>2</sub>, în procesele de excitare-dezexcitare un rol important revine gazelor aditive, azotul și heliul, aflate de regulă în proporții CO<sub>2</sub> : N<sub>2</sub> : He = 1 : 1 : 6, presiunea totală fiind de 40 torr.

Principalele căi de excitare a nivelului laser superior pentru tranzițiile din benzile regulate 00°1 sînt: excitarea directă prin ciocniri electronice, prin procese de tipul



și transferul rezonant de excitație între N<sub>2</sub>(v = 1) și CO<sub>2</sub>(00°0)



ca proces dominant pentru laserii cu CO<sub>2</sub> cu descărcare, excitarea vibrațională a moleculelor de azot făcîndu-se, de asemenea, prin ciocniri electronice. În plus, oxidul de carbon format în descărcarea electrică joacă un rol similar cu cel al azotului în excitarea nivelului laser superior.



Alături de procesele de excitare, pentru crearea inversiei de populație un rol important revine proceselor de relaxare vibrațională, funcționarea eficientă a laserului implicând condiția

$$\tau_s^r \gg \tau_s^c \gg \tau_i^c$$

unde  $\tau_s^r$  este timpul de viață al nivelului laser superior,  $\tau_s^c$  — timpul de viață colizional al acestui nivel, iar  $\tau_i^c$  timpul de viață colizional al nivelului laser inferior.

Rolul heliului ca gaz aditiv este determinat de eficiența mult mai ridicată a proceselor de relaxare a nivelului laser inferior produse de ciocnirea  $\text{CO}_2\text{—He}$  în comparație cu ciocnirea  $\text{CO}_2\text{—CO}_2$  sau  $\text{CO}_2\text{—N}_2$ , precum și de favorizarea ratei de excitare a moleculelor de  $\text{CO}_2$  pe nivelul laser superior 00<sup>0</sup>1.

Un studiu complet arată că gazele aditive cit și cele formate în descărcare ( $\text{N}_2$ , He, CO,  $\text{O}_2$ ,  $\text{H}_2\text{O}$ ) influențează eficiența și puterea laserului, prin modificarea proceselor de relaxare vibrațională și a celor de excitare precum și prin modificarea parametrilor plasmei laser, a compoziției și a temperaturii acesteia.

Constructiv, există mai multe tipuri de laseri cu  $\text{CO}_2$ : laserii cu curgere de gaz longitudinală, laserii închiși, laserii cu ghid de undă, laserii cu curgere de gaz transversală, laserii cu procese gaz-dinamice, laserii cu excitare transversală, laserii pompați optic sau chimic etc.

Un laser cu curgere de gaz longitudinală tipic este prezentat schematic în figura 4.20.

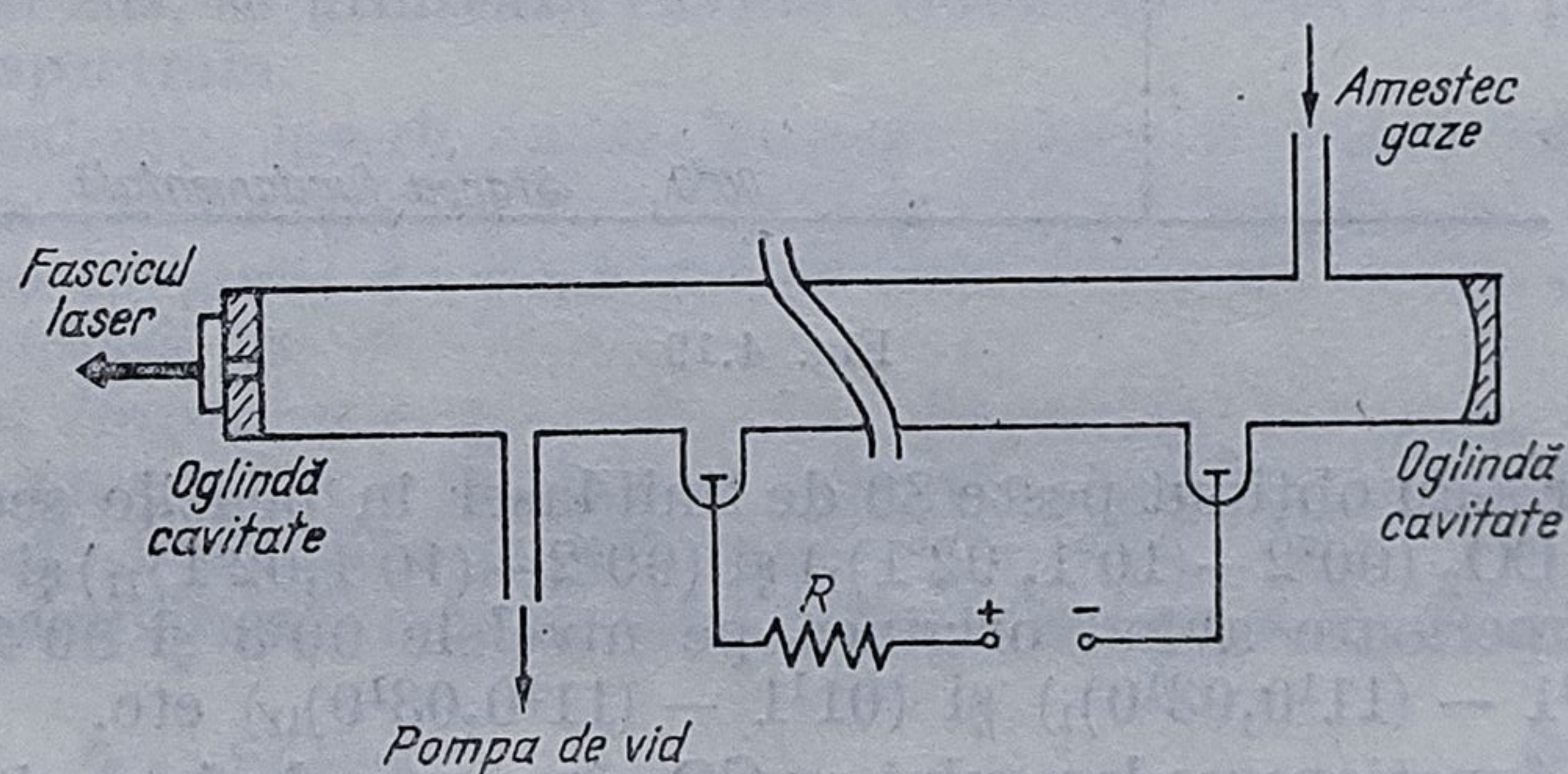


Fig. 4.20

Amestecul de  $\text{CO}_2$ ,  $\text{N}_2$  și  $\text{H}_2$  în proporții determinate, circulă cu viteză redusă printr-un tub din sticlă pyrex, de câțiva cm diametru, răcit cu apă care curge la rîndul său printr-o cămașă de sticlă coaxială cu tubul de descărcare.

Tubul este excitat în curent continuu sau alternativ prin intermediul a doi electrozi, tensiunea electrică folosită fiind de 10—15 kV iar curentul descărcării de 25—150 mA, pentru o putere furnizată de laser de ~150 W.

Tubul de sticlă este susținut etanș de capetele laserului, care reprezintă structuri mecanice compacte ce servesc ca suporturi pentru oglinzile reglabile ale laserului, avînd conducte de acces pentru amestecul gazos și apa de răcire. Oglinzile laser sînt realizate din oțel inoxidabil fiind acoperite cu un strat subțire de aur, una dintre ele fiind găurită central pentru a permite cuplajul cu exteriorul. Etanșeitarea la vid a cavității, la capătul



Laserii cu  $\text{CO}_2$  se pot realiza și sub formă închisă, portabilă, dacă se iau măsuri speciale pentru a împiedica disocierea moleculelor de  $\text{CO}_2$ , prin ciocniri electronice și a menține concentrația amestecului nemodificată.

În acest scop se utilizează o a treia cămașă de sticlă al cărei volum, de peste 50 de ori mai mare decît cel al descărcării active, constituie un adevărat rezervor pentru amestec. Laserii închiși cu  $\text{CO}_2$  produși de IFTAR furnizează puteri de 50—100 W, pentru durate de funcționare depășind 1000 de ore. Pe lângă laserii cu  $\text{CO}_2$  cu funcționare continuă o largă dezvoltare au căpătat-o laserii cu  $\text{CO}_2$  în impulsuri, de energii ridicate, reprezentativ fiind laserul cu  $\text{CO}_2$  cu excitație transversală la presiune atmosferică ( $\text{CO}_2$ —TEA). Un astfel de laser, cu descărcare controlată cu fascicule de electroni, poate furniza energii de pînă la 100 kJ, cu frecvență ridicată de repetiție a impulsurilor.

Laserul cu Ar II face parte din categoria laserilor ionici, caracterizați prin participarea la realizarea inversiei de populație a unor nivele energetice din spectrul atomilor simplu sau multiplu ionizați.

Laserul cu argon ionizat este cel mai puternic laser în vizibil, radiația coerentă fiind emisă, pentru regimul de funcționare în undă continuă, simultan pe 11 linii spectrale cuprinse între 0,5287  $\mu\text{m}$  și 0,4370  $\mu\text{m}$ , cele mai intense fiind liniile avînd  $\lambda = 0,5145 \mu\text{m}$  și 0,4880  $\mu\text{m}$  (peste 85% din putere).

Puterile maxime emise de laserii cu argon ionizat sînt de 300 W în vizibil și de peste 30 W în ultraviolet, eficiența maximă atinsă fiind de 0,16%. În tubul de descărcare al laserului cu argon ionizat apoximativ 1% din atomi sînt ionizați, astfel că prin ciocniri pot trece în stări ionice excitate. Principalele mecanisme de excitare pentru laserul cu argon ionizat sînt: ciocnirile electronice cu starea fundamentală a ionului (fig. 4.21), ciocnirile electronice cu starea fundamentală a atomului, excitarea prin intermediul stărilor metastabile ale ionilor și cascadele radiative de pe nivelele superioare.

În cazul excitării prin ciocniri electronice cu starea fundamentală a ionului (ca și în cazul cascadelor radiative de altfel) populația nivelului laser superior este proporțională cu pătratul densității de curent ( $N_2 \sim j^2$ ),

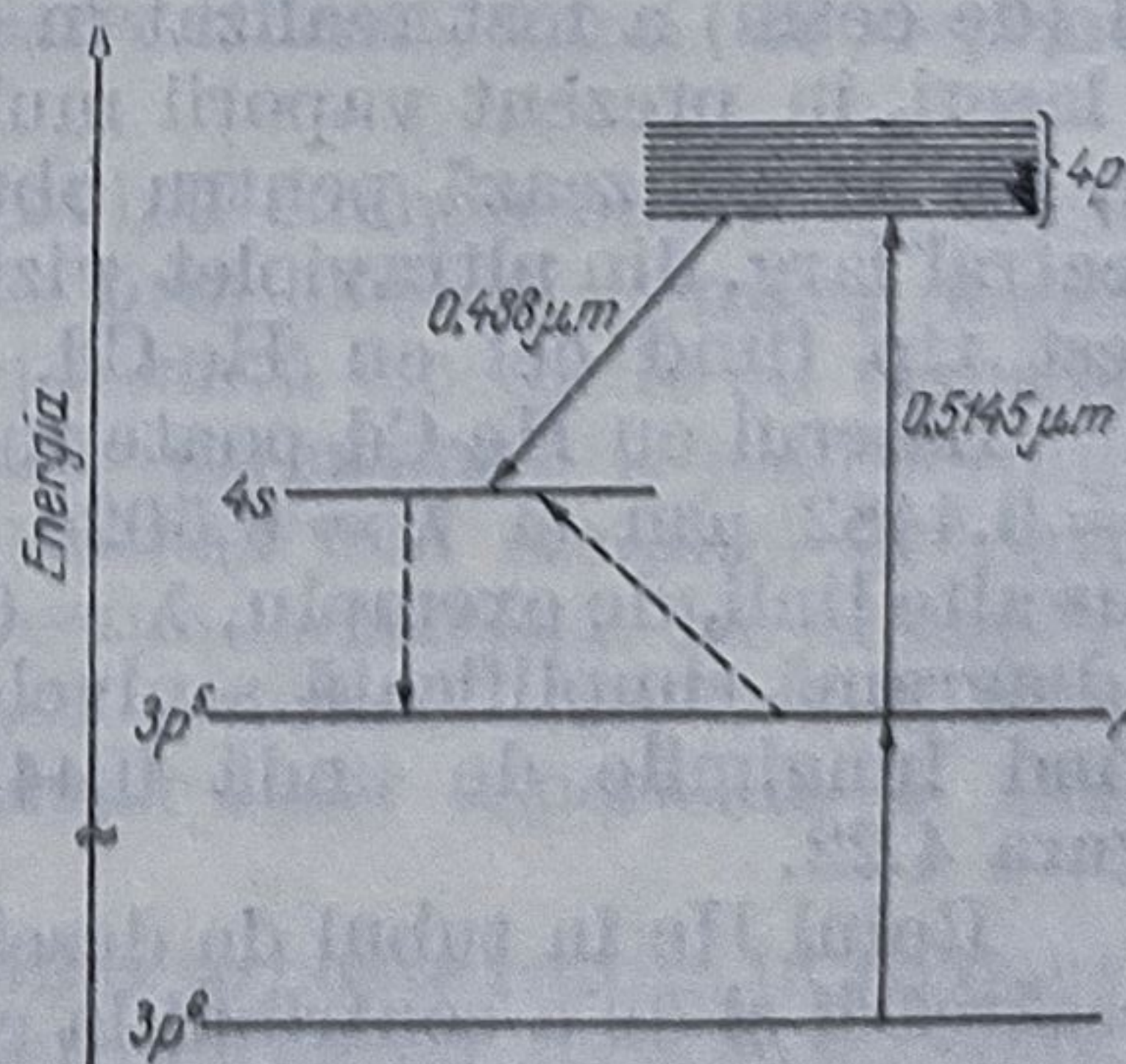


Fig. 4.21



pe cînd în cazul celorlalte mecanisme de excitare, populația nivelului laser superior este proporțională cu densitatea de curenți. Dependența pătratică a populației nivelului  $4p$  de  $j$ , demonstrată pentru condiții experimentale foarte diferite, arată rolul preponderent al mecanismelor de excitare corespunzătoare.

Nivelul laser inferior  $4s$  se dezexcită radiativ pe starea fundamentală a atomului ionizat mult mai rapid decît excitarea sa prin ciocniri electronice.

Constructiv, laserii cu argon ionizat sînt realizați sub forma unor tuburi de descărcare, care trebuie să reziste la densitățile mari ale curenților de excitare (25 — 400 A). Se pot folosi în acest scop capilare din cuarț sau ceramică, răcite cu apă și eventual cîmpuri magnetice axiale (1 — 1,5 kGs) care să reducă rata de difuzie a electronilor spre pereți, prin confinarea descărcării în centrul tubului.

Catozii laserilor cu argon trebuie să asigure curenții de emisie ridicați și să reziste la bombardamentul ionic din tub, astfel că se construiesc sub forma unor suporturi de nichel sau wolfram impregnați cu oxizi de Ba sau Co. Anozii, răciți cu apă, se realizează din cupru, grafit, tungsten etc. Diametrul tuburilor de descărcare sînt cuprinse între 1 — 12 mm presiunile optime ale gazului fiind funcție de diametru (100 — 400 mtorr; scad cu creșterea diametrului).

Puterile surselor de alimentare ale laserilor cu argon ionizat sînt ridicate (160 kW, 400 A, 400 V, pentru 100 W putere emisă).

În variantele constructive cu catod cavitat se folosesc drept gaze aditive heliul sau neonul. Alți laseri ionici tipici sînt laserii cu kripton (Kr II), xenon (Xe II), Ar III etc., sau laserii în care mediul activ este o combinație a acestor gaze.

Laserul cu kripton emite 15 linii spectrale în vizibil și infraroșu (cea mai intensă linie avînd  $\lambda = 0,6471 \mu\text{m}$ ), iar laserul cu Xe emite 5 linii în vizibil ( $0,4954 - 0,5395 \mu\text{m}$ ). În ultraviolet s-au obținut liniile Kr IV ( $\lambda = 0,195 \mu\text{m}$  și  $\lambda = 0,219 \mu\text{m}$ ) și linia Ne III avînd  $\lambda = 0,206 \mu\text{m}$ .

Laserii cu argon ionizat și alți laseri ionici se utilizează în holografie, sisteme de afișare, pompajul optic al laserilor cu coloranți etc.

#### 4.6.4. Laserul cu He-Cd

Vaporii metalici reprezintă primul tip de mediu laser propus de către Schawlow și Townes în anul 1958. Deși primul laser cu vaporii metalici (de cesiu) a fost realizat în anul 1962, deci după realizarea altor tipuri de laseri, în prezent vaporii multor metale cum ar fi Cd, Cu, Se, Zn, Tl, Sn, Pb se utilizează pentru obținerea radiației coerente, pe un domeniu spectral larg, din ultraviolet vizibil și infraroșu, cel mai cunoscut laser de acest tip fiind cel cu He-Cd.

Laserul cu He-Cd poate funcționa în continuu (liniile  $\lambda = 0,4416 \mu\text{m}$ ,  $\lambda = 0,4482 \mu\text{m}$  și  $\lambda = 0,5026 \mu\text{m}$ ) sau în impulsuri (liniile de mai sus plus alte linii, de exemplu,  $\lambda = 0,5337 \mu\text{m}$ ,  $\lambda = 0,5378 \mu\text{m}$ ,  $\lambda = 0,839 \mu\text{m}$ ). O diagramă simplificată a nivelelor energetice implicate pentru tranzițiile avînd lungimile de undă  $0,4416 \mu\text{m}$  și  $0,3250 \mu\text{m}$  este prezentată în figura 4.22.

Rolul He în tubul de descărcare este acela de a asigura stabilitatea descărcării și de a contribui la excitarea nivelelor ionice ale Cd II pentru crearea inversiei de populație. De remarcat că același rol poate fi jucat și de alte gaze cum ar fi Ne, Ag, Xe.



Funcție de tranzițiile laser implicate, excitarea laserului cu He-Cd se poate face prin ciocniri de tip Penning sau prin ciocniri cu transfer de sarcină.

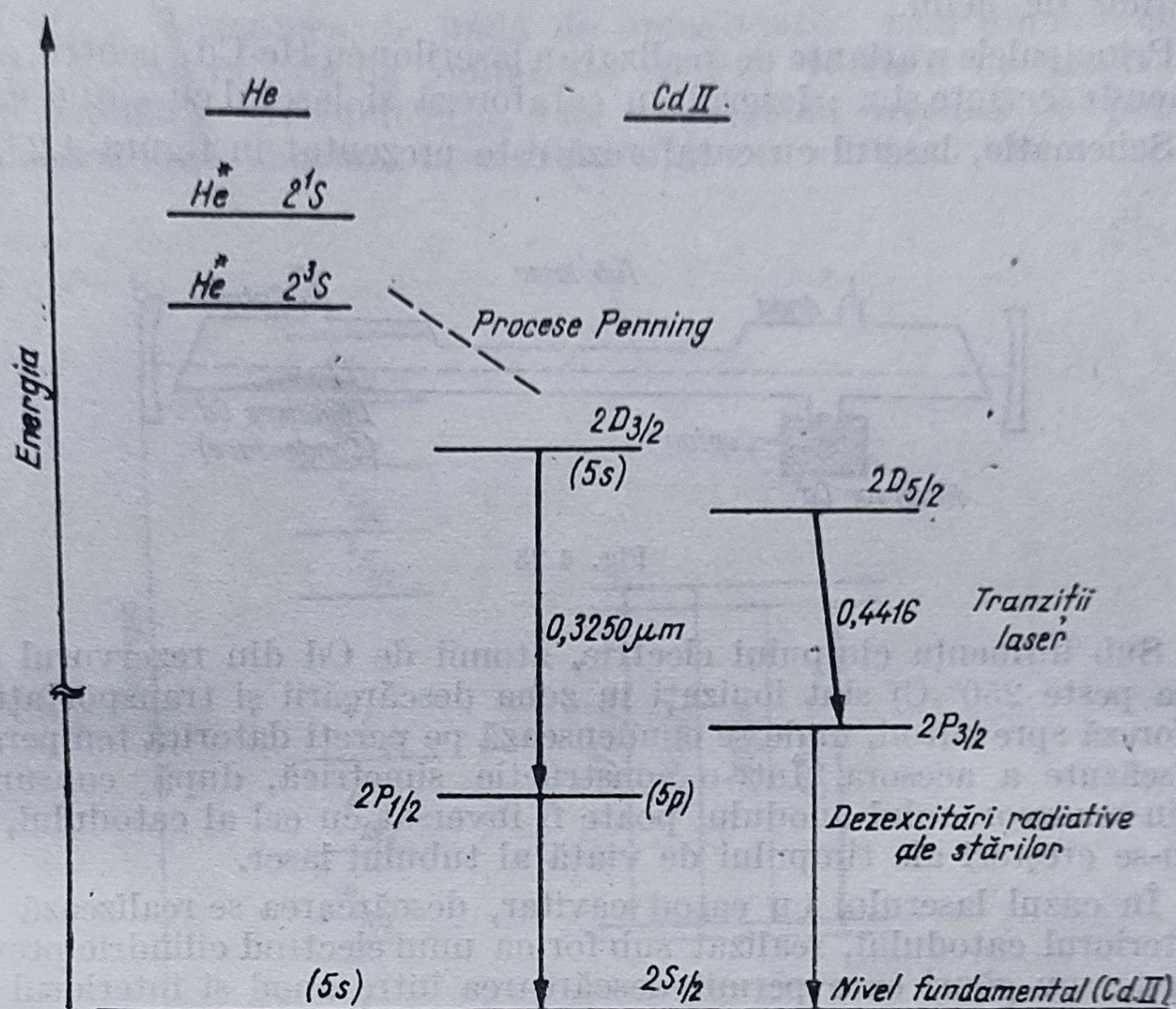


Fig. 4.22

Se știe că procesele Penning sînt procese nerezonante de tipul



energia stărilor metastabile 2<sup>1</sup>S sau 2<sup>3</sup>S ale atomilor excitați de He fiind mai mare decît cea necesară pentru ionizarea și excitarea atomilor de Cd. Acest mecanism de inversie de populație a fost propus pentru explicarea oscilației pe linia  $\lambda = 0,4416$  a Cd, de către Silfast, fiind în deplină concordanță cu experimentul.

Nivelele superioare ale ionului de Cd, avînd energia mai mare decît cea a metastabililor de He, nu pot fi excitate prin ciocniri Penning astfel că în acest caz mecanismul de excitare îl reprezintă ciocnirile cu transfer de sarcină între ionii de He și atomii de Cd. Ca urmare a transferului de sarcină și de energie care are loc, se formează ioni metalici în stare excitată și atomi ai gazului „buffer” în stare fundamentală. De exemplu, pentru liniile  $\lambda = 0,635 \mu\text{m}$ ,  $\lambda = 0,5337 \mu\text{m}$ ,  $\lambda = 0,7237 \mu\text{m}$ ,  $\lambda = 0,4882 \mu\text{m}$ ,  $\lambda = 0,8067 \mu\text{m}$  și altele, excitarea nivelelor laser superioare se face prin ciocniri cu transfer de sarcină.

Oscilația laserului cu He-Cd pe diferite linii se poate realiza în coloana pozitivă sau în regiunea luminii negative (laserii cu catod cavitat) mecanismele de excitare fiind în esență aceleași.



Realizarea constructivă a laserilor cu He-Cd, necesită măsuri adecvate pentru omogenizarea descărcării, evitarea depunerii vaporilor metalici pe componentele optice, împiedicarea impurificării amestecului și a pierderilor de heliu.

Principalele variante de realizare a laserilor cu He-Cd, pentru a satisface aceste cerințe sînt : laserul cu cataforeză și laserul cu catod cavitat.

Schematic, laserul cu cataforeză este prezentat în figura 4.23.

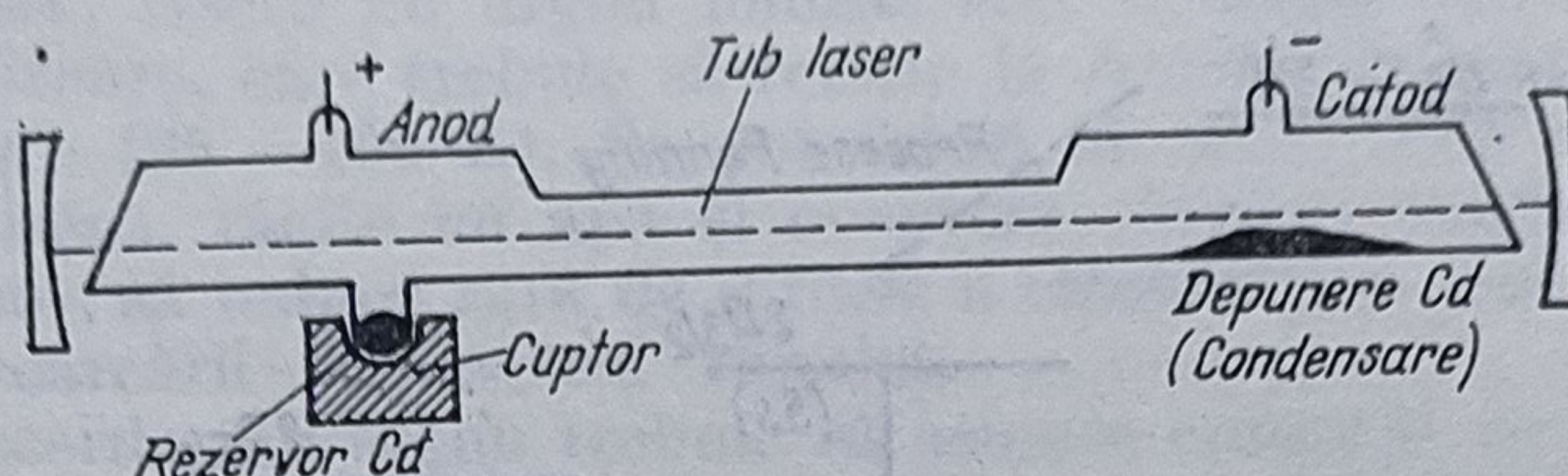


Fig. 4.23

Sub influența cîmpului electric, atomii de Cd din rezervorul încălzit (la peste  $250^{\circ}\text{C}$ ) sînt ionizați în zona descărcării și transportați prin cataforeză spre catod, unde se condensează pe pereți datorită temperaturii mai scăzute a acesora. Într-o construcție simetrică, după consumarea Cd din rezervor, rolul anodului poate fi inversat cu cel al catodului, obținându-se creșteri ale timpului de viață al tubului laser.

În cazul laserului cu catod cavitat, descărcarea se realizează chiar în interiorul catodului, realizat sub forma unui electrod cilindric prevăzut cu fante sau găuri care permit descărcarea între anod și interiorul catodului precum și pătrunderea vaporilor metalici din interiorul catodului.

Generarea atomilor metalici în descărcarea se mai poate produce, pe lîngă evaporare, și prin procese cum ar fi pulverizarea catodului (metale nevolatile, Au, Ag, Ni) sau prin disocierea termică a diferiților compuși chimici (de exemplu  $\text{CdI}_2$ ). Puterile emise de laserii cu He-Cd sînt de ordinul 50–200 mW, curenții descărcării în jur de 100 mA, presiunea vaporilor de Cd în jur de 5–10 mtorr, fiind funcție de temperatură, iar presiunea heliului fiind de 4–10 torr.

Alți laseri cu vapori metalici sînt laserii cu Cu, Zn, Se sau cu două tipuri de vapori metalici simultan. De exemplu, laserul cu He-Se emite în undă continuă peste 46 linii.

În general, laserii cu vapori metalici au zgomot ridicat ca urmare a fluctuațiilor existente atît în densitatea atomilor metalici cît și în populațiile stărilor metastabile ale heliului.

#### 4.6.5. Laserul cu sticlă dopată cu Nd

Laserii cu mediu activ solid cei mai importanți sînt laserul cu rubin (primul laser din lume, construit în 1960) și laserii de tip Nd—sticlă și Nd-YAlG. Laserul cu ioni  $\text{Nd}^{3+}$  în  $\text{CaWO}_3$  a constituit primul laser cu solid cu funcționare continuă (Johnson și Nassan, 1961). Utilizarea sticlei dopată cu neodim ca mediu laser activ a fost propusă de către Svitser în anul 1961.



Diagrama nivelelor energetice pentru ionul de  $\text{Nd}^{3+}$  încorporat în sticlă este prezentată în figura 4.24.

Tranziția laser se produce între subnivelele inferioare ale nivelelor  $^4F_{3/2}$  și  $^4I_{11/2}$ . (Lungimea de undă de aproximativ  $1,06 \mu\text{m}$  este cea mai importantă fiind funcție de compoziția sticlei.) Întrucât la temperatura camerei populația nivelului  $^4I_{11/2}$  este neglijabilă, inversia de populație se realizează ușor, sistemul laser fiind tipic cu patru nivele.

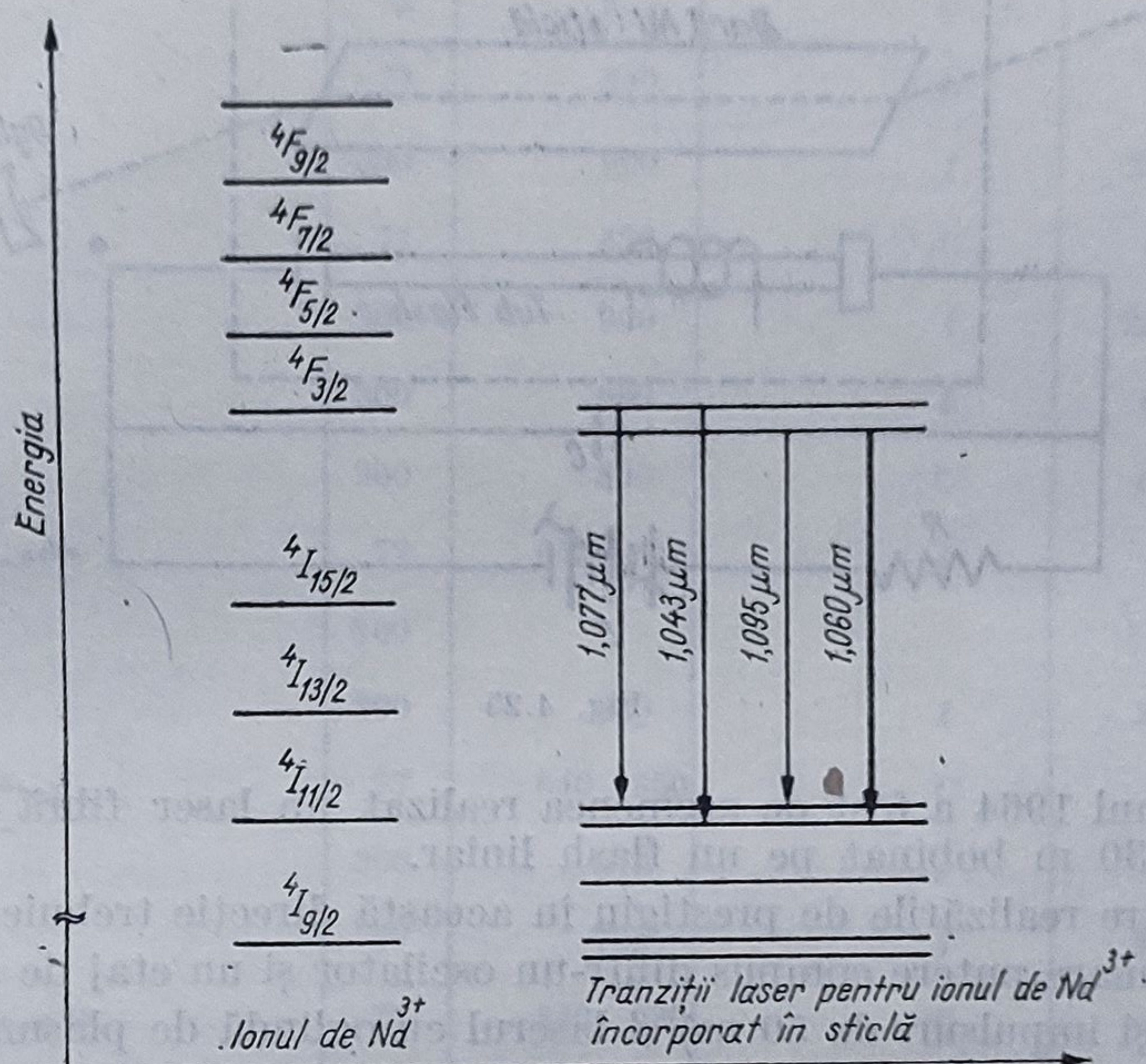


Fig. 4.24

Ionii excitați, ca urmare a absorbției în banda  $0,5-0,8 \mu\text{m}$ , se relaxează cu o eficiență cuantică ridicată pe nivelul cu viață lungă  $^4F_{3/2}$  obținându-se astfel inversia de populație în raport cu nivelul  $^4I_{11/2}$ . Utilizarea sticlelor ca „gazde” pentru realizarea mediilor laser active prezintă numeroase avantaje: posibilitatea dopării uniforme cu concentrații variabile pentru dimensiuni mari, preț de cost redus, rezistență mecanică etc.

Un dezavantaj important al sticlelor îl constituie conductivitatea termică scăzută, ceea ce limitează rata de repetiție a impulsurilor și diametrele maxime ale barelor active de Nd-sticlă. Dintre sticlele utilizate ( $\text{SiBaRb}$ ,  $\text{Ba}(\text{PO}_3)_2$ ,  $\text{LaBBa}$ ,  $\text{SiPbK}$ ,  $\text{LaAlSi}$ ) silicații sînt cei mai indicați spre a fi utilizați ca gazde pentru ionii de  $\text{Nd}^{3+}$ .

Constructiv, laserul Nd-sticlă ca și alți laseri cu solid este pompat optic astfel că se utilizează diferite sisteme de concentrare a excitației optice furnizate de un tub flash pe bara care constituie mediul activ (figura 4.25). (De exemplu, o cavități sub forma unui cilindru eliptic avînd în focare bara de sticlă dopată cu  $\text{Nd}^{3+}$  respectiv tubul flash.) Funcționarea continuă pe lungimea de undă de  $1,06 \mu\text{m}$  a acestui tip de laser a fost observată în anul 1963.



În prezent se realizează bare de Nd-sticlă avînd lungimi pînă la 2 m și diametre de mai mulți cm. În regim relaxat s-au obținut energii de 5000 J cu durate de 3 ms încă din 1967. În regim *Q*-switch și mode-locking s-au obținut în 1970 puteri de vîrf de  $17 \cdot 10^{12}$  W și impulsuri de cîteva picosecunde.

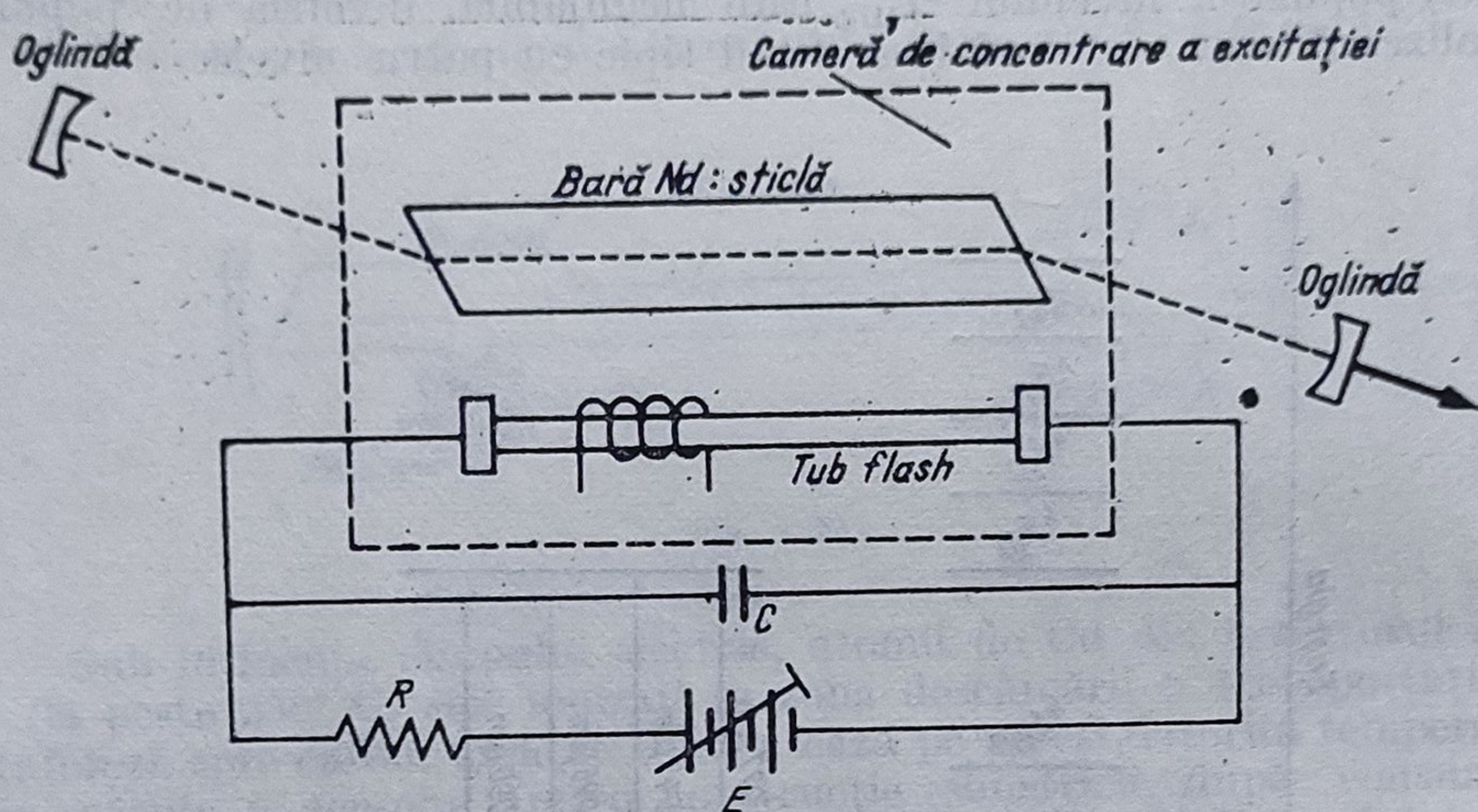


Fig. 4.25

În anul 1964 a fost de asemenea realizat un laser fibră avînd lungimea de 30 m bobinat pe un flash liniar.

Printre realizările de prestigiu în această direcție trebuie menționat laserul de mare putere compus dintr-un oscilator și un etaj de amplificare (100 MW și impulsuri de 50 ns) și laserul cu oglindă de plasmă (în regim mode-locking) realizat în țara noastră în anul 1981 la IFTAR [1–3].

#### 4.6.6. Laserul cu Ga-As

Primul laser cu semiconductori a fost realizat în 1962 într-o joncțiune *p-n* cu Ga-As. Spre deosebire de alte tipuri de laseri (cu gaz sau solid), în cazul laserului cu semiconductori, nivelele energetice implicate în tranzițiile laser nu mai sînt discrete ci fac parte din benzi energetice bine definite ale structurii materialelor semiconductoare, inversia de populație realizîndu-se „prin injecție”, după cum s-a arătat în § 4.5.6.

Pentru structurile semiconductoare cu joncțiune *p-n* se utilizează cavități optice rezonante de tip Fabry-Pérot (ca și în cazul celorlalte tipuri de laseri cu mediu activ gazos și solid), realizate tehnologic prin clivajul cristalului după două plane paralele situate la extremitatea zonei active, perpendicular pe joncțiune, care servesc ca reflectori. Alte tipuri de diode laser utilizează ca reflectori pereți mesa crescuți prin epitaxie sau în cazul laserilor integrați, reflectori distribuiți în întreaga structură (Bragg).



Parametrii funcționali caracteristici ai unor diode laser cu injecție

Nr. crt.	Materialul semiconductor	Temperatura K	Lungimea de undă (nm)	Funcționare: C-continuu, I-impulsuri	Densitate de curent de prag (kA/cm <sup>2</sup> )
1	GaAs	2	835	C	0,076
	"	77	840	C	0,17
3	"	300	900	I	20
4	"	77	870	C	0,12
5	"	300	900	I	20
6	"	300	900	I	8
7	"	300	890	C	0,94
8	Al <sub>x</sub> Ga <sub>1-x</sub> As	77	638—810	I	1—10
9	"	300			8—50
10	"	300	880	I	253
11	GaP <sub>x</sub> As <sub>1-x</sub>	77	640—850	C	1,1
12	"	300	675	I	250
13	"	77	725,5	I	1
14	In <sub>x</sub> Ga <sub>1-x</sub> As	77	880—920	C	0,9—3
15	"	300	1145	I	70—98
16	InP	77	907	I	2—4
17	InP <sub>1-x</sub> As <sub>x</sub>	77	1602	I	6,4—12
18	Ga <sub>x</sub> In <sub>1-x</sub> P <sub>1-y</sub> As <sub>y</sub>	77	1060	I	0,6
19	GaAs <sub>1-x</sub> Sb <sub>x</sub>	300	980	I	8,5
20	GaSb	78	1550	I	1—5
21	InAs	2,1	3117	C	4,2
22	InSb	2	5300	C	
23	InAs <sub>1-x</sub> Sb <sub>x</sub>	77	3170	I	0,8
24	PbS	77	3960	I	2
25	PbSe	77	6900	I	4—6
26	PbTe	4,2	6500	I	0,5—2
27	Pb <sub>1-x</sub> Se <sub>x</sub> Te	77	10600	I	0,78



Deoarece regiunea de câștig optic ridicat este situată în vecinătatea joncțiunii, radiația laser se va propaga practic în planul joncțiunii (fig. 4.26). Efectul de ghidare al radiației este o consecință a profilului indicelui de refracție al structurii care prezintă salturi pe frontierele zonei active.

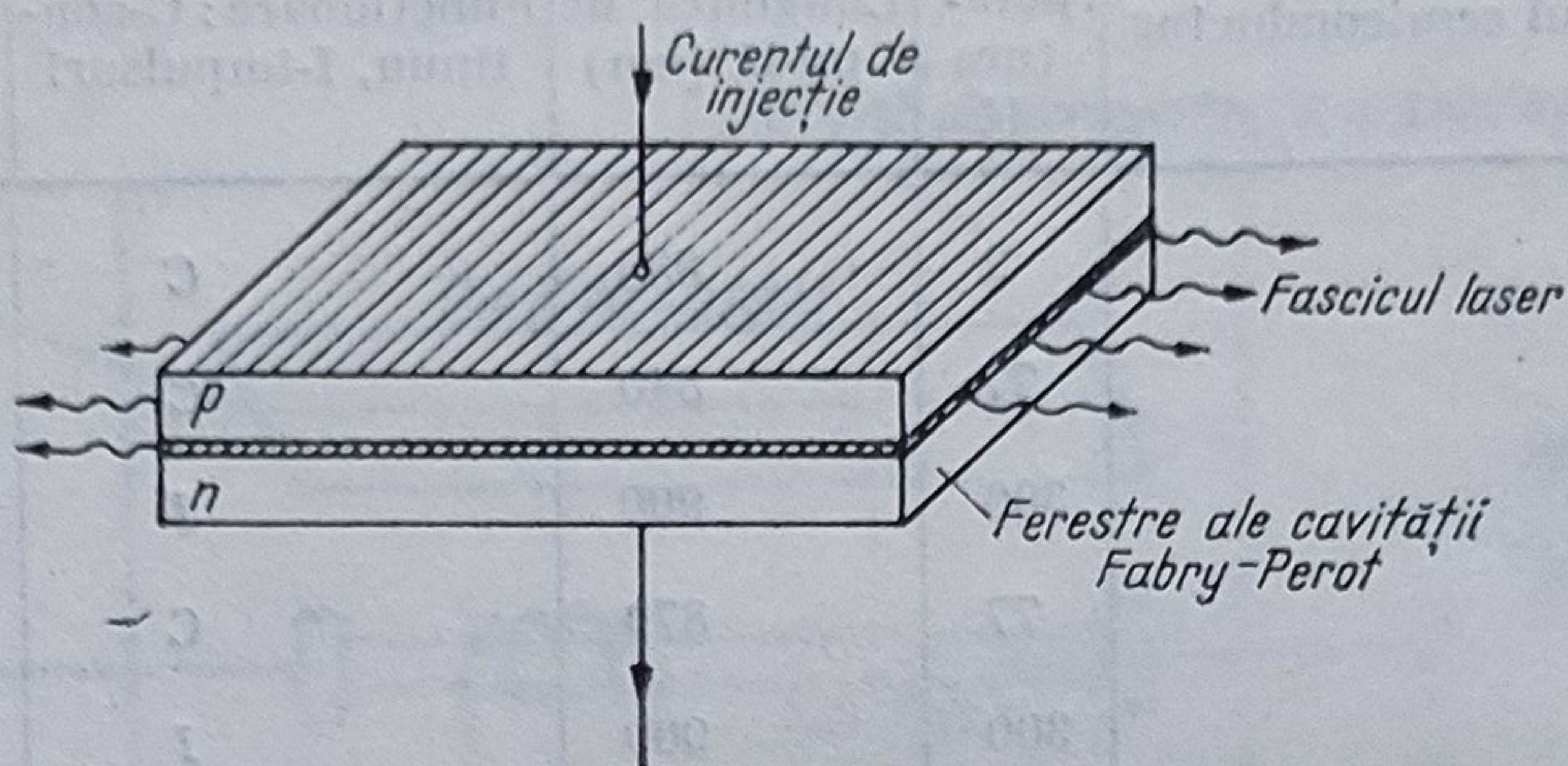


Fig. 4.26

Structurile tipice de diode laser sînt: laserii homojoncțiune, laserii cu heterojoncțiune unilaterală, laserii cu heterojoncțiune bilaterală și laserii cu cavitare optică largă. Spre deosebire de structurile de diode laser homojoncțiune, care sînt realizate cu un singur cristal semiconductor, heterojoncțiunile se obțin prin împreunarea a două cristale semiconductoare cu benzi energetice interzise diferite.

Parametrii funcționali tipici ai unor diode laser sînt prezențați în tabelul 4.2.

Densitățile curentului de prag pentru diferite tipuri de diode laser variază între 0,1 și 10 kA/cm<sup>2</sup> pentru funcționarea continuă și între 1 și 250 kA/cm<sup>2</sup> pentru funcționarea în impulsuri, determinînd dificultăți importante în realizarea acestora, ca urmare a încălzirii lor în timpul funcționării. Diodele laser realizate în prezent lucrează de la temperaturi criogenice pînă la temperatura camerei, furnizînd puteri de zeci de wați în undă continuă și de sute de wați în impuls.

O largă dezvoltare au căpătat-o diodele laser realizate în structuri de tipul  $n\text{Al}_x\text{Ge}_{1-x} - p\text{GaAs} - p\text{Al}_x\text{Ga}_{1-x}\text{As}$ , precum și diodele laser care utilizează alte materiale semiconductoare; InP ( $\lambda = 0,907 \mu\text{m}$ ), GaSb ( $\lambda = 1,550 \mu\text{m}$ ), InSb ( $\lambda = 5,300 \mu\text{m}$ ), PbS ( $\lambda = 3,960 \mu\text{m}$ ) etc.

Spre deosebire de alte tipuri de laseri cu mediu activ solid sau gazos, divergența fasciculului pentru laserii cu semiconductori este mult mai mare (de aproximativ 15° la distanță mare de sursă).

Mai trebuie remarcată, de asemenea, variația puternică a frecvenței liniei emise cu temperatura care poate atinge cîțiva Å/K. Principalele aplicații ale diodelor laser sînt comunicațiile optice, telemetria, prelucrarea informației în circuitele de optică integrată etc.

#### 4.6.7. Laserii cu electroni liberi

Emisia stimulată a radiației de către fascicule relativiste de electroni, aflate în cîmp magnetic transversal, periodic spațial, a fost evidențiată experimental de către J. Madey ș.a. în 1976 [392].



Realizarea pe acest principiu a dispozitivelor *laser cu electroni liberi* este prezentată schematic în fig. 4.27. Radiația care se propagă odată cu fasciculul electronic în regiunea cîmpului magnetic poate fi amplificată

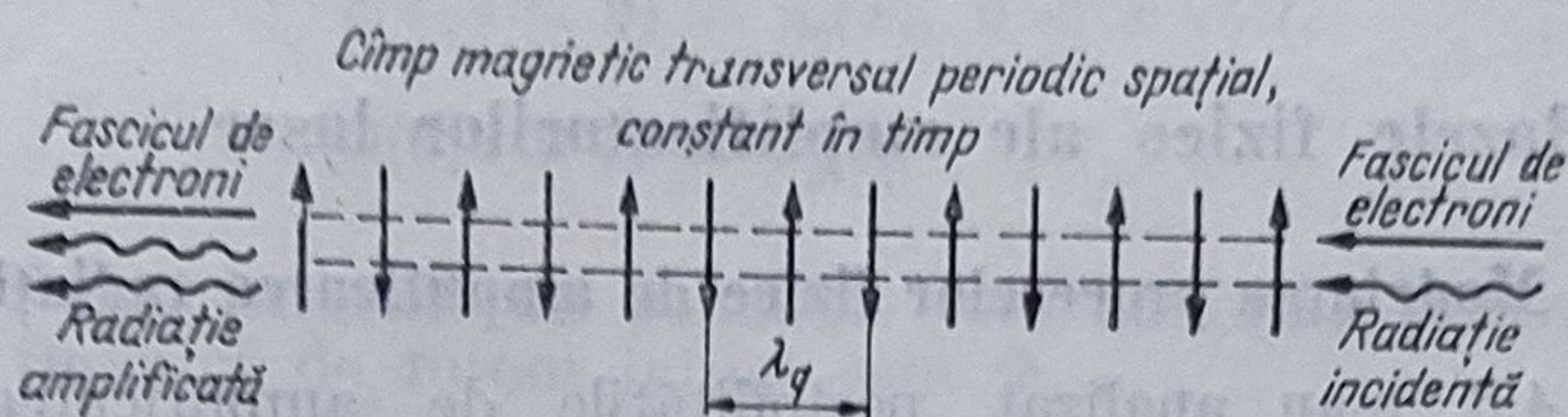


Fig. 4.27

sau absorbită, funcție de relația dintre lungimea de undă a acesteia energia electronilor, perioada spațială și tăria cîmpului magnetic.

Dacă se definește *energia de rezonanță* prin energia care maximizează emisia spontană, se constată că amplificarea radiației se produce pentru energii ale electronilor, avînd valori mai mari decît energia de rezonanță și apropiate de aceasta. Pentru energii ale electronilor avînd valori situate sub energia de rezonanță se produce absorbția radiației.

Dispozitivele de amplificare a radiației cu electroni liberi pot funcționa și ca oscilatoare dacă regiunea de interacție face parte dintr-o *cavitate optică rezonantă* (fig. 4.82).

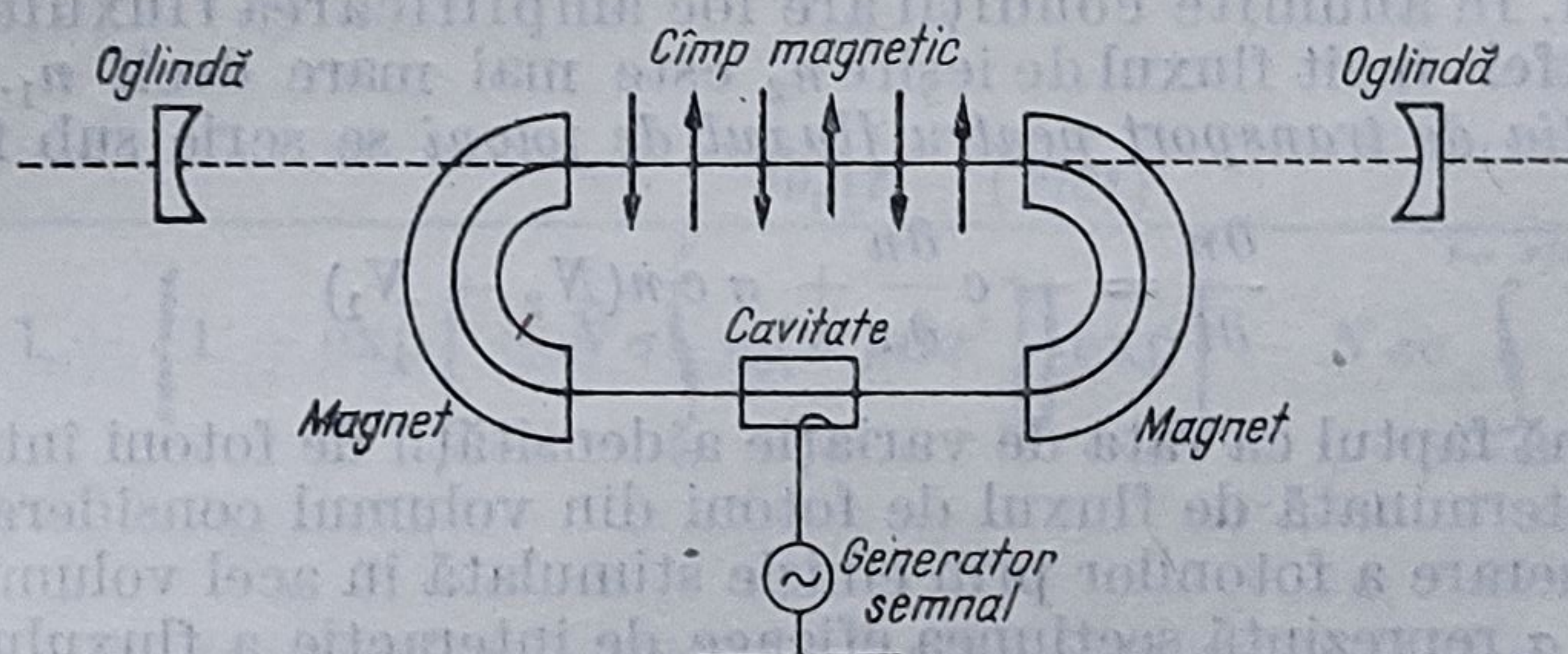


Fig. 4.28

Performanțele laserilor cu electroni liberi sînt determinate de gama largă de lungimi de undă de operare (de la undele milimetrice pînă în ultravioletul îndepărtat), puterile ridicate de ordinul gigawaților, eficiența foarte bună, acordabilitatea acestora. Analiza teoretică riguroasă a interacțiilor specifice laserilor cu electroni liberi este posibilă cu ajutorul formalismelor electrodinamicii cuantice.

În regimul de operare de semnal mic, se poate estima cîștigul pe baza teoriei cuantice în aproximația Weisszäcker-Williams. Conform acestei aproximații, cîmpul magnetic static cu perioada spațială  $\lambda_q$  poate fi simulat cu o undă electromagnetică incidentă avînd lungimea de undă  $\lambda_i = (1 + v/c)\lambda_q$ , care se propagă în sens invers în raport cu fasciculul de electroni pe care difuzează (difuzie stimulată). Se poate arăta că rezultatele aplicării electrodinamicii clasice concordă cu cele ale analizei cuantice de semnal mic. (Analiza clasică se bazează pe ipoteza că amplitudinea și faza cîmpului în regiunea de interacție pot fi fixate pe baza cunoașterii condițiilor inițiale, ipoteză inconsistentă cu teoria cuantică).

Alte modele cuantice utilizează aproximația de „cîmp haotic” conform căreia emisia și absorbția radiației sînt evenimente independente



statistic. Astfel de modele estimează corect numărul mediu de fotoni emiși, fluctuațiile și efectele de saturație. Regimul de semnal mare poate fi analizat pe baza modelului *ecuațiilor Bloch generalizate*.

## 4.7. Bazele fizice ale amplificatorilor laser

### 4.7.1. Modelarea proceselor fizice de amplificarea radiației

În § 4.3. s-au analizat posibilitățile de amplificarea radiației, precum și cele de oscilație ale dispozitivelor laser pe baza ecuațiilor cuplate de amplitudine, stabilite în cazul undelor progresive respectiv în cazul câmpului din cavitățile rezonante.

Un studiu mai complet al proceselor fizice de amplificarea a radiației se va face în cele ce urmează, utilizându-se ecuația ratelor pentru inversia de populație, ecuația de transport pentru densitatea de fotoni și condițiile la limită corespunzătoare problemelor de tip amplificator.

Fie un mediu atomic cu două nivele având densitățile de populații  $N_1$  și  $N_2$  pe nivelele laser implicate ( $N_1 + N_2 = N_0$ ), astfel încât  $N = N_2 - N_1$  reprezintă inversia de populație creată prin pompaj. Un flux de fotoni coerent, obținut de la un oscilator laser, având densitatea  $n_1$  străbate mediul laser activ considerat mai sus și produce emisia stimulată a radiației. În anumite condiții are loc amplificarea fluxului de fotoni incident astfel încât fluxul de ieșire  $n_2$  este mai mare decât  $n_1$ .

*Ecuația de transport pentru fluxul de fotoni* se scrie sub forma

$$\frac{\partial n}{\partial t} = -c \frac{\partial n}{\partial x} + \sigma c n (N_2 - N_1) \quad (4.189)$$

care exprimă faptul că rata de variație a densității de fotoni într-un volum dat este determinată de fluxul de fotoni din volumul considerat plus rata netă de generare a fotonilor prin emisie stimulată în acel volum. În relația de mai sus  $\sigma$  reprezintă secțiunea eficace de interacție a fluxului de fotoni cu un atom, pentru emisia stimulată, iar  $c$  este viteza luminii.

O altă formă a ecuației de transport (4.189) se obține dacă se definește variabila  $\Phi = \frac{2n}{V_0}$  care semnifică dublul densității de fotoni pe atom

$$\frac{\partial \Phi}{\partial t} = -c \frac{\partial \Phi}{\partial x} + N \sigma c \Phi \eta \quad (4.190)$$

unde prin  $\eta$  s-a definit *inversia de populație relativă*:  $\eta = \frac{N_2 - N_1}{N_0}$ .

Ținându-se seama de dinamica populațiilor  $N_1$  și  $N_2$  se obține ecuația ratelor pentru inversia de populație sub forma

$$\frac{\partial}{\partial t} (N_2 - N_1) = -N_0 \sigma c \Phi \eta \quad (4.191)$$

Ecuațiile (4.190) și (4.191) trebuie completate cu condițiile la limită corespunzătoare. Întrucât în continuare se va analiza amplificarea impulsurilor de radiație, atât acestea cât și inversia de populație vor fi definite la momentul când fasciculul optic intră în amplificator ( $t = 0$ ) și în punctul



$x = 0$ , lungimea mediului amplificator fiind  $L$ . Prin urmare, se poate scrie

$$\begin{aligned}\eta(x, t < 0) &= \eta_0(x), \quad 0 < x < L \\ \Phi(0, t > 0) &= \Phi_0(t),\end{aligned}\tag{4.192}$$

adică distribuția inversiei de populație este uniformă pentru  $t < 0$ , iar densitatea fluxului de fotoni inițial este  $\Phi_0$ .

Deși sistemul de ecuații (4.190) și (4.194) este neliniar, rezolvarea sa este posibilă prin metoda separării variabilelor [518]. Se obțin soluțiile

$$\eta(x, t) = \frac{\eta_0(x) \exp \left[ -N\sigma \int_0^\infty \eta_0(x') dx' \right]}{\exp \left[ N\sigma c \int_{-\infty}^{t-x/c} \Phi_0(t') dt' \right] + \exp \left[ -N\sigma \int_0^x \eta_0(x') dx' \right] - 1}\tag{4.193}$$

și

$$\Phi(x, t) = \frac{\Phi_0[t - (x/c)]}{1 - \left\{ 1 - \exp \left[ -N\sigma \int_0^x \eta_0(x') dx' \right] \right\} \exp \left[ -N\sigma c \int_{-\infty}^{t-x/c} \Phi_0(t') dt' \right]}\tag{4.194}$$

care reprezintă inversia de populație relativă respectiv densitatea de fotoni relativă în punctul  $x$  la momentul  $t$ , după intrarea impulsului de radiație în mediul amplificator.

#### 4.7.2. Amplificarea impulsurilor coerente

Pentru prezentarea particularităților de amplificare a impulsurilor coerente se consideră cazul tipic al unui impuls dreptunghiular, de durată  $\tau_0$  și densitate de fotoni  $n_0$

$$\Phi_0(t) = \begin{cases} \frac{2n_0}{N_0} = \left( \frac{2}{N_0 c} \right) I_0 = \text{const.}, & \text{pentru } 0 < t < \tau_0 \\ 0, & t < 0, t > \tau_0, \end{cases}\tag{4.195}$$

unde  $I_0 = n_0 c$  reprezintă intensitatea fascicului de fotoni, adică numărul de fotoni incident în unitatea de timp, pe unitatea de arie, la momentul  $t = 0$ .



Intensitatea impulsului la ieșirea din mediul amplificator de lungime  $L$ , notată cu  $I_L(t) = I[L, t - (x/c)]$ , se calculează prin integrarea ecuației (4.194)) ținându-se seama de relația (4.195). Se obține expresia generală

$$I(x, t) = \frac{I_0}{1 - [1 - \exp(-\sigma\eta_0 N_0 x)] \exp\{-2\sigma I_0[t - (x/c)]\}} \quad (4.196)$$

care permite calculul cîștigului în putere pe tranzit al amplificatorului  $G_P$

$$G_P = \frac{I(L, t)}{I_0} = \frac{1}{1 - [1 - \exp(-\sigma\eta_0 N_0 L)] \exp\{-2\sigma I_0[t - (L/c)]\}} \quad (4.197)$$

Dependența de timp a cîștigului se explică prin depopularea nivelului laser superior de către partea anterioară a impulsului astfel încît pentru restul impulsului mediul prezintă o inversie mai scăzută.

Un alt parametru caracteristic al amplificatorului laser este *cîștigul energetic total* definit astfel

$$G_E = \frac{\int_{-\infty}^{+\infty} I(L, t) dt}{\int_{-\infty}^{+\infty} I(0, t) dt} \quad (4.198)$$

Din calcul rezultă pentru impulsul dreptunghiular expresia

$$G_E = \frac{1}{2\sigma I_0 \tau_0} \ln \{1 + [\exp(2\sigma I_0 \tau_0) - 1] \exp(\sigma\eta_0 N_0 L)\} \quad (4.199)$$

În figura 4.27 se prezintă calitativ dependența cîștigului în putere  $G_P$  funcție de timpul relativ  $t'/\tau_0$  care specifică diferite porțiuni ale impulsului, iar în figura 4.28 se prezintă dependența  $G_P$  funcție de lungimea relativă pentru diferite porțiuni ale impulsului: (1) — frontul anterior; (2) — porțiunea centrală; (3) — frontul posterior.

Dependența cîștigului în putere  $G_P$  funcție de numărul total de fotoni în amplificator este prezentată pentru diferite lungimi ale acestuia în figura 4.29. Se constată scăderea cîștigului cu creșterea numărului de fotoni ca urmare a scăderii inversiei de populație, devenind egal cu unitatea pentru valori ridicate ale lui  $n_{total}$ , indiferent de lungimea amplificatorului.

În ceea ce privește expresia (4.199) a cîștigului energetic se constată următoarele:

- pentru impulsuri extrem de scurte  $[(2\sigma I_0 \tau_0) \ll 1]$ :

$$G_E = \exp(\sigma\eta_0 N_0 L) = \exp\left(\frac{L}{L_0}\right), \quad (4.200)$$

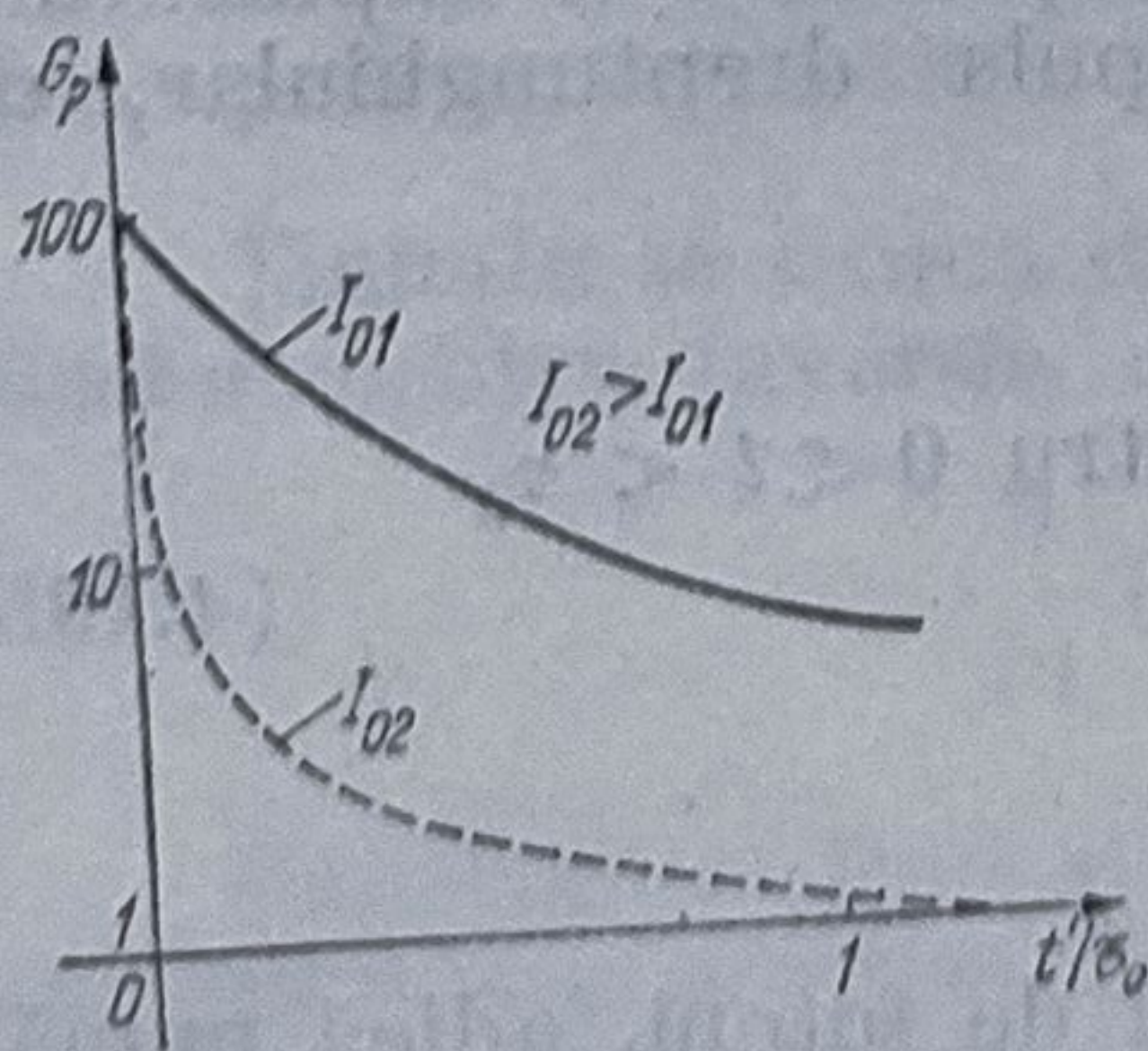


Fig. 4.27



adică se obține o creștere exponențială a câștigului cu lungimea mediului amplificator;

— pentru impulsuri de intensitate mare [ $\exp(2\tau_0 I_0 \sigma) \gg 1$ ]:

$$G_E = 1 + \frac{\eta_0 N_0 L}{2I_0 \tau_0}. \quad (4.201)$$

adică câștigul crește liniar cu lungimea mediului amplificator;

— pentru impulsuri moderate, dar lungimi mari ale mediului amplificator apare o comportare combinată, caracterizată de câștiguri exponențiale în regiunea inițială și câștiguri liniare în regiunea finală a amplificatorului.

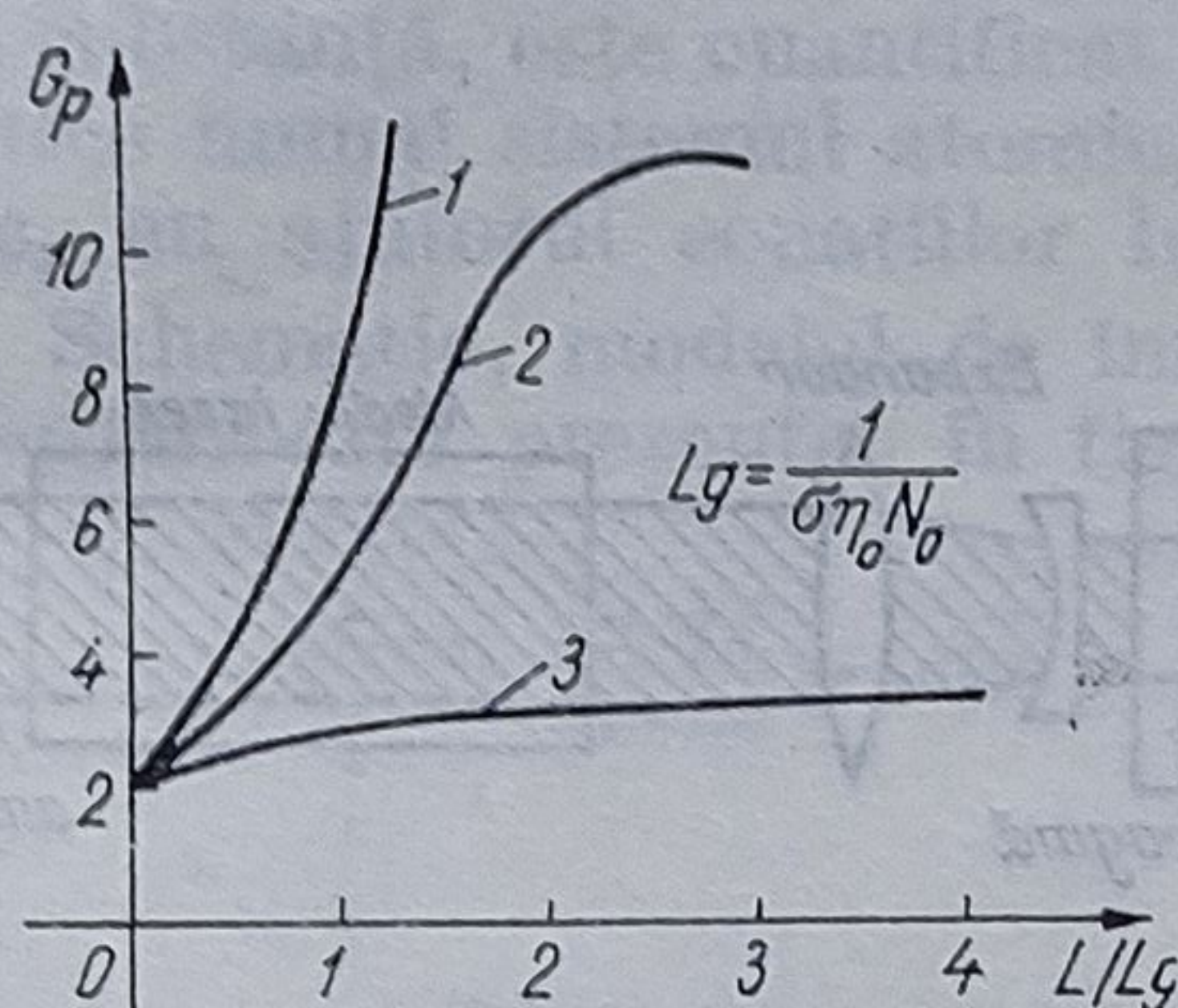


Fig. 4.28

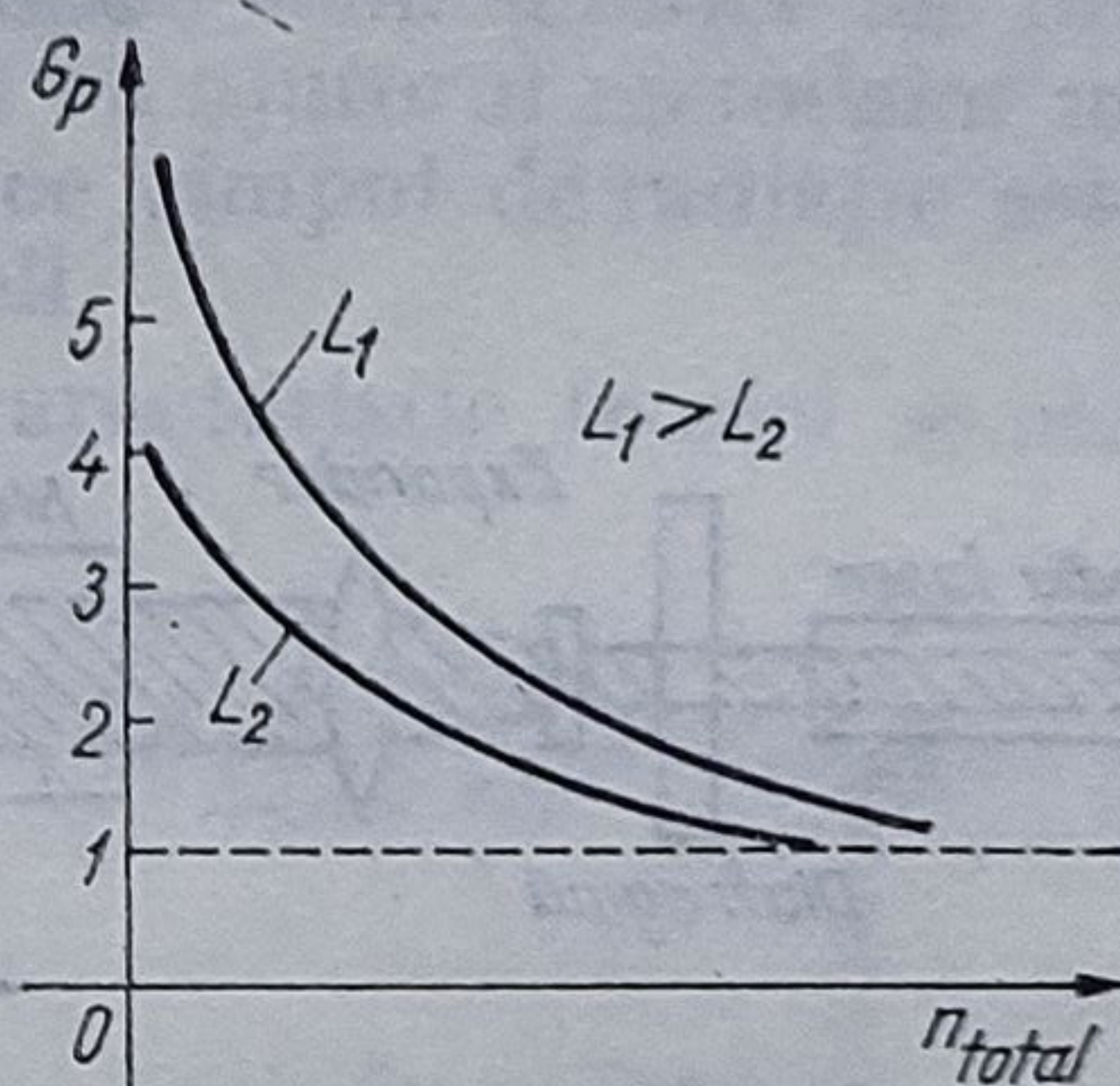


Fig. 4.29

*Observație.* Alte cazuri care prezintă interes, larg studiate în literatura de specialitate sînt cele ale impulsurilor de tip  $\delta$  ale lui Dirac sau cele ale impulsurilor lorentziene. În fiecare situație parametrii de control ai amplificării sînt: lungimea mediului amplificator, inversia de populație, intensitatea și durata impulsului etc.

Lărgimea de bandă a amplificatorului se determină din studiul variației secțiunii eficace de absorbție cu frecvența radiației ținîndu-se seama de intensitatea impulsului incident.

#### 4.7.3. Tipuri de amplificatori laser

Schema de principiu a unui amplificator laser este prezentată în fig. 4.30.

În figura 4.31 se prezintă schematic un amplificator laser cu mai multe etaje cu o singură trecere, în figura 4.32 se prezintă un amplificator laser cu mai multe treceri, iar în figura 4.33 un amplificator laser regenerativ (cu reacție pozitivă). Alte sisteme laser amplificatoare sînt cele cu comutarea câștigului. [228]



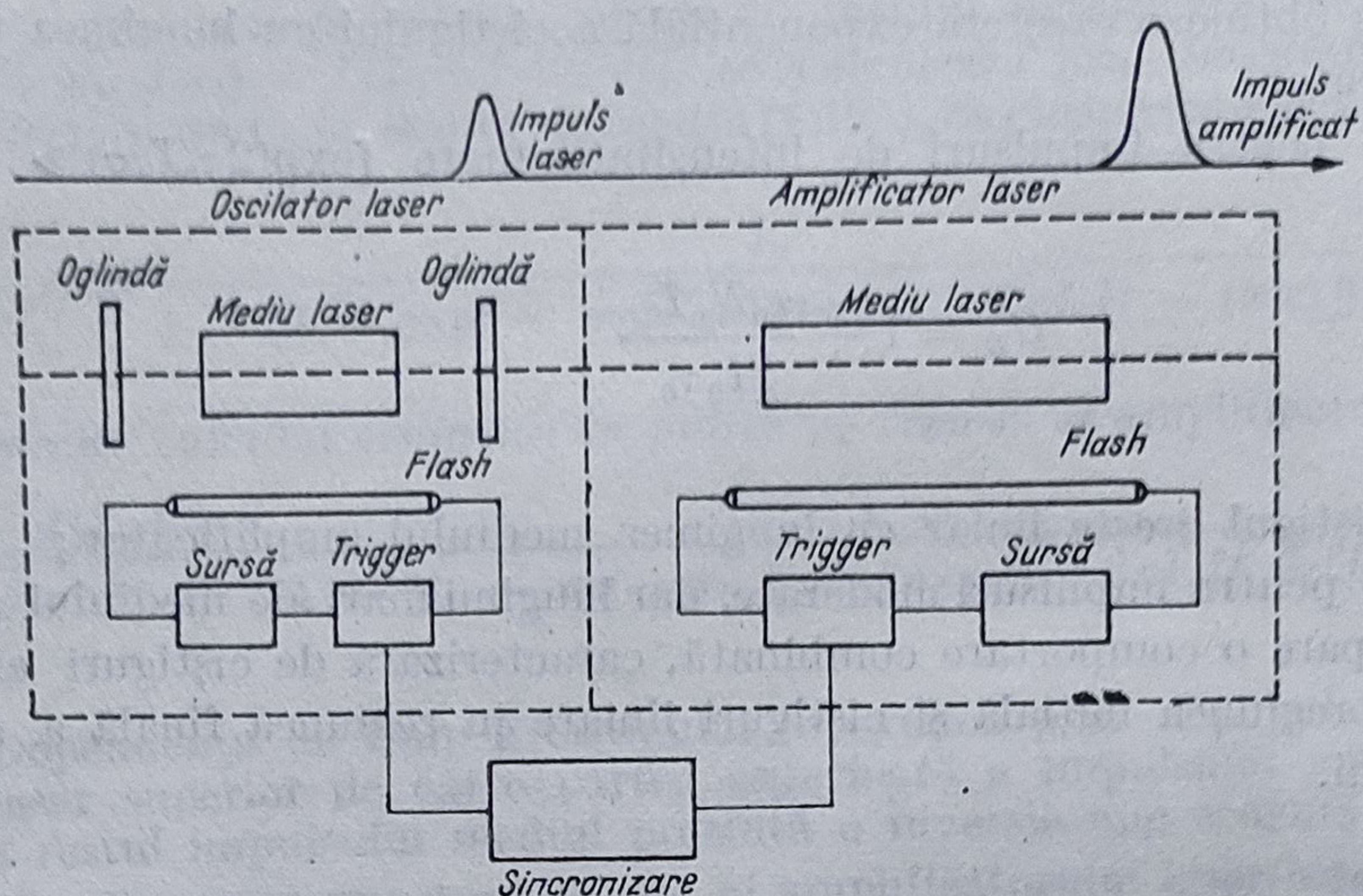


Fig. 4.30

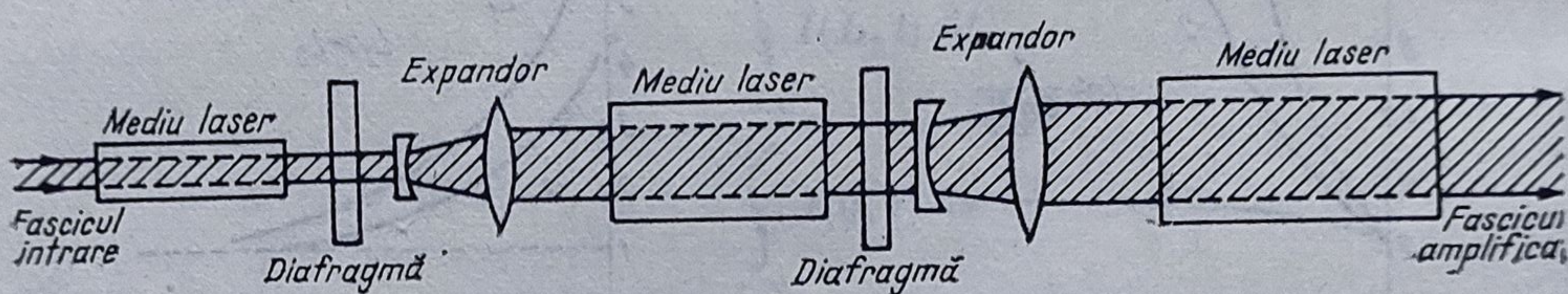


Fig. 4.31

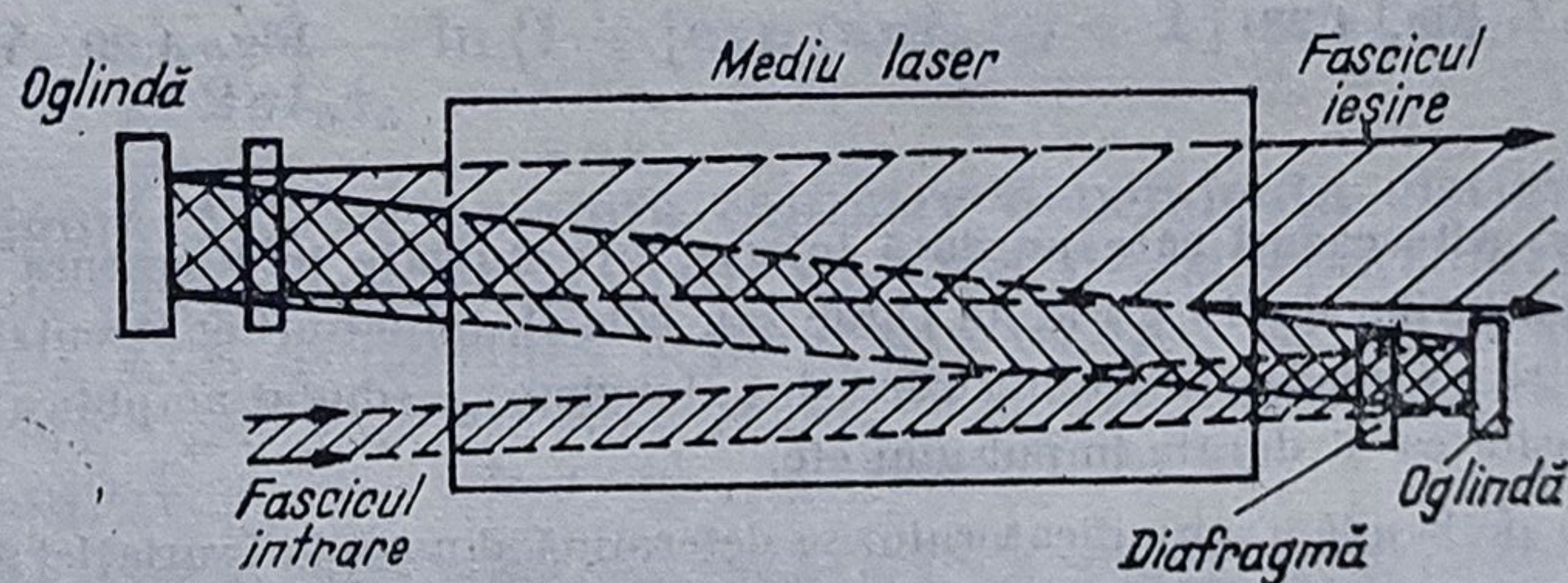


Fig. 4.32

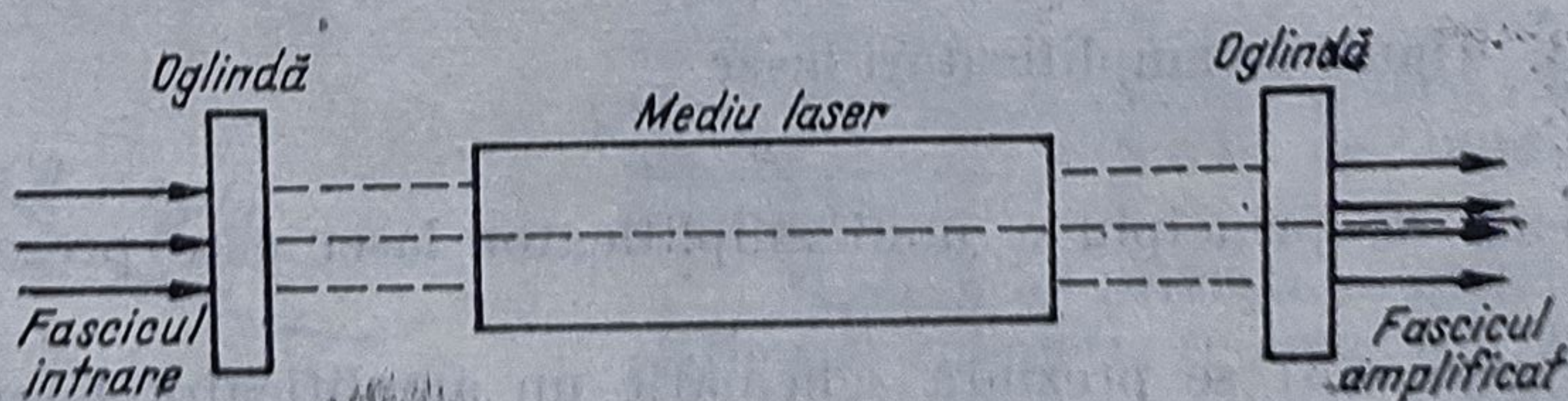


Fig. 4.33

Rezultatele deosebite privind studiul și realizarea amplificatorilor laser de putere la noi în țară sînt prezentate în lucrările [1—4].



## 5. TEORIA SEMICUANTICĂ A LASERILOR

### 5.1. Introducere

După cum s-a mai menționat, în teoriile semicuantice ale interacției câmp-substanță, este cuantificat și studiat cu ajutorul metodelor mecanicii cuantice numai sistemul atomic, în timp ce câmpul de radiație este tratat clasic, cu ajutorul ecuațiilor lui Maxwell.

Schematic, modelul de interacție caracteristic teoriei semicuantice a laserilor este prezentat în figura 5.1.

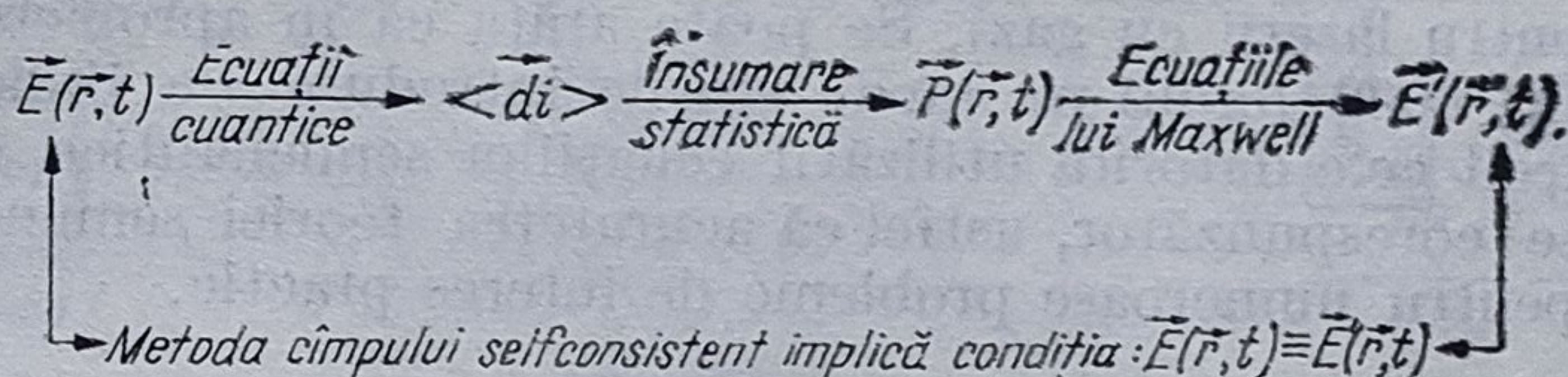


Fig. 5.1

Conform schemei, câmpul electric  $\vec{E}$  din cavitatea rezonantă induce momente de dipol electric microscopice  $\vec{d}_i$  pentru atomii mediului activ aflați de asemenea în cavitate, conform legilor mecanicii cuantice. În continuare, cu ajutorul formalismului matricei densitate se face o însumare statistică peste momentele de dipol electric microscopice obținându-se polarizarea macroscopică  $\vec{P}(\vec{r}, t)$ . Polarizarea macroscopică  $\vec{P}(\vec{r}, t)$  acționează ca o sursă în ecuațiile lui Maxwell din care se obține câmpul electric rezultat  $\vec{E}'(\vec{r}, t)$ , care din cerințe de selfconsistență trebuie să satisfacă condiția  $\vec{E}'(\vec{r}, t) \equiv \vec{E}(\vec{r}, t)$ .

Această condiție înseamnă că radiația indusă a fiecărui atom se datorește câmpului mediu produs de toți atomii.

Un astfel de model semicuantic a fost dezvoltat de Lamb [86]. Deși rezultatele teoriei semicuantice sînt remarcabile (tabelul 4.1), o serie de probleme, cum ar fi lărgimea liniei laser, amorsarea oscilației din vid (în absența câmpului de radiație) și statisticile de fotoni, necesită o tratare complet cuantică a laserilor în care atât sistemul atomic, cît și câmpul de radiație sînt cuantificate.

Toate aceste probleme sînt corelate cu fenomenele de emisie spontană care joacă în dispozitivele laser rolul unor surse de zgomot. Prin urmare,



în teoriile semicuantice zgomotul se neglijează sau, în unele tratări, se introduce artificial, astfel că în absența zgomotului radiația laserului monomod este perfect monocromatică.

Totuși, teoria semicuantică modelează mai complet fenomenele laser în raport cu teoria termodinamică a ratelor chiar atunci cînd ecuațiile ratelor nu sînt stabilite fenomenologic, ci tot cu ajutorul matricei densitate.

Raportul dintre teoriile semicuantică și cuantică poate fi evidențiat mai pregnant, corelat cu proprietățile statistice ale cîmpului de radiație. La studiul coerenței (cap. 2) s-a arătat că proprietățile statistice ale radiației laser diferă esențial de cele ale radiației termice. Astfel statisticile de fotodetecție sînt de tip Bose-Einstein pentru radiația termică și Poisson pentru radiația laser. Această diferență este evidențiată ușor în vecinătatea pragului de oscilație, *tranziția de fază* corespunzătoare pragului însemnînd de fapt tranziția de la intensități relative ale fluctuațiilor ridicate (sub prag) la intensități relative ale fluctuațiilor scăzute (peste prag).

În general, studiul proprietăților statistice ale radiației este dificil datorită atît caracterului nelinier al ecuațiilor în prezența zgomotului, cît și datorită naturii cuantice a zgomotului, deci intervine atît caracterul nelinier, cît și aspectul cuantic al proceselor corespunzătoare.

În numeroase tratări ale laserilor se procedează la liniarizarea ecuațiilor, erorile introduse de aceasta fiind, funcție de regimurile de operare ale laserului (tabelul 5.1), specificate prin numărul de fotoni pe mod (pentru laserii cu gaz). Se poate arăta că în apropierea pragului (aproximativ 4000 fotoni pe mod) erorile introduse de liniarizare sînt mai mici decît cele datorită utilizării ecuațiilor semicuantice, cu surse de zgomot alese corespunzător, astfel că acuratețea teoriei semicuantice este suficientă pentru numeroase probleme de interes practic.

Tabelul 5.1

Numărul de fotoni pe mod	10	$10^2 - 10^3$	$10^4$	$10^5 - 10^{13}$	$10^{14} - 10^{15}$
Regimul de operare	Mult sub prag	În apropierea pragului	La prag	Mult peste prag	Departe de prag
Posibilități de liniarizare	Liniarizarea posibilă	Tratare neliniară	Tratare cvasiliniară		

Eliminarea adiabatică a variabilelor atomice este posibilă în jurul pragului, pentru regimuri de operare între  $10^2$  și  $10^8$  fotoni pe mod, ecuația van der Pol fiind, de asemenea, valabilă pe acest interval de lucru.

Din cele prezentate mai sus rezultă că teoria semicuantică implică neglijarea caracterului de operator al cîmpurilor de radiație în scrierea ecuațiilor de interacție.

Trebuie avut în vedere și faptul că sistemul laser reprezintă un sistem termodinamic deschis, departe de echilibrul termic.

## 5.2. Ecuațiile semicuantice pentru un mediu atomic cu două nivele cu lărgire omogenă

### 5.2.1. Modelul semicuantic al laserului

Modelul general de analiză al unui laser cu două nivele conform teoriei semicuantice este prezentat schematic în fig. 5.2.



După ce rezultă din figură, fiecare atom activ este cuplat cu propriile sale rezervoare de câștig și de pierderi, interacția dintre atomi realizându-se numai prin intermediul câmpului de radiație (densitatea atomilor activi fiind scăzută). Rezervoarele de câștig sînt determinate de mecanismele de pompaj pe cînd cele de pierderi sînt determinate de procesele de amortizare (tranziții neradiative etc.).

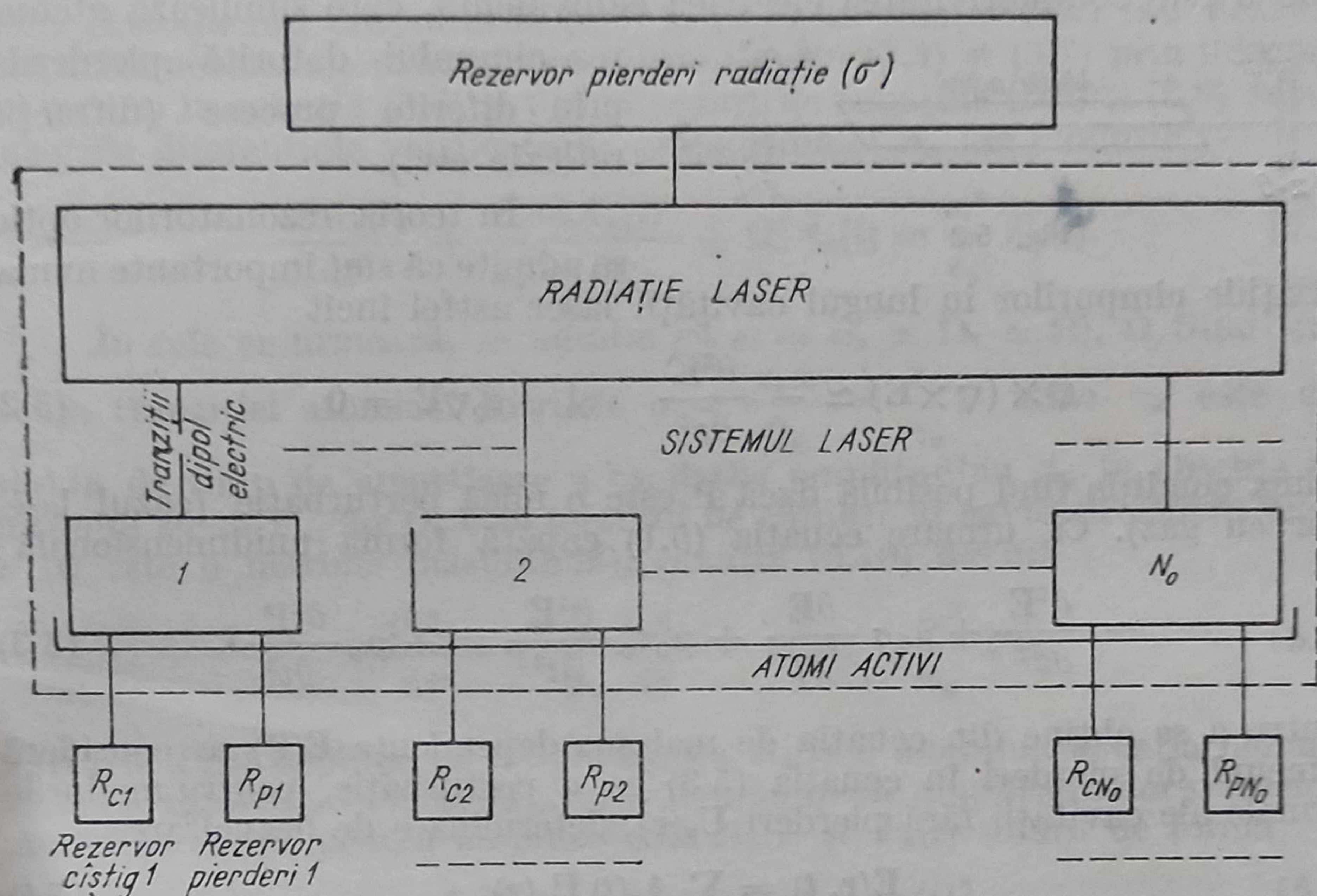


Fig. 5.2.

Rezervorul de pierderi pentru radiație ia în considerare toate sursele de pierderi de acessteia (transmisie, difracție, împrăștiere etc.).

Principalele ipoteze utilizate în elaborarea modelului semicuantic sînt următoarele:

- se presupune că mediul atomic activ are numai două stări energetice (fig. 1.6) ca urmare a faptului că frecvența radiației modului laser este apropiată de frecvența tranziției (pentru mediile atomice cu mai multe nivele implicate în pompaj și în pierderi, câmpul laser este presupus cuplat numai cu nivelele  $a$  și  $b$ );

- se lucrează în aproximația de dipol electric, fapt justificat de lungimea de undă optică mult mai mare decît dimensiunile atomice;

- se folosește *aproximația undei rotitoare*, adică în expresiile de tipul (1.4) se neglijează termenul antirezonant în comparație cu cel rezonant, întrucît frecvența de oscilație a modului  $\omega_n$  este apropiată de frecvența tranziției  $\Omega$  ( $\Omega - \omega_n \lesssim \gamma$  pe cînd  $\Omega + \omega_n \gg \gamma$ ).

### 5.2.2. Ecuațiile pentru amplitudinile și frecvențele modurilor de oscilație

Din ecuațiile lui Maxwell care descriu câmpul electromagnetic din cavitatea laser (fig. 5.3) rezultă că polarizarea macroscopică a mediului



După cum rezultă din figură, fiecare atom activ este cuplat cu propriile sale rezervoare de câștig și de pierderi, interacția dintre atomi realizându-se numai prin intermediul câmpului de radiație (densitatea atomilor activi fiind scăzută). Rezervoarele de câștig sînt determinate de mecanismele de pompaj pe cînd cele de pierderi sînt determinate de procesele de amortizare (tranziții neradiative etc.).

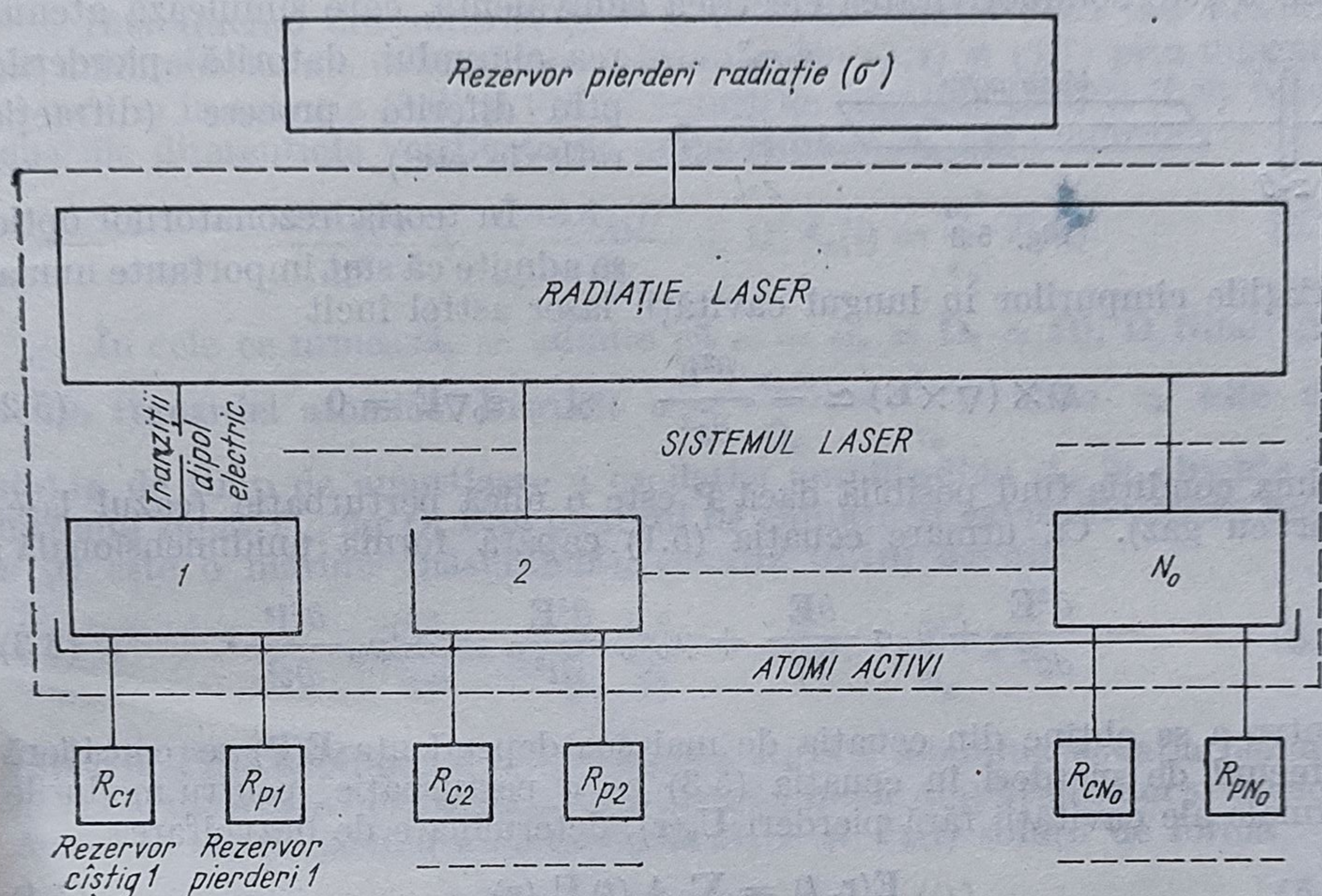


Fig. 5.2.

Rezervorul de pierderi pentru radiație ia în considerare toate sursele de pierderi de acest tip (transmisie, difracție, împrăștiere etc.).

Principalele ipoteze utilizate în elaborarea modelului semicuantic sînt următoarele :

- se presupune că mediul atomic activ are numai două stări energetice (fig. 1.6) ca urmare a faptului că frecvența radiației modului laser este apropiată de frecvența tranziției (pentru mediile atomice cu mai multe nivele implicate în pompaj și în pierderi, câmpul laser este presupus cuplat numai cu nivelele  $a$  și  $b$ );

- se lucrează în aproximația de dipol electric, fapt justificat de lungimea de undă optică mult mai mare decît dimensiunile atomice;

- se folosește aproximația undei rotitoare, adică în expresiile de tipul (1.4) se neglijează termenul antirezonanant în comparație cu cel rezonanant, întrucît frecvența de oscilație a modului  $\omega_n$  este apropiată de frecvența tranziției  $\Omega$  ( $\Omega - \omega_n \lesssim \gamma$  pe cînd  $\Omega + \omega_n \gg \gamma$ ).

### 5.2.2. Ecuațiile pentru amplitudinile și frecvențele modurilor de oscilație

Din ecuațiile lui Maxwell care descriu câmpul electromagnetic din cavitatea laser (fig. 5.3) rezultă că polarizarea macroscopică a mediului



activ  $\mathbf{P}(\mathbf{r}, t)$  este corelată cu câmpul electric din cavitate  $\mathbf{E}(\mathbf{r}, t)$  prin ecuația de propagare

$$\nabla \times (\nabla \times \mathbf{E}) + \mu_0 \sigma \frac{\partial \mathbf{E}}{\partial t} + \mu_0 \epsilon_0 \frac{\partial^2 \mathbf{E}}{\partial t^2} = -\mu_0 \frac{\partial^2 \mathbf{P}}{\partial t^2} \quad (5.1)$$

unde  $\sigma$  este conductivitatea electrică echivalentă, care simulează atenuarea câmpului datorită pierderilor prin diferite procese (difracție, reflexie etc.).

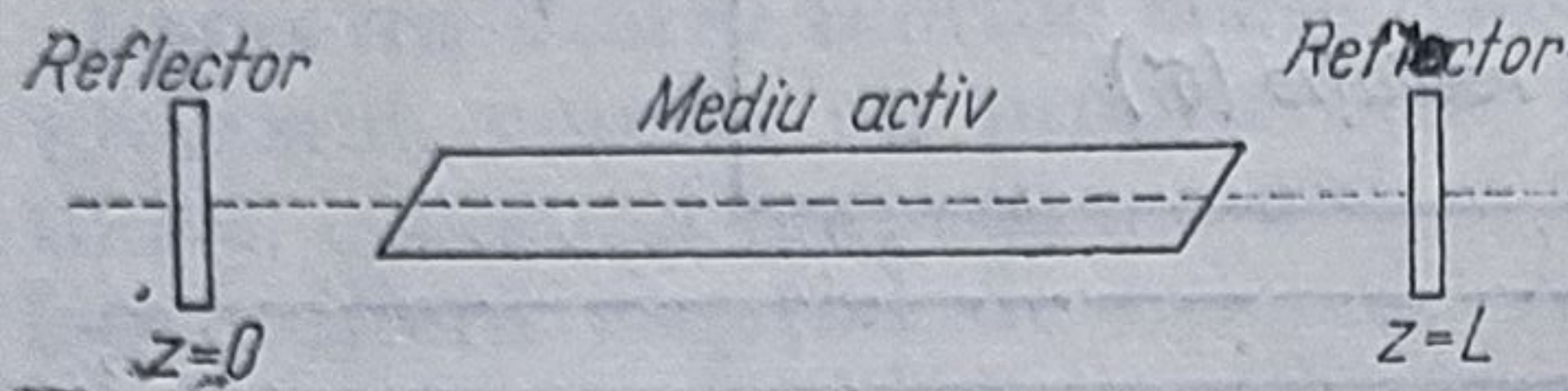


Fig. 5.3

În teoria rezonatorilor optici se admite că sînt importante numai variațiile câmpurilor în lungul cavității laser astfel încît

$$\nabla \times (\nabla \times \mathbf{E}) \simeq -\frac{\partial^2 \mathbf{E}}{\partial z^2} \quad \text{și} \quad \epsilon_0 \nabla \mathbf{E} = 0 \quad (5.2)$$

ultima condiție fiind posibilă dacă  $\mathbf{P}$  este o mică perturbație (cazul laserelor cu gaz). Ca urmare ecuația (5.1) capătă forma unidimensională:

$$-\frac{\partial^2 \mathbf{E}}{\partial z^2} + \mu_0 \sigma \frac{\partial \mathbf{E}}{\partial t} + \mu_0 \epsilon_0 \frac{\partial^2 \mathbf{E}}{\partial t^2} = -\mu_0 \frac{\partial^2 \mathbf{P}}{\partial t^2}. \quad (5.3)$$

Pentru a se obține din ecuația de mai sus dependența  $\mathbf{E}(\mathbf{P})$  se consideră termenul de pierderi în ecuația (5.3) ca o perturbație, pentru modurile normale ale cavității fără pierderi  $\mathbf{U}_n(\mathbf{r})$ , determinate de dezvoltarea

$$\mathbf{E}(\mathbf{r}, t) = \sum_n A_n(t) \mathbf{U}_n(\mathbf{r}) \quad (5.4)$$

unde  $\mathbf{U}_n(\mathbf{r})$  verifică ecuația

$$\nabla \times (\nabla \times \mathbf{U}_n(\mathbf{r})) - \mu_0 \epsilon_0 \Omega_n^2 \mathbf{U}_n(\mathbf{r}) = 0 \quad (5.5)$$

și condițiile la limită ale cavității.

În ecuația de mai sus  $\Omega_n$  este frecvența proprie a modurilor cavității, vectorul de undă corespunzător fiind  $|\mathbf{K}_n| = \frac{\Omega_n}{c} = \frac{n\pi}{L}$ , astfel că

$$U_n(z) = \sqrt{\frac{2}{L}} \sin K_n z = \sqrt{\frac{2}{L}} \sin \frac{n\pi z}{L} \quad (n = 1, 2, \dots). \quad (5.6)$$

Pentru a se separa partea spațială de partea temporală și în expresia polarizării se consideră dezvoltarea

$$\mathbf{P}(\mathbf{r}, t) = \sum_n P_n(t) \mathbf{U}_n(\mathbf{r}) \quad (5.7)$$

unde componentele Fourier ale polarizării sînt date de expresia

$$P_n(t) = \frac{\int \mathbf{P}(\mathbf{r}, t) \mathbf{U}_n(\mathbf{r}) d^3r}{\int |\mathbf{U}_n(\mathbf{r})| d^3r}. \quad (5.8)$$



adică  $P_n$  este determinat de proiecția termenului sursă  $\mathbf{P}(\mathbf{r}, t)$  pe modul  $n$ . Întrucît cîmpul laser este practic monocromatic se poate scrie

$$\frac{\partial^2 \mathbf{P}}{\partial t^2} = -\omega^2 \mathbf{P} \quad (5.9)$$

unde frecvența de oscilație a polarizării  $\omega$  va fi identificată cu aceea a cîmpului laser  $\omega_n$ .

Introducînd dezvoltările (5.4) și (5.7) în ecuația (5.1) sau dezvoltările unidimensionale echivalente (obținute din (5.4) și (5.7) prin înlocuirea lui  $\mathbf{r}$  cu  $z$ ) în ecuația (5.3) și ținînd seama de ecuațiile (5.5) și (5.9) rezultă ecuațiile diferențiale verificate de amplitudinile  $A_n$  ale modurilor

$$\frac{d^2 A_n(t)}{dt^2} + \frac{\sigma}{\epsilon_0} \frac{dA_n(t)}{dt} + \Omega_n^2 A_n(t) = \frac{\omega^2}{\epsilon_0} P_n(t). \quad (5.10)$$

În cele ce urmează, se admite că  $\omega = \omega_n \simeq \Omega_n \simeq \Omega$ ,  $\Omega$  fiind frecvența tranziției atomice. Întrucît  $\sigma = \frac{\epsilon_0 \omega}{Q_n} = \frac{\epsilon_0}{\tau_n}$ , unde  $\tau_n$  este constanta de timp de amortizare a oscilației amplitudinii  $A_n$  în absența termenului sursă  $P_n$ , iar  $Q_n$  este factorul de calitate al cavității pentru modul  $n$  ( $Q$  este o mărime măsurabilă), ecuația (5.10) devine

$$\frac{d^2 A_n}{dt^2} + \frac{\omega}{Q_n} \frac{dA_n}{dt} + \Omega_n^2 A_n = \frac{\omega^2}{\epsilon_0} P_n, \quad (5.11)$$

Întrucît  $P_n(t)$  depinde de amplitudinea  $A_n(t)$  a modului, ecuația neliniară (5.11) se rezolvă prin metoda „variațiilor lente ale amplitudinilor și fazelor”. Astfel se admit pentru amplitudinile  $A_n(t)$  și  $P_n(t)$  soluții de forma

$$A_n(t) = E_n(t) \cos[\omega_n t + \varphi_n(t)] \quad (5.12)$$

$$P_n(t) = C_n(t) \cos[\omega_n t + \varphi_n(t)] + S_n(t) \sin[\omega_n t + \varphi_n(t)] \quad (5.13)$$

unde  $\omega_n$  este frecvența de oscilație a modului  $n$ , iar  $E_n(t)$ ,  $C_n(t)$  și  $S_n(t)$  sînt funcții cu variație lentă în raport cu  $\cos \omega_n t$  și  $\sin \omega_n t$ .

Cei doi termeni, cu amplitudinile  $C_n(t)$  (în fază) și  $S_n(t)$  (în cuadratură) din expresia polarizării, se datoresc defazajului acestei mărimi în raport cu cîmpul electric  $A_n(t)$ . Se înlocuiesc, în cele ce urmează, expresiile (5.12) și (5.13) în ecuația (5.11), se rețin numai derivatele de ordinul întâi ale lui  $E_n(t)$  și  $\varphi_n(t)$  și se egalează coeficienții termenilor rapid variabili în sinus și cosinus cu zero, separat. În continuare, neglijînd termenii care conțin pe  $\omega_n E_n/Q_n$ ,  $\dot{\varphi}_n \dot{E}_n$  și  $\omega_n \dot{\varphi}_n \dot{E}_n/Q_n$  ( $Q$  a fost presupus mare) și admitînd că  $(\omega_n + \dot{\varphi}_n)$  este foarte apropiat de  $\Omega_n$  se obțin *ecuațiile selfconsistente ale amplitudinilor și frecvențelor* ale lui Lamb

$$(\omega_n + \dot{\varphi}_n(t) - \Omega_n) E_n = -\frac{\omega}{2\epsilon_0} C_n(t) \quad (5.14)$$

$$\dot{E}_n + \frac{\omega}{2Q_n} E_n = -\frac{\omega}{2\epsilon_0} S_n(t). \quad (5.15)$$

Ecuațiile (5.14) și (5.15) pot fi utilizate pentru determinarea mărimilor  $E_n$  și  $\omega_n$  atunci cînd  $P_n$  este cunoscut.



(Observație. În cazul particular al absenței polarizației  $C_n(t) = S_n(t) = 0$  din ecuațiile (5.14) și (5.15) rezultă, printr-o alegere corespunzătoare a fazei relațiile

$$\omega_n = \Omega_n \quad (5.16)$$

$$E_n = E_{n0} \exp\left(-\frac{\Omega_n t}{2Q_n}\right) = E_{n0} \exp\left(-\frac{1}{\tau_n}\right) \quad (5.17)$$

în concordanță cu definiția factorului de calitate  $Q_n$ ).

Se poate arăta că în *aproximația liniară* din ecuațiile (5.14) și (5.15) rezultă numai frecvența de oscilație și condiția de prag, determinarea amplitudinilor implicând și considerarea termenilor neliniari. Într-adevăr în aproximația liniară

$$P_n = \epsilon_0 \operatorname{Re} \{(\chi'_n + i\chi''_n)E_n \exp[-i(\omega_n t + \varphi_n)]\} \quad (5.18)$$

astfel încît

$$C_n = \epsilon_0 \chi'_n E_n \quad \text{și} \quad S_n = \epsilon_0 \chi''_n E_n. \quad (5.19)$$

Ținîndu-se seama de (5.19), ecuațiile (5.14) și (5.15) capătă forma

$$\dot{\omega}_n + \dot{\varphi}_n = -\frac{\omega_n}{2} \chi' \quad (5.20)$$

respectiv

$$\dot{E}_n + \frac{\Omega_n}{2Q_n} E_n = -\frac{\omega_n}{2} \chi''_n E_n, \quad (5.21)$$

Din ecuația (5.20), printr-o alegere corespunzătoare a fazei se obține frecvența de oscilație a modului

$$\omega_n = \frac{\Omega_n}{1 + (\chi'_n/2)}, \quad (5.22)$$

Faptul că  $\omega_n \neq \Omega_n$  evidențiază efectul „de tîrîre” a frecvenței (mode-pulling) datorat cuplării celor doi oscilatori cu frecvențe diferite: cavitatea și sistemul atomic.

Din ecuația (5.22) rezultă amplitudinea:

$$E_n(t) = E_{n0} \exp\left[-\frac{\omega_n}{2} \left(\frac{1}{Q_n} + \chi''_n\right)t\right] \quad (5.23)$$

care evidențiază condiția de prag

$$-\chi''_n/\chi''_{nc} = 1/Q_n \quad (5.24)$$

astfel încît peste prag amplitudinea oscilației laser crește exponențial în timp. (S-a notat cu  $\chi''_{nc}$  valoarea critică „de prag” a mărimii  $\chi''_n$ ). Peste prag  $\chi'' \ll 0$ , absorbția negativă corespunzînd inversiei de populație. Limitarea reală a amplitudinii de oscilație se datorește efectelor neliniare de saturație care intervin peste prag, determinînd o scădere a inversiei de populație.

Prin urmare, aproximația liniară pentru tratarea laserilor nu este suficientă, fiind necesară luarea în considerare a efectelor neliniare.

(Ținîndu-se seama de relația  $I \sim E^2$ , ecuația (5.20) se scrie sub forma  $\dot{I} = -(\omega_n/2Q)I - \omega\chi''I$ , care arată că rata de modificare a intensității este determinată de bilanțul dintre câștigul cavității și pierderi, din condiția de regim staționar  $\dot{I} = 0$  rezultînd și pe această cale condiția de prag. Totodată se observă că indicele de refracție  $n(\omega_n) \simeq 1 + \chi'_n/2$ ).

### 5.2.3. Ecuațiile pentru polarizarea mediului

Ecuațiile semicuante se referă atît la ecuațiile de câmp cît și la ecuațiile pentru polarizarea mediului. Ecuațiile pentru polarizarea mediului



sînt de tip Bloch și rezultă din ecuația Schrödinger prin considerarea unor termeni corespunzător aleși pentru amortizare și pompaj.

În § 1.9 s-a arătat că sistemul atomic cu două nivele prezentat în fig. 1.6 este descris de ecuația de mișcare a operatorului densitate

$$i \frac{d\hat{\rho}}{dt} = [\hat{H}, \hat{\rho}] \quad (5.25)$$

unde  $\hat{H}$  se poate scrie sub formele echivalente

$$\hat{H} = \hat{H}_A + \hat{W} = \hat{H}_A + \hbar \hat{V} = \hat{H}_A - e\hat{x}E(\mathbf{r}, t) \quad (5.26)$$

$\hat{H}_A$  fiind hamiltonianul atomic, iar  $\hat{W}$  hamiltonianul de interacție. Totodată s-a arătat că vectorul pseudospin  $\mathbf{r}$  asociat sistemului atomic cu două nivele, satisface ecuația (1.172).

În § 1.10 s-a stabilit, de asemenea, că operatorul densitate pentru sistemul atomic cuplat cu rezervorul de pierderi în aproximația Wigner-Weisskopf este determinat de ecuația de mișcare

$$\frac{\partial \hat{\rho}(\mathbf{r}, t)}{\partial t} = -i[\hat{H}_A - \mathbf{d}\mathbf{E}, \hat{\rho}] - \frac{1}{2} [\hat{\Gamma}\hat{\rho} + \hat{\rho}\hat{\Gamma}] \quad (5.27)$$

unde matricea de amortizare  $\Gamma$  este dată de relația (1.179). Ecuația (5.27) se scrie compact sub forma

$$i \frac{d\hat{\rho}}{dt} = [\hat{H}, \hat{\rho}] - \frac{i}{2} [\hat{\Gamma}, \hat{\rho}]_A \quad (5.27')$$

unde indicele ( $A$ ) semnifică anticomutatorul mărimilor din paranteză. (Trebuie observat că în concordanță cu problemele care prezintă interes, aproximația Wigner-Weisskopf nu este valabilă pentru intervale de timp foarte scurte sau foarte lungi întrucît ar rezulta valori proprii complexe pentru hamiltonian care este operator hermitic.)

Fie un atom aflat la momentul  $t_0$  în punctul  $\mathbf{r}_0$  avînd viteza  $\mathbf{v}$ . Dacă se neglijează pentru început ciocnirile, la momentul  $t$  atomul va fi în punctul  $\mathbf{r} = \mathbf{r}_0 + \mathbf{v}(t - t_0)$ .

Dacă la momentul  $t_0$  atomul se află în starea  $|a\rangle$  soluția ecuației de mișcare (5.27) pentru operatorul densitate are forma

$$\rho(a, \mathbf{r}, t, \mathbf{v}, t) = \begin{bmatrix} |a|^2 & ab^* \\ a^*b & |b|^2 \end{bmatrix} \quad (5.28)$$

și satisface condiția inițială

$$\rho(a, \mathbf{r}_0, t_0, \mathbf{v}, t_0) = \rho(a) = \begin{bmatrix} 1 & 0 \\ 0 & 1 \end{bmatrix}. \quad (5.29)$$

(Se știe că mărimile  $|a|^2$  și  $|b|^2$  sînt corelate cu probabilitățile de ocupare a stărilor  $|a\rangle$  și  $|b\rangle$  pe cînd mărimile  $a^*b$  și  $b^*a$  sînt implicate în calculul polarizării.)

Fie  $\lambda(\mathbf{r}_0, t_0, \mathbf{v})$  densitatea ratei medii de pompaj, adică numărul de atomi excitați în stările  $\alpha = a, b$ , în unitatea de timp, pe unitatea de volum.

Conform fig. 5.1 pentru a se obține polarizarea macroscopică  $\mathbf{P}(\mathbf{r}, t)$  trebuie să se realizeze însumarea statistică peste momentele de dipol microscopice ale atomilor activi.



Prin urmare, dacă se ține seama de contribuțiile atomilor care sosesc în punctul  $\mathbf{r}$  la momentul  $t$ , indiferent când aceștia au fost excitați în stările  $|a\rangle$  sau  $|b\rangle$  se poate scrie

$$\begin{aligned} \mathbf{P}(\mathbf{r}, t) = d \sum_{\alpha=a, b} \int_{-\infty}^t dt_0 \int d\mathbf{r}_0 \int d\mathbf{v} \lambda_{\alpha}(\mathbf{r}_0, t_0, \mathbf{v}) \times \\ \times [\rho_{ab}(\alpha, \mathbf{r}_0, t_0, \mathbf{v}, t) + \rho_{ba}(\alpha, \mathbf{r}_0, t_0, \mathbf{v}, t)] \times \\ \times \delta(\mathbf{r} - \mathbf{r}_0 - \mathbf{v}(t - t_0)) \end{aligned} \quad (5.30)$$

unde  $d = \langle \psi_a | e \mathbf{r} | \psi_b \rangle$  este elementul de matrice pentru momentul de dipol electric al tranziției între stările  $|a\rangle$  și  $|b\rangle$ .

În aproximația amplitudinilor lent variabile  $\lambda_{\alpha}(\mathbf{r}_0, t_0, \mathbf{v})$  poate fi înlocuit cu  $\lambda_{\alpha}(\mathbf{r}, t_0, \mathbf{v})$ , astfel că prin integrare peste  $\mathbf{r}_0$  expresia (5.30) se scrie astfel:

$$\begin{aligned} \mathbf{P}(\mathbf{r}, t) = d \sum_{\alpha=a, b} \int_{-\infty}^t dt_0 \int d\mathbf{v} \lambda_{\alpha}(\mathbf{r}, t_0, \mathbf{v}) \times \\ \times [\rho_{ab}(\alpha, \mathbf{r} - \mathbf{v}(t - t_0), t_0, \mathbf{v}, t) + cc]. \end{aligned} \quad (5.31)$$

O altă modalitate echivalentă de obținere a polarizării macroscopice  $\mathbf{P}(\mathbf{r}, t)$  constă în calculul expresiei

$$\mathbf{P}(\mathbf{r}, t) = \sum_{t_{0i} < t} \text{Urm} [\hat{\rho}(\alpha, t_{0i}, t), \hat{p}] \quad (5.32)$$

unde suma se face peste toți atomii activi din unitatea de volum din jurul punctului  $\mathbf{r}$ , iar  $t_{0i}$  indică momentele la care diferiți atomi au fost pompați pe nivelul  $i$  ( $t_{0i} < t$ ).

Operatorul  $\hat{p}$  corespunzător tranziției de dipol pentru funcția de undă a sistemului perturbat (1.150) este definit de relația

$$\hat{p} = d \hat{\sigma}_1 \quad (5.33)$$

astfel că

$$\begin{aligned} \langle \hat{p} \rangle = \text{Urm} [\hat{\rho}(\alpha, t_0, t), \hat{p}] = d [\rho_{ab}(\alpha, t_0, t) + \rho_{ab}^*(\alpha, t_0, t)] = \\ = d(a^*b + ab^*) \end{aligned} \quad (5.34)$$

unde  $\hat{\sigma}_1$  este matricea lui Pauli.

În scrierea expresiei (5.32), pentru simplificare, se neglijează indicarea dependenței lui  $\hat{\rho}$  și  $\hat{p}$  de poziția  $\mathbf{r}$  a atomului și se consideră atomii în repaus în punctul  $\mathbf{r}$  (deci nu mai intervine dependența de  $\mathbf{v}$ ), urmînd ca efectul mișcării atomice să fie considerat ulterior. Dacă se introduce operatorul

$$\hat{\rho}(\alpha, t) = \sum_{t_{0i} < t} \hat{\rho}(\alpha, t_{0i}, t) \quad (5.35)$$

expresia (5.32) devine

$$\mathbf{P}(\alpha, t) = \text{Urm} [\hat{\rho}(\alpha, t), \hat{p}]. \quad (5.36)$$



Cu notațiile simplificate de mai sus densitatea ratei medii de pompaj în starea  $|a\rangle$  se notează cu  $\lambda_a(t_0)$ , astfel încît expresia (5.35) capătă forma

$$\hat{\rho}(a, t) = \int \lambda_a(t_0) \hat{\rho}(a, t_0, t) dt_0. \quad (5.37)$$

Dacă se ia în considerare și posibilitatea excitării atomilor în starea  $|b\rangle$  se poate defini și rata de excitare  $\lambda_b$ , astfel încît rata totală de pompaj va fi

$$\lambda = \lambda_a \hat{\rho}(a) + \lambda_b \hat{\rho}(b) = \begin{bmatrix} \lambda_a & 0 \\ 0 & \lambda_b \end{bmatrix}. \quad (5.38)$$

Ca urmare, se introduce operatorul densitate  $\hat{\rho}(\mathbf{r}, t)$  pentru mediul activ sau *matricea populație* prin relațiile echivalente

$$\begin{aligned} \hat{\rho}(\mathbf{r}, t) &= \hat{\rho}(a, t) + \hat{\rho}(b, t) = \\ &= \int_{-\infty}^t dt_0 [\lambda_a(t_0) \hat{\rho}(a, t_0, t) + \lambda_b(t_0) \hat{\rho}(b, t_0, t)] = \sum \int_{-\infty}^t \lambda_a(t_0) \hat{\rho}(a, t_0, t) dt_0. \end{aligned} \quad (5.39)$$

deosebit de utilă în cele ce urmează datorită semnificației sale fizice. Astfel

$$\rho_{aa}(\mathbf{r}, t) = N_a(\mathbf{r}, t) \quad (5.40)$$

reprezintă densitatea populației stării  $|a\rangle$ ,

$$\rho_{bb}(\mathbf{r}, t) = N_b(\mathbf{r}, t) \quad (5.41)$$

reprezintă densitatea populației stării  $|b\rangle$ , încît

$$\rho_{aa}(\mathbf{r}, t) - \rho_{bb}(\mathbf{r}, t) = N(\mathbf{r}, t) \quad (5.42)$$

reprezintă densitatea inversiei de populație. Ținîndu-se seama de modul în care a fost definită, matricea de excitare  $\lambda$  ia în considerare rezervoarele de câștig sau de pompaj (fig. 5.2), după cum matricea  $\Gamma$  ia în considerare rezervoarele de pierderi. Ca urmare, ecuația de mișcare (5.28) poate fi completată cu un termen „de pompaj” sub forma

$$i \frac{\partial \hat{\rho}}{\partial t} = i\lambda + [\hat{H}, \hat{\rho}] - \frac{1}{2} [\hat{\Gamma}, \hat{\rho}]_A. \quad (5.43)$$

Se constată că este posibilă o compensare a pierderilor descrise de  $\hat{\Gamma}$  printr-un pompaj suficient descris de  $\lambda$  astfel încît  $\lambda$  reprezintă un *parametru de control* pentru soluțiile ecuației (5.43).

Expresia (5.36) a polarizării se scrie cu ajutorul matricei  $\hat{\rho}(\mathbf{r}, t)$  astfel

$$\mathbf{P}(\mathbf{r}, t) = \text{Urm} [\hat{\rho}(\mathbf{r}, t), \hat{p}] = d[\rho_{ab}(\mathbf{r}, t) + \rho_{ba}^*(\mathbf{r}, t)]. \quad (5.44)$$

### Ecuatiile selfconsistente ale teoriei semicuantice

În paragrafele anterioare au fost stabilite ecuațiile semicuantice complete pentru descrierea interacției câmpului de radiație cu mediul activ și anume:

a) ecuațiile (5.4), (5.6) și (5.12) pentru câmpul din cavitate funcție de modurile normale ale acesteia;



b) ecuațiile selfconsistente ale amplitudinilor și frecvențelor (5.14) și (5.15);

c) ecuația (5.31) care stabilește legătura dintre polarizarea macroscopică și atomii individuali ai mediului activ prin intermediul matricei densitate sau ecuația echivalentă (5.44) pentru atomii staționari;

d) ecuația (5.43) de mișcare pentru matricea  $\rho$  a mediului activ, în prezența pompajului și a pierderilor;

e) la ecuațiile de mai sus trebuie adăugată expresia

$$V(t) = -\frac{d}{h} E(\mathbf{r}_0 + \mathbf{v}(t - t_0), t) \quad (5.45)$$

a termenului de interacție corespunzător atomului descris de matricea  $\rho(\alpha, \mathbf{r}_0, t_0, \mathbf{v}, t)$ .

Din ecuațiile a) și b) rezultă câmpul electric  $\mathbf{E}(\mathbf{r}, t)$  pentru un termen sursă dat  $\mathbf{P}(\mathbf{r}, t)$ . Pe de altă parte, din ecuațiile c), d) și e) se determină dependența  $\mathbf{P}(\mathbf{r}, t)$  funcție de câmpul electric  $\mathbf{E}(\mathbf{r}, t)$  care este în general neliniară. Operarea staționară a sistemului corespunde soluției simultane a celor două seturi de ecuații.

*Observații. 1:* Ecuația de mișcare (5.26) este echivalentă cu următorul set de ecuații privind elementele de matrice ale operatorului  $\hat{\rho}$  pentru atomii individuali ai mediului activ, în prezența câmpului de radiație și a pierderilor

$$\dot{\rho}_{aa} = -\gamma_a \rho_{aa} + iV(t) (\rho_{ab} - \rho_{ba}) \quad (5.46)$$

$$\dot{\rho}_{bb} = -\gamma_b \rho_{bb} - iV(t) (\rho_{ab} - \rho_{ba}) \quad (5.47)$$

$$\dot{\rho}_{ab} = -i\omega \rho_{ab} - \gamma_{ab} \rho_{ab} + iV(t) (\rho_{aa} - \rho_{bb}). \quad (5.48)$$

$$\rho_{ba} = \rho_{ab}^* \quad (5.49)$$

unde

$$\gamma_{ab} = \frac{1}{2} (\gamma_a + \gamma_b) = \gamma. \quad (5.50)$$

Sistemul (5.46) – (5.49) se rezolvă în general prin metoda aproximațiilor succesive. De exemplu, în absența pompajului se obține mai întâi  $\rho_{aa}^{(0)}$  și  $\rho_{bb}^{(0)}$  în aproximația de ordinul zero, din ecuațiile (5.46) și (5.47) pentru  $\rho_{ba} = 0$ . Din ecuațiile (5.48) și (5.49) în care se introduc valorile  $\rho_{aa}^{(0)}$  și  $\rho_{bb}^{(0)}$  rezultă în aproximația de ordinul întâi mărimile  $\rho_{ab}^{(1)}$  și  $\rho_{ba}^{(1)}$  sub forma:

$$\rho_{ab}^{(1)}(a, \mathbf{r}_0, t_0, \mathbf{v}, t) = i \int_{t_0}^t dt' V(t') \exp[(\gamma_{ab} + i\omega)(t' - t) + \gamma_a(t_0 - t')]. \quad (5.51)$$

Expresia (5.51) introdusă în ecuațiile (5.46) și (5.47) determină mărimile  $\rho_{aa}^{(2)}$  și  $\rho_{bb}^{(2)}$  în aproximația de ordinul al doilea

$$\begin{aligned} \rho_{aa}^{(2)}(a, \mathbf{r}_0, t_0, \mathbf{v}, t) = & \int_{t_0}^{t'} dt'' \int_{t_0}^{t''} dt''' V(t'') V(t''') \{ \exp[\gamma_a(t'' - t') + \\ & + \gamma_{ab} + i\omega)(t''' - t'') + \gamma_a(t_0 - t''')] + \text{c.c.} \}. \end{aligned} \quad (5.52)$$

În continuare, din ecuațiile (5.48) și (5.49) rezultă în aproximația de ordinul al treilea

$$\rho_{ab}^{(3)} = i \int_{t_0}^t dt' V(t') (\rho_{aa}^{(2)} - \rho_{bb}^{(2)}) \exp(\gamma_{ab} + i\omega)(t' - t) \quad (5.53)$$

etc.



Expresiile  $\rho_{ab}^{(n)}$  de diferite ordine sînt utilizate apoi pentru calculul polarizării  $P(r, t)$  conform ecuației (5.30).

2°. Pentru stabilirea semnificației fizice a mărimii  $\gamma_{ab}$  definită de ecuația (5.50) se observă că în absența cîmpului electric ( $V(t) = 0$ ), ecuația (5.48) considerată pentru un singur atom (datorită analogiei cu (5.27)) admite soluția

$$\rho_{ab}(t) = \rho_{ab}(0) \exp[-\gamma_{ab} t - i\Omega t] \quad (5.54)$$

astfel încît din ecuația (5.34) rezultă

$$\langle p \rangle \sim e^{-\gamma_{ab} t} \cos(\Omega t + \varphi_0). \quad (5.55)$$

Întrucît spectrul de frecvențe al expresiei (5.55) determină forma liniei tranziției atomice, se constată că pentru atomii staționari ( $v=0$ ) acesta este lorentziană, fiind proporțională cu factorul

$$\mathcal{L}(\Omega - \omega) = \frac{1}{(\Omega - \omega)^2 + \gamma_{ab}^2} \quad (5.56)$$

rezultat în concordanță cu formula (4.111).

Prin urmare, semilărgimea liniei spectrale are expresia

$$\Delta\omega_L = \gamma_{ab} = \frac{1}{T_2} \quad (5.57)$$

În concordanță cu relația (1.115).

### 5.3. Teoria liniară a laserilor cu atomi staționari

Metoda iterativă, indicată la sfîrșitul paragrafului precedent, este generală, putînd fi aplicată atît pentru studiul laserilor cu atomi staționari, cît și pentru cei cu atomi în mișcare, pentru care frecvența de tranziție este afectată de efect Doppler, ciocniri etc. Se poate arăta că aproximația de ordinul întîi corespunde operării liniare a laserilor pe cînd aproximațiile de ordin superior ia în considerare și efectele neliniare cum ar fi saturația. Această metodă va fi discutată pe larg în paragrafele următoare dedicate analizei laserilor cu atomi în mișcare.

În acest paragraf se va defini *aproximația liniară*, în mod direct, prin condiția  $\dot{N} = N(z)$ , adică prin *independența de timp a diferenței de populație* (pentru intervale  $\gamma^{-1}$ ), ținîndu-se seama de cele prezentate în capitolul 1 privind modificarea diferenței de populație în prezența saturației ca efect neliniar. (Această aproximație se mai numește și *aproximația ecuației ratelor*, întrucît conduce la ecuațiile ratelor pentru populații).

Pentru calculul polarizării conform ecuației (5.44) se evaluează elementele nediagonale  $\rho_{ab}$  ale matricei populațiilor prin integrarea ecuației (5.48), ținîndu-se seama de expresiile (5.42) și (5.45) și de condiția  $N = N(z)$ .

Astfel, în ecuația de mișcare

$$\dot{\rho}_{ab} = iV(t) N(z) - (i\Omega + \gamma) \rho_{ab} \quad (5.58)$$

se introduce mai întîi expresia lui  $V(t) = V_{ab}$ , admițîndu-se pentru început existența unui singur mod de oscilație al cîmpului de radiație. Ca urmare, conform relației (5.12) se poate scrie

$$V(t) = -\frac{d}{h} A_n(t) U_n(z) = -\frac{d}{h} E_n(t) U_n(z) \cos(\omega_n t + \varphi_n). \quad (5.59)$$



Ecuatia (5.58) capata forma

$$\dot{\rho}_{ab} = - (i\Omega + \gamma_{ab}) \rho_{ab} - \frac{id}{2\hbar} E_n(t) U_n(z) \times \\ \times \{ \exp [-i(\omega_n t + \varphi_n)] + \exp [i(\omega_n t + \varphi_n)] \} \quad (5.60)$$

integrabila direct in aproximatia unde rotitoare intrucit  $\omega_n \simeq \Omega$ .

Pentru  $\dot{\rho}_{ab} = -i\omega_n \rho_{ab}$  (amplitudini lent variabile) se obtine solutia

$$\rho_{ab} = \frac{d}{2\hbar} \frac{E_n(t) U_n(z)}{(\omega_n - \Omega) - i\gamma} N(z) \exp [-i(\omega_n t + \varphi_n)] \quad (5.61)$$

care cu notatia

$$\bar{N}_n = \int_0^L N(z, t) U_n^2(z) dz \quad (5.62)$$

determina conform relatiei (5.44) expresia polarizarii

$$P_n(t) = \frac{d^2}{2\hbar} E_n(t) \left[ \frac{\bar{N}_n e^{-i(\omega_n t + \varphi_n)}}{(\omega_n - \Omega) - i\gamma} + \text{c.c.} \right] \quad (5.63)$$

(Marimea  $\bar{N}_n$  reprezinta o densitate de inversie medie, care ia in considerare variatiile spatiale ale modului cimpului). Prin urmare, in aproximatia liniara utilizata  $\bar{N} = N(z)$ , polarizarea mediului este functie liniara de cimpul electric.

Pentru evaluarea cimpului modului  $E_n$  se utilizeaza ecuatia (5.15) astfel ca in prealabil din ecuatia (5.63) trebuie evaluate expresiile  $C_n(t)$  si  $S_n(t)$ , definite de expresia (5.13), prin identificare. Rezulta

$$C_n = \frac{d^2}{\hbar} E_n \mathcal{L}(\Omega - \omega_n) \bar{N}_n \quad (5.64)$$

respectiv

$$S_n = - \frac{d^2}{\hbar} E_n \gamma \mathcal{L}(\Omega - \omega_n) \bar{N}_n, \quad (5.65)$$

rezultate in concordanta cu forma lorentziana a susceptibilitatii atomice a mediului, in aproximatia liniara utilizata.

Prin urmare, cimpul  $E_n$  al modului satisface ecuatia

$$\dot{E}_n = \frac{E_n \omega_n}{2} \left[ \frac{d^2}{\epsilon_0 \hbar} \gamma \mathcal{L} \bar{N}_n - \frac{1}{Q_n} \right]. \quad (5.66)$$

Conditia de prag de oscilatie rezulta din ecuatia (5.16) pentru  $\dot{E}_n = 0$  ( $E_n \neq 0$ ), sub forma

$$\frac{d^3}{\epsilon_0 \hbar} \gamma \mathcal{L} \bar{N}_n = \frac{1}{Q_n}. \quad (5.67)$$

Daca definim inversia de populatie de prag, numita si critica

$$\bar{N}_{n,p} = \bar{N}_{n,c}$$



pentru modul  $n$ , la rezonanță, prin evaluarea factorului  $\mathcal{L}(\Omega - \omega_n)$  se obține

$$\bar{N}_{n,c} = \frac{\varepsilon_0 \hbar \gamma}{d^2 Q_n}, \quad (5.68)$$

în concordanță cu formulele (4.95) și (4.105).

O altă formă a expresiei (5.68) care se poate stabili direct ținând seama de semnificația mărimilor care intervin este următoarea

$$\bar{N}_{n,c} = \frac{\Omega^2 \Delta \omega \tau_{ab}}{c^3 2\pi \tau_R} \quad (5.69)$$

unde  $\Delta \omega$  este lărgimea liniei atomice. Pentru o inversie de populație  $N > \bar{N}_{n,c}$  din ecuația (5.66) rezultă o creștere exponențială a amplitudinii modului, care nu are loc în practică, deoarece intervin efectele de saturație care au fost neglijate în aproximația liniară.

Expresia (5.59) pentru  $M$  moduri are forma

$$V(t) = - \frac{d}{\hbar} \sum_{n=1}^M A_n(t) U_n(z) \quad (5.70)$$

astfel încât (5.61) devine

$$\rho_{ab} = \frac{d}{2\hbar} \sum_{n=1}^M \frac{E_n(t) U_n(z)}{(\omega_n - \Omega) - i\gamma} N(z) \exp [-i(\omega_n t + \varphi_n)]. \quad (5.71)$$

În ceea ce privește frecvența de oscilație, din ecuația (5.14) pentru  $\varphi_n = 0$  se obține

$$\omega_n = \frac{\Omega_n + \mathcal{S} \Omega}{1 + \mathcal{S}} \quad (5.72)$$

unde

$$\mathcal{S} = \frac{\Delta \Omega_n}{\Delta \omega} = \frac{\omega_n}{2\gamma Q_n} \quad (5.73)$$

este raportul dintre lărgimea modului către lărgimea liniei atomice.

Relația (5.72), în care  $\omega_n$  este frecvența de oscilație a laserului pe modul  $n$ ,  $\Omega$  este frecvența tranziției iar  $\Omega_n$  este frecvența modului  $n$ , pune în evidență fenomenul de „tîrîre a frecvenței“.

## 5.4. Teoria neliniară a laserilor cu atomi staționari

### 5.4.1. Expresia neliniară a inversiei de populație

Ipoteza independenței de timp a inversiei de populație, utilizată în aproximația liniară este înlocuită în teoria neliniară cu ipoteza unei diferențe de populație  $N(z, t)$  lent variabile în timp, în scopul luării în considerare a influenței emisiei stimulate asupra populațiilor nivelelor laser.



Pentru explicitarea acestei influențe, din ecuațiile (5.70) și (5.71) în care s-a înlocuit

$$N(z, t) = \rho_{aa} - \rho_{bb} \quad (5.74)$$

se obține în aproximația unei rotitoare egalitatea

$$R(\rho_{aa} - \rho_{bb}) = -iV(t)(\rho_{ab} - \rho_{ab}^*) \quad (5.75)$$

unde s-a notat

$$R = -\frac{id^2}{4h^2} \sum_{m=1}^M \sum_{n=1}^M \left\{ \frac{E_m E_n U_m U_n}{[(\Omega - \omega_n) - i\gamma_{ab}]} \times \right. \\ \left. \exp \{i[(\Omega_m - \Omega_n)t - \varphi_m - \varphi_n]\} + \text{c.c.} \right\}. \quad (5.76)$$

Ținând seama de ecuația (5.76), ecuațiile de mișcare (5.46) și (5.47) pentru densitățile de populație  $\rho_{aa}$  și  $\rho_{bb}$ , capătă forma

$$\dot{\rho}_{aa} = \lambda_a - \gamma_a \rho_{aa} + R(\rho_{bb} - \rho_{aa}) \quad (5.77)$$

$$\dot{\rho}_{bb} = \lambda_b - \gamma_b \rho_{bb} + R(\rho_{aa} - \rho_{bb}). \quad (5.78)$$

În ecuațiile de mai sus, ultimul termen ia în considerare efectul emisiei induse și absorbției, astfel că mărimea  $R$ , proporțională cu pătratul amplitudinii modului reprezintă, de fapt, *rata tranzițiilor induse*.

Pentru regim staționar  $\dot{\rho}_{aa} = \dot{\rho}_{bb} = 0$ , încît

$$N^{(n)} = \rho_{aa} - \rho_{bb} = \frac{\lambda_a/\gamma_a - \lambda_b/\gamma_b}{1 + 2\gamma R/\gamma_a\gamma_b} = \frac{N^{(0)}}{1 + (R/R_s)} \quad (5.79)$$

unde

$$N^{(0)} = \frac{\lambda_a}{\gamma_a} - \frac{\lambda_b}{\gamma_b} \quad (5.80)$$

este *densitatea inversiei pentru cîmp nul*, iar

$$R_s = \frac{\gamma_a\gamma_b}{2\gamma} = 1/(\tau_a + \tau_b) \quad (5.81)$$

este *rata de saturație*. Într-adevăr inversia de populație scade conform

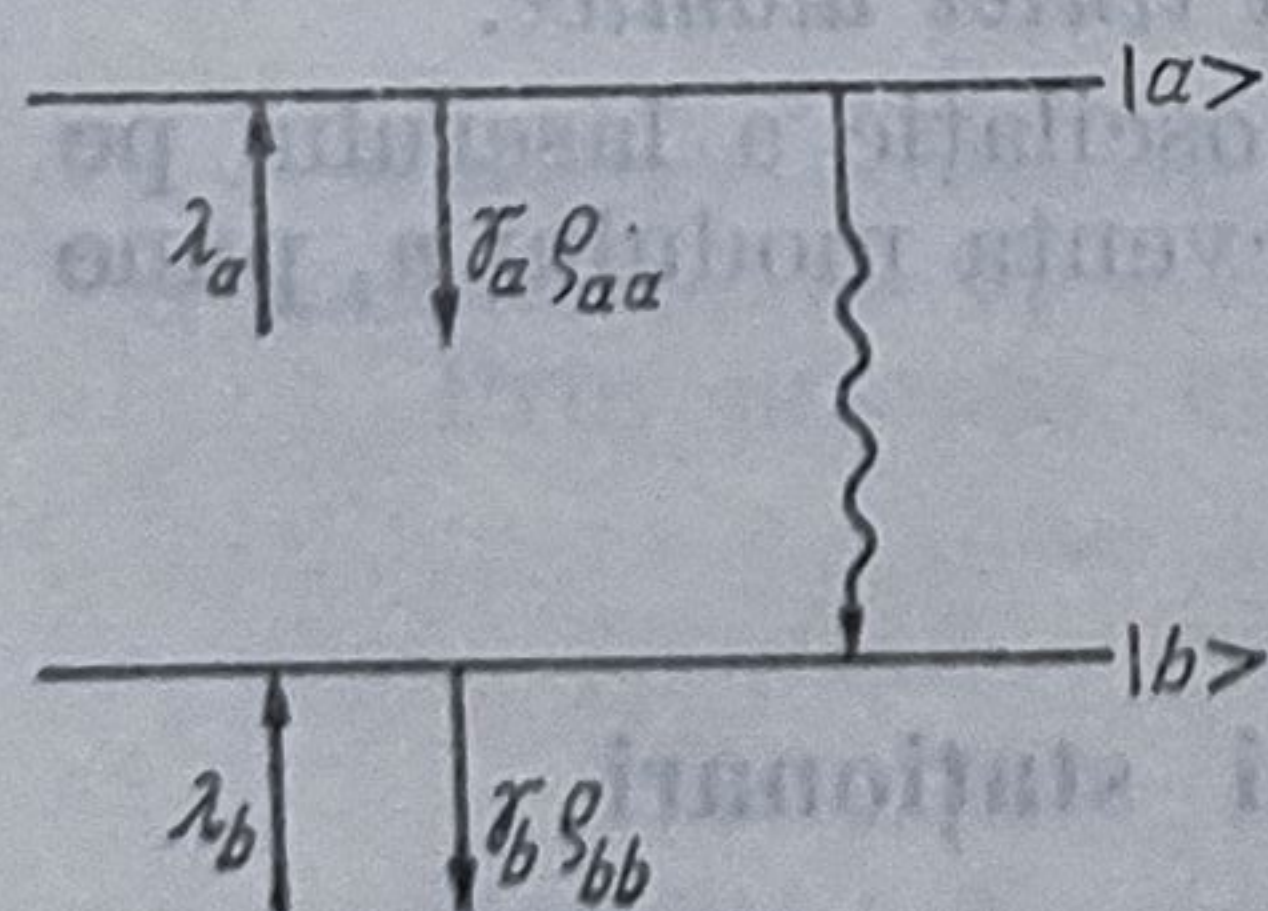


Fig. 5.4

relației (5.79) datorită emisiei induse și depinde de intensitate ca urmare a efectelor de saturație. (Se observă că  $R = R_s$  pentru  $N = N^{(0)}/2$ ). Prin urmare, efectele neliniare sînt luate în considerare prin substituția  $N(z) \rightarrow N^{(n)}$ , în ecuația (5.71). Diagrama populațiilor conform ecuațiilor (5.77) și (5.78) este prezentată în fig. 5.4.

Întrucît  $R$  are distribuția spațială a lui  $U^2(z) = \sin^2 Kz$ , o astfel de dependență vor avea și diferența de populație, și polarizarea mediului.

#### 5.4.2. Ecuațiile de cîmp

Influența inversiei de populație neliniare asupra cîmpului de radiație se poate studia evaluînd mai întîi elementul de matrice neliniar  $\rho_{ab}$  prin



substituția  $N(z) \rightarrow N^{(n)}$  în ecuația (5.71) și apoi polarizarea neliniară din ecuația (5.44); se obține expresia

$$P_n(t) = -\frac{d^2}{2h} E_n \left\{ \frac{2}{T} \frac{N^{(0)} \sin^2 K_n z}{1 + R/R_s} dz \times \right. \\ \left. \times \frac{2(\Omega - \omega_n) \cos(\omega_n t + \varphi_n) + 2\gamma \sin(\omega_n t + \varphi_n)}{(\omega_n - \Omega)^2 + \gamma^2} \right\}. \quad (5.82)$$

Tinându-se seama de (5.82), din (5.14) și (5.15) rezultă un sistem de ecuații neliniare complicate pentru amplitudinile și frecvențele modurilor. Pentru rezolvarea acestuia se admite o saturație slabă a mediului ( $R \ll R_s$ ) astfel încît se poate utiliza dezvoltarea în serie următoare

$$\frac{1}{1 + R/R_s} \simeq 1 - \frac{R}{R_s}. \quad (5.83)$$

Se poate observa că, spre deosebire de aproximația liniară, în expresia (5.82), expresia densității de inversie medie  $\bar{N}_n$  a fost înlocuită cu densitatea de inversie medie neliniară

$$\bar{N}_n^{(n)} = \int_0^L \frac{N^{(0)}}{1 + R/R_s} U_n^2(z) dz. \quad (5.84)$$

Ca urmare a dezvoltării (5.38), expresia (5.84) se poate scrie succesiv astfel

$$\bar{N}_n^{(n)} = \bar{N} - \frac{d^2 \gamma^2}{\hbar^2 \gamma_a \gamma_b} \mathcal{L}(\omega_n - \Omega) \int E_n^2 N^{(0)} U_n^4(z) dz \\ \simeq \bar{N} [1 - \gamma^2 \mathcal{L}(\omega_n - \Omega) I_n] \quad (5.85)$$

unde s-a notat

$$I_n = \frac{3}{2L} \frac{d^2}{\hbar \gamma_a \gamma_b} E_n^2 \quad (5.86)$$

și

$$\bar{N} = \int_0^L N^{(0)} U_n^2(z) dz \quad (5.87)$$

astfel încît în ipoteza unei variații lente a lui  $N^{(0)}$  cu  $z$  (datorită acestui mod de dependență a ratei de pompaj de  $z$ ), rezultă

$$\int_0^L N^{(0)} U_n^4(z) dz \simeq \frac{3\bar{N}}{2L}. \quad (5.88)$$

Mărimea adimensională  $I_n$  din (5.86) reprezintă o măsură a intensității modului  $n$ , fiind proporțională cu  $E_n^2$ .

Intensitatea modului  $I_n$  se poate exprima funcție de densitatea de inversie, dacă Pentru calculul amplitudinii modului  $E_n$  din ecuația



(5.15), se utilizează expresia (5.65) a lui  $S_n$  în care  $N_n$  se înlocuie cu  $\bar{N}_n^{(n)}$ , scrisă în aproximația (5.83) sub forma

$$\bar{N}_n^{(n)} = \frac{\bar{N} \mathcal{L}^{-1}(\omega_n - \Omega)}{(\omega_n - \Omega)^2 + (1 + I_n) \gamma^2}. \quad (5.89)$$

Se observă că efectul neliniarității (saturației) constă în creșterea lărgimii efective de rezonanță cu factorul  $\sqrt{1 + I_n}$  (power broadening).

Ținându-se seama de (5.89) ecuația (5.15) se poate scrie astfel

$$\dot{E}_n = \frac{\omega_n}{2} \left( \frac{d^2 \gamma \bar{N}}{\varepsilon_0 \hbar (\omega_n - \Omega)^2 + \gamma^2 (1 + I_n)} - \frac{1}{Q_n} \right) E_n. \quad (5.90)$$

Soluția de regim staționar a ecuației (5.90) conduce la următoarea expresie pentru  $I_n$

$$I_n = \frac{\bar{N}}{\bar{N}_c} - 1 - \frac{(\omega_n - \Omega)^2}{\gamma_{ab}^2} \quad (5.91)$$

unde inversia de densitate critică  $N_c$  este dată de expresia (5.68).

Raportul  $\mathcal{N} = \bar{N}/\bar{N}_c$  se numește *excitație relativă*. (La rezonanță ( $\omega_n = \Omega$ ) astfel că  $I_n = \bar{N}/\bar{N}_c - 1$ , iar pentru  $\bar{N} = \bar{N}_c$  rezultă  $I_n = 0$ .)

Evident că rezultatele obținute mai sus sînt valabile în apropierea pragului datorită condiției  $R \ll R_s$ . Din analiza expresiei (5.91) rezultă și faptul că intensitatea de saturație este invers proporțională cu probabilitatea de tranziție dar este direct proporțională cu rata de amortizare a nivelului laser superior. Totodată, se constată că intensitatea oscilației este direct proporțională cu rata de pompaj a nivelului laser superior.

În continuare, se poate analiza ecuația frecvențelor de oscilație (5.14) în cazul nelinier prin evaluarea componentei în cuadratură a polarizării  $C_n$ . Se constată că ecuația de dispersie (5.72) nu se modifică ca urmare a rolului jucat de factorul de calitate  $Q$  în evaluarea polarizării.

## 5.5. Teoria laserilor cu atomi în mișcare

Spre deosebire de laserii cu atomi staționari, unde intervine lărgirea omogenă a liniei spectrale a atomilor individuali, în cazul laserilor cu atomi în mișcare intervine linia spectrală lărgită neomogen (Doppler) a unui ansamblu de atomi privit ca un întreg.

În acest caz, atomii interacționează cu un câmp electric modificat, dependent de vitezele atomilor în mișcare, ca urmare a unei distribuții a frecvențelor de rezonanță aparente ale atomilor.

### 5.5.1. Metoda integrării aproximative a ecuațiilor dependente de viteză

Evaluarea polarizării macroscopice  $P(\mathbf{r}, t)$  a mediului, ai cărui atomi cu viteza  $\mathbf{v}$  se face conform relației (5.30) însumînd contribuțiile tuturor atomilor, indiferent de viteza și poziția acestora, sub forma

$$P(\mathbf{r}, t) = \int_{-\infty}^{+\infty} d\mathbf{v} \sum \int_{-\infty}^{+\infty} dt_0 \int_0^L d\mathbf{r}_0 \lambda_\alpha(\mathbf{r}_0, t_0, \mathbf{v}) \times \\ \times \rho_{ab}(\alpha, \mathbf{r}_0, t_0, \mathbf{v}, t) \delta(\mathbf{r} - \mathbf{r}_0 - \mathbf{v}(t - t_0)) + \text{c.c.} \quad (5.92)$$



sau echivalent

$$P(\mathbf{r}, t) = d \int_{-\infty}^{+\infty} \rho_{ab}(\mathbf{r}, \mathbf{v}, t) d\mathbf{v} + \text{c.c.} \quad (5.93)$$

unde

$$\begin{aligned} \rho_{ab}(\mathbf{r}, \mathbf{v}, t) = & \sum_{\alpha} \int_{-\infty}^t dt_0 \int_0^L dr_0 \lambda_{\alpha}(\mathbf{r}_0, t_0, \mathbf{v}) \rho(\alpha, \mathbf{r}_0, t_0, \mathbf{v}, t) \times \\ & \times \delta(\mathbf{r} - \mathbf{r}_0 - \mathbf{v}(t - t_0)). \end{aligned} \quad (5.94)$$

Pentru evaluarea integralelor de mai sus se consideră perturbația

$$V(t) = V(\mathbf{r}_0, t_0, \mathbf{v}, t) = -\frac{d}{\hbar} \sum_{n=1}^M E_n U_n[\mathbf{r}_0 + \mathbf{v}(t - t_0)] \cos(\omega_n + \varphi_n) \quad (5.95)$$

unde conform definiției (5.6)

$$U_n(r) = \sin[K_n r - K_n v(t - t')] \quad (5.96)$$

astfel încît frecvența oscilație a atomilor este supusă schimbării Doppler :  $\omega_n \rightarrow \omega_n \pm K_n v$ .

În cele ce urmează se consideră rata de pompaj  $\lambda_a(\mathbf{r}, t, \mathbf{v})$  dependentă de distribuția maxwelliană a vitezelor descrisă de funcția

$$f(v) = (u\pi^{1/2})^{-1} \exp\left(-\frac{v^2}{u^2}\right), \quad (5.97)$$

$u = \sqrt{2kT/m}$  fiind viteza cea mai probabilă a atomilor, astfel încît

$$\lambda_a(\mathbf{r}, t, \mathbf{v}) = \lambda_a(\mathbf{r}, t) f(v). \quad (5.98)$$

În continuare, se rezolvă ecuațiile pentru elementele de matrice ale „matricei populație” (5.79), obținute din ecuația (5.43) prin explicitarea componentelor  $\rho_{aa}$ ,  $\rho_{bb}$  și  $\rho_{ab}$ , ținîndu-se seama de relațiile (5.96) și (5.98) și utilizîndu-se aproximația ecuației ratelor introdusă în § 5.3 (diferența de populație variază lent în timp pe intervale  $\gamma^{-1}$ ).

Formal, ecuațiile pentru elementele matricei populație sînt cele pentru un singur atom (5.46) – (5.50) cu diferența că la ecuațiile (5.46) și (5.47) se adaugă în partea dreaptă ratele de pompaj  $\lambda_a$  respectiv  $\lambda_b$ . Prin integrarea ecuației pentru  $\rho_{ab}$ , în ipotezele de mai sus, pentru un singur mod, se obține

$$\rho_{ab}(\mathbf{r}, \mathbf{v}, t) = -\frac{i}{4} \left( \frac{d}{\hbar} \right) E_n \exp[-i(\omega_n t + \varphi)] \times \quad (5.99)$$

$$\times U_n(r) (\rho_{aa} - \rho_{bb}) [\mathcal{L}(\omega_n - \Omega + K_n v) + \mathcal{L}(\omega_n - \Omega - K_n v)].$$

Introducînd expresia (5.99) în ecuațiile de mișcare pentru  $\rho_{aa}$  respectiv  $\rho_{bb}$ , acestea se pot pune sub forma (5.77), respectiv (5.78), evidențiindu-se rata tranziției induse  $R(\mathbf{r}, \mathbf{v})$  sub forma (pentru  $M$  moduri)

$$\begin{aligned} R(\mathbf{r}, \mathbf{v}) = & \frac{d^2}{4\hbar^2} \sum_{n=1}^M \gamma_{ab} [\mathcal{L}(\omega_n - \Omega - K_n v) + \mathcal{L}(\omega_n - \Omega + K_n v)] \times \\ & \times E_n^2 U_n^2(r) \end{aligned} \quad (5.100)$$



analogă expresiei (5.76). Expresia (5.100) este utilizată în continuare pentru analiza inversiei de populație  $N^{(n)}(\mathbf{r}, \mathbf{v})$ , care prin analogie cu (5.70) este definită prin

$$N^{(n)}(\mathbf{r}, \mathbf{v}) = \rho_{aa}(\mathbf{r}, \mathbf{v}) - \rho_{bb}(\mathbf{r}, \mathbf{v}) = \frac{N^{(0)}(\mathbf{r}, \mathbf{v}, t)}{1 + R(\mathbf{r}, \mathbf{v})/R_s} \quad (5.101)$$

unde

$$N^{(0)}(\mathbf{r}, \mathbf{v}, t) = \frac{\lambda_a(\mathbf{r}, \mathbf{v}, t)}{\gamma_a} - \frac{\lambda_b(\mathbf{r}, \mathbf{v}, t)}{\gamma_b}, \quad (5.102)$$

Ca urmare, inversia de populație pentru atomii avînd viteza  $\mathbf{v}$  devine

$$N^{(n)}(\mathbf{r}, \mathbf{v}) = \frac{f(v)N^{(0)}(\mathbf{r})}{1 + R(\mathbf{r}, \mathbf{v})/R_s}. \quad (5.103)$$

Întrucît rata tranziției induse prezintă maxime pentru viteze determinate de relația

$$\omega_n - \Omega = \pm K_n v, \quad (5.104)$$

dependența  $N^{(n)}(\mathbf{r}, \mathbf{v})$  funcție de viteză, reprezentată grafic în fig. 5.5, prezintă două minime simetrice în raport cu profilul liniei Doppler (hole-burning), lărgimea acestor minime fiind conform relației (5.99) egală cu cea a liniei lorentziene omogene  $\left(\Delta\omega \simeq \frac{\gamma}{K_n}\right)$ .

În cazul particular al unui singur mod la rezonanță  $\omega_n = \Omega$ , cele două minime se suprapun în punctul  $v = 0$ . Fenomenul, cunoscut sub numele de *depopulare selectivă*, evidențiază interacția puternică a atomilor

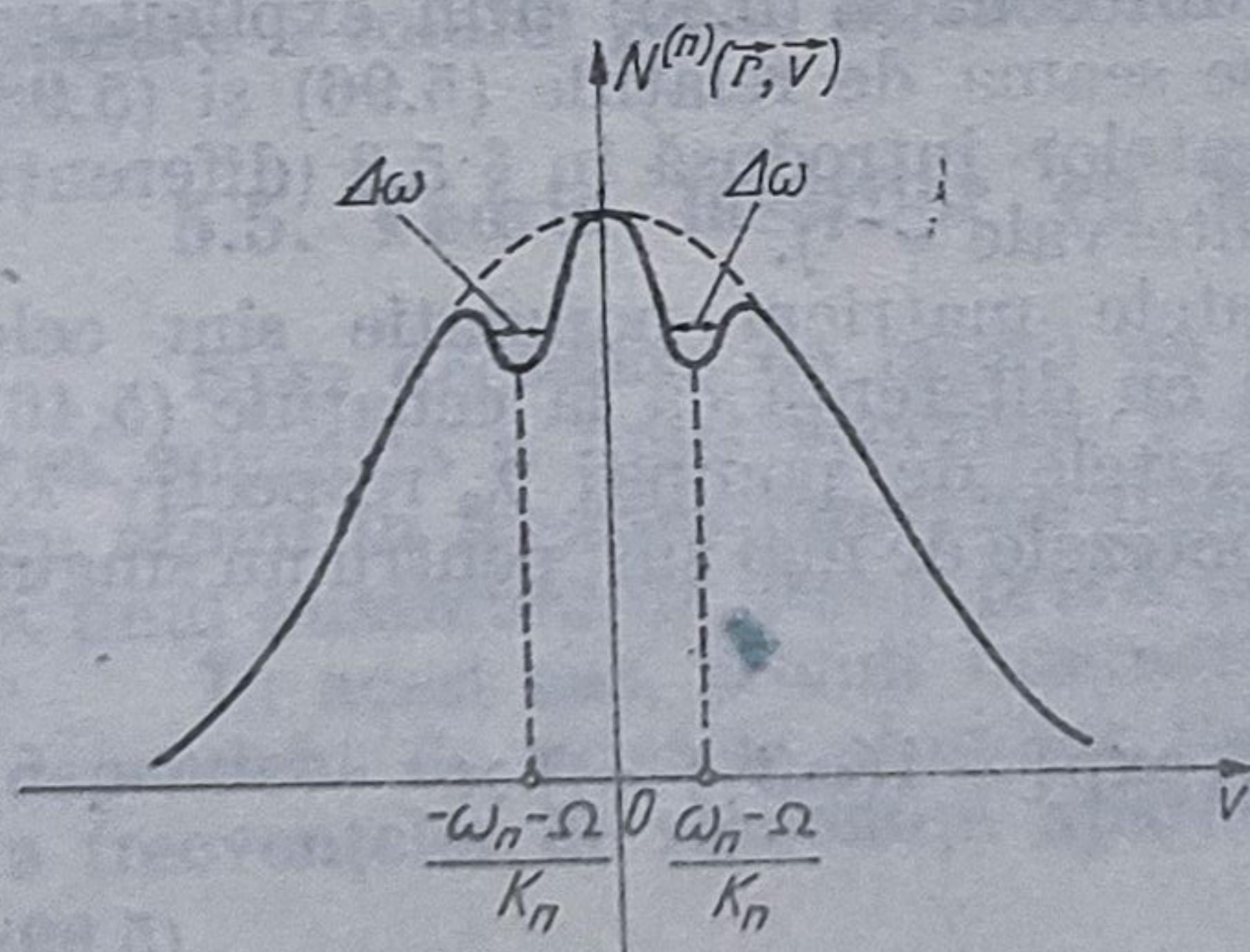


Fig. 5.5.

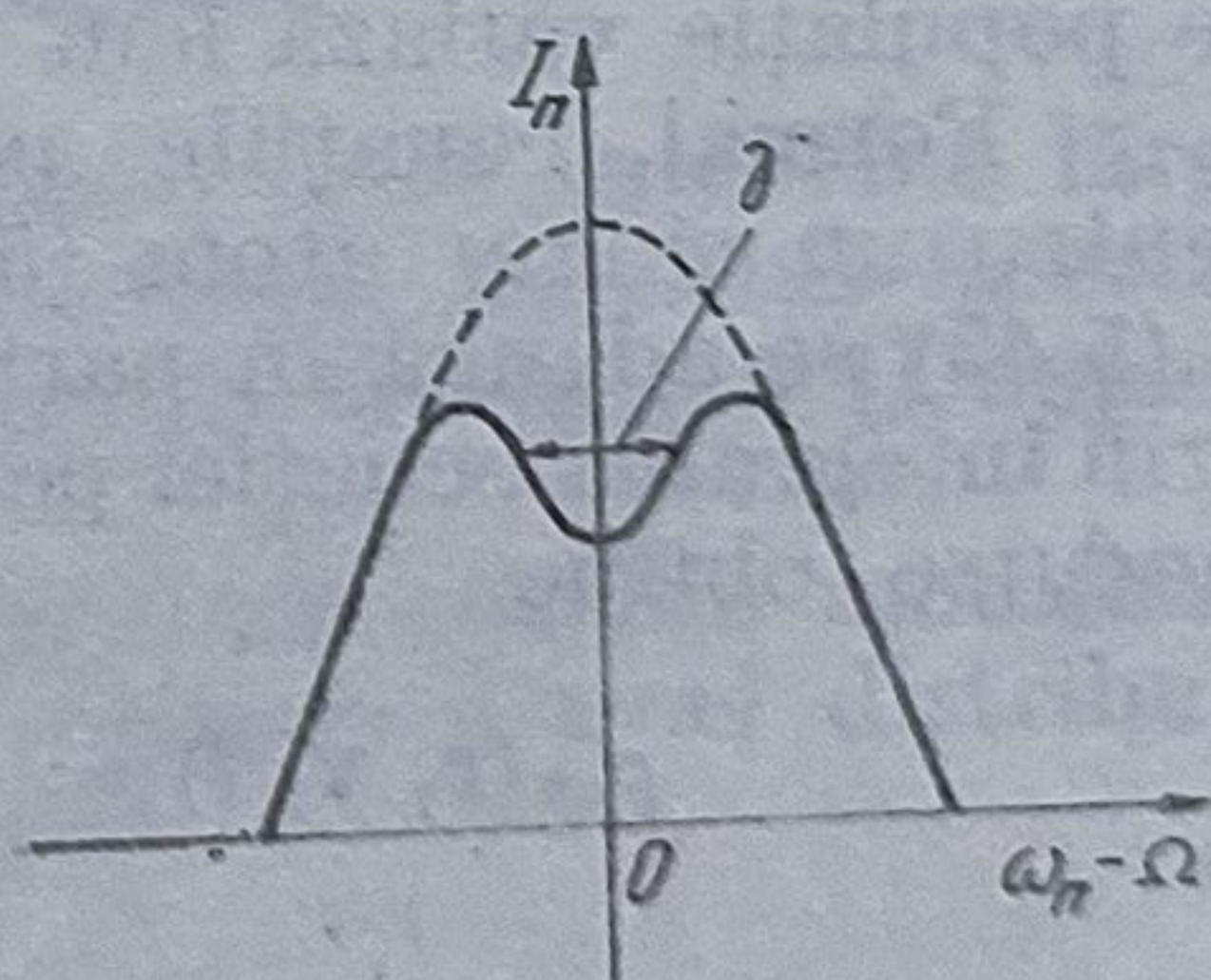


Fig. 5.6.

cu câmpul electric rezonant (în sistemul de referință al atomilor, care mișcă cu vitezele  $\mathbf{v}$ , respectiv  $-\mathbf{v}$ ).

În condiții de rezonanță, poate fi constatată existența unui minim numit *Lamb dip* și pe diagrama intensității modului  $I_n$  funcție de dezaordul  $\omega_n - \Omega$  (fig. 5.6). (Această dependență, confirmată experimental a fost prezisă teoretic de către Lamb, Jr.).



### 8.5.2. Metoda iterativă a lui Lamb

Expresia polarizării macroscopice medii în punctul  $(\mathbf{r}, t)$  are forma generală (5.30) sau în aproximația amplitudinilor variabile forma (5.31), fiind obținută prin însumarea soluțiilor (5.51) — (5.53) peste toți atomii, cu considerarea funcției de distribuție pentru vitezele atomilor (5.97).

a) În aproximația de ordinul întâi se evaluează

$$\rho_{ab}^{(1)}, \text{ pentru } \rho_{aa} = \rho_{bb} = 0.$$

Se obține expresia

$$\begin{aligned} \rho_{ab}^{(1)}(a, \mathbf{r}, \mathbf{v}, t) &= \int_{-\infty}^t dt_0 \lambda_a(\mathbf{r}_0 = \mathbf{r} - \mathbf{v}t + \mathbf{v}t_0, \mathbf{v}, t_0) \times \\ &\times \rho_{ab}^{(1)}(a, \mathbf{r}_0 = \mathbf{r} - \mathbf{v}t + \mathbf{v}t_0, t_0, \mathbf{v}, t). \end{aligned} \quad (5.105)$$

Dacă  $\lambda_a(\mathbf{r}_0, \mathbf{v}, t)$  este o funcție lent variabilă de timp și de poziție, ținându-se seama de expresia (5.95) a perturbației și de expresia (5.98) a ratei de pompaj rezultă pentru polarizarea macroscopică (5.30) în punctul  $(\mathbf{r}, t)$  expresia

$$\begin{aligned} P^{(1)}(\mathbf{r}, t) &= - \left( \frac{id^2}{2\hbar} \right) \left( \frac{\lambda_a(\mathbf{r}, t)}{\gamma_a} - \frac{\lambda_b(\mathbf{r}, t)}{\gamma_b} \right) \times \\ &\times \sum_n E_n(t) \exp [-i(\omega_n t - \varphi_n(t))] \times \\ &\times \int_{-\infty}^{+\infty} dv \int_0^{\infty} d\tau' f(v) \sin[K_n(r - v\tau')] \exp[-\gamma\tau' - i(\Omega - \omega_n)\tau'] + \text{c.c.} \end{aligned} \quad (5.106)$$

Influența polarizării macroscopice asupra unui anumit mod  $n$  este determinată de componenta Fourier spațială corespunzătoare a expresiei (5.106) conform relației

$$\begin{aligned} P_n^{(1)}(t) &= \frac{2}{L} \int_0^L dr P^{(1)}(\mathbf{r}, t) \sin K_n r = \\ &= - \left( \frac{d^2}{2\hbar K u} \right) \sum_m \{ E_n(t) \exp [-i\omega_m t - i\varphi_m(t)] \times \\ &\times N_{m-n}(t) Z(\omega_m - \Omega) + \text{c.c.} \} \end{aligned} \quad (5.107)$$

unde componenta Fourier spațială  $N_{m-n}(t)$  a lui  $N(\mathbf{r}, t)$  are forma

$$N_{n-m}(t) = \frac{1}{L} \int_0^L dr N(\mathbf{r}, t) \cos [(K_n - K_m) r] \quad (5.108)$$

iar

$$\begin{aligned} Z(\omega_m - \Omega) &= Z(\omega_m - \Omega, \gamma, Ku) = \\ &= iKu \int_0^L d\tau \exp \left[ i(\omega_m - \Omega) \tau - \gamma\tau - \frac{1}{4} K^2 u^2 \tau^2 \right] \end{aligned} \quad (5.109)$$

este funcția complexă de dispersie a plasmiei,  $K = \omega/c$ ,  $Ku$  fiind lărgimea Doppler a liniei spectrale.



În cazul particular în care densitatea de excitare  $N(\mathbf{r}, t)$  nu depinde de poziția în cavitate,  $N(\mathbf{r}, t) \rightarrow \bar{N}(t)$ , astfel încît

$$P^{(1)}(t) = - (d^2/2\hbar Ku) E_n(t) \bar{N}(t) \cdot \exp[-i(\omega_n t - \varphi_n(t))] \times \\ \times Z(\omega_n - \Omega) + \text{c.c.} \quad (5.110)$$

Întrucît este funcție liniară de  $E_n(t)$ ,  $P_n^{(1)}(t)$  conține aceleași frecvențe ca și câmpul cavității. În expresia (5.110) pot fi puse în evidență cantitățile  $S_n^{(1)}$  și  $C_n^{(1)}$ , conform definiției (5.13) sub forma

$$S_n^{(1)} = - \frac{d^2}{\hbar Ku} \bar{N}(t) Z_i(\omega_n - \Omega) E_n \quad (5.111)$$

respectiv

$$C_n^{(1)} = - \frac{d^2}{\hbar Ku} \bar{N}(t) Z_r(\omega_n - \Omega) E_n \quad (5.112)$$

unde  $Z_r$  și  $Z_i$  sînt părțile reală și imaginară ale funcției de dispersie a plasmei  $Z$ .

Introducînd expresiile (5.111) și (5.112) în ecuațiile (5.15) și (5.14) se obțin soluțiile de regim staționar următoare

$$\dot{E}_n = 0; \quad \frac{d^2}{\varepsilon_0 \hbar Ku} \bar{N} Z_i = \frac{1}{Q_n} \quad (5.113)$$

respectiv

$$\dot{\varphi}_n = 0; \quad \omega_n = \Omega_n + \frac{1}{2} \frac{\omega}{Q_n} \frac{Z_r}{Z_i}. \quad (5.114)$$

Expresia (5.113) este echivalentă cu condiția de oscilație (4.9) stabilită de Schawlow și Townes, dacă se utilizează o aproximație corespunzătoare pentru  $Z$ .

Pe de altă parte, expresia (5.114) pune în evidență efectul cunoscut de tîrîre a frecvenței pentru laserii cu atomi în mișcare. Prin urmare, în aproximația liniară sînt stabilite condiția de oscilație și tîrîrea frecvenței modurilor ca și pentru laserii cu atomi staționari.

b) În aproximația de ordinul al treilea, prin analogie cu (5.105) se poate scrie

$$\rho_{ab}^{(3)}(\mathbf{r}, \mathbf{v}, t) = \sum_{\alpha=a, b} \lambda_{\alpha}(\mathbf{r}, \mathbf{v}, t) \int_{-\infty}^t dt_0 \rho_{ab}^{(3)}(\alpha, \mathbf{r}_0 = \mathbf{r} - \mathbf{v}(t - t_0), t_0, \mathbf{v}, t). \quad (5.115)$$

Utilizîndu-se metoda dezvoltată pentru aproximația de ordinul întîi se obține pentru polarizarea  $P_n^{(3)}(t)$  expresia [61]

$$P_n^{(3)} = \left( \frac{id^4}{32\hbar^3 \gamma_a} \right) \bar{N}(t) E_n^3 \exp[-i(\omega_n t + \varphi_n(t))] \times \\ \times \int_0^{\infty} d\tau' \int_0^{\infty} d\tau'' \left\{ \exp\left[-\frac{1}{4} K^2 u^2 (\tau' - \tau'')^2\right] + \right. \\ \left. + \exp\left[-\frac{1}{4} K^2 u^2 (\tau' + \tau'')^2\right] \right\} \cdot \{ \exp[-(\gamma + i\Omega - i\omega_n) \tau''] + \\ + \exp[-(\gamma + i\omega_n - i\Omega) \tau''] \} \cdot \exp[-(\gamma + i\Omega - i\omega_n \tau')] + \\ + (\text{aceeași expresie cu } \gamma_b \text{ în loc de } \gamma_a) + \text{c.c.} \quad (5.116)$$



De asemenea, la „limita Doppler” definită prin  $Ku \gg \gamma$  se obține

$$P_n^{(3)}(t) = \left( \frac{i \pi^{1/2}}{16 \hbar^3} \right) d^4(\gamma Ku) (\gamma_a \gamma_b)^{-1} \bar{N}(t) \times \\ \times [\mathcal{D}(0) + \mathcal{D}(\Omega - \omega_n)] \cdot E_n^3 \exp [-i\omega_n t - i\varphi_n(t)] + \text{c.c.} \quad (5.117)$$

unde  $\mathcal{D}(\omega) = 1/(\gamma + i\omega)$ .

În continuare, evaluind mărimile  $S_n^{(3)}$  și  $C_n^{(3)}$  din ecuația (5.117) și introducându-le în ecuațiile (5.15) și (5.14) se obțin soluțiile de regim staționar

$$E_n^2 = \frac{8Z_i(0) \hbar^2 \gamma_a \gamma_b}{\pi^{1/2} d^2} \left[ \frac{Z_i(\omega_n - \Omega)}{Z_i(0)} - \frac{1}{\mathcal{N}} \right] \frac{1}{1 + \gamma^2 \mathcal{L}(\Omega - \omega_n)} \quad (5.118)$$

respectiv

$$\omega_n = \Omega_n + \sigma_n + \rho_n E_n^2 \quad (5.119)$$

unde

$$\mathcal{N} = \frac{\bar{N}}{\bar{N}_c} \quad (5.120)$$

este excitația relativă.

În ecuația (5.118)  $E_n^2$  reprezintă *intensitatea câmpului la saturație*. Se poate scrie

$$E_n^2 = \frac{\alpha_n}{\beta_n} \quad (5.121)$$

unde

$$\alpha_n = \frac{1}{2} (\omega/Q_n) \{ [Z_i(\omega_n - \Omega)/Z_i(0)] \cdot \mathcal{N} - 1 \} \quad (5.122)$$

este factorul de câștig net liniar, iar

$$\beta_n = \frac{1}{16} \pi^2 \left( \frac{\omega}{Q_n} \right) \left[ \frac{\mathcal{N} d^2}{\hbar^2 \gamma_a \gamma_b Z_i(0)} \right] (1 + \gamma \mathcal{L}(\Omega - \omega_n)) \quad (5.123)$$

este factorul de saturație.

De asemenea, în ecuația (5.119) s-au introdus coeficienții  $\sigma_n$  și  $\rho_n$ :

$$\sigma_n = \frac{1}{2} \left( \frac{\omega}{Q_n} \right) \mathcal{N} Z_r(\Omega_n - \Omega)/Z_i(0) \quad (5.124)$$

este factorul de tirirea frecvenței spre centrul liniei laser (mode pulling), iar

$$\rho_n = \frac{1}{16} \pi^{1/2} \left( \frac{\omega}{Q_n} \right) \mathcal{N} \left[ \frac{d^2}{\hbar^2 \gamma_a \gamma_b Z_i(0)} \right] \gamma(\Omega_n - \Omega) \mathcal{L}(\Omega - \Omega_n) \quad (5.125)$$

este factorul tirirea frecvenței spre exteriorul liniei laser (mode pushing). (S-a înlocuit în mod aproximativ  $\omega_n$  cu  $\Omega_n$ ).

Din examinarea expresiilor (5.118) și (5.121) rezultă și efectele de depopulare selectivă și „Lamb dip” discutate și în § 5.5.1.



## 5.6. Competiția modurilor și condițiile de stabilitate

Rezultatele obținute în paragrafele anterioare pot fi extinse pentru studiul regimurilor de funcționare multimodală a dispozitivelor laser.

În principiu, în cazul oscilației pe mai multe moduri, datorită neliniarităților mediului apar pulsații ale diferenței de populație pe frecvențe egale cu multipli ai ecartului de frecvență dintre două moduri adiacente, evidențiate prin fenomenul „de bătai”.

Fenomenele de competiție a modurilor conduc la cerințe speciale de stabilitate pentru funcționarea multimodală. Atunci când sînt excitate mai multe moduri, din analiza expresiei (5.76) a ratei de tranziție indusă  $R$ , rezultă că vor apare pulsații ale polarizării și diferenței de populație, caracteristice oscilațiilor neliniare, corespunzător frecvențelor  $\omega_m - \omega_n$ .

Dacă se neglijează aceste pulsații (de exemplu, în cazul laserilor cu gaz acestea sînt relativ scăzute întrucît  $\omega_m - \omega_n > \gamma_{ab}$ ), atunci restrîngînd însumarea în expresia lui  $R$  la cazul  $m = n$  se obține

$$R = \frac{d^2}{2\hbar^2} \sum_{n=1}^M \gamma_{ab} \mathcal{L}(\Omega - \omega_n) E_n^2(t) U_n^2(z) \quad (5.126)$$

utilă în stabilirea ecuațiilor cuplate ale modurilor.

Astfel, dacă se evaluează expresia (5.84) ținîndu-se seama de dezvoltarea (5.83) și de formula simplificată (5.126) a lui  $R$  rezultă

$$\begin{aligned} \bar{N}_n^{(n)} \simeq \bar{N} - \frac{3}{2L} \frac{d^2}{\hbar^2 \gamma_a \gamma_b} \gamma_{ab}^2 \mathcal{L}(\omega_n - \Omega) \bar{N} E_n - \\ - \frac{d^2}{L \hbar^2 \gamma_a \gamma_b} \gamma_{ab}^2 \sum_{m \neq n} \mathcal{L}(\omega_m - \Omega) \left( \bar{N} + \frac{1}{2} N_{2(m-n)} \right) E_m^2, \end{aligned} \quad (5.127)$$

unde  $N_{2(m-n)}$  este definit astfel

$$N_{2(m-n)} = \frac{1}{L} \int_0^L N^{(0)} \cos [2(k_m - k_n)z] dz. \quad (5.128)$$

Ținîndu-se seama de expresiile (5.65) și (5.127) unde  $\bar{N}_n \rightarrow \bar{N}_n^{(n)}$ , din ecuația (5.15) rezultă următorul set de ecuații neliniare cuplate ale amplitudinilor modurilor

$$\dot{E} = \alpha_n E_n - \beta_n E_n^3 - \sum_{(m \neq n)}^M \theta_{mn} E_n E_m^2 \quad n = 1, 2, \dots, M \quad (5.129)$$

unde  $\alpha_n$  este coeficientul de câștig efectiv

$$\alpha_n = \frac{\omega_n d^2}{2 \varepsilon_0 \hbar \gamma_a \gamma_b} \bar{N} \gamma_{ab}^2 \mathcal{L}(\omega_n - \Omega) - \frac{\Omega_n}{2Q_n}, \quad (5.130)$$

$\beta_n$  este coeficientul de saturație pentru modul  $n$

$$\beta_n = \frac{\omega_n}{2\varepsilon_0} \frac{d^4 \gamma_{ab}^3}{\hbar^3 \gamma_a \gamma_b} \mathcal{L}^2(\omega_n - \Omega) \frac{3}{2} \frac{\bar{N}}{L}, \quad (5.131)$$



iar  $\theta_{mn}$  este coeficientul de saturație neliniară mutuală

$$\theta_{mn} = \frac{\omega_n}{2\epsilon_0} \frac{d^4 \gamma_{ab}^3}{\hbar^3 \gamma_a \gamma_b} \mathcal{L}(\omega_m - \Omega) \mathcal{L}(\omega_n - \Omega) \frac{1}{L} \left( \bar{N} + \frac{1}{2} N_{2(m-n)} \right) \simeq \theta_{nm}. \quad (5.132)$$

Ecuatiile (5.129) se pot obține și direct din ecuațiile lui Lamb [86] pentru laserii multimodali dacă se neglijează termenii de fază al căror efect, în general, poate fi neglijat într-o aproximație suficient de bună.

Ecuatiile cuplate ale amplitudinilor și frecvențelor modurilor obținute în cazul general au forma [62]

$$\dot{E}_n = \alpha_n E_n - \sum_r \sum_s \sum_p E_r E_s E_p \operatorname{Im} \{ \Theta_{nrsp} \exp [i\psi_{nrsp}] \} \quad (5.133)$$

$$\omega_n + \dot{\phi}_n = \Omega_n + \sigma_n = \sum_r \sum_s \sum_p E_r E_s E_p E_n^{-1} \operatorname{Re} \{ \Theta_{nrsp} \exp [i\psi_{nrsp}] \} \quad (5.134)$$

unde  $\Theta_{nrsp}$  este un termen de saturație,  $\psi_{nrsp}$  este unghiul de fază relativ iar celelalte mărimi au semnificații cunoscute.

Cuplajul modurilor, reflectat de ecuațiile (5.133) și (5.134) a fost pe larg discutat în literatura de specialitate, în strînsă legătură cu competiția modurilor și efectele de coerență atomică [320]. Competiția modurilor va fi analizată în cele ce urmează pentru laserul cu două și trei moduri de oscilație peste prag, pornindu-se de la studiul condițiilor de stabilitate, pentru diferite condiții de cuplaj între moduri.

### 5.6.1. Metoda analitică de studiu a competiției și stabilității modurilor

Se utilizează pentru studiul competiției modurilor și a condițiilor de stabilitate ecuațiile cuplate de amplitudine (5.129) și teorema de stabilitate a lui Liapunov, evidențiindu-se corelația dintre condițiile de stabilitate și cuplaj rezultată din caracteristicile neliniare ale mediului activ [99].

a) *Laserul cu două moduri.* În cazul laserului cu două moduri peste prag, intensitățile modurilor  $I_1 = E_1^2$  și  $I_2 = E_2^2$  verifică ecuațiile diferențiale obținute prin particularizare din ecuațiile (5.129)

$$\dot{I}_1 = 2 I_1 (\alpha_1 - \beta_1 I_1 - \theta_{12} I_2) \quad (5.135)$$

$$\dot{I}_2 = 2 I_2 (\alpha_2 - \theta_{21} I_1 - \beta_2 I_2) \quad (5.136)$$

unde  $\theta_{12} \simeq \theta_{21} = \theta > 0$ ,  $\alpha > 0$ ,  $\beta > 0$ .

Soluția staționară a ecuațiilor (5.135) și (5.136) se obține din condiția  $\dot{I}_1 = \dot{I}_2 = 0$ . În afară de soluția banală  $I_1 = I_2 = 0$ , se obțin soluțiile de operare monomod

$$I_1 = 0, \quad I_2 = \frac{\alpha_2}{\beta_2}; \quad I_1 = \frac{\alpha_1}{\beta_1}, \quad I_2 = 0 \quad (5.137)$$

și soluția de operare cu două moduri ( $I_{10}$ ,  $I_{20}$ ) corespunzătoare intersecției dreptelor  $\dot{I}_1 = \dot{I}_2 = 0$ .



Din teorema lui Liapunov de studiu a stabilității soluțiilor sistemului de ecuații (5.135) și (5.136) se obține ecuația seculară

$$D(\lambda) = \lambda^3 - 2\lambda(\beta_1 I_{10} + \beta_2 I_{20}) - 4\theta_{12}\theta_{21}I_{10}I_{20} + 4\beta_1\beta_2 I_{10}I_{20} = 0 \quad (5.138)$$

astfel încît rezultă condiția de stabilitate

$$8 I_{10}I_{20} (\beta_1\beta_2 - \theta_{12}\theta_{21}) (\beta_1 I_{10} + \beta_2 I_{20}) > 0. \quad (5.139)$$

Această condiție este satisfăcută dacă

$$\beta_1\beta_2 - \theta_{12}\theta_{21} > 0 \text{ sau } C = \theta_{12}\theta_{21}/\beta_1\beta_2 \leq 1 \quad (5.140)$$

unde  $C$  este constanta de cuplaj a modurilor, ceea ce indică *cuplajul slab* al modurilor care oscilează avînd același coeficient de câștig. Condiția de *cuplaj tare*

$$\beta_1\beta_2 < \theta_{12}\theta_{21} \text{ sau } C > 1 \quad (5.141)$$

corespunde operării instabile, astfel încît oscilația modului dominant inhibă oscilația celui de-al doilea mod. Pentru coeficienți de câștig diferiți, modul dominant îl inhibă pe celălalt, pentru orice condiție de cuplaj.

b) *Laserul cu trei moduri*. Ecuațiile cuplate pentru amplitudinile modurilor, pentru laserul cu trei moduri peste pragul de oscilație, au forma

$$\begin{aligned} \dot{I}_1 &= 2I_1(\alpha_1 - \beta_1 I_1 - \theta_{12}I_2 - \theta_{13}I_3) \\ \dot{I}_2 &= 2I_2(\alpha_2 - \beta_2 I_2 - \theta_{23}I_3 - \theta_{21}I_1) \\ \dot{I}_3 &= 2I_3(\alpha_3 - \beta_3 I_3 - \theta_{31}I_1 - \theta_{32}I_2). \end{aligned} \quad (5.143)$$

Din ecuația seculară a acestui sistem

$$D(\lambda) = \begin{vmatrix} -2\beta_1 I_{10} - \lambda & -2\theta_{12}I_{10} & -2\theta_{13}I_{10} \\ -\theta_{21}I_{20} & -2\beta_2 I_{20} - \lambda & -2\theta_{23}I_{20} \\ -2\theta_{31}I_{30} & -2\theta_{32}I_{30} & -2\beta_3 I_{30} - \lambda \end{vmatrix} = 0 \quad (5.145)$$

rezultă ca și în cazul laserului cu două moduri condiția de stabilitate generală

$$\begin{aligned} &\beta_2 I_{20}^2 I_{30} (\beta_2 \beta_3 - \theta_{23} \theta_{32}) + \beta_3 I_{20} I_{30}^2 (\beta_2 \beta_3 - \theta_{23} \theta_{32}) + \\ &+ \beta_2 I_{10} I_{20}^2 (\beta_1 \beta_2 - \theta_{12} \theta_{21}) + \beta_1 I_{10}^2 I_{20} (\beta_1 \beta_2 - \theta_{12} \theta_{21}) + \\ &+ \beta_3 I_{10} I_{30}^2 (\beta_1 \beta_3 - \theta_{13} \theta_{31}) + \beta_1 I_{10}^2 I_{30} (\beta_1 \beta_3 - \theta_{13} \theta_{31}) + \\ &+ I_{10} I_{20} I_{30} (\beta_1 \beta_2 \beta_3 - \theta_{21} \theta_{13} \theta_{32}) + I_{10} I_{20} I_{30} (\beta_1 \beta_2 \beta_3 - \\ &- \theta_{31} \theta_{12} \theta_{23}) > 0. \end{aligned} \quad (5.146)$$

Această inegalitate este satisfăcută dacă sînt îndeplinite simultan următoarele condiții

$$\begin{aligned} &\beta_1 \beta_2 > \theta_{12} \theta_{21}, \quad \beta_2 \beta_3 > \theta_{23} \theta_{32}, \quad \beta_3 \beta_1 > \theta_{13} \theta_{31} \\ &\beta_1 \beta_2 \beta_3 > \theta_{12} \theta_{23} \theta_{31}, \quad \beta_1 \beta_2 \beta_3 > \theta_{21} \theta_{32} \theta_{13}. \end{aligned} \quad (5.147)$$

Aceste condiții definesc cuplajul slab pentru laserul cu trei moduri de oscilație.



Condițiile de stabilitate obținute mai sus, utilizându-se teorema de stabilitate a lui Liapunov sînt în concordanță cu cele obținute prin alte metode, de exemplu, prin metoda planului fazelor prezentată în continuare.

### 5.6.2. Metoda planului fazelor de analiză a competiției și stabilității modurilor

Metoda planului fazelor a lui Poincaré constă în trasarea curbelor de fază determinate de soluțiile  $I_1(t)$  și  $I_2(t)$  în planul  $(I_1, I_2)$  ținînd seama de condițiile inițiale  $I_1(t_0)$  și  $I_2(t_0)$ . O soluție staționară este stabilă dacă toate curbele de fază în vecinătatea lui  $I_{10}$  și  $I_{20}$  se strîng în punctul determinat de aceste valori. Panta tangentei la curba de fază  $I_2(I_1)$  în orice punct este dată de ecuația

$$\frac{dI_2}{dI_1} = \frac{\dot{I}_2}{\dot{I}_1} = \frac{I_2}{I_1} \frac{(\alpha_2 - \theta I_1 - \beta I_2)}{(\alpha_1 - \beta I_1 - \theta I_2)} = 0. \quad (5.148)$$

Se observă că toate curbele de fază care intersectează dreapta  $L_1$  de ecuație:  $\alpha_1 = \beta_1 I_1 + \theta I_2$ , au tangenta verticală în punctul de intersecție pe cînd curbele de fază care intersectează dreapta  $L_2$ , de ecuație:  $\alpha_2 = \theta I_1 + \beta_2 I_2$ , au tangenta orizontală în punctul de intersecție. Ca urmare se pot construi graficele calitative de evoluție în planul fazelor, conform metodei lui Lamb [86]. Rezultă concluziile: dacă  $L_1$  și  $L_2$  nu se intersectează, laserul oscilează pe modul ale cărui cîștig este peste prag; dacă  $L_1$  și  $L_2$  se intersectează apar trei situații: cuplaj slab al modurilor (laserul oscilează pe două moduri simultan); cuplaj tare al modurilor (soluția corespunde echilibrului instabil, modurile sînt în competiție și laserul oscilează pe unul din moduri funcție de condițiile inițiale); cuplaj indiferent ( $\beta_1 \beta_2 = \theta^2$ ) al modurilor în care caz dreptele  $L_1$  și  $L_2$  coincid și orice punct de pe dreapta  $L = L_1 = L_2$  este de echilibru, dar *labil* — adică sistemul este foarte sensibil la perturbații.

Rezultatele analizei numerice cu ajutorul calculatorului a competiției modurilor în planul fazelor sînt prezentate pentru laserul cu două și trei moduri în lucrarea [320].

În figura 5.7 se prezintă operarea instabilă a laserului cu două moduri în condiții de cuplaj tare, astfel încît modul favorizat îl suprimă pe celălalt.

În figura 5.8 se prezintă operarea laserului cu două moduri, pentru cuplaj slab al acestora și același coeficient de cîștig pentru moduri.

În figura 5.9 se prezintă operarea laserului cu trei moduri pentru cuplajul slab al acestora.

În figura 5.10 cîștigul și condițiile inițiale determină operarea stabilă cu două moduri a laserului cu trei moduri.

Modul de operare cu un singur mod al laserului cu trei moduri determinat de cîștig și condițiile inițiale este prezentat în figura 5.11.

În figura 5.12, funcționarea laserului cu trei moduri este instabilă datorită condițiilor de cuplaj tare.



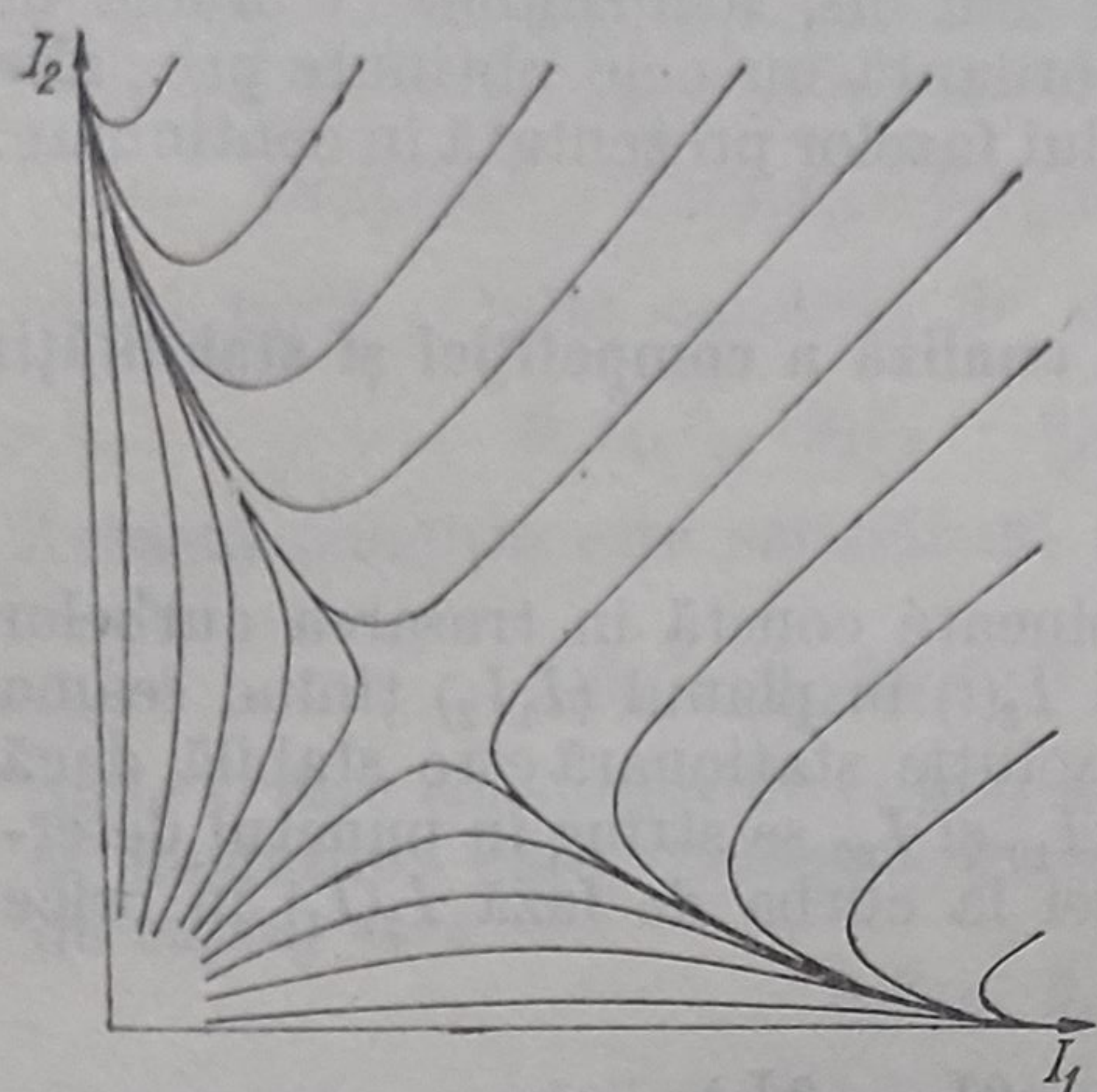


Fig. 5.7

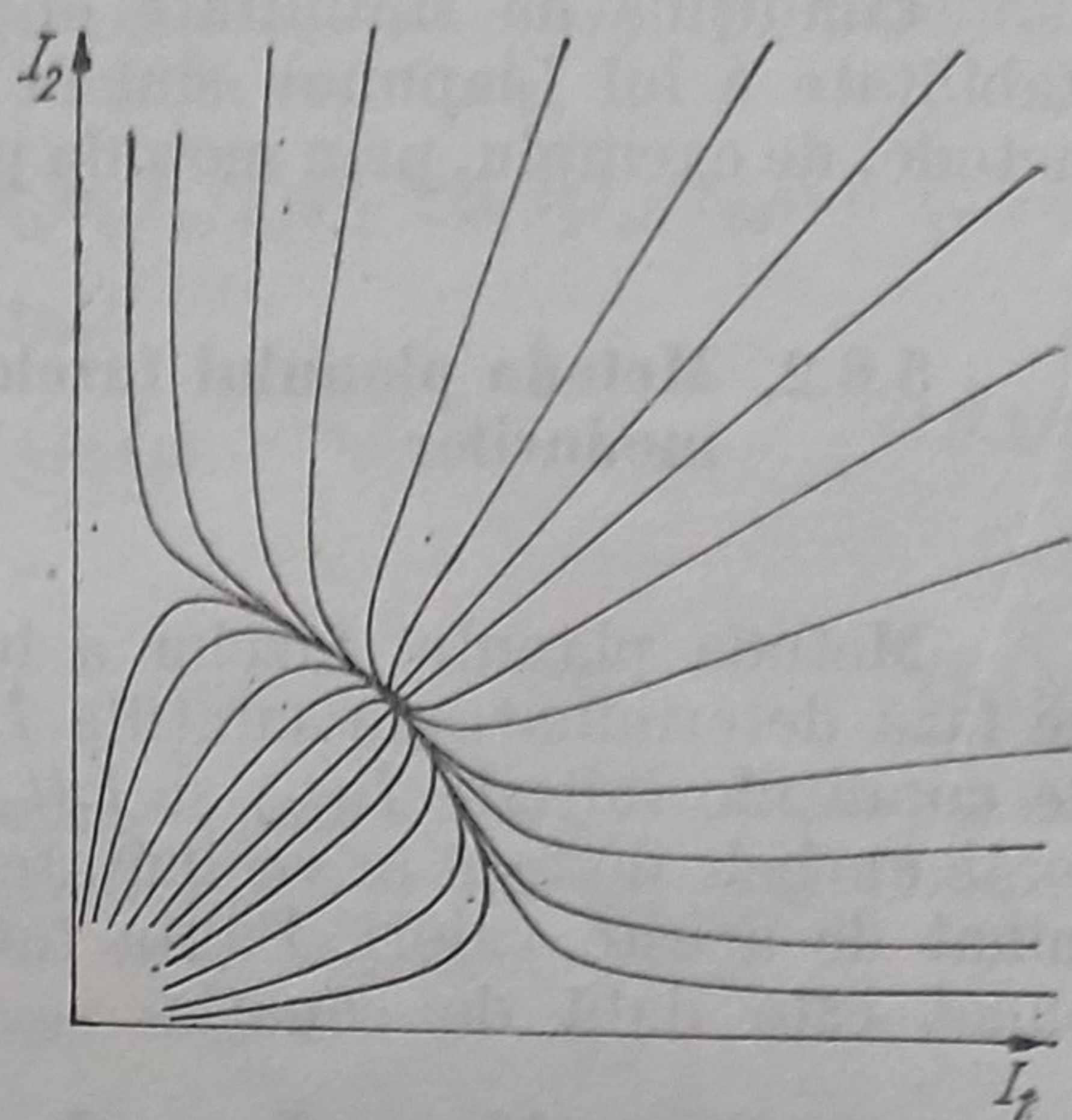


Fig. 5.8

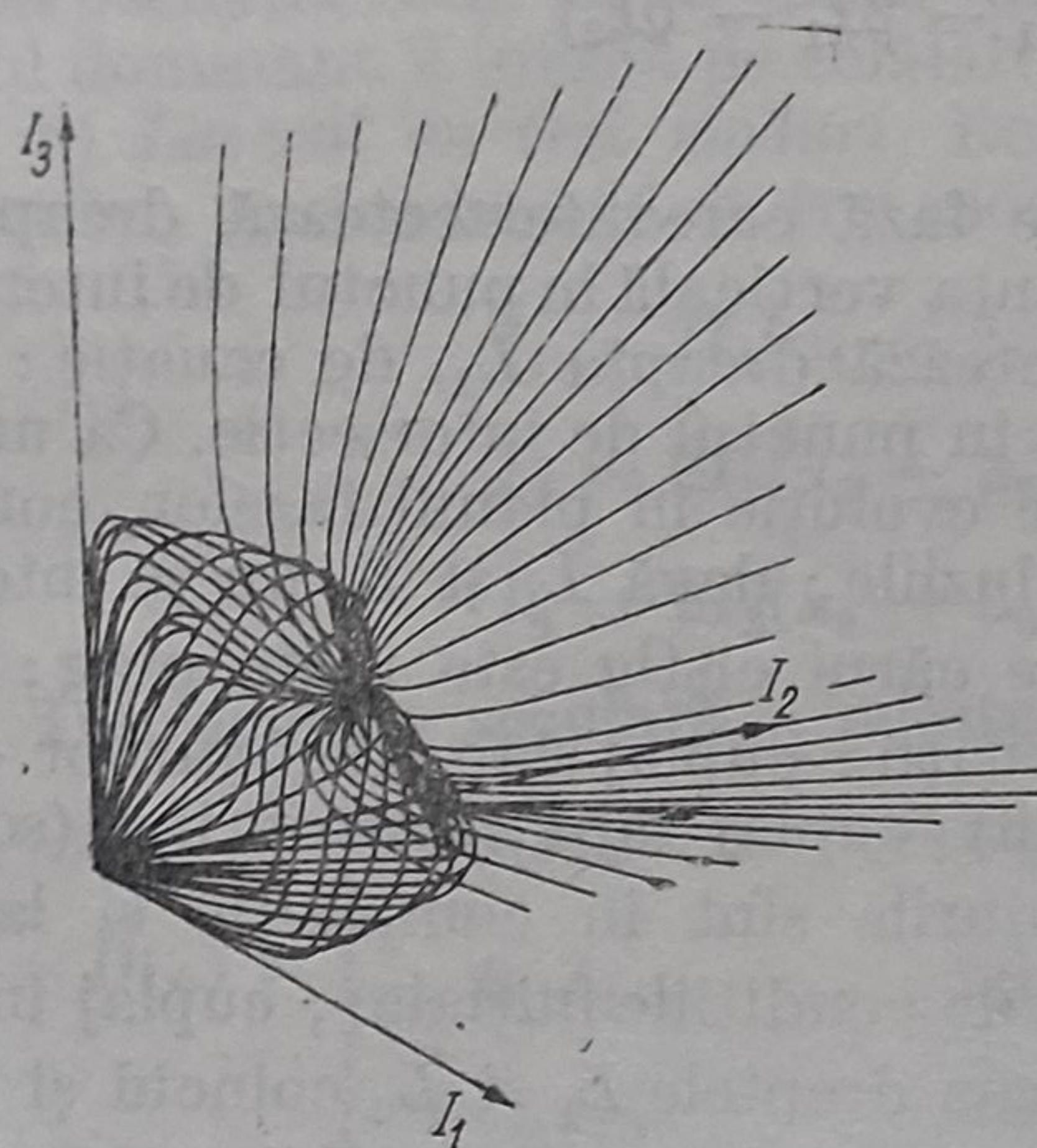


Fig. 5.9

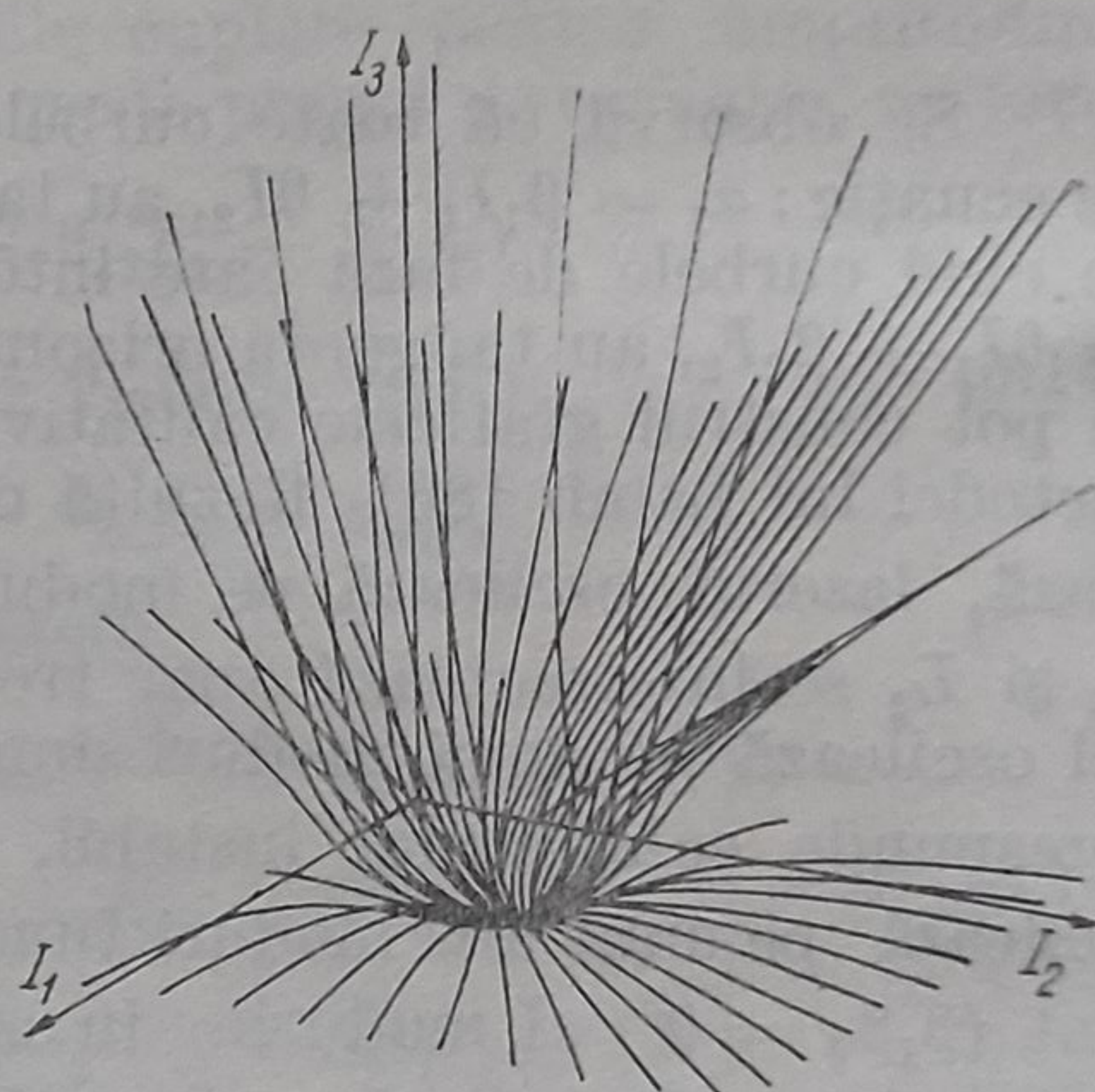


Fig. 5.10

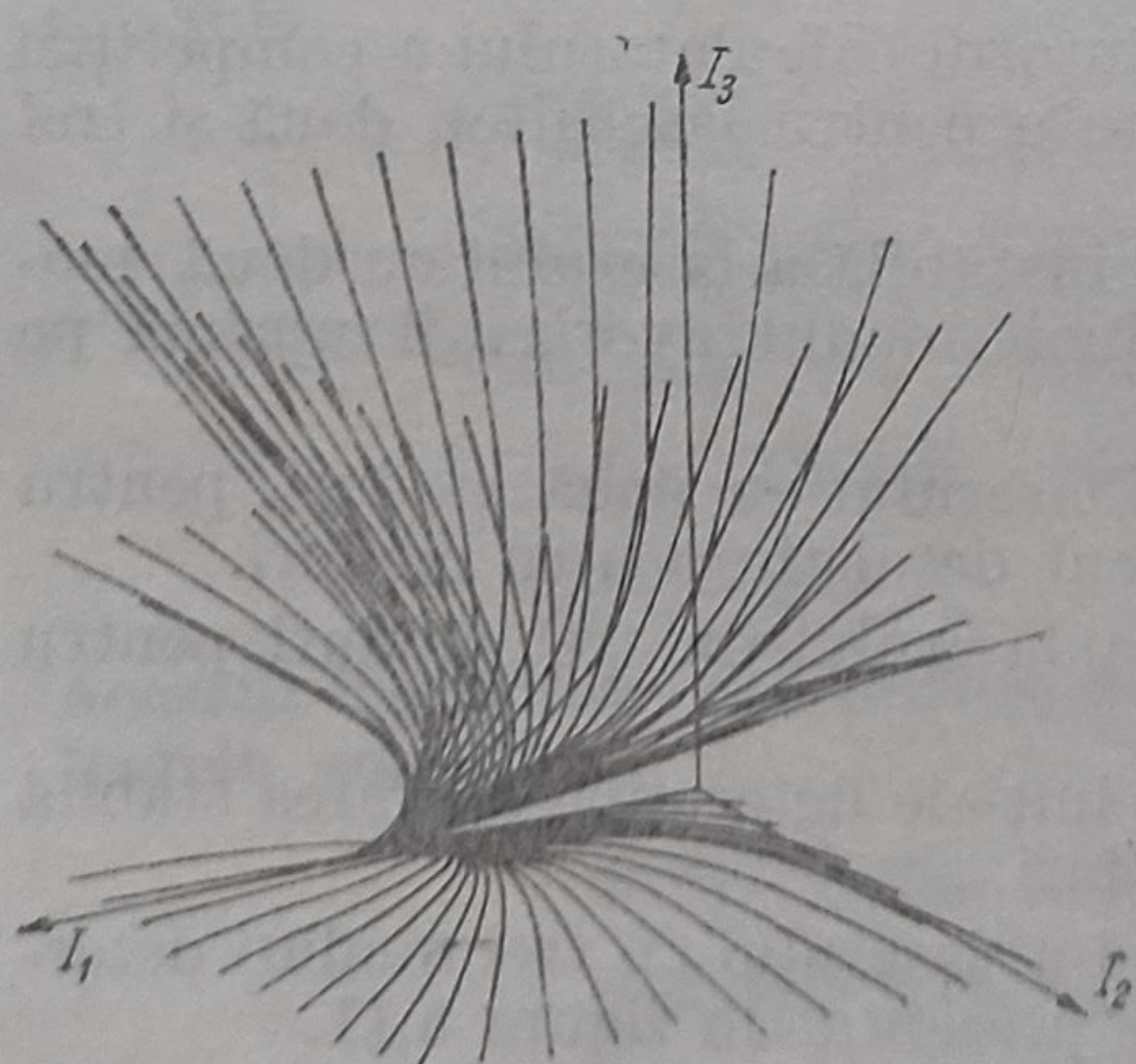


Fig. 5.11

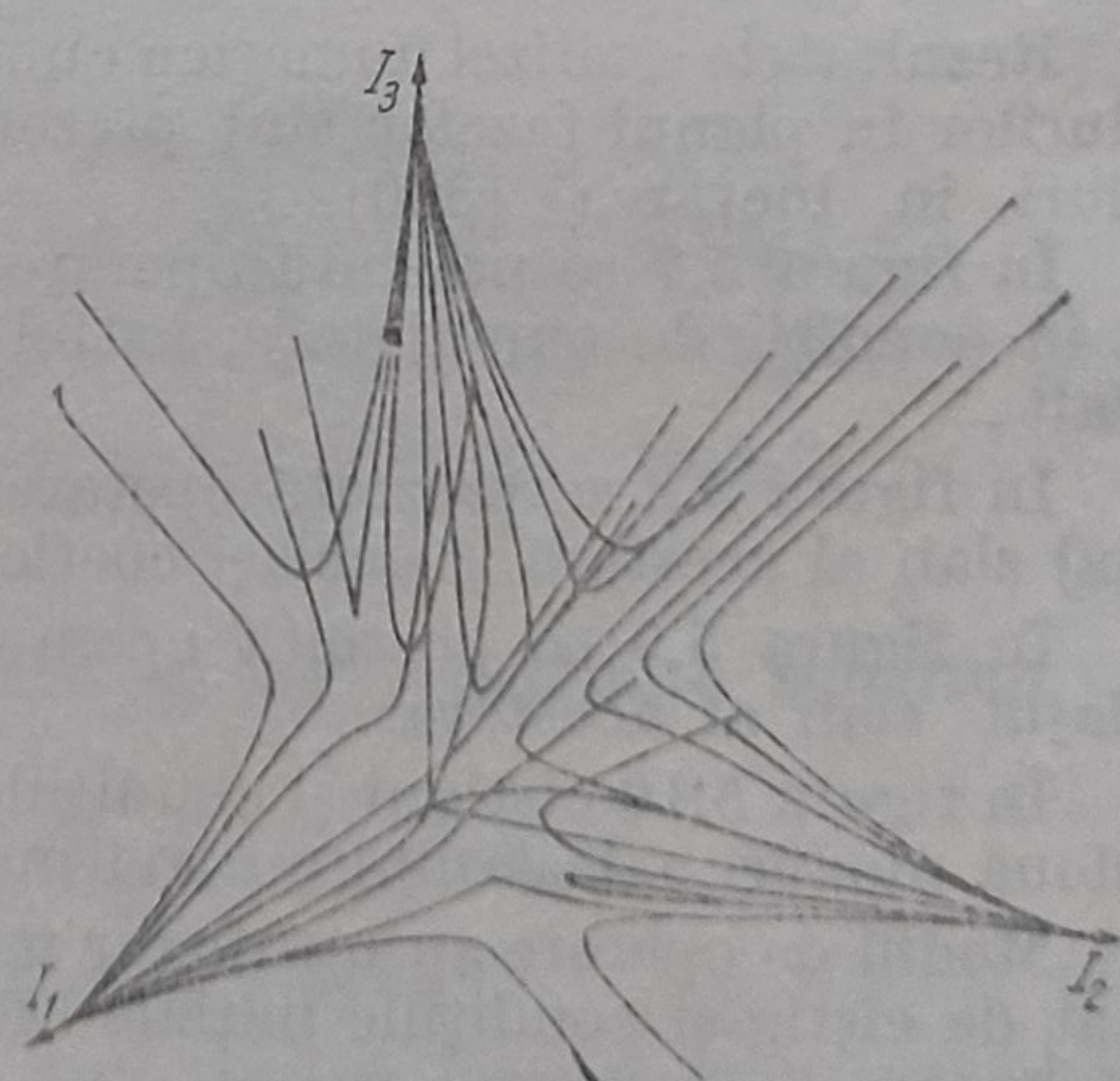


Fig. 5.12



## 5.7. Sincronizarea modurilor de oscilație

### 5.7.1. Considerații generale

Intensitatea fasciculului laser emis se modifică în timp necontrolabil ca urmare a variațiilor aleatoare ale amplitudinilor, frecvențelor și fazelor relative ale modurilor, a căror oscilație este afectată de fluctuații și neliniaritățile mediului. Astfel, ecartul dintre modurile de oscilație adiacente nu este în general constant prezentînd abateri de la modurile cavității Fabry-Pérot pasive (egal distanțate).

În consecință, din ecuațiile cuplate ale modurilor rezultă componente ale cîmpurilor cavității avînd frecvențe obținute prin mixarea frecvențelor fundamentale, numite *tonuri combinate* sau *frecvențe combinate*.

De exemplu, în cazul laserului cu trei moduri de oscilație avînd frecvențele  $\omega_1$ ,  $\omega_2$  și  $\omega_3$  cu  $\omega_1 < \omega_2 < \omega_3$  și  $\omega_3 - \omega_2 \neq \omega_2 - \omega_1$ , apar pe lângă frecvențele fundamentale nouă frecvențe combinate:  $2\omega_1 - \omega_3$ ,  $2\omega_1 - \omega_2$ ,  $\omega_1 + \omega_2 - \omega_3$ , .... Efectul acestor frecvențe combinate se manifestă sub forma unor pulsații (fluctuații) ale diferenței de populație și polarizării induse.

Continuînd raționamentul pot fi considerate frecvențele combinate succesive ale acestor nouă frecvențe combinate astfel încît se poate admite că există un număr infinit de moduri de oscilație slabe, care deși nu oscilează prin ele însele (nu îndeplinesc condiția de prag) își manifestă prezența în caracteristicile semnalului emis.

Dacă printr-un procedeu oarecare modurile de oscilație propriu-zise sînt forțate să păstreze un ecart de frecvență constant între ele, cu o diferență de fază relativă fixă, atunci intensitatea fasciculului laser emis va avea o evoluție temporară bine definită, regimul corespunzător de lucru fiind denumit cu *modurile de oscilație sincronizate* sau „*mode-locking*”.

Pot fi sincronizate atît modurile de oscilație transversale cît și cele longitudinale ale laserului, prin sincronizare producîndu-se modulația temporală (sincronizarea modurilor longitudinale) sau spațială (sincronizarea modurilor transversale) a fasciculului emis de laser. Cuplarea modurilor de oscilație poate fi privită ca un fenomen al opticii neliniare datorat neliniarităților sistemului cîmp-substanță, astfel încît funcție de modul de apariție și manifestare a neliniarităților se cunosc mai multe tipuri de *mode-locking*. Modurile longitudinale se pot sincroniza prin intermediul neliniarităților mediului activ sau pierderilor cavității (autosincronizare), cu ajutorul elementelor parametrice, prin introducerea în cavitate a unui element modulator comandat din exterior, cu ajutorul unor elemente neliniare plasate în cavități care au o caracteristică de amplificare funcție de amplitudine, cum ar fi absorbantii saturabili, prin varierea lungimii cavității etc. Sincronizarea modurilor de oscilație transversale se obține, în general, prin aceleași metode, încît de cele mai multe ori rezultă o cuplare mixtă a modurilor de oscilație.

Dacă sincronizarea modurilor se face cu ajutorul unui semnal exterior aplicat pe dispozitivul neliniar, regimul de operare se numește *mode-locking forțat* (activ). Atunci cînd sincronizarea modurilor este posibilă în absența oricărui semnal exterior se obține regimul de *mode-locking pasiv*. În sfîrșit, dacă mediul laser acționează ca element neliniar, se obține



regimul de *autosincronizare* (self-locking). Spre deosebire de autosincronizare, sincronizarea pasivă implică prezența unui element neliniar exterior. Prin cuplarea a  $(2M + 1)$  moduri longitudinale de frecvențe

$$\omega_m = \omega_0 + m\Delta\omega \quad (5.149)$$

unde  $\Delta\omega = \frac{\pi c}{L}$  reprezintă ecartul în frecvență constant dintre două moduri de oscilație adiacente, presupuse de amplitudini și faze egale, se obține o undă

$$E_c = E_0 \sum_{m=-M}^M \exp [i(\omega_0 + m\Delta\omega)t] \quad (5.150)$$

de frecvență  $\omega_0$ , modulată în amplitudine

$$E_c = E_0 \exp [i\omega_0 t] \frac{\sin \left[ \left( M + \frac{1}{2} \right) \Delta\omega t \right]}{\sin \left( \frac{1}{2} \Delta\omega t \right)} \quad (5.151)$$

(S-a presupus pentru simplificare că cele  $2M + 1$  moduri care se sincronizează au aceeași amplitudine și aceeași fază).

Variația în timp a intensității laser, determinată de expresia

$$I(t) = E_0^2 \frac{\sin^2 \left[ \left( M + \frac{1}{2} \right) \Delta\omega t \right]}{\sin^2 \left( \frac{\Delta\omega t}{2} \right)} \quad (5.152)$$

este reprezentată grafic în figura 5.13.

Se constată că  $I(t)$  prezintă maxime principale de înălțime

$(2M + 1)^2 E_0^2$  cu o lărgime a impulsului  $\tau' = T/2M + 1$  și un interval de repetiție  $T = \frac{2\pi}{\Delta\omega}$ .

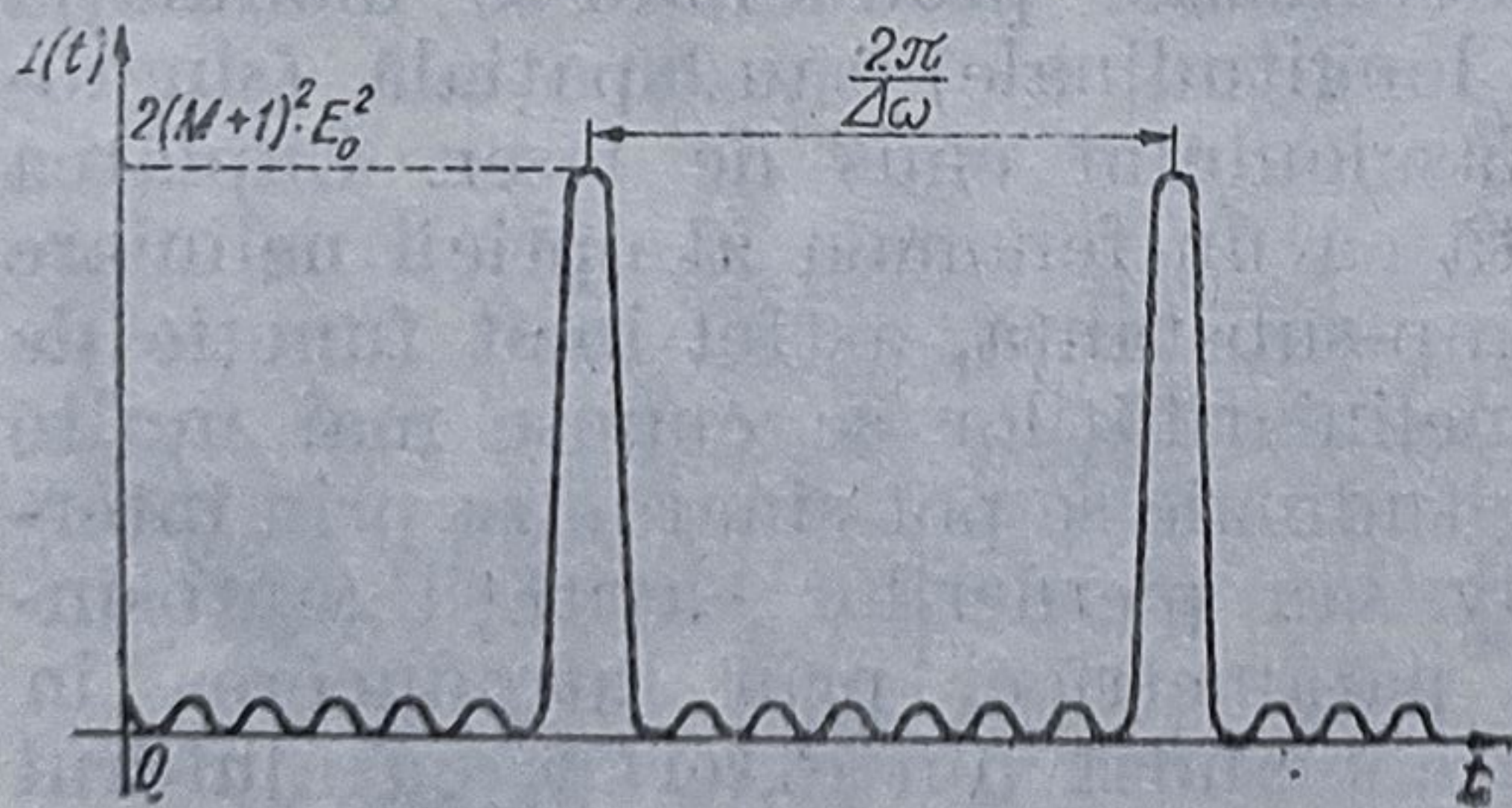


Fig. 5.13

Prin urmare, în urma sincronizării modurilor de oscilație longitudinale se obține un semnal sub forma unor impulsuri optice ultracurte, care se mișcă în cavitate de la o oglindă la alta cu viteza  $c/n$ .

Cuplarea mai multor moduri transversale conduce la un fascicul gaussian, de lărgime constantă, ce se deplasează periodic după coordonatele transversale, realizând excursii spațiale care ating valori ce reprezintă dimensiunea fasciculului multiplicată cu numărul modurilor transversale cuplate. După cum se cuplează modurile transversale după o singură direcție sau după ambele direcții, baleiajul obținut poate fi liniar sau eliptic. Obținerea impulsurilor optice, în cazul sincronizării modurilor transversale, este legată de poziția spațială a detectorului care primește



semnal numai în anumite momente în timpul baleiajului spațial al fasciculului laser.

Rezultatele mai importante privind sincronizarea modurilor de oscilație ale laserilor au fost publicate începând din anul 1964. În prezent se cunosc mai multe formalisme generale de tratare a operării mode-locking, dintre care remarcăm: teoria modurilor cuplate [305, 306], analiza în domeniul timp [307], analiza în domeniul frecvență [308], analiza pe baza circuitelor echivalente [309] etc.

În cele ce urmează se prezintă câteva caracteristici generale de diferitelor tipuri de mode-locking, evidențiindu-se particularitățile specifice de producere și modelare.

### 5.7.2. Sincronizarea activă a modurilor de oscilație

Pentru prima dată, sincronizarea modurilor de oscilație forțată, utilizându-se un modulator intern, a fost realizată de Hargrove și alții [310]. Aceștia au utilizat un modulator acusto-optic excitat cu un semnal având frecvența egală cu ecartul dintre modurile longitudinale ale unui laser cu heliu-neon, în cavitatea căruia era plasat modulatorul. Tratarea analitică a modulației interne de pierderi a fost raportată în anul 1964 de Di Domenico [312]. Ulterior, Harris și Targ au demonstrat experimental sincronizarea modurilor de oscilație cu ajutorul unei perturbații de fază internă, tratarea analitică a acestui tip de modulație datorându-se lui Yariv, Harris și Targ [311]. Schema generală a unei configurații de modulație internă activă este reprezentată în fig. 5.14.

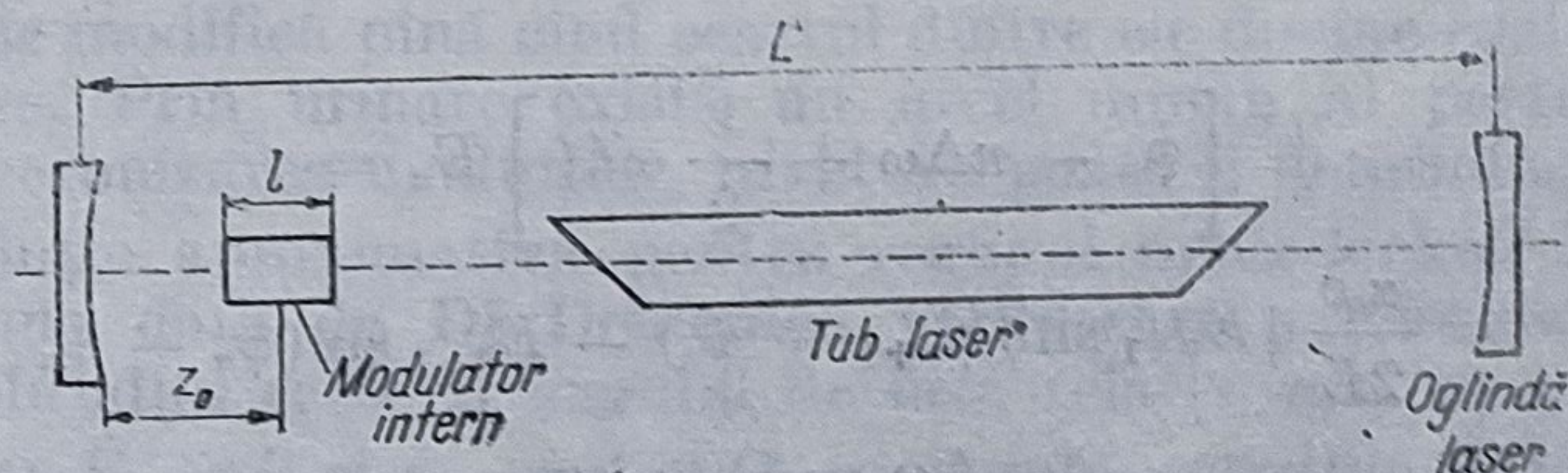


Fig. 5.14

Numeroase experimente de mode-locking activ, efectuate ulterior, se referă la diferite sisteme laser, la diferite tipuri de modulatori acusto-optici sau electrooptici, la diferite tehnici utilizate etc.

a) *Modulația de amplitudine.* Din punct de vedere fenomenologic, prin modularea pierderilor cavității cu un semnal având frecvența  $\omega = \pi c/L$ , lumină incidentă pe dispozitivul modulator poziționat, de exemplu, lângă una din oglinzile cavității va trece prin modulator de fiecare dată (după reflexii succesive) în momentul când acesta prezintă aceleași pierderi. Întrucât există momente (periodice) când pierderile modulatorului sînt egale cu zero, lumina care trece prin modulator succesiv în aceste momente va da naștere la impulsuri, a căror lărgime este determinată de inversul benzii de câștig și a căror perioadă este egală cu timpul de tranzit dus-întors prin cavitate.

Studiul sincronizării modurilor de oscilație prin modulația pierderilor, cavității laser se poate face cu ajutorul ecuațiilor cuplate ale modurilor elaborate de Lamb [86].



Dacă perturbația de pierderi este reprezentată cu ajutorul susceptibilității electrice  $\Delta\chi''(z, t)$  sub forma

$$\Delta\chi''(z, t) = \Delta\chi''(z) (1 + \cos \omega_m t) \quad (5.153)$$

unde frecvența de modulație  $\omega_m \simeq \Delta\Omega$ ,  $\Delta\Omega$  fiind ecartul de frecvență dintre modurile cavității pasive, se pot defini coeficienții de *autocuplaj*  $\alpha_a$

$$\alpha_a = \frac{2v}{c} \int_0^L \Delta\chi''(z) U_n^2(z) dz \quad (5.154)$$

și de *cuplaj mutual*  $\alpha_c$

$$\alpha_c = \frac{v}{c} \int_0^L \Delta\chi''(z) U_{n\pm 1}(z) U_n(z) dz. \quad (5.155)$$

ai modurilor de oscilație, care descriu cuplajul modurilor prin intermediul componentei parametrice a polarizării

În continuare, dacă se ia în considerare la evaluarea polarizării și contribuția mediului atomic prin componentele în fază și în cvadratură  $\chi'_n$  respectiv  $\chi''_n$ , ecuațiile de mișcare selfconsistente pentru amplitudinile și frecvențele modurilor cuplate se scriu sub forma [306]

$$\begin{aligned} \dot{E}_n + \frac{\omega}{2} \left[ \frac{1}{Q_n} + \chi''_n \right] E_n = & - \frac{\alpha_a c}{2L} E_n - \frac{\alpha_c c}{2L} [E_{n+1} \cos(\varphi_{n+1} - \varphi_n) + \\ & + E_{n-1} \cos(\varphi_n - \varphi_{n-1})] \end{aligned} \quad (5.156)$$

respectiv

$$\begin{aligned} \left[ \dot{\varphi}_n - n\Delta\omega + \frac{1}{2} \omega \chi'_n \right] E_n = \\ = \frac{\alpha_c c}{2L} [E_{n+1} \sin(\varphi_{n+1} - \varphi_n) - E_{n-1} \sin(\varphi_n - \varphi_{n-1})] \end{aligned} \quad (5.157)$$

unde

$$n\Delta\omega = \Omega_n - \omega_n. \quad (5.158)$$

Pentru analiza care urmează este util să se definească parametrii

$$G_n = - \frac{\omega L}{c} \chi''_n = g_n (1 - \beta E_n^3) \quad (5.159)$$

$$\psi_n = \frac{\omega L}{c} \chi'_n = g_0 \frac{Z_r \left( \frac{\omega_n - \omega}{Ku} \right)}{Z_i(0)} \quad (5.160)$$

$$\alpha_n = \frac{\omega L}{c} \frac{1}{Q_n} \quad (5.161)$$

$$\alpha(t) = \frac{\omega l}{c} \Delta\chi''(1 + \cos \omega_m t) \quad (5.162)$$

unde  $G_n$  este câștigul de semnal mic saturat pe tranzit,  $g_n$  este câștigul nesaturat pe tranzit pentru modul  $n$ ,  $\beta$  este parametrul de saturație,  $\psi_n$  este retardarea dublu tranzit pentru modul  $n$  datorită mediului



activ,  $g_0$  este câștigul nesaturat pentru linia centrală,  $\alpha_n$  descrie pierderile pe tranzit datorită disipării și transmisiei oglinzilor, iar  $\alpha(t)$  descrie pierderile pe tranzit datorită elementului perturbator considerat de lungime  $l$ .

Evaluarea coeficienților  $\alpha_a$  și  $\alpha_c$  se poate face funcție de distanța  $z_0$  a elementului perturbator în raport cu una dintre oglinzile cavității sub forma

$$\alpha_a \simeq \frac{\omega l}{c} \Delta \chi'' \quad (5.163)$$

respectiv

$$\alpha_c \simeq \frac{\alpha_0}{2} \cos \frac{z_0 \pi}{L}. \quad (5.164)$$

(Pentru  $z_0 = 0$ ,  $\alpha_c \simeq \frac{\alpha_a}{2}$ , unde  $\alpha_a$  descrie astfel pierderile pe trecere

datorită perturbației, iar  $\alpha_n \simeq \alpha$ , pierderile fiind presupuse independente de  $n$ ).

Rezolvarea ecuațiilor (5.156) și (5.157) se poate face numeric sau analitic utilizându-se metode aproximative.

La valori scăzute ale semnalului exterior, termenul parametric din partea dreaptă a ecuației (5.156) este neglijabil și amplitudinile modurilor sînt cele ale laserului în absența perturbației. Cu toate acestea, nu se poate obține o soluție de regim staționar a ecuației (5.157) în care să se negligeze efectul perturbației datorită dependenței neliniare a lui  $\chi'_n$  de  $n$ . Ca urmare, în absența perturbației modurile oscilează liber, frecvențele modurilor fiind inegal distanțate. În prezența perturbației frecvența modurilor se modifică pînă cînd ecartul dintre ele devine egal cu frecvența modulatorie. Prin urmare, există un nivel minim al perturbației care produce sincronizarea modurilor, nivel ce poate fi determinat.

O soluție aproximativă pentru regimul mode-locked a fost găsită pentru prima dată de Di Domenico [312] care a considerat modurile avînd amplitudini egale și unghiul de fază relativ egal cu  $\pi$ .

Pentru  $\dot{E}_n = 0$  și  $\dot{\phi}_n$  egal cu o constantă, ecuațiile (5.156) și (5.157) conduc la relațiile

$$\begin{aligned} E_{n+1} \sin(\varphi_{n+1} - \varphi_n) - E_{n-1} \sin(\varphi_n - \varphi_{n-1}) = \\ = -E_n \left[ \dot{\phi} \frac{2L}{c\alpha_c} - n \Delta\omega \frac{2L}{c\alpha_c} + \frac{\psi_n}{\alpha_c} \right] \end{aligned} \quad (5.165)$$

$$E_{n+1} \cos(\varphi_{n+1} - \varphi_n) + E_{n-1} \cos(\varphi_n - \varphi_{n-1}) = E_n \left[ \frac{G_n - \alpha - \alpha_a}{\alpha_c} \right]. \quad (5.166)$$

Pentru  $\Delta\omega = \dot{\psi}_n = 0$  și  $G_n = \text{const.}$  aceste ecuații admit soluția

$$\begin{aligned} E_n &= E_0 \\ \varphi_n - \varphi_{n-1} &= 0 \text{ (arbitrar)} \\ \dot{\phi} &= 0 \end{aligned} \quad (5.167)$$



$E_0$  putînd fi determinat ca soluție a ecuației

$$G_n - \alpha = \alpha_a + 2\alpha_c \cos \theta. \quad (5.168)$$

Soluția de mai sus corespunde ecuațiilor liniarizate (includerea neliniarităților îl fixează pe  $\theta = \pi$ ) pentru un număr infinit de moduri cu același câștig (pentru un număr finit de moduri rezultă amplitudini diferite pentru moduri).

Variația intensității impulsurilor cu nivelul perturbației precum și variația lărgimii impulsurilor cu nivelul perturbației la defazaj constant sînt arătate calitativ în fig. 5.15 (a și b).

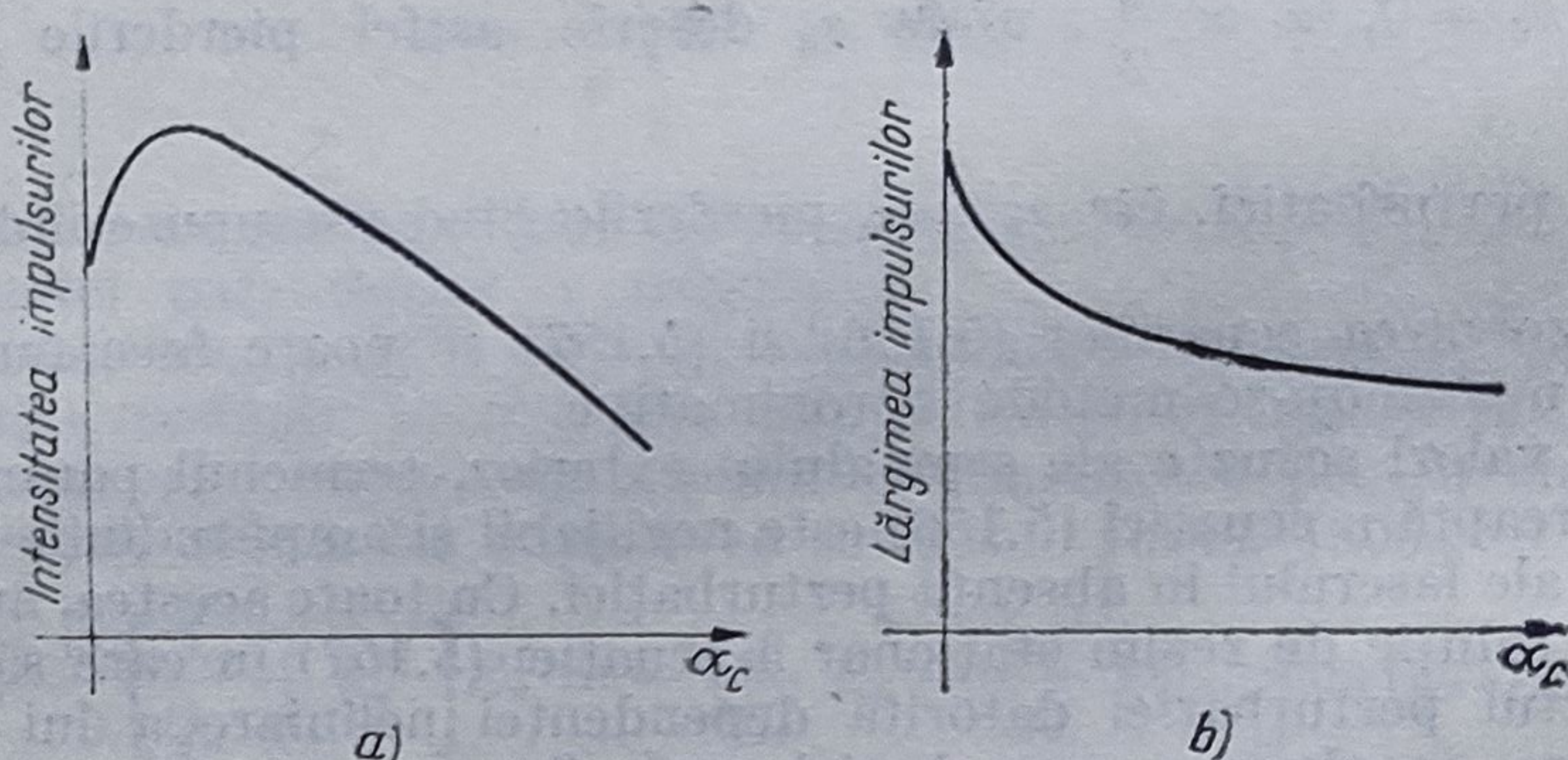


Fig. 5.15.

Dacă unghiul relativ de fază  $\varphi_n - \varphi_{n-1}$  diferă puțin de  $\pi$ , amplitudinile și fazele modurilor pot fi obținute printr-o metodă de iterație, în mai multe trepte, pînă cînd se obține o convergență a valorilor  $E_n$  și  $\varphi_n - \varphi_{n-1}$ .

În lucrările [63, 64, 65, 66, 70] se face un studiu sistematic al unor noi tipuri de modulatori acusto-optici utilizați de autori în experimente de mode-locking activ. Un astfel de modulator este modulatorul cu incidență Brewster, analog unei cavități Fabry-Pérot, utilizat cu bune rezultate în experimentele de mode-locking ale unui laser cu He-Ne.

b) *Modulația de frecvență.* Din punct de vedere fenomenologic lumina care trece printr-un modulator de fază (electrooptic) plasat în cavitatea laser și excitat cu un semnal avînd frecvența egală cu ecartul dintre moduri va suferi o schimbare de fază într-un sens sau altul, în afara unor momente bine precizate cînd această schimbare de fază este nulă. Lumina care trece prin modulator (periodic) în aceste momente va da naștere la impulsuri ca și în cazul modulației de pierderi.

Studiul sincronizării modurilor de oscilație prin modulație internă de fază se poate face prin analogie cu studiul modulației de amplitudine, utilizîndu-se ecuațiile cuplate ale modurilor [86]. Astfel dacă perturbația de fază este reprezentată prin intermediul susceptibilității electrice  $\Delta\chi'(z, t)$  sub forma

$$\Delta\chi'(z, t) = \Delta\chi'(z) \cos \omega_m t \quad (5.169)$$



unde  $\omega_m$  este frecvența perturbației ( $\omega_m \simeq \Delta\Omega$ ), se poate defini coeficientul de cuplaj între modurile adiacente

$$\begin{aligned}\delta &= \frac{\omega}{c} \int_0^L \Delta\chi'(z) U_{n\pm 1}(z) U_n(z) dz = \\ &= \frac{1}{2} \frac{\omega}{c} \int_0^L \Delta\chi'(z) \cos \frac{\pi z}{L} dz, \quad (5.170)\end{aligned}$$

ultima egalitate fiind obținută în ipoteza unei variații lente a lui  $\Delta\chi'(z)$  în comparație cu cea a lui  $U_n(z)$ .

Ca și în cazul modulației de amplitudine, efectul inversiei atomice se ia în considerare prin contribuțiile în faza  $\chi'_n$  și în cuadratură  $\chi''_n$  ale susceptibilității astfel încât ecuațiile selfconsistente pentru amplitudinile și frecvențele modurilor se scriu în acest caz sub forma [305]

$$\begin{aligned}\dot{E}_n + \frac{1}{2} \omega \left[ \frac{1}{Q_n} + \chi''_n \right] E_n &= \\ = \frac{\delta c}{2L} [E_{n+1} \sin(\varphi_{n+1} - \varphi_n) - E_{n-1} \sin(\varphi_n - \varphi_{n-1})] \quad (5.171)\end{aligned}$$

$$\begin{aligned}\left[ \dot{\varphi}_n - n\Delta\omega + \frac{1}{2} \omega \chi'_n \right] E_n &= \\ = \frac{\delta c}{2L} [E_{n+1} \cos(\varphi_{n+1} - \varphi_n) + E_{n-1} \cos(\varphi_n - \varphi_{n-1})] \quad (5.172)\end{aligned}$$

Dacă se admite  $\Delta\chi'$  independent de  $z$  pe lungimea modulatorului  $l$  ( $l \ll L$ ), plasat la distanța  $z_0$  de una dintre oglinzile cavității, se obține pentru  $\delta$  expresia

$$\delta = \frac{L}{l} \frac{2}{\pi} \left( \sin \frac{l}{L} \frac{\pi}{2} \right) \left( \cos \frac{z_0 \pi}{L} \right) \delta_m \simeq \delta_m \cos \left( \frac{\pi z_0}{L} \right) \quad (5.173)$$

unde

$$\delta_m = \frac{\Delta\chi' l \omega}{2c} \quad (5.174)$$

este retardarea maximă de fază pe tranzit datorită elementului perturbator. Pentru  $z_0 = 0$ ,  $\delta \simeq \delta_m$ . În continuare se caută soluțiile ecuațiilor (5.171) și (5.172) pentru  $\dot{E}_n = 0$ ,  $\dot{\varphi}$  constant și independent de  $n$ ,  $\chi''_n = -\frac{1}{Q_n}$  și independent de  $E_n$ , se neglijează neliniaritățile și se admite  $\chi'_n = 0$ . Se obțin ecuațiile

$$0 = \frac{\delta c}{2L} [E_{n+1} \sin(\varphi_{n+1} - \varphi_n) - E_{n-1} \sin(\varphi_n - \varphi_{n-1})] \quad (5.175)$$

$$[\dot{\varphi} - n\Delta\omega] E_n = -\frac{\delta c}{2L} [E_{n+1} \cos(\varphi_{n+1} - \varphi_n) + E_{n-1} \cos(\varphi_n - \varphi_{n-1})], \quad (5.176)$$



ale căror soluții au forma

$$\begin{aligned}\dot{\phi}_n &= q\Delta\omega \\ \varphi_{n+1} - \varphi_n &= 0 \\ E_n &= J_{n-q}(\Gamma)\end{aligned}\tag{5.177}$$

unde  $q$  este un întreg,  $J_{n-q}$  este funcția Bessel de ordinul  $n - q$ , iar

$$\Gamma = \frac{c}{L} \frac{1}{\Delta\omega} \delta = \frac{1}{\pi} \frac{\Delta\Omega}{\Delta\omega} \delta.\tag{5.178}$$

Pentru  $q = 0$ , soluția (5.177) descrie o oscilație modulată în frecvență cu indicele de modulație  $\Gamma$  și cu frecvența de centru în poziția modului central. (Se observă că  $\Gamma \sim \delta$  și  $\Gamma \sim \Delta\omega^{-1}$ ). Fiecare dintre modurile de oscilație libere poate deveni purtătoare a unei oscilații modulate în frecvență. De exemplu, dacă modul  $q$  devine purtătoare, atunci amplitudinea sa  $J_0(\Gamma)$  va fi singura componentă a acestei oscilații MF care va avea frecvența de oscilație egală cu cea a unui mod axial.

Pentru  $\Delta\omega \rightarrow 0$  ( $\Gamma \rightarrow \infty$ ) soluțiile ecuațiilor (5.175) și (5.176) devin

$$\begin{aligned}E_n &= E_{n+1} \\ \varphi_{n+1} - \varphi_n &= p\pi \\ \dot{\phi}_n &= (-1)^{p+1} \frac{\delta c}{L} (= -1)^{p+1} \frac{\delta}{\pi} \Delta\Omega.\end{aligned}\tag{5.179}$$

Aceste soluții corespund în domeniul timp unei serii repetitive de impulsuri în concordanță cu observațiile experimentale. Se poate arăta că în cazul oscilațiilor pe mai multe moduri apare o competiție între diferitele oscilații MF centrate la diferite moduri axiale însă oscilația avind purtătoarea poziționată în centrul liniei atomice este, în general, dominantă. Rezultă că laserul modulat în frecvență posedă mai multe regimuri de lucru distincte, care pot fi evidențiate cu ajutorul caracteristicilor spectrale diferite la ieșire. Pentru valori mici ale indicelui de modulație, competiția între oscilațiile modulate în frecvență este slabă și laserul poate fi considerat că oscilează cu modurile libere. Competiția între diferite oscilații MF crește odată cu creșterea perturbației obținându-se treptat un regim de lucru MF tipic. Prin creșterea în continuare a lui  $\Gamma$  se obține un al doilea regim de lucru tipic, cu mai multe oscilații modulate în frecvențe puternic cuplate între ele, ce face trecerea spre regimul de lucru mode-locking care poate fi considerat un regim MF puternic distorsionat. Dependența de nivelul perturbației a intensității și lărgimii impulsurilor obținute prin modulație de frecvență este asemănătoare cu prezentată în fig. 5.15 pentru modulația de amplitudine.

Un model matematic privind evaluarea numărului de moduri cuplate, pentru laserii MF mode-locked este prezentat în lucrarea [313].

În aproximația liniară, numărul modurilor cuplate este obținut din analiza oscilației MF, pentru valori mari ale lui  $\Gamma$ .



În cazul general al considerării neliniarităților, numărul modurilor cuplate este limitat de condiția generală

$$0 < \frac{1}{\delta} (\rho_n + \rho_{n+1} + \dots + \rho_{n-m+1}) \leq 1 \quad (5.180)$$

unde  $\rho_n$  reprezintă câștigul net saturat pe tranzit

$$\rho_n = \frac{\omega L}{c} \left[ \frac{1}{Q_n} + \chi''_n \right]. \quad (5.181)$$

Experimente recente de mode-locking de tip *MF* sînt prezentate în lucrările [314, 315, 316] și se referă la studiul diferitelor regimuri de lucru ale laserilor cu gaz (He-Ne), cu modulație internă de fază, utilizîndu-se cristale modulatori electrooptice plasate în cavitatea laser activă sau într-o cavitate cuplată cu cea activă. Plasarea modulatorului într-o cavitate externă, cuplată cu cea laser prezintă o serie de avantaje, printre care neperturbarea câștigului cavității active este esențială în special în cazul laserilor cu câștig mic cum sînt cei cu He-Ne.

Configurația experimentală generală utilizată este prezentată în figura 5.16.

A fost studiată experimental dependența regimului de mode-locking de o serie de parametri: tensiunea aplicată cristalului modulator, frec-

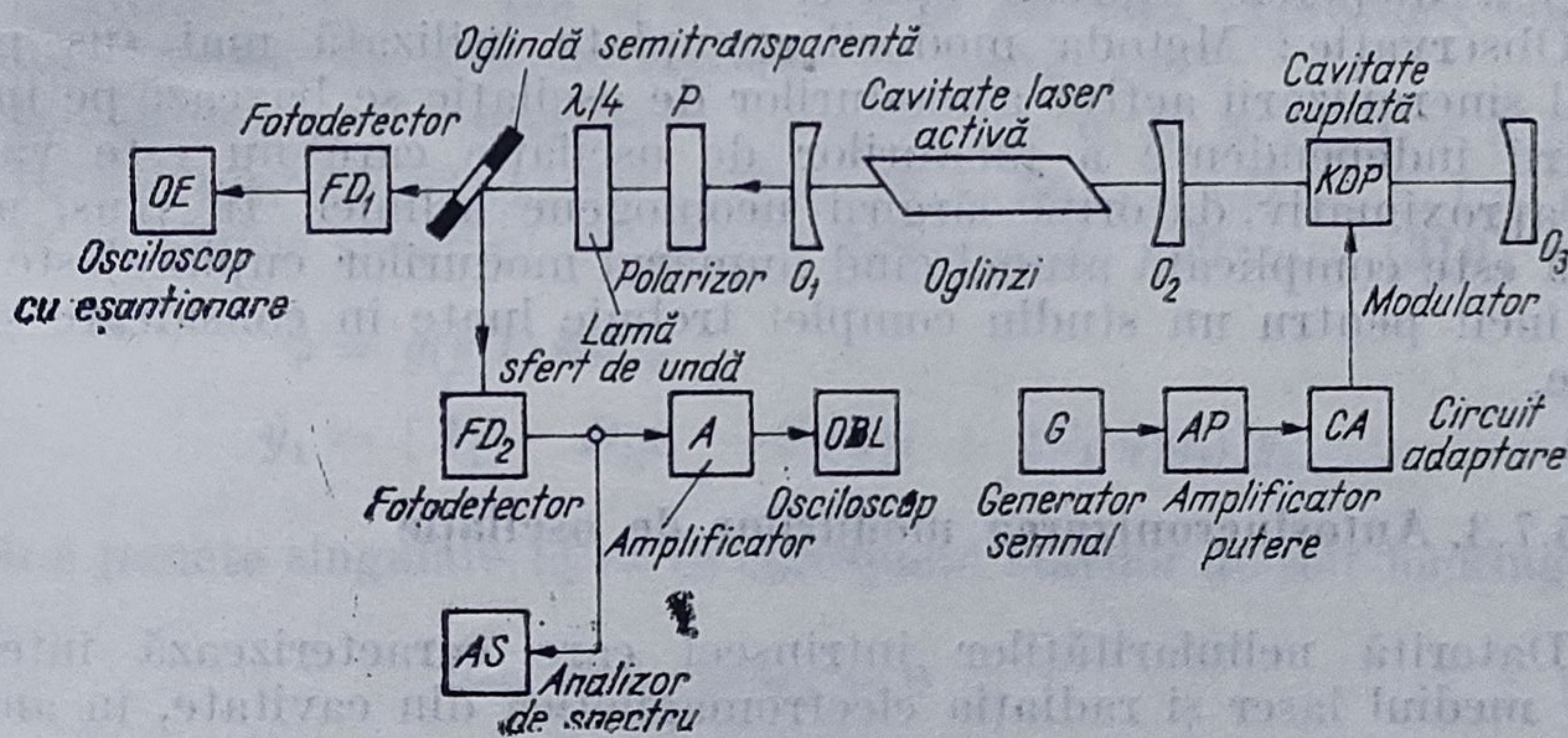


Fig. 5.16

vența semnalului de excitație, lungimea cavității cuplate, deviațiile permise ale lungimii cavității cuplate în raport cu cea activă etc. Metoda a fost aplicată pentru realizarea unui generator de impulsuri cu durate de subnanosecunde, pentru testarea timpului de răspuns al dispozitivelor optoelectronice.

Un alt tip de experimente de mode-locking se referă la sincronizarea modurilor de oscilație prin modularea lungimii cavității cuplate cu cea laser [317]. Configurația experimentală utilizată este prezentată în fig. 5.17. Cavitatea cuplată este formată dintr-o oglindă a cavității laser active și o oglindă exterioară fixată pe un traductor electromecanic, excitat cu un semnal triunghiular de frecvență joasă.

Spre deosebire de metodele în care sincronizarea modurilor de oscilație se face prin vibrarea uneia din oglinzile cavității active, vibrarea



oglinzii cavității cuplate prezintă avantajul că reglajul cavității active nu este perturbat.

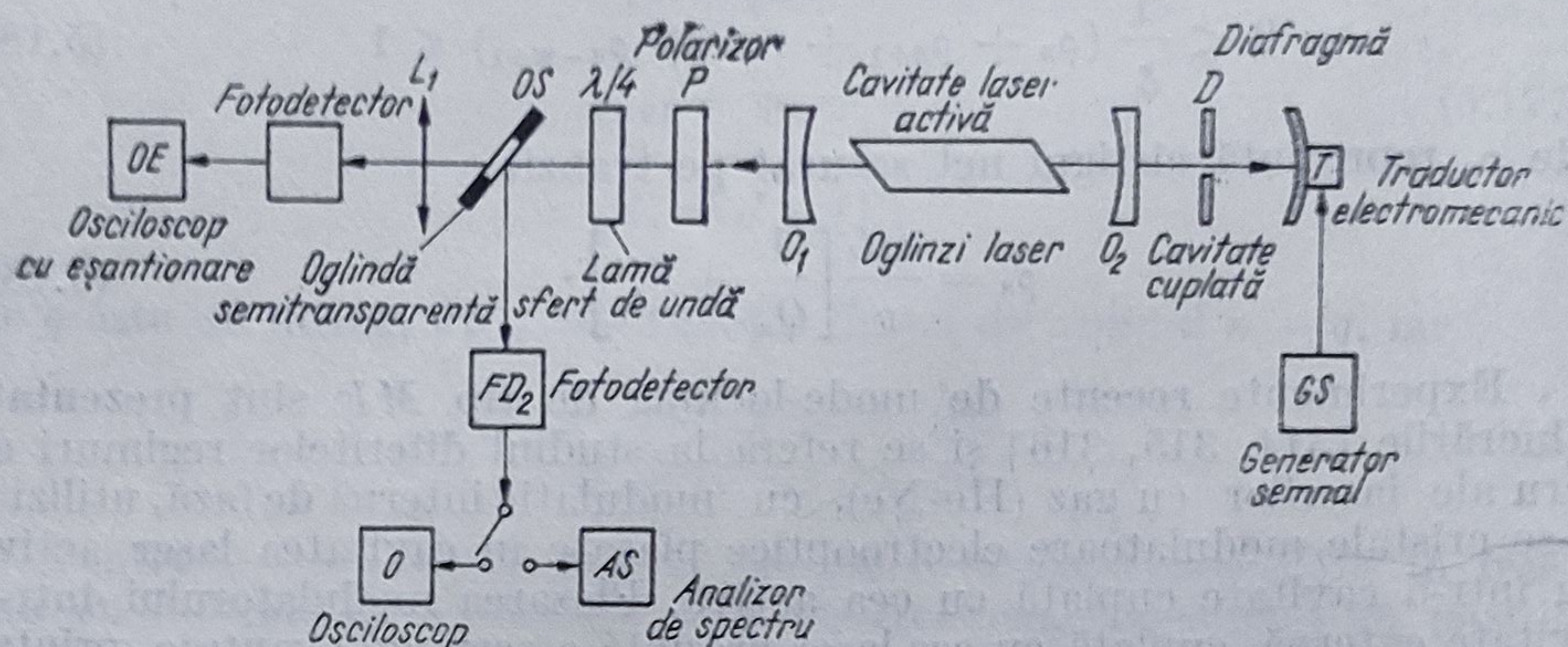


Fig. 5.17

Prin această metodă se obține un regim de funcționare repetitiv, care constă în alternarea perioadelor în care laserul funcționează în regim de mode-locking cu perioadele în care laserul funcționează în regim relaxat. Sistemul a fost aplicat la măsurarea timpului de răspuns al fotodetectorilor și a dispersiei fibrelor optice.

Observație: Metoda modurilor cuplate utilizată mai sus pentru studiul sincronizării active a modurilor de oscilație se bazează pe ipoteza saturării independente a modurilor de oscilație care nu este valabilă decât aproximativ, datorită lărgirii neomogene a liniei. În plus, această metodă este complicată atunci când numărul modurilor cuplate este mare astfel încât pentru un studiu complet trebuie luate în considerare și alte metode.

### 5.7.3. Autosincronizarea modurilor de oscilație

Datorită neliniarităților intrinseci care caracterizează interacția dintre mediul laser și radiația electromagnetică din cavitate, în anumite condiții se produce o cuplare puternică a modurilor de oscilație, care determină o relație fixă între fazele acestora, sincronizarea corespunzătoare a modurilor de oscilație fiind cunoscută sub numele de *self-locking*.

Pentru prima dată posibilitatea operării în regim de *self-locking* a fost discutată de Lamb [86] deși existența sa fusese semnalată anterior de către Bennett [318] și alții.

Explicarea operării *self-locking* a laserilor se poate face direct, prin luarea în considerare a tonurilor combinate care apar ca urmare a multiplexării în mediul neliniar a modurilor de oscilație și care au tendința să „tîrască” frecvența modurilor astfel încât ecartul de frecvență dintre acestea să devină constant.

În cele ce urmează se prezintă un model de analiză al regimului de *self-locking* bazat pe ecuațiile lui Lamb, în cazul laserului cu trei moduri de oscilație, în condiții de acord simetric (moduri dispuse simetric față de linia centrală) pentru evidențierea caracteristicilor generale ale acestuia tip de funcționare [319].



Ecuatiile modurilor cuplate pentru amplitudinile modurilor au forma [86]

$$\begin{aligned}\dot{E}_1 &= \alpha_1 E_1 - \beta_1 E_1^3 - \theta_{12} E_1 E_2^2 - \theta_{13} E_1 E_3^2 - (\eta_{23} \cos \psi + \zeta_{23} \sin \psi) E_2^2 E_3 \\ E_2 &= \alpha_2 E_2 - \beta_2 E_2^3 - \theta_{21} E_2 E_1^2 - \theta_{23} E_2 E_3^2 - (\eta_{13} \cos \psi + \zeta_{13} \sin \psi) E_1 E_2 E_3 \\ \dot{E}_3 &= \alpha_3 E_3 - \beta_3 E_3^3 - \theta_{31} E_3 E_1^2 - \theta_{32} E_3 E_2^2 - (\eta_{21} \cos \psi + \xi_{21} \sin \psi) E_1 E_2^2,\end{aligned}\quad (5.182)$$

semnificațiile diferiților parametri fiind specificate în paragraful 5.6. Factorul de fază  $\psi$  definit prin

$$\psi = (2\omega_2 - \omega_1 - \omega_3)t + 2\varphi_2 - \varphi_1 - \varphi_3 \quad (5.183)$$

satisface ecuația de fază

$$\dot{\psi} = \sigma + f(E_1^2, E_2^2, E_3^2) + g(E_1, E_2, E_3) \sin \psi + h(E_1, E_2, E_3) \cos \psi \quad (5.184)$$

unde mărimile  $\sigma, f, g, h$  pot fi determinate pe baza expresiilor coeficienților din ecuațiile de mai sus stabilite de Lamb [86].

În condiții de acord simetric:  $\sigma \simeq 0, \xi \simeq 0, E_1 \simeq E_3, f = h = 0$ .

În condiții de self-locking  $E_1^2 + E_2^2 + E_3^2 = \text{const} = I$ . Cu notația  $y_1 = E_1^2$  se obține sistemul de ecuații diferențiale neliniare [319]

$$\begin{aligned}\dot{\psi} &= g(y_1 I) \sin \psi \\ \dot{y}_1 &= [A_1 - B_1 y_1 - C_1(\psi)I + 2C_1(\psi)y_1]y_1\end{aligned}\quad (5.184)$$

ale cărei puncte singulare ( $\dot{\psi} = 0$ ) corespund stărilor de self-locking

$$2\omega_2 - \omega_1 - \omega_3 = 0 \quad (5.185)$$

$$2\varphi_2 - \varphi_1 - \varphi_3 = \text{const.} \quad (5.186)$$

caracterizate de ecart constant între moduri și fază relativă a modurilor constantă.

Cele două puncte singulare ale sistemului (5.184) conduc la valorile  $\psi = 0$  și  $\psi = \pi$  pentru faza relativă.

Se poate arăta că în cazul condiției (5.185) semnalul de ieșire va fi format dintr-un tren de impulsuri cu rata de repetiție egală cu ecartul de frecvență al modurilor (self-locking de tipul întâi). În cazul condiției (5.186), trenul de impulsuri va avea rata de repetiție egală cu un multiplu al ecartului de frecvență între moduri (self-locking de tipul al doilea).

Pe baza principiului emisiei maxime se poate arăta că tipul de self-locking care se produce este funcție de poziția mediului activ în cavitate în raport cu oglinzile acesteia. Utilizându-se teorema de stabilitate a lui Liapunov se arată că funcție de condițiile experimentale cele două tipuri de self-locking sînt stabile.



Formele explicite ale condițiilor de stabilitate în cazul laserului cu trei moduri în regim self-locking sînt următoarele [320]

$$\psi = 0$$

$$\frac{2[\alpha_1 - (\theta_{12} + \eta_{23})]I}{\beta_1 + \theta_{13} - 2(\theta_{13} + \eta_{23})} (\eta_{13} + \eta_{23} + \eta_{21}) - I(\eta_{23} + \eta_{21}) < 0;$$

(6.187)

b)  $\psi = \pi$

$$\frac{-2[\alpha_1 - (\theta_{12} - \eta_{23})]I}{\beta_1 + \theta_{13} - 2(\theta_{13} + \eta_{23})} (\eta_{13} + \eta_{23} + \eta_{21}) + I(\eta_{23} + \eta_{21}) < 0.$$

(5.188)

putînd fi particularizate pentru diferite tipuri de laseri.

În figura 5.18 este prezentată o configurație experimentală utilizată pentru studiul regimului de self-locking al unui laser cu He-Ne cu cavitare cuplată [321].

Modificarea cîștigului cavității s-a făcut cu ajutorul atenuatorului  $A_t$ , realizat cu ajutorul unei lame subțiri de sticlă înclinată la unghi Brew-

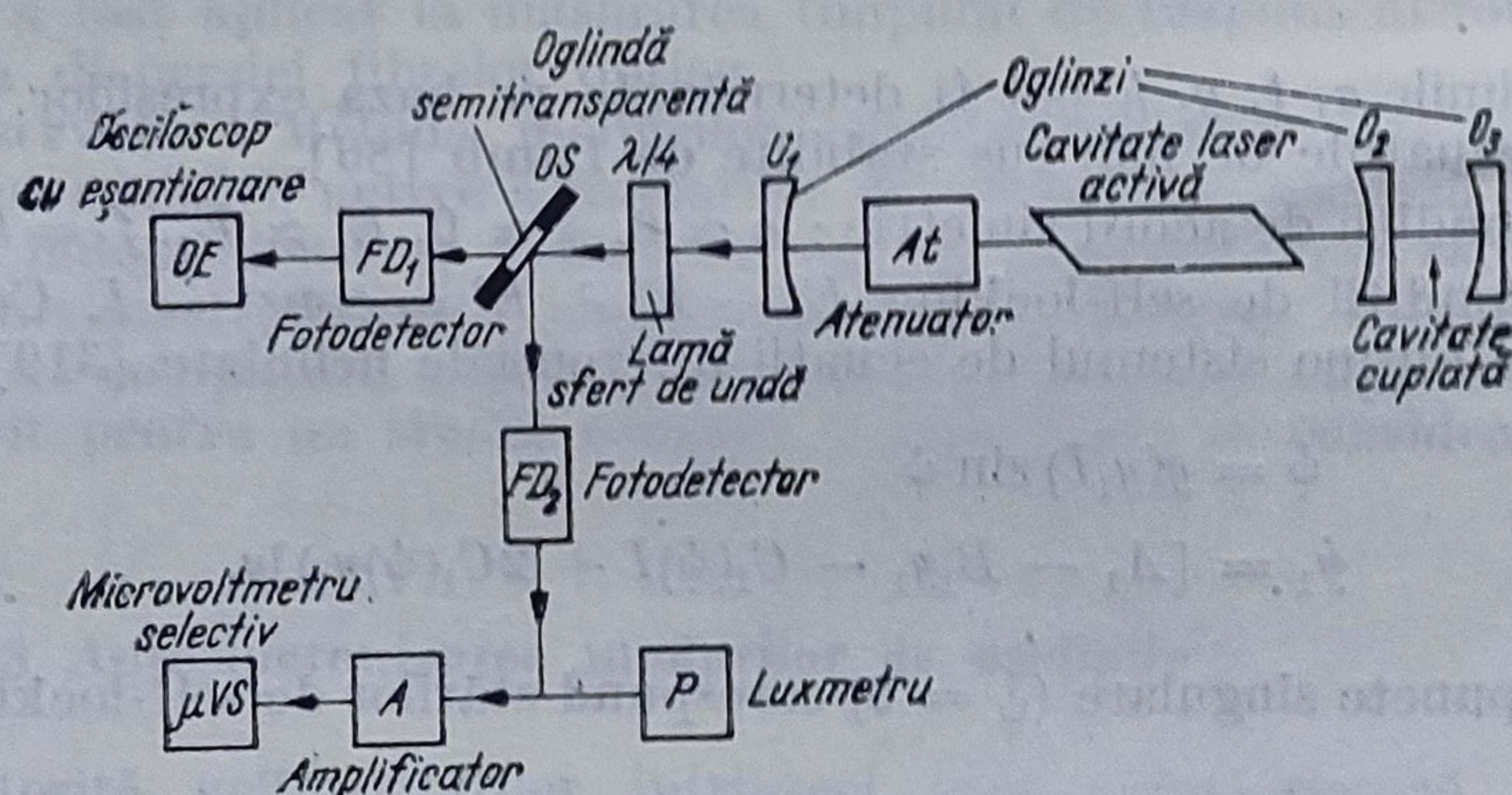


Fig. 5.18

ster față de axa cavității. În cazul utilizării unei cavități cuplate la cavitare laser activă, funcționarea self-locking a laserului poate fi controlată prin fasciculul întors înapoi în cavitare activă, datorită caracterului selectiv al cavității cuplate.

Aprecierea gradului de cuplarea modurilor se poate face prin compararea lărgimilor de bandă ale semnalului fotodetectat, în jurul frecvenței ecartului modurilor axiale, măsurate în regim self-locking și liber.

Metoda prezentată definește condițiile de funcționare ale laserului în regim self-locking, cu cavitare cuplată, cu diferite grade de cuplarea modurilor, cunoașterea lor fiind utilă pentru optimizarea experimentelor de cuplare activă a modurilor.

Observație: Alte metode și tehnici de mode-locking, prezentate pe larg în literatura de specialitate se referă la: metodele de mode-locking pasiv în care dispozitivele modulatorie sînt înlocuite cu absorbânți nelineari [322], metode de mode-locking a doi oscilatori laseri separați [323], metode de mode-locking prin pompajul laserilor cu impulsuri de la un laser în regim de mode-locking [324] etc.



## 6. TEORIA CUANTICĂ A LASERILOR

### 6.1. Descrieri cuantice ale laserilor

Teoria cuantică a laserilor este utilizată pentru a explica proprietățile statistice ale radiației laser, corelate cu emisia spontană a atomilor. Natura cuantică a câmpului de radiație presupune luarea în considerare a caracterului de operator al acestui câmp, în scrierea ecuațiilor de interacție câmp-substanță, fiind cuantificate atât mediul atomic cât și câmpul laser.

Principalele probleme explicate de teoria cuantică se referă la : lărgimea intrinsecă a liniei laser, amorsarea oscilației din vid și statisticile de fotoni. Astfel, dacă din teoria semicuantică rezultă o linie laser în principiu monocromatică, în teoria cuantică se arată că emisia spontană, zgomotul termic și fluctuațiile de zero determină o lărgime intrinsecă a liniei laser, care poate fi evaluată (se presupune zgomotul „tehnic” datorat vibrațiilor descărcărilor în gaze etc., eliminat).

În ceea ce privește amorsarea oscilației laser, din vid, aceasta este explicată în teoria cuantică cu ajutorul emisiei spontane, nefiind necesar un câmp „inițial” ca în teoria semicuantică.

În sfârșit, statisticile de fotoni pentru câmpul de radiație pot fi studiate numai în teoria cuantică.

Există trei formalisme, în principiu echivalente, de tratare cuantică a laserilor și anume : formalismul ecuațiilor cuantice Langevin, formalismul matricei densitate și formalismul ecuației Fokker-Planck generalizate,

Din punct de vedere cronologic, în 1964, a apărut prima teorie neliniară a zgomotului laser și a coerenței, datorită lui Haken, bazată pe ecuații de tip Langevin, în care forța „de frecare” este neliniară, iar variabilele sînt operatori. Pe baza soluției acestei ecuații, obținută prin liniarizare (sub prag) sau cuasiliniarizare (peste prag), s-a arătat că proprietățile statistice ale radiației sînt esențial diferite pentru cele două regimuri de operare. Dezavantajul acestui formalism, privind aplicarea sa în jurul pragului de oscilație, a fost înlăturat ulterior (Risken, 1965) prin stabilirea ecuației Fokker-Planck corespunzătoare ecuației Langevin, observîndu-se că amplitudinea câmpului poate fi privită ca o variabilă clasică.

În paralel cu perfecționarea acestor formalisme, de către diferiți autori, s-a dezvoltat formalismul matricei densitate al laserilor, un rol important jucîndu-l în această direcție, lucrările lui Scully și Lamb (1966 — 1968).



Ulterior s-a arătat că, utilizându-se reprezentarea stărilor coerente, ecuația Fokker-Planck poate fi stabilită pe baza ecuației matricii densitate pentru câmp, astfel că se justifică rolul important al acestei ecuații pentru studiul aspectelor cuantice ale laserilor.

În anul 1967 s-a obținut ecuația Fokker-Planck generalizată exactă pentru toate variabilele macroscopice necomutative (Haken și alții).

Corelațiile principale dintre aceste formalisme sînt prezentate în schema din fig. 6.1. În cele ce urmează se vor discuta cele trei tipuri de formalisme, utilizându-se metoda indicată pe figură și se vor

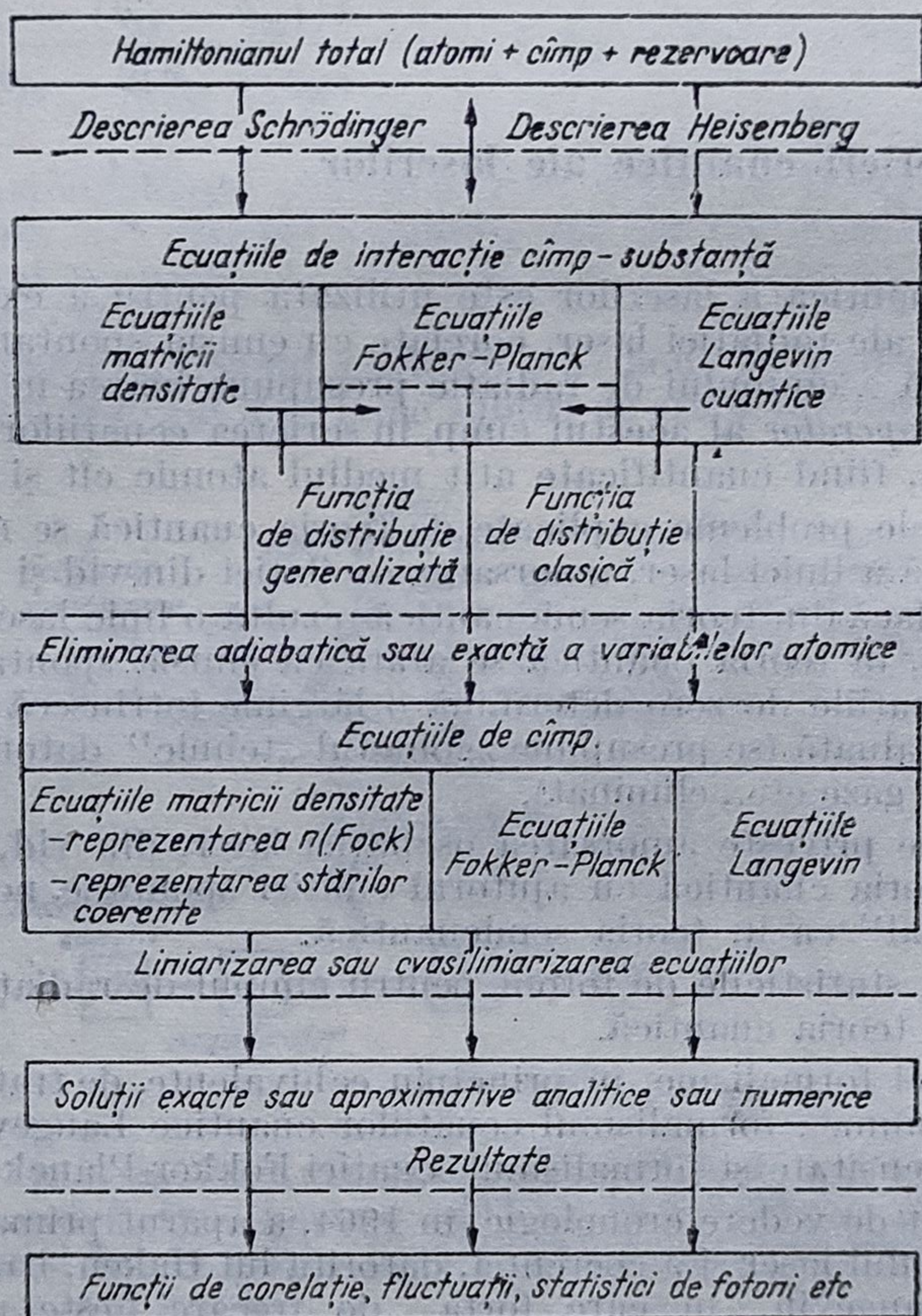


Fig. 6.1

evidenția și principalele rezultate privind comportarea cuantică a laserilor. Pentru simplificare, se admit în continuare ipotezele teoriei semicuante, introduse în § 5.2 și se mai fac următoarele ipoteze suplimentare: se consideră atomii staționari; se admite oscilația pe un singur mod la rezonanță ( $\Omega = \Omega_n = \omega_n$ ), ale cărui variații spațiale se neglijează; se lucrează în aproximația adiabatică, adică câmpurile au o variație temporală lentă în intervale  $T \sim 1/\gamma_{ab}$ , deci comparabile cu timpul de viață atomic efectiv, datorită condiției  $T \ll \tau_f$ , unde  $\tau_f$  este timpul de creștere exponențială a câmpului în aproximația liniară.



## 2.6. Formalismul matricei densitate

### 6.2.1. Operatorul densitate redus

Descrierea fenomenologică a rezervoarelor, utilizată în teoria semi-cuantică, nu mai corespunde exigențelor teoriei cuantice, ca urmare a caracterului de operator al câmpului.

Întrucît energia pierdută de sistem se distribuie între gradele de libertate (care tind către infinit) ale rezervorului, în procesele ireversibile de disipare corespunzătoare, nu pot fi „observate” gradele de libertate ale rezervorului astfel că trebuie găsită modalitatea de descriere a sistemului separat.

O astfel de posibilitate o oferă *operatorul densitate redus*, care ia în considerare evoluția sistemului și modul în care aceasta este afectată de rezervor, fără a se acorda atenție evoluției rezervorului.

Operatorul densitate redus pentru un sistem  $S$  în interacție cu un rezervor  $R$  se introduce prin analogie cu densitatea de probabilitate condițională din spațiul fazelor, conform corespondenței din tabelul 6.1.

Tabelul 6.1

Mărimea implicată	Clasic	Cuantic
$\rho_{SR}$ ( $S$ -sistem, $R$ -rezervor)	Densitatea de probabilitate condițională în spațiul fazelor $\rho_{RS}(p_S, q_S, p_R, q_R)$ pentru sistem și rezervor	Operatorul densitate pentru sistem și rezervor $\rho_{SR}$
$\rho_S$	Densitate de probabilitate asociată cu sistemul $(\rho_S(p_S, q_S))$	Operatorul densitate pentru sistem (reduc) $(\rho_S)$
Valoarea medie a mărimii $O$ asociate ansamblului sistem-rezervor	$\langle O \rangle = \int \rho_{RS} O \, dp_S dq_S dp_R dq_R$	$\langle \hat{O} \rangle = \text{Urm}(\hat{\rho}_{SR} \hat{O})$
Valoarea medie a mărimii $O_S$ asociate sistemului	$\langle O_S \rangle = \int \rho_S(p_S, q_S) O_S dp_S dq_S$	$\langle \hat{O}_S \rangle = \text{Urm}(\hat{\rho}_S \hat{O}_S)$
Evaluarea lui $\rho_S$ în general	$\rho_S(p_S, q_S) = \int \rho_{SR}(p_S q_S p_R q_R) dp_R dq_R$	$\hat{\rho}_S = \text{Urm}_R(\hat{\rho}_{SR})$
Sistemul și rezervorul sînt independente	$\rho_{SR} = \rho_S \rho_R$	$\hat{\rho}_{SR} = \hat{\rho}_S \hat{\rho}_R$

În general, neglijarea corelațiilor introduse de interacția  $S \leftrightarrow R$  face ca operatorul densitate redus pentru atomi  $\rho_A$  să descrie o stare mixtă, echivalentă cu o pierdere de informație, datorită neconsiderării evoluției rezervorului. Ca urmare, operatorul densitate redus va permite descrierea efectelor de zgomot în cursul procesului de reducere.



Astfel de sisteme aflate în interacție care pot fi studiate cu ajutorul operatorului densitate redus în cazul laserilor, sînt: sistemul atomi-rezervoare atomice, sistemul cîmp-rezervoare cîmp, sistemul cîmp-atomi activi. De exemplu, operatorul redus pentru cîmp  $\rho_c$  este dat relația

$$\rho_c = \text{Urm}_A (\rho_{cA}) \quad (6.1)$$

unde  $\rho_{cA}$  este operatorul densitate pentru sistemul total.

În reprezentarea Fock, operatorul densitate pentru cîmpul laser are forma generală

$$\rho = \sum_{n,n'} \rho_{n,n'} |n\rangle \langle n'| \quad (6.2)$$

unde  $\rho_{n,n}$  este probabilitatea stării cîmpului cu  $n$  fotoni, numită și *statistica fotonilor* (indicele pentru cîmp a fost suprimat).

Cîmpul modului laser considerat, este dat în descrierea Schrödinger de expresia

$$E(r) = E_0 \sin(kz) (\hat{a} + \hat{a}^+) \quad (6.3)$$

$\hat{a}^+$  și  $\hat{a}$  fiind operatorii de creare și anihilare pentru fotoni iar  $E_0$  un factor de normare a amplitudinii ( $E_0 = \sqrt{\hbar \Omega / \epsilon_0 V}$ ), numit cîmpul electric „pe foton”,  $V$  fiind volumul rezonatorului laser. Se obține valoarea medie

$$\begin{aligned} \langle E \rangle &= E_0 \sin(kz) \text{Urm} [\hat{\rho}(\hat{a} + \hat{a}^+)] = \\ &= E_0 \sin(kz) \sum_n (\sqrt{n+1}) \rho_{n,n+1} + \text{c.c.} \end{aligned}$$

Prin urmare, dacă  $\hat{\rho}$  este diagonal  $\langle E \rangle = 0$ .

Exemple particulare de operatori densitate pentru cîmp: — starea Fock (pură):

$$\hat{\rho} = |n\rangle \langle n| \quad \text{sau} \quad \rho_{n,n'} = \delta_{nn'}, \quad \langle E \rangle = 0; \quad (6.5)$$

— starea coerentă pură:

$$\hat{\rho} = |v\rangle \langle v| \quad \text{sau} \quad \rho_{n,n'} = \exp(-|v|^2) \frac{v^n (v^*)^{n'}}{\sqrt{n!n'!}}, \quad \langle E \rangle \neq 0 \quad (6.6)$$

### 9.2.2. Modelul cuantic al laserilor

Ca și teoria semicuantică, teoria cuantică a laserilor implică existența unui *mediu activ neliniar* și a unor *mecanisme de amortizare* a oscilației. Mediul activ neliniar care furnizează energie cîmpului modului este format din atomii activi care constituie rezervoarele de câștig. În același timp procesele de pierderi se consideră liniare, fiind determinate de rezervoarele de pierderi (fig. 6.2).



Astfel de sisteme aflate în interacție care pot fi studiate cu ajutorul operatorului densitate redus în cazul laserilor, sînt: sistemul atomi-rezervoare atomice, sistemul cîmp-rezervoare cîmp, sistemul cîmp-atomi activi. De exemplu, operatorul redus pentru cîmp  $\rho_c$  este dat relația

$$\rho_c = \text{Urm}_A (\rho_{cA}) \quad (6.1)$$

unde  $\rho_{cA}$  este operatorul densitate pentru sistemul total.

În reprezentarea Fock, operatorul densitate pentru cîmpul laser are forma generală

$$\rho = \sum_{n,n'} \rho_{n,n'} |n\rangle \langle n'| \quad (6.2)$$

unde  $\rho_{n,n}$  este probabilitatea stării cîmpului cu  $n$  fotoni, numită și *statistica fotonilor* (indicele pentru cîmp a fost suprimat).

Cîmpul modului laser considerat, este dat în descrierea Schrödinger de expresia

$$E(r) = E_0 \sin(kz) (\hat{a} + \hat{a}^+) \quad (6.3)$$

$\hat{a}^+$  și  $\hat{a}$  fiind operatorii de creare și anihilare pentru fotoni iar  $E_0$  un factor de normare a amplitudinii ( $E_0 = \sqrt{\hbar \Omega / \varepsilon_0 V}$ ), numit cîmpul electric „pe foton”,  $V$  fiind volumul rezonatorului laser. Se obține valoarea medie

$$\begin{aligned} \langle E \rangle &= E_0 \sin(kz) \text{Urm} [\hat{\rho}(\hat{a} + \hat{a}^+)] = \\ &= E_0 \sin(kz) \sum_n (\sqrt{n+1}) \rho_{n,n+1} + \text{c.c.} \end{aligned}$$

Prin urmare, dacă  $\hat{\rho}$  este diagonal  $\langle E \rangle = 0$ .

Exemple particulare de operatori densitate pentru cîmp: — starea Fock (pură):

$$\hat{\rho} = |n\rangle \langle n| \quad \text{sau} \quad \rho_{n,n'} = \delta_{nn'}, \quad \langle E \rangle = 0; \quad (6.5)$$

— starea coerentă pură:

$$\hat{\rho} = |v\rangle \langle v| \quad \text{sau} \quad \rho_{nn'} = \exp(-|v|^2) \frac{v^n (v^*)^{n'}}{\sqrt{n!n'!}}, \quad \langle E \rangle \neq 0 \quad (6.6)$$

### 9.2.2. Modelul cuantic al laserilor

Ca și teoria semicuantică, teoria cuantică a laserilor implică existența unui *mediu activ neliniar* și a unor *mecanisme de amortizare* a oscilației. Mediul activ neliniar care furnizează energie cîmpului modului este format din atomii activi care constituie rezervoarele de câștig. În același timp procesele de pierderi se consideră liniare, fiind determinate de rezervoarele de pierderi (fig. 6.2).



Mediul activ neliniar este considerat format dintr-un ansamblu de atomi cu două nivele  $|a\rangle$  și  $|b\rangle$ , al căror pompaj se face cu ratele  $\lambda_a$ , respectiv  $\lambda_b$ .

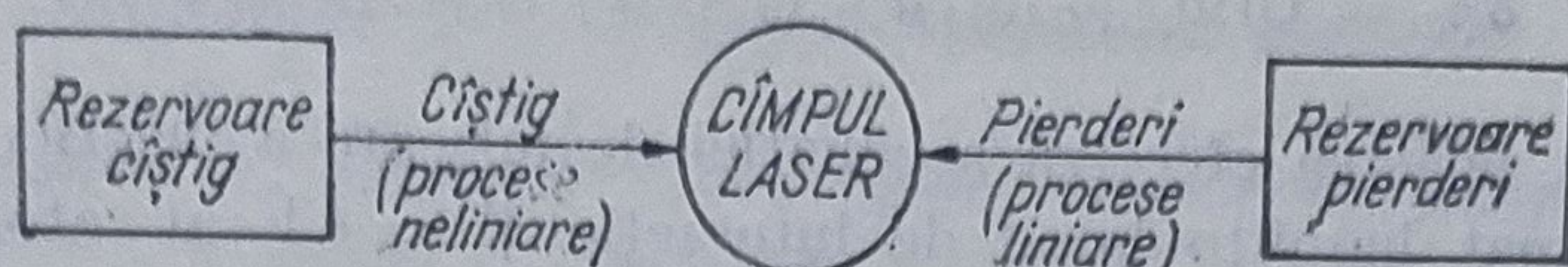


Fig. 6.2

Pentru descrierea proceselor de amortizare se mai consideră două nivele auxiliare  $|c\rangle$  și  $|d\rangle$  caracterizate de constantele de amortizare  $\gamma_a$  și  $\gamma_b$ . Acest model (datorat lui Scully și Lamb) este prezentat schematic în fig.6.3. Fie  $\rho_c(\hat{a}, \hat{a}^+, t)$  matricea densitate pentru radiația laser. Ecua-

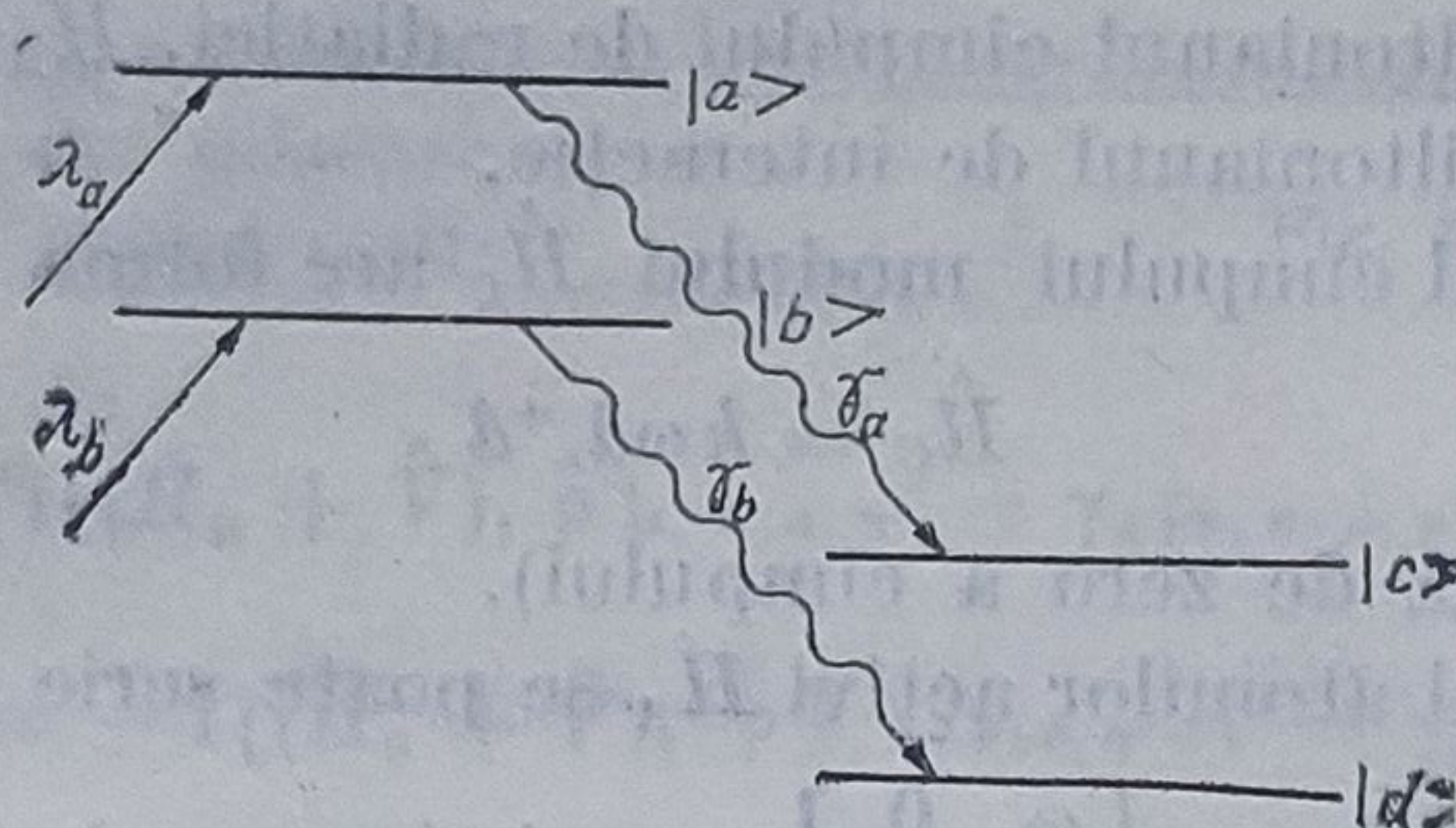


Fig. 6.3

ția de mișcare pentru  $\rho_c$  se obține considerînd mai întîi contribuția la cîmp datorită unui singur atom. Să notăm cu  $t_0$  momentul la care un atom este pompat pe nivelul  $|a\rangle$  cu rata de excitare  $\lambda_a$  (se consideră pentru simplificare  $\lambda_b = 0$ ). Modificarea matricei densitate  $\rho_c$  datorită acestui proces de pompaj al unui singur atom în intervalul  $T$  de interacție efectivă cu cîmpul (după  $T$  atomul este înlăturat din sistem), are forma generală

$$\delta \rho_c(\hat{a}, \hat{a}^+, t) = \rho_c(\hat{a}, \hat{a}^+, t_0 + T) - \rho_c(\hat{a}, \hat{a}^+, t_0). \quad (6.7)$$

La momentul  $t_0$  atomul și cîmpul sînt necorelați astfel încît se poate scrie

$$\rho_{cA}(t_0) = \rho_c(t_0) \rho_A(t_0) = \rho_0 \rho_A(t_0) \quad (6.8)$$

unde

$$\rho_A(t_0) = |a\rangle \langle a| = \begin{bmatrix} 1 & 0 \\ 0 & 0 \end{bmatrix} \quad (6.9)$$

deci

$$\rho_{cA}(t_0) = \begin{bmatrix} \rho_0 & 0 \\ 0 & 0 \end{bmatrix}. \quad (6.10)$$

Pentru a obține pe  $\rho_c(\hat{a}, \hat{a}^+, t_0 + T)$  trebuie calculată matricea densitate a sistemului total cîmp-atomi la momentul  $t_0 + T$  și apoi calculată urma peste variabilele atomice conform ecuației (6.1). Se poate scrie

$$\rho_c(\hat{a}, \hat{a}^+, t_0 + T) = \sum_{\alpha} \rho_{\alpha\alpha}(\hat{a}, \hat{a}^+ t_0 + T), \quad (\alpha = a, b). \quad (6.11)$$



Prin urmare, contribuția la câmp a unui singur atom are forma generală

$$\delta \rho_c = \text{Urm}_A[\hat{\rho}_{cA}(\hat{a}, \hat{a}^+, t_0 + T) - \rho_{cA}(\hat{a}, \hat{a}^+, t_0)]. \quad (6.12)$$

Pentru scrierea efectivă a ecuației de mișcare a matricei densitate, trebuie evaluat hamiltonianul de interacție  $\hat{W} = \hbar \hat{V}$  al atomilor activi cu câmpul laser monomod, forma generală a hamiltonianului total  $\hat{H}'$  fiind următoarea

$$\hat{H}' = \hat{H}_c + \hat{H}_A + \hat{W} \quad (6.13)$$

sau în unități  $H/\hbar$

$$\hat{H} = \hat{H}_c + \hat{H}_A + \hat{V} = \hat{H}_0 + \hat{V} \quad (6.14)$$

unde  $\hat{H}_c$  este hamiltonianul câmpului de radiației,  $\hat{H}_A$  este hamiltonianul atomic, iar  $\hat{V}$  hamiltonianul de interacție.

Hamiltonianul câmpului modului  $\hat{H}_c$  are forma

$$\hat{H}_c = \hbar \omega \hat{a}^\dagger \hat{a} \quad (6.15)$$

(s-a neglijat energia de zero a câmpului).

Hamiltonianul atomilor activi  $\hat{H}_A$  se poate scrie sub forma

$$\hat{H}_A = \begin{bmatrix} \omega_a & 0 \\ 0 & \omega_b \end{bmatrix} = \omega_a \hat{\sigma}_+ \hat{\sigma}_- + \omega_b \hat{\sigma}_- \hat{\sigma}_+ \quad (6.16)$$

unde  $\hat{\sigma}_\pm = \frac{1}{2} (\hat{\sigma}_1 \pm i \hat{\sigma}_2)$ ,  $\hat{\sigma}_1$  și  $\hat{\sigma}_2$  fiind operatorii lui Pauli.

În mod analog, conform celor prezentate în § 1.9, se scrie hamiltonianul de interacție  $\hat{V}$  sub forma

$$\hat{V} = \begin{bmatrix} 0 & V_{ab} \\ V_{ab} & 0 \end{bmatrix} = V_{ab} (\hat{\sigma}_+ + \hat{\sigma}_-) \quad (6.17)$$

$$\text{unde } \hat{V}_{ab} \hbar = -\hat{d} E = g(\hat{a} + \hat{a}^\dagger), \quad (6.18)$$

$g = -eE_0 d / \sqrt{2} \hbar$  fiind o constantă de cuplaj. Rezultă

$$\hat{V} = g(\hat{a} + \hat{a}^\dagger) (\hat{\sigma}_+ + \hat{\sigma}_-). \quad (6.20)$$

În aproximația undei rotitoare, se neglijează termenii antirezonanți astfel că la rezonanță (6.20) devine

$$\hat{V}' = g(\hat{\sigma}_+ \hat{a} + \hat{\sigma}_- \hat{a}^\dagger) = g \begin{bmatrix} 0 & \hat{a} \\ \hat{a}^\dagger & 0 \end{bmatrix} \quad (6.21)$$

expresie care arată că au fost reținute numai procesele de tipul: absorbție la tranziția  $|b\rangle \rightarrow |a\rangle$  și emisie la tranziția  $|a\rangle \rightarrow |b\rangle$  fiind neglijate emisia de fotoni la tranziția  $|b\rangle \rightarrow |a\rangle$  și absorbția de fotoni la tranziția  $|a\rangle \rightarrow |b\rangle$ . Ca urmare, hamiltonianul total al sistemului câmp-atom



are forma

$$\hat{H} = \omega \hat{a}^\dagger \hat{a} + \omega_a \hat{\sigma}_+ \hat{\sigma}_- + \omega_b \hat{\sigma}_- \hat{\sigma}_+ + g(\hat{a} \hat{\sigma}_+ + \hat{a}^\dagger \hat{\sigma}_-). \quad (6.22)$$

### 9.2.3. Ecuațiile de mișcare pentru operatorul densitate

#### a) Ecuațiile de mișcare în aproximația Wigner-Weisskopf

În scrierea efectivă a ecuațiilor de mișcare pentru operatorul densitate trebuie să se țină seama de dezintegrarea nivelelor  $|a\rangle$  și  $|b\rangle$  cu constantele  $\gamma_a$ , respectiv  $\gamma_b$ .

Pentru modelul cu patru nivele prezentat în fig. 6.4 se poate utiliza aproximația Wigner-Weisskopf, discutată în paragraful 1.10.

Se obțin pentru elementele de matrice ale operatorului densitate, ecuațiile de mișcare ale sistemului total atomi-radiație următoare

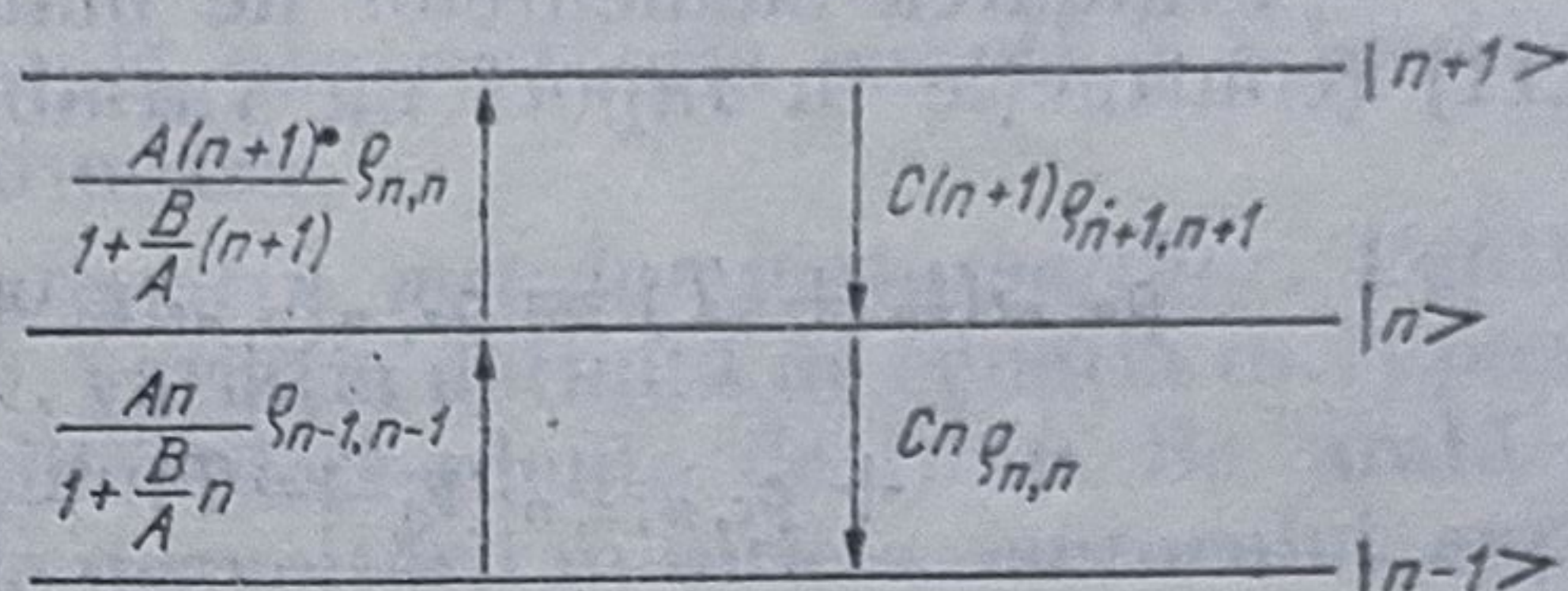


Fig. 6.4

$$\dot{\rho}_{a,n;a,n'} = -i[(\hat{H}_0 + \hat{V}), \hat{\rho}]_{a,n;a,n'} - \gamma_a \rho_{a,n;a,n'} \quad (6.23)$$

$$\dot{\rho}_{b,n+1;b,n'+1} = -i[(\hat{H}_0 + \hat{V}), \hat{\rho}]_{b,n+1;b,n'+1} - \gamma_b \rho_{b,n+1;b,n'+1} \quad (6.24)$$

$$\dot{\rho}_{a,n;b,n'+1} = -i[(\hat{H}_0 + \hat{V}), \hat{\rho}]_{a,n;b,n'+1} - \gamma_{ab} \rho_{a,n;b,n'+1} \quad (6.25)$$

$$\dot{\rho}_{b,n+1;n'} = -i[(\hat{H}_0 + \hat{V}), \hat{\rho}]_{b,n+1;n'} - \gamma_{ab} \rho_{b,n+1;a,n'} \quad (6.26)$$

$$\dot{\rho}_{c,n;c,n'} = \gamma_a \rho_{a,n;a,n'} \quad (6.27)$$

$$\dot{\rho}_{d,n+1;d,n'+1} = \gamma_b \rho_{b,n+1;b,n'+1}. \quad (6.28)$$

În continuare, stabilirea ecuației complete de mișcare pentru matricea densitate, presupune următoarele etape:

— integrarea directă a ecuațiilor (6.27) și (6.28) sub forma

$$\rho_{c,n;c,n'}(t_0 + T) = \gamma_a \int_{t_0}^{t_0+T} dt' \rho(t')_{a,n;a,n'} \quad (6.29)$$

și similar pentru  $\rho_{d,n+1;d,n'+1}$ ;

— integrarea ecuațiilor (9.23) — (9.26) care implică nivelele laser, scrise compact astfel:

$$\dot{\rho} = -i[C\rho - \rho C'] \quad (6.30)$$

unde

$$\rho = \begin{bmatrix} \rho_{a,n;a,n'} & \rho_{a,n;b,n'+1} \\ \rho_{b,n+1;a,n'} & \rho_{b,n+1;b,n'+1} \end{bmatrix} \quad (6.31)$$



iar matricea  $C$  (sau  $C'$  obținută din  $C$  prin înlocuirea lui  $n$  cu  $n'$  și considerarea conjugatei hermitice) are forma

$$C = \begin{bmatrix} \omega_a + n\omega - \frac{i}{2}\gamma_a & V_{a,n;b,n+1} \\ V_{b,n+1;a,n} & \omega_b + (n+1)\omega - \frac{i}{2}\gamma_b \end{bmatrix}. \quad (6.32)$$

Se obține

$$\rho(t) = e^{-iC(t-t_0)} \rho(t_0) e^{iC'(t-t_0)}; \quad (6.33)$$

— evaluarea elementelor de matrice  $\rho_{n,n'}(t_0 + T)$  conform ecuației (9.11) (contractie în raport cu variabilele atomice), din ecuația (9.33):

$$\begin{aligned} \rho_{n,n'}(t_0 + T) = & \rho_{a,n;a,n'}(t_0 + T)\rho_{b,n;b,n'}(t_0 + T) + \\ & + \rho_{c,n;c,n'}(t_0 + T) + \rho_{d,n;d,n'}(t_0 + T); \end{aligned} \quad (6.34)$$

— stabilirea expresiei  $\delta\rho_{n,n'}$ , a modificării matricei densitate datorită unui atom, conform ecuației (6.8):

$$\begin{aligned} \delta\rho_{n,n'} = & \rho_{n,n'}(t_0 + T) - \rho_{n,n'}(t_0) = \\ = & -[(n+1)R_{n,n'} + (n'+1)R_{n',n}^*] \rho_{n,n'} + \\ & + [R_{n-1,n;-1} + R_{n',-1,n-1}^*] (nn')^{1/2} \rho_{n-1,n'-1} \end{aligned} \quad (6.35)$$

unde

$$\begin{aligned} R_{n,n'} = & \\ = & g^2 \frac{\gamma_b(\gamma_{ab} + i\Delta) + g^2(n-n')}{\gamma_a\gamma_b(\gamma_{ab}^2 + \Delta^2) 2\gamma_{ab}^2 g^2(n+1+n'+1) + g^2(n'-n)(g^2(n'-n) + i\Delta(\gamma_a - \gamma_b))} \end{aligned} \quad (6.36)$$

iar

$$\Delta = \omega - \Omega, \quad (6.37)$$

$g$  fiind un coeficient de cuplaj;

— stabilirea expresiei  $\Delta\rho_{n,n'}$ , a modificării macroscopice a lui  $\rho_{n,n'}$ , datorită celor  $N_a = \lambda'_a \Delta t$  atomi pompați în intervalul  $\Delta t$  pe nivelul superior ( $\lambda'_a = \lambda_a V$ ), în ipoteza  $\rho_{n,n'}(t_0) = \rho_{n,n'}(t)$  (matricea densitate a cîmpului nu se schimbă semnificativ datorită unui singur atom):

$$\Delta\rho_{n,n'} = N_a \delta\rho_{n,n'} = \lambda'_a \Delta t \delta\rho_{n,n'} (T \leq \Delta t \leq \tau_f); \quad (6.38)$$

— scrierea ecuației de mișcare (de tip master) generală pentru operatorul densitate  $\hat{\rho}$ :

$$\frac{d\hat{\rho}}{dt} = \left( \frac{d\hat{\rho}}{dt} \right)_{ct\acute{s}tig} + \left( \frac{d\hat{\rho}}{dt} \right)_{pierderi} \quad (6.39)$$

unde prima derivată din membrul drept se calculează ținîndu-se seama de (6.38), iar a doua derivată se obține printr-o analiză asemănătoare a proceselor de pierderi.



Se obține în final *ecuația master a lui Pauli*

$$\begin{aligned} \frac{d\rho_{n,n'}}{dt} = & \lambda_a' \{ -[(n+1) R_{n,n'} + (n'+1) R_{n',n}^*] \rho_{n,n'} + \\ & + [R_{n-1,n'-1} + R_{n',-1,n-1}^*] \sqrt{nn'} \rho_{n-1,n'-1} \} - \\ & - \frac{1}{2} C(n+n') \rho_{n,n'} + C[(n-1)(n'+1)]^{1/2} \rho_{n+1,n'+1} \end{aligned} \quad (6.40)$$

unde parametrul  $C$  se identifică cu lărgimea de bandă a cavității ( $C = \omega/Q$ ) iar  $n' - n = p$ .

Ecuația (6.40) este fundamentală pentru teoria cuantică a laserilor, după cum se va arăta în cele ce urmează.

b) *Obținerea ecuației de mișcare prin metoda perturbațiilor.* Pentru intervale de timp  $T$  suficient de mici, variația definită de ecuația (6.7) poate fi calculată prin metoda perturbațiilor dependente de timp. Se arată că utilizarea acestei metode corespunde dezvoltării în serie a factorului exponențial Wigner-Weisskopf,

$$e^{-\gamma t} = 1 - \gamma t + \frac{\gamma^2}{2!} t^2 + \dots \quad (6.41)$$

conducând pentru intervale de timp care să asigure convergența seriei, prin calcule mai simple, la aceeași formă a ecuației de mișcare. Conform metodei perturbațiilor

$$\hat{\rho}_{cA}(t) = \hat{\rho}_{cA}^{(0)}(t) + \hat{\rho}_{cA}^{(1)}(t) + \hat{\rho}_{cA}^{(2)}(t) + \dots \quad (6.42)$$

unde

$$\begin{aligned} \hat{\rho}_{cA}^{(n)}(t) = & -i \int_{t_0}^t \hat{V}(t') \hat{\rho}_{cA}^{(n-1)}(t') dt' \\ & (n = 1, 2, \dots) \end{aligned} \quad (6.43)$$

și

$$\hat{\rho}_{cA}^{(0)}(t_0) = \hat{\rho}_{cA}(t_0). \quad (6.44)$$

Ecuația de mișcare pentru operatorul densitate

$$\dot{\hat{\rho}}_{cA} = -i[(\hat{H}_0 + \hat{V}), \hat{\rho}_{cA}]$$

se scrie în formalismul de interacție sub forma

$$\dot{\hat{\rho}}_{(I)CA} = -i[\hat{V}_I, \hat{\rho}_{(I)CA}] \quad (6.45)$$

unde

$$\begin{aligned} \hat{V}_I = & e^{i\hat{H}_0 t} \hat{V} e^{-i\hat{H}_0 t} = g e^{i\omega_a t + at} (\hat{a} + \hat{a}^\dagger) e^{-i\omega_a t + at} \times \\ & \times \exp[i(\omega_a \hat{\sigma}_+ \hat{\sigma}_- + \omega_b \hat{\sigma}_- \hat{\sigma}_+) t] [\sigma_+ + \sigma_-] \times \\ & \times \exp[-i\omega_a \hat{\sigma}_+ \hat{\sigma}_- + \omega_b \hat{\sigma}_- \hat{\sigma}_+) t]. \end{aligned} \quad (6.46)$$



În continuare, în aproximația unei rotitoare și la rezonanță, conform relației (6.21),  $\hat{V}_I = \hat{V}'$ . Evaluând corecțiile de diferite ordine din dezvoltarea (6.42), conform ecuației integrale (6.43), se obțin relațiile [62]:

$$\hat{\rho}_{CA}^{(1)}(t) = -ig(t - t_0) \begin{bmatrix} 0 & -\hat{\rho}_0 \hat{a} \\ \hat{a}^+ \hat{\rho}_0 & 0 \end{bmatrix} \quad (6.47)$$

$$\hat{\rho}_{CA}^{(2)}(t) = \frac{(-ig)^2}{2!} (t - t_0)^2 \begin{bmatrix} \hat{a} \hat{a}^+ \hat{\rho}_0 + \hat{\rho}_0 \hat{a} \hat{a}^+ & 0 \\ 0 & -2\hat{a}^+ \hat{\rho}_0 \hat{a} \end{bmatrix} \quad (6.48)$$

$$\hat{\rho}_{CA}^{(3)}(t) = \frac{(-ig)^3}{3!} (t - t_0)^3 \begin{bmatrix} 0 & -\hat{\rho}_0 \hat{a} \hat{a}^+ \hat{a} - 3\hat{a} \hat{a}^+ \hat{\rho}_0 \hat{a} \\ \hat{a}^+ \hat{a} \hat{a}^+ \hat{\rho}_0 + 3\hat{a}^+ \hat{\rho}_0 \hat{a} \hat{a}^+ & 0 \end{bmatrix} \quad (6.49)$$

$$\hat{\rho}_{CA}^{(4)}(t) = \frac{(-ig)^4}{4!} (t - t_0)^4 \times \\ \times \begin{bmatrix} \hat{a} \hat{a}^+ \hat{a} \hat{a}^+ \hat{\rho}_0 + 6\hat{a} \hat{a}^+ \hat{\rho}_0 \hat{a} \hat{a}^+ + \hat{\rho}_0 \hat{a} \hat{a}^+ \hat{a} \hat{a}^+ & 0 \\ 0 & -4\hat{a}^+ \hat{\rho}_0 \hat{a} \hat{a}^+ \hat{a} - 4\hat{a}^+ \hat{a} \hat{a}^+ \hat{\rho}_0 \hat{a} \end{bmatrix} \quad (6.50)$$

$$\hat{\rho}_{CA}^{(5)}(t) = \dots \quad (6.51)$$

Scrierea ecuației (6.39) implică calculul termenilor din partea dreaptă

$$\left( \frac{d\hat{\rho}}{dt} \right)_{\text{cîștig}} \text{ și } \left( \frac{d\hat{\rho}}{dt} \right)_{\text{pierdere}}.$$

Se observă următoarele:

- $\left( \frac{d\hat{\rho}}{dt} \right)_{\text{cîștig}}$  este determinat de corecțiile pînă la ordinul patru, procesele de cîștig fiind neliniare;
- $\left( \frac{d\hat{\rho}}{dt} \right)_{\text{pierdere}}$  este determinat de corecția de ordinul al doilea, procesele de pierdere fiind liniare.

Ca urmare, ecuația (6.39) se scrie sub forma

$$\begin{aligned} \frac{d\hat{\rho}}{dt} = & -\frac{A}{2} (\hat{a} \hat{a}^+ \hat{\rho} + \hat{\rho} \hat{a} \hat{a}^+ - 2\hat{a}^+ \hat{\rho} \hat{a}) + \\ & + \frac{B}{8} (\hat{a} \hat{a}^+ \hat{a} \hat{a}^+ \hat{\rho} + 6\hat{a} \hat{a}^+ \hat{\rho} \hat{a} \hat{a}^+ + \hat{\rho} \hat{a} \hat{a}^+ \hat{a} \hat{a}^+ - 4\hat{a}^+ \hat{\rho} \hat{a} \hat{a}^+ \hat{a} - 4\hat{a}^+ \hat{a} \hat{a}^+ \hat{\rho} \hat{a}) \\ & - \frac{C}{2} (\hat{a}^+ \hat{a} \hat{\rho} + \hat{\rho} \hat{a}^+ \hat{a} - 2\hat{a} \hat{\rho} \hat{a}^+) \end{aligned} \quad (6.52)$$

$$\text{unde} \quad A = \lambda_a g^2 T^2; \quad B = 8\lambda_a g^4 T^4/4! \quad (6.53)$$

iar  $C$  a fost definit anterior.

Ecuația (6.52) este generală pentru orice reprezentare. În reprezentarea Fock,  $\rho_{n,n'} = \langle n | \hat{\rho} | n' \rangle$ , astfel încît (6.52) capătă forma ecuației *master* a lui Pauli (6.40), unde

$$R_{n,n'} = \frac{A}{2} - \frac{B}{8} [3(n' + 1) + (n + 1)]. \quad (6.54)$$



Se constată că  $R_{n, n'}$ , dat de ecuația (6.54) este o formă particulară a expresiei (6.36) stabilită anterior. (Se obține din aceasta, prin dezvoltare în serie, în raport cu  $1/\gamma$ , pentru  $T = \frac{1}{\gamma}$ ,  $\Delta = 0$  și  $\gamma_{ab} = \gamma_a = \gamma_b = \gamma$ ).

#### 6.2.4. Analiza ecuației de mișcare

Ecuația de mișcare (6.40) cuplează numai elemente ale matricei densitate cu același grad de „nediagonalitate” ( $p = n - n'$ ), adică cuplarea se produce după linii paralele cu diagonala principală, fapt care exprimă un grad ridicat de decuplare, prin absența cuplării între elemente cu grade diferite  $p$ . Astfel dacă  $\rho$  este o matrice diagonală va rămâne diagonală și în timp evoluției; de asemenea, elementele de tipul  $\rho_{n, n \pm 1}$  evoluează independent de elementele diagonale  $\rho_{n, n}$ .

a) *Studiul elementelor diagonale.* Elementele diagonale ale ecuației (6.40) obținute din condiția  $p = 0$  au forma

$$\begin{aligned} \dot{\rho}_{n, n} = & -A(n+1)[1 + (n+1)(B/A)]^{-1}\rho_{n, n} + \\ & + An[1 + n(B/A)]^{-1}\rho_{n-1, n-1} \\ & - Cn\rho_{n, n} + C(n+1)\rho_{n+1, n+1} \end{aligned} \quad (6.55)$$

unde expresiile coeficienților  $A$ ,  $B$  și  $C$  diferă de (6.53) datorită utilizării expresiei (6.36) în loc de expresia (6.54) a lui  $R_{n, n'}$ . Se arată ușor că

$$A = 2\lambda_a g^2 / (\gamma_a \gamma_{ab}); \quad B = 8\lambda_a g^4 / (\gamma_a^2 \gamma_b \gamma_{ab}); \quad C = \omega/Q. \quad (6.56)$$

Ecuația (6.55) descriind un bilanț de probabilitate este o ecuație de tip master după cum s-a mai menționat. Bilanțul detaliat de probabilități

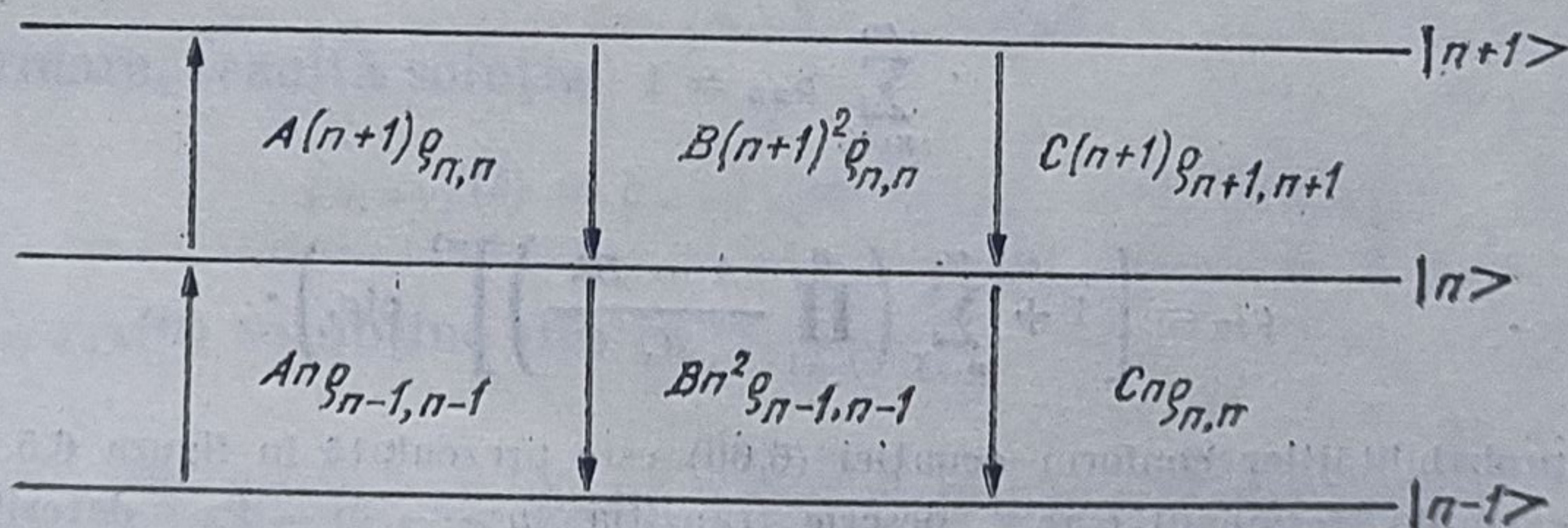


Fig. 6.5

corespunzător oscilației unui laser cu  $n$  fotoni este prezentat în fig. 6.4 și se obține considerînd soluția de regim staționar a ecuației (6.55). Astfel pentru  $\dot{\rho}_{n, n} = 0$ , ecuația (6.55) este echivalentă cu următoarele două sisteme de ecuații cu diferențe finite, între perechi de nivele adiacente

$$An[1 + (B/A)n]^{-1}\rho_{n-1, n-1} - Cn\rho_{n, n} = 0 \quad (6.57)$$

$$A(n+1)[1 + (B/A)(n+1)]^{-1}\rho_{n, n} - C(n+1)\rho_{n+1, n+1} = 0 \quad (6.58)$$

ale căror soluții au forma

$$\rho_{n, n} = \mathcal{N} \prod_{k=1}^n (A/C)[1 + (B/A)k]^{-1} \quad (6.59)$$

$\mathcal{N}$  fiind o constantă de normare.



În aproximația liniară,  $B = 0$ , astfel că ecuațiile (6.57) și (6.58) se simplifică corespunzător.

Dacă reținem în ecuația (6.55) numai termenii de primul ordin în  $B/A$ , se obține ecuația mai simplă pentru rata fotonilor

$$\dot{\rho}_{n,n} = -[A - B(n+1)](n+1)\rho_{n,n} + [A - Bn]n\rho_{n+1,n+1} - Cn\rho_{n,n} + C(n+1)\rho_{n+1,n+1} \quad (6.60)$$

care admite soluția de regim staționar

$$\rho_{n,n} = \mathcal{N}' \prod_{k=1}^n \frac{A - Bk}{C} \quad (6.61)$$

unde  $\mathcal{N}'$  este o constantă de normare.

(Observație. Soluția (6.64) ca și (6.59) se obține prin recurență. Astfel, rezultă mai întâi

$$\rho_{n+1,n+1} = \frac{[A - B(n+1)] \rho_{nn}}{C} \quad (6.62)$$

Prin urmare

$$\rho_{11} = C^{-1}(A - B) \rho_{00} \quad (6.63)$$

$$\rho_{22} = C^{-1}(A - 2B)\rho_{11} \quad (6.64)$$

$$\rho_{n,n} = \left( \prod_{k=1}^n \frac{A - kB}{C} \right) \rho_{00} \quad (6.65)$$

unde din condiția de normare

$$\sum_{n=0}^{\infty} \rho_{nn} = 1 \quad (6.66)$$

se obține

$$\rho_{00} = \left[ 1 + \sum_{n=1}^{\infty} \left( \prod_{k=1}^n \frac{A - Bk}{C} \right) \right]^{-1} \text{ etc. } \quad (6.67)$$

Diagrama probabilităților conform ecuației (6.60) este prezentată în figura 6.5.

De exemplu, termenul  $Cn\rho_{n,n}$  descrie tranziția  $|n\rangle \rightarrow |n-1\rangle$  datorită absorbției unui foton; în mod asemănător termenul  $[A - B(n+1)](n+1)\rho_{n,n}$  descrie tranziția  $|n\rangle \rightarrow |n+1\rangle$  datorită emisiei unui foton etc.

Dacă condiția de regim staționar  $\dot{\rho}_{nn} = 0$  nu este îndeplinită (regim tranzitoriu), se caută pentru elementele de matrice diagonale soluții de forma

$$\rho_{nn}(t) = \varphi(n) e^{-\mu t} \quad (6.68)$$

care introduse în ecuația de mișcare (6.55) conduce la următorul sistem infinit de ecuații liniare omogene.

$$a_{n,n-1}\varphi(n-1) + (a_{n,n} + \mu)\varphi(n) + a_{n,n+1}\varphi(n+1) = 0; \quad n = 1, 2, \dots \quad (6.69)$$

care admite soluții nebanale dacă  $\mu_k \geq 0$ , soluția  $\mu_0 = 0$  corespunzând regimului staționar. Forma generală a soluției dependente de timp pentru elementele diagonale este următoarea

$$\rho_{nn}(t) = \sum_{k=0}^{\infty} \varphi_k(n) e^{-\mu_k t} \quad (6.70)$$



În aproximația liniară,  $B = 0$ , astfel că ecuațiile (6.57) și (6.58) se simplifică corespunzător.

Dacă reținem în ecuația (6.55) numai termenii de primul ordin în  $B/A$ , se obține ecuația mai simplă pentru rata fotonilor

$$\dot{\rho}_{n,n} = -[A - B(n+1)](n+1)\rho_{n,n} + [A - Bn]n\rho_{n+1,n+1} - Cn\rho_{n,n} + C(n+1)\rho_{n+1,n+1} \quad (6.60)$$

care admite soluția de regim staționar

$$\rho_{n,n} = \mathcal{N}' \prod_{k=1}^n \frac{A - Bk}{C} \quad (6.61)$$

unde  $\mathcal{N}'$  este o constantă de normare.

(Observație. Soluția (6.64) ca și (6.59) se obține prin recurență. Astfel, rezultă mai întâi

$$\rho_{n+1,n+1} = \frac{[A - B(n+1)] \rho_{nn}}{C} \quad (6.62)$$

Prin urmare

$$\rho_{11} = C^{-1}(A - B) \rho_{00} \quad (6.63)$$

$$\rho_{22} = C^{-1}(A - 2B)\rho_{11} \quad (6.64)$$

$$\rho_{n,n} = \left( \prod_{k=1}^n \frac{A - kB}{C} \right) \rho_{00} \quad (6.65)$$

unde din condiția de normare

$$\sum_{n=0}^{\infty} \rho_{nn} = 1 \quad (6.66)$$

se obține

$$\rho_{00} = \left[ 1 + \sum_{n=1}^{\infty} \left( \prod_{k=1}^n \frac{A - Bk}{C} \right) \right]^{-1} \text{ etc. } \quad (6.67)$$

Diagrama probabilităților conform ecuației (6.60) este prezentată în figura 6.5.

De exemplu, termenul  $Cn\rho_{n,n}$  descrie tranziția  $|n\rangle \rightarrow |n-1\rangle$  datorită absorbției unui foton; în mod asemănător termenul  $[A - B(n+1)](n+1)\rho_{n,n}$  descrie tranziția  $|n\rangle \rightarrow |n+1\rangle$  datorită emisiei unui foton etc.

Dacă condiția de regim staționar  $\dot{\rho}_{nn} = 0$  nu este îndeplinită (regim tranzitoriu), se caută pentru elementele de matrice diagonale soluții de forma

$$\rho_{nn}(t) = \varphi(n) e^{-\mu t} \quad (6.68)$$

care introduse în ecuația de mișcare (6.55) conduce la următorul sistem infinit de ecuații liniare omogene.

$$a_{n,n-1}\varphi(n-1) + (a_{n,n} + \mu)\varphi(n) + a_{n,n+1}\varphi(n+1) = 0; \quad n = 1, 2, \dots \quad (6.69)$$

care admite soluții nebanale dacă  $\mu_k \geq 0$ , soluția  $\mu_0 = 0$  corespunzând regimului staționar. Forma generală a soluției dependente de timp pentru elementele diagonale este următoarea

$$\rho_{nn}(t) = \sum_{k=0}^{\infty} \varphi_k(n) e^{-\mu_k t} \quad (6.70)$$



b) *Studiul elementelor nediagonale.* Elementele nediagonale ale ecuației (6.40) se obțin pentru  $p \neq 0$  sub forma

$$\begin{aligned} \dot{\rho}_{n, n+p} = & -\frac{B}{8} p^2 \rho_{n, n+p} - \left[ A - B \left( n + 1 + \frac{p}{2} \right) \right] \left( n + 1 + \frac{p}{2} \right) \rho_{n, n+p} + \\ & + \left[ A - B \left( n + \frac{p}{2} \right) \right] \sqrt{n(n+p)} \rho_{n-1, n-1+p} - C \left( n + \frac{p}{2} \right) \rho_{n, n+p} + \\ & + C \sqrt{(n+1)(n+1+p)} \rho_{n+1, n+1+p}. \end{aligned} \quad (6.71)$$

Prin extinderea soluției (6.70) la elementele nediagonale se poate scrie

$$\rho_{n, n+p}(t) = \sum_{k=0}^{\infty} \varphi_k(n, p) \exp [-\mu_k^{(p)}(t)] \quad (6.72)$$

unde  $\mu_k^{(p)}(p) > 0$ , astfel că termenii nediagonali tind spre zero pentru intervale de timp suficient de mari.

Pentru elemente situate în apropierea diagonalei principale ( $p$  mic), se poate aprecia, mult peste prag, că valorile proprii  $\mu_k^{(p)}$  sînt mici astfel încît prin analogie cu soluțiile (6.60) se caută soluții de forma

$$\rho_{n, n+p}(t) = \mathcal{N}_p \left\{ \prod_{l=0}^n \left[ \frac{A - Bl}{C} \right] \prod_{m=0}^{n+p} \left[ \frac{A - Bm}{C} \right] \right\}^{1/2} \exp [\mu_0^{(p)}(t)], \quad (6.73)$$

care implică pentru valorile proprii  $\mu_0^{(p)}$  expresiile

$$\mu_0^{(p)} = \frac{1}{2} D p^2 \quad (6.74)$$

unde

$$D = \frac{C}{2 \langle n \rangle} = \frac{\omega}{2 Q \langle n \rangle}. \quad (6.75)$$

Prin urmare, rezultă soluția

$$\rho_{n, n+p}(t) = \rho_{n, n+p}(0) \exp \left[ -\frac{1}{2} p^2 D t \right] \quad (6.76)$$

unde  $\rho_{n, n+p}(0)$  se obține din (6.73) pentru  $t = 0$ .

### 6.2.5. Rezultate ale formalismului matricei densitate

Din analiza soluțiilor ecuației de mișcare pentru matricea densitate, stabilită în paragraful anterior, se obțin principalele rezultate ale teoriei cuantice care se referă, după cum s-a menționat în § 6.1, la : statisticile de fotoni, amorsarea oscilației din vid și lărgimea intrinsecă a liniei laser.

a) *Statisticile de fotoni.* Se referă la numărul de fotoni pe mod, pentru fiecare din cele trei regimuri caracteristice de operare : sub prag ( $A < C$ ), la pragul de oscilație ( $A = C$ ) și peste prag ( $A > C$ ).

Pragul de oscilație este definit de condiția  $A = C$  întrucît din expresiile (6.56) ale constantelor  $A$  și  $C$  rezultă

$$\bar{N}_c = \frac{\epsilon_0 \hbar \gamma_{ab}}{d^2 Q} \quad (6.77)$$

adică expresia (5.68) a inversiei critice din teoria semicuantică.



I. *Sub prag* ( $A < C$ ). Întrucît în această regiune de operare, termenii neliniari pot fi neglijati ( $B = 0$ ), soluția (6.59) în aproximația liniară are forma

$$\rho_{n,n} = [1 - (A/C)] \cdot (A/C)^n. \quad (6.78)$$

fiind o funcție rapid descrescătoare cu numărul de fotoni (fig. 6.6, curba I)

Dacă definim temperatura efectivă,  $T$ , a radiației termice prin relația

$$\exp \left[ -\frac{\hbar \omega}{kT} \right] = \frac{A}{C} \quad (6.79)$$

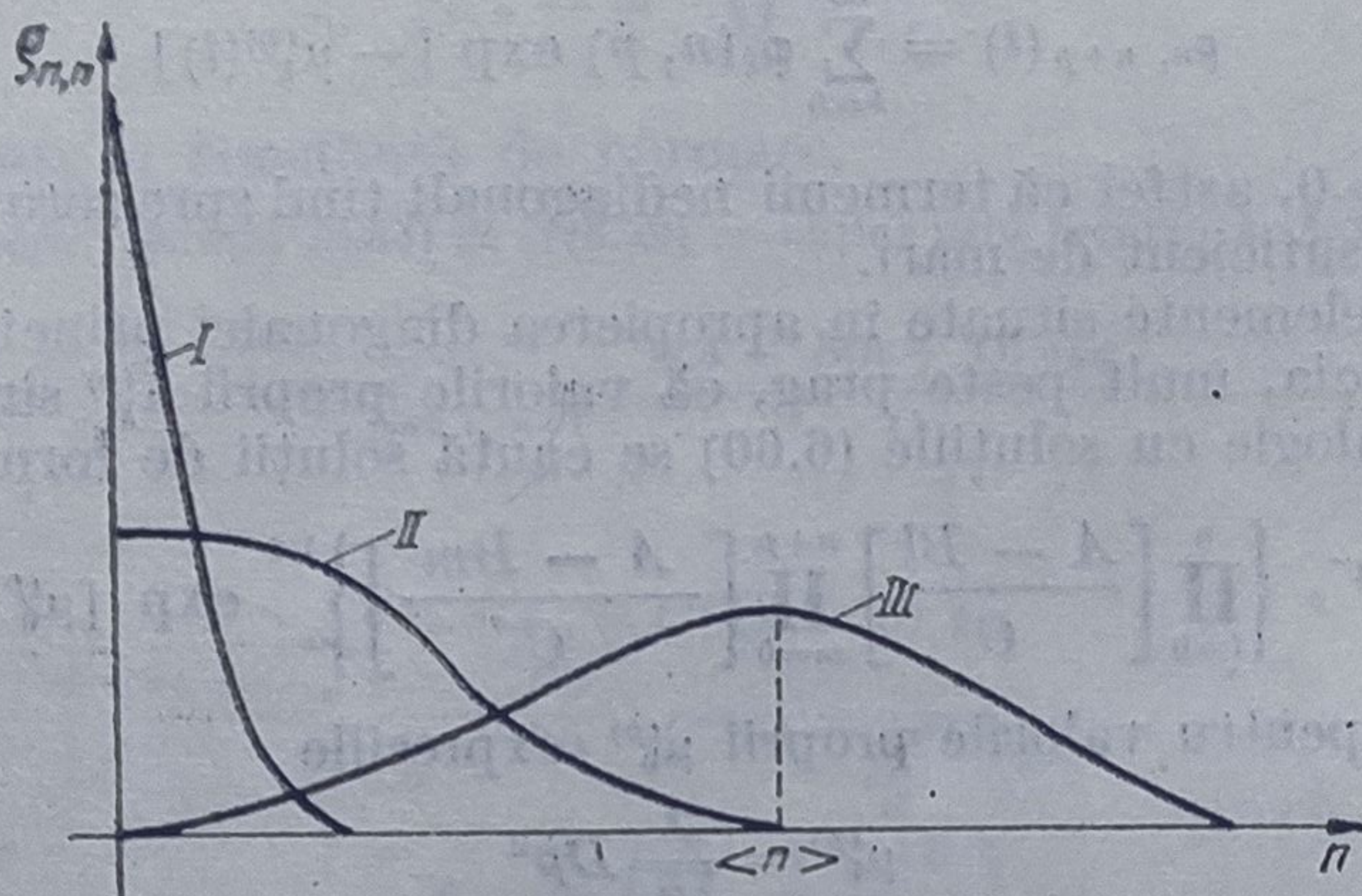


Fig. 6.6.

din (6.78) se obține

$$\rho_{n,n} = \left\{ 1 - \exp \left[ -\frac{\hbar \omega}{kT} \right] \right\} \exp \left[ -\frac{n \hbar \omega}{kT} \right] \quad (6.80)$$

adică sub prag statistica fotonilor este cea a radiației termice.

II. *La prag* ( $A = C$ ). La pragul de oscilație și peste prag se analizează soluția (6.61) în aproximația neliniară ( $B \neq 0$ ).

La prag, se observă că

$$\frac{A - Bk}{C} = 1 - \frac{B}{A} k < 1 \text{ pentru } k > 0. \quad (6.81)$$

Prin urmare, probabilitatea maximă este  $\rho_{0,0}$ , se obține pentru  $n = 0$  și are o descreștere gaussiană pentru  $n > 0$  (fig. 6.6, curba II).

III. *Peste prag* ( $A > C$ ). Soluția (6.61) este în acest caz un produs de  $(n + 1)$  factori de forma  $f_k = \frac{A - Bk}{C}$ . Dacă definim numărul de

fotoni la regim staționar prin  $\bar{n} = \frac{A - C}{B}$  (cîștigul este compensat de

pierderi) se observă că  $f_k > 1$  pentru  $k < \bar{n}$  și  $f_k < 1$  pentru  $k > \bar{n}$ . Prin urmare,  $\rho_{n,n}$  crește odată cu  $n$  pentru  $n < \bar{n}$  și scade cu  $n$  peste  $n > \bar{n}$ , avînd un maxim pentru  $n = \bar{n}$  (fig. 6.6, curba III).



O privire comparativă a statisticilor de fotoni pentru radiația laser peste prag și cea a unui laser ideal (adică aflat într-o stare coerentă cu aceeași valoare medie a numărului de fotoni  $\langle n \rangle$ ) este prezentată în fig. 6.7. Se constată că distribuția de fotoni a laserului ideal are un maxim mai pronunțat.

Pentru o distribuție peste prag, suficient de pronunțată se poate scrie

$$\langle n \rangle \simeq \bar{n} = \frac{A}{C} \left( \frac{A - C}{B} \right). \quad (6.82)$$

Întrucât numărul mediu de fotoni  $\langle n \rangle$  este o măsură a intensității câmpului rezultă conform teoriei semicuantice

$$\langle n \rangle \simeq \frac{\text{cîștigul} - \text{pierderile}}{\text{parametrul de saturație}}. \quad (6.83)$$

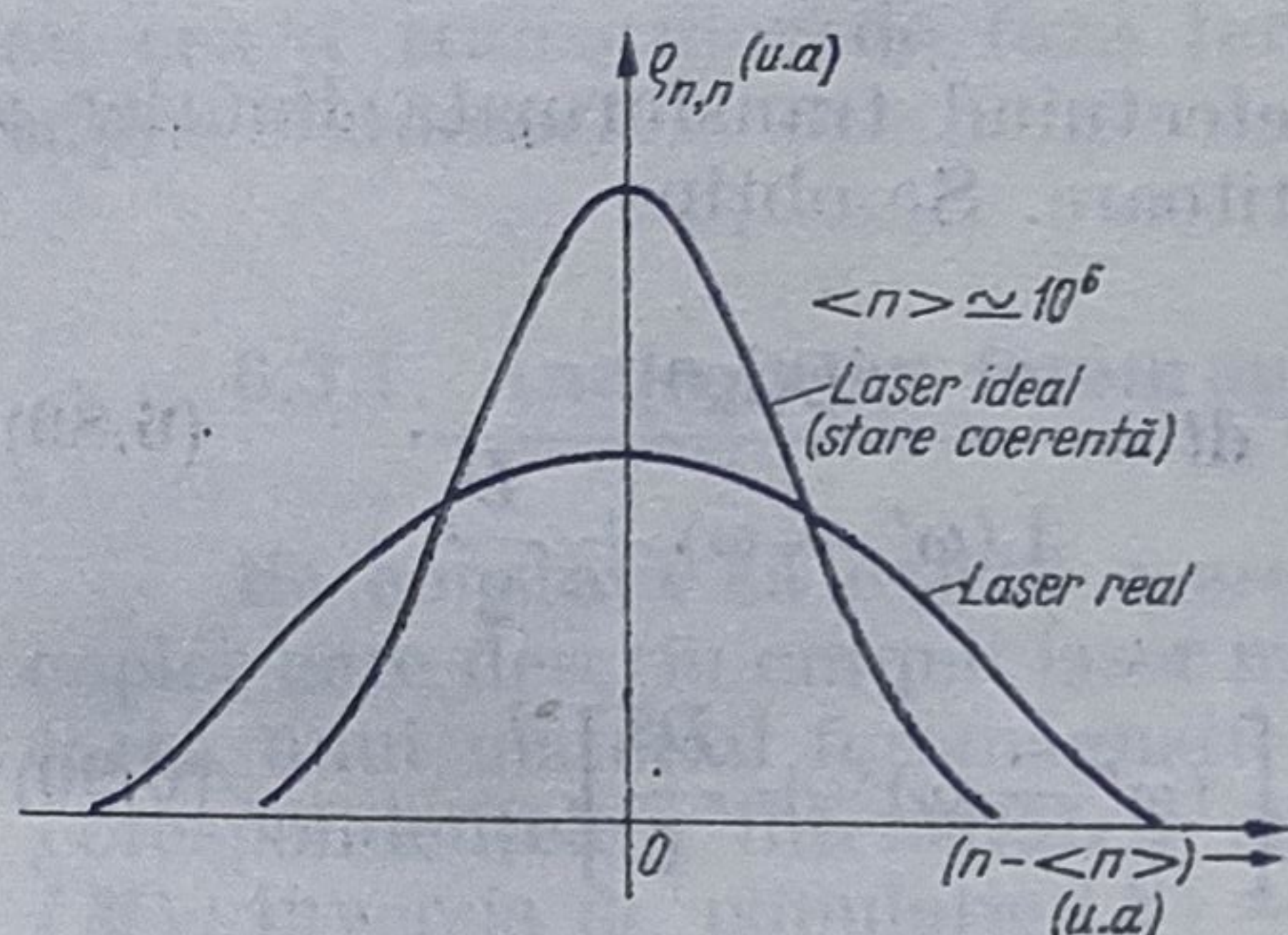


Fig. 6.7

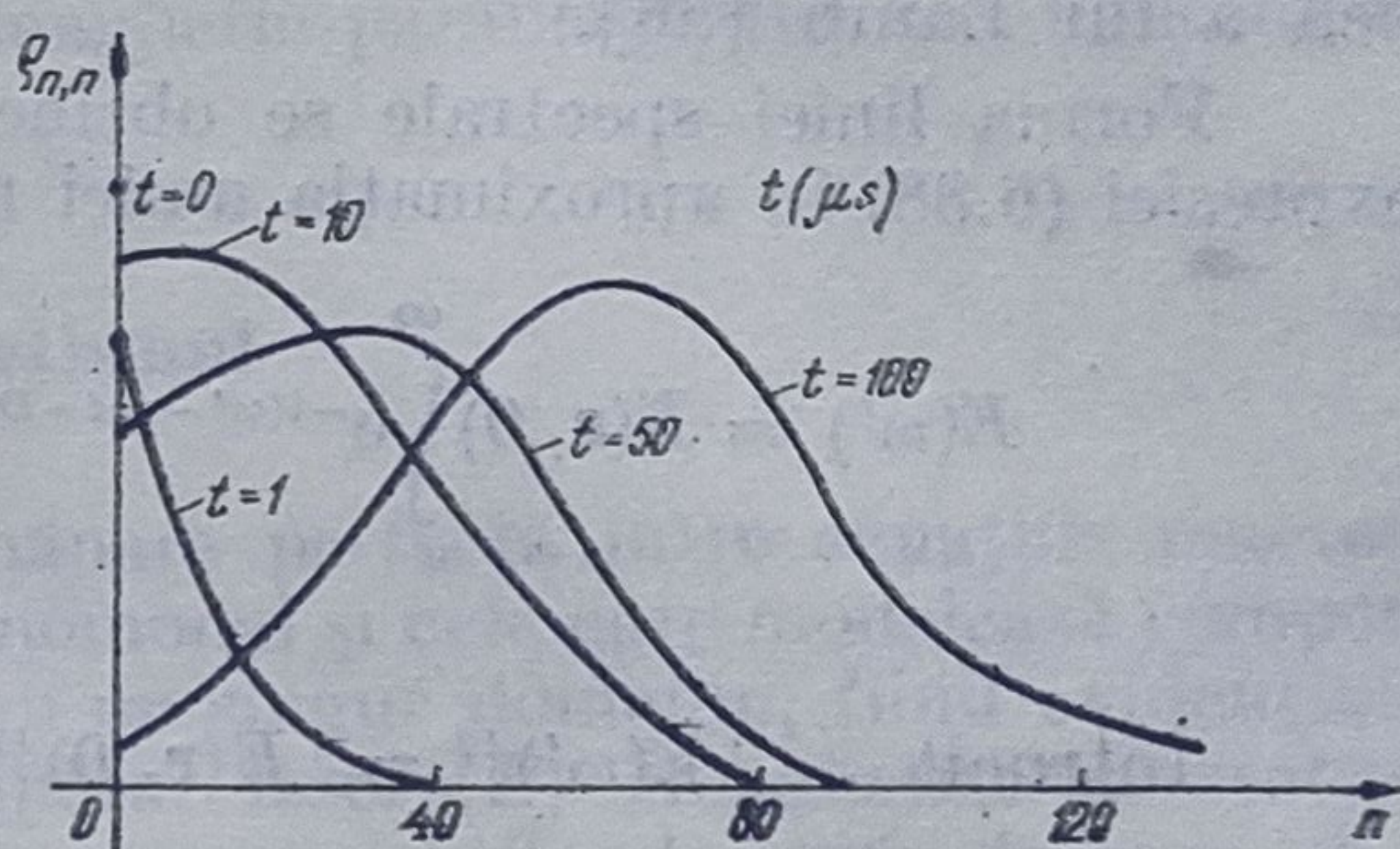


Fig. 6.8

Cele două expresii de mai sus ale lui  $\langle n \rangle$  oferă posibilitatea interpretării constantelor  $A - C$  și  $B$  pe baza relațiilor

$$A - C = 2\alpha \quad (6.84)$$

$$B \sim \beta \quad (6.85)$$

unde  $\alpha$  și  $\beta$  sînt factorii de cîștig și de saturație, avînd expresiile (5.122) și (5.123).

Dacă se utilizează soluția (6.61), pentru un regim de operare *mult peste prag* se obține

$$\langle n \rangle \simeq A^2/(BC). \quad (6.86)$$

În acest caz, în condiții ușor de satisfăcut,

$$\rho_{n,n} \simeq \mathcal{N}' \frac{\langle n \rangle^n}{n!} = \exp(-\langle n \rangle) \frac{\langle n \rangle^n}{n!}, \quad (6.87)$$

adică se obține distribuția Poisson, statistica fotonilor mult peste prag apropiindu-se de cea a unei stări coerente.

b) *Amorsarea oscilației din vid.* Din analiza soluției (6.70) rezultă curbele  $\rho_{n,n} = gf(n)$ , avînd ca parametru timpul, trasate în fig. 6.8. Timpul de regim tranzitoriu determinat de factorul  $\frac{1}{A - \omega/Q}$ , adică de constanta de timp de creștere exponențială în aproximația liniară este pentru parametrii obișnuiți ai dispozitivelor laser, de zeci de  $\mu s$ .



c) *Lărgimea intrinsecă a liniei laser.* Proprietățile spectrale ale liniei laser sînt incluse în soluțiile dependente de timp (6.74) ale elementelor nedigonale ale matricei densitate și pot fi evidențiate, investigînd valoarea medie a cîmpului laser. Altă cale utilizabilă în acest scop constă în folosirea funcției de corelație  $G^{(1,1)}(\mathbf{r}, t; \mathbf{r}, t + \tau)$  a cîmpului.

Ținînd seama de expresia (6.74) a elementului de matrice  $\rho_{n, n+p}(t)$  se obține pentru valoarea medie a cîmpului electric expresia.

$$\langle E(\mathbf{r}, t) \rangle = \langle E(\mathbf{r}, 0) \rangle e^{-Dt/2} \cos \omega t. \quad (6.88)$$

(Deși peste prag amplitudinea este stabilizată, faza este nestabilizată astfel încît atenuarea valorii medii rezultă din procesele de difuzie a fazei. Faza evoluează diferit pentru diferite elemente ale ansamblului datorită zgomotului produs de emisia spontană și a zgomotului termic. Semnificația lui  $D$  ca *factor de difuzie a fazei* este evidențiată în teoria semicuantică a lui Lamb [86].)

Forma liniei spectrale se obține efectuînd transformata Fourier a expresiei (6.88) în aproximația unei rotitoare. Se obține

$$E(\omega') = E(\mathbf{r}, 0) \int_0^\infty e^{-i(\omega' - \omega)t - D/2t} dt = \frac{E(\mathbf{r}, 0)}{i(\omega' - \omega) + \frac{D}{2}}. \quad (6.89)$$

$$\text{Întrucît} \quad |E(\omega')|^2 = |E(\mathbf{r}, 0)|^2 \cdot \left[ (\omega' - \omega)^2 + \frac{D^2}{4} \right]^{-1} \quad (6.90)$$

rezultă că profilul liniei este lorentzian, avînd lărgimea intrinsecă  $D$  dată de relația (6.75), la semiînălțime, în jurul frecvenței modului  $\omega$ . Întrucît lărgimea modului cavității este  $\Delta\Omega = \frac{\omega}{Q}$  se poate scrie

$$\frac{D}{\Delta\Omega} = \frac{1}{2\langle n \rangle} \quad (6.91)$$

astfel încît lărgimea liniei este redusă cu factorul  $1/2\langle n \rangle$  în raport cu lărgimea modului cavității pasive. Întrucît  $\langle n \rangle$  este determinat de raportul dintre rata emisiei induse către rata emisiei spontane rezultă rolul emisiei spontane ca sursă de zgomot.

(Pentru un laser tipic cu gaz  $D \sim 10^{-3}$  Hz, ceea ce reflectă un înalt grad de monocromaticitate, avînd în vedere frecvența optică ridicată).

În realitate o serie de factori, cum ar fi vibrațiile oglinzilor etc., fac ca lărgimea liniei să crească cu mai multe ordine de mărime (aproximativ  $10^6$  Hz pentru tranziția  $2s \rightarrow 2p$  a unui laser cu gaz cu He-Ne (lărgimea naturală) și cam  $10^9$  Hz lărgimea Doppler).

*Observație.*

— Dacă se exprimă factorul de difuzie a fazei funcție de puterea laser pentru un laser tipic se obține

$$D_{\text{cua ntic}} = \frac{h\omega}{2P} (\Delta\Omega)^2 = 2D_{\text{semicuantic}} \quad (6.92)$$



rezultat care evidențiază o dublare a lărgimii liniei cuantice datorită zgomotului emisiei spontane. În calculul semicuantic al lărgimii liniei se iau în considerare fluctuațiile de zero și zgomotul termic, nefiind posibilă considerarea emisiei spontane).

— Folosirea transformatei Fourier a funcției de coerență  $G^{(1,1)}(\mathbf{r}, t; \mathbf{r}, t + \tau)$  pentru evaluarea spectrului este utilă în special în cazul staționar cînd  $\rho$  este diagonal și  $\langle E \rangle = 0$ .

În acest caz, după evaluarea operatorilor dependenți de timp  $\hat{a}(t)$ , cu ajutorul operatorului densitate redus, este suficient să se evalueze expresia  $\text{Urm}[\hat{\rho}(0)\hat{a}^\dagger(0)\hat{a}(t)]$ .

### 6.3. Fenomenul laser ca tranziție de fază

Comportarea dispozitivului laser la prag descrisă de teoria cuantică poate fi analizată prin analogie cu tranzițiile de fază de speța a doua.

În cele ce urmează se va discuta această comportare în comparație cu cea a tranzițiilor de fază feromagnetic-paramagnetic sau conductor-supraconductor.

#### 6.3.1. Analogia cu feromagnetismul

Se constată că există o asemănare perfectă între ecuațiile macroscopice care descriu cîmpul laser monomodal și cele care modelează comportarea unui material feromagnetic cu un singur domeniu, fiind evidențiate corespondențele: intensitatea cîmpului laser ( $E$ )  $\rightarrow$  magnetizarea statică ( $M$ ); inversia de populație ( $N$ )  $\rightarrow$  temperatura ( $T$ ); inversia de prag ( $N_p$ ) temperatura Curie ( $T_c$ ) etc.

Menționăm că  $E$ , respectiv  $M$ , descriu parametrii de ordine în tranzițiile de fază corespunzătoare, iar  $N$ , respectiv  $T$ , sînt variabile care descriu interacția sistemului cu rezervorul de pompaj în cazul laserilor sau cu termostatul în cazul feromagneților. Teoria poate fi extinsă pentru cazul unui laser multimodal care corespunde unui sistem magnetic neomogen spațial. Mergîndu-se mai departe cu analogia, semnalul de injecție în cazul laserilor corespunde cîmpului magnetic extern aplicat, în cazul feromagnetismului.

O prezentare mai completă a analogiilor discutate este prezentată în tabelul 6.2 [62].

Distribuția  $P(\alpha, t)$  a cîmpului reprezintă o cvasiprobabilitate și se obține în cazul considerării fluctuațiilor ca soluție a ecuației (6.39), scrisă în reprezentarea stărilor coerente (ecuația Fokker-Planck),  $P(\alpha, t)$  fiind definit prin

$$\rho(\hat{a}, \hat{a}^\dagger, t) = \int P(\alpha, t) |\alpha\rangle \langle \alpha| d^2\alpha. \quad (6.93)$$

În cazul în care se introduc notațiile

$$x = (1/2)[\alpha + \alpha^*] \text{ și } y = (1/2i)[\alpha - \alpha^*], \text{ se obține} \quad (6.94)$$

$$P(x, y) = \mathcal{N}(\exp[-G(x, y)/KN])$$

unde  $\mathcal{N}$  este o constantă de normare,  $K$  este un factor proporțional cu câștigul per atom,  $G(x, y)$  potențialul termodinamic corespunzător energiei libere iar  $N$  inversia de populație.



### 6.3.2. Analogia cu supraconductivitatea

Pentru evidențierea acestei analogii se utilizează ecuația Fokker-Planck verificată de funcția de distribuție  $[E(x) = E^+(x) + E^-(x)]$

$$\mathcal{P}(u, u^*) = \mathcal{N} \exp([-G/Q_0]) \quad (6.95)$$

unde amplitudinea  $u(x)$  corespunde părții cu frecvență pozitivă a operatorului de câmp cuantic  $E^+(x)$ , iar  $Q_0$  este definit prin

$$Q(x, x') \simeq Q_0 \delta(x - x'), \quad (6.96)$$

$Q(x, x')$  fiind coeficientul de difuzie, iar  $\mathcal{N}$  un factor de normare.

Correspondența dintre mărimile care intervin în descrierea laserului și a supraconductivității ca tranziții de fază este prezentată în tabelul 6.3[62].

Tabelul 6.2

Mărimi caracteristice	Laser	Material feromagnetic
Parametrul de ordine	$E$ — intensitatea câmpului laser	$M$ — magnetizarea
Variabile ale rezervorului	$N$ — inversia de populație $N_p$ — inversia de prag	$T$ — temperatura $T_c$ — temperatura Curie
Curba caracteristică	$E = \begin{cases} 0, & N < N_p \\ \frac{a}{b} \left[ \frac{N - N_p}{N} \right]^{1/2}, & N > N_p \end{cases}$ $a, b$ — coeficienți specifici	$M = \begin{cases} 0, & T > T_c \\ \frac{\tilde{a}}{\tilde{b}} \left[ \frac{T - T_p}{T} \right]^{1/2}, & T < T_c \end{cases}$ $\tilde{a}, \tilde{b}$ — coeficienți specifici
Parametrul de modificare a ordinii	$S_0$ — semnalul injectat din exterior	$H_0$ — câmpul magnetic exterior
Valoarea parametrului de ordine în punctul critic	$E = \left[ \frac{2S_0}{bN_p} \right]^{1/3}$	$M = \left[ \frac{H_0}{\tilde{b} T_c} \right]^{1/3}$
Potențialul termodinamic (energie liberă)	$G(x, y) = -\frac{1}{4} a(N - N_p) \cdot (x^2 + y^2) + \frac{1}{8} bN(x^2 + y^2)^2 - S_0x + G_0$	$F(M) = \frac{1}{2} \tilde{a}(T - T_c)M^2 + \frac{1}{4} \tilde{b} TM^4 - H_0M + F_0$
Distribuția statistică	$P(E) = \mathcal{N} \exp \left[ -\frac{G(E)}{KN} \right]$	$P(M) = \tilde{\mathcal{N}} \exp \left[ -\frac{F(M)}{kT} \right]$



Saltul care apare la prag în mărimea puterii laser de ieșire, caracteristic tranzițiilor de fază de speță a doua, nu este foarte brusc datorită fluctuațiilor cuantice.

Tabelul 6.3

Mărimi caracteristice	Laser	Material supraconductor
Parametrul de ordine	$u(x)$ — amplitudinea cîmpului (model unidimensional)	$\psi$ -funcția de undă a perechilor în teoria BCS
Variabile ale rezervorului	$N$ — inversia de populație per atom  $N_p$ — inversia de populație per atom la prag	$T$ — temperatura  $T_c$ — temperatura critică
Potențialul termodinamic (energia liberă)	$G(N, u) = \underbrace{G_0(N)}_{=0} + \alpha(N)u^2 + \beta u^4$ $\alpha(N) = \alpha(N_p - N)$ $a, \alpha, \beta$ — coeficienți specifici	$F(T, \psi) = F_0(T) + \tilde{\alpha}(T)\psi^2 + \tilde{\beta}\psi^4$ $\tilde{\alpha}(T) = \tilde{a}(T - T_c)$ $\tilde{a}, \tilde{\alpha}, \tilde{\beta}$ — coeficienți specifici
Entropia (continuă în punctul de tranziție)	$S = - \frac{\partial G}{\partial N}$  $S = \begin{cases} S_0, \text{ faza neordonată} \\ S_0 + \frac{a^2}{2\beta} (N_p - N), \\ \text{faza ordonată} \end{cases}$	$S = - \frac{\partial F}{\partial T}$  $S = \begin{cases} S_0, \text{ faza neordonată} \\ S_0 + \frac{\tilde{a}^2}{2\tilde{\beta}} (T - T_c), \\ \text{faza ordonată} \end{cases}$
Călduri specifice (discontinue în punctul de tranziție)	$C = N \left( \frac{\partial S}{\partial N} \right) =$  $= \begin{cases} N \frac{\partial S_0}{\partial N}, \text{ faza neordonată} \\ N \frac{\partial S_0}{\partial N} - \frac{a^2}{2\beta} N_p, \\ \text{faza ordonată} \end{cases}$	$C = T \left( \frac{\partial S}{\partial T} \right) =$  $= \begin{cases} T \frac{\partial S_0}{\partial T}, \text{ faza neordonată} \\ T \frac{\partial S_0}{\partial T} + \frac{\tilde{a}^2}{2\tilde{\beta}} T_c, \\ \text{faza ordonată} \end{cases}$



## 7. FENOMENE OPTICE COOPERATIVE

### 7.1. Introducere

Fenomenele optice cooperative sînt efecte de *interacție coerentă*, care caracterizează sistemul cîmp de radiație — mediu atomic și aparțin opticii cuantice.

Problemele neliniare specifice acestei categorii de fenomene sînt de tip *laser* sau sînt determinate de *generarea și propagarea impulsurilor intense de radiație în medii rezonante*.

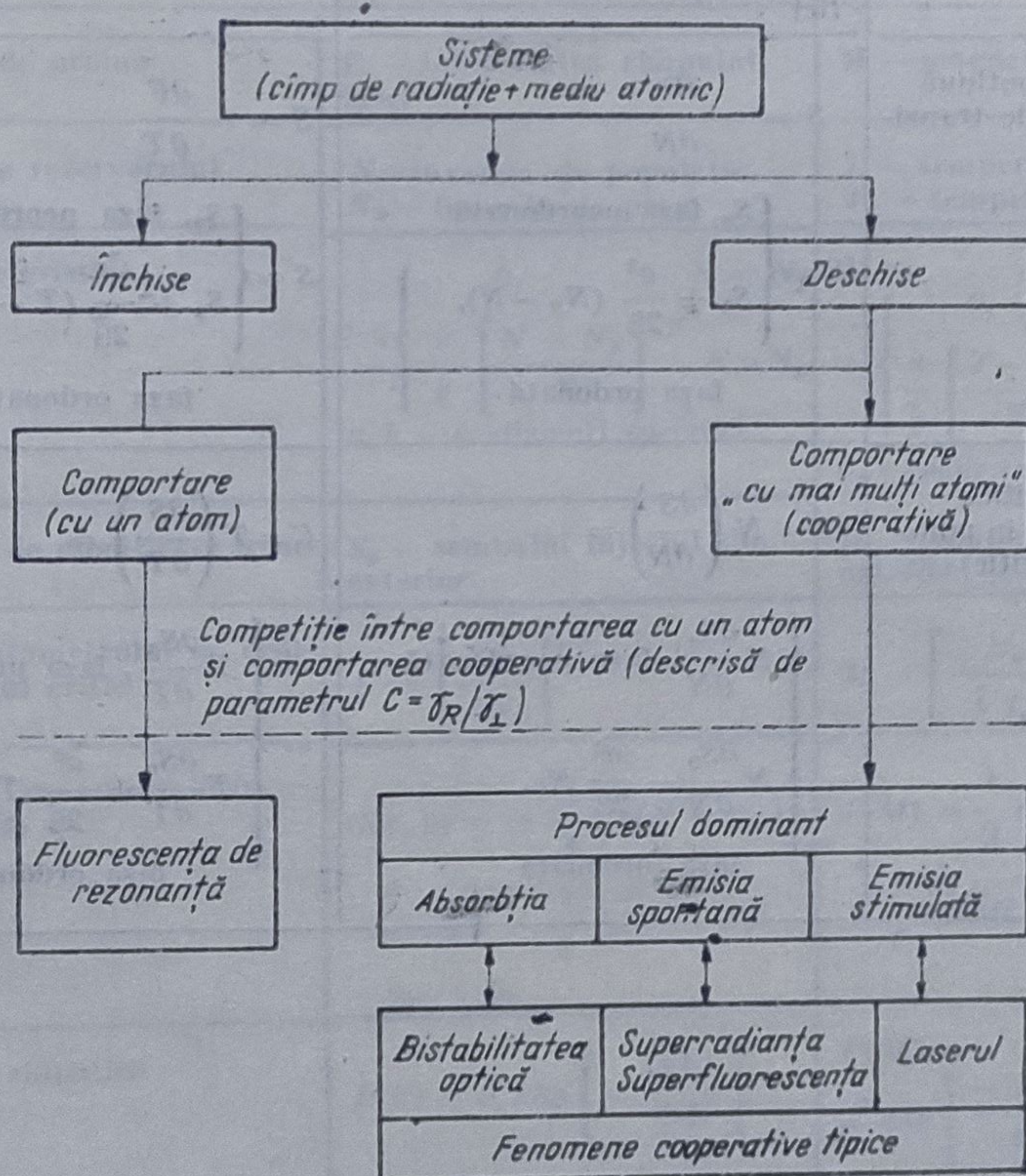


Fig. 7.1



În general, sistemul câmp de radiație — mediu atomic este un *sistem deschis* în care pot avea loc tranziții de fază, dar *departe de echilibrul termodinamic*.

Dacă *tăria interacției* într-un astfel de sistem este caracterizată de parametrul  $\lambda$ , atunci pentru  $\lambda$  mic neliniaritățile sînt mici și sistemul este în *cvasiechilibru*.

O dată cu creșterea lui  $\lambda$  sistemul se dezechilibrează și în comportarea sa apar „bifurcații” succesive. De exemplu, sistemul poate suferi o tranziție de fază (de speța întâi sau a doua) într-o nouă stare stabilă, poate autooscila, ca urmare a autoorganizării (starea sistemului în spațiul fazelor nu mai este reprezentată de un punct ci de un ciclu limită) sau poate intra într-o stare de haos (comportare total neperiodică).

O schemă simplificată a principalelor tipuri de interacții câmp de radiație-sistem atomic este prezentată în figura 7.1.

Procese de coerență care caracterizează aceste interacții pot fi de coerență optică, de coerență atomică, sau pot apare ca rezultat al ambelor tipuri de coerență. Coerența optică a fost studiată în capitolul 2 al lucrării. În acest capitol se va analiza îmai întâi conceptul de coerență atomică, determinat de comportarea colectivă a atomilor, ca un singur sistem cuantic, urmînd ca acest concept să fie utilizat pentru studiul fenomenelor optice cooperative, corelate cu acest tip de coerență.

Analogia cu tranzițiile de fază va fi, de asemenea, evidențiată, ca o limită termodinamică a acestor comportări.

## 7.2. Stările atomice Dicke și stările atomice coerente

### 7.2.1. Stările atomice Dicke

Prin analogie cu teoria semicuantică a laserilor se va analiza modelul unui sistem atomic cu două nivele (fig. 1.6), admitîndu-se absența interacțiilor directe dintre atomi.

Totuși, întrucît radiația emisă de către atomi este afectată puternic de prezența altor atomi, trebuie luată în considerare interacția indirectă a atomilor prin intermediul câmpului de radiație. Pentru descrierea acestui tip de interacție câmpul de radiației care se propagă în direcția  $z$  se consideră circular polarizat astfel că se poate scrie

$$E_{\pm} = E_x \pm iE_y. \quad (7.1)$$

Dacă operatorul tranziției de dipol electric  $\hat{p}$  ( $\hat{p} = d\hat{\sigma}_1$ ) se exprima în mod asemănător prin expresia

$$\hat{p}^{\pm} = \hat{p}_x \pm i\hat{p}_y = e(\hat{x} \pm i\hat{y}), \quad (7.2)$$

termenul de interacție al hamiltonianului (4.148) devine

$$\hbar\hat{V} = -\frac{1}{2}(\hat{p}^+E_- + \hat{p}^-E_+). \quad (7.3)$$

În evaluarea elementelor de matrice ale operatorilor  $\hat{p}^{\pm}$  se ține seama de regulile de selecție  $\Delta l = 1$ ,  $\Delta m = \mp 1$ , numerele cuantice ale stărilor  $|a\rangle$  și  $|b\rangle$  fiind  $(l+1, m+1)$  respectiv  $(l, m)$ .



Corespunzător expresiei (1.166), pentru elementele de matrice ale perturbației se pot scrie relațiile

$$V_1 = -\kappa E_x \text{ și } V_2 = -\kappa E_y \quad (7.4)$$

unde

$$\kappa = 2p/\hbar, \text{ iar } p = |p_x| = |p_y|.$$

Prin analogie cu vectorul pseudospin  $\mathbf{r}$  definit de ecuațiile (1.162) — (1.164) se definește vectorul  $\mathbf{R}$  prin relația

$$\langle \mathbf{R} \rangle = \frac{1}{2} \mathbf{r}. \quad (7.5)$$

În virtutea relației  $\mathbf{r} = \langle \boldsymbol{\sigma} \rangle$  rezultă  $R_i = \frac{1}{2} \sigma_i$  încît componentele  $R_i$  satisfac relațiile de comutare ale momentului cinetic. Ca urmare vectorul  $\mathbf{R}$  se poate numi „*pseudomoment cinetic*”. Definim în continuare vectorul „*pseudocîmp electric*”

$$\boldsymbol{\mathcal{E}} = E_x \mathbf{i} + E_y \mathbf{j} - \frac{\omega_0}{\kappa} \mathbf{k} \quad (7.6)$$

și vectorul „*pseudomoment de dipol electric*”

$$\mathcal{P} = 2p\mathbf{R}. \quad (7.7)$$

Hamiltonianul sistemului se scrie sub o formă compactă astfel :

$$\hat{H} = \hat{H}_A + \hbar \hat{V} = \hat{H}_A - \hat{p}E = -\hat{\mathcal{P}}\boldsymbol{\mathcal{E}}. \quad (7.8)$$

Definițiile (7.6) și (7.7) evidențiază analogia dintre vectorii  $\boldsymbol{\mathcal{E}}$  și  $\boldsymbol{\omega}$  respectiv  $\mathcal{P}$  și  $\mathbf{r}$  astfel încît ecuația de mișcare (1.172) se poate scrie sub forma

$$\frac{d}{dt} \langle \mathcal{P} \rangle = \kappa \langle \mathcal{P} \rangle \times \boldsymbol{\mathcal{E}} \quad (7.9)$$

și evidențiază *precesia* vectorului  $\mathcal{P}$  în jurul vectorului  $\boldsymbol{\mathcal{E}}$ .

Generalizarea rezultatelor de mai sus pentru cazul unui sistem format din  $N$  atomi cu două nivele se poate obține direct dacă se fac ipotezele :

— atomii se consideră suficient de distanțați astfel încît funcțiile de undă nu se acoperă ;

— atomii sînt situați într-o incintă de dimensiuni mult mai mici în raport cu lungimea de undă, astfel încît aceștia interacționează cu același cîmp ;

— se neglijează mișcarea atomilor.

Rezultă pentru hamiltonianul sistemului expresia

$$\hat{H} = \hat{H}_0 + \hat{W} = -\hat{\mathcal{P}}\boldsymbol{\mathcal{E}} = \hbar\omega_0 \hat{\mathcal{H}}_3 - 2p(E_x \hat{\mathcal{H}}_1 + E_y \hat{\mathcal{H}}_2) = -2p\hat{\mathcal{H}}\boldsymbol{\mathcal{E}} \quad (7.10)$$

unde

$$\hat{\mathcal{H}}_i = \sum_{k=1}^N \hat{R}_i^k \quad (i = 1, 2, 3) \quad (7.11)$$



sînt operatori *pseudomoment cinetic „colectiv”*, care satisfac relațiile de comutare ale momentului cinetic. Evident că se pot defini și operatorii de progresie și regresie

$$\hat{\mathcal{R}}_{\pm} = \hat{\mathcal{R}}_1 \pm i\hat{\mathcal{R}}_2. \quad (7.12)$$

În continuare, se evaluează rata emisiei spontane între stările  $|\psi_i\rangle$  și  $|\psi_f\rangle$ , conform expresiei :

$$|\langle \psi_f | \hat{W} | \psi_i \rangle|^2 = 4p^2 |\langle \psi_f | (E_x \hat{\mathcal{R}}_1 + E_y \hat{\mathcal{R}}_2) | \psi_i \rangle|^2 \quad (7.13)$$

și se analizează dependența acestei mărimi de modul în care este preparat sistemul.

Fie  $N_+$  numărul de sisteme atomice în starea  $|a\rangle$  și  $N_-$  numărul de sisteme atomice în starea  $|b\rangle$ . Ecuația cu funcții proprii și valori proprii a hamiltonianului are forma

$$\hat{H}_0 |\psi\rangle = \hbar\omega_0 \hat{\mathcal{P}}_3 |\psi\rangle = m\hbar\omega_0 |\psi\rangle \quad (7.14)$$

unde

$$m = (N_+ - N_-)/2 \text{ și } N_+ + N_- = N \quad (7.15)$$

iar

$$|\psi\rangle = \prod_{i=1}^N |\psi_i\rangle = (+ + - - \dots + -). \quad (7.16)$$

Valoarea proprie  $m\hbar\omega_0$  a energiei neperturbate  $H_0$  este degenerată de ordinul

$$g_m = \frac{N!}{(N_+)!(N_-)!} = \frac{N!}{(N/2 + m)!(N/2 - m)!} \quad (7.17)$$

corespunzător posibilităților de excitare a sistemului descris de  $|\psi\rangle$  (nu are importanță care dintre atomi sînt excitați), degenerescența fiind maximă pentru  $m = 0$ . Se observă că există un mare număr de stări finale, compatibile cu o stare inițială dată, conform relației (7.16), în concordanță cu regula de selecție  $\Delta m = \pm 1$  a momentului cinetic, respectată de componentele  $\hat{\mathcal{R}}_i$ . Ulterior, Dicke a observat că degenerescența poate fi redusă prin alegerea unui set de stări staționare  $|r, m\rangle$  care să fie stări proprii simultane ale operatorilor comutativi  $\hat{\mathcal{R}}^2$  și  $\hat{H}_0$ . Astfel de stări conectează o stare dată cu cel mult o stare de energie mai ridicată sau mai scăzută.

Stările  $|r, m\rangle$  determinate de ecuațiile cu funcții proprii și valori proprii următoare

$$\hat{\mathcal{R}}^2 |r, m\rangle = r(r+1) |r, m\rangle \quad (7.18)$$

$$\hat{H}_0 |r, m\rangle = \hbar\omega_0 \hat{\mathcal{R}}_3 |r, m\rangle = \hbar\omega_0 m |r, m\rangle \quad (7.19)$$

sînt cunoscute sub numele de *stările Dicke atomice* și sînt analoge *stărilor Fock* pentru cîmp definite în anexa 2.

Numărul cuantic  $r$ , introdus prin analogie cu numărul cuantic intern al atomului  $j$ , poate lua valori întregi și semiîntregi și se numește *număr cuantic cooperativ*, deoarece după cum se va arăta el caracterizează coerența atomică.



Ca urmare a analogiei cu teoria momentului cinetic, valorile pe care le pot lua numerele cuantice  $m$  și  $r$  sînt limitate de inegalitățile

$$|m| \leq r \leq N/2. \quad (7.20)$$

Pentru construirea setului complet de stări Dicke  $|r, m\rangle$ , utilizîndu-se metoda standard a momentului cinetic, se pornește de la starea  $|r, m\rangle = |N/2, N/2\rangle = |(+ + \dots +)\rangle = \psi_{N/2, N/2}$  și se aplică operatorul de regresie  $\hat{\mathcal{R}}_k^-$  acestei stări ( $k = 1, 2, \dots, N$ ). Se obține starea proprie  $|r, m\rangle = |N/2, N/2 - 1\rangle$  care este dată de o superpoziție simetrică de stări în care un singur atom este în starea inferioară  $|b\rangle$

$$\begin{aligned} \psi_{N/2, N/2-1} = & |(- + + + +)\rangle + |(+ - + + +)\rangle + \dots \\ & \dots + |(+ + + \dots + -)\rangle. \end{aligned} \quad (7.21)$$

Întrucît există  $N$  funcții cu un singur atom în starea  $|b\rangle$ , se mai pot construi  $(N - 1)$  combinații liniare ale acestor funcții, care sînt, de asemenea, funcții proprii ale lui  $\hat{\mathcal{R}}^2$  și  $\hat{\mathcal{R}}_3$  dar care trebuie să corespundă numerelor cuantice  $r = \frac{N}{2} - 1$  și  $m = \frac{N}{2} - 1$ . Acest lucru rezultă din calculul degenerescenței  $g_{N/2-1} = N$  conform formulei (7.17); una dintre aceste  $N$  stări fiind  $\psi_{N/2, N/2-1}$  rezultă că celelalte trebuie să fie de tipul  $\psi_{N/2-1, N/2-1}$ . Pe de altă parte, prin aplicarea repetată a operatorului  $\hat{\mathcal{R}}^-$  stărilor  $|N/2, N/2\rangle$  se generează șirul de stări:

$$\begin{aligned} & \left| \frac{N}{2}, \frac{N}{2} \right\rangle, \left| \frac{N}{2}, \frac{N}{2} - 1 \right\rangle, \left| \frac{N}{2}, \frac{N}{2} - 2 \right\rangle, \dots \\ & \left| \frac{N}{2}, 0 \right\rangle, \dots, \left| \frac{N}{2}, -\frac{N}{2} + 1 \right\rangle, \left| \frac{N}{2}, -\frac{N}{2} \right\rangle. \end{aligned} \quad (7.22)$$

Procedeul se aplică în continuare pentru generarea setului complet de stări Dicke.

Din calculul elementelor de matrice ale tranzițiilor de emisie spontană

$$|\langle r, m - 1 | \hat{\mathcal{R}}^- | r, m \rangle|^2 = (r + m)(r - m + 1), \quad (7.23)$$

rezultă și relația de recurență

$$\hat{\mathcal{R}}^\pm |\psi_{r, m}\rangle = \sqrt{(r \mp m)(r \pm m + 1)} |\psi_{r, m \pm 1}\rangle, \quad (7.24)$$

care implică regulile de selecție

$$\Delta r = 0, \quad \Delta m = \pm 1. \quad (7.25)$$

Întrucît stările Dicke  $|r, m\rangle$  sînt după cum s-a arătat degenerate, pentru specificarea lor sînt necesare numere cuantice suplimentare, notate cu  $k$ , astfel încît au forma  $|r, m, k\rangle$ . Rezultă că există operatori ai grupului permutărilor celor  $N$  particule care pot fi adăugați operatorilor  $\hat{\mathcal{R}}^2$  și  $\hat{\mathcal{R}}_3$  pentru a se obține setul complet de stări proprii.

În continuare vom specifica stările Dicke prin  $|m\rangle$ . Se observă că aceste stări pot fi generate și prin aplicarea operatorului  $\hat{\mathcal{R}}^+$  stării funda-



mentale Dicke  $|-r\rangle$  prin analogie cu generarea stărilor Fock ale câmpului, conform relațiilor

$$\hat{\mathcal{R}}_-|-r\rangle = 0; \quad (7.26)$$

$$|m\rangle = \sqrt{\frac{(r-m)!}{(2r)!(r+m)!}} \hat{\mathcal{R}}_+^{r+m}|-r\rangle. \quad (7.27)$$

### 7.2.2. Stările atomice coerente

Analogia dintre stările Dicke și stările Fock conduce la ideea stabilirii unei corespondențe între stările coerente ale câmpului studiate în capitolul 2 și eventualele stări atomice coerente, dacă acestea există. În continuare se admite existența stărilor atomice coerente avînd expresia generală

$$|\tau\rangle = (1 + |\tau|^2)^{-r} \exp(\tau \hat{\mathcal{R}}_+) |-r\rangle \quad (\langle \tau | \tau \rangle = 1) \quad (7.28)$$

unde  $\tau$  este un număr arbitrar complex.

Există posibilitatea unei reprezentări parametrice a stărilor coerente, cu ajutorul notației

$$\tau = \operatorname{tg}\left(\frac{\theta}{2}\right) e^{i\varphi} \quad (7.29)$$

unde  $\theta$  și  $\varphi$  sînt coordonatele sferice unghiulare ( $\theta = 0$  corespunde sensului negativ al axei  $z$ ), sub forma

$$|\tau\rangle = |\theta, \varphi\rangle = \left(\cos\frac{\theta}{2}\right)^{2r} \exp\left[\operatorname{tg}\left(\frac{\theta}{2}\right) e^{-i\varphi} \hat{\mathcal{R}}_+\right] |-r\rangle. \quad (7.30)$$

Întrucît

$$\langle \theta, \varphi | \hat{\mathcal{R}}_3 | \theta, \varphi \rangle = -r \cos \theta \quad (7.31)$$

$$\langle \theta, \varphi | \hat{\mathcal{R}}_{\pm} | \theta, \varphi \rangle = r \sin \theta e^{\pm i\varphi} \quad (7.32)$$

$$\langle \theta, \varphi | \hat{\mathcal{R}} | \theta, \varphi \rangle = \mathbf{r} = (r, \theta, \varphi) \quad (7.32)$$

rezultă că  $\mathbf{r}$  poate fi considerat vectorul de poziție în direcția  $(\theta, \varphi)$  al punctelor unei sfere, numită *sferă Bloch*, care permite o interpretare intuitivă a stărilor coerente: stările atomice coerente se obțin din starea fundamentală  $|-r\rangle = |\theta = 0\rangle$  printr-o rotație

$$|\theta, \varphi\rangle = R_{\theta, \varphi} |-r\rangle \quad (7.34)$$

$R_{\theta, \varphi}$  fiind operatorul de rotație  $|-r\rangle \rightarrow |\theta, \varphi\rangle$ , adică din direcția polului sud al sferei în direcția  $(\theta, \varphi)$ .

Principalele proprietăți ale stărilor atomice coerente, care-și au corespondent în cazul stărilor coerente ale câmpului de radiație, sînt următoarele:

— neortogonalitatea a două stări coerente diferite, exprimată de relația

$$\langle \tau' | \tau \rangle \neq 0 \quad |\tau'\rangle \neq |\tau\rangle \quad (7.35)$$



analogă cu (2.116);

— stările atomice coerente corespund stărilor fundamentale ale operatorului pseudomoment cinetic rotite pe sfera Bloch, după cum stările coerente ale câmpului corespund deplasării stărilor fundamentale ale oscilatorului armonic;

— stările atomice coerente satisfac relațiile de incertitudine la limită (sînt stări cu incertitudine minimă) conform relațiilor

$$\langle (\Delta \hat{\mathcal{R}}_1')^2 \rangle \langle (\Delta \hat{\mathcal{R}}_2')^2 \rangle \geq \frac{1}{4} \langle (\hat{\mathcal{R}}_3')^2 \rangle \quad (7.36)$$

unde

$$\hat{\mathcal{R}}_i' = R_{\theta, \varphi} \hat{\mathcal{R}}_i R_{\theta, \varphi}^{-1} \quad (7.37)$$

proprietate care caracterizează și stările coerente ale câmpului (relația (2.120);

— stările atomice coerente formează un sistem supracomplet de stări proprii, într-un subspațiu Hilbert finit-dimensional, cu un număr cooperativ  $r$  fixat, ca și stările coerente ale câmpului de radiație.

(Expresia (2.117) privind rezoluția unitară a setului supracomplet de stări coerente ale câmpului de radiație este înlocuită în cazul stărilor atomice coerente prin egalitatea

$$(2r + 1) \int |\mathbf{r}\rangle \langle \mathbf{r}| \frac{d\Omega}{4\pi} = 1 \quad (7.38)$$

unde  $|\mathbf{r}\rangle = |\theta, \varphi\rangle$  specifică stările atomice coerente ale pseudomomentului cinetic în direcția  $(\theta, \varphi)$ , desemnînd un vector unitar în această direcție);

— orice vector de stare  $|u\rangle$ , în subspațiul Hilbert pe care este satisfăcută condiția (7.38) admite o dezvoltare funcție de stările coerente atomice.

De asemenea, pentru orice operator acționînd în subspațiul Hilbert considerat există o reprezentare diagonală în raport cu stările coerente.

Pentru operatorul densitate, coeficienții dezvoltării definesc o distribuție de cvasiprobabilitate pe sfera Bloch. Aceste proprietăți au fost discutate și pentru stările coerente ale câmpului [rel. (2.128), (2.129), (2.131)].

*Fundamentarea matematică a analogiilor dintre proprietățile de coerență ale atomilor și câmpurilor.* Se consideră planul tangent la sfera Bloch în punctul care se identifică cu polul sud al acesteia. Fiecărei stări coerente asociată unui punct  $P$  de pe sferă îi corespunde un punct  $P'$  în planul tangent, ca urmare a proiecției punctului  $P$ , în raport cu polul nord al sferei considerat centru de proiecție.

Folosindu-se o astfel de proiecție stereografică și făcîndu-se raza  $r$  a sferei Bloch să tindă către infinit rezultă că oricărei rotații pe sferă îi corespunde o translație în planul tangent.

Întrucît planul tangent corespunde planului fazelor pentru un oscilator armonic, se poate stabili pe această bază o corelație între algebra momentului cinetic și algebra oscilatorului armonic. Printr-un astfel de pro-



ces de „contracție” a grupurilor utilizându-se un procedeu de trecere la limită, se evidențiază corespondențele :

a) pentru operatori

$$\varepsilon \hat{\mathcal{A}}_+, \varepsilon \hat{\mathcal{A}}_-, \hat{\mathcal{A}}_3 + \frac{1}{2} \varepsilon^{-2} \rightarrow a^+, a, a^+ a$$

unde  $\varepsilon \rightarrow 0$  ( $r = \frac{1}{2} \varepsilon^{-2}$ );

b) pentru vectorii de stare

- vectorii de stare Dicke  $|m\rangle \rightarrow$  vectorii de stare Fock  $|n\rangle$ ;
- stările atomice coerente  $|\theta, \varphi\rangle \rightarrow$  stările coerente ale câmpului  $|\alpha\rangle$ .

Interacția stărilor atomice coerente cu câmpul de radiație. Întrucât rata emisiei spontane a sistemului aflat în starea  $|r, m\rangle$  este proporțională cu pătratul elementului de matrice  $\langle r, m-1 | \hat{\mathcal{A}}^- | r, m \rangle$ , determinat de expresia (7.23), se poate scrie

$$I(r, m) = (r + m)(r - m + 1)I_0 \quad (7.39)$$

unde  $I_0$  este rata emisiei spontane pentru un singur atom excitat ( $r = m = 1/2$ ).

Pentru o superpoziție de stări  $|r, m\rangle$ , rata radiației emise are expresia

$$I = \sum_{r, m} P_{r, m} I(r, m), \quad (7.40)$$

unde  $P_{r, m}$  este probabilitatea ca sistemul să fie în starea  $|r, m\rangle$ . Rezultă pentru sistemul aflat în starea inițială  $|\tau\rangle$  expresia

$$I = I_0 \sum_{m=-r}^r (r + m)(r - m + 1) |\langle m | \tau \rangle|^2 \quad (7.41)$$

sau echivalent

$$I(\theta, \varphi) = I_0 \left( r^2 \sin^2 \theta + 2r \sin^4 \frac{\theta}{2} \right), \quad (7.42)$$

în concordanță cu relațiile (7.31) — (7.33).

Comparând această expresie cu cea a ratei de radiație pentru un sistem aflat în starea Dicke, având aceeași valoare medie a energiei

$$I(r, m = -r \cos \theta) = I_0 \left( r^2 \sin^2 \theta + 2r \sin^2 \frac{\theta}{2} \right), \quad (7.43)$$

rezultă că pentru  $r \gg 1$ , cele două rate de radiație coincid.

Se poate arăta că deși ratele de radiație coincid, între cele două categorii de stări sînt diferențe esențiale. Astfel, valoarea medie a momentului de dipol este nulă pentru stările Dicke și diferite de zero pentru stările atomice coerente. Întrucât rata de radiație clasică are expresia

$$I_{cl} = I_0 r^2 \sin^2 \theta \quad (7.44)$$



rezultă, ținându-se seama de (7.43), că stările Dicke ca și stările Fock nu au analog clasic pe cînd stările coerente sînt stări cuantice care se apropie cel mai mult de situațiile clasice (ca și stările coerente ale cîmpului).

### 7.3. Fluorescența de rezonanță a atomilor în cîmpuri puternice coerente

Apare la interacția rezonantă sau cvasirezonanță a cîmpului electromagnetic coerent cu un singur atom, astfel că nu reprezintă un fenomen cooperativ, dar caracterizează proprietățile celui mai simplu sistem deschis al mecanicii cuantice în interacție cu cîmpul. Pentru intensități suficient de scăzute ale cîmpului, împrăștierea fotonilor pe atomi este perfect elastică.

Prin creșterea intensității cîmpului de radiație apare o componentă inelastică lorentziană, avînd lărgimea liniei naturale  $\gamma$  și frecvența centrală egală cu cea a cîmpului.

La intensități și mai mari ale cîmpului, *frecvența Rabi* a cîmpului incident, definită prin relația

$$\Omega^R = \frac{dE}{\hbar} \text{ (se mai notează } \gamma^R \text{ sau } \gamma_R) \quad (7.45)$$

depășește lărgimea liniei naturale ( $d$  este modulul momentului electric de dipol), astfel încît pentru  $\Omega^R \gg \gamma$  spectrul radiației se modifică esențial fiind format din trei componente: o componentă centrală și două laterale, simetrice, lorentziene, de lărgime  $(3/2)\gamma$ , deplasate față de frecvența centrală cu frecvența Rabi. Efectul corespunzător, cunoscut și sub numele de *efect Stark dinamic*, are loc cu reducerea puternică a componentei elastice difuzate care devine neglijabilă.

Intensitățile cîmpului ating valori ridicate care saturează tranziția dar se mențin totuși sub limita celor care determină armonici optice în spectrul de emisiei ( $\Omega^R \ll \omega$ ).

Investigarea fluorescenței atomice de rezonanță reprezintă o metodă importantă pentru determinarea parametrilor atomici și pentru studiul mecanismului de interacție cîmp — atomi.

Dacă în cazul experimentelor de fluorescență cu surse standard, distribuția în frecvență a atomilor incidenți este mai largă decît lărgimea naturală a tranziției, în cazul utilizării laserilor, radiația incidentă are o distribuție spectrală mai îngustă în raport cu lărgimea naturală.

În consecință, timpul de corelație în interacția foton-atom, determinat de timpul de viață al atomilor în stare excitată, pentru sursele standard, este mult mai mare în cazul laserilor.

Pentru un cîmp cu o coerență ridicată cum este radiația laser, nu se mai pot considera independente procesele succesive de absorbție — emisie a fotonilor, întrucît în timpul mult mai lung de coerență pot avea loc multe procese de acest tip, efectele de „memorie de fază” fiind importante.

Efectul Stark dinamic este o consecință a acestei comportări.

În cazul general, trebuie să se țină seama, în studiul interacției, de lărgimea finită a liniei laser, de faptul că atomii reprezintă sisteme multi-



nivel, și în mod special de faptul că la interacție participă mai mulți atomi. Ca urmare, devin esențiale fenomenele cooperative, de tip bistabilitate optică, de exemplu, care modifică spectrul radiației de fluorescență. (Pe lângă proprietățile spectrale, în studiu trebuie considerate și efectele de corelație pentru intensitățile difuzate ale radiației, precum și cele datorită intersecțiilor de nivele, efect Hanle etc.).

Rezultatele teoretice cele mai importante privind tratarea interacției atomilor cu cîmpurile intense monocromatice sînt prezentate în lucrările [379—381]. În alte lucrări [382—385] se discută pe larg principalele tipuri de experimente și rezultatele corespunzătoare privind acest domeniu.

## 7.4. Superradianța

### 7.4.1. Coerența atomică și stările superradiante

Expresiile (7.39) și (7.40) ale ratei de emisie spontană pentru un sistem atomic aflat în starea  $|r, m\rangle$  pot fi utilizate pentru definirea stărilor superradiante ale sistemului.

Astfel, dacă toți atomii sînt inițial excitați, adică  $r = m = N/2$  ( $N^+ = N/2 + m = N$ ,  $N^- = N/2 - m = 0$ ), se obține

$$I(N/2, N/2) = NI_0 \quad (7.46)$$

deci toți atomii radiază independent, fără a apare efecte de interferență. Pentru a determina condițiile în care rata de emisie este maximă se anulează derivata expresiei (7.39) în raport cu  $m$ . Se obține  $m = 1/2$  astfel încît, rezultă valoarea maximă a lui  $I(r, m)$  pentru  $m = 0$  sau  $m = 1$  și  $r$  cît mai mare. Maximul absolut va fi astfel determinat de  $r = N/2$  și întrucît  $I(r, 0) = I(r, 1)$  se obține

$$I(N/2, 0) = \frac{N}{2} \left( \frac{N}{2} + 1 \right) I_0 \simeq \frac{N^2}{4} I_0. \quad (7.47)$$

Astfel de stări ale sistemului atomic pentru care rata de radiație este proporțională cu  $N^2$  se numesc *stări superradiante* și corespund oscilației în fază a tuturor atomilor excitați, rezultînd un moment electric de dipol gigant,

$$\mathbf{P} = N \mathbf{d} \quad (7.48)$$

unde  $\mathbf{d}$  este momentul de dipol al atomilor individuali.

Spre deosebire de cazul în care atomii oscilează în fază (puterea radiată este proporțională cu  $N$ ), în cazul stărilor superradiante puterea radiată este proporțională cu  $N^2$ , ca urmare a comportării cooperative a sistemului atomic.

Atomii care emit cooperativ „comunică” între ei mai repede decît radiază.



Pentru o ilustrare mai sugestivă a comportării cooperative a sistemului atomic ne vom referi la un sistem cu doi atomi ale cărui stări sunt prezentate în fig. 7.2.

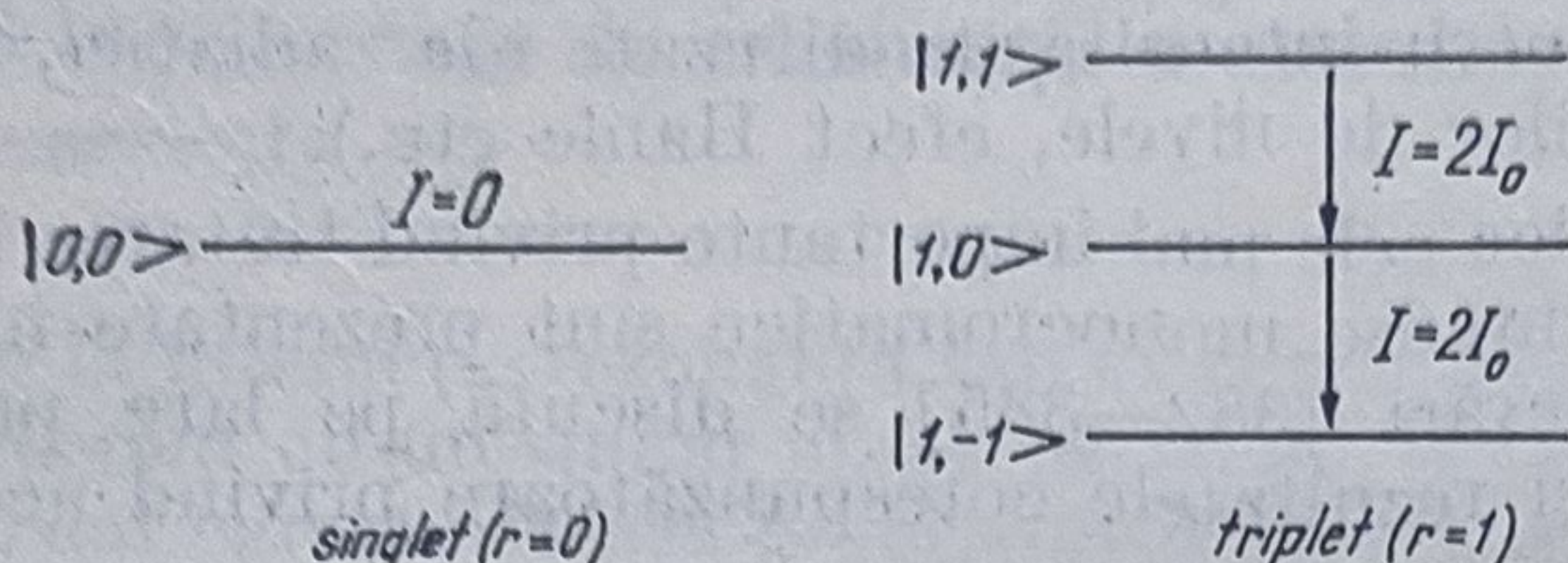


Fig. 7.2

Starea de singlet este  $|0, 0\rangle = \frac{1}{\sqrt{2}}[(+ -) - (- +)]$  iar stările de triplet au forma:  $|1, 1\rangle = (+ +)$ ,  $|1, 0\rangle = \frac{1}{\sqrt{2}}[(+ -) + (- +)]$  respectiv  $|1, -1\rangle = (- -)$ .

Considerăm sistemul inițial în starea  $(+ -)$  adică cu un singur atom excitat, probabilitățile ca sistemul să fie în starea de singlet sau triplet fiind egale. Starea de singlet este neradiativă, tranzițiile singlet-triplet fiind, interzise. Deși rata de radiație pentru starea de triplet  $I = \frac{1}{2} (2I_0) = I_0$  este aceeași ca și pentru atomul izolat, pentru un interval de timp suficient de lung, probabilitatea ca fotonul să nu fie emis tinde nu către zero ci către 1/2 datorită energiei „blocate” în starea de singlet neradiativă.

Acest rezultat ilustrează faptul că prezența celui de al doilea atom în starea fundamentală influențează esențial rata de emisie a atomului excitat, deși aceștia nu interacționează direct ci prin intermediul câmpului de radiație.

În general, se poate constata că hamiltonianul sistemului implică toți atomii într-un mod simetric, în raport cu permutările acestora.

Prin emisia unei singure cuante se ajunge într-o stare care nu diferă ca structură mult de starea inițială, astfel încât emisia se produce în continuare în avalanșă. De observat că fenomenul de emisie superradiantă nu este corelat în nici un fel cu emisia stimulată, unde rata netă de emisie este proporțională cu diferența dintre ratele de emisie și absorbție și cu numărul de fotoni pe mod

$$(r + m)(r - m + 1) - (r + m + 1)(r - m) = 2m. \quad (7.49)$$

Pentru  $m < 0$  relația (7.49) descrie rata de absorbție incoerentă iar pentru  $m > 0$  se obține rata de emisie stimulată. Prin urmare, deși emisia superradiantă este anormal de puternică, rata emisiei stimulate rămâne normală.

Tot o comportare cooperativă o manifestă sistemul aflat în starea cu  $r = N/2$  și  $m = -(N/2) + 1$ , care are un singur atom excitat. Rata de radiație

$$I(N/2, -(N/2) + 1) = NI_0 \quad (7.50)$$

este de  $N$  ori rata de radiație a unui singur atom, ca urmare a coerenței printre atomi (nu știm însă care atom este excitat, excitația fiind distribuită simetric între atomi).



Deși comportarea este cooperativă, starea nu este superradiantă. În sfârșit, starea cu  $r = m = 0$ , nu radiază ( $I = 0$ ), fiind echivalentă stării clasice cu perechi de dipoli oscilând în opoziție de fază. Deci stările cu numere cooperative  $r$  mici sînt, de asemenea, corelate dar într-un mod în care au rata de radiație extrem de scăzută.

#### 7.4.2. Excitarea stărilor superradiante

O posibilitate de a se obține un sistem (avînd dimensiunile mult mai mici decît lungimea de undă) într-o stare superradiantă constă în trecerea mai întîi a acestuia cu toști atomii în stare excitată ( $r = m = N/2$ ) prin pompaj (inversie de populație completă).

Prin radiație pot avea loc tranziții succesive fără schimbarea lui  $r$ , într-o stare cu  $m$  apropiat de zero, care este astfel o stare superradiantă.

O altă metodă constă în excitarea sistemului aflat inițial în starea fundamentală ( $m = -N/2 = -r$ ), printr-un impuls de radiație de durată mică, suficient de intens, în starea cu  $m = 0$ , fără modificarea lui  $r$ .

Această metodă se utilizează în practică pentru obținerea și evidențierea stărilor superradiante, cu ajutorul *ecoului fonic*.

#### 7.4.3. Modelul semicuantic și clasic al superradianței

În teoria semicuantică analiza superradianței se face tratînd sistemul atomic cuantic iar cîmpul de radiație clasic. Să presupunem că sistemul atomic aflat în echilibru termic a fost excitat în stare superradiantă, printr-un impuls de radiație. Fie  $N_-$  numărul de molecule (atomi) în stare fundamentală la echilibru termic și  $N_+$  numărul de molecule în stare excitată astfel încît

$$N_+/N_- = \exp[-E/kT] \quad (7.51)$$

$$N_{(+)} - N_{(-)} = N \operatorname{tgh}(E/2kT). \quad (7.52)$$

Prin aplicarea impulsului de radiație, atomii trec în superpoziții de stări de forma

$$\psi_+ = \frac{1}{\sqrt{2}} \left\{ [+ ] \exp\left(-\frac{i\omega t}{2}\right) + [- ] \exp\left(\frac{i\omega t}{2} + i\delta\right) \right\} \quad (7.53)$$

sau

$$\psi_- = \frac{1}{\sqrt{2}} \left\{ [- ] \exp\left(-\frac{i\omega t}{2}\right) - [+ ] \exp\left(-\frac{i\omega t}{2} - i\delta\right) \right\} \quad (7.54)$$

după cum starea inițială este starea fundamentală sau cea excitată.

Din calculul valorii medii a momentului de dipol electric rezultă pentru rata de radiație calculată clasic,  $I \sim N^2$ , ca și în cazul teoriei cuantice.

În cazul în care sistemul atomic este caracterizat de valori mari ale numărului cuantic cooperativ  $r$ , interacția sa cu cîmpul de radiație poate fi descrisă și clasic, pe baza analogiei dintre pseudomomentul cinetic  $\mathcal{R}$



și momentul cinetic, întrucît conform relațiilor (7.7) și (7.18) se poate scrie

$$\langle \mathcal{P}^2 \rangle = 4p^2 \langle \mathcal{R}^2 \rangle = 4p^2 r(r+1). \quad (7.55)$$

Ținînd seama de ecuația (7.55) se poate considera că ecuația (7.9) descrie o mișcare de precesie, definită de numărul cuantic  $m = r \cos \theta$  unde  $\theta$  este unghiul dintre vectorul  $\langle \mathcal{P} \rangle$  și axa  $z$  (fig. 7.3). Întrucît din relația (7.19) rezultă

$$\langle H_0 \rangle = m \hbar \omega_0 \quad (7.56)$$

se obține pentru rata emisiei spontane expresia

$$I \sim I_0(r^2 - m^2) = I_0 r^2 \sin^2 \theta. \quad (7.57)$$

Se observă că starea superradiantă corespunde lui  $\theta = \pi/2$ . Întrucît  $I =$

$$= -\frac{d}{dt} \langle H \rangle_0 \text{ ca urmare a conservării}$$

energiei, din (7.56) și (7.57) se obține ecuația diferențială

$$\dot{\theta} = \frac{I_0 r}{\hbar \omega_0} \sin \theta = \alpha \sin \theta \quad (7.58)$$

sau pentru  $\varphi = 2\theta$

$$\ddot{\varphi} = \alpha^2 \sin \varphi. \quad (7.59)$$

Ecuația (7.58) se identifică cu ecuația pendulului simplu de lungime  $l$  pentru  $\alpha^2 = g/l$ , deci va descrie mișcarea pendulului de energie  $E = mgl$ , aflat în echilibru instabil în punctul  $\varphi = 0$ . Prin integrarea ecuației (7.58) cu condiția inițială  $\theta = \pi/2$  la  $t = 0$ , se obține soluția

$$\sin \theta = \operatorname{sech}(\alpha t), \quad \operatorname{tg}(\theta/2) = e^{\alpha t} \quad (7.60)$$

care corespunde mișcării unui pendul circular aperiodic, a cărui mișcare este inițiată la  $t = -\infty$  din punctul de echilibru instabil  $\varphi = 0$  și ajunge la echilibru după o rotație completă ( $\varphi = 2\pi$ ,  $\theta = \pi$ ) cînd  $t \rightarrow \infty$ . Starea superradiantă corespunde momentului  $t = 0$  cînd  $\varphi = \pi$  și  $\theta = \pi/2$ .

Se poate arăta că dependența de timp a cîmpului radiat are forma

$$A(t) = e^{i\omega_0 t} \sin \theta, \quad t > 0 \quad (7.61)$$

unde  $\sin \theta$  are expresia (7.60).

Pentru  $t \gg \alpha^{-1}$  se obține

$$A(t) \simeq 2 \exp(-i\omega_0 t - \alpha t). \quad (7.62)$$

Legea de scădere a amplitudinii nefiind exponențială, rezultă pentru lărgimea liniei (nelorentziană)

$$\Delta \omega \sim \alpha = r\gamma \quad (7.63)$$

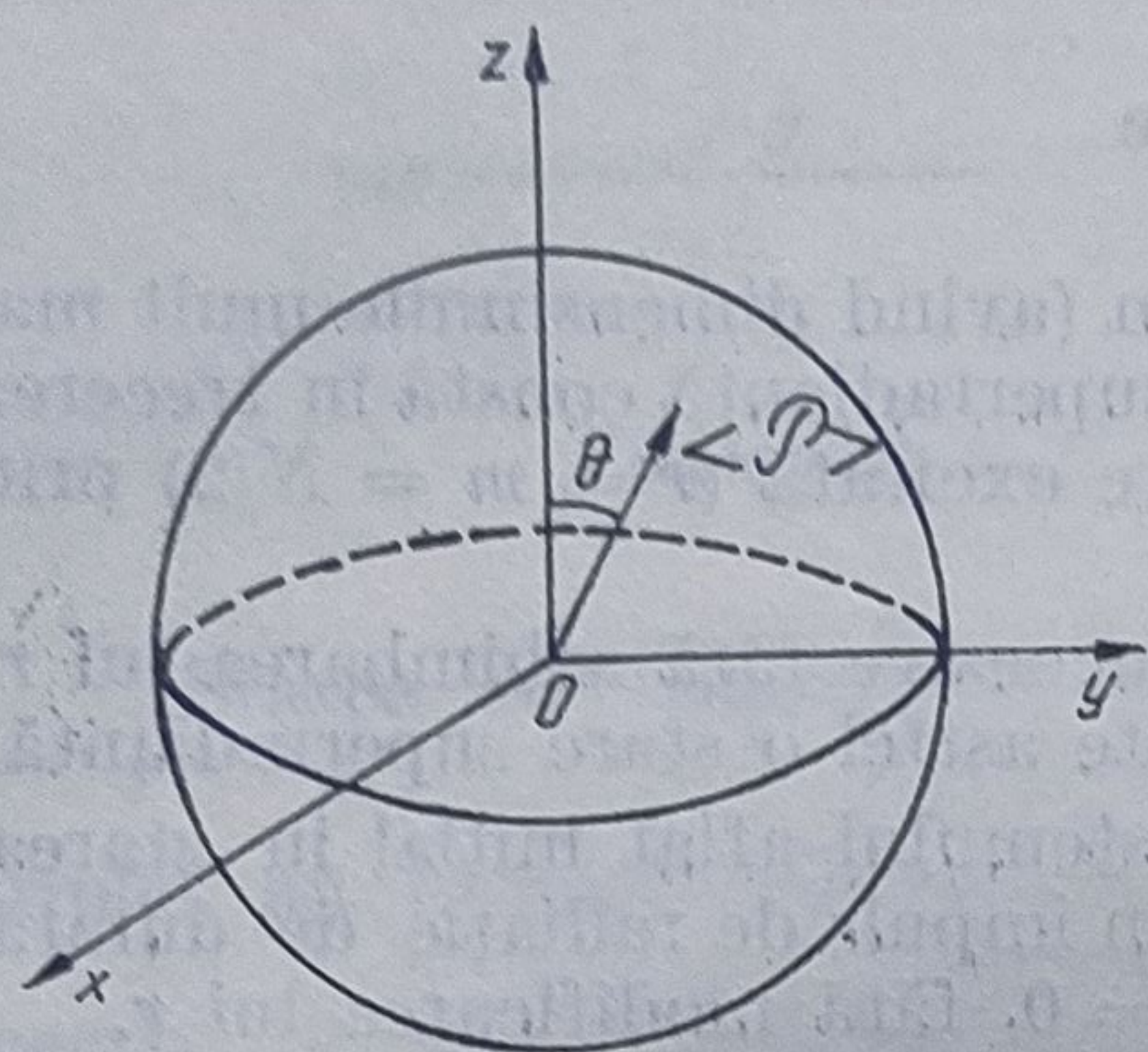


Fig. 7.3



deci emisia superradiantă constă dintr-un singur impuls de intensitate foarte ridicată  $I \sim r^2 I_0$ , dar de durată foarte scurtă  $\tau' = \frac{\tau}{r} \sim N^{-1}$ , avînd lărgimea spectrală foarte mare  $\Delta\omega \sim \gamma r (r \leq N/2)$ .

#### Observații.

— Dacă se înlătură restricția  $V \ll \lambda^3$  unde  $V$  este volumul sistemului iar  $\lambda$  lungimea de undă a radiației, diferiți atomi interacționează cu cîmpuri diferite, expresia (7.10) fiind mai complicată. Din studiu rezultă că emisia superradiantă are loc în acest caz într-o direcție preferențială  $\mathbf{k}$ . (Emisia în alte direcții, determină tranziții în stări cu numere cooperative mai scăzute, distrugînd coerența ridicată a atomilor în starea superradiantă).

Se constată un efect de „grupare” a fotonilor în direcția  $\mathbf{k}$ , ca urmare a unor corelații unghiulare ale fotonilor emiși succesiv. Tot în acest caz trebuie luată în considerare și forma geometrică a sistemului printr-un factor de directivitate a emisiei.

— Procesul de emisie spontană din starea superradiantă este analog, într-un anumit sens cu emisia stimulată a unui sistem excitat complet, în starea inițială, în prezența unui număr de fotoni egal cu populația nivelului excitat.

Întrucît pentru emisia superradiantă nu sînt necesari fotoni, superradianța poate fi considerată ca o emisie autostimulată.

— În cazul aplicării unui impuls convenabil unui sistem atomic cu două nivele degerate, apare posibilitatea producerii superradianței bifotonice ca urmare a corelării nivelelor despicate în cîmp prin procese cu doi fotoni.

#### 7.4.4. Evidențierea experimentală a superradianței Ecouf fonic

Excitarea stărilor superradiante prin iradierea unei probe cu ajutorul unui impuls optic coerent, cu durata și intensitatea convenabil alese, poate fi evidențiată cu ajutorul ecoului fonic. În principiu, se consideră excitarea unui cristal subțire de rubin, de exemplu, cu două impulsuri optice coerente  $A$  și  $B$ , identice (emise de un laser cu rubin), de durată  $\Delta t$  (ns), întîrzierea impulsului  $B$  la trecerea prin probă, în raport cu  $A$  fiind  $\Delta T \gg \Delta t$  (fig. 7.4).

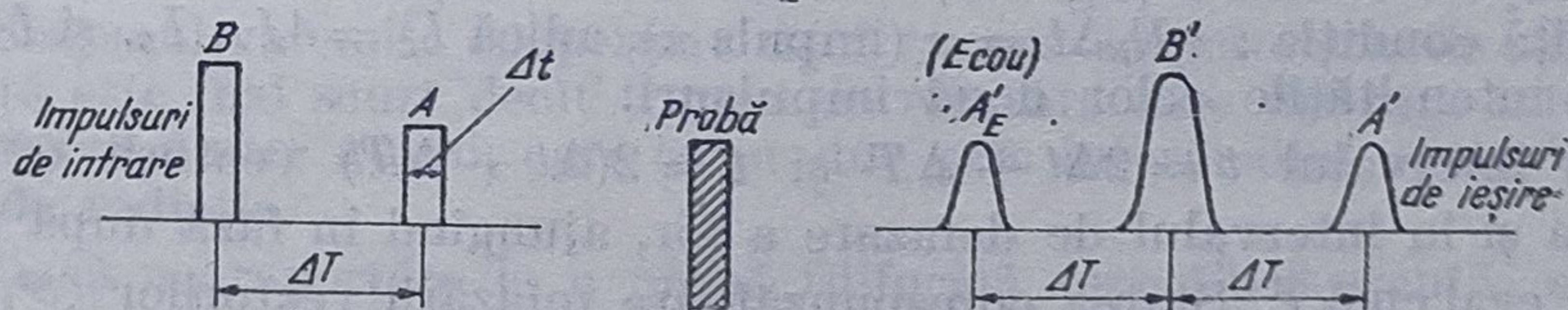


Fig. 7.4

Se constată că la ieșire, pe lîngă impulsurile  $A'$  și  $B'$  care corespund impulsurilor emise  $A$  și  $B$ , mai apare un al treilea impuls  $A'_E$ , situat simetric față de  $A'$  în raport cu  $B'$ , numit *ecou fonic*.

Pentru explicarea ecoului fonic se utilizează ecuația de precesie (7.9), care, pentru un cîmp de radiație circular polarizat, și într-un sistem de referință care se rotește în jurul axei  $z$  cu frecvența  $\omega$ , devine

$$\frac{d}{dt} \langle \mathcal{P} \rangle = \kappa \langle \mathcal{P} \rangle \times \left( E \mathbf{i} + \frac{\omega - \omega_0}{\kappa} \mathbf{k} \right). \quad (7.64)$$

Ținînd seama de lărgirea neomogenă a frecvenței de tranziție pentru atomii de rubin, datorită variațiilor cîmpului local, în ecuația (7.64) mărimile  $\mathcal{P}$  și  $\omega_0$  vor fi afectate de indicele  $k$  care desemnează atomul  $k$ .



Dacă înainte de aplicarea impulsului  $A$ , atomii sînt toți în starea fundamentală, vectorul

$$\langle \mathcal{P} \rangle = \sum_{k=1}^N \langle \mathcal{P}_k \rangle \quad (7.65)$$

este orientat în sensul negativ al axei  $z$ .

Prin aplicarea impulsului  $A$ , de amplitudine  $E_A$ , între  $t = 0$  și  $t = \Delta t$ , apare o mișcare de precesie a lui  $\mathcal{P}$  în jurul pseudocîmpului dată de ecuația (7.64).

Dacă  $E_A \gg |\omega - \omega_0|/\chi$ , precesia se face în jurul axei  $x$  cu un unghi  $\chi E_A \Delta t$  astfel că pentru o intensitate a impulsului care satisface condiția

$\chi E_A \Delta t = \pi/2$  (impuls  $\pi/2$ ),  $\langle \mathcal{P} \rangle$  va fi orientat la momentul  $t = \Delta t$  după axa  $y$ , sistemul aflîndu-se într-o stare superradiantă (fig. 7.5, a)

La încetarea acțiunii cîmpului  $E_A$ , atomii vor executa mișcări de precesie cu viteze diferite în jurul pseudocîmpului  $\frac{\Delta \omega_k}{\chi} \mathbf{k}$  unde  $\Delta \omega_k = \omega - \omega_{0k}$ .

În timpul acestor mișcări, în intervalul  $t = \Delta t$  și  $t = \Delta t + \Delta T$ , componentele  $\langle \mathcal{P}_k \rangle$  se defazează astfel încît  $|\langle \mathcal{P} \rangle|$  scade (fig. 7.5, b).

Impulsul  $B$  care se aplică la momentul  $t = \Delta t + \Delta T$  trebuie să reflecte vectorii  $\langle \mathcal{P}_k \rangle$  în planul

$x-y$  în raport cu axa  $x$  (fig. 7.5, c). Pentru a se obține acest efect trebuie îndeplinită condiția:  $\eta E_B \Delta t = \pi$  (impuls  $\pi$ ), adică  $I_B = 4I_A$ ,  $I_B$ , și  $I_A$  specificînd intensitățile celor două impulsuri.

În intervalul  $t = 2\Delta t + \Delta T$  și  $t = 2(\Delta t + \Delta T)$  vectorii  $\langle \mathcal{P}_k \rangle$  se mișcă ca și în intervalul de defazare a lor, ajungînd în fază după un alt interval egal cu  $\Delta T$ . Starea corespunzătoare refazării vectorilor  $\langle \mathcal{P}_k \rangle$  este o stare superradiantă evidențiată de emisia impulsului ecou  $A'_E$ .

*Observație.* Pe baza analogiei dintre un sistem cu două nivele atomice și un sistem cu spini, tratată în paragraful 1.9, se poate extinde teoria superradianței și a ecoului fonic

și pentru sistemele cu spini. Astfel, atunci cînd trec din starea energetică superioară ( $\uparrow$ ) în starea energetică inferioară ( $\downarrow$ ) spinii au o mișcare giratorie (fig. 7.6), radiația datorîndu-se momentului magnetic de dipol oscilant al acestora. Starea superradiantă corespunde rotirii în fază a tuturor spinilor, astfel că apare un moment de dipol uriaș al acestora, proporțional cu numărul de spini  $N$ . Ecoul de spin este corelat cu oscilațiile pe frecvențe diferite ale spinilor în cîmpul magnetic local, care determină defazarea acestora ca și în cazul ecoului fonic. Impulsul ecou se emite cînd spinii se refazează, în urma aplicării unui impuls  $\pi$  care inversează spinii. Un studiu complet al stărilor de spin superradiante și al ecoului de spin este prezentat în lucrarea [81].

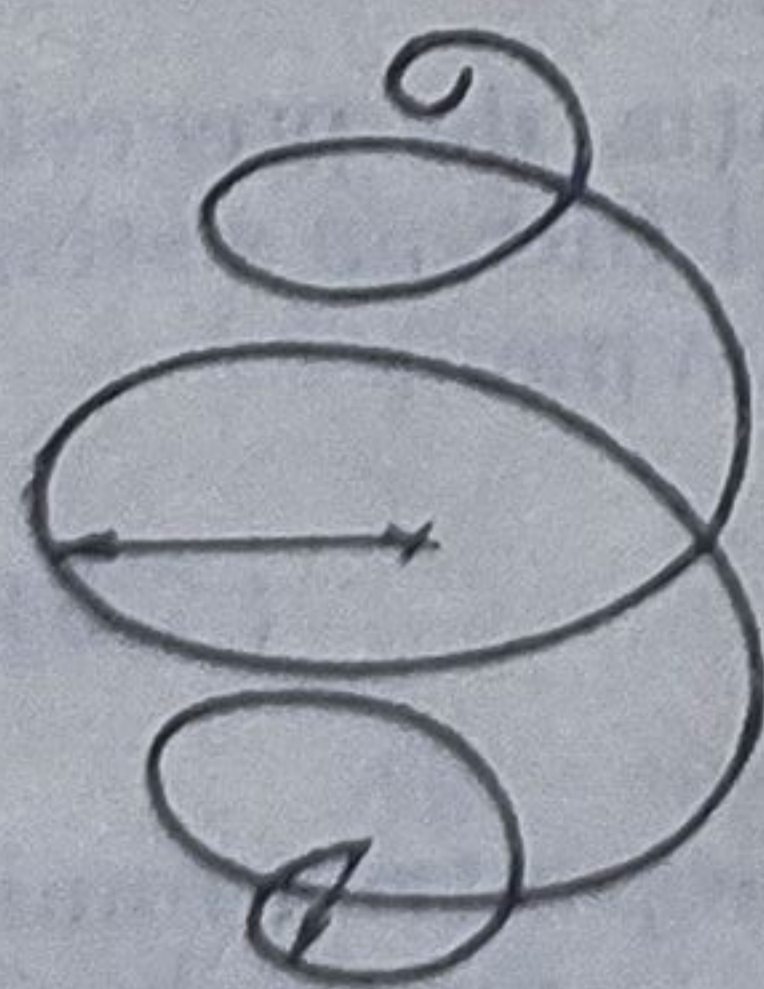


Fig. 7.6



## 7.5. Superfluorescența

Prin superfluorescență se înțelege emisia cooperativă de radiație a unui sistem atomic cu două nivele, toți atomii fiind inițial în starea superioară.

Ca și în cazul superradianței, intensitatea radiată este proporțională cu  $N^2$  însă spre deosebire de superradianță unde sistemul este preparat inițial (excitare coerentă), în cazul superfluorescenței sistemul alcătuit din dipoli atomici aleatori începe să radieze prin fluorescență normală (proporțional cu  $N$ ), radiația de fluorescență normală creînd corelații atom—atom care induc emisia cooperativă de același tip cu superradianța. Se produce un proces în avalanșă, radiație-polarizare, inițiat de emisia spontană incoerentă care determină în final o polarizare macroscopică prin autoorganizarea sistemului.

Fenomenul de autoorganizare a sistemului macroscopic caracteristic superfluorescenței este unic pentru interacția câmp — substanță.

Deși teoriile asupra superfluorescenței se referă la probe punctuale ( $L \ll \lambda$ ), experimentele de superfluorescență au fost efectuate cu probe extinse, de obicei filiforme.

Se apreciază că superfluorescența nu poate fi tratată satisfăcător decât cuantic, prin luarea în considerare a trecerii din starea de superfluorescență normală în starea de fluorescență cooperativă, într-o descriere tridimensională.

Prima observare experimentală a superfluorescenței pure (emisia unui singur impuls) se datorește lui Vrehen și Gibbs, în 1976—1977.

O primă condiție de producere a superfluorescenței o reprezintă inversia completă a sistemului atomic. Inversia este suficient de completă dacă inițial emisia spontană domină emisia cooperativă. În acest caz sistemul este superfluorescent (emisia se inițiază din zgomot) și nu superradiant.

Sistemul va emite cooperativ dacă timpul caracteristic de superfluorescență este mai scurt decât timpul de relaxare care distruge interacțiile cooperative dintre atomi, care se produc prin intermediul modurilor câmpului de radiație.

Dacă ne raportăm la o probă filiformă superfluorescentă, se poate defini rata de emisie cooperativă  $\gamma_R$  prin relația

$$\gamma_R = \frac{3}{2} N \gamma (\lambda_0^2 / 4\pi S) = \frac{3}{8} \gamma \rho L \lambda_0^2 \quad (7.66)$$

unde  $\gamma$  este rata de emisie spontană,  $N$  numărul de atomi,  $\lambda_0^2/S$  unghiul solid de difracție,  $\lambda_0$  lungimea de undă a radiației,  $L$  și  $S$  lungimea respectiv suprafața în secțiune transversală a probei iar  $\rho$  densitatea atomică.

De asemenea, se pot defini *timpul de viață radiativ*  $\tau_R = \frac{1}{\gamma_R}$  și *timpul de întârziere*  $\tau_D$  între momentul creării inversiei de populație și cel al emisiei maxime (superfluorescenței), care caracterizează durata procesului de fluorescență. Dacă fotonii emiși parcurg proba în timpul  $\tau_E$ , se poate defini *timpul de cooperare*

$$\tau_C = \sqrt{\tau_R \tau_E} \quad (\tau_C \simeq \tau_R). \quad (7.67)$$



Se arată că în cazul superfluorescenței, între timpii de viață caracteristici definiți mai sus există inegalitățile

$$\tau_E < \tau_C < \tau_R < \tau_D. \quad (7.68)$$

În toate fenomenele atomice cooperative, se definește *parametrul cooperativ*  $C$  prin raportul

$$C = \gamma_R / 2\gamma_{\perp} \quad (7.69)$$

unde  $\gamma_{\perp}$  este rata de emisie spontană pentru un singur atom. Pentru parametrul  $C$ , care descrie de fapt competiția dintre comportarea cooperativă și comportarea „cu un atom”, s-a stabilit și următoarea expresie

$$C = \alpha L / 2T \quad (7.70)$$

valabilă pentru mediul atomic din cavitățile Fabry-Perot,  $\alpha$  fiind coeficientul de absorbție liniar,  $L$  lungimea probei iar  $T$  transmisivitatea oglinzilor. Pentru  $C \ll 1$ , atomii evoluează independent între ei, iar pentru  $C \gg 1$  predomină comportarea cooperativă. În cazul  $C < 1$ , legea de emisie este exponențială, radiația emisă avînd spectrul radiației termice. Se poate considera ca  $C = 1$  reprezintă un prag peste care caracteristicile de emisie ale sistemului se schimbă (se emite un impuls sau o succesiune de impulsuri).

Dacă se definește și lungimea de cooperare

$$L_c = \frac{8}{3} \frac{c}{\rho \gamma \lambda_0^2 L} \quad (7.71)$$

se arată că superfluorescența se produce dacă

$$L \lesssim L_c \left( \gamma_R \lesssim \frac{c}{L} \right) \quad (7.72)$$

adică lungimea probei trebuie să fie mai mică decît  $L_c$ . Expresia (7.70) combinată cu condiția  $C \gg 1$  conduce la condiția necesară

$$\alpha L_c \gg 1 \quad (7.73)$$

ceea ce presupune un câștig mare pe lungimea de cooperare. Se emite un singur impuls dacă  $L \ll L_c$  și mai multe impulsuri dacă  $L \simeq L_c$ . O problemă importantă corelată cu superfluorescența o reprezintă „*prepararea inversiei inițiale*”.

Dacă în cazul superradianței sistemul are o polarizare macroscopică prin preparare, și emite ca un dipol clasic, în cazul superfluorescenței dipolul macroscopic este creat prin autoorganizare. Prin urmare, excitația coerentă din cazul superradianței este înlocuită cu excitația necoerentă (inversie de populație fără polarizare macroscopică). Ideea de bază a unei astfel de excitări aparține lui Skribanowitz care a realizat saturarea incoerentă a două nivele ale unui sistem cu trei nivele utilizînd radiație laser de bandă largă. Astfel, radiația laser avînd  $\lambda = 2,5 \mu\text{m}$  a fost folosită pentru a inversa tranziția rotațională de  $84 \mu\text{m}$  ( $v = 1, J = 3,2$ ) în HF, obținîndu-se inversie completă între nivelul excitat și nivelul al treilea mai coborît. Ideea a fost utilizată ulterior în realizarea altor experimente importante de superfluorescență care au contribuit la elucidarea mecanismului acestora.



## 7.6. Transparența autoindusă

Atunci când un impuls laser suficient de intens a cărui durată este mai scurtă decât timpul de relaxare atomică, traversează un mediu de grosime apreciabilă rezonant, deci cu absorbție puternică. Mediul devine transparent, efectul nelinier corespunzător fiind cunoscut sub numele de *transparență autoindusă*.

Un astfel de efect este pus în evidență când un impuls  $2\pi$  este incident pe un mediu atomic absorbant cu două nivele. Vectorul  $\rho$  al matricei densitate pentru sistemul cu două nivele este rotit cu  $2\pi$ , în două etape, de la 0 la  $\pi$ , radiația incidentă fiind absorbită și de la  $\pi$  la  $2\pi$ , radiația absorbită fiind reemisă. Ca urmare, se constată transparența substanței, fenomen care diferă esențial de absorbția saturată, în care transmisia nu poate fi niciodată integrală ca în cazul transparenței autoinduse.

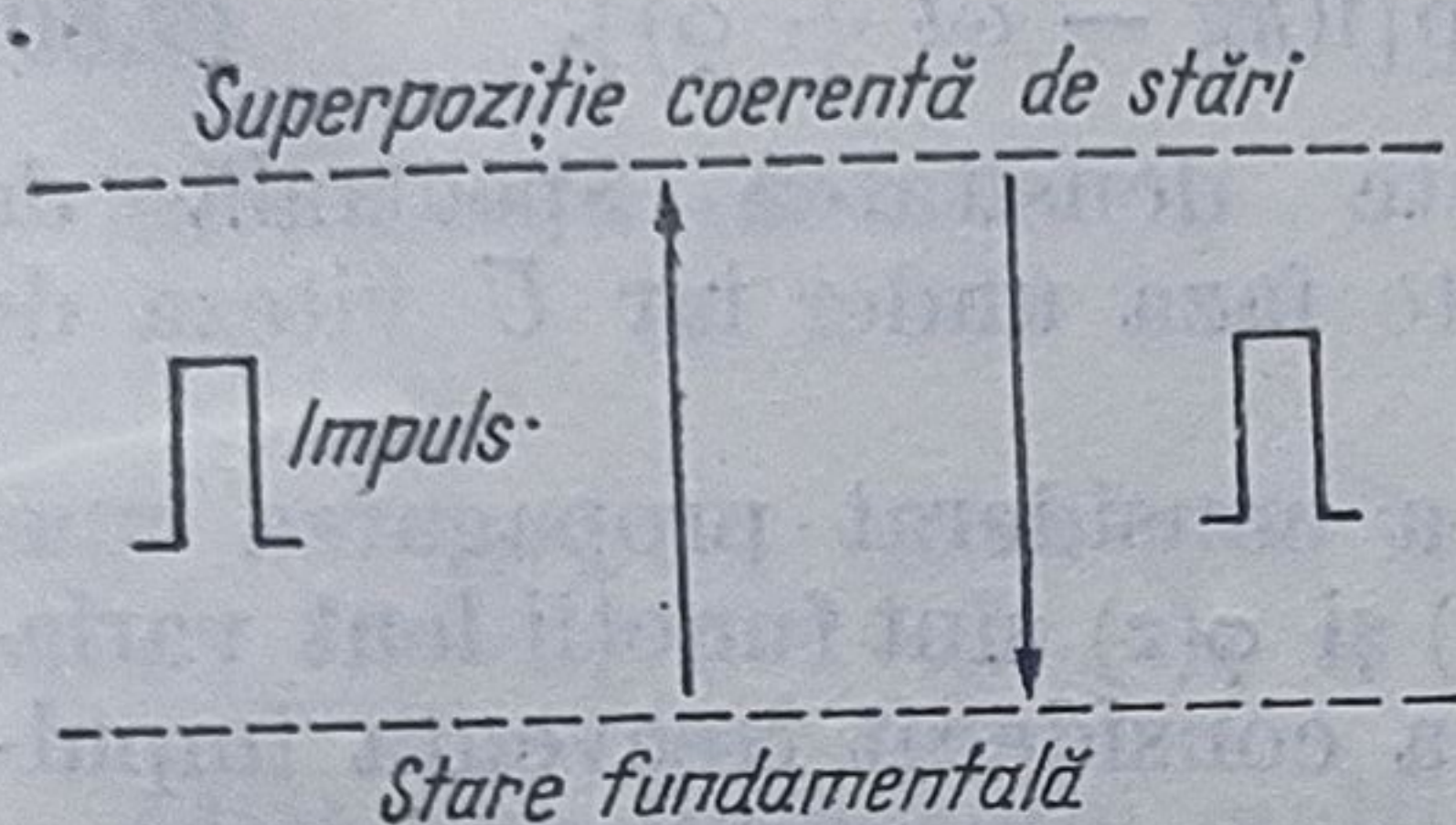


Fig. 7.7

Datorită interacției coerente a mediului cu impulsul  $2\pi$  de radiație, viteza de propagare a impulsului prin mediu este mult mai scăzută decât cea obișnuită ( $c/n$ ). Acest lucru se explică prin faptul că energia frontului anterior al impulsului este absorbită pentru a se excita atomii din starea fundamentală într-o superpoziție coerentă de stări (fig. 7.7), fiind redată impulsului prin emisie indusă, provocată de frontul posterior al impulsului. Ca urmare a stocării temporare a energiei impulsului în mediul rezonant, se produce „o întârziere” a trecerii sale prin mediu, echivalent cu o reducere semnificativă a vitezei de propagare.

Teoria fenomenului se datorește lui McCall și Hahn [36], care l-au evidențiat prima dată și experimental, la trecerea impulsurilor de câteva nanosecunde, obținute de la un laser cu rubin, printr-o bară de rubin răcită la temperatura heliului lichid.

Ulterior, fenomenul a fost observat de Gibbs și Slusher în vapori de Rb, utilizând impulsuri de la un laser cu Hg [301].

Analiza semicuantică a fenomenului a condus la sistemul nelinier de ecuații

$$\frac{\partial u}{\partial t} = \gamma v \quad (7.74)$$

$$\frac{\partial v}{\partial t} = -\gamma u + \kappa w \mathcal{E} \quad (7.75)$$

$$\frac{\partial w}{\partial t} = -\kappa v \mathcal{E} \quad (7.76)$$

$$\frac{\partial \mathcal{E}}{\partial z} + \frac{1}{U} \frac{\partial \mathcal{E}}{\partial t} = 2\pi \frac{\omega}{nc} \int_{-\infty}^{+\infty} v(\gamma, z, t) g(\gamma) d\gamma \quad (7.77)$$

$$\frac{\partial \varphi}{\partial z} \mathcal{E} = 2\pi \frac{\omega}{nc} \int_{-\infty}^{+\infty} u(\gamma, z, t) g(\gamma) d\gamma \quad (7.78)$$

cunoscute sub numele de *ecuațiile McCall-Hahn*.



În ecuațiile de mai sus  $g(\gamma)$  joacă rolul factorului de formă al liniei spectrale lărgite neomogen datorită neomogenităților câmpului cristalului, sau efectului Doppler în gaze,  $\gamma = \Delta\omega$  fiind în acest caz variabilă continuă,  $u$  și  $v$  reprezintă componentele dispersivă și absorbtivă ale polarizării conform egalității

$$u(\gamma, z, t) + iv(\gamma, z, t) = N[\langle \mathcal{P}'_x(\gamma, z, t) \rangle + i\langle \mathcal{P}'_y(\gamma, z, t) \rangle] \quad (7.79)$$

considerate în sistemul de referință rotit  $(x', y', z')$  în așa fel încît să fie eliminată dependența de fază a undei

$$\mathcal{E}(z, t) = E'_x + iE'_y = (E_x + iE_y)\exp[i(kz - \omega t + \varphi)], \quad (7.80)$$

$w(\gamma, z, t) = \kappa W/\omega$  unde  $W = N \langle \mathcal{H}_0 \rangle$  este densitatea spectrală de energie a excitației mediului activ,  $\varphi(z)$  este faza undei iar  $U$  viteza de fază a acesteia.

În stabilirea ecuațiilor de mai sus s-a considerat propagarea unei unde polarizată circular, s-a admis că  $\mathcal{E}(z, t)$  și  $\varphi(z)$  sînt funcții lent variabile, s-a neglijat dependența lui  $\varphi$  de  $t$ , s-a considerat frecvența impulsului egală cu cea de rezonanță etc.

Ecuațiile McCall-Hahn admit soluții care atestă existența transparenței autoinduse. Fie o soluție de forma

$$\mathcal{E} = \mathcal{E}(s), \quad u = u(\gamma, s), \quad v = v(\gamma, s), \quad w = w(\gamma, s) \quad (7.81)$$

unde  $s = t - z/V$ ,  $V$  fiind viteza de propagare a impulsului în probă.

Integrarea ecuațiilor de mai sus implică condițiile inițiale

$$\lim_{s \rightarrow -\infty} u(\gamma, s) = \lim_{s \rightarrow -\infty} v(\gamma, s) = \lim_{s \rightarrow -\infty} \mathcal{E}(s) = 0 \quad (7.82)$$

$$\lim_{s \rightarrow -\infty} w(\gamma, s) = \pm w_0. \quad (7.83)$$

Dacă se admite că toți atomii „răspund în același fel” la impuls, se poate căuta o soluție cu variabile separabile de forma

$$v(\gamma, s) = v(0, s) f(\gamma) \quad (7.84)$$

și analog pentru  $u(\gamma, s)$ ,  $f(\gamma)$  fiind un factor dependent de frecvență.

Cu soluția (7.81), ecuația de câmp (7.77) capătă forma

$$\frac{nc[(1/V) - (1/U)]}{2\pi\omega F} \dot{\mathcal{E}} = -v(0, s) \quad (7.85)$$

unde

$$F = \int_{-\infty}^{+\infty} f(\gamma) g(\gamma) d\gamma. \quad (7.86)$$

De asemenea, ecuațiile (7.74) și (7.76) devin

$$\dot{u} = -a\gamma f\mathcal{E}; \quad \dot{w} = \kappa a f\mathcal{E} \quad (7.87)$$

unde

$$a = \frac{nc[(1/V) - (1/U)]}{2\pi\omega F} \quad (7.88)$$

este un factor nenegativ.



Soluția ecuațiilor de mai sus, la rezonanță ( $\gamma = 0$ ), are forma

$$\mathcal{E}(s) = -\frac{\dot{\phi}}{\kappa} = -\frac{2}{\kappa\tau} \sin \frac{\varphi}{2} \quad (7.89)$$

unde

$$\sin \frac{\varphi}{2} = \operatorname{sech}(s/\tau) \quad \text{și} \quad \varphi(s) = 4 \operatorname{tg}^{-1}(e^{s/\tau}) \quad (7.90)$$

iar

$$\tau = \sqrt{(a/Np\kappa)}.$$

Se observă că

$$-\kappa \int_{-\infty}^{+\infty} \mathcal{E}\left(t - \frac{z}{V}\right) dt = 2\pi \quad (7.91)$$

adică aria impulsului multiplicată cu  $\kappa$  este egală cu  $2\pi$ , astfel că soluția transparente autoinduse (7.89) este de tipul „impuls  $2\pi$  secantă hiperbolică”,  $\tau$  fiind durata impulsului.

Se observă că la rezonanță, vectorul „pendul” al pseudopolarizării rămîne în planul  $(v, w)$ , întrucît  $u(0, s) = 0$ , iar unghiul  $\varphi$  măsoară deviația de la poziția verticală de echilibru stabil. În afara rezonanței ( $\gamma = 0$ ) rezultă soluția

$$u(\gamma, z, t) = \frac{2Np\tau\gamma}{1 + \tau^2\gamma^2} \sin \frac{\varphi}{2} \quad (7.92)$$

$$v(\gamma, z, t) = \frac{Np}{1 + \tau^2\gamma^2} \sin \varphi \quad (7.93)$$

$$w(\gamma, z, t) + Np = \frac{\kappa}{\omega}(W - W_0) = \frac{2Np}{1 + \tau^2\gamma^2} \sin^2 \frac{\varphi}{2} \quad (7.94)$$

$$\mathcal{E}(z, t) = -\frac{2}{\kappa\tau} \sin \frac{\varphi}{2} = -\frac{2}{\kappa\tau} \operatorname{sech}\left[\frac{1}{\tau}\left(t - \frac{z}{V}\right)\right] \quad (7.95)$$

$$\varphi(z) = k'z + \varphi_0 \quad (7.96)$$

viteza impulsului fiind conform relației (7.88)

$$\frac{1}{V} = \frac{1}{U} + \frac{2\pi\omega}{nc} Np\kappa\tau^2 \int_{-\infty}^{+\infty} \frac{g(\gamma)}{1 + \tau^2\gamma^2} d\gamma; \quad (7.97)$$

s-a înlocuit

$$f(\gamma) = \frac{1}{1 + \tau^2\gamma^2} \quad (7.98)$$

și s-a ținut seama de condiția de conservare

$$u^2 + v^2 + w^2 = N^2 p^2. \quad (7.99)$$



În ecuația (7.96) vectorul de undă,  $k'$  are expresia

$$k' = \frac{2\pi\omega}{nc} N p \kappa \tau^2 \int_{-\infty}^{+\infty} \frac{\gamma g(\gamma)}{1 + \tau^2 \gamma^2} d\gamma, \quad (7.100)$$

și ia în considerare modificarea vectorului de undă  $k$ , deci a indicelui de refracție datorită prezenței mediului activ.

Pentru o funcție de formă a liniei spectrale  $g(\gamma)$  simetrică,  $\varphi = 0$ . Ecuațiile (7.92) — (7.94) exprimă faptul că în evoluția sa sistemul atomic pleacă din starea fundamentală ( $u = 0, v = 0, W = W_0$ ), trece prin excitație într-o superpoziție de stări coerentă și revine apoi în starea fundamentală. Înmagazinarea temporală a energiei impulsului de către sistemul atomic determină scăderea vitezei de propagare a impulsului în mediu conform relației (7.97).

*Observație.* Din analiza condiției inițiale (7.83) rezultă că valoarea  $w_0$  corespunde mediului aflat inițial în starea fundamentală pe când soluția  $-w_0$  corespunde mediului aflat inițial în starea cu toți atomii excitați.

În al doilea caz, un impuls care se propagă prin mediu va fi amplificat, datorită energiei atomilor rezonanți care trec în starea fundamentală.

Se poate arăta că cele două tipuri de soluții ale ecuațiilor lui McCall-Hahn discutate mai sus, satisfac principiul cauzalității (viteza de semnal este mai mică decât viteza luminii).

## 7.7. Bistabilitatea optică

### 7.7.1. Introducere

Bistabilitatea optică reprezintă un fenomen optic cooperativ corelat cu absorbția (fig. 7.1) care este pus în evidență la transmisia luminii printr-o cavitate optică în care este situat un mediu atomic rezonant, astfel că, în anumite condiții, intensitatea transmisă prezintă două stări stabile pentru aceeași intensitate de intrare.

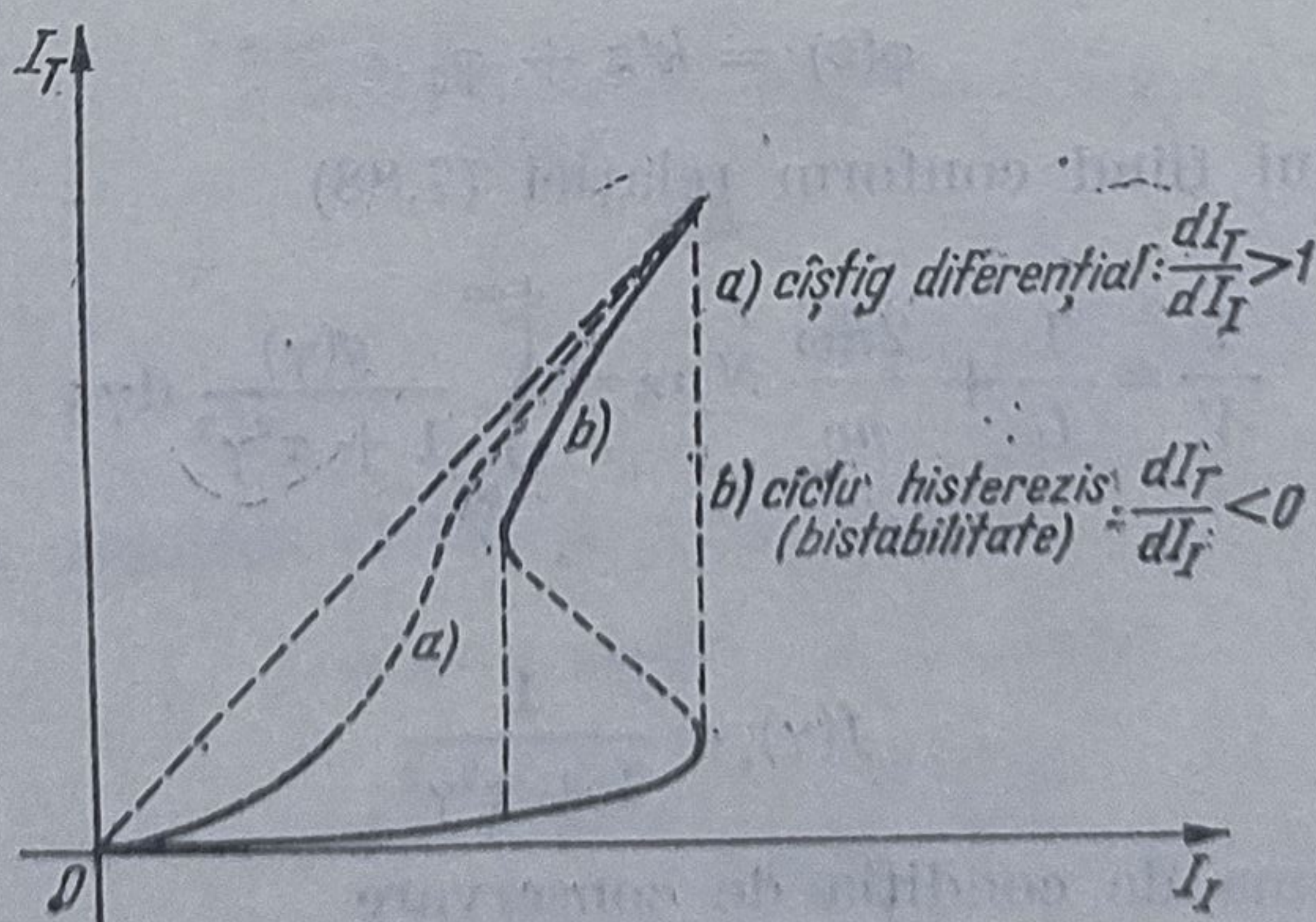


Fig. 7.8.



Un astfel de sistem este constituit, sub formă tipică, de un rezonator Fabry-Pérot umplut cu un mediu atomic avînd indicele de refracție dependent de intensitate (interferometru neliniar), a cărui caracteristică intrare-ieșire poate prezenta *cîștig diferențial* mai ridicat decît unitatea sau *ciclu histerezis* (fig. 7.8).

Existența neliniarităților, care caracterizează mediul atomic, și a reacției optice asigurată de oglinzile cavității sînt fundamentale pentru evidențierea fenomenului de bistabilitate optică.

În cazul prezentat, al asigurării reacției pe cale optică, bistabilitatea se numește *intrinsecă*. Dacă reacția se realizează cu ajutorul unui semnal electric obținut prin detectarea semnalului optic de ieșire și aplicarea sa pe dispozitiv, comportarea bistabilă corespunzătoare se numește *hibridă*. Există două cazuri, cel al interfeței neliniare și cel bazat pe autofocalizare în care bistabilitatea optică intrinsecă nu necesită rezonator. Funcție de parametrii caracteristici ai sistemului care prezintă bistabilitate intrinsecă, aceasta poate fi: *absorbțivă*, *dispersivă* sau *absorbțiv-dispersivă*.

Studiile asupra bistabilității optice intrinseci se referă în principal la două tipuri de sisteme: cu cavitate Fabry-Pérot și cu cavitate în inel, astfel că în continuare, principalele rezultate ale analizei vor caracteriza aceste tipuri de sisteme.

În numeroase lucrări se evidențiază și faptul că bistabilitatea optică poate fi tratată prin analogie cu tranzițiile de fază de speța I, pentru sistemele staționare la neechilibru.

După descoperirea bistabilității optice de către Szöke și alții în 1969 [88], primele studii în acest domeniu au fost făcute de către Mc Call [89] care a tratat bistabilitatea optică absorbțivă în cavități Fabry-Pérot utilizînd ecuațiile Maxwell-Bloch. Ulterior, Gibbs și alții [325] au evidențiat experimental bistabilitatea optică în vapori de sodiu. Aceste rezultate au stimulat cercetările teoretice și experimentale asupra bistabilității optice intrinseci. Putem menționa în acest sens contribuțiile datorate lui Bonifacio și Lugiato [90], Meystre [326], Carmichael și Herman [327], Agrawal și alții [100], precum și experimentele efectuate de Sandle, Gallagher și alții [328].

Pentru prima dată a fost propus un dispozitiv bistabil hibrid de către Kastalski [35], primele dispozitive bistabile hibride experimentale fiind realizate de către Smith și Turner [329, 330] și cam în același timp de către Garmire și alții [331].

Lucrări experimentale ulterioare raportează punerea în evidență a fenomenului de bistabilitate optică în medii semiconductoare și în structuri integrate.

În țara noastră se fac cercetări de bistabilitate optică intrinsecă și hibridă, în mai multe laboratoare, unele dintre rezultate fiind prezentate în lucrările [91—99], [332—340] și [393—396].



### 7.7.2. Aspecte fenomenologice ale bistabilității optice

Să considerăm o cavitate Fabry-Pérot în care se găsește un sistem atomic saturabil (fig. 7.9). Fie  $I_I$  intensitatea luminii incidente,  $I_c$  intensitatea luminii din cavitate,  $I_s$  intensitatea de saturație, iar  $I_T$  intensitatea transmisă.

La intensități scăzute ale luminii incidente ( $I_c < I_s$ ), absorbția împiedică interferența constructivă (la rezonanță) în interiorul cavității Fabry-Pérot, astfel încât se poate scrie

$$I_T \simeq TI_c \simeq I_I T^2 \quad (7.101)$$

unde  $T$  este transmisivitatea oglinzilor rezonatorului.

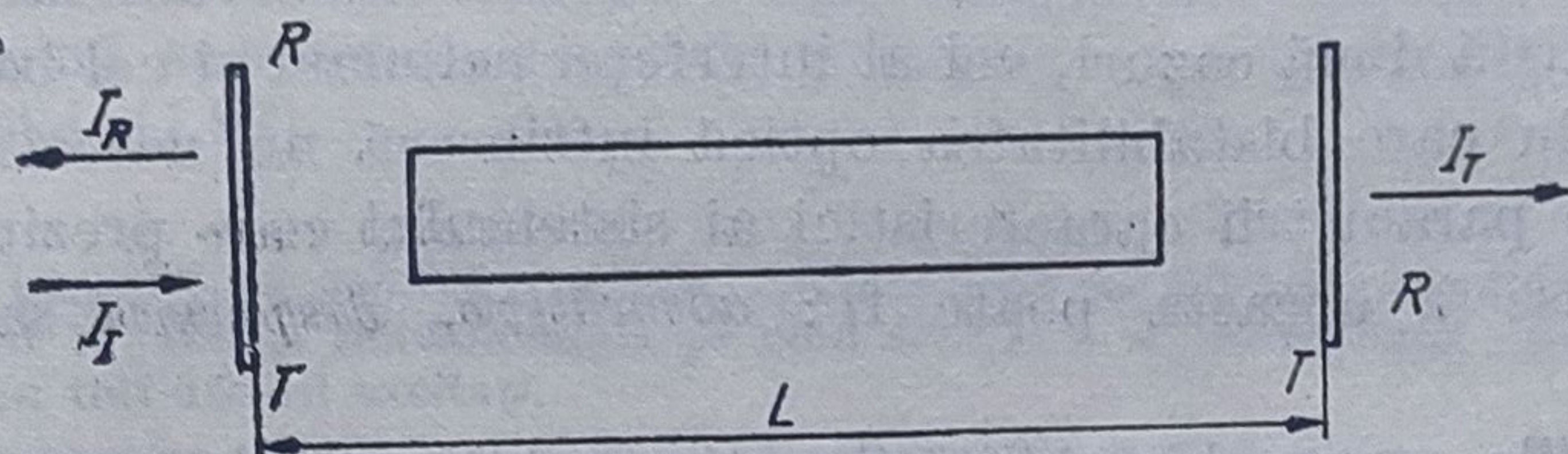


Fig. 7.9.

Pentru intensități de intrare ridicate ( $I_c > I_s$ ) absorbantul se saturează și se produce interferența constructivă în rezonator, astfel încât

$$I_I = I_T \text{ și } I_c = I_I/T \quad (7.102)$$

$$\text{Condițiile} \quad I_s > I_I T \text{ și } I_s < I_I T \quad (7.103)$$

sînt îndeplinite pentru un interval relativ larg de valori  $I_I$  (de exemplu, pentru  $I_I = I_s$ ), astfel că transmisia sistemului are o comportare bistabilă.

Această comportare bistabilă, prezisă de Szöke și alții (1969) se referă la răspunsul nelinier al mediului, provocat de absorbție (bistabilitate absorbitivă).

Bistabilitatea optică poate fi evidențiată calitativ și în cazul mediilor dispersive, în care se neglijează absorbția (bistabilitate dispersivă).

Se știe că transmisivitatea  $T_c$  a unei cavități Fabry-Pérot de lungime  $L$  (fig. 7.9) în care este situat un material liniar cu indicele de refracție  $n$  are expresia

$$T_c = \frac{I_T}{I_I} = \frac{1}{1 + F \sin^2 \varphi/2} \quad (7.104)$$

unde  $F = 4R/T$  este *finețea*,  $R$  este reflectivitatea oglinzilor ( $R + T = 1$ ), iar  $\varphi = \frac{4\pi}{\lambda} nL$  este schimbarea de fază pentru un parcurs dus-întors prin cavitate al radiației avînd lungimea de undă  $\lambda$ .

Dacă indicele de refracție al mediului este nelinier

$$n(I_c) = n_0 + n_1 I_c \quad (7.105)$$



atunci, funcție de intensitate, se poate obține o schimbare a drumului optic astfel încât pentru  $\varphi = 2\pi N(N - \text{întreg})$  rezultă o transmisivitate a cavității  $T_c = 1$ .

Dacă la  $I_I = 0$ , dezacordul cavității este  $\theta \left( \varphi = \frac{4\pi n_0 L}{\lambda} = 2\pi N - \theta \right)$ , pe măsura creșterii intensității incidente,  $\varphi$  se apropie de

rezonanță, și  $\theta$  scade. La o valoare critică  $I_I = I_{\text{prag}}$ , se produce un efect în avalanșă (creșterea lui  $\varphi$  determină creșterea lui  $I_c$  și viceversa), care determină un salt în intensitatea transmisă  $I_T$  (de la o valoare scăzută la una ridicată). Prin descreșterea lui  $I_I$ , valoarea ridicată a lui  $I_c$  păstrează defazajul  $\varphi$  în jurul valorii  $2\pi N$  deși  $I_I$  scade sub valoarea  $I_{\text{prag}}$ , după care transmisivitatea cavității scade brusc, astfel încât caracteristica  $I_T(I_I)$  prezintă ciclu histerezis (fig. 7.10).

Prin urmare, funcție de condițiile de interferență, determinate de neliniaritățile mediului, în cavitate se poate înmagazina o cantitate de energie optică ridicată sau scăzută, astfel că este posibilă apariția histerezisului.

Ținându-se seama de dezvoltările

$$\chi' \simeq \frac{1}{\Delta\omega} - \frac{1}{\Delta\omega^3} I/I_s + \dots \quad (7.106)$$

și

$$\chi'' \simeq \frac{1}{\Delta\omega^2} - \frac{1}{\Delta\omega^4} I/I_s + \dots \quad (7.107)$$

pentru partea reală respectiv cea imaginară a susceptibilității electrice funcție de raportul  $I/I_s$ , unde  $\Delta\omega$  este dezacordul ( $\Delta\omega \gg 1$ ), se poate constata rolul predominant al dispersiei ( $\Delta\omega^{-3}$ ) în raport cu cel al absorbției neliniare ( $\Delta\omega^{-4}$ ) ca proces interferometric. Totuși trebuie avut în vedere rolul absorbției liniare, care devine importantă cu creșterea lungimii cavității și poate împiedica apariția efectului de bistabilitate deși neliniaritatea dispersivă crește odată cu lungimea cavității.

### 7.7.3. Teoria semicuantică a bistabilității optice

Dacă pentru explicarea unor fenomene cum ar fi superfluorescența, care este cauzată de fluctuații, teoria semicuantică nu este satisfăcătoare, în cazul bistabilității optice această teorie conduce la rezultate

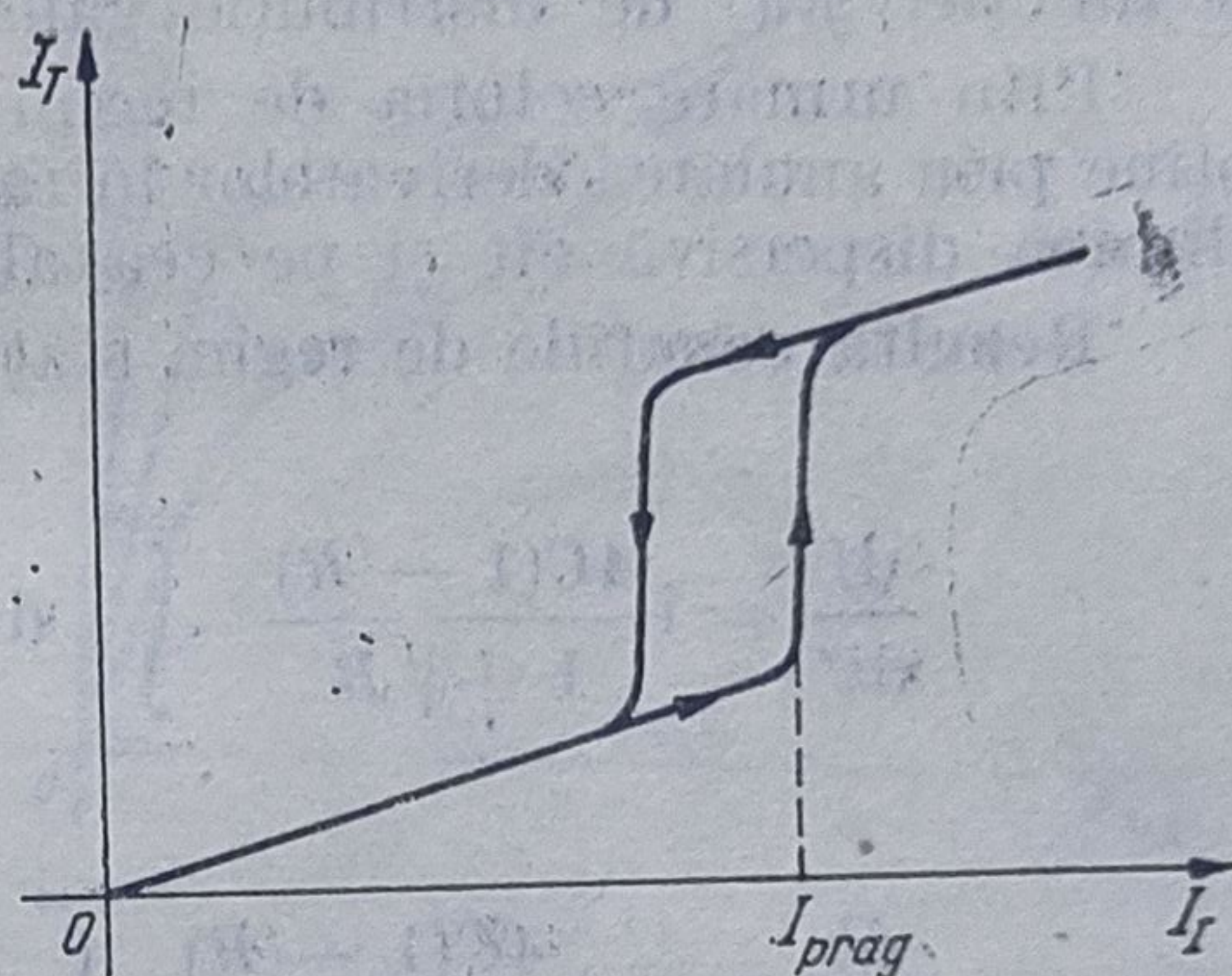


Fig. 7.10



importante după cum se va arăta în continuare. Trecerea de la teoria cuantică la cea semicuantică înseamnă, după cum se știe, neglijarea corelațiilor fluctuațiilor, prin considerarea valorii medii a produsului operatorilor ca produsul valorilor medii, operație echivalentă cu descrierea clasică a câmpului.

a) *Studiul regimului staționar al bistabilității optice.* Pentru studiul regimului staționar al bistabilității optice se utilizează ecuațiile Maxwell-Bloch (4.201)–(4.205), care au fost stabilite în cazul general astfel încât este inclus dezacordul atomic ( $\Delta \neq 0$ ), dezacordul cavității ( $\theta \neq 0$ ) și se ține seama de linia lărgită neomogen ( $\sigma \neq 0$ ),  $\sigma$  intervenind în expresia funcției  $g(u)$  de distribuție gaussiană.

Prin urmare, soluția de regim staționar a acestor ecuații care se obține prin anularea derivatelor în raport cu timpul, va descrie atât bistabilitatea dispersivă cât și pe cea absorbtivă ( $\Delta, \theta, \sigma \neq 0$ ).

Rezultă ecuațiile de regim staționar [235]

$$\frac{df}{dz'} = i \frac{4C(1-R)}{1+\sqrt{R}} \int_{-\infty}^{+\infty} du g(u) P_+^*(f, f^*, b, b^*, \tilde{\Delta}, u) \quad (7.108)$$

$$\frac{db}{dz'} = -i \frac{4C(1-R)}{1+\sqrt{R}} \int_{-\infty}^{+\infty} du g(u) P_-^*(f, f^*, b, b^*, \tilde{\Delta}, u) \quad (7.109)$$

unde s-au utilizat notațiile

$$f = \frac{d}{\hbar} \sqrt{T_1 T_2} E_+; \quad b = \frac{d}{\hbar} \sqrt{T_1 T_2} E_-; \quad (7.110)$$

$$x = \frac{\sqrt{3} d}{\hbar} \frac{\sqrt{T_1 T_2}}{\sqrt{1-R}} E_T; \quad y = \frac{\sqrt{3} d}{\hbar} \frac{\sqrt{T_1 T_2}}{\sqrt{1-R}} E_I;$$

$$z' = z/L; \quad \tilde{\Delta} = \Delta T_2 \text{ iar } C = \frac{1}{2} (1 + \sqrt{R}) dg/\hbar T_2^{-1} \text{ este factorul de coo-}$$

perativitate. Se observă că  $C = \alpha L/2(1-R)$  pentru  $R \lesssim 1$ , unde  $\alpha = dgT_2/\hbar$  este coeficientul de absorbție liniar.

Prin integrarea numerică a ecuațiilor (7.108) și (7.109) și reprezentarea grafică a curbelor  $|x|^2 \sim I_T$  și  $|y|^2 \sim I_I$  se obțin caracteristicile de bistabilitate de regim staționar de tipul celor prezentate calitativ în figura 7.8. Pentru diferite valori ale parametrilor  $\sigma$  și  $\theta$  se poate evidenția efectul lărgirii neomogene a liniei și dezacordului cavității asupra comportării bistabile. Pentru valori ridicate ale parametrilor  $\alpha L$  și  $\tilde{\Delta}$  se obține o comportare *multistabilă* a sistemului. Contribuții importante în studiul regimului staționar al bistabilității optice intrinseci în cavități Fabry-Pérot sint prezentate în lucrările [90, 95, 100].



b) *Bistabilitatea optică în aproximația câmpului mediu.* Ecuațiile (4.219) — (4.221) obținute de Bonifacio și Lugiato în aproximația câmpului mediu [90] permit evidențierea caracteristicilor de bistabilitate pentru cazul absorbtiv ( $\tilde{\Delta} = \sigma = \theta = 0$ ) sub o formă simplă.

Astfel, anulând derivatele în raport cu timpul în ecuațiile (4.219) — (4.221) și utilizând notațiile (7.110) rezultă caracteristica statică de bistabilitate

$$y = x + \frac{2Cx}{1+x^2} \quad (7.111)$$

reprezentată grafic în figura 7.11.

Din studiul acestei caracteristici pentru diferite valori ale parametrului  $C$  rezultă comportarea bistabilă pentru  $C > 4$ . Valoarea critică  $C = 4$  rezultă din condițiile  $\frac{dy}{dx} = \frac{d^2y}{dx^2} = 0$ , adică caracteristica să prezinte la limită un punct de maxim suprapus cu un punct de inflexiune.

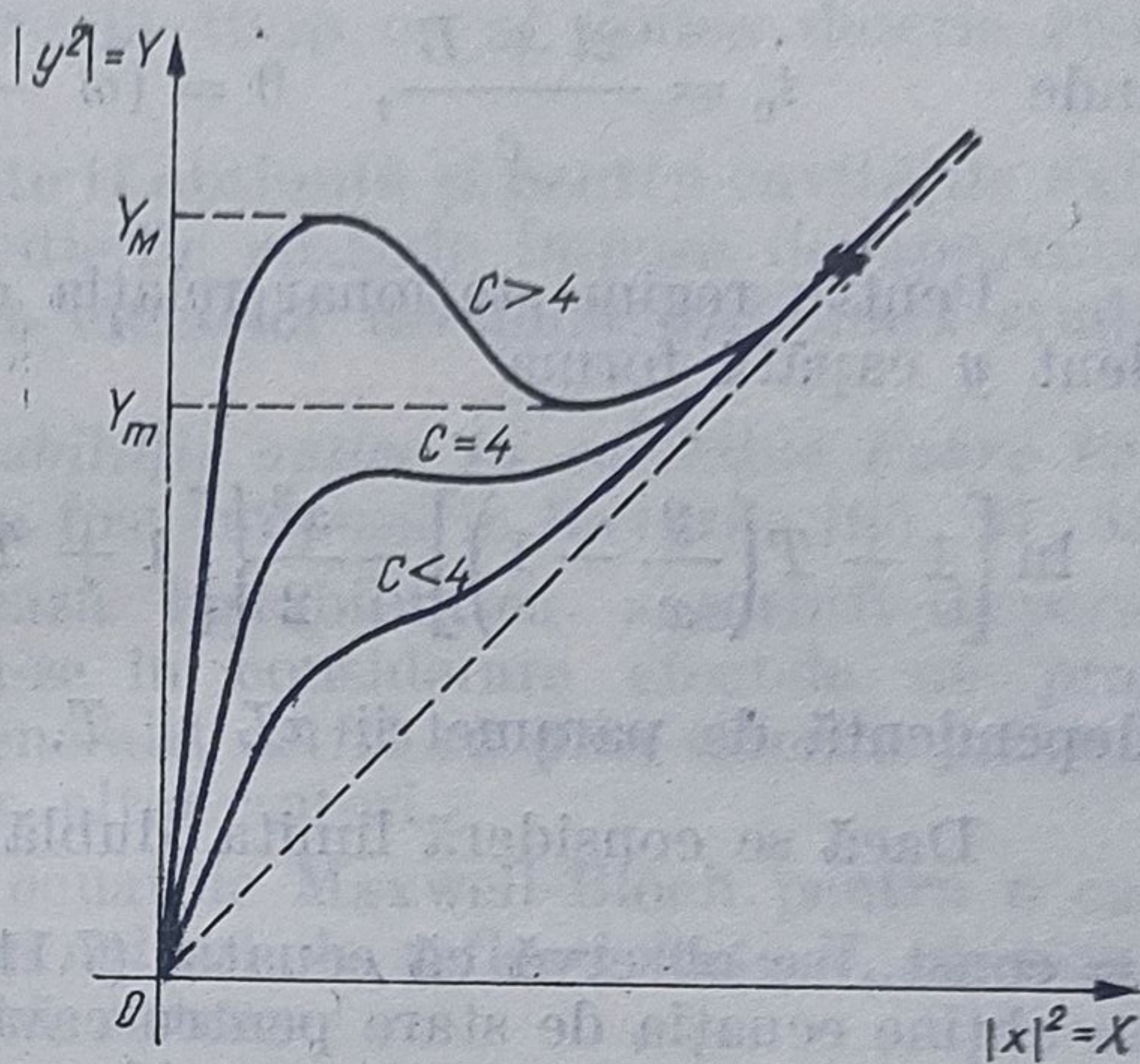


Fig. 7.11

Totodată, rezultă pentru punctele de maxim și de minim ale caracteristicii (pragurile de bistabilitate) coordonatele

$$(x_m, y_m) \simeq (\sqrt{2}C, \sqrt{8}C); (x_M, y_M) \simeq (1, C+1).$$

O soluție analitică completă a fost obținută de către Bonifacio și Lugiato [343] pentru o cavitate în inel, pentru a fi evitate dificultățile ridicate de efectul de undă staționară din cavitățile Fabry-Pérot (fig. 7.12).

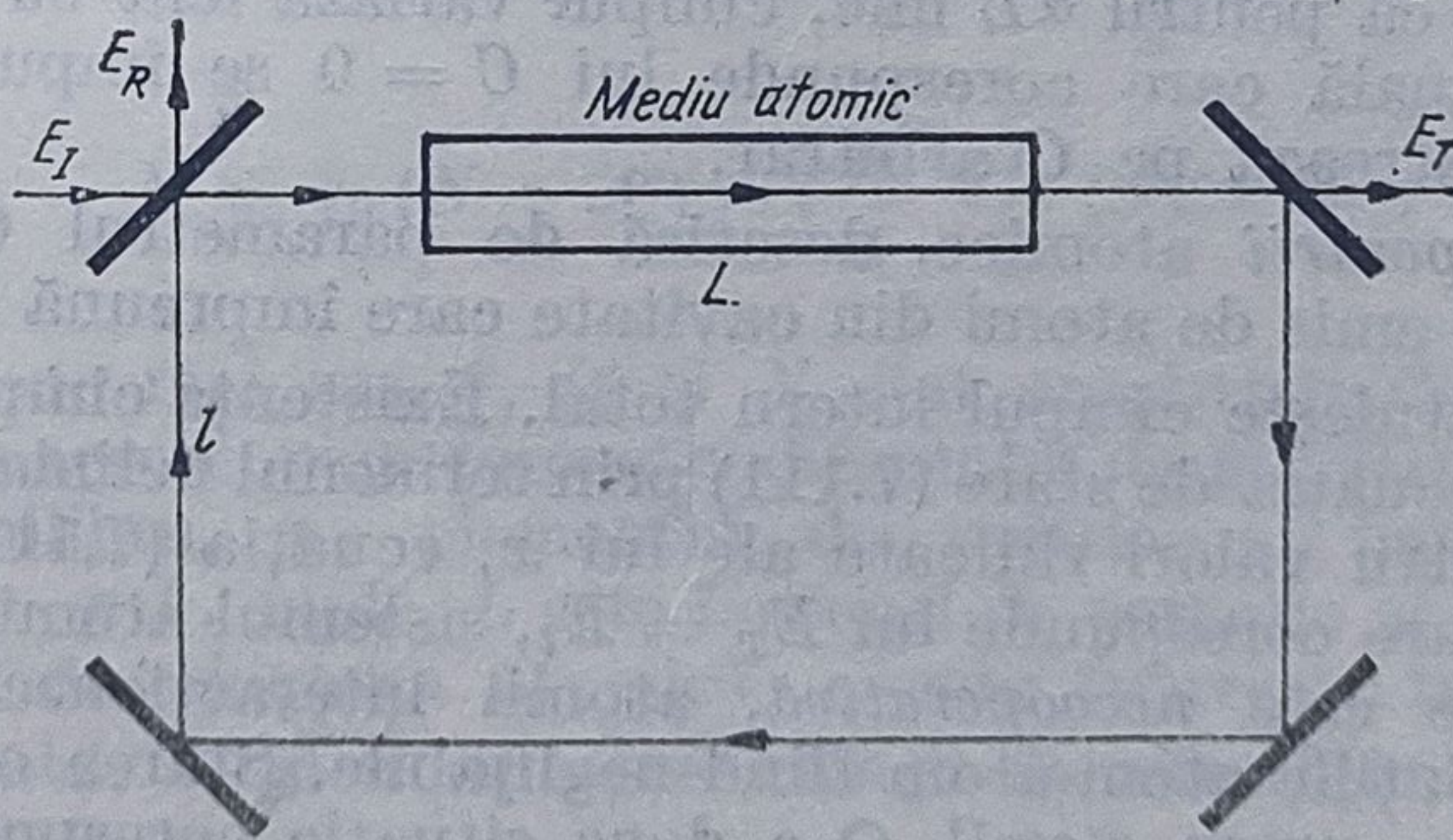


Fig. 7.12

Ecuațiile Maxwell-Bloch pentru o cavitate în inel au forma

$$\frac{\partial P_+}{\partial t} = -\left(\frac{1}{T_2} - i\Delta\right)P_+ + \frac{id}{h}E_+D_0 \quad (7.112)$$

$$\frac{\partial D_0}{\partial t} = \frac{D_0 + 1}{T_1} + \frac{id}{h}(E_+^*P_+ - E_+P_+^*) \quad (7.113)$$

$$\frac{1}{c} \frac{\partial E_+}{\partial t} + \frac{\partial E_+}{\partial z} = igP_+^* \quad (7.114)$$



fiind valabile condițiile la limita

$$E_+(0, t) = \sqrt{1-R} E_I(t) + RE(L, t - t_0) \exp(i\theta) \quad (7.115)$$

$$E_T(t) = \sqrt{1-R} E(L, t)$$

unde 
$$t_0 = \frac{2l + L}{c}, \quad \theta = (\omega - \omega_c) \bar{L}/c, \quad \bar{L} = 2(L + l).$$

Pentru regim staționar relația dintre cîmpurile transmise  $x$  și incident  $y$  capătă forma

$$\ln \left[ 1 + T \left( \frac{y}{x} - 1 \right) \right] - \frac{x^2}{2} \left\{ \left[ 1 + T \left( \frac{y}{2} - 1 \right) \right]^2 - 1 \right\} = \alpha L \quad (7.116)$$

dependentă de parametrii  $\alpha L$  și  $T$ .

Dacă se consideră limita dublă  $T \rightarrow 0$  și  $\alpha L \rightarrow 0$  cu  $\frac{\alpha L}{2T} = C = \text{const.}$ , se observă că ecuația (7.116) devine identică cu (7.111) adică se obține ecuația de stare pentru cavitățile în inel. O astfel de ecuație de stare a fost obținută din considerente fenomenologice de către Szöke pentru cavitățile Fabry-Pérot. O tratare mai completă însă a interacției din cavitățile Fabry-Pérot, cu considerarea efectului de undă staționară, conduce la o ecuație de stare diferită deși se utilizează aproximația cîmpului mediu. De menționat că, chiar pentru o cavitate Fabry-Pérot, ecuația de stare (7.111) constituie o bună aproximație numai dacă se modifică definițiile mărimilor  $x$  și  $y$  și  $C$ .

Condiția  $\alpha L \rightarrow 0$  înseamnă că în aproximația cîmpului mediu, variațiile spațiale ale cîmpului (după direcția  $z$ ) pot fi neglijate, fapt justificat de faptul că pentru  $\alpha L$  mic, cîmpul variază lent cu  $z$ . Pentru a se evita soluția banală care corespunde lui  $C = 0$  se impune și condiția  $T \rightarrow 0$ , care păstrează pe  $C$  arbitrar.

Cauza *cooperării* atomice, descrisă de parametrul  $C$ , o constituie cîmpul de reacție emis de atomi din cavitate care împreună cu cîmpul incident  $E_I/\sqrt{T}$  alcătuiește cîmpul intern total. Existența cîmpului de reacție este descrisă în ecuația de stare (7.111) prin termenul neliniar  $2Cx/(1+x^2)$ . Într-adevăr pentru valori ridicate ale lui  $x$ , ecuația (7.111) se reduce la soluția  $x = y$  care corespunde lui  $E_T = E_I$ , sistemul atomic fiind saturat. Această situație este *necooperativă*, atomii interacționează cu radiația individual, corelațiile atom-atom fiind neglijabile. Starea corespunzătoare se mai numește „*cu un atom*”. O a doua situație corespunde valorilor  $x$  mici pentru care  $y = (2C + 1)x$ , adică răspunsul sistemului este liniar, fiind nesaturat. În acest caz există corelații puternice atom-atom descrise de  $C$ , astfel că starea se numește „*cooperativă*”.

Tratarea bistabilității optice dispersive în cavitățile în inel a condus în aproximația cîmpului mediu la următoarea ecuație de stare în cazul lărgirii omogene a liniei

$$|y|^2 = |x|^2 \left[ \left( 1 + \frac{2C}{1 + \tilde{\Delta}^2 + |x|^2} \right) + \left( \tilde{\delta} - \frac{2C\tilde{\Delta}}{1 + \tilde{\Delta}^2 + |x|^2} \right)^2 \right] \quad (7.117)$$



unde  $\tilde{\theta} = \theta/(1 - R)$ . Pentru a fi valabilă aproximația câmpului mediu și în cazul dispersiv se impune condiția suplimetară  $\theta \rightarrow 0$  cu  $\theta/(1 - R) = \text{const.}$

De observat că primul termen din paranteză, în expresia (7.117), descrie efectul absorbției neliniare în timp ce al doilea descrie efectul dispersiei neliniare.

Ecuatia de stare (7.117) poate fi obținută și pentru cavitățile Fabry-Pérot [235]. De remarcat că medierile spațiale impuse de aproximația câmpului mediu implică neglijarea efectelor de undă staționară studiate în lucrările [95, 351, 352].

c) *Metodă de tratare a bistabilității optice în cavitățile Fabry-Pérot.* Metoda prezentată în continuare a fost propusă în lucrările [95, 97, 335].

Conform metodei se tratează bistabilitatea absorbtiv-dispersivă în cavitățile Fabry-Pérot, luându-se în considerare efectele de propagare. Rezultatele obținute sînt generale, astfel că prin diferite particularizări acestea coincid cu cele ale altor autori.

i) În prima etapă se obțin ecuațiile Maxwell-Bloch pentru o cavitate Fabry-Pérot de lungime  $L$  și oglinzi de reflectivitate  $R$ , în care se găsește un sistem atomic cu două sisteme

$$E_a = -\frac{1}{2} \hbar \omega_0 \quad \text{și} \quad E_b = \frac{1}{2} \hbar \omega_0$$

sub forma

$$\dot{\mathcal{E}} + \frac{1}{2} \frac{c}{n} \frac{1}{ik} \left[ \frac{\partial^2 \mathcal{E}}{\partial z^2} + (\alpha' - ik) \mathcal{E} \right] = ig \mathcal{S} \quad (7.118)$$

$$\dot{\mathcal{S}} + (\gamma_{\perp} - i\Delta\omega) \mathcal{S} = \frac{ip'}{\hbar} N \mathcal{E} \quad (7.119)$$

$$\dot{N} + \gamma_{\parallel} (N - \mathcal{N}) = i \frac{p'}{\hbar} \frac{1}{2} (\mathcal{S} \mathcal{E}^* - \mathcal{S}^* \mathcal{E}). \quad (7.120)$$

În ecuațiile de mai sus  $\mathcal{E}$ ,  $\mathcal{S}$  și  $N$  sînt amplitudinile câmpului electric, polarizării macroscopice respectiv diferenței de populație,  $\mathcal{N}$  este valoarea lui  $N$  la echilibru,  $p$  — elementul de matrice al momentului de dipol electric,  $p' = pL$ , unde  $L$  este factorul de corecție al lui Lorentz,  $\gamma_{\perp}$  și  $\gamma_{\parallel}$  sînt ratele de relaxarea atomică,  $\omega$  este frecvența radiației considerată plan polarizată,  $\alpha'$  și  $n$  sînt coeficienții de absorbție, respectiv indicele de refracție pentru tranzițiile nerezonante,  $k = \frac{\omega n}{c}$ ,  $\Delta\omega = \omega - \omega_0$ ,  $g = \omega p/2\epsilon$ , celelalte mărimi avînd semnificațiile cunoscute.

În stabilirea acestor ecuații s-au făcut aproximațiile

$|\dot{\mathcal{E}}| \ll \omega |\mathcal{E}|$ ,  $|\dot{\mathcal{S}}| \ll \omega |\mathcal{S}|$  și s-au neglijat termenii variînd cu frecvența  $2\omega$  în ecuația de populație. Cu notațiile de mai sus, condițiile la limită pentru cavitatea Fabry-Pérot se scriu astfel

$$\mathcal{E}_+(0, t) = \sqrt{R} \mathcal{E}_-(0, t) \quad (7.121)$$

$$\mathcal{E}_-(L, t) e^{-ikL} = \sqrt{R} \mathcal{E}_+(L, t) e^{ikL} + \sqrt{T} \mathcal{E}_i(t) \quad (7.122)$$



S-a considerat următoarea expresie a câmpului cavității

$$\mathcal{E}(z, t) = \mathcal{E}_+(z, t) e^{ikz} + \mathcal{E}_-(z, t) e^{-ikz} \quad (7.123)$$

$\mathcal{E}_+$  fiind amplitudinea undei directe, iar  $\mathcal{E}_-$  amplitudinea undei inverse. Pentru regim staționar se obține ecuația de câmp

$$\frac{d^2 E}{d\zeta^2} + \left[ \kappa^2 + \kappa \left( \frac{i\alpha_0 - \beta_0}{1 + |E|^2} + i\alpha' \right) L \right] E = 0 \quad (7.124)$$

unde  $E$  este amplitudinea rapid variabilă a câmpului intern raportată la câmpul de saturație

$$\mathcal{E}_s = \frac{\hbar}{p'} \left[ \frac{\gamma_{\parallel} (\Delta\omega^2 + \gamma_{\perp}^2)}{\gamma_{\perp}} \right]^{1/2}, \quad (7.125)$$

$$\alpha_0 = \frac{2}{\hbar c} g n \mathcal{N} p' \frac{\gamma_{\perp}}{\Delta\omega^2 + \gamma_{\perp}^2}, \quad (7.126)$$

$$\beta_0 = \frac{\Delta\omega}{\gamma_{\perp}} \alpha_0 = \alpha_0 \delta, \quad (7.127)$$

iar 
$$\zeta = \frac{z}{L}, \quad \kappa = kL. \quad (7.128)$$

Prin urmare, spre deosebire de modelele obișnuite ale bistabilității optice, se obține pentru câmp, ecuația diferențială de ordinul al doilea (7.124), (în loc de o ecuație diferențială de ordinul întâi), astfel încât din aceasta rezultă distribuția efectivă a câmpului electric în cavitate.

Fenomenul de bistabilitate optică este determinat de factorul multiplicativ notat cu  $B$  al soluției ecuației (7.124)

$$B = |1 - \text{Re}^{-2\kappa_1'} e^{i2\kappa_1}| \quad (7.129)$$

unde

$$\kappa_1 = \kappa_1' + i\kappa_1'' = \kappa - \frac{\beta L}{2} + \frac{i(\alpha + \alpha')}{2} \quad (7.130)$$

iar

$$\alpha = \frac{\alpha_0}{1 + |E|^2} \quad \text{și} \quad \beta = \frac{\beta_0}{1 + |E|^2}. \quad (7.131)$$

Atunci când bistabilitatea este determinată de partea reală  $\kappa_1'$  a lui  $\kappa_1$ , este de tip dispersiv, iar când este determinată de partea imaginară  $\kappa_1''$  a lui  $\kappa_1$ , este de tip absorbtiv.

În cazul particular al aproximației câmpul mediu ( $\alpha_0 L \ll 1$  și  $\delta\alpha_0 L \ll 1$ ) caracteristica de bistabilitate depinde numai de factorul de cooperativitate  $O$  a lui Bonifacio.

ii) În aproximația amplitudinilor lent variabile (de exemplu,

$\left| \frac{\partial E_+}{\partial \zeta} \right| \ll \kappa |E_+|$ ), din rezolvarea ecuațiilor Maxwell-Bloch rezultă în apro-



aproximația cîmpului mediu următoarea caracteristică de transmisie a rezonatorului Fabry-Pérot :

$$y^2 = x^2 \left\{ \frac{1}{T^2} \left[ 1 + R^2 - 2R \cos \left( \frac{\alpha_0 L \delta}{1 + (1 + R) x^2} - 2\Phi \right) \right] + \right. \\ \left. + (1 + R) \frac{4C}{1 + (1 + R) x^2} + \frac{1 + 3R^2}{4} \left( \frac{4C}{1 + (1 + R) x^2} \right)^2 \right\}. \quad (7.132)$$

Această expresie este în concordanță cu caracteristica de bistabilitate stabilită de către Agrawall și Carmichael pentru valori mici ale dezacordului atomic ( $\alpha_0 L \delta \ll 1$ )

$$y^2 = x^2 \left[ \left( 1 + \frac{4C^2}{1 + 2x^2} \right)^2 + \left( \frac{4C\delta}{1 + 2x^2} - \frac{2\Phi}{T} \right)^2 \right]. \quad (7.133)$$

și cu caracteristica lui Gibbs și McCall, pentru bistabilitatea dispersivă

$$y^2 = \frac{x^2}{T^2} [1 + R^2 - 2R \cos(2\theta - 2\Phi)], \quad (7.134)$$

fiind mai generală. Totodată, caracteristica (7.132) este mai simplă în raport cu expresiile analitice obținute de Carmichael și Hermann folosind „ierarhia trunchiată Bloch”.

Atunci cînd  $\alpha_0 L \delta \ll 1$ , din (7.132) se obțin expresii simple pentru  $Y_M$ , respectiv  $y_m$ . Astfel pentru bistabilitatea pur absorbtivă rezultă

$$Y_{MA} \simeq \sqrt{2} C; \quad y_{mA} \simeq 2\sqrt{C} [(1 + \varphi^2)^{1/2} + 1]^{1/2} \quad (7.135)$$

Analog pentru bistabilitatea dispersivă se obține

$$Y_{MD} \simeq \sqrt{2} C \delta; \quad y_{mD} \simeq 2\sqrt{C \delta} [(1 + \varphi^2)^{1/2} - \varphi]^{1/2} \quad (7.136)$$

unde  $\varphi = 2\Phi/T$ .

Validitatea caracteristicii (7.132) obținută în aproximația cîmpului mediu (MFL) poate fi testată comparînd rezultatele sale cu cele corespunzătoare ecuațiilor lui McCall și Gibbs, integrate numeric (NS) pentru orice valoare  $\alpha_0 L$ , astfel că sînt luate în considerare efectele de propagare în cavitatea Fabry-Pérot (fig. 7.13).

Se verifică concordanța celor două tipuri de rezultate pentru valori  $\alpha_0 L \ll 1$ , condiție utilizată în stabilirea caracteristicii (7.132).

iii) Modelele teoretice de bistabilitate prezentate mai sus pot fi utilizate pentru definirea și calculul celor mai importanți parametri de amplificare ai dispozitivelor optice bistabile, cum sînt amplificarea de semnal mic, amplificarea în impuls, răspunsul în timp etc.



Astfel, amplificarea de semnul mic este definită prin expresia

$$A_s = \frac{\delta x}{\delta y} \quad (7.137)$$

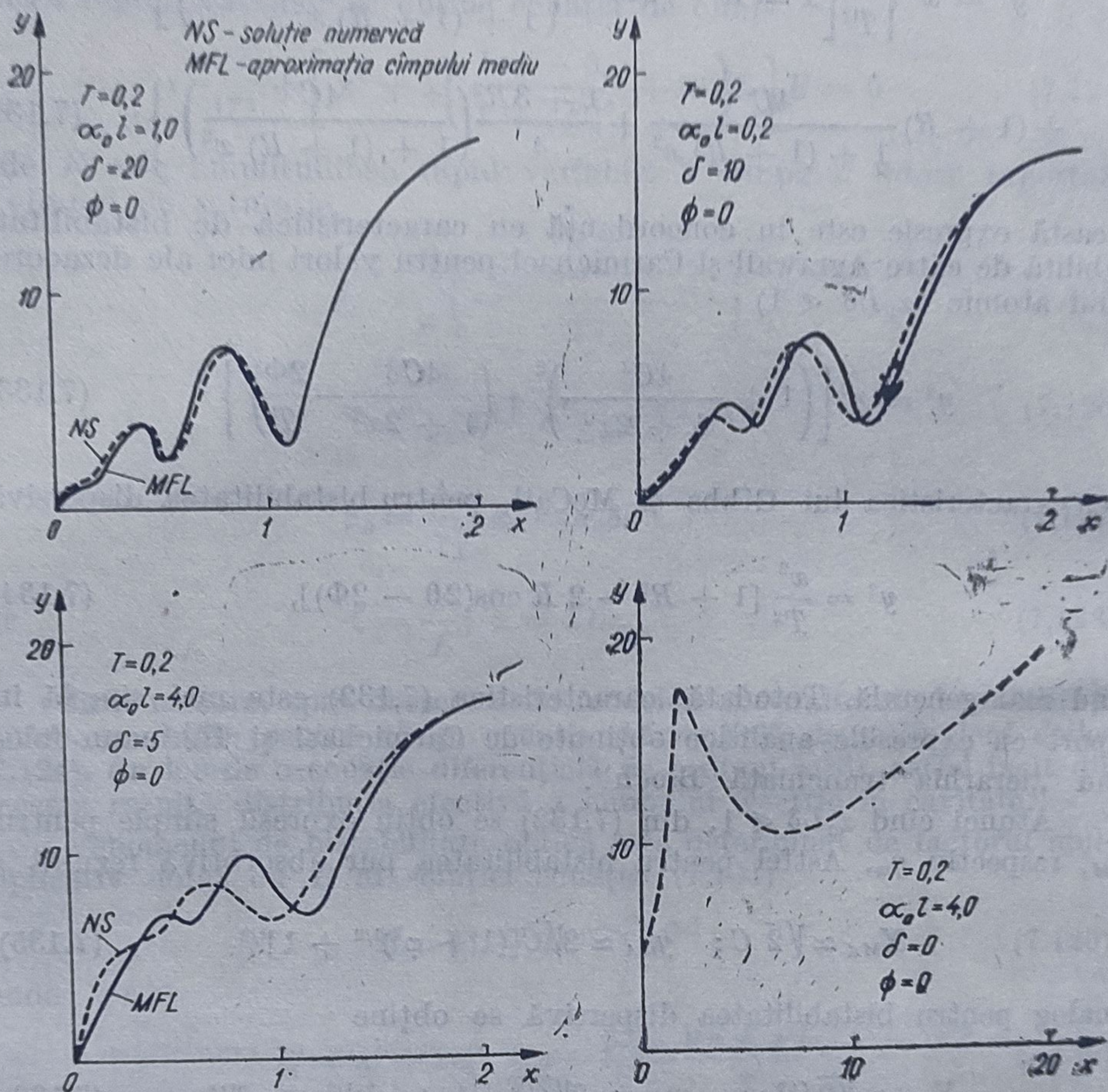


Fig. 7.13

unde  $\delta x$  și  $\delta y$  sînt variații mici în jurul valorilor de regim staționar  $x_0$  și  $y_0$ . Se obține

$$A_s(\omega) = \left\{ 1 + i \frac{\omega}{K} - 2C \frac{x_0^2 - \left(1 + i \frac{\omega}{2qK}\right)}{(x_0^2 + 1) \left[ x_0^2 + \left(1 + i \frac{\omega}{qK}\right) \left(1 + i \frac{\omega}{2qK}\right) \right]} \right\}^{-1} \quad (7.138)$$

unde  $K = \frac{T_0}{2L}$ , iar  $q = \frac{\gamma_{\perp}}{K} = \frac{\gamma_{\parallel}}{2K}$ ,



În mod asemănător se obține pentru amplificarea maximă în impuls expresia

$$A_t = \frac{\left(1 + \frac{2C}{C - \sqrt{C^2 - 4C}}\right) \frac{1}{(C - 1 - \sqrt{C^2 - 4C})^{1/2}} - \left(1 + \frac{2C}{C + \sqrt{C^2 - 4C}}\right) \frac{1}{(C - 1 + \sqrt{C^2 - 4C})^{1/2}}}{\left(1 + \frac{2C}{C - \sqrt{C^2 - 4C}}\right)(C - 1 - \sqrt{C^2 - 4C})^{1/2} - \left(1 + \frac{2C}{C + \sqrt{C^2 - 4C}}\right)(C - 1 + \sqrt{C^2 - 4C})^{1/2}} \quad (7.139)$$

Răspunsul în timp al dispozitivelor de acest tip a fost de asemenea calculat în lucrarea [93] prin integrarea ecuației diferențiale a evoluției dispozitivului, pentru un impuls unitar aplicat la intrare la momentul  $t = 0$ .

d) *Fenomene dependente de timp.* i) Pentru studiul complet al stabilității dispozitivelor avînd caracteristici de tipul celor prezentate în fig. 7.8 se aplică metoda generală de analiză liniară a stabilității sistemelor. Astfel dacă  $P_\infty$  și  $D_\infty$  și  $E_\infty$  sînt soluțiile de regim staționar ale ecuațiilor Maxwell-Bloch, se definesc variațiile

$$\delta P(z, t) = P(z, t) - P_\infty(z) \quad (7.140)$$

$$\delta D(z, t) = D(z, t) - D_\infty(z) \quad (7.141)$$

$$\delta E(z, t) = E(z, t) - E_\infty(z) \quad (7.142)$$

unde  $|\delta E(z, t)| \ll E_\infty(z)$  etc.

Prin introducerea soluțiilor  $E(z, t)$ ,  $P(z, t)$  și  $D(z, t)$  avînd forma de mai sus în ecuațiile Maxwell-Bloch și neglijarea termenilor de ordinul al doilea se obține sistemul

$$\delta \dot{P}(t) = -\frac{\delta P}{T_2} + \frac{d}{\hbar} E_\infty \delta D + \frac{d}{\hbar} D_\infty \delta E \quad (7.143)$$

$$\delta \dot{D}(t) = -\frac{d}{\hbar} E_\infty \delta P - \frac{d}{\hbar} P_\infty \delta E - \frac{\delta D}{T_1} \quad (7.144)$$

$$\delta \dot{E}(t) = -g \delta P - K \delta E \quad (7.145)$$

a cărui soluție are forma

$$\delta P(t) = \exp(\lambda t) \cdot \delta P(0) \quad (7.146)$$

$$\delta D(t) = \exp(\lambda t) \cdot \delta D(0) \quad (7.147)$$

$$\delta E(t) = \exp(\lambda t) \cdot \delta E(0) \quad (7.148)$$

unde  $\delta P(0)$ ,  $\delta D(0)$  și  $\delta E(0)$  sînt perturbațiile inițiale. Condiția de stabilitate  $\text{Re } \lambda < 0$  este satisfăcută pentru regiunile caracteristicii pentru care  $dy/dx > 0$ , regiunea cu  $dy/dx < 0$  fiind instabilă.

ii) Fenomenele dependente de timp ale bistabilității optice au fost studiate pentru prima dată de către Bonifacio și Meystre în 1978 și Abraham în 1979 [235]. Astfel de fenomene sînt importante în utilizarea dispozitivelor optice bistabile ca elemente de circuit. Prezintă interes două



cazuri particulare : 1)  $T_1, T_2 \gg \tau_c$  (variabilele de câmp pot fi eliminate adiabatic). În acest caz, care caracterizează cavitățile cu  $Q$  scăzut, în sistem apar oscilații la saltul pe ramura superioară ; 2)  $T_1, T_2 \ll \tau_c$  (variabilele atomice pot fi eliminate adiabatic). În acest caz, care caracterizează sistemele cu  $Q$  ridicat, răspunsul este de tip exponențial (fig. 7.14).

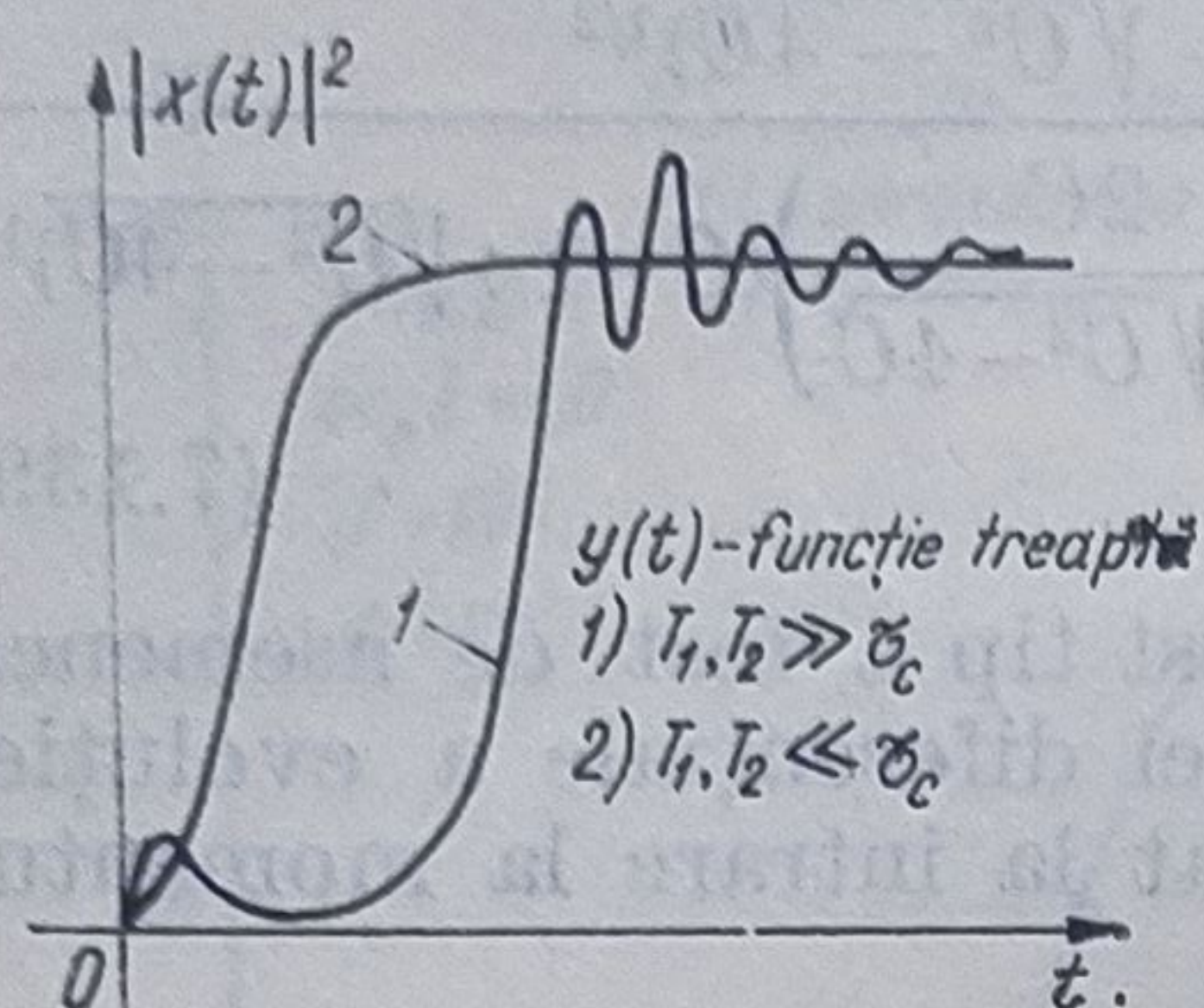


Fig. 7.14

Se constată că oscilațiile apar atât pentru bistabilitatea absorbtivă, cât și pentru cea dispersivă, precum și în cazul lărgirii neomogene.

Un algoritm general de studiu a problemei dependente de timp în bistabilitatea optică este prezentat în lucrarea [352]. Ecuațiile Maxwell-Bloch dependente de timp sînt integrate prin aproximații succesive. Liniarizarea acestor ecuații se face prin înlocuirea părților neliniare cu expresiile

obținute în aproximația anterioară. Prima etapă a algoritmului corespunde aproximației adiabatică în ipotezele câmpului mediu. Soluțiile obținute sînt generale pentru bistabilitatea absorbtiv-dispersivă și iau în considerare parametri importanți cum sînt : coeficientul de absorbție nerezonantă, dezacordul cavității, valoarea finită a transmisivității oglinzilor etc.

iii) Analiza caracteristicilor de bistabilitate evidențiază posibilitatea funcționării în regim auto-pulsat a dispozitivelor optice bistabile, efect important în utilizarea acestora pentru conversia  $DC-AC$  a luminii. Regimul „auto-pulsat” a fost prezis în anul 1980 de către Lugiato pentru cavitățile în inel dispersive și în tot anul 1980 de către Casagrande pentru cavitățile Fabry-Pérot. Se constată că pentru un punct de funcționare instabil, sistemul, fie trece într-o stare staționară stabilă, fie evoluează periodic, în regim auto-pulsat. Se poate arăta că este posibilă și o a treia situație — *de haos* — în care secvența de impulsuri este complet neregulată.

Într-adevăr, dacă ramura inferioară a caracteristicii din figura 7.8 este stabilă, iar zona intermediară este instabilă, pe ramura superioară apar noi tipuri de instabilități. Astfel, după o zonă stabilă, urmează o bifurcație și sistemul începe să oscileze cu perioada  $2t_R$ .

Prin creșterea lui  $(E_I)$  apar noi bifurcații, sistemul oscilează pe frecvență dublă și fenomenul se repetă pînă cînd  $E_I$  depășește o valoare critică după care apare starea de haos.

Dacă regimul autopulsat se obține în ipotezele  $\alpha L \ll 1$ ,  $T \ll 1$  ( $MF$ ),  $\Delta = 0$ , fără ca variabilele să fie eliminate adiabatic. Pentru  $\alpha L \gg 1$  și  $\tilde{\Delta} \gg 1$ , este evidențiată comportarea multistabilă a sistemului (Ikeda, 1979), descrisă de ecuațiile

$$E_+(0, t) = (1 - R)^{1/2} E_I(t) + RE_+(0, t - t_R) f_1(D(t)) \quad (7.149)$$

$$\frac{dD(t)}{dt} = -\gamma_{||} D(t) - |E_+(0, t - t_R)|^2 f_2(D(t)) \quad (7.150)$$

unde  $f_1$  și  $f_2$  sînt funcții de  $D(t)$ , iar  $t_R = 2(L + l)/c$  este timpul unui parcurs prin cavitate, polarizarea  $P_+$  fiind eliminată adiabatic ( $T_1 \gg T_2$ ).



În regim staționar din ecuațiile (7.149) și (7.150) rezultă o caracteristică multistabilă (fig. 7.15).

#### 7.7.4. Teoria cuantică a bistabilității optice

În cazul bistabilității optice, teoria semicuantică este limitată de dificultățile privind luarea în considerare a fluctuațiilor sistemului și de imposibilitatea de a face distincție între stările stabilă și metastabilă ale sistemului în regiunea de bistabilitate.

Studiul spectrului luminii transmise și al statisticilor de fotoni, precum și necesitatea corelării bistabilității optice cu tranzițiile de fază, fac necesară teoria cuantică ale cărei aspecte esențiale sînt evidențiate în continuare. Întrucît abordarea cuantică generală este dificilă se preferă modelul *ecuației master*, care este un model al statisticii cuantice, ecuația master fiind o ecuație pentru operatorul densitate.

Funcție de condițiile experimentale apar două situații limită : a)  $T_1, T_2 > \tau_c$  și b)  $T_1, T_2 < \tau_c$ , conform cărora pot fi eliminate adiabatic variabilele de cîmp sau cele atomice astfel că și forma ecuației master utilizabilă va fi diferită.

În prima etapă se scrie ecuația sub forma generală pentru operatorul statistic  $\hat{W}(t)$  sau  $\hat{\rho}_{AC}(t)$  al sistemului cuplat atomi-cîmp de radiație intern, în descrierea de interacție, sub forma

$$\frac{d\hat{W}}{dt} = -iL_{AC}\hat{W} + \Lambda_c\hat{W} + \Lambda_A\hat{W} \quad (7.151)$$

care reprezintă de fapt modelul laserului în inel, monomod, cu semnal injectat. În ecuația de mai sus

$$\hat{L}_{AC}\hat{W} = \frac{1}{\hbar}[\hat{H}_{AC}, \hat{W}] \quad (7.152)$$

$$\hat{H}_{AC} = i\bar{g}(\hat{A}^+\hat{R}^- - \hat{A}\hat{R}^+) \quad (7.153)$$

$$\hat{\Lambda}_c\hat{W} = K\{[(\hat{A} - \hat{\alpha}), \hat{W}(\hat{A} - \hat{\alpha})^+] + [(\hat{A} - \hat{\alpha})\hat{W}, (\hat{A} - \hat{\alpha})^+]\} \quad (7.154)$$

$$\begin{aligned} \hat{\Lambda}_A\hat{W} = \sum_{i=1}^N \left\{ \frac{1}{2} \gamma_{\parallel} ([\hat{R}_i^-, \hat{W} \hat{R}_i^+] + [\hat{R}_i^- \hat{W}, \hat{R}_i^+]) + \right. \\ \left. + \left( \gamma_{\perp} - \frac{1}{2} \gamma_{\parallel} \right) ([\hat{R}_{3,i}, \hat{W} \hat{R}_{3,i}] + [\hat{R}_{3,i} \hat{W}, \hat{R}_{3,i}]) \right\}. \end{aligned} \quad (7.155)$$

S-au utilizat notațiile :  $\bar{g} = \left( \frac{2\hbar\omega_0}{V} \right)^{1/2} d$  pentru constanta de cuplaj în aproximația de dipol ;  $K = cT/2L$  pentru constanta de amortizare a cavității ;  $\alpha = (V/8\pi\hbar\omega_0)^{1/2} E_I/\sqrt{T}$  este o mărime reală pozitivă propor-

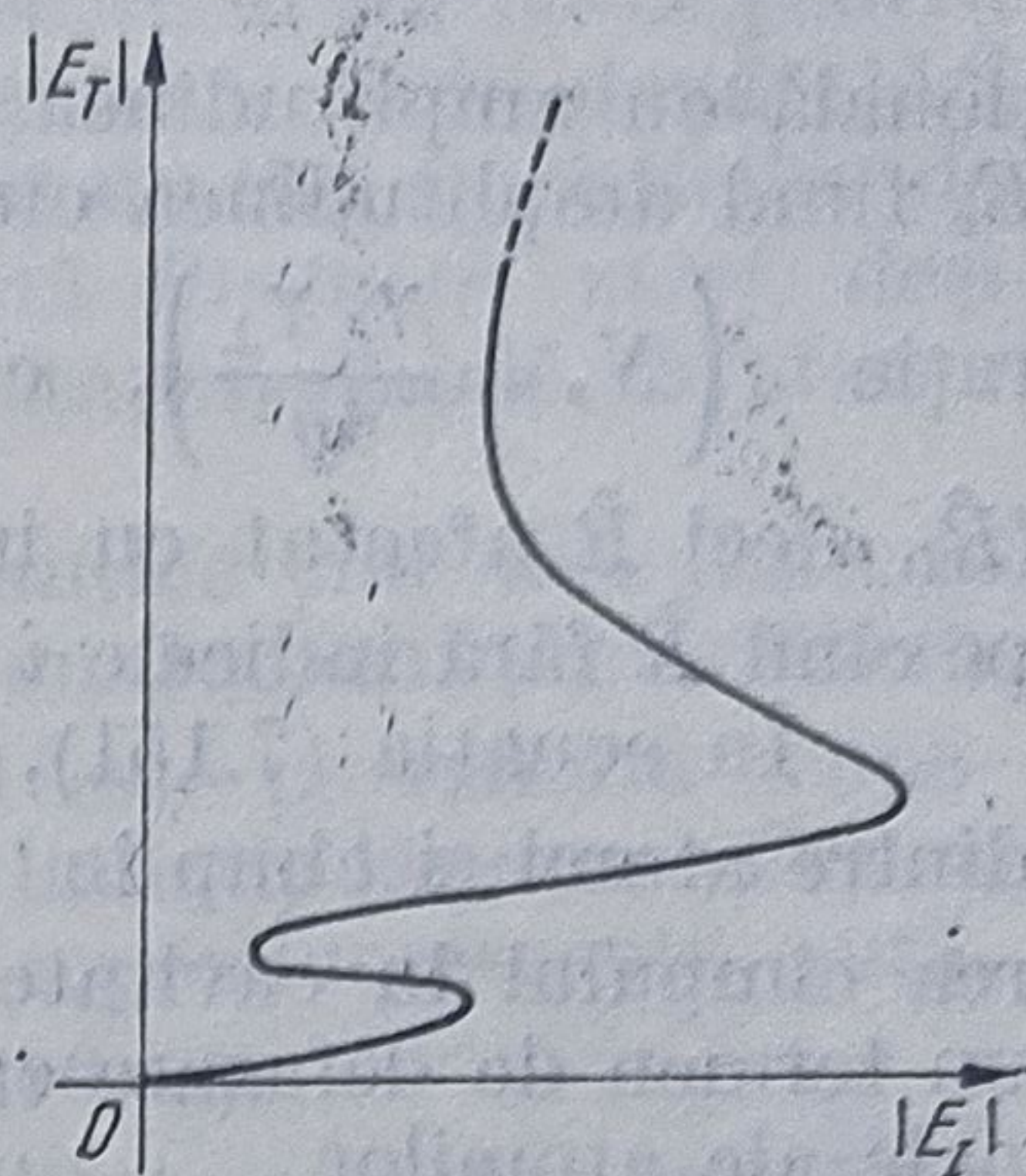


Fig. 7.15



țională cu amplitudinea câmpului incident;  $A = (V/8\pi h \omega_0)^{1/2} E_c = \sqrt{N_s} x_s$ ,  $E_c$  fiind amplitudinea câmpului intern, iar  $N_s$  numărul de fotoni la saturație  $\left(N_s = \frac{\gamma_{||} \gamma_{\perp}}{4\bar{g}^2}\right)$ , celelalte mărimi avînd semnificații cunoscute

( $\hat{R}_i$ , deci  $\hat{R}$  afectat cu indice, se referă la atomul  $i$  și se mai notează  $\hat{r}_i$  pe cînd  $\hat{R}$  fără indicele  $i$  este operatorul de dipol colectiv notat și cu  $\hat{\mathcal{R}}$ ).

În ecuația (7.151), termenul care conține pe  $\hat{L}_{AC}$  descrie interacția dintre atomi și câmp în aproximația undei rotitoare,  $\hat{\Lambda}_c$  descrie propagarea câmpului în cavitate cu considerarea câmpului incident, iar  $\hat{\Lambda}_A$  este un termen de defazare care apare datorită relaxărilor radiative și colizionale ale atomilor.

(Semnificația operatorului  $\hat{W}_c$  rezultă în cazul particular al absenței atomilor din rezolvarea ecuației  $\hat{\Lambda}_c \hat{W}_c = 0$  a cărei soluție este starea coerentă  $\hat{W}_c = |\alpha\rangle\langle\alpha|$ ).

Se constată că în aproximația semicuantică, pe baza definițiilor de tipul

$$\langle \hat{R}^-(t) \rangle = \text{Urm}[\hat{R}^- \hat{W}(t)] \quad (7.156)$$

ecuația *master* se reduce la ecuațiile pentru valorile medii ale operatorilor  $\hat{R}^-$ ,  $\hat{R}_3$  și  $\hat{A}$  scrise sub forma

$$\langle \dot{\hat{R}}^- \rangle = 2\bar{g}\langle \hat{A} \hat{R}_3 \rangle - \gamma_{\perp} \langle \hat{R}^- \rangle \quad (7.157)$$

$$\langle \dot{\hat{R}}_3 \rangle = -\bar{g}(\langle \hat{A} \hat{R}^+ \rangle + \langle \hat{A}^+ \hat{R}^- \rangle) - \gamma_{||} (\langle \hat{R}_3 \rangle + \frac{N}{2}) \quad (7.158)$$

$$\langle \dot{\hat{A}} \rangle = \bar{g}\langle \hat{R}^- \rangle - K(\langle \hat{A} \rangle - \alpha) \quad (7.159)$$

echivalente, prin factorizarea valorii medii a produsului ca produsul valorilor medii, cu modelul semicuantic în aproximația câmpului mediu.

Spectrul radiației transmise se obține prin evaluarea transformatei Fourier  $S(\omega)$  a funcției de corelație pentru regim staționar  $\langle \hat{A}^+(t) \hat{A}(t) \rangle_s$

$$S(\omega) = \frac{1}{\pi} \text{Re} \left\{ \int_0^{\infty} dt \exp[-i(\omega - \omega_0)t] \langle \hat{A}^+(t) \hat{A} \rangle_{st} \right\} \quad (7.160)$$

adică prin calculul fluctuațiilor  $\delta \hat{A}(t)$  ale sistemului în jurul stării staționare

$$\delta \hat{A}(t) = \hat{A}(t) - \hat{A}_{st}. \quad (7.161)$$

În expresia spectrului  $S(\omega)$  pot fi evidențiate o parte coerentă  $S_c(\omega)$ , care are aceeași frecvență cu aceea a câmpului incident și este proporțională cu intensitatea câmpului transmis  $x^2$  pentru un câmp incident dat

$$S_c = N_s x^2 \delta(\omega - \omega_0), \quad (7.161)$$

și o parte incoerentă  $S_{inc}(\omega)$

$$S_{inc}(\omega) = \frac{1}{\pi} \text{Re} \left\{ \int_0^{\infty} dt \exp[-i(\omega - \omega_0)t] \langle \delta \hat{A}^+(t) \delta \hat{A} \rangle_{st} \right\} \quad (7.162)$$

care este determinată de fluctuațiile câmpului în jurul valorii staționare, fiind astfel de natură cuantică.



Ca și analiza liniară a stabilității, studiul spectrului s-a făcut pentru cazul micilor fluctuații în jurul fiecărei stări staționare, cele două stări (stabilă și metastabilă) fiind astfel echivalente. Din studiul statisticilor de fotoni rezultă că atunci când în sistem se dezvoltă fluctuații mari, deși probabilitatea lor este scăzută, acesta trece din starea stabilă în starea metastabilă.

Unele concluzii privind aceste rezultate cuantice sînt discutate în continuare, în cele două cazuri limită ale cavităților cu  $Q$  scăzut și cu ridicat.

a) Cazul  $T_1, T_2 \gg \tau_c$ . Atunci când sistemul este pe ramura cooperativă spectrul se prezintă sub forma unei singure linii de lărgime  $\gamma C$  ( $\gamma = \gamma_{||} = 2\gamma_{\perp}$ ) egală cu lărgimea liniei  $\gamma_R$  pentru superfluorescența pură, adică linia este lărgită cooperativ ( $C \sim N$ ) (fig. 10.16, a).

Pe măsură ce se merge spre pragul de bistabilitate spectrul se îngustează (b). Atunci când are loc tranziția pe ramura „cu un atom” spectrul devine triplet (c) ca urmare a manifestării efectului Stark dinamic. (Pentru  $C \gg 1$ , frecvența Rabi  $\Omega_R \gg \gamma$ , astfel încît liniile laterale sînt separate de linia centrală. La descreșterea cîmpului, înspre punctul de tranziție pe ramura cooperativă, se produce apropierea (d) benzilor laterale de linia centrală, astfel încît spectrul este format dintr-o singură linie în urma tranziției (e). Prin urmare există un ciclu histererezis al spectrului.

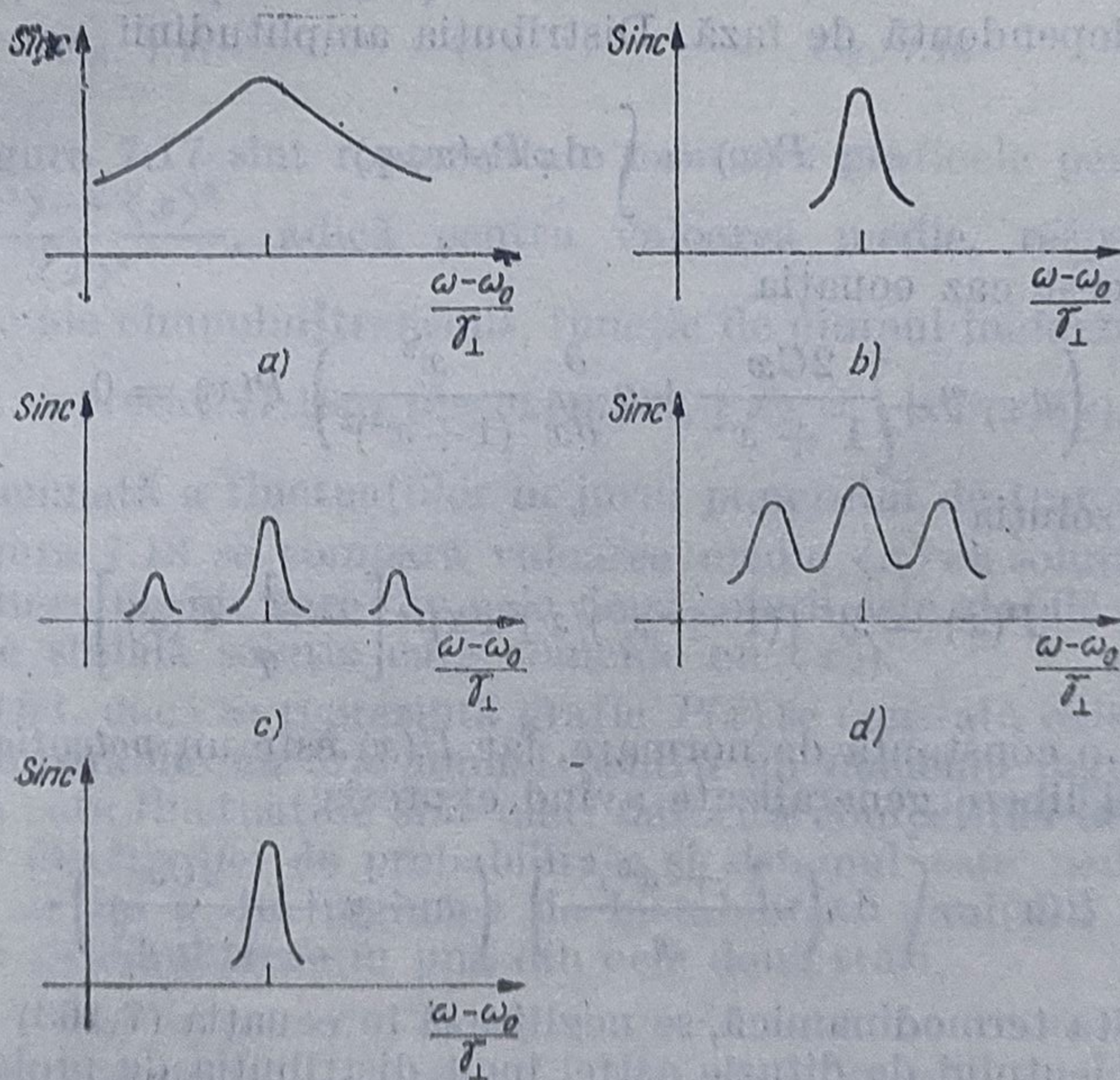


Fig. 7.16

b. Cazul  $T_1, T_2 \ll \tau_c$ . Ca și în cazul anterior, pentru cîmpuri incidente slabe, lărgimea liniei spectrale este proporțională cu  $N$  și se îngustează pe măsură ce ne apropiem de pragul de bistabilitate (îngustare cooperativă). În urma tranziției spectrul se modifică brusc, linia spectrală avînd o lărgime corespunzătoare celei a cavității goale, pentru ca la tranziția inversă să se producă îngustarea liniei. -



Conform teoriei sistemelor deschise din ecuația master rezultă că distribuția Glauber a cîmpului transmis  $P_G(x, \varphi, t)$  verifică următoarea ecuație Fokker-Planck

$$\begin{aligned} \frac{\partial}{\partial t} P_G(x, \varphi, t) = K \left[ \frac{\partial}{\partial x} \left( x - y \cos \varphi + \frac{2Cx}{1+x^2} + q \frac{\partial}{\partial x} \frac{x^2}{(1+x^2)^2} \right) + \right. \\ \left. + \frac{\partial}{\partial \varphi} \left( \frac{y}{x} \sin \varphi + q \frac{\partial}{\partial \varphi} \frac{1}{1+x^2} \right) \right] P_G(x, \varphi, t). \end{aligned} \quad (7.163)$$

În ecuația de mai sus  $x$  este o variabilă aleatoare care corespunde amplitudinii normate a cîmpului,  $\varphi$  este faza cîmpului iar constanta de difuzie  $q$  are expresia  $q = C/2N_s$ . Spre deosebire de ecuațiile Fokker-Planck pentru laser, termenul de difuzie este în acest caz dependent de intensitate ceea ce arată că în bistabilitatea optică efectele de saturație sînt importante atît în mișcarea de drift cît și în fluctuații. Dacă se linia-  
rizează ecuația (7.163) în raport cu faza ( $\cos \varphi = 1$ ), situație care corespunde descrierii semicuantice, unde  $\varphi = 0$  (deși faza fluctuează în jurul valorii nule), soluția de regim staționar  $\left( \frac{\partial P_G}{\partial t} = 0 \right)$  a ecuației de mai sus va fi independentă de fază. Distribuția amplitudinii

$$P(x) = \int d\varphi P_G(x, \varphi) \quad (7.164)$$

verifică în acest caz ecuația

$$\left( x - y + \frac{2Cx}{1+x^2} + q \frac{\partial}{\partial x} \frac{x^2}{(1+x^2)^2} \right) P(x) = 0 \quad (7.165)$$

care admite soluția

$$P(x) = \mathcal{N} [(1+x^2)/x]^2 \exp \left[ -\frac{1}{q} U(x) \right] \quad (7.166)$$

unde  $\mathcal{N}$  este o constantă de normare, iar  $U(x)$  este un *potențial* care joacă rolul energiei libere generalizate avînd expresia

$$U(x) = \int dx \left( \frac{1+x^2}{x} \right) \left( x - y + \frac{2Cx}{1+x^2} \right). \quad (7.167)$$

La limita termodinamică, se neglijează în ecuația (7.163) dependența de  $x$  a coeficientului de difuzie astfel încît distribuția de probabilitate va fi descrisă de potențialul

$$U_t(x) = \int dx \left( x \right) \left( x - y + \frac{2Cx}{1+x^2} \right). \quad (7.168)$$

Din expresiile (7.167) și (7.168) obținute în urma integrării, rezultă conform condițiilor  $\frac{\partial U}{\partial x} = \frac{\partial U_t}{\partial x} = 0$  aceeași ecuație de stare, însă expresia netermodinamică (7.167) ia în considerare și fluctuațiile.



Se constată că limita termodinamică corespunde cazului  $N \rightarrow \infty$  și  $V \rightarrow \infty$  cu  $\rho = N/V = \text{ct.}$ , echivalent cu  $q \rightarrow 0$ .

În acest caz  $P(x)$ , tinde către funcția  $\delta$ , poziționată în punctul corespunzător minimului absolut al lui  $U(x)$  astfel încât descrierea cuantică trece în descrierea termodinamică.

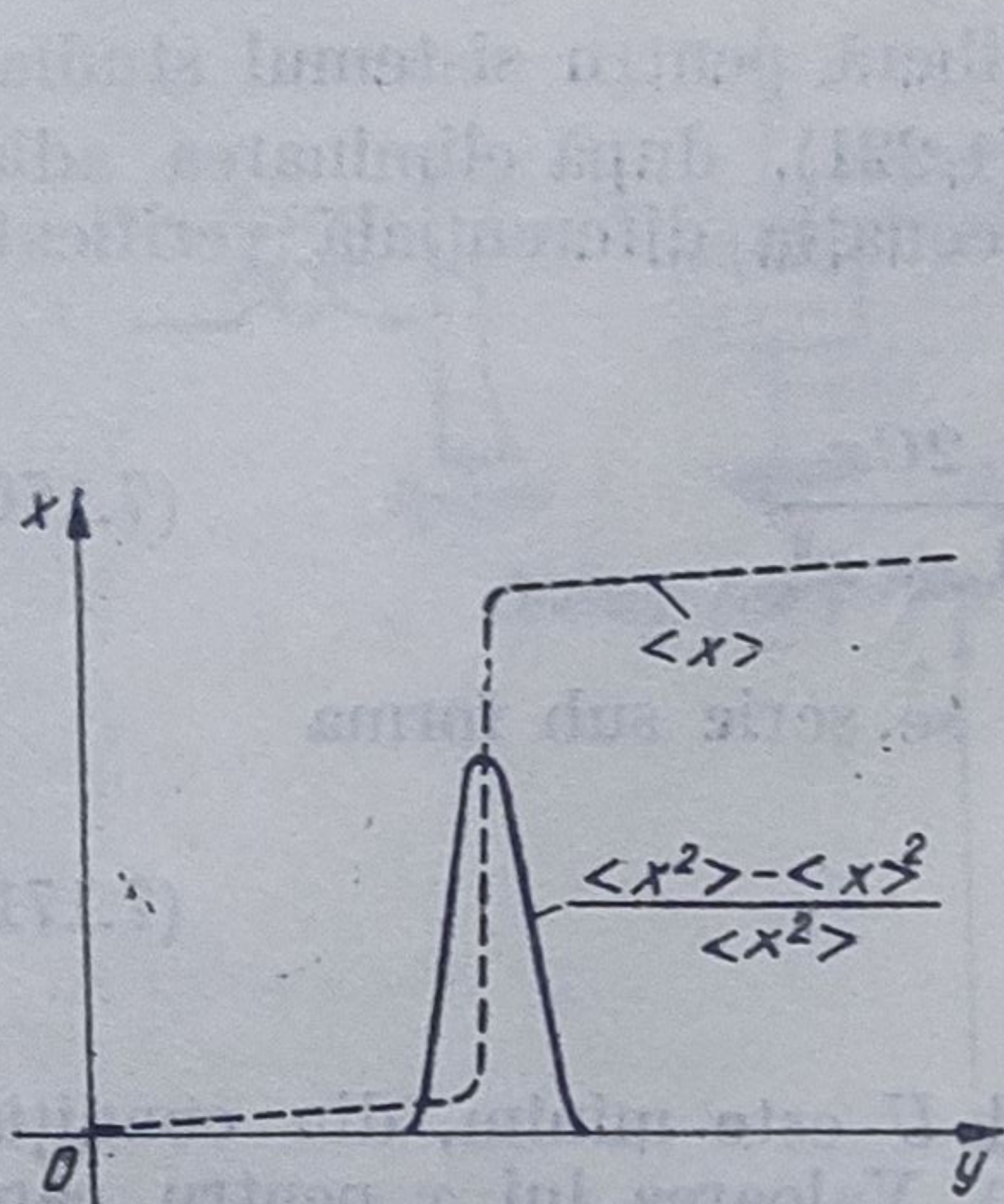


Fig. 7.17

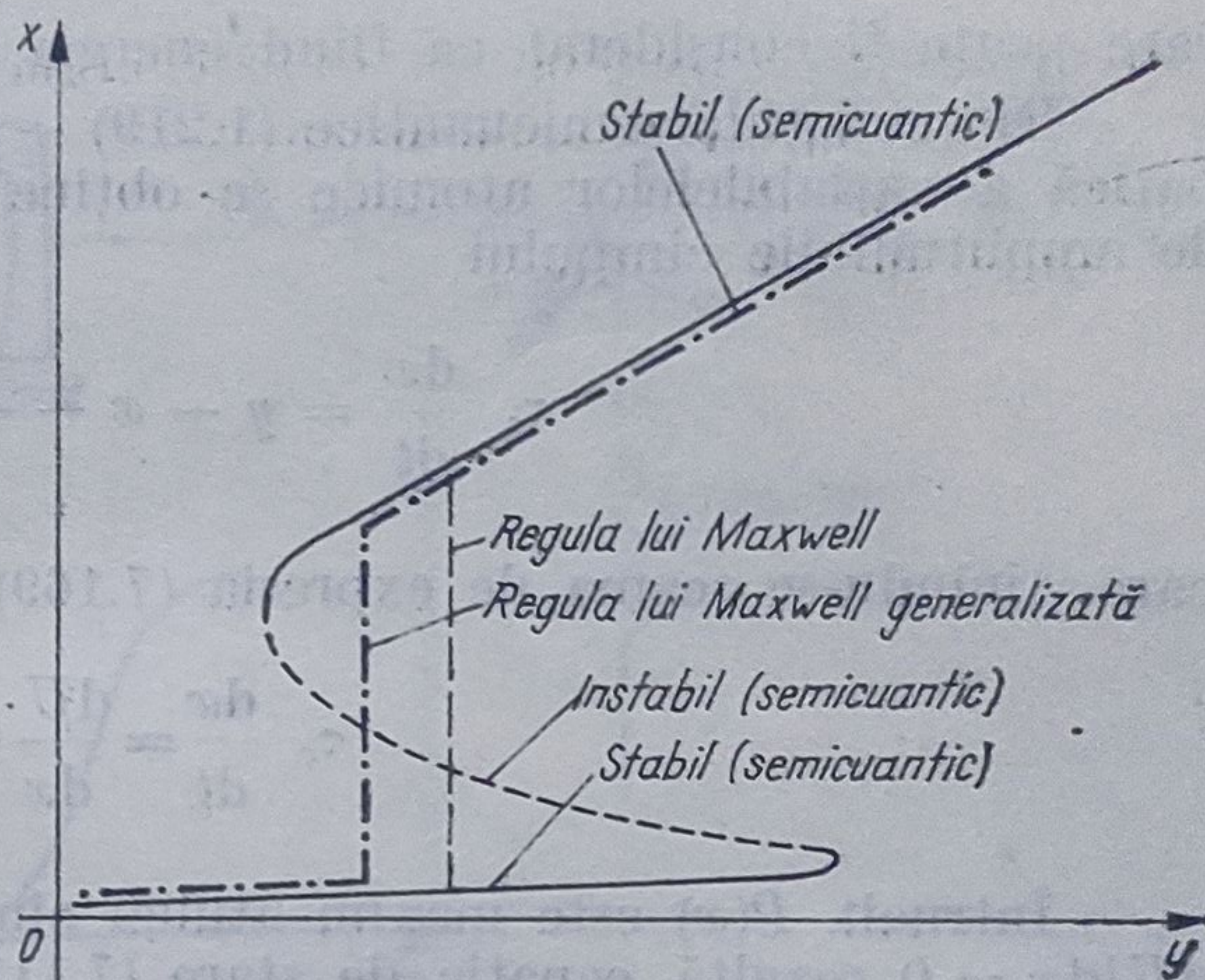


Fig. 7.18

În figura 7.17 sînt reprezentate calitativ graficele pentru mărimile  $\langle x \rangle$  și  $\frac{\langle x^2 \rangle - \langle x \rangle^2}{\langle x \rangle^2}$ , adică pentru valoarea medie, respectiv fluctuațiile relative ale cîmpului transmis, funcție de cîmpul incident  $y$ , calculate cu ajutorul expresiei (7.166) (de exemplu,  $\langle x \rangle = \int x P(x) dx$ ). Se constată o creștere însemnată a fluctuațiilor în jurul punctului de tranziție.

În figura 7.18 se compară valoarea medie  $\langle x \rangle$  cu soluțiile semiclassical, putîndu-se decide care din cele două soluții este stabilă și care metastabilă (este stabilă soluția care coincide cu  $\langle x \rangle$ ).

De altfel, dacă se reprezintă grafic  $P(x)$  se constată existența a două maxime comparabile ca arie numai pentru un domeniu îngust de valori ale lui  $y$ , în care fluctuațiile sînt mari datorită competiției între cele două maxime ale distribuției de probabilitate și sistemul este nedecis. Pentru alte valori ale lui  $y$  din regiunea de bistabilitate unul din maxime este dominant și sistemul trece în una din cele două stări.

#### 7.7.5. Bistabilitatea optică ca tranziție de fază

În anul 1976, Bonifacio și Lugiato au arătat că bistabilitatea optică poate fi tratată ca o tranziție de fază de speța întâi într-un sistem care operează departe de echilibru.

Astfel, asociind semnalul de intrare  $y$  cu presiunea unui fluid și semnalul de ieșire  $x$  cu volumul, caracteristicile de bistabilitate din figura 7.11 pot fi puse în corespondență cu izotermele Van der Waals, rolul temperaturii fiind jucat de parametrul cooperativ  $C$ .



În principiu, pentru potențialul  $U(x)$ , introdus prin definiția (7.166), poate fi admisă expresia

$$U(x) = -yx + \frac{x^2}{2} + C \ln(1 + x^2) + \frac{y^2}{2} \quad (7.169)$$

care poate fi considerat ca fiind energia liberă pentru sistemul studiat.

Din ecuațiile semicuantice (1.219) — (1.221), după eliminarea adiabatică a variabilelor atomice se obține ecuația diferențială verificată de amplitudinile câmpului

$$\tau_c \frac{dx}{dt} = y - x - \frac{2Cx}{1 + x^2} \quad (7.170)$$

care, ținându-se seama de expresia (7.169), se scrie sub forma

$$\tau_c \frac{dx}{dt} = \frac{dU}{dx}. \quad (7.171)$$

Întrucât  $P(x)$  este maxim atunci când  $U$  este minim, din condiția  $dU/dx = 0$  rezultă ecuația de stare (7.111). Valoarea lui  $x$  pentru care  $U(x)$  este minim este corelată cu parametrul de ordine al tranziției și se notează cu  $\eta$ . Se știe că existența mai multor minime pentru  $U(x)$  corespunde unor tranziții e fază de speța întâi.

Ținându-se seama de corelația dintre  $P(x)$  și  $U(x)$  rezultă că starea metastabilă corespunde unui minim relativ al lui  $U(x)$  pe când starea stabilă corespunde minimului absolut al lui  $U(x)$ .

În cazul sistemelor bistabile această analiză conduce la regula lui Maxwell privind tranzițiile de fază de speța întâi. Din figura 7.18 rezultă că regula lui Maxwell pentru tranzițiile de fază de speța întâi se modifică în cazul bistabilității optice sub formă *regulii lui Maxwell generalizează*. Această comportare se datorește dependenței de intensitate a coeficientului de difuzie (pentru o valoare constantă a acestuia diferența dintre cele două reguli dispare).

#### 7.7.6. Dispozitivele optice bistabile hibride

În paralel cu dispozitivele optice bistabile intrinseci s-a dezvoltat o gamă largă de dispozitive bistabile hibride discrete, sau integrate, realizate cu materiale electrooptice, semiconductoare, cristale lichide etc. Funcționarea bistabilă a unui astfel de dispozitiv al cărui element principal îl constituie un mediu neliniar este condiționată, după cum s-a mai arătat, de aplicarea unui semnal electric, proporțional cu semnalul optic de ieșire, pe mediul neliniar a cărui transmisie este funcție de tensiunea aplicată, prin intermediul căii de reacție. Rezultatele privind analiza teoretică a două tipuri reprezentative de astfel de dispozitive, dispozitivul bistabil cu modulator electrooptic de fază în cavitatea Fabry-Pérot (fig. 7.19) și dispozitivul de tip interferometru integrat au fost analizate în lucrările [332, 333], modelul elaborat fiind general (fig. 7.20). Caracteristica de bistabilitate a fost obținută utilizându-se funcțiile de transfer atât pen-



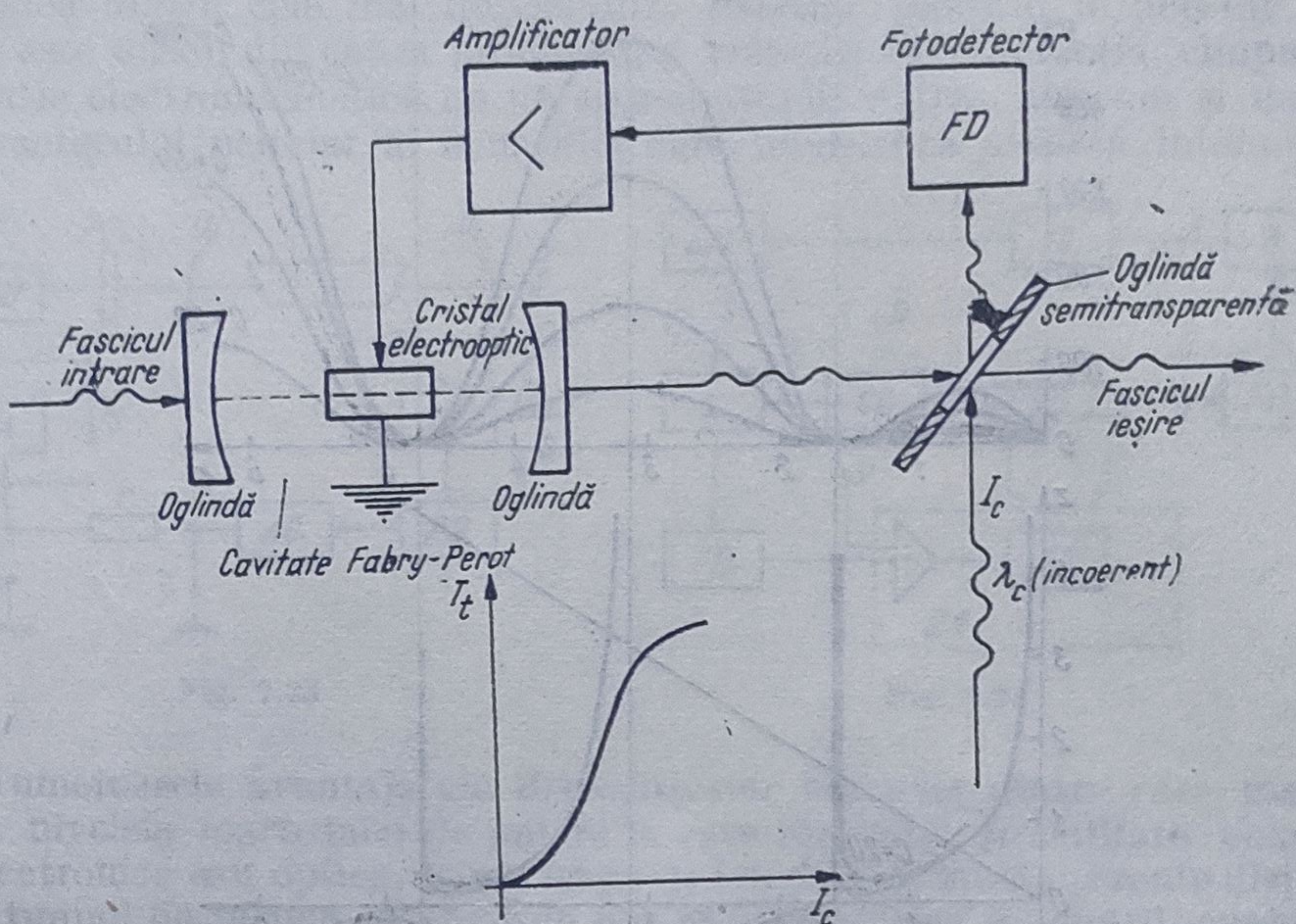


Fig. 7.19

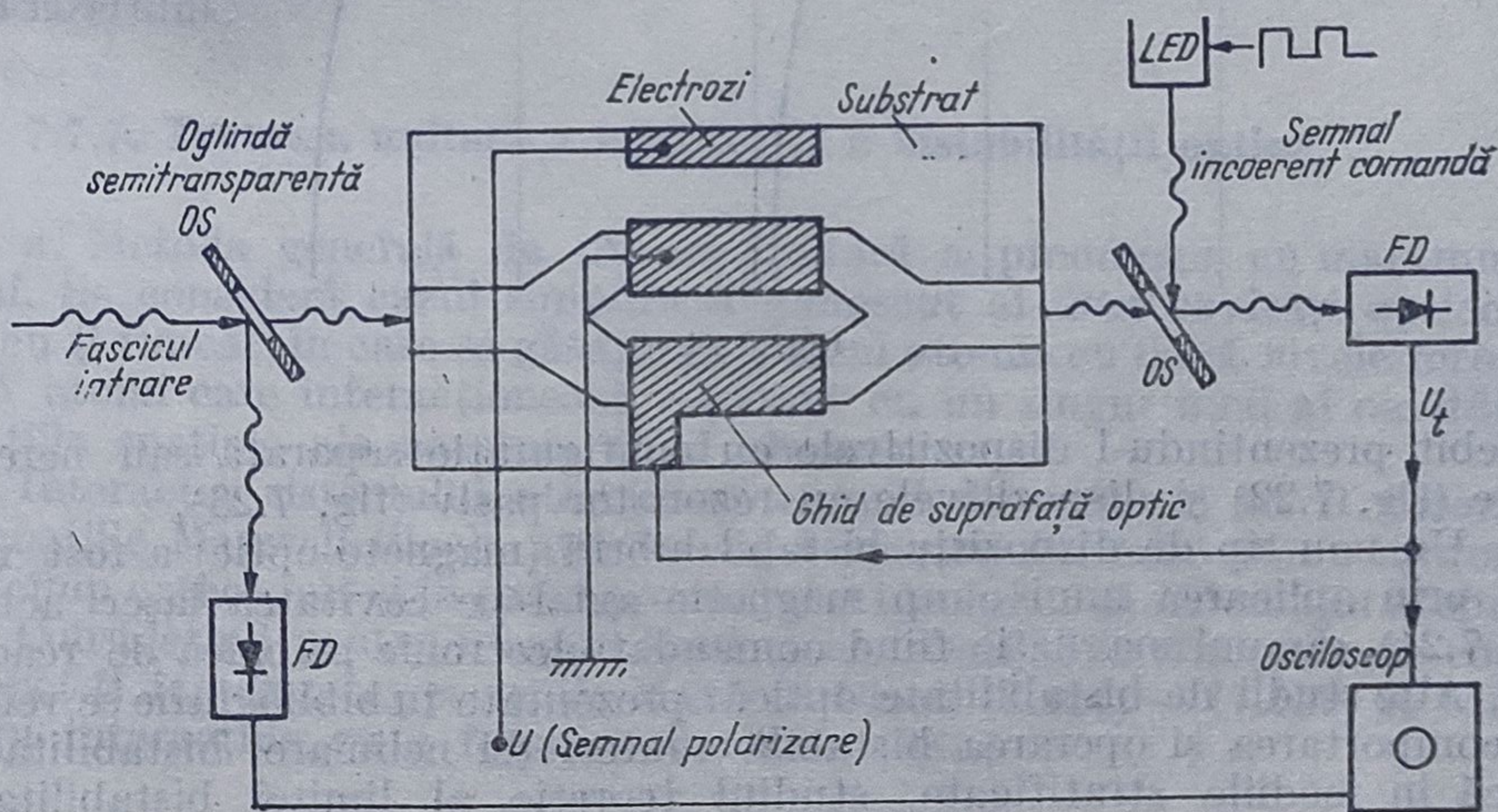


Fig. 7.20

tru dispozitivul propriu-zis cît și pentru bucla de reacție. În figura 7.21 se prezintă caracteristicile de bistabilitate și multistabilitate pentru dispozitivul cu modulator de fază în cavitatea Fabry-Pérot. S-au mai obținut: ecuațiile diferențiale pentru operarea bistabilă și multistabilă, punctele critice ale ciclului histerezis, parametrii de amplificare etc. Dispozitivele bistabile electrooptice cu mai multe tensiuni de reacție au fost analizate cu ajutorul teoremei de stabilitate Liapunov.

Rezultatele experimentale privind mai multe tipuri de dispozitive bistabile cu cristale lichide sînt discutate în lucrările [339, 340] un interes



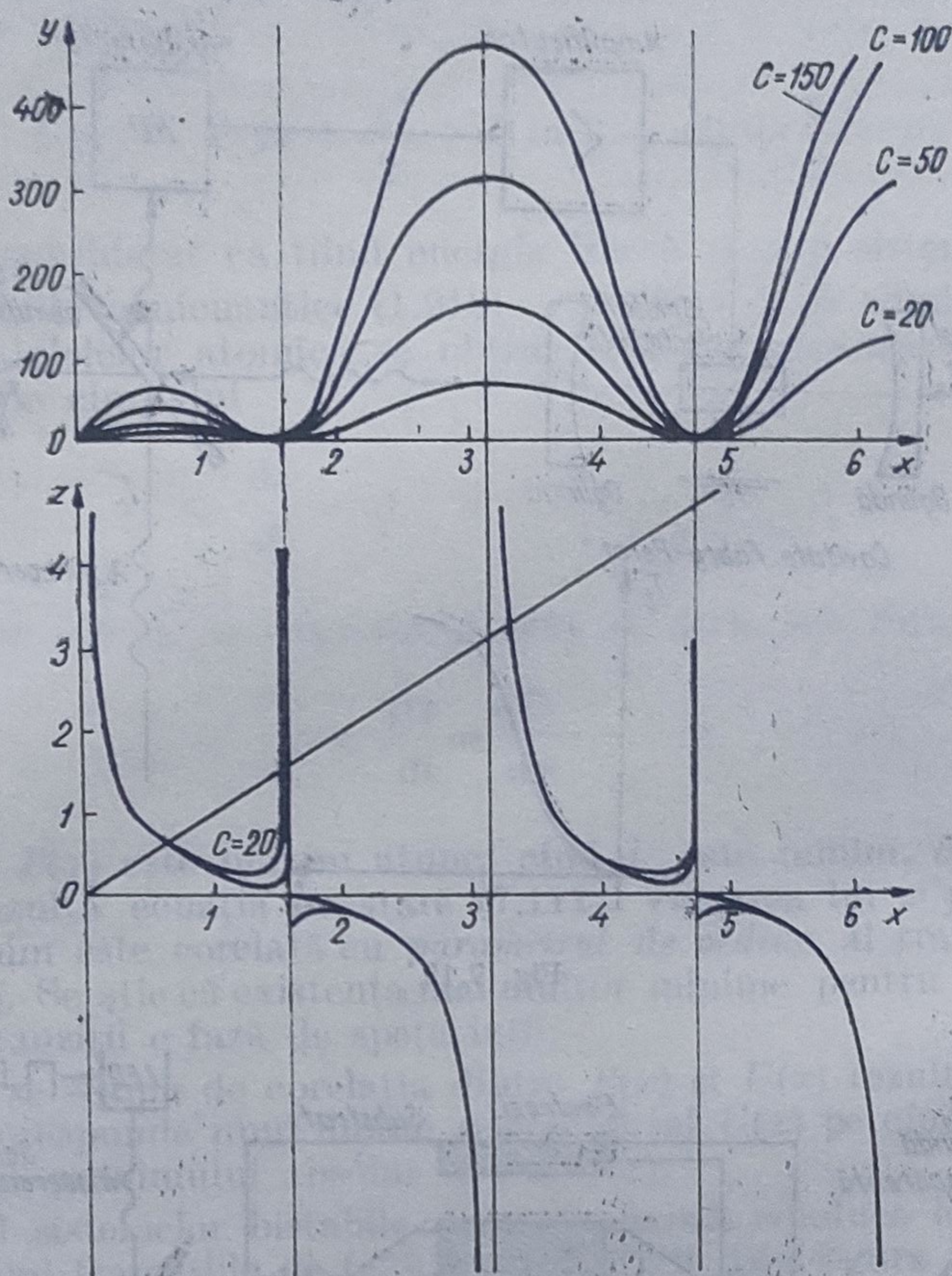


Fig. 7.21

deosebit prezentându-l dispozitivele cu configurație separată sau nerezonante (fig. 7.22) și dispozitivele cu rezonator pasiv (fig. 7.23).

Un nou tip de dispozitiv bistabil hibrid (magneto-optic) a fost realizat prin aplicarea unui câmp magnetic axial pe cavitatea laser activă (fig. 7.24), câmpul magnetic fiind comandat electronic pe calea de reacție [94]. Alte studii de bistabilitate optică, prezentate în bibliografie se referă la: comportarea și operarea bistabilă a interfeței neliniare, bistabilitatea optică în mediile stratificate, studiul teoretic al limitei bistabilitate-autofocalizare etc.

Bistabilitatea optică hibridă prezintă un interes științific și aplicativ deosebit. Se poate menționa în acest sens posibilitatea ridicării performanțelor de viteză și capacitate ale calculatoarelor optice, unde se preconizează utilizarea dispozitivelor optice bistabile

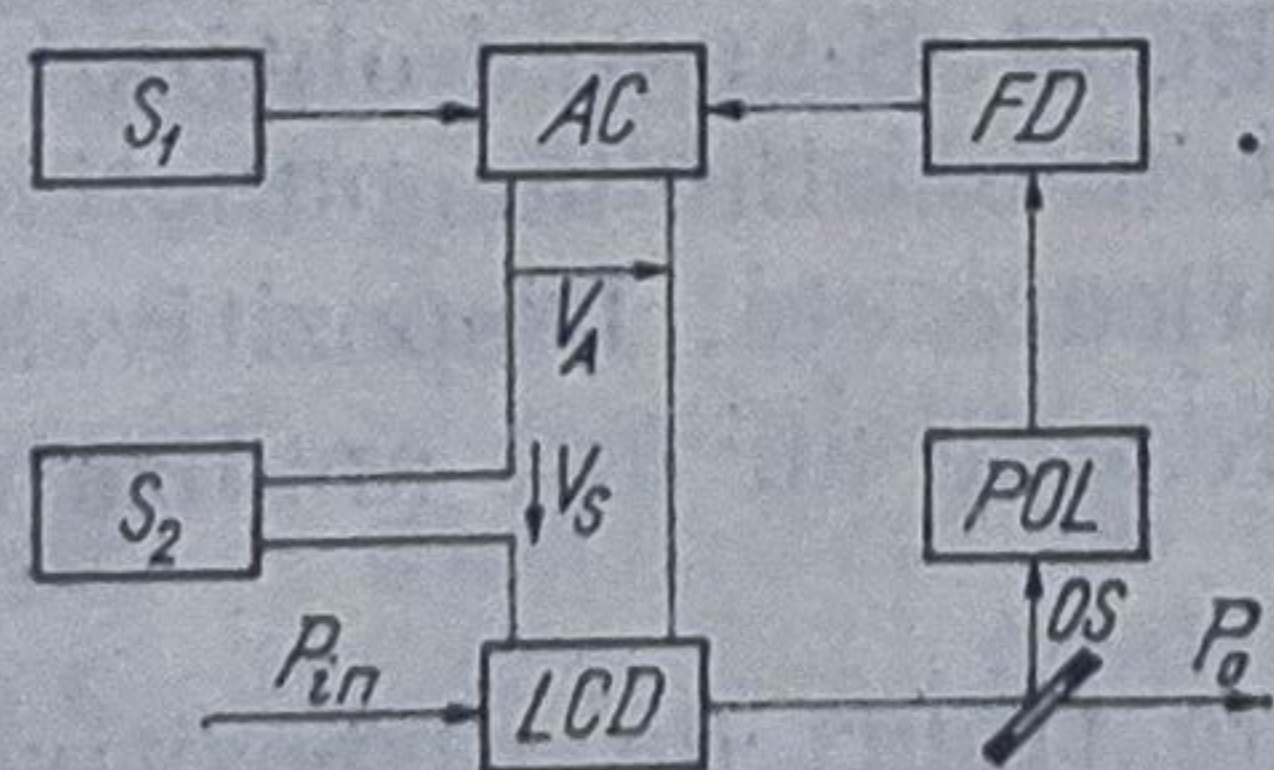


Fig. 7.22

ca elemente de memorie rapidă, pînă la limitele admise de principiile fundamentale ale fizicii. De asemenea, în studiile de bistabilitate pot fi analizate fenomenele de autoreglare și haos ale căror principii generale permit mărirea gradului de ordine a unui sistem fizic sub acțiunea unui flux de energie, ceea ce poate avea implicații



tehnologice dintre cele mai importante. Studiul teoretic al acestor fenomene este dificil din cauza problemelor ridicate de interacția câmpului de radiație electromagnetică cu un sistem atomic extins, precum și datorită caracterului neliniar al ecuațiilor care modelează această interacție.

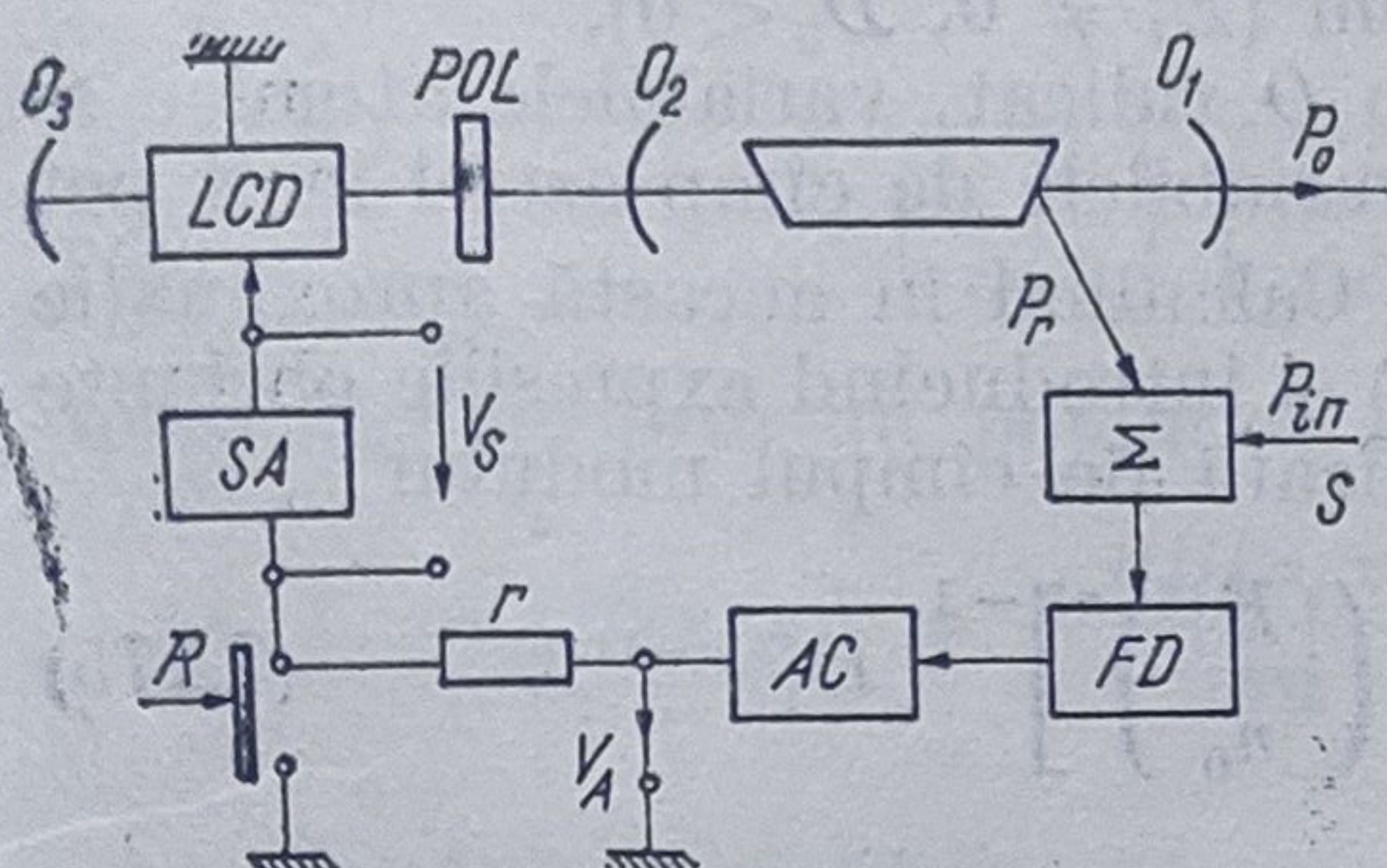


Fig. 7.23

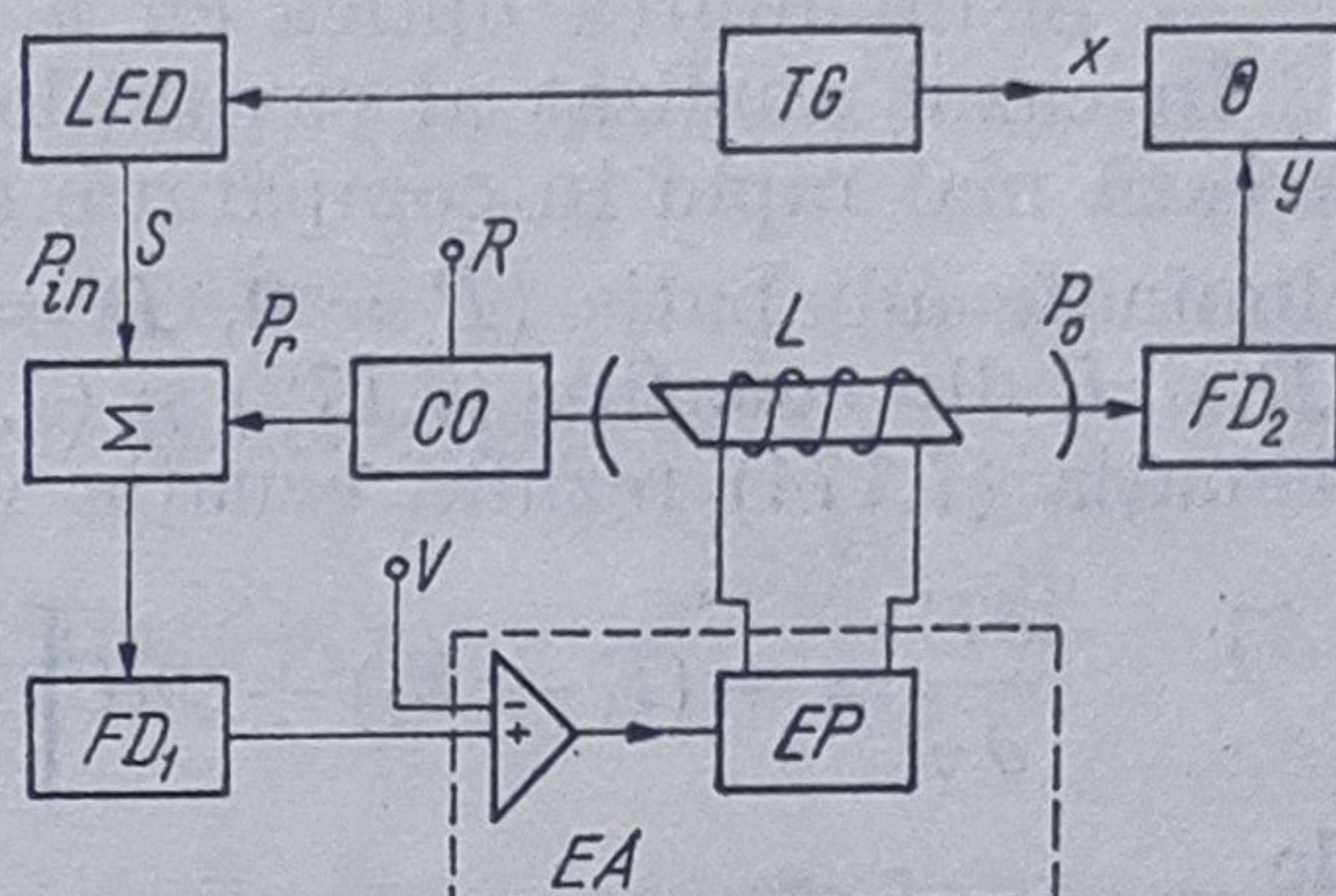


Fig. 7.24

Numeroasele avantaje ale dispozitivelor bistabile dintre care menționăm nivelele foarte mici de putere la care lucrează, posibilitate comutării electronice sau optice, gama largă de lungimi de undă coerente disponibilă, timpul de răspuns extrem de bun și posibilitatea integrării, evidențiază implicațiile ingineresti ale acestui „tranzistor optic”, al cărui impact tehnologic poate fi comparat cu cel al tranzistorului din electronică și cu cel al laserului.

#### 7.7.7. Tratarea unitară a laserilor și a bistabilității optice

a. Metoda generală de tratare unitară a proceselor cu mai mulți fotoni. Se consideră cazul simplificat cunoscut al unei cavități optice în inel, cu  $Q$  ridicat, în care se găsește un sistem atomic cu două nivele format din  $N$  atomi care interacționează rezonant cu un singur mod al cavității, variațiile spațiale ale acestuia fiind absente.

Interacția sistemului atomic cu câmpul de radiație va fi descrisă de ecuațiile Maxwell-Bloch, atât în cazul pompajului coerent, cu ajutorul unui câmp extern, cât și în cazul pompajului incoerent al sistemului atomic.

Considerând pentru început fluctuațiile neglijabile (funcțiile de corelație pot fi factorizate) ecuațiile Maxwell-Bloch (7.157) – (7.159) se scriu pentru interacțiile cu  $n$  fotoni sub forma [381]

$$\dot{P} = -\gamma_{\perp} P + 2gE^n D \quad (7.172)$$

$$\dot{D} = -\gamma_{\parallel} (D - D_0) - g[(E^*)^n P + E^n P^*] \quad (7.173)$$

$$\dot{E} = -K(E - E_r) + ngP(E^*)^{n-1} \quad (7.174)$$

În ecuațiile de mai sus,  $P$  corespunde operatorului polarizare atomică totală,  $D$  operatorului inversie atomică totală, iar  $E$  operatorului câmpului cavității,  $E_r = \mathcal{E}/K$  este o mărime proporțională cu amplitudinea câmpului incident  $\mathcal{E}$ ,  $g$  este un coeficient de cuplaj corespunzător elementelor de matrice pentru tranzițiile multifotonice (cu  $n$  fotoni),  $D_0$  este inversia datorită pompajului incoerent al atomilor ( $D_0 = N/2$  pentru inversie totală), iar  $K$  este rata de amortizare pentru câmpul cavității,  $\gamma_{\parallel}$  și  $\gamma_{\perp}$  având sem-



nificații cunoscute. Sistemul de ecuații (7.172) – (7.174) este general pentru descrierea următoarelor interacții :

- laserul cu  $n$  fotoni ( $E_I = 0, D_0 > 0$ );
- laserul cu  $n$  fotoni cu semnal injectat ( $E_I \neq 0, D_0 > 0$ );
- bistabilitatea optică cu  $n$  fotoni ( $E_I \neq 0, D_0 < 0$ ).

În cazul analizat al cavităților cu  $Q$  ridicat, variabilele atomice se relaxează mai rapid în comparație cu variabilele de câmp astfel încât pot fi eliminate adiabatic ( $\dot{P} = 0, \dot{D} = 0$ ). Calculînd în această aproximație pe  $D$  și  $P$  din ecuațiile (7.172) și (7.173) și introducînd expresiile obținute în ecuația (7.174) rezultă ecuația verificată de câmpul modului

$$\frac{\partial E}{\partial \tau} = -(E - E_I) + 2nC \left[ 1 + \left( \frac{|E|^2}{n_0} \right)^n \right]^{-1} |E|^{2(n-1)} E \quad (7.175)$$

unde

$$n_0 = \left( \frac{\gamma_{||} \gamma_{\perp}}{4g^2} \right)^{1/n}, \quad \tau = Kt, \text{ iar } C = \frac{g^2(-D_0)}{K\gamma_{\perp}}. \quad (7.176)$$

Dacă în ecuația (7.175) se introduc notațiile

$$x = \left( \frac{4g^2}{\gamma_{||} \gamma_{\perp}} \right)^{1/2n} E, \quad y = \left( \frac{4g^2}{\gamma_{||} \gamma_{\perp}} \right)^{1/2n} E_I \text{ și } C_n = 2nC(n_0)^{n-1}, \quad (7.177)$$

pentru regim staționar  $\left( \frac{\partial E}{\partial \tau} = 0 \right)$  se obține caracteristica generală

$$y = x \left[ 1 + \frac{C_n |x|^{2(n-1)}}{1 + |x|^{2n}} \right] \quad (7.178)$$

deosebit de utilă pentru analiza cazurilor specificate mai sus.

Pentru studiul stabilității soluțiilor ecuației (7.178) se folosește metoda analizei liniare care se aplică ecuației (7.175) scrisă sub forma

$$\dot{E} = f(E, E^*) \quad (7.179)$$

sau

$$\dot{E} = KE_I - Eg(I) \quad (7.180)$$

unde  $I = E^2$  ( $g$  este o funcție reală).

Rezultă condițiile de stabilitate sub forma

$$\frac{\partial \text{Re}(f)}{\partial u} + \frac{\partial \text{Im}(f)}{\partial v} < 0 \quad (7.181)$$

$$\frac{\partial \text{Re}(f)}{\partial u} - \frac{\partial \text{Im}(f)}{\partial v} - \frac{\partial \text{Re}f}{\partial v} - \frac{\partial \text{Im}f}{\partial u} > 0 \quad (7.182)$$

unde  $u = \text{Re}(E)$  și  $v = \text{Im}(E)$ , sau echivalent

$$g(I) + I \frac{\partial g(I)}{\partial I} > 0 \quad (7.183)$$

$$g(I) \left( g(I) + 2I \frac{\partial g(I)}{\partial I} \right) > 0 \quad (7.184)$$

$g(I)$  corespunzînd valorii staționare a lui  $I$ .



Condițiile de stabilitate (7.181) și (7.182) se mai scriu astfel

$$\frac{\partial^2 U}{\partial u^2} + \frac{\partial^2 U}{\partial v^2} > 0 \quad (7.185)$$

$$\left( \frac{\partial^2 U}{\partial u^2} \right) \left( \frac{\partial^2 U}{\partial v^2} \right) - \left( \frac{\partial^2 U}{\partial u \partial v} \right)^2 > 0 \quad (7.186)$$

unde  $U(u, v)$  este un potențial definit de ecuațiile

$$\operatorname{Re} \{f(u, v)\} = -\frac{\partial U(u, v)}{\partial u}, \quad \operatorname{Im} \{f(u, v)\} = -\frac{\partial U(u, v)}{\partial v}. \quad (7.187)$$

Conform condițiilor (7.185) și (7.186) sînt stabile soluțiile ecuației (7.178) care corespund minimului local al lui  $U(u, v)$ .

În modelul semicuantic de mai sus fluctuațiile pot fi luate în considerare fenomenologic, adăugînd ecuației de mișcare (7.175) o forță fluctuantă  $\delta$  — corelată,  $\xi(t)$ , astfel încît

$$\langle \xi(t') \xi^*(t) \rangle = \Lambda \delta(t - t') \quad (7.188)$$

$$\langle \xi(t) \xi(t') \rangle = 0. \quad (7.189)$$

Ecuația Fokker-Planck corespunzătoare problemei studiate se scrie ținînd seama de ecuația (7.175) sub forma

$$\begin{aligned} \frac{\partial P(E, E^*, \tau)}{\partial \tau} = & -\frac{\partial}{\partial E} \left\{ -(E - E_I) - 2nC \left[ 1 + \left( \frac{|E|^2}{n_0} \right)^n \right]^{-1} |E|^{2(n-1)} E \right\} P - \\ & -\frac{\partial}{\partial E^*} \left\{ -(E^* - E_I^*) - 2nC \left[ 1 + \left( \frac{|E|^2}{n_0} \right)^n \right]^{-1} |E|^{2(n-1)} E \right\} P + 2\bar{n} \frac{\partial^2 P}{\partial E \partial E^*} \end{aligned} \quad (7.190)$$

unde  $\bar{n} = \Lambda/2K$  reprezintă zgomotul termic corelat cu emisia spontană și cu fluctuațiile cîmpului incident. (Metoda ecuației Fokker-Planck (7.190) este valabilă în cazul în care zgomotul termic de mai sus este dominant în raport cu zgomotul pur cuantic. În caz contrar se utilizează ecuația Fokker-Planck cuantică).

Ecuația (7.190) admite pentru regim staționar o soluție de forma

$$P(E, E^*) = \mathcal{N} e^{-U(E, E^*)} \quad (7.191)$$

unde potențialul  $U(E, E^*)$  avînd expresia

$$U(E, E^*) = \frac{1}{\bar{n}} (|E|^2 - E_I^* E - E_I E^*) \quad (7.192)$$

$$- H \ln \left[ 1 + \left( \frac{|E|^2}{n_0} \right)^n \right]$$

verifică condițiile (7.185) și (7.186), iar  $H = \frac{\gamma_{11} D_0}{\Lambda}$ ,  $\mathcal{N}$  fiind o constantă de normare.



b) Laserul (semnalul injectat absent). *Tranziții cu un foton.* Dacă în ecuația (7.175) se consideră  $n = 1$ ,  $E_I = 0$  și  $D_0 > 0$ , și se pune condiția de regim staționar se obține ecuația

$$x \left( 1 - \frac{C_1}{1 + |x|^2} \right) = 0 \quad (7.193)$$

în concordanță cu ecuația generală (7.178) (se redefinesc  $C_1$  pentru a fi pozitiv  $C_1 = 2g^2 D_0 / K\gamma_{\perp}$ ).

Pentru  $x = re^{i\theta}$ , se obțin soluțiile:  $r = 0$  pentru  $C_1 > 0$  și  $r = \sqrt{C_1 - 1}$  pentru  $C_1 > 1$ ,  $\theta$  fiind arbitrar.

Din condițiile de stabilitate (7.183) și (7.184) scrise pentru  $I = r^2$  sub forma

$$I^2 + 2I + 1 - C_1 > 0 \quad (7.194)$$

$$(I + 1 - C_1) [I^2 + I(C_1 + 2) + 1 - C_1] > 0 \quad (7.195)$$

rezultă că soluția  $r = 0$  este stabilă numai pentru  $C_1 < 1$  astfel încât singura soluție stabilă este  $I = C_1 - 1$  pentru  $C_1 > 1$ , pragul de operare al laserului corespunzând lui  $C_1 = 1$  sau inversiei  $D_0 = \frac{K\gamma_{\perp}}{2g^2}$ .

Potențialul  $U(E, E^*)$  capătă în cazul laserului cu un foton forma

$$U(E, E^*) = \frac{|E|^2}{\bar{n}} - H \ln \left( 1 + \frac{|E|^2}{n_0} \right). \quad (7.196)$$

Din reprezentarea grafică a potențialului  $U(E, E^*)$  rezultă că sub prag acesta prezintă un minim pentru  $r = 0$ . Peste prag, originea  $r = 0$  devine maxim (instabilitate), iar minimul potențialului se atinge pe cercul  $r = \sqrt{C_1 - 1}$ , care corespunde soluției semicuantice stabile.

Calculul momentului  $I'$  al intensității nenormate se face în general, pentru  $n = 1$ , în prezența cîmpului de intrare, conform definiției

$$I' = \int d^2E |E|^{2i} P(E, E^*). \quad (7.197)$$

În cazul particular studiat ( $E_I = 0$ ) formula (7.197) conduce la expresia valorii medii  $\langle n \rangle$

$$\langle n \rangle = \langle a^+ a \rangle = n_0 \frac{U(2, H + 3; n_0/\bar{n})}{U(1, H + 2; n_0/\bar{n})} \quad (7.198)$$

și la cea a funcției de corelație normate de ordinul al doilea  $g^2(0)$ :

$$g^2(0) = \frac{\langle a^{+2} a^2 \rangle}{\langle a^+ a \rangle^2} = 2 \frac{U(3, H + 4; n_0/\bar{n}) U(1, H + 2; n_0/\bar{n})}{[U(2, H + 3, n_0/\bar{n})]^2} \quad (7.199)$$

unde  $U$  este funcția hipergeometrică confluentă de speța a doua.

Din reprezentarea grafică a expresiilor pentru  $\langle n \rangle$  și  $g^2(0)$  se constată că sub prag  $g^2(0) = 0$ , comportare caracteristică zgomotului generat de emisia spontană, pe cînd peste prag  $g^2(0) \rightarrow 1$ , comportare specifică emisiei coerente.



În ceea ce privește distribuția numărului de fotoni, aceasta evoluează de la distribuția Bose-Einstein sub prag către distribuția Poisson peste prag, fiind regăsite astfel rezultatele teoriei cuantice a laserilor.

*Tranziții cu doi fotoni.* Laserul cu doi fotoni este descris de ecuațiile (7.171) și (7.192) pentru  $n = 2$  ( $E_I = 0$ ). Se obține ecuația de stare

$$x \left( 1 - \frac{C_2 |x|^2}{1 + |x|^4} \right) = 0 \quad (7.200)$$

unde  $C_2 = (2gD_0/K) (\gamma_{||}/\gamma_{\perp})^{1/2}$ , care admite soluțiile

$$x = 0 \text{ pentru orice } C_2$$

$$\text{și } |x|^2 = C_2/2 \pm \frac{1}{2} (C_2^2 - 4)^{1/2}, C \geq 2. \quad (7.201)$$

Din condițiile de stabilitate (7.183) și (7.184) scrise sub forma

$$I^4 + 2I^2 - 2C_2I + 1 > 0 \quad (7.202)$$

$$(I^2 - C_2I + 1)(I^4 + C_2I^3 + 2I^2 - 3C_2I + 1) > 0 \quad (7.203)$$

rezultă că soluția  $x = 0$  este stabilă pentru orice  $C_2$ , soluția  $|x|^2 = C_2/2 + \frac{1}{4} (C_2^2 - 4)^{1/2}$  este, de asemenea, stabilă pe când soluția  $|x|^2 = C_2/2 + \frac{1}{2} (C_2^2 - 4)^{1/2}$  este instabilă.

Prin urmare, pentru  $C_2 > 2$  laserul cu doi fotoni are o comportare bistabilă, tranziția pe ramura superioară fiind puternic influențată de fluctuații.

Pe de altă parte, din expresia potențialului (7.192) scris pentru  $n = 2$ , distribuția de probabilitate are sub prag un maxim pentru  $x=0$ , iar peste prag două maxime, corespunzător celor două soluții stabile.

Calculul momentului intensității  $I^{(i)}$  pentru  $n = 2$ , permite evaluarea mărimilor  $\langle a^+a \rangle$  și  $g^2(0)$ . Se constată că spre deosebire de laserul cu un foton, fluctuațiile sînt mult mai pronunțate în zona de tranziție.

c) Laserul cu semnal injectat. *Tranziții cu un foton.* Ecuația de regim staționar (7.178) se scrie în acest caz sub forma

$$y = x \left( 1 - \frac{C_1}{1 + |x|^2} \right) \quad (7.204)$$

unde  $C_1 = 2g^2D_0/K\gamma_{\perp}$ . Se constată că pentru  $y = y_0 e^{i\theta_0}$  și  $x = r e^{i\theta}$ , din ecuația (7.204) rezultă soluția în fază.

$$\theta = \theta_0$$

$$y_0 = r \left( 1 - \frac{C_1}{1 + r^2} \right) \text{ cu } 1 - \frac{C_1}{1 + r^2} > 0 \quad (7.205)$$

și soluția în antifază

$$\theta = \theta_0 + \pi$$

$$y_0 = -r \left( 1 - \frac{C_1}{1 + r^2} \right), 1 - \frac{C_1}{1 + r^2} < 0. \quad (7.206)$$



Din studiul dependenței  $x = f(y)$  se constată următoarele : pentru  $C_1 < 1$ , fiecărei valori a lui  $y$  îi corespunde o valoare a lui  $x$ ; pentru  $C_1 > 1$ , fiecărei valori a lui  $y$  îi corespund mai multe valori pentru  $x$  (pentru  $y < y_m$  rezultă valorile  $x_1, x_2$  și  $x_3$ ).

Întrucît soluțiile  $x_2$  și  $x_3$  (în antifază) nu sînt stabile fiind stabilă numai soluția în fază  $x_1$ , laserul cu semnul injectat nu prezintă bistabilitate.

*Tranziții cu doi fotoni.* Ecuația de stare (7.178) se scrie în cazul tranzițiilor cu doi fotoni sub forma :

$$y = x \left( 1 - \frac{C_2 |x|^2}{1 + |x|^4} \right). \quad (7.207)$$

Ca și în cazul anterior, introducîndu-se notațiile  $y = y_0 e^{i\theta_0}$  și  $x = r e^{i\theta}$  se obține ecuația

$$y_0 = -r \left( 1 - \frac{C_2 r^2}{1 + r^4} \right) \quad (7.208)$$

unde

$$\theta = \begin{cases} \pi, & \text{pentru } 1 - \frac{C_2 r^4}{1 + r^4} > 0 \\ \theta_0 + \pi, & \text{pentru } 1 - \frac{C_2 r^2}{1 + r^4} < 0. \end{cases} \quad (7.209)$$

Sub prag, pentru care  $C_2 = 2$ , cîmpul cavității  $x$  este în fază cu cîmpul de intrare  $y$ . Pentru  $C_2 < 1,14$ ,  $x$  este funcție monotonă de  $y$ , iar pentru  $1,14 < C_2 < 2$  sistemul prezintă bistabilitate (unei valori a lui  $y$  îi corespund trei valori pentru  $x$ ).

Pentru  $C > 2$  dependența lui  $x$  de  $y$  este complicată (cu valori multiple) astfel încît trebuie studiată stabilitatea diferitelor ramuri conform criteriilor (7.183) și (7.184).

Dificultatea realizării laserului cu doi fotoni, determinată de cîștigul inițial scăzut al dispozitivului, este înlăturată în cazul laserului cu doi fotoni cu semnal injectat tocmai de semnalul injectat care îmbunătățește cîștigul inițial.

d) Bistabilitatea optică. *Tranziții cu un foton.* În cazul bistabilității optice ( $E_I \neq 0$ ,  $D_0 < 0$ ), ecuația de stare generală (7.178) se scrie sub forma (7.111)

$$y = x \left( 1 + \frac{2C}{1 + |x|^2} \right) \quad (7.210)$$

unde  $C = g^2 N / 2K\gamma_{\perp}$ . Pentru  $y = y_0 e^{i\theta_0}$  și  $x = r e^{i\theta}$  se obține

$$y_0 = r \left( 1 + \frac{2C}{1 + r^2} \right), \text{ unde } \theta = \theta_0 \quad (7.211)$$

astfel încît cîmpul de ieșire  $x$  este întotdeauna în fază cu cîmpul incident. Comportarea bistabilă determinată de ecuația (7.210) a fost analizată în § 7.7.



Efectul fluctuațiilor care se manifestă printr-o împrăștiere a probabilității, determinată de potențialul  $U(E, E^*)$ , a fost, de asemenea, discutat în paragraful 7.7.

Pe ramura inferioară a caracteristicii de bistabilitate funcția de corelație  $g^2(0) = 2$  (se transmite zgomotul termic), pe când pe ramura superioară  $g^2(0) \simeq 1$  (este transmis numai semnal coerent). În regiunea de tranziție, creșterea însemnată a lui  $g^2(0)$  evidențiază creșterea fluctuațiilor.

*Tranziții cu doi fotoni.* În acest caz, atomi pasivi din cavitate sînt excitați prin tranziții bifotonice. Ecuația de stare (7.178) devine

$$y = x \left( 1 + \frac{C_2 |x|^2}{1 + |x|^4} \right) \quad (7.212)$$

unde  $C_2 = (-2gD_0/K) (\gamma_{||}/\gamma_{\perp})^{1/2}$ .

Pentru  $C_2 > 5,42$ , unei valori a lui  $y$  îi corespund mai multe valori pentru  $x$ , sistemul prezentînd bistabilitate (ramurile inferioară și superioară sînt stabile).

Se constată că în comparație cu bistabilitatea determinată de tranzițiile cu un foton, fluctuațiile pe ramura inferioară sînt mai scăzute.



### III. TEORIA GENERALĂ A PROCESELOR MULTIFOTONICE

#### 8. PROCESE MULTIFOTONICE FUNDAMENTALE

##### 8.1. Caracterizarea generală a proceselor multifotonice fundamentale

O dată cu dezvoltarea laserilor care produc pulsuri gigantice (funcționarea „Q-switch”), cu puteri de vîrf de ordinul  $10^8$  W (sau chiar mult mai mari în regimul „mode-locking”), s-a creat posibilitatea obținerii unor cîmpuri electrice cu intensități mai mari de  $10^6$ – $10^7$  V/cm, care încep să devină comparabile cu intensitatea cîmpurilor electrice atomice  $\sim 3 \cdot 10^8$  V/cm. În urma interacției dintre radiația laser intensă și substanță, proprietățile acesteia se schimbă ca urmare a efectelor neliniare care apar. Descrierea fenomenologică a efectelor neliniare poate fi făcută cu ajutorul polarizării  $\mathbf{P}$ , indusă în mediu, care poate fi dezvoltată în serie de puteri ale cîmpului intens aplicat  $\mathbf{E}$ , sub forma

$$\mathbf{P} = \epsilon_0 \chi^{(1)} \mathbf{E} + \epsilon_0 \chi^{(2)} \mathbf{E}^2 + \epsilon_0 \chi^{(3)} \mathbf{E}^3 + \dots \quad (8.1)$$

Primul termen, care conține susceptibilitatea de ordinul întâi  $\chi^{(1)}$ , caracterizează propagarea liniară a undelor electromagnetice și descrie proprietățile optice liniare ale mediului prin intermediul indicelui de refracție.

Ceilalți termeni, care conțin susceptibilitățile neliniare de diferite ordine  $\chi^{(2)}$ ,  $\chi^{(3)}$ , ..., descriu propagarea undelor electromagnetice într-un mediu în care se manifestă efectele neliniare.

Astfel, termenul al doilea, conține susceptibilitatea neliniară de ordinul doi  $\chi^{(2)}$ , a cărei valoare, cu mult mai mică decît cea de ordinul întâi, a fost pusă în evidență o dată cu generarea celei de-a doua armonici optice, într-un cristal de cuarț care a fost excitat cu un laser cu rubin de mare putere [101].



Efectele neliniare de ordinul doi pot fi descrise cu ajutorul polarizării neliniare corespunzătoare care este o funcție pătratică de amplitudinea câmpurilor [137]

$$P_i(\omega_3, \mathbf{r}) = \frac{1}{2} \chi_{ijk}^{(2)}(-\omega_3; \omega_1, \omega_2) E_j(\omega_1) E_k(\omega_2) \times \\ \times \exp[i(\mathbf{k}_1 + \mathbf{k}_2)\mathbf{r} - i(\omega_1 + \omega_2)t] + \text{c.c.} \quad (8.2)$$

unde  $i, j, k$  specifică coordonatele carteziene. Polarizarea corespunzătoare sumei frecvențelor  $\omega_3 = \omega_1 + \omega_2$  acționează ca o sursă în ecuațiile lui Maxwell

$$\nabla \times (\nabla \times \mathbf{E}) + \frac{1}{c^2} \frac{\partial^2 \mathbf{E}}{\partial t^2} = -\mu_0 \frac{\partial^2 \mathbf{P}}{\partial t^2} \quad (8.3)$$

iar radiația emisă este proporțională cu  $|\chi^{(2)}(\omega_3)|^2$ . Susceptibilitatea neliniară de ordinul doi este de fapt un tensor de ordinul trei, care caracterizează sistemele care nu au centru de inversie.

Relația (8.2) descrie generarea armonicii a doua dacă  $\omega_1 = \omega_2$ . Tot cu ajutorul relației (8.2), dacă se înlocuiește  $\omega_2$  cu  $-\omega_2$  mai pot fi descrise fenomenele de generare parametrică a radiațiilor a căror frecvență este egală cu diferența frecvențelor  $\omega_3 = \omega_1 - \omega_2$ ; fenomenul de „redresare” a luminii care constă în apariția unei tensiuni continue la capetele unui cristal piezoelectric excitat de o radiație intensă pentru care este îndeplinită condiția  $\omega_2 = -\omega_1$ , precum și efectul electrooptic liniar (Pockels) obținut în cazul în care  $\omega_2 = 0$ . Dacă frecvența  $\omega_2$  se află în domeniul undelor radio sau microundelor se obține fenomenul de modulare a frecvenței luminii. Întrucât susceptibilitatea neliniară de ordinul doi determină cuplarea a trei unde electromagnetice, cu ajutorul ei mai pot fi caracterizate și fenomenele de oscilație parametrică.

Deși în medii optice dense un rol important îl joacă corecțiile determinate de câmpurile locale care pot schimba valoarea lui  $\chi^{(2)}$ , descrierea fenomenologică a fenomenelor amintite mai sus nu este afectată de aceste corecții.

Al treilea termen al dezvoltării, care conține susceptibilitatea neliniară de ordinul trei  $\chi^{(3)}$ , determină efecte neliniare ca: absorbția a doi fotoni [125], generarea armonicii a treia [125], împrăștierea Raman stimulată [105], mixarea neliniară [104], dependența indicelui de refracție de intensitate [105, 125], care sînt prezentate în fig. 8.1 a, b, c, d, e, f, pentru atomii de Na.

În medii caracterizate prin existența unui centru de inversie, efectele neliniare de ordinul trei sînt descrise de polarizarea neliniară corespunzătoare care depinde de cubul amplitudinilor câmpului electric printr-o relație de forma:

$$P_i(\omega_4, \mathbf{r}) = \frac{1}{2} \chi_{ijkl}^{(3)}(-\omega_4; \omega_1, \omega_2, \omega_3) \times \\ \times E_j(\omega_1) E_k(\omega_2) E_l(\omega_3) \exp[i(\mathbf{k}_1 + \mathbf{k}_2 + \mathbf{k}_3)\mathbf{r} - i\omega_4 t] + \text{c.c.} \quad (8.4)$$

Și în acest caz polarizarea neliniară de ordinul trei corespunzătoare sumei frecvențelor  $\omega_4 = \omega_1 + \omega_2 + \omega_3$  acționează ca o sursă în ecuația undelor generînd radiații a căror intensitate este proporțională cu  $|\chi_{ijkl}^{(3)}(-\omega_4; \omega_1, \omega_2, \omega_3, \omega_4)|^2$ .



## 8.2. Exemple de procese multifotonice fundamentale

### 8.2.1. Generarea armonicii a treia (fig. 8.1, c)

Fenomenul de generare a armonicii a treia este descris de polarizarea și respectiv susceptibilitatea neliniară de ordinul trei corespunzătoare frecvenței  $\omega_4 = 3\omega_1$ , unde  $\omega_1 = \omega_2 = \omega_3$ . Dependența intensității armonicii generate de dezacordul vectorilor de undă, precum și generarea armonicii a treia prin absorbție rezonantă a doi fotoni vor fi prezentate în §15.2.

### 8.2.2. Absorbția a doi fotoni (fig. 8.1 a și b)

Absorbția a doi fotoni are loc atunci când frecvența corespunzătoare tranziției între două stări  $|g\rangle \rightarrow |f\rangle$  care au aceeași paritate îndeplinește condiția:  $\omega_{gf} = \omega_1 + \omega_2$ .

Absorbția a doi fotoni poate fi obținută și cu ajutorul unui singur fascicul laser dacă  $\omega_1 = \omega_2$  și joacă un rol important în spectroscopia neliniară. Procesul de absorbție a doi fotoni se deosebește de procesele de absorbție în cascadă care implică un singur foton, prin lărgimea liniilor și a ratelor de relaxare care sînt determinate de populația nivelului intermediar (capitolul 17).

### 8.2.3. Efect Raman stimulat (fig. 8.1, c)

Dacă diferența dintre cele două frecvențe  $\omega_1 - \omega_2 = \omega_{fg}$  corespunde despicării energetice a nivelelor  $|f\rangle$  și  $|g\rangle$  și în plus  $\omega_2$  se înlocuiește cu  $-\omega_2$ , ecuația (8.3) descrie procesul de absorbție negativă sau de emisie stimulată a radiației cu frecvența  $\omega_2$  a cărei intensitate este proporțională cu intensitatea radiației cu frecvența  $\omega_1$ . Efectul Raman stimulat astfel obținut poate deveni rezonant dacă frecvența  $\omega_1$  este aproximativ egală cu frecvența de tranziție dintre două nivele care implică un singur foton și a fost observat în Ba și K [104, 125].

### 8.2.4. Fenomene de generare parametrică prin mixarea a patru unde (fig. 8.1, f)

Generarea unei radiații cu frecvența  $\omega_4 = 2\omega_1 + \omega_2$  a cărei intensitate este proporțională cu  $|\chi^{(3)}(-2\omega_1 - \omega_2; \omega_2, \omega_1)|^2$  este posibilă dacă în relația (8.4) se consideră  $\omega_3 = \omega_1$ . Ea a fost observată experimental în vapori de Na [140] și a permis conversia unei radiații cu frecvența corespunzătoare unui laser cu  $\lambda = 10,6 \mu\text{m}$  din domeniul infraroșu, într-o nouă radiație din domeniul ultraviolet. De asemenea, au mai fost obținute radiații cu frecvența  $\omega_4 = 2\omega_1 - \omega_2$ , rezultate în urma înlocuirii frecvenței  $\omega_2$  cu  $-\omega_2$ , în Rb, de exemplu [141] (capitolul 13).

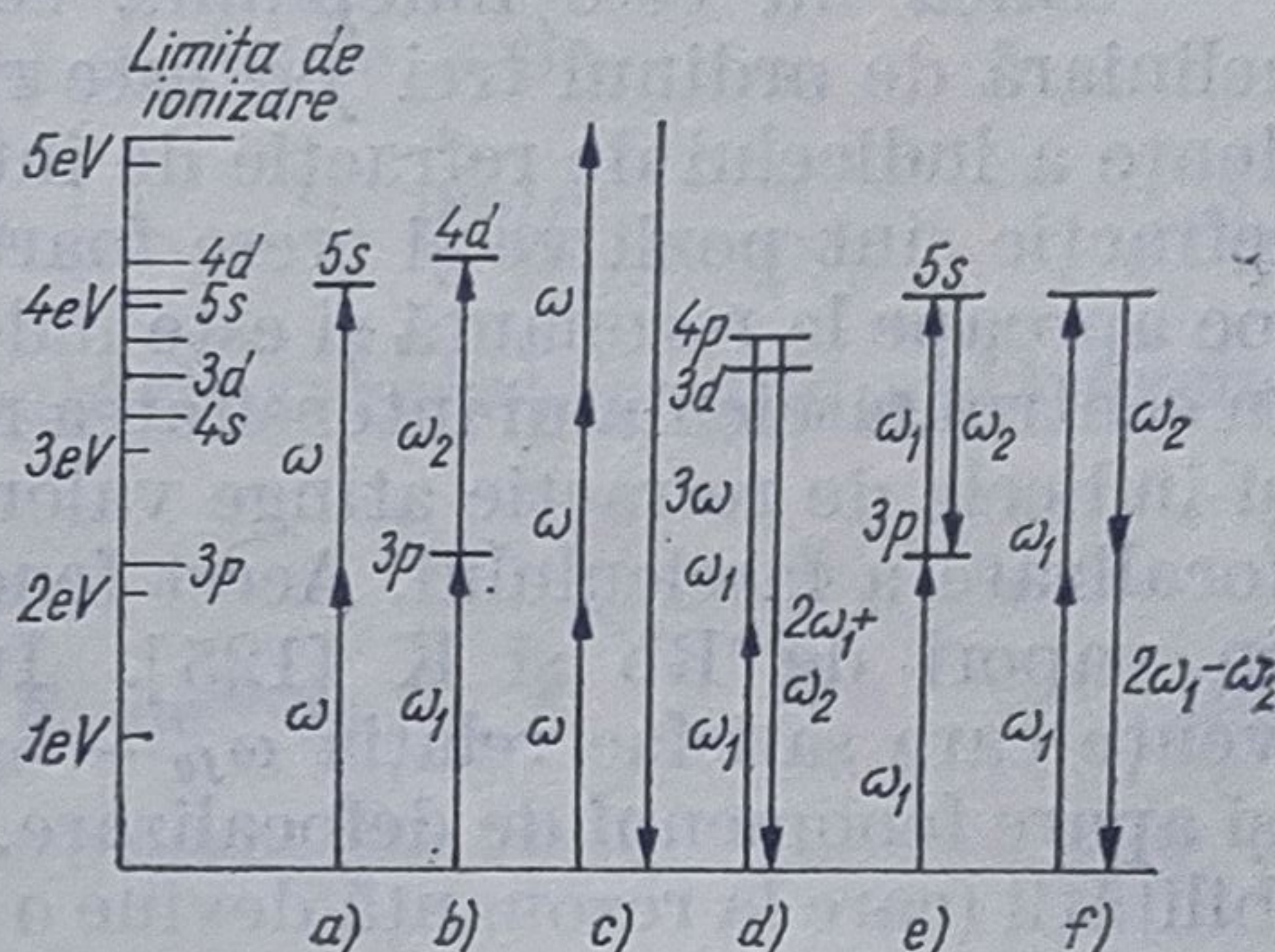


Fig. 8.1.



### 8.2.5. Dependența indicelui de refracție de intensitatea radiației. Saturarea absorbției

În cazul când frecvențele radiațiilor îndeplinesc condițiile  $\omega_3 = \omega_1$ ;  $\omega_2 = -\omega_1$  polarizarea neliniară corespunzătoare frecvenței  $\omega_4 = \omega_1$  este dată de relația :

$$P^{NL}(\omega_1) = \chi^{(3)}(-\omega_1; \omega_1, -\omega_1, \omega_1)E(\omega_1)E^*(\omega_1)E(\omega_1). \quad (8.5)$$

Dacă nu este îndeplinită condiția de rezonanță, susceptibilitatea neliniară de ordinul trei  $\chi^{(3)}$  este reală și aceasta corespunde unei dependențe a indicelui de refracție de intensitatea radiației. Valorile indicelui de refracție sînt pozitive și cresc foarte mult dacă fenomenul de excitare are loc aproape la rezonanță și este îndeplinită condiția  $\omega_{fg} - \omega_1 > 0$ . Întrucît în centrul fasciculului intensitatea radiației este maximă, în această regiune și indicele de refracție atinge valorile cele mai mari, obținîndu-se astfel o focalizare a fasciculului. Acest fenomen de autofocalizare a fost observat în vapori de Rb și K [125]. În apropierea rezonanței, pentru frecvențe care satisfac relația  $\omega_{fg} - \omega_1 < 0$ , susceptibilitatea devine negativă și apare fenomenul de defocalizare. Întrucît și partea imaginară a susceptibilității (care la rezonanță devine o mărime complexă) este negativă, rezultă că și absorbția liniară scade cu creșterea intensității radiației. Acesta este fenomenul de saturare a absorbției care tinde să egalizeze populațiile nivelelor  $|f\rangle$  și  $|g\rangle$  implicate în tranziții.

Studiul efectelor neliniare este determinat de posibilitatea folosirii acestor efecte la producerea convertorilor de frecvență, care transformă radiația unui laser prin fenomenele de generare de armonici sau de mixare neliniară într-o nouă radiație coerentă cu frecvență diferită de cea a sursei, aceasta conducînd la o importantă extindere a spectrului. De asemenea, studiul efectelor neliniare permite obținerea de informații privind proprietățile microscopice ale atomilor și moleculelor care compun mediul neliniar

## 9. TEORIA SUSCEPTIBILITĂȚILOR OPTICE NELINIARE

### 9.1. Deducerea formulei susceptibilității neliniare de ordinul $n$ în aproximația neglijării structurii fine a nivelelor energetice

Pentru a deduce formula susceptibilității neliniare de ordinul  $n$ , se consideră că răspunsul mediului aflat în interacție cu un cîmp electric exterior are un caracter local din punct de vedere al întinderii spațiale. Această aproximație care caracterizează majoritatea proceselor neliniare



care au loc în medii gazoase se bazează pe luarea în considerație numai a interacțiilor electrice de dipol. Dacă se iau în calcul interacțiile de multipol apar variații spațiale ale câmpurilor datorită forțelor de interacție intermoleculare. Fenomenele legate de contribuția termenilor de multipol joacă un rol important în procesele de ionizare care se produc prin absorbția a doi fotoni, în cele de generare a armonicii a doua în domeniul micro-undelor și altele, care în ultimul timp prezintă un interes din ce în ce mai mare.

Dacă se neglijează polarizarea spontană care există în mediu în absența câmpului, pe baza relației (9.1) se poate scrie

$$P(t) = P^{(0)} + P^{(1)}(t) + P^{(2)}(t) + \dots + P^{(r)}(t) + \dots \quad (9.1)$$

Polarizarea de ordinul  $r$ ,  $P^{(r)}(t)$ , poate fi exprimată cu ajutorul transformatei Fourier

$$E(\omega) = \frac{1}{2\pi} \int_{-\infty}^{+\infty} E(\tau) e^{i\omega\tau} d\tau \quad (9.2)$$

a câmpului electric aplicat,

$$E(t) = \int_{-\infty}^{+\infty} E(\omega) e^{-i\omega t} d\omega \quad (9.3)$$

printr-o relație de forma

$$P^{(r)}(t) = \varepsilon_0 \int_{-\infty}^{+\infty} d\omega_1 \dots \int_{-\infty}^{+\infty} d\omega_r \chi_{\sigma\alpha_1 \dots \sigma_r}^{(r)}(\omega_1, \dots, \omega_r) \times \\ \times E_{\alpha_1}(\omega_1) \dots E_{\alpha_r}(\omega_r) e^{-it \sum_{m=1}^r \omega_m} \quad (9.4)$$

în care  $\chi_{\sigma\alpha_1 \dots \sigma_r}^{(r)}$  reprezintă tensorul susceptibilității de ordinul  $r$ . Tensorul susceptibilității poate fi ales în așa fel încât să fie invariant față de  $r!$  permutări ale perechilor  $\alpha_1\omega_1, \alpha_2\omega_2, \dots, \alpha_r\omega_r$ , aceasta fiind așa-numita proprietate de permutare a simetriilor.

Pentru a obține formula explicită a tensorului susceptibilității se consideră un mediu de volum  $V$  care conține  $N$  particule încărcate (electroni sau ioni) cu sarcinile  $q_i$  și cu vectorii de poziție  $r_i$ . Dacă nu se ia în considerare câmpul magnetic generat de câmpul electric  $E(t)$ , iar sistemul de particule este considerat ca un întreg, momentul de dipol  $d$  al sistemului de particule încărcate este:

$$d = \sum_i q_i r_i. \quad (9.5)$$

Polarizarea macroscopică, definită ca fiind media momentului de dipol pe unitatea de volum, este dată de relația:

$$P(t) = V^{-1} \langle d \rangle. \quad (9.6)$$



Cu ajutorul operatorului densitate al sistemului de particule  $\rho(t)$ , relația (9.6) se mai poate scrie astfel\* (anexa 1)

$$P(t) = V^{-1} \text{Urm}\{\rho(t)d\}. \quad (9.7)$$

Ecuția de mișcare a operatorului densitate  $\rho$ , care descrie evoluția în timp a sistemului de particule este\*

$$i\hbar \frac{d}{dt} \rho(t) = [H, \rho(t)] = [H_0 + H_i(t), \rho(t)] \quad (9.8)$$

unde hamiltonianul întregului ansamblu  $H$  (sistem de particule + câmp) este format din hamiltonianul sistemului neperturbat  $H_0$  și din hamiltonianul ce caracterizează interacția

$$H_i(t) = -dE(t). \quad (9.9)$$

Rezolvarea ecuației (9.8) se face pe baza teoriei perturbațiilor (anexa 3), admitînd pentru operatorul densitate o dezvoltare în serie de puteri de forma

$$\rho(t) = \rho_0 + \rho_1(t) + \rho_2(t) + \dots + \rho_r(t) + \dots \quad (9.10)$$

În relația (9.10)

$$\rho_0 = \frac{e^{-H_0/kT}}{\text{Urm}\{e^{-H_0/kT}\}} \quad (9.11)$$

reprezintă operatorul densitate la echilibru,  $k$  constanta lui Boltzmann iar  $T$  temperatura absolută.

Pe baza modelului prezentat în lucrarea [108] elementul de matrice de ordinul  $r$  al operatorului densitate  $\rho(t)$  se determină cu ajutorul relației generale

$$U_0(-t) \rho_r(t) U_0(t) = i\hbar^{-r} \int_{-\infty}^t dt_1 \int_{-\infty}^{t_1} dt_2 \dots \int_{-\infty}^{t_{r-1}} dt \times \\ \times [H'_i(t_1), [H'_i(t_2) \dots [H'_i(t_r), \rho_0]] \dots] \quad (9.12)$$

$$\text{unde } H'_i(t) = U_0(-t) H_i(t) U_0(t) \quad (9.13)$$

$$\text{iar } U_0(t) = e^{-\frac{i}{\hbar} H_0 t} \quad (9.14)$$

reprezintă operatorul de evoluție în timp în absența perturbației care se bucură de proprietățile

$$U_0(0) = 1 \quad (9.15)$$

$$U_0(t) U_0(-t) = 1. \quad (9.16)$$

Înlocuind relația (9.10) în relația (9.7) se obține pentru polarizarea neliniară de ordinul  $r$  expresia :

$$P^{(r)}(t) = V^{-1} \cdot \text{Urm}\{\rho_r(t)d\} \text{ pentru } r \neq 0 \quad (9.17)$$

\* În continuare, pentru simplificarea scrierii nu se mai specifică operatorii prin simbolul grafic.



Tensorul susceptibilității de ordinul  $r$  se obține în urma înlocuirii expresiei (9.12) în (9.17) și comparării cu relația (9.4), sub forma

$$\begin{aligned} \chi_{\alpha\alpha_1, \dots, \alpha_r}^{(r)}(\omega_1, \dots, \omega_r) = & \frac{1}{r!} \sum \frac{1}{V(-i\hbar)^r} \int_{-\infty}^0 dt_1 \int_{-\infty}^{t_1} dt_2 \times \\ & \times \dots \int_{-\infty}^{t_{r-1}} dt_r \text{Urm}\{\rho_0[ \dots [[d_\alpha, d_{\alpha_1}(t_1), d_{\alpha_2}(t_2) \dots \times \\ & \times d_{\alpha_r}(t_r)]]] \} \cdot \exp \left[ -i \sum_{m=1}^r \omega_m t_m \right]. \end{aligned} \quad (9.18)$$

În relația (9.18) însumarea are loc după toate cele  $r!$  permutări ale perechilor  $\alpha_1\omega_1, \dots, \alpha_r\omega_r$ .

Dacă se consideră că sistemul este format dintr-un număr  $N$  de particule (atomi sau molecule) independente, hamiltonianul și respectiv momentul de dipol al întregului sistem se înlocuiesc în relațiile (9.5) și (9.8) cu sume de forma

$$H_0 = \sum_m H_m \quad (9.19)$$

$$\mathbf{d} = \sum_m \mathbf{d}_m. \quad (9.20)$$

De asemenea, operatorul densitate al întregului sistem la echilibru este dat de produsul celor  $N$  operatori ai particulelor care compun sistemul

$$\rho_0 = \rho_1 \dots \rho_m \dots \rho_N \quad (9.21)$$

$$\text{unde: } \rho_m = \left[ \frac{e^{-H_0/kT}}{\text{Urm}\{e^{-H_0/kT}\}} \right]^{1/N} \cdot e^{-\frac{H_m}{kT}}. \quad (9.22)$$

Similar, se poate scrie

$$U_0(t) = e^{-\frac{i}{\hbar} H_0 t} = U_1(t) U_2(t) \dots U_m(t) \dots U_N(t) \quad (9.23)$$

unde

$$U_m(t) = e^{-\frac{i}{\hbar} H_m t}. \quad (9.24)$$

Deși modelul sistemului format din  $N$  particule independente prezentat prin relațiile (9.19)–(9.24) este numai aproximativ, cu ajutorul lui se poate pune în evidență conținutul fizic al susceptibilităților.

Notînd cu  $\mathbf{e}_i$  vectorii unitate ai polarizării și cu  $a, b_1, \dots, b_n$  stările energetice ale particulelor sistemului (atomi, molecule) considerate în



repaus (a specificînd starea fundamentală), în urma calculului integralelor din relația (9.18) se obține pentru susceptibilitatea neliniară de ordinul  $n$  relația

$$\chi_{\alpha\alpha_1, \dots, \alpha_n}^{(n)}(-\omega_\sigma; \omega_1 \dots \omega_n) = S_T \frac{n_0}{n! \hbar^n \epsilon_0} \sum_{ab_1 \dots b_n} \rho_{aa}^0 \times$$

$$\times \frac{\epsilon_\sigma^* d_{ab_1}^\sigma \epsilon_1 d_{b_1 b_2}^{\alpha_1} \dots \epsilon_n d_{b_{n-1} b_n}^{\alpha_{n-1}}}{(\omega_{ab_1} - \omega_1 - \omega_2 - \dots - \omega_n)(\omega_{ab_2} - \omega_2 - \omega_3 - \dots - \omega_n) \dots (\omega_{ab_n} - \omega_n)} \quad (9.25)$$

Operația de însumare din relația (9.25) are loc după toate stările excitate legate urmînd ca pentru stările libere suma să fie înlocuită printr-o integrală;  $S_T$  reprezintă așa numita operație de simetrizare totală, conform căreia însumarea mai trebuie să aibă loc și după cele  $n!$  permutări ale perechilor  $\alpha_1 \omega_1, \dots, \alpha_n \omega_n$ . Pentru deducerea formulei susceptibilității neliniare de ordinul  $n$  (9.25) s-a ținut seama că frecvențele de tranziție  $\omega_{ij}$  între două stări de energie  $E_i$  și  $E_j$  verifică relația  $\omega_{ij} = -\omega_{ji}$ , iar

$$\omega_\sigma = \omega_1 + \dots + \omega_n. \quad (9.26)$$

În relația (9.25)  $n_0 = \frac{N}{V}$  reprezintă densitatea de particule, iar

$\rho_{aa}^0$  probabilitatea de ocupare a nivelului fundamental la echilibru termic. Considerînd starea atomilor sau moleculelor aflate în mișcare de rotație descrisă de vectorul de stare  $|\gamma J N\rangle$ , probabilitatea de ocupare a nivelului fundamental poate fi scrisă astfel

$$\sum_a \rho_{aa}^0 = \sum_{N_a} \rho(\gamma_a J_a N_a) \quad (9.27)$$

unde  $\rho(\gamma_a J_a)$  reprezintă probabilitatea ca molecula neperturbată din exterior să ocupe o stare de energie  $\hbar \Omega_{\gamma_a J_a N_a}$  cu degenerarea  $2J_a + 1$ , numărul cuantic  $N_a$  specificînd starea energetică.

Admițînd că vectorii polarizare  $\epsilon_i$  și  $\epsilon_i^*$  (sau componentele cîmpurilor  $E(\omega_i)$ ,  $E^*(\omega_i)$  la frecvențele  $\omega_i$ ) acționează ca niște operatori de creare

respectiv de anihilare a fotonilor, relația (9.25) poate fi reprezentată și grafic ca în fig. 9.1.

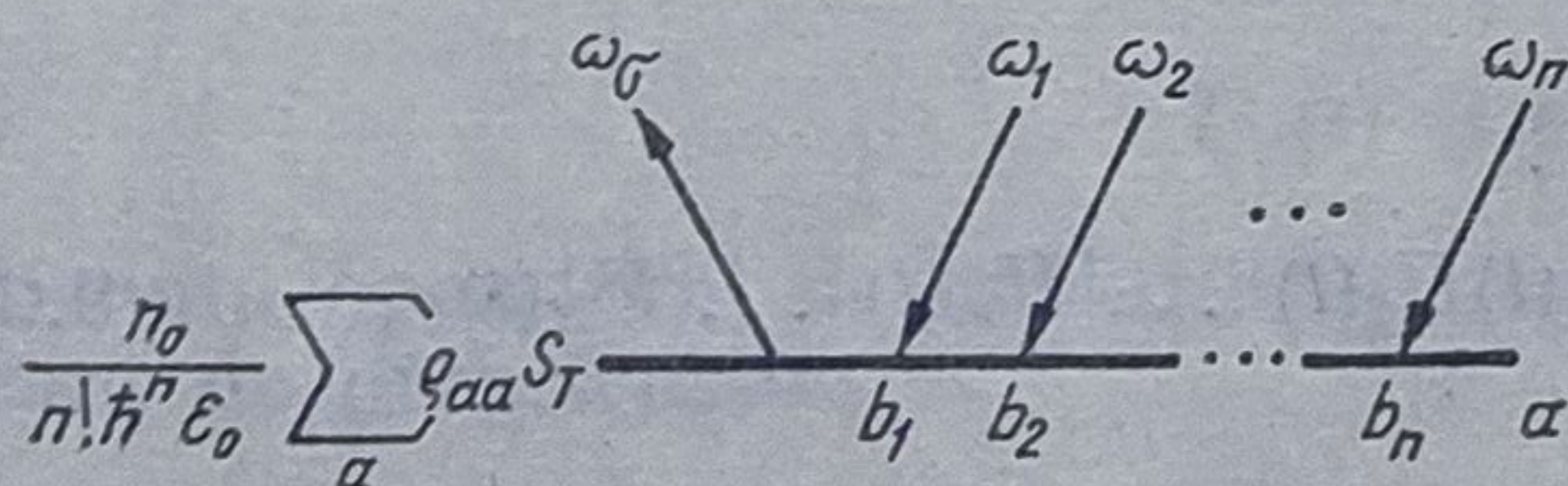


Fig. 9.1.

Într-o astfel de reprezentare săgeata cu vîrfurile în jos specifică fenomenul de absorbție al unui foton cu frecvență pozitivă  $\omega_i$ , care este asociat

cu anihilarea sa, iar săgeata cu vîrfurile în sus specifică fenomenul de emisie al unui foton cu frecvență negativă  $(-\omega_i)$ , care la rîndul său este asociat cu crearea sa. Această reprezentare poate fi folosită la calculul susceptibilităților neliniare de diferite ordine.

Astfel, în cazul susceptibilității neliniare de ordinul trei pentru

$$\omega_1 = \omega_2 = \omega_3 = \omega \quad (9.28)$$



relația (9.25) devine

$$\begin{aligned} \chi^{(3)}(-3\omega; \omega, \omega, \omega) = \frac{n_0}{\hbar^3 \epsilon_0} \sum_{ab_1b_2b_3} \rho_{aa}^0 \times & \left[ \frac{\epsilon_{3\omega}^* \cdot d_{ab_1} \epsilon_{\omega} \cdot d_{b_1b_2} \cdot \epsilon_{\omega} \cdot d_{b_2b_3} \epsilon_{\omega} \cdot d_{b_3a}}{(\omega_{b_1a} - 3\omega)(\omega_{b_2a} - 2\omega)(\omega_{b_3a} - \omega)} + \right. \\ & + \frac{\epsilon_{\omega} \cdot d_{ab_1} \epsilon_{3\omega}^* \cdot d_{b_1b_2} \epsilon_{\omega} \cdot d_{b_2b_3} \epsilon_{\omega} \cdot d_{b_3a}}{(\omega_{ab_1} + \omega)(\omega_{b_2a} - 2\omega)(\omega_{b_3a} - \omega)} + \frac{\epsilon_{\omega} \cdot d_{ab_1} \epsilon_{\omega} \cdot d_{b_1b_2} \epsilon_{3\omega}^* \cdot d_{b_2b_3} \epsilon_{\omega} \cdot d_{b_3a}}{(\omega_{b_2a} + \omega)(\omega_{b_3a} + 2\omega)(\omega_{b_3a} - \omega)} + \\ & \left. + \frac{\epsilon_{\omega} \cdot d_{ab_1} \epsilon_{\omega} \cdot d_{b_1b_2} \epsilon_{\omega} \cdot d_{a_2b_3} \epsilon_{3\omega}^* d_{b_3a}}{(\omega_{b_1a} + \omega)(\omega_{b_2a} + 2\omega)(\omega_{b_3a} + 3\omega)} \right]. \end{aligned} \quad (9.29)$$

Operația de simetrizare totală  $S_T$  din relația (9.25) conduce la patru termeni diferiți, fiecare din ei apărînd de șase ori în suma după toate stările energetice, conform reprezentării grafice din figura 9.2.

Analizînd relația (9.25) se observă că dacă este îndeplinită condiția de rezonanță, expresia susceptibilității devine infinită. În acest caz trebuie să se țină seama de forțele de interacție dintre particulele care compun sistemul și de pierderi [192].

Metoda generală de calcul a susceptibilităților neliniare de diferite ordine, cu luarea în considerație a pierderilor care au loc în sistem, a fost elaborată de către N. Bloembergen și Y. R. Shen în lucrarea [109] pe baza generalizării expresiilor susceptibilităților obținute pentru un dielectric neliniar ideal [110].

În acest caz, la hamiltonianul sistemului din relația (9.8) mai trebuie adăugat încă un termen care caracterizează pierderile și procesele de relaxare, iar ecuația de mișcare pentru operatorul densitate devine

$$i\hbar \dot{\rho} = [H_0, \rho] + [H_i, \rho] + i\hbar \left( \frac{\partial \rho}{\partial t} \right)_p \quad (9.30)$$

Elementele de matrice diagonale și nediagonale care caracterizează pierderile se calculează cu ajutorul relațiilor

$$\left( \frac{\partial \rho_{aa}}{\partial t} \right)_p = \sum_n w_{an} \rho_{nn} - \sum_n w_{na} \rho_{aa} \quad (9.31)$$

$$\left( \frac{\partial \rho_{ab}}{\partial t} \right)_p = -\gamma_{ab} \rho_{ab}. \quad (9.32)$$

Cele  $N$  elemente diagonale ale matricei care caracterizează pierderile determină  $N - 1$  timpi de relaxare longitudinală  $T_i$ , iar valorile lor inverse

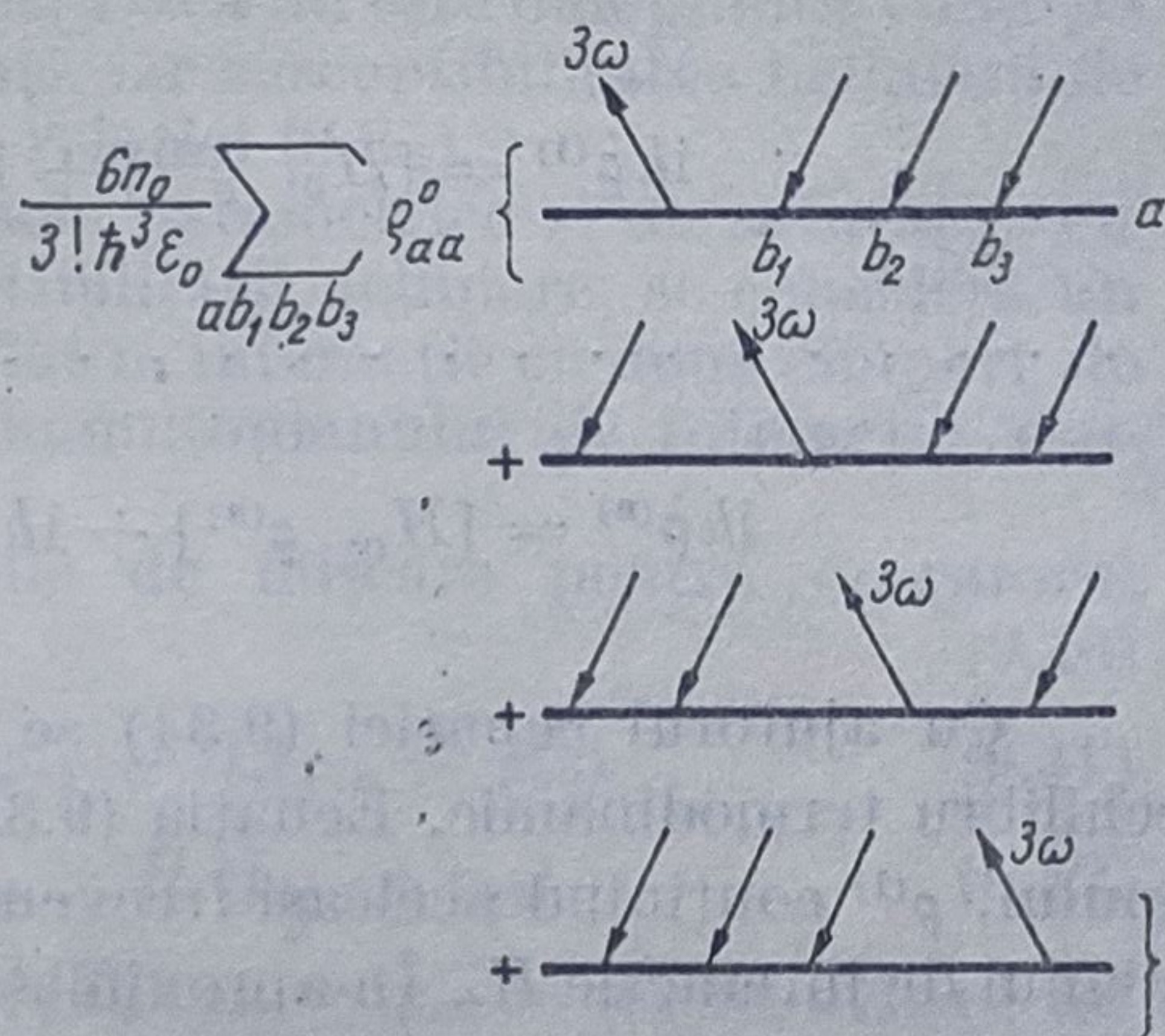


Fig. 9.2.



sînt tocmai valorile proprii ale determinantului ratelor de tranziție  $w_{nn}$ . Elementele nediagonale sînt legate de ratele de tranziție  $w_{ab}$ ,  $w_{ba}$  care sînt determinate de valorile finite ale timpilor de viață. În cazul particular al unui sistem cuantic cu două nivele energetice  $a$  și  $b$ , ratele de relaxare  $\gamma_{ab}$  sînt date de relația

$$\gamma_{ab} = \frac{1}{2T_1} = w_{ab} + w_{ba} \quad (9.33)$$

unde  $\gamma_{ab} = T_2^{-1}$  (§ 1.6).

Soluția pentru operatorul densitate care determină o stare staționară a sistemului, se caută sub forma unei serii de puteri care verifică ecuațiile

$$i\hbar \dot{\rho}^{(0)} = [H_0, \rho^{(0)}] + i\hbar \left( \frac{\partial}{\partial t} \right) \rho_p^{(0)} \quad (9.34)$$

$$i\hbar \dot{\rho}^{(1)} = [H_0, \rho^{(1)}] + i\hbar \left( \frac{\partial}{\partial t} \right) \rho_p^{(1)} + [H_i, \rho^{(0)}] \quad (9.35)$$

.....

$$i\hbar \dot{\rho}^{(n)} = [H_0, \rho^{(n)}] + i\hbar \left( \frac{\partial}{\partial t} \right) \rho_p^{(n)} + [H_i, \rho^{(n-1)}]. \quad (9.36)$$

Cu ajutorul ecuației (9.34) se poate calcula operatorul densitate la echilibru termodinamic. Ecuația (9.35) determină răspunsul liniar al sistemului,  $\rho^{(1)}$  conținînd aceleași frecvențe ca și cele care intervin în hamiltonianul de interacție  $H_i$ . În aproximația de ordinul doi,  $\rho^{(2)}$  pune în evidență procesele parametrice întrucît conține frecvențe corespunzătoare sumei, diferenței armonicilor cîmpului excitator, cît și termeni liberi ca rezultat al interacției dintre doi termeni care conțin frecvențe egale dar de semn contrar. Termenii liberi pun în evidență, în primă aproximație, efectele de saturație. Înlocuind pe  $\rho^{(2)}$  în ecuația care conține pe  $\rho^{(3)}$  se obțin componentele Fourier ale operatorului densitate într-o nouă aproximație ș.a.m.d.

Astfel, considerînd că sistemul interacționează cu două cîmpuri de frecvențe  $\omega_1$  și  $\omega_2$ , hamiltonianul de interacție este

$$H_i = -\mathbf{d}(\mathbf{E}_1 e^{-i\omega_1 t} + \mathbf{E}_2 e^{-i\omega_2 t}). \quad (9.37)$$

Termenul liniar nediagonal care conține frecvența  $\omega_1$  se poate scrie

$$\{\rho_{n''n'}^{(1)}\}_{(\omega_1)} = \frac{1}{2\hbar} \cdot \frac{\mathbf{d}_{n''n'} \cdot \mathbf{E}_1}{\omega_1 - \omega_{n''n'} + i\gamma_{n'n'}} (\rho_{n''n'}^{(0)} - \rho_{n'n''}^{(0)}) \quad (9.38)$$

unde  $\rho_{n''n'}^{(0)}$  este dat de relația (9.10). Expresii similare se obțin și pentru termenii care conțin frecvențele  $-\omega_1$  și  $\pm\omega_2$ .

Ținînd seama de expresia termenului liniar  $\rho^{(1)}$ , se poate calcula cu ajutorul ecuației (9.36), termenul  $\rho^{(2)}$  în aproximația de ordinul doi, prin



înlocuirea indicelui  $n$  cu valoarea doi, sub forma

$$\begin{aligned} \{\rho_{nn'}^{(2)}\}^{(\omega_1+\omega_2)} = & \sum_{n'' \neq n, n'} \frac{(\mathbf{d}_{nn''} \mathbf{E}_2) (\mathbf{d}_{n''n'} \cdot \mathbf{E}_1)}{4\hbar^2(\omega_1 + \omega_2 - \omega_{nn'} + i\gamma_{nn'})} \times \\ & \times \left( \frac{\rho_{n'n'}^{(0)} - \rho_{n''n''}^{(0)}}{\omega_1 - \omega_{n'n'} + i\gamma_{n'n'}} + \frac{\rho_{nn}^{(0)} - \rho_{n''n''}^{(0)}}{\omega_2 - \omega_{nn''} + i\gamma_{nn''}} \right) + \\ & \sum_{n'' \neq n, n'} \frac{(\mathbf{d}_{nn''} \mathbf{E}_1) (\mathbf{d}_{n''n'} \mathbf{E}_2)}{4\hbar^2(\omega_1 + \omega_2 - \omega_{nn'} + i\gamma_{nn'})} \cdot \left( \frac{\rho_{n'n'}^{(0)} - \rho_{n''n''}^{(0)}}{\omega_2 - \omega_{n''n'} + i\gamma_{n''n'}} + \frac{\rho_{nn}^{(0)} - \rho_{n''n''}^{(0)}}{\omega_1 - \omega_{nn''} + i\gamma_{nn''}} \right). \end{aligned} \quad (9.39)$$

Folosind acest procedeu se pot obține expresiile termenilor  $\rho^{(n)}$  în diferite ordine de aproximație, iar cu ajutorul lor se poate calcula expresia polarizării și respectiv a susceptibilității corespunzătoare.

La rezonanță, termenii  $i\gamma_{nn}$  joacă un rol foarte important în evidențierea efectelor parametrice și de saturație. Dacă nu este îndeplinită condiția de rezonanță, termenii  $i\gamma_{nn}$  pot fi neglijăți, iar susceptibilitatea neliniară de diferite ordine se calculează cu ajutorul relației (9.25).

Pentru a pune în evidență procesele parametrice și de saturație cu ajutorul polarizării, respectiv a susceptibilității neliniare, se consideră un sistem cu două nivele energetice  $a$  și  $b$  aflat în interacție cu două câmpuri de frecvențe  $\omega_1$  și  $\omega_2$ , astfel că expresia hamiltonianului de interacție este dată de relația (9.37).

Considerînd că  $\gamma_{ab}^{-1} = T_2$ , ecuațiile de mișcare pentru operatorul densitate devin

$$i\hbar \dot{\rho}_{ab} = -\hbar(\omega_{ba} + i/T_2)\rho_{ab} + H_i(\rho_{bb} - \rho_{aa}) \quad (9.41)$$

$$i\hbar \dot{\rho}_{ba} = \hbar(\omega_{ba} - i/T_2)\rho_{ba} - H_i(\rho_{bb} - \rho_{aa}) \quad (9.42)$$

$$i\hbar(\dot{\rho}_{bb} - \dot{\rho}_{aa}) = 2(H_i\rho_{ab} - \rho_{ba}H_i) - (i\hbar/T_1)(\rho_{bb} - \rho_{aa} - \rho_{bb}^{(0)} + \rho_{aa}^{(0)}) \quad (9.43)$$

$$\rho_{aa} + \rho_{bb} = 1. \quad (9.44)$$

Admițînd că operatorul momentului de dipol are numai elemente nediagonale, în aproximația de ordinul întâi rezultă

$$\rho_{ba}^{(1)}(\omega_1) = -\frac{\mathbf{d}_{ba}\mathbf{E}_1}{\omega_1 - \omega_{ba} + i/T_2}(\rho_{aa}^{(0)} - \rho_{bb}^{(0)}). \quad (9.45)$$

Ținînd seama că :

$$\rho_{ba}^{(\omega_1)} = \rho_{ab}^{*(-\omega_1)} \quad (9.46)$$

se pot obține și expresiile pentru  $\rho_{ba}^{(1)}(\omega_2)$ ,  $\rho_{ab}^{(1)}(\omega_1)$  și  $\rho_{ab}^{(1)}(\omega_2)$ .

În aproximația de ordinul doi, termenii liberi obținuți cu ajutorul diferenței dintre elementele diagonale ale densității,

$$\begin{aligned} \{\rho_{ab}^{(2)} - \rho_{aa}^{(2)}\}^{(0)} = & \left[ \frac{-2T_1T_2\hbar^{-2}|\mathbf{d}_{ab}|^2|\mathbf{E}_1|^2}{(\omega_1 - \omega_{ba})^2T_2^2 + 1} + \frac{-2T_1T_2\hbar^{-2}|\mathbf{d}_{ab}|^2|\mathbf{E}_2|^2}{(\omega_2 - \omega_{ba})^2T_2^2 + 1} \right] \times \\ & \times \{\rho_{bb}^{(0)} - \rho_{aa}^{(0)}\} \end{aligned} \quad (9.47)$$

caracterizează fenomenul de saturație (numitorul se dezvoltă în serie de puteri.)



Tot în aproximația de ordinul doi, componentele diferențelor dintre elementele diagonale corespunzătoare diferenței frecvențelor

$$\{\rho_{bb}^{(2)} - \rho_{aa}^{(2)}\}^{(\omega_1 - \omega_2)} = \frac{2\hbar^{-2} |\mathbf{d}_{ab}|^2 \mathbf{E}_1 \mathbf{E}_2^*}{\omega_1 - \omega_2 + i/T_1} \left[ \frac{1}{\omega_2 - \omega_{ab} + i/T_2} + \frac{1}{\omega_1 - \omega_{ba} + i/T_2} \right] (\rho_{bb}^{(0)} - \rho_{aa}^{(0)}) \quad (9.48)$$

și

$$\{\rho_{bb}^{(2)} - \rho_{aa}^{(2)}\}^{(\omega_2 - \omega_1)} = [(\rho_{bb}^{(2)} - \rho_{aa}^{(2)})^{(\omega_1 - \omega_2)}]^* \quad (9.49)$$

generează o polarizare cu frecvența  $\pm (\omega_2 - \omega_1)$  care caracterizează procesele parametrice.

Dacă în relația (9.41) diferența  $\rho_{bb} - \rho_{aa}$  este înlocuită cu expresia diferenței în aproximația de ordinul doi, se poate obține termenul  $\rho_{ab}^{(3)}$  în aproximația de ordinul trei care conține componente cu frecvențele  $2\omega_1 - \omega_2$  și  $2\omega_2 - \omega_1$  care de asemenea caracterizează procesele parametrice. În cazul particular când  $\omega_1 = -\omega_2$ ,  $\rho_{ab}^{(3)}$  descrie generarea armonicii a treia.

Procedeul poate continua la infinit, obținându-se aproximații succesive corespunzătoare puterilor cîmpurilor  $E_1$  și  $E_2$ .

## 9.2. Calculul susceptibilității neliniare de diferite ordine pentru vaporii metalelor alcaline cu luarea în considerare a structurii fine a nivelelor energetice

Pentru obținerea unor valori cît mai exacte ale susceptibilităților neliniare de diferite ordine trebuie luată în considerare structura fină a nivelelor energetice. Introducînd în formalismul densitate ratele de relaxare, se pot lua în calcul și efectele de pierderi datorită interacțiilor dintre particulele care compun sistemul.

Astfel, elementele diagonale  $\rho_{nn}$  și nediagonale  $\rho_{mn}$  ale matricei densitate verifică următoarele ecuații de mișcare

$$i\hbar \left\{ \frac{\partial \rho_{nn}}{\partial t} + \sum_i (\rho_{nn} w_{ni} - \rho_{ii} w_{in}) \right\} = [H_0 + H_i(t), \rho_{nn}] \quad (9.50)$$

$$i\hbar \left( \frac{\partial}{\partial t} + \gamma_{mn} \right) \rho_{mn} = [H_0 + H_i(t), \rho]_{mn} \quad (9.51)$$

unde  $w_{ij}$  și  $\gamma_{mn}$  sînt ratele de relaxare longitudinală respectiv transversală. După cum s-a mai arătat aceste rate se mai notează și cu  $\gamma_{||}$  respectiv  $\gamma_{\perp}$  (§7.1.3).

Dacă se consideră numai tranzițiile între stări proprii și nu se iau în considerare tranzițiile rezultate în urma fenomenelor de relaxare, în relația (9.50) ratele de relaxare longitudinale  $w_{ij}$  pot fi neglijate. Lărgimea liniei  $\hbar\gamma_{mn}$  corespunzătoare tranziției între nivelele  $m$  și  $n$  este determinată de lărgimea naturală a liniei și de efectele de lărgire datorită presiunii, avînd o valoare mult mai mare decît lărgimea spectrală a radiației incidente.



Întrucît termenul de interacție  $H_i(t)$  este mult mai mic decît hamiltonianul sistemului neperturbat  $H_0$ , fiecare element de matrice al operatorului densitate  $\rho$  poate fi dezvoltat în serie de puteri ale perturbației

$$\rho_{mn} = \sum_p \rho_{mn}^{(p)} \quad (9.52)$$

astfel că ecuația de mișcare pentru elementele diagonale și nediagonale devine

$$i\hbar \left\{ \frac{\partial}{\partial t} + i\omega_{mn} + (1 - \delta_{mn})\gamma_{mn} \right\} \rho_{mn}^{(p)} = [H_i'(t), \rho^{(p-1)}]_{mn} \quad (9.53)$$

unde

$$\omega_{mn} = \hbar^{-1}(E_m - E_n). \quad (9.54)$$

Considerînd cîmpul electric incident al perturbației coerente de forma

$$E(r, t) = \frac{1}{2} \{E(r)e^{-i\omega t} + E(r)e^{i\omega t}\} \quad (9.55)$$

polarizarea neliniară de ordinul trei  $P(3\omega)$  este dată de relația

$$\langle P(3\omega) \rangle = N\chi^{(3)}(3\omega) \left( \frac{E(r)}{2} \right)^3 e^{-3i\omega t} + \text{c.c.} \quad (9.56)$$

Folosind formalismul matricei densitate, valoarea polarizării neliniare de ordinul trei se mai poate calcula cu ajutorul relației

$$\langle P(3\omega t) \rangle = N \sum_{mn} \rho_{mn}(3\omega t) d_{nm} \quad (9.57)$$

unde  $d_{nm}$  reprezintă operatorul momentului de dipol, iar  $N$  este numărul de atomi din unitatea de volum. Expresia susceptibilității neliniare de ordinul trei rezultă din identificarea relațiilor (9.56) și (9.57).

Termenii  $\rho_{mn}^{(p)}$  care intervin în relația (9.52) conțin combinații ale frecvențelor radiației incidente și pot fi scriși astfel

$$\rho_{mn}^{(1)} = C_{mn}^{(1)} e^{-i\omega t} + C_{nm}^{(1)*} e^{i\omega t} \quad (9.58)$$

$$\rho_{mn}^{(2)} = C_{mn}^{(2)} e^{-i2\omega t} + C_{mn}^{(0)} + C_{nm}^{(2)*} e^{i2\omega t} \quad (9.59)$$

$$\rho_{mn}^{(3)} = C_{mn}^{(3)} e^{-i3\omega t} + C_{mn}^{(1)} e^{-i\omega t} + C_{nm}^{(1)*} e^{i\omega t} + C_{nm}^{(3)} e^{i3\omega t}. \quad (9.60)$$

Înlocuind relațiile (9.58)–(9.60) în ecuația de mișcare (9.53) și ținînd seama că sistemul se află în momentul inițial în stare fundamentală  $|g\rangle$  care în cazul metalelor alcaline este  $^2S_{1/2}$  și că tranzițiile de dipol au



loc între stări proprii  $|m\rangle$  și  $|n\rangle$  cu parități opuse, pentru coeficienții dezvoltării  $C_{mn}^{(h)}$  se obțin următoarele expresii [111]

$$C_{pg}^{(1)} = - \frac{E \cdot d_{pg}}{2\hbar(\omega - \omega_{pg} + i\gamma)} \quad (9.61)$$

$$C_{gp}^{(1)} = \frac{E \cdot d_{pg}}{2\hbar(\omega + \omega_{pg} + i\gamma)} \quad (9.62)$$

$$C_{pp}^{(2)} = \frac{E \cdot d_{pg}}{2\hbar(2\omega)} (C_{pg}^{(1)} - C_{gp}^{(1)}) \quad (9.63)$$

$$C_{gg}^{(2)} = - \sum_p C_{pp}^{(2)} \quad (9.64)$$

$$C_{pp'}^{(2)} = \frac{E}{2\hbar(2\omega - \omega_{pp'} + i\gamma)} (-d_{pg}C_{gp'}^{(1)} + d_{p'g}C_{pg}^{(1)}) \quad (9.65)$$

$$C_{sg}^{(2)} = - \frac{E}{2\hbar} \sum_p \frac{d_{ps}C_{pg}^{(1)}}{2\omega - \omega_{sg} + i\gamma} \quad (9.66)$$

$$C_{gs}^{(2)} = \frac{E}{2\hbar} \sum_p \frac{d_{ps}C_{gp}^{(1)}}{2\omega + \omega_{sg} + i\gamma} \quad (9.67)$$

$$C_{dg}^{(2)} = - \frac{E}{2\hbar} \sum_p \frac{d_{dp}C_{pg}^{(1)}}{2\omega - \omega_{dg} + i\gamma} \quad (9.68)$$

$$C_{gd}^{(2)} = \frac{E}{2\hbar} \sum_p \frac{d_{dp}C_{gp}^{(1)}}{2\omega + \omega_{dg} + i\gamma} \quad (9.69)$$

$$C_{mn}^{(3)} = - \frac{E}{2\hbar} \sum_k \frac{d_{mk}C_{kn}^{(2)} - d_{kn}C_{mk}^{(2)}}{3\omega - \omega_{mn} + i\gamma}. \quad (9.70)$$

În relația (9.70) indicii  $m$  și  $n$  sînt combinații ale perechilor de indici  $gp$ ,  $pg$ ,  $sp$ ,  $pd$  și  $dp$ . Cu ajutorul coeficienților  $C_{mn}^{(3)}$  relația (9.57) se scrie astfel

$$\langle P(3\omega t) \rangle = N \sum_{mn} d_{nm} C_{mn}^{(3)} e^{-i3\omega t} + \text{c.c.} \quad (9.71)$$

Pentru a calcula elementele de matrice ale operatorului momentului de dipol  $d_{nm}$  se consideră că stările proprii legate ale atomilor metalelor alcaline sînt descrise de vectorii ket  $|n, l, s = \frac{1}{2}, j, m\rangle$ , iar cîmpul electric incident este liniar polarizat de-a lungul axei  $Oz$ . Momentul electric de di-



pol astfel indus,  $d_z = -er$ , este un tensor de rangul unu care în cazul unei simetrii sferice se poate calcula cu ajutorul relației [113]

$$\langle n, l, s, j, m | d_z | n', l', s, j', m' \rangle = -e \langle l, s, j, m | T_0^{(1)} | l', s, j', m' \rangle \langle n, l || r || n', l' \rangle \quad (9.72)$$

unde :

$$\begin{aligned} \langle l, s, j, m | T_0^{(1)} | l', s, j', m' \rangle &= (-1)^{j-m} \begin{pmatrix} j & 1 & j' \\ -m & 0 & m' \end{pmatrix} \times \\ &\times \langle l, s, j || T^{(1)} || l', s, j' \rangle \end{aligned} \quad (9.73)$$

$$\begin{aligned} \langle l, s, j || T^{(1)} || l', s, j' \rangle &= (-1)^{l+s+j'+1} (2j+1)^{1/2} \cdot (2j'+1)^{1/2} \times \\ &\times \begin{Bmatrix} j & 1 & j' \\ l' & s & l \end{Bmatrix} \cdot \langle l || T^{(1)} || l' \rangle \end{aligned} \quad (9.74)$$

$$\langle l || T^{(1)} || l' \rangle = (-1)^l (2l+1)^{1/2} (2l'+1)^{1/2} \cdot \begin{pmatrix} l & 1 & l' \\ 0 & 0 & 0 \end{pmatrix}. \quad (9.75)$$

Pentru a calcula elementele de matrice din relația (9.74), se consideră că numai stările  $S$ ,  $P$  și  $D$  ale metalelor alcaline contribuie la valoarea susceptibilității neliniare de ordinul trei. Contribuția stărilor cu numere cuantice mai mari ale momentului cinetic poate fi neglijată dacă se admite că la momentul inițial singurul nivel populat este nivelul fundamental  $^2S_{1/2}$ . În aceste condiții, valorile elementelor de matrice  $\langle l, s, j || T^{(1)} || l', s, j' \rangle$  sînt prezentate în tabelul 9.1.

De asemenea, pentru elementele de matrice care nu se anulează în relația (9.73) se obțin următoarele valori

$$\left\langle ^2S_{1/2}, m = \pm \frac{1}{2} | T_0^{(1)} | ^2P_{1/2}, m = +\frac{1}{2} \right\rangle = \mp \frac{1}{3} \quad (9.76)$$

$$\left\langle ^2S_{1/2}, m = \pm \frac{1}{2} | T_0^{(1)} | ^2P_{3/2}, m = \pm \frac{1}{2} \right\rangle = \left( \frac{2}{9} \right)^{1/2} \quad (9.77)$$

$$\left\langle ^2P_{1/2}, m = \pm \frac{1}{2} | T_0^{(1)} | ^2D_{3/2}, m = \pm \frac{1}{2} \right\rangle = \left( \frac{2}{9} \right)^{1/2} \quad (8.78)$$

$$\left\langle ^2P_{3/2}, m = \pm \frac{1}{2} | T_0^{(1)} | ^2D_{3/2}, m = \pm \frac{1}{2} \right\rangle = \mp \frac{1}{15} \quad (9.79)$$

$$\left\langle ^2P_{3/2}, m = \pm \frac{1}{2} | T_0^{(1)} | ^2D_{5/2}, m = \pm \frac{1}{2} \right\rangle = \left( \frac{6}{25} \right)^{1/2}. \quad (9.80)$$

Ținînd seama de regulile de selecție care guvernează tranzițiile de dipol, elementele de matrice radiale din relația (9.72) pot fi calculate cu ajutorul „tăriei” oscilatorului (rel. 1.118),  $f(n, l \rightarrow n', l+1)$ , sub forma

$$|\langle n, l || r || n', l+1 \rangle|^2 = \frac{3(2l+1)}{2(l+1) |E_{nl} - E_{n', l+1}|}. \quad (9.81)$$



Tabelul 9.1

	$^2S_{1/2}$	$^2P_{1/2}$	$^2P_{3/2}$	$^2D_{3/2}$	$^2D_{5/2}$
$^2S_{1/2}$	0	$-\left(\frac{2}{3}\right)^{1/2}$	$-\left(\frac{4}{3}\right)^{1/2}$	0	0
$^2P_{1/2}$	$-\left(\frac{2}{3}\right)^{1/2}$	0	0	$-\left(\frac{4}{3}\right)^{1/2}$	0
$^2P_{3/2}$	$\left(\frac{4}{3}\right)^{1/2}$	0	0	$-\left(\frac{4}{15}\right)^{1/2}$	$-\left(\frac{12}{5}\right)^{1/2}$
$^2D_{3/2}$	0	$\left(\frac{4}{3}\right)^{1/2}$	$-\left(\frac{4}{15}\right)^{1/2}$	0	0
$^2D_{5/2}$	0	0	$\left(\frac{12}{5}\right)^{1/2}$	0	0

Semnul elementelor de matrice radiale  $\langle n, l || r || n', l + 1 \rangle$  se calculează pe baza aproximațiilor teoretice prezentate în lucrarea [114] și corecțiilor aduse acestor aproximații care sînt prezentate în lucrarea [115]. În relația (9.81) valorile energiilor nivelelor  $E_n$  despicate datorită cuplajului spin-orbită sînt mediate ponderat astfel

$$E_{n,p} = \frac{1}{3} E(n^2 P_{1/2}) + \frac{2}{3} E(n^2 P_{3/2}) \quad (9.82)$$

$$E_{n,d} = \frac{2}{5} E(n^2 D_{3/2}) + \frac{3}{5} E(n^2 D_{5/2}). \quad (9.83)$$

Tăriile oscilatorilor corespunzătoare tranzițiilor între nivelele considerate mai înainte sînt calculate în lucrarea [116].

Modelul prezentat mai sus privind calculul susceptibilității neliniare de ordinul trei pentru metalele alcaline, cu luarea în considerare a structurii fine a nivelelor energetice, poate fi dezvoltat și aplicat în cazul susceptibilității neliniare de ordinul cinci. În acest caz polarizarea de ordinul cinci se calculează cu ajutorul relației

$$\langle P(5\omega t) \rangle = N \sum_{m,n} d_{nm} C_{mn}^{(5)} e^{-i5\omega t} + \text{c.c.} \quad (9.84)$$

Pe baza modelului prezentat în lucrarea [117] relația de calcul a susceptibilității neliniare de ordinul cinci  $\chi^{(5)}$  pentru vaporii metalelor alcaline, ținînd seama de structura fină a nivelelor energetice este

$$\chi^{(5)}(-5\omega; \omega, \omega, \omega, \omega, \omega) = \frac{(ea_0)^6}{(\hbar c)^5} \cdot \frac{1}{2^5} \sum d_{ga} d_{ab} d_{bc} d_{cd} d_{de} \cdot d_{eg} \cdot \frac{1}{[(\omega - \omega_{ag})^2 + \gamma^2] [(2\omega - \omega_{bg})^2 + \gamma^2] [(3\omega - \omega_{cg})^2 + \gamma^2] [(4\omega - \omega_{dg})^2 + \gamma^2] [(5\omega - \omega_{eg})^2 + \gamma^2]} \cdot \left\{ (\omega - \omega_{ag}) (2\omega - \omega_{bg}) (3\omega - \omega_{cg}) (4\omega - \omega_{dg}) \times \right.$$



$$\times (5\omega - \omega_{eg}) - \gamma^2 [(\omega - \omega_{ag})(2\omega - \omega_{bg}) + (4\omega - \omega_{dg})(3\omega - \omega_{eg}) + (3\omega - \omega_{ag} + \omega_{bg})(7\omega - (\omega_{eg} - \omega_{dg})) + (\omega - \omega_{ag})(2\omega - \omega_{bg})(3\omega - \omega_{ag} + \omega_{bg}) + (3\omega - \omega_{cg})(4\omega - \omega_{dg})(7\omega - (\omega_{cg} + \omega_{dg}))]] + \dots \quad (9.85)$$

Pentru deducerea formulei susceptibilității s-au neglijat termenii care conțin ratele de relaxare  $\gamma$  la puteri mai mari decât doi întrucât sînt foarte mici. În relația (9.85),  $a_0$  este prima rază Bohr,  $g$  corespunde stării fundamentale, iar  $a, b, \dots$  specifică stările excitate ale atomilor metalelor alcaline care pot să fie  $S, P, D, F$ . Întrucît în tranziții sînt implicate și stări  $F$ , relațiile (9.76)–(9.80) cu ajutorul cărora se calculează elementele de matrice ale tranzițiilor de dipol care nu se anulează, mai trebuie completate cu alte elemente de matrice corespunzătoare tranzițiilor între stările  $D$  și  $F$  care sînt date de expresiile

$$\left\langle {}^2D_{3/2}, m = \pm \frac{1}{2} \mid T_0^{(1)} \mid {}^2F_{5/2}, m = \pm \frac{1}{2} \right\rangle = \left( \frac{6}{25} \right)^{1/2} \quad (9.86)$$

$$\left\langle {}^2D_{5/2}, m = \pm \frac{1}{2} \mid T_0^{(1)} \mid {}^2F_{5/2}, m = \pm \frac{1}{2} \right\rangle = \mp \frac{1}{35} \quad (9.87)$$

$$\left\langle {}^2D_{5/2}, m = \pm \frac{1}{2} \mid T_0^{(1)} \mid {}^2F_{7/2}, m = \pm \frac{1}{2} \right\rangle = \left( \frac{12}{49} \right)^{1/2}. \quad (9.88)$$

Tranzițiile între stările  $D$  și  $F$  au fost considerate și la calculul elementelor de matrice  $\langle l, s, j \mid T^{(1)} \mid l', s, j' \rangle$ , a căror valori sînt date în tabelul 9.2

Tabelul 9.2

	${}^2S_{1/2}$	${}^2P_{1/2}$	${}^2P_{3/2}$	${}^2D_{3/2}$	${}^2D_{5/2}$	${}^2F_{5/2}$	${}^2F_{7/2}$
${}^2S_{1/2}$	0	$-\left(\frac{2}{3}\right)^{1/2}$	$-\left(\frac{4}{3}\right)^{1/2}$	0	0	0	0
${}^2P_{1/2}$	$-\left(\frac{2}{3}\right)^{1/2}$	0	0	$-\left(\frac{4}{3}\right)^{1/2}$	0	0	0
${}^2P_{3/2}$	$\left(\frac{4}{3}\right)^{1/2}$	0	0	$-\left(\frac{4}{15}\right)^{1/2}$	$-\left(\frac{12}{5}\right)^{1/2}$	0	0
${}^2D_{3/2}$	0	$\left(\frac{4}{3}\right)^{1/2}$	$-\left(\frac{4}{15}\right)^{1/2}$	0	0	$-\left(\frac{12}{5}\right)^{1/2}$	0
${}^2D_{5/2}$	0	0	$\left(\frac{12}{5}\right)^{1/2}$	0	0	$-\left(\frac{6}{35}\right)^{1/2}$	$-\left(\frac{24}{7}\right)^{1/2}$
${}^2F_{5/2}$	0	0	0	$\left(\frac{12}{5}\right)^{1/2}$	$-\left(\frac{6}{35}\right)^{1/2}$	0	0
${}^2F_{7/2}$	0	0	0	0	$\left(\frac{27}{4}\right)^{1/2}$	0	0



Modelele prezentate pot fi extinse la calculul susceptibilităților neliniare de ordine superioare, în vederea obținerii unor expresii mai exacte decât cele date de relația (9.25) și care să țină seama de structura fină a nivelelor energetice implicate în tranziții. Luarea în considerare a structurii fine a nivelelor și a pierderilor joacă un rol important în cazul fenomenelor care au loc la rezonanță.

### 9.3. Evaluarea numerică a susceptibilităților neliniare de diferite ordine

Valorile numerice ale susceptibilităților neliniare de diferite ordine prezintă interes atât din punct de vedere teoretic cât și experimental, pentru că sînt o măsură a diferitelor efecte neliniare care apar în urma interacției dintre radiația laser și mediul neliniar considerat. Funcție de fenomenele care se studiază, unul din criteriile de alegere a mediilor neliniare este determinat de valoarea cât mai mare a susceptibilității neliniare corespunzătoare. De asemenea, cunoașterea exactă a valorilor susceptibilităților neliniare de diferite ordine joacă un rol important în rezolvarea ecuațiilor cuplate de amplitudine care descriu diferite fenomene ca : generare de armonici, mixare optică neliniară, absorbție și emisie multifotonică, împrăștierea luminii prin efect Raman stimulat ș.a., în vederea îmbunătățirii condițiilor de interacție.

Evaluarea exactă a susceptibilităților neliniare de diferite ordine presupune utilizarea calculatorului, din cauza numărului mare de stări legate sau libere care sînt implicate în tranzițiile de dipol. În formula generală de calcul a susceptibilităților neliniare de diferite ordine (9.25), frecvențele  $\omega_{ab_n}$  corespunzătoare tranzițiilor dintre nivelele energetice ale atomilor care constituie mediul neliniar, pot fi calculate din tabelele prezentate în lucrarea [118]. Funcție de unitățile în care sînt exprimate frecvențele  $\omega_{ab_n}$  respectiv elementele de matrice ale tranzițiilor de dipol, susceptibilitatea poate fi exprimată în SI sau în alte sisteme de unități derivate, de exemplu, c.g.s./e.s.u, care de asemenea sînt deseori întrebuintate în literatura de specialitate. Relațiile de trecere de la un sistem de unități la altul sînt prezentate în lucrarea [102]. Elementele de matrice radiale ale tranzițiilor de dipol  $\langle n, l || r || n', l + 1 \rangle$ , între stările  $ns \rightarrow mp$ ,  $np \rightarrow md$ , calculate cu ajutorul relației (9.71) pentru vaporii metalelor alcaline sînt prezentate în lucrările [111, 117].

Inițial, evaluările susceptibilităților neliniare de ordinul trei au fost făcute pentru vaporii metalelor alcaline luîndu-se în considerare numai primele patru nivele energetice  $s, p, d, f$ . Valorile teoretice ale susceptibilităților astfel calculate diferă de valorile măsurate experimental cu aproximativ 15% [112]. Aproximația teoretică considerată este destul de bună dacă se ține seama de faptul că în diagrama nivelelor energetice, a sodiului, de exemplu, prezentată în fig. 9.3, frecvențele fundamentalei respectiv armonicii generate de ordinul trei, corespunzătoare unor laseri de mare putere cu  $\lambda = 1,06 \mu\text{m}$  și  $\lambda = 0,6943 \mu\text{m}$ , se află sub, respectiv, puțin peste nivelul de ionizare, rezultînd astfel o absorbție slabă în domeniul continuu al spectrului.



La rezonanță, susceptibilitatea neliniară de ordinul trei, calculată cu ajutorul relației (9.29) devine infinită. Astfel, dependența de lungimea de undă a susceptibilității neliniare de ordinul trei, pe atom, a sodiului, de

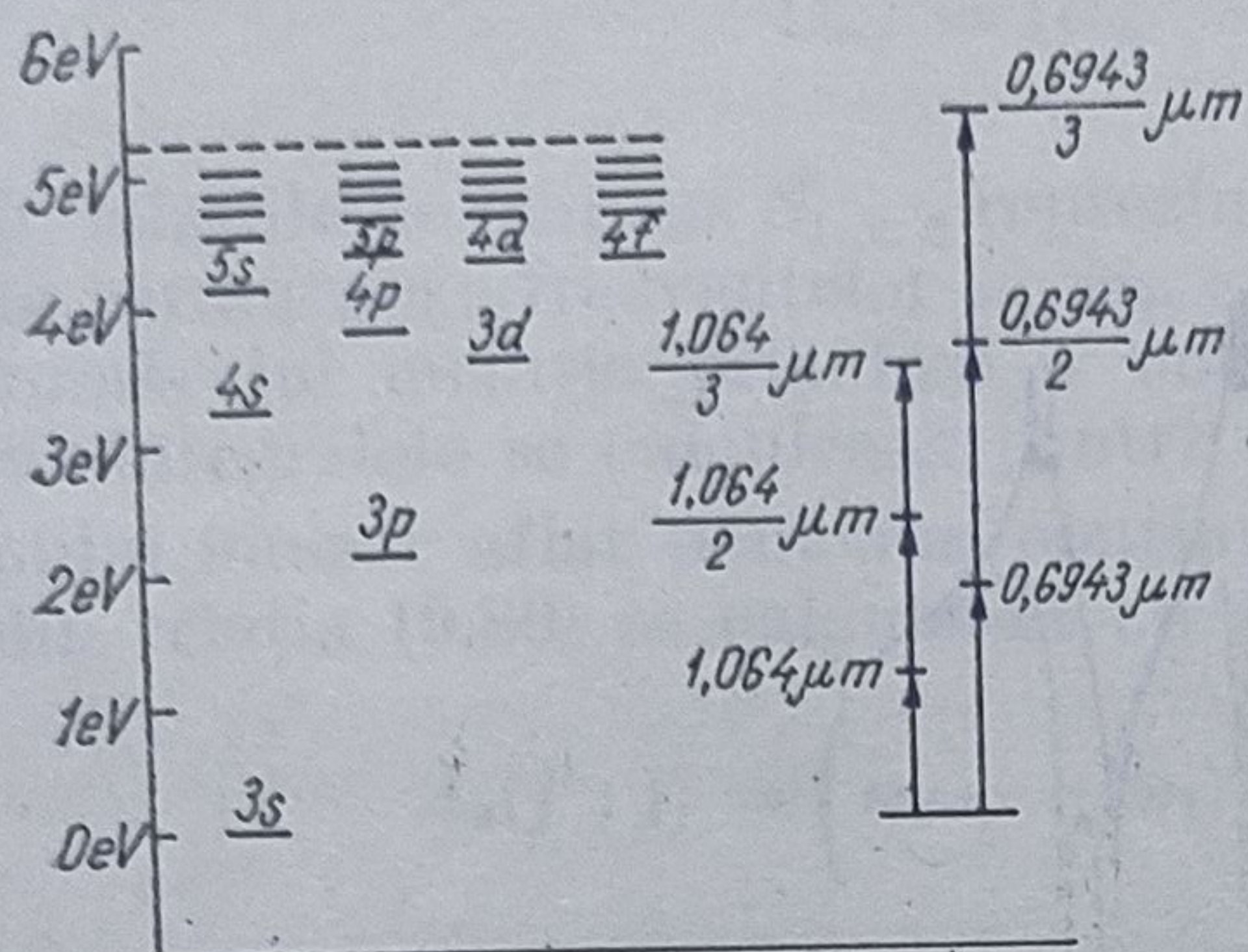


Fig. 9.3.

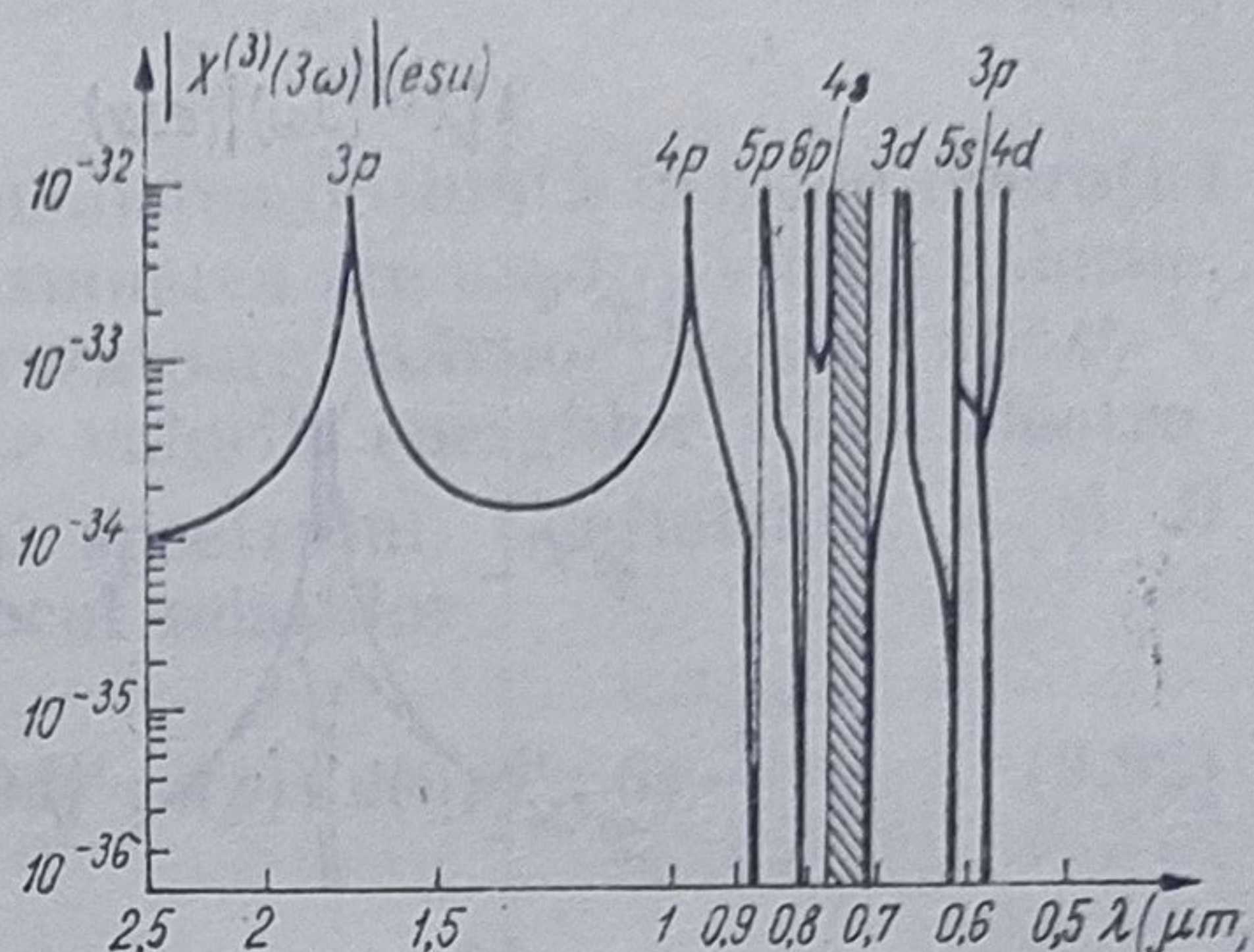


Fig. 9.4.

exemplu (în unități esu), prezentată în fig. 9.4, evidențiază existența unor puncte în care aceasta se anulează și a unor domenii spectrale în care relația de calcul (9.29) nu mai este aplicabilă pentru că nu s-a ținut seama de structura fină a nivelelor energetice și de pierderi [112].

Se observă, de asemenea, că lungimea de undă a laserului cu rubin ( $\lambda = 0,6934 \mu\text{m}$ ) este apropiată de lungimea de undă corespunzătoare tranziției  $3s-3d$  care implică doi fotoni, iar susceptibilitatea corespunzătoare ia valori foarte mari. Rezonanțe cu unul sau doi fotoni mai pot fi obținute și cu alte nivele  $s$ ,  $p$  sau  $d$ .

Luând în considerare structura fină a nivelelor energetice implicate în tranziții, pierderile și totalitatea stărilor legate  $s$ ,  $p$ , ..., susceptibilitatea neliniară de ordinul trei poate fi calculată mult mai precis cu ajutorul relațiilor (9.56)–(9.57). În cazul sodiului, partea reală a susceptibilității neliniare de ordinul trei funcție de lungimea de undă, într-un domeniu spectral îngust aflat în vecinătatea fundamentalei și a primelor patru armonici  $a$ ,  $b$ ,  $c$ ,  $d$ , ale laserilor cu neodim și cu iod, este prezentată în fig. 9.5 [111], iar în fig. 9.6 aceleași curbe sînt prezentate, la rezonanță, pentru

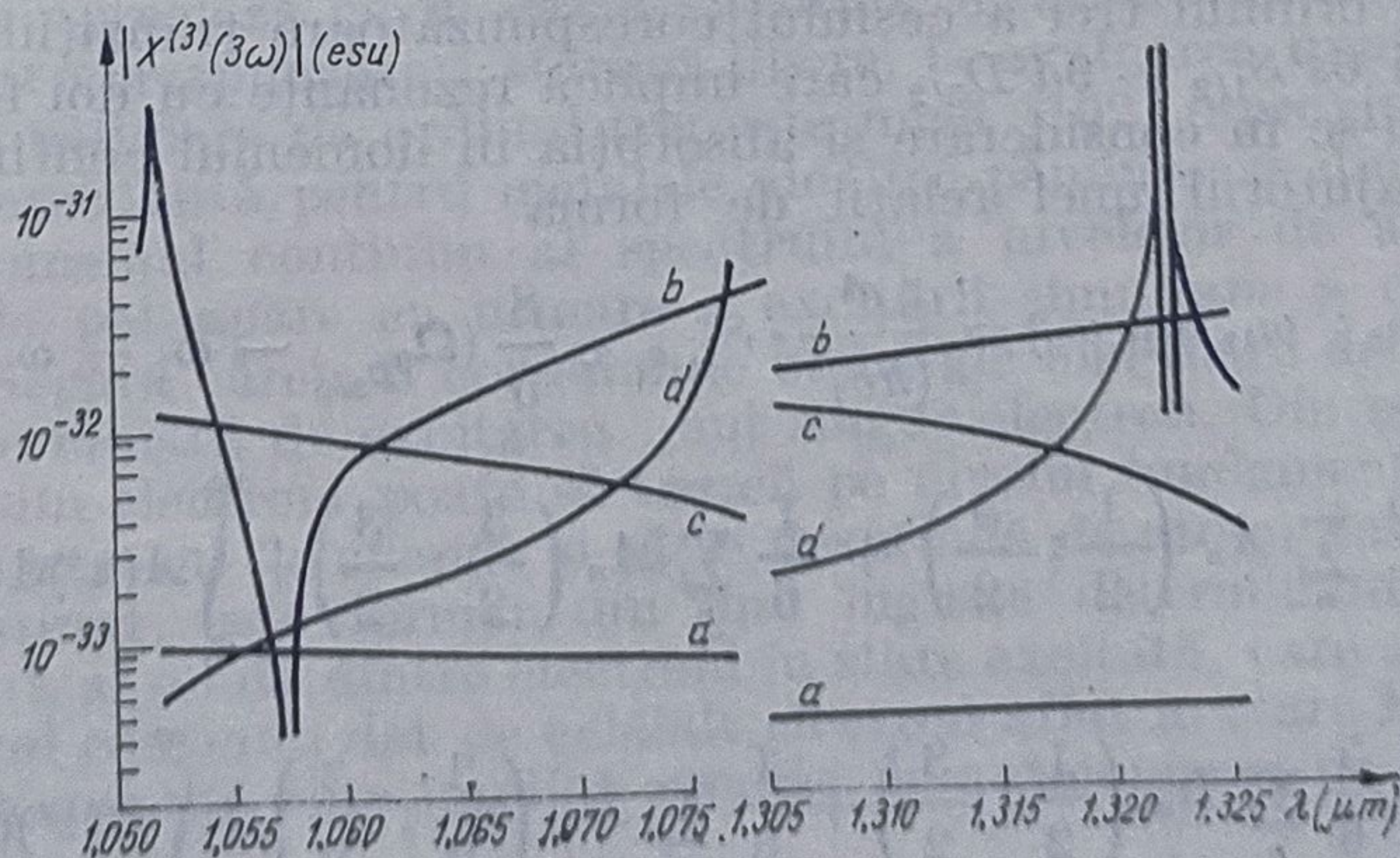


Fig. 9.5.



$\gamma = 0,1 \text{ cm}^{-1}$  (curba continuă) și  $\gamma = 1 \text{ cm}^{-1}$  (curba punctată). Comparând valorile susceptibilității calculate cu ajutorul relațiilor (9.29) (9.56) și (9.57), cu valoarea măsurată experimental se constată că valoarea susceptibilității calculată din relațiile (9.56) și (9.57), care ține seama de

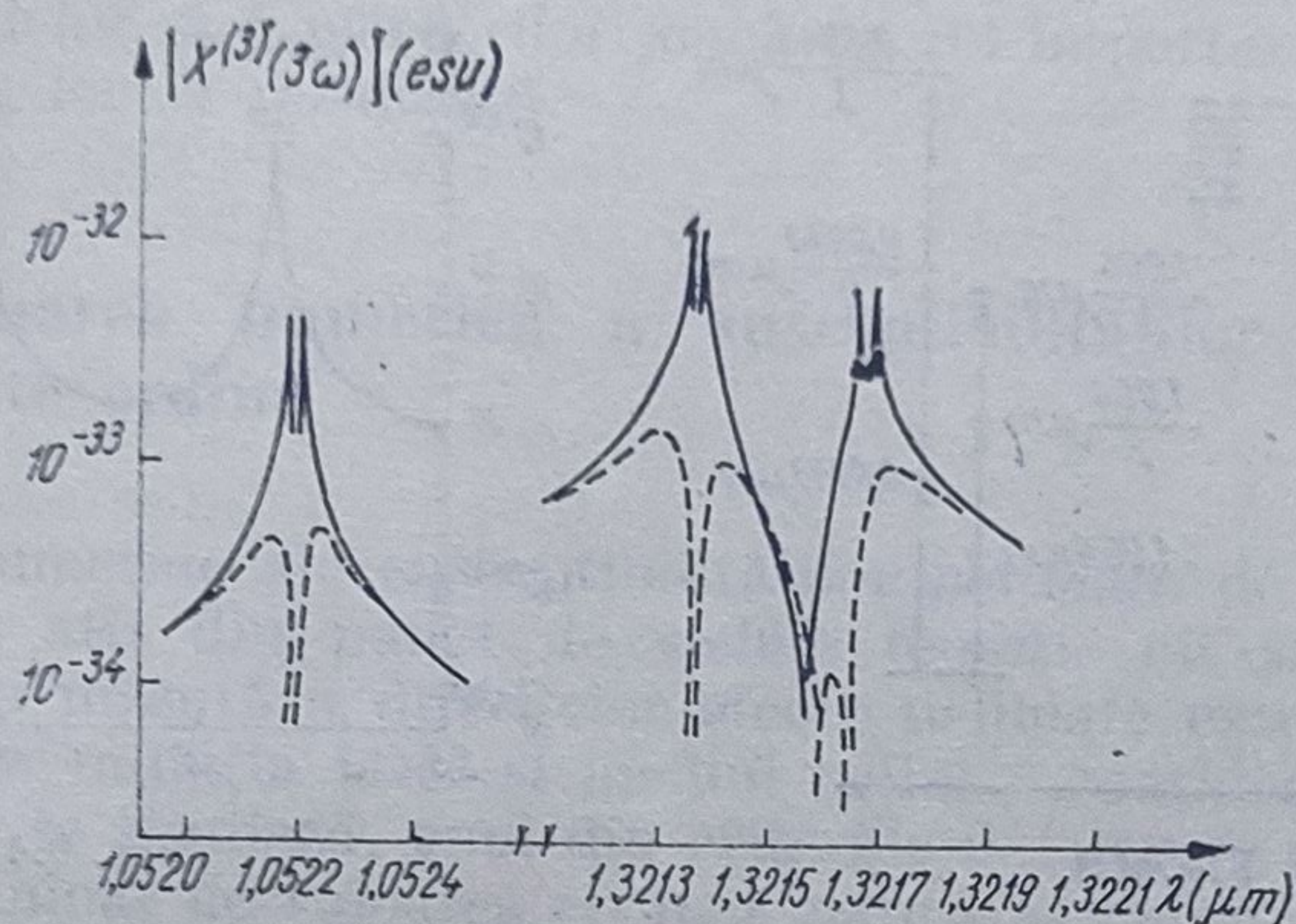


Fig. 9.6.

structura fină a nivelelor și de pierderi concordă mult mai bine cu valoarea determinată experimental. Astfel, în cazul rubidiului, susceptibilitatea neliniară de ordinul trei pe atom, măsurată pentru lungimea de undă  $\lambda = 1,06 \mu\text{m}$  este  $1,4 \cdot 10^{-32}$  e.s.u. [112], în timp ce valorile calculate cu ajutorul relațiilor (9.29), (9.56) și (9.57) sînt  $6,15 \times 10^{-33}$  e.s.u. [112] respectiv  $1,072 \cdot 10^{-32}$  e.s.u. [111].

La rezonanță, calculul susceptibilității se complică și mai mult pentru că trebuie luate în considerare atît lărgimile liniilor diferitelor tranziții implicate în procesul studiat cît și lărgimile liniilor corespunzătoare radiațiilor incidente și generate. Astfel, pe baza fenomenului de absorbție rezonanță a doi fotoni în cesiu, care corespunde tranziției  $6s^2S_{1/2} \rightarrow 9d^2D_{3/2}$ , susceptibilitatea calculată cu o precizie de 20% este de  $3 \cdot 10^{-30}$  e.s.u./atom [120], iar cea măsurată experimental este de  $\sim 10^{-30}$  e.s.u. [120]. În acest caz atît valoarea calculată a susceptibilității, cît și cea măsurată experimental sînt cu două ordine de mărime mai mari decît valoarea susceptibilității  $\chi_{Cs(\text{atom})}^{(3)} \sim 10^{-32}$  [112] e.s.u. calculată în absența fenomenului de rezonanță. În lucrarea [120] calculul susceptibilității neliniare de ordinul trei a cesiului corespunzătoare tranzițiilor  $6s^2S_{1/2} \rightarrow 9d^2D_{3/2}$  și  $6s^2S_{1/2} \rightarrow 9d^2D_{5/2}$  care implică rezonanțe cu doi fotoni, a fost făcut luîndu-se în considerare și absorbția în domeniul continuu al spectrului, cu ajutorul unei relații de forma

$$\begin{aligned} \chi^{(3)}(\omega_\sigma; \omega_1, \omega_2, \omega_3) = & \frac{e^4}{(\hbar c)^3} \cdot S_{1, 2, 3} \cdot \frac{8}{5} (\Omega_{9D_{3/2}} - \omega_1 - \omega_2)^{-1} \times \\ & \times \left[ \frac{5}{6} \sum_n A_n \left( \frac{1}{2}; \frac{3}{2} \right) + \frac{1}{6} \sum_n A_n \left( \frac{3}{2}; \frac{3}{2} \right) + \int_0^\infty A(\varepsilon') d\varepsilon' \right] \times \\ & \times \left[ \frac{5}{6} \sum_n B_n \left( \frac{1}{2}; \frac{3}{2} \right) + \frac{1}{6} \sum_n B_n \left( \frac{3}{2}; \frac{3}{2} \right) + \int_0^\infty B(\varepsilon') d\varepsilon' \right] \quad (9.89) \end{aligned}$$



unde

$$\omega_{\sigma} = \omega_1 + \omega_2 + \omega_3 \quad (9.90)$$

$$\Omega_{mg} = (\omega_m - \omega_g) - i \frac{1}{2} \gamma_m. \quad (9.91)$$

În relațiile de mai sus  $S_{1,2,3}$  reprezintă medierea obținută în urma operației de permutare a frecvențelor  $\omega_1, \omega_2, \omega_3$ , însumarea are loc după toate valorile, numărului cuantic principal  $n$  corespunzătoare stărilor legate  $|np^2P_j\rangle$ , iar integralele se calculează pentru toate valorile energiilor  $\varepsilon'$  ale electronului ionizat aflat domeniul continuu al spectrului. Coeficienții  $A$  și  $B$  din relația (9.89) se calculează cu ajutorul relațiilor

$$A_n(j'; j) = \left( \omega_{nP_{j'}} - \omega_1 \right)^{-1} \sigma(9dj'; npj) \sigma(npj'; 6s \frac{1}{2}) \quad (9.92)$$

$$B_n(j'; j) = [(\omega_{nP_{j'}} - \omega_{\sigma})^{-1} + (\omega_{nP_{j'}} + \omega_3)^{-1}] \times \\ \times \sigma\left(6s \frac{1}{2}; npj\right) \sigma(npj'; 9dj) \quad (9.93)$$

$$A(\varepsilon') = (I_{6s} + \varepsilon - \omega_1)^{-1} \sigma(9d; \varepsilon'_p) \sigma(\varepsilon'_p; 6s) \quad (9.94)$$

$$B(\varepsilon') = [(I_{6s} + \varepsilon' - \omega_{\sigma})^{-1} + (I_{6s} + \varepsilon' + \omega_3)^{-1}] \times \\ \times \sigma(6s; \varepsilon'_p) \sigma(\varepsilon'_p; 9d). \quad (9.95)$$

În relațiile (9.92) — (9.95)  $\omega_{nP_{j'}}$  reprezintă frecvența tranziției  $np^2P_j \rightarrow 6s^2S_{1/2}$ ,  $I_{6s}$  este potențialul de ionizare al cesiului corespunzător nivelului fundamental  $6s^2S_{1/2}$  [118], iar  $\sigma(n', l+1, j'; n l j)$  sînt elementele de matrice reduse ale tranzițiilor de dipol dintre două stări legate care pot fi calculate cu ajutorul relației (9.81). Elementele de matrice  $\sigma(6s; \varepsilon'_p)$  și  $\sigma(9d; \varepsilon'_p)$ , care corespund tranzițiilor din stările legate în cele libere se calculează cu ajutorul tabelelor prezentate în lucrarea [121]. Relațiile (9.93) — (9.95) pun în evidență dependența de numărul cuantic intern  $j$ , a elementelor de matrice ale tranzițiilor de dipol, care în cazul cesiului joacă un rol foarte important.

Deși se apreciază că în cazul vaporilor metalelor alcaline contribuția termenilor corespunzători stărilor libere, la evaluarea numerică a susceptibilității neliniare de ordinul trei este mică [102] (aproximativ 20%), ea devine importantă pentru metalele alcalino-pămîntoase din cauza prezenței în domeniul continuu al spectrului a nivelelor de autoionizare. Aceste nivele pot apare ca urmare a excitării simultane a doi electroni într-o stare legată căreia îi corespunde o energie mai mare decît limita de ionizare determinată de excitarea unui singur electron. Din această nouă stare, unul din electroni poate să treacă pe nivelul fundamental, iar celălalt să preia excesul de energie și să se desprindă de atom, devenind liber. Spectrul obținut, este format din linii înguste determinate de timpul scurt de viață al unuia dintre electroni în stare excitată, care se suprapune peste spectrul continuu dat de celălalt electron aflat în stare liberă. Fenomenele de rezonanță care implică procese de autoionizare de tipul

$$2\omega_1 + \omega_2 = \omega_{UV} \quad (9.96)$$



pot conduce la o creștere substanțială a susceptibilității neliniare de ordinul trei.

Calculul susceptibilității neliniare de ordinul trei cu luarea în considerare a nivelelor de autoionizare se bazează pe teoria elaborată de Fano

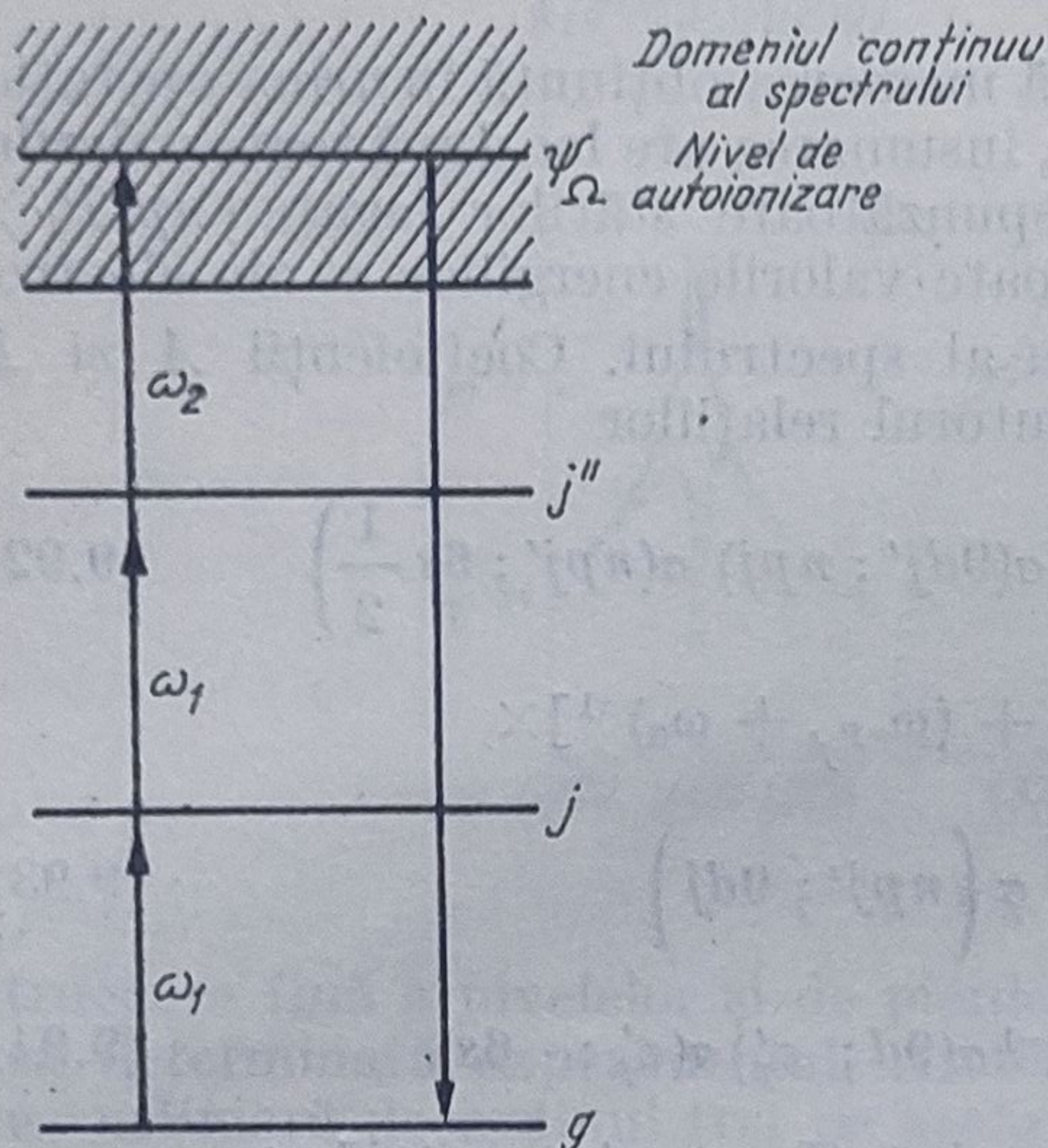


Fig. 9.7.

[123]. Considerînd că fenomenul de rezonanță are loc în urma absorbției a doi fotoni de frecvență  $2\omega_1 \simeq \Omega_{j'g}$  (fig. 9.7) pe baza modelului prezentat în lucrările [124, 125] susceptibilitatea neliniară de ordinul trei corespunzătoare procesului descris de relația (9.96) se poate scrie sub forma

$$\chi^{(3)}(-\omega_{UV}; \omega_1, \omega_1, \omega_2) = \frac{n_0}{3\hbar^3 \epsilon_0} \times \frac{d_{j'j} d_{jg}}{(\Omega_{j'g} - 2\omega_1 - i\gamma_{j'g})(\Omega_{jg} - \omega_1 - 2\gamma_{jg})} \times \int_{-\infty}^{+\infty} \frac{d_{g\psi_\Omega} d_{\psi_\Omega j'} d\omega}{(\omega - \omega_{UV} - i\gamma(\omega))} \quad (9.97)$$

unde

$$d_{g\psi_\Omega} = d_{g\psi_\Omega^0} (q_g \sin\Delta - \cos\Delta) \quad (9.98)$$

$$d_{\psi_\Omega j'} = d_{\psi_\Omega j'^0} (q_{j'} \sin\Delta - \cos\Delta) \quad (9.99)$$

reprezintă elementele de matrice corespunzătoare tranzițiilor de dipol între starea fundamentală  $g$  și starea continuă neperturbată  $\psi_\Omega^0$ ,  $q$  este un parametru adimensional care determină forma liniei, iar

$$\Delta = -\arctan(1/\epsilon). \quad (9.100)$$

În relația (9.100)

$$\epsilon = (\omega - \Omega)/(\gamma/2) \quad (9.101)$$

este dezacordul frecvenței normalizat.

#### 9.4. Proprietățile tensoriale ale susceptibilității

Întrucît susceptibilitatea leagă două mărimi fizice, polarizarea și câmpul electric, a căror semnificație este independentă de sistemul de coordonate în care sînt reprezentate, trebuie ca aceasta să se transforme într-un anumit fel pentru a menține relația amintită, adică ea are proprietăți tensoriale.



Într-un sistem de coordonate cartezian, tensorul susceptibilitate de ordinul doi are nouă componente dintre care numai șase sînt independente din cauza proprietății de simetrie

$$\chi_{\alpha\beta}(\omega) = \chi_{\beta\alpha}(\omega) \quad (9.102)$$

și poate fi scris sub forma

$$\begin{pmatrix} \chi_{xx} & \chi_{xy} & \chi_{xz} \\ \chi_{yx} & \chi_{yy} & \chi_{yz} \\ \chi_{zx} & \chi_{zy} & \chi_{zz} \end{pmatrix}. \quad (9.103)$$

Proprietățile de transformare ale tensorului susceptibilitate sub acțiunea operațiilor de rotație a sistemului de coordonate sînt legate de proprietățile de simetrie ale mediului care la rîndul lor determină forma tensorului susceptibilitate de ordinul doi. Astfel, dacă se consideră un mediu pentru care din punct de vedere al orientărilor, cîmpul aplicat și polarizarea indusă rămîn tot timpul paralele, elementele nediagonale ale tensorului susceptibilitate sînt nule. În plus, dacă mărimea polarizării induse nu depinde de orientarea mediului, elementelor diagonale ale susceptibilității sînt egale.

Trecerea unui sistem de axe reciproc perpendiculare dintr-o poziție în alta  $\{x_1, x_2, x_3\} \rightarrow \{x'_1, x'_2, x'_3\}$  sub acțiunea operației de rotație (fig. 9.8) cu un anumit unghi este descrisă de următoarele ecuații

$$x'_\alpha = a_{\alpha\beta} x_\beta \quad (9.104)$$

unde  $a_{\alpha\beta}$  sînt cosinuşii unghiurilor între noile axe  $x'_\alpha$  și cele vechi  $x_\beta$ , care determină matricea transformării

$$A = \begin{pmatrix} a_{xx} & a_{xy} & a_{xz} \\ a_{yx} & a_{yy} & a_{yz} \\ a_{zx} & a_{zy} & a_{zz} \end{pmatrix}, \quad (9.105)$$

Ținînd seama de expresia polarizării în cele două sisteme de coordonate

$$P_\alpha = \epsilon_0 \chi_{\alpha\beta} E_\beta \quad \text{și} \quad P'_\alpha = \epsilon_0 \chi'_{\alpha\delta} E'_\delta \quad (9.106)$$

și de relațiile de transformare ale coordonatelor (9.104) se poate obține expresia susceptibilității în noul sistem de coordonate sub forma

$$\chi_{\alpha\beta} = a_{\alpha\gamma} \chi_{\gamma\delta} a_{\delta\beta}. \quad (9.107)$$

Cu ajutorul matricei transformării  $A$ , expresia matricei corespunzătoare susceptibilității în noul sistem de coordonate  $\tilde{\chi}'$  devine

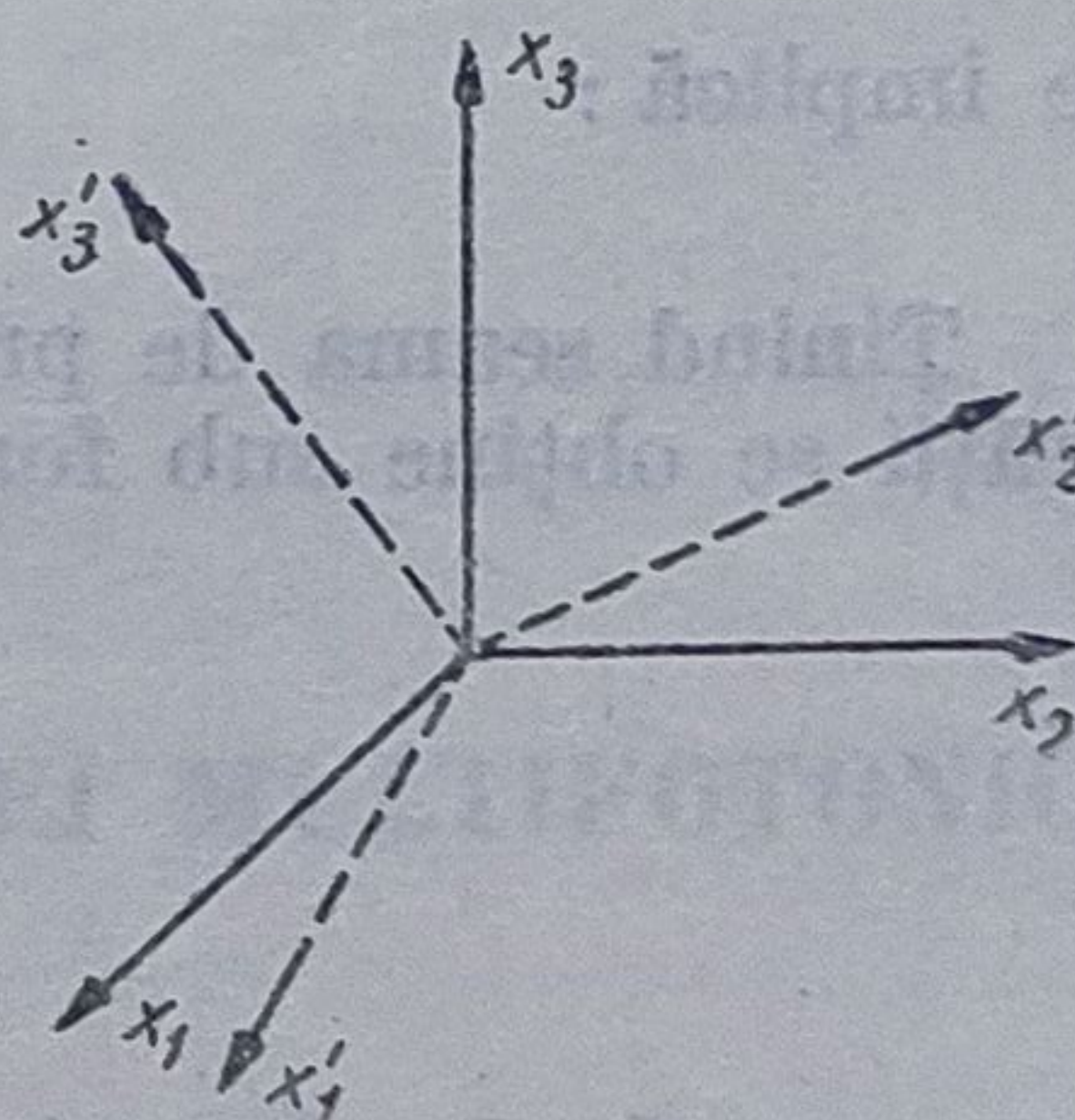
$$\tilde{\chi}' = A \tilde{\chi} A^{-1} \quad (9.108)$$

unde  $A^{-1}$  reprezintă inversa matricei  $A$  care verifică relația

$$A A^{-1} = A^{-1} A = I, \quad (9.109)$$

$I$  fiind matricea unitate. Pentru ca valoarea susceptibilității să fie aceeași în cele două sisteme de coordonate

$$\tilde{\chi}' = \tilde{\chi} \quad (9.110)$$



Fid. 9.8



trebuie îndeplinită următoarea condiție

$$[A, \tilde{\chi}] = 0. \quad (9.111)$$

Cu ajutorul relației (9.111) se poate determina forma matricei susceptibilității ale cărei proprietăți de simetrie sînt determinate de proprietățile de simetrie ale mediului. Astfel, în cazul rotației sistemului de axe  $x_1x_2x_3$  cu un unghi  $\frac{\pi}{2}$  în jurul axei  $x_3$  matricea transformării este

$$A = \begin{pmatrix} 0 & 1 & 0 \\ -1 & 0 & 0 \\ 0 & 0 & 1 \end{pmatrix}. \quad (9.112)$$

Forma tensorului susceptibilitate se poate obține cu ajutorul relației (9.111), care în cazul operației de rotație cu un unghi  $\frac{\pi}{2}$  devine

$$\begin{pmatrix} 0 & 1 & 0 \\ -1 & 0 & 0 \\ 0 & 0 & 1 \end{pmatrix} \begin{pmatrix} \chi_{xx} & \chi_{xy} & \chi_{xz} \\ \chi_{yx} & \chi_{yy} & \chi_{yz} \\ \chi_{zx} & \chi_{zy} & \chi_{zz} \end{pmatrix} = \begin{pmatrix} \chi_{xx} & \chi_{xy} & \chi_{xz} \\ \chi_{yx} & \chi_{yy} & \chi_{yz} \\ \chi_{zx} & \chi_{zy} & \chi_{zz} \end{pmatrix} \begin{pmatrix} 0 & 1 & 0 \\ -1 & 0 & 0 \\ 0 & 0 & 1 \end{pmatrix}. \quad (9.113)$$

În urma operației de indentificare se obțin relațiile

$$-\chi_{xy} = \chi_{xy} \quad (9.114)$$

$$-\chi_{yy} = -\chi_{xx} \quad (9.115)$$

care implică :

$$\chi_{xy} = 0 \text{ și } \chi_{xx} = \chi_{yy}. \quad (9.116)$$

Ținînd seama de proprietatea de simetrie (9.102) tensorul susceptibilității se obține sub forma

$$\chi = \begin{pmatrix} \chi_{xx} & 0 & 0 \\ 0 & \chi_{xx} & 0 \\ 0 & 0 & \chi_{zz} \end{pmatrix} \quad (9.117)$$

și corespunde de exemplu, unui cristal de KDP care are o simetrie tetragonală.

Proprietățile fizice ale unui cristal oarecare sînt determinate de elementele sale de simetrie cărora le corespund anumite operații de simetrie [108]. Astfel :

— centrului de simetrie  $i$ , îi corespunde operația de simetrie  $I$ , care constă în schimbarea semnului tuturor coordonatelor atomilor (moleculor) care formează cristalul ;

— planului de simetrie  $\sigma$ , îi corespunde operația de reflexie  $\Sigma$ , care schimbă semnul unei singure coordonate ;

— axei proprii de rotație de ordinul  $n$ ,  $C_n$ , îi corespunde operația de rotație  $C_n^m$  care constă în rotația cristalului cu un unghi  $\frac{2\pi}{n}$  în jurul axei respective ;



— axeii improprie de rotație de ordinul  $n$ ,  $S_n$ , îi corespunde operația de rotație cu un unghi  $\frac{2\pi}{n}$  urmată de reflexia într-un plan perpendicular pe axa respectivă,  $S_n^m$ .

Combinatiile posibile ale acestor elemente de simetrie determină 32 de grupuri punctuale care la rândul lor definesc 32 de clase cristalografice corespunzătoare grupurilor punctuale de simetrie al cristalului. Cele 32 de clase cristalografice sînt grupate în șapte sisteme cristalografice: triclinic, monoclinic, ortorombic, tetragonal, trigonal, hexagonal și cubic, prezentate în lucrarea [108]. Fiecărei clase îi corespunde o anumită notație care constă dintr-o succesiune de numere și litere  $m$ . Numerele reprezintă axele de rotație de ordin  $n$ , bara de deasupra numărului (dacă există) indică o operație de inversie, iar litera  $m$  definește un plan de reflexie. Cele mai des întîlnite notații sînt:

- axă de rotație:  $x$ ;
- axă de rotație urmată de inversie:  $\bar{x}$
- axă de rotație și plan de simetrie perpendiculară pe axă:  $x/m$ ;
- axa de rotație și plane de simetrie paralele cu axa:  $xm$ ;
- axa de rotație, plan de simetrie normal pe axă și alte plane de simetrie paralele cu axa:  $x/mm$ ;
- axa de rotație, plan de simetrie normal pe axă, plane de simetrie paralele cu axa și plane de simetrie paralele cu axa și care fac un unghi de  $45^\circ$  cu planele de simetrie paralele cu axa:  $x/mm m$ .

Pe baza celor discutate mai sus, în lucrarea, [108] sînt prezentate formele tensorului susceptibilitate de diferite ordine pentru cele șapte sisteme cristalografice.

## 10. TEORIA ABSORBȚIEI ȘI EMISIEI MULTIFOTONICE ÎN ATOMI

### 10.1. Probabilitatea absorbției multifotonice în atomi

Studiul proceselor multifotonice este determinat de posibilitatea obținerii unor informații mai bogate privind proprietățile materialelor, cuplajului între diferite stări care nu sînt rezultate în urma unor tranziții de dipol electric, studiul efectelor neliniare, generarea de armonici optice și altele.

Pentru a se calcula probabilitatea și secțiunea eficace a tranzițiilor multifotonice care determină tăria și condițiile de apariție a acestor procese,



se folosește teoria perturbațiilor (anexa 3) aplicată ecuației de mișcare pentru matricea densitate.

Hamiltonianul total  $H$ , este format din hamiltonianul sistemului neperturbat  $H_0$  și un termen perturbativ  $H'$  considerat mult mai mic decât  $H_0$ , care caracterizează interacția sistemului cu radiația laser

$$H = H_0 + \lambda H' \quad (10.1)$$

unde  $\lambda$  este un parametru.

Fiecare element de matrice al operatorului densitate poate fi dezvoltat în serie de puteri ale parametrului  $\lambda$ , puterea lui  $\lambda$  indicând ordinul perturbației [12]

$$\rho_{ij} = \sum_p \lambda^p \rho_{ij}^{(p)}. \quad (10.2)$$

Probabilitatea de tranziție  $w$  este determinată de probabilitatea pe unitatea de timp a tranziției dintr-o stare proprie în alta rezultată în urma tranzițiilor induse. Deci, considerînd că la momentul inițial  $t = 0$ , sistemul se află în starea  $|1\rangle$ , adică

$$\rho_{ij}(t = 0) = \delta_{i1} \delta_{j1} \quad (10.3)$$

probabilitatea de tranziție din starea  $|1\rangle$  în starea  $|k\rangle$  este

$$w = \overline{\frac{\partial \rho_{kk}}{\partial t}} \quad (10.4)$$

unde bara de deasupra indică medierea pe o perioadă corespunzătoare frecvenței perturbației, ea fiind necesară în cazul studiului evoluției populației în intervale de timp mai mari decât perioada perturbației.

Luînd în considerare numai tranzițiile induse de radiația de pompaj și neglijînd pe cele rezultate în urma proceselor de relaxare, ecuațiile de mișcare pentru elementele de matrice diagonale, respectiv nedigonale ale operatorului densitate sînt

$$i\hbar \frac{\partial \rho_{jj}^{(p)}}{\partial t} = [H', \rho^{(p-1)}]_{jj} \quad (10.5)$$

$$i\hbar \left( \frac{\partial}{\partial t} + i\omega_{ij} + \frac{1}{\tau_{ij}} \right) \rho_{ij}^{(p)} = [H', \rho^{(p-1)}]_{ij}; \quad i \neq j. \quad (10.6)$$

Pentru perturbația de ordin zero, cu condiția inițială (10.3) soluția ecuațiilor

$$i\hbar \frac{\partial \rho_{jj}^{(0)}}{\partial t} = 0 \quad (10.7)$$

$$i\hbar \left( \frac{\partial}{\partial t} + i\omega_{ij} + \frac{1}{\tau_{ij}} \right) \rho_{ij}^{(0)} = 0; \quad i \neq j \quad (10.8)$$

este

$$\rho_{ij}^{(0)} = \delta_{i1} \delta_{j1}. \quad (10.9)$$



Ținând seama de relațiile (10.5) și (10.6), soluția ecuațiilor corespunzătoare perturbației de ordinul întâi

$$i\hbar \frac{\partial \rho_{jj}^{(1)}}{\partial t} = \sum_k (H'_{jk} \rho_{kj}^{(0)} - \rho_{jk}^{(0)} H'_{kj}) \quad (10.10)$$

$$i\hbar \left( \frac{\partial}{\partial t} + i\omega_{ij} + \frac{1}{\tau_{ij}} \right) \rho_{ij}^{(1)} = \sum_k (H'_{ik} \rho_{kj}^{(0)} - \rho_{ik}^{(0)} H'_{kj}) \quad (10.11)$$

pentru o perturbație sinusoidală

$$H' = \frac{\tilde{H}'}{2} (e^{i\omega t} + e^{-i\omega t}) \quad (10.12)$$

corespunde unei stări staționare și are forma

$$\rho_{ii}^{(1)} = \frac{\tilde{H}'_{ii} e^{i\omega t}}{2i\hbar \left( i\omega + i\omega_{i1} + \frac{1}{\tau_{i1}} \right)} + \frac{\tilde{H}'_{ii} e^{-i\omega t}}{2i\hbar \left( -i\omega + i\omega_{i1} + \frac{1}{\tau_{i1}} \right)}. \quad (10.13)$$

Înlocuind expresia lui  $\rho_{ii}^{(1)}$  în relația (10.5) și (10.6) se obține ecuația de mișcare pentru elementele de matrice diagonale de ordinul 2,  $\rho_{jj}^{(2)}$

$$i\hbar \frac{\partial \rho_{jj}^{(2)}}{\partial t} = \left[ -\frac{|\tilde{H}'_{i1}|^2}{4i\hbar \left( -i\omega - i\omega_{j1} + \frac{1}{\tau_{j1}} \right)} - \frac{|\tilde{H}'_{j1}|^2}{4i\hbar \left( i\omega - i\omega_{j1} - \frac{1}{\tau_{j1}} \right)} \right] +$$

+ c.c. + termeni care depind de  $e^{\pm 2i\omega t}$ . (10.14)

În urma operației de mediere, relația (10.14) devine

$$i\hbar \frac{\partial \rho_{jj}^{(2)}}{\partial t} = \frac{i|\tilde{H}'_{j1}|^2}{2\hbar \tau_{j1}} \left[ \frac{1}{(\omega - \omega_{j1})^2 + \frac{1}{\tau_{j1}^2}} + \frac{1}{(\omega + \omega_{j1})^2 + \frac{1}{\tau_{j1}^2}} \right]. \quad (10.15)$$

Cînd  $\omega \simeq \omega_{j1}$ , primul termen al relației (10.15) crește foarte mult, obținîndu-se fenomenul de rezonanță care implică absorbția unui singur foton. În acest caz probabilitatea de absorbție a unui singur foton  $w_{(1)}$  este dată de

$$w_{(1)} = \frac{\partial \rho_{jj}^{(2)}}{\partial t} = \frac{|\tilde{H}'_{j1}|^2}{2\hbar^2} \pi g_L(\omega) \quad (10.16)$$

unde

$$g_L(\omega) = \frac{1}{\pi} \cdot \frac{1/T_2}{(\omega_{j1} - \omega)^2 + \left( \frac{1}{T_2} \right)^2} \quad (10.17)$$

reprezintă funcția de formă a liniei spectrale a lui Lorentz care determină forma liniei lărgite omogen (cap. 1).

În cazul unui mediu izotrop

$$|\tilde{H}'_{21}|^2 = \frac{|\mathbf{d}_{12}|^2}{3} |\mathbf{E}|^2 \quad (10.18)$$



iar probabilitatea tranziției de dipol dintre două nivele este dată de relația

$$w_{(1)} = \frac{|\mathbf{d}_{12}|^2 |\mathbf{E}|^2}{6\hbar^2} \pi g_L(\omega). \quad (10.19)$$

Dacă liniile sînt lărgite neomogen prin efect Doppler, în expresia probabilității (10.16) factorul Lorentz care determină forma liniei trebuie înlocuit cu unul de tip Gauss

$$g_G(\omega) = \frac{[(4/\pi)\ln 2]^{1/2}}{\Delta\omega_G} \exp \left[ -4(\ln 2) \frac{(\omega_{j1} - \omega)^2}{(\Delta\omega_G)^2} \right] \quad (10.20)$$

unde  $\omega_{j1}$  reprezintă frecvențele de tranziție ale atomului, iar  $\Delta\omega_G$  este lărgimea liniei. Formula probabilității de tranziție este valabilă numai dacă întinderea spectrală a radiației incidente este mult mai mică decît lărgimea liniei corespunzătoare tranzițiilor, iar raportul dintre frecvența tranzițiilor și lărgimea liniilor este mult mai mare decît unu, adică

$$\omega_{j1} \tau_{j1} \gg 1. \quad (10.21)$$

De asemenea, pentru ca medierea temporală să fie corectă trebuie ca timpul necesar tranziției să fie mare în comparație cu perioada perturbației armonice.

Probabilitatea de absorbție a doi fotoni  $w_{(2)}$  este definită cu ajutorul relației

$$w_{(2)} = \frac{\partial \overline{\rho_{jj}^{(4)}}}{\partial t}. \quad (10.22)$$

Pentru determinarea elementelor de matrice ale operatorului densitate, corespunzătoare perturbației de ordinele trei și patru se folosește același procedeu ca și pentru determinarea elementelor de ordinele unu și doi, prezentate mai înainte. Astfel, pentru probabilitatea de tranziție care determină absorbția a doi fotoni se obține expresia [12]

$$w_{(2)} = \frac{\pi g_L(2\omega)}{8\hbar^4} \left| \sum_q \frac{\tilde{H}'_{jq} \tilde{H}'_{q1}}{\omega - \omega_{q1}} \right|^2 \quad (10.23)$$

unde

$$g_L(2\omega) = \frac{1}{\pi} \cdot \frac{1/\tau_{j1}}{(2\omega - \omega_{j1})^2 + 1/\tau_{j1}^2}. \quad (10.24)$$

Din relațiile (10.16) și (10.23) se observă că probabilitatea absorbției a doi fotoni este proporțională cu pătratul intensității radiației dacă hamiltonianul de interacție variază liniar cu cîmpul (cum este cazul interacțiilor de dipol și cuadrupol electric sau magnetic) în timp ce probabilitatea de absorbție a unui singur foton variază liniar cu intensitatea radiației.

Cu ajutorul relației (10.23) se pot determina condițiile care trebuie impuse parității stărilor între care au loc tranzițiile pentru absorbția a doi fotoni. Întrucît operatorul momentului de dipol electric este impar, trebuie ca tranzițiile să aibă loc între stări cu parități opuse. Deci, pentru ca ele-



mentele de matrice  $H'_{jq}$  și  $H'_{q1}$  să fie diferite de zero trebuie ca stările  $|j\rangle$  și  $|q\rangle$  și respectiv  $|q\rangle$  și  $|1\rangle$  să aibă parități opuse, adică tranzițiile care implică absorbția a doi fotoni trebuie să aibă loc între două stări  $|1\rangle$  și  $|j\rangle$  care au aceeași paritate. Aceleași condiții trebuie îndeplinite și în cazul tranzițiilor de cuadropol electric (sau de dipol magnetic). Totuși, în cazul cristalelor, din cauza câmpului local care poate distruge simetria de inversie, stările între care au loc tranzițiile care implică absorbția a doi fotoni pot să aibă parități mixte.

Continuând procedeul prezentat mai înainte se poate calcula expresia generală pentru probabilitatea de absorbție a  $m$  fotoni între stările  $|1\rangle$  și  $|j\rangle$

$$w_{(m)} = \frac{\pi g_L(m\omega)}{2^{2m-1} \hbar^{2m}} \left| \sum_{q, k, \dots, s, p} \frac{\tilde{H}'_{jq} \cdot \tilde{H}'_{qk} \dots \tilde{H}'_{sp} \tilde{H}'_{p1}}{[(m-1)\omega - \omega_{q1}][(m-2)\omega - \omega_{k1}] \dots} \times \right. \\ \left. \times \frac{1}{\dots [2\omega - \omega_{s1}][\omega - \omega_{p1}]} \right|^2. \quad (10.25)$$

Din relația (10.25) se observă că dacă  $H'$  reprezintă operatorul tranzițiilor de dipol, probabilitatea de absorbție a  $m$  fotoni variază cu puterea  $m$  a intensității radiației și pentru stări care au o paritate definită,  $|1\rangle$  și  $|j\rangle$  trebuie să aibă aceeași paritate pentru  $m$  par și parități opuse pentru  $m$  impar.

Absorbția multifotonică mai poate fi caracterizată și de secțiunea eficace de absorbție care este definită după cum s-a mai arătat ca raportul dintre puterea absorbită pe unitatea de volum  $P_V$  și produsul dintre numărul de molecule pe unitatea de volum  $N_V$  și puterea medie pe unitatea de suprafață a radiației incidente  $I$

$$\sigma_e = \frac{P_V}{N_V I}. \quad (10.26)$$

Secțiunea eficace de absorbție reprezintă aria efectivă prin care atomii (sau moleculele) absorb radiația incidentă și poate fi exprimată cu ajutorul probabilității de tranziție. Puterea absorbită de  $N_V$  atomi pe unitatea de volum este dată de produsul dintre energia implicată în tranziție,  $\hbar\omega_{21}$ , probabilitatea tranziției  $w$  și concentrația de atomi

$$P_V = N_V \hbar\omega_{21} w. \quad (10.27)$$

Ținând seama de expresia densității de putere a radiației incidente

$$I = \frac{nc\epsilon_0 |\mathbf{E}|^2}{2} \quad (10.28)$$

unde  $n$  reprezintă indicele de refracție, iar  $c$  viteza luminii, secțiunea eficace de absorbție este dată de relația

$$\sigma_e = \frac{2\hbar\omega_{21} w}{n c \epsilon_0 |\mathbf{E}|^2}. \quad (10.29)$$

Cunoscînd expresia probabilității de tranziție  $w_{(m)}$  (10.25), cu ajutorul relației (10.29) se pot calcula secțiunile eficace ale proceselor de absorbție multifotonică, atât pentru atomi (sau molecule) izolați cît și pentru medii dense, în acest ultim caz relația (10.29) trebuind să fie multiplicată cu un factor de corecție Lorentz din cauza variației indicelui de refracție.



Astfel, pentru un atom izolat, secțiunea eficace de absorbție a unui foton

$$\sigma_{c(1)} = \frac{\pi \omega_{21} |\mathbf{d}_{12}|^2 g_L(\omega)}{3 n c \epsilon_0 \hbar} \quad (10.30)$$

care are tăria oscilatorului apropiată de unitate, este de același ordin de mărime cu aria atomului:  $2,6 \cdot 10^{-22} \text{ cm}^2$  [137].

Într-un sistem cu trei nivele energetice  $|1\rangle$ ,  $|2\rangle$  respectiv  $|3\rangle$  ca nivel intermediar, secțiunea eficace pentru absorbția a doi fotoni

$$\sigma_{c(2)} = \frac{\pi \omega g_L(2\omega) |\mathbf{d}_{32}|^2 |\mathbf{d}_{31}|^2 |\mathbf{E}|^2}{18 n c \epsilon_0 \hbar^3 (\omega - \omega_{31})^2} \quad (10.31)$$

(unde  $\omega_{21} = 2\omega$ ), depinde de intensitatea radiației incidente, de frecvența  $\omega$  și are o valoare numerică de  $\simeq 1,5 \cdot 10^{-25} \text{ cm}^2$  pentru un laser cu densitatea de putere de  $10^7 \text{ W/cm}^2$ . Secțiunea eficace pentru absorbția a trei fotoni

$$\sigma_{c(3)} = \frac{3\pi \omega g_L(3\omega)}{16 \hbar^5 n c \epsilon_0} \left( \frac{|\mathbf{d}_{21}|^2}{3} \right)^3 \frac{|\mathbf{E}|^4}{[2\omega(\omega - \omega_{21})]^2} \quad (10.32)$$

(unde  $\omega_{21} = 3\omega$ ), are o valoare și mai mică de  $\simeq 8 \cdot 10^{-32} \text{ cm}^2$  pentru un laser cu densitatea de putere de  $10^7 \text{ W/cm}^2$ .

În cazul absorbției mai multor fotoni, se poate obține o relație de recurență pentru secțiunile eficace, de forma

$$\sigma_{c(m+1)} = 10^{-19} |\mathbf{E}|^2 \sigma_{c(m)}. \quad (10.33)$$

## 10.2. Procese multifotonice rezonante în atomi

Procesele în care tranzițiile între diferite nivele legate sau libere ale atomilor au loc prin absorbția simultană a  $n$  fotoni sînt rezonante dacă suma energiilor celor  $n$  fotoni este egală cu diferența dintre energiile nivelelor implicate. O dată cu apariția laserilor acordabili de mare putere, studiul proceselor multifotonice rezonante a căpătat o mare importanță datorită aplicațiilor la separarea izotopilor, inducerea de reacții chimice, generarea radiației coerente în domeniul ultraviolet al spectrului. Probabilitatea tranzițiilor multifotonice poate fi mult mărită dacă frecvența radiației cîmpului excitator este acordată pe frecvența de rezonanță corespunzătoare nivelelor intermediare. Se crează astfel posibilitatea investigării dependenței proceselor multifotonice de frecvență și intensitatea radiației de pompaj, în vederea stabilirii condițiilor optime de interacție, întrucît chiar la rezonanță există unele fenomene care limitează absorbția, cum ar fi: saturația, schimbarea frecvenței datorită radiației incidente, tranzițiile inverse etc.

Procesul de excitare rezonantă poate avea loc fie prin utilizarea unor nivele intermediare, care implică de exemplu tehnici de rezonanță cu trei nivele (prezentate la capitolul 17), fie prin absorbția simultană a  $n$  fotoni.

Neglijînd fenomenul de saturație, probabilitatea de tranziție poate fi calculată cu ajutorul teoriei perturbațiilor. Pe baza modelului prezentat



în lucrarea [126] funcția de undă  $\psi(t)$  a unui atom poate fi dezvoltată într-un sistem complet de funcții proprii ale stărilor excitate  $|n\rangle$  de forma

$$|\psi(t)\rangle = \sum_n C_n(t) e^{-\frac{i}{\hbar} E_n t} |n\rangle. \quad (10.34)$$

Introducând funcția de undă dată de relația (10.34) în ecuația temporală a lui Schrödinger, se obțin pentru amplitudinile de probabilitate  $C_p(t)$  următoarele ecuații de mișcare

$$\dot{C}_p = -i \sum_n d_{pn}(t) e^{-\frac{i}{\hbar} E_{np} t} C_n(t) \quad (10.35)$$

unde,  $d_{pn} = -\langle p | dE(t) | n \rangle$  reprezintă elementele de matrice ale tranzițiilor între două stări de energie  $E_p$  respectiv  $E_n$ . Sub acțiunea unei radiații de pompaj de frecvență  $\omega$ , probabilitatea ca atomul să se afle

într-o stare intermediară  $|j\rangle$ ,  $|C_j(t) e^{-\frac{i}{\hbar} E_j t}|^2$ , se obține în urma integrării relației (10.35), cu condiția inițială

$$C_g(t) = C_g(0) = 1 \quad (10.36)$$

sub forma

$$w_j(t) = \frac{|d_{jg}|^2}{\Delta_j^2 + \gamma_j^2/4} (1 + e^{-\gamma_j t} - 2(\cos \Delta_j t) e^{-\gamma_j t/2}). \quad (10.37)$$

În relația (10.37),  $g$  specifică starea fundamentală, iar  $\Delta_j = \omega_j - \omega$ . Dependența probabilității de timp este prezentată în fig. 10.1.

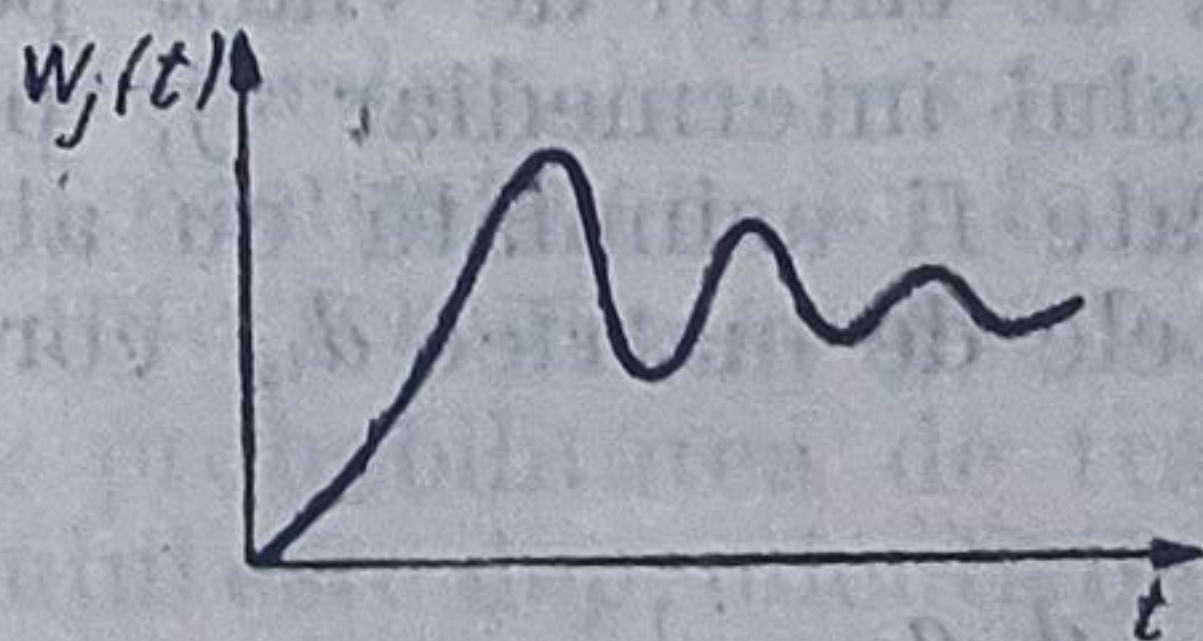


Fig. 10.1

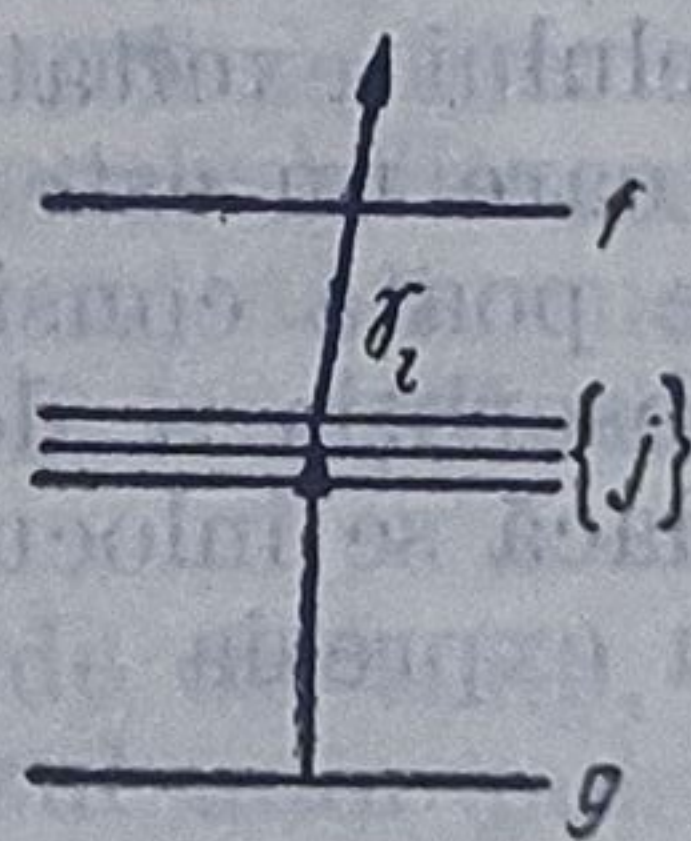


Fig. 10.2

Amplitudinea de probabilitate pentru ca atomul să se afle într-o stare finală  $|f\rangle$  în urma absorbției a  $l$  fotoni, este dată de relația

$$C_f^{(l+1)}(t) = -i \sum_j \int_0^t d_{fj}(t') e^{\frac{i}{\hbar} E_{fj} t'} C_j^{(l)}(t') dt'. \quad (10.38)$$

În cazul particular al absorbției rezonante a doi fotoni, care are loc prin intermediul nivelului  $\{j\}$ , pe baza schemei de mai jos,

$$C_g^{(0)}(t) \rightarrow C_{\{j\}}^{(1)}(t) \rightarrow C_f^{(2)}(t) \quad (10.39)$$



și a diagramei prezentate în fig. 10.2, amplitudinea de probabilitate devine

$$C_f^{(2)}(t) = - \sum_i \frac{d_{fi}d_{ig}}{i\Delta_i + \gamma_i/2} \left( \frac{(\exp\{i(\omega_f - 2\omega)t + \gamma_f t/2\} - 1}{i(\omega_f - 2\omega) + \gamma_f/2} \times \right. \\ \left. \times \frac{-\exp\left\{-i\left[\omega_i - \omega_f - \frac{i}{2}(\gamma_i - \gamma_f) + \omega\right]t\right\} - 1}{-i\left[\omega_i - \omega_f - \frac{i}{2}(\gamma_i - \gamma_f) + \omega\right]} \right). \quad (10.40)$$

Primul termen al relației (10.40) reprezintă amplitudinea de probabilitate a tranziției coerente  $C_{f2(c)}^{(2)}(t)$ , care are loc pe baza absorbției rezonante a doi fotoni prin implicarea nivelului intermediar  $\{j\}$ . Această amplitudine depinde numai de dezacordul frecvențelor  $(\omega_f - 2\omega)$  determinat de absorbția celor 2 fotoni și de rata de relaxare  $\gamma_f$  a stării finale. Probabilitatea tranziției cu doi fotoni care implică un nivel intermediar  $\{j\}$

$$w_{f2(c)}(t) = \sum_i \left| \frac{d_{fi}d_{ig}}{i\Delta_i + \gamma_i/2} \right|^2 \frac{1}{(\omega_f - 2\omega)^2 + \gamma_f^2/4} \times \\ \times [1 + e^{-\gamma_f t} - 2 \cos(\omega_f - 2\omega)t e^{-\gamma_f t/2}] \quad (10.41)$$

depinde atât de dezacordul frecvențelor  $(\omega_f - 2\omega)$  determinat de absorbția celor doi fotoni cît și de cel corespunzător absorbției primului foton  $\Delta_i = \omega_i - \omega$ , însă nu depinde de dezacordul frecvențelor procesului în treaptă  $(\omega_f - \omega_i)$  care implică absorbția celui de-al doilea foton de pe nivelul intermediar  $\{j\}$ . Ea, oscilează cu frecvența  $(\omega_f - 2\omega)$ , se relaxează la o valoare staționară cu rata  $\gamma_f$ , iar dependența de timp este aceeași cu cea corespunzătoare unui singur foton prezentată în fig. 10.1. Întrucît relaxarea nivelului excitat rezultat din formula probabilității  $w_{f2(c)}$  are loc cu o rată care nu este determinată de timpii de viață pe nivelele intermediare, se poate considera că nivelul intermediar  $\{j\}$  poate fi chiar virtual, iar absorbția a doi fotoni poate fi asimilată cu absorbția unui singur foton dacă se înlocuiesc elementele de matrice  $d_{ig}$  corespunzătoare unui foton cu expresia

$$|d^{(2)}| = \left| \sum_i \frac{d_{fi}g_{ig}}{i\Delta_i + \gamma_i/2} \right| \quad (10.42)$$

care reprezintă frecvența Rabi pentru doi fotoni. În relația (10.42) operația de însumare se face înainte de a se calcula modulul, astfel că fenomenele de rezonanță au loc cînd  $\Delta_i = 0$  și corespund unor maxime. Un astfel de fenomen de excitare în regim de tranziție cu doi fotoni a fost pus în evidență experimental în lucrarea [127] cu ajutorul vaporilor de sodiu. Spectrul obținut prin absorbția în regim de tranziție a doi fotoni prezentat în fig. 10.3 evidențiază creșterea modulației funcției de dezacordul frecvențelor  $\Delta = \omega_f - 2\omega$  corespunzător absorbției a doi fotoni. Pentru a se observa aceste efecte a fost necesară eliminarea efectului Doppler prin diferite tehnici spectroscopice prezentate în cap. 20, precum și a excitației în treaptă, utilizînd valori mari ale dezacordului frecvențelor



corespunzătoare unui singur foton. Detecția fost făcută prin înregistrarea spectrului de fluorescență obținut în urma tranzițiilor suferite de atomi de pe nivelul  $4d$  corespunzător stării finale pe nivelul intermediar  $3p$ .

Al doilea termen al relației (10.40)

$$C_{f(i)}^{(2)}(t) = \sum_i \frac{d_{fi}d_{ig}}{i\Delta_i + \gamma_i/2} \left( \frac{\exp\left\{-i\left[\omega_i - \omega_f - \frac{i}{2}(\gamma_i - \gamma_f) + \omega\right]t\right\}}{-i\left[\omega_i - \omega_f - \frac{i}{2}(\gamma_i - \gamma_f) + \omega\right]} \right), \quad (10.43)$$

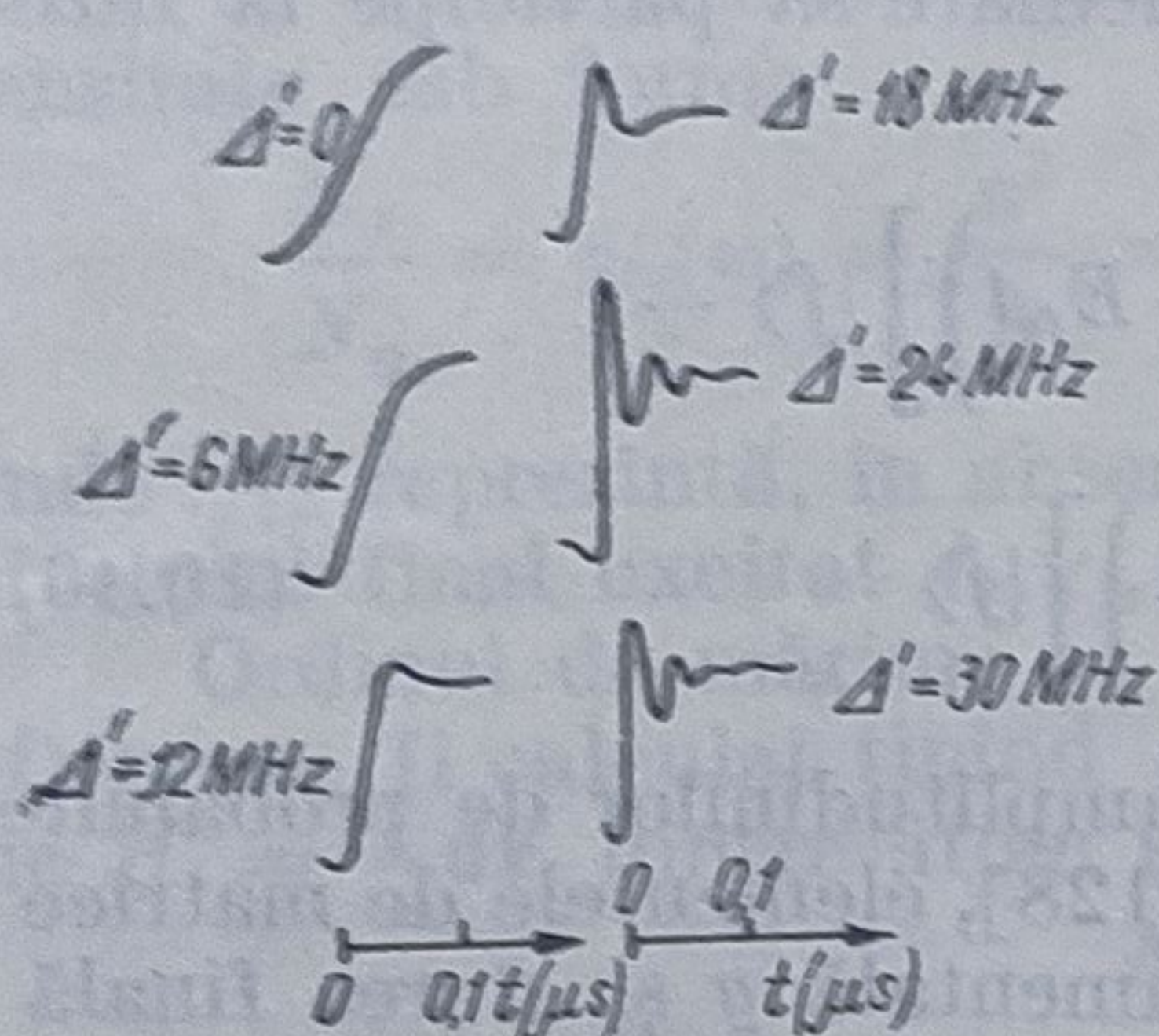


Fig. 10.3

corespunde așa-numitei excitații în treaptă și descrie excitarea necoerentă a atomilor în starea intermediară  $|j\rangle$  și apoi în starea finală  $|f\rangle$ . Acest termen nu oscilează cu frecvența  $\omega$  și se relaxează la o valoare staționară cu atât mai rapid cu cât crește intervalul de timp. Sub acțiunea unei radiații monocromatice, probabilitatea de excitație în treaptă, pentru o singură stare intermediară, este

$$w_{f(i)} = \frac{|d_{ig}|^2}{(\omega_j - \omega)^2 + \gamma_i^2/4} \cdot \frac{|d_{fi}|^2}{(\omega_f - \omega_i - \omega)^2 + (\gamma_f - \gamma_i)^2/4} \times \\ \times (e^{-\gamma_f t} + e^{-\gamma_i t} - 2 \cos(\omega_f - \omega_i - \omega)t e^{-(\gamma_i + \gamma_f)t/2}). \quad (10.44)$$

Termenul  $(\gamma_f - \gamma_i)$  care apare la numitorul relației (10.44) caracterizează competiția dintre procese cărora le corespund diferite rate de relaxare. Astfel, în general, pentru a caracteriza probabilitatea de tranziție pe un nivel intermediar  $|j\rangle$ , aceasta trebuie să conțină termenii corespunzători excitării coerente cu doi fotoni, excitării în treaptă, dar și termenii rezultați din interferența acestora.

Întrucât probabilitatea de tranziție depinde de timp, rezultă că și natura spectrului este dependentă de timp. În cazul unor pulsuri de scurtă durată, lărgimea efectivă a benzii radiației incidente  $\Delta\omega \simeq t^{-1}$  este mare, astfel că la excitarea stării finale prin intermediul nivelului  $|j\rangle$  contribuie atât procesele în treaptă, cât și cele determinate de absorbția coerentă a doi fotoni (fig. 10.4, a). Dacă durată pulsurilor este mare contribuția proceselor coerente la excitarea stării finale este determinantă (fig. 10.4, b).

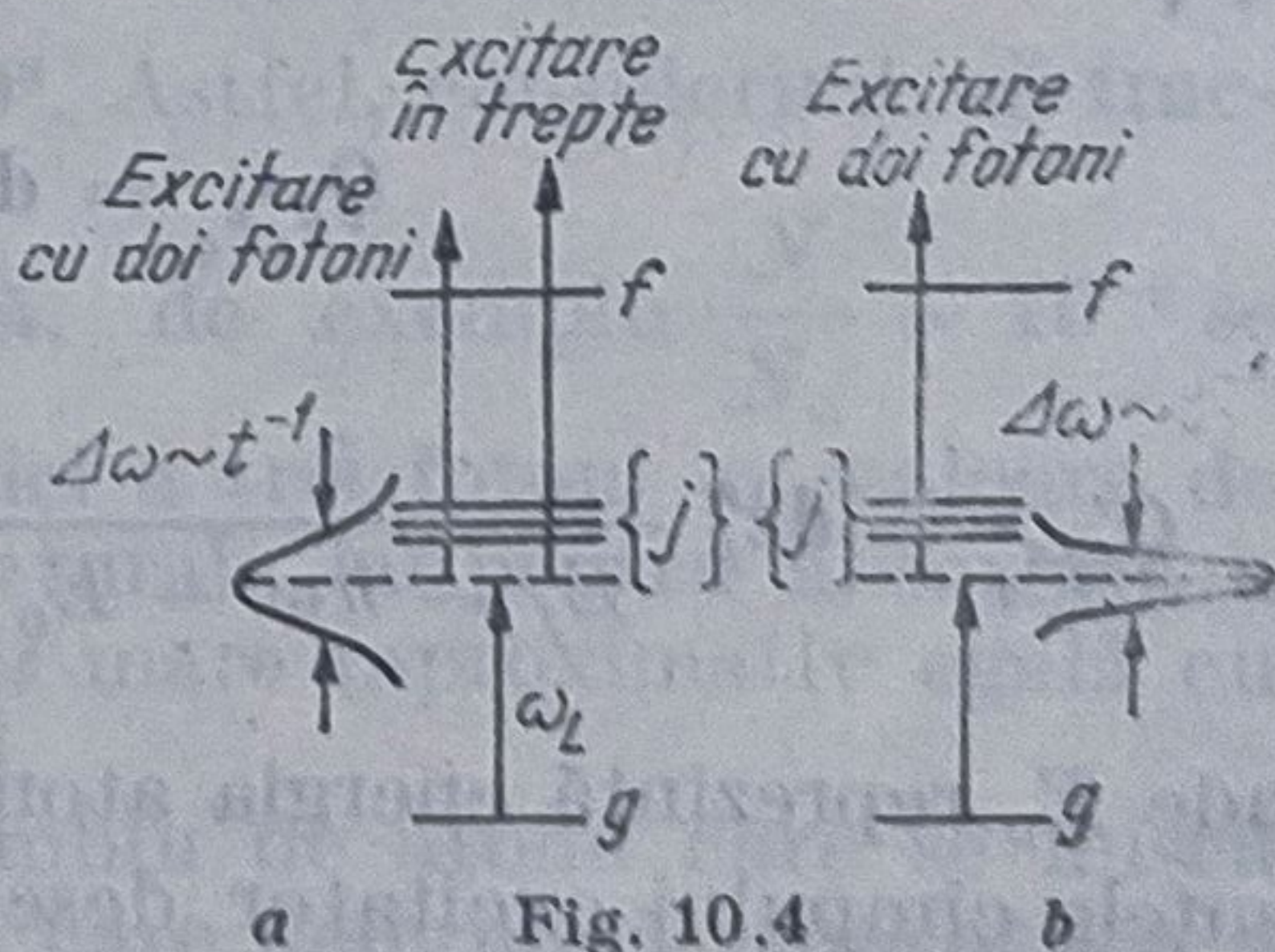


Fig. 10.4

Una din tehnicile de detecție a tranzițiilor multifotonice este legată de înregistrarea spectrului de fluorescență, semnalul obținut fiind proporțional cu populația nivelului final excitat  $N_f$ . Pentru aflarea populației nivelului excitat trebuie rezolvată ecuația de mișcare a operatorului densitate (anexa 1). În vederea simplificării



calculelor, se consideră că diferența  $\hbar\Delta\omega_j = |\hbar\omega - E_{jg}|$  dintre energia diferitelor nivele excitate  $j_1, j_2 \dots$  și energia cîmpului excitator descris de o relație de forma

$$E_p = \text{Re}\{\varepsilon_p \mathcal{E}_p \exp(-i\omega_p t)\}, \quad p = 1, 2, 3 \dots \quad (10.45)$$

este mult mai mare decît lărgimea naturală și respectiv de saturație corespunzătoare tranzițiilor din starea fundamentală în diferite stări intermediare excitate,  $g \rightarrow j$ , și de aici în starea finală,  $j \rightarrow f$ , stările  $g$  și  $f$  fiind considerate nedegenerate.

De asemenea, se consideră că tranzițiile rezonante care implică  $n$  fotoni au loc în treaptă, fără ca nivelele intermediare să participe la rezonanță. Introducînd funcția de undă

$$|\psi\rangle = C_g(t)|g\rangle + C_f(t)\left[\exp\left(-\frac{i}{\hbar}E_{fg}t\right)\right]|f\rangle + \sum_j C_j(t)\left[\exp\left(-\frac{i}{\hbar}E_{jg}t\right)\right]|j\rangle \quad (10.46)$$

în ecuația lui Schrödinger se obțin expresiile amplitudinilor de probabilitate. Pe baza modelului prezentat în lucrarea [128], elementele de matrice corespunzătoare tranzițiilor între starea fundamentală  $g$  și starea finală  $f$  sînt date de relațiile

$$\langle f|H_i|f\rangle = \frac{1}{4} \sum_p \sum_q \langle f|Q'_{\varepsilon_p \varepsilon_q^*}|f\rangle \mathcal{E}_p \mathcal{E}_q^* \exp[i(\omega_q - \omega_p)t] \quad (10.47)$$

$$\langle f|H_i|g\rangle = \frac{1}{2^3} \sum_p \sum_{q,r} \langle f|Q_{\varepsilon_p \varepsilon_q \dots \varepsilon_r}^{(n)}|g\rangle \mathcal{E}_p \mathcal{E}_q^* \dots \mathcal{E}_r [\exp[-i(\omega_p + \omega_q + \dots + \omega_r)t]] \quad (10.48)$$

$$\langle g|H_i|g\rangle = \frac{1}{4} \sum_p \sum_q \langle g|Q_{\varepsilon_p \varepsilon_q^*}^*|g\rangle \mathcal{E}_p^* \mathcal{E}_q \exp[i(\omega_p - \omega_q)t]. \quad (10.49)$$

În expresia elementelor de matrice diagonale operatorii  $Q_{\varepsilon_p \varepsilon_q^*}^*$  și  $Q'_{\varepsilon_p \varepsilon_q^*}$  corespunzător absorbtiei a doi fotoni sînt definiți astfel

$$Q_{\varepsilon_p \varepsilon_q^*}^* = d\varepsilon_p^* \cdot \frac{1}{\hbar\omega - E_0} d\varepsilon_q \quad (10.50)$$

$$Q'_{\varepsilon_p \varepsilon_q^*} = d\varepsilon_p^* \frac{1}{E_f - \hbar\omega - E_0} d\varepsilon_q^* + d\varepsilon_q^* \frac{1}{E_f + \hbar\omega - E_0} d\varepsilon_p. \quad (10.51)$$

unde  $E_0$  reprezintă energia atomului liber, iar  $\omega$  poate fi oricare din frecvențele cîmpului excitator descris de relația (10.45). Operatorul  $Q_{\varepsilon_p \varepsilon_q \dots \varepsilon_r}^{(n)}$  care apare în elementele de matrice nediagonale este dat de relația

$$Q_{\varepsilon_p \varepsilon_q \dots \varepsilon_r}^{(n)} = d\varepsilon_p \frac{1}{\hbar(\omega_q + \dots + \omega_r) - E_0} d\varepsilon_q \dots \frac{1}{\hbar\omega_r - E_0} d\varepsilon_r. \quad (10.52)$$



Elementele de matrice diagonale în cazul tranzițiilor cuantice care implică  $n$  fotoni sînt proporționale cu pătratul amplitudinii cîmpului electric  $\mathcal{E}^2$  și determină schimbarea frecvenței, iar elementele de matrice nedigonale sînt proporționale cu  $\mathcal{E}^n$  și produc saturația. Efectele determinate de schimbarea frecvenței pot deveni foarte importante chiar dacă în timpul tranzițiilor nu se ajunge la saturație, astfel că în practică este necesar ca să fie admisă o anumită valoare a variației frecvenței pentru a obține o rată de tranziție semnificativă  $N_f/N_0$ .

Dacă nu se iau în considerare fenomenele de saturație, la rezonanță, fracțiunea de atomi aflați în stare excitată  $|f\rangle$  ca rezultat al absorbției a  $n$  fotoni se calculează cu ajutorul elementelor de matrice ale operatorului densitate sub forma

$$\frac{N_f}{N_0} = \rho_{ff}(\omega) = \frac{a^2}{2} = 2 \left| \langle f | Q_{\epsilon_1 \dots \epsilon_n}^{(n)} | g \rangle \left( \frac{\mathcal{E}}{2} \right)^n \right|^2 (\hbar^2 \gamma_f \gamma_{fg})^{-1} \quad (10.53)$$

unde:  $\gamma_f$  reprezintă, în absența ciocnirilor, inversul timpului de viață al nivelului final excitat  $f$ ,  $\gamma_{fg} = \gamma_f/2$ , iar  $a^2$  este parametrul de saturație.

Ordinul de mărime al fracțiunii de atomi aflați în stare excitată  $|f\rangle$  poate fi calculat ținînd seama de expresia hamiltonianului de interacție  $H_i = -\mathbf{d} \cdot \mathbf{E}$  dintre atom și cîmpul exterior, cu ajutorul relației

$$\frac{N_e}{N_0} = \frac{H_i^{2n}}{(\Delta\omega)^{2n-2} \gamma_f^2}. \quad (10.54)$$

În relația (10.54)  $\hbar\Delta\omega$  este diferența dintre energiile diferitelor nivele  $E_j$  care sînt implicate în tranzițiile cu 1, 2, ...,  $n$  fotoni și energia cîmpului incident. Cu ajutorul relației (10.54) se poate calcula mărimea  $s$  care determină schimbarea frecvenței la numitorii relațiilor (10.50)–(10.52), sub forma

$$\left( \frac{s}{\hbar\gamma_f} \right)^n \sim \left( \frac{\Delta\omega}{\gamma_f} \right)^{n-2} \frac{N_f}{N_0}. \quad (10.55)$$

Dacă în tranziții sînt implicați doi fotoni, raportul  $s/\hbar\gamma_f$  dintre mărimea deplasării frecvenței și lărgimea naturală a nivelului final excitat este de ordinul de mărime al ratei de tranziție  $N_f/N_0$ . Pentru această rată de tranziție în cazul absorbției a  $n$  fotoni, raportul  $s/\hbar\gamma_f$  este multiplicat cu factorul  $\left( \frac{\Delta\omega}{\gamma_f} \right)^{-2/n}$  care crește cu creșterea numărului de fotoni  $n$  pînă la

valori ale raportului  $\frac{\Delta\omega}{\gamma_f}$  de ordinul  $10^7$ – $10^8$ . Astfel, considerînd că frac-

țiunea de atomi excitați este relativ mică, de exemplu  $\frac{N_f}{N_0} \sim 10^{-6}$  se

obține pentru mărimea  $s$  în cazul absorbției a trei fotoni o valoare de același ordin de mărime cu cea a lărgimii naturale, iar pentru absorbția a patru fotoni, o valoare de o mie de ori mai mare (aproximativ egală cu lărgimea datorită efectului Doppler) ș.a.m.d.

În urma interacției dintre un ansamblu de atomi care se mișcă cu viteza  $v$  și mai multe radiații de pompaj care determină absorbția a  $n$  fotoni care au vectorii de undă  $k_1, \dots, k_n$ , frecvența tranzițiilor este deplasată datorită efectului Doppler cu o cantitate egală cu  $\sum_{i=1}^n k_i v$ . Eli-



minarea lărgimii liniilor spectrale datorită efectului Doppler, care maschează structura hiperfină se poate face utilizând pentru iradiere mai multe fascicule care au direcții diferite, astfel încât suma vectorială a vectorilor de undă să fie egală cu zero

$$\sum_{i=1}^n \mathbf{k}_i = 0. \quad (10.56)$$

În cazul absorbției a doi fotoni, cei doi vectori de undă trebuie să fie egali în mărime și de sens contrar. Această condiție poate fi îndeplinită și în cazul undelor staționare obținute în urma reflexiei radiației laser pe o oglindă (cap. 17). Dacă în tranziție sînt implicați mai mulți de doi fotoni, pentru aceeași valoare a energiei există mai multe posibilități de alegere a vectorilor de undă ai radiațiilor incidente. Astfel, pentru ca absorbția a trei fotoni să aibă loc fără efect Doppler, trebuie ca vectorii de undă ai radiațiilor incidente să verifice relațiile triunghiului.

Relația (10.56) mai poate fi privită și ca o lege de conservare a impulsurilor fotonilor absorbiți. Impulsul total al fotonilor absorbiți fiind egal cu zero, viteza lor nu se schimbă astfel că toată energia fotonilor se transformă în energie internă conform relației

$$E_{fg} = \sum_{i=1}^n \hbar c k_i. \quad (10.57)$$

De asemenea, întrucît impulsul total este zero, nu există efect de recul al atomului excitat, iar ca rezultat, liniile spectrale sînt lărgite din cauza efectului Doppler de ordinul doi, a cărei mărime  $E_{fg} \frac{v^2}{2c^2}$ , este prea mică pentru a putea fi observată.

### 10.3. Ionizarea atomilor prin absorbția rezonantă a mai multor fotoni

Printre metodele de ionizare ale atomilor se numără și cea care folosește excitarea multifotonică [128].

S-a constatat că numărul de ioni obținuți crește foarte mult cînd frecvența radiației excitatoare este astfel aleasă încît să aibă loc o tranziție rezonantă pe un nivel intermediar, cu participarea mai multor fotoni. Astfel, de exemplu, numărul ionilor de cesiu obținuți prin absorbția a patru fotoni produși de un laser cu  $\lambda = 1,06 \mu\text{m}$  crește foarte mult atunci cînd nivelul intermediar  $6F'$  este excitat rezonant cu trei fotoni (fig. 10.5).

La rezonanță, un rol important îl joacă fenomenele de saturație și de deplasare a frecvenței. Pentru o intensitate a radiației excitatoare



$I = 1 \text{ GW/cm}^2$ , în cazul cesiului, de exemplu, lungimea de undă a radiației excitatoare pentru tranziția  $6S \rightarrow 6F$ , care corespunde absorbției rezonante a trei fotoni este deplasată cu aproximativ  $1 \text{ \AA}$ .

Ținând seamă de această deplasare a frecvenței se poate explica variația ordinului de neliniaritate corespunzător procesului de ionizare prin absorbția rezonantă a  $n$  fotoni. Ordinul de neliniaritate  $K$  este caracteristic fenomenelor neliniare și este definit în cazul ionizării de relația

$$K = \frac{\partial \log N_I}{\partial \log I} \quad (10.58)$$

unde  $N_I$  reprezintă numărul de ioni obținuți în urma tranzițiilor multifotonice, iar  $I$  este intensitatea radiației incidente. Dacă fenomenul de re-

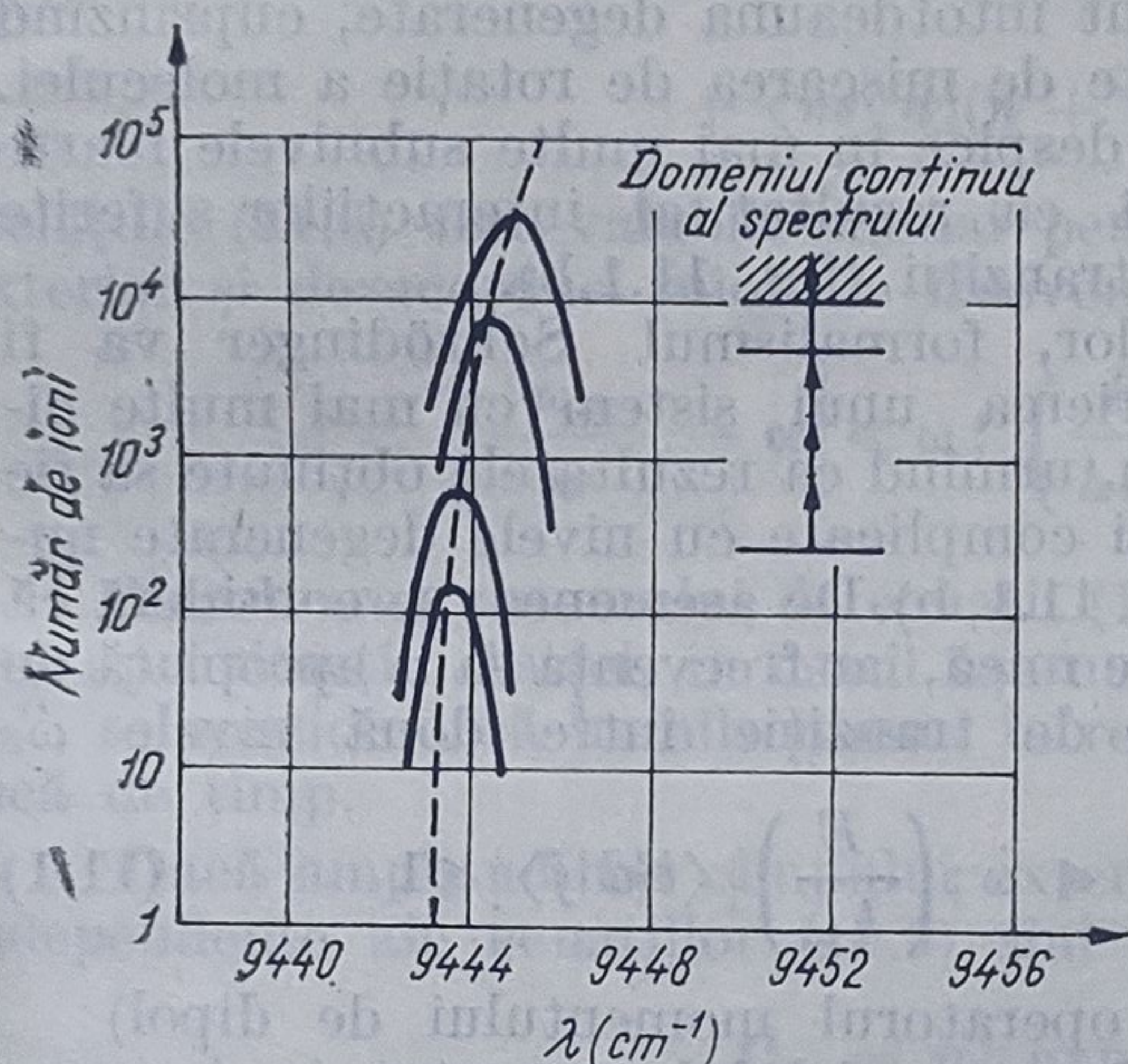


Fig. 10.5

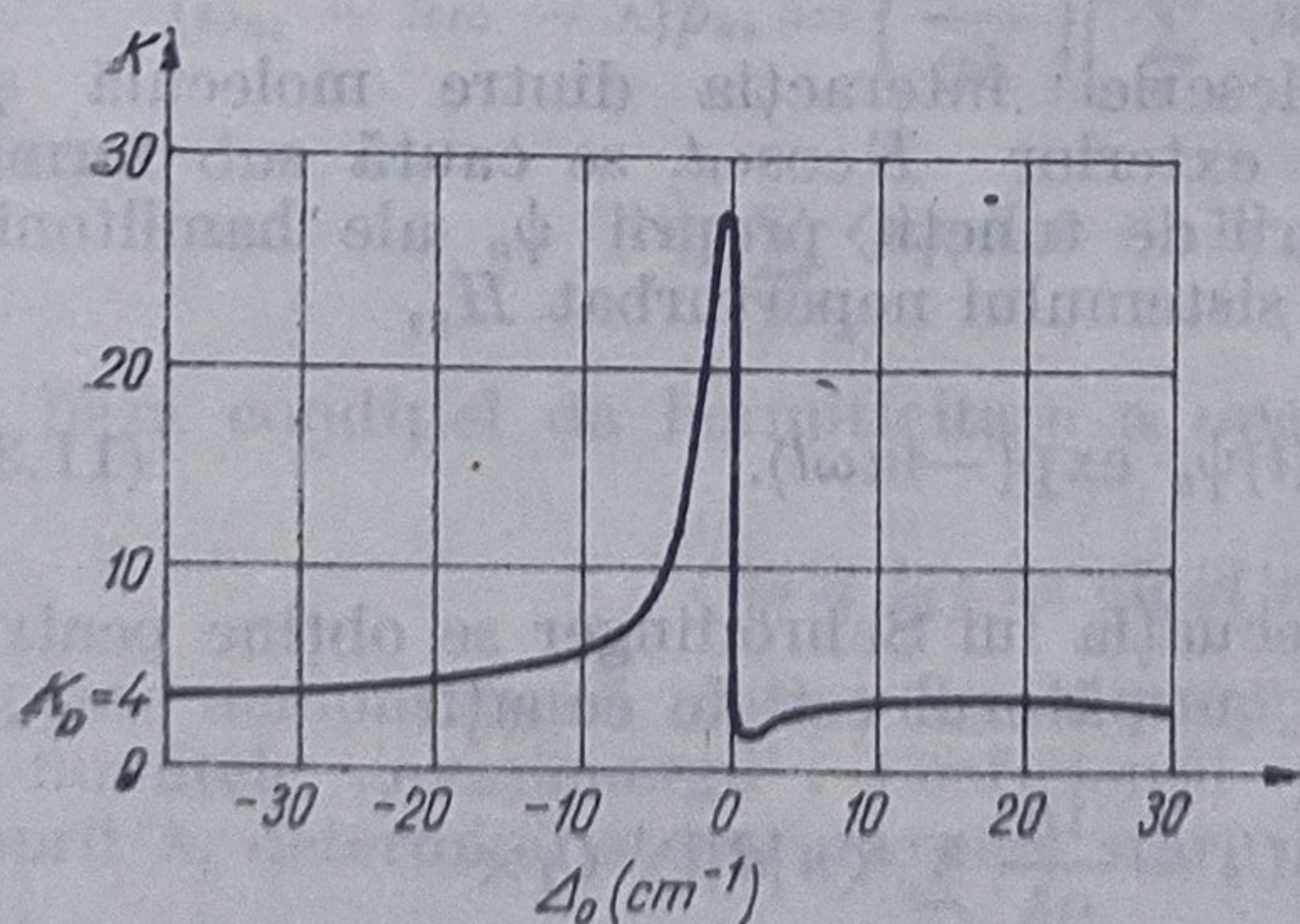


Fig. 10.6

zonanță nu are loc pentru nici un nivel intermediar,  $K$  este egal cu numărul de fotoni  $K_0$  necesari fotoionizării. La rezonanță, din cauza deplasării frecvenței, numărul de fotoni  $K_0$  crește sau scade funcție de semnul dezacordului ( $E_{fg} - n\hbar\omega$ ), fiind necesari pentru ionizare, de o parte a frecvenței de rezonanță ( $E_{fg} = n\hbar\omega$ ) un număr de fotoni  $K$  mai mare decât  $K_0$ , iar de cealaltă parte un număr mai mic. Variația lui  $K$  funcție de dezacordul  $\Delta_0 = E_{fg} - n\hbar\omega$ , în cazul cesiului este prezentat în fig. 10.6.

Asimetria curbei din fig. 10.6 poate fi explicată luând în considerare interferența dintre cele două căi posibile de ionizare. Conform primei căi de ionizare, numită și nerezonantă, toate stările intermediare sînt considerate virtuale cu excepția nivelului cvasirezonant  $6F$ . În cazul celei de-a doua căi de ionizare (rezonantă) se consideră ca nivel intermediar nivelul  $6F$ . De fapt ionizarea se obține prin interferența celor două căi, semnul dezacordului ( $E_{fg} - n\hbar\omega$ ) fiind determinat de caracterul constructiv sau destructiv al acestor interferențe.



## 11. EXCITAREA MULTIFOTONICĂ COERENTĂ A MOLECULELOR

### 11.1. Descrierea sistemelor moleculare cu mai multe nivele energetice cu formalismul Schrödinger

Stările energetice corespunzătoare mișcării de rotație-vibrație ale unei molecule poliatomice libere sînt întotdeauna degenerate, cuprinzînd cel puțin  $2J + 1$  nivele, determinate de mișcarea de rotație a moleculei. Aceste nivele degenerate pot să se despică în mai multe subnivele foarte apropiate, cu energie cvasicontinuă ca rezultat al interacțiilor suferite de molecule, determinînd diferite tranziții (fig. 11.1,b).

Pentru simplificarea calculelor, formalismul Schrödinger va fi aplicat la început pentru descrierea unui sistem cu mai multe nivele nedegenerate,  $|n\rangle$  (fig. 11.1,a), urmînd ca rezultatele obținute să fie generalizate în cazul sistemelor mai complicate cu nivele degenerate numite și sisteme de „multipleți” (fig. 11.1, b). De asemenea, se consideră că intensitatea cîmpului exterior  $E$  este mică, iar frecvența sa  $\omega$  apropiată de frecvența de tranziție între două nivele  $\omega_i$

$$|\omega_{ij} - \omega| \ll \omega; \left( \frac{E}{\hbar\omega} \right) |\langle i|d|j\rangle| \ll 1 \quad (11.1)$$

( $d$  fiind operatorul momentului de dipol)

Pe baza modelului prezentat în lucrarea [128], soluția ecuației lui Schrödinger

$$i\hbar \frac{\partial \psi}{\partial t} = \hat{H}_0 \psi - (d E \cos \omega t) \psi \quad (11.2)$$

care descrie interacția dintre moleculă și cîmpul exterior  $E \cos \omega t$ , se caută sub forma unei serii de funcții proprii  $\psi_n$  ale hamiltonianului sistemului neperturbat  $H_0$ ,

$$\psi = \sum_n C_n(t) \psi_n \exp(-in\omega t). \quad (11.3)$$

Înlocuind funcția de undă  $\psi$  în ecuația lui Schrödinger se obține pentru amplitudinile de probabilitate  $C_n$  următorul set de ecuații

$$\begin{aligned} \frac{dC_n}{dt} + i(\omega_n - n\omega)C_n &= \frac{iE}{2\hbar} \sum_l \langle n|d|l\rangle C_l \times \\ &\times \{ \exp[i(n-l+1)\omega t] + \exp[i(n-l-1)\omega t] \}. \end{aligned} \quad (11.4)$$



Ținând seama de condițiile de excitare date de relația (11.1), amplitudinile de probabilitate care caracterizează tranzițiile între nivelele adiacente cu  $l = n \pm 1$ , se pot calcula din relația

$$\frac{dC_n}{dt} + i(\omega_n - n\omega)C_n = \left(\frac{iE}{2\hbar}\right)(\langle n|d|n-1\rangle C_{n-1} + \langle n|d|n+1\rangle C_{n+1}). \quad (11.5)$$

În cazul general, cînd nivelele energetice sînt degenerate, notînd cu indicele  $s$  stările unui multiplet, ecuațiile (11.5) pentru amplitudinile de probabilitate  $C_{ns}$  corespunzătoare componentelor multipleților adiacenți, devin

$$\frac{dC_{ns}}{dt} + i(\omega_{ns} - n\omega)C_{ns} = \frac{iE}{2\hbar} \sum_q [\langle ns|d|n-1, q\rangle C_{n-1,q} + \langle ns|d|(n+1, q)\rangle C_{n+1,q}]. \quad (11.6)$$

Relațiile (11.6) sînt valabile numai pentru intensități mici ale cîmpului exterior și dezacorduri mici ale frecvențelor care verifică relațiile

$$\left| \frac{\omega_{ns}}{n} - \omega \right| \ll \omega; \quad \left( \frac{E}{\hbar\omega} \right) |\langle ns|d|lq\rangle| \ll 1. \quad (11.7)$$

Rezolvarea sistemului de ecuații (11.6) se poate face utilizînd diferite aproximații. Astfel, în cazul așa-numitei aproximații „cvasienergetice”, se consideră că hamiltonianul întregului sistem este o funcție periodică de timp.

Dacă amplitudinea cîmpului exterior este constantă, soluțiile liniar independente ale ecuațiilor (11.6) sînt de forma

$$C_{ns} = p_{ns} \exp(-i\lambda t) \quad (11.8)$$

unde  $\lambda$  este valoarea proprie a următorului sistem de ecuații liniare, independente de timp (11.6)

$$(\omega_{ns} - n\omega - \lambda)p_{ns} = \left(\frac{E}{2\hbar}\right) \left[ \sum_q \langle ns|d|n-1, q\rangle p_{n-1,q} + \sum_q \langle ns|d|n+1, q\rangle p_{n+1,q} \right]. \quad (11.9)$$

Pe baza condiției de hermiticitate a operatorului momentului de dipol

$$\langle ns|d|lq\rangle = \langle lq|d|ns\rangle^* \quad (11.10)$$

se poate demonstra că toate valorile proprii  $\lambda$  sînt reale, ele reprezentînd așa-numitele „cvasienergii”. Coeficienții  $p_{ns}$  corespunzători unei valori proprii  $\lambda$ , determină structura unei stări descrisă de funcția  $\psi(\lambda)$

$$\psi(\lambda) = \exp(-i\lambda t) \sum_{n,s} p_{ns}(\lambda) \psi_{ns} \exp(-in\omega t). \quad (11.11)$$



Vectorii proprii corespunzători la două „cvasienergii” diferite  $\lambda_1$ ,  $\lambda_2$  sînt ortogonali și pot fi normați la unitate pe baza relațiilor cunoscute

$$\sum_{n,s} p_{ns}^*(\lambda) p_{ns}(\lambda) = 1 \quad (11.12)$$

$$\sum_{n,s} p_{ns}^*(\lambda) p_{ns}(\lambda') = \delta(\lambda - \lambda') \quad (11.13)$$

care corespund spectrului discret (11.12), respectiv continuu (11.13). Aproximînd spectrul cvasicontinuu cu unul continuu și ținînd seama că la momentul inițial sistemul se află în starea staționară descrisă de vectorul  $|n_0, s_0\rangle$ , soluția ecuației (11.5) este

$$C_{ns}(t) = \int u(\lambda) p_{ns}(\lambda) \exp(-i\lambda t) d\lambda \quad (11.14)$$

unde funcția  $u(\lambda)$  trebuie să verifice relația

$$\int u(\lambda') p_{ns}(\lambda') d\lambda' = \delta_{n,n_0} \delta_{s,s_0}. \quad (11.15)$$

Înmulțind relația (11.15) cu  $p_{ns}^*(\lambda)$  și ținînd seama de condiția de normare (11.13) se obține, în urma operației de însumare după valorile lui  $n$ , pentru funcția  $u(\lambda)$  expresia

$$u(\lambda) = p_{n_0, s_0}(\lambda). \quad (11.16)$$

Relațiile (11.14) — (11.16) sînt valabile și în cazul unui spectru discret cu un număr finit de nivele, obținîndu-se în acest caz un număr finit de valori proprii și de asemenea în cazul unui spectru complex care conține o parte continuă și alta discretă.

Rezolvarea sistemului de ecuații (11.6) prin metoda aproximației „cvasienergetice” este posibilă și în cazul în care cîmpul se „rotește” foarte încet (așa-numita aproximație adiabatică)

„Cvasienergia” sistemului, aflat la momentul inițial în starea  $|n_0, s_0\rangle$ , este egală cu  $(\omega_{n_0, s_0} - n_0 \omega)$ .

În timpul creșterii amplitudinii cîmpului de la zero la o valoare maximă, valoarea „cvasienergiei” se modifică continuu. Dacă amplitudinea cîmpului crește suficient de încet și nivelele nu se intersectează între ele, atunci la un moment dat sistemul se află într-o stare în care toți atomii sînt excitați, care corespunde valorii proprii  $\lambda_{n_0, s_0}$ . Sistemul poate să revină la starea inițială dacă cîmpul este suprimat adiabatic sau poate să se afle într-o stare rezultată dintr-o superpoziție de stări  $|ns\rangle$  chiar pentru un cîmp cu intensitatea nulă dacă acesta este suprimat foarte rapid. Se poate considera că transformarea are loc adiabatic dacă este îndeplinită condiția

$$\frac{dE}{dt} \ll E |\Delta\lambda| \quad (11.17)$$

unde  $\Delta\lambda$  reprezintă mărimea intervalului dintre două nivele „cvasienergetice” vecine.



## 11.2. Interacția cvasirezonantă dintre radiația laser și un sistem cu mai multe nivele energetice nedegenerate și echidistante

Descrierea fenomenului de excitare a unui sistem cu mai multe nivele energetice nedegenerate și echidistante (fig. 11.1,a) poate fi făcută cu ajutorul ecuației (11.5), care dă evoluția în timp a amplitudinilor de probabilitate. Pentru simplificarea calculelor se poate considera că starea finală este atinsă în urma unui proces de excitare în treaptă, în care fiecare treaptă corespunde unei singure tranziții. Elementele de matrice ale acestor tranziții de dipol între două nivele adiacente se pot exprima cu ajutorul frecvențelor Rabi, sub forma

$$\left(\frac{E}{2\hbar}\right)\langle n-1|d|n\rangle = \gamma_n^R = \left(\frac{E}{2\hbar}\right)\langle n|d|n-1\rangle. \quad (11.18)$$

La rezonanță, în cazul unui sistem cu două nivele energetice, frecvența Rabi  $\gamma_n^R$  reprezintă frecvența de oscilație a amplitudinii de probabilitate (vezi relația 7.45)).

Procesul de excitare a sistemelor cu mai multe nivele energetice nedegenerate și echidistante prezintă anumite particularități care sînt determinate de dependența momentelor de dipol, de ordinul tranziției, de numărul total de nivele (finit sau infinit) și de asemenea, de dezacordul dintre frecvența cîmpului și frecvența tranziției dintre două nivele. În cazul sistemului cu un număr infinit de nivele, spectrul „cvasienergiei” este continuu, dar întins pe un segment limitat al unei linii reale.

Dacă fenomenul de excitare are loc la rezonanță se pot obține soluții analitice pentru diferite cazuri particulare. În acest caz ecuațiile de mișcare pentru amplitudinile de probabilitate  $C_n$  sînt următoarele

$$\frac{dC_0}{dt} = i\gamma_1^R C_1 \quad (11.19)$$

$$\frac{dC_n}{dt} = i(\gamma_n^R C_{n-1} + \gamma_{n+1}^R C_{n+1}); \quad n \geq 1. \quad (11.20)$$

Sistemele aflate în interacție cu cîmpul sînt astfel alese încît la momentul inițial  $t = 0$ ,

$$C_n(0) = \delta_{n0}; \quad p_0 = 1 \quad (11.21)$$

iar pentru un număr finit de nivele  $N$ , suficient de mare,

$$C_N = 0 \quad (\text{sau } \gamma_N^R = 0). \quad (11.22)$$

Printre cazurile particulare care permit obținerea de soluții analitice se numără cel al oscilatorului armonic și cel al unui sistem cu un număr finit (infinit) de nivele energetice, caracterizat de momente de dipol constante sau descrescătoare.



### 11.2.1 Oscilatorul armonic

După cum este cunoscut din literatura de specialitate [128], valorile proprii ale „cvasienergiei”  $\lambda$ , aparțin intervalului  $(-\infty, +\infty)$ , vectorii proprii sînt dați de expresia:  $(-1)^n (2^n n!)^{-1/2} H_n(\lambda/\sqrt{2}\gamma^R)$ ,  $H_n$  fiind polinoamele lui Hermite, iar frecvențele Rabi au valoarea

$$\gamma_n^R = \gamma^R n^{1/2}. \quad (11.23)$$

Pentru obținerea unei soluții analitice care să satisfacă condițiile inițiale date de relația (11.21) se pot folosi relațiile de ortogonalitate ale polinoamelor lui Hermite, care conduc pentru amplitudinile de probabilitate  $C_n$  la expresii de forma

$$C_n(t) = (\pi 2^n n!)^{-1/2} \int_{-\infty}^{+\infty} H_n(z) \exp(-z^2 + i\sqrt{2}\gamma^R tz) dz. \quad (11.24)$$

În urma integrării, expresia amplitudinii de probabilitate devine

$$C_n(t) = (n!)^{-1/2} (i\gamma^R t)^n \exp\left(-\frac{(\gamma^R)^2 t^2}{2}\right). \quad (11.25)$$

Cu ajutorul amplitudinii de probabilitate se poate calcula funcția de distribuție a populațiilor, care este de tip Poisson

$$C_n^* C_n = (n!)^{-1} (\gamma^R t)^{2n} \exp(-(\gamma^R)^2 t^2). \quad (11.26)$$

Ținînd seama de expresia valorii medii

$$\bar{n} = \sum_{n=1}^{\infty} n C_n^* C_n = (\gamma^R)^2 t^2 \quad (11.27)$$

și de cea a abaterii

$$\sigma = (\bar{n}^2 - \bar{n}^2)^{1/2} = \left( \sum_{n=1}^{\infty} n^2 C_n^* C_n - \bar{n}^2 \right)^{1/2} = \gamma^R t, \quad (11.28)$$

se poate deduce că energia medie a oscilatorului armonic excitat la rezonanță crește proporțional cu  $E^2 t^2$ . În cazul excitării cu o radiație intensă ( $\gamma t \gg 1$ ), funcția de distribuție a populațiilor are o formă apropiată de funcția de distribuție a lui Gauss. Astfel funcția

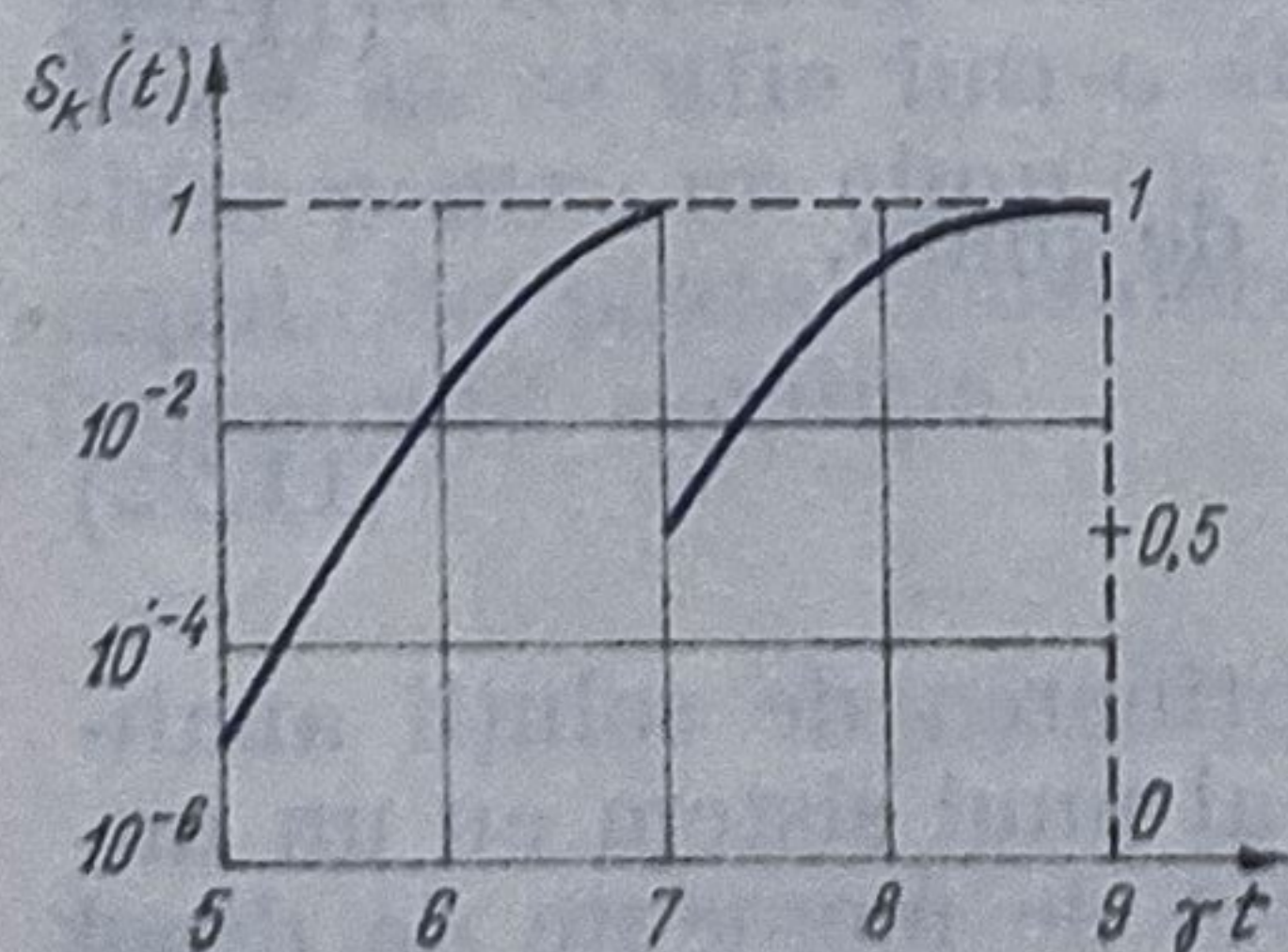


Fig. 11.2

$$S_k(t) = \sum_{n=k}^{\infty} C_n^* C_n = 1 - \sum_{n=0}^{k-1} C_n^* C_n, \quad (11.29)$$

ce caracterizează populația sistemului pe un nivel fixat  $k$ , variază în timp foarte rapid de la valoarea zero la unu, în cazul oscilatorului armonic pentru valori ale lui  $k \geq 50$  (fig. 11.2).



### 11.2.2 Sisteme cu un număr infinit de nivele caracterizate de momente de dipol constante

Și în acest caz spectrul valorilor „cvasienergiei” este continuu însă nu mai este infinit ca în cazul oscilatorului armonic, ci este cuprins în intervalul  $(-2\gamma^R, 2\gamma^R)$ . Vectorii proprii pot fi exprimați cu ajutorul polinoamelor lui Cebîșev de speța a doua, prin relații de forma  $(-1)^n U_n(\lambda/2\gamma^R)$  iar frecvențele Rabi sînt constante [128]

$$\gamma_n^R = \gamma^R = \text{const.} \quad (11.30)$$

Soluția analitică poate fi obținută, fie pe baza metodei generale prezentată în § 11.1, fie cu ajutorul relațiilor de ortogonalitate pe care le verifică polinoamele lui Cebîșev de speța a doua. Utilizînd cea de-a doua metodă, amplitudinile de probabilitate se pot exprima cu ajutorul unei integrale de forma

$$C_n(t) = \frac{2}{\pi} \int_{-1}^1 (1 - z^2)^{1/2} U_n(z) \exp(2i\gamma^R tz) dz \quad (11.31)$$

care se poate calcula cu ajutorul funcțiilor Bessel de speța întîi  $J_n$ , astfel

$$C_n(t) = i^n [J_n(2\gamma^R t) + J_{n+2}(2\gamma^R t)]. \quad (11.32)$$

Pentru a calcula funcția de distribuție a populațiilor după nivele  $C_n^* C_n$ , trebuie să ținem seama de dezvoltarea asimptotică a funcțiilor Bessel. Cu ajutorul acestei dezvoltări se poate considera că în orice moment de timp pentru care este îndeplinită relația  $\gamma^R t \gg 1$ , maximul funcției de distribuție corespunde acelor nivele care sînt caracterizate de numere  $n_{\max}$  cuprinse în intervalul

$$2\gamma^R t - (2\gamma^R t)^{1/3} < n_{\max} < 2\gamma^R t + (2\gamma^R t)^{1/3}. \quad (11.33)$$

În afara acestui interval, funcția de distribuție scade exponențial pentru  $n > 2\gamma^R t$  și are o comportare oscilatorie pentru  $n < 2\gamma^R t$ . Pentru valorile lui  $n$  cuprinse în interiorul intervalului  $\{2\gamma^R t - (2\gamma^R t)^{1/3}, 2\gamma^R t + (2\gamma^R t)^{1/3}\}$  funcția de distribuție scade după legea

$$C_n^* C_n \sim \frac{(n+1)^2}{\pi(\gamma^R t)^2 [4(\gamma^R t)^2 - (n-1)^2]^{1/2}}. \quad (11.34)$$

Funcția de distribuție a populațiilor (11.29) în cazul unui sistem infinit, cu momente de dipol egale, calculată cu ajutorul relației (11.34) are forma

$$S_k(t) \sim 1 - \frac{2}{\pi} \left\{ \arcsin \frac{k+1}{2\gamma^R t} + \frac{(k+1)^3}{4(\gamma^R t)^3} \cdot \left[ \left( \frac{2\gamma^R t}{k+1} \right)^2 - 1 \right]^{1/2} \right\} \quad (11.35)$$

pentru  $\frac{2\gamma^R t}{k+1} > 1$ . Dependența de timp a populației totale (11.35)

a sistemelor cu un număr infinit de nivele caracterizate prin momente de dipol constante, pentru nivele cu  $k \geq 50$  este prezentată în fig. 11.3.



Se observă că pentru  $k \geq 50$  se obține o competiție între oscilațiile relativ rapide și creșterea gradată a populației. În comparație cu oscilatorul armonic (fig. 11.2), trecerea sistemului pe un anumit nivel în acest caz are loc mult mai încet.

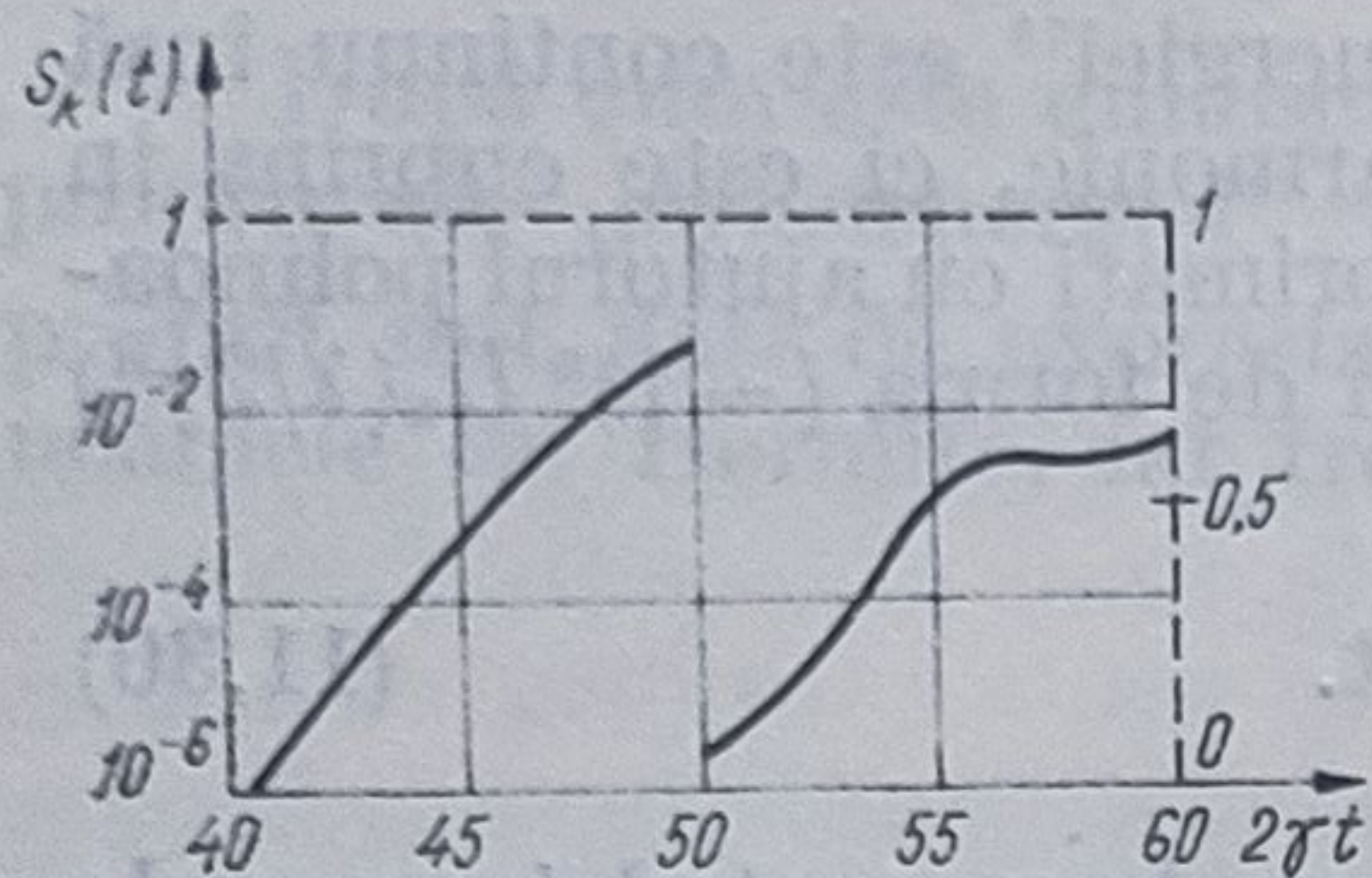


Fig. 11.3

### 12.2.3 Sisteme cu un număr infinit de nivele caracterizate de momente de dipol variabile

În cazul unui sistem cu un număr infinit de nivele cu momente de dipol variabile, frecvențele Rabi scad după legea

$$\gamma_n^R = \gamma^R (n+1)^{-1/2} \quad (15.36)$$

și se poate obține o soluție analitică pentru amplitudinile de probabilitate cu ajutorul polinoamelor lui Charlier  $C_{m-1}(n; m)$ . Spectrul în acest caz este discret și este determinat de valorile proprii ale „cvasienergiei” [134].

$$\lambda_{(\pm m)} = \pm \gamma^R(m)^{-1/2} \quad (m = 1, 2, \dots). \quad (11.37)$$

Vectorii proprii sînt dați de expresii de forma:  $(\pm 1)^n [(n+1) \times \times m^n / n!] C_{m-1}(n; m)$ . Factorii de normare pot fi obținuți cu ajutorul relațiilor de ortogonalitate pe care le verifică polinoamele lui Charlier

$$\sum_{n=0}^{\infty} \frac{n+1}{n!} m^n [C_{m-1}(n; m)]^2 = 2e^m m^{1-m} m!. \quad (1.38)$$

Ținînd seama de condițiile inițiale (11.21) expresia amplitudinii de probabilitate  $C_n(t)$  devine

$$C_n(t) = i^n \left( \frac{n+1}{n!} \right)^{1/2} \sum_{m=1}^{\infty} \frac{m^{m-1+\frac{n}{2}}}{m!} e^{-m} C_{m-1}(n; m) \cdot \cos \left( \frac{\gamma_t^R}{m^{1/2}} - \frac{n\pi}{2} \right). \quad (11.39)$$

Întrucît spectrul cvasienergetic al sistemului considerat este discret, amplitudinea probabilității nu tinde la zero cu creșterea timpului. Mediind funcția de distribuție pentru un interval de timp infinit se poate obține media populațiilor pe diferite nivele

$$V_n = \lim_{T \rightarrow \infty} \frac{1}{T} \int_0^T C_n^*(t) C_n(t) dt = \frac{1}{2} \frac{n+1}{n!} \sum_{m=1}^{\infty} \frac{m^{2m-2+n}}{(m!)^2} e^{-2m} [C_{m-1}(m; n)]^2. \quad (11.40)$$

Analizînd relația (11.40) se constată că scăderea populațiilor pe diferite nivele caracterizate de numere cuantice mari este lentă. Se constată de asemenea o inversie între populațiile nivelelor caracterizate de numerele 0 și 1 (tabelul 11.1).

Tabelul 11.1

$n$	0	1	2	3	4	5
$V_n$	0,08	0,15	0,1	0,07	0,05	0,04



#### 11.2.4. Sisteme cu un număr finit $N$ de nivele caracterizate prin momente de dipol constante

Soluția sistemului cu un număr finit  $N$  de nivele reprezintă un caz particular al soluției sistemului cu un număr infinit de nivele prezentat anterior în paragraful 11.2.2. Spectrul energetic este discret, iar valorile proprii ale „cvasienergiei” [133]

$$\lambda_m = -2\gamma^R \cos\left(\frac{m\pi}{N+1}\right) \quad (m = 1, 2, \dots, N) \quad (11.41)$$

sînt determinate de condiția

$$C_N = 0 \text{ sau } U_N(\lambda/2\gamma^R) = 0. \quad (11.42)$$

Folosind relațiile de normare a vectorilor proprii,

$$\sin\left[\frac{(n+1)m\pi}{N+1}\right] \sin\left(\frac{m\pi}{N+1}\right), \quad (11.43)$$

se poate obține o soluție analitică care satisface condițiile inițiale, de forma

$$C_n(t) = \frac{2}{N+1} \sum_{m=1}^N \sin\left(\frac{m\pi}{N+1}\right) \sin\left[\frac{(n+1)m\pi}{N+1}\right] \times \\ \times \exp\left[2i\gamma^R t \cdot \cos\left(\frac{m\pi}{N+1}\right)\right]. \quad (11.44)$$

Cu ajutorul expresiei amplitudinii de probabilitate se poate calcula media populațiilor pe diferite nivele

$$V_N = \frac{1}{N+1} \text{ pentru } n \neq 0, N-1 \quad (11.45)$$

și

$$V_{N-1} = V_0 = \frac{3}{2(N+1)}. \quad (11.46)$$

Se constată că în acest caz media populațiilor este aceeași pentru toate nivelele cu excepția celui fundamental și al ultimului nivel excitat. Aceste valori corespund regimului de stare staționară caracteristic micilor oscilații ale populației.

Utilizînd relația (11.29) se poate calcula populația totală a nivelelor superioare  $S_{N/2}(t)$ , pentru care este îndeplinită condiția  $\frac{N}{2} \leq n \leq N-1$  iar dependența ei de timp este prezentată în fig. 11.4.

Pe baza modelului prezentat în lucrarea [128] se poate calcula timpul necesar pentru atingerea stării de echilibru care este cu un ordin de mărime mai mare decît timpul necesar populării ni-

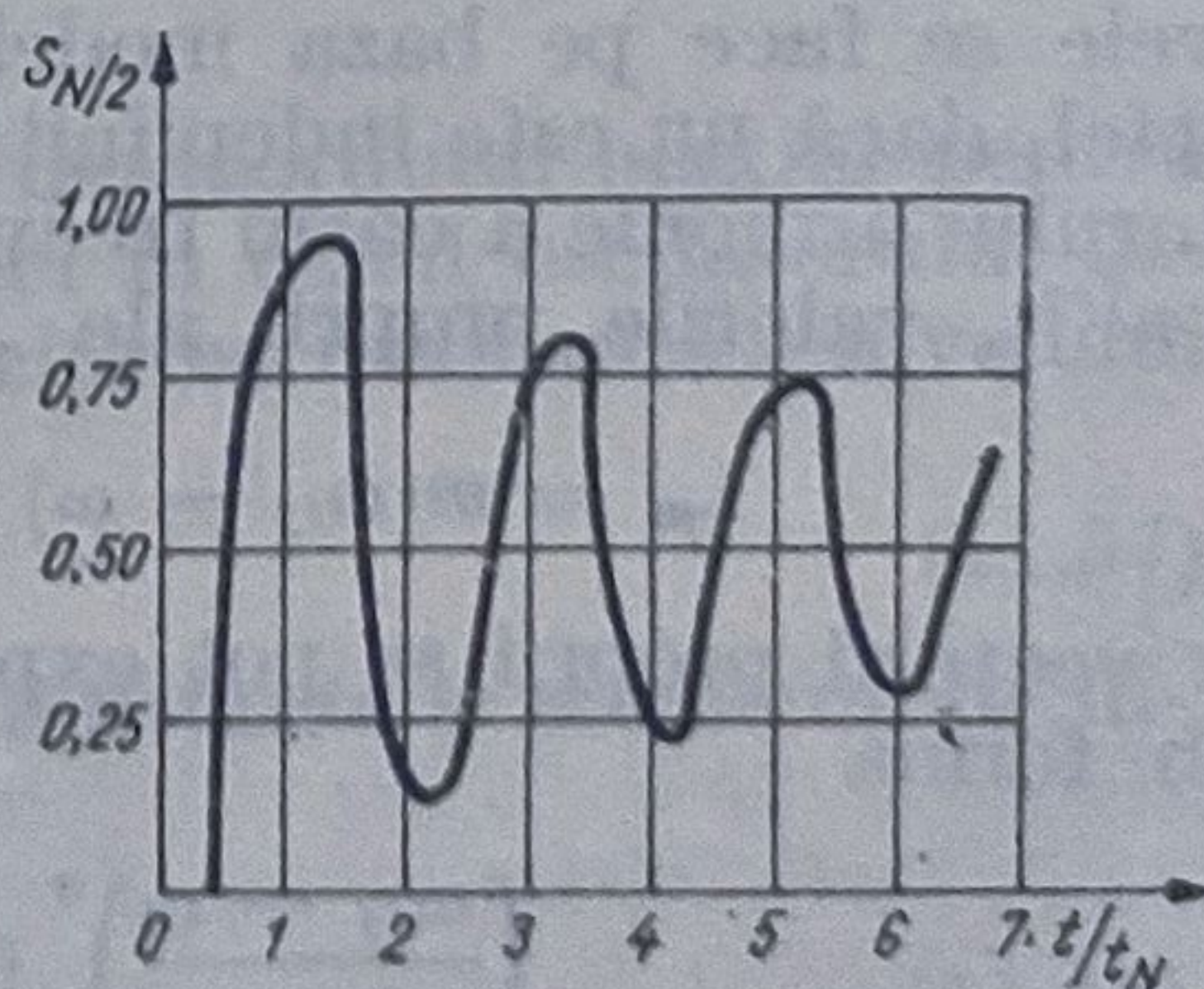


Fig. 11.4



velelor superioare

$$t_N \sim \frac{N}{2\gamma^R}. \quad (11.47)$$

Un rol important în dinamica fenomenelor de excitare rezonantă în treaptă a unui sistem cu un număr finit de nivele caracterizate de momente de dipol constante îl joacă inserarea în succesiunea de tranziții, a uneia caracterizată de un moment de dipol diferit de cele ale sistemului. Variația momentului de dipol corespunzătoare unei singure tranziții conduce la o schimbare considerabilă a populațiilor pe diferite nivele și acționează ca o barieră în procesul de excitare a celorlalte nivele [128].

Astfel, dacă se consideră că tranziția de pe nivelul fundamental  $|0\rangle$  pe primul nivel excitat  $|1\rangle$  are loc la rezonanță, sub acțiunea unui câmp intens, în urma acestei interacții are loc despicierea nivelului  $|1\rangle$ , obținându-se două sau mai multe stări care au „cvasienergii” diferite ca în fig. 11.5. Despicierea nivelului  $|1\rangle$  face ca tranziția mai puțin intensă  $|1\rangle \rightarrow |2\rangle$  să nu mai aibă loc la rezonanță, iar dezacordul astfel introdus poate fi compensat numai prin schimbarea frecvenței radiației laser excitatoare.

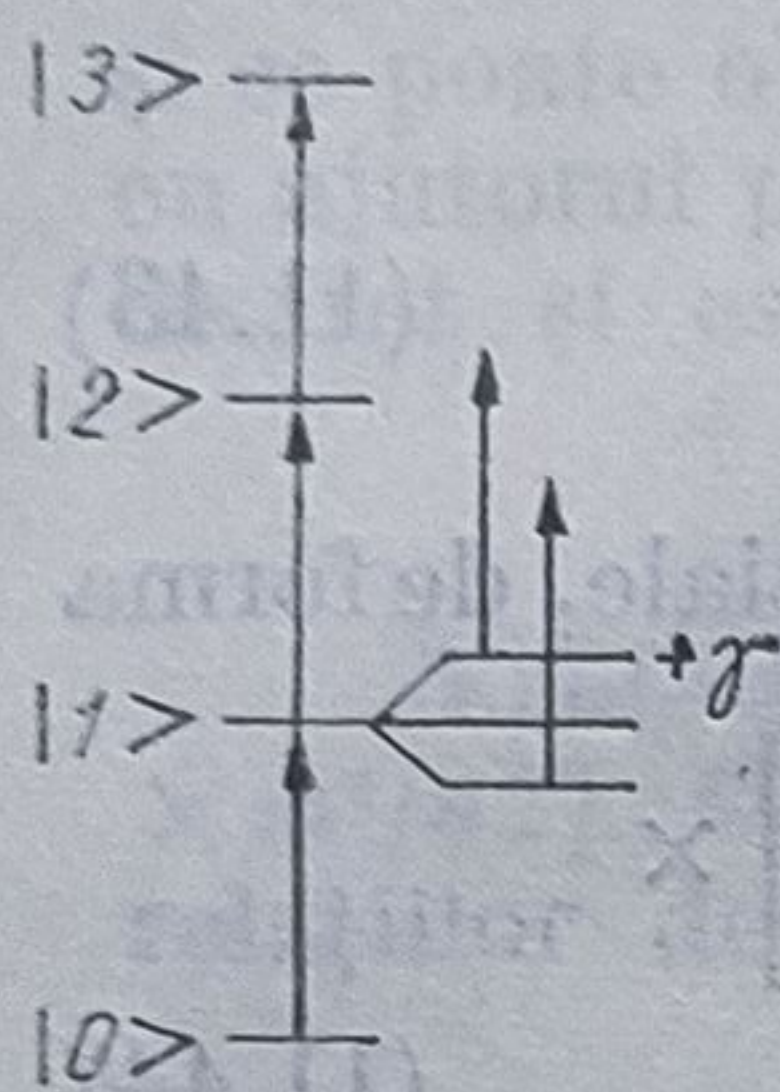


Fig. 11.5

În cazul inserării unei tranziții mai puțin intense, într-o secvență de tranziții intense, conform modelului teoretic prezentat în lucrarea [128] modificarea populațiilor nivelelor implicate nu este chiar atât de mare ca în cazurile prezentate anterior și funcție de condițiile de

excitare, ratele de dezexcitare ale amplitudinilor de probabilitate pot fi mărite sau micșorate.

Mărimea intensității câmpului sub acțiunea căruia au loc tranzițiile, joacă un rol important când se studiază fenomenele rezonante. Astfel, chiar dacă între frecvența câmpului excitator  $\omega$  și frecvența de tranziție  $\omega_{ij}$  între două nivele există un dezacord, fenomenul de rezonanță poate avea loc dacă nivelele sînt lărgite datorită intensității radiației, iar această lărgire compensează dezacordul dintre frecvențe. Pentru aceasta, trebuie ca frecvența Rabi să fie mai mare sau egală cu dezacordul corespunzător frecvențelor

$$2\gamma_{ij}^R = \left(\frac{E}{\hbar}\right) |\langle i|d|j\rangle| \geq |\omega - \omega_{ij}|. \quad (11.48)$$

Calculul amplitudinilor de probabilitate și al populațiilor diferitelor nivele se face pe baza modelului prezentat la paragrafele 11.1 și 11.2. Astfel, dacă nu este îndeplinită exact condiția de rezonanță, în cazul oscilatorului armonic a cărui frecvență Rabi crește proporțional cu  $n^{1/2}$  ( $\gamma_n^R \sim n^{1/2}$ ), valorile proprii ale „cvasienergiei” sînt

$$\lambda_m = m(\omega_{ij} - \omega) + (\gamma^R)^2/(\omega - \omega_{ij}) \quad (m = 0, 1, \dots) \quad (11.49)$$

iar vectorii proprii se pot exprima cu ajutorul polinoamelor lui Laguerre sub forma

$$\left(\frac{\omega_{ij} - \omega}{\gamma^R}\right)^n (n!)^{1/2} L_n^{m-n} \left[\left(\frac{\gamma^R}{\omega_{ij} - \omega}\right)^2\right], \quad (11.50)$$



Pe baza modelului prezentat în § 11.1, 11.2, cu condițiile inițiale (11.21), expresia amplitudinii de probabilitate  $C_n(t)$  este

$$C_n(t) = \left( \frac{\omega - \omega_{ij}}{\gamma^R} \right)^n (n!)^{1/2} \exp \left[ -i \frac{(\gamma^R)^2}{\omega - \omega_{ij}} t - \left( \frac{\gamma^R}{\omega - \omega_{ij}} \right)^2 \right] \times \\ \times \sum_{m=0}^{\infty} \frac{1}{m!} \left[ \left( \frac{\gamma^R}{\omega - \omega_{ij}} \right)^2 \exp(i(\omega - \omega_{ij})t) \right]^m L_n^{m-n} \left[ \left( \frac{\gamma^R}{\omega - \omega_{ij}} \right)^2 \right]. \quad (11.51)$$

În urma operației de însumare expresia amplitudinii de probabilitate  $C_n(t)$  devine

$$C_n(t) = (n!)^{-1/2} \left\{ \frac{\gamma^R}{\omega - \omega_{ij}} \left[ \exp(i(\omega - \omega_{ij})t) - 1 \right] \right\}^n \times \quad (11.52)$$

$$\times \exp \left\{ -i \frac{(\gamma^R)^2}{\omega - \omega_{ij}} t + \left( \frac{\gamma^R}{\omega - \omega_{ij}} \right)^2 [\exp(i(\omega - \omega_{ij})t) - 1] \right\}.$$

În cazul rezonanței ( $\omega = \omega_{ij}$ ), relația (11.52) se transformă în (11.25). Populația nivelului  $n$  poate fi calculată cu ajutorul expresiei amplitudinii de probabilitate  $C_n(t)$ , obținându-se o distribuție de tip Poisson

$$C_n^* C_n = (n!)^{-1} [\bar{n}(t)^n] \exp[-\bar{n}(t)]. \quad (11.53)$$

În relația (11.53)

$$\bar{n}(t) = 2 \left( \frac{\gamma^R}{\omega - \omega_{ij}} \right)^2 [1 - \cos(\omega - \omega_{ij})t] \quad (11.54)$$

reprezintă numărul mediu de fotoni absorbiți. Se observă că numărul mediu de fotoni oscilează între zero și o valoare maximă

$$n_{\max} = 4 \left( \frac{\gamma^R}{\omega - \omega_{ij}} \right)^2 \quad (11.55)$$

și nu devine infinit când  $t \rightarrow \infty$  ca în cazul rezonanței. Astfel, în cazul oscilatorului armonic, excitarea efectivă a nivelului  $n$ , poate avea loc în treaptă, la rezonanță, dacă între frecvența Rabi și dezacordul frecvențelor ( $\omega - \omega_{ij}$ ) este îndeplinită condiția

$$\left| \frac{\gamma^R}{\omega - \omega_{ij}} \right| \geq \frac{n^{1/2}}{2}. \quad (11.56)$$

Dacă se definește prin  $\Delta n$  valoarea absolută a dezacordului maxim pentru care excitarea nivelului este apreciabilă, atunci în cazul oscilatorului armonic, între  $\Delta n$  și timpul  $t_n$  necesar pentru excitarea rezonantă a nivelului  $n$  există relația

$$\Delta n \cdot t_n \simeq 2. \quad (11.57)$$

Pentru un sistem cu mai multe nivele echidistante și momente de dipol egale, valoarea dezacordului maxim este

$$\Delta n \simeq \frac{4\gamma^R}{n}. \quad (11.58)$$



În cazul general, cînd nivelele nu mai sînt echidistante, intensitatea cîmpului exterior sub acțiunea căruia au loc tranzițiile trebuie să fie limitată inferior conform relației (11.48), iar amplitudinile de probabilitate  $C_n(t)$  se obțin sub forma [128]

$$C_n(t) = i^n \exp \left[ \frac{i}{2} n(\omega_{ij} - \omega)t \right] J_n \left[ \frac{4\gamma^n}{\omega_{ij} - \omega} \sin \left( \frac{\omega_{ij} - \omega}{2} t \right) \right]. \quad (11.59)$$

### 11.3. Interacția evasirezonantă dintre radiația laser și un sistem cu mai multe nivele energetice neechidistante. Rezonanțe multifotonice în sisteme moleculare

În cazul real, nivelele energetice ale unei molecule nu sînt echidistante din cauza anarmonicității vibrațiilor și mișcării de rotație. Ca urmare, frecvențele corespunzătoare tranzițiilor dintre două nivele de vibrație succesive sînt diferite. Studiul interacției evasirezonante dintre radiația laser și un sistem cu mai multe nivele energetice neechidistante, explică fenomenele de excitare a moleculelor poliatomice pe diferite nivele și chiar disocierea lor, atunci cînd se folosesc pentru excitare laseri de mică putere.

Fenomenul de excitare a unui sistem cu mai multe nivele energetice dispuse aproape echidistant mai poate fi tratat utilizînd același model ca și în cazul sistemului cu nivele echidistante prezentat la paragraful 11.2, dacă intensitatea radiației sub acțiunea căreia au loc tranzițiile este suficient de mare. Cu toate acestea, modelul prezentat anterior nu poate fi aplicat la studiul sistemelor cu nivele energetice neechidistante care sînt excitate cu radiații laser de putere mică sau moderată.

Fenomene de rezonanță înguste care implică  $N$  fotoni (rezonanțe multifotonice) pot fi obținute în cazul moleculelor dacă sistemul execută o tranziție de pe nivelul fundamental pe un nivel excitat în urma absorbției simultane a celor  $N$  cuante, fără ca tranziția pe unul din nivelele intermediare să fie rezonantă. Un astfel de fenomen de rezonanță cu  $N$  fotoni poate fi descris într-o aproximație destul de bună cu ajutorul unor ecuații similare cu cele care descriu excitarea cu un singur foton a unui sistem cu două nivele energetice. Considerînd că momentele de dipol corespunzătoare diferitelor tranziții intermediare au același ordin de mărime și că nu există tranziții rezonante pe nivelele intermediare, se poate demonstra că frecvența Rabi corespunzătoare celor  $N$  fotoni este mult mai mică decît cea corespunzătoare unui singur foton. Deci, timpul necesar populării nivelului rezultat prin absorbția celor  $N$  fotoni este de același ordin de mărime cu inversul frecvenței Rabi corespunzătoare  $(\gamma_{(N)}^R)^{-1}$  și este mult mai mare decît timpul necesar populării unui nivel în urma rezonanței cu un foton.

Pentru a calcula frecvența Rabi corespunzătoare tranziției care implică  $N$  fotoni se neglijează degenerarea nivelelor și se consideră că nici unul din nivelele intermediare  $j$  nu participă la rezonanță, deci

$$|\delta_j| \gg \gamma_j^R \text{ pentru } j = 1, \dots, N - 1 \quad (11.60)$$



unde  $\gamma_j^R$  reprezintă frecvența Rabi pentru tranziția  $j \rightarrow j + 1$ , iar

$$\delta_j = \frac{\hbar j \omega - E_j}{\hbar} \quad (11.60')$$

este dezacordul aceleiași tranziții.

De asemenea, se consideră că procesul de excitare al moleculei de pe nivelul  $N - 1$  pe nivelul  $N$  are loc la rezonanță, adică

$$|\delta_{N-1}| \leq \gamma_{N-1}^R. \quad (11.61)$$

Pe baza modelului prezentat în lucrarea [128], ecuațiile de mișcare care descriu procesul de excitare pentru primul nivel sînt

$$\frac{dC_0}{dt} = i\gamma_1^R C_1 \quad (11.62)$$

$$\frac{dC_1}{dt} = i\delta_1 C_1 + i\gamma_1^R C_0 + i\gamma_2^R C_2. \quad (11.63)$$

Soluția aproximativă a acestui sistem

$$C_1(t) = \frac{\gamma_1^R}{\delta_1} [1 - \exp(-i\delta_1 t)] C_0(t) \quad (11.64)$$

este formată din doi termeni: primul care variază lent în timp și al doilea care variază rapid. Considerînd neglijabilă contribuția celui de-al doilea termen și o variație lentă în timp a amplitudinii  $C_0(t)$ , expresia amplitudinii de probabilitate  $C_1$  devine

$$C_1(t) \simeq \frac{\gamma_1^R}{\delta_1} C_0(t). \quad (11.65)$$

Continuînd acest procedeu în treaptă, se poate obține ecuația de mișcare a amplitudinii de probabilitate  $C_N$ , corespunzătoare ultimului nivel excitat prin absorbția a  $N$  fotoni

$$\frac{dC_N}{dt} = i\delta_N C_N + i\gamma_N^R \frac{\gamma_{N-1}^R}{\delta_{N-1}} \dots \frac{\gamma_1^R}{\delta_1} C_0 \quad (11.66)$$

și analog expresia frecvenței Rabi corespunzătoare

$$\gamma_{(N)}^R = \gamma_N^R \left| \frac{\gamma_{N-1}^R}{\delta_{N-1}} \right| \dots \left| \frac{\gamma_1^R}{\delta_1} \right|. \quad (11.67)$$

Dacă dezacordul frecvențelor  $\delta_N$  este mic în comparație cu frecvența Rabi corespunzătoare absorbției a  $N$  fotoni, adică

$$|\delta_N| \ll |\gamma_{(N)}^R| \quad (11.68)$$

atunci amplitudinea de probabilitate  $C_N$  devine comparabilă în mărime cu  $C_0$  și este mult mai mare decît amplitudinile de probabilitate ale nivelor intermediare, iar intervalul de timp după care mărimea lui  $C_N$  devine apreciabilă este  $[\gamma_{(N)}^R]^{-1}$ . Din analiza relațiilor (11.60) și (11.67) rezultă că



perioada Rabi pentru  $N$  fotoni este mult mai mare decât perioada Rabi pentru un singur foton

$$[\gamma_{(N)}^R]^{-1} \gg [\gamma_N^R]^{-1}. \quad (11.69)$$

Deci ecuația (11.66) descrie un fenomen de rezonanță îngustă care se dezvoltă încet în timp și în care populația sistemului este supusă unor tranziții ciclice între nivelele  $|0\rangle$  și  $|N\rangle$  cu frecvența  $2\gamma_{(N)}^R$ .

Dacă dezacordul corespunzător unui nivel intermediar  $j$  devine comparabil cu frecvența Rabi corespunzătoare

$$|\delta_j| \geq |\gamma_j^R| \quad (11.70)$$

atunci amplitudinile de probabilitate ale nivelelor intermediare  $C_j$  devin comparabile cu cele corespunzătoare nivelului fundamental  $C_0$  și ultimului nivel excitat  $C_N$ , iar frecvența Rabi  $\gamma_{(N)}^R$  crește foarte mult. În acest caz tranzițiile ciclice pe care populația sistemului le execută între nivelele  $|0\rangle$  și  $|N\rangle$  devin aperiodice.

O altă condiție care mai trebuie îndeplinită pentru a rezolva ecuația (11.66) este

$$|C_{N-1}| \ll |C_{N-2}| \ll \dots \ll |C_1| \ll |C_0|. \quad (11.71)$$

La momentul inițial această condiție poate fi îndeplinită, însă la un moment oarecare de timp  $t$ , din cauza cuplării nivelelor adiacente prin intermediul ecuației lui Schrödinger amplitudinea  $|C_N|$  devine comparabilă cu  $|C_0|$  și deci  $|C_{N-1}|$  nu poate rămâne cea mai mică. Aceste neconcordanțe scot în evidență faptul că expresia obținută pentru frecvența Rabi corespunzătoare absorbției a  $N$  fotoni nu este întotdeauna corectă, ea reprezentând de fapt rata inițială de variație a amplitudinii de probabilitate  $C_N$  când  $C_0 \simeq 1$ . În plus, metodele aproximative folosite pentru obținerea de soluții analitice trebuie îmbunătățite pentru descrierea sistemelor reale.

#### 11.4. Evaluarea numerică a amplitudinilor de probabilitate și a populațiilor nivelelor

Metodele aproximative folosite pentru obținerea de soluții analitice, prezentate la paragrafele anterioare nu pot fi aplicate la studiul unor sisteme mai complicate, ca de exemplu : cele care au nivelele energetice degenerate, cele care prezintă un dezacord mare între frecvența radiației laser de pompaj și frecvențele de tranziție ( $\omega_j - \omega_{j-1}$ ) dintre două nivele nedegenerate și atunci când frecvențele Rabi nu îndeplinesc anumite condiții limitative.

Astfel, aproximația „evasienergetică” poate fi aplicată numai dacă amplitudinea câmpului electric rămâne constantă în timp și cu ajutorul ei poate fi calculată dependența de timp a amplitudinilor de probabilitate și a populațiilor, precum și media lor pe o perioadă mult mai mare decât cea corespunzătoare frecvențelor Rabi pentru un foton sau mai mulți fotoni.

Dependența populației de timp mai poate fi obținută și prin diagonalizarea unei matrice pătratice cu  $N$  elemente, unde  $N$  reprezintă numărul de nivele energetice, fără să fie necesară impunerea unor restricții legate de condițiile inițiale sau de intervalele de timp. Această metodă este mai



des utilizată decât integrarea în etape a ecuației lui Schrödinger care este laborioasă și cere diferite seturi de condiții inițiale. Integrarea în etape a ecuației lui Schrödinger se folosește atunci când amplitudinea câmpului electric depinde de timp și există un dezacord între frecvența radiației laser și frecvențele de tranziție.

Pentru a calcula dependența de timp a amplitudinii de probabilitate a unui sistem cu nivelele degenerate  $c_{ns}(t)$  se introduce un operator de evoluție temporală  $U^s(t_2, t_1)$  cu ajutorul căruia se poate exprima dependența vectorului de stare al sistemului la momentul  $t_2$  funcție de vectorul de stare la momentul  $t_1$ , în reprezentarea Schrödinger, cu relația

$$|\psi^s(t_2)\rangle = U^s(t_2, t_1) |\psi^s(t_1)\rangle. \quad (11.72)$$

Dacă operatorul  $U^s$  este cunoscut și se consideră că la momentul inițial sistemul se află în stare fundamentală

$$\langle ms | \psi^s(0) \rangle = \delta_{m0} \quad (11.73)$$

atunci populația nivelului  $ns$  este dată de relația :

$$|\langle ns | \psi^s(t) \rangle|^2 = |\langle ns | U^s(t, 0) | m0 \rangle|^2. \quad (11.74)$$

De fapt, pătratul valorii absolute a fiecărui element de matrice al operatorului  $U^s$  reprezintă probabilitatea  $P(ns, t_2 | m0, t_1)$  ca sistemul să se găsească într-o anumită stare finală  $|ns\rangle$  la momentul  $t_2$ , ținând seama că la momentul  $t_1$ , se afla în altă stare  $|m0\rangle$

$$P(m0, t_2 | ns, t_1) = |\langle ns | U^s(t_2, t_1) | m0 \rangle|^2. \quad (11.75)$$

Pentru pulsuri a căror durată este mult mai mare decât perioada Rabi pentru unul sau mai mulți fotoni, media temporală a probabilității se definește astfel

$$\bar{P}(ns | m0) = \lim_{T \rightarrow \infty} T^{-1} \int_0^T P(ns, t' | m0, 0) dt'. \quad (11.76)$$

Ecuațiile de mișcare pentru amplitudinile de probabilitate pot fi deduse cu ajutorul ecuației temporale a lui Schrödinger

$$i\hbar \frac{\partial}{\partial t} |\psi^s(t)\rangle = H^s |\psi^s(t)\rangle. \quad (11.77)$$

Elementele de matrice ale hamiltonianului  $H^s$  care nu se anulează sînt

$$\langle ns | H^s | ns \rangle = \hbar \omega_{ns} \quad (11.78)$$

$$\langle ns | H^s | n-1, q \rangle = -\langle ns | d | n-1, q \rangle E \cos \omega t.$$

Ținînd seama că în reprezentarea Schrödinger expresia vectorului de stare este

$$|\psi^s(t)\rangle = \sum_{ns} a_{ns}^s(t) |ns\rangle \quad (11.79)$$

în reprezentarea de interacție aceasta poate fi obținută cu ajutorul unui operator unitar  $V(t)$  sub forma

$$|\psi^I(t)\rangle = \hat{V}(t) |\psi(t)\rangle \quad (11.80)$$



unde

$$V(t) = \sum_{mq} |mq\rangle e^{im\omega t} \langle mq| = \exp \left( \frac{i}{\hbar} H_0 t \right) \quad (11.81)$$

iar

$$H_0 = \sum_{mq} \hbar |mq\rangle m\omega \langle mq|. \quad (11.82)$$

În reprezentarea de interacție ecuația lui Schrödinger devine

$$i\hbar \frac{\partial}{\partial t} |\psi^I(t)\rangle = H^{ef} |\psi^I(t)\rangle \quad (11.83)$$

iar hamiltonianul efectiv  $H^{ef}$  în aceeași reprezentare este

$$H^{ef} = V(t)H^SV(t)^+ - H_0. \quad (11.84)$$

Atât elementele de matrice diagonale ale hamiltonianului  $H^{ef}$

$$\langle ns | H^{ef} | ns \rangle = \hbar(\omega_{ns} - n\omega) \quad (11.85)$$

cît și cele nediagonale diferite de zero

$$\langle ns | H^{ef} | n-1, q \rangle = -\hbar \gamma_{ns, (n-1)q} \quad (11.86)$$

sînt independente de timp.

Operatorul de evoluție temporală în reprezentarea de interacție satisface ecuația

$$i\hbar \frac{\partial}{\partial t_2} U^I(t_2, t_1) = H^{ef} U^I(t_2, t_1) \quad (11.87)$$

a cărei soluție este

$$U^I(t_2, t_1) = \exp \left[ \frac{i}{\hbar} H^{ef}(t_2 - t_1) \right]. \quad (11.88)$$

Folosind relațiile (11.79), (11.80) și (11.87) se poate demonstra că operatorul unitar de evoluție temporală în cele două reprezentări satisface relația

$$U^S(t_2, t_1) = V(t_2)^+ U^I(t_2, t_1) V(t_1). \quad (11.89)$$

De asemenea, se poate obține ecuația seculară pentru hamiltonianul efectiv  $H^{ef}$  sub forma

$$\sum_{mq} \langle ns | H^{ef} | mq \rangle P_{mq}(\lambda) = \lambda P_{ns}(\lambda) \quad (11.90)$$

unde  $P_{mq}(\lambda)$  sînt componentele stării „evasienergetice”  $|\lambda\rangle$  determinate de vectorii de bază  $|mq\rangle$ . Ținînd seama de expresia operatorului de evoluție temporală în reprezentarea de interacție

$$U^I(t_2, t_1) = \sum_{\lambda} |\lambda\rangle \exp [-i\lambda(t_2, t_1)] \langle \lambda| \quad (11.91)$$



și de relația (11.89) amplitudinile de probabilitate devin

$$\begin{aligned} c_{ns}(t_2) &= \langle n | \psi^I(t_2) \rangle = \\ &= \sum_{\lambda} P_{ns}(\lambda) e^{-i\lambda(t_2-t_1)} \langle \lambda | \psi^I(t_1) \rangle = \\ &= \sum_{\lambda, m, q} P_{ns}(\lambda) e^{-i\lambda(t_2-t_1)} P_{mq}(\lambda) a_{mq}(t). \end{aligned} \quad (11.92)$$

Cu ajutorul amplitudinilor  $c_{ns}(t_2)$  se poate calcula probabilitatea ca la momentul  $t_2$  sistemul să se afle în starea  $|n\rangle$  știind că la momentul  $t_1$  el se găsește în starea  $|m\rangle$

$$P(ns, t_2 | mq, t_1) = \left| \sum_{\lambda} P_{ns}(\lambda) P_{mq}(\lambda) \exp[-i\lambda(t_2 - t_1)] \right|^2 \quad (11.93)$$

precum și media temporală a acestei probabilități

$$\bar{P}(ns | mq; \omega) = \sum_{\lambda} |P_{ns}(\lambda) P_{mq}(\lambda)|^2. \quad (11.94)$$

Evaluarea numerică a probabilității se poate face cu ajutorul calculatorului, pentru valori arbitrare ale diferenței  $t_2 - t_1$ , în diferite cazuri particulare. Astfel, în cazul oscilatorului armonic cu nivele nedegenerate caracterizat de frecvențele de tranziție

$$\omega_n = n\omega + n(n-1)\chi \quad (11.95)$$

( $\chi$  fiind coeficientul de anarmonicitate) și de frecvențele Rabi corespunzătoare unui singur foton

$$\gamma_n^R = \frac{d\sqrt{n}}{2\hbar} \quad (11.96)$$

media populației funcție de frecvența laserului  $\omega$  și de timpul  $t = t_2 - t_1$ , considerînd că la momentul inițial sistemul se afla în starea fundamentală,  $m=0$ , este prezentată în fig. 11.6 și 11.7 pentru diferite valori ale intensității cîmpului electric excitator:  $dE_0/(2\hbar c) = 0,1 \text{ cm}^{-1}$ , fig. 11.6, a,  $dE_0/(2\hbar c) = 0,3 \text{ cm}^{-1}$ , fig. 11.6, b,  $dE_0/(2\hbar c) = 1 \text{ cm}^{-1}$ , fig. 11.6 c,  $dE_0/(2\hbar c) = 3 \text{ cm}^{-1}$ , fig. 11.6 d și  $dE_0/(2\hbar c) = 10 \text{ cm}^{-1}$ , fig. 11.6, e. Pentru frecvențele Rabi s-au considerat următoarele valori ale lui  $n$ :  $n=0$  (curba —),  $n=1$  (curba . . . .),  $n=2$  (curba — — —),  $n=3$  (curba — . — . —), iar pentru timp s-a reprezentat populația pe durata a 8 perioade Rabi (fig. 11.7 a—e).

Frecvența de rezonanță care implică absorbția a  $N$  fotoni din starea fundamentală cu  $n=0$  în starea excitată cu  $n=N$  fiind [136]

$$\omega^{(N)} = \omega + (N-1)\chi \quad (11.97)$$

se pot obține mai multe rezonanțe succesive cu participarea mai multor fotoni. Curbele prezentate în fig. 11.6 și 11.7 [128] au fost trasate pentru parametri corespunzători moleculei de hexafluorură de sulf (considerată biatomică) pentru care  $\omega = 948 \text{ cm}^{-1}$ ;  $\chi = -2,54 \text{ cm}^{-1}$  [136] în cazul absorbției rezonante a 1, 2 și 3 fotoni, iar diagonalizarea numerică a hamiltonianului efectiv a fost făcută pentru o bază de vectori  $|m\rangle$  cu  $m \in [0, 9]$ . Din fig. 11.6, a se poate observa că pentru valori mici ale intensității cîmpului, nivelul fundamental și primul nivel vibrațional excitat au aceeași



comportare ca în cazul unui sistem cuantic cu două nivele la rezonanță pentru care  $\bar{P}(1|0) = \bar{P}(0|0) = \frac{1}{2}$  ( $\omega = 948 \text{ cm}^{-1}$ ).

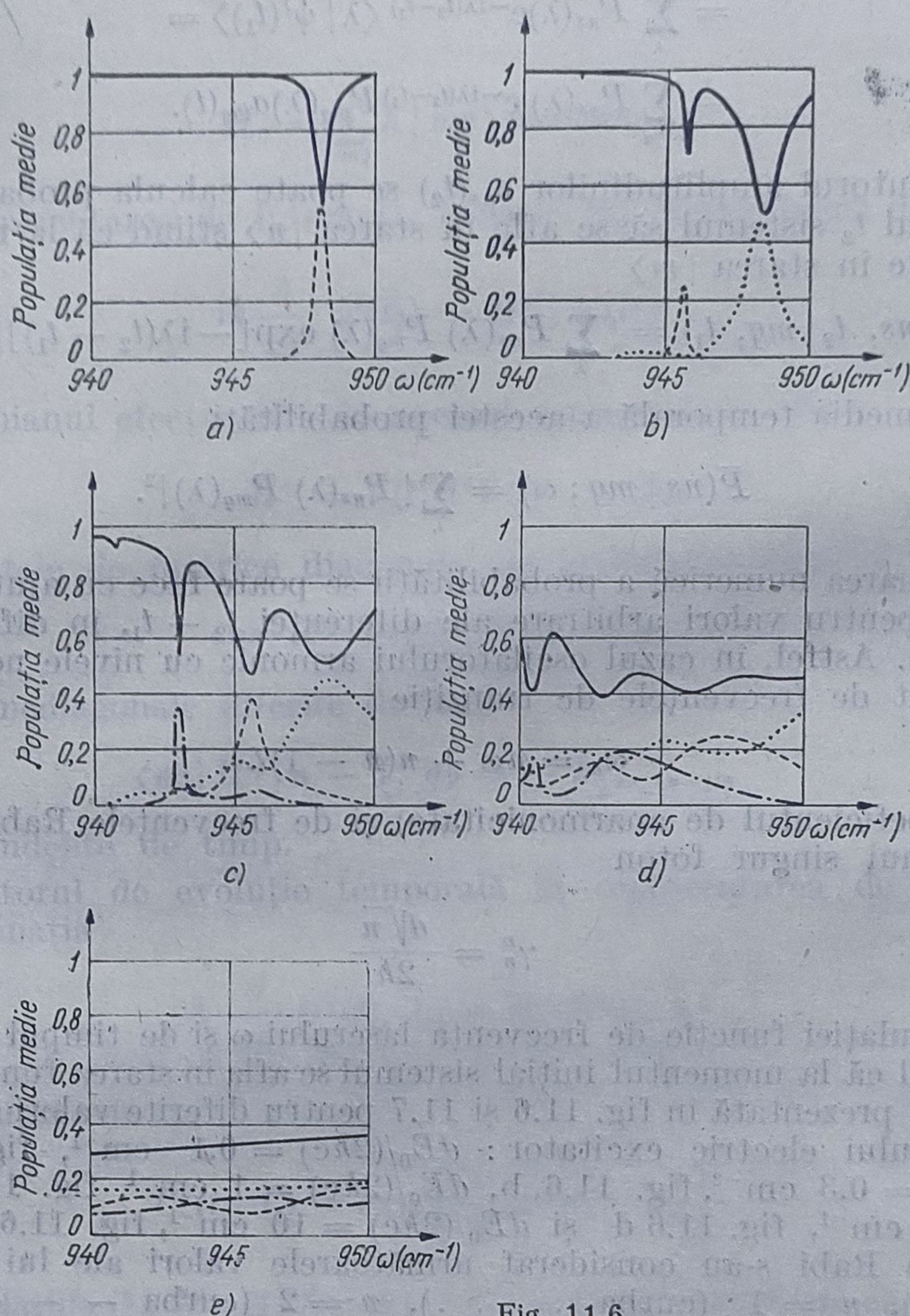


Fig. 11.6

O dată cu creșterea intensității câmpului se obțin rezonanțe cu 1, 2 și 3 fotoni fig. 11.6 b, c la frecvențe date de relația  $\omega^{(N)} = \omega - (N - 1)\chi$ . Dacă intensitatea câmpului este mare se produce o lărgire apreciabilă a nivelelor ceea ce conduce la dispariția fenomenului de rezonanță (fig. 11.6 d, e).

În cazul dependenței populației de timp se constată o comportare asemănătoare. Pentru valori mici ale câmpului, oscilațiile populațiilor sînt periodice ca în cazul sistemului cu două nivele, cu frecvența Rabi corespunzătoare unui singur foton (fig. 11.7 a, b), iar pentru intensități mari ale câmpului oscilațiile devin aperiodice. „Cvasiperioada” care poate fi pusă în evidență în cazul figurilor 11.7 b—e caracterizează timpul necesar ca „unda” excitatoare să treacă de pe nivelul fundamental ( $m = 0$ ) pe celelalte nivele excitate.



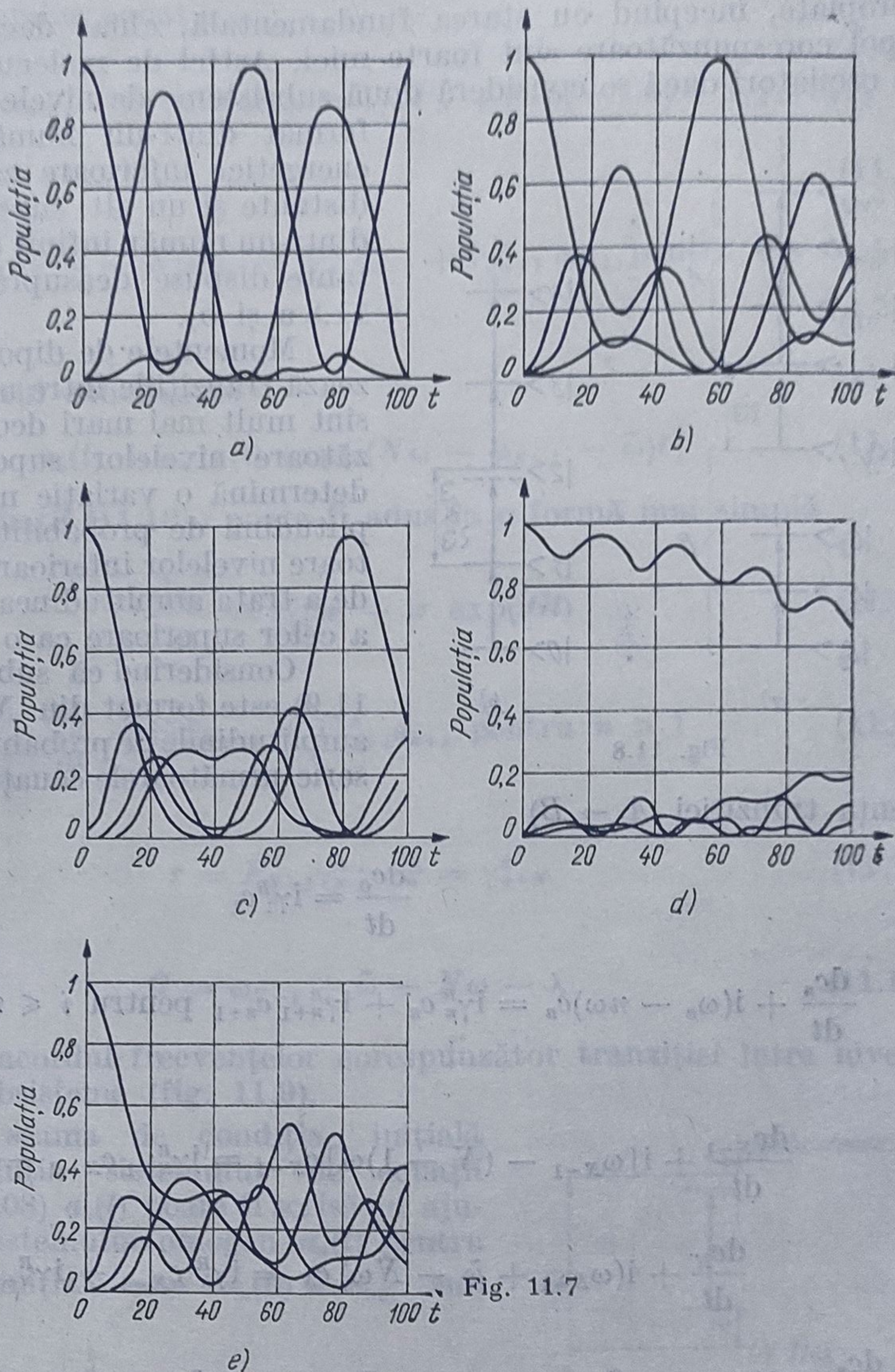


Fig. 11.7

### 11.5. Metode aproximative folosite pentru descrierea sistemelor de tip oscilator

Tranzițiile optice permise între diferite nivele, precum și dezacordul dintre frecvența radiației excitatoare și cea corespunzătoare unei tranziții sunt afectate de despicarea nivelelor degenerate în urma vibrațiilor anarmonice ale moleculelor poliatomice. Întrucât densitatea de stări vibraționale crește foarte mult o dată cu creșterea energiei unei molecule poliatomice se obțin o mulțime de tranziții între diferite nivele de vibrație foarte



apropiate, începînd cu starea fundamentală, chiar dacă momentele de dipol corespunzătoare sînt foarte mici. Astfel de molecule pot fi tratate ca oscilatori dacă se consideră două subsisteme de nivele : un subsistem  $B$

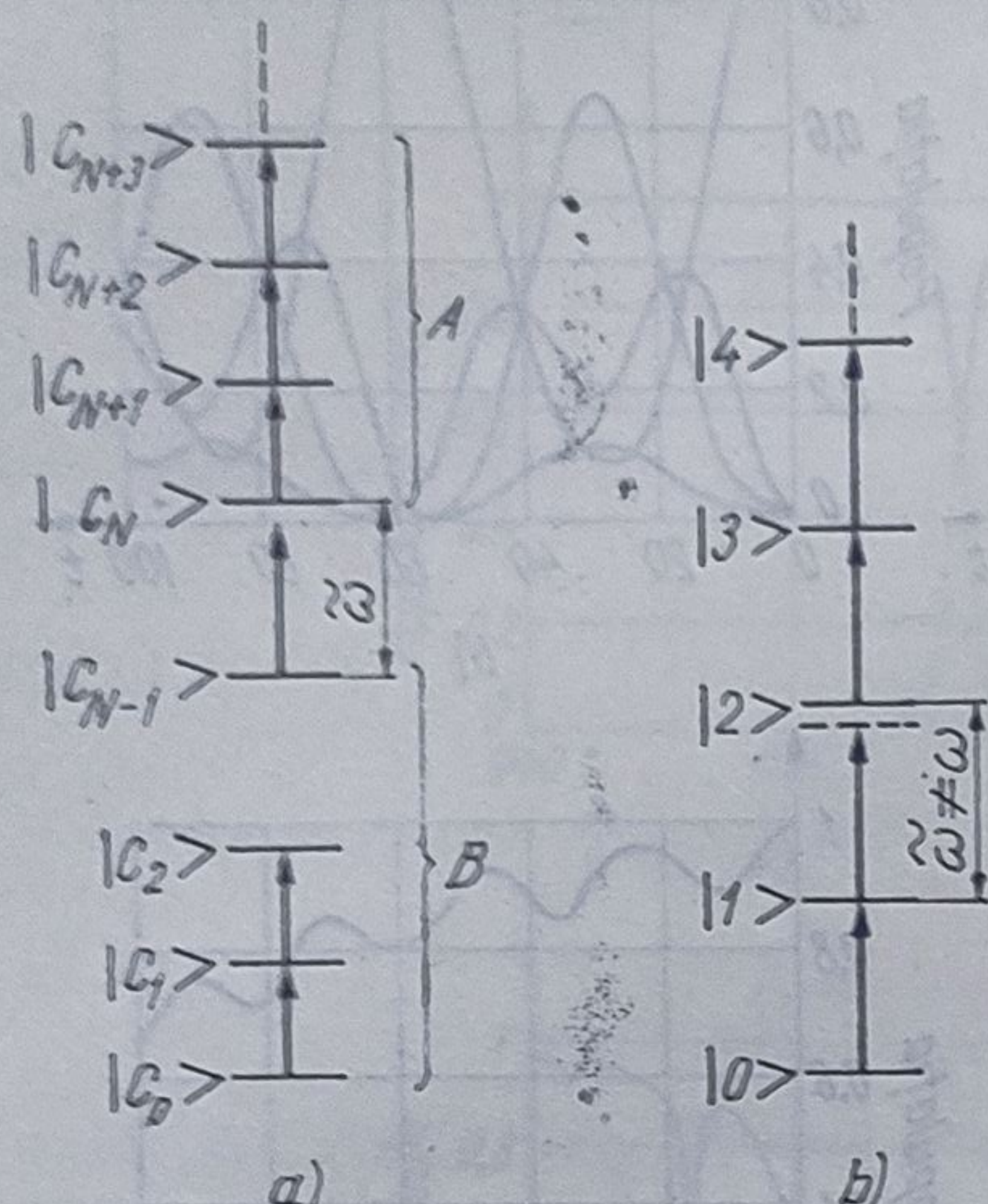


Fig. 11.8

format dintr-un număr mic de nivele energetice inferioare care nu sînt echidistante și un alt subsistem  $A$  format dintr-un număr infinit de nivele echidistante dispuse deasupra primelor (fig. 11.8 a și b).

Momentele de dipol care caracterizează tranzițiile între nivelele inferioare sînt mult mai mari decît cele corespunzătoare nivelurilor superioare. Aceasta determină o variație mai rapidă a amplitudinii de probabilitate corespunzătoare nivelurilor inferioare și posibilitatea de a trata amplitudinea de probabilitate a celor superioare ca o perturbație.

Considerînd că subsistemul  $B$  (fig. 11.9) este format din  $N$  nivele, pentru amplitudinile de probabilitate  $c_n(t)$  se pot scrie următoarele ecuații ( $\tilde{\omega}$  fiind frec-

vența tranziției  $A \rightarrow B$ )

$$\frac{dc_0}{dt} = i\gamma_1^R c_1 \quad (11.98)$$

$$\frac{dc_n}{dt} + i(\omega_n - n\omega)c_n = i\gamma_n^R c_n + i\gamma_{n+1}^R c_{n+1} \text{ pentru } i \leq n \leq N-2 \quad (11.99)$$

$$\frac{dc_{N-1}}{dt} + i[\omega_{N-1} - (N-1)\omega]c_{N-1} = i\gamma_{N-1}^R c_{N-2} + i\gamma_N^R c_N \quad (11.100)$$

$$\frac{dc_N}{dt} + i(\omega_{N-1} + \tilde{\omega} - N\omega)c_N = i\gamma_N^R c_{N-1} + i\gamma_{N+1}^R c_{N+1} \quad (11.101)$$

$$\frac{dc_n}{dt} + i(\omega_{N-1} + \tilde{\omega} - n\omega)c_n = i\gamma_n^R c_{n-1} + i\gamma_{n+1}^R c_{n+1} \text{ pentru } n \geq N+1. \quad (11.102)$$

Soluția generală a unui astfel de sistem este

$$c_n^{(j)}(t) = P_n^{(j)} \exp(-i\lambda_j t); \text{ cu } n \leq N-1 \text{ și } 1 \leq j \leq N \quad (11.103)$$

și corespunde celor  $N$  valori proprii  $\lambda$  ale „evasienergiei”.

În aproximația de ordin zero, soluția corespunzătoare nivelurilor superioare constă dintr-o superpoziție liniară de termeni  $c_{N-1}^{(j)}(t)$  dați de relația (11.103).

Procedînd astfel se poate considera că toată informația legată de evoluția în timp a amplitudinilor de probabilitate poate fi obținută prin rezol-



varea următoarelor ecuații

$$\frac{dc_N}{dt} + i(\omega_{N-1} + \tilde{\omega} - N\omega)c_N = i\gamma_N P_{N-1} \exp(-i\lambda t) + i\gamma_{N+1}^R c_{N+1} \quad (11.104)$$

$$\frac{dc_n}{dt} + i(\omega_{N-1} + \tilde{\omega} - N\omega)c_n = i\gamma_n^R c_{n-1} + i\gamma_{n+1}^R c_{n+1} \text{ pentru } n \geq N+1. \quad (11.105)$$

Cu ajutorul substituției

$$c_n(t) = a_{n-N}(t) \exp[i(N\omega - \omega_{N-1} - \tilde{\omega})t] \quad (11.106)$$

sistemul de ecuații (11.105) poate fi adus la o formă mai simplă

$$\frac{da_0}{dt} = i\tilde{\gamma}_1^R a_1 + ir \exp(iGt) \quad (11.107)$$

$$\frac{da_n}{dt} = i\tilde{\gamma}_n^R a_{n-1} + i\tilde{\gamma}_{n+1}^R a_{n+1} \text{ pentru } n \geq 1 \quad (11.108)$$

unde

$$r = P_{N-1}\gamma_N^R; \tilde{\gamma}_n^R = \gamma_{n+N}^R \quad (11.109)$$

iar

$$G = \omega_{N-1} + \tilde{\omega} - N\omega - \lambda \quad (11.110)$$

reprezintă dezacordul frecvențelor corespunzător tranziției între nivelele celor două subsisteme (fig. 11.9).

Ținând seama de condiția inițială  $a_n(0) = 0$ , soluția sistemului de ecuații (11.107)–(11.108)  $a_n(t)$  poate fi scrisă cu ajutorul soluției sistemului omogen  $\tilde{a}_n(t)$  pentru care condiția inițială este  $\tilde{a}_n(0) = \delta_{n0}$ , sub forma

$$a_n(t) = r \exp(iGt) \int_0^t \tilde{a}_n(\tau) \exp(-iG\tau) d\tau. \quad (11.111)$$

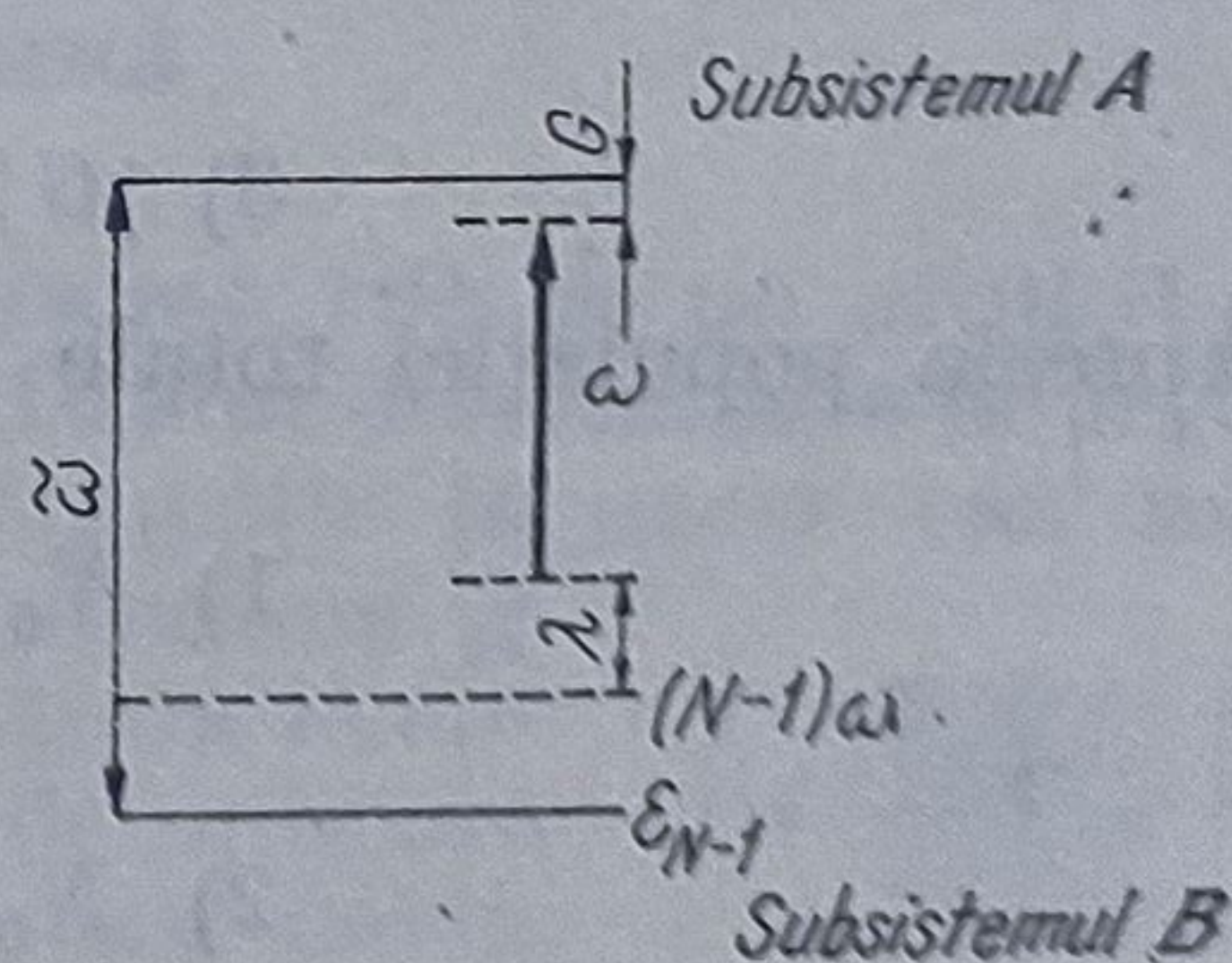


Fig. 11.9

Cu ajutorul acestei relații se poate obține condiția care trebuie îndeplinită de populația unui sistem de tip oscilator  $N_0$ , pentru a avea loc excitarea efectivă pe unul din nivelele superioare

$$N_0 = \sum_{n=0} |a_n(t)|^2 = 1. \quad (11.112)$$

Formalismul prezentat anterior poate fi aplicat în diferite cazuri particulare. Astfel, dacă nivelele superioare ale subsistemului A pot fi asimilate cu cele ale unui oscilator armonic pentru care frecvența Rabi



$\tilde{\gamma}_n^R = \tilde{\gamma}^R n^{1/2}$  soluția este [128]:

$$a_n = i r (i \tilde{\gamma}^R)^n (n!)^{-1/2} \exp(i G t) \cdot \int_0^t \tau^n \exp\{-[i G \tau - (\tilde{\gamma}^R)^{-2} \tau^2 / 2]\} d\tau. \quad (11.113)$$

Primul termen al expresiei populației

$$N_0 = (2\pi)^{1/2} |r|^2 (\tilde{\gamma}^R)^{-1} \exp(-G^2 / 2(\tilde{\gamma}^R)^2) + \\ + 2|r|^2 (\tilde{\gamma}^R)^{-2} \cdot \Phi\left(1, 1/2; -\frac{G^2}{2(\tilde{\gamma}^R)^2}\right), \quad (11.114)$$

obținută cu ajutorul soluției (11.113) pentru  $\gamma^R t \gg 1$ , unde  $\Phi$  este funcția hipergeometrică degenerată, descrie creșterea populației nivelelor superioare. Acest termen are valori foarte mici în cazul unor dezacorduri mari ale frecvenței  $G$ . Al doilea termen, are o valoare constantă și devine foarte mic când  $|G| \gg \tilde{\gamma}^R$ . Deci, excitarea sistemului devine efectivă numai atunci când dezacordul  $G$  al frecvențelor corespunzător tranziției între nivelul superior al subsistemului  $B$  (inferior) și cel inferior al subsistemului  $A$  (superior) este mai mică decât frecvența Rabi a subsistemului  $A$  (superior), adică  $|G| \leq \tilde{\gamma}^R$ .

În cazul în care momentele de dipol corespunzătoare tranzițiilor între nivelele superioare sînt constante ( $\tilde{\gamma}_n = \tilde{\gamma} = ct$ ), funcție de condițiile pe care le îndeplinește dezacordul frecvențelor  $G$

$$1) |G| < 2\tilde{\gamma}^R; \frac{2\tilde{\gamma}^R - |G|}{|G|} \geq 1 \quad (11.115)$$

$$2) |G| > 2\tilde{\gamma}^R; \frac{|G| - 2\tilde{\gamma}^R}{2\tilde{\gamma}^R} \geq 1 \quad (11.116)$$

$$3) |G| = 2\tilde{\gamma}^R \quad (11.117)$$

expresia populației totale a nivelelor pentru  $\gamma t \gg 1$  devine

$$1) N_0 = 2 \left(1 - \frac{G^2}{4(\tilde{\gamma}^R)^2}\right)^{1/2} \frac{|r|^2 t}{\tilde{\gamma}^R} \quad (11.118)$$

$$2) N_0 = \frac{4|r|^2}{[G^2 - 4(\tilde{\gamma}^R)^2]^{1/2} \{[|G| + (G^2 - 4(\tilde{\gamma}^R)^2)^{1/2}]\}} \quad (11.119)$$

$$3) N_0 = \frac{2|r|^2}{(\tilde{\gamma}^R)^2} \left(\frac{2}{\pi} \tilde{\gamma}^R t\right)^{1/2} \quad (11.120)$$

Excitarea efectivă are loc atunci când  $|G| = 2\tilde{\gamma}^R$  și corespunde situației când nivelele celor două subsisteme se întrepătrund.

În cazul general, când populația nivelelor depinde de timp, trecerea sistemului de pe nivelele energetice inferioare pe cele superioare este analogă cu trecerea unei particule printr-o barieră de potențial prin efect tunel. La început, o mică parte a populației nivelului  $(N - 1)$  trece irever-



sibil pe nivelele superioare ale subsistemului  $A$ . Apoi, populația nivelului  $(N - 1)$  este restabilită în urma pompajului de pe nivelele inferioare ale subsistemului  $B$  și execută tranziție pe alte nivele ale subsistemului  $A$ . În timp, tot mai multe nivele ale subsistemului  $A$  sînt implicate în aceste tranziții pînă cînd se ajunge la o stare staționară. Întrucît tranzițiile care au loc între nivelele subsistemului  $B$  se produc mai rapid decît cele corespunzătoare subsistemului  $A$ , populația nivelului  $(N - 1)$  este

$$c_{N-1}^* c_{N-1} \sim |P_{N-1}|^2. \quad (11.121)$$

Prin urmare, în ecuația de mișcare a populației nivelelor superioare trebuie introdus un factor de corecție  $(1 - N_0)$ , astfel încît ea devine

$$\frac{dN_0}{dt} = (1 - N_0). \quad (11.122)$$

Soluția acestei ecuații

$$N_0 = 1 - \exp(-\kappa t) \quad (11.123)$$

unde

$$\kappa = 2|P_{N-1}|^2 \gamma_N^{R^2} / \tilde{\gamma}^R; \text{ pentru } G = 0 \text{ și } \tilde{\gamma}_n^R = \tilde{\gamma}^R = \text{ct.} \quad (11.124)$$

$$\kappa = (2\pi)^{1/2} |P_{N-1}|^2 \gamma^{R^2} / \tilde{\gamma}^R; \text{ pentru } G = 0 \text{ și } \tilde{\gamma}_n^R = \tilde{\gamma}^R n^{1/2} \quad (11.125)$$

pune în evidență faptul că tranziția sistemului de pe nivelele inferioare pe cele superioare poate să aibă loc într-un timp suficient de lung chiar dacă populația nivelului  $(N - 1)$  este foarte mică.

### 11.6. Excitarea unui sistem cu mai multe nivele energetice care au o structură cvasicontinuă

Tranzițiile care au loc de pe un nivel discret  $|0\rangle$  pe un altul  $|1q\rangle$  care are o structură cvasicontinuă ca în fig. 11.10 sînt determinate de legea conservării energiei. Formula probabilității de tranziție în acest caz mai poartă numele de „legea de aur” a lui Fermi. Notînd cu  $\gamma_q^R$  frecvențele Rabi pentru tranzițiile  $|0\rangle \rightarrow |1q\rangle$  cărora le corespund frecvențele de tranziție  $\omega_q$ , ecuațiile de mișcare pentru amplitudinile de probabilitate, în acest caz, devin

$$\frac{dC_0}{dt} = i \sum_q \gamma_q^R C_{1q} \quad (11.126)$$

$$\frac{dC_{1q}}{dt} + i(\omega_q - \omega)C_{1q} = i\gamma_q^R C_0. \quad (11.127)$$

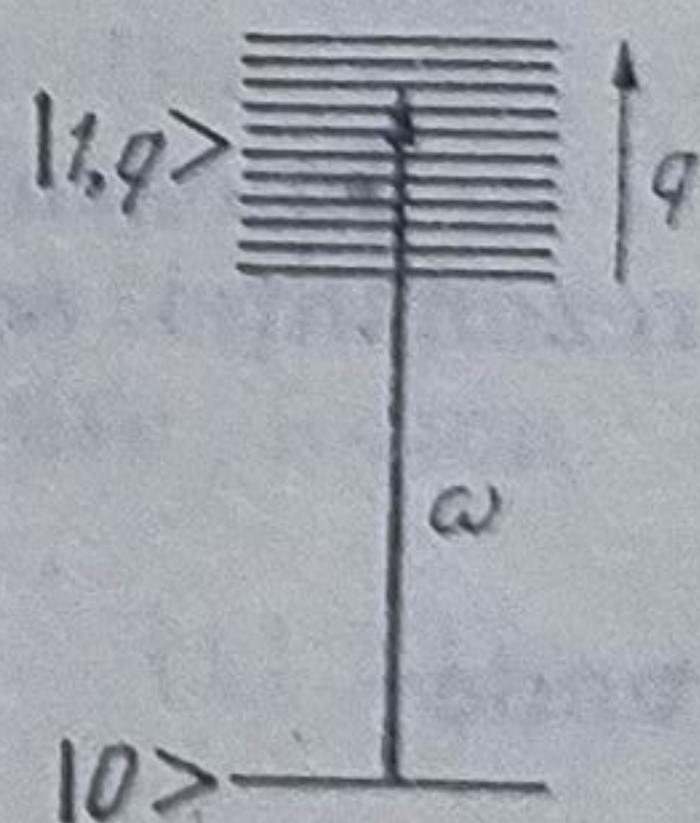


Fig. 11.10

Pentru a obține o soluție analitică a sistemului de ecuații (11.126) — (11.127) se consideră că nivelele  $|1, q\rangle$  sînt echidistante, iar dependența lui  $(\gamma_q^R)^2$  de  $q$  este de tip lorentzian

$$(\gamma_q^R)^2 = \frac{\sigma\delta}{\pi} \cdot \frac{(\gamma^R)^2}{q^2(\gamma^R)^2 + \sigma^2} \operatorname{tgh} \left( \frac{\pi\sigma}{\delta} \right). \quad (11.128)$$



În relația (11.128)

$$\omega_q = \omega_0 + q\delta \quad (11.129)$$

(cu  $-\infty < q < +\infty$ ),  $\delta$  este distanța dintre două nivele adiacente ale benzii, iar  $\sigma$  reprezintă semilărgimea curbei  $(\gamma_q^R)^2$  funcție de  $(q\delta)$ . Soluția ecuațiilor (11.126)–(11.127) poate fi obținută fie cu ajutorul unei transformate Laplace, fie cu ajutorul aproximației „cvasienergetice” prezentate la paragraful 10.1. Pe baza modelului transformatei Laplace prezentat în lucrarea [128] și ținând seama de condițiile inițiale

$$C_0(0) = 1, C_{1q}(0) = 0$$

soluția sistemului de ecuații (11.126)–(11.127) are forma

$$C_0(t) \simeq \frac{r_1 + \sigma - i\Delta}{r_1 - r_2} e^{r_1 t} + \frac{r_2 + \sigma - i\Delta}{r_2 - r_1} e^{r_2 t} \quad (11.130)$$

unde

$$r_{1,2} = -(\sigma - i\Delta)/2 \pm [(\sigma - i\Delta)^2/4 - (\gamma^R)^2]^{1/2}. \quad (11.131)$$

Expresia generală a amplitudinii de probabilitate  $C_0(t)$  poate fi particularizată în două cazuri care prezintă interes practic

— câmp intens, care implică condiția

$$\gamma^R \gg |\sigma - i\Delta| \quad (11.132)$$

și corespunde unei amplitudini care execută oscilații amortizate

$$C_0(t) \sim \exp\left(-\frac{\sigma - i\Delta}{2} t\right) \cos \gamma^R t; \quad (11.133)$$

— câmp slab, pentru care

$$\gamma^R \ll |\sigma - i\Delta| \quad (11.134)$$

iar amplitudinea de probabilitate scade exponențial fără a executa oscilații

$$C_0(t) \sim \exp\left(-i \frac{(\gamma^R)^2 \Delta}{\sigma^2 + \Delta^2} t\right) \exp\left(-\frac{(\gamma^R)^2 \sigma}{\sigma^2 + \Delta^2} t\right). \quad (11.135)$$

În cazul unui câmp slab, pentru o frecvență Rabi  $\gamma_r^R$  corespunzătoare rezonanței se obține următoarea expresie a populației

$$|C_0(t)|^2 \sim \exp(-wt) \quad (11.136)$$

unde

$$w = 2\pi\gamma_r^R/\delta \quad (11.137)$$

reprezintă rata de excitare.

Dacă frecvența Rabi la rezonanță este mai mică decât frecvența corespunzătoare tranziției dintre două nivele adiacente ale benzii  $\gamma_r^R < \delta$  atunci nivelul mai coborât interacționează numai cu singurul nivel superior apropiat de rezonanță.

Cînd  $\gamma_r^R \ll \delta$ , au loc excitații ale populației la fel ca în cazul unui sistem cu două nivele. Dependența populației de timp, pentru diferite



condiții de excitație este prezentată în fig. 11.11. Parametrii sînt următorii :  $\Delta/\delta = 0$ ,  $\sigma/\delta = 5$ ,  $\gamma_0/\delta = 0,5$  în cazul curbei 11.11 (1) și  $\Delta/\delta = 0$ ;  $\sigma/\delta = 5$  și  $\gamma_0/\delta = 0,2$  în cazul curbei 11.11 (2).

### 11.7. Excitarea multifotonică a modurilor de vibrație triplu degenerate ale moleculelor sferice

Studiul proceselor de excitație multifotonică a modurilor de vibrație triplu degenerate ale moleculelor sferice, cum ar fi, de exemplu  $\text{SF}_6$ ,  $\text{SiFe}_4$ ,  $\text{CCl}_4$ ,  $\text{OsO}_4$ ,  $\text{UF}_6$  este determinat de simetria înaltă a acestor molecule care permite verificarea modelelor matematice introduse pentru descrierea lor pe baza datelor spectroscopice obținute privind stările de vibrație—rotație.

Complexitatea benzilor modurilor triplu degenerate ale acestor molecule este rezultatul mai multor efecte, cum ar fi : despicarea nivelelor din cauza anarmonicității vibrațiilor, despicarea (Teller—Coriolis) datorită interacțiilor dintre diferitele momente cinetice de rotație—vibrație, despicarea fiecărui nivel de rotație în mai multe stări permise de grupul punctual de simetrie al moleculei și despicarea hiperfină. Deși au fost rezolvate structurile determinate de despicarea hiperfină cu ajutorul spectroscopiei de saturație, în calcule nu este posibil să se țină seamă de toate interacțiile, considerîndu-se numai cele mai importante : de vibrație, de rotație, precum și cele determinate de interacția dintre momentele cinetice (Teller—Coriolis).

Pentru rezolvarea ecuației lui Schrödinger aplicată acestor molecule, în vederea determinării spectrului energetic, trebuie cunoscută forma hamiltonianului sistemului. Hamiltonianul pentru un mod de vibrație triplu degenerat poate fi exprimat cu ajutorul unei sume de hamiltonieni corespunzători oscilatorilor armonici tridimensionali. Termenii de ordinul trei sau mai mare care apar în expresia energiei potențiale corespund vibrațiilor anarmonice. Notînd cu  $q_j$  ( $j = 1, 2, 3$ ) operatorii corespunzători coordonatelor normale ale unui mod triplu degenerat  $\nu_j$ , se poate demonstra [145] pe baza transformărilor acestor coordonate cu elementele grupului de simetrie octaedric (din care face parte și molecula de  $\text{SF}_6$ ) că termenul energiei potențiale corespunzătoare vibrației anarmonice  $V_a^{(6)}$  are forma

$$V_a^{(6)} = C_0^{(6)} V_0^{(6)} + C_1^{(6)} V_1^{(6)} + C_2^{(6)} V_2^{(6)} + C_3^{(6)} O_3^{(6)} \quad (11.137)$$

unde :

$$V_0^{(6)} = (q_1^2 + q_2^2 + q_3^2)^3 = V_1^{(6)} + 2V_2^{(6)} \quad (11.138)$$

$$V_1^{(6)} = q_1^4 + q_2^4 + q_3^4 \quad (11.139)$$

$$V_2^{(6)} = q_1^2 q_2^2 + q_1^2 q_3^2 + q_2^2 q_3^2 \quad (11.140)$$

iar  $O_3^{(6)}$  este un operator care determină despicarea nivelelor.

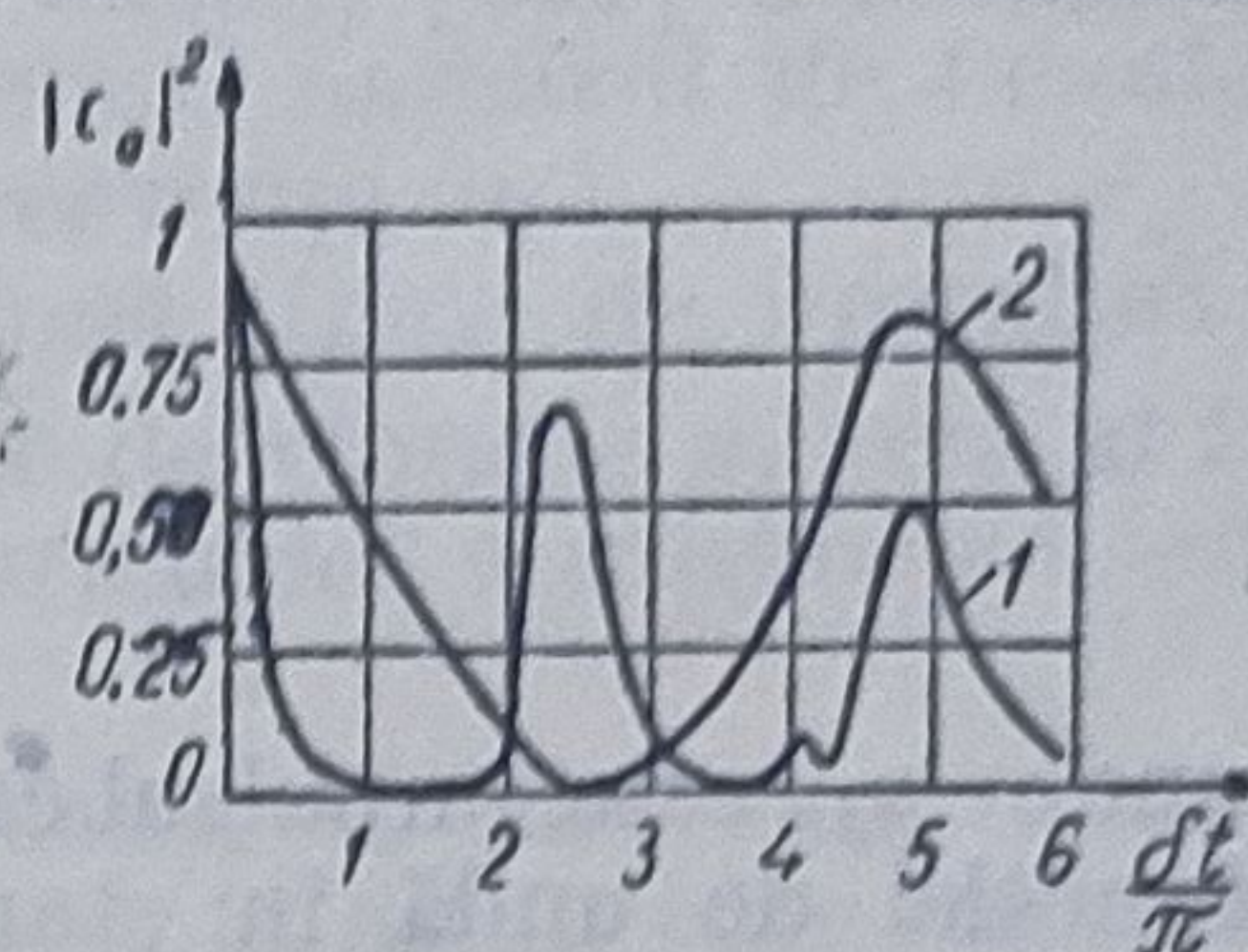


Fig. 11.11



Operatorii coordonatelor normale  $q_j$  pot fi exprimați cu ajutorul operatorilor de creare  $a_j^+$  și anihilare  $a_j$  pe baza relațiilor de transformare următoare [128] (anexa 2)

$$a_j^+ = \frac{1}{\sqrt{2}} (q_j - ip_j) \quad (11.141)$$

$$a_j = \frac{1}{\sqrt{2}} (q_j + ip_j) \quad (11.142)$$

unde  $p_j$  este impulsul canonic conjugat lui  $q_j$ . Ținând seama de expresia funcției de undă în starea fundamentală

$$|0, 0, 0\rangle = (2\pi)^{-3/2} \exp \left[ -\frac{1}{2} (q_1^2 + q_2^2 + q_3^2) \right], \quad (11.143)$$

funcția de undă care descrie diferite moduri de vibrație poate fi exprimată cu ajutorul operatorului de creare  $a_j^+$  astfel

$$|n_1, n_2, n_3\rangle = \sum_{j=1}^3 \frac{(a_j^+)^{n_j}}{\sqrt{n_j!}} |0, 0, 0\rangle. \quad (11.144)$$

Funcția de undă  $|n_1, n_2, n_3\rangle$  reprezintă o stare în care pentru obținerea modului triplu degenerat cu frecvența  $\nu_j$  sînt necesare  $n_1$  cuante în primul mod,  $n_2$  în al doilea și  $n_3$  în al treilea, numărul total de cuante  $n$  corespunzător modului  $\nu_j$  fiind

$$n = n_1 + n_2 + n_3. \quad (11.145)$$

Pe baza modelelor teoretice prezentate în [146] puterea de ordinul  $n$  a operatorului coordonată poate fi exprimată cu ajutorul operatorilor de creare și anihilare sub forma

$$(q_j)^n = \sum_{k, l, m} \frac{n!}{2^{m+n/2} k! l! m!} (a_j^+)^k (a_j)^l \quad (11.146)$$

unde  $k, l, m$  sînt numere întregi pozitive care satisfac relația

$$k + l + 2m = n. \quad (11.147)$$

Cu ajutorul relației (11.146) expresiile operatorilor energiei potențiale care determină armonicitatea vibrațiilor devine

$$V_1^{(6)} = \frac{1}{4} \sum_{j=1}^3 [(a_j^+)^4 + a_j^4 + (4n_j + 6)a_j^2 + (a_j^+)^2(4n_j + 6) + (6n_j^2 + 6n_j + 3)] \quad (11.148)$$

$$V_2^{(6)} = O_1^{(6)} + O_2^{(6)} + (n_1 n_2 + n_1 n_3 + n_2 n_3) + (n_1 + n_2 + n_3) \quad (11.149)$$

$$O_1^{(6)} = \frac{1}{2} \sum_{j=1}^3 [(a_j^+)^2 + a_j^2] + \frac{1}{2} \sum_{j=1}^3 \sum_{k \neq j} n_j [(a_k^+)^2 + a_k^2] + \frac{1}{4} \sum_{j=1}^3 \sum_{k > j} [(a_j^+)^2 (a_k^+)^2 + a_j^2 a_k^2] \quad (11.150)$$

$$O_2^{(6)} = \frac{1}{4} \sum_{j=1}^3 \sum_{k > j} [(a_j^+)^2 a_k^2 + a_j^2 (a_k^+)^2] \quad (11.151)$$



unde

$$n_j = a_j^\dagger a_j \quad (11.152)$$

este operatorul numărului de particule și reprezintă numărul de cuante corespunzătoare componentei de ordinul  $j$  (cu frecvența  $\nu_j$ ).

În expresiile operatorilor  $V_1^{(i)}$  și  $V_2^{(i)}$  apar două tipuri de operatori:

— cei care schimbă numărul total de cuante de vibrație  $n$ , cum ar fi de exemplu  $(a_j^\dagger)^4$ , aceștia determinând mixarea anarmonică a stărilor  $n\nu_j$  cu stările  $(n \pm 2)\nu_j$  și  $(n \pm 4)\nu_j$ ;

— cei care nu schimbă numărul total de cuante  $n$ , dar care determină transmiterea excitației de la un component  $\nu_j$  la altul, care sînt de forma:  $(a_1^\dagger)^2 a_2^2$ . Exprimarea operatorilor  $V_1^{(i)}$  și  $V_2^{(i)}$  funcție de operatorii de creare și anihilare permite calculul prin mijloace mai simple a diferiților termeni ai energiei potențiale corespunzătoare diferitelor valori ale numerelor cuantice de vibrație întrucît elementele de matrice ale operatorilor de creare și anihilare au forma

$$\langle n'_1, n'_2, n'_3 | (a_j^\dagger | n_1, n_2, n_3 \rangle) = \sqrt{n_j} \delta_{n'_j, n_j+1} \prod_{k \neq j} \delta_{n'_k, n_k} \quad (11.153, a)$$

$$\langle n'_1, n'_2, n'_3 | (a_j | n_1, n_2, n_3 \rangle) = \sqrt{n_j} \delta_{n'_j, n_j-1} \prod_{k \neq j} \delta_{n'_k, n_k} \quad (11.153, b)$$

unde  $\delta_{n'_k, n_k}$  este simbolul lui Kronecker.

Cu ajutorul operatorilor de creare și anihilare, hamiltonianul  $H$ , corespunzător modului de vibrație cu frecvența  $\nu_j$  poate fi exprimat sub forma

$$H_j = \nu_j \sum_{j=1}^3 n_j + \frac{3}{2} C_1^{(i)} \sum_{j=1}^3 n_j(n_j - 1) + C_2^{(i)} \sum_{j=1}^3 \sum_{k>j} n_j n_k + C_3^{(i)} O_2^{(i)}. \quad (11.154)$$

Pentru deducerea expresiei hamiltonianului (11.154) s-a considerat că termenii care conțin operatorii de creare și anihilare la puteri mai mari decît șase, precum și cei care schimbă numărul total de cuante sînt nesemnificativi și nu au fost luați în calcule. În expresia aceluiași hamiltonian, cu excepția operatorului  $O_2^{(i)}$ , toți ceilalți operatori sînt diagonali.

Dacă se consideră că în comparație cu alți termeni coeficientul operatorului  $O_2^{(i)}$  este mic, valorile proprii ale energiei calculate cu hamiltonianul dat de relația (11.154) sînt

$$E_j(n_1, n_2, n_3) = \nu_j \sum_{j=1}^3 n_j + \frac{3}{2} C_1^{(i)} \sum_{j=1}^3 n_j(n_j - 1) + C_2^{(i)} \sum_{j=1}^3 \sum_{k>j} n_j n_k. \quad (11.155)$$

Gradul de degenerare al nivelelor energetice  $E_j(n_1, n_2, n_3)$  este unu, trei sau șase după cum numerele  $n_j$  sînt odată, de două sau de trei ori egale între ele. Numărul total de stări pentru un  $n$  dat este

$$\frac{(n+1)(n+2)}{2}.$$



În cazul general, cînd contribuția termenului  $O_3^{(i)}O_2^{(i)}$  devine semnificativă, se poate demonstra că funcțiile proprii ale hamiltonianului (11.154) sînt de forma [128]

$$|nlm\rangle = A_{nl}(\underline{a}^+)^{2n} \tilde{y}_{lm}(a^+) |0, 0, 0\rangle \quad (11.156)$$

unde

$$A_{nl} = (-1)^n (4\pi)^{1/2} [(2n + 2l + 1)!! (2n)!!]^{-1/2} \quad (11.157)$$

este un factor de normare, iar

$$(\underline{a}^+)^2 = \sum_{j=1}^3 (a_j^+)^2. \quad (11.158)$$

Funcția  $\tilde{y}_{lm}(r)$  este dată de produsul dintre vectorul de poziție  $r$  la puterea  $k$  și funcția armonică sferică  $Y_{lm}(\theta, \Phi)$

$$\tilde{y}_{lm}(r) = r^k Y_{lm}(\theta, \Phi). \quad (11.159)$$

Cu ajutorul funcțiilor proprii  $|nlm\rangle$  (11.156) se pot calcula valorile proprii ale energiei modului de vibrație  $j$  sub forma

$$\begin{aligned} E_j(nlm) &= \left(n + \frac{3}{2}\right) \omega_j + \chi_{jj} \left(n + \frac{3}{2}\right)^2 + G_{jj} l(l+1) = \\ &= n \nu_j + \chi_{jj} n(n-1) + G_{jj} [l(l+1) - 2n] \end{aligned} \quad (11.160)$$

unde între parametrii  $\chi_{jj}$ ,  $G_{jj}$ ,  $T_{jj}$  și  $C_1^{(i)}$ ,  $C_2^{(i)}$ ,  $C_3^{(i)}$  există relațiile

$$\chi_{jj} = \frac{9}{10} C_1^{(i)} + \frac{1}{5} C_2^{(i)} + \frac{1}{10} C_3^{(i)} \quad (11.161)$$

$$G_{jj} = -\frac{3}{10} C_1^{(i)} + \frac{1}{10} C_2^{(i)} - \frac{1}{5} C_3^{(i)} \quad (11.162)$$

$$T_{jj} = \frac{3}{20} C_1^{(i)} - \frac{1}{20} C_2^{(i)} - \frac{1}{40} C_3^{(i)}. \quad (11.163)$$

Pentru deducerea relației (11.160) s-au neglijat termenii care conțin coeficienții  $T_{jj}$ , ca fiind foarte mici. Întrucît numărul cuantic  $l$  poate să ia valorile

$$l = n, n-2, \dots, 1 \text{ sau } 0 \quad (11.164)$$

pentru orice valoare a lui  $n$  se obțin  $\frac{n}{2}$  valori proprii  $E_j(nlm)$  diferite una

pentru fiecare valoare a lui  $l$ . Fiecare valoare proprie este degenerată de  $(2l+1)$  ori pentru că numărul cuantic  $m$  ia  $(2l+1)$  valori

$$m = -l, \dots, 0, \dots, l. \quad (11.165)$$

Numărul total de nivele pentru o valoare dată a lui  $n$  este  $(n+1)(n+2)$ .

Semnificația fizică a coeficienților care apar în expresia energiei este următoarea: coeficienții  $\chi_{jj}$  și  $G_{jj}$  determină deplasarea frecvenței dato-



rită anarmonicității vibrațiilor, iar coeficientul  $T_{jj}$  determină despicairea nivelelor. Calculul acestor coeficienți se poate face pe baza modelului câmpului central de forțe prezentat în lucrarea [128].

Pentru a calcula energia nivelelor modului de vibrație  $n\nu_j$ , trebuie rezolvată o ecuație seculară al cărei ordin este egal cu numărul maxim de nivele cu aceeași simetrie care apar în modul  $n\nu_j$ . Pentru  $n = 2$  ecuația este liniară; pentru  $n = 3$  și 4 ea devine pătratică și soluția ei este dată în lucrarea [128].

Ecuația seculară mai poate fi rezolvată analitic și pentru valori ale lui  $n = 5$  și 6 însă pentru  $n \geq 7$  rezolvarea implică utilizarea calculatorului.

În figura 11.12 este prezentată diagrama nivelelor energetice calculate pentru molecula de  $\text{SF}_6$ . Săgețile indică poziția acelor nivele pentru care despicairea cauzată de anarmonicitatea vibrațiilor este zero, iar acestea suferă o deplasare. Numerele întregi din paranteze reprezintă valorile numerelor  $n_1, n_2$  și  $n_3$  corespunzătoare unui anumit nivel (11.145). Fiecare nivel este degenerat, gradul de degenerare fiind egal cu numărul de permutări distincte ale numerelor  $n_1, n_2, n_3$ .

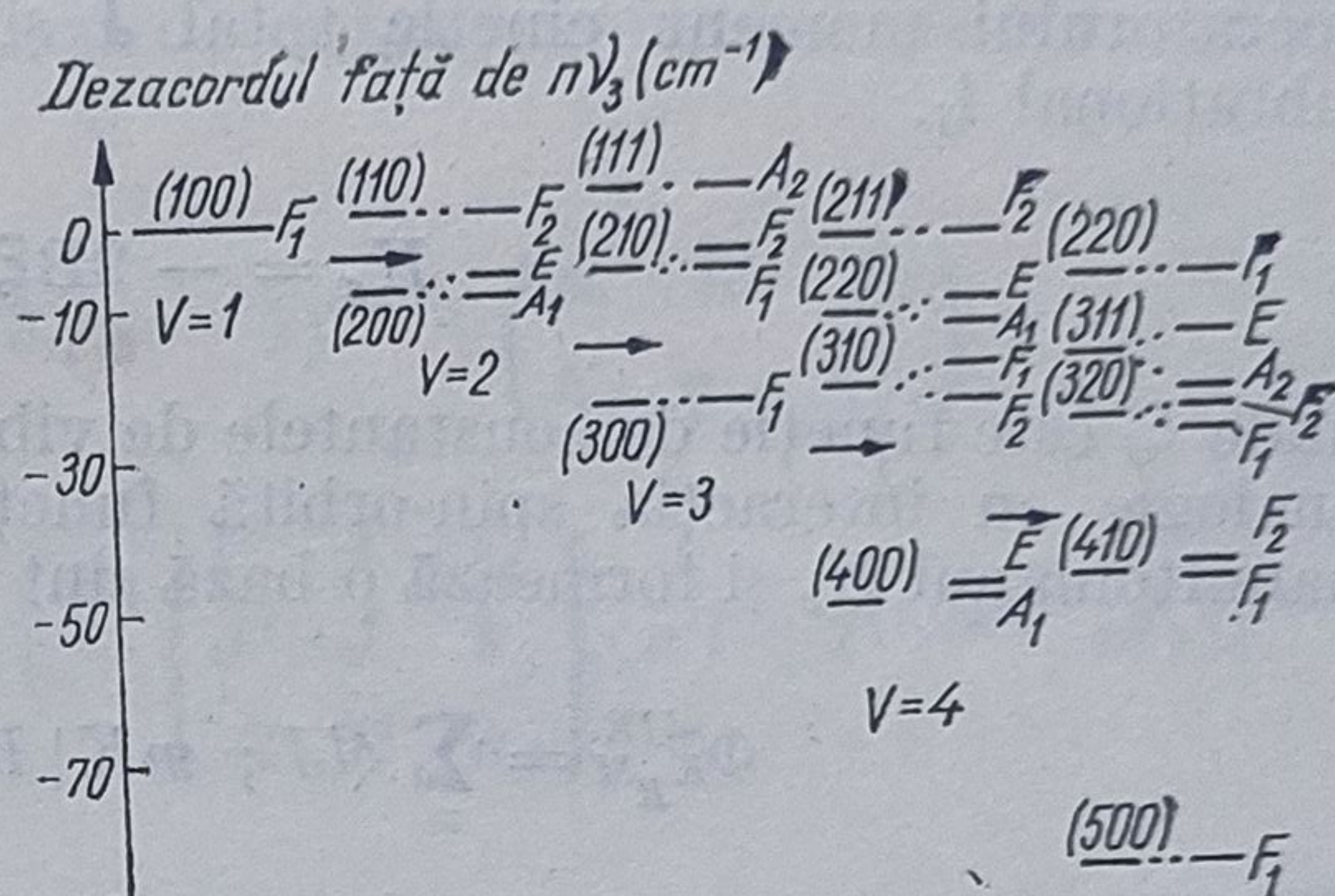


Fig. 11.12

În modelul prezentat anterior nu a fost luată în considerare mișcarea de rotație a moleculelor. Pe baza aproximației Born—Oppenheimer funcțiile care descriu stările de vibrație—rotație ale unei molecule de formă sferică pot fi calculate ca un produs al funcțiilor de undă de vibrație respectiv cele ale rotatorului rigid. Din cauza interacției dintre mișcarea de rotație și cea de vibrație (numită și Coriolis) alegerea unui set de funcții de vibrație—rotație care să formeze o bază este mai complicată. Dacă mărimea despicării nivelelor de vibrație datorită anarmonicității vibrațiilor este mai mare decât energia de interacție vibrație—rotație (Coriolis) funcțiile de undă de vibrație—rotație pot fi alese ca un produs al funcțiilor de undă de vibrație pură și respectiv rotație. În caz contrar, este mai convenabil să se aleagă ca bază funcțiile proprii corespunzătoare momentelor cinetice cuplate.

Funcțiile de undă care descriu mișcarea de rotație a moleculelor poliatomice considerate ca rotatori rigizi  $\psi_M^J$  pot fi exprimate cu ajutorul unei combinații liniare a elementelor de matrice de rotație  $D_{KM}^J(\omega)$ , care în cazul unor molecule de formă sferică se reduce la un singur termen de forma [128]

$$\psi_{KM}^J(\omega) = \left( \frac{2J+1}{8\pi^2} \right)^{1/2} D_{KM}^J(\omega^{-1}). \quad (11.166)$$

Proiecția  $M$  a momentului cinetic total  $J$  de-a lungul axei  $Oz$  dă naștere și în cazul moleculelor sferice unui număr cuantic bun. În cazul în care diferența energetică dintre două nivele de vibrație este mult mai mare decât energia corespunzătoare interacției dintre mișcarea de vibra-



ție și cea de rotație (Coriolis) funcția de undă de vibrație-rotatie  $\Psi_{KM}^{nsJ}$  care diagonalizează hamiltonianul vibrațiilor anarmonice poate fi scrisă ca un produs

$$\Phi_{KM}^{nsJ} = \Psi_{ns}(\{q\}) D_{KM}^J(\omega^{-1}). \quad (11.167)$$

În relația (11.167)  $n$  este numărul de cuante de vibrație, iar  $s$  reprezintă alte numere cuantice necesare pentru specificarea diferitelor stări de vibrație,  $s = \{lm\}$ .

Hamiltonianul care descrie interacția dintre mișcarea de vibrație și cea de rotație (Coriolis) poate fi exprimat prin produsul scalar al operatorului moment cinetic total  $\mathbf{J}$  și operatorul momentului cinetic vibrațional  $\mathbf{l}_j$ :

$$H_c = -2B\xi_j \mathbf{J} \cdot \mathbf{l}_j \quad (11.168)$$

unde  $\xi_j$  este funcție de constantele de vibrație și geometria moleculei. Prin analogie cu interacția spin-orbită funcțiile de undă care diagonalizează hamiltonianul  $H_c$  și formează o bază sînt cele de vibrație-rotatie

$$\Phi_{KM}^{nlJR} = \sum_m \langle lJ ; mK | RK_R \rangle [\Phi_m^{nl}]^* \psi_{KM}^J \quad (11.169)$$

pentru care operatorii  $\mathbf{J}$  și  $\mathbf{l}_j$  sînt cuplați și determină un nou moment cinetic

$$\mathbf{R} = \mathbf{J} - \mathbf{l}_j. \quad (11.170)$$

Numerele cuantice bune corespunzătoare acestei baze de armonice sferice cuplate sînt:  $n, l, J, R, M$  și proiecția  $K_R$  a lui  $\mathbf{K}$  de-a lungul axei  $z$  a moleculei. Astfel, vectorii bazei corespunzători armonicelor sferice cuplate generează reprezentarea  $D^{(R)}$  a grupului ortogonal  $O_3^{(+)}$ .

Cu ajutorul funcțiilor de vibrație—rotatie date de relația (11.169) se poate descrie mișcarea de rotație—vibrație a moleculelor și de asemenea se pot calcula elementele de matrice ale operatorilor de vibrație—rotatie. Tensorul operatorului de vibrație-rotatie  $T_q^{(k_1 k_2 k)}$  se poate construi cu ajutorul tensorului operatorului de vibrație pură de rang  $k_1$  și cu cel corespunzător rotației pure care are rangul  $k_2$  pe baza regulilor generale [128]

$$T_q^{(k_1 k_2 k)} = \sum_{q'} T_{q'}^{(k_1)(vib)} T_{q-q'}^{(k_2)(rot)} \langle k_1 k_2 ; q - q' | kq \rangle. \quad (11.171)$$

De exemplu, operatorul Coriolis (11.168) poate fi exprimat cu ajutorul tensorilor de vibrație și rotație pură sub forma [128]

$$H_c = 2\sqrt{3} B\xi T_0^{(110)} \quad (11.172)$$

$$T_0^{(1)(rot)} = -J_z \quad (11.173)$$



unde

$$T_{\pm 1}^{(1)(rot)} = \pm \frac{1}{\sqrt{2}} (J_x \pm iJ_y) \quad (11.174)$$

$$T_0^{(1)(vib)} = l_z \quad (11.175)$$

$$T_{\pm 1}^{(1)(vib)} = \mp \frac{1}{\sqrt{2}} (l_x \pm il_y). \quad (11.176)$$

Elementele de matrice ale operatorului tensorial de vibrație- rotație (11.171) exprimate într-o bază de funcții armonice sferice cuplate sînt [128]

$$\begin{aligned} \left( \Phi_{K'R'}^{n'l'JR'}, T_q^{(k_1 k_2 k)} \right) \Phi_{KR}^{nlJR} &= \delta_{M'M} (-1)^{R+K_{R'}} \begin{pmatrix} R & K & R' \\ K_R & q & -K_{R'} \end{pmatrix} \times \\ &\times [(2k+1)(2R'+1)(2R+1)]^{1/2} \cdot \begin{Bmatrix} l' & l & k_1 \\ J' & J & k_2 \\ R' & R & k \end{Bmatrix} \langle n'l' || T^{(k_1)(vib)} || nl \rangle \times \\ &\times \langle J || T^{(k_2)(rot)} || J \rangle. \end{aligned} \quad (11.177)$$

Hamiltonianul de vibrație—rotație pentru un mod triplu degenerat poate fi exprimat cu ajutorul operatorilor tensoriali de rotație și respectiv vibrație pură prin relația [128]

$$H_j = \omega_j T_{000}^{10} + \chi_{jj} T_{000}^{20} + G_{jj} l_j^2 + B_0 T_{000}^{01} + 2\sqrt{3} B_0 \xi_j T_{110} - \alpha T_{000}^{11}. \quad (11.178)$$

Folosind ca bază funcțiile de vibrație-rotație  $\Phi_{KR}^{nlJR}$  se pot calcula valorile proprii ale energiei modului de vibrație  $j$

$$\begin{aligned} E(nlJR) &= n\nu_j + n(n-1)\chi_{jj} + [l(l+1) - 2n] G_{jj} + B_0 J(J+1) + \\ &+ B_0 \xi_j [R(R+1) - J(J+1) - l(l+1) + 2n] - \alpha nJ(J+1). \end{aligned} \quad (11.179)$$

Pentru a determina regulile de selecție care guvernează tranzițiile care au loc între diferite nivele, trebuie calculate elementele de matrice ale tranzițiilor de dipol. Operatorul momentului de dipol al unei molecule poliatomice aflată în stare fundamentală poate fi exprimat în primă aproximație sub forma unei sume dintre momentul de dipol permanent și componentele sale temporale corespunzătoare diferitelor moduri de vibrație.



Din cauza rotațiilor moleculelor, momentul de dipol permanent poate determina tranziții între nivelele de rotație. Astfel, în timp ce moleculele cu simetrie tetraedrică pot avea un spectru de rotație puțin intens moleculele a căror simetrie este octaedrică nu prezintă un astfel de spectru. Tranzițiile care au loc între diferite nivele de vibrație—rotație sînt determinate de aceea componentă a momentului de dipol care depinde de operatorii corespunzători coordonatelor normale  $\{q\}$ . În sistemul laboratorului componentele operatorului momentului de dipol sînt date de relația

$$d_{\sigma} = A \sum_{\tau} D_{\tau\sigma}^1(\omega^{-1}) q_{\tau} \quad (11.180)$$

unde  $A$  este o constantă caracteristică moleculei, iar  $D^1$  este matricea de rotație pentru  $J = 1$ . Elementele de matrice ale operatorului momentului de dipol  $d_{\sigma}$  pot fi evaluate folosind ca baza funcțiile de vibrație—rotație  $\Phi_{KM}^{nIJR}$  sub forma

$$\begin{aligned} & (\Phi_{P'M'}^{n'I'J'R'}, d_{\sigma} \Phi_{PM}^{nIJR}) = \\ & = A \delta_{R'R} \delta_{P'P} (-1)^{J+M'+1} \begin{pmatrix} J & 1 & J' \\ M & \sigma & -M' \end{pmatrix} \cdot [3(2R+1)(2J'+1) \times \\ & \times (2J+1)]^{1/2} \langle nl || q || n'l' \rangle \cdot \begin{Bmatrix} l' & l & 1 \\ J' & J & 1 \\ R' & R & 0 \end{Bmatrix}. \end{aligned} \quad (11.181)$$

Elementele de matrice reduse sînt date de relațiile

$$\langle nl || \hat{q} || n'l' \rangle = \begin{cases} [(n+l+3)(l+1)/2]^{1/2} & \text{pentru } n' = n+1; l' = l+1 \\ [(n'-l+2)l/2]^{1/2} & \text{pentru } n' = n+1; l' = l-1. \end{cases} \quad (11.182)$$

Din analiza relațiilor de mai sus, se obțin următoarele reguli de selecție care guvernează tranzițiile de dipol, pentru moleculele de formă sferică

$$R' = R \quad (11.183)$$

$$P' = P \quad (11.184)$$

$$n' = n \pm 1 \quad (11.185)$$

$$l' = l \pm 1 \quad (11.186)$$

$$J' = J \text{ sau } J \pm 1 \quad (11.187)$$

$$M' = M + \sigma. \quad (11.188)$$



Aceste reguli se modifică dacă stările proprii ale moleculei sînt obținute prin superpoziția unor stări caracterizate de momente cinetice de rotație diferite  $\mathbf{R}$  sau tipuri de simetrie diferite. În anumite condiții,  $T_{JJ} > G_{JJ}$ , unele componente ale operatorului anarmonic, ca de exemplu,  $T_{404}$  pot mixa stări cu momente cinetice de rotație diferite. Mixarea stărilor cu momente cinetice de rotație diferite este importantă în cazul stărilor vibraționale cu  $n = 1$  iar mixarea stărilor cu diferite simetrii joacă un rol important în cazul stării fundamentale. În lucrările [152] și [153] aceste considerații teoretice sînt aplicate la studiul spectrului moleculei de  $\text{SF}_6$ .

Spectrul modului de vibrație  $3\nu_3$  obținut experimental pentru  $\text{SF}_6$ , chiar dacă este limitat de efectul Doppler permite determinarea parametrilor anarmonici corespunzători acestui nivel, care sînt [128]

$$\chi_{33} \simeq -1,56 \text{ cm}^{-1}; \quad G_{33} \simeq 0,9 \text{ cm}^{-1}; \quad T_{33} \simeq -0,25 \text{ cm}^{-1}.$$

Folosind ca bază funcțiile  $|nlJR; K_R M\rangle$  și neținînd seama de spinul nuclear se poate calcula gradul de degenerare  $g_{nR}$  al nivelului  $n$  astfel

$$g_{nR} = \sum_{l=0}^n \sum_{\text{sau } 1} \sum_{J=R-l}^{R+l} \sum_{M=-J}^J \sum_{K=-R}^R = \sum_{l=0}^n \sum_{\text{sau } 1} \sum_{J=R-l}^{R+l} (2J+1)(2R+1) =$$

$$= d_n^{(v)} \cdot (2R+1)^2 \quad (11.189)$$

unde

$$d_n^{(v)} = \frac{1}{2} (n+1)(n+2) \quad (11.190)$$

reprezintă numărul total de stări care implică  $n$  cuante în cazul unui oscilator triplu degenerat. Dacă în setul numerelor cuantice se includ și numerele cuantice de spin nuclear  $I$  și  $M_I$ , atunci trebuie formate combinații liniare ale funcțiilor de undă de spin  $|IM_I\rangle$  care se transformă pe baza reprezentărilor ireductibile ale grupului de simetrie căruia îi aparține molecula [128]. Se constată conform principiului lui Pauli că numai un singur tip de simetrie care include spinul nuclear poate fi asociat cu fiecare tip de simetrie de vibrație—rotație. Pe baza modelului prezentat în lucrarea [128] gradul de degenerare al unei stări de vibrație—rotație care include și spinul nuclear și este determinată de numerele cuantice  $n, l, J, R, p$  și  $M$ , se calculează cu ajutorul relației

$$g_{nR} = d_n^{(v)} (2R+1) d_R^{(r)}; \quad (d_R^{(r)} = \sum_p d_{R_p}^{(r)}) \quad (11.191)$$

unde  $d_{R_p}^{(r)}$  este degenerarea stărilor de vibrație-rotație-spin.

Un rol important în procesele de excitare multifotonică îl poate juca distribuția moleculelor după temperatură. În anumite condiții distribuția termică poate reduce importanța proceselor coerente în cadrul fenome-



nelor de excitare multifotonică rezonantă. Dacă se consideră că stările excitate ale diferitelor moduri de vibrație sînt degenerate și că despicarea datorită anarmonicității vibrațiilor este comparabilă cu energia de rotație pe baza modelului prezentat în lucrarea [155] se poate demonstra că energia totală a unei stări efective corespunzătoare modului de vibrație  $\nu_3$  al moleculei de  $SF_6$ , este dată de relația

$$E_i(nlJR, \{v\}) = E(nlJR) + \sum_{k \neq 3} \chi_{3k} \left( n + \frac{3}{2} \right) \left( v_k + \frac{d_k}{2} \right) + \sum_{R \neq 3} v_k \left( \omega_k + \frac{d_k}{2} \right). \quad (11.192)$$

În relația (11.192) energia mișcării de vibrație—rotație  $E(nlJR)$  este dată de (11.179),  $\chi_{3k}$  reprezintă coeficientul de anarmonicitate între modurile  $\nu_3$  și  $\nu_k$ ,  $d_k$  determină degenerarea modului  $\nu_k$ , iar numerele cuantice  $\{v\} = \{v_1, v_2, v_3, v_4, v_5, v_6\}$  corespund numărului total de cuante al celorlalte moduri excitate. Dacă energia de interacție dintre modul de frecvență  $\nu_3$  și celelalte moduri este liniară în  $n$ , apar deplasări ale frecvențelor de tranziție mai ales în domeniul frecvențelor joase.

De asemenea, distribuția termică modifică și probabilitatea de a găsi sistemul într-o stare efectivă  $|nlJR, \{v\}\rangle$  sub acțiunea unei radiații de pompaj, inițial el găsindu-se în starea  $|n'l'J'R', \{v\}\rangle$ . Folosind formalismul matricei densitate, se poate demonstra că media în timp a probabilității totale este [128]

$$\langle w_{tot}(nlJR; \nu_i) \rangle = \sum_{\{v\}} \sum_{n'} \sum_{l'} \sum_{J'} \sum_{R'} w(nlJR, \{v\} | n'l'J'R', \{v\}) \nu_i w_{termică}. \quad (11.193)$$

Pe baza relațiilor cunoscute din fizica statistică, probabilitatea  $w_{termică}(n'l'J'R', \{v\})$  este dată de relația

$$w_{termică}(n'l'J'R', \{v\}) = Z^{-1} d_{\{v\}} g_{n'l'J'R'} e^{-\beta E(n'l'J'R', \{v\})} \quad (11.194)$$

În relația (11.194)  $\beta = \frac{\hbar}{kT}$ ,  $d_{\{v\}}$  reprezintă degenerarea nivelelor de vibrație

$$d_{\{v\}} = \frac{1}{8} (v_2 + 1)(v_4 + 1)(v_4 + 2)(v_5 + 1)(v_5 + 2)(v_6 + 1)(v_6 + 2) \quad (11.195)$$

iar  $Z$  este funcția de partiție

$$Z = \sum_{\{v\}} \sum_{n'} \sum_{l'} \sum_{J'} \sum_{R'} d_{\{v\}} g_{n'l'J'R'} e^{-\beta E(n'l'J'R', \{v\})}. \quad (11.196)$$



## 12. GENERAREA ARMONICILOR OPTICE

### 12.1. Generarea armonicii a doua

Primul experiment de generare a armonicii a doua a fost făcut cu un laser cu argon ( $\lambda = 6940 \text{ \AA}$ ) folosindu-se o placă de cuarț drept element neliniar [101]. S-a constatat că în radiația emergentă se găsește și o radiație cu  $\lambda = 3470 \text{ \AA}$  cu un raport de conversie de  $10^{-8}$ . În prezent folosindu-se pentru excitare laseri de mare putere și respectându-se legile de conservare s-au obținut rapoarte de conversie mult mai mari.

#### 12.1.1. Aproximația undei plane

Procesul de generare a armonicii a doua poate fi analizat cu ajutorul ecuațiilor cuplate de amplitudine deduse în cazul interacției a trei unde plane [17] pentru care se consideră  $\omega_1 = 2\omega_2$  și  $\omega_2 = \omega_3$ . Natura condițiilor experimentale dă posibilitatea neglijării la intrare a undei cu frecvența armonicii  $\omega_1 = 2\omega_2$ . Presupunând că mediul neliniar este transparent la frecvența  $\omega_1$  și că pierderile de putere prin conversie sînt nule (datorită raportului mic de conversie experimental), prin integrarea sistemului celor două ecuații cuplate de amplitudine [17] (deoarece intervin numai două frecvențe diferite) se obține pentru un parcurs prin mediul neliniar de lungime  $l$ , amplitudinea cîmpului de frecvența armonicii la ieșire

$$E_{\alpha_1}(l) = -i\omega_1 K E_{\alpha_2}^* E \frac{e^{i\Delta k l} - 1}{i\Delta k} \quad (12.1)$$

unde  $K = \frac{\varepsilon_0}{2} \sqrt{\frac{\mu_0}{\varepsilon}} \chi_{\alpha_1 \alpha_2 \alpha_3}$ , este un coeficient neliniar, iar  $\Delta \mathbf{k} = \mathbf{k}_1 - \mathbf{k}_2 - \mathbf{k}_3$  reprezintă dezacordul vectorilor de undă. Definind puterea undei cu frecvența armonicii a doua prin relația

$$P(2\omega) = \frac{1}{2} \sqrt{\frac{\varepsilon}{\mu_0}} E_{\alpha_1} E_{\alpha_1}^* \sin^2 \theta \quad (12.2)$$

unde  $\theta$  reprezintă unghiul dintre direcția de propagare și direcția  $\alpha$  rezultă modul de variație al acesteia la ieșire

$$P(2\omega) \sim P^2(\omega) l^2 \frac{\sin^2 \left( \frac{\Delta k l}{2} \right)}{\left( \frac{\Delta k l}{2} \right)^2}. \quad (12.3)$$



Din relația (12.2) rezultă o putere maximă a armonicii la ieșire dacă este satisfăcută condiția de adaptare a vectorilor de undă (indicilor de refracție)

$$\Delta k = 0 \quad (12.4)$$

care în cazul descris mai sus devine

$$k_{x_1} = k_{\alpha_1} + k_{\alpha_2}. \quad (12.5)$$

Dacă condiția de adaptare a indicilor este satisfăcută, puterea la ieșire va fi proporțională cu pătratul lungimii cristalului

$$P(2\omega) \sim l^2. \quad (12.6)$$

Dacă această condiție nu este îndeplinită, puterea la ieșire va trece printr-o succesiune de maxime și minime, funcție de lungimea cristalului  $l$ , separate prin distanța

$$l_c = \frac{\pi}{\Delta k} \quad (12.7)$$

numită „lungime de coerență”.

Condiția de adaptare a indicilor nu se produce în mod normal deoarece mediile sînt dispersive ( $n = n(\omega)$ ), pentru o polarizare dată. Se poate arăta că această condiție se poate îndeplini satisfăcător dacă se folosesc cristale birefringente și alegînd corespunzător direcția de propagare, precum și stările de polarizare ale cîmpurilor care interacționează. Astfel în cazul generării armonicii a doua într-un cristal de KDP ( $\text{KH}_2\text{PO}_4$ ) condiția de adaptare a indicilor pentru cele două componente ale cîmpului de frecvență  $\omega_2$  care au polarizările  $\alpha_2$  și  $\alpha_3$  și se propagă cu aceeași viteză de fază, devine

$$k_{\alpha_1}^{(2\omega)} = 2k_{\alpha_2}^{(\omega)}. \quad (12.8)$$

Cu notația

$$k_{\alpha_n}^{(\omega)} = \frac{\omega n^{(\omega)}(\theta)}{c} \quad (12.9)$$

relația (12.8) se scrie

$$n_{\alpha_1}^{(2\omega)}(\theta) = n_{\alpha_2}^{(\omega)}(\theta). \quad (12.10)$$

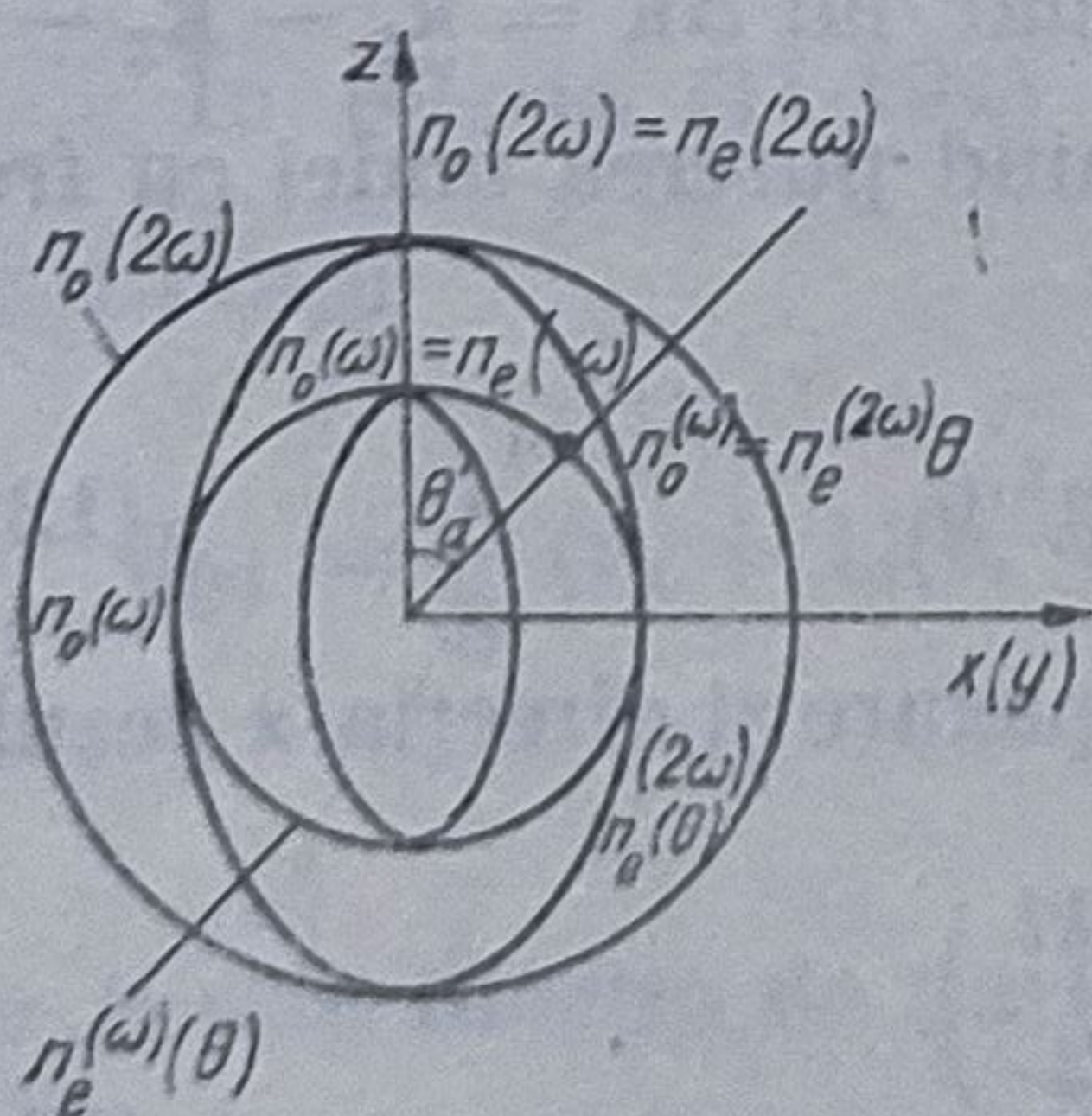


Fig. 12.1

Relația (12.10) evidențiază dependența indicelui de refracție de direcția de propagare, proprietate cunoscută a cristalelor anizotrope uniace, categorie din care face parte și cristalul de KDP ( $\theta$  este unghiul făcut de direcția de propagare cu axa optică  $z$ ).

În figura 12.1 se reprezintă grafic suprafețele normale ale indicilor de refracție pentru undele ordinare și extraordinare în cristalul de KDP (uniace negativ) la frecvențele  $\omega$  și  $2\omega$ . Deoarece cristalul de KDP este uniace negativ

$$n_o^{(\omega)} \leq n_e^{(\omega)} \quad (12.11)$$



este posibilă îndeplinirea condiției (12.10) pentru  $\theta = \theta_a$ , unde  $\theta_a$  reprezintă „unghiul de adaptare”. Deci adaptarea indicilor se obține dacă fasciculul de intrare de frecvență  $\omega$  este polarizat ca rază ordinară, iar fasciculul de frecvență armonicii este polarizat ca rază extraordinară și ambele se propagă în aceeași direcție  $\theta$ . Din condiția

$$n_e^{(2\omega)}(\theta_a) = n_o^{(\omega)}(\theta_a) \quad (12.12)$$

se poate calcula valoarea unghiului  $\theta_a$ . Pentru aceasta relația (12.12) se scrie sub forma

$$\left[ \frac{1}{n_e^{(2\omega)}(\theta_a)} \right]^2 = \left[ \frac{1}{n_o^{(\omega)}(\theta_a)} \right]^2. \quad (12.13)$$

Valoarea indicelui de refracție  $n_e^{(2\omega)}(\theta)$  al undei extraordinare după direcția  $\theta$  se poate obține scriind ecuația elipsei de intersecție dintre elipsoidul indicilor pentru cristale uniace

$$\frac{X^2}{n_o^2} + \frac{Y^2}{n_o^2} + \frac{Z^2}{n_e^2} = 1 \quad (12.14)$$

și planul care trece prin origine și este perpendicular pe direcția de propagare dat de ecuația

$$\mathbf{rk} = 0 \quad (12.15)$$

unde  $\mathbf{k}$  este direcția de propagare.

Ecuația elipsei de intersecție în coordonate polare este dată de expresia

$$\frac{1}{n_e^2(\theta)} = \frac{\cos^2 \theta}{n_o^2} + \frac{\sin^2 \theta}{n_e^2}. \quad (12.16)$$

Introducînd valoarea lui  $n_e(\theta)$  dată de relația (12.16) în condiția de adaptare a indicilor (12.13) se obține pentru sinusul unghiului de adaptare formula

$$\sin \theta_a = \sqrt{\frac{(n_o^{(\omega)})^{-2} - (n_o^{(2\omega)})^{-2}}{(n_e^{(2\omega)})^{-2} - (n_o^{(2\omega)})^{-2}}}. \quad (12.17)$$

În cazul particular al cristalului de KDP, folosindu-se valorile  $n_e^{(\omega)} = 1,466$ ,  $n_e^{(2\omega)} = 1,487$ ,  $n_o^{(\omega)} = 1,506$ ,  $n_o^{(2\omega)} = 1,543$  se obține  $\theta_a = 50,4^\circ$ .

O altă soluție pentru adaptarea indicilor în KDP corespunde cazului în care una din componentele cîmpului fasciculului de intrare specificată de indicii  $\alpha_2$  sau  $\alpha_3$  este o undă polarizată ca rază ordinară, iar cealaltă, de aceeași frecvență, este polarizată ca rază extraordinară.

Condiția de adaptare a indicilor se scrie în acest caz sub forma

$$n_{\alpha_1}^{(2\omega)}(\theta) = \frac{1}{2} [n_{\alpha_1}^{(\omega)}(\theta) + n_{\alpha_3}^{(\omega)}(\theta)] \quad (12.18)$$

sau sub forma echivalentă

$$\left[ \frac{\cos^2(\theta_a)}{(n_o^{(2\omega)})^2} + \frac{\sin^2(\theta_a)}{(n_e^{(2\omega)})^2} \right]^{-1/2} = \frac{1}{2} \left\{ n_o^{(\omega)} + \left[ \frac{\cos^2(\theta_a)}{(n_o^{(\omega)})^2} + \frac{\sin^2(\theta_a)}{(n_e^{(\omega)})^2} \right]^{-1/2} \right\} \quad (12.19)$$



În figura 12.2 se indică într-un sistem de axe rectangulare direcția de propagare a fascicului prin cristal, determinată de unghiurile  $\theta_a$  și  $\varphi_a$ .

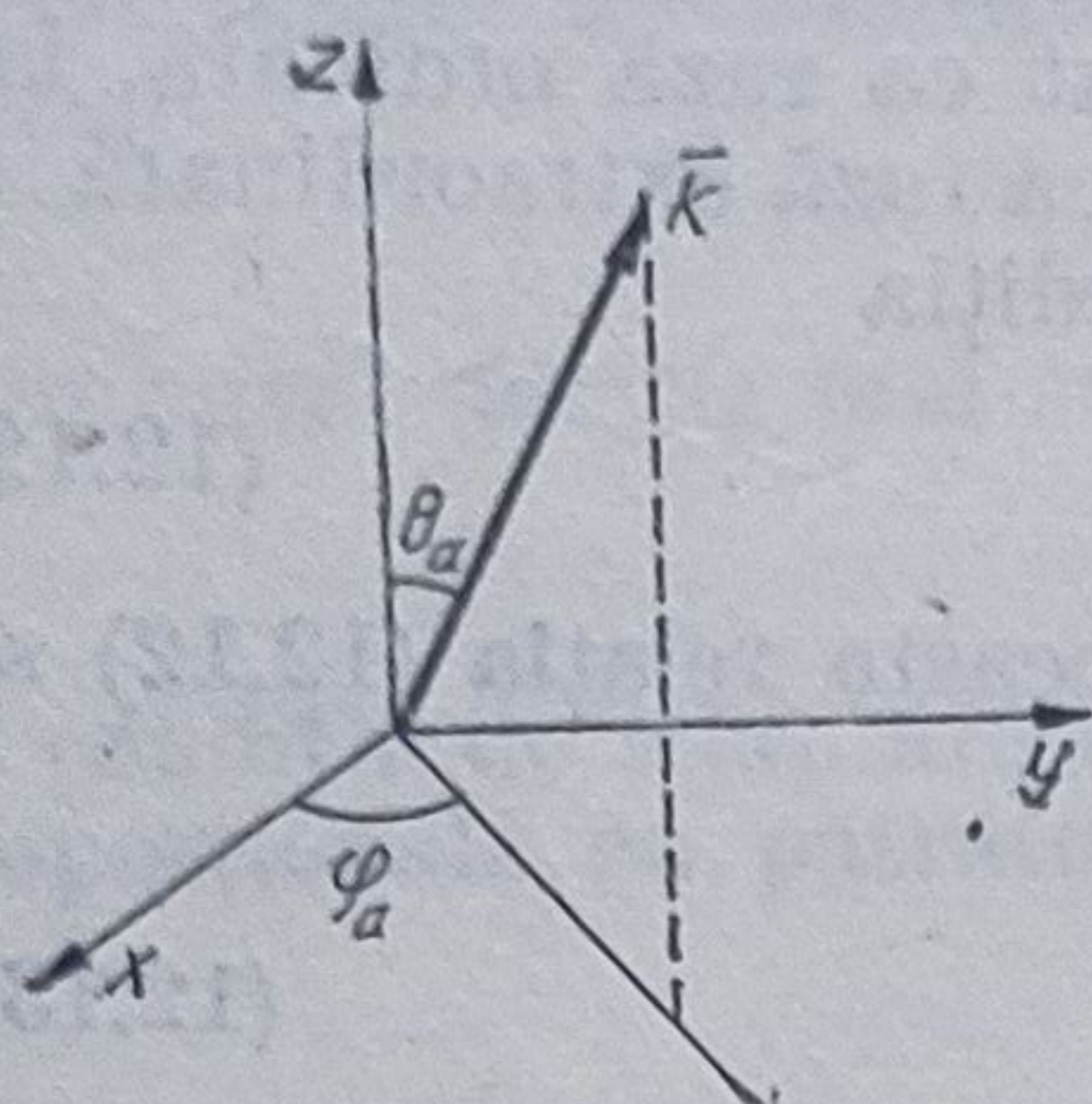


Fig. 12.2.

Expresia amplitudinii cîmpului electric corespunzătoare armonicii a doua mai poate fi obținută în aproximația undei plane și a fasciculelor gaussiene prin metoda funcției Green [158]. Metodele teoretice de tratare a generării armonicii a doua în cristale, care sînt prezentate în lucrările [110, 158] au la bază interacțiile parametrice ale undelor și se aplică cel mai bine în cazul utilizării pentru generare a laserilor în impulsuri de mare putere.

Armonica a doua mai poate fi generată și cu ajutorul laserilor în regim de undă continuă a căror putere nu este prea mare. În acest caz, conversia poate să crească cu cîteva ordine de mărime dacă se utilizează fascicule gaussiene [157].

### 12.1.2. Generarea armonicii a doua în cristale prin metoda focalizării fascicului laser

Dacă generarea armonicii a doua are loc prin focalizarea unui fascicul laser pe un cristal (de exemplu KDP, ADP) atunci pentru calculul puterii armonicii la ieșire trebuie luată în considerare atît forma fascicului laser, cît și proprietățile birefringente ale cristalului în care are loc generarea armonicii. Din cauza extensiei finite a fascicului laser, acesta poate fi reprezentat ca o sumă de unde plane sau prin componentele Fourier respective. Intensitatea fascicului laser care este focalizat pe cristal nu este uniformă astfel că polarizarea neliniară are valori semnificative numai într-o mică regiune din interiorul cristalului corespunzătoare focarului, care nu depinde decît de proprietățile de simetrie ale fascicului laser. Proprietățile birefringente ale cristalului joacă un rol important în cazul folosirii tehnicilor de adaptare a indicilor. Întrucît nu este posibilă adaptarea perfectă a indicilor, pentru toate componentele undei, în vederea optimizării interacțiilor se urmărește ca adaptarea să aibă loc numai pentru fundamentală și armonica a doua.

Chiar și în acest caz există o limitare cauzată de existența unor direcții diferite ale vectorului Poynting corespunzător fundamentalei și respectiv armonicii care este o undă extraordinară, iar dubla refracție limitează distanța pentru care fundamentală și armonica se suprapun.

Pentru a determina condițiile în care puterea armonicii a doua este maximă, se consideră un cristal birefringent negativ ( $n_o > n_e$ ) excitat de modul transversal fundamental al unui fascicul laser care se propagă de-a lungul axei  $z$  și este focalizat în centrul cristalului de lungime  $l$  ca în fig. 12.3.

Fetele de intrare și ieșire ale cristalului sînt paralele și sînt tăiate astfel încît la incidență normală, fasciculul laser să

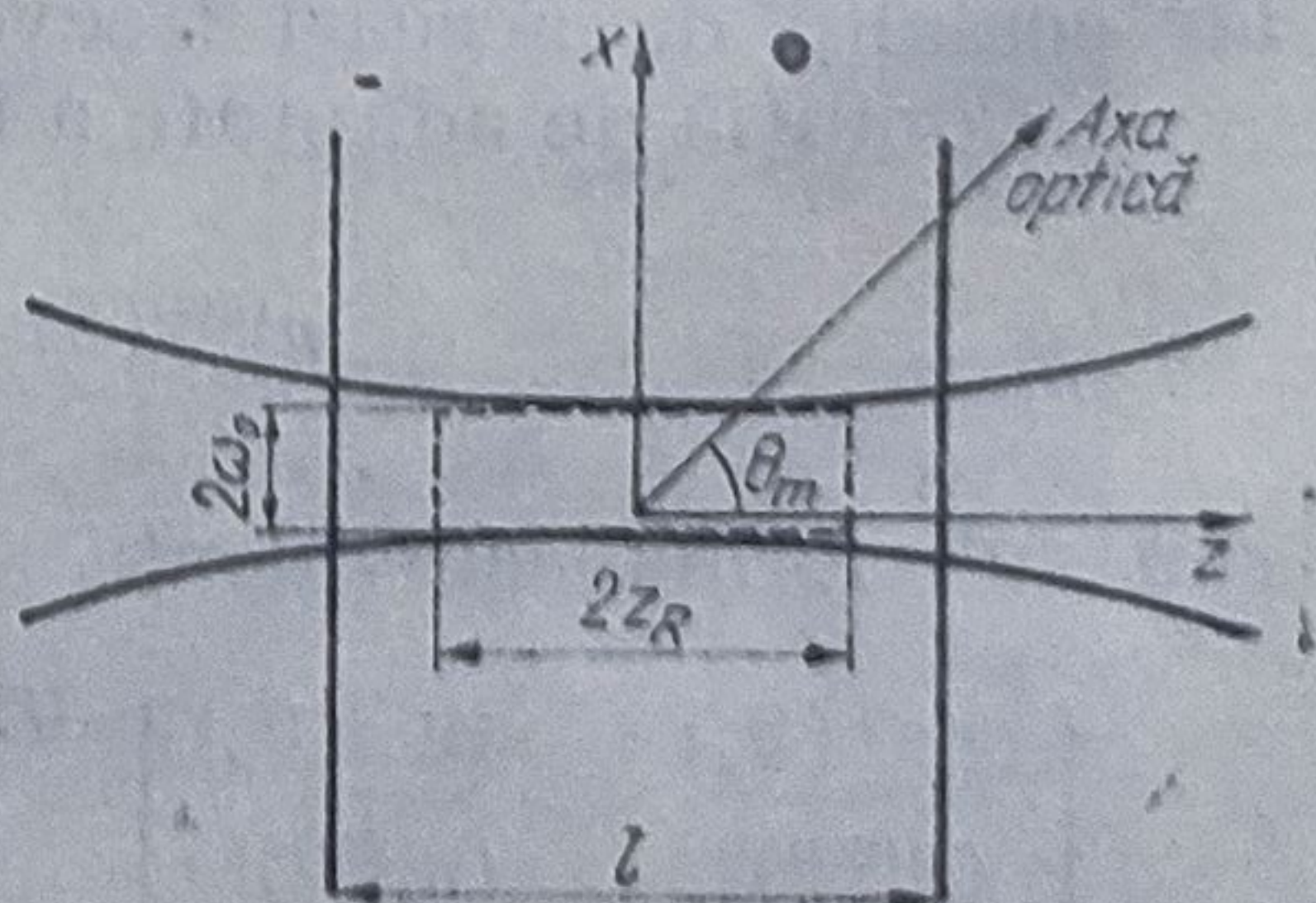


Fig. 12.3



treacă prin cristal după o direcție pentru care să poată fi îndeplinită condiția de adaptare a indicilor și care face cu axa optică un unghi  $\theta_m$ .

În planul focal, la  $z = 0$ , câmpul electric al radiației laser este polarizat de-a lungul axei  $y$  și este dat de relația [17]

$$E(x, y, z=0) = jE_\omega \exp [-(x^2 + y^2)/w_0^2]. \quad (12.20)$$

În relația (12.20)  $w_0$  reprezintă lărgimea fasciculului în planul focal corespunzătoare distanței la care intensitatea fasciculului scade de  $e^2$  ori față de valoarea sa de pe axă. Transformata Fourier a câmpului din relația (12.20) este

$$E(k_x, k_y, k_z) = jE_\omega \left( \frac{1}{2} w_0^2 \right) e^{-w_0^2 k_T^2/4} \delta[k_z - k_1(1 - k_T^2/k_1^2)^{1/2}] \quad (12.21)$$

unde  $k_T^2 = k_x^2 + k_y^2$ , iar  $\delta(x)$  este funcția delta a lui Dirac. Pentru ca relația (12.21) să fie valabilă trebuie ca apertura fasciculului să fie mult mai mare decât lungimea de undă a radiației laser, adică

$$\frac{1}{2} k_1 w_0 \gg 1. \quad (12.22)$$

Transformata Fourier inversă aplicată relației (12.21) conduce la următoarea expresie pentru câmpul electric din interiorul cristalului

$$E(x, y, z) = jE_\omega e^{ik_1 z} \frac{\exp \{ -[(x^2 + y^2)/w_0^2(1 + \xi^2)](1 - i\xi) \}}{1 - i\xi} \quad (12.23)$$

unde

$$\xi = \frac{2z}{k_1 w_0^2} = \frac{z}{z_R} \quad (12.24)$$

iar  $z_R$  este parametrul confocal notat și cu  $b_1$ .

Polarizarea neliniară de ordinul doi indusă într-o regiune din jurul planului focal, determinată de parametrul confocal  $b_1$  este legată de câmpul electric al fundamentalei prin relația

$$P_z^{2\omega} = \chi^{(2)} E_\omega^2 e^{2ik_1 z} (1 + i\xi)^{-2} \exp \left[ -2 \frac{x^2 + y^2}{w_0^2(1 + i\xi)} \right] \quad (12.25)$$

unde  $\chi^{(2)}$  reprezintă susceptibilitatea neliniară de ordinul doi. Pentru a calcula câmpul armonicii, polarizarea de ordinul doi se descompune într-o sumă de unde plane corespunzătoare, efectuându-se totodată, transformatele Fourier pentru fiecare în parte. Astfel, polarizarea de ordinul doi se scrie

$$P_z^{2\omega}(\mathbf{r}) = \int_{-\infty}^{+\infty} P_z^{(2)}(\mathbf{K}) e^{i\mathbf{K}\cdot\mathbf{r}} d^3K \quad (12.26)$$



iar

$$P_z(\mathbf{K}) = \frac{1}{(2\pi)^3} \int_{-\infty}^{+\infty} P_z^{2\omega}(\mathbf{r}) e^{-i\mathbf{K}\mathbf{r}} d^3r. \quad (12.27)$$

Transformata Fourier a polarizării de ordinul doi este

$$P_z(\mathbf{K}) = \begin{cases} (\chi E_0^2/16\pi) k_1 w_0^4 e^{-(2k_1 - K_z) k_1 w_0^2/2} & \text{pentru } (2k_1 - K_z) k_1 \geq \frac{1}{4} K_T^2 \geq 0 \\ 0 & \text{pentru rest} \end{cases} \quad (12.28)$$

$$(12.29)$$

unde  $K_T^2 = K_x^2 + K_y^2$  este vectorul de undă al armonicii a doua) (12.30)

Fiecare undă corespunzătoare unei componente a polarizării

$$P_K(\mathbf{r}) = P(\mathbf{K}) e^{i(\mathbf{K}\mathbf{r} - 2\omega t)} \quad (12.31)$$

generează o armonică de forma

$$E_K(\mathbf{r}) = z' g(2i\psi_K) \gamma_K P(\mathbf{K}) e^{i(\mathbf{K}\mathbf{r} - 2\omega t)} \quad (12.32)$$

unde:  $z' = z + \frac{1}{2}$  reprezintă distanța de la fața de intrare a cristalului,

$$g(x) = (1 - e^{-x})/x = \int_0^1 e^{px} dp, \quad (12.33)$$

$$2\psi_K \simeq (K_z - 2k_1 - \alpha K_x) z' + (K_T^2/4k_1) z' \quad (12.34)$$

este funcția de dezacord, iar

$$\gamma_K P(\mathbf{K}) = 4\pi i \frac{\omega}{n_2 c} \mathbf{1}_e P'_z(\mathbf{K}) \cdot \frac{\sin(\theta m + \alpha_K + \Delta\theta)}{\cos^2 \alpha_K \cos \Delta\theta - \frac{1}{2} \sin 2\alpha_K \sin \Delta\theta} \quad (12.35)$$

În relațiile de mai sus  $\mathbf{1}_e$  este un vector unitate care determină polarizarea corespunzătoare undei extraordinare,  $n_2$  este indicele de refracție al undei extraordinare de frecvență  $2\omega$ , iar  $\alpha_K$  este unghiul dintre direcția de propagare a energiei și respectiv a fazei pentru o rază extraordinară („unghiul dublei refracții”).

Folosind transformata Fourier inversă

$$E_{2\omega} = \int_{-\infty}^{+\infty} E_K(\mathbf{r}) d^3K \quad (12.36)$$

cîmpul armonicii a doua, este dat de relația

$$E_{2\omega}(\mathbf{r}) = \mathbf{1}_e E_{2\omega} e^{i2k_1 z} \cdot \frac{z'}{b_1 + i\epsilon} \int_0^1 dp \cdot \frac{\exp\{-[k_1/(b_1 + i\epsilon)] \cdot [y^2 + (x + \alpha z' p)^2]\}}{(b_1 + i\epsilon - ipz')} \quad (12.37)$$



în care :

$$E_{2\omega} = \pi i k_1^2 w_0^4 \frac{\omega}{n_1 c} \chi^{(2)} E_{\omega}^2 \frac{\sin(\theta_m + \alpha)}{\cos^2 \alpha}. \quad (12.38)$$

Puterea totală a armonicii a doua la ieșirea din cristal, calculată cu ajutorul cîmpului dat de relația (12.38) devine

$$P_{2\omega} = \frac{128\pi^2 \omega^2}{n_1 c^3} P_{\omega}^2 \frac{\sin^2(\theta_m + \alpha)}{\cos^2 \alpha} (\chi^{(2)})^2 \frac{l^2}{w_0^2} f(w_0, l, \alpha) \quad (12.39)$$

unde

$$f(w_0, l, \alpha) = \int_0^1 dp \int_0^1 dp' \cdot \frac{\exp[-(\alpha^2 l^2 / w_0^2)(p - p')^2]}{\left[1 - i(l/b_1)\left(p - \frac{1}{2}\right)\right] \left[1 + i(l/b_1)\left(p' - \frac{1}{2}\right)\right]} \quad (12.40)$$

Pentru calculul numeric al puterii armonicii este mai convenabil ca funcția  $f(w_0, l, \alpha)$  să fie exprimată în termeni reali sub forma

$$f(w_0, l, \alpha) = \int_0^1 dp \int_0^1 dp' \times \\ \times \frac{\left[1 + \left(\frac{l}{b_1}\right)^2 \left(p - \frac{1}{2}\right) \left(p' - \frac{1}{2}\right)\right] \exp\left[-\frac{\alpha^2 l^2}{w_0^2} (p - p')^2\right]}{\left[1 + \left(\frac{l}{b_1}\right)^2 \left(p - \frac{1}{2}\right)^2\right] \left[1 + \left(\frac{l}{b_1}\right)^2 \left(p' - \frac{1}{2}\right)^2\right]}. \quad (12.41)$$

Definind prin

$$l_{\alpha} = \frac{w_0}{\alpha} \quad (12.42)$$

distanța maximă pentru care interacția dintre fundamentală și armonică este cumulativă, pentru o putere fixată a fundamentalei la intrare, puterea armonicii devine

$$P_{2\omega} \sim g(b_1, l, l_{\alpha}) \sim (l_{\alpha} l_e / w_0^2) \quad (12.43)$$

unde  $l_e$  reprezintă lungimea de coerență, iar

$$g(b_1, l, l_{\alpha}) = \frac{l^2}{w_0^2} f(w_0, l, \alpha). \quad (12.44)$$

În funcție de lungimea cristalului există mai multe cazuri particulare :



1°.  $l \ll b_1$ ;  $l \ll l_a$ . În acest caz fasciculul gaussian poate fi asimilat cu unul cilindric, efectele de birefringentă se neglijează,

$$g \simeq \frac{l^2}{w_0^2}, \quad (12.45)$$

iar formula puterii este aceeași cu cea obținută în aproximația undei plane (12.6);

2°.  $l_a \ll l \ll b_1$ . Pentru acest domeniu, fasciculul laser are caracteristicile undei plane dar integrala dublă nu mai poate fi neglijată. Din relațiile (12.40) și (12.44) se obține

$$g(b_1, l, l_a) \simeq \sqrt{\pi}(l/w_0\alpha); \quad (12.46)$$

3°.  $l_a \ll b_1 \ll l$ . Acest caz corespunde focalizării intense și numai o mică parte din cristal radiază armonica a doua. Calculele teoretice conduc la următoarea valoare pentru funcția  $g(b_1, l, l_a)$ .

$$g(b_1, l, l_a) \simeq \sqrt{\pi}(k_1 w_0/\alpha); \quad (12.47)$$

4°.  $b_1 \ll l$ ;  $b_1 \ll l_a$ . Din cauza focalizării și mai intense a fasciculului, dubla refracție poate fi neglijată, iar

$$g(b_1, l, l_a) = \frac{1}{4} \pi^2 k_1^2 w_0^2. \quad (12.48)$$

Dependența funcției  $\log g(z_R, l, l_a)$  de  $\log w_0$  corespunzătoare celor patru regiuni este prezentată în fig. 12.4.

Întrucât puterea armonicii este afectată de efectele de dublă refracție, pentru ca aceste efecte să dispară trebuie ca lungimea cristalului să îndeplinească condiția

$$l < l_b \frac{2}{k_1 \alpha^2}. \quad (12.49)$$

Dacă efectele legate de dubla refracție pot fi neglijate, puterea armonicii a doua este maximă pentru următoarele valori ale lungimii cristalului

$$[P_{2\omega}]_{\max} \begin{cases} \sim l & \text{pentru } l < l_b \\ \sim l^{1/2} & \text{pentru } l > l_b. \end{cases} \quad (12.50)$$

$$(12.51)$$

Focalizarea optimă este determinată nu mai de lungimea cristalului, adică

$$b_1 = l/\pi. \quad (12.52)$$

Eficiența generării armonicii depinde de mai mulți factori: puterea fundamentalei, mărimea susceptibilității neliniare de ordinul doi (numită și coeficient neliniar), lungimea cristalului, gradul de focalizare al fasciculului fundamental.

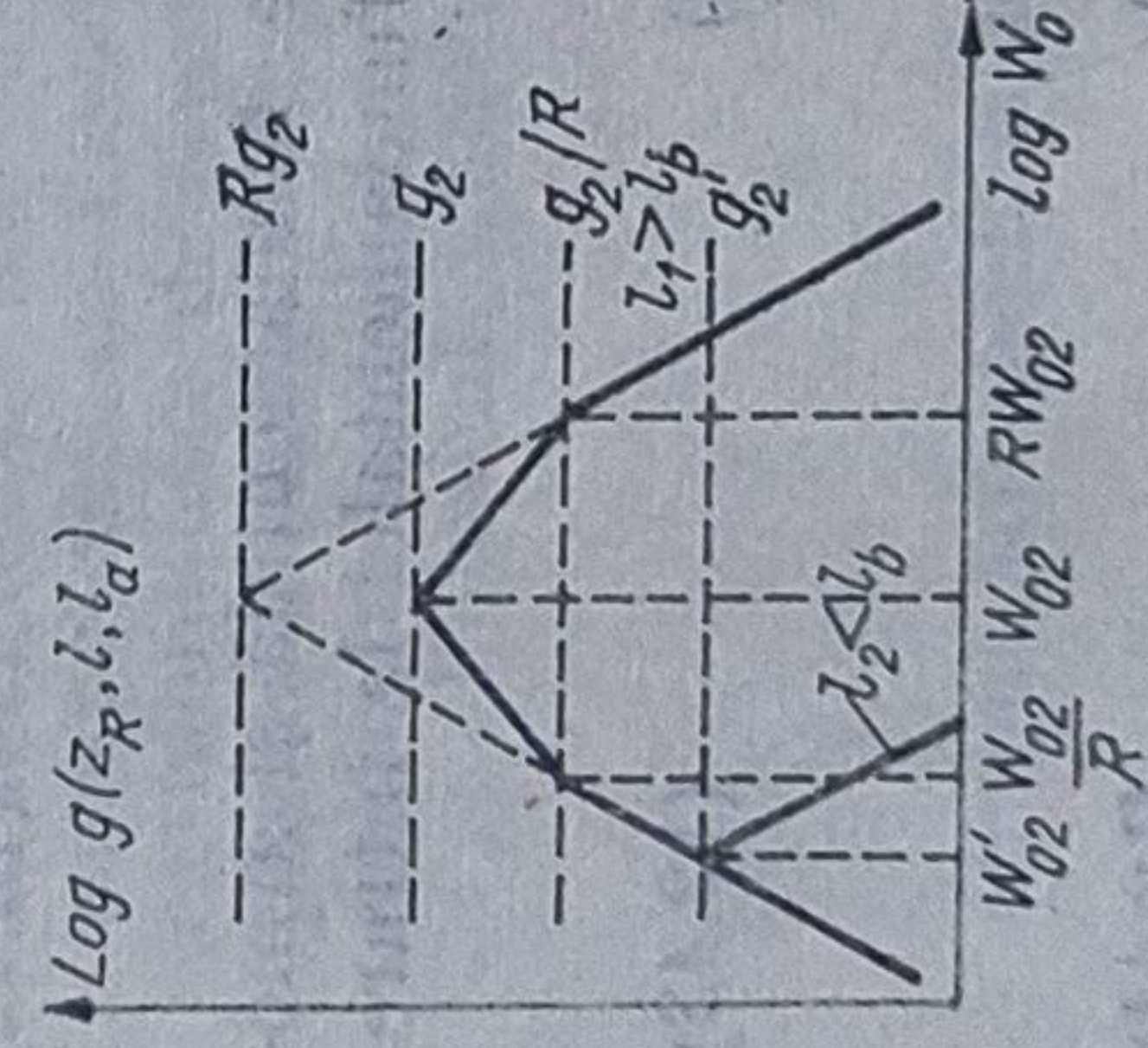


Fig. 12.4.



Din punct de vedere teoretic [157] se poate arăta că prin introducerea cristalului în interiorul cavității laser, în anumite condiții, puterea maximă a armonicii a doua este egală cu puterea maximă pe care o poate produce laserul. Pentru a determina aceste condiții, se consideră un cristal neliniar introdus într-o cavitate laser determinată de oglinzile  $O_1$  și  $O_2$  ca în fig. 12.5.

Tinând seama de expresia coeficientului de câștig în mediul laser de lungime  $l$  [167]

$$g = \frac{g_0}{1 + \frac{P}{P_0}} \quad (12.53)$$

unde  $g_0$  este câștigul la semnul mic,  $P$  este densitatea de putere totală a fundamentalei, iar  $P_0$  cea corespunzătoare saturației, se poate calcula densitatea de putere a fundamentalei în interiorul cavității, pentru o stare staționară cu ajutorul relației

$$\frac{2g_0}{1 + \frac{P}{P_0}} = L + KS^+ \quad (12.54)$$

Pentru deducerea relației (12.54) s-a considerat că prin introducerea mediului neliniar în cavitate coeficientul de reflexie  $R'$  depinde liniar de densitatea de putere a radiației incidente  $P^+$  și de coeficientul neliniar  $K$ , adică

$$R' = R - KP^+ \quad (12.55)$$

$R$  fiind coeficientul de reflexie liniar (de semnul mic). Densitatea de putere a radiației reflectate este

$$P^- = R'P^+ \quad (12.56)$$

iar în interiorul cavității laser se poate considera că

$$P = P^- + P^+ \simeq 2P^+ \quad (12.57)$$

În relația (12.54),  $L$  reprezintă pierderile liniare ale fundamentalei în urma unei duble treceri prin cavitate, care sînt determinate de transmisia, împrăștierea și absorbția acesteia pe oglinzi și în mediul neliniar, iar  $KP^+$  corespunde pierderilor neliniare. Introducînd notațiile

$$\alpha = \frac{L}{2g_0l} \quad (12.58)$$

$$\xi = \frac{KP_0}{4g_0l} \quad (12.59)$$

corespunzătoare pierderilor ( $\alpha$ ) și neliniarităților ( $\xi$ ) normate se poate calcula cu ajutorul relației (12.54) puterea disponibilă pentru armonica a doua, ca fiind egală cu fracțiunea din densitatea de putere a fundamen-

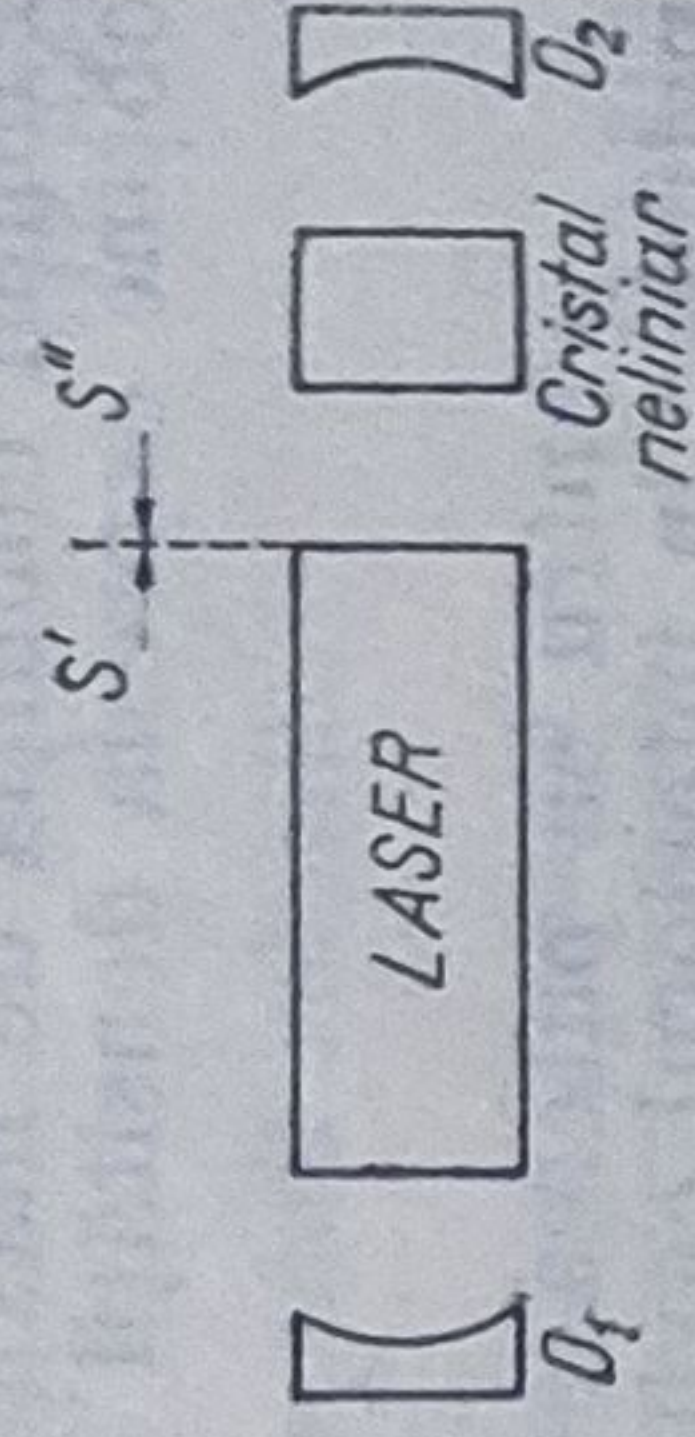


Fig. 12.5.



talei „pierdută” datorită efectelor neliniare, sub forma

$$K(P^+)^2 = (g_0 l P_0) \frac{[\sqrt{(\alpha - \xi)^2 + 4\xi} - (\alpha + \xi)]^2}{4\xi}. \quad (12.60)$$

Punînd condiția de maxim în raport cu variabila  $\xi$  în relația (12.60) se obține expresia densității de putere maxime a armonicii a doua

$$P_{2\max} = g_0 l P_0 (1 - \sqrt{\alpha})^2. \quad (12.61)$$

Pentru ca puterea armonicii generate prin introducerea cristalului nelinier în interiorul cavității să fie maximă trebuie ca pierderile să fie reduse la minimum. Aceasta se poate realiza prin plasarea unei oglinzi în interiorul cavității laser care să reflecte armonica astfel încît întreaga putere a armonicii să fie concentrată într-o singură direcție.

Astfel, conform montajului din fig. 12.6 oglinda  $O_b$  reflectă atât fundamentală cît și armonica în timp ce oglinda  $O_a$  este transparentă pentru fundamentală și reflectă armonica. Întrucît fazele și mărimile undelor reflectate sînt determinante în bilanțul puterilor, coeficienții de reflexie ai diferitelor suprafețe trebuie definiți cu ajutorul cîmpului electric.

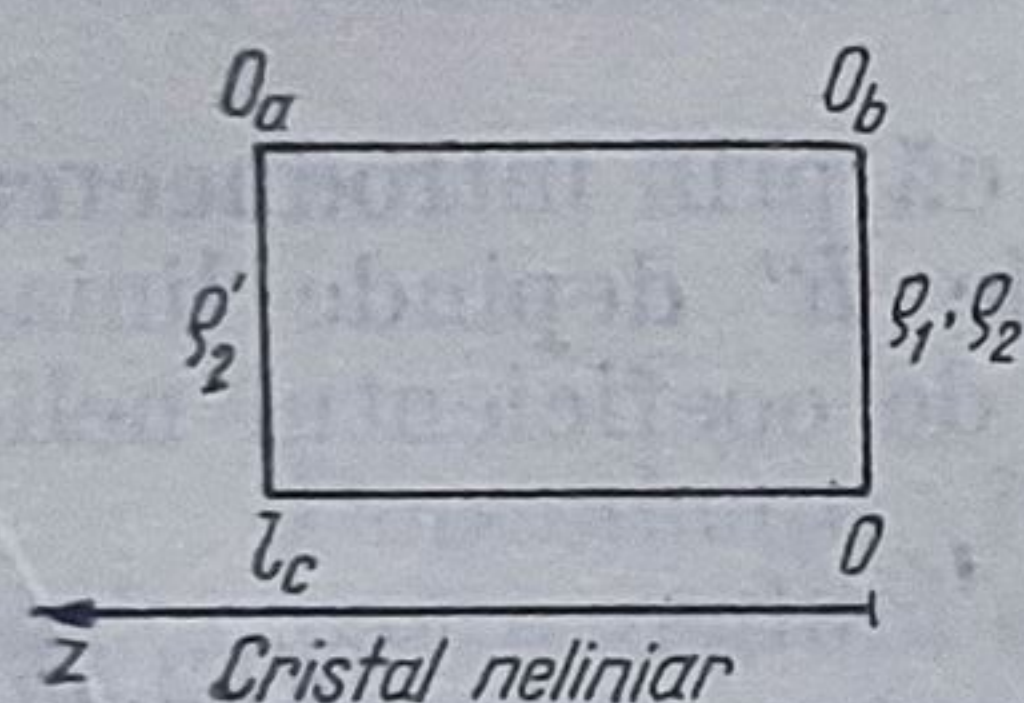


Fig. 12.6.

Oglinda  $O_b$  are un coeficient de reflexie pentru fundamentală  $\rho_1 = r_1 e^{i\varphi_1}$ , iar pentru armonică  $\rho_2 = r_2 e^{i\varphi_2}$ , iar coeficientul de reflexie al puterii  $R = |\rho|^2$ . Similar, pentru oglinda  $O_a$  coeficientul de reflexie pentru armonică este  $\rho'_2 = r'_2 e^{i\varphi'_2}$ .

Întrucît oglinzile  $O_a$  și  $O_b$  sînt plasate pe suprafețele cristalului nu există alte pierderi care să modifice factorul de fază  $\varphi$ . Expresiile cîmpurilor incidente și reflectate ale fundamentalei și respectiv armonicii a doua sînt date de relațiile

$$E_{i_1} = \frac{1}{2} [E_1 e^{i(\omega_1 t + k_1 z)} + \text{c.c.}] \quad (12.62)$$

$$E_{r_1} = \frac{1}{2} [\rho_1 E_1 e^{i(\omega_1 t - k_1 z)} + \text{c.c.}] \quad (12.63)$$

$$E_{i_2} = \frac{1}{2} [E_2^-(z) e^{i(\omega_2 t + k_2 z)} + \text{c.c.}] \quad (12.64)$$

$$E_{r_2} = \frac{1}{2} [E_2^+(z) e^{i(\omega_2 t - k_2 z)} + \text{c.c.}] \quad (12.65)$$

Introducînd relațiile (12.62)–(12.65) în ecuațiile lui Maxwell se obțin următoarele ecuații pentru componentele  $E_2^+(z)$  și  $E_2^-(z)$

$$\frac{\partial}{\partial z} E_2^-(z) = iB e^{i\Delta k z} \quad (12.66)$$

$$\frac{\partial}{\partial z} E_2^+(z) = -iB \rho_1^2 e^{-i\Delta k z} \quad (12.67)$$



unde  $B = \frac{\mu_0 \omega_1^2 d E_1^2}{2k_2}$ , iar  $\Delta k = 2k_1 - k_2$  reprezintă dezacordul vectorilor de undă. Prin integrarea sistemului de ecuații (12.66), (12.67) cu condițiile

$$E_2^+(0) = \rho_2 E_2^-(0) \quad (12.68)$$

$$E_2^-(l) = \rho_2' e^{-i2k_2 l} E_2^+(l) \quad (12.69)$$

se obțin pentru cele două componente ale armonicii relațiile

$$E_2^+(l) = -iBl \frac{\sin(\Delta kl/2)}{\Delta kl/2} \cdot \frac{\rho_1^2 e^{-i\Delta kl/2} + \rho_2 e^{i\Delta kl/2}}{1 - \rho_2 \rho_2' e^{-i2k_2 l}} \quad (12.70)$$

$$E_2^-(0) = -iBl \frac{\sin(\Delta kl/2)}{\Delta kl/2} \cdot \frac{e^{i(k_2 + \Delta k/2)} + \rho_1^2 \rho_2' e^{-i(k_2 + \Delta k/2)}}{1 - \rho_2 \rho_2' e^{-i2k_2 l}} \cdot e^{-ik_2 l}. \quad (12.71)$$

Densitatea de putere a armonicii a doua, incidentă pe cele două oglinzi  $O_a$  și  $O_b$  fiind proporțională cu pătratul amplitudinii câmpului este dată de o expresie de forma

$$P_2^+(l) \sim B^2 l^2 \left( \frac{\sin \frac{\Delta kl}{2}}{\frac{\Delta kl}{2}} \right)^2 \frac{(r_1 + r_2)^2 - 4r_1^2 r_2 \sin^2(\Delta kl/2 + \varphi_2/2 - \varphi_1)}{(1 - r_2 r_2')^2 + 4r_2 r_2' \sin^2 \left[ k_2 l - \frac{1}{2}(\varphi_2 + \varphi_2') \right]} \quad (12.72)$$

$$P_2^-(0) \sim B^2 l^2 \left( \frac{\sin \frac{\Delta kl}{2}}{\frac{\Delta kl}{2}} \right)^2 \frac{(1 + r_1^2 r_2')^2 - 4r_1^2 r_2' \sin^2 [(k_2 + \Delta k/2)l - \varphi_1 - \varphi_2'/2]}{(1 - r_2 r_2')^2 + 4r_2 r_2' \sin^2 \left[ k_2 l - \frac{1}{2}(\varphi_2 + \varphi_2') \right]} \quad (12.73)$$

Dacă generarea armonicii a doua are loc la rezonanță [461] trebuie îndeplinite condițiile

$$r_2, r_2' \simeq 1 \quad (12.74)$$

$$\sin^2 \left[ k_2 l - \frac{1}{2}(\varphi_2 + \varphi_2') \right] = 0. \quad (12.75)$$

Pentru a determina condițiile în care puterea armonicii devine maximă se pot considera două cazuri limită:

1°. oglinda  $O_b$  este transparentă pentru armonică ( $r_2 = 0$ ) și numai oglinda  $O_a$  reflectă radiațiile (fundamentală și armonică) ( $r_1' \simeq 1$ );

2°. oglinda  $O_a$  este transparentă ( $r_2 \simeq 1$ ) și oglinda  $O_b$  reflectă ( $r_2' = 0$ ). Expresiile puterii armonicii a doua corespunzătoare radiației



incidente și respectiv transmise devin

$$P_2^-(0) \sim 4B^2l^2 \left( \frac{\sin \frac{\Delta kl}{2}}{\frac{\Delta kl}{2}} \right)^2 \cos^2 \left[ (k_2 + \Delta k/2) l - \varphi_1 - \frac{\varphi_2'}{2} \right] \quad (12.76)$$

pentru cazul 1° și

$$P_2^+(l) \sim 4B^2l^2 \left( \frac{\sin \frac{\Delta kl}{2}}{\frac{\Delta kl}{2}} \right)^2 \cos^2 \left[ \frac{\Delta kl}{2} + \frac{\varphi_2}{2} - \varphi_1 \right] \quad (12.77)$$

pentru cazul 2°.

Din condiția de maxim se obține pentru parametrul neliniar  $K$  corespunzător unui singur mod longitudinal valoarea

$$K = 2K_m \left[ \frac{\sin \left( \frac{\Delta kl}{2} \right)}{\frac{\Delta kl}{2}} \right]^2. \quad (12.78)$$

În relația (12.78)

$$K_m = 4 \left( \frac{\mu_0}{\varepsilon_0} \right)^{1/2} \frac{\omega_1^2 d^2 l^2}{n_1^2 n_2^2 c^2} f \quad (12.79)$$

$$f = \frac{P_{a1}}{P^+} \quad (12.80)$$

iar  $P_{a1}$  reprezintă densitatea de putere incidentă a fundamentalei.

Prin introducerea în cavitate a oglinzii care reflectă armonica crește coeficientul neliniar de două ori pentru că se adună (cuplează) cîmpurile într-o singură direcție și nu puterile.

Creșterea puterii armonicii se mai poate obține acționînd și asupra altor factori ca : temperatura cristalului, lărgimea benzii laserului, fazele coeficienților de reflexie ai oglinzilor. Maximul puterii poate fi obținut dacă sînt satisfăcute condițiile

$$\Delta kl = 0 \quad (12.81a)$$

$$\varphi_2/2 - \varphi_1 = m\pi; m = \text{întreg}. \quad (12.81b)$$

În cazul generării armonicii a doua cu ajutorul unui cristal de  $\text{Ba}_2\text{NaNb}_5\text{O}_{15}$  care este excitat de un laser Nd : YAG cu  $\lambda = 1,06 \mu\text{m}$  s-a găsit că lungimea necesară a cristalului pentru a obține un cuplaj optim este dată de relația

$$l(\text{cm}) = \left( 2,7 \cdot 10^3 \frac{L}{f} \right)^{1/2} \quad (12.82)$$

Pentru cavități cu pierderi mici cuplajul optim se poate obține cu ajutorul unor cristale a căror lungimi sînt de 1 cm sau mai puțin.



Focalizarea fasciculelor pe cristale de dimensiuni mari prezintă dezavantaje legate de absorbția armonicii de către impurități, precum și de încălzirea locală a cristalului care conduce la limitarea conversiei.

În cazul folosirii focalizărilor mai puțin intense creșterea puterii se poate obține prin metode „mode-locking”.

## 12.2. Generarea armonicii a treia

Deși medile neliniare cristaline prezintă unele avantaje incontestabile cum ar fi: susceptibilitate neliniară de ordinul doi  $\chi^{(2)}$  mare, birefrință suficientă pentru a obține acordarea indicilor, calitate optică bună pe distanțe  $\sim 1$  cm, posibilitatea folosirii fasciculelor intense, ele nu pot fi utilizate pentru obținerea radiației coerente în domeniul ultraviolet îndepărtat și al razelor X moi din cauza absorbției puternice.

Producerea radiației coerente în domeniul U.V. îndepărtat și al razelor X moi poate avea loc pe baza generării armonicilor de diferite ordine în medii gazoase. Mediile neliniare gazoase pot fi preparate ușor, au calitate optică bună pe distanțe mari, de ordinul zecilor de centimetri, nu suferă fenomenul de degradare atunci când se utilizează fascicule intense ca în cazul cristalelor și în plus prezintă o transparentă bună atât în ultraviolet cât și în infraroșu. Obținerea eficiențelor de conversie ridicate se bazează pe posibilitatea acordării indicilor de refracție și pe creșterea susceptibilităților neliniare cu câteva ordine de mărime la rezonanță.

În procesul de generare a armonicilor de ordine superioare se folosesc mai ales vaporii metalelor alcaline pentru că au susceptibilitatea neliniară cu câteva ordine de mărime mai ridicată decât a altor gaze, cum ar fi, de exemplu, cele inerte.

Acordarea indicilor este posibilă pentru că vaporii metalelor alcaline constituie medii dispersive anormale pentru radiațiile incidente a căror frecvență este astfel aleasă încât să fie mai mică decât frecvența primei linii rezonante, iar frecvența armonicii să fie mai mare decât frecvența primei linii rezonante. Prin adăugarea unui gaz tampon (gaze nobile de exemplu) indicele de refracție al acestei mixturi poate deveni egal pentru fundamentală și respectiv armonică, astfel că procesul de generare al armonicii poate deveni cumulativ pe întreaga lungime a celulei cu gaz conducând la o creștere substanțială a puterii armonicii la ieșire.

### 12.2.1. Aproximația undei plane

Descrierea procesului de generare a armonicii a treia se poate face în cadrul teoriei semicuantice cu ajutorul ecuațiilor de mișcare care guvernează tranzițiile de dipol electric. Într-un sistem cuantic cu două nivele, reprezentate prin stări de paritate opuse ecuațiile polarizării și populațiilor se scriu sub forma [12]

$$\ddot{\mathbf{P}} + \frac{2}{T_2} \dot{\mathbf{P}} + \Omega^2 \mathbf{P} = -\frac{2\Omega}{\hbar} L \frac{|\mathbf{d}_{12}|^2}{3} \mathbf{NE} \quad (12.83)$$

$$\dot{N} + \frac{N - N^e}{T_1} = 2 \frac{1}{\hbar} \dot{\mathbf{P}} \mathbf{E} \quad (12.84)$$



$N = N_2 - N_1$  reprezentând diferența de populație pe unitatea de volum. În prima aproximație se poate presupune că intensitatea cîmpului electric de frecvența armonică a treia este mult mai mică decît cea a cîmpului electric de frecvența fundamentalei. Rezolvarea ecuațiilor (12.83) — (12.84) se poate face prin metoda iterației. Pentru un cîmp electric de forma

$$\mathbf{E} = \frac{\mathbf{E}_{(0)\omega}}{2} e^{i\omega t} + \text{c.c.} \quad (12.85)$$

introdus în ecuația polarizării (12.83) se obține polarizarea mediului cu o variație armonică în timp de frecvență  $\omega$

$$\mathbf{P}_{(0)\omega} = \frac{-\frac{2\Omega}{\hbar} L \frac{|\mathbf{d}_{12}|^2}{3} N \mathbf{E}_{(0)\omega}}{\Omega^2 - \omega^2}. \quad (12.86)$$

Ținînd seama de condițiile

$$N = N_0 = \text{ct} \quad (12.87)$$

$$\Omega \simeq 3\omega \quad (12.88)$$

rezultă

$$\mathbf{P}_{(0)\omega} = \frac{L |\mathbf{d}_{12}|^2 N_0 \mathbf{E}_\omega}{4\hbar\omega}. \quad (12.89)$$

Cunoscînd expresiile polarizării și cîmpului electric din ecuația pentru populații se poate determina modul de variație în timp a diferenței de populație  $N$ . Din termenul drept al ecuației (12.84) rezultă că variațiile în timp ale diferenței de populație au frecvența  $2\omega$ . Căutînd pentru diferența de populație o soluție de forma

$$N = N_0 + \frac{N_\omega}{2} \exp(i2\omega t) + \text{c.c.} \quad (12.90)$$

se obține

$$\begin{aligned} i \frac{2\omega N_\omega}{2} \exp(i2\omega t) + \frac{N_0 N_0'}{T_1} \left( \frac{N_\omega'}{2} - \frac{N_\omega}{2} \right) \frac{1}{T_1} \exp(i2\omega t) = \\ = \frac{2}{\hbar\Omega} i\omega \mathbf{P}_{(0)\omega} \exp(i\omega t) \cdot \frac{\mathbf{E}_{(0)\omega}}{2} \exp(i\omega t) \end{aligned} \quad (12.91)$$

$$N_\omega = \frac{P_{(0)\omega} \cdot E_{(0)\omega}}{6\hbar\omega}. \quad (12.92)$$

Diferența de populație care variază sinusoidal cu frecvența  $2\omega$  dă naștere unei polarizări care variază în timp cu frecvența  $3\omega$ .

Admițînd pentru polarizare soluția

$$\mathbf{P} = \frac{P_{(0)\omega}}{2} \exp(i\omega t) + \frac{P_{(0)3\omega}}{2} \exp(i3\omega t) + \text{c.c.} \quad (12.93)$$



din ecuația (12.93) se obține expresia

$$P_{(0)3\omega} = \frac{i T_2 |d_{12}|^2 N_{(0)2\omega} E_{(0)\omega}}{6h}. \quad (12.94)$$

Ținând seama de expresia diferenței de populație  $N_{2\omega}$  relația (12.94) devine

$$P_{(0)3\omega} = - \frac{|d_{12}|^4 L^2 T_2 N_0}{144 h^3 \omega^2} (E_{(0)\omega})^3. \quad (12.95)$$

Polarizarea care variază în timp cu frecvența  $3\omega$  determină apariția unui câmp armonic de această frecvență care este mult mai slab decât cel inițial cu frecvența  $\omega$ , de aceea poate fi neglijat într-o primă aproximație.

Expresia amplitudinii câmpului electric de frecvența armonicii a treia se obține folosind  $P_{(0)3\omega}$  și  $E_{(0)3\omega}$  sub forma unor unde progresive

$$P_{3\omega} = \frac{P_{(0)3\omega}}{2} \exp(i3\omega t) \exp(-i3k_1 z) + \text{c.c.} \quad (12.96)$$

$$E_{3\omega} = \frac{E_{(0)3\omega}(z)}{2} \exp(i3\omega t) \exp(-i3k_1 z) + \text{c.c.} \quad (12.97)$$

care verifică ecuația de câmp electromagnetic

$$\nabla \times (\nabla \times \mathbf{E}) + \frac{n\gamma}{c} \frac{\partial \mathbf{E}}{\partial t} + \frac{n^2}{c^2} \frac{\partial^2 \mathbf{E}}{\partial t^2} = -\mu_0 \frac{\partial^2 \mathbf{P}}{\partial t^2}. \quad (12.98)$$

În relațiile (12.96)–(12.98)  $k_1 = \frac{n_1 \omega}{c}$  reprezintă constanta de propagare

prin mediul în care se produce generarea armonicii a treia, pentru radiația de frecvență  $\omega$ , iar  $n_1$  indicele de refracție corespunzător acestei frecvențe. Ecuațiile (12.96)–(12.97) descriu cazul unidimensional în care propagarea se face după axa  $z$  a mediului. Neglijând pierderile ( $\gamma \simeq 0$ ), cu condiția la limită  $E_{(0)3\omega}(0) = 0$  din ecuația (12.98) rezultă amplitudinea câmpului electric al armonicii a treia

$$E_{(0)3\omega} = \frac{\mu_0 (3\omega)^2 P_{(0)3\omega}}{(3k_1)^2 - \left(\frac{3\omega n_3}{c}\right)^2} \left\{ 1 - \exp \left[ \frac{i \left[ (3k_1)^2 - \left(\frac{3\omega n_3}{c}\right)^2 \right]}{6k} z \right] \right\}. \quad (12.99)$$

Cu ajutorul expresiei lui  $E_{(0)3\omega}$  se poate deduce densitatea de putere a armonicii a treia funcție de distanța parcursă în mediu și mărimea câmpului la intrare

$$I_{3\omega} = \frac{n_3 c \epsilon_0 |E_{(0)3\omega}|^2}{2} = I_0 \frac{\sin^2 \alpha z}{\alpha^2} \quad (12.100)$$



unde

$$\alpha = \frac{(3k_1)^2 - \left(\frac{3\omega n_3}{c}\right)^2}{12k_1} \quad (12.101)$$

reprezintă dezacordul indicilor de refracție, iar

$$I_0 = \frac{n_3 |\mu_0| |\mathbf{d}_{12}|^2 I^4 T_2^2 N_0^2 |E_{(0)\omega}|^6}{9 \cdot 2^{11} c k_1^2 h^6} \quad (12.102)$$

exprimă dependența armonicii a treia de cubul puterii fundamentalei.

Din analiza relațiilor (12.100)–(12.102) se pot deduce o serie de concluzii privind condițiile teoretice și experimentale de obținere a armonicii a treia. Dependența puterii armonicii de parcursul prin mediul nelinear este funcție de dezacordul indicilor de refracție  $\alpha$ . Pentru  $\alpha \rightarrow 0$

$$I_{3\omega} = \lim_{\alpha \rightarrow 0} I_0 z^2 \left( \frac{\sin \alpha z}{\alpha z} \right)^2 = I_0 z^2. \quad (12.103)$$

Rezultă o creștere parabolică a densității de putere cu parcursul prin mediu (fig. 12.7).

Pentru  $\alpha \neq 0$ ,  $I_{3\omega}$  are o variație armonică în jurul unei valori medii trecînd prin maxime egale cu  $I_0/\alpha^2$  și minime egale cu zero (fig. 12.8). Se obțin condiții optime numai pentru anumite parcurhuri date de relația  $\alpha z = \pi/2$ . Mărima  $l_c = \pi/2\alpha$  se numește „lungimea de coerență”.

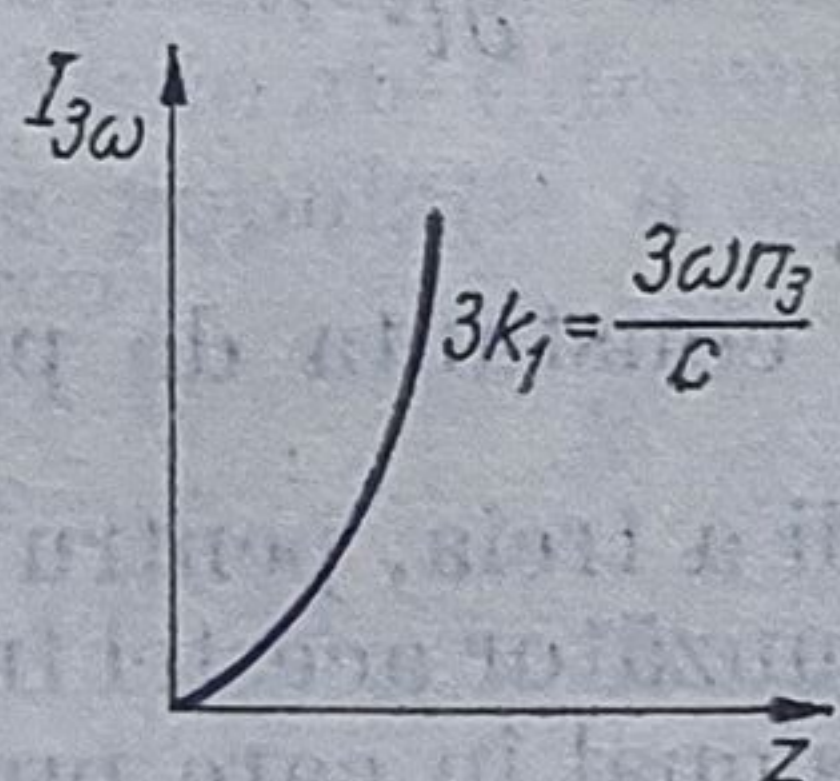


Fig. 12.7.

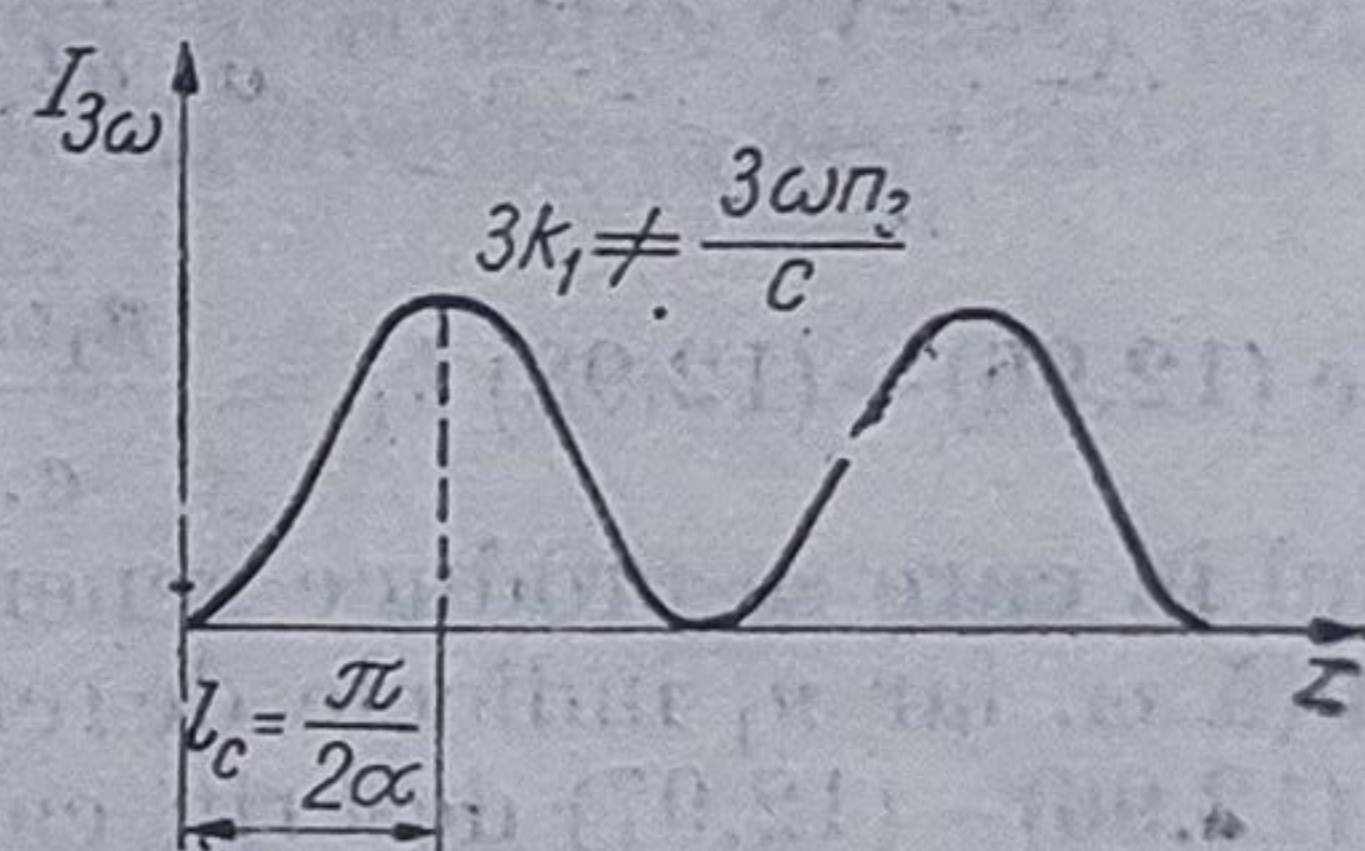


Fig. 12.8.

Condiția  $\alpha \rightarrow 0$  conduce la egalitatea

$$3k_1 = \frac{3n_1\omega}{c} \quad (12.104)$$

unde

$$k_1 = \frac{n_1\omega}{c} \quad (12.105)$$

Din relațiile (12.104) și (12.105) rezultă condiția necesară pentru obținerea adaptării indicilor de refracție

$$n_{1\omega} = n_{3\omega} \quad (12.106)$$

pentru cazul armonicii a treia.



### 12.2.2. Generarea armonicii a treia în gaze prin metoda focalizării fascicului laser

Eficiența conversiei radiației fundamentale într-o radiație de frecvență armonicii a treia poate fi mult îmbunătățită dacă pentru excitarea mediului neliniar se folosesc fascicule laser focalizate.

Pentru a calcula polarizarea neliniară de ordinul trei folosim același procedeu ca și în cazul generării armonicii a doua (cap. 12.1). Considerând un câmp electric incident a cărui mod de distribuție gaussian corespunde celui mai coborât ordin,  $TEM_{00}$

$$\mathbf{E}_1(r, t) = \frac{1}{2} \{ \mathbf{E}_1(r) e^{-i\omega_1 t} + \mathbf{E}_1^*(r) e^{+i\omega_1 t} \} \quad (12.107)$$

unde

$$\mathbf{E}_1(r) = \mathbf{E}_0 e^{ik_1 z} (1 + i\xi)^{-1} \exp \left[ -k(x^2 + y^2)/b(1 + i\xi) \right]. \quad (12.108)$$

Polarizarea neliniară a armonicii de ordinul  $q$  se poate calcula cu ajutorul relației

$$\begin{aligned} \mathbf{P}^{(q)}(r) &= 2^{(1-q)} \chi^{(q)}(-\omega; \omega_1, \omega_1, \dots) [\mathbf{E}_1(r)]^2 = \\ &= 2^{(1-q)} \chi^{(q)} \mathbf{E}_0^q \exp(ik'z) (1 + i\xi)^{-q} \cdot \exp \left( -\frac{k'(x^2 + y^2)}{b(1 + i\xi)} \right). \end{aligned} \quad (12.109)$$

În relațiile (12.107) — (12.109)  $\chi^{(q)}(-\omega; \omega_1, \omega_1, \dots)$  reprezintă susceptibilitatea neliniară de ordinul  $q$ ,  $k' = qk_1$  și  $\omega = q\omega_1$ . Transformata Fourier a polarizării neliniare de ordinul  $q$

$$P_K^{(q)} = (2\pi)^{-3} \int_{-\infty}^{+\infty} P^{(q)}(r'') \exp(i\mathbf{K}r'') dr'' \quad (12.110)$$

generează un câmp electric cu frecvența armonicii de ordinul  $q$  [168] de forma

$$E_K(r) = - [2\pi k_0^2 P_K^{(q)} z / k] g(U_K) \exp(i\mathbf{K}r) \quad (12.111)$$

unde

$$U_K = i \{ K_z - k' + (K_x^2 + K_y^2)/2k' + \Delta k \} \quad (12.112)$$

$$g(x) = (1 - e^{-x})/x = \int_0^1 e^{-xp} dp \quad (12.113)$$

iar  $k$  și  $k_0$  sînt vectorii de undă ai armonicii în mediul neliniar respectiv în vid.



Pentru deducerea relației (12.111) s-a considerat că întinderea unghiulară a fasciculului și dezacordul

$$\Delta k = k' - k \quad (12.114)$$

sînt mici ( $|\Delta k| \ll k', k$ ). Efectuînd transformata Fourier inversă a cîmpului  $E_{\mathbf{K}}(\mathbf{r})$  al cărui vector de undă este  $\mathbf{K}$  se poate obține expresia cîmpului electric total al armonicii generate sub forma

$$E(r) = \left[ i 2^{(1-q)} \pi k_0^2 b \chi^{(q)} E_0^q / k \right] \exp(ik'z)(1 + i\xi)^{-1} \times \\ \times \exp\left(-\frac{k'(x^2 + y^2)}{b(1 + i\xi)}\right) I(q, \Delta k, \xi, \zeta) \quad (12.115)$$

unde

$$I(q, \Delta k, \xi, \zeta) = \int_{-\zeta}^{\xi} d\xi' \frac{\exp \frac{1}{2} ib \Delta k (\xi' - \xi)}{(1 + i\xi')^{q-1}}. \quad (12.116)$$

Integrala  $I(q, \Delta k, \xi, \zeta)$  poate fi evaluată analitic pentru un mediu infinit ( $\xi, \zeta \rightarrow \infty$ ) obținîndu-se următoarele valori

$$\int_{-\infty}^{+\infty} d\xi' \frac{\exp\left(\frac{1}{2} ib \Delta k \xi'\right)}{(1 + i\xi')^{q-1}} = 0 \text{ pentru } \Delta k \leq 0: \quad (12.117)$$

$$= \frac{2\pi}{(q-2)!} \left(\frac{b\Delta k}{2}\right)^{q-2} \exp\left(-\frac{b\Delta k}{2}\right) \text{ pentru } \Delta k > 0. \quad (12.118)$$

În cazul armonicii a treia valoarea integralei  $I$  este

$$I(3, \Delta k, \infty, \infty) = 0 \quad \text{pentru } \Delta k \leq 0 \quad (12.119)$$

$$I(3, \Delta k, \infty, \infty) = -\pi b \Delta k \exp\left(-\frac{1}{2} b \Delta k\right) \quad \text{pentru } \Delta k > 0. \quad (12.120)$$

O analiză teoretică a interacțiilor neliniare de ordinul trei care au loc în fascicule laser focalizate este prezentată în lucrarea [181] pentru procese de tipul  $\omega_1 + \omega_2 + \omega_3 \rightarrow \omega_4$ ;  $\omega_1 + \omega_2 - \omega_3 \rightarrow \omega_4$  și  $\omega_1 - \omega_2 - \omega_3 \rightarrow \omega_4$ .

Cu ajutorul cîmpului electric se poate calcula puterea armonicii a treia [112]

$$P^{(3)} = \frac{3\eta^4 \pi^2 \sigma^3}{\lambda^4} N^2 [\chi^{(3)}(3\omega)]^2 |I(\Delta k, \xi, \zeta)|^2 [P^{(0)}]^3 \quad (12.121)$$



unde  $N$  reprezintă numărul de atomi/cm<sup>3</sup>,  $\eta = \sqrt{\frac{\mu_0}{\epsilon_0}} \simeq 377 \Omega$ , iar  $n_3$  și  $n_1$  sînt indicii de refracție corespunzători armonicii a treia respectiv fundamentalei. În relațiile de mai sus s-au folosit următoarele notații

$$\xi = 2(L - f)/b \quad (12.122)$$

$$\zeta = 2f/b \quad (12.123)$$

$$b = \frac{2\pi w_0^2}{\lambda} \quad (12.124)$$

unde  $L$  este lungimea celulei de gaz,  $f$  distanța, măsurată de la fereastra de intrare a celulei cu gaz la care fasciculul a fost focalizat, iar  $b$  parametrul confocal determinat de lărgimea fasciculului  $w_0$ .

Eficiența conversiei definită prin raportul dintre puterea armonicii a treia și cea a fundamentalei este dată de relația

$$\frac{P^{(3)}}{P^{(1)}} = \frac{8,215 \cdot 10^{-2}}{\lambda^4} N^2 [\chi^{(3)}(3\omega)]^2 |I|^2 [P^{(1)}]^2. \quad (12.125)$$

Pentru a se evalua eficiența conversiei din relația (12.125), puterea se exprimă în wați, densitatea de atomi  $N$  în atomi/cm<sup>3</sup>, susceptibilitatea neliniară  $\chi^{(3)}(3\omega)$  în e.s.u., iar lungimea de undă a radiației incidente în cm.

Integrala  $I$  joacă un rol determinant în procesele de focalizare și dispersie. Astfel, dacă  $b \gg L$ , se obține aproximația undei plane, iar eficiența conversiei devine

$$\frac{P^{(3)}}{P^{(1)}} = \frac{5,134 \cdot 10^{-3}}{\lambda^2} N^2 L^2 [\chi^{(3)}(3\omega)]^2 \left( \frac{\sin \frac{\Delta k L}{2}}{\frac{\Delta k L}{2}} \right)^2 \left[ \frac{P^{(1)}}{A} \right]^2 \quad (12.126)$$

unde  $A$  reprezintă aria efectivă a fasciculului gaussian.

Pe de altă parte, în cazul unei focalizări puternice în centrul celulei  $b \ll L$ ,  $\xi = \zeta$ , iar

$$\frac{P^{(3)}}{P^{(1)}} = \begin{cases} \frac{8,215 \cdot 10^{-2}}{\lambda^4} N^2 [\chi^{(3)}(3\omega)]^2 \left[ \pi b \Delta k \exp\left(\frac{1}{2} b \Delta k\right) \right]^2 \left[ \frac{P^{(1)}}{A} \right]^2, & \text{pentru } \Delta k < 0 \\ 0, & \text{pentru } \Delta k \geq 0. \end{cases} \quad (12.127)$$

$$(12.128)$$

Eficiența maximă a conversiei se obține în aproximația undei plane pentru  $\Delta k = 0$ , iar în cazul focalizării puternice dacă  $b \Delta k = -4$  sau  $L \Delta k = -3,5$  dacă fasciculul laser este focalizat în centrul mediului neliniar ( $b = L$ ;  $\xi = \zeta$ ).

Condiția  $\Delta k = 0$ , necesară maximizării eficienței conversiei poate fi îndeplinită prin mixarea a două gaze care nu reacționează între ele unul cu dispersia pozitivă, cum ar fi, de exemplu, gazele nobile și altul cu dispersia negativă în domeniul spectral corespunzător armonicii, care constă din vaporii metalelor alcaline. Alegerea vaporilor metalelor alcaline ca medii neliniare în vederea îmbunătățirii conversiei este determinată de valoarea mai ridicată cu câteva ordine de mărime a susceptibilității



neliniare de ordinul trei în raport cu cea corespunzătoare altor medii gaze de zoase, de exemplu, gazele nobile.

În absența gazelor nobile (numite și gaze tampon) generarea armonicii a treia are loc numai pe distanțe foarte scurte pe care fundamentală și armonica interacționează constructiv, așa-numita „lungime de coerență”

$L_c = \frac{\pi}{\Delta k}$ , ale cărei valori pentru vaporii metalelor alcaline sînt prezentate

în tabelul 12.2. Prin acordarea indicilor, lungimea de interacție devine egală cu lungimea celulei și conduce la o creștere a puterii la ieșire cu un factor  $\left(\frac{\pi L}{2L_c}\right)^2$ .

Presiunile parțiale ale gazelor care compun mixtura au fost astfel alese încît indicii de refracție ai mediului nelinier pentru fundamentală respectiv armonica a treia să fie egali. În fig. 12.9 se prezintă dependența

de lungimea de undă a indicelui de refracție a unei mixturi formate din rubidiu și xenon.

Indicii de refracție ai metalelor alcaline se calculează cu ajutorul relației lui Sellmeier

$$n = 1 + \frac{Nr_e}{2\pi} \sum_i \frac{f_i}{(1/\lambda_i)^2 - (1/\lambda)^2} \quad (12.129)$$

unde  $r_e = 2,818 \cdot 10^{-13}$  cm,  $f_i$  reprezintă tăria oscilatorului tranziției  $i$ , iar  $\lambda_i$  lungimea de undă a tranziției  $i$  exprimată în centimetri. Valorile tărilor oscilatorilor și lungimile de undă corespunzătoare liniilor rezonante care dau contribuție maximă la calculul indicelui de refracție sînt prezentate în tabelul 12.1.

Tabelul 12.1

Element	$\lambda_{\text{rezonantă}} (\mu\text{m})$	$f$
Li	0,6708	0,744
	0,3234	0,00428
	0,2742	0,00396
Na	0,5892	0,982
	0,3303	0,0142
	0,2853	0,0022
K	0,7676	1,04
	0,4045	0,0154
	0,3447	0,00277
Rb	0,7948	0,395
	0,7800	0,805
	0,4216	0,00532
	0,4202	0,01068
	0,3592	0,000979
	0,3587	0,00196
Cs	0,8944	0,394
	0,8521	0,814
	0,4593	0,00684
	0,4555	0,0174
	0,3890	0,000317
	0,3876	0,00349



În condiții normale de presiune și temperatură, indicele de refracție al xenonului se poate calcula cu formula lui Koch

$$n_{\text{Xe}} \simeq 1 + \left( \frac{393235}{46,3012 - 10^{-8}/\lambda^2} + \frac{393235}{59,5779 - 10^{-8}/\lambda^2} + \frac{7366100}{139,8310 - 10^{-8}/\lambda^2} \right) \cdot 10^{-8} \quad (12.130)$$

unde lungimea de undă a radiației incidente este exprimată în centimetri. Ținând seama că pentru îndeplinirea condiției  $\Delta k = 0$  indicii de refracție ai mixturii pentru fundamentală și armonică trebuie să fie egali, se poate calcula raportul dintre numărul atomilor de Xe și de vapori metalici ( $N_{\text{Xe}} : N$ ) necesar generării armonicii. În tabelul 12.2 sînt date cîteva valori ale raportului  $N_{\text{Xe}} : N$  pentru vaporii metalelor alcaline corespunzătoare acordării indicilor în cazul generării armonicii a treia cu o radiație laser fundamentală avînd  $\lambda = 1,06 \mu\text{m}$  respectiv  $\lambda = 0,6943 \mu\text{m}$  precum și ale susceptibilităților neliniare de ordinul 3 corespunzătoare.

Tabelul 12.2

Element	$\chi^{(3)}(3\omega)$ (e.s.u.)	$L_c N$	$N_{\text{Xe}} : N$	$B/N$
1,06 $\mu\text{m}$ — 0,3547 $\mu\text{m}$				
Li	$1,25 \cdot 10^{-34}$	$5,79 \cdot 10^{16}$	154	$1,80 \cdot 10^{-32}$
Na	$-3,93 \cdot 10^{-34}$	$5,86 \cdot 10^{16}$	152	$2,77 \cdot 10^{-33}$
K	$2,61 \cdot 10^{-34}$	$2,73 \cdot 10^{16}$	326	$1,81 \cdot 10^{-33}$
Rb	$6,15 \cdot 10^{-33}$	$2,15 \cdot 10^{16}$	414	$3,30 \cdot 10^{-32}$
Cs	$-1,17 \cdot 10^{-32}$	$1,33 \cdot 10^{16}$	658	$5,36 \cdot 10^{-32}$
0,6943 $\mu\text{m}$ — 0,2314 $\mu\text{m}$				
Li	$3 \cdot 10^{-34}$	$5,03 \cdot 10^{16}$	400	$1,93 \cdot 10^{-30}$
Na	$3,16 \cdot 10^{-34}$	$2,01 \cdot 10^{16}$	100	$3,69 \cdot 10^{-33}$
K	$6,17 \cdot 10^{-35}$	$9,6 \cdot 10^{15}$	—	—
Rb	$8,25 \cdot 10^{-34}$	$9,94 \cdot 10^{16}$	—	—
Cs	$3,25 \cdot 10^{-33}$	$1,65 \cdot 10^{16}$	—	—

Numărul de atomi/cm<sup>3</sup> pentru vaporii metalici se poate calcula cu ajutorul presiunii  $P$  (mm Hg), din relația

$$N = 9,66084 \cdot 10^{18} \frac{P(\text{mmHg})}{T(\text{K})} \text{ atomi/cm}^3. \quad (12.131)$$

Pentru presiuni nu prea mari ( $\sim 1$  mmHg), presiunea vaporilor metalici este

$$P(\text{mmHg}) \simeq \exp[-(a/T) + d] \quad (12.132)$$



unde constantele  $a$  și  $d$  sînt date de tabelul 12.3.

Tabelul 12.3

Element	Li	Na	K	Rb	Cs
$a$	19571,4	12423,3	10210,4	9140,07	8827,38
$d$	19,130	17,3914	16,539	16,0628	16,0007

Pentru ca fundamentală și armonica a treia să interfere constructive trebuie ca din punct de vedere al intervalului de timp să se suprapună cel puțin 50%. Valoarea minimă permisă a duratei pulsului  $\Delta t_{min}$  care satisface condiția de mai înainte este determinată de diferența vitezelor de grup  $\Delta v_g$  a fundamentalei și respectiv armonicii este dată de expresia

$$\Delta t_{min} = \frac{n_1 n_3 L}{c^2} \left[ \frac{\partial \omega_3}{\partial k_3} - \frac{\partial \omega_1}{\partial k_1} \right] = \frac{n_1 n_3 \Delta v_g}{c^2} L = B \cdot L. \quad (12.133)$$

Constanta  $B$  este proporțională cu numărul de atomi, iar cea normată,  $B/N$ , este dată pentru vaporii metalici în tabelul 12.2. Dacă se folosește, de exemplu, rubidiul ca mediu neliniar, iar lungimea celulei este  $L = 50$  cm, durata pulsului unei radiații cu  $\lambda = 1,06$   $\mu$ m trebuie să fie de 0,17 ps.

În vederea realizării acordului indicilor temperatura trebuie să fie menținută riguros constantă. Admițînd o variație maximă a dezacordului  $\delta(\Delta k) = \frac{\pi}{L}$ , aceasta conduce la o variație maximă pentru temperatură

$$\Delta T = \frac{L_c}{L} T \left[ \frac{a}{T} - 1 \right]^{-1}. \quad (12.134)$$

În cazul sodiului, cu  $N = 10^{17}$  atomi/cm<sup>3</sup> se obține valoarea  $\Delta(T) = 33,4/L$  (K), unde  $L$  este exprimat în centimetri.

Dacă se utilizează pentru generarea armonicii a treia fascicule focalizate puternic pe celula cu gaz, pentru îndeplinirea condiției  $b\Delta k = -4$ , care permite obținerea unor conversii maxime, trebuie ca mediul să aibă dispersie negativă. Această condiție este realizată dacă numărul de atomi/cm<sup>3</sup> are valoarea

$$N_f = \frac{4 L_c N}{b\pi}. \quad (12.135)$$

Eficiența conversiei în acest caz este

$$\frac{P^{(3)}}{P^{(1)}} = K \left( \frac{P}{A} \right)^2. \quad (12.136)$$

Valorile numărului de atomi  $N_f$  respectiv constantei  $K$  pentru vaporii metalici, în cazul generării armonicii a treia cu ajutorul unei radiații



Tabelul 12.4

Element	$N_f$ (atomi/cm <sup>3</sup> )	$K$
---------	--------------------------------	-----

1,064  $\mu\text{m}$  — 0,3547  $\mu\text{m}$ 

Li	$7,37 \cdot 10^{16}/b$	$1,11 \cdot 10^{-28}$
Na	$7,46 \cdot 10^{16}/b$	$1,13 \cdot 10^{-28}$
K	$3,47 \cdot 10^{16}/b$	$1,08 \cdot 10^{-28}$
Rb	$2,75 \cdot 10^{16}/b$	$3,75 \cdot 10^{-28}$
Cs	$1,72 \cdot 10^{16}/b$	$5,31 \cdot 10^{-28}$

0,6943  $\mu\text{m}$  — 0,2314  $\mu\text{m}$ 

Li	$6,40 \cdot 10^{15}/b$	$1,14 \cdot 10^{-27}$
Na	$2,56 \cdot 10^{15}/b$	$2,02 \cdot 10^{-27}$

este prezentată în lucrarea [112]. Astfel, folosindu-se o mixtură de Rb—Xe excitată cu o radiație avînd următoarele caracteristici:  $\lambda = 1,06 \mu\text{m}$ , puterea  $P^0 = 10 \text{ GW/cm}^2$  și durata pulsului 10 ps s-a obținut o conversie de aproximativ 10% [172], care este comparabilă cu cea corespunzătoare generării armonicii a doua în cristale. Eficiența conversiei este limitată, în acest caz, mai ales de procesele de ionizare și de valoarea mică a susceptibilității neliniare de ordinul trei.

### 12.2.3. Generarea armonicii a treia prin absorbția rezonantă a doi fotoni

Pentru a se obține eficiențe de conversie ridicate, cîmpul electric incident trebuie să inducă în mediul cu care interacționează o polarizare neliniară cît mai mare. Această polarizare trebuie să fie acordată cu cîmpul electric incident, astfel încît energia lui să se transforme în energia cîmpului de frecvența armonicii.

O altă posibilitate de obținere a eficiențelor ridicate este legată de absorbția rezonantă a doi fotoni care determină creșterea susceptibilității neliniare de ordinul trei, la rezonanță, cu cîteva ordine de mărime. Rezonanțele care implică unul sau trei fotoni nu prezintă importanță practică pentru că ele sînt asociate cu absorbția liniară puternică a radiației fundamentale și a celei generate. În plus, tranzițiile care implică doi fotoni se saturează la intensități mult mai mari decît cele cu un foton pentru că au o secțiune eficace mai mică. De asemenea, mai pot fi folosite rezonanțele care implică nivelele de autoionizare care în comparație cu cele ale nivelelor legate sînt largi și mai puțin intense [102]. Duratele pulsurilor radiației excitatoare trebuie să fie cît mai scurte, de ordinul picosecundelor, în vederea creșterii limitei impuse intensității radiației incidente de efectele de saturație și de ionizare. Utilizîndu-se absorbția rezonantă a doi fotoni și acordarea indicilor într-o mixtură de Na și Xe ale căror presiuni parțiale sînt în raportul Na : Xe = 1 : 53 s-au obținut eficiențe de conversie de aproximativ 8% [102]. Printr-o alegere favorabilă a parametrilor care limitează conversia, eficiențele pot fi mult îmbunătățite.

Generarea armonicii a treia pe baza absorbției rezonante a doi fotoni<sup>3</sup> poate fi descrisă cu ajutorul ecuațiilor cuplate de amplitudine în care polarizarea neliniară este calculată folosind formalismul matricei densitate [170].

cu  $\lambda = 1,06 \mu\text{m}$  și  $\lambda = 0,6943 \mu\text{m}$  sînt prezentate în tabelul 12.4.

La puteri mari și foarte mari ale radiației excitatoare generarea armonicii a treia este limitată de mai multe procese, cum ar fi: absorbția fundamentalei și armonicii, saturația (legată de autofocalizarea fasciculului și de neîndeplinirea condiției de adaptare a indicilor), absorbția multifotonică, ionizarea și altele. O analiză detaliată a proceselor care limitează eficiența conversiei, precum și posibilitățile de optimizare a acesteia,



Pe baza acestui model pot fi puse în evidență și unele procese care limitează eficiența conversiei, cum ar fi: saturația, ionizarea, deplasarea frecvențelor datorită efectului Stark, variația dezacordului indicilor de refracție din cauza redistribuirii populațiilor, absorbția a doi fotoni.

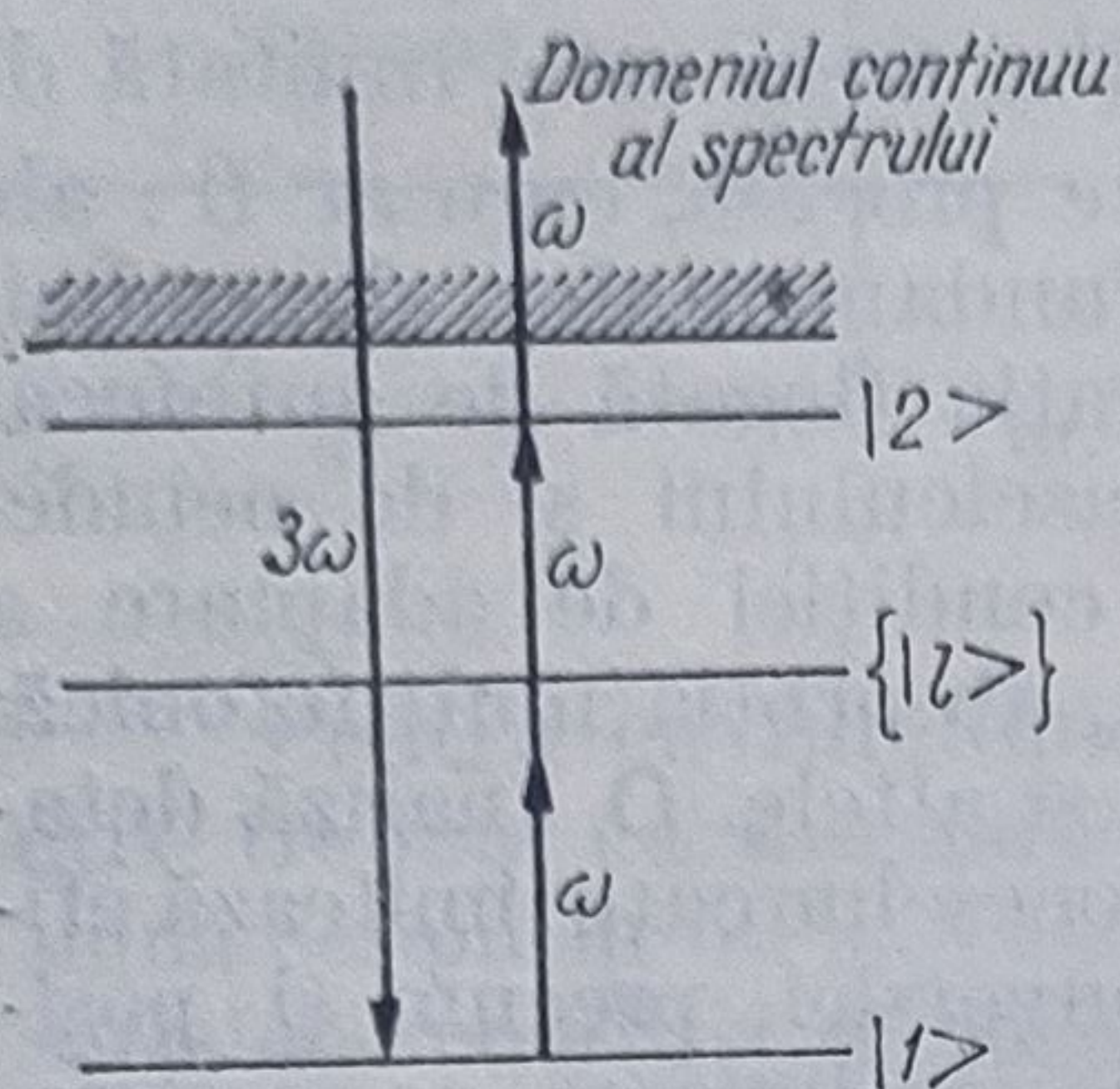


Fig. 12.10

Considerînd că generarea armonicii a treia are loc pe baza absorbției rezonante a doi fotoni între nivelele  $|1\rangle$  și  $|2\rangle$  conform schemei prezentată în fig. 12.10, unde  $\{|l\rangle\}$  reprezintă setul de nivele legate sau libere care permit tranziții de dipol în vederea obținerii rezonanței cu doi fotoni, polarizarea neliniară de diferite ordine se calculează cu ajutorul formulei

$$P(z, t) = \text{Urm} [\rho(z, t)d] = \sum_l (\rho_{1l} d_{l1} + d_{1l} \rho_{11} + \rho_{2l} d_{l2} + d_{2l} \rho_{l2}). \quad (12.137)$$

Calculul elementelor de matrice ale operatorului densitate se face utilizînd ecuația de mișcare

$$i\hbar \frac{\partial \rho}{\partial t} = [H_0 + H_i(t), \rho] \quad (12.138)$$

unde

$$H_i(t) = -dE_i(t) \quad (12.139)$$

reprezintă hamiltonianul de interacție în aproximația de dipol. Neglijînd cîmpul de frecvența armonicii a treia în expresia hamiltonianului de interacție și considerîndu-l pe cel incident de forma

$$E_i(t) = E(t)e^{i\omega t} + E^*(t)e^{-i\omega t} \quad (12.140)$$

$E(t)$  fiind amplitudinea complexă care variază lent în timp, se obțin următoarele ecuații pentru elementele de matrice ale operatorului densitate

$$\left(\frac{\partial}{\partial t} + \frac{1}{T_1}\right) \rho_{22} = -i\hbar^{-1} E(t) \sum_l (\rho_{2l} d_{l2} - d_{2l} \rho_{l2}) \quad (12.141)$$

$$\left(\frac{\partial}{\partial t} + i\omega_{12} + \frac{1}{T_2}\right) \rho_{12} = -i\hbar^{-1} E(t) \sum_l (\rho_{1l} d_{l2} - d_{1l} \rho_{l2}) \quad (12.142)$$

$$\left(\frac{\partial}{\partial t} + i\omega_{1l}\right) \rho_{1l} = -i\hbar^{-1} E(t) \sum_{k=1,2} (\rho_{1k} d_{kl} - d_{1k} \rho_{kl}) \quad (12.143)$$

$$\left(\frac{\partial}{\partial t} + i\omega_{2l}\right) \rho_{2l} = -i\hbar^{-1} E(t) \sum_{k=1,2} (\rho_{2k} d_{kl} - d_{2k} \rho_{kl}). \quad (12.144)$$

În aceste relații  $T_1$  reprezintă timpul de viață al stării excitate  $|2\rangle$ ,  $T_2$  este timpul de relaxare transversal care caracterizează distrugerea coerentei în procesul de excitare cu doi fotoni datorită pierderilor și ciocnirilor elastice, iar  $\omega_{1l} = \omega_1 - \omega_l$ . Pentru rezolvarea sistemului de ecuații



(12.141)–(12.144) se admite că fiecare element de matrice poate fi dezvoltat în serie de armonici ale frecvenței câmpului incident astfel

$$\rho_{ij}(t) = \sigma_{ij}(t) + \sum_{n \geq 0} [\sigma_{ij}^{(n)}(t) e^{in\omega t} + \sigma_{ji}^{(n)*}(t) e^{-in\omega t}] \quad (12.145)$$

unde  $\sigma_{ij}$ ,  $\sigma_{ij}^{(n)}$  și  $\sigma_{ji}^{(n)*}$  reprezintă amplitudini complexe care variază lent în timp. Pentru calculul elementelor diagonale  $\rho_{11}$  și  $\rho_{22}$  se ia în considerare numai primul termen al dezvoltării (12.145), adică  $\sigma_{11}$  și  $\sigma_{22}$ , iar pentru calculul elementelor nediagonale  $\rho_{12}$ , din cauza regulilor de selecție,  $d_{12}=0$ , (determinată de paritate) se consideră o expresie de forma

$$\rho_{12}(t) = \sigma_{12}^{(2)} e^{i2\omega t} + \sigma_{21}^{(2)*} e^{-i2\omega t}. \quad (12.146)$$

Elementele de matrice nerezonante  $\rho_{1l}$ ,  $\rho_{2l}$  care cuplează nivelele  $|1\rangle$  și  $|2\rangle$  cu alte nivele, conțin numai armonici impare, de exemplu

$$\rho_{1l}(t) = \sigma_{1l}^{(1)} e^{i\omega t} + \sigma_{1l}^{(1)*} e^{-i\omega t} + \sigma_{1l}^{(3)} e^{i3\omega t} + \sigma_{1l}^{(3)*} e^{-i3\omega t} + \dots \quad (12.147)$$

În urma înlocuirii expresiilor elementelor de matrice în ecuațiile (12.143)–(12.144) și neglijării derivatelor în raport cu timpul ale amplitudinilor complexe se obține

$$\sigma_{1l}^{(1)} = - \frac{E \sigma_{11} d_{1l} + E^* \sigma_{12}^{(2)} d_{2l}}{\hbar(\omega + \omega_{1l})} \quad (12.148)$$

$$\sigma_{1l}^{(1)*} = - \frac{E^* \sigma_{12} d_{1l} + E \sigma_{21}^{(2)*} d_{2l}}{\hbar(-\omega + \omega_{1l})} \quad (12.149)$$

$$\sigma_{1l}^{(3)} = - \frac{E \sigma_{12}^{(2)} d_{2l}}{\hbar(3\omega + \omega_{1l})} \quad (12.150)$$

$$\sigma_{1l}^{(3)*} = - \frac{E^* \sigma_{21}^{(2)*} d_{2l}}{\hbar(-3\omega + \omega_{1l})}. \quad (12.151)$$

Expresiile amplitudinilor complexe  $\sigma_{12}^{(2)*}$ ,  $\sigma_{21}^{(1)}$ ,  $\sigma_{21}^{(3)}$  și  $\sigma_{12}^{(3)*}$  se pot obține din relațiile (12.148)–(12.151) prin schimbarea indicelui 1 cu 2. Ținând seama de expresiile elementelor de matrice ale operatorului densitate și de cele ale amplitudinilor complexe, ecuațiile (12.141)–(12.142) devin

$$\left[ \frac{\partial}{\partial t} + i(2\omega - \omega_{21} - \delta\omega_{21}) + \left( \frac{1}{T_2} + \frac{\gamma}{2} \right) \right] \sigma_{12}^{(2)} = -i\hbar^{-2} (\sigma_{22} - \sigma_{11}) v_{12} E^2 \quad (12.152)$$

$$\left( \frac{\partial}{\partial t} + \frac{1}{T_1} \right) \sigma_{22} = -2\hbar^{-2} \text{Im} [v_{12}^* \sigma_{12}^{(2)} (E^*)^2] - \gamma \sigma_{22}. \quad (12.153)$$

Pentru deducerea relațiilor (12.152)–(12.153) s-a neglijat amplitudinea antirezonantă  $\sigma_{21}^{(2)}$  și s-a ținut seama de condiția  $\omega_{21} = 2\omega$ , care implică absorbția rezonantă a doi fotoni. În (12.152) s-a notat cu

$$\delta\omega_{21} = \hbar^{-1}(\alpha'_1 - \alpha'_2) |E|^2 \quad (12.154)$$



deplasarea frecvențelor prin efect Stark,  $\alpha_1$  și  $\alpha_2$  reprezentând polarizabilitățile nivelelor  $|1\rangle$  și  $|2\rangle$

$$\alpha_1 = \alpha'_1 = \hbar^{-1} \sum_l \frac{2 \omega_{l1} |\mathbf{d}_{l1}|^2}{\omega_{l1}^2 - \omega^2} \quad (12.155)$$

$$\alpha_2 = \alpha'_2 - i\alpha''_2 = \hbar^{-1} \sum_l \left( \frac{|\mathbf{d}_{l2}|^2}{\omega_{l2} - \omega} + \frac{|\mathbf{d}_{l2}|^2}{\omega_{l2} + \omega} \right) \quad (12.156)$$

Polarizabilitatea  $\alpha_2$  a nivelului  $|2\rangle$  este complexă din cauza cuplării nivelelor energetice legate, cu domeniul continuu al spectrului. Rata procesului de ionizare

$$\gamma = 2\hbar^{-1} \alpha''_2 |E|^2 \quad (19.157)$$

rezultat în urma tranzițiilor de pe nivelul excitat  $|2\rangle$  depinde de intensitatea radiației incidente și de polarizabilitatea nivelului  $|2\rangle$ . În expresia elementelor de matrice de ordinul doi, notate cu

$$v_{12} = \sum_l \frac{d_{l1} d_{l2}}{\omega_{l2} + \omega} \quad (12.158)$$

care apar în ecuațiile (12.152)–(12.153), operația de însumare trebuie făcută după toate stările intermediare legate, iar în cazul stărilor libere aceasta se transformă într-o integrală.

Sistemul de ecuații (12.152) – (12.153) completat cu ecuația corespunzătoare populației totale

$$\frac{\partial}{\partial t} (\sigma_{11} + \sigma_{22}) = -\gamma \sigma_{22} \quad (12.159)$$

poate fi folosit la descrierea oricărui proces care implică interacția a patru unde

$$\omega_1 + \omega_2 \pm \omega_3 = \omega_4 \quad (12.160)$$

pe baza absorbției rezonante a doi fotoni.

Pentru deducerea ecuațiilor de mai sus nu s-a luat în considerare producerea efectului laser în urma tranzițiilor de pe nivelul  $|2\rangle$  pe alte stări intermediare mai coborâte pentru că secțiunea eficace a acestui proces este foarte mică și în plus mediul neliniar nu a fost introdus într-un rezonator optic. Ținând seama de expresiile elementelor de matrice ale operatorului densitate, expresiile polarizărilor corespunzătoare fundamentalei și armonicii a treia devin

$$P_{\omega}^{NL}(z, t) = \sum_l (\sigma_{l1}^{(1)} d_{l1} + d_{l1} \sigma_{l1}^{(1)} + \sigma_{l2}^{(1)} d_{l2} + d_{l2} \sigma_{l2}^{(1)}) \times e^{i(\omega t - kz)} + \text{c.c.} \quad (12.161)$$

$$P_{3\omega}^{NL}(z, t) = \sum_l (\sigma_{l1}^{(3)} d_{l1} + d_{l1} \sigma_{l1}^{(3)} + \sigma_{l2}^{(3)} d_{l2} + d_{l2} \sigma_{l2}^{(3)}) \times e^{i(3\omega t - 3kz)} + \text{c.c.} \quad (12.162)$$

În general, datorită cuplajului puternic al atomului cu câmpul care produce absorbția rezonantă a doi fotoni nu se poate defini o susceptibilitate neliniară de ordinul trei ca și în cazul generării nerezonante a armonicii a treia

$$P_{3\omega}^{NL}(z, t) = \chi_{3\omega}^{(3)} W^3(z, t) e^{i(3\omega t - 3kz)} + \text{c.c.} \quad (12.163)$$



Prin absorbția rezonantă a doi fotoni, termenul de ordinul doi  $\sigma_{12}^{(2)}$  care caracterizează răspunsul atomului poate să producă saturația și astfel să limiteze eficiența conversiei. Dacă se neglijează amplitudinea antirezonantă  $\sigma_{21}^{(2)}$  expresia polarizărilor corespunzătoare fundamentalei și armonicii se mai pot scrie sub forma

$$P_{\omega}(z,t) = [\chi'_{\omega}(z,t) + i\chi''_{\omega}(z,t)] E(z,t)e^{i(\omega t - kz)} + \text{c.c.} \quad (12.164)$$

$$P_{3\omega}(z,t) = [\chi'_{3\omega}(z,t) + i\chi''_{3\omega}(z,t)] E_3(z,t)e^{i(3\omega t - k_3 z)} + \text{c.c.} \quad (12.165)$$

unde

$$\chi'_{\omega}(z,t) = \alpha'_1(\omega)\sigma_{11}(z,t) + \alpha'_2(\omega)\sigma_{22}(z,t) + 2\hbar^{-1}\text{Re}[v_{12} \times \times e^{-i2\Phi(z,t)} \sigma_{12}^{(2)}(z,t)] \quad (12.166)$$

$$\chi''_{\omega}(z,t) = -\alpha''_2(\omega)\sigma_{22}(z,t) + 2\hbar^{-1}\text{Im}[v_{12}^* e^{-i\Phi(z,t)} \sigma_{12}^{(2)}(z,t)] \quad (12.167)$$

$$\chi'_{3\omega}(z,t) = \alpha'_1(3\omega)\sigma_{11}(z,t) + \alpha'_2(3\omega)\sigma_{22}(z,t) \quad (12.168)$$

$$\chi''_{3\omega}(z,t) = \alpha''_1(3\omega)\sigma_{11}(z,t) + \alpha''_2(3\omega)\sigma_{22}(z,t) \quad (12.169)$$

cîmpul armonicii de frecvență armonicii a treia fiind

$$\mathcal{E}_3(z,t) = E_3(z,t)e^{i(3\omega t - k_3 z)} + \text{c.c.} \quad (12.170)$$

De aici se observă că susceptibilitățile la frecvența fundamentalei și a armonicii a treia sînt dependente de intensitatea radiației incidente, fapt ce crează complicații în realizarea acordării indicilor.

Pentru a calcula cîmpul electric al armonicii a treia, polarizările avînd frecvența fundamentalei și armonicii, calculate cu ajutorul formalismului matricei densitate (12.164) — (12.165) se înlocuiesc în ecuațiile undelor. Considerînd că amplitudinile cîmpurilor variază lent în timp rezultă pentru amplitudinea cîmpului fundamentalei respectiv armonicii a treia, un set de ecuații diferențiale de ordinul întîi cuplate, de forma

$$\frac{\partial E}{\partial z} + \frac{1}{c} \frac{\partial E}{\partial t} = \frac{\omega N}{2c\epsilon_0} \chi''_{\omega} E \quad (12.171)$$

$$\frac{\partial \Phi}{\partial z} + \frac{1}{c} \frac{\partial \Phi}{\partial t} = -\frac{\omega N}{2c\epsilon_0} \chi'_{\omega} \quad (12.172)$$

$$\frac{\partial E_3}{\partial z} + \frac{1}{c} \frac{\partial E_3}{\partial t} = -i \frac{3\omega N}{2c\epsilon_0} \xi \sigma_{12}^{(2)} E e^{i(\Phi - \Delta k z)} \quad (12.173)$$

unde  $N$  este densitatea vaporilor metalici,

$$\xi = \hbar^{-1} \sum_l \left( \frac{d_{2l} d_{1l}}{\omega_l - 3\omega} + \frac{d_{2l} d_{1l}}{\omega_l + \omega} \right) \quad (12.174)$$

iar  $\Delta k = 3k - k_3 =$

$$= (3\omega N / 2c\epsilon_0) \{ [\alpha'_1(\omega) - \alpha'_1(3\omega)] \sigma_{11}(z,t) + + [\alpha'_2(\omega) - \alpha'_2(3\omega)] \sigma_{22}(z,t) + 2\hbar^{-1} \text{Re}[v_{12}^* e^{-i2\Phi} \sigma_{12}(z,t)] \} \quad (12.175)$$

reprezintă dezacordul vectorilor de undă.



Rezolvarea ecuațiilor cuplate de amplitudine (12.171) – (12.173), precum și a celor care conțin elementele de matrice ale operatorului densitate (12.152), (12.153) și (12.159) se face prin metode numerice cu ajutorul calculatorului.

În ecuațiile (12.166) – (12.167) cele două componente ale susceptibilității care determină absorbția rezonantă a doi fotoni (în fază respectiv defazată) pot conduce la automodularea fazei, precum și la apariția unor efecte de autofocalizare sau autodefocalizare dacă se lucrează cu fascicule gaussiene, din cauza redistribuirii populațiilor. Automodularea în fază poate afecta condiția de adaptare a indicilor și prin aceasta eficiența conversiei.

Ionizarea poate determina apariția fenomenelor de atenuare, de schimbare a vitezelor și chiar deformarea pulsului. Efectul ionizării poate fi mult redus în cazul folosirii metalelor alcaline ca medii neliniare dacă absorbția rezonantă a doi fotoni are loc între stări cu același moment cinetic orbital ( $S \rightarrow S$ ); astfel orice canal de excitare a diferitelor stări în afara celui care determină absorbția rezonantă conduce sistemul înapoi în starea inițială.

Neîndeplinirea condiției de adaptare a indicilor ca rezultat al redistribuirii populațiilor poate conduce la scăderea eficienței conversiei dacă polarizabilitățile nivelelor  $|1\rangle$  și  $|2\rangle$  sînt de aceeași mărime dar de semne contrare. În cazul folosirii unor medii neliniare formate din vapori metalici care prezintă dispersie normală ( $k_s > 3k$ ) și acordarea indicilor cu ajutorul gazelor tampon sau fasciculelor gaussiene nu este posibilă, populația nivelului  $|2\rangle$  și a celorlalte nivele excitate care pot fi populate, pot juca rolul de gaz tampon în vederea creșterii lungimii de coerență pentru generarea armonicii a treia.

Ecuația (12.173) poate fi mult simplificată dacă se lucrează cu pulsuri incidente a căror durată este mult mai mare decît cea corespunzătoare lungimii efective  $L$  a celulei cu gaz, cum ar fi, de exemplu, pulsurile date de laserii cu solid sau de cei acordabili. În aceste condiții derivata în raport cu timpul se poate neglija, iar expresia cîmpului devine

$$E_3(L, t) = -i \frac{3\omega N}{2c\epsilon_0} \xi \int_0^L \sigma_{12}^{(2)}(z, t) E(z, t) e^{i(\Phi - \Delta k z)} dz. \quad (12.176)$$

În cazul folosirii unor celule cu gaz nu prea lungi, care să determine variația locală a dezacordului indicilor și neglijînd efetele de automodulare se poate calcula numărul de fotoni corespunzători armonicii a treia, pe puls și pe unitatea de arie, cu relația

$$N_{3\omega} = \frac{3\omega N^2 L^2}{4\hbar c^2 \epsilon_0^2} |\xi|^2 \int \left( \frac{\sin [\Delta k(0, t) L/2]}{[\Delta k(0, t) L/2]} \right)^2 \times \quad (12.177)$$

$$\times |\sigma_{12}^{(2)}(0, t)|^2 I(0, t) dt$$

$I(0, t)$  fiind intensitatea radiației incidente. De asemenea se poate calcula fracțiunea de atomi ionizați pe puls

$$F_i = \gamma \int_0^{t_p} \sigma_{22} dt \quad (12.178)$$

unde  $t_p$  este durată pulsului laser, iar  $\gamma$  este rata ionizării (12.157).



Pe baza modelului prezentat mai înainte, într-un mediu neliniar format din vapori de litiu și de magneziu a căror presiuni parțiale se află în raportul  $P_{\text{Mg}}/P_{\text{Li}} = 2,15$ , iar presiunea vaporilor de litiu este de 1 torr, eficiența conversiei generării armonicii a treia prin absorbția rezonantă a doi fotoni, corespunzătoare tranziției  $2s-4s$  este de aproximativ 8% pentru

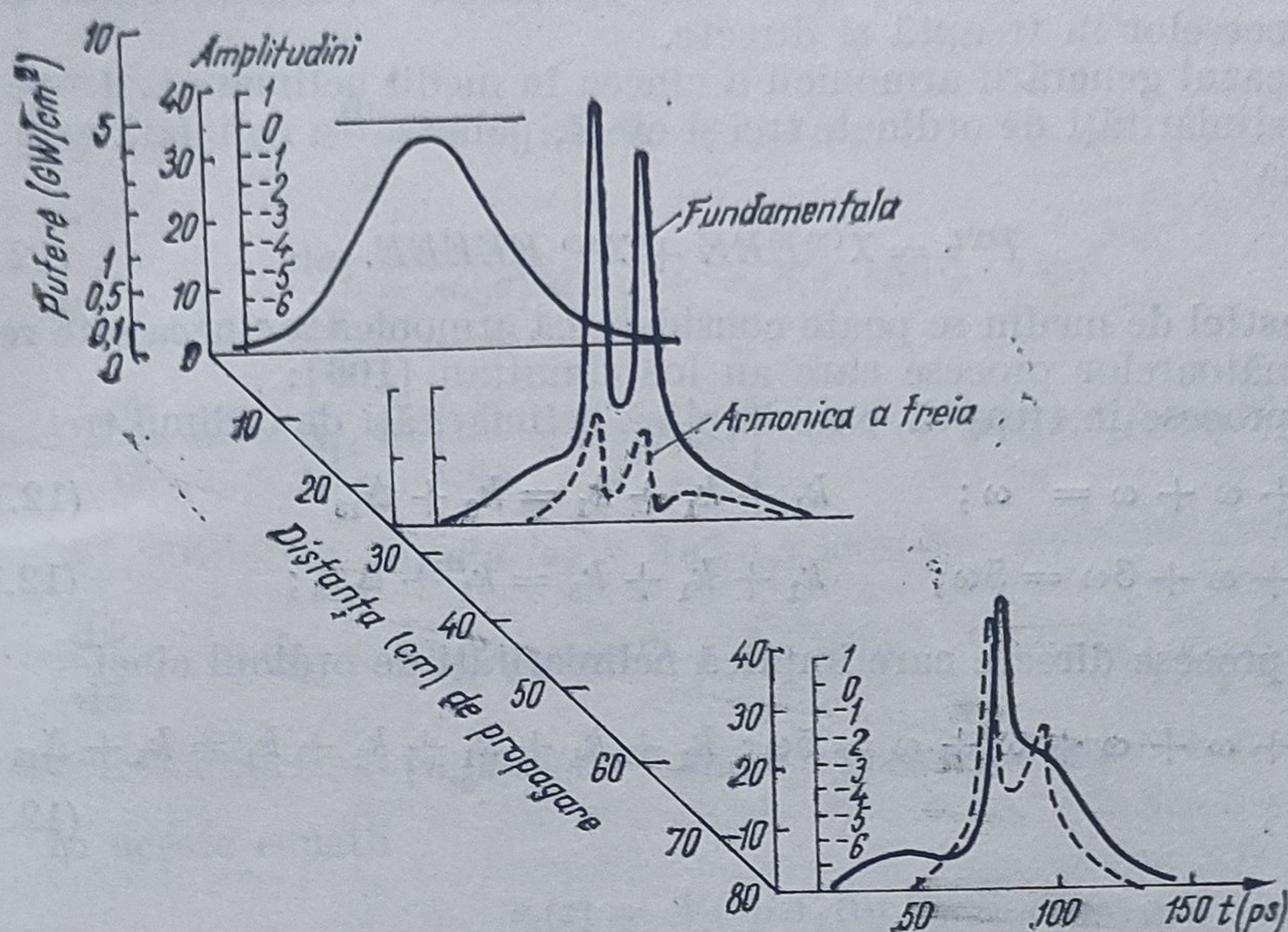


Fig. 12.11

o radiație laser cu puterea de  $500 \text{ MW/cm}^2$  și o durată a pulsului de 200 ps. Alegerea vaporilor de litiu ca mediu neliniar este determinată de valoarea mare a susceptibilității neliniare de ordinul trei la rezonanță, de posibilitatea de acordare a indicilor, precum și de pierderile și efectele de saturație mici, datorită duratei pulsurilor care sînt mai mici decît timpul de ciocnire și respectiv de ionizare. Forma pulsului fundamentalei respectiv armonicii a treia funcție de distanță și de timp este prezentată în fig. 12.11.

### 12.3. Generarea armoniilor de ordin superior

Pentru generarea armonicii a doua și a treia s-au folosit procesele neliniare de ordinul doi și trei. O dată cu apariția și dezvoltarea laserilor de mare putere care funcționează în impulsuri cu durată foarte mică (de ordinul picosecundelor) s-a creat posibilitatea folosirii polarizărilor optice neliniare de ordine superioare la generarea armoniilor corespunzătoare. În vederea îmbunătățirii eficiențelor de conversie sistemele atomice trebuie alese în așa fel încît să permită un câștig maxim rezultat din mixarea frecvențelor, pe baza relațiilor specifice între liniile de rezonanță și acordul indicilor.

O caracteristică importantă a generării armoniilor de ordin superior este legată de posibilitatea conversiei frecvențelor atît în urma proceselor directe care implică existența neliniarităților de ordinul armonicii studiate, cît și a proceselor în treaptă (indirecte) care implică existența neli-



niarităților de ordin inferior. De asemenea, dacă condiția de adaptare a indicilor pentru procesele directe este satisfăcută, aceeași condiție mai poate fi îndeplinită și în cazul utilizării proceselor în treaptă pe ansamblul procesului de generare, chiar dacă fiecare treaptă în parte prezintă un anumit dezacord [102]. La calculul eficienței conversiei trebuie luate în considerare totalitatea efectelor de interacție coerentă rezultate în urma proceselor în treaptă și directe.

În cazul generării armonicii a cincea în medii neliniare izotrope care posedă neliniarități de ordinele trei și cinci, polarizarea neliniară este dată de relația

$$P_{NL} = \chi^{(3)} EEE + \chi^{(5)} EEEEE. \quad (12.179)$$

Într-un astfel de mediu se poate considera că armonica a cincea este rezultatul următoarelor procese care au loc simultan [106]:

— procese în treaptă, care implică neliniarități de ordinul trei

$$\omega + \omega + \omega = \omega; \quad k_1 + k_1 + k_1 = k_3 + \Delta_{13} \quad (12.180)$$

$$\omega + \omega + 3\omega = 5\omega; \quad k_1 + k_1 + k_3 = k_5 + \Delta_{135}; \quad (12.181)$$

— procese directe care implică neliniarități de ordinul cinci

$$\omega + \omega + \omega + \omega + \omega = 5\omega; \quad k_1 + k_1 + k_1 + k_1 + k_1 = k_5 + \Delta_{15} \quad (12.182)$$

unde

$$\Delta_{13} + \Delta_{135} = \Delta_{15}. \quad (12.183)$$

În aproximația undei plane

$$E_j = A_j \exp(i\omega t - ik_j z). \quad (12.184)$$

cu ajutorul ecuațiilor lui Maxwell pentru un mediu neliniar considerat fără pierderi, a cărui polarizare neliniară este dată de relația (12.179), rezultă pentru amplitudinile undelor care interacționează următorul set de ecuații diferențiale cuplate

$$\frac{dA_1}{dz} = -i\sigma_1 A_1^{*2} A_3 \exp i\Delta_{13}z - i\sigma'_1 A_1^{*4} A_5 \exp i\Delta_{15}z - \quad (12.185)$$

$$- i\sigma''_1 A_1^* A_3 A_5 \exp i\Delta_{135}z$$

$$\frac{dA_3}{dz} = -i\sigma_3 A_1^3 \exp(-i\Delta_{13}z) - i\sigma_2 A_1^{*2} A_5 \exp i\Delta_{135}z \quad (12.186)$$

$$\frac{dA_5}{dz} = -i\sigma_5 A_1^5 \exp(-i\Delta_{15}z) - i\sigma_4 A_1^3 A_3 \exp(-i\Delta_{135}z) \quad (12.187)$$

unde

$$\sigma_1 = 6\pi\omega\chi^{(3)}/cn_1; \quad \sigma'_1 = 10\pi\omega\chi^{(5)}/cn_1; \quad \sigma''_1 = 4\pi\omega\chi^{(5)}/cn_1$$

$$\sigma_2 = 6\pi\omega\chi^{(3)}/cn_3; \quad \sigma_3 = 6\pi\omega\chi^{(3)}/cn_3 \quad (12.188)$$

$$\sigma_4 = 10\pi\omega\chi^{(5)}/cn_5; \quad \sigma_5 = 10\pi\omega\chi^{(5)}/cn_5.$$



Introducând amplitudinile reale și fazele undelor

$$A_j(z) = A'_j(z) \exp(i\theta_j(z)) \quad (12.189)$$

sistemul de ecuații complexe (12.185)–(12.187) devine

$$\frac{da_1}{d\tilde{z}} = -\sigma_{10} a_1^2 a_3 \sin \Phi - \sigma'_{10} a_1^4 a_5 \sin \psi - \sigma''_{10} a_1 a_3 a_5 \sin(\psi - \Phi) \quad (12.190)$$

$$\frac{da_3}{d\tilde{z}} = a_1^3 \sin \Phi - \sigma_{30} a_1^2 a_5 (\psi - \Phi) \quad (12.191)$$

$$\frac{da_5}{d\tilde{z}} = \sigma_{50} a_1^5 \sin \psi + \sigma_{40} a_1^2 a_3 \sin(\psi - \Phi) \quad (12.192)$$

$$\begin{aligned} \frac{d\Phi}{d\tilde{z}} = & -\tilde{\Delta}_{13} + \left( \frac{a_1^3}{a_3} - 3\sigma_{10} a_1 a_5 \right) \cos \Phi - 3\sigma'_{10} a_1^2 a_5 \cos \psi + \\ & + (\sigma_{20} a_1^2 a_5 / a_3 - 3\sigma''_{10} a_3 a_5) \cos(\psi - \Phi) \end{aligned} \quad (12.193)$$

$$\begin{aligned} \frac{d\psi}{d\tilde{z}} = & -\tilde{\Delta}_{15} - 5\sigma_{10} a_1 a_3 \cos \Phi + (\sigma_{50} a_1^5 / a_5 - 5\sigma'_{10} a_1^3 a_5) \cos \psi + \\ & + (\sigma_{40} a_1^3 a_3 / a_5 - 5\sigma''_{10} a_3 a_5) \cos(\psi - \Phi). \end{aligned} \quad (12.194)$$

În aceste ecuații

$$a_j(z) = A'_j(z) / A'_1(0) \quad (12.195)$$

$$\tilde{z} = z \sigma_3 A_1'^2(0) = z / L_{30} \quad (12.196)$$

reprezintă amplitudinea respectiv coordonata normată,

$$\tilde{\Delta}_{13} = \Delta_{13} / \sigma_3 A_1'^2(0); \quad \tilde{\Delta}_{15} = \Delta_{15} / \sigma_3 A_1'^2(0) \quad (12.197)$$

dezacordurile normate iar

$$\sigma_{10} = \sigma_1 / \sigma_3; \quad \sigma_{20} = \sigma_2 / \sigma_3; \quad \sigma_{40} = \sigma_4 / \sigma_3; \quad \sigma'_{10} = \sigma'_1 / \sigma_3 \quad (12.198)$$

$$\sigma''_{10} = \sigma''_1 A_1'^2(0) / \sigma_3; \quad \sigma_{50} = \sigma_5 A_1'^2(0) / \sigma_3 \quad (12.199)$$

$$\Phi = 3\theta_1 - \theta_3 - \Delta_{13}z \quad (12.200)$$

$$\psi = 5\theta_1 - \theta_5 - \Delta_{15}z. \quad (12.201)$$

Sistemul de ecuații cuplate (12.190)–(12.194) a fost integrat numeric pentru parametri corespunzători unei mixturi de Na, Cd și Xe admitându-se următoarele condiții inițiale [106]

$$a_1(0) = 1, \quad a_3(0) = a_5(0) = 10^{-5}, \quad \Phi(0) = \psi(0) = 0. \quad (12.202)$$

Calculule teoretice efectuate prevăd posibilitatea obținerii unei eficiențe de conversie foarte ridicate, de aproximativ 90%, în mixturi ale vaporilor metalici care permit realizarea acordului indicilor atât pentru procesele în treaptă cit și directe ( $\tilde{\Delta}_{13} = \tilde{\Delta}_{15} = 0$ ), iar densitățile de putere ale radiației incidente trebuie să fie astfel încît  $\sigma_{10} = \sigma_{50} = 1$  ( $9,1 \cdot 10^{12}$  W/cm<sup>2</sup>).



Dependența de distanța normată  $\tilde{z}$  a amplitudinilor armonicilor pentru parametri menționați înainte este prezentată în fig. 12.12.

Armonica a cincea poate să rezulte și în urma proceselor în treaptă pentru care dezacordurile sînt:  $\tilde{\Delta}_{15} = 0$ ,  $\tilde{\Delta}_{13} = -4,54$  și corespunde unei concentrații  $N_{Na} = 10^{17}$  atomi/cm<sup>3</sup>,  $N_{Cd}/N_{Na} = 3,35$  care se realizează la temperatura  $T = 810$  K și densitatea de putere  $2 \cdot 10^{11}$  W/cm<sup>2</sup>. Dependența de distanța normată a amplitudinilor armonicilor de diferite ordine (3,5 în acest caz) este prezentată în fig. 12.13.

Competiția între procesele directe și în treaptă se manifestă pentru valori ale dezacordului  $\tilde{\Delta}_{13} = -9,32$  ( $N_{Cd} = 10^{22}$  atom/cm<sup>3</sup>).

Pentru densități de putere mari ale radiației incidente ( $9,1 \cdot 10^{12}$  W/cm<sup>2</sup>) procesele directe contribuie aproximativ în aceeași măsură la procesul de generare ca și procesele în treaptă chiar la valori mari ale dezacordului  $\tilde{\Delta}_{13} = -9,32$  (fig. 12.14).

În cazul folosirii fasciculelor gaussiene pentru generarea armonicii a cincea se poate obține o soluție analitică dacă se neglijează scăderea amplitudinii fundamentalei, precum și cea a armonicii a treia în cadrul proceselor în treaptă. Cu aceste simplificări, pe baza modelului prezentat în lucrarea

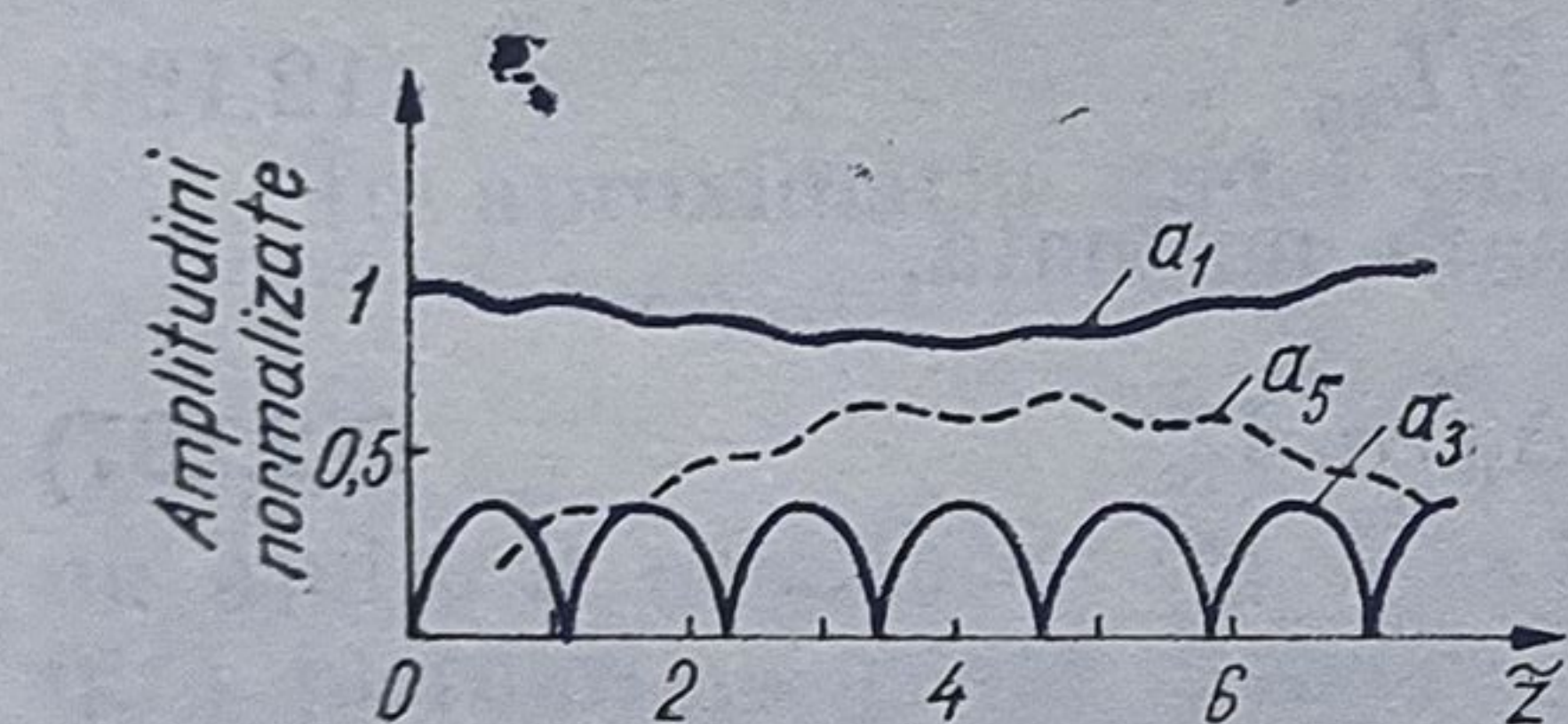


Fig. 12.12

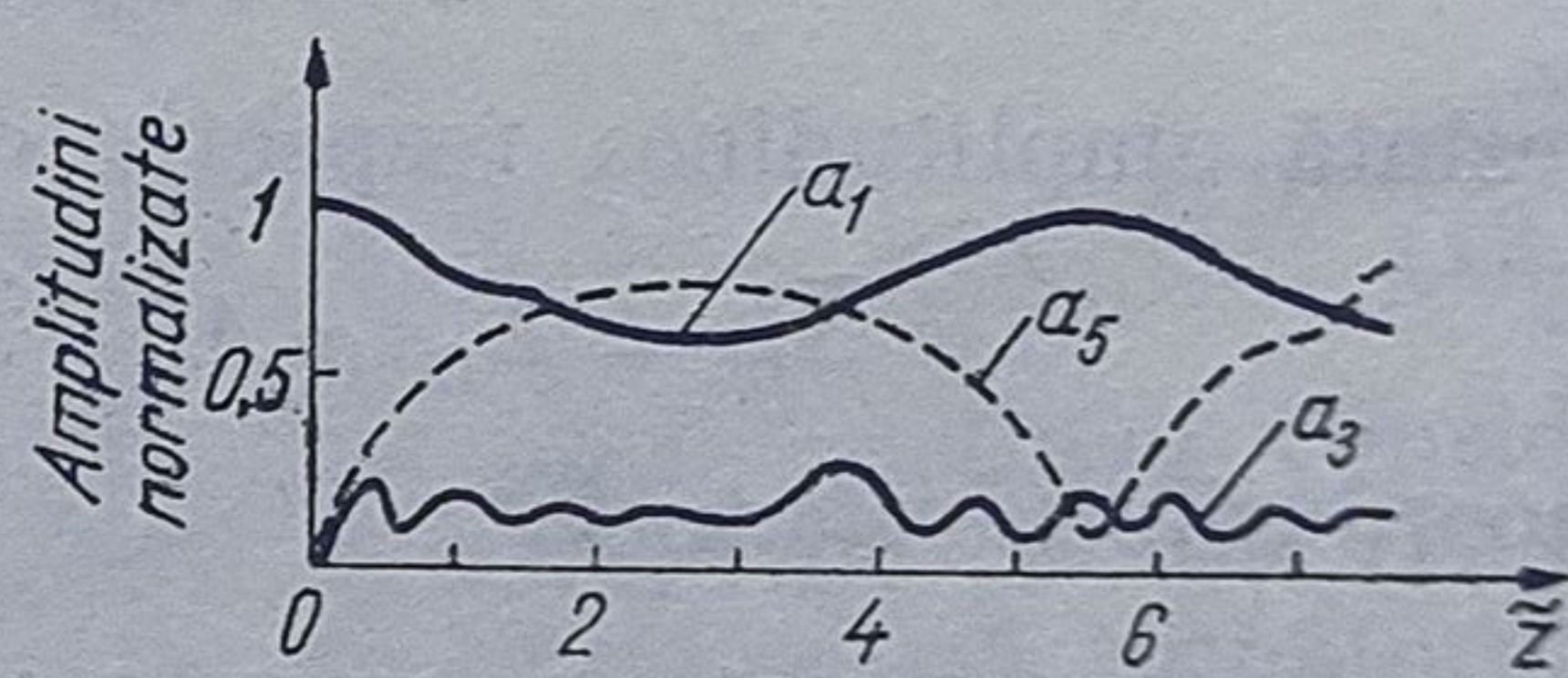


Fig. 12.13

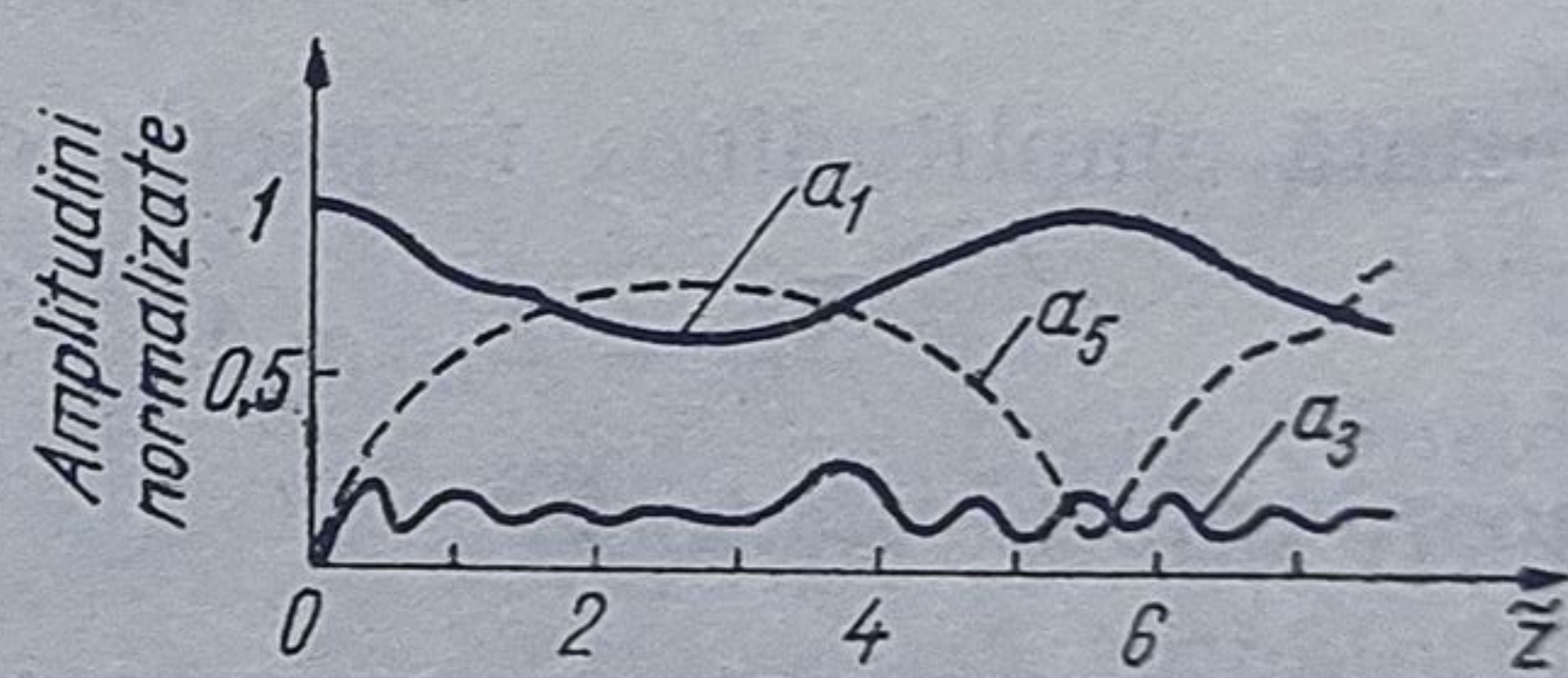


Fig. 12.14

[106], generarea armonicii a cincea este descrisă de următorul set de ecuații cu derivate parțiale

$$\left[ \frac{\partial}{\partial z} + \frac{i}{2k_1} \left( \frac{\partial^2}{\partial x^2} + \frac{\partial^2}{\partial y^2} \right) \right] A_1 = 0 \quad (12.203)$$

$$\left[ \frac{\partial}{\partial z} + \frac{i}{2k_3} \left( \frac{\partial^2}{\partial x^2} + \frac{\partial^2}{\partial y^2} \right) \right] A_3 = -i\sigma_3 A_1^3 \exp(-i\Delta_{13}z) \quad (12.204)$$

$$\left[ \frac{\partial}{\partial z} + \frac{i}{2k_5} \left( \frac{\partial^2}{\partial x^2} + \frac{\partial^2}{\partial y^2} \right) \right] A_5 = -i\sigma_5 A_1^5 \exp(-i\Delta_{15}z) - i\sigma_4 A_1^2 A_3 \exp(-i\Delta_{135}z). \quad (12.205)$$



Soluția sistemului de ecuații (12.203) – (12.205) corespunzătoare configurației experimentale din fig. 12.15 și următoarelor condiții inițiale

$$A_3(x, y, l_1) = A_5(x, y, l_1) = 0 \quad (12.206)$$

este

$$A_5(x, y, l_2) = -\frac{i\sigma_5 L B_{10} \exp(-i\Delta_{15} f_1)}{2(1 - iq_1)} \exp\left[-\frac{5k_1(x^2 + y^2)}{b_1(1 - iq_1)}\right] \cdot J_1 \quad (12.207)$$

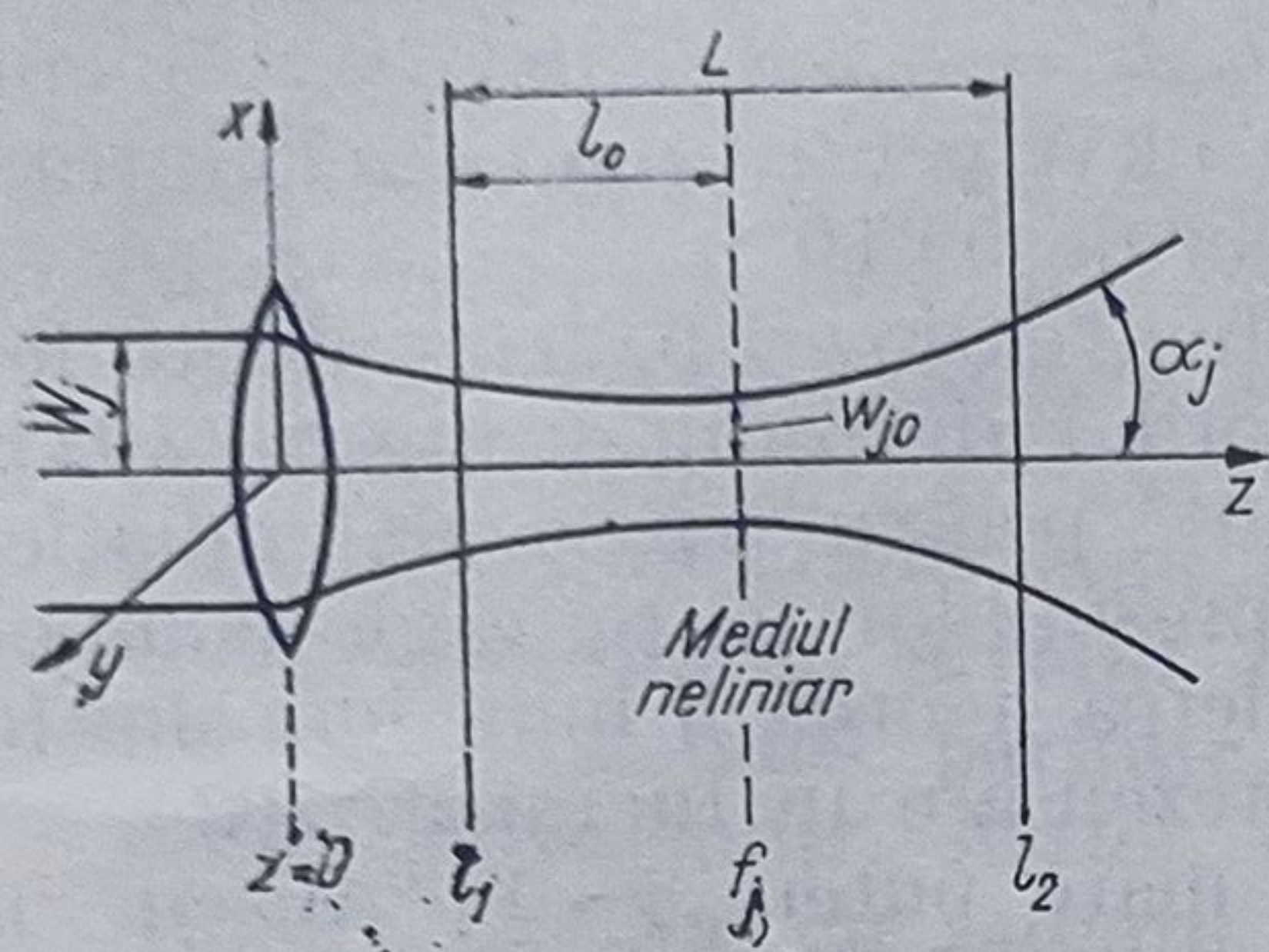


Fig. 12.15

unde

$$\begin{aligned} J_1(\Delta_{15}L/2, \Delta_{13}L/2, w, q_1, d) = & \int_{-2d}^{2(l-d)} \frac{\exp(-i\Delta_{15}L\eta/2)d\eta}{(1 - iq_1\eta)^4} - \\ & - iwL \int_{-2d}^{2(l-d)} \frac{\exp(-i\Delta_{135}L\eta/2)d\eta}{(1 - iq_1\eta)^2} \times \\ & \times \int_{-2d}^{\eta} \frac{\exp(-i\Delta_{13}L\tau/2)d\tau}{(1 - iq_1\tau)^2} = J_d - iwLJ_s. \end{aligned} \quad (12.208)$$

$$w = \sigma_3 \sigma_4 / 2 \sigma_5; \quad q_1 = \frac{L}{b_1}; \quad b_1 = kw_0^2; \quad d = \frac{l_0}{L}. \quad (12.209)$$

Cu ajutorul expresiei amplitudinii (12.207) se poate calcula puterea armonicii a cincea

$$P_5 = \frac{32.768 k_1^4 P_{10}^5 \sigma_5^2 q_1^2}{5 c^4 n_1^4 b_1^2} |J_1|^2. \quad (12.210)$$

În cazul focalizării slabe  $q_1 < 1$ , puterea maximă se obține dacă sînt îndeplinite condițiile de adaptare a indicilor  $\Delta_{13} = \Delta_{15} = 0$ , iar expresia integralei  $J_1$  devine

$$J_1 = \frac{6 - 8q_1^2(1 - 3d - 3d^2) - i12q_1(1 - 2d) - i6wL(1 - i2q_1d)(1 - i2q_1 + i2q_1d)}{3(1 + i2q_1d)^3[1 - i2q_1(1 - d)]^3} \quad (12.211)$$

Maximul funcției (12.211) se obține pentru  $d = \frac{1}{2}$ . Focalizarea puternică ( $q_1 > 1$ ) produce deplasarea fazei, astfel că în calcule trebuie introdus un dezacord  $\Delta_{jk}$ , care să compenseze această deplasare. Considerînd fasciculul focalizat în centrul celulei cu gaz ( $d = \frac{1}{2}$ ), în cazul generării armonicii



a cincea prin procese directe ( $\chi^{(5)} = \chi^{(3)} = 0$ ),  $J_1 \equiv J_s$  și are valoarea maximă pentru  $\Delta_{15} = 6/b_1$ . Dacă se iau în considerare procesele în treaptă

$$J_s(\Delta_{135}L/2, \Delta_{13}L/2, q_1) = \text{Re } J_s + i \text{Im } J_s \quad (12.212)$$

iar valoarea maximă a funcției  $\text{Re } J_s$  se obține pentru  $\Delta_{13} = 2\Delta_{135} = 2/b_1$  și corespunde unei valori  $\Delta_{15} = 2\Delta_{13} = 4/b_1$ .

Rezultatele experimentale privind generarea armonicilor a cincea într-o mixtură de vapori de sodiu și xenon ( $N_{Xe}/N_{Na} = 31,2$ ), utilizând fascicule gaussiene [102] au confirmat calculele teoretice prezentate în lucrările [106, 102] obținându-se pentru  $b\Delta k = -5,8 \pm 0,3$  ( $b = 5 \text{ cm}$ ;  $f = 28 \text{ cm}$ ) o putere maximă a armonicilor de 4 kW pentru o putere la intrare de  $2,5 \cdot 10^8 \text{ W}$ , deci o eficiență a conversiei de  $5 \cdot 10^{-2}$ .

Generarea armonicilor a cincea mai poate avea loc și pe baza absorbției rezonante a doi fotoni în mixturi ale vaporilor de sodiu și argon [102]. Eficiențele de conversie maxime de  $5,4 \cdot 10^{-2}$  pentru puteri ale radiației incidente de  $1,5 \cdot 10^8 \text{ W/cm}^2$  și raportul presiunilor parțiale ale componentelor mixturii  $N_{Na} : N_{Ar} = 1 : 50,3$  în vederea acordării indicilor, sînt în bună concordanță cu modelele teoretice prezentate în lucrarea [102].

Utilizînd pentru excitare pulsuri de mare putere ( $\sim 10^{10} \text{ W} \cdot \text{cm}^{-2}$ ), cu durată de  $\sim 10 \text{ ps}$ , provenite de la un laser cu  $\text{Nd}^{3+}$  ( $\lambda = 1,06 \mu\text{m}$ ) care lucrează în regim de „mode-locking” au fost obținute în mixturi ale vaporilor de Na și Ar atât armonica a șaptea cît și a noua [156] cu o eficiență a conversiei de  $\sim 10^{-10}$ , atât în urma proceselor directe cît și a celor în treaptă.

De asemenea, armonicile de ordinele cinci și șapte (cu  $\lambda_5 = 76 \text{ nm}$  și  $\lambda_7 = 38 \text{ nm}$ ) au fost produse și în gaze rare [131] folosindu-se pentru excitare fascicule foarte intense ( $\sim 10^{15} \text{ W/cm}^2$ ) obținute prin focalizarea unei radiații provenite de la un laser cu Nd-YAG.

### 13. GENERAREA PARAMETRICĂ DE OSCILAȚII OPTICE

#### 13.1. Interacția parametrică a patru unde într-un mediu neliniar

Interacțiunile care caracterizează fenomenele optice neliniare pot fi considerate parametrice în cazul cînd unul dintre cîmpurile care interacționează în mediul neliniar, numit de pompaj, este mult mai puternic și determină variația parametrică a unor mărimi caracteristice ale mediului.

Interacția parametrică descrie un transfer de energie între cîmpurile oscilatorii participante, ca urmare a cuplării acestora printr-un element neliniar. Deci, elementul neliniar trebuie să aibă un caracter reactiv în raport



a cincea prin procese directe ( $\chi^{(5)} = \chi^{(3)} = 0$ ),  $J_1 \equiv J_a$  și are valoarea maximă pentru  $\Delta_{15} = 6/b_1$ . Dacă se iau în considerare procesele în treaptă

$$J_s(\Delta_{135}L/2, \Delta_{13}L/2, q_1) = \text{Re } J_s + i \text{Im } J_s \quad (12.212)$$

iar valoarea maximă a funcției  $\text{Re } J_s$  se obține pentru  $\Delta_{13} = 2\Delta_{135} = 2/b_1$  și corespunde unei valori  $\Delta_{15} = 2\Delta_{13} = 4/b_1$ .

Rezultatele experimentale privind generarea armonicii a cincea într-o mixtură de vapori de sodiu și xenon ( $N_{Xe}/N_{Na} = 31,2$ ), utilizând fascicule gaussiene [102] au confirmat calculele teoretice prezentate în lucrările [106, 102] obținându-se pentru  $b\Delta k = -5,8 \pm 0,3$  ( $b = 5 \text{ cm}$ ;  $f = 28 \text{ cm}$ ) o putere maximă a armonicii de 4 kW pentru o putere la intrare de  $2,5 \cdot 10^8 \text{ W}$ , deci o eficiență a conversiei de  $5 \cdot 10^{-2}$ .

Generarea armonicii a cincea mai poate avea loc și pe baza absorbției rezonante a doi fotoni în mixturi ale vaporilor de sodiu și argon [102]. Eficiențele de conversie maxime de  $5,4 \cdot 10^{-2}$  pentru puteri ale radiației incidente de  $1,5 \cdot 10^8 \text{ W/cm}^2$  și raportul presiunilor parțiale ale componentelor mixturii  $N_{Na} : N_{Ar} = 1 : 50,3$  în vederea acordării indicilor, sînt în bună concordanță cu modelele teoretice prezentate în lucrarea [102].

Utilizînd pentru excitare pulsuri de mare putere ( $\sim 10^{10} \text{ W} \cdot \text{cm}^{-2}$ ), cu durată de  $\sim 10 \text{ ps}$ , provenite de la un laser cu  $\text{Nd}^{3+}$  ( $\lambda = 1,06 \mu\text{m}$ ) care lucrează în regim de „mode-locking” au fost obținute în mixturi ale vaporilor de Na și Ar atît armonica a șaptea cît și a noua [156] cu o eficiență a conversiei de  $\sim 10^{-16}$ , atît în urma proceselor directe cît și a celor în treptă.

De asemenea, armonicile de ordinele cinci și șapte (cu  $\lambda_5 = 76 \text{ nm}$  și  $\lambda_7 = 38 \text{ nm}$ ) au fost produse și în gaze rare [131] folosindu-se pentru excitare fascicule foarte intense ( $\sim 10^{15} \text{ W/cm}^2$ ) obținute prin focalizarea unei radiații provenite de la un laser cu Nd-YAG.

### 13. GENERAREA PARAMETRICĂ DE OSCILAȚII OPTICE

#### 13.1. Interacția parametrică a patru unde într-un mediu neliniar

Interacțiunile care caracterizează fenomenele optice neliniare pot fi considerate parametrice în cazul cînd unul dintre cîmpurile care interacționează în mediul neliniar, numit de pompaj, este mult mai puternic și determină variația parametrică a unor mărimi caracteristice ale mediului.

Interacția parametrică descrie un transfer de energie între cîmpurile oscilatorii participante, ca urmare a cuplării acestora printr-un element neliniar. Deci, elementul neliniar trebuie să aibă un caracter reactiv în raport



cu câmpurile aplicate care pot fi de natură electromagnetică, acustică sau mecanică.

Așa cum s-a arătat la § 8.1, în cazul interacției a patru unde de frecvențe  $\omega_1, \omega_2, \omega_3, \omega_4$ , într-un mediu neliniar caracterizat prin simetrie de inversie, termenul care conține polarizarea neliniară cu frecvența  $\omega_4 = \omega_1 + \omega_2 + \omega_3$ , joacă rolul unei surse în ecuațiile câmpului electromagnetic, generînd o radiație cu frecvența  $\omega_4$ , a cărei intensitate este proporțională cu pătratul susceptibilității neliniare de ordinul trei  $|\chi_{ijk}^{(3)}(-\omega_4; \omega_1, \omega_2, \omega_3)|^2$ .

Dacă este îndeplinită condiția  $\omega_3 = \omega_1$ , conform relațiilor (8.2) și (8.4) se obține o polarizare a cărei frecvență este  $\omega_4 = 2\omega_1 + \omega_2$ , iar intensitatea radiației corespunzătoare acestei frecvențe este proporțională cu  $|\chi^{(3)}(-2\omega_1 - \omega_2; \omega_2, \omega_1)|^2$ . În cazul rezonanței, obținută cînd  $2\omega$  corespunde diferenței energetice dintre nivelul fundamental și un nivel excitat de aceeași paritate, eficiențele de conversie cresc foarte mult. Astfel, excitîndu-se un mediu neliniar format din vapori de Na cu radiații avînd  $\lambda_1 = 694,3$  nm și  $\lambda_2 = 10,6$   $\mu$ m (cea din urmă provenind de la un laser cu CO<sub>2</sub>, în regim continuu) s-au obținut radiații în domeniul U.V. al spectrului avînd  $\lambda = 332,1 - 330,5$  nm, cu o eficiență de  $\simeq 16,2\%$  [102]. Prin absorbția a doi fotoni cu  $\lambda_1$ , se produce o populare efectivă a nivelului  $4d$ , iar în urma iradierii cu radiația  $\lambda_2$  atomii de Na sînt excitați pe nivelul  $5p$ , de unde revin pe nivelul fundamental în urma fluorescenței (fig. 8.1, d).

Dacă în relațiile (8.2) și (8.4)  $\omega_2$  se înlocuiește cu  $-\omega_2$ , atunci se obține o radiație a cărei frecvență este  $2\omega_1 - \omega_2$ , pentru care sînt posibile rezonanțe intermediare obținute atît prin absorbția a doi fotoni  $2\omega_1$ , cît și a radiației cu  $\omega_1 - \omega_2$  (fig. 18.1, f).

### 13.2. Descrierea fenomenelor de mixare neliniară și de propagare a undelor în medii neliniare

Calculul susceptibilităților și polarizabilităților neliniare de diferite ordine, care împreună cu ecuațiile câmpului electromagnetic stau la baza teoriei proceselor de mixare neliniară, poate fi făcut utilizînd teoria perturbațiilor de ordinul doi dependentă de timp [110] (anexa 3). Această teorie nu mai poate fi aplicată în cazul studiului proceselor de generare parametrică care au loc la rezonanță, cînd eficiențele de conversie cresc foarte mult.

Studiul proceselor neliniare care au loc la rezonanță, precum și propagarea radiațiilor generate în medii neliniare, poate fi făcut cu ajutorul modelului vectorial în aproximația adiabatică [122].

Pe baza acestui model, componentele vectorului unitate  $\mathbf{r}$  care execută o mișcare de precesie în jurul vectorului viteză unghiulară  $\gamma_\omega$

$$\frac{\partial \mathbf{r}}{\partial t} = \gamma_\omega \times \mathbf{r} \quad (13.1)$$

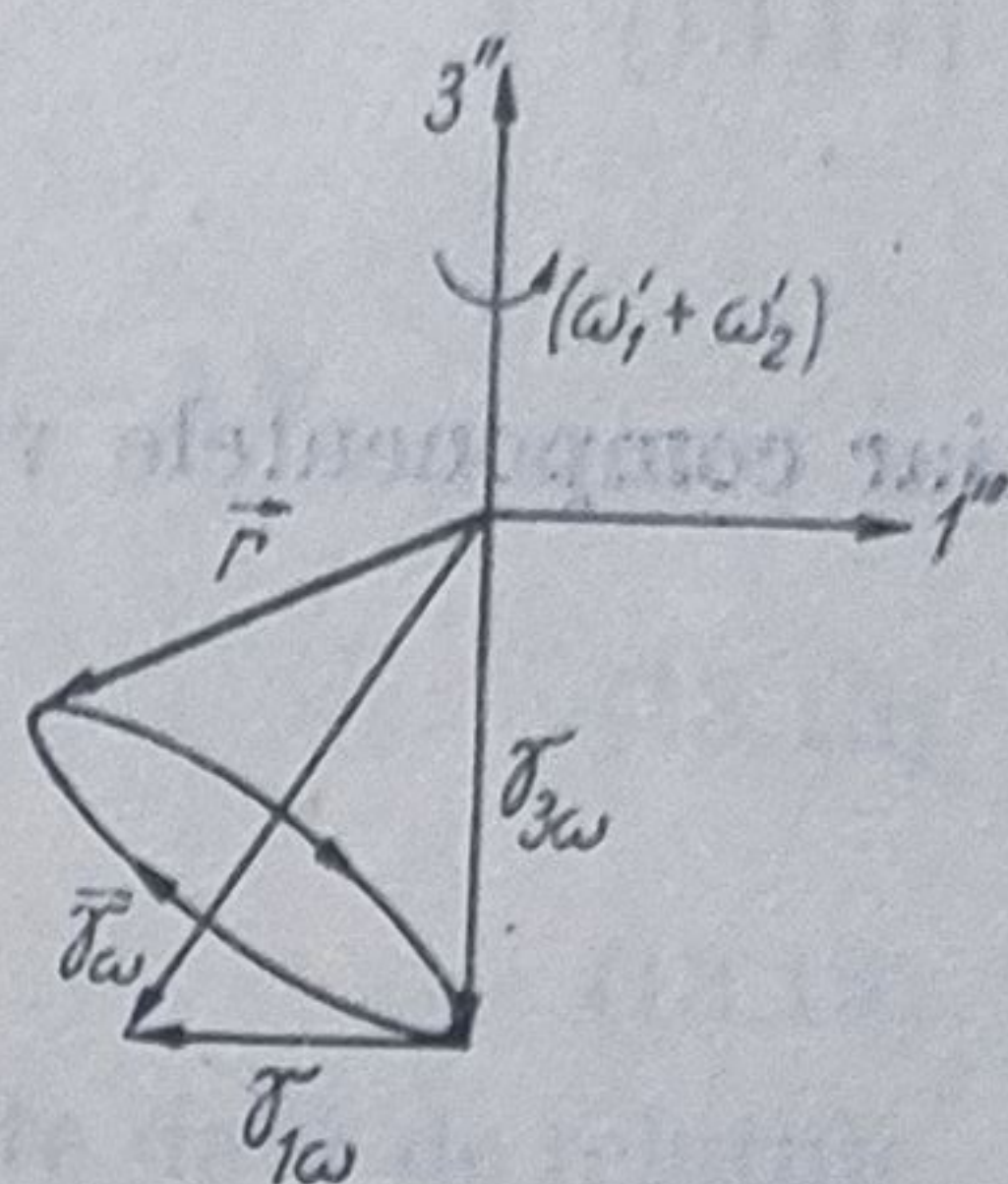


Fig. 13.1



conform fig. 13.1 pot fi exprimate cu ajutorul elementelor matricei densitate astfel

$$r_1 = \rho''_{12} + \rho''_{21} \quad (13.2)$$

$$r_2 = i(\rho''_{12} - \rho''_{21}) \quad (13.3)$$

$$r_3 = \rho''_{11} - \rho''_{22} \quad (13.4)$$

iar componentele vectorului  $\gamma$  sînt de forma

$$\gamma_{1\omega} = \frac{1}{\hbar} (H''_{E_{12}} + H''_{E_{21}}) \quad (13.5)$$

$$\gamma_{2\omega} = \frac{i}{\hbar} (H''_{E_{12}} - H''_{E_{21}}) \quad (13.6)$$

$$\gamma_{3\omega} = \frac{1}{\hbar} (H''_{E_{11}} - H''_{E_{22}}). \quad (13.7)$$

În cazul tranzițiilor care implică doi fotoni cu frecvențe diferite  $\omega_1$  și  $\omega_2$  ale cîmpurilor de pompaj

$$E = E_1 \cos(\omega_1 t + \Phi_1 - k_1 z) + E_2 \cos(\omega_2 t + \Phi_2 - k_2 z) \quad (13.8)$$

care au loc între nivelele  $|1\rangle$  și  $|2\rangle$  (fig. 13.2), relațiile (13.5) — (13.7) devin

$$\gamma_{1\omega} = -\kappa E_1 E_2 \quad (13.9)$$

$$\gamma_{2\omega} = 0 \quad (13.10)$$

$$\gamma_{3\omega} = \Omega_{12} - (\omega'_1 + \omega'_2) + \frac{1}{\hbar} (\Delta E_1 - \Delta E_2) \quad (13.11)$$

unde

$$\kappa = \frac{1}{2\hbar^2} \left| \sum_n d_{1n} \cdot d_{n2} \left( -\frac{1}{\Omega_{n2} - \omega_1} + \frac{1}{\Omega_{n2} - \omega_2} \right) \right|. \quad (13.12)$$

În relațiile de mai sus,  $|\gamma_{1\omega}|$  reprezintă frecvența de precesie Rabi corespunzătoare celor doi fotoni iar  $\gamma_{3\omega}$  corespunde dezacordului celor doi fotoni la rezonanță, în care este inclus și efectul Stark.

Expresiile pentru hamiltonianul sistemului  $H''_E$  și operatorul densitate  $\rho''$  se obțin cu ajutorul a două transformări unitare [122] în urma cărora se elimină timpul din expresia hamiltonianului sistemului, considerat ca avînd trei nivele energetice

$$H = H_0 - dE. \quad (13.13)$$



Cu aceste transformări expresia hamiltonianului devine

$$H'' = \begin{bmatrix} \hbar(\Omega_1 - \omega'_1) + \Delta E_1 & \frac{d_{1n}d_{n2}E_1E_2}{4\hbar\Delta\omega} & 0 \\ \frac{d_{2n}d_{n1}E_1E_2}{4\hbar\Delta\omega} & \hbar(\Omega_2 + \omega'_2) + \Delta E_2 & 0 \\ 0 & 0 & \hbar\Omega_{n2} - \Delta E_1 - \Delta E_2 \end{bmatrix} \quad (13.14)$$

unde

$$\frac{1}{\Delta\omega} = \frac{1}{2} \left( \frac{1}{\omega'_1 - \Omega_{2n}} + \frac{1}{\Omega_{1n} - \omega'_2} \right) \quad (13.15)$$

$$\Omega_{ij} = \Omega_i - \Omega_j. \quad (13.16)$$

Deplasarea frecvențelor datorită efectului Stark este dată de relațiile

$$\Delta E_1 = |d_{1n}E_1|^2 / 4\hbar(\Omega_{1n} - \omega_1) \quad (13.17)$$

$$\Delta E_2 = |d_{2n}E_2|^2 / 4\hbar(\omega_{2n} - \Omega_{n2}) \quad (13.18)$$

iar

$$\omega'_1 - \omega_1 = \frac{\partial \Phi_1}{\partial t} \quad (13.19)$$

$$\omega'_2 - \omega_2 = \frac{\partial \Phi_2}{\partial t} \quad (13.20)$$

corespund automodulării fazelor radiațiilor de pompaj. În cazul aproximației adiabatică, aplicată tranzițiilor care implică doi fotoni, vectorul unitate  $\mathbf{r}$  este de-a lungul vectorului  $\gamma_\omega$  (fig. 13.3), iar susceptibilitatea neliniară astfel obținută descrie interacția cvasirezonanță a dielectricului cu radiația de pompaj. Ținând seama de expresiile componentelor vectorilor unitate

$$r_1 = \mp \sin \theta = \mp \frac{\gamma_{1\omega}}{\gamma_\omega} \quad (13.21)$$

$$r_2 = -\frac{1}{\gamma_{3\omega}} \frac{\partial r_1}{\partial t} \quad (13.21')$$

$$r_3 = \mp \cos \theta = \mp \frac{\gamma_{3\omega}}{\gamma_\omega} \quad (13.22)$$

$$\text{cu } \gamma_\omega = (\gamma_{1\omega}^2 + \gamma_{3\omega}^2)^{1/2}, \quad (13.23)$$

și de reprezentarea matricei densitate

$$\rho''(t) = \frac{1}{2} \begin{bmatrix} 1 + r_3 & r_1 - ir_2 \\ r_1 + ir_2 & 1 - r_3 \end{bmatrix} \quad (13.24)$$

cu ajutorul relațiilor (13.2)–(13.4), componentele polarizării neliniare se obțin sub forma

$$P_1(t) = \frac{1}{2} [\chi_1(\omega_1)(1 \mp \cos \theta) + \chi_2(\omega_1)(1 \pm \cos \theta)] E_1 \cos(\omega_1 t + \Phi_1 - k_1 z) + \\ + \frac{1}{2} [\chi_1(\omega_2)(1 \mp \cos \theta) + \chi_2(\omega_2)(1 \pm \cos \theta)] E_2 \cos(\omega_2 t + \Phi_2 - k_2 z). \quad (13.25)$$

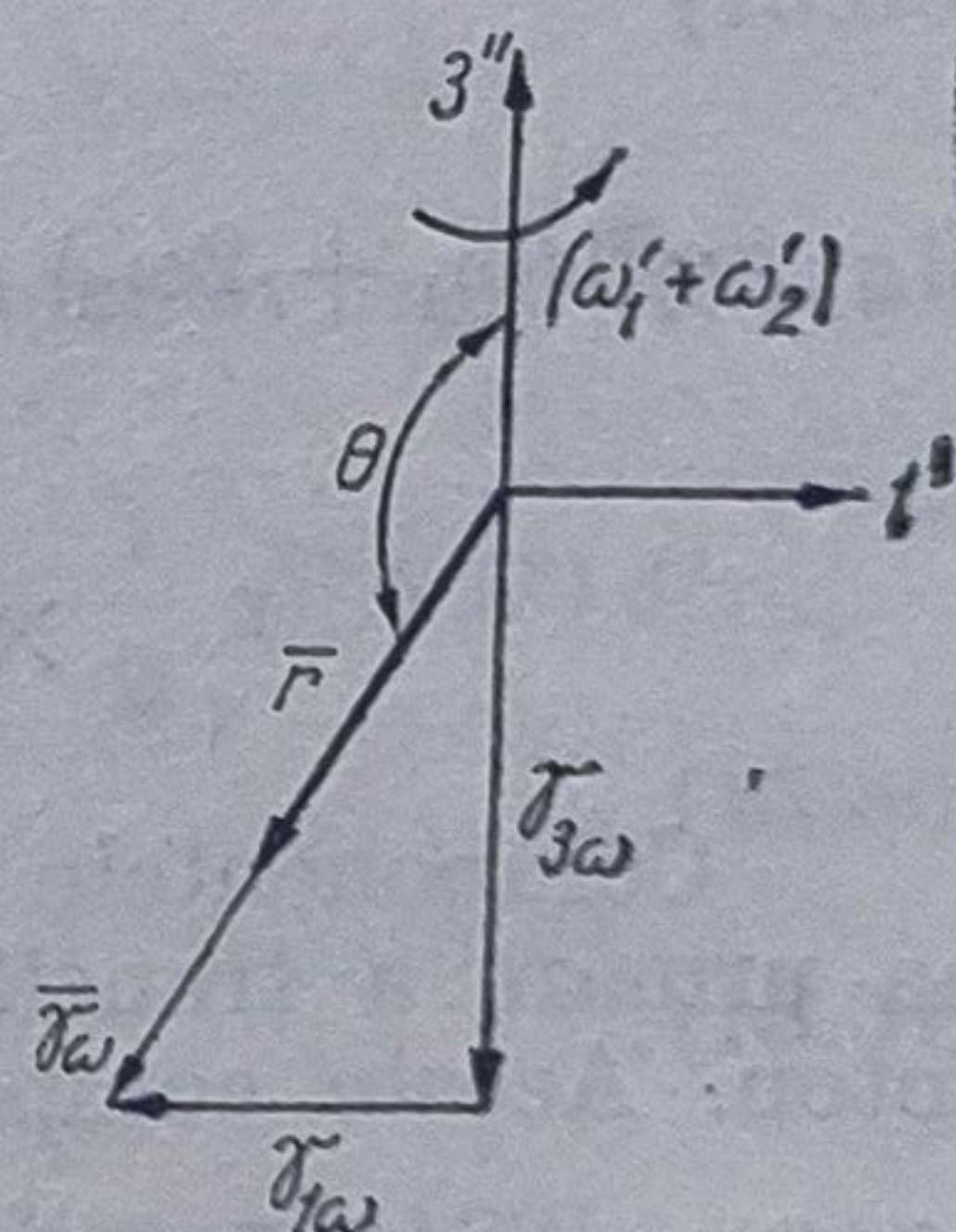


Fig. 13.3



$$P_2(t) = \frac{1}{4} \operatorname{Re} \chi^{(3)} [E_1 e^{-i(\omega_1 t + \Phi_1 - k_1 z)} + E_2 e^{-i(\omega_2 t + \Phi_2 - k_2 z)}] \times \\ \times \left( 1 - \frac{i}{\gamma_{3\omega}} \frac{\partial}{\partial t} \right) E_1 E_2 \left| \frac{\delta}{\gamma_p} \right| \quad (13.26)$$

$$P_3(t) = \frac{1}{4} \operatorname{Re} \{ \chi^{(3)} (2\omega_1 + \omega_2) E_1 e^{-i[2(\omega_1 t + \Phi_1 - k_1 z) + (\omega_2 t + \Phi_2 - k_2 z)]} + \\ + \chi^{(3)} (\omega_1 + 2\omega_2) E_2 e^{-i[(2\omega_1 t + \Phi_1 - k_1 z) + 2(\omega_2 t + \Phi_2 - k_2 z)]} \} \times \\ \times \left( 1 + \frac{i}{\gamma_{3\omega}} \frac{\partial}{\partial t} \right) E_1 E_2 \left| \frac{\delta}{\gamma_p} \right|. \quad (13.27)$$

În relațiile (13.25)–(13.27) s-au făcut următoarele notații

$$\delta = \Omega_{12} - (\omega_1 + \omega_2) \quad (13.28)$$

$$\chi^{(3)} = \frac{1}{\hbar^3} \sum_{m,n} \frac{d_{2n} d_{n1} d_{1m} d_{m2}}{\delta} \left( \frac{1}{\Omega_{m2} - \omega_1} + \frac{1}{\Omega_{m2} - \omega_2} \right) \times \\ \times \left( \frac{1}{\Omega_{n2} - \omega_1} + \frac{1}{\Omega_{n2} - \omega_2} \right) \quad (13.29)$$

$$\chi^{(3)} (2\omega_1 + \omega_2) = \frac{1}{\hbar^3} \sum_{m,n} \frac{d_{2n} d_{n1} d_{1m} d_{m2}}{\delta} \left( \frac{1}{\Omega_{m2} - \omega_1} + \frac{1}{\Omega_{m2} - \omega_2} \right) \times \\ \times \left( \frac{1}{\Omega_{n2} + \omega_1} + \frac{1}{\Omega_{n2} - (2\omega_1 + \omega_2)} \right) \quad (13.30)$$

$$\chi^{(3)} (\omega_1 + 2\omega_2) = \frac{1}{\hbar^3} \sum_{m,n} \frac{d_{2n} d_{n1} d_{1m} d_{m2}}{\delta} \left( \frac{1}{\Omega_{m2} - \omega_1} + \frac{1}{\Omega_{m2} - \omega_2} \right) \times \\ \times \left( \frac{1}{\Omega_{n2} + \omega_2} + \frac{1}{\Omega_{n2} - (\omega_1 + 2\omega_2)} \right). \quad (13.31)$$

Componentele polarizării  $P_1$  dau naștere fenomenului de dispersie ca urmare a tranzițiilor  $|1\rangle \rightarrow |n\rangle$  și  $|2\rangle \rightarrow |n\rangle$  care implică un singur foton. Aceste componente sînt proporționale cu populațiile stărilor  $|1\rangle$  și  $|2\rangle$  care sînt date de  $\frac{1}{2} (1 \mp \cos \theta)$  respectiv  $\frac{1}{2} (1 \pm \cos \theta)$ . Componentele lui  $P_2$  oscilează cu frecvența cîmpurilor de pompaj și pot fi interpretate ca fiind rezultatul mixării neliniare ale acestor cîmpuri în procesul de generare a radiațiilor cu frecvențele  $\omega_1 + \omega_2 - \omega_1$  și  $\omega_1 + \omega_2 - \omega_2$ . De asemenea, ele joacă un rol foarte important în procesul de propagare, determinînd fenomenele de autofocalizare sau autodefocalizare și automodulare care limitează procesele de mixare parametrică și generează radiații cu frecvențele  $\omega_1 + \omega_2 + \omega_1$  și  $\omega_1 + \omega_2 + \omega_2$  ce sînt descrise de componentele polarizării  $P_3$ .

Expresiile obținute pentru susceptibilitățile neliniare (13.29)–(13.31), pe baza modelului vectorial, în aproximația adiabatică, sînt funcții de intensitatea radiației incidente și diferă de expresiile susceptibilităților care



nu depind de intensitate, care au fost obținute pe baza teoriei perturbațiilor [110, 112] numai printr-un factor de putere  $(\delta/\gamma_p)$  unde

$$\gamma_p = \left\{ \left[ \Omega_{12} - (\omega'_1 + \omega'_2) + \frac{(\Delta E_1 - \Delta E_2)}{h} \right]^2 + (\chi E_1 E_2)^2 \right\}^{1/2}. \quad (13.32)$$

Se observă că factorul de putere devine egal cu unitatea când  $E_1$  și  $E_2 \rightarrow 0$  în timp ce pentru valori mari ale cîmpurilor dezacordul frecvențelor  $\delta$  poate fi neglijat în comparație cu cel determinat de efectul Stark. Pentru valori intermediare ale intensității cîmpurilor, dezacordul frecvențelor  $\delta$  devine comparabil cu cel datorat efectului Stark, iar dependența de frecvență, este mai complicată, fiind determinată de diferența  $(\Delta E_1 - \Delta E_2)$  pentru fiecare sistem atomic în parte.

Expresiile obținute pentru polarizarea neliniară pot fi înlocuite în ecuațiile cîmpului electromagnetic în vederea evaluării amplitudinilor și fazelor cîmpurilor care interacționează într-un anumit mediu neliniar (cap. 12). De asemenea, mai pot fi investigate deformarea pulsului rezultat în urma unei tranziții care implică doi fotoni, precum și automodularea fazei. În aproximația unei variații lente a fazei  $\Phi$  și a amplitudinii  $E$  a cîmpului electric incident, considerat circular polarizat

$$\mathcal{E} = E(\mathbf{i} \cos(\omega t + \varphi - kz) + \mathbf{j} \sin(\omega t + \varphi - kz)) \quad (13.33)$$

propagarea pulsului este descrisă de așa numitele ecuații de undă reduse

$$\frac{\partial E}{\partial z} + \frac{1}{c} \frac{\partial E}{\partial t} = - \frac{2\pi\omega}{c} v \quad (13.34)$$

$$\frac{\partial \Phi}{\partial z} + \frac{1}{c} \frac{\partial \Phi}{\partial t} = - \frac{2\pi\omega}{c} \frac{u}{E} \quad (13.35)$$

unde  $u$  și  $v$  reprezintă componentele în fază, respectiv antifază ale polarizării

$$u = \frac{1}{2} (\chi_1 + \chi_2) NE + \frac{1}{2} (\chi_2 - \chi_1) NE (\pm \gamma_{3\omega}/\gamma_\omega) + \frac{1}{2} \chi^{(3)} NE^2 |\delta/\gamma_p| \quad (13.36)$$

$$v = \frac{1}{2} \chi^{(3)} \frac{N |\delta| E}{\gamma_{3\omega}} \frac{\partial}{\partial t} \left( \frac{E^2}{\gamma_\omega} \right), \quad (13.37)$$

$N$  densitatea de atomi iar  $\chi_1$  și  $\chi_2$  sînt coeficienți neliniari [122].

Ținînd seama de expresiile lui  $u$  și  $v$ , precum și de relațiile (13.19) și (13.20) ecuațiile (13.34)–(13.35) devin

$$\frac{\partial E}{\partial z} + \frac{1}{c} \frac{\partial E}{\partial t} = - \frac{2\pi\omega N \chi^{(3)} |\delta|}{c \gamma_p^3} \left[ (\Omega_{12} - 2\omega') E^2 \frac{\partial E}{\partial t} + E^3 \frac{\partial \omega'}{\partial t} \right] \quad (13.38)$$

$$\begin{aligned} \frac{\partial \omega'}{\partial z} + \frac{1}{c} \frac{\partial \omega'}{\partial t} = & - \frac{2\pi\omega N \chi^{(3)} |\delta|}{c \gamma_p^3} \left[ (\Omega_{12} - 2\omega') E^2 \frac{\partial E}{\partial t} + E^3 \frac{\partial \omega'}{\partial t} \right] \times \\ & \times \frac{\Omega_{12} - 2\omega'}{E}. \end{aligned} \quad (13.39)$$



Ecuațiile (13.38)–(13.39) au fost integrate numeric pentru un mediu neliniar avînd lungimea de 60 cm, format din vapori de Rb aflați la 180°C [122]. Tranziția rezonantă care implică doi fotoni a fost considerată între nivelul fundamental  $5S_{1/2}$  și cel excitat  $5D_{5/2}$  admitînd numai nivelul  $5P_{3/2}$  ca nivel intermediar (fig. 13.4).

În figura 13.5 sînt prezentate: deformarea pulsului obținut în urma tranziției care implică doi fotoni, la trecerea prin mediu neliniar (fig. 13.5, a), automodularea faz  $\frac{\partial\Phi}{\partial t}$  (fig. 13.5, b), precum și compensarea de frecvență  $\gamma_{3\omega}$  (fig. 13.5, c).

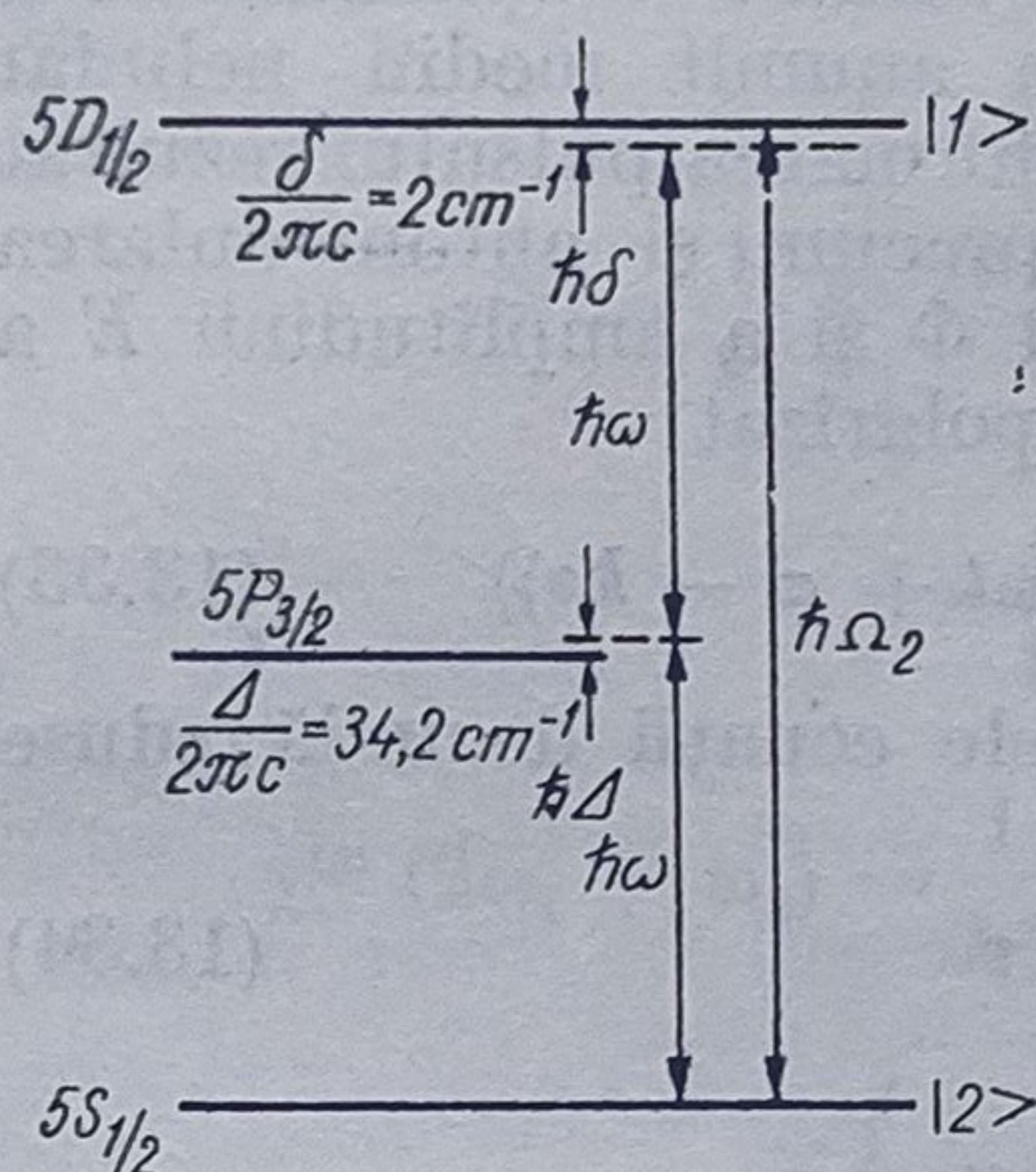


Fig. 13.4

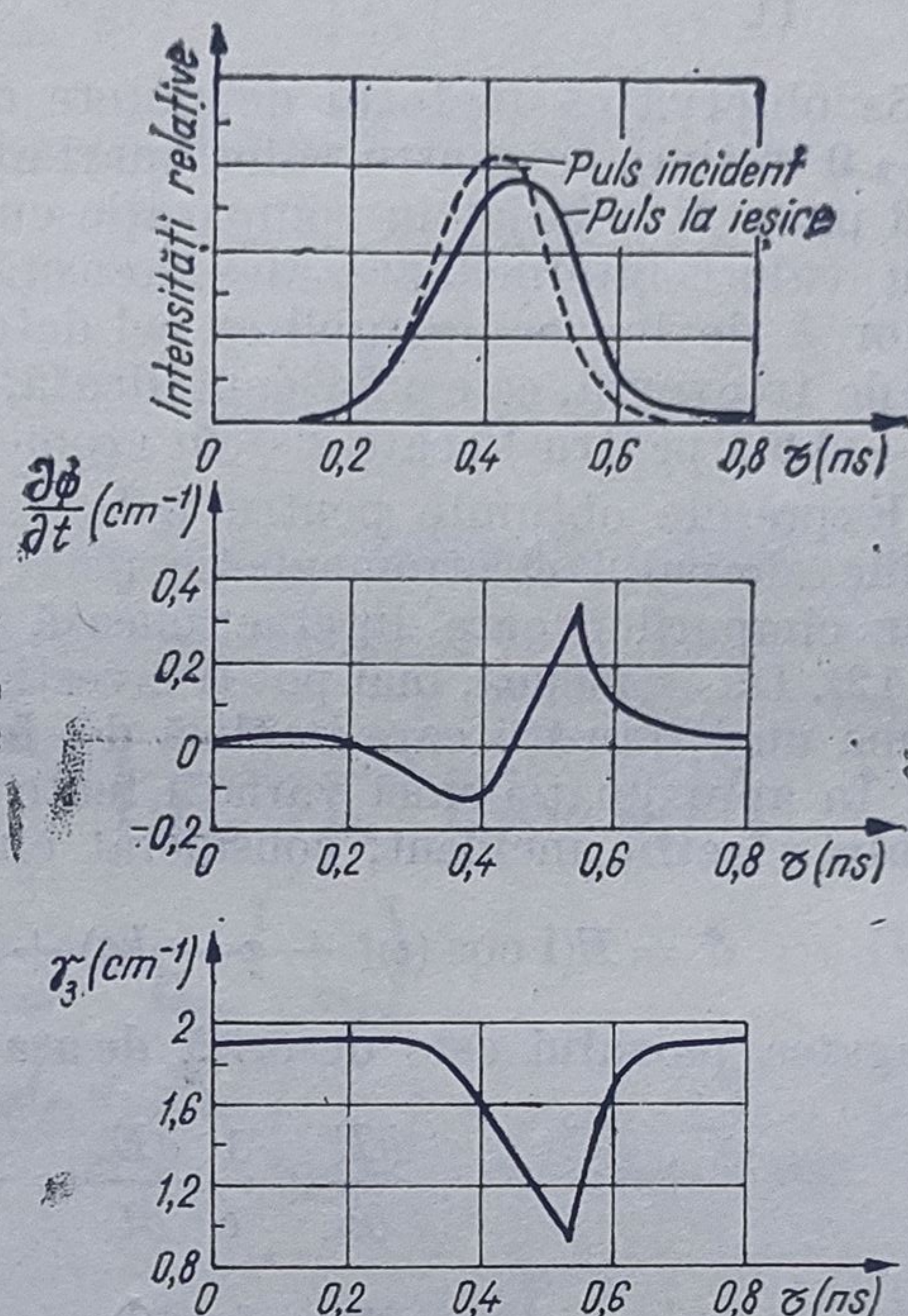


Fig. 13.5

la ieșirea din celula cu Rb (fig. 13.5, c). Integrarea numerică a ecuațiilor reduse ale undelor a fost făcută pentru o putere a radiației de pompaj de 8 MW/cm<sup>2</sup> cu o lărgime a pulsului de 200 ps și o densitate  $N = 2 \cdot 10^{14}$  atomi/cm<sup>3</sup>, rezultatele fiind în bună concordanță cu datele experimentale [141, 122].

Folosindu-se laseri acordabili, eficiențele de conversie la rezonanță pot fi mult mărite și în plus se pot genera radiații în U.V. îndepărtat într-un

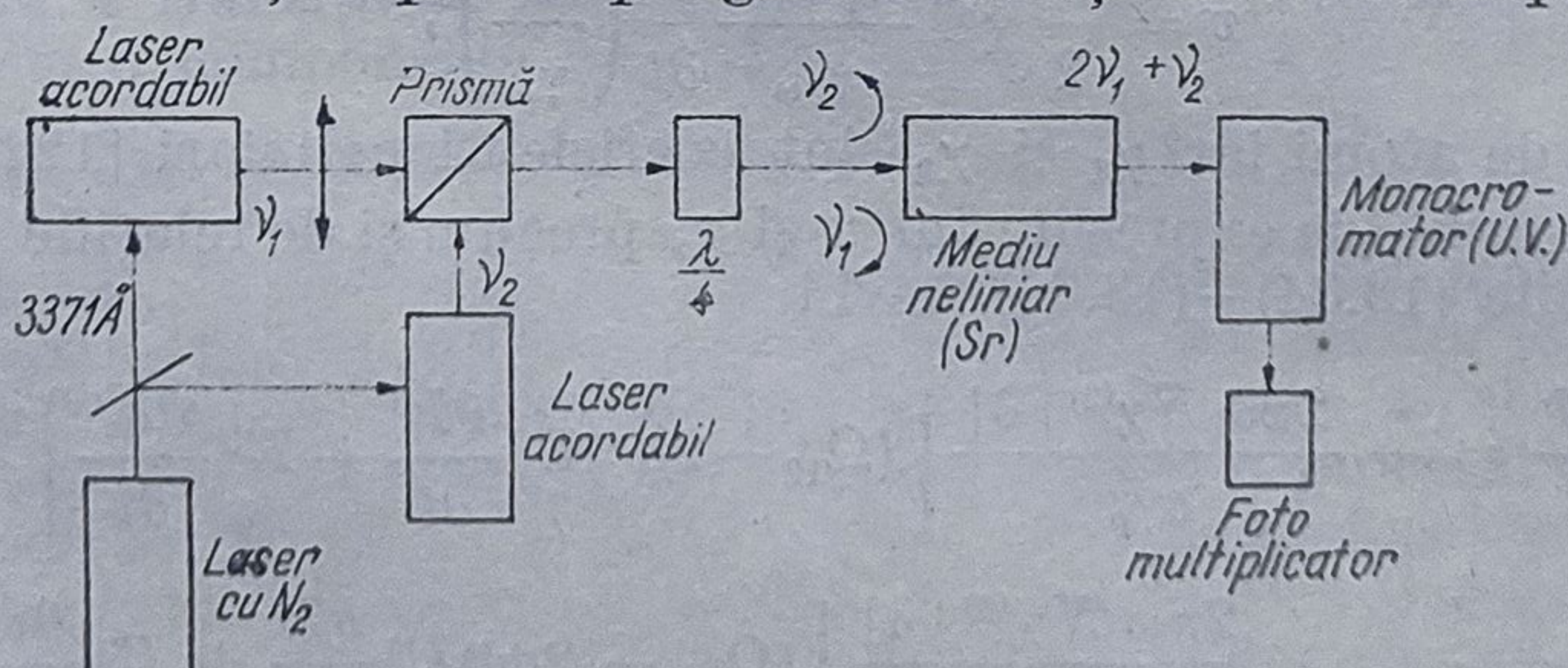


Fig. 13.6

domeniu spectral destul de larg pe baza mixării neliniare a trei unde. Astfel, folosindu-se ca mediu neliniar vapori de Sr, aflați într-o celulă de nichel la presiunea de 100–700 torr și temperatura de 800–900°C, și montajul experimental prezentat în fig. 13.6, au fost obținute radiații coerente



cu banda spectrală foarte îngustă și acordabile în mod continuu în domeniul 1778—1817 Å și 1833—1957 Å [129].

Frecvența fixată  $\nu_1$  este jumătate din frecvența de tranziție pentru toate stările excitate ( $5p^2$ )  $^1S_0$ ,  $^1D_2$ ,  $^3P_2$  și  $^3P_0$ , iar  $\nu_2$  este frecvența laserului acordabil (fig. 13.7). Eficiența de conversie cea mai ridicată a fost obținută în cazul excitării nivelului  $5d^1D_2$  în urma absorbției a doi fotoni avînd  $\lambda = 5757 \text{ \AA}$ , prin intermediul nivelului  $5p^2$ .

### 13.3. Rezultate experimentale obținute în procesele de generare parametrică și de armonici optice în medii gazoase

În tabelul 13.1 sînt prezentate cîteva din cele mai importante rezultate experimentale privind ilustrarea principiilor generale ale generării parametrice și de armonici optice, în medii gazoase. Astfel sînt specificate : mediul neliniar în care are loc interacția, care conține un singur component sau sînt folosite și gaze inerte (tampon), procesul neliniar, caracteristicile radiației incidente și respectiv generate (lungimea de undă, puterea, durata pulsului, modul de obținere și eficiența conversiei) și bibliografia.

### 13.4. Procese care limitează eficiența conversiei

### 13.4.1. Absorbția radiației de pompaj

Fenomenele de generare parametrică și de armonici optice sînt limitate la puteri mari ale radiației de pompaj de anumite procese cum ar fi de exemplu: absorbția, saturația, ionizarea multifotonică, efectul Stark, neîndeplinirea condiției de adaptare a indicilor, efectul Kerr și împrăștierea Raman, care micșorează eficiențele de conversie. Funcție de parametrii configurației experimentele utilizate la studiul unui anumit proces nelinear se manifestă competiția între procesele mai sus amintite.

Secțiunea eficace de absorbție a unui singur foton  $\sigma^{(1)}(\omega)$  este dată de relația [112]

$$\sigma^{(1)}(\omega) = \frac{2e^2 \omega^2}{\hbar} \sqrt{\frac{\mu_0}{\epsilon_0}} |\langle f | \mathbf{d} | g \rangle|^2 \frac{\Omega_{fg} \Delta \omega}{[\Omega_{fg} - \omega^2]^2 + (\omega \Delta \omega)^2} \quad (13.40)$$

unde  $\Delta\omega$  este semilărgimea Lorentz definită la jumătate din intensitatea maximă. Relația 13.40 mai poate fi exprimată cu ajutorul tăriei oscilatorului  $f_{fg}$  corespunzătoare tranziției  $g \rightarrow f$  sub forma

$$\sigma^{(1)}(\omega) \simeq 2 r_0 f_{f0} \frac{v^2 \Delta v}{[v_{f0}^2 - v^2]^2} \quad (13.41)$$

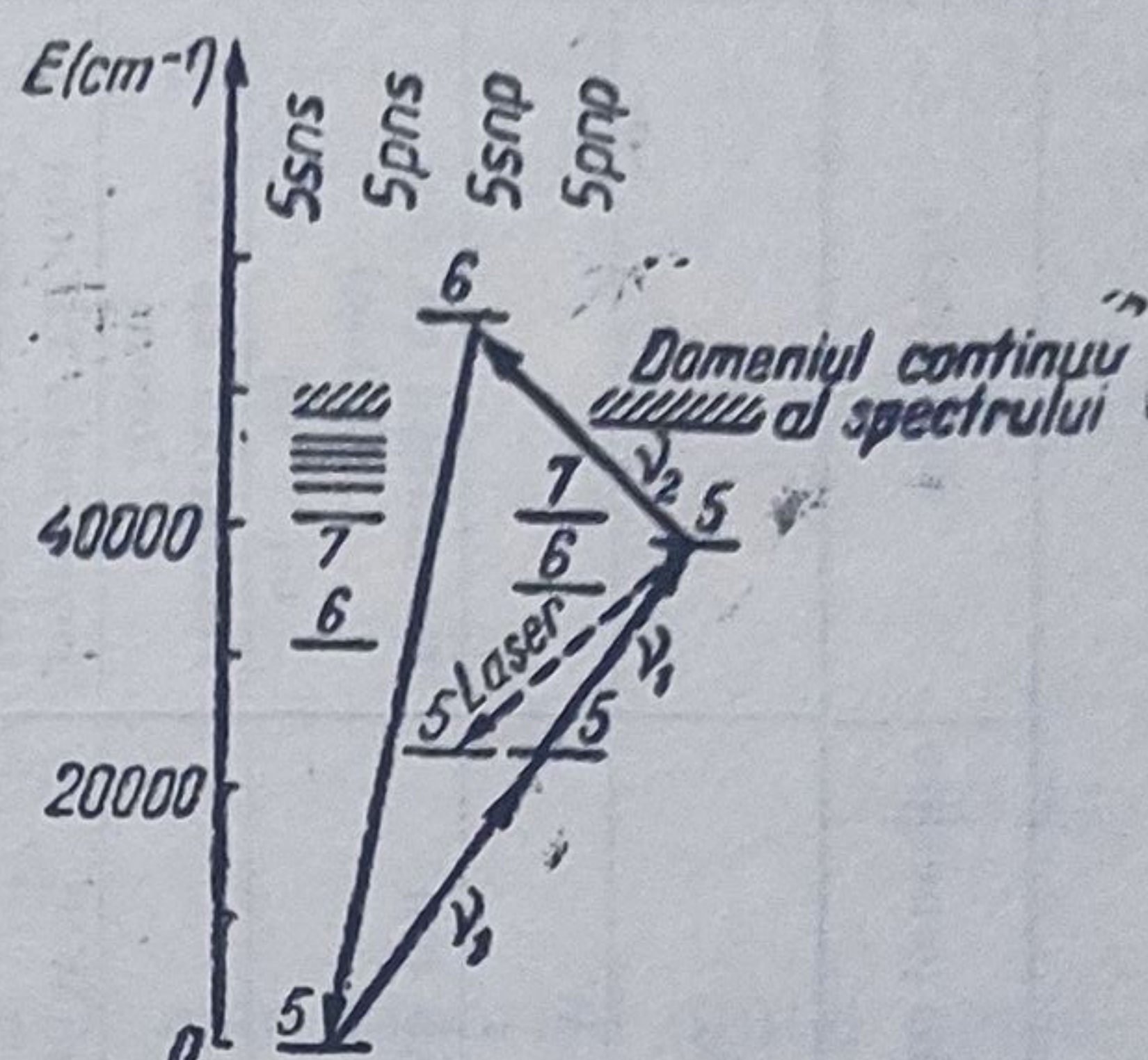


Fig. 13.7



Mediul neliniar	Procesul neliniar	Caracteristicile radiației incidente	Caracteristicile radiației generate	Observații	Bibliografie
Na + Xe	$\omega_1 + \omega_1 + \omega_1$	$\lambda_1 = 1,06 \mu\text{m}$ ; 300 MW, 30 ps „mode-locking” NdYAG	$\lambda_3 = 354,7 \text{ nm}$ ; 2,7 %		[172]
Na + Xe	$\omega_1 + \omega_1 + \omega_1$	$\lambda_1 = 1,06 \mu\text{m}$ ; 6 MW Q — switched NdYAG	$\lambda_3 = 354,7 \text{ nm}$ ; 230 W		[102]
Na	$\omega_1 + \omega_1 + \omega_1$	$\lambda_1 = 685,6 \text{ nm}$ ; 3 kW $\lambda_2 = 10,6 \mu\text{m}$ — 9,26 $\mu\text{m}$ 5 mW; CO <sub>2</sub> continuu, acordabil în trepte	$\lambda = 332,1 \text{ nm}$ — 330,5 nm	rezonanță cu doi fotoni $\omega_1 + \omega_1$	[140]
Na + Xe	$\omega_1 + \omega_1 + \omega_1$	$\lambda_1 = 600 \text{ nm}$ , 100 MW, 12 ps, „mode-locking” rodamină 6G	$\lambda_3 = 200 \text{ nm}$ , 8 %	rezonanță cu doi fotoni	[102]
Na	$\omega_1 + \omega_2 + \omega_3$	$\lambda_2 = 1,06 \mu\text{m}$ , Q — switched NdYAG; $\lambda_1 = 612 \text{ nm}$ } obținute de la un $\lambda_2 = 570 \text{ nm}$ } laser acordabil excitat de armonica a doua NdYAG 1 kW; 10 ns	$\lambda = 231 \text{ nm}$ , $\sim 20 \text{ mW}$	rezonanță cu doi fotoni și acordul indiciilor fără g·z tampon	[102] [102] [138]
Na + Xe	$\omega_1 + \omega_1 + \omega_1 +$ $\omega + \omega_1$	$\lambda_1 = 1,06 \mu\text{m}$ 250 MW 10 ps „mode-locking” Nd	$\lambda_5 = 212 \text{ nm}$ ; 150 W		[102]
Rb + Xe	$\omega_1 + \omega_1 + 3\omega_1$	$\lambda_1 = 1,06 \mu\text{m}$	$\lambda_5 = 212 \text{ nm}$ ; 15 W		[130]
Rb + Xe	$\omega_1 + \omega_1 + \omega_1$	$\lambda_1 = 1,06 \mu\text{m}$ ; 100 kW Q — switched; Nd:YAG	$\lambda_3 = 354,7 \text{ nm}$ 0,1 mW		[132]
Xe + Ar	$\omega_1 + \omega_1 + \omega_1$	$\lambda_1 = 1,06 \mu\text{m}$ 200 MW „mode-locking” NdYAG 7 ps — 300 ps	$\lambda_3 = 354,7 \text{ nm}$ ; 2,8 %		
Ar	$\omega_1 + \omega_1 + \omega_1$	$\lambda_1 = 354,7 \text{ nm}$	$\lambda_3 = 118,2 \text{ nm}$ 0,1 %		[187], [198]
He	$\omega_1 + \omega_1 + \omega_1 +$ $\omega_1 + \omega_1$	$\lambda_1 = 170,9 \text{ nm}$ , 1 MW laser cu Xe, 10 ns $\lambda_1 = 266,1 \text{ nm}$ 330 MW, 30 ps armonica a patra a unui laser NdYAG	$\lambda_3 = 57 \text{ nm}$ $\lambda_5 = 53,2 \text{ nm}$ 0,001 %	rezonanță cu 2 fotoni	[102] [102]
Ar	$\omega_1 + \omega_1 + \omega_1 + \omega_1 +$ $\omega_1 + \omega_1 + \omega_1$ $\omega_1 + \omega_1 + \omega_1$	$\lambda_1 = 266,1 \text{ nm}$	$\lambda_7 = 38 \text{ nm}$ ; $10^{-5} \%$		
Ar	$\omega_1 + \omega_1 + \omega_1 +$ $\omega_1 + \omega_1$	$\lambda_1 = 308 \text{ nm}$ , laser cu XeCl acordabil	$\lambda_3 = 102,7 \text{ nm}$ $\lambda_5 = 61,6 \text{ nm}$		[133]



Lărgimea liniei  $\Delta\nu$  este determinată de timpul de viață al nivelului excitat  $\tau_c$ , de presiune  $\Delta\nu_p$  și de efecte de autolărgire  $\Delta\nu_a$  în condiții normale de temperatură și presiune și se poate calcula cu ajutorul relației

$$\Delta\nu = \Delta\nu_n + \Delta\nu_a \frac{N}{N_0} + \Delta\nu_p R \frac{N}{N_0}. \quad (13.42)$$

În relația (13.42)

$$\Delta\nu_n = \frac{1}{2\pi\tau_c} \quad (13.43)$$

reprezintă lărgimea naturală a liniei

$$\tau_c = 1,51 \left( \frac{g_f}{g_g} \right) \frac{\lambda_{fg}}{f_{fg}} \quad (13.44)$$

este timpul de viață al nivelului excitat, iar  $R$  este raportul dintre numărul atomilor gazului inert și cel al vaporilor metalici. Efectele de autolărgire sînt proporționale cu concentrația  $N_0$  de vapori metalici

$$\Delta\nu_a = \frac{3\sqrt{6}}{4\pi} \frac{r_e \lambda_{fg} f_{fg}}{g_f} N_0. \quad (13.45)$$

Valorile numerice pentru diferitele lărgimi ale liniilor vaporilor metalelor alcaline și secțiunile eficace de absorbție sînt prezentate în lucrarea [112].

Secțiunea eficace de absorbție a unui foton cu frecvența armonicii a treia  $\sigma^{(1)}(3\omega)$  nu depinde de concentrația vaporilor metalici și poate fi calculată luîndu-se în considerare absorbția în domeniul continuu al spectrului. Dacă frecvența armonicii a treia depășește limita de ionizare a atomilor metalelor alcaline, secțiunea eficace de absorbție corespunzătoare  $\sigma^{(1)}(3\omega)$  este foarte mică, iar armonica nu este absorbită în mediul neliniar.

Considerînd un profil lorentzian al liniilor spectrale, secțiunea eficace de absorbție a doi fotoni  $\sigma^{(2)}(\omega)$  poate fi calculată cu relația [112]

$$\sigma^{(2)}(\omega) = \frac{9,194 \cdot 10^{-34}}{\pi} \left| \sum_{\alpha_1} \frac{\langle f | \mathbf{d} | \alpha_1 \rangle \cdot \langle \alpha_1 | \mathbf{d} | g \rangle}{E_{\alpha_1 g} - E} \right|^2 \times \\ \times \frac{2\omega \Omega_{fg} \Delta\omega}{[\Omega_{fg}^2 - 4\omega^2]^2 + (2\omega \Delta\omega)^2} \frac{P}{A} \text{ (cm}^2\text{)} \quad (13.46)$$

unde  $\frac{P}{A}$  este densitatea de putere a radiației incidente. Dacă nu se lucrează la rezonanță, absorbția a doi fotoni poate fi neglijată.

Secțiunea eficace de absorbție a  $n$  fotoni  $\sigma^{(n)}$  poate fi calculată cu ajutorul probabilităților de tranziție  $w$  sub forma

$$\sigma^{(n)} = \frac{n \hbar \omega w}{P/A}, \quad (13.47)$$

Absorbția multifotonică joacă un rol important în fenomenul de ionizare, care de asemenea limitează eficiența conversiei, din cauza restricțiilor impuse densității puterii incidente,  $\sim 10^{10} - 10^{11}$  W/cm<sup>2</sup>.



De asemenea, reducerea populației stării fundamentale datorită ionizării prin absorbție multifotonică, produce autofocalizarea fasciculului incident, precum și neîndeplinirea condiției de adaptare a indicilor. Un număr mare de fotoelectroni și ioni poate să producă largiri și deplasări suplimentare ale nivelelor atomilor neutri, prin intermediul efectului Stark, iar în urma unui proces de ionizare în avalanșă aceștia pot forma o coloană de plasmă care este opacă.

### 13.4.2. Saturația

În primele experiențe de generare a armonicii a treia [102], [112], [130], puterea radiației incidente utilizată a fost de  $\sim 10^5$  W și întrucât nu era îndeplinită condiția de rezonanță, valoarea susceptibilității neliniare de ordinul trei era prea mică pentru a permite obținerea unor eficiențe de conversie ridicate. De asemenea, puterea armonicii a treia obținută experimental era în bună concordanță cu cea calculată teoretic. Mărindu-se puterea radiației incidente [102], s-a observat că puterea armonicii variază tot funcție de cubul puterii incidente până când aceasta devine de  $\sim 1,5 \cdot 10^4$  W când începe să se manifeste fenomenul de saturație (în mixtura Rb Xe). Cele mai mari eficiențe de conversie obținute până în prezent în cazul generării armonicii a treia, de la 1,064  $\mu$ m la 354,7 nm, sînt de 10% [172], eficiența conversiei fiind limitată în parte și de fenomenele de saturație.

Îmbunătățirea eficienței conversiei mai poate fi făcută și prin mărirea susceptibilității în urma absorbției rezonante a doi fotoni. Aceasta se poate realiza cu ajutorul laserilor acordabili care au puteri de ordinul kilowaților. Experimental, s-a observat că la puteri mari, eficiențele de conversie rămîn tot scăzute din cauza fenomenului de saturație.

O altă posibilitate de mărire a eficiențelor de conversie este legată de absorbția rezonantă a doi fotoni la puteri foarte mari ale radiației de pompaj.

Deși mecanismele care guvernează procesele de saturație sînt mai complicate, pentru explicarea acestui fenomen se poate considera că acesta este caracterizat de o intensitate de saturație  $I_s$ , definită ca acea intensitate care reduce diferența de populație în urma tranzițiilor de absorbție cu 50%. Această intensitate poate fi calculată cu ajutorul secțiunii eficace de absorbție  $\sigma$  și timpului de relaxare al nivelului superior  $T_1$ , sub forma [112]

$$I_s = \frac{h\omega}{2\sigma T_1} \quad (13.48)$$

unde

$$\sigma = \frac{\omega}{c} [\chi^{(1)}(-\omega; \omega)]. \quad (13.49)$$

Relația (13.48) este valabilă în cazul pulsurilor laser a căror durată este mai mică decît  $T_1$  și cu ajutorul ei se poate calcula fluxul de energie corespunzător saturației  $\frac{J_s}{A}$  (energie/arie)

$$\frac{J_s}{A} = I_s \cdot T_1 = \frac{h\omega}{2\sigma}. \quad (13.50)$$



Reducerea populației stării fundamentale micșorează valoarea susceptibilității neliniare de ordinul trei și deci și eficiența conversiei. În plus, variația populației determină neîndeplinirea condițiilor de adaptare a indicilor și focalizarea sau defocalizarea termică a fascicului incident. În lucrarea [112] sînt prezentate valorile densităților de energie corespunzătoare saturației în mixturi ale vaporilor metalelor alcaline, în cazul generării armonicii a treia de exemplu,  $1,064 \mu\text{m} \rightarrow 0,3547 \mu\text{m}$  și  $0,6943 \rightarrow 0,2314 \mu\text{m}$ , care produc efectele mai sus amintite.

### 13.4.3. Efectul Kerr pătratic

Pe baza modelului prezentat în lucrările [108, 190], dezacordul indicilor datorită efectului Kerr pătratic pentru fundamentală,  $\Delta k_1$  respectiv armonica a treia,  $\Delta k_3$ , se poate calcula în cazul absorbției cvasirezonante a doi fotoni într-un proces de tipul  $\omega_1 + \omega_2 \pm \omega_3$  pentru un sistem ale cărui nivele sînt prezentate în fig. 13.8, cu ajutorul relațiilor

$$\Delta k_1 L = \frac{-\omega_3 \eta^2}{2\hbar^3} \left( \sum_k \frac{d_{0k} d_{k2}}{\omega_{k0} - \omega} \right)^2 \cdot \frac{\omega_{20} - 2\omega}{(\omega_{20} - 2\omega)^2 + (\gamma/2)^2} \cdot NIL \quad (13.51)$$

$$\Delta k_3 L = \frac{-\omega_3 \eta^2}{4\hbar^3} \left( \sum_l \frac{d_{0l} d_{l2}}{\omega_{l0} - 3\omega} \right)^2 \cdot \frac{\omega_{20} - 2\omega}{(\omega_{20} - 2\omega)^2 + (\gamma/2)^2} \cdot NIL. \quad (13.52)$$

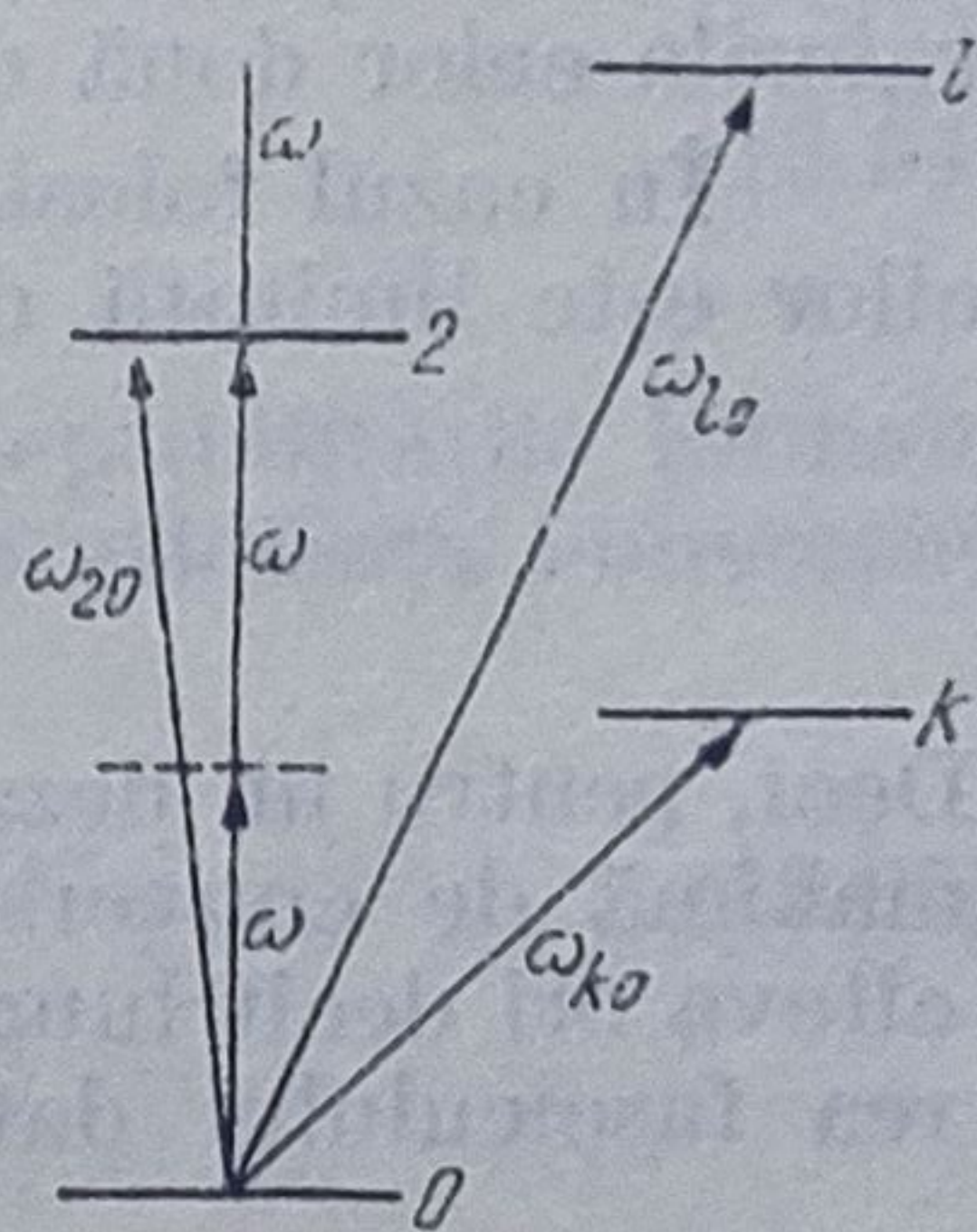


Fig. 13.8

În relațiile (13.51), (13.52)  $\eta$  reprezintă impedanța mediului,  $\gamma$  lărgimea liniei tranziției în care sînt implicați cei doi fotoni,  $I$  este intensitatea radiației incidente, iar  $\omega_3 = 3\omega$ . Eficiența conversiei

$$\epsilon = \frac{\omega_3^2 \eta^4}{16 \hbar^6} \left( \sum_k \frac{d_{0k} d_{k2}}{\omega_{k0} - \omega} \right)^2 \cdot \frac{1}{(\omega_{20} - 2\omega)^2 + (\gamma/2)^2} \times \\ \times \sum_l \left( \frac{d_{0l} d_{l2}}{\omega_{l0} - 3\omega} \right)^2 NIL \cdot \frac{\sin^2(\Delta k L/2)}{\left( \frac{\Delta k L}{2} \right)^2} \quad (13.53)$$

poate fi exprimată cu ajutorul dezacordurilor indicilor datorită efectului Kerr pentru fundamentală și armonica a treia, sub forma

$$\epsilon = \frac{|(\Delta k_1 L)(\Delta k_3 L)|}{2} \cdot \frac{\sin^2\left(\frac{\Delta k_1 L - \Delta k_3 L}{2}\right)}{\left(\frac{\Delta k_1 L - \Delta k_3 L}{2}\right)^2}. \quad (13.54)$$



Introducând parametrul

$$R = \frac{\left( \sum_l \frac{d_{0l} d_{l2}}{\omega_{l0} - \omega_3} \right)^2}{\left( \sum_k \frac{d_{0k} d_{k2}}{\omega_{k0} - \omega} \right)^2}. \quad (13.55)$$

ale cărui valori sînt cuprinse în intervalul  $(10^{-4} - 10^4)$ , eficiența maximă a conversiei este

$$\varepsilon_{max} = R \quad \text{pentru } \Delta k_1 L = \pi, \quad (13.56)$$

$$\varepsilon_{max} = \frac{4}{R} \quad \text{pentru } \Delta k_3 L = \pi. \quad (13.57)$$

Din analiza relațiilor (13.56), (13.57) se observă că atît valorile mari cît și cele mici ale parametrului  $R$  determină eficiențe scăzute de conversie. Dacă valorile celor două dezacorduri sînt egale eficiența conversiei este  $\varepsilon = 2$ .

În cazul folosirii fasciculelor gaussiene, valoarea dezacordului indicilor este limitată de cantitatea

$$\Delta k L < \frac{b}{2L}. \quad (13.58)$$

Deci, pentru un dezacord al indicilor egal cu  $\pi$ , care determină o eficiență maximă de conversie, parametrul confocal  $b$  trebuie să fie mai mare de cîteva ori decît lungimea  $L$  a mediului neliniar pentru a anula defocalizarea fasciculului datorită efectului Kerr.

#### 13.4.4. Limitarea eficienței conversiei datorită absorbției a doi fotoni și împrăstierii Raman

Din punct de vedere al absorbției a doi fotoni și împrăstierii Raman eficiența conversiei este caracterizată de probabilitatea de absorbție a doi fotoni  $w^{(2)}$ , coeficientul de atenuare corespunzător celor doi fotoni  $a^{(2)}L$  și cîștigul de putere pentru împrăstierea Raman  $g_R L$ . Expresiile lor, calculate pe baza modelului teoretic prezentat în lucrările [102, 190] sînt

$$w^{(2)} = \frac{(\eta^{(2)})^2 \gamma}{4 \hbar^4} \left( \sum_k \frac{d_{0k} d_{k2}}{\omega_{k0} - \omega} \right)^2 \cdot \frac{1}{(\omega_{20} - 2\omega)^2 + (\gamma/2)^2} \cdot I^2 \quad (13.59)$$

$$a^{(2)} L = \frac{\omega \eta^{(2)} \gamma}{2 \hbar^3} \left( \sum_k \frac{d_{0k} d_{k2}}{\omega_{k0} - \omega} \right)^2 \cdot \frac{1}{(\omega_{20} - 2\omega)^2 + (\gamma/2)^2} \quad (13.60)$$

$$g_R L = \frac{\omega \eta^{(2)}}{3 \hbar^3 \gamma} \cdot \left( \sum_l \frac{d_{0l} d_{l2}}{\omega_{l0} - 3\omega} \right)^2 \cdot \frac{(\gamma/2)^2}{(\omega_{20} - 2\omega)^2 + (\gamma/2)^2} \cdot N I L \varepsilon. \quad (13.61)$$

Împrăstierea Raman se poate manifesta fie ca un zgomot care apare la frecvența  $\omega_3 - \omega_{20}$ , fie prin amplificarea fundamentalei în detrimentul armonicii. Prin combinarea relațiilor (13.59) — (13.61) se poate arăta că atenuarea fundamentalei și împrăstierea Raman la rezonanță impun limitări superi-



oare și inferioare dezacordului  $\tilde{d} = \frac{\omega_{20} - 2\omega}{\gamma}$  față de rezonanța cu doi fotoni

$$4 \left( \frac{\omega}{\omega_3} \right) \left( \frac{\varepsilon}{R} \right)^{1/2} \frac{1}{(a^{(2)} L)_{\max}} \langle |\tilde{d}| \rangle < \frac{3}{2} \left( \frac{\omega_3}{\omega} \right) \frac{(g_R L)_{\max}}{(\varepsilon^3 R)^{1/2}}. \quad (13.62)$$

Eficiențele de conversie folosite în relația (13.62) trebuie să fie mai mici decât cele maxime (13.56), (13.57). Astfel, considerînd, de exemplu, un câștig Raman de 20%, un coeficient de atenuare de 0,25 și  $\varepsilon = R = 1$ , limitările dezacordului introduse de relația (13.62) devin

$$5 \langle |\tilde{d}| \rangle < 90. \quad (13.63)$$

Neglijînd absorbția a doi factori și alte pierderi, variația amplitudinii fundamentale în detrimentul armonicii a treia datorită împrăștierei Raman este descrisă de ecuația

$$\frac{dE_3}{dz} = -\beta(1 + i\tilde{d})E_1^3 - \delta|E_1|^2 E_3 \quad (13.64)$$

unde  $\beta$  și  $\delta$  sînt cantități reale proporționale cu susceptibilitățile Raman. Cu ajutorul soluției ecuației (13.64) se obține pentru eficiența conversiei următoarea expresie

$$\varepsilon = \left| \frac{E_3}{E_1} \right|^2 = \left( \frac{\beta}{\delta} \right)^2 (1 + \tilde{d}^2) (1 - e^{-\delta E_1^2 L})^2. \quad (13.65)$$

Valoarea maximă a eficienței

$$\varepsilon_{\max} = \frac{1 + \tilde{d}^2}{R} \quad (13.66)$$

se obține pentru

$$a^{(2)} L \simeq \frac{1}{R}. \quad (13.67)$$

Se observă că împrăștierea Raman mai joacă un rol important și în limitarea eficienței conversiei pentru valori ale parametrului  $R$  mai mici sau chiar egale cu unitatea însă pentru valori mari ale acestui parametru aceasta definește prin relația (13.67) valoarea minimă a dezacordului.

#### 13.4.5 Deplasarea nivelelor energetice datorită efectului Stark

Efectul Stark constă în deplasarea nivelelor energetice ale unui sistem atomic (molecular) sub acțiunea unui câmp electromagnetic exterior, a cărui frecvență este situată în domeniul optic și joacă un rol foarte important atât în spectroscopia de înaltă putere de rezoluție, cît și în procesele de generare parametrică de oscilații optice sau de armonici cînd acestea au loc în urma absorbției a doi fotoni la rezonanță.

Astfel, în cazul unui sistem atomic cu trei nivele energetice în care sînt permise tranzițiile electrice de dipol  $1 \rightarrow 2$  și  $2 \rightarrow 3$ , prin iradiere



cu un câmp de frecvență  $\omega$  astfel aleasă încît  $2\omega = \Omega_{31}$  se poate obține o îmbunătățire a eficienței conversiei armonicii a treia, de exemplu prin mărirea susceptibilității neliniare de ordinul trei, numitorul relației (9.29) devenind foarte mic. Totuși, pentru intensități mari ale radiației de pompaj, nivelele suferă deplasări datorită efectului Stark și condiția de rezonanță nu mai este riguros respectată, reducându-se mult valoarea susceptibilității și deci a eficienței conversiei.

Pentru a calcula mărirea deplasării nivelelor se consideră o radiație monocromatică de frecvență  $\omega$  care la trecerea printr-un mediu suferă atât fenomenul de absorbție cît și schimbarea vitezei de propagare datorită părților imaginară respectiv reală ale indicelui de refracție. Pe baza teoriei electromagnetismului energia  $W$  disipată în mediu este dată de relația

$$W = - \langle E \cdot \dot{P} \rangle = \frac{1}{2} \omega \text{Im} (E_{\omega}^* P_{\omega}). \quad (13.68)$$

Ținînd seama de relația dintre polarizarea de ordinul întâi și câmpul de frecvență  $\omega$

$$P_{(\omega)}^{(1)} = \epsilon_0 \chi^{(1)}(-\omega; \omega) E_{\omega} \quad (13.69)$$

și de cea dintre susceptibilitatea corespunzătoare și polarizabilitatea nivelului fundamental

$$\chi^{(1)}(-\omega; \omega) = N \alpha''(-\omega; \omega) / \epsilon_0 \quad (13.70)$$

relația (13.68) devine

$$W = \frac{1}{2} N \omega \alpha''(-\omega; \omega) |E_{\omega}|^2 = \frac{N \omega}{\epsilon_0 c} \alpha''(-\omega; \omega) I_{\omega}. \quad (13.71)$$

Pe de altă parte, considerînd că frecvența radiației de pompaj diferă mult de cea corespunzătoare liniilor de absorbție, indicele de refracție poate fi calculat cu o formulă aproximativă

$$n_{\omega} = (1 + \chi^{(1)})^{1/2} \simeq 1 + \frac{\chi^{(1)}}{2} \quad (13.72)$$

astfel încît

$$n_{\omega} - 1 \simeq N \alpha'(-\omega; \omega) / 2\epsilon_0. \quad (13.73)$$

Deci densitatea de energie a radiației monocromatice într-un mediu avînd indicele de refracție  $n_{\omega}$  crește față de valoarea corespunzătoare în vid  $\epsilon_0 |E_{\omega}|^2 / 2$  cu cantitatea

$$\Delta E_{\sigma} = - \frac{1}{4} N \alpha'(-\omega; \omega) |E_{\omega}|^2. \quad (13.74)$$

Pentru respectarea legii conservării energiei în cazul interacției câmp-sistem atomic, trebuie să existe o trecere continuă și reversibilă a energiei de la mediu la câmp datorită variației adiabactice a energiei stării fundamentale. Luînd în considerare formula polarizabilității

$$\alpha_{mn}(-\omega; \omega) = \frac{1}{\hbar} \sum_i \left( \frac{d_{mi} d_{in}}{\Omega_{in} - \omega} + \frac{d_{mi} d_{in}}{\Omega_{in} + \omega} \right), \quad (13.75)$$



deplasarea energetică  $\hbar\Delta\Omega_n$  a nivelului  $n$  indusă de câmpul liniar polarizat  $E = E_0 \cos \omega t$  este

$$\hbar\Delta\Omega_n = -\frac{1}{4\hbar} \sum_m \left( \frac{1}{\Omega_{mn} - \omega} + \frac{1}{\Omega_{mn} + \omega} \right) |\mathbf{d}_{mn}|^2 E_0^2. \quad (13.76)$$

Pentru deducerea relației (13.76) s-a considerat că dezacordul frecvenței față de rezonanță este mult mai mare decât lărgimea naturală a

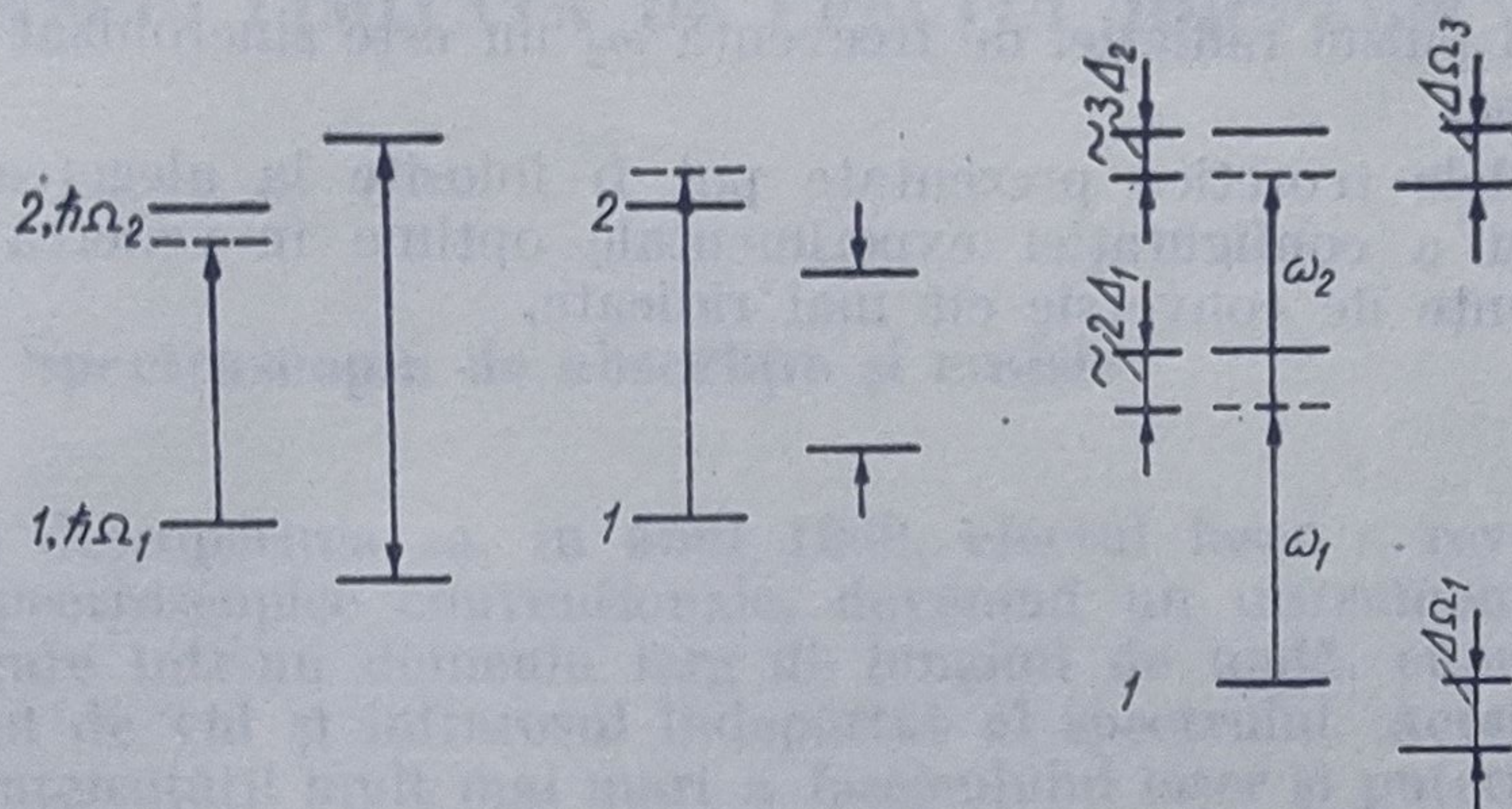


Fig. 13.9

nivelelor, astfel că pierderile pot fi neglijate și în plus nu există confuzii în ceea ce privește semnul deplasării frecvenței

$$\Omega_{mn} = \frac{E_m - E_n}{\hbar}. \quad (13.77)$$

În cazul unui sistem cu două nivele ale căror energii neperturbate sînt  $\hbar\Omega_2$  și  $\hbar\Omega_1$  (fig. 13.9), relația (13.76) devine

$$\hbar\Delta\Omega_2 = -\hbar\Delta\Omega_1 \simeq |\mathbf{d}_{12}|^2 \frac{E_0^2}{4\hbar} (\Omega_{21} - \omega). \quad (13.78)$$

Dacă frecvența radiației de pompaj  $\omega$  este mai mică decît frecvența tranziției neperturbate  $\Omega_{21}$ , nivelul inferior 1 și cel superior 2 se deplasează în jos, respectiv în sus, cu aceeași cantitate dată de relația (13.78), iar dacă  $\omega > \Omega_{21}$  situația se inversează.

Calculule efectuate pentru tranziția 6s—7s în cesiu, de exemplu, indică o deplasare a nivelelor față de rezonanță de  $0,5 \text{ cm}^{-1}$  pînă la  $20 \text{ cm}^{-1}$  pentru densități de putere ale radiației de pompaj de  $10^5 \text{ W/cm}^2$ .

Într-un sistem atomic cu trei nivele care este iradiat cu două câmpuri ale căror frecvențe sînt  $\omega_1$  și  $\omega_2$ , absorbția rezonantă a doi fotoni este dependentă și de deplasarea nivelelor, rata tranzițiilor care implică cei doi fotoni  $w^{(2)}$  fiind proporțională cu produsul deplasărilor [134].

$$w^2(1 \rightarrow 3) \sim -\Delta\Omega_1 \Delta\Omega_3. \quad (13.79)$$



De fapt, fenomenele de deplasare a nivelelor, de absorbție rezonantă a doi fotoni și lărgirea nivelelor datorită puterii radiației incidente trebuie tratate împreună și nu separat. Considerînd o astfel de tratare teoretică [135] s-a putut explica de ce eficiența maximă de conversie obținută experimental în cazul procesului [142]

$$\omega_1 + \omega_1 + \omega_2 \rightarrow \omega_3 \quad (13.80)$$

care are loc prin absorbție rezonantă a doi fotoni, are o valoare maximă atunci cînd pulsul radiației de frecvență  $\omega_2$  nu este sincronizat cu cel de frecvență  $\omega_1$ .

Modelele teoretice prezentate pot fi folosite la alegerea mediilor neliniare și a configurației experimentale optime în vederea obținerii unor eficiențe de conversie cît mai ridicate.



## IV. SPECTROSCOPIE ATOMICĂ ȘI MOLECULARĂ NELINIARĂ

### 14. SPECTROSCOPIE ATOMICĂ ȘI MOLECULARĂ CU LASERI LIMITATĂ DE EFECTUL DOPPLER

#### 14.1. Spectroscopia de absorbție și emisie

După descoperirea sa, în anul 1960, efectul laser a revoluționat tehnicile spectroscopice convenționale, devenind un instrument riguros de investigare într-un domeniu larg de lungimi de undă, cuprins între ultravioletul de vid și infraroșul îndepărtat al spectrului. Acest fapt se datorește intensității mult mai mari a fasciculului laser și puterii sale de rezoluție spectrală, respectiv temporală, superioare în comparație cu tehnicile convenționale.

Astfel, în timp ce o lampă cu vaporii de mercur la presiune înaltă emite o putere de ordinul waților într-un unghi solid de 1 sterradian, un laser cu solid dielectric (YAG) are în regim de impulsuri o putere de  $10^{13}$  wați, iar un laser ionic (cu argon ionizat) în regim continuu atinge o putere de  $10^3$  wați.

Pentru un spectrometru cu rețea, de exemplu, puterea de rezoluție este determinată de dimensiunea fantei (zgîrieturii) rețelei. Dacă se folosește un selector cu înaltă putere de rezoluție (etalon Fabry-Pérot, interferometru Michelson) puterea de rezoluție este determinată de lărgimea liniilor spectrale care se poate datora efectului Doppler sau ciocnirilor.

Puterea de rezoluție temporală este determinată de durata pulsurilor emise de sursa de excitare. Astfel, folosindu-se tehnica de funcționare în regim de sincronizare a modurilor („mode-locking”) s-au obținut pulsuri laser cu durate de ordinul  $10^{-12}$ — $10^{-13}$  s, care sînt cu cîteva ordine de mărime mai mici decît durata pulsurilor emise de sursele convenționale, fapt care permite o mai bună rezolvare temporală a proceselor radiative caracteristice atomilor și moleculelor.

Divergența mică a fasciculului laser este folosită în tehnica reflexiilor multiple pentru a mări absorbția. Cu ajutorul unui laser acordabil, prin efect Zeeman, se poate baleia întregul profil al liniei de absorbție, obținîndu-se astfel o înaltă sensibilitate la concentrații mici ale probei.

Folosirea acestor tehnici a permis investigarea spectrelor de rotație-vibrație ale moleculelor [103] iar din studiul radicalilor liberi OH, CH, HO<sub>2</sub> și HCO s-au obținut informații privind cinetica reacțiilor [103].



În cazul absorbției mai puțin intense se folosesc laseri cu coloranți avînd bandă largă [173]. Prin așezarea cuvei în cavitatea laser, absorbția observată în spectrul laserului este cu cîteva ordine de mărime mai intensă decît în cazul unei singure treceri [105]. Creșterea sensibilității nu se datorește atît numărului mare de treceri, cît numărului mare de moduri excitate în laser.

Întrucît pe baza rezultatelor teoretice și experimentale s-a obținut o dependență liniară a absorbției pentru probe plasate atît în interiorul, cît și în afara cavității, laserii cu coloranți pot fi utilizați pentru analiza cantitativă [103]. Astfel au fost studiate în stare de vapori elemente ca : Na, Cs, I<sub>2</sub> și altele [103].

Laserii cu coloranți prezintă o strălucire spectrală puternică fapt care a fost folosit la popularea nivelelor excitate și selectarea acestora în vederea detectării unor noi termeni spectrali, superiori, și a nivelelor de autoionizare. Astfel, s-au obținut spectre de absorbție în care au fost implicate nivele care nu puteau fi populate direct din starea fundamentală, iar pentru punerea în evidență a nivelelor de autoionizare s-a evitat detecția în regiunea ultravioletului de vid, unde apar dificultăți experimentale, întrucît absorbția s-a făcut de pe nivele superioare celui fundamental.

În cazul Ba [103] s-au evidențiat serii de forma :  $6s6p^1P_1 - 6snd^1D_2$ , pentru valori ale numărului cuantic principal  $n = 41$ , iar nivelul de autoionizare la rezonanță corespunde tranziției  $3s3p^1P_1 - 3p^2^1S_0$  [119].

Spectrele de absorbție obținute cu ajutorul unor laseri acordabili, au fost folosite la analiza solvenților din atmosferă, cum ar fi, de exemplu, gaze ca : CO, CO<sub>2</sub>, HF și N<sub>2</sub>O, întrucît liniile lor de absorbție coincid cu cele ale unor laseri din domeniul infraroșu („metoda absorbției diferențiale”). Metoda amintită se bazează pe absorbția selectivă a radiației retroimprăștiată prin difuzia Mie și Rayleigh [119].

Utilizarea în spectroscopia de emisie stimulată a laserilor de putere, cu frecvența stabilizată, a condus la evidențierea de noi nivele și despicări ale acestora. S-au putut determina astfel frecvențele izotopilor  $^{12}C^{18}O_2$ ,  $^{13}C^{16}O_2$  și  $^{13}C^{18}O_2$  prin comparație cu izotopul  $^{12}C^{16}O_2$  și cele ale izotopilor  $^{136}Xe$ ,  $^{128}Xe$ , fie prin măsurări interferometrice, fie prin măsurători prin heterodinare optică, rezultatele fiind folosite la poziționarea mai precisă a centrelor benzilor și la calculul constantelor de rotație [119].

Studiind liniile laser din domeniul infraroșu, emise de gazele nobile, s-au obținut valorile probabilităților de tranziție și s-a confirmat valabilitatea unor aproximații introduse la calculul diferiților termeni spectrali [119].

Determinarea unor constante moleculare, a probabilităților de tranziție, a secțiunilor eficace de ciocnire în stări excitate și a curbelor de potențial se poate face din spectrele de fluorescență obținute, fie cu ajutorul unor laseri ale căror frecvențe coincid întîmplător cu frecvențele tranzițiilor electronice ale moleculei sau cu ajutorul unor laseri acordabili [119].

Spectrul de fluorescență indusă prin ciocniri dă informații detaliate, în ceea ce privește procesele de ciocnire neelastice a moleculei aflată în stare excitată [119].

Fluorescența indusă de laseri și îndeosebi de cei acordabili poate fi folosită și la determinări analitice. Astfel, folosindu-se un laser cu ioni de argon, cu  $\lambda = 4880 \text{ \AA}$ , s-au putut determina prezența NO<sub>2</sub> cu concentrația de 3 ppb [119].



## 14.2. Studiul proceselor de relaxare ale moleculelor și măsurarea timpilor de viață

Cunoașterea mecanismelor de redistribuire a energiei între diferite grade de libertate de vibrație, rotație și translație, joacă un rol important în cinetica reacțiilor chimice uzuale cât și în a celor induse de laseri, în înțelegerea proceselor care au loc în laserii chimici și moleculari și în obținerea de informații privind dinamica proceselor de ciocnire între molecule.

Pentru a studia procesele care guvernează relaxarea moleculelor de pe diferite nivele de vibrație, acestea sînt excitate cu ajutorul unui laser care are o putere de ordinul kilowaților, iar durata pulsului de ordinul microsecundelor. În urma ciocnirilor, are loc o redistribuire a moleculelor pe diferite nivele de rotație ale stărilor excitate de vibrație și deci populația de pe aceste nivele poate fi studiată cu ajutorul fluorescenței din domeniul infraroșu, obținută în urma dezexcitării moleculelor [119].

Informații legate de populația diferitelor nivele de vibrație excitate mai pot fi obținute și din spectrul de absorbție, caz în care moleculele sînt excitate cu ajutorul unei radiații laser cu frecvență apropiată de frecvența vibrațiilor moleculelor, încît intensitatea absorbției este proporțională cu diferența de populație dintre nivelele implicate [119].

Studiul proceselor de relaxare mai poate fi făcut prin spectroscopie Raman [119] cu ajutorul laserilor ale căror linii sînt acordate exact pe frecvențele de vibrație ale moleculelor, cum ar fi, de exemplu:  $\text{CO}_2$ ,  $\text{N}_2\text{O}$ ,  $\text{HCl}$ ,  $\text{HF}$ , sau cu ajutorul unor laseri acordabili.

Determinarea exactă a timpilor de viață ai nivelelor excitate este folosită pentru verificarea calculelor teoretice privind partea radială a funcțiilor de undă, pentru determinarea tărilor oscilatorilor elementelor de tranziție și pămînturilor rare și cu ajutorul acestora, a abundențelor elementelor în atmosfera solară și a stelelor [119].

Întrucît s-a constatat că nivelele de vibrație care aparțin aceleiași stări electronice au timpi de viață aproximativ egali [119] cunoașterea lor este folosită la clasificarea spectrelor moleculare complexe.

Există mai multe metode de determinare a timpilor de viață. Prin excitarea unui sistem atomic sau molecular cu o radiație laser modulată, cu frecvența  $\omega$ , la dezexcitare, intensitatea fluorescenței este, de asemenea, modulată la aceeași frecvență, dar faza este deplasată cu cantitatea  $\Delta\varphi$ . Această metodă, numită metoda deplasării fazei permite determinarea timpului de viață al nivelului excitat din relația:  $-\omega\tau = \text{tg}\Delta\varphi$  [119]. S-a constatat că dacă se folosește un laser acordabil [119], deplasarea fazei depinde și de intensitatea radiației incidente și numai pentru valori mici ale intensității este valabilă relația

$$-2\omega\tau = \text{tg} \Delta\varphi.$$

În cazul metodei excitării prin pulsuri scurte, se folosește un laser care este modulată prin metode electro-optice sau acusto-optice, pulsurile obținute fiind mai scurte decît timpul de viață al nivelului electronic excitat. Numărul de fotoni se determină din spectrul de fluorescență obținut la dezexcitare [119].



Timpul de viață mai pot fi măsurați și prin metoda intersecției de nivele (efect Hanle) [119], prin aplicarea unei excitații laser selective asupra unui fascicul de ioni rapizi și prin metoda excitării în treptă a nivelurilor energetice mai înalte [119].

### 14.3. Studiul proceselor de ciocnire

În urma proceselor de ciocnire neelastice pe care le suferă atomii sau moleculele unui gaz, au loc deplasări și lărgiri ale liniilor spectrale (funcție de presiunea gazului), dezexcitarea stărilor excitate și fluorescența indusă.

Pe baza fluorescenței induse de laser a fost studiată dependența timpului de viață al stărilor excitate, de presiunea gazului pentru diferite molecule și a fost măsurată probabilitatea emisiilor spontane [119]. Folosind tehnica fasciculelor intersectate pentru particule ușoare excitate cu ajutorul laserilor a fost studiată influența ciocnirilor asupra interacției spin-orbită [119]. Experiențele au fost făcute cu fascicule de electroni care au fost împrăștiați de atomii de Na excitați cu ajutorul unui laser acordabil în regim continuu, pentru tranziția

$$3^2S_{1/2}, F = 2 \rightarrow 3^2P_{3/2}, F = 3.$$

Ciocnirile neelastice care au loc în timpul descărcărilor în gaze mai pot fi studiate și cu ajutorul spectrului de fluorescență indusă prin ciocniri. Atomii sau moleculele excitate pe diferite nivele, cu ajutorul unei radiații laser trec în urma tranzițiilor neradiative induse de ciocnirile neelastice, pe nivele inferioare apropiate, de unde emit linii de fluorescență care conțin informații privind procesele de ciocnire. Folosind tehnica fluorescenței se pot studia și fenomenele de ciocnire, induse de radiația laser,

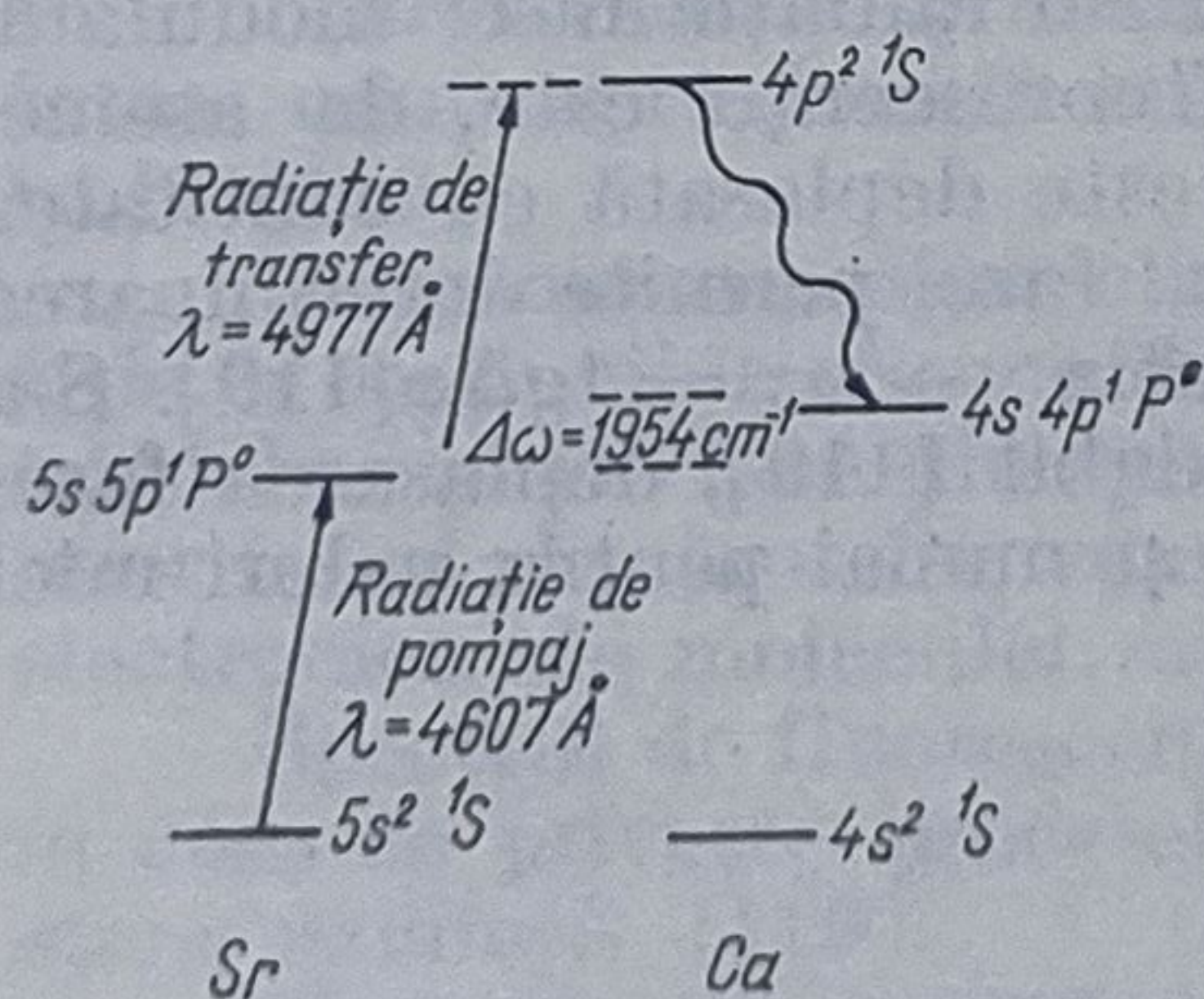


Fig. 14.1

într-un sistem mixt format din atomi de Sr și Ca [197]. Astfel, sub acțiunea unei radiații de pompaj cu  $\lambda = 4607 \text{ Å}$  atomii de Sr sînt stocați pe nivelul metastabil  $5s5p^1P^0$  (fig. 14.1). În urma proceselor de ciocnire „virtuală”, datorate interacțiilor dipol-dipol și de absorbție a unei radiații de transfer cu  $\lambda = 4977 \text{ Å}$ , atomii de Ca sînt excitați pe nivelul  $(4p^2\ ^1S)$ , iar atomii de Sr trec pe nivelul fundamental  $(5s^2\ ^1S_0)$ . Înregistrîndu-se spectrul de fluorescență corespunzător radiației cu  $\lambda = 5513 \text{ Å}$ , funcție de lungimea de undă a radiației de transfer s-au determinat sec-

țiunile eficace ale ciocnirilor induse de radiația laser, verificîndu-se astfel valabilitatea calculelor teoretice.



De asemenea, în afara proceselor de ciocnire dipol-dipol induse de radiația laser, spectrele de fluorescență obținute în anumite condiții experimentale, evidențiază rolul ciocnirilor și în alte procese induse de laser: procese de interacție dipol-cuadrupol, cu transfer de sarcină [197].

În ultimul timp sînt studiate atît teoretic cît și experimental, efectele ciocnirilor asupra fluorescenței la rezonanță [197] și asupra coerenței [159].

#### 14.4. Studiul proceselor de fotoionizare

Procesele de fotoionizare joacă un rol foarte important în mai multe domenii ca: descărcările în gaze, studiul interacțiilor dintre radiațiile U.V. emise de soare și ionosferă, spectroscopia atomică, verificarea modelelor teoretice și altele.

Fotoionizarea atomilor aflați inițial în starea fundamentală se obține numai cu ajutorul radiațiilor din domeniul ultraviolet sau ultravioletul îndepărtat al spectrului și poate fi făcută fie prin excitare directă, fie prin excitare în treaptă.

Astfel, folosind procedeul de excitare în treaptă cu ajutorul unui laser acordabil, a fost studiată fotoionizarea atomilor de bariu. Radiația laser produce o puternică populare a nivelului  $6s6p^3P$ , iar de aici atomii de bariu trec prin tranziții neradiative pe nivelul metastabil  $6s5d^3D$ , obținîndu-se astfel  $10^{16}$  atomi/cm<sup>3</sup> uniform distribuiți pe cele trei subnivele ale nivelului excitat  $^3D$ . Din spectrul de absorbție corespunzător tranziției atomilor de bariu din starea excitată  $6s5d^3D$  în starea  $6snf^3F$  și în starea ionizată s-au identificat serii corespunzătoare numărului cuantic principal  $n = 32$  și s-a determinat secțiunea eficace absolută de fotoionizare pentru  $\lambda = 3030 \text{ \AA}$ .

Atomii în stare metastabilă mai pot fi obținuți și prin ciocnirea lor cu electronii și apoi iradierea cu ajutorul unui laser acordabil, ionii astfel obținuți fiind detectați cu ajutorul unui multiplicator de particule. Folosind acest procedeu au fost studiați atomii de He, Ar și Kr.

Folosindu-se fotoionizarea atomilor de bariu excitați pe nivelul metastabil  $^1D_2$  într-o cavitate laser cu He-Cd ( $\lambda = 3250 \text{ \AA}$ ), s-au obținut fotoelectroni caracterizați printr-o înaltă monocromaticitate ( $10^{-12} - 10^{-13} \text{ s}$ ), care pot fi folosiți, de exemplu, la investigarea rezonanțelor rezultate în urma ciocnirilor elastice dintre electroni și atomi.



## 15. SPECTROSCOPIE OPTICĂ LINIARĂ FĂRĂ LĂRGIRE DOPPLER

### 15.1. Lărgirea liniilor spectrale prin efect Doppler

Întrucît cea mai mare parte a informațiilor privind structura materiei la nivel molecular și atomic, se obțin prin metodele spectroscopiei optice, un rol determinant în perfecționarea acestor metode îl joacă îngustarea liniilor spectrale de emisie și absorbție.

Lărgirea liniilor spectrale prin efect Doppler a constituit o piedică serioasă în măsurarea structurii hiperfine a tranzițiilor optice. Liniile de rezonanță ale Na, corespunzătoare tranzițiilor  $3^2S_{1/2} \rightarrow 3^2P_{3/2}$  cu  $\lambda = 5890 \text{ \AA}$  și  $3^2S_{1/2} \rightarrow 3^2P_{1/2}$  cu  $\lambda = 5896 \text{ \AA}$  sînt constituite de fapt din dubleți, datorită despicării hiperfine a nivelului fundamental. Despicarea avînd o valoare de aproximativ  $0,02 \text{ \AA}$ , este mascată de lărgirea Doppler la temperaturi de  $500 \text{ K}$ . Structura hiperfină a liniilor spectrale de Na poate fi pusă în evidență folosind metoda fasciculelor atomice.

Cea mai importantă cauză care conduce la lărgirea liniilor spectrale se datorește interacțiilor dintre moleculele, respectiv atomii gazului. Acest neajuns poate fi înlăturat studiind liniile spectrale emise de gaze la presiuni scăzute.

O altă cauză, este legată de lărgirea termică a liniilor spectrale, datorită efectului Doppler. Un atom (sau moleculă) în repaus, emite sau absoarbe o radiație, la tranziția între două nivele cu energia  $E_1$  și  $E_2$ , avînd frecvența

$$\nu_{21} = \nu_0 = \frac{E_2 - E_1}{h}. \quad (15.1)$$

Datorită agitației termice frecvența liniei spectrale a atomului (moleculei) este deplasată cu o valoare care depinde de proiecția vitezei particulei  $v$  pe direcția de observare  $n$ , adică

$$\nu = \nu_0 \left( 1 - \frac{v}{c} n \right). \quad (15.2)$$

Întrucît la echilibru termic toate direcțiile după care se poate mișca particula sînt echiprobabile, deplasarea liniei spectrale datorită efectului



Doppler este diferită pentru fiecare particulă. Proiecția vitezei particulei de masă  $m_0$  după orice direcție ( $v = \mathbf{nv}$ ) este dată de o distribuție Maxwell

$$f(v) = \frac{1}{\sqrt{\pi}u} e^{-(v/u)^2} \quad \text{unde} \quad u = \sqrt{\frac{2kT}{m_0}}, \quad (15.3)$$

care are simetrie identică cu cea a curbei lui Gauss. Deci, linia spectrală (fig. 15.1, a) pentru un ansamblu de particule în mișcare are un profil gaussian avînd centrul fixat la frecvența  $\nu_0$  corespunzător tranziției între cele două nivele ca în fig. (15.1, b).

Dacă lărgirea prin efect Doppler este independentă de lărgirea datorită ciocnirilor, forma liniei spectrale pentru un ansamblu de particule în mișcare  $S(\omega)$  este definită de convoluția liniei spectrale corespunzătoare unei particule,  $a_v(\omega) =$

$$= a\left(\omega - \frac{\mathbf{nv}}{c}\right) \text{ care are o distribuție Doppler}$$

modificată cu o cantitate care depinde de proiecția vitezei particulei  $\mathbf{v}$  pe direcția de observare  $\mathbf{n}$

$$S(\omega) = \int a_v(\omega) f(v) d(\mathbf{vn}). \quad (15.4)$$

În cazul unei distribuții maxwelliene a particulelor după viteze (15.3) semilărgimea liniei spectrale datorită efectului Doppler  $\omega_D$  este dată de relația

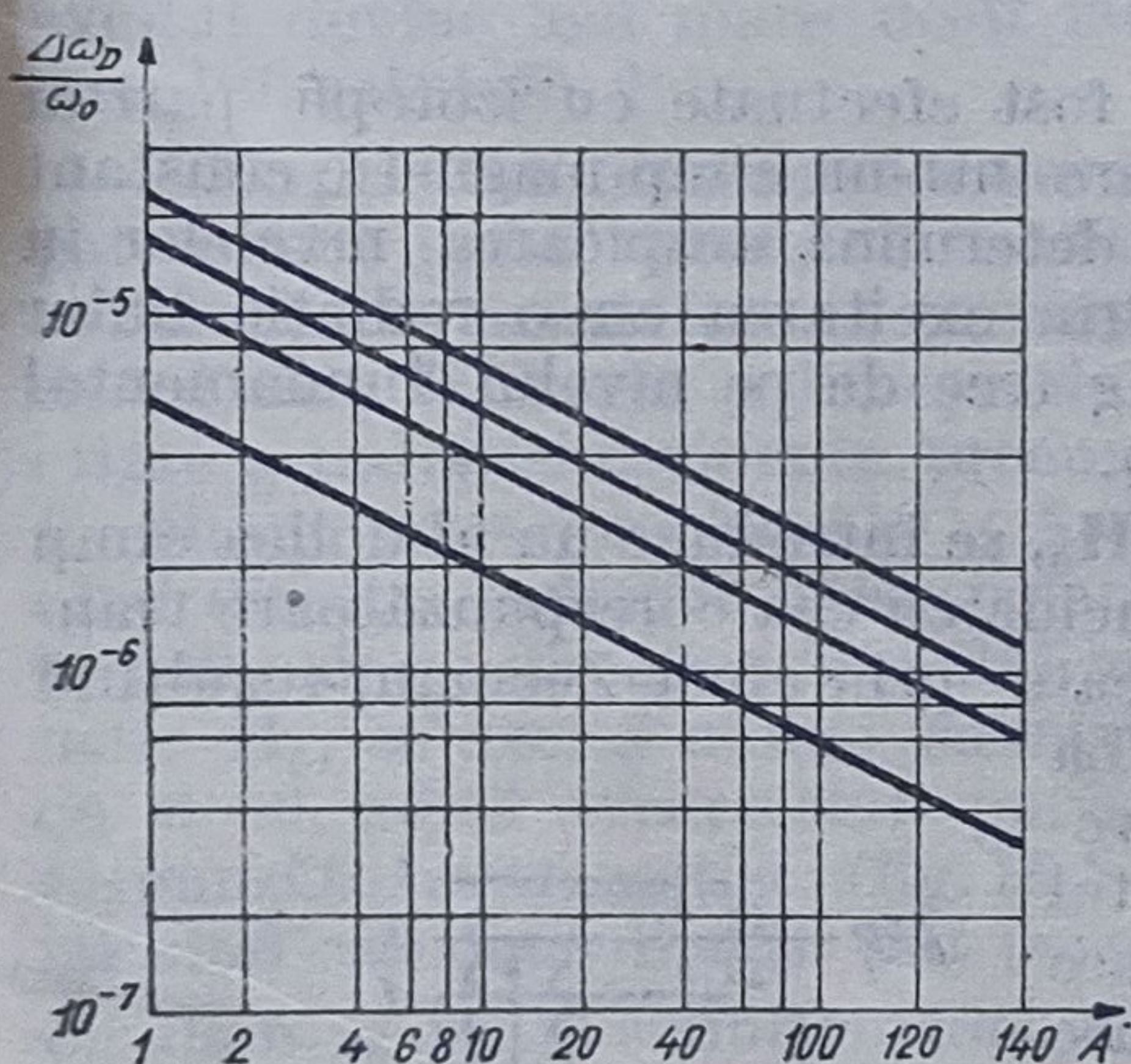


Fig. 15.2

aceasta nu poate fi rezolvată prin metodele spectroscopiei liniare convenționale.

## 15.2. Spectroscopie cu fascicule atomice și moleculare

Metoda fasciculelor atomice și moleculare a fost introdusă în spectroscopie în jurul anului 1930 dar s-a dezvoltat mai ales după descoperirea laserilor acordabili, ea fiind foarte eficientă pentru un număr mare de

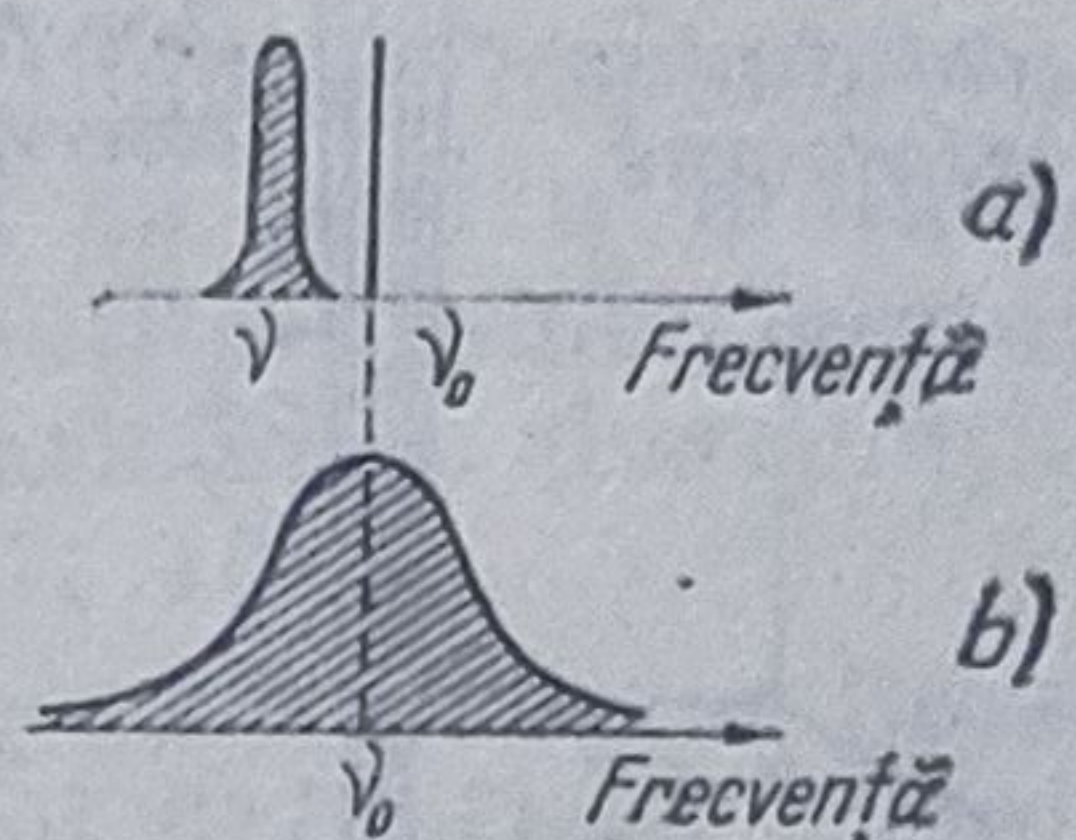


Fig. 15.1

$$\begin{aligned} \Delta\omega_D &= \frac{2\omega_0}{c} \left( 2 \ln 2 \frac{kT}{m_0} \right)^{1/2} = \\ &= 7,163 \cdot 10^{-7} \sqrt{\frac{T}{A}} \omega_0 \end{aligned} \quad (15.5)$$

unde  $T$  este temperatura în grade Kelvin, iar  $A$  masa atomică. Așa cum arată fig. 15.2 lărgirea Doppler relativă  $\frac{\Delta\omega_D}{\omega_0}$  scade cu creșterea masei atomice  $A$ .

În cazul în care nivelele energetice atomice sau moleculare între care au loc tranzițiile sînt apropiate, din cauza efectului Doppler liniile spectrale se suprapun astfel că structura



tranziții atomice și moleculare, într-un domeniu larg de frecvențe din regiunea ultravioletă pînă în cea infraroșie a spectrului.

Metoda constă în investigarea unui fascicul atomic, colimat cu ajutorul a două diafragme care determină o divergență mică  $2\Phi_0$  a fasciculului

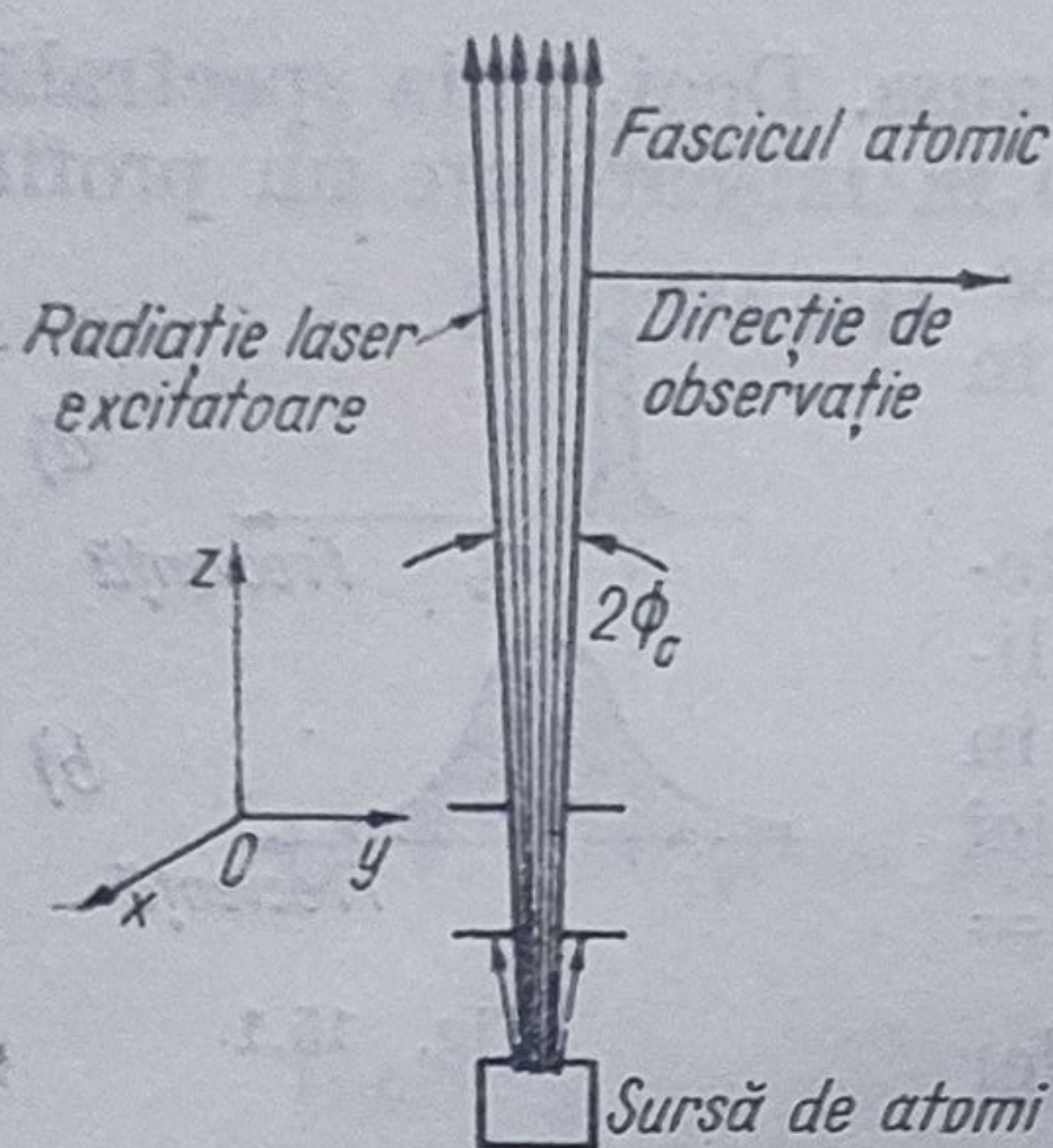


Fig. 15.3

(fig. 15.3). Atomii din fascicul, care este paralel cu axa  $Oz$ , sînt excitați cu ajutorul unei radiații perpendiculare pe direcția lor de mișcare (axa  $Ox$ ), iar observarea spectrului de fluorescență, fără efect Doppler se face după o direcție perpendiculară pe primele două (axa  $Oy$ ). Există totuși o lărgire Doppler reziduală a liniilor spectrale  $\delta\omega$ , datorată divergenței unghiulare a fasciculului atomic dată de relația

$$\delta\omega = 2\Phi_0(v/c)\omega_0 = \Phi_0 \Delta\omega_D. \quad (15.6)$$

Folosind această metodă, cu ajutorul unui laser cu argon cu  $\lambda = 5145 \text{ \AA}$  a fost investigat, de exemplu, un fascicul molecular de  $I_2$  [119, 147].

### 15.3. Dublă rezonanță radiooptică

Prin metoda dublei rezonanțe radiooptice se poate studia structura subnivelelor magnetice ale unei linii spectrale, care este mascată de efectul Doppler.

Primele experiențe [119, 147] au fost efectuate cu izotopii pari ai atomului de Hg, cu spin nuclear zero, care într-un câmp magnetic constant de intensitate  $H_0$ , aplicat din exterior, determină desplicarea nivelelor în subnivele magnetice (efect Zeeman). Prin excitarea cu o radiație liniar polarizată cu  $\lambda = 2537 \text{ \AA}$ , atomii de Hg trec de pe nivelul fundamental  $6^1S_0$  pe nivelul excitat  $6^3P_1$  (fig. 15.4).

Perpendicular pe câmpul constant  $H_0$ , se introduce un al doilea câmp variabil  $H_1 \cos \Omega t$ , a cărui frecvență coincide cu cea corespunzătoare tranziției între două subnivele vecine, despicate prin efect Zeeman, rezultînd un fenomen de rezonanță magnetică. La tranziția atomilor excitați de pe subnivelele cu  $m = \pm 1$  pe nivelul fundamental se obține un spectru de fluorescență, care are două componente circular polarizate  $\sigma^\pm$ . Întrucît frecvența la care are loc fenomenul de rezonanță magnetică se modifică datorită mișcării atomilor, cu o valoare mică

$$\delta\Omega_D = \frac{v}{c} \Omega \quad (15.7)$$

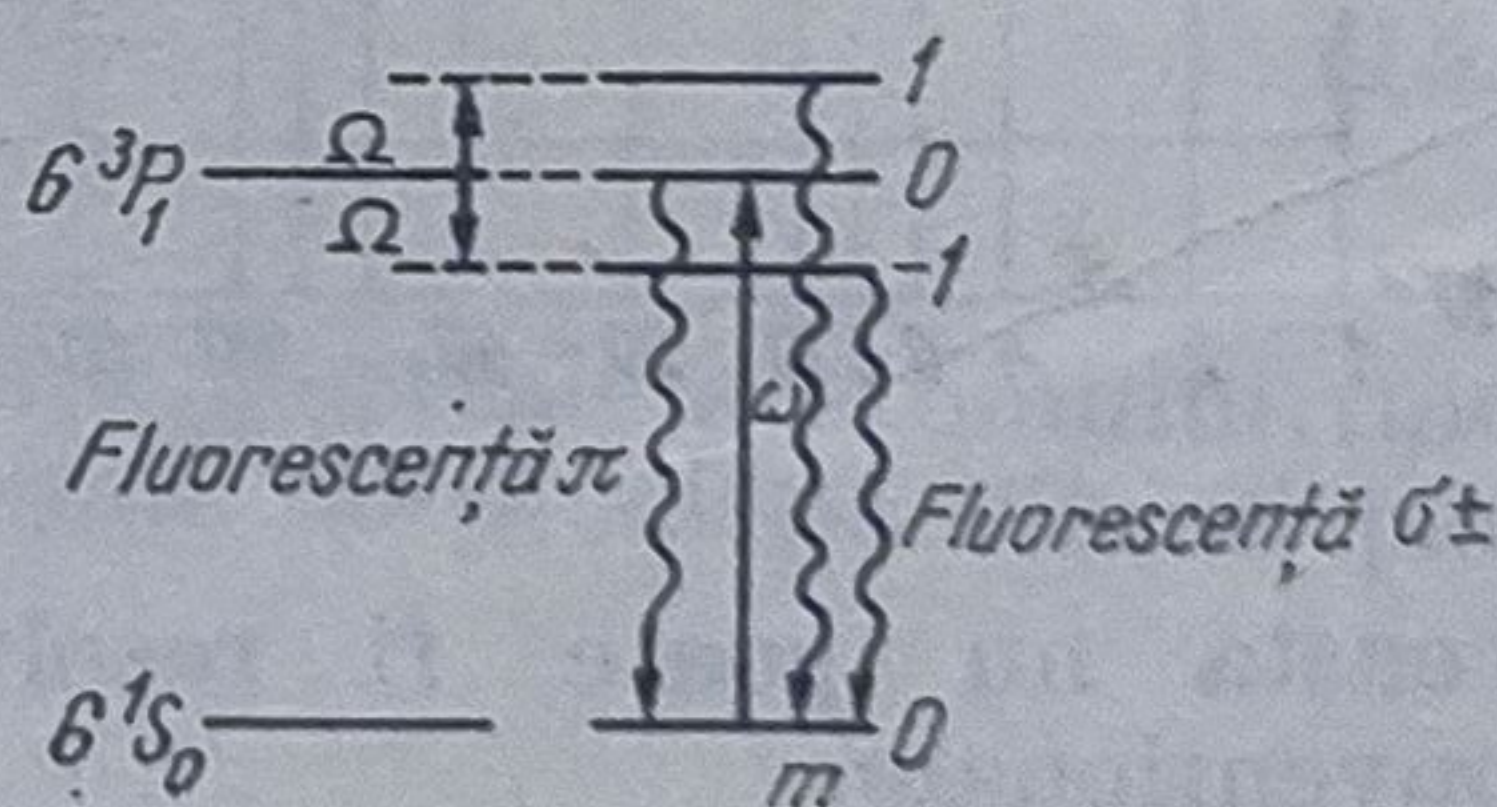


Fig 15.4

liniile de rezonanță magnetică prezintă o lărgire Doppler reziduală care totuși este foarte mică în comparație cu lărgirea Doppler corespunzătoare tranzițiilor optice [59].



În domeniul microundelor, metoda dublei rezonanțe radiooptice a fost aplicată pentru a studia atomii de hidrogen aflați în starea excitată cu  $n = 2$  [119, 147].

Folosind laseri acordabili pentru excitare, această metodă poate fi aplicată studiului unui mare număr de atomi și molecule [119].

#### 15.4. Intersecții de nivele

Întrucât energia subnivelelor magnetice ale atomilor depinde de intensitatea câmpului magnetic exterior, este posibil ca pentru anumite valori ale acestuia să apară intersecții de nivele, însoțite de interferența stărilor atomice, ceea ce conduce la modificarea polarizării și distribuției unghiulare a radiației emise (efect Hanle [119, 147, 161].)

Prin iradierea izotopilor pari ai atomului de Hg cu o radiație liniar polarizată cu  $\lambda = 2537 \text{ \AA}$  aceștia sînt excitați pe nivelul  $6^3P_1$ . Dacă atomii nu se află în câmp magnetic exterior, radiația obținută la dezexcitare este puternic polarizată (90%), vectorul polarizare al acesteia coincidînd cu vectorul polarizare al luminii incidente, iar distribuția sa unghiulară fiind dependentă de cea a radiației de dipol electric.

Sub acțiunea unui câmp magnetic exterior de intensitate  $H_0$ , paralel cu vectorul polarizare, natura radiației emise nu se schimbă. În cazul în care câmpul acționează perpendicular pe vectorul polarizare al luminii incidente, gradul de polarizare al radiației emise scade cu creșterea intensității câmpului, devenind zero cînd despicarea Zeeman a nivelului excitat devine mai mare decît lărgimea lui naturală  $2\gamma$ .

Explicarea fenomenelor care apar se face ținînd seama că excitarea subnivelelor magnetice este dependentă de polarizarea și direcția de excitare a radiației incidente, precum și de câmpul exterior [59, 119]. Astfel, cînd direcția radiației liniar polarizate coincide cu direcția câmpului magnetic  $H_0$ , se excită numai subnivelul cu  $m=0$ , adică avem o stare pură, corespunzătoare tranziției  $\pi$  (fig. 15.5, a), iar cînd cele două direcții sînt perpendiculare, se excită simultan două nivele cu  $m = \pm 1$  (fig. 15.5, b) (cu componentele  $\sigma^+$  și  $\sigma^-$ ), pentru că unda liniar polarizată este formată prin suprapunerea a două unde circular polarizate, stînga și dreapta. În acest ultim caz, momentul de dipol electric al atomului execută o mișcare de precesie în jurul direcției câmpului magnetic, fapt care conduce la o scădere a gradului de polarizare atunci cînd perioada de precesie este mai lungă decît timpul de viață al stării excitate (despicare Zeeman mică) și la o depolarizare totală în cazul cînd despicarea Zeeman este comparabilă cu lărgimea naturală a nivelului.

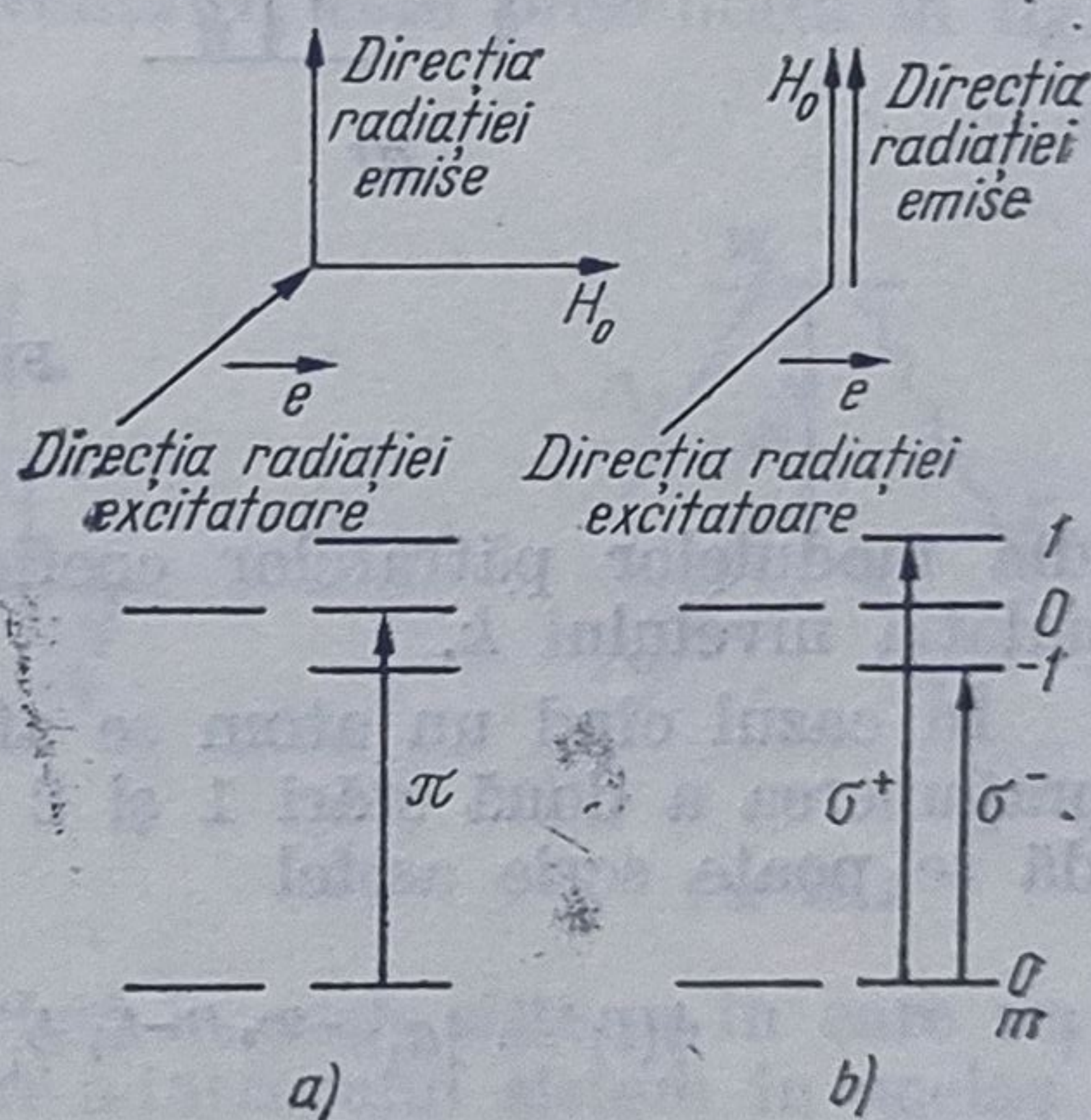


Fig. 15.5



Întrucît această metodă nu necesită folosirea unui cîmp de radio-frecvență, rezoluția este determinată de lărgimea naturală a nivelelor implicate în tranziții și cu ajutorul ei s-au putut determina timpii de viață ai nivelelor excitate [119, 161].

## 15.5. Bătăi cuantice

Metoda bătăilor cuantice are la bază la fel ca și metoda intersecției de nivele, superpoziția stărilor atomice, conform căreia funcția de undă  $\psi(t)$  a unui atom în stare excitată se poate exprima cu ajutorul funcțiilor de undă  $\psi_k$  corespunzătoare diferitelor nivele care au energia  $E_k$

$$\psi(t) = \sum_k a_k \psi_k e^{-iE_k t/\hbar}. \quad (15.8)$$

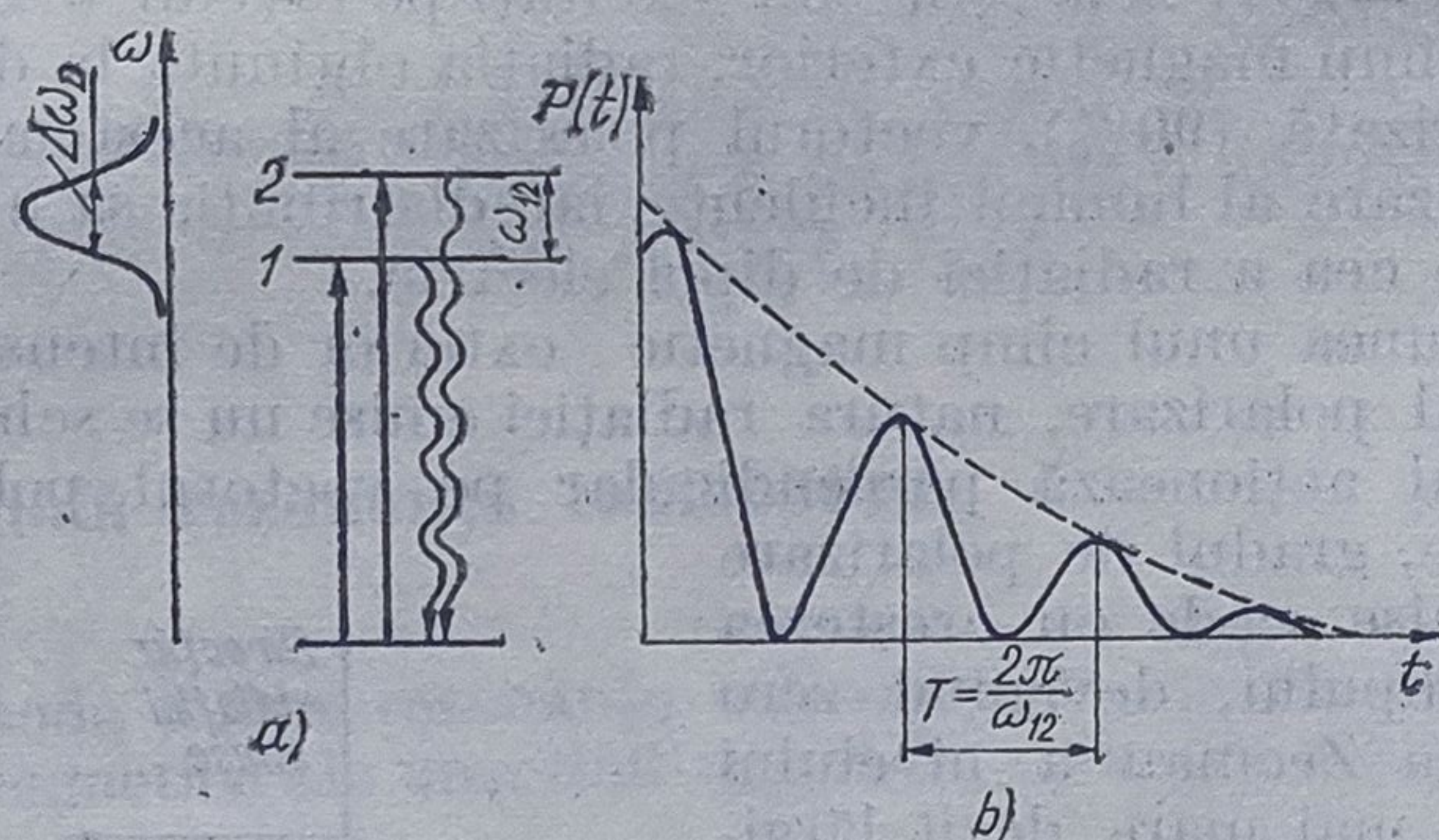


Fig. 15.6

Media modulelor pătratelor coeficienților complecși  $\langle |a_k|^2 \rangle$  determină populația nivelului  $k$ .

În cazul cînd un atom se află într-o stare excitată rezultată prin suprapunerea a două stări 1 și 2 învecinate (fig. 15.6,a), funcția lui de undă se poate scrie astfel

$$\psi(t) = |a_1 e^{-i\omega_{01}(t-t_0)} \psi_1 + a_2 e^{-i\omega_{02}(t-t_0)} \psi_2| e^{-\gamma(t-t_0)} \quad (15.9)$$

Probabilitatea de tranziție  $P(t)$  pe nivelul fundamental, calculată cu ajutorul elementelor de matrice  $|\langle \psi_0 | \mathbf{d} | \psi \rangle|^2$ , unde  $\mathbf{d}$  este operatorul momentului de dipol, oscilează cu frecvența  $\omega_{12} = \omega_{01} - \omega_{02}$ , adică prezintă fenomenul de „bătăi cuantice” (fig. 15.6,b).

Cu ajutorul acestei metode poate fi investigată structura hiperfină a stărilor excitate folosind pentru excitare fie pulsuri scurte ( $10^{-7}$  s), dată de o lampă de Cd sau de un laser acordabil [145], fie fascicule de electroni [147, 161].



## 16. LĂRGIREA LINIILOR SPECTRALE ȘI EFECȚE DE ÎNGUSTARE

### 16.1. Mecanisme de lărgire omogenă a liniilor spectrale

Absorbția unei radiații de intensitate constantă  $I_\nu$ , dar variabilă în domeniul frecvențelor, la trecerea printr-un mediu absorbant de grosime  $x$ , caracterizat de coeficientul de absorbție  $\alpha$ , are loc după legea Lambert-Beer

$$I_\nu = I_{\nu_0} e^{-\alpha x}. \quad (16.1)$$

Variația intensității și a coeficientului de absorbție funcție de frecvență într-o linie de absorbție centrată pe frecvența  $\nu_0$  este prezentată în fig. 16.1, a, b.

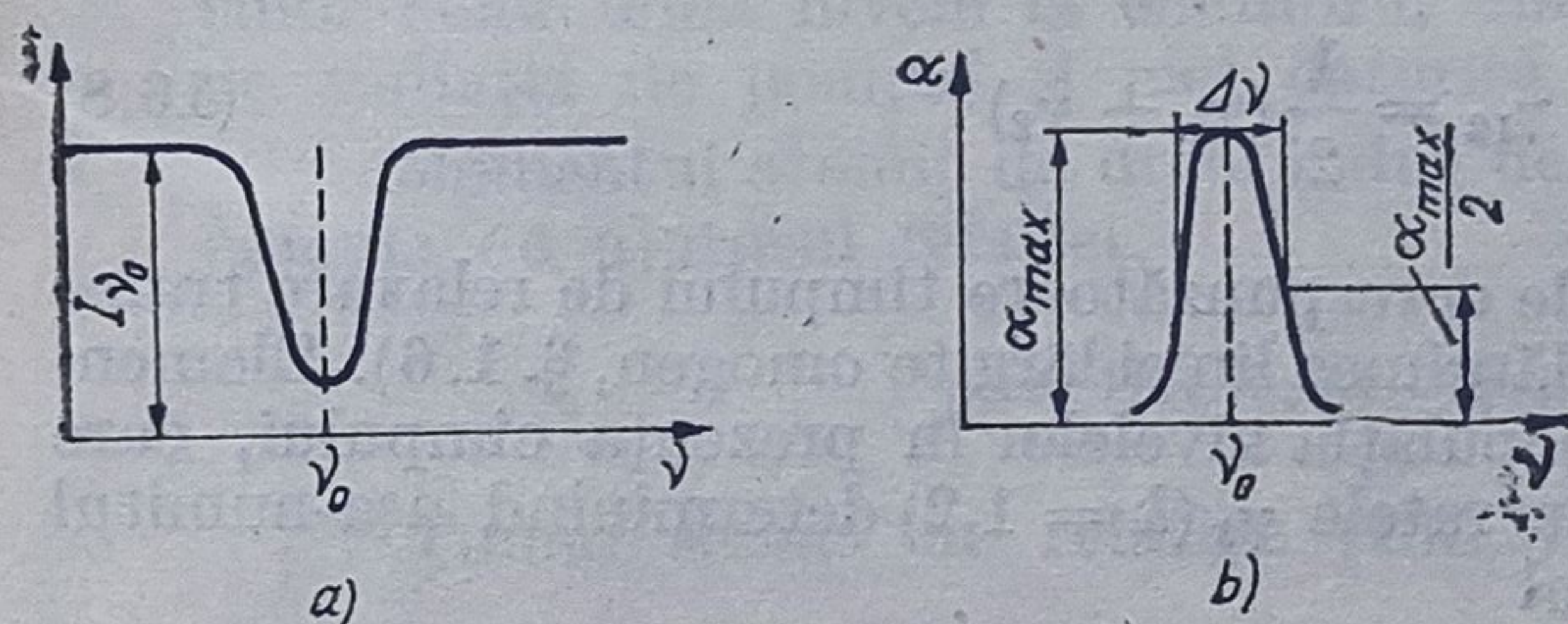


Fig. 16.1

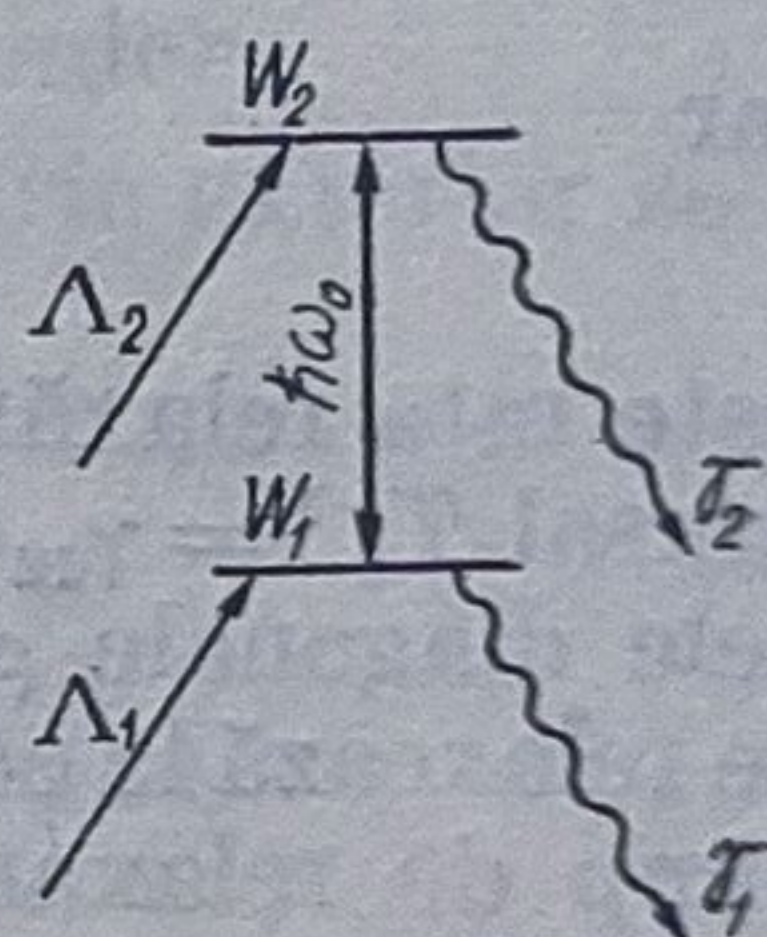


Fig 16.2

Mecanismele de lărgire omogenă se referă la acele sisteme în care se lărgeste linia fiecărui atom și prin urmare a întregului sistem în acelaș mod. Forma liniei de absorbție și emisie a unui astfel de sistem depinde de mai mulți factori.

#### 16.1.1. Lărgimea naturală a liniilor spectrale și lărgirea datorită saturației

Pentru a determina forma liniei corespunzătoare unei tranziții între nivelele 1 și 2 (fig. 16.2) se poate folosi formalismul matricei de densitate (anexa 1). Ecuația de mișcare pentru un astfel de sistem cuantic are forma :

$$\frac{d\rho}{dt} = i\hbar^{-1}[H, \rho] - \frac{1}{2}(\Gamma_{1,2}\rho + \rho\Gamma_{1,2}) \quad (16.2)$$



unde

$$H = \begin{bmatrix} W_1 & -dE \\ -dE & W_2 \end{bmatrix} \quad (16.3)$$

reprezintă hamiltonianul sistemului perturbat de câmpul electric exterior  $E(t) = E_0 \exp(i\omega t) + \text{c.c.}$ ,  $W_1$  și  $W_2$  sînt energiile corespunzătoare celor două nivele,  $d$  operatorul momentului electric de dipol,

$$\Gamma_{1,2} = \begin{bmatrix} \gamma_1 & 0 \\ 0 & \gamma_2 \end{bmatrix} \quad (16.4)$$

este o matrice diagonală determinată de ratele  $\gamma_1$  și  $\gamma_2$  corespunzătoare dezexcitării atomilor de pe nivelele 1 respectiv 2 pe celelalte nivele. Ținînd seamă de relațiile (16.3) și (16.4) se obțin următoarele ecuații de mișcare pentru elementele matricei densitate

$$\frac{d\rho_{12}}{dt} = (i\omega_0 - \gamma_{12})\rho_{12} - i\hbar^{-1} dE(\rho_{11} - \rho_{22}) \quad (16.5)$$

$$\frac{d\rho_{11}}{dt} = -\gamma_1(\rho_{11} - \rho_{11}^0) - i\hbar^{-1} dE(\rho_{12} - \rho_{21}) \quad (16.6)$$

$$\frac{d\rho_{22}}{dt} = -\gamma_2(\rho_{22} - \rho_{22}^0) + i\hbar^{-1} dE(\rho_{12} - \rho_{21}) \quad (16.7)$$

unde

$$\rho_{21} = \rho_{12}^*$$

iar

$$\gamma_{12} = \frac{1}{2}(\gamma_1 + \gamma_2) \quad (16.8)$$

este rata relaxării transversale corespunzătoare timpului de relaxare transversal  $T_2^{-1} = \gamma_{12}$  ( $\gamma$  fiind semilărgimea liniei lărgite omogen, §. 1.6). Elementele diagonale  $\rho_{kk}$ , descriu populația nivelelor în prezența câmpului, care se relaxează la echilibru  $\rho_{kk}^0$  cu ratele  $\gamma_k$  ( $k = 1, 2$ ) determinînd așa-numitul timp de relaxare longitudinal

$$T_1 = \frac{1}{2} \left( \frac{1}{\gamma_1} + \frac{1}{\gamma_2} \right) = \frac{1}{\gamma} \quad (16.9)$$

Elementele nediagonale  $\rho_{k'k}$  ( $k' \neq k$ ) descriu momentul de dipol care se relaxează cu rata  $\gamma$ .

Considerînd că cele două nivele 1 și 2 sînt lărgite cu cantitățile  $\pm \frac{\gamma_1}{2}$  și  $\pm \frac{\gamma_2}{2}$ , lărgimea tranziției dintre cele două nivele, pentru semnal mic, este determinată de suma lărgimilor nivelelor, deci  $2\gamma = \gamma_1 + \gamma_2$ .

(Prin lărgimea unei linii se înțelege după cum s-a mai menționat lărgimea ei la jumătate din înălțimea maximă (fig. 16.1, b)).

Lărgimea naturală a liniei, obținută în urma tranzițiilor spontane între cele două nivele, este determinată de probabilitatea emisiei spontane cu ajutorul relației

$$\Delta\omega_s = 1/2 \tau_s, \quad (16.10)$$



media timpilor de viață  $\tau_s$  în stările 1 și 2 fiind

$$\tau_s = \frac{\pi \epsilon_0 c^3 \hbar}{|\mathbf{d}_{12}|^2 \omega_0^2} \quad (16.11)$$

dacă se neglijează tranzițiile pe celelalte nivele. Întrucît lărgimea liniei naturale este proporțională cu cubul frecvenței, ea poate fi neglijată în domeniul infraroșu îndepărtat însă devine apreciabilă în domeniul vizibil. Pentru molecule ea are valori cuprinse între  $10^5 - 10^7$  Hz iar pentru atomi  $10 - 10^3$  Hz.

Soluția sistemului de ecuații (16.5)–(16.7) este de forma

$$\rho_{12} = - \frac{i x \exp(i\omega t)}{i(\omega - \omega_0) + \gamma_{12}} (\rho_{11} - \rho_{22})/2 \quad (16.12)$$

$$\rho_{11} = \rho_{11}^0 - \frac{\gamma_{12}}{2\gamma_1} \Delta \rho^0 \frac{|x|^2}{(\omega - \omega_0)^2 + \gamma_{12}^2 + \gamma_{12} T_1 |x|^2} \quad (16.13)$$

$$\rho_{22} = \rho_{22}^0 + \frac{\gamma_{12}}{2\gamma_2} \Delta \rho^0 \frac{|x|^2}{(\omega - \omega_0)^2 + \gamma_{12}^2 + \gamma_{12} T_1 |x|^2} \quad (16.14)$$

unde  $x = \frac{d_{12} E_0}{\hbar}$  este frecvența Rabi caracteristică, corespunzătoare

undeii luminoase liniar polarizate,  $d_{12}$  componenta momentului de dipol de-a lungul cîmpului electric exterior,  $\Delta \rho^0 = \rho_{11}^0 - \rho_{22}^0$  diferența populațiilor celor două nivele la echilibru, cînd nivelele nu sînt excitate nici de radiația de pompaj și nici datorită agitației termice.

Momentul atomic de dipol indus de cîmpul electric exterior se poate calcula cu ajutorul relației

$$p = \text{Urm}(\rho \mathbf{d}) = \rho_{12} d_{21} + \text{c.c.} \quad (16.15)$$

Ținînd seama de relațiile (16.12)–(16.14) rezultă

$$p = - \frac{|\mathbf{d}_{12}|^2}{2\hbar} \Delta \rho^0 \frac{\omega - \omega_0 + i\gamma_{12}}{(\omega - \omega_0)^2 + \gamma_{12}^2 + \gamma_{12} T_1 |x|^2} E_0 \exp(i\omega t) + \text{c.c.} \quad (16.16)$$

În cazul unui sistem gazos, format din  $N$  atomi pe unitatea de volum pentru care considerăm doar două nivele energetice, polarizarea macroscopică este  $Np$ , iar susceptibilitatea electrică corespunzătoare se poate scrie sub forma

$$\chi(\omega) = - \frac{N \Delta \rho^0 |\mathbf{d}_{12}|^2 \epsilon_0}{\epsilon_0 \hbar} \frac{\omega - \omega_0 + i\gamma_{12}}{(\omega - \omega_0)^2 + \gamma_{12}^2 + \gamma_{12} T_1 |x|^2} = \chi' - i\chi'' \quad (16.17)$$

Puterea absorbită de sistemul gazos este proporțională cu partea imaginară a susceptibilității

$$\chi''(\omega) = \frac{N \Delta \rho^0 |\mathbf{d}_{12}|^2 \epsilon_0}{\epsilon_0 \hbar} \frac{\gamma_{12}}{(\omega - \omega_0)^2 + \gamma_{12}^2 + \gamma_{12} T_1 |x|^2}, \quad (16.18)$$



Forma liniei are un profil lorentzian, iar semilărgimea ei este determinată de intensitatea cîmpului electric prin relația

$$\Delta\omega_L = \left( \gamma_{12}^2 + \gamma_{12} T_1 \left| \frac{\mathbf{d}_{12} \mathbf{E}_0}{\hbar} \right|^2 \right)^{1/2} \quad (16.19)$$

Întrucît pătratul frecvenței Rabi caracteristice  $|x|^2$ , este proporțional cu puterea radiației incidente  $P$ , lărgirea datorată acesteia se numește și de saturație, iar relația (16.19) poate fi scrisă și sub forma

$$\Delta\omega_L = \gamma_{12} \sqrt{1 + P/P_s} \quad (16.20)$$

unde

$$P_s = \frac{\epsilon_0 c \hbar^2 A \gamma_{12}}{2 |\mathbf{d}_{12}|^2 T_1} \quad (16.21)$$

reprezintă puterea corespunzătoare saturației,  $A$  aria de interacție,  $P/P_s$  gradul de saturație. Lărgimea liniei datorată saturației are o valoare de ordinul  $10^4 - 10^5$  Hz pentru o intensitate de 1 MW/cm<sup>2</sup>.

### 26.1.2. Lărgirea omogenă a liniilor spectrale datorită ciocnirilor

Pentru a include efectul ciocnirilor în mecanismele de lărgire omogenă a liniilor spectrale considerăm un ansamblu de particule (atomi sau molecule) care se află în repaus și care sînt perturbate numai de ciocniri cu alte particule. De asemenea, pentru a simplifica tratarea teoretică a fenomenelor nu se ia în considerare efectul Doppler.

Există două tipuri de ciocniri: care induc tranziții și care schimbă faza funcțiilor de undă atomice.

*Ciocniri care induc tranziții.* În cazul în care energia necesară atomilor pentru a efectua tranziții între două nivele nu este prea mare în comparație cu energia lor cinetică, atunci ciocnirile pot induce tranziții între diferite nivele. Totuși, tranzițiile induse de ciocniri sînt neglijabile în comparație cu tranzițiile optice pe care le suferă atomii. Dacă sistemul gazos este format din molecule biatomice sau poliatomice ciocnirile pot induce tranziții pe diferite nivele rotaționale și mai puțin pe nivelele vibraționale.

Frecvența ciocnirilor este proporțională cu presiunea gazului și în acest caz efectul relaxării populației poate fi tratat modificînd ratele de relaxare care intervin în relația (16.4), astfel

$$\tilde{\gamma}_1 = \gamma_1^0 + c_1 p \quad (16.22)$$

$$\tilde{\gamma}_2 = \gamma_2^0 + c_2 p \quad (16.23)$$

unde  $c_1$  și  $c_2$  sînt probabilitățile de tranziție induse de ciocniri de pe nivelul 1 respectiv 2, pe unitatea de presiune, iar  $\gamma_1^0$  și  $\gamma_2^0$  sînt ratele de relaxare neperturbate de ciocniri. Astfel, relația (16.8) devine

$$\tilde{\gamma}_{12} = \frac{1}{2} (\tilde{\gamma}_1^0 + \tilde{\gamma}_2^0) + \frac{p}{2} (c_1 + c_2) \quad (16.24)$$

și pune în evidență lărgirea liniei spectrale datorită ciocnirilor, valoarea ei fiind de aproximativ  $3 \cdot 10^3 - 3 \cdot 10^4$  Hz, pentru o presiune de 1 mmHg.



Dacă se ține seama de ciocnirile atomilor cu pereții incintei, lărgirea liniei este determinată de  $\frac{v_0}{2\pi L}$ , unde  $v_0$  este viteza medie, iar  $L$  este diametrul incintei și are valoarea de  $10^3-10^4\text{Hz}$ .

*Ciocniri care produc schimbarea fazei funcțiilor de undă atomice.* În comparație cu ciocnirile care schimbă populațiile diferitelor nivele energetice, ciocnirile care schimbă fazele funcțiilor de undă atomice sînt mult mai frecvente. Astfel, dacă prin ciocnire, faza stării 1 este modificată cu cantitatea  $\theta_1$ , iar faza stării 2 cu cantitatea  $\theta_2$ , rezultă o modificare a matricei densitate cu cantitatea

$$(\Delta \rho_{12})_c = \langle \exp(i\Delta\theta) - 1 \rangle \rho_{12} \quad (16.25)$$

unde  $\Delta\theta = \theta_1 - \theta_2$  este o cantitate care are un caracter statistic și depinde de parametrul de ciocnire și de viteza atomilor.

Există trei tipuri de ciocniri: ciocniri slabe care produc o schimbare mică a fazei  $\Delta\theta \ll 1$ , ciocniri tari care produc o schimbare puternică a fazei  $\Delta\theta \gg 1$  și ciocniri pentru care  $\Delta\theta \simeq 1$  întîlnite în cazul general.

Dacă se consideră cazul ciocnirilor slabe, care sînt caracterizate de un parametru de ciocnire mare, media statistică din (16.25) se poate aproxima cu relația

$$(\Delta \rho_{12})_c \simeq i\langle \Delta\theta \rangle \rho_{12}. \quad (16.26)$$

Se obține astfel o modificare a frecvenței, care poate fi determinată prin înlocuirea expresiei

$$\left( \frac{\delta \rho_{12}}{\delta t} \right)_c = if \langle \Delta\theta \rangle \rho_{12} \quad (16.27)$$

în relația (16.5),  $f$  fiind frecvența de ciocnire. Linia spectrală rezultată are o frecvență diferită,  $\omega_0 + f \langle \Delta\theta \rangle$ , profilul ei rămînînd tot lorentzian și avînd aceeași lărgime.

În cazul general,  $\Delta\theta \simeq 1$  și atît faza cît și amplitudinea sînt modificate de ciocniri conform relației

$$\left( \frac{\delta \rho_{12}}{\delta t} \right)_c = f \langle \exp(i\Delta\theta) - 1 \rangle \rho_{12} = -(\gamma'_c - i\gamma''_c) \rho_{12} \quad (16.28)$$

unde  $\gamma'_c$  și  $\gamma''_c$  reprezintă părțile reală, respectiv imaginară ale ratei de relaxare datorită ciocnirilor. La presiuni scăzute, în cazul ciocnirilor binare, frecvența de ciocnire  $f$  este proporțională cu presiunea  $p$ , iar ratele de relaxare au expresiile

$$\gamma'_c = c'_{12}p \quad (16.29)$$

$$\gamma''_c = c''_{12}p. \quad (16.30)$$

În acest caz, înlocuind frecvența liniei spectrale

$$\omega_0 = (W_2 - W_1)/\hbar + c'_{12}p \quad (16.31a)$$

și rata de relaxare

$$\gamma_{12} = \frac{1}{2}(\gamma_1 + \gamma_2) + c'_{12}p \quad (16.31b)$$



în relația (16.18) se obține forma liniei spectrale. Ținând seama de relația (16.31b) și de definiția timpului de relaxare longitudinal, se observă că acesta nu este afectat de ciocniri în cazul general.

Dacă se iau în considerare ciocnirile tari, ( $\Delta\theta \gg 2\pi$ ), astfel că faza de oscilație a dipolilor se modifică foarte mult, întrucît  $\gamma_c'' = 0$ ,  $\gamma_c' = f$  și  $\langle \exp(i\Delta\theta) \rangle = 0$ .

În cazul real, ciocnirile pot să schimbe atât fazele funcțiilor de undă cît și populațiile diferitelor nivele energetice în același timp. Frecvența centrului liniei se calculează cu ajutorul relației (16.31 a), dacă modificarea populațiilor nivelelor energetice nu afectează linia, iar semilărgimea ei variază liniar cu presiunea conform relației de mai jos

$$\tilde{\gamma}_{12} = \frac{1}{2}(\gamma_1 + \gamma_2) + \frac{p}{2}(2c_{12} + c_1 + c_2). \quad (16.32)$$

Valorile experimentale ale constantelor care determină lărgirea liniei datorită presiunii sînt de ordinul 1 — 30 MHz/torr și depind de temperatură și de natura moleculelor ce compun gazul.

Timpul de relaxare longitudinal în acest caz general este dat de o expresie de forma

$$T_1 = \frac{1}{2}[(\gamma_1 + c_1 p)^{-1} + (\gamma + c_2 p)^{-1}]. \quad (16.33)$$

În general, ciocnirile care produc modificarea fazei funcțiilor de undă domină mecanismele de lărgire, iar termenul  $c_{12}p$  are valori mari, excepție făcînd cazurile presiunilor foarte scăzute.

### 16.1.3. Lărgirea omogenă a liniilor spectrale datorită timpului de tranzit

În acest caz, lărgirea liniilor spectrale se datorește intervalului de timp finit,  $\tau_{tr} = L/v_0$ , în care are loc interacția unei molecule ce se mișcă cu viteza  $v_0$  printr-un fascicul de lumină cu diametrul  $L$ . Ținînd seama de principiul de nedeterminare  $\Delta E \cdot \tau_{tr} \simeq \hbar$ , se obține lărgimea liniei spectrale datorită timpului de tranzit.

$$\Delta\omega_{tr} = \frac{1}{\tau_{tr}} \quad (16.34)$$

care are o valoare de ordinul  $10^3$ — $10^4$  Hz. Întrucît moleculele care trec prin fasciculul luminos au o anumită distribuție după viteze care nu este întotdeauna de tip maxwellian, forma exactă a liniei se obține prin integrarea după această funcție de distribuție.

Lărgirea liniilor datorită timpului de tranzit este determinată de forma fasciculului [147], care poate fi gaussiană sau sferică.

*Lărgirea omogenă a liniilor spectrale datorită timpului de tranzit prin fascicule gaussiene.* În cazul unui fascicul laser de formă gaussiană care se propagă de-a lungul axei  $z$ , suprafața de undă este considerată plană pe lărgimea fasciculului, iar distribuția cîmpului electric este dată de relația

$$E(x, y, t) = E_0 \exp(-r^2/w^2) \cos \omega_0 t \quad (16.35)$$



unde  $r^2 = x^2 + y^2$ , iar  $w$  este lărgimea fascicului. Ținând seama că funcția de autocorelație a câmpului corespunzătoare unui atom care traversează fasciculul cu viteza  $v$  este dată de relația

$$R(T) \sim \exp(-v^2 T^2 / 2w^2) \cos \omega_0 T \quad (16.36)$$

unde  $T$  este durată oscilației libere, transformata Fourier a relației (16.36) conduce la o formă gaussiană a liniei spectrale

$$G(\omega) \sim \exp[-(\omega - \omega_0)^2 w^2 / 2v^2] \quad (16.37)$$

a cărei semilărgime este

$$\Delta\omega = \sqrt{2 \ln 2} (v/w). \quad (16.38)$$

*Efecte de lărgire omogenă a liniilor spectrale datorate timpului de tranzit prin suprafețe de undă sferice.* Suprafața de undă a unui fascicul gaussian este curbă în afara centrului fascicului. Curbarea suprafeței de undă are ca efect scurtarea timpului de tranzit și lărgirea liniilor spectrale.

În acest caz intensitatea câmpului electric al unui fascicul gaussian care se propagă de-a lungul axei  $z$ , ca în fig. 16.3, este dat de relația

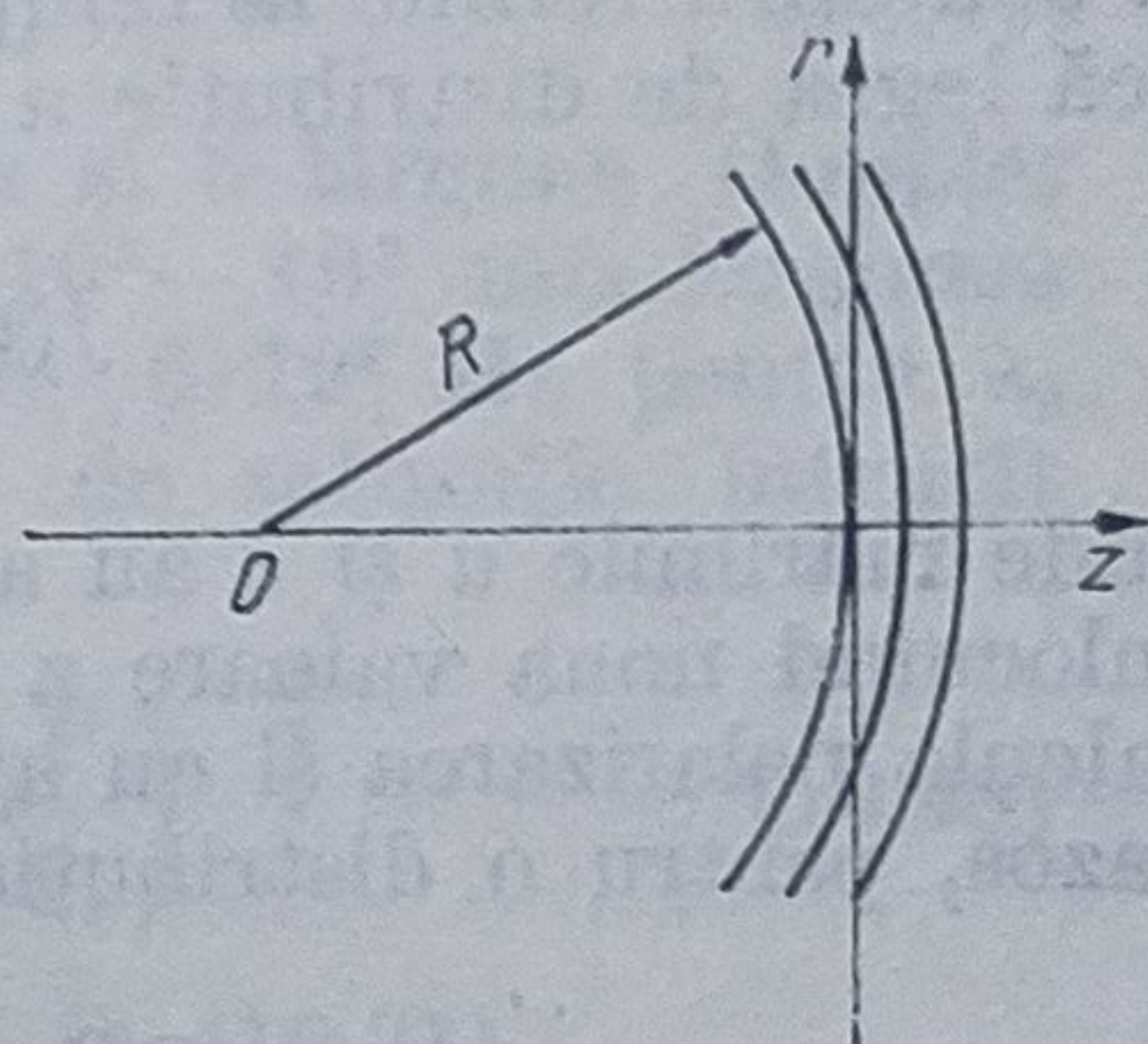


Fig. 16.3

$$E(r, z, t) = E_0 \exp \left[ -\frac{r^2}{w^2} + i \left( \omega_0 t - kz - \frac{kr^2}{2R} \right) \right] \quad (16.39)$$

unde  $w$  este lărgimea fascicului laser,  $R$  raza de curbură a suprafeței de undă corespunzătoare poziției unde se află atomul, iar  $k = \omega/c$  vectorul de undă.

Calculând transformata Fourier a câmpului dat de relația (16.39) se obține forma liniei spectrale

$$I(\omega) \sim \exp \left[ -\frac{(\omega - \omega_0)^2}{2v^2} \cdot \frac{w^2 R^2 \lambda^2}{R^2 \lambda^2 + \pi^2 w^4} \right] \quad (16.40)$$

și semilărgimea ei

$$\Delta\omega = \sqrt{2 \ln 2} v (w^{-2} + w_R^{-2})^{1/2} \quad (16.41)$$

unde  $w_R = R\lambda/\pi w$ . În cazul în care  $R \gg \pi w/\lambda$  relația (16.40) este aceeași cu relația (16.37) întrucât  $w_R \gg w$ , acestea fiind de altfel și condițiile ce trebuie îndeplinite pentru ca liniile spectrale să nu fie mult lărgite. De exemplu, pentru  $w = 1$  cm,  $\lambda = 3$   $\mu$ m, raza de curbură trebuie să fie mai mare de 100 m. Suprafețele de undă plane sînt folosite mai ales în spectroscopia de mare putere de rezoluție, cum ar fi de exemplu, spectroscopia prin absorbție saturată și cea cu ajutorul fasciculelor atomice.

## 16.2. Mecanisme de lărgire neomogenă a liniilor spectrale

La presiuni scăzute și în absența oricărui câmp neomogen exterior, liniile spectrale sînt lărgite prin efect Doppler, datorită mișcării atomilor (moleculelor). În acest caz frecvențele de tranziție ale atomilor sînt diferite și sînt dispuse într-o bandă de o anumită lărgime, în jurul frecvenței de tranziție.



### 16.2.1. Lărgirea neomogenă a liniilor spectrale datorită efectului Doppler

Dacă un atom (moleculă) se mișcă cu viteza  $v$  și nu luăm în considerare ciocnirile, la interacția cu o undă plană, frecvența proprie  $\omega_0$  corespunzătoare unei tranziții cuantice este schimbată datorită efectului Doppler cu cantitatea  $k \cdot v$ , unde  $k$  este vectorul de undă. La calculul frecvenței de tranziție se ține seama numai de componenta vitezei de-a lungul direcției de propagare. Componentele vitezelor moleculelor unui gaz aflat în echilibru termic la temperatura  $T$ , de-a lungul unei direcții fixate verifică legea de distribuție a lui Maxwell

$$f(v) = \left( \frac{1}{\sqrt{\pi} u} \right) \exp \left( -\frac{v^2}{u^2} \right) \quad (16.42).$$

unde mărimile  $u$  și  $v$  au aceeași semnificație fizică ca și în relația (15.3). Înlocuind noua valoare a frecvenței,  $\omega_0 + kv$ , în relația (16.16) se poate calcula polarizarea și cu ajutorul ei susceptibilitatea electrică a sistemului gazos, pentru o distribuție maxwelliană a vitezelor

$$\chi(\omega) = - \frac{N \Delta \rho^0 |d_{12}|^2}{\epsilon_0 \hbar} \int_{-\infty}^{+\infty} f(v) \frac{\omega - \omega_0 - kv + i\gamma_{12}}{(\omega - \omega_0 - kv)^2 + \gamma_{12}^2 + \gamma_{12} T_1 |x|^2} dv. \quad (16.43)$$

Ținând seama de relațiile (16.42) și (16.43), coeficientul de absorbție poate fi scris sub forma unei integrale de convoluție (Voigt) [147]

$$\alpha(\omega) = \frac{(N_1 - N_2) |d_{12}|^2 k \gamma_{12}}{\sqrt{\pi} \epsilon_0 \hbar u} \int_{-\infty}^{+\infty} \frac{\exp \left( -\frac{v^2}{u^2} \right)}{(\omega - \omega_0 - kv)^2 + \gamma_{12}^2 + \gamma_{12} T_1 |x|^2} dv \quad (16.44)$$

unde  $N_1 - N_2 = N \Delta \rho^0$  reprezintă diferența dintre populațiile celor două nivele fără ca acestea să sufere fenomenul de inversie. Coeficientul de absorbție obținut cu ajutorul relației (16.44) ține seamă de efectul Doppler, de efectele de relaxare longitudinală și transversală, precum și de cel de saturație. De asemenea, pot fi incluse și efectele datorate ciocnirilor, înlocuind valorile lui  $\gamma_{12}$  și  $T_1$  cu cele date în relațiile (16.32), (16.33).

Semilărgimea liniei lărgite neomogen corespunzătoare relației (16.44) în cazul unui semnal puternic este reprezentată funcție de lărgimea Doppler în fig. 16.4, ea fiind cuprinsă între curbele determinate de funcțiile  $\Delta\omega_D + \Delta\omega_L$  și  $(\Delta\omega_D^2 + \Delta\omega_L^2)^{1/2}$ , unde  $\Delta\omega_L$  este semilărgimea omogenă (16.19), iar

$$\Delta\omega_D = ku \sqrt{\ln 2} = 0,833 \omega_0 u/c \quad (16.45)$$

este semilărgimea Doppler.

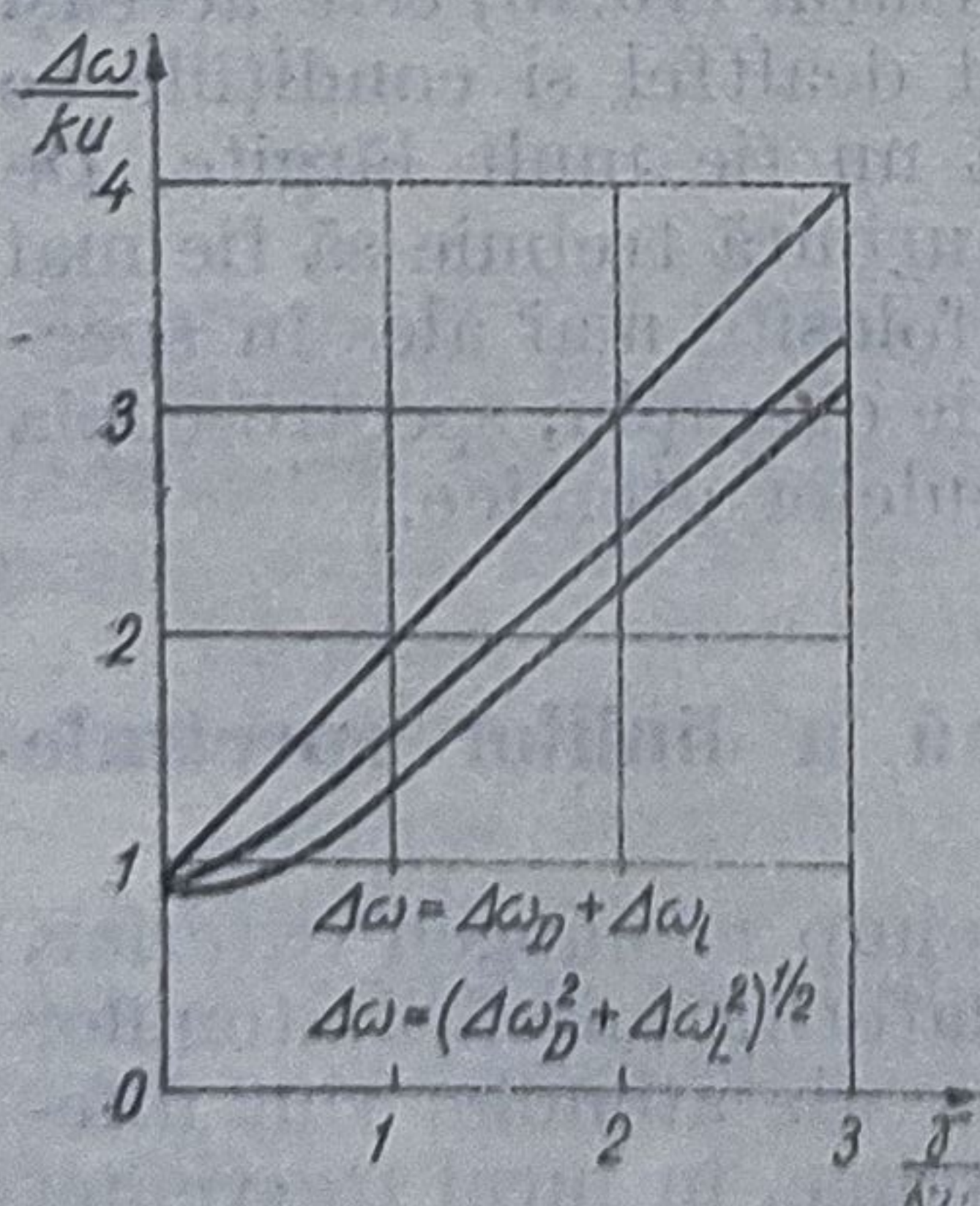


Fig. 16.4



Comportarea sistemului gazos aflat în interacție cu un câmp puternic, în absența saturației este descrisă de susceptibilitatea de semnal mic,

$$\chi_L(\omega) = \frac{(N_2 - N_1) |\mathbf{d}_{12}|^2}{\sqrt{\pi} \varepsilon_0 \hbar u} \int_{-\infty}^{+\infty} \frac{\exp(-v^2/u^2)}{\omega - \omega_0 - \mathbf{k}v - i\gamma_{12}} dv. \quad (16.46)$$

În cazul cînd lărgimea omogenă este mai mică decît lărgimea Doppler, adică  $\Delta\omega_L \ll ku$ , relația (16.44) devine

$$\alpha(\omega) = \alpha_0 \exp [-(\omega - \omega_0)^2/k^2 u^2] \quad (16.47)$$

căreia îi corespunde o formă a liniei de tip Gauss și o lărgime Doppler  $\Delta\omega_D$ . Pentru viteze ale moleculelor cuprinse între  $10^2 - 10^3$  m/s lărgimea Doppler este de  $3 \cdot 10^7$  Hz pentru  $\lambda_1 = 10^{-5}$  m și de  $6 \cdot 10^8$  Hz pentru  $\lambda_2 = 0,5 \cdot 10^{-6}$  m. (Relația (16.47) conține și efecte de saturație întrucît mărimea

$$\alpha_0 = \frac{\sqrt{\pi}}{\varepsilon_0 \hbar u} (N_1 - N_2) |\mathbf{d}_{12}|^2 \left(1 + \frac{P}{P_s}\right)^{-\frac{1}{2}} \quad (16.48)$$

este funcție de puterea corespunzătoare saturației  $P_s$  (16.21).)

### 16.2.2. Depopularea selectivă

Pentru a calcula pentru un sistem gazos populațiile nivelelor energetice 1 și 2 funcție de viteză, se înlocuiește în relațiile (16.12) — (16.14) frecvența  $\omega_0$  cu valoarea  $\omega_0 + \mathbf{k}v$ , obținîndu-se expresiile

$$N_1(v) = N_1^0(v) - \frac{\gamma_{12}}{2\gamma_1} \Delta N^0(v) \frac{|x|^2}{(\omega - \omega_0 - \mathbf{k}v)^2 + (\Delta\omega_L)^2} \quad (16.49)$$

$$N_2(v) = N_2^0(v) + \frac{\gamma_{12}}{2\gamma_2} \Delta N^0(v) \frac{|x|^2}{(\omega - \omega_0 - \mathbf{k}v)^2 + (\Delta\omega_L)^2} \quad (16.50)$$

unde  $N_1^0(v) = N \rho_{11}^0 f(v) \quad (16.51)$

și  $N_2^0(v) = N \rho_{22}^0 f(v) \quad (16.52)$

reprezintă distribuția populațiilor pe nivelul 1 și respectiv 2 în absența câmpului incident. Se observă că excitarea preferențială a particulelor, care au componenta vitezei  $v = (\omega - \omega_0)/k$  la interacția cu un câmp puternic, modifică distribuția particulelor la echilibru. Reprezentînd grafic populațiile  $N_1(v)$  și  $N_2(v)$  (fig. 16.5) se constată că fasciculul laser determină apariția unui „gol” (minim) („hole burning”) în populația nivelului inferior și a unui „pic” (maxim) în cel superior (depopulare selectivă). Semilărgimea „golului” este  $\frac{\Delta\omega_L}{k}$  și crește cu creșterea intensității radia-

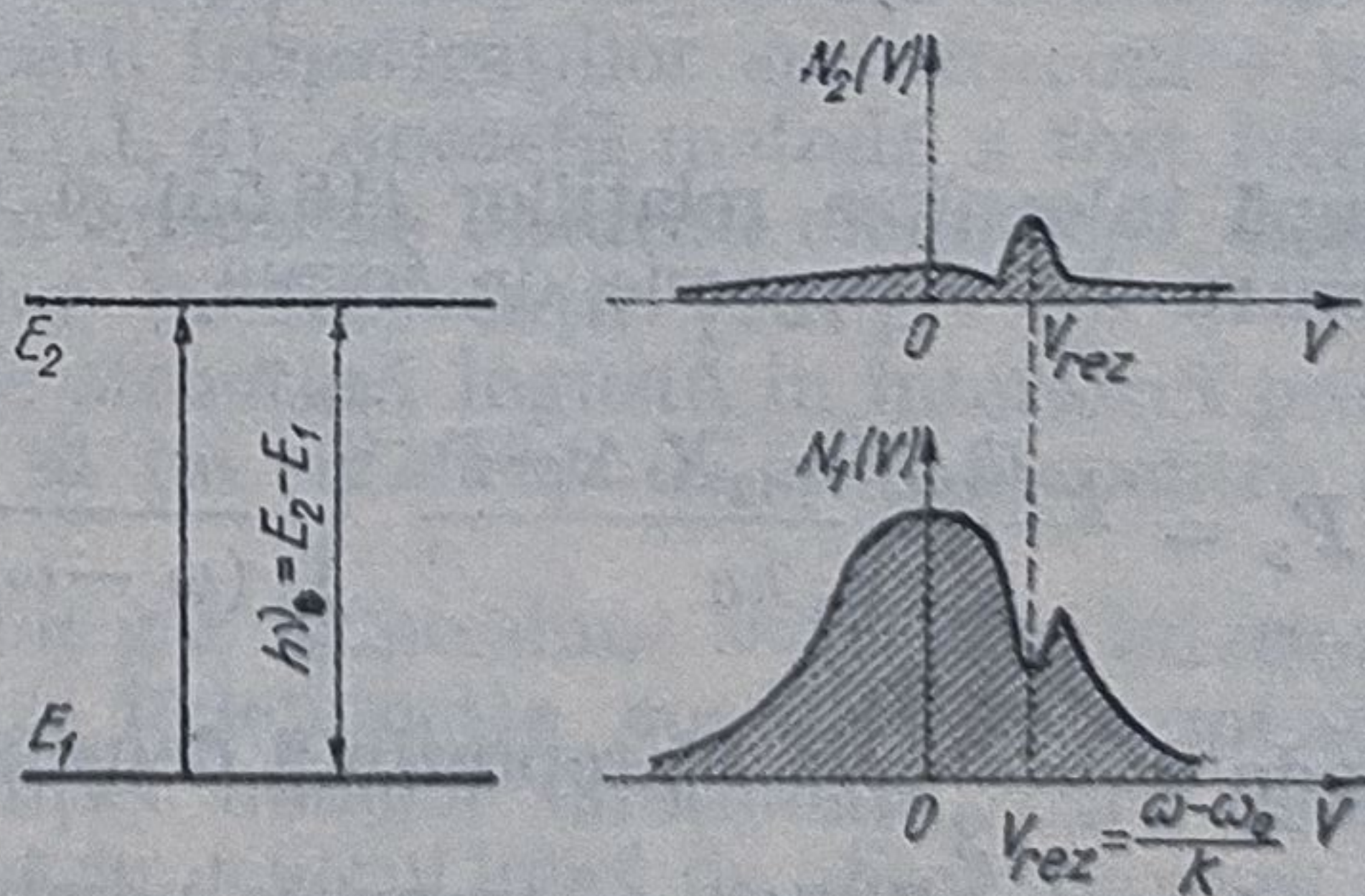


Fig. 16.5



ției de pompaj după o funcție de forma  $(\gamma_{12}^2 + \gamma_{12} T_1 |x|^2)^{1/2}$ , iar adâncimea lui după o funcție de forma  $\frac{|x|^2}{\gamma_{12}^2 + \gamma_{12} T_1 |x|^2}$ . Adâncimea „golului” pentru nivelul 1 și înălțimea „picului” pentru nivelul 2 nu sînt egale, fiind proporționale cu timpii de relaxare  $\gamma_1^{-1}$  și respectiv  $\gamma_2^{-1}$ .

Aceleași rezultate puteau fi obținute dacă se utilizau ecuațiile ratelor

$$\frac{dN_1(v)}{dt} = -\gamma_1[N_1(v) - N_1^0(v)] - S(v) \Delta N(v) \quad (16.53)$$

$$\frac{dN_2(v)}{dt} = -\gamma_2[N_2(v) - N_2^0(v)] + S(v) \Delta N(v) \quad (16.54)$$

unde

$$S(v) = \frac{\gamma_{12} |x|^2}{2} \left/ [(\omega - \omega_0 - \mathbf{k}v)^2 + \gamma_{12}^2] \right. \quad (16.55)$$

reprezintă probabilitatea tranzițiilor nesaturate. Astfel, populațiile celor două nivele sînt date de expresii de forma

$$N_1(v) = N_1^0(v) - \frac{1}{\gamma_1} \Delta N(v) S(v) \quad (16.56)$$

$$N_2(v) = N_2^0(v) + \frac{1}{\gamma_2} \Delta N(v) S(v) \quad (16.57)$$

iar diferența de populație este

$$\Delta N(v) = \frac{\Delta N^0(v)}{1 + 2 T_1 S(v)} \quad (16.58)$$

unde

$$N^0(v) = N_1^0(v) - N_2^0(v) = N \Delta \rho^0 f(v).$$

Rata de absorbție pe unitatea de volum este dată de relația

$$P_p = \int_{-\infty}^{+\infty} \hbar \omega S(v) \Delta N(v) dv. \quad (16.59)$$

După înlocuirea relațiilor (16.55) și (16.58) în relația (16.59) se obține pentru  $P_p$  o expresie de forma

$$P_p = \frac{\omega |\mathbf{d}_{12}|^2 \gamma_{12} N \Delta \rho^0 P}{\epsilon_0 \hbar c} \int_{-\infty}^{+\infty} \frac{f(v) dv}{(\omega - \omega_0 - \mathbf{k}v)^2 + \gamma_{12}^2 + \gamma_{12} T_1 |x|^2} \quad (16.60)$$

unde  $P = \frac{1}{2} c \epsilon_0 E_0^2$  reprezintă densitatea puterii incidente. Deci, cu ajutorul probabilității de tranziție nesaturată, fenomenul de absorbție saturată a unei unde la trecerea printr-un sistem cuantic care are 2 nivele energetice, se manifestă prin apariția unui „gol” (minim) în populația nivelului inferior și respectiv a unui „pic” (maxim) în cel superior („hole burning”).

Fenomenul de depopulare selectivă a fost studiat prima dată de Bloembergen [148] prin metoda rezonanței magnetice și discutat în cazul undelor staționare produse cu ajutorul unui laser de către Bennett [149].



## 17. SPECTROSCOPIE NELINIARĂ

### 17.1. Spectroscopie prin absorbție saturată

Spectroscopia prin absorbție saturată s-a dezvoltat odată cu studiul interacției radiației laser cu un mediu care o amplifică (mediu activ).

Ca urmare a interacției dintre radiația laser și moleculele sau atomii unui sistem gazos se modifică distribuția particulelor după viteze.

Astfel, radiația laser determină apariția unui „gol” în linia care urmează a fi amplificată, care are o lărgime Doppler, ceea ce conduce la o scădere a puterii la ieșire în cazul rezonanței, când frecvența laserului coincide cu centrul profilului Doppler. Fenomenul este cunoscut sub numele de „Lamb-dip” și a fost pus în evidență experimental [151], cu ajutorul unei celule cu gaz la presiune scăzută (câteva torri) care determină, la frecvența de rezonanță  $\nu_0$ , saturarea absorbției undelor staționare obținute prin reflexia radiației laser pe cele două oglinzi ale cavității (fig. 17.1, a, c).

Dacă frecvența laserului nu coincide rezonant cu frecvența de tranziție a atomilor gazului, cele două unde staționare vor determina fiecare apariția unui „gol”, în diferența populațiilor nivelelor, care vor fi simetrice față de centrul profilului Doppler (fig. 17.1, b).

Întrucât lărgimea „golului” care apare la rezonanță în centrul liniei (care are o lărgime Doppler) este egală cu lărgimea liniei omogene  $2\gamma$  (fiind mai mică decât lărgimea Doppler  $\Delta\omega_D$  cu câteva ordine de mărime) s-a creat posibilitatea aplicării investigațiilor spectroscopice în interiorul conturului Doppler (fig. 17.1, d). Această metodă a fost folosită și pentru măsurarea lărgimii liniilor spectrale datorită ciocnirilor, deplasării izotopice și stabilizarea laserilor în frecvență [147].

Pentru a obține o astfel de structură îngustă în interiorul profilului Doppler, radiația laser trebuie să fie suficient de intensă pentru a produce saturarea tranziției.

Prin plasarea unei celule cu gaz la presiune scăzută în interiorul cavității laser (fig. 17.2.a), dacă se îndeplinește condiția de rezonanță, se poate produce saturarea absorbției undelor staționare, care determină apariția unui „Lamb-dip” îngust în centrul liniei de absorbție care are un profil Doppler. Amplificarea produsă de cele două medii este și saturată (fig. 17.2.b) și ca urmare a acestui fapt în puterea laserului la ieșire apare un maxim pronunțat, fenomenul purtând și denumirea de „Lamb-dip” inversat (fig. 17.2.c). Printr-o alegere potrivită a particulelor mediului gazos și a tranziției se pot obține lărgimi de ordinul  $10^6$  Hz.

Folosirea fenomenului de saturare a absorbției în spectroscopie și în stabilizarea frecvenței laserilor este avantajoasă întrucât minimul liniei de



absorbție poate fi îngustată cu două, trei ordine de mărime mai mult decât maximul corespunzător amplificării, iar centrul liniei spectrale corespunzătoare absorbției are o frecvență stabilă.

Pentru a obține fenomenul de saturație la rezonanță în centrul unei linii de absorbție, se poate folosi o undă incidentă puternică (de pompaj) și o alta slabă, (de probare) obținută de exemplu prin reflexia celei dintâi, care se propagă în sens contrar (fig. 17.2, d). Dacă frecvența celor două unde coincide cu centrul profilului Doppler, unda de probare interacționează cu acele molecule care au determinat saturarea absorbției unde de pompaj. În spectrul de absorbție al radiației de probare se observă apariția unui minim care are lărgime omogenă și o frecvență ce coin-

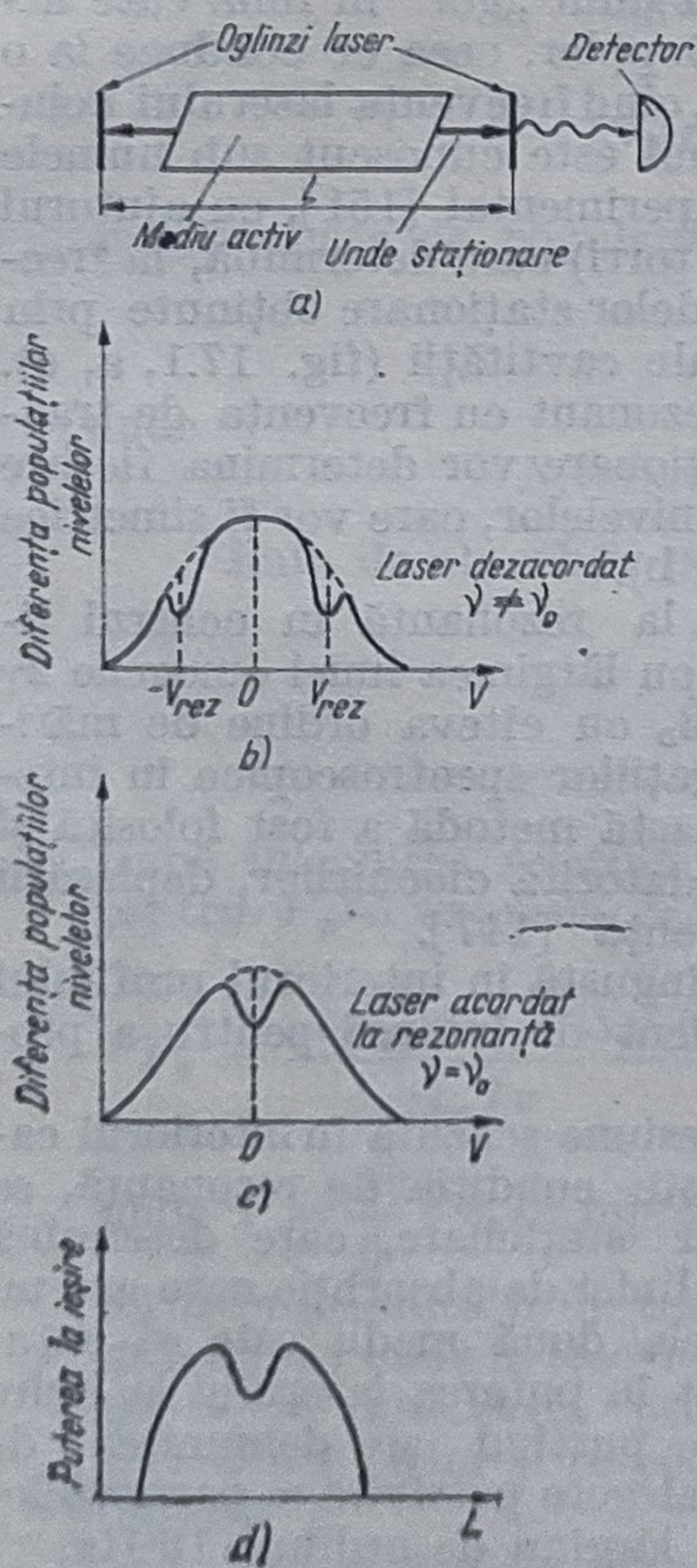


Fig. 17.1

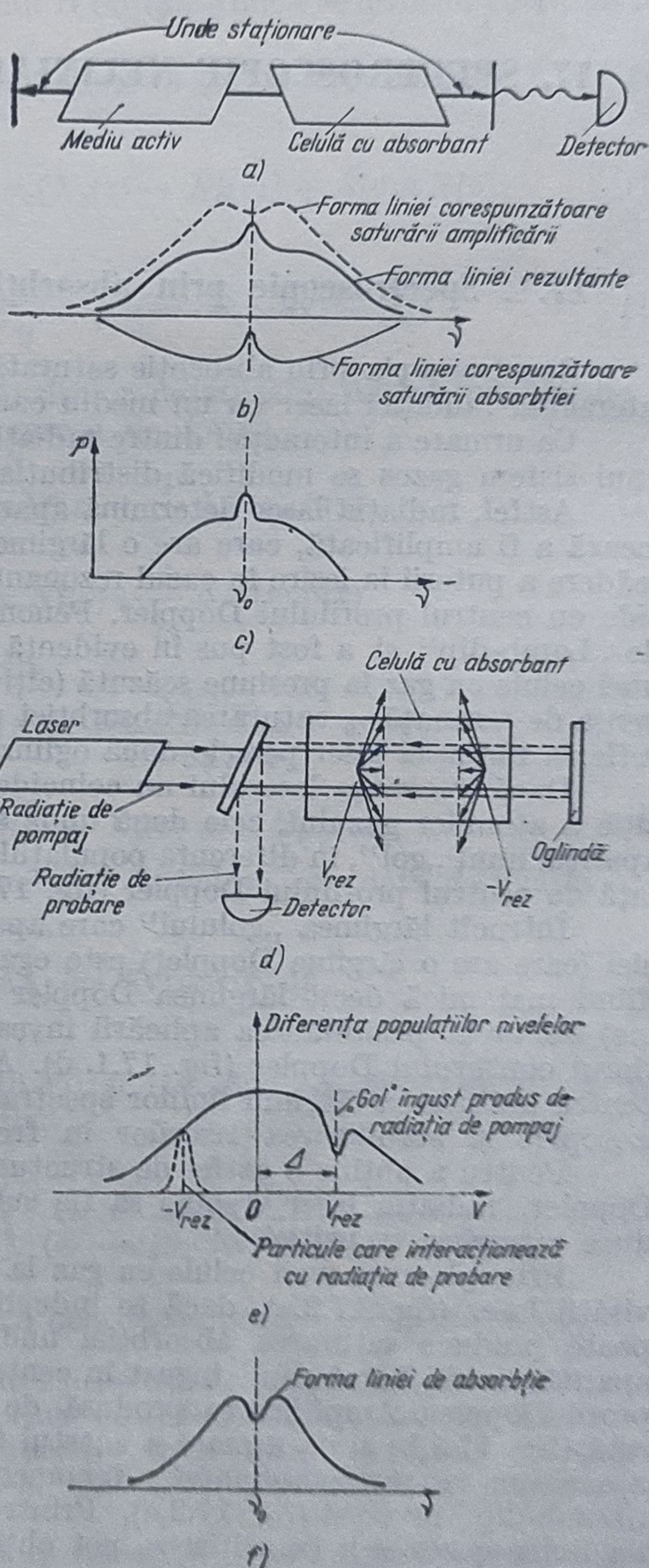


Fig. 17.2



cide rezonant cu centrul profilului Doppler (fig. 17.2, e, f) [161, 147].

Un „gol” îngust în distribuția particulelor după viteze se obține și în cazul tranzițiilor cuplate [147, 161]. Prin excitarea particulelor cu o radiație laser de pompaj (fig. 17.3, a), apare un maxim în distribuția particulelor după viteze, care sînt excitate pe nivelul intermediar 2 (fig. 17.3, b, c), iar linia care corespunde tranziției de pe acest nivel 2 pe nive-

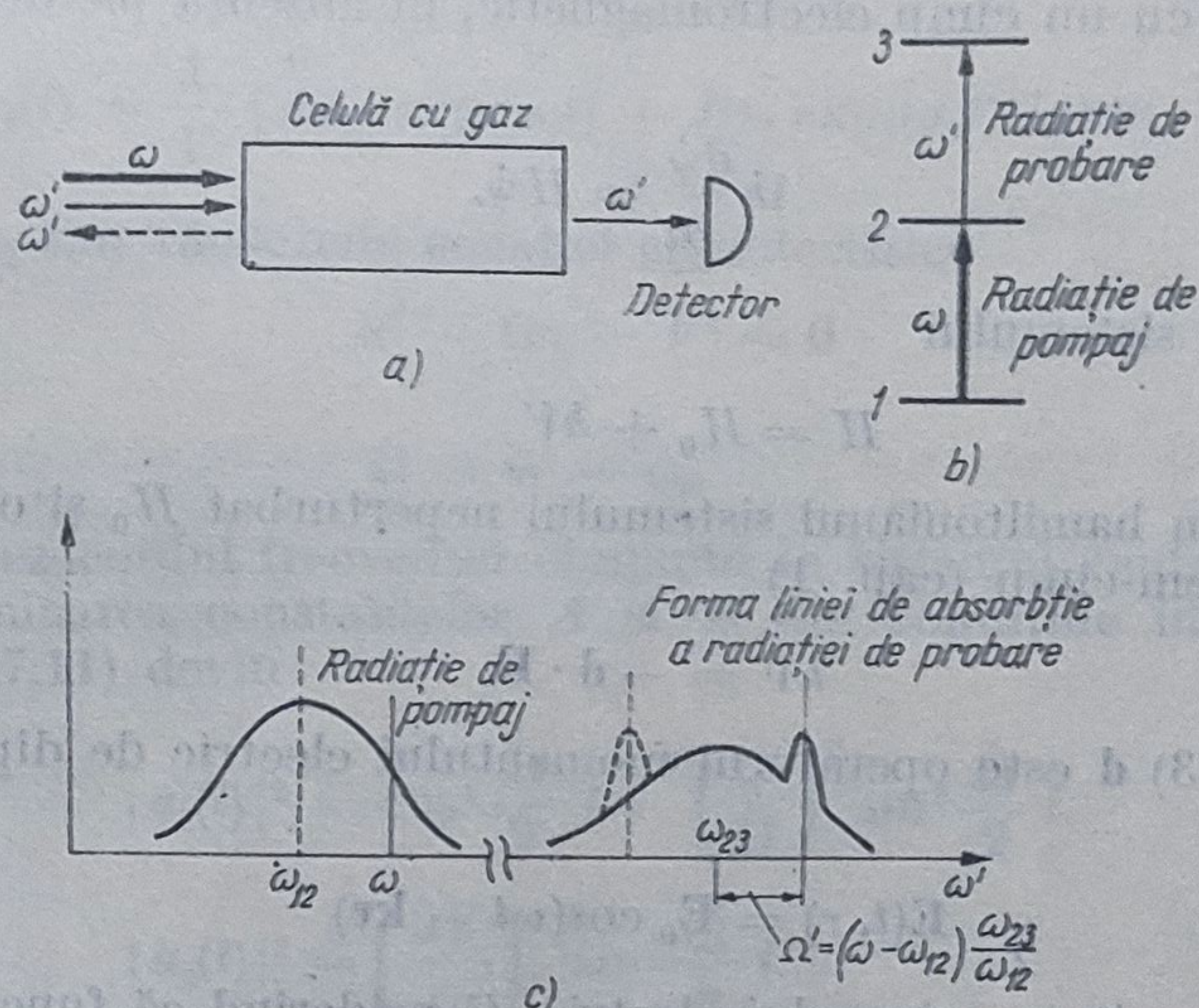


Fig. 17.3

lul superior 3 are un maxim a cărui lărgime este mai mică decît lărgimea Doppler. Forma acestei linii poate fi analizată cu ajutorul unei radiații de probare, care se propagă în același sens cu radiația de pompaj.

Dacă se utilizează unde staționare cu frecvența acordată pe cea corespunzătoare centrului liniei, care are un profil Doppler, saturarea absorbției la rezonanță, determină schimbarea numărului total de particule pe fiecare nivel implicat în tranziție (fig. 17.4). Se obține astfel un minim în populația nivelului superior care coincide la rezonanță cu maximul corespunzător nivelului inferior. Determinarea populațiilor nivelelor se poate face măsurînd intensitatea spectrului de fluorescență corespunzător tranziției de pe nivelul excitat [147, 161].

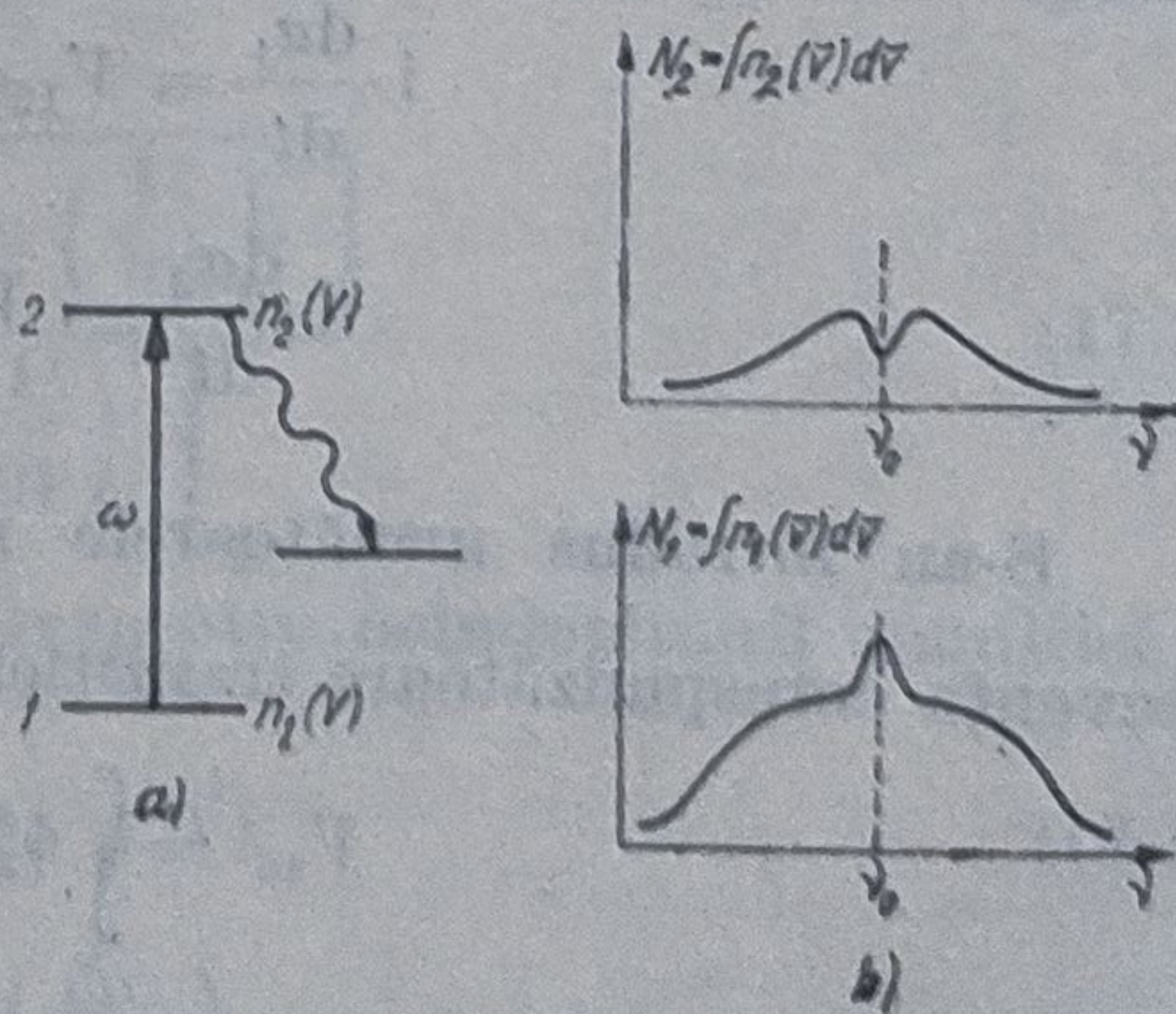


Fig. 174.



## 17.2. Teoria proceselor de interacție rezonantă dintre radiația laser și un sistem gazos cu două nivele

### 17.2.1 Formalismul Schrödinger

În cazul unui sistem izolat format din atomi cu numai două nivele energetice  $E_1$  și  $E_2$ , ecuația lui Schrödinger care descrie interacția acestui sistem cu un câmp electromagnetic, în absența pierderilor este de forma

$$i\hbar \frac{\partial \psi}{\partial t} = H \psi. \quad (17.1)$$

Hamiltonianul sistemului

$$H = H_0 + \hbar V \quad (17.2)$$

este format din hamiltonianul sistemului neperturbat  $H_0$  și operatorul de interacție sistem-câmp (cap. 1)

$$\hbar V = -\mathbf{d} \cdot \mathbf{E}. \quad (17.3)$$

În relația (17.3)  $\mathbf{d}$  este operatorul momentului electric de dipol al particulei, iar

$$\mathbf{E}(t, \mathbf{r}) = \mathbf{E}_0 \cos(\omega t - \mathbf{k} \cdot \mathbf{r}) \quad (17.4)$$

reprezintă intensitatea câmpului electric. Considerînd că funcția de undă care descrie sistemul cuantic aflat în interacție cu câmpul electromagnetic are expresia

$$\psi(t) = a_1(t) \psi_1 \exp\left(-\frac{iE_1 t}{\hbar}\right) + a_2(t) \psi_2 \exp\left(-\frac{iE_2 t}{\hbar}\right) \quad (17.5)$$

unde  $|a_1(t)|^2$  și  $|a_2(t)|^2$  reprezintă amplitudinile probabilităților ca sistemul să se găsească în una din stările 1 sau 2, se obțin două ecuații pentru amplitudinile de probabilitate, de forma

$$i \frac{da_1}{dt} = V_{12} a_2 \exp(-i\omega_0 t) \quad (17.6)$$

$$i \frac{da_2}{dt} = V_{21} a_1 \exp(i\omega_0 t). \quad (17.7)$$

S-au introdus următoarele notații:  $\omega_{21} = \frac{E_2 - E_1}{\hbar} = \omega_0$  pentru frecvența corespunzătoare tranziției între nivelele  $E_2$  și  $E_1$ , și

$$V_{12} = \int \psi_2^* V \psi_1 d\tau = V_{21}^* \quad (17.8)$$

pentru elementele de matrice ale operatorului de interacție  $V = \frac{d\mathbf{E}}{2\hbar}$ .



Ținând seama că particula se află în mișcare cu viteza  $v$ , iar în sistemul centrului de masă, frecvența cîmpului este  $\omega' = \omega - kv$ , pentru amplitudinea  $a_1$ , ecuațiile (17.6) și (17.7) se transformă în

$$\frac{d^2 a_1}{dt^2} - i\Omega \frac{da_1}{dt} + V^2 a_1 = 0. \quad (17.9)$$

Se admit pentru amplitudinile  $a_1$  și  $a_2$  soluții de forma

$$a_1(t) = A \exp(i\alpha_1 t) + B \exp(i\alpha_2 t) \quad (17.10)$$

$$a_2(t) = \frac{1}{V} [A\alpha_1 \exp(i\alpha_1 t) + B\alpha_2 \exp(i\alpha_2 t)] [\exp(-i\Omega t)] \quad (17.11)$$

unde  $\alpha_1$  și  $\alpha_2$  sînt rădăcinile ecuației caracteristice

$$\alpha^2 - \Omega\alpha - V^2 = 0 \quad (17.12)$$

iar

$$\Omega = \omega' - \omega_0 \quad (17.13)$$

reprezintă dezacordul frecvenței cîmpului în sistemul centrului de masă. După determinarea constantelor  $A$  și  $B$  din condițiile inițiale, relațiile (17.10) și (17.11) devin

$$|a_1(t)|^2 = \cos^2 \frac{\tilde{\Omega}}{2} t + \left( \frac{\Omega}{\tilde{\Omega}} \right)^2 \sin^2 \frac{\tilde{\Omega}}{2} t. \quad (17.14)$$

$$|a_2(t)|^2 = \left( \frac{2V}{\tilde{\Omega}} \right)^2 \sin^2 \frac{\tilde{\Omega}}{2} t. \quad (17.15)$$

Pentru determinarea constantelor  $A$  și  $B$  din relațiile (17.10) și (17.11) s-a ținut seama că la momentul inițial ( $t=0$ ) sistemul se află în starea 1, adică

$$|a_1(0)|^2 = 1, \quad |a_2(0)|^2 = 0 \quad (17.16)$$

precum și de relația dintre frecvențe

$$\tilde{\Omega}^2 = \Omega^2 + (2V)^2. \quad (17.17)$$

Probabilitatea de tranziție de pe nivelul inferior pe cel superior, definită de relația

$$w_{12} = \frac{\sin^2 \left[ Vt \sqrt{1 + \left( \frac{\Omega}{2V} \right)^2} \right]}{\left[ 1 + \left( \frac{\Omega}{2V} \right)^2 \right]} \quad (17.18)$$

poate fi scrisă în cazul îndeplinirii și respectiv neîndeplinirii condiției de rezonanță sub forma

$$w_{12} = \sin^2 Vt, \quad (\Omega \ll V) \quad (17.19)$$

$$w_{12} = \left( \frac{2V}{\tilde{\Omega}} \right)^2 \sin^2 \left( \frac{\tilde{\Omega}}{2} t \right), \quad (\Omega \gg V). \quad (17.20)$$



Reprezentarea grafică a probabilităților de tranziție funcție de timp este dată în fig. 17.5. Dacă la momentul inițial ( $t = 0$ ) sistemul se găsește pe nivelul superior

$$|a_1(0)|^2 = 0 \quad \text{și} \quad |a_2(0)|^2 = 0 \quad (17.21)$$

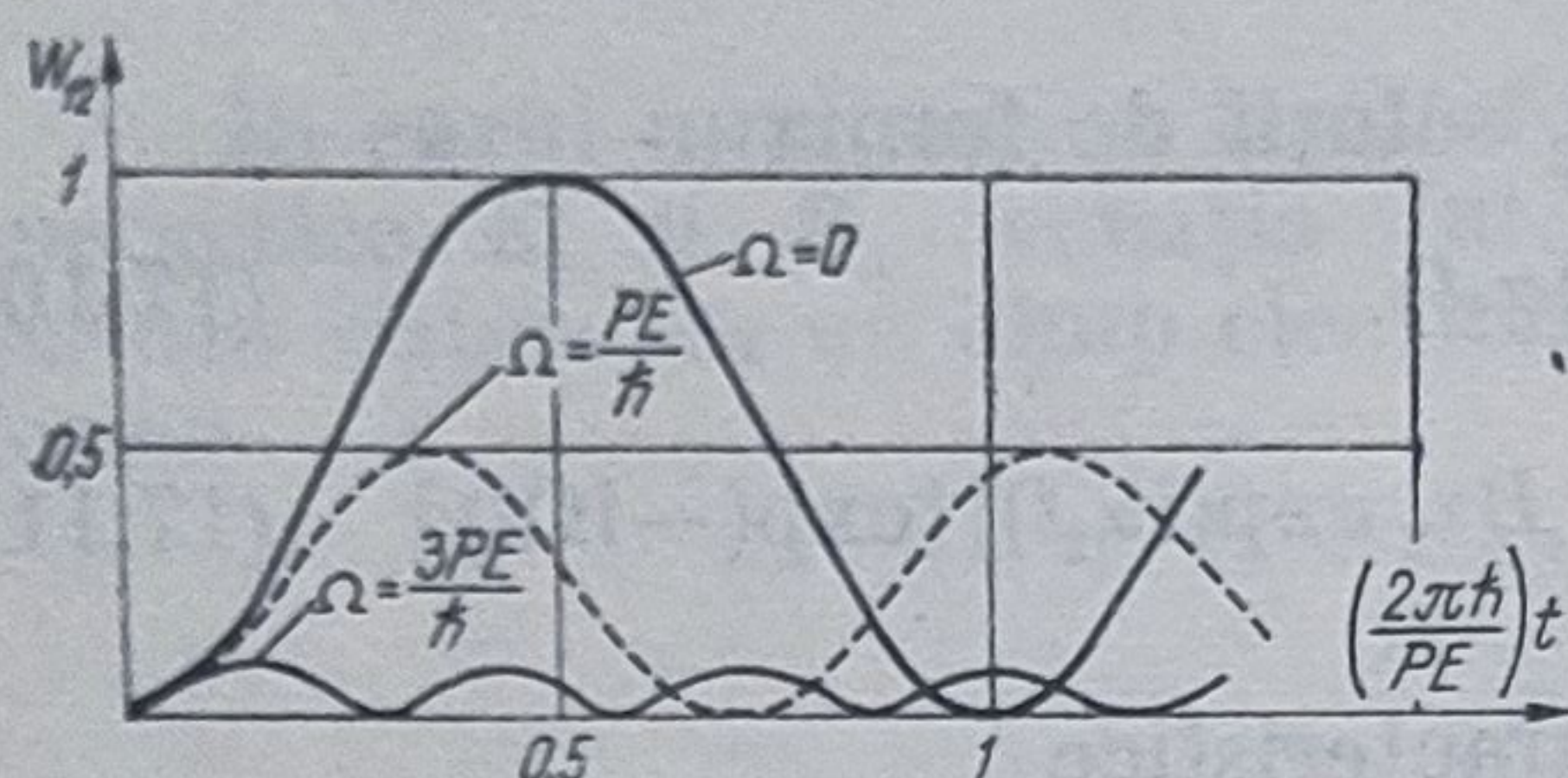


Fig. 17.5

se demonstrează că probabilitatea de tranziție pe nivelul inferior este dată de relația (17.18). Cunoșcând amplitudinile de probabilitate  $a_1(t)$  și  $a_2(t)$  se poate calcula dependența de timp a polarizării

$$P = \int \psi^* d\psi d\tau = a_2^* a_1 d \exp(i\omega_0 t) + \text{c. c.} \quad (17.22)$$

Efectele de relaxare și pierderile trebuie luate în considerare în cazul în care interacția dintre câmpul electromagnetic și sistemul cuantic are loc la rezonanță. Notînd cu  $\gamma_i$  rata de relaxare a nivelului  $i$ , datorită tranzițiilor spontane, ecuațiile pentru amplitudinile de probabilitate (17.6) și (17.7) devin

$$i \left( \frac{da_1}{dt} + \frac{\gamma_1}{2} a_1 \right) = -V \exp(i\Omega t) a_2 \quad (17.23)$$

$$i \left( \frac{da_2}{dt} + \frac{\gamma_2}{2} a_2 \right) = -V \exp(-i\Omega t) a_1. \quad (17.24)$$

Valorile amplitudinilor de probabilitate pot fi stabilite rezolvînd următoarea ecuație matriceală [161]

$$a(t) = S(t) a(t_0) \quad (17.25)$$

unde matricea  $a(t)$  care determină starea sistemului la un moment dat  $t$  are forma

$$a(t) = \begin{pmatrix} a_1(t) \\ a_2(t) \end{pmatrix} \quad (17.26)$$

iar matricea  $S$  este dată de relația

$$S = \begin{pmatrix} -\frac{\alpha_2 + \frac{\gamma_2}{2}}{\alpha_1 - \alpha_2} e^{\alpha_1 t} + \frac{\alpha_1 + \frac{\gamma_2}{2}}{\alpha_1 - \alpha_2} e^{\alpha_2 t} & -\frac{iV}{\alpha_1 - \alpha_2} (e^{\alpha_1 t} - e^{\alpha_2 t}) \\ -\frac{iV}{\alpha_1 - \alpha_2} (e^{\alpha_1 t} - e^{\alpha_2 t}) e^{i\Omega t} & \left( \frac{\alpha_1 + \frac{\gamma_2}{2}}{\alpha_1 - \alpha_2} e^{\alpha_1 t} - \frac{\alpha_2 + \frac{\gamma_2}{2}}{\alpha_1 - \alpha_2} e^{\alpha_2 t} \right) e^{i\Omega t} \end{pmatrix} \quad (17.27)$$



Starea sistemului la momentul inițial  $t_0$  este descrisă de una din matricele

$$a(t_0) = \begin{pmatrix} 1 \\ 0 \end{pmatrix} \text{ sau } a(t_0) = \begin{pmatrix} 0 \\ 1 \end{pmatrix}. \quad (17.28)$$

Cunoscând amplitudinile de probabilitate  $a_1$  și  $a_2$  se poate calcula amplitudinea probabilității de tranziție pe nivelul 2, ținând seama că la momentul inițial particula se află pe nivelul inferior

$$w_{12} = \gamma_2 \int_{t_0}^{\infty} |a_2(t)|^2 dt. \quad (17.29)$$

În urma integrării se obține relația

$$w_{12} = \frac{\gamma}{2\gamma_1} \cdot \frac{(2V)^2}{(\Omega - \mathbf{k}\mathbf{v})^2 + \gamma^2(1 + G)} \quad (17.30)$$

unde

$$\gamma = \frac{\gamma_1 + \gamma_2}{2} \quad (17.31)$$

determină lărgimea omogenă a liniei corespunzătoare tranziției  $1 \rightarrow 2$ , iar

$$G = \left( \frac{dE}{\hbar} \right)^2 \frac{1}{\gamma_1 \gamma_2} = \frac{(2V)^2}{\gamma_1 \gamma_2} \quad (17.32)$$

este parametrul de saturație.

Probabilitatea tranziției stimulate a particulei de pe nivelul 2 pe nivelul 1 este dată de relația

$$w_{21} = \frac{\gamma_1}{\gamma_2} w_{12} \quad (17.33)$$

și este reprezentată funcție de parametrul de saturație  $G$  în fig. 17.6. La limită, când  $G \gg 1$  (saturare puternică) valorile probabilităților devin

$$w_{12} = \frac{\gamma_2}{\gamma_1 + \gamma_2} \text{ și } w_{21} = \frac{\gamma_1}{\gamma_1 + \gamma_2} \quad (17.34)$$

iar când  $G \ll 1$  (saturare slabă), probabilitățile de tranziție sînt proporționale cu intensitatea cîmpului.

Cunoscând valorile amplitudinilor de probabilitate se pot determina, de asemenea, condițiile în care  $|a_i(t)|^2$  prezintă oscilații în timp. În cazul saturării slabe ( $G \ll 1$ ), la rezonanță, dacă particula se află pe un nivel excitat, pentru amplitudinile de probabilitate se obțin expresiile

$$a_1(t) = -ie^{-\gamma t} \sin Vt \quad (17.35)$$

$$a_2(t) = e^{-\gamma t} \cos Vt \quad (\gamma = \gamma_1 = \gamma_2) \quad (17.36)$$

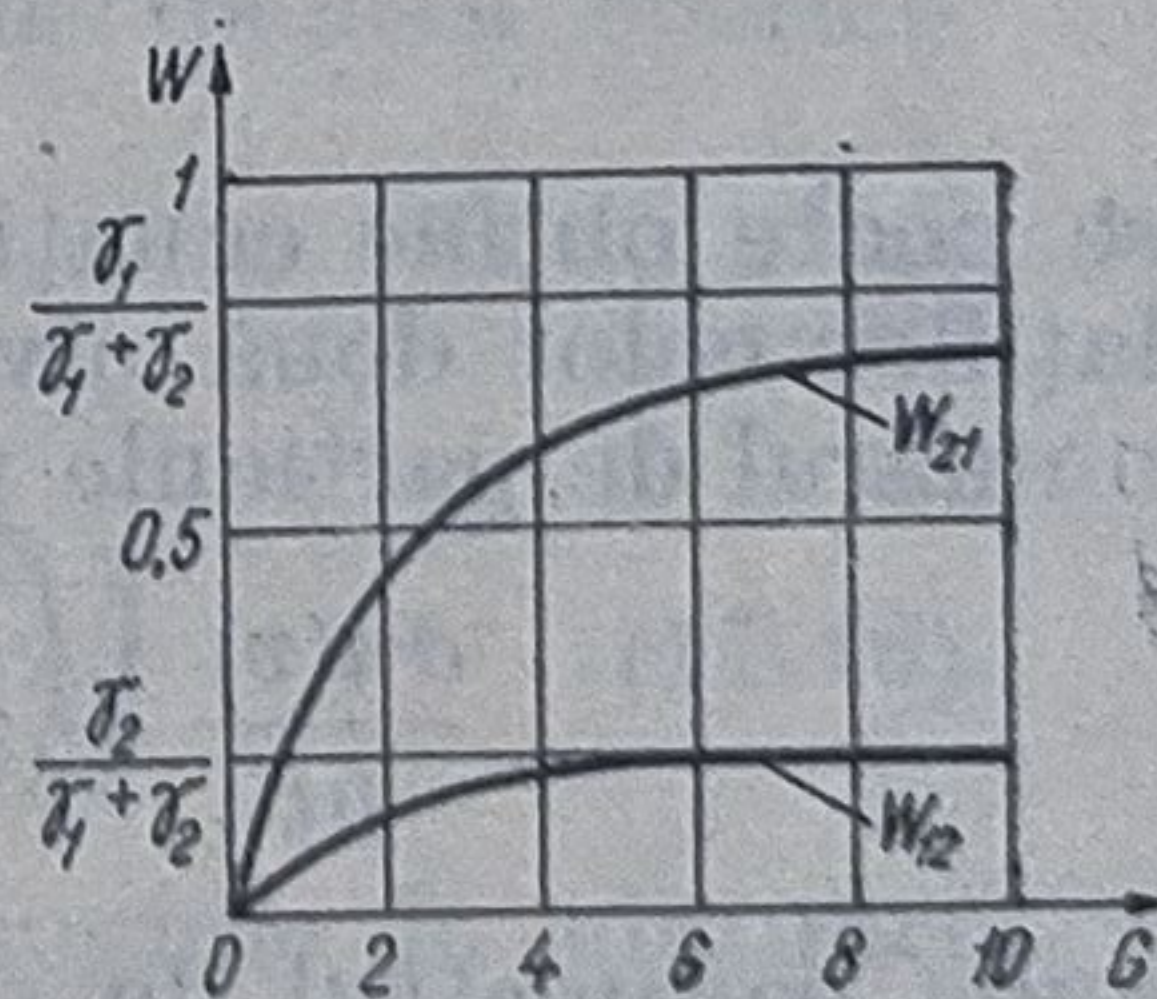


Fig. 17.6



care pun în evidență faptul că probabilitățile de ocupare ale nivelelor 1 și 2 au valori oscilante. Deci dacă este îndeplinită condiția  $2V > \gamma$ , amplitudinile de probabilitate oscilează de câteva ori în intervalul determinat de timpul de viață al particulei pe nivelul excitat. Din relația (17.34) se observă că în cazul unei saturații puternice media populației de pe nivelul cu timp de viață mai lung este mai mică decât cea de pe nivelul cu timp de viață mai scurt și că nu au loc oscilații ale amplitudinii de probabilitate. Cu toate acestea, dacă nu este îndeplinită așa numita condiție de neperiodicitate

$$G < \frac{(\gamma_1 - \gamma_2)^2}{\gamma_1 \gamma_2} = \frac{\gamma_1}{\gamma_2} \quad (17.37)$$

pot să apară oscilații ale amplitudinii de probabilitate.

### 17.2.2. Formalismul matricei densitate și al ecuației ratelor

Descrierea unui sistem cuantic cu două nivele energetice care interacționează cu un câmp exterior cu ajutorul formalismului Schrödinger, implică cunoașterea stării în care se află sistemul la momentul inițial (stare „pură”). În cazul în care sistemul poate să se găsească cu o anumită probabilitate și în alte stări (stare „mixtă”), pentru a-i caracteriza evoluția se folosește formalismul matricei densitate prezentat în § 9.1 și anexa 1.

Folosirea formalismului matricei densitate mai este legată de faptul că starea inițială a sistemului nu se cunoaște cu exactitate, iar mărimile care caracterizează starea sistemului pot fi determinate experimental numai ca valori medii ale întregului ansamblu. Formalismul matricei densitate poate fi folosit la calculul polarizării mediului dar și pentru descrierea fenomenelor în care sînt implicate ciocnirile, prin luarea în considerație a constantelor de relaxare.

Ținînd seama de modelul prezentat în §9.1 și utilizînd pentru matricea care descrie fenomenele de relaxare o expresie de forma

$$(\Gamma \rho) = \begin{pmatrix} \gamma_1(\rho_{11} - \rho_{11}^0) & \gamma \rho_{12} \\ \gamma \rho_{21} & \gamma_2(\rho_{22} - \rho_{22}^0) \end{pmatrix} \quad (17.38)$$

se poate obține ecuația care descrie evoluția în timp a diferenței populațiilor celor două nivele,  $n(v) = n_2(v) - n_1(v) = N_0(\rho_{11} - \rho_{22})$ ; ( $N_0$  fiind numărul de particule pe unitatea de volum) numită și *ecuația ratelor*

$$\frac{\partial n(v)}{\partial t} + \gamma_R[n(v) - n_0(v)] = \gamma_R GL (\mathbf{k} \mathbf{v} - \Omega) n(v) \quad (17.39)$$

unde parametrul de saturație are expresia

$$G = \frac{4 V^2}{\gamma_R \gamma} = \left( \frac{d_{12} E}{\hbar} \right) \frac{1}{\gamma_R \gamma} \quad (17.40)$$

$$\text{iar} \quad L(x) = \frac{\gamma^2}{\gamma^2 + x^2} \quad (17.41)$$

este așa-numitul factor de formă lorentzian (cap. 1).



### 17.3. Calculul coeficientului de absorbție al radiației de pompaj într-un sistem cu două nivele

În cazul interacției dintre o radiație laser de pompaj și un sistem cuantic cu două nivele soluția ecuației (17.39) este

$$n(v) = \frac{n_0}{1 + \frac{G\gamma^2}{(\Omega - kv)^2 + \gamma^2}}. \quad (17.42)$$

Această soluție pune în evidență apariția în distribuția populațiilor celor două nivele a unui „gol” (fig. 17.7), corespunzător particulelor pentru care este îndeplinită condiția de rezonanță

$$kv - \omega - \omega_0 = 0. \quad (17.43)$$

Absorbția undelor electromagnetice într-un anumit mediu este caracterizată de coeficientul de absorbție pe unitatea de lungime  $K(\omega)$  care este determinat de raportul dintre puterea absorbită de toate particulele din unitatea de volum și densitatea fluxului radiației incidente

$$K(\omega) = \frac{8\pi\hbar\omega}{cE^2} [Q \langle w_{12}(v) \rangle - Q_2 \langle w_{21}(v) \rangle] \quad (17.44)$$

În relația (17.44)  $Q_i = N_i\gamma_i$  reprezintă numărul de particule excitate pe nivelul  $i$  pe unitatea de volum și în unitatea de timp, iar  $\langle w_{12} \rangle$  și  $\langle w_{21} \rangle$  sînt probabilitățile tranzițiilor induse, date de relațiile (17.30) și (17.33), mediate după funcția de distribuție după viteze [161].

La limită, cînd lărgimea liniei la rezonanță este mult mai mică decît lărgimea Doppler, adică  $\gamma_B = \gamma(1 + G)^2 \ll kv$ , se obține pentru coeficientul de absorbție pe unitatea de lungime expresia

$$K(\omega) = K_0(\omega) (1 + G)^{-1/2} \quad (17.45)$$

unde

$$K_0(\omega) = \frac{1}{\hbar u} 4\pi^{3/2} d_{21}^2 (N_1^0 - N_2^0) \exp \left[ - \left( \frac{\Omega}{\hbar u} \right)^2 \right] \quad (17.46)$$

reprezintă coeficientul de absorbție pe unitatea de lungime în cîmpuri slabe care nu produc saturarea absorbției. În cazul cîmpurilor puternice coeficientul de absorbție are o dependență de frecvență determinată de un contur Doppler însă valoarea lui scade datorită saturației.

Cînd linia este lărgită neomogen, coeficientul de absorbție este proporțional cu  $\sqrt{G}$ , adică cu amplitudinea cîmpului, iar cînd linia este lărgită omogen el descrește proporțional cu  $G$ , adică cu intensitatea cîmpului. Deosebirea care apare este determinată de variația numărului de particule, funcție de intensitatea cîmpului care caracterizează interacția.

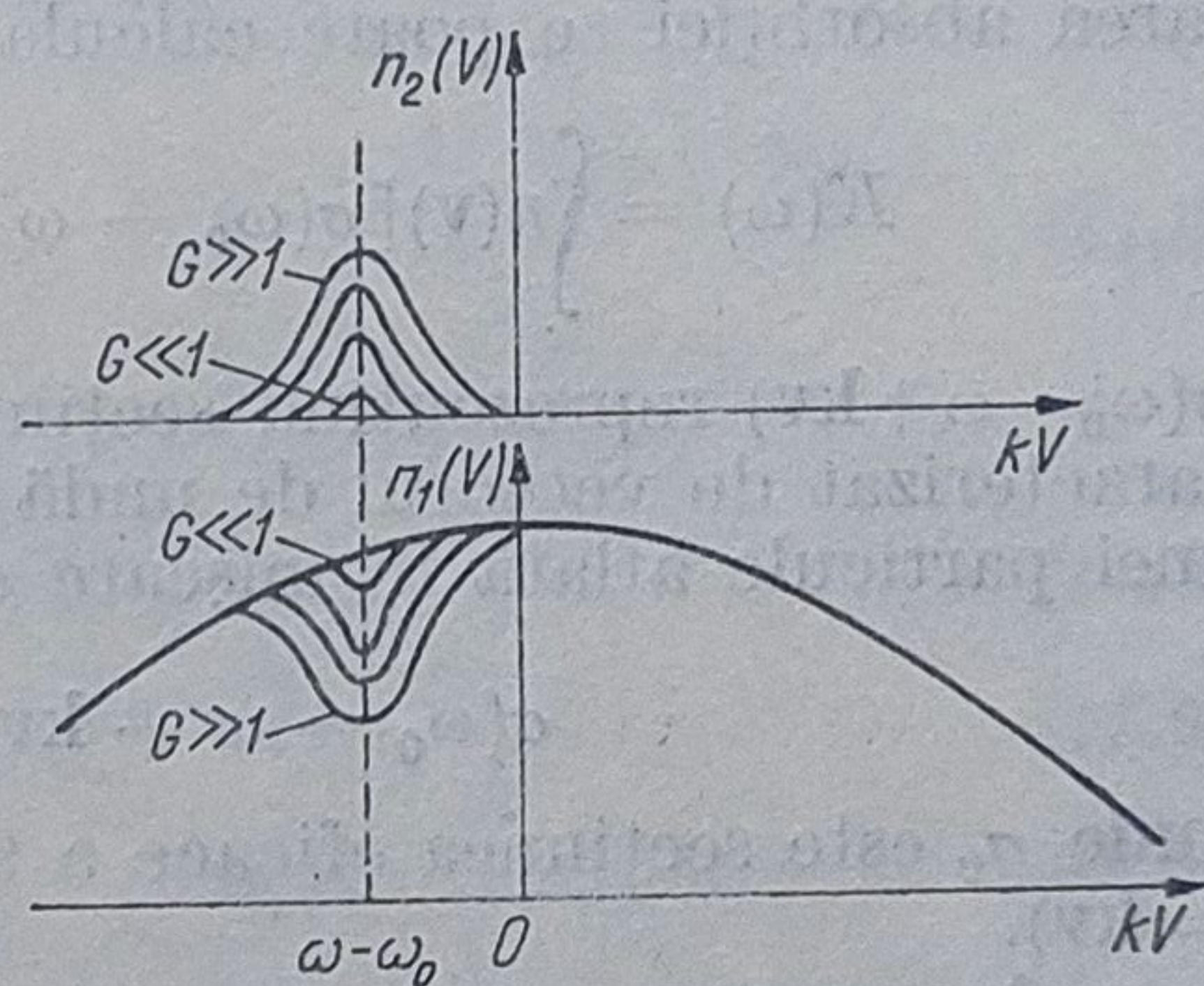


Fig. 17.7



## 17.4. Săturarea absorbției undelor staționare

Formalismul matricei densitate poate fi folosit și pentru tratarea teoretică a fenomenului de saturație a absorbției determinată de undele staționare.

În cazul unei absorbții mai puțin intense la o frecvență corespunzătoare centrului profilului Doppler, fenomenul este cunoscut și sub denumirea de „Lamb-dip” și a fost prezentat în §17.1. Considerînd unda staționară plană ca rezultat al suprapunerii a două unde care se propagă în sensuri contrare

$$\mathcal{E} = E \cos(\omega t - \mathbf{k}\mathbf{r}) + E \cos(\omega t + \mathbf{k}\mathbf{r}) = 2E \cos \omega t \cos \mathbf{k}\mathbf{r} \quad (17.47)$$

se poate determina distribuția după viteze a diferenței populațiilor celor două nivele, cu o relație similară cu (17.42) de forma

$$n(v) = n_0(v)[1 + GL(\Omega - \mathbf{k}\mathbf{v}) + GL(\Omega + \mathbf{k}\mathbf{v})]^{-1}. \quad (17.48)$$

Coeficientul de absorbție al undei staționare care determină saturația absorbției se poate calcula și cu ajutorul relației

$$K(\omega) = \int n(\mathbf{v})[\sigma(\omega_0 - \omega + \mathbf{k}\mathbf{v}) + \sigma(\omega_0 - \omega - \mathbf{k}\mathbf{v})] dv. \quad (17.49)$$

$\sigma(\omega_0 - \omega + \mathbf{k}\mathbf{v})$  reprezentînd secțiunea eficace a tranziției induse de cîmpul caracterizat de vectorul de undă  $\mathbf{k}$  și frecvență  $\omega$  care acționează asupra unei particule aflată în mișcare cu viteza  $\mathbf{v}$ , și are expresia

$$\sigma(\omega_0 - \omega + \mathbf{k}\mathbf{v}) = \sigma_0 L(\omega_0 - \omega + \mathbf{k}\mathbf{v}) \quad (17.50)$$

unde  $\sigma_0$  este secțiunea eficace a tranziției induse la rezonanță ( $\omega - \omega_0 = -\mathbf{k}\mathbf{v}$ ).

În cazul unei absorbții slabe, ( $G \ll 1$ ), se obține pentru coeficientul de absorbție saturată a undelor staționare o expresie de forma

$$K(\omega) = K_0(\omega) \left[ 1 - \frac{G}{2} \left( 1 + \frac{\gamma^2}{\gamma^2 + \Omega^2} \right) \right]. \quad (17.51)$$

Gradul absorbției saturate este  $G$  în centrul liniei Doppler și  $G/2$  dacă nu este îndeplinită condiția de rezonanță. Lărgimea „golului” care apare în centrul liniei este  $2\gamma$ .

Majoritatea experiențelor care se bazează pe fenomenul de absorbție saturată sînt determinate de o puternică absorbție a undelor staționare de către atomii sau moleculele gazului dintr-o celulă plasată în interiorul cavității laser.

Soluția unei astfel de probleme, care în cazul general implică folosirea calculatorului, este complicată din cauza faptului că au loc schimbări atât în forma liniei spectrale cît și în diferența populațiilor nivelelor, iar aceste modificări nu pot fi tratate decît împreună. Astfel cînd două cîmpuri cu frecvențele  $\omega_1$  și  $\omega_2$  interacționează, în formula polarizării apar și combinații ale frecvențelor  $\omega_1 \pm n(\omega_1 - \omega_2)$  cu  $n = 1, 2, 3, \dots$ . Polarizarea corespunzătoare acestor noi frecvențe conduce la o modulație a diferenței de populație conform ecuațiilor (16.5)–(16.7). Pentru a obține o soluție analitică a problemei, se consideră un caz particular în care interacția



dintre câmp și sistemul cuantic cu două nivele, are loc la rezonanță,  $\omega = \omega_0$  și constantele care determină fenomenele de relaxare sînt egale  $\gamma_1 = \gamma_2 = \gamma$ . De asemenea, dacă se neglijează neomogenitățile spațiale ale distribuției diferenței de populație a nivelelor, sistemul de ecuații (16.5) — (16.7) se poate rezolva dacă se consideră o soluție de forma [162], [163]

$$\rho_{21} = i V(r_{(+)} e^{ikz} + r_{(-)} e^{-ikz}). \quad (17.52)$$

Înlocuind soluția (17.52) în sistemul de ecuații (16.5) — (16.7) se obține următorul set de ecuații algebrice

$$\rho_{11} - \rho_{22} = r_{(\pm)} (\gamma \pm i \mathbf{k} \mathbf{v} - i\Omega) \quad (17.53)$$

$$\rho_{22} = \frac{1}{\gamma_2} |V|^2 (r_{(+)}^* + r_{(-)}^* + r_{(+)} + r_{(-)}) + \rho_{22}^0 \quad (17.54)$$

$$\rho_{11} = \frac{1}{\gamma_1} |V|^2 (r_{(+)}^* + r_{(-)}^* + r_{(+)} + r_{(-)}) + \rho_{11}^0. \quad (17.55)$$

Rezolvarea acestuia conduce la următoarea expresie pentru amplitudinea elementului de matrice nediagonal

$$\rho_{21} = i(\rho_{11}^0 - \rho_{22}^0) \frac{V}{D} \{ [\gamma - i(\mathbf{k} \mathbf{v} - \Omega)] \cdot [\gamma^2 + (\mathbf{k} \mathbf{v} + \Omega)^2] \times \\ \times e^{ikz} + [\gamma - i(\mathbf{k} \mathbf{v} + \Omega)] [\gamma^2 + (\mathbf{k} \mathbf{v} - \Omega)^2] e^{-ikz} \} \quad (17.56)$$

unde

$$D = [(\mathbf{k} \mathbf{v})^2 + \gamma^2 a^2] [(\mathbf{k} \mathbf{v})^2 + (\gamma^2 b^2)] \quad (17.57)$$

$$a^2 = \gamma^2(1 + G) - \Omega^2 + \gamma [(\gamma G)^2 - 4\Omega^2(1 + G)]^{1/2} \quad (17.58)$$

$$b^2 = \gamma^2(1 + G) - \Omega^2 - \gamma [(\gamma G)^2 - 4\Omega^2(1 + G)]^{1/2}. \quad (17.59)$$

Folosind relațiile (16.15) — (16.18) se poate determina coeficientul de absorbție în cazul unei absorbții puternice a undelor staționare, dacă se consideră că lărgimea Doppler este mult mai mare decît cea a liniei la rezonanță,  $\mathbf{k} \mathbf{v} \gg \gamma_B$  (unde  $\gamma_B = \gamma \sqrt{1 + G}$ )

$$K = K_0(\omega) \frac{\gamma}{(a+b)} \left( 1 + \frac{A}{B} \right), \text{ pentru } |\gamma_B| \ll |\Omega| \quad (17.60)$$

$$\text{unde } A = (\Omega^2 + \gamma^2)^{1/2} \quad (17.61)$$

$$\text{iar } B = [\Omega^2 + \gamma^2(1 + 2G)]^{1/2}. \quad (17.62)$$

Dacă nu este îndeplinită condiția de rezonanță, expresia coeficientului de absorbție devine

$$K(\omega) = K_0(\omega) (1 + G)^{-1/2}, \text{ pentru } |\Omega| \gg \gamma_B. \quad (17.63)$$

fiind identică cu relația (17.45) corespunzătoare absorbției unei radiații de pompaj aflată în interacție cu sistemul gazos.

La rezonanță, expresia coeficientului de absorbție devine

$$K(\omega) = K_0(\omega) (1 + 2G)^{-1/2}, \text{ pentru } |\Omega| \ll \gamma_B. \quad (17.64)$$



O dată cu creșterea parametrului de saturație  $G$  coeficientul de absorbție saturată în centrul profilului Doppler prezintă un minim, conform fig. 17.8.

Cu ajutorul relației (17.60) se poate determina lărgimea „golului”  $\Delta\omega$  care este prezentată în fig. 17.9, funcție de parametrul de saturație  $G$ .

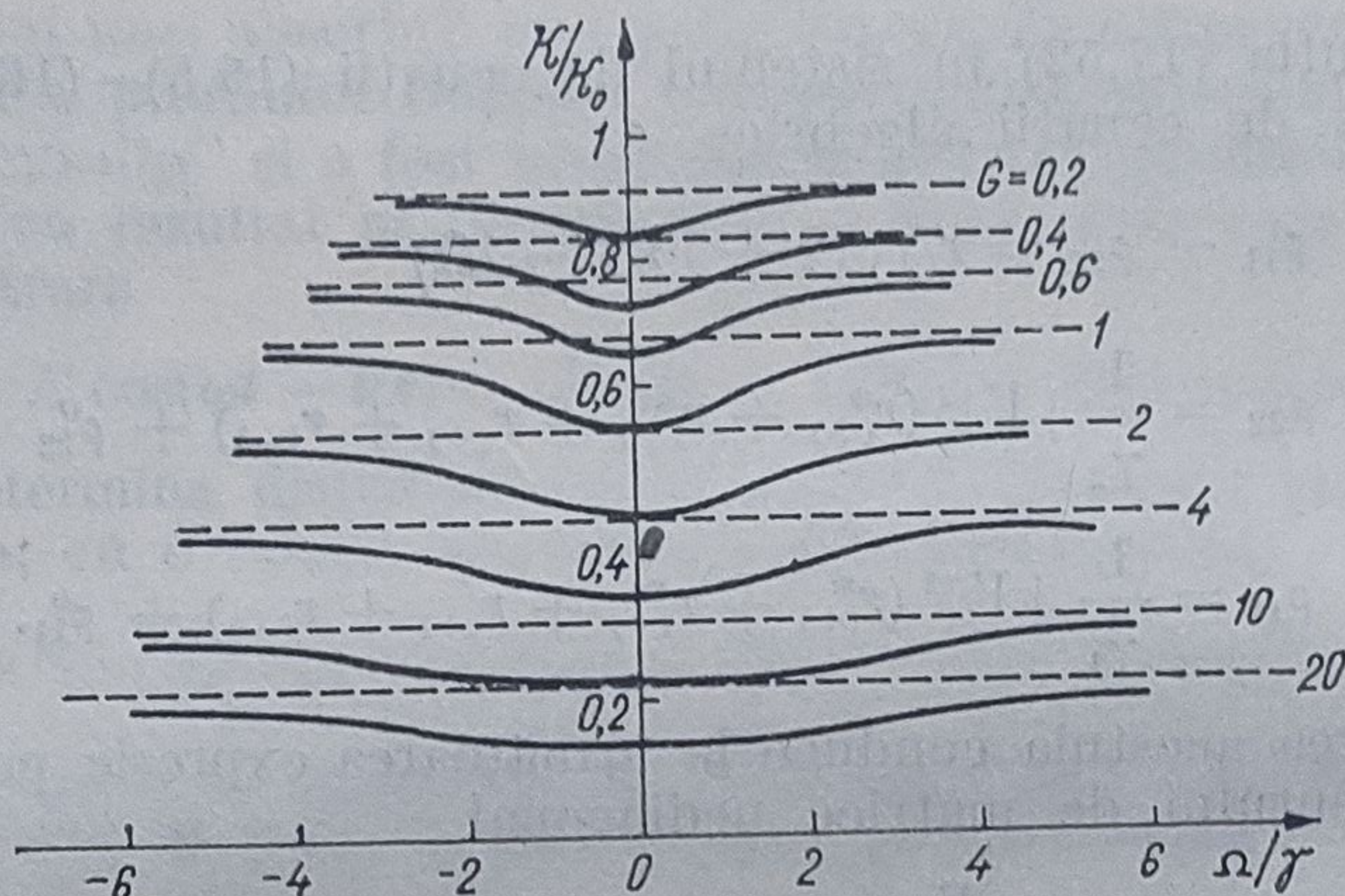


Fig. 17.8

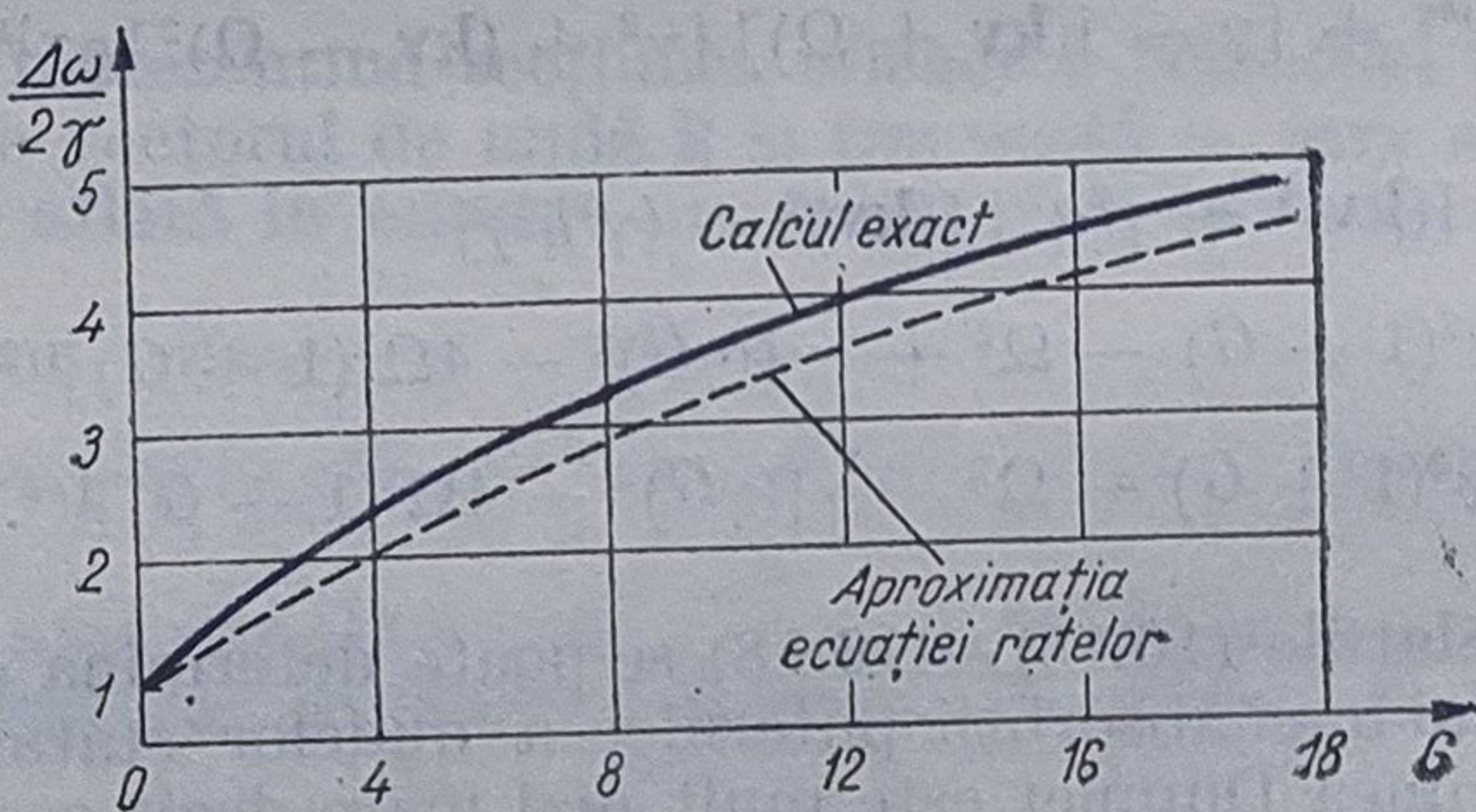


Fig. 17.9

Ținând seama de relația (16.17) și de faptul că indicele de refracție al mediului aflat în interacție cu un câmp puternic este determinat de partea reală a susceptibilității, se obține pentru acesta expresia următoare

$$n(\omega) = \text{Re} [\chi(\omega)] = - \frac{\Omega}{\gamma} \cdot \frac{K_0}{4\pi k} \left\{ \frac{2\gamma}{\sqrt{\pi k u}} - \gamma \left( 1 - \frac{A}{B} \right) [(A + B)^2 - 4\Omega^2]^{-1/2} \right\}. \quad (17.65)$$

Rezultatele obținute prin formalismele prezentate anterior pot fi utilizate la calculul caracteristicilor laserilor care urmează să fie folosiți în montajele experimentale.

În calculele prezentate mai înainte nu s-a ținut seama de distribuția spațială a câmpului undelor staționare și de efectele de coerență care joacă un rol important în studiile privind stabilizarea oscilațiilor corespunzătoare unei singure frecvențe, fluctuațiile de putere și stabilizarea laserilor în frecvență.



Contribuția efectelor de coerență, în cazul în care interacționează mai multe câmpuri, este determinată de polarizarea corespunzătoare combinațiilor frecvențelor. Dacă se lucrează cu două câmpuri nu prea intense cu frecvențele  $\omega_1$  și  $\omega_2$  pentru simplificarea calculelor se poate lua în considerare polarizarea corespunzătoare numai primelor armonici determinate de combinațiile frecvențelor  $\omega_1 \pm (\omega_1 - \omega_2)$ .

Apariția distribuției spațiale a populațiilor corespunzătoare armonice este legată de structura undei staționare și de mișcarea particulelor. Astfel, particulele care au proiecția vitezei de-a lungul axei optice egală cu zero și se află în ventrele undelor staționare nu interacționează cu câmpul, densitatea lor rămânând constantă. Particulele care se află în nodurile undelor staționare interacționează cu câmpul determinând de-a lungul axei optice o distribuție spațială periodică a particulelor mediului din punct de vedere al interacției cu câmpul. Din cauza mișcării, particulele din noduri pot trece în ventre și invers, astfel că mișcarea lor compensează neomogenitățile spațiale ale mediului gazos. Neomogenitățile spațiale ale mediului format din particule aflate în mișcare sînt puse în evidență dacă în calcule se iau în considerare termenii care conțin parametrul de saturație  $G$  la puteri pare, iar în cazul în care particulele sînt considerate fixe se iau în calcul termenii care îl conțin pe  $G$  la puterea întii. De asemenea, dacă se ia în considerare mișcarea particulelor, saturarea diferenței de populație a nivelelor devine maximă în nodurile undelor staționare și nu în ventre.

Contribuțiile legate de efectele de coerență și de neomogenitățile spațiale sînt maxime dacă frecvența câmpului  $\omega$  este acordată pe frecvența corespunzătoare centrului liniei care are profil Doppler pentru că în acest caz câmpul interacționează cu particulele care au proiecțiile vitezelor de-a lungul axului optic, foarte mici. În caz contrar, câmpul interacționează cu particulele care au proiecțiile vitezelor foarte mari ( $v_z > \gamma/k$ ) și care se pot mișca de-a lungul mai multor noduri și ventre, fiind afectate mai mult de câmpuri cu intensități medii. Atomii care au proiecțiile vitezelor mici, dau o contribuție importantă la generarea armonicilor modulate spațial, de ordin superior.

Pe baza modelului prezentat în lucrarea [162] coeficientul de absorbție al undelor staționare în centrul liniei, calculat prin metode aproximative este dat de relația

$$\frac{K}{K_0} = (1 + 2G)^{-1/2} + \frac{\tilde{\gamma}_{Ri}}{\gamma} (1 + 2G)^{-3/2} - \frac{\tilde{\gamma}_{Ri}}{\gamma} GA(1 + 2G)^{-2} \quad (17.66)$$

unde 
$$A = 1 + \frac{1}{4}P + \frac{11}{96}P^2 + \dots, \quad P = \frac{4G^2}{(1 + 2G)^2} \quad (17.67)$$

iar  $\tilde{\gamma}_{Ri} = \gamma_c + \gamma_R$ , reprezintă rata totală a relaxării populațiilor nivelului  $i$ , în care s-a ținut seama de contribuția ciocnirilor la fenomenele de relaxare prin intermediul termenilor  $\gamma_c$  și  $\gamma_R$ .

Relația (17.66) este valabilă în cazul în care lărgimea liniei la rezonanță este mult mai mică decît lărgimea ei Doppler ( $\gamma_B \ll k u$ ), iar  $\frac{\gamma_R}{\gamma} \propto \times G \ll 1$ .



În relația (17.66) ultimii doi termeni sînt determinați de modulația spațială a cîmpului. Astfel, termenul al doilea este determinat de atomii care au viteza  $kv = \gamma_B$ .

Pentru aceste valori ale vitezelor, amplitudinile armonicelor au o anumită întindere spațială, descresc cu creșterea parametrului  $\frac{\tilde{\gamma}_R}{\gamma} G$ , fiind necesară luarea în considerație și a armonicii de ordinul al doilea. Al treilea termen este determinat de atomii care au viteza  $v = \frac{\tilde{\gamma}_R}{\gamma} u$  și care dau o contribuție negativă la absorbție. Această contribuție este legată de excesul diferenței de populație care apare în noduri, fiind echivalentă cu o descreștere a absorbției cîmpului puternic.

Pentru valori arbitrare ale intensității cîmpului nu se poate obține o soluție analitică decît dacă se lucrează la rezonanță ( $\omega = \omega_0$ ) și cu valori egale ale ratelor de relaxare  $\gamma_1 = \gamma_2 = \gamma$ . În acest caz coeficientul de absorbție este dat de o expresie de forma [161]

$$K = \frac{K_0}{\pi} \int_{-\infty}^{+\infty} \frac{\sin^2 x}{x \left[ 1 + \left( 1 + 4G \frac{\sin^2 x}{x^2} \right)^{1/2} \right]} dx. \quad (17.68)$$

Dacă nu se iau în considerare fenomenele de saturație, expresia coeficientului de absorbție devine

$$K = K_0 \left( 1 - G + \frac{11}{6} G^2 - \frac{151}{36} G^3 \right). \quad (17.69)$$

Pentru valori mari ale intensității cîmpului ( $G \gg 1$ ) se obține pentru coeficientul de absorbție o expresie de forma

$$K = \frac{8K_0}{\pi^2 \sqrt{G}}. \quad (17.70)$$

Comparînd expresia coeficientului de absorbție dată de relația (17.64) și obținută cu ajutorul ecuației ratelor, cu cea din relația (17.70), se constată între ele o diferență de aproximativ 15%.

Folosind formalismul matricei densitate se poate obține cu ajutorul calculatorului o soluție numerică a sistemului de ecuații (16.5)–(16.7) [164; 165] pentru orice valori ale intensității cîmpului. Considerînd pentru energia de interacție expresia

$$hV(z,t) = -d_{12} 2E \sin kz \cdot \cos \omega t \quad (17.71)$$

se poate căuta o soluție a sistemului de ecuații (16.5)–(16.7) sub forma unor serii

$$\rho_{21}(v,z,t) = e^{-i\omega t} \sum_{n=0}^{\infty} [\Pi_n^{(+)}(v)e^{inkz} + \Pi_n^{(-)}(v)e^{-inkz}] \quad (17.72)$$

$$\rho_2(v,z,t) = \sum_{n=0}^{\infty} [a_n(v)e^{inkz} + \text{c.c.}] + \rho_{22}^0 \quad (17.73)$$

$$\rho_{11}(v,z,t) = \sum_{n=0}^{\infty} [b_n(v)e^{inkz} + \text{c.c.}] + \rho_{11}^0 \quad (17.74)$$



În urma înlocuirii relațiilor (17.72) — (17.74) în (16.5) — (16.7) și medierii după viteze, se obține polarizarea mediului sub forma

$$P(z, t) = \text{Re} \sum_{n=1,3,5}^{\infty} (\chi_n^{(+)} \sin nkz + i\chi_n^{(-)} \cos nkz) 2E e^{i\omega t} \quad (17.75)$$

unde  $\chi_n^{(\pm)}$  reprezintă susceptibilitatea mediului corespunzătoare armoniciilor. Mediind pe întregul volum al mediului de interacție cu lungimea  $L$ , ( $L \gg \lambda$ ), rezultă

$$P(t) = \frac{1}{L} \int_0^L P(z, t) \sin kz dz = \text{Re}(\bar{\chi} 2E e^{i\omega t}). \quad (17.76)$$

Părțile reală și imaginară ale susceptibilității sînt date de relațiile

$$\text{Re} \{\bar{\chi}\} = \chi_0 \left( \frac{2\hbar ku}{\sqrt{\pi} d_{12} E} \right) (\omega_0 - \omega) \text{Re} \int_{-\infty}^{+\infty} \frac{w(v) y_1 dv}{\gamma + ikv} \quad (17.77)$$

$$\text{Im}\{\bar{\chi}\} = -\chi_0 \left( \frac{\hbar ku}{\sqrt{\pi} d_{12} E} \right) \text{Re} \int_{-\infty}^{+\infty} w(v) y_1 dv \quad (17.78)$$

unde s-au introdus următoarele notații

$$\chi_0 = \frac{d_{12}^2 N_0 \sqrt{\pi}}{\hbar ku} \quad (17.79)$$

$$\begin{cases} y_n = \frac{d_{12} E}{2\hbar R_n} (y_{n+1} - y_{n-1}) \end{cases} \quad (17.80a)$$

$$\begin{cases} y_0 = \frac{d_{12} E}{\hbar} \cdot \frac{\gamma_R}{\gamma_1 \gamma_2} (y_1 + y_1^*) + 1 \end{cases} \quad (17.80b)$$

$$\frac{1}{R_n} = \begin{cases} \frac{1}{\gamma_1 + inkv} + \frac{1}{\gamma_2 + inkv}, & n = 0, 2, 4, \dots \\ \frac{1}{\gamma_R + i(nkv - \Omega)} + \frac{1}{\gamma_R + i(nkv + \Omega)}, & n = 1, 3, 5. \end{cases} \quad (17.81)$$

Funcție de parametrul de saturație, părțile reală și imaginară ale susceptibilității sînt prezentate în fig. 17.10 și 17.11. Din soluțiile reprezentate grafic se observă că în ceea ce privește forma „Lamb-dip”-ului nu există deosebiri calitative în comparație cu cea obținută folosind ecuațiile ratelor.



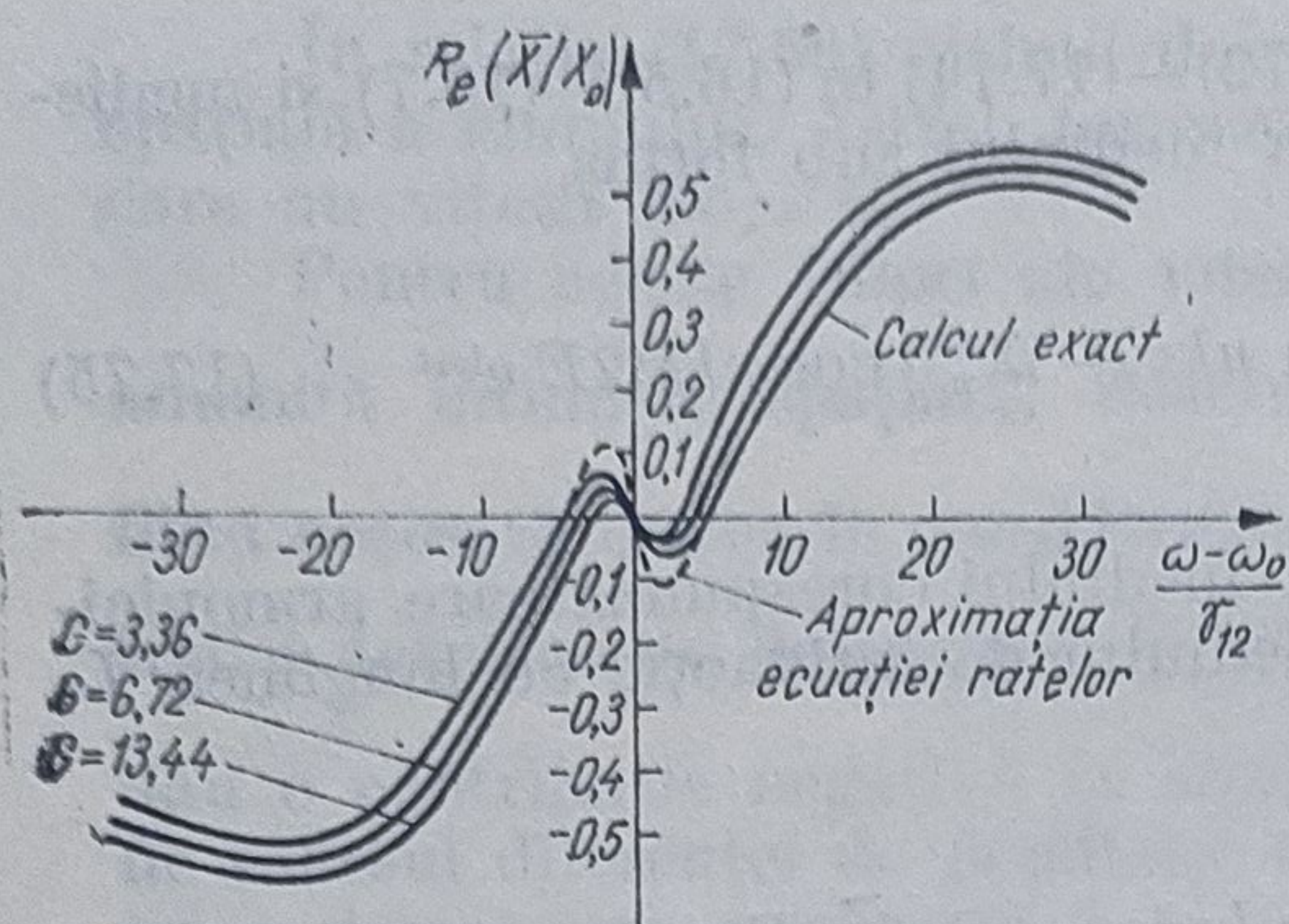


Fig. 17.10

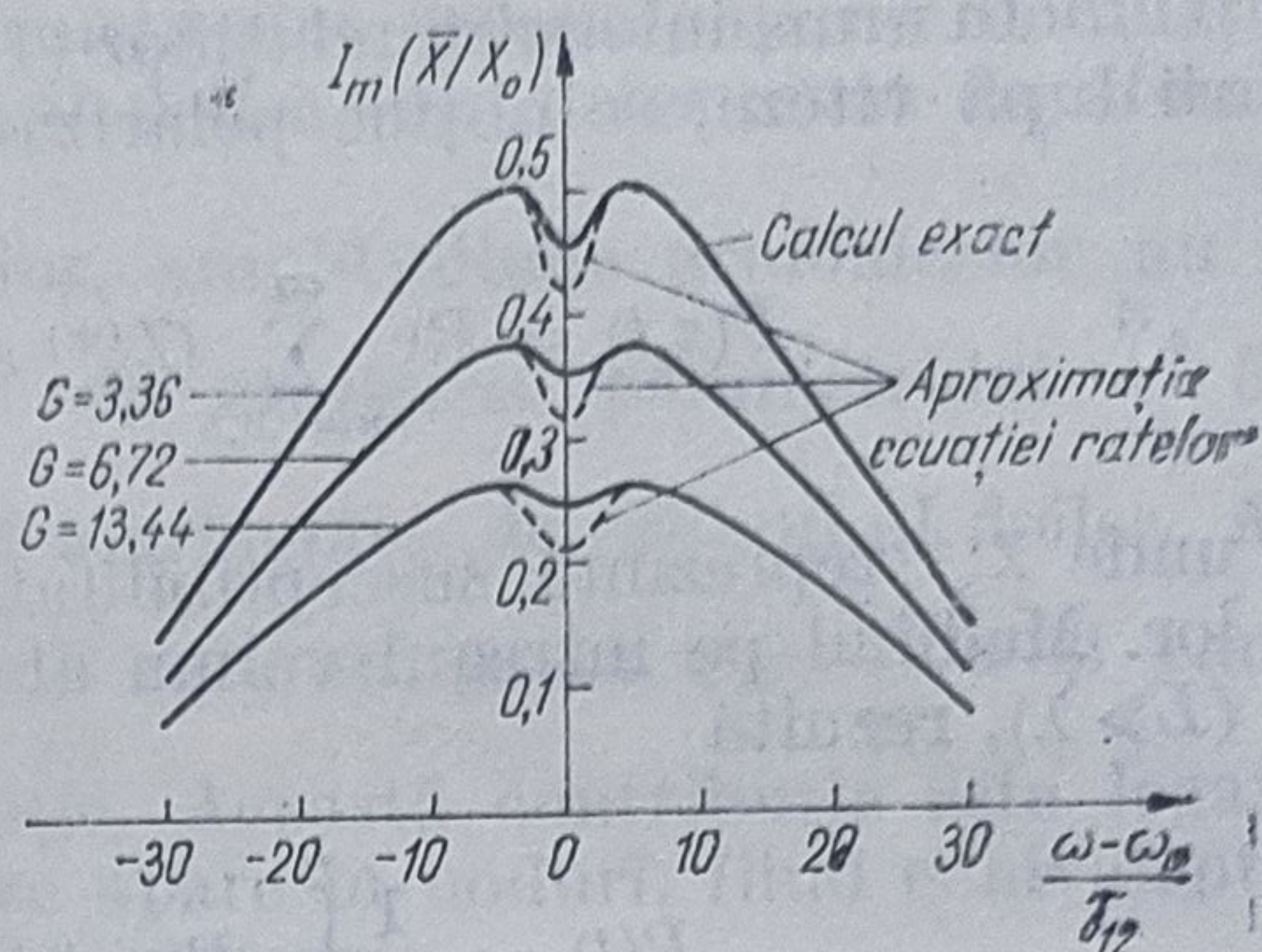


Fig. 17.11

Pentru cîmpuri puternice, adîncimea „golului” descrește cu aproximativ 20% în comparație cu cea calculată din relația (17.60) în aproximația ecuațiilor ratelor (linia punctată).

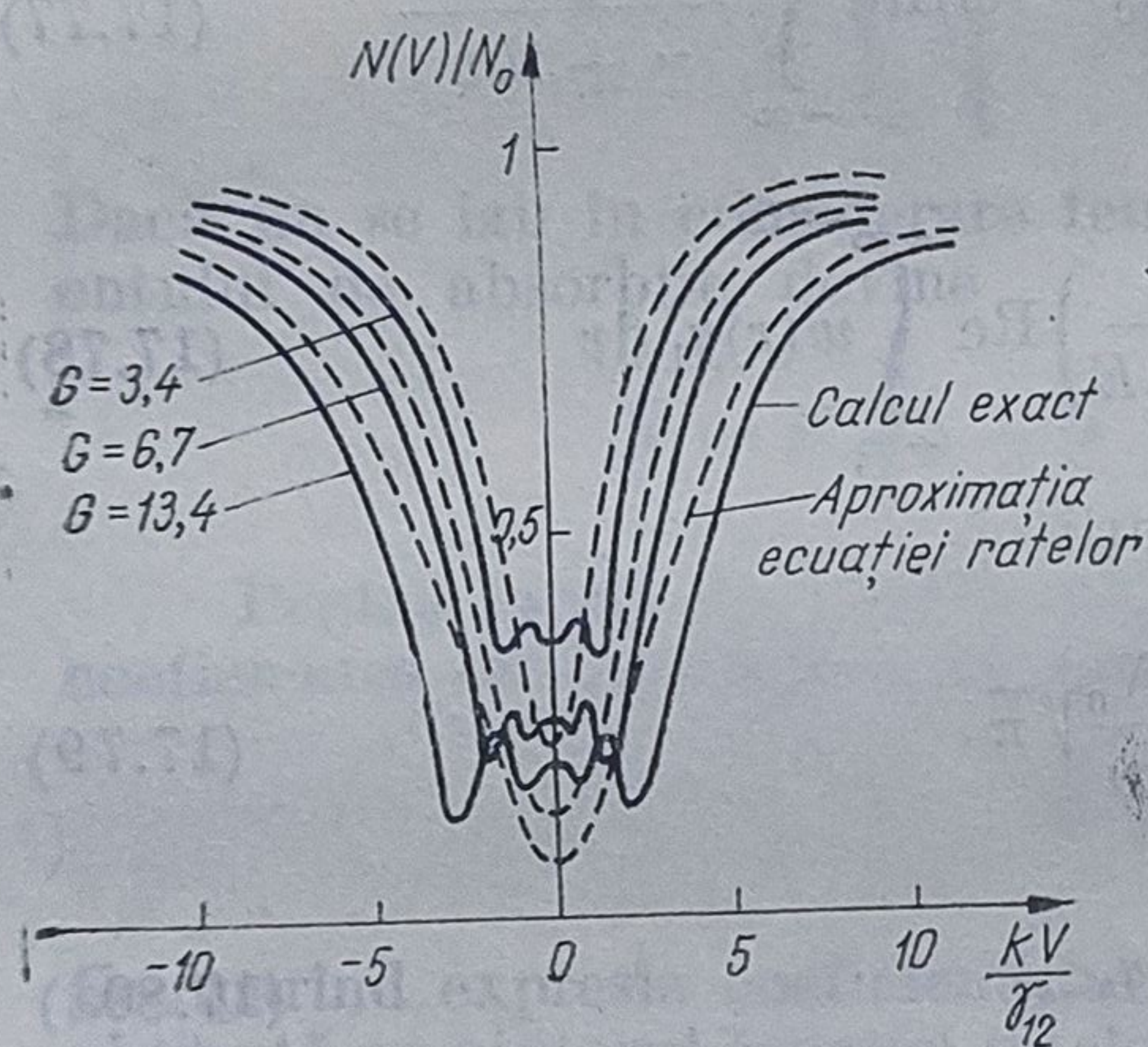


Fig. 17.12

În figura 17.12 este prezentată distribuția diferenței de populație mediată spațial pe volumul mediului de interacție funcție de proiecția vitezei atomilor pe direcția undelor staționare, pentru diferite grade de saturație. Apariția unui „gol” adițional în distribuția după viteze se datorește mișcării particulelor cu viteze  $v_z \ll \gamma/k$ , după o direcție paralelă cu suprafețele de undă ale undelor staționare atît prin noduri cît și prin ventre.

O bună parte din aceste particule rămîn în interiorul nodurilor undelor staționare și nu mai contribuie la fenomenele de saturație.

În același timp, particulele care au vitezele  $v \geq \gamma/k$  trec prin nodurile și ventrele undelor staționare și interacționează cu cîmpul, determinînd o saturare puternică.

Aceste anomalii nu apar în aproximația ecuațiilor ratelor dacă nu se iau în considerare efectele de saturație.

### 17.5. Interacția unui sistem gazos cu două unde de aceeași frecvență și amplitudini diferite care se propagă în sensuri contrare

Efectele de coerentă joacă un rol important și în cazul în care se consideră interacția dintre particulele mediului cu un cîmp obținut prin suprapunerea a două cîmpuri de aceeași frecvență dar de amplitudini



diferite

$$E(t) = E_0 \cos(\omega t + kr) + E \cos(\omega t - kr). \quad (17.82)$$

Radiația de pompaj cu amplitudinea  $E$  produce saturarea absorbției, în timp ce unda de probare cu amplitudinea  $E_0$  care se propagă în sens contrar este mult mai slabă și interacționează liniar cu acele sisteme care au frecvența  $\omega_0 + (\omega_0 - \omega)$ . Astfel, transmisia corespunzătoare undei de probare crește când frecvența undei este acordată pe frecvența corespunzătoare centrului liniei, ea interacționând cu acele particule care au fost saturate direct de radiația de pompaj.

În primă aproximație, pentru calculul coeficientului de absorbție se folosește formalismul ecuației ratelor și se ia în considerare numai distribuția după viteze a populațiilor nivelelor, neținându-se seama de efectele de coerență.

Sub acțiunea radiației de pompaj are loc o modificare a distribuției cu viteza a diferenței populațiilor nivelelor  $n(v)$  dată de relația (17.42). Coeficientul liniar de absorbție pentru unda de probare este dat de relația

$$K(\omega) = \int \sigma(v, \omega) n(v) dv \quad (17.83)$$

$$\text{unde} \quad \sigma(v, \omega) = \sigma_0 \frac{\gamma^2}{(\omega - \omega_0 + kv)^2 + \gamma^2} \quad (17.84)$$

reprezintă secțiunea eficace a tranziției induse de câmpul  $E_0 \cos(\omega t + \mathbf{k}r)$  asupra unei particule cu viteza  $v$ , iar

$$\sigma_0 = \frac{4\pi\omega d_{12}^2}{\hbar\gamma} \quad (17.85)$$

este secțiunea eficace a tranziției la rezonanță. Înlocuind (17.85) și (17.42) în (17.83) se obține pentru coeficientul de absorbție expresia

$$K(\omega) = K_0(\omega) \left[ 1 - \left( 1 - \frac{1}{\sqrt{1+G}} \right) L \left( 2 \frac{\omega - \omega_0}{\tilde{\gamma}} \right) \right] \quad (17.86)$$

unde  $\tilde{\gamma} = \gamma(1 + \sqrt{1+G})$ . Se observă că lărgimea „golului” este egală cu semisuma dintre lărgimea „golului” determinat de radiația de pompaj,  $2\gamma\sqrt{1+G}$  și lărgimea omogenă  $2\gamma$  care corespunde ecartului de frecvență în intervalul căruia are loc interacția cu unda de probare.

De fapt, radiația de pompaj determină schimbări în diferența populațiilor nivelelor astfel că forma liniei se schimbă și trebuie luate în considerare și efectele de coerență. Pentru aflarea expresiei coeficientului de absorbție al undei de probare se folosește în acest caz formalismul matricei densitate [166] (anexa 1).

Considerând cazul general când radiația de pompaj  $E$  are frecvența  $\omega$ , iar cea de probare  $\omega'$ , ecuațiile care descriu comportarea sistemului sînt următoarele

$$\frac{\partial \rho_{21}}{\partial t} + (i\omega_0 + \gamma) \rho_{21} = i(Ve^{-i\omega t} + V_0 e^{-i\omega' t}) (\rho_{11} - \rho_{22}) \quad (17.87)$$

$$\frac{\partial \rho_{11}}{\partial t} + \gamma_1(\rho_{11} - \rho_{11}^0) = -i(Ve^{-i\omega t} + V_0 e^{-i\omega' t}) \rho_{21}^* + \text{c.c.} \quad (17.88)$$



$$\frac{\partial \rho_{22}}{\partial t} + \gamma_2(\rho_{22} - \rho_{22}^0) = i(Ve^{-i\omega t} + V_0e^{-i\omega' t})\rho_{21}^* + \text{c.c.} \quad (17.89)$$

unde

$$V = \frac{d_{12}E}{2\hbar} \text{ iar } V_0 = \frac{d_{12}E_0}{2\hbar} \quad (17.90)$$

Ținând seama că amplitudinea undei de probare  $E_0$  este mult mai mică decât cea a radiației de pompaj, ecuațiile (17.87) – (17.89) pot fi rezolvate folosind metoda perturbațiilor, admitând pentru elementele de matrice ale operatorului densitate dezvoltări de forma

$$\rho_{nn} = r_n + i C_n V_0 e^{-i\Delta t} + i C_n^* V_0 e^{i\Delta t} \quad (17.91)$$

unde  $\Delta = \omega' - \omega$ , iar  $n = 1; 2$ .

Calcululele sînt destul de laborioase, însă dacă se consideră că saturarea tranzițiilor determinate de unda de probare este slabă și lărgirea datorată efectului Doppler este suficient de mare, expresiile obținute pentru coeficientul de absorbție al undei de probare sînt relativ simple.

În cazul în care cele două unde nu interacționează ( $\Delta \gg \gamma_B$ ) coeficientul de absorbție al undei de probare este egal cu cel corespunzător absorbției nesaturate. Dacă se ține seama că unda de probare interacționează cu aceleași particule cu care interacționează și radiația de pompaj, ( $\Delta \ll \gamma_B$ ) se obține pentru coeficientul de absorbție al undei de probare următoarea expresie

$$K_{(-)}(\omega) = K_0 \exp \left[ - \left( \frac{\Omega}{ku} \right)^2 \right] \left[ 1 - \frac{b\tilde{\gamma}^2}{(\Delta + 2\Omega)^2 + \tilde{\gamma}^2} \right] + 4|V|^2 \frac{\gamma_B - \gamma}{\gamma_B} \operatorname{Re} \left[ - \frac{f(\Omega + \frac{\Delta}{2} + i\gamma_B)}{2\Omega + \Delta + i(\gamma_B + \gamma)} \right] \quad (17.92)$$

$$\text{unde } b = \frac{G}{1 + G + \sqrt{1 + G}} ; \tilde{\gamma} = \gamma (1 + \sqrt{1 + G}) \quad (17.93)$$

iar funcția  $f(x)$  este dată de relația

$$f(x) = \left[ 3x - \left( \Omega + \frac{\Delta}{2} \right) + i\gamma \right] (x + i\gamma) \left( 2x + i \frac{\gamma_1 + \gamma_2}{2} \right) \left[ \left( 3x - \left( \Omega + \frac{\Delta}{2} \right) + i\gamma \right) \left( x + \Omega + \frac{\Delta}{2} + i\gamma \right) (2x + i\gamma_2) (2x + i\gamma_1) - 4|V|^2 (2x + i\gamma) \times \right. \\ \left. \times \left( 2x + i \frac{\gamma_1 + \gamma_2}{2} \right) \right]^{-1}. \quad (17.94)$$

Primul termen al relației (17.92) coincide cu cel obținut în aproximația ecuațiilor ratelor și este determinat de schimbarea distribuției cu viteza a diferenței populațiilor, iar al doilea termen pune în evidență efectele de coerență care pot îngusta sau lărgi suplimentar linia din cauza oscilațiilor coerente care pot avea loc sub acțiunea radiației de pompaj („nutații optice”).



$$\frac{\partial \rho_{22}}{\partial t} + \gamma_2(\rho_{22} - \rho_{22}^0) = i(Ve^{-i\omega t} + V_0e^{-i\omega' t})\rho_{21}^* + \text{c.c.} \quad (17.89)$$

unde

$$V = \frac{d_{12}E}{2\hbar} \text{ iar } V_0 = \frac{d_{12}E_0}{2\hbar} \quad (17.90)$$

Ținând seama că amplitudinea undei de probare  $E_0$  este mult mai mică decât cea a radiației de pompaj, ecuațiile (17.87) – (17.89) pot fi rezolvate folosind metoda perturbațiilor, admitând pentru elementele de matrice ale operatorului densitate dezvoltări de forma

$$\rho_{nn} = r_n + i C_n V_0 e^{-i\Delta t} + i C_n^* V_0 e^{i\Delta t} \quad (17.91)$$

unde  $\Delta = \omega' - \omega$ , iar  $n = 1; 2$ .

Calcululele sînt destul de laborioase, însă dacă se consideră că saturarea tranzițiilor determinate de unda de probare este slabă și lărgirea datorată efectului Doppler este suficient de mare, expresiile obținute pentru coeficientul de absorbție al undei de probare sînt relativ simple.

În cazul în care cele două unde nu interacționează ( $\Delta \gg \gamma_B$ ) coeficientul de absorbție al undei de probare este egal cu cel corespunzător absorbției nesaturate. Dacă se ține seama că unda de probare interacționează cu aceleași particule cu care interacționează și radiația de pompaj, ( $\Delta \ll \gamma_B$ ) se obține pentru coeficientul de absorbție al undei de probare următoarea expresie

$$K_{(-)}(\omega) = K_0 \exp \left[ -\left(\frac{\Omega}{ku}\right)^2 \right] \left[ 1 - \frac{b\tilde{\gamma}^2}{(\Delta + 2\Omega)^2 + \tilde{\gamma}^2} \right] + \\ + 4|V|^2 \frac{\gamma_B - \gamma}{\gamma_B} \operatorname{Re} \left[ -\frac{f(\Omega + \frac{\Delta}{2} + i\gamma_B)}{2\Omega + \Delta + i(\gamma_B + \gamma)} \right] \quad (17.92)$$

$$\text{unde } b = \frac{G}{1 + G + \sqrt{1 + G}} ; \tilde{\gamma} = \gamma(1 + \sqrt{1 + G}) \quad (17.93)$$

iar funcția  $f(x)$  este dată de relația

$$f(x) = \left[ 3x - \left( \Omega + \frac{\Delta}{2} \right) + i\gamma \right] (x + i\gamma) \left( 2x + i\frac{\gamma_1 + \gamma_2}{2} \right) \left[ \left( 3x - \left( \Omega + \frac{\Delta}{2} \right) + i\gamma \right) \left( x + \Omega + \frac{\Delta}{2} + i\gamma \right) (2x + i\gamma_2) (2x + i\gamma_1) - 4|V|^2 (2x + i\gamma) \times \right. \\ \left. \times \left( 2x + i\frac{\gamma_1 + \gamma_2}{2} \right) \right]^{-1}. \quad (17.94)$$

Primul termen al relației (17.92) coincide cu cel obținut în aproximația ecuațiilor ratelor și este determinat de schimbarea distribuției cu viteza a diferenței populațiilor, iar al doilea termen pune în evidență efectele de coerentă care pot îngusta sau lărgi suplimentar linia din cauza oscilațiilor coerente care pot avea loc sub acțiunea radiației de pompaj („nutații optice”).



Forma liniei de absorbție a undei de probare este prezentată în fig. 17.13, atât în aproximația ecuației ratelor (curba punctată) cât și ținând seama de efectele de coerență (curba continuă).

Din figura 17.14, unde este prezentată dependența lărgimii liniei de absorbție a undei de probare  $\Delta\omega$  funcție de parametrul de saturație  $G$ , se observă că aportul efectelor de coerență este proporțional cu parametrul  $\gamma_R/\gamma$ , apărind ca un efect de ordinul al doilea.

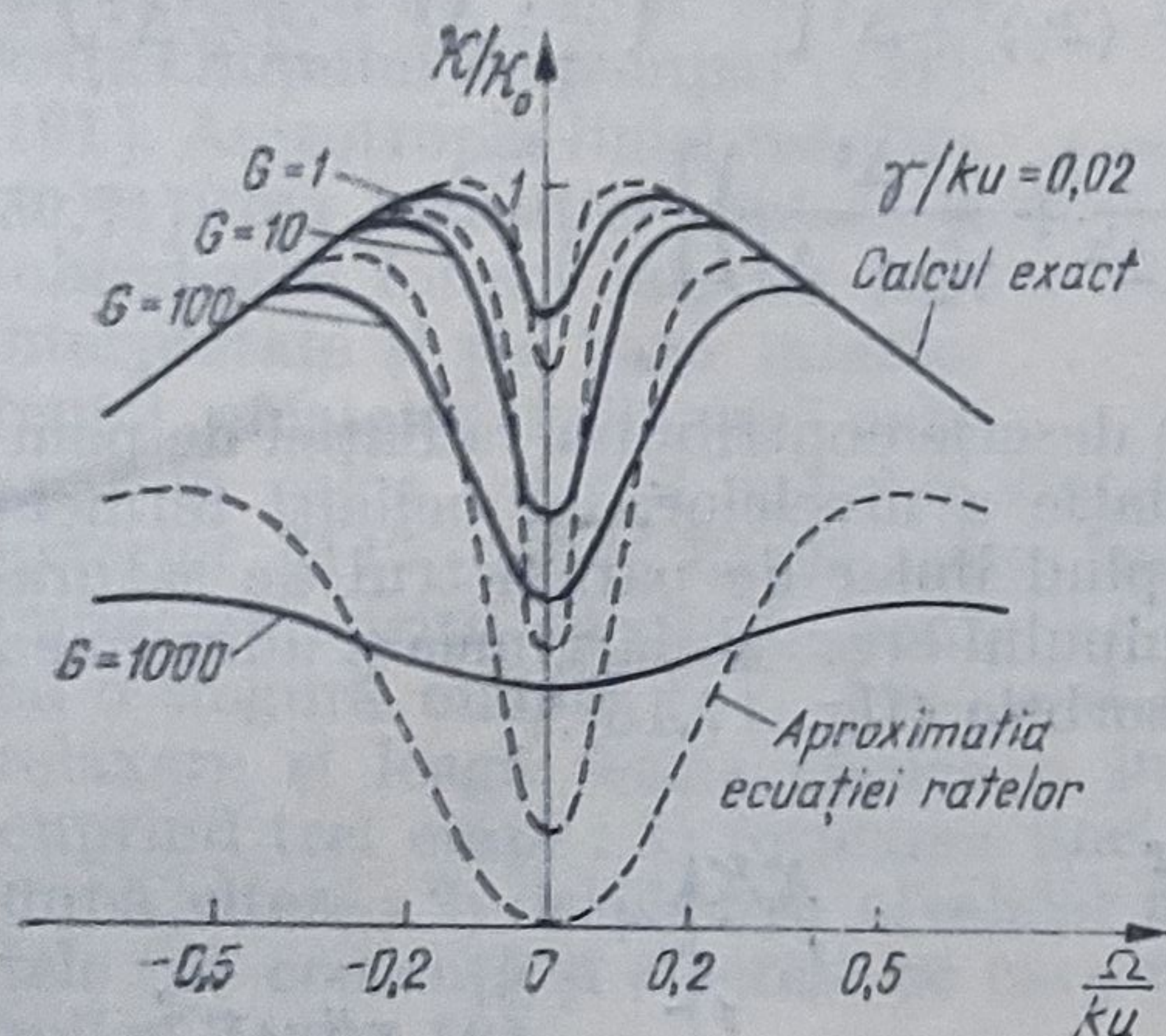


Fig. 17.13

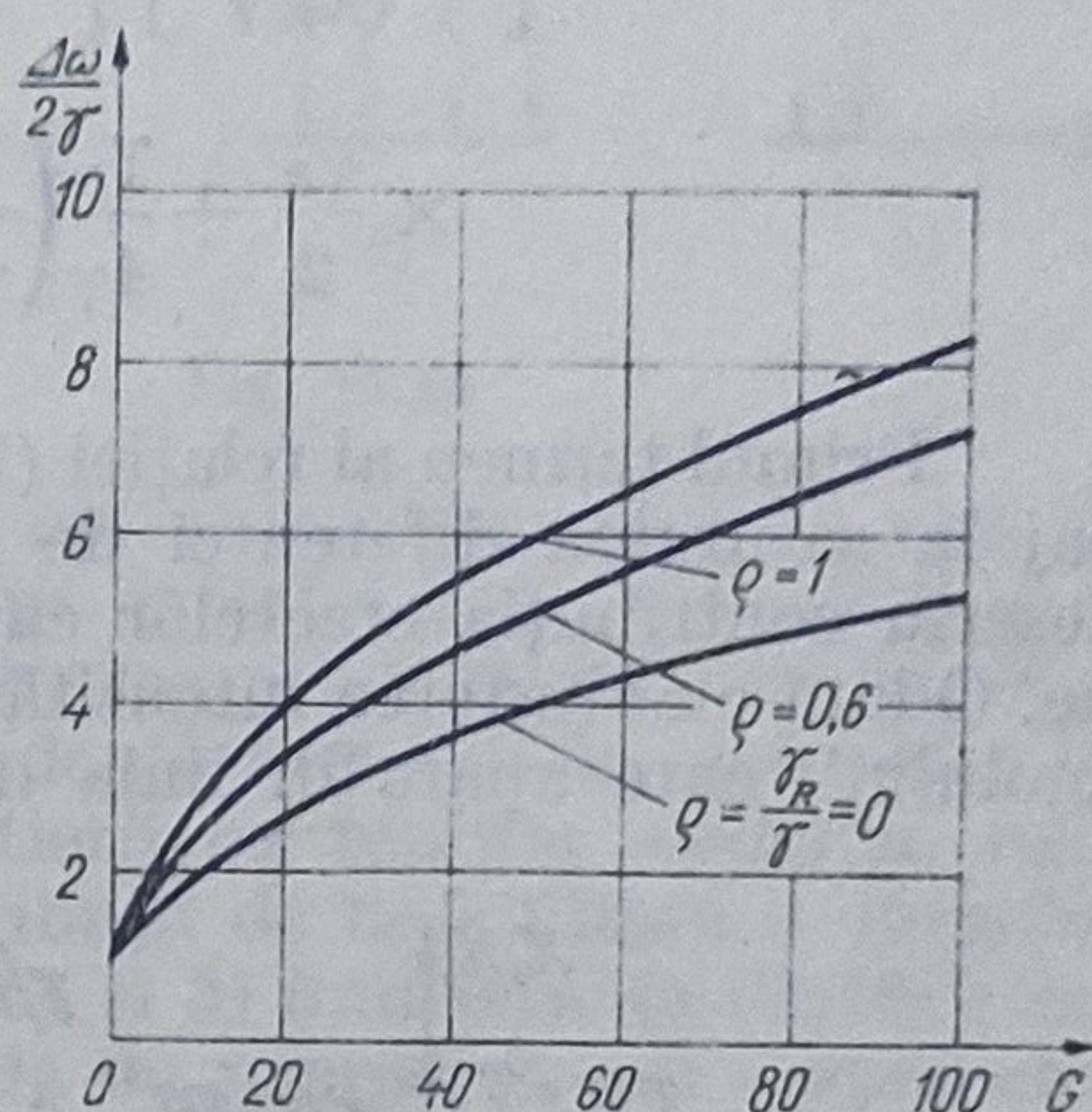


Fig. 17.14

Caracteristicile care pun în evidență absorbția undei de probare apar numai în cazul în care lărgimea liniei datorată efectului Doppler este cu mult mai mare decât lărgimea omogenă  $\gamma$ . Dacă ele devin comparabile, pentru anumite valori ale frecvenței, absorbția își schimbă semnul și astfel unda de probare este amplificată.

### 17.6. Rezonanțe înguste obținute cu ajutorul a două unde unidirecționale de amplitudini diferite

Considerăm două unde cu frecvențele apropiate  $\omega_1$  și  $\omega_2$  care prin suprapunere dau naștere unei unde a cărei amplitudine variază cu o frecvență  $\Delta = |\omega_1 - \omega_2|$ . Dacă radiația de pompaj este suficient de intensă, ea produce o modulație a diferenței de populație care la rîndul ei determină modulația coeficientului de absorbție și a amplitudinii undei de probare. Adîncimea modulației diferenței de populație depinde de relația dintre frecvența modulatorie  $\Delta$  și de ratele de dezexcitare  $\gamma_1$  și  $\gamma_2$  ale celor două nivele energetice implicate. Dacă  $\Delta$  este mult mai mică decât ratele  $\gamma_1$  și  $\gamma_2$ , diferența de populație urmărește variația amplitudinii cîmpului rezultat prin compunerea undelor de frecvențe  $\omega_1$  și  $\omega_2$ , iar efectul de modulație al amplitudinii semnalului este maxim. În caz contrar, mediul nu mai are timp să răspundă variațiilor amplitudinii cîmpului și se poate înregistra numai variația medie a populației nivelului. Ca urmare a legăturii dintre modulația și populația nivelelor investigate, metoda este utilizată la măsurarea timpilor de viață ai nivelelor excitate.



Coeficientul de absorbție al undei de probare  $K_{(+)}$  la frecvența  $\omega'$ , poate fi determinat cu ajutorul relațiilor (17.87) — (17.89) dacă se înlocuiește frecvența radiației de pompaj  $\omega$  cu  $\omega - kv$ , iar a celei de probare  $\omega'$  cu  $\omega' - kv$ . În cazul în care saturarea absorbției produsă de radiația de pompaj este mică ( $G \ll 1$ ) coeficientul de absorbție al undei de probare este dat de o expresie de forma

$$K_{(+)}(\Delta) = K_0 \exp \left[ - \left( \frac{\Omega}{ku} \right)^2 \right] \left\{ 1 - \frac{G}{2} \cdot \frac{(2\gamma)^2}{(2\gamma)^2 + \Delta^2} \left[ 1 + \left( \frac{\gamma_1}{\gamma_1^2 + \Delta^2} + \frac{\gamma_2}{\gamma_2^2 + \Delta^2} \right) \times \right. \right. \\ \left. \left. \times \frac{\gamma_R}{2} + \frac{\gamma_R}{4\gamma} \left( \frac{\Delta^2}{\gamma_1^2 + \Delta^2} + \frac{\Delta^2}{\gamma_2^2 + \Delta^2} \right) \right] \right\}. \quad (17.95)$$

Primul termen al relației (17.95) descrie contribuția radiației de pompaj la saturarea diferenței de populație a nivelelor, iar ceilalți termeni descriu contribuția efectelor care depind linear de parametrul de saturație. Odată cu creșterea intensității cîmpului cresc și lărgimea și adîncimea „golului” care apare în linia de absorbție (fig. 17.15).

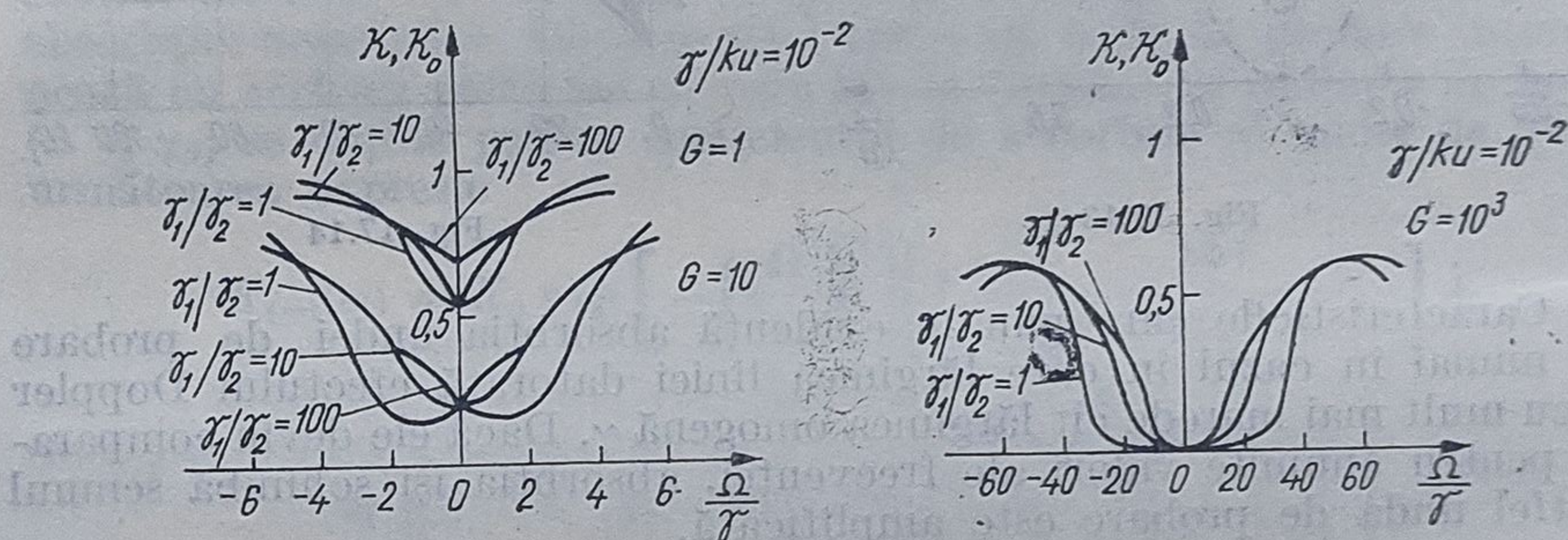


Fig. 17.15

Dacă se ia în considerare efectul ciocnirilor la schimbarea fazei și se admite  $\gamma \gg \gamma_2 \gg \gamma_1$ , atunci forma liniei dată de relația (17.95) poate fi considerată ca fiind formată din trei „goluri” lărgite omogen cu semilărgimi  $2\gamma$ ,  $\gamma_1$ ,  $\gamma_2$  și adîncimii  $G/2$ ,  $(G/2)(\gamma_2/\gamma_1 + \gamma_2)$  și  $(G/2)(\gamma_1/\gamma_2 + \gamma_2)$ .

### 17.7. Teoria proceselor de interacție rezonantă dintre radiația laser și un sistem gazos cu trei nivele energetice

Fenomenele de emisie și absorbție rezonantă rezultate din interacția neliniară a două sau mai multe cîmpuri cu un sistem gazos cu trei nivele energetice stau la baza spectroscopiei cu rezoluție foarte înaltă. Tranzițiile cuplate  $1 \rightarrow 0$ ,  $0 \rightarrow 2$  rezultate în urma interacției rezonante cu cîmpurile de frecvențe  $\omega_{10}$  (de pompaj) și  $\omega_{20}$  (de probare) pot avea loc fie în cascadă (fig. 17.16, a) fie cu ramificații (fig. 17.16, b, c).

Forma liniei semnalului de probare corespunzătoare tranziției  $0 \rightarrow 2$  este foarte mult influențată de schimbarea populațiilor nivelelor datorită radiației de pompaj, dar și de efectelor de coerentă, iar în cazul cînd



nivelele implicate în tranziții sînt suficient de depărtate, lărgimea liniei este determinată și de lărgimile nivelelor inițial și final. Primele considerații teoretice legate de sistemul cu trei nivele, au asociat efectele de îngustare ale liniilor radiațiilor

emise sub influența radiației de pompaj cu tranzițiile care implică doi fotoni și cu schimbarea probabilității tranzițiilor care implică un foton în prezența cîmpului de pompaj [147], [161]. Anizotropia liniei rezultate în urma tranziției cuplate și schimbarea formei sale au fost interpretate și pe baza interferenței efectelor neliniare care

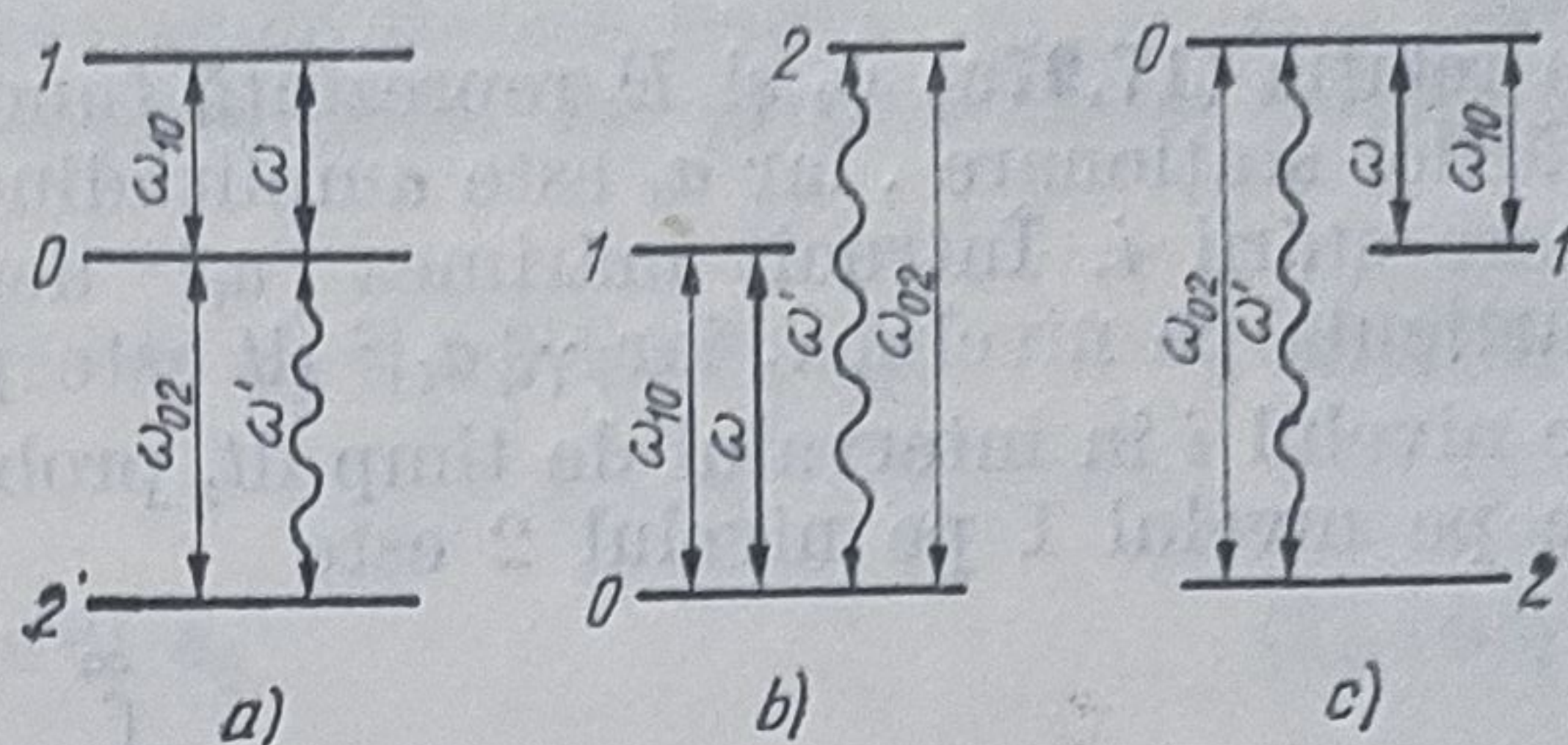


Fig. 17.16

apar în urma mixării stărilor staționare ale atomului izolat cu cîmpul exterior [147, 161]. Explicațiile bazate pe interferența proceselor care implică tranziții cu două cuante, cu cele în treaptă care implică tranziții cu o singură cuantă [147, 161] scot în evidență importanța proceselor de relaxare și leagă teoria clasică a împrăstierii cu teoriile moderne, care cuprind trei etape: 1) formarea unei distribuții de neechilibru a atomilor după viteze; 2) despicarea nivelelor atomice și 3) interferența dintre efectele de coerență și efectele pe care radiația de pompaj le are asupra atomilor [184, 193].

Descrierea fenomenelor care au loc la interacția mai multor cîmpuri cu tranzițiile cuplate aflate la rezonanță este mai simplă dacă se fac următoarele aproximații:

- dezacordurile dintre frecvențele cîmpurilor și frecvențele tranzițiilor  $0 \rightarrow 1$  și  $0 \rightarrow 2$ :  $\Omega = \omega - \omega_{01}$  și  $\Omega' = \omega - \omega_{02}$  sînt mai mici decît lărgimea Doppler a liniilor, adică  $\Omega \leq ku$  și  $\Omega' \leq ku$ , unde  $u = \sqrt{\frac{2kT}{m}}$ , iar  $k$  și  $k'$  sînt vectorii de undă corespunzători radiațiilor determinate de tranzițiile  $1 \rightarrow 0$  și  $2 \rightarrow 0$ ;

- lărgimile omogene ale tranzițiilor  $0 \rightarrow 1$ ,  $0 \rightarrow 2$ ,  $\gamma_{01}$  și  $\gamma_{02}$  sînt mult mai mici decît lărgimile Doppler  $ku$  și  $k'u$  ale celor două linii;

- energiile de interacție dintre atom și cîmp  $\frac{d_{01}E}{2\hbar}$  și  $\frac{d_{02}E'}{2\hbar}$  (în unități  $\hbar$ ) sînt mult mai mici decît lărgimile Doppler ( $d_{01}$  și  $d_{02}$  sînt elementele de matrice ale momentelor de dipol, corespunzătoare tranzițiilor  $0 \rightarrow 1$  și  $0 \rightarrow 2$ , iar  $E$  și  $E'$  sînt amplitudinile cîmpurilor de frecvențe  $\omega$  și  $\omega'$ ;

- constantele de relaxare sînt diferite.

Pentru a determina forma liniei de absorbție a unei de probare corespunzătoare frecvenței  $\omega'$  care este apropiată de frecvența  $\Omega_{02}$  se consideră că sub acțiunea unui cîmp electric de forma

$$E(r, t) = E \cos(\omega t - \mathbf{k}r) + E' \cos(\omega' t - \mathbf{k}'r) \quad (17.96)$$

o particulă care la momentul inițial se găsește pe nivelul 1 poate să se afle și în stările 0 și 2, astfel încît funcția de undă care descrie starea sa



este

$$\psi = a_1(t)\psi_1 e^{-\frac{iE_1}{\hbar}t} + a_0(t)\psi_0 e^{-\frac{iE_0}{\hbar}t} + a_2(t)\psi_2 e^{-\frac{iE_2}{\hbar}t}. \quad (17.97a)$$

În relația (17.97a)  $\psi_i$  și  $E_i$  reprezintă funcțiile de undă, respectiv energiile stărilor staționare, iar  $a_i$  este amplitudinea de probabilitate corespunzătoare stării  $i$ . Întrucît mărimea  $|a_i|^2$  definește probabilitatea de a găsi particula pe nivelul  $i$ , iar  $\gamma_i |a_i|^2 dt$  este probabilitatea de dezexcitare de pe nivelul  $i$  în intervalul de timp  $dt$ , probabilitatea ca particula să treacă de pe nivelul 1 pe nivelul 2 este

$$w_{12} = \gamma_2 \int_0^\infty |a_2|^2 dt. \quad (17.97b)$$

Întrucît în absența cîmpurilor  $E'$  și  $E$ ,  $|a_2|^2 = 0$ , rezultă că probabilitatea totală de relaxare pe nivelul 2 pentru un timp foarte lung este egală cu probabilitatea de tranziție a particulei de pe nivelul 1 pe nivelul 2 sub acțiunea cîmpurilor de pompaj  $E$  și probare  $E'$ .

Energia emisă sau absorbită de un atom la frecvența  $\omega'$  poate fi calculată cu ajutorul probabilității de tranziție

$$E = \hbar \omega' w_{1 \rightarrow 2} \quad (17.98)$$

sau cu ajutorul operatorului momentului de dipol

$$E = \int_0^\infty e \frac{\partial \langle \mathbf{r} \rangle}{\partial t} E'(t) dt. \quad (17.99)$$

În relația (17.99)  $e$  reprezintă sarcina electronului,  $\mathbf{r}$  coordonata sa iar

$$E'(t) = E' \cos \omega t. \quad (17.100)$$

Ținînd seama de formula mediei

$$\langle \mathbf{r} \rangle = \int \psi^* \mathbf{r} \psi d\mathbf{q} \quad (17.101)$$

se obține în final pentru energie relația

$$E = d_{02} E' \operatorname{Re} \left\{ i \omega_{02} \int_0^\infty a_0^*(t) a_2(t) e^{-i\Omega' t} dt \right\} \quad (17.102)$$

unde

$$d_{02} = e r_{02} = e \int \psi_0^*(r) r \psi_2(r) dr. \quad (17.103)$$

reprezintă elementul de matrice al momentului de dipol corespunzător tranziției  $0 \rightarrow 2$ .



### 17.7.1. Formalismul Schrödinger

Folosind același procedeu ca și în cap. 17.2 și considerînd că frecvențele  $\omega$  și  $\omega'$  sînt apropiate de frecvențele de rezonanță  $\omega_{01}$  și  $\omega_{02}$ , iar  $\omega_{12} \gg \Omega$  și  $\Omega'$ , se obțin pentru amplitudinile de probabilitate ecuațiile

$$\dot{a}_0 + \frac{\gamma_0}{2} a_0 = i V e^{-i\Omega t} a_1 + i V' e^{-i\Omega' t} a_2 \quad (17.104)$$

$$\dot{a}_1 + \frac{\gamma_1}{2} a_1 = i V e^{i\Omega t} a_0 \quad (17.105)$$

$$\dot{a}_2 + \frac{\gamma_2}{2} a_2 = i V' e^{i\Omega' t} a_0 \quad (17.106)$$

unde 
$$V = \frac{d_{01}E}{2\hbar} \text{ și } V' = \frac{d_{02}E'}{2\hbar}. \quad (17.107)$$

Calculul amplitudinii de probabilitate  $a_2$  se face cu ajutorul teoriei perturbațiilor în aproximația cîmpurilor slabe. În aproximația de ordin zero (deci în absența cîmpurilor)

$$a_0 = a_2 = 0 \text{ iar } a_1 = e^{-\gamma_1 t/2}. \quad (17.108)$$

Înlocuind  $a_1(t) = \exp(-\gamma_1 t/2)$  în relația (17.105) și ținînd seama de condițiile inițiale  $a_0(t=0) = 0$  se obțin prin integrare pentru amplitudinile de probabilitate  $a_0$  și  $a_2$  relațiile

$$a_0(t) = i V \frac{e^{-i\Omega t - \frac{\gamma_1 t}{2}} - e^{-\frac{\gamma_0 t}{2}}}{\frac{\gamma_0 - \gamma_1}{2} - i\Omega} \quad (17.109)$$

$$a_2(t) = -V' V \frac{1}{\frac{\gamma_0 - \gamma_1}{2} - i\Omega} \cdot \frac{e^{i(\Omega' - \Omega)t - \frac{\gamma_1 t}{2}} - e^{-\frac{\gamma_2 t}{2}}}{\frac{\gamma_2 - \gamma_1}{2} + i(\Omega' - \Omega)} - \frac{e^{i\Omega' t - \frac{\gamma_0 t}{2}} - e^{-\frac{\gamma_2 t}{2}}}{\frac{\gamma_2 - \gamma_0}{2} + i\Omega'}. \quad (17.110)$$

Amplitudinea de probabilitate  $a_0(t)$  este diferită de cea obținută în cazul încercării excitării nivelelor se face incoerent și conține doi termeni: primul oferă informații asupra frecvenței radiației incidente și timpului de viață al nivelului 1, iar al doilea descrie pierderile determinate de timpul de viață al nivelului 0. Momentul de dipol al atomului definit cu ajutorul relației (17.103) conține două frecvențe: cea de tranziție  $\omega_0$  și cea a cîmpu-



lui  $\Omega'$ , fiecare componentă relaxându-se cu rata corespunzătoare  $\gamma_0$  și  $\gamma_1$ . Pentru dezacorduri mari ale frecvenței ( $\Omega \gg \gamma_0, \gamma_1$ ) puterea absorbită de atom este determinată numai de momentul de dipol indus, iar la rezonanță, intervin ambele momente de dipol, obținându-se pentru  $\gamma_0 = \gamma_1$  contribuții egale.

Amplitudinea de probabilitate  $a_2(t)$  conține atât termeni care oscilează în timp cât și termeni care caracterizează pierderile. Termenul care oscilează cu frecvența  $\Omega' - \Omega$  determină momentul de dipol al tranziției  $1 \rightarrow 2$  cu frecvența  $\omega' - \omega$ . Tranziția  $0 \rightarrow 2$  este caracterizată de un moment de dipol care conține frecvențele  $\omega_{01}$  și  $\omega'$  la fel ca în cazul unui sistem cuantic cu două nivele. Acțiunea câmpului asupra tranzițiilor cuplate este determinată de apariția unui moment de dipol indus cu frecvențele  $\omega_{02} + \Omega$ ,  $\omega_{02} + (\Omega' + \Omega)$  și  $\omega_{02} + (\Omega' - \Omega)$  ale cărui componente Fourier cu frecvența  $\omega_{02}$  determină proprietățile de absorbție la această frecvență.

### 17.7.2. Formalismul matricei densitate

Întrucât aplicarea formalismului Schrödinger este condiționată de cunoașterea condițiilor inițiale în care se găsește sistemul, se utilizează frecvent în studiu formalismul matricei densitate (anexa 1) în cadrul căruia se lucrează cu valori medii ale întregului ansamblu, care pot fi măsurate experimental și în plus permite o simplificare a calculelor pentru includerea fenomenelor de relaxare datorită ciocnirilor. Ecuațiile care descriu comportarea unui sistem cuantic cu trei nivele aflat sub acțiunea a două câmpuri date de relația (17.96) cu frecvențe  $\omega$  și  $\omega'$  apropiate de cele de tranziție  $\omega_{01}$  și  $\omega_{02}$  sînt următoarele

$$\left(\frac{d}{dt} + \gamma_0\right) \rho_{00} = iV \rho_{10} - iV \rho_{01} + iV' \rho_{20} - iV' \rho_{02} \quad (17.111)$$

$$\left(\frac{d}{dt} + \gamma_1\right) \rho_{11} = -i[V \rho_{10} - V \rho_{01}] + \gamma_1 \rho_{11}^{(0)} \quad (17.112)$$

$$\left(\frac{d}{dt} + \gamma_2\right) \rho_{22} = -i[V' \rho_{20} - V' \rho_{02}] \quad (17.113)$$

$$\left(\frac{d}{dt} + i\omega_{02} + \gamma_{02}\right) \rho_{02} = -iV'(\rho_{00} - \rho_{22}) + iV \rho_{12} \quad (17.114)$$

$$\left(\frac{d}{dt} + i\omega_{01} + \gamma_{01}\right) \rho_{01} = -iV(\rho_{00} - \rho_{11}) + iV' \rho_{21} \quad (17.115)$$

$$\left(\frac{d}{dt} + i\omega_{12} + \gamma_{12}\right) \rho_{12} = iV \rho_{02} - iV' \rho_{10} \quad (17.116)$$

unde  $\frac{d}{dt} = \frac{\partial}{\partial t} + \mathbf{v} \frac{\partial}{\partial \mathbf{r}}$  (17.117)

$\rho_{ik} = \rho_{ki}^*$ , iar  $\rho_{11}^{(0)}$  este soluția ecuațiilor (17.111)–(17.116) în absența câmpurilor.



Coeficientul de absorbție  $K$ , determinat de partea imaginară a susceptibilității este legat de polarizarea mediului prin relația

$$P(\mathbf{r}, t) = \chi' E' e^{-i(\omega' t - \mathbf{k}' \cdot \mathbf{r})}. \quad (17.118)$$

Polarizarea mediului se calculează cu ajutorul elementelor nediagonale ale matricei densitate, cu o relație de forma

$$P = d_{02}(\rho_{02} + \rho_{20})N_0. \quad (17.119)$$

În cazul staționar, pot fi admise pentru elementele de matrice  $\rho_{01}$ ,  $\rho_{02}$  și  $\rho_{12}$  soluții de forma

$$\rho_{01} = iV e^{-i\omega t + i\mathbf{k} \cdot \mathbf{r}} \cdot r_{01} \quad (17.120)$$

$$\rho_{02} = iV' e^{-i(\omega')t + i\mathbf{k}' \cdot \mathbf{r}} \cdot r_{02} \quad (17.121)$$

$$\rho_{12} = V' V e^{i(\omega - \omega')t - i(\mathbf{k} - \mathbf{k}') \cdot \mathbf{r}} \cdot r_{12}. \quad (17.122)$$

Înlocuind aceste valori în relațiile (17.111)–(17.116), neglijând termeni

$$\text{în } V'^2 \text{ și considerînd un parametru de saturație } G = \left( \frac{2V^2}{\gamma_{01}} \right) \left( \frac{1}{\gamma_0} + \frac{1}{\gamma_1} \right) \quad (17.123)$$

foarte mic ( $G \ll 1$ ), se obține pentru elementul  $\rho_{02}$  expresia

$$\rho_{02} = -iV'V^2 e^{-i\omega't + i\mathbf{k}' \cdot \mathbf{r}} \left\{ \frac{2\gamma_{01}}{\gamma_0(\gamma_{02} - i\Omega')(\Omega^2 + \gamma_{01}^2)} + \frac{1}{(\gamma_{01} + i\Omega)[\gamma_{12} - i(\Omega' - \Omega)(\gamma_{02} - i\Omega')] } \right\} \rho_{11}^0 \quad (17.124)$$

cu ajutorul căreia poate fi calculată polarizarea și de asemenea coeficientul de absorbție. Din expresiile elementelor de matrice se observă că momentul de dipol care apare în tranziția  $0 \rightarrow 2$  la frecvența  $\omega'$  se datorește atât diferenței de populație dintre nivelele 0 și 2, cât și inducției din partea câmpului exterior. Momentul de dipol care apare cu frecvența  $\omega$  poate fi reprezentat schematic în felul următor

$$\text{a) } n_1 \bullet \xrightarrow{E} d_{01} \xrightarrow{E} n_0 \bullet \xrightarrow{E} d_{02} \xrightarrow{E'} n_2 \quad (17.125)$$

$$\text{b) } n_1 \bullet \xrightarrow{E} d_{01} \xrightarrow{E'} d_{12} \xrightarrow{E} d_{02} \xrightarrow{E'} n_2. \quad (17.126)$$

În cazul procesului a) corespunzător tranzițiilor în treaptă, câmpul  $E$  polarizează tranziția  $0 \rightarrow 1$  și induce un moment de dipol  $d_{01}$  care în urma interacției cu același câmp modifică populația nivelului 0 (datorită absorbției). Fenomenele se petrec analog și în cazul tranziției  $0 \rightarrow 2$  sub acțiunea câmpului  $E'$ .

Procesul b) care nu este însoțit de modificarea populațiilor nivelului 0 este determinat de polarizarea  $P_{01}$  rezultată în urma interacției dintre câmpul  $E$  și polarizarea  $P_{12}$ . Interacția dintre polarizarea  $P_{01}$  și câmpul  $E'$  conduce la excitarea nivelului 2 și la polarizarea corespunzătoare tranziției  $2 \rightarrow 1$



Probabilitatea de tranziție între nivelele 1 și 2 poate fi calculată atât cu ajutorul amplitudinii de probabilitate  $a_2(t)$  cât și cu ajutorul elementului de matrice  $\rho_{02}$ , sub forma

$$w_{12} = \frac{2V^2V'^2}{\left(\frac{\gamma_1 + \gamma_0}{2}\right)^2 + \Omega^2} \operatorname{Re} \left\{ \frac{1}{\gamma_1} \cdot \frac{1}{\left[\frac{\gamma_1 + \gamma_2}{2} + i(\Omega' - \Omega)\right]} + \frac{1}{\gamma_0} \cdot \frac{1}{\frac{\gamma_0 + \gamma_2}{2} + i\Omega'} + \frac{1}{\left(\frac{\gamma_0 + \gamma_2}{2} + i\Omega'\right) \left[\frac{\gamma_1 + \gamma_2}{2} + i(\Omega' - \Omega)\right]} \right\}. \quad (17.127)$$

Primul termen al relației (17.127) are valoarea maximă la frecvența  $\omega' - \omega_0$  când se realizează condiția  $\Omega' - \Omega = 0$ . Linia are în acest caz lărgimea tranziției interzise  $1 \rightarrow 2$ , iar procesul poate fi atribuit unei tranziții care implică două cuante.

Al doilea termen descrie linia care apare în urma tranziției  $0 \rightarrow 2$  și implică o singură cantă, avînd valoarea maximă pentru  $\Omega' = 0$ , iar lărgimea liniei egală cu lărgimea tranziției.

Al treilea termen este determinat de interferența proceselor descrise de primii doi termeni.

Cînd dezacordurile frecvențelor sînt mari,  $\Omega \gg \gamma_1 + \gamma_0$  linia obținută prin emisie stimulată, prezintă două maxime de lărgimi  $\gamma_1 + \gamma_0$  și  $\gamma_1 + \gamma_2$  corespunzătoare frecvențelor  $\Omega' = 0$  și  $\Omega' = \Omega$  ale căror intensități relative depind de ratele de relaxare pentru nivelele 0 și 1. Astfel, dacă nu se lucrează la rezonanță, liniile care corespund tranzițiilor în treaptă și implică o singură cantă sînt separate de cele legate de împrăștierea Raman.

La rezonanță, contribuția primilor doi termeni din relația (17.127) crește. Dacă  $\gamma_0 \gg \gamma_1, \gamma_2$  contribuția ultimilor doi termeni din relația (17.127) poate fi neglijată, astfel că probabilitatea

$$w_{12} = \frac{2V^2V'^2}{\Omega^2 + \gamma_0^2/4} \operatorname{Re} \left\{ \frac{1}{\gamma_1} \cdot \frac{1}{\frac{\gamma_1 + \gamma_2}{2} + i(\Omega' - \Omega)} \right\} \quad (17.128)$$

este determinată de tranzițiile ce implică două cuante. Pentru  $\gamma_0 \ll \gamma_1$  contribuția celui de-al doilea termen al relației (17.127) devine importantă scoțîndu-se în evidență tranzițiile în treaptă care implică o singură cantă. Probabilitatea de tranziție  $w_{12}$  funcție de dezacordul frecvențelor, este prezentată în fig. 17.17.

Dacă ratele de relaxare sînt egale, linia obținută este determinată de interferența proceselor în treaptă care implică o singură cantă cu tranzițiile care implică două cuante.



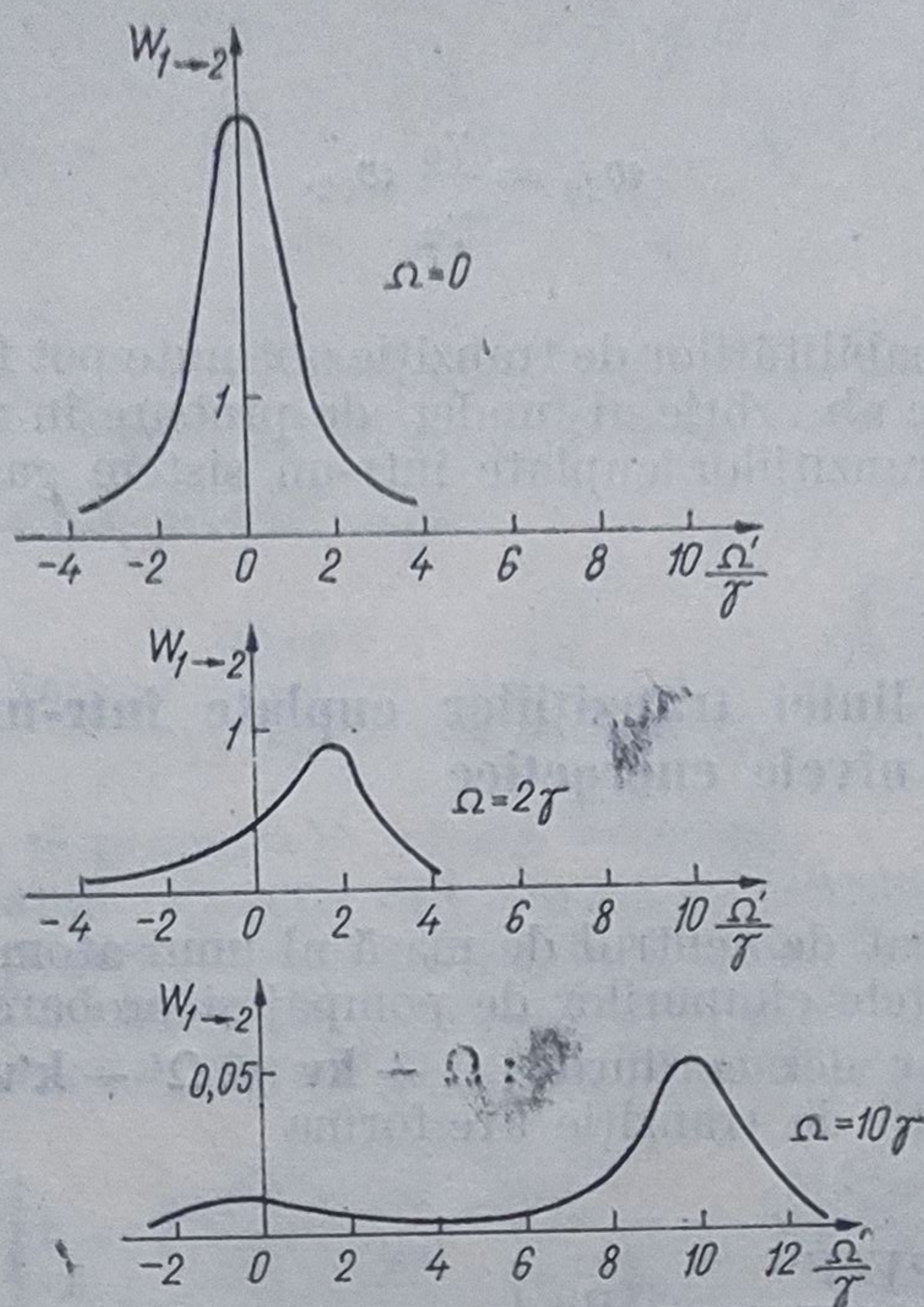


Fig. 17.17

Probabilitatea de tranziție  $0 \rightarrow 2$  este influențată de câmpul care determină tranziția  $1 \rightarrow 0$  și este dată de relația

$$w_{02} = \frac{V'^2(\gamma_0 + \gamma_2)}{\gamma_0} \cdot \frac{1}{\left[ \Omega'^2 + \left( \frac{\gamma_0 + \gamma_2}{2} \right)^2 \right]} -$$

$$\begin{aligned} & - \left\{ \frac{4V'^4 \left( \frac{\gamma_0 + \gamma_2}{2} \right)^2}{\gamma_0} \left( \frac{1}{\gamma_2} + \frac{1}{\gamma_0} \right) \cdot \frac{1}{\left[ \Omega'^2 + \left( \frac{\gamma_0 + \gamma_2}{2} \right)^2 \right]^2} + \right. \\ & + \frac{2V^2V'^2}{\gamma_0} \operatorname{Re} \left[ \frac{\gamma_0 + \gamma_2}{\gamma_0 \left( \frac{\gamma_0 + \gamma_1}{2} + i\Omega \right) \left[ \Omega'^2 + \left( \frac{\gamma_0 + \gamma_2}{2} \right)^2 \right]} + \right. \\ & + \frac{1}{\left( \frac{\gamma_0 + \gamma_2}{2} - i\Omega' \right)^2 \left[ \frac{\gamma_1 + \gamma_2}{2} + i(\Omega - \Omega') \right]} + \\ & \left. \left. + \frac{1}{\left( \frac{\gamma_0 + \gamma_2}{2} - i\Omega' \right) \left( \frac{\gamma_0 + \gamma_1}{2} + i\Omega \right) \left[ \frac{\gamma_1 + \gamma_2}{2} + i(\Omega - \Omega') \right]} \right] \right\} \end{aligned} \quad (17.129)$$



Cînd particula se află pe nivelul excitat 2, probabilitatea de tranziție  $2 \rightarrow 0$  este

$$w_{20} = \frac{\gamma_0}{\gamma_2} w_{02}. \quad (17.130)$$

Expresiile probabilităților de tranziție obținute pot fi folosite la calculul coeficientului de absorbție al undei de probare în vederea caracterizării formei liniei tranzițiilor cuplate într-un sistem gazos.

### 17.8. Forma liniei tranzițiilor cuplate într-un sistem gazos cu trei nivele energetice

În sistemul legat de centrul de masă al unui atom aflat în mișcare cu viteza  $v$ , frecvențele cîmpurilor de pompaj și probare devin:  $\omega - kv$  respectiv  $\omega' - k'v$  iar dezacordurile:  $\Omega - kv$  și  $\Omega' - k'v$ , încît, în final, expresia probabilității de tranziție are forma

$$w_{12}^{(\mp)}(v) = \frac{2V^2V'^2}{(\Omega - kv)^2 + \left(\frac{\gamma_0 + \gamma_1}{2}\right)^2} \operatorname{Re} \left\{ \frac{1}{\gamma_1 \left[ \frac{\gamma_1 + \gamma_2}{2} + i(\Omega' - \Omega + kv \mp k'v) \right]} + \frac{1}{\gamma_0 \left[ \frac{\gamma_0 + \gamma_2}{2} + i(\Omega' \mp k'v) \right]} + \frac{1}{\left[ \frac{\gamma_1 + \gamma_2}{2} + i(\Omega' - \Omega + kv \mp k'v) \right] \left[ \frac{\gamma_0 + \gamma_2}{2} + i(\Omega' \mp k'v) \right]} \right\}. \quad (17.131)$$

Semnul  $(-)$  corespunde propagării undelor  $E$  și  $E'$  în aceeași direcție, iar semnul  $(+)$  în direcții opuse.

Relația (17.131) poate fi particularizată pentru două cazuri mai importante:

a) cînd nu este îndeplinită condiția de rezonanță  $\Omega \gg \gamma_0, \gamma_1, \gamma_2$  (aceasta corespunde împrăstierii Raman stimulate) al doilea termen poate fi neglijat obținîndu-se pentru probabilitate expresia

$$\langle w_{12}^{(\mp)}(v) \rangle = \frac{2V^2V'^2}{\Omega^2} \operatorname{Re} \left\{ \frac{1}{\gamma_1} \cdot \frac{1}{\frac{\gamma_1 - \gamma_2}{2} - i(\Omega' - \Omega)} \right\} \quad (17.132)$$



cu :

$$\gamma_1 + \gamma_2 \gg |\mathbf{k}' - \mathbf{k}|u, \Omega' - \Omega$$

$$\langle w_{12}^{(-)}(v) \rangle = \frac{2V^2 V'^2}{\Omega^2} \frac{\sqrt{\pi}}{|\mathbf{k}' - \mathbf{k}|u} e^{-\left[\frac{\Omega' - \Omega}{|\mathbf{k}' - \mathbf{k}|u}\right]^2} \cdot \frac{1}{\gamma_1} \quad (17.133)$$

unde

$$(\gamma_1 + \gamma_2) \ll |\mathbf{k}' - \mathbf{k}|u, \Omega' - \Omega \quad (17.134)$$

pentru unde avînd același sens

$$\langle w_{12}^{(+)}(v) \rangle = \frac{2V^2 V'^2}{\Omega^2} \cdot \frac{\sqrt{\pi}}{(\mathbf{k}' + \mathbf{k})u} \cdot \frac{1}{\gamma_1} e^{-\left[\frac{\Omega' - \Omega}{|\mathbf{k}' + \mathbf{k}|u}\right]^2} \quad (17.135)$$

pentru unde care se propagă în sensuri contrare.

b) la rezonanță. Funcție de intensitatea cîmpului de pompaj există două posibilități pentru studiul tranzițiilor cuplate la rezonanță în prezența cîmpurilor  $E$  și  $E'$  : cîmp slab ( $G \ll 1$ ) respectiv cîmp puternic.

Expresia coeficientului de absorbție în cazul cîmpului slab este

$$K_{\pm} = K_0 e^{-\left(\frac{\Omega'}{k'u}\right)} \left\{ 1 + V^2 \frac{N_1^0 - N_0^0}{N_0^0 - N_2^0} \cdot \frac{2\gamma_{\pm}}{\gamma_0} \cdot \frac{k'/k}{\left(\Omega' \pm \frac{k'}{k} \Omega\right) + \gamma_{\pm}^2} \right\} \quad (17.136)$$

pentru  $k' > k$ , și

$$K_{+} = K_0 e^{-\left(\frac{\Omega'}{k'u}\right)^2} \left\{ 1 + \frac{N_1^0 - N_0^0}{N_0^0 - N_2^0} \cdot \frac{2\gamma_{+}}{\gamma_0} \cdot \frac{V^2 k'/k}{\left(\Omega' + \frac{k'}{k} \Omega\right)^2 + \gamma_{+}^2} \right\}; \quad (17.137)$$

$$K_{-} = K_0 e^{-\left(\frac{\Omega'}{k'u}\right)^2} \left\{ 1 + \frac{2k'}{k} \left(1 - \frac{k'}{k}\right) V^2 \cdot \frac{\gamma_{-}^2 - \left(\Omega' - \frac{k'}{k} \Omega\right)^2}{\left[\gamma_{-}^2 + \left(\Omega' - \frac{k'}{k} \Omega\right)^2\right]^2} + \right.$$

$$\left. + \frac{N_1^0 - N_0^0}{N_0^0 - N_2^0} V^2 \cdot \frac{2\gamma_{-} \frac{k'}{k}}{\gamma_0 \left[\left(\Omega' - \frac{k'}{k} \Omega\right)^2 + \gamma_{-}^2\right]} \right\} \text{ pentru } k' < k. \quad (17.138)$$

În relațiile (17.136) — (17.138)  $K_0$  este coeficientul liniar de absorbție corespunzător tranziției  $0 \rightarrow 2$ ,  $N_1^0, N_0^0, N_2^0$  sînt populațiile nivelelor 1, 0, 2 în absența cîmpului, iar  $\gamma_{\pm}$  sînt semilărgimile liniilor radiațiilor împrăștiate înainte și înapoi.

Existența expresiilor diferite pentru coeficienții de absorbție este determinată de faptul că lărgimea radiației progresive este deformată de tranzițiile care implică două cuante, care sînt lărgite prin efect Doppler din cauza diferenței dintre  $k'$  și  $k$ , iar linia radiației regresive este caracteris-



tică proceselor în treaptă avînd lărgimea determinată de tranziție  $0 \rightarrow 2$  și de distribuția după viteze a particulelor de pe nivelul 0.

În cazul cîmpului puternic, expresiile coeficienților de absorbție sînt următoarele

$$K_{\pm} = K_0 e^{-\left(\frac{\Omega'}{k'u}\right)^2} \left[ 1 + \frac{N_1^0 - N_0^0}{N_0^0 - N_2^0} \cdot \frac{G}{\sqrt{1+G}} \cdot \frac{k'}{2k} \cdot \frac{\gamma_1 \gamma_{\pm}}{\gamma_{\pm}^2 + \left(\Omega' \pm \frac{k'}{k} \Omega\right)^2} \right] \quad (17.139)$$

unde

$$2\gamma_- = \gamma_2 + \gamma_1 \sqrt{1+G} + \left(\frac{k'}{k} - 1\right)(\gamma_1 + \gamma_0) \sqrt{1+G}$$

$$2\gamma_+ = \gamma_2 + \gamma_0 \sqrt{1+G} + \frac{k'}{k}(\gamma_1 + \gamma_0) \sqrt{1+G}$$

pentru  $k' > k$ , și

$$K'_-(\Omega') = K_0 e^{-\left(\frac{\Omega'}{k'u}\right)^2} \cdot \frac{1}{V \left( 8V^2 \frac{k'(k-k')}{k^2} \right)^{1/2} \left( \Omega' - \frac{k'}{k} \Omega \right)} \times \quad (17.140)$$

$$\times \left\{ \frac{1}{\left[ \left( \Omega' - \frac{k'}{k} \Omega \right) - \left( \frac{4V^2 k'(k-k')}{k^2} \right)^{1/2} \right]^2 + \left[ \frac{\gamma_0 + \gamma_2}{2} + \frac{k'}{2k}(\gamma_1 - \gamma_0) \right]^2} - \right.$$

$$\left. - \frac{1}{\left[ \left( \Omega' - \frac{k'}{k} \Omega \right) + \left( \frac{4V^2 k'(k-k')}{k^2} \right)^{1/2} \right]^2 + \left[ \frac{\gamma_0 + \gamma_2}{2} + \frac{k'}{2k}(\gamma_1 - \gamma_0) \right]^2} \right\}^{1/2}$$

pentru  $k' < k$ .

Reprezentarea grafică a coeficientului de absorbție  $K'(\omega')$  funcție de frecvența undei de probare  $\omega'$  evidențiază două maxime (fig. 17.18) situate

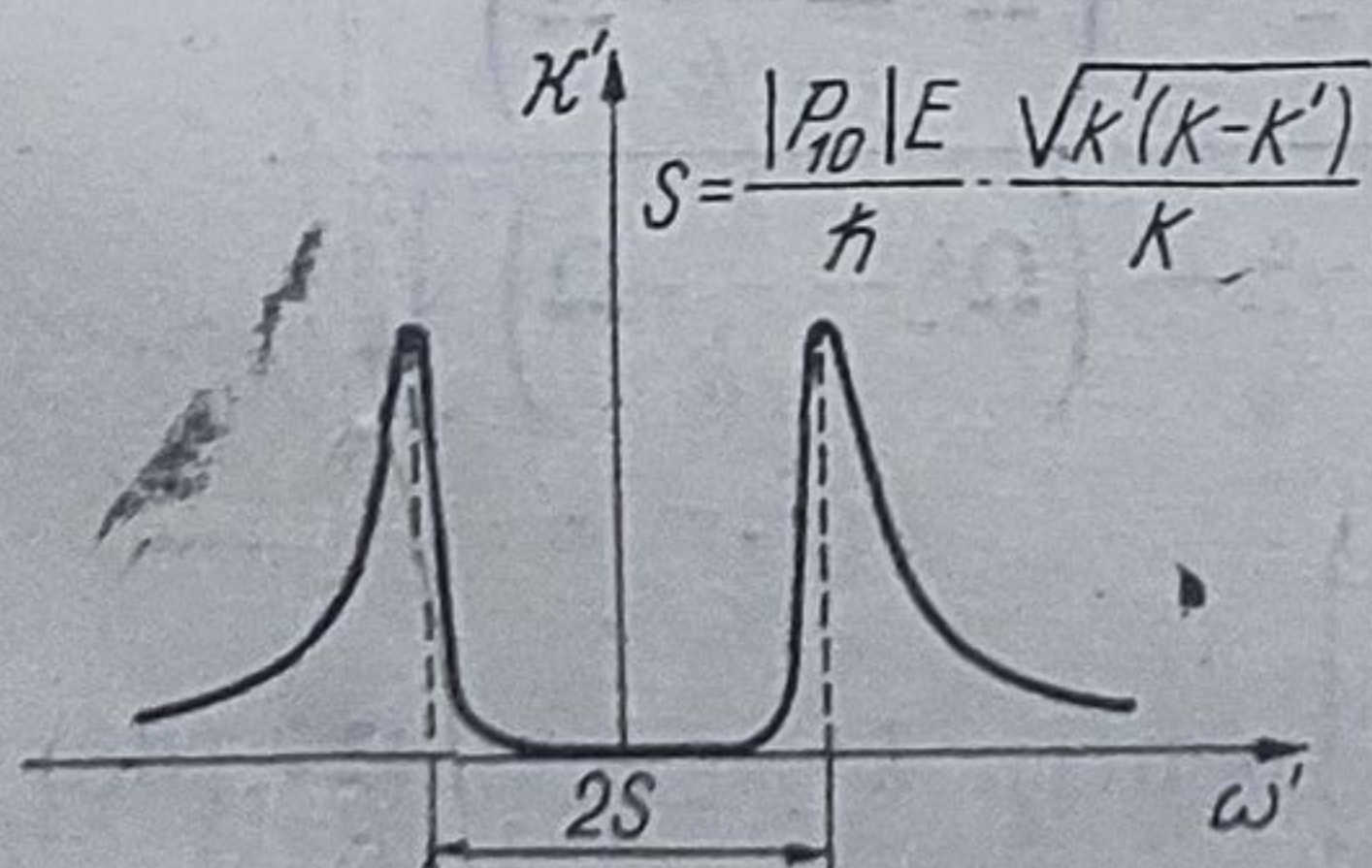


Fig. 17.18

la frecvențele  $\pm 2V \sqrt{\frac{k'(k-k')}{k^2}}$  cu distanța dintre ele mult mai mare decît lărgimea lor.

Pentru valori mari ale parametrilor  $V$ ,  $k'$  și  $(k - k')$  distanța dintre cele două maxime este aproximativ egală cu  $2V \sqrt{\frac{k'(k-k')}{k^2}}$ .

În cîmpuri intense, pentru tranziția  $0 \rightarrow 1$ , probabilitatea de a găsi particula pe nivelul 0 oscilează cu o frecvență care depinde de mărimea cîmpului. Aceste oscilații care determină modularea momentului de dipol al tranziției  $0 \rightarrow 2$  conduc la apariția de frecvențe de rezonanță adiționale, iar fenomenul poate fi interpretat ca un efect de despicare al nivelului 0.

Tehnicile și instalațiile experimentale cele mai des folosite în spectroscopia laser prin metoda absorbției saturate sînt prezentate în lucrarea [173].



## 18. SPECTROSCOPIA LASER BAZATĂ PE ABSORBȚIA A DOI FOTONI

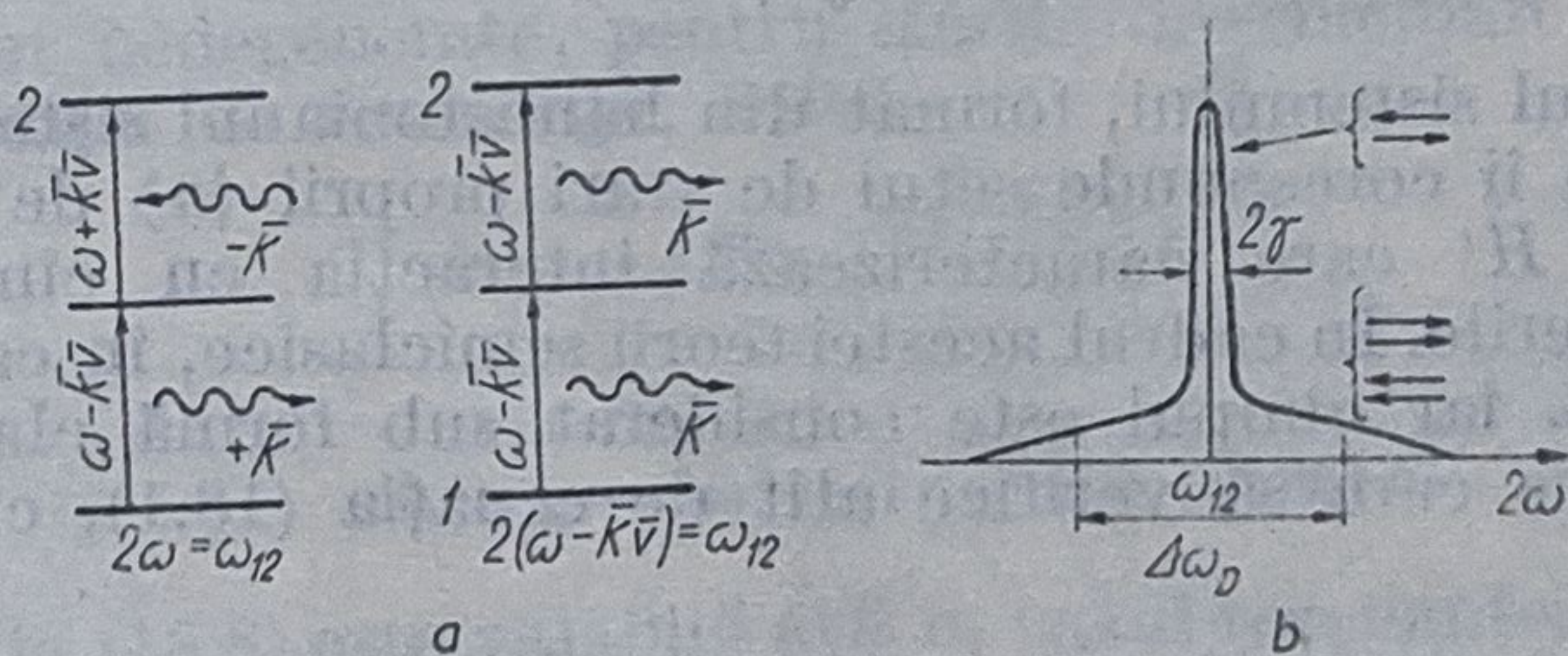
### 18.1. Caracteristicile spectroscopiei laser bazate pe absorbția a doi fotoni

Deși teoria proceselor care includ mai mulți fotoni a fost formulată în jurul anului 1930 [147, 161], verificarea ei experimentală nu s-a putut face decât după descoperirea laserilor de putere.

Spectroscopia laser bazată pe absorbția a doi fotoni are următoarele caracteristici:

- stările inițială și finală au aceeași paritate;
- starea finală poate să aibă energia de excitație corespunzătoare domeniului U.V. îndepărtat în timp ce lumina incidentă poate să aibă frecvența în domeniul U.V. apropiat sau chiar albastru al spectrului;
- posibilitatea eliminării lărgirii liniilor spectrale datorită efectului Doppler.

Primele două caracteristici dau posibilitatea studierii unor stări care nu ar putea fi obținute prin folosirea proceselor care implică în tranziție un singur foton, iar ultima ne indică faptul că aceste stări pot fi studiate prin metode spectroscopice cu înaltă putere de rezoluție.



Eig. 18.1

Spectroscopia bifotonică se bazează pe absorbția simultană a doi fotoni cu energii egale care se propagă în sens contrar [147, 161], eliminându-se astfel fenomenul de lărgire a liniilor spectrale datorită efectului Doppler (fig. 18.1a și b). Această tehnică se deosebește de celelalte tehnici neliniare de eliminare a lărgirii liniilor spectrale prin efect Doppler prezentate anterior prin faptul că din punct de vedere al distribuției după viteze toți atomii sau moleculele mediului de interacție participă la obținerea semnalului, în comparație doar cu o mică parte din distribuția neomo-



genă în cazul spectroscopiei bazată pe saturarea absorbției. Forma liniei spectrale obținute prin absorbția bifotonică este reprezentată în fig. 18.1, b, amplitudinea „picului” la rezonanță  $2\omega = \omega_{12}$  în centrul liniei avînd un contrast determinat de raportul celor două lărgimi: Doppler și omogenă.

Întrucît lărgimea „picului” corespunzător rezonanței nu depinde de curbura frontului de undă, pentru că cei doi fotoni sînt absorbiți simultan și în același punct din spațiu, este posibil să se lucreze cu fascicule de lumină cu secțiune transversală mare (zeci de centimetri pătrați) obținîndu-se astfel o facilitare în tehnica detecției.

De asemenea, prin emisia luminii, rezultată din tranziția de pe un nivel superior fără ca acesta să fie ocupat în mod real (fluorescență de rezonanță), se obține o linie spectrală care nu este lărgită nici natural și nici prin efect Doppler, ci numai datorită relaxării de pe această stare virtuală [147, 161].

## 18.2. Teoria absorbției bifotonice. Probabilități de tranziție. Reguli de selecție

Expresiile probabilităților de tranziție obținute prin absorbția a doi fotoni pot fi deduse utilizîndu-se atît metoda perturbațiilor [169], cît și cu ajutorul părții imaginare a susceptibilității neliniare de ordinul trei  $\chi^{(3)}(-\omega'_1; \omega_1, \omega_2, -\omega_2)$ , corespunzătoare unui atom aflat sub acțiunea unui cîmp electric exterior [171, 172].

Evoluția în timp a unui sistem cuantic aflat în interacție cu un cîmp electromagnetic poate fi descrisă folosind formalismul matricei densitate (anexa 1)

$$\frac{d\rho}{dt} = -\frac{i}{\hbar} [H, \rho] \quad (18.1)$$

unde

$$H = H_0 + H' \quad (18.2)$$

este hamiltonianul sistemului, format din hamiltonianul sistemului neper-turbat  $H_0$  căruia îi corespunde setul de stări proprii  $|n\rangle$  de energii  $E_n$  și un hamiltonian  $H'$  care caracterizează interacția cu cîmpul electromagnetic și pierderile. În cadrul acestei teorii semiclasice, în care substanța este cuantificată, iar cîmpul este considerat sub formă clasică, trebuie obținută o soluție care să verifice atît de ecuația (18.1), cît și ecuația lui Maxwell

$$\nabla \times (\nabla \times \mathbf{E}) = -\frac{1}{c^2} \frac{\partial^2 \mathbf{E}}{\partial t^2} - \mu_0 \frac{\partial^2 \mathbf{P}}{\partial t^2} \quad (18.3)$$

unde  $\mathbf{E}$  reprezintă cîmpul iar  $\mathbf{P}$  polarizarea electrică a cărei valoare este dată de relația

$$\mathbf{P} = N \text{Urm} (\epsilon \mathbf{r} \rho). \quad (18.4)$$

Întrucît relațiile (18.1)–(18.4) sînt generale, incluzînd toate tipurile de interacții neliniare, din cauza complexității calculelor, pentru rezolvarea lor, în diferite cazuri concrete se consideră numai anumite moduri ale



cîmpului electromagnetic și de asemenea un număr mic de nivele energetice ale sistemului, care au o contribuție dominantă. Astfel, în cazul absorbției bifotonice se consideră numai două moduri ale cîmpului electromagnetic, care este tratat clasic

$$\mathbf{E} = \frac{1}{2} (\mathbf{e}_1 E_1 e^{i\mathbf{k}_1 \cdot \mathbf{r} - i\omega_1 t} + \mathbf{e}_2 E_2 e^{i\mathbf{k}_2 \cdot \mathbf{r} - i\omega_2 t}). \quad (18.5)$$

În sistemele atomice sau moleculare care au centru de inversie, polarizarea conține numai termeni cu puteri impare ale amplitudinii cîmpului electric, astfel că

$$P = \varepsilon_0 (\chi^{(1)} E_1 + \chi^{(3)} E_1 E_2 E_3 + \dots). \quad (18.6)$$

Pentru generalizare, s-a considerat un al treilea cîmp electric cu amplitudinea  $E_3$  și frecvența  $\omega_3$ , astfel încît polarizarea corespunzătoare frecvenței  $\omega_4 = \omega_1 + \omega_2 + \omega_3$ , obținută prin metoda perturbațiilor [172] este dată de o expresie de forma

$$P(\omega_4) = \frac{1}{2} \chi^{(3)} E_1 E_2 E_3 e^{i(\mathbf{k}_1 + \mathbf{k}_2 + \mathbf{k}_3) \cdot \mathbf{r} - i\omega_4 t} + \text{c.c.} \quad (18.7)$$

cu

$$\chi^{(3)} = \frac{1}{4} N e^4 \hbar^{-3} \sum_{n, n', n''} (\mathbf{re}_1)_{gn} (\mathbf{re}_2)_{nn'} (\mathbf{re}_3)_{n'n''} (\mathbf{re}_4)_{n''g} \times \\ \times \frac{1}{(\omega_{ng} - \omega_1 - i\gamma_{ng}/2)(\omega_{n'g} - \omega_1 - \omega_2 - i\gamma_{n'g}/2)(\omega_{n''g} - \omega_1 - \omega_2 - \omega_3 - i\gamma_{n''g}/2)} + \quad (18.8)$$

+ alți 23 termeni obținuți prin permutarea indicilor de la 1 la 4.

În relația (18.8),  $|g\rangle$  specifică starea fundamentală, iar constanta de pierdere  $\gamma_{gn}$  reprezintă lărgimea liniei corespunzătoare tranziției  $|g\rangle \rightarrow |n\rangle$  la jumătatea înălțimii. Pentru deducerea relației (18.8) s-au presupus următoarele: starea fundamentală  $|g\rangle$  și cea finală  $|f\rangle$  în care poate fi excitat sistemul sînt nedegenerate, pentru stările intermediare  $|n\rangle$  nu este îndeplinită condiția de rezonanță, adică

$$|\omega_{ng} - \omega_1| \gg \gamma_R \quad (18.9)$$

și în plus

$$\hbar |\omega_{gn} - \omega - i\gamma_{gn}/2| \gg |e(\mathbf{re}) E|. \quad (18.10)$$

Relația (18.8) este valabilă atît în cazul rezonanței, cît și cînd nu este îndeplinită condiția de rezonanță, întrucît s-au considerat și pierderile care au valori mai mari decît mărimea corespunzătoare hamiltonianului de interacție. Rezonanțele pot apare cînd una din frecvențele cîmpului sau o combinație a lor corespunde diferenței energetice dintre două nivele.

Frecvențele  $\omega_1$ ,  $\omega_2$  și  $\omega_3$  pot să ia valori pozitive sau negative, funcție de procesele fizice neliniare care sînt studiate. În cazul absorbției a doi fotoni frecvențele devin:  $\omega_2 = -\omega_3$  și  $\omega_4 = \omega_1$ . Considerînd că starea finală  $|f\rangle = |n'\rangle$  se obține prin absorbția a doi fotoni, adică  $\omega_{n'g} = \omega_1 + \omega_2$ , în relația (18.8) însumarea după  $n'$  se reduce la un singur termen corespunzător stării finale  $|f\rangle$ , iar însumarea după  $n$  și  $n''$  poate fi scrisă sub



forma pătratică a unei singure sume. Neglijând pierderile, adică  $\omega_{ng} - \omega_1 - i\gamma_{ng} \simeq \omega_{ng} - \omega_1 = \omega_{ng} - \omega_2$  și ținând seama că în cazul absorbției a doi fotoni susceptibilitatea devine pur imaginară se obține următoarea relație pentru partea imaginară a susceptibilității neliniare de ordinul trei

$$\chi''^{(3)}(-\omega_1; \omega_1, \omega_2, -\omega_2) = \frac{1}{2} N e^4 \hbar^{-3} \gamma_{gf}^{-1} \left| \sum_n \frac{(\mathbf{re}_1)_{gn} (\mathbf{re}_2)_{nf}}{\omega_{ng} - \omega_1} + \sum_n \frac{(\mathbf{re}_2)_{gn} (\mathbf{re}_1)_{nf}}{\omega_{ng} - \omega_2} \right|^2. \quad (18.11)$$

Ținând seama că puterea absorbită pe unitatea de volum în cazul tranziției bifotonice este  $\frac{1}{2} (\omega_1 + \omega_2) \chi''^{(3)} E_1^2 E_2^2$ , prin împărțirea acestei expresii la energia implicată în tranziție  $\hbar(\omega_1 + \omega_2)$  și numărul de atomi pe unitatea de volum se obține pentru rata tranziției pe atom, la rezonanță, corespunzătoare absorbției a doi fotoni, o expresie de forma

$$w_{f \leftarrow g} = e^4 \hbar^{-4} \gamma_{gf}^{-1} \left| \sum_n \frac{(\mathbf{re}_1)_{gn} (\mathbf{re}_2)_{nf}}{\omega_{ng} - \omega_1} + \sum_n \frac{(\mathbf{re}_2)_{gn} (\mathbf{re}_1)_{nf}}{\omega_{ng} - \omega_2} \right|^2 \cdot \frac{1}{4} |E_1|^2 |E_2|^2. \quad (18.12)$$

Din relația (18.12) se observă că probabilitatea tranziției  $|g\rangle \rightarrow |f\rangle$  pe unitatea de timp este proporțională cu pătratele amplitudinilor câmpurilor incidente și cu elementele de matrice de ordinul 2 corespunzătoare acestei tranziții.

Dacă se ține seama de mișcarea atomilor și de faptul că cele două câmpuri cu frecvențele  $\omega_1$  și  $\omega_2$  se propagă în sens contrar, atunci pe baza efectului Doppler, frecvențele câmpurilor corespunzătoare atomilor în mișcare devin  $\omega_1 - k_1 v_x$  și  $\omega_2 + k_2 v_x$ , unde  $v_x$  reprezintă componenta vitezei atomilor de-a lungul câmpului  $E_1$ . În aceste condiții relația (18.12) se transformă în

$$w_{f \leftarrow g} = \frac{1}{4} e^4 \hbar^{-4} |E_1|^2 |E_2|^2 \frac{\gamma_{gf}}{[\omega_{fg} + (k_1 - k_2) v_x - \omega_1 - \omega_2]^2 + \left(\frac{\gamma_{gf}}{2}\right)^2} \times \\ \times \left[ \sum_n \frac{(\mathbf{re}_1)_{gn} (\mathbf{re}_2)_{nf}}{\omega_{ng} + k_1 v_x - \omega_1} + \frac{(\mathbf{re}_2)_{gn} (\mathbf{re}_1)_{nf}}{\omega_{ng} - k_2 v_x - \omega_2} \right]. \quad (18.13)$$

Lărgimea Doppler a liniei corespunzătoare absorbției a doi fotoni, obținută prin integrare după viteze are valoarea  $(k_1 - k_2)u$  și pentru valori suficient de apropiate ale frecvențelor celor două câmpuri, este mult mai mică în comparație cu lărgimea omogenă  $\frac{\gamma_{fg}}{2}$ .

În cazul particular  $k_1 = k_2$ , lărgirea liniei datorită efectului Doppler dispare dacă cei doi fotoni sînt absorbiți separat de la fiecare fascicul.



Ținând seama totuși că mai există posibilitatea de absorbție a câte doi fotoni de la fiecare fascicul, rata totală a tranziției devine

$$\begin{aligned}
 w_{f \leftarrow g} = & \frac{1}{4} e^4 \hbar^{-4} |E_1|^2 |E_2|^2 \frac{\gamma_{gf}}{(\omega_{fg} - \omega_1 - \omega_2)^2 + \left(\frac{\gamma_{gf}}{2}\right)^2} \times \\
 & \times \left| \sum_n \frac{(\mathbf{re}_1)_{gn} (\mathbf{re}_2)_{nf} + (\mathbf{re}_2)_{gn} (\mathbf{re}_1)_{nf}}{\omega_{ng} - \omega_1} \right|^2 + \\
 & + \frac{1}{4} e^4 \hbar^{-4} |E_1|^4 \gamma_{gf} \frac{1}{(\omega_{fg} - 2\omega_1 + 2k_1 v_x)^2 + \left(\frac{\gamma_{gf}}{2}\right)^2} \left| \sum_n \frac{(\mathbf{re}_1)_{gn} (\mathbf{re}_2)_{nf}}{\omega_{ng} - \omega_1} \right|^2 + \\
 & + \frac{1}{4} e^4 \hbar^{-4} |E_2|^4 \gamma_{gf} \frac{1}{(\omega_{fg} - 2\omega_1 - 2k_1 v_x)^2 + \left(\frac{\gamma_{gf}}{2}\right)^2} \left| \sum_n \frac{(\mathbf{re}_2)_{gn} (\mathbf{re}_2)_{nf}}{\omega_{ng} - \omega_1} \right|^2. \quad (18.14)
 \end{aligned}$$

Fenomenul de absorbție a doi fotoni mai poate fi caracterizat și de secțiunea transversală de absorbție, obținută prin împărțirea ratei tranziției la numărul de fotoni pe  $\text{cm}^2$ , pe secundă, care se propagă de-a lungul vectorului de undă  $\mathbf{k}_1$

$$\sigma^2(\omega) = \frac{(16\pi^2 \gamma_{fg} \omega e^4 \hbar^{-3})/c^2}{(\omega_{fg} - 2\omega)^2 + \left(\frac{\gamma_{fg}}{2}\right)^2} \left| \sum_n \frac{\langle f | \mathbf{d} | n \rangle \langle n | \mathbf{d} | g \rangle}{\hbar(\omega_{fg} - 2\omega)} \right|^2 \cdot \frac{P}{A} \quad (18.15)$$

unde  $P/A$  reprezintă densitatea fluxului de putere, iar  $\langle f | \mathbf{d} | n \rangle$  elementele de matrice ale tranziției de dipol între cele două stări  $|f\rangle$  și  $|n\rangle$ . Mărimile care intervin în relațiile (18.7)–(18.15) sînt date în unități ale sistemului c.g.s.

Pentru a deduce regulile de selecție care guvernează tranzițiile bifotonice, trebuie să ținem seama că elementele de matrice ale tranzițiilor de dipol, care caracterizează interacția dintre cîmp și substanță, se transformă la fel ca și componentele tensorului ireductibil  $T_1^{(q)}$ , cu  $q = -1$  pentru direcția de polarizare  $\sigma^-$ ,  $q = +1$  pentru  $\sigma^+$  și  $q = 0$  pentru  $\pi$ . Astfel, prin aplicarea acestui operator,  $T_1^{(q)}$ , momentul cinetic orbital trebuie să varieze cu  $\pm 1$ , iar prin aplicarea lui încă o dată, ca în cazul tranzițiilor bifotonice, se obține următoarea regulă de selecție

$$\Delta L = 0 \quad \text{sau} \quad \pm 2. \quad (18.16)$$

În plus, mai trebuie pusă și condiția:

$$\Delta m_L = q_1 + q_2 \quad (18.17)$$

unde  $q_1$  și  $q_2$  iau valorile  $+1$ ,  $-1$  și  $0$  pentru cele trei direcții de polarizare  $\sigma^+$ ,  $\sigma^-$  și  $\pi$ .



Întrucît hamiltonianul nu acţionează asupra variabilelor de spin, chiar şi în câmpuri magnetice exterioare puternice, numerele cuantice magnetice de spin ale electronului şi nucleului rămîn neschimbate. Deci

$$\Delta m_s = \Delta m_I = 0. \quad (18.18)$$

În cazul în care mărimea interacţiilor spin-orbită  $\lambda LS$  şi hiperfină  $AIS$  sînt comparabile cu mărimea despicării Zeeman, reprezentînd stările atomice prin vectorii  $|L, S, I, m_L, m_I\rangle$ , cu ajutorul coeficienţilor Clebsch—Gordan şi teorema lui Wigner—Eckart se pot obţine regulile de selecţie pentru momentul cinetic total  $\mathbf{F} = \mathbf{L} + \mathbf{S} + \mathbf{I}$  şi  $m_F = m_L + m_S + m_I$  sub forma [161]

$$|\Delta F| \leq F \text{ şi } \Delta m_F = q_1 + q_2. \quad (18.19)$$

Aceste reguli de selecţie pentru diferite valori ale numerelor cuantice sînt prezentate în tabelul 18.1.

Tabelul 18.1

Tipul tranziţiei	Tranziţii permise	Tranziţii interzise
$\Delta L = 2$	$F \leq 2$	$F = 0 \rightarrow F' = 0$
$\Delta L = 1$	$\Delta M_F = q_1 + q_2$	$F = 0 \rightarrow F' = 1$
$\Delta L = 0$		$F = \frac{1}{2} \rightarrow F' = \frac{1}{2}$
$\Delta M_F \neq 0$		$\begin{cases} F, M_F = 0 \rightarrow F' = F + 1, \\ M_{F'} = 0 \\ (F \text{ întreg}) \end{cases}$
		$\begin{cases} F, M_F = -(1/2) \rightarrow F' = F, M_{F'} = \frac{1}{2} \\ (F \text{ semiîntreg}) \end{cases}$
$L_1 = L_2 = 0$	$\Delta F = 0$ $\Delta M_F = q_1 + q_2 = 0$	

Pentru diferite cazuri particulare regulile de selecţie considerate mai sus depind de proprietăţile stărilor iniţiale şi finale. Astfel, chiar dacă valorile energiilor care apar la numitorii formulelor (18.13) şi (18.14) sînt aceleaşi pentru toţi termenii multipletului stării intermediare  $|n\rangle$ , însumarea după toate substările acestuia nu schimbă regulile de selecţie cu condiţia ca :  $\hbar(\omega_{n0} - \omega_1) \gg \lambda$ ;  $A$  şi  $\hbar(\omega_{n0} - \omega_2) \gg \lambda$ ;  $A$  ( $\lambda$  şi  $A$  fiind constantele interacţiilor spin-orbită şi respectiv hiperfină).

În lucrările [177—189] sînt prezentate metodele experimentale mai importante care sînt folosite în spectroscopia bifotonică.



## 19. BĂTĂI CUANTICE

Așa cum a fost prezentată în § 15.5, metoda bătailor cuantice crează posibilitatea eliminării lărgirilor liniilor spectrale datorită efectului Doppler și constă în excitarea sistemului cuantic cu ajutorul unei radiații laser cu lungimea de undă potrivită, într-o superpoziție coerentă de substări și detectarea modului în care evoluează sistemul pe baza modulației intensității radiațiilor obținute în urma fluorescenței. Cu ajutorul acestei metode se pot determina timpii de viață ai nivelelor excitate, se pot măsura polarizabilități, se studiază procesele de ciocnire și altele. În comparație cu alte tehnici de investigare a structurii hiperfine a nivelelor energetice în acest caz excitarea sistemului nu trebuie făcută cu o radiație laser riguros monocromatică. Avantajele acestei metode sînt limitate de posibilitățile de selecție a despicărilor energetice la frecvențe foarte mici și de faptul că nu poate fi folosită la determinarea intervalelor de frecvență în domeniul optic.

### 19.1. Tratarea fenomenului de bătai cu ajutorul teoriei electrodinamicii cuantice

Întrucît fenomenul de bătai cuantice se poate observa în urma modificării intensității luminii emise de un sistem de atomi excitați în impulsuri, el poate fi privit ca un efect cuantic de interferență care apare în fenomenul de fluorescență atomică.

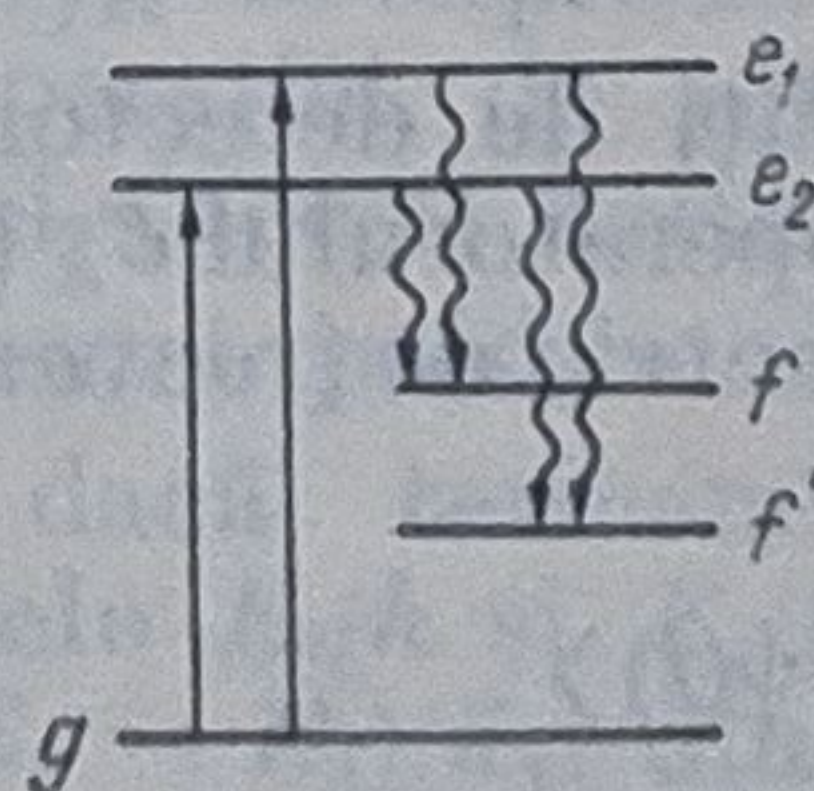


Fig. 19.1

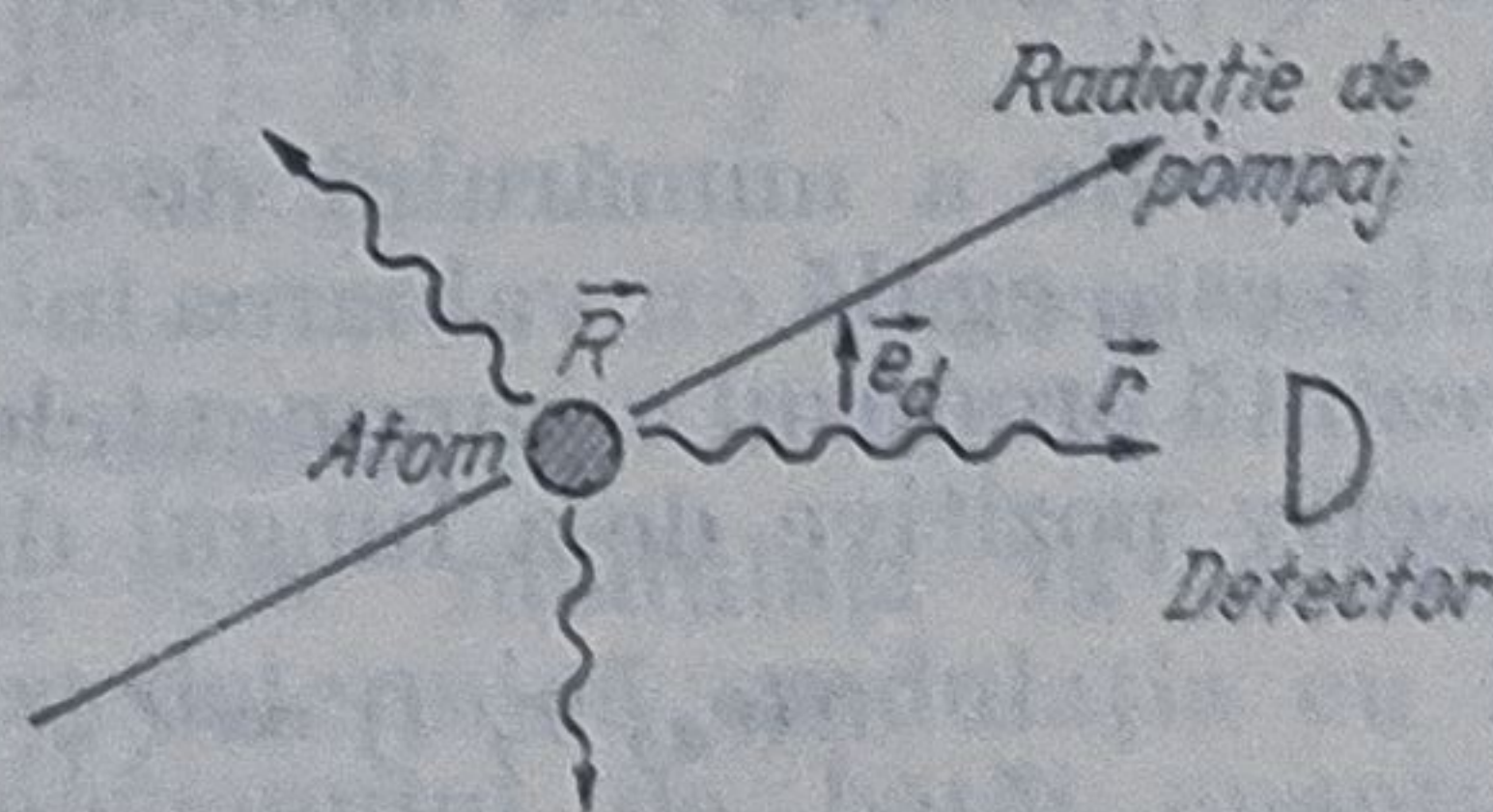


Fig. 19.2

În cazul unui atom, a cărui diagramă energetică este prezentată în fig. 19.1, prin excitarea acestuia cu un puls scurt de lumină, trece într-o superpoziție coerentă de stări excitate  $|e_i\rangle$  ale căror energii  $E_i$  diferă puțin unele față de altele. După excitare, atomul emite lumină urma dezexcitării spontane (fig. 19.2) și trece în diferite stări inferioare  $|f\rangle$ ,



$|f'\rangle$  ale căror energii sînt  $E_f, E_{f'}$ . Cu ajutorul unui filtru cu bandă largă și un polarizor se pot selecta radiații corespunzătoare unei anumite stări finale  $|f\rangle$  și care au o polarizare dată  $e_a$ . Radiațiile astfel filtrate sînt detectate cu un fotomultiplicator  $FM$  aflat în punctul  $r$ . Intensitatea semnalului detectat  $S(e_a, r, t)$  poate fi calculată cu ajutorul teoriei electrodinamicii cuantice.

La momentul  $t = 0$ , se consideră că atomul se află în starea descrisă de funcția de undă

$$|\psi(0)\rangle = \sum_i \alpha_i |e_i, 0\rangle \quad (i = 1, 2) \quad (19.1)$$

unde  $|e_i, 0\rangle$  caracterizează substarea  $|e_i\rangle$ , iar  $\alpha_i$  reprezintă amplitudinea de probabilitate ca atomul să treacă în substarea  $|e_i\rangle$  sub acțiunea luminii.

Evoluția în timp a atomului este descrisă de funcția de undă

$$|\psi(t)\rangle = \sum_i \alpha_i e^{-iE_i t/\hbar - \gamma t/2} |e_i, 0\rangle + \sum_{f, k\epsilon} C_{fk\epsilon}(t) |f, k\epsilon\rangle. \quad (19.2)$$

În relația (19.2),  $\tau = 1/\gamma$  reprezintă timpul de viață al substărilor  $e_i$ , iar  $C_{fk\epsilon}(t)$  este amplitudinea probabilității ca la momentul  $t$  atomul să fie în starea finală  $|f\rangle$  sub acțiunea unui foton care are vectorul de undă  $k$  și polarizarea  $\epsilon$ .

Amplitudinea de probabilitate poate fi calculată cu ajutorul relației lui Wigner—Weisskopf sub forma [147]

$$C_{fk\epsilon}(t) = \sum_i \alpha_i \mathcal{E}_k \langle f | \mathbf{e} \mathbf{d} | e_i \rangle e^{-ikR} \times \frac{e^{-i(E_f + \hbar ck)t/\hbar} - e^{-iE_i t/\hbar - \gamma t/2}}{\hbar ck - (E_i - E_f) + i\hbar\gamma/2} \quad (19.3)$$

unde  $\mathcal{E}_k$  este intensitatea cîmpului electric asociat unui foton cu frecvența  $\hbar ck$ . Cei doi termeni care determină amplitudinea probabilității de a găsi un foton în starea  $|k\epsilon\rangle$  corespund emisiei dintr-o stare excitată  $|e_i\rangle$  ( $i=1, 2$ ) iar la rezonanță (care are loc pentru frecvența  $\hbar ck = E_i - E_f$  cu o lărgime  $\hbar\gamma$ ), aceștia sînt modulați cu frecvența stării excitate  $\frac{E_i}{\hbar}$ .

Rata medie a numărului de fotoni înregistrați de detectorul aflat în punctul  $r$  este egală cu valoarea în acel punct a operatorului  $\mathcal{E}_a^-(r) \mathcal{E}_a^+(r)$ , care reprezintă produsul componentelor cîmpului electric de frecvențe negative respectiv pozitive de-a lungul direcției  $e_a$

$$S(e_a, r, t) = \langle \psi(t) | \mathcal{E}_a^-(r) \mathcal{E}_a^+(r) | \psi(t) \rangle. \quad (19.4)$$

Exprimînd componentele  $\mathcal{E}_a^+(r)$  și  $\mathcal{E}_a^-(r)$  cu ajutorul modurilor normale ale cîmpului electromagnetic

$$\mathcal{E}_a^+(r) = \sum_{k\epsilon} \mathcal{E}_k \epsilon_a a_{k\epsilon} e^{ikr} \quad (19.5)$$

$$\mathcal{E}_a^-(r) = \sum_{k'\epsilon'} \mathcal{E}_{k'} \epsilon'_a a_{k'\epsilon'}^+ e^{-ik'r}, \quad (19.6)$$



$a_{k\varepsilon}^+$  și  $a_{k\varepsilon}$  fiind operatorii de creare și respectiv anihilare a modului  $k\varepsilon$  și ținând seama de relația (19.3) se obține pentru semnalul detectat expresia

$$S(\mathbf{e}_d, r, t) = \frac{1}{(4\pi\varepsilon_0)^2} \cdot \frac{k_0^4}{r_0^2} \sum_f \sum_{ij} \langle f | \mathbf{e}_d \mathbf{d} | e_i \rangle \alpha_i \alpha_j^* \times \\ \times \langle e_j | \mathbf{e}_d \mathbf{d} | f \rangle \theta \left( t - \frac{r_0}{c} \right) e^{-i\omega_{ij} \left( t - \frac{r_0}{c} \right)} e^{-\left( t - \frac{r_0}{c} \right)}. \quad (19.7)$$

În relația (19.7),  $r_0 = |R - r|$  reprezintă distanța dintre atom și detector,  $k_0 = (E_e - E_f)/\hbar c$  este media numerelor de undă ale tranzițiilor detectate în domeniul optic,  $\omega_{ij} = (E_i - E_j)/\hbar$  este frecvența Bohr corespunzătoare despicărilor între stările  $e_i$  și  $e_j$ , iar  $\theta \left( t - \frac{r_0}{c} \right)$  este funcția lui Heaviside

$$\theta \left( t - \frac{r_0}{c} \right) = \begin{cases} 1, & \text{pentru } t > \frac{r_0}{c} \\ 0, & \text{pentru } t < \frac{r_0}{c} \end{cases}. \quad (19.8)$$

Operația de însumare are loc după toate stările finale selectate de filtrul plasat în fața detectorului și funcție de aranjamentul experimental, poate să conțină sau nu starea fundamentală.

Expresia semnalului detectat astfel obținută poate fi aplicată în cazul unui număr arbitrar de stări excitate  $|e_i\rangle$  și reprezintă o curbă exponențială modulată de funcții sinusoidale a căror perioadă este  $2\pi/\omega_{ij}$ .

Interpretarea fizică a fenomenului de modulație poate fi făcută ținând seama că radiația excitatoare este împrăștiată de atom pe două canale diferite corespunzătoare fiecărei stări excitate  $|e_i\rangle$  (fig. 19.3).

În urma fenomenului de emisie, nu pot fi deosebite canalele și nici fotonii emiși de cele două nivele  $|e_1\rangle$  și  $|e_2\rangle$ . Ținând seama de postulatele mecanicii cuantice, amplitudinea semnalului rezultat este egală cu pătratul sumei amplitudinilor celor două procese care nu pot fi deosebite unul de celălalt. Aceasta conduce la interferența termenilor  $C_{fke}^{(i)}$  și  $C_{fke}^{(j)}$  în expresia semnalului (19.7). În urma operației de integrare după energia fotonului, acești termeni rezultați în urma interferenței produc modularea semnalului.

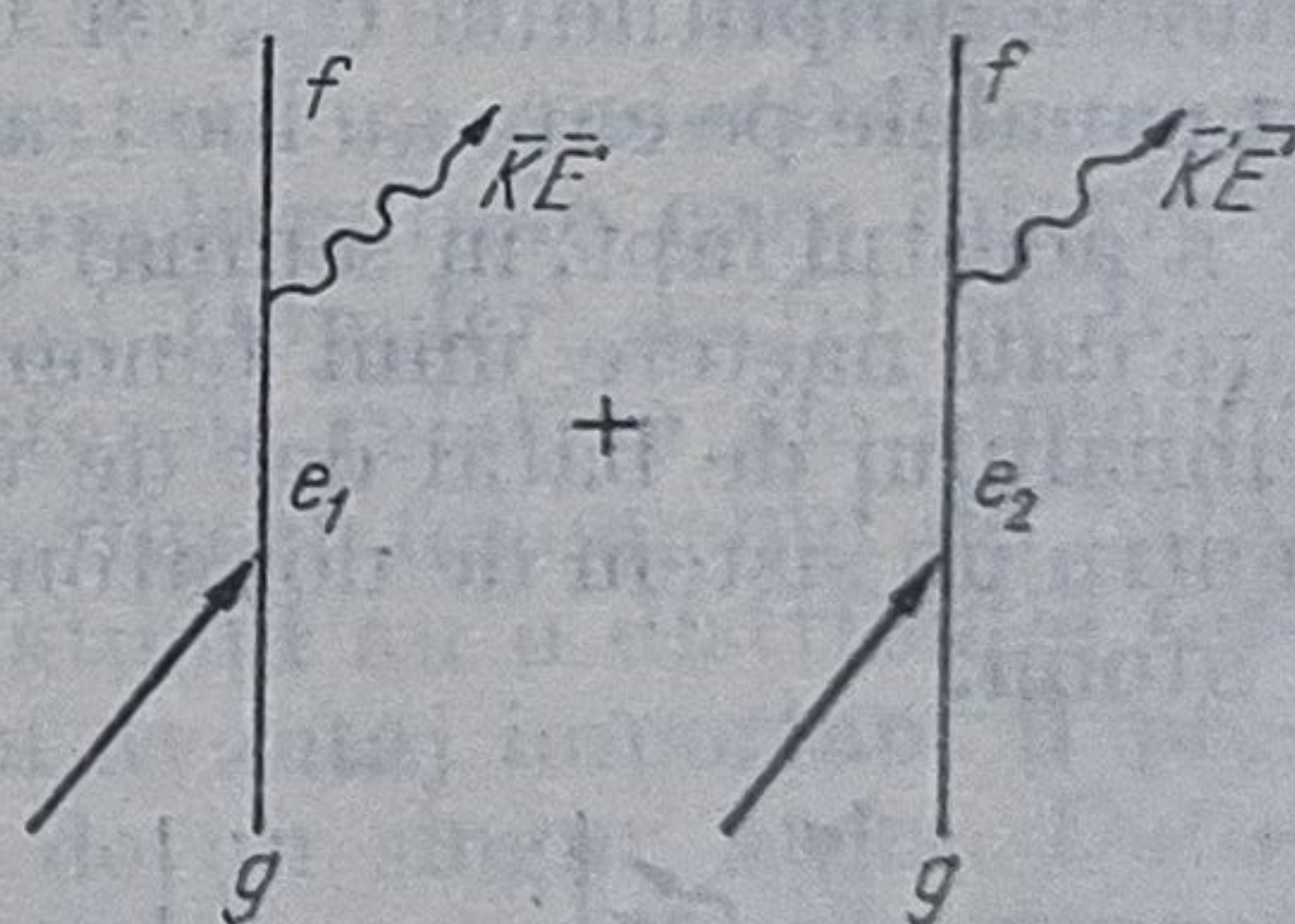


Fig. 19.3

Astfel, dacă termenii  $C_{fke}^{(i)}$  și  $C_{fke}^{(j)}$  sînt modulați la rezonanță cu frecvențele  $E_i/\hbar$  și  $E_j/\hbar$ , produsul lor determină modulația cu frecvența  $\omega_{ij} = (E_i - E_j)/\hbar$ , dînd naștere fenomenului de bătăi cuantice. Deci fenomenul de bătăi cuantice poate apare numai ca urmare a despicării nivelelor excitate și nu poate să pună în evidență structura stărilor atomice fundamentale.

În cazul împrăstierii fotonilor de către un sistem de atomi, proprietățile fenomenului de bătăi cuantice „colective” sînt complet diferite de cele date de un singur atom, întrucît acesta poate să apară atît datorită despicării nivelelor excitate cît și a celui fundamental.



Pentru a calcula intensitatea semnalului în cazul fenomenului de bătăi cuantice „colective” se consideră un ansamblu de doi atomi  $A$  și  $B$  care au două nivele energetice (fig. 19.1) și sînt localizați în punctele  $R_A$  și  $R_B$ . Ca urmare a iradierii cu un puls de scurtă durată, sistemul trece din starea fundamentală  $|gg\rangle$  într-o stare excitată descrisă de funcția

$$|\psi(0)\rangle = \sum_i \alpha_{A_i} |e_i, g; 0\rangle + \sum_j \alpha_{B_j} |g, e_j; 0\rangle \quad (19.9)$$

unde  $\alpha_{A_i}$  și  $\alpha_{B_j}$  sînt amplitudinile de probabilitate ca atomul  $A$  să fie excitat în starea  $|e_i\rangle$ , iar  $B$  în  $|e_j\rangle$ .

La momentul  $t$ , sistemul este descris de funcția

$$\begin{aligned} |\psi(t)\rangle = & \sum_i \alpha_{A_i} e^{-iE_i t/\hbar - \gamma t/2} |e_i, g; 0\rangle + \\ & + \sum_j \alpha_{B_j} e^{-iE_j t/\hbar - \gamma t/2} |g, e_j; 0\rangle + \\ & + \sum_{f, k\varepsilon} C_{f k\varepsilon}^{A_i}(t) |f, g; k\varepsilon\rangle + \sum_{f, k'\varepsilon'} C_{f k'\varepsilon'}^{B_j}(t) |g, f; k'\varepsilon'\rangle. \end{aligned} \quad (19.10)$$

Coeficienții  $C_{f k\varepsilon}^{A_i}$  și  $C_{f k'\varepsilon'}^{B_j}$  reprezintă amplitudinile parțiale pentru ca fotonul să fie împrăștiat de atomul  $A$  aflat în starea  $|e_i\rangle$  sau de atomul  $B$  în starea  $|e_j\rangle$  și pot fi calculați cu ajutorul relației (19.3).

Considerînd că se detectează fotonul emis în urma tranziției într-o stare finală  $|f\rangle$  diferită de cea inițială (cazul împrăstierii neelastice), amplitudinile  $C_{f k\varepsilon}^{A_i}$  și  $C_{f k'\varepsilon'}^{B_j}$ , corespund la două canale diferite, dacă atomii trec în stări atomice diferite  $|fg\rangle$  și  $|gf\rangle$ , iar singurii termeni care interferă în semnal sînt de forma  $C_{f k\varepsilon}^{A_i} C_{f k'\varepsilon'}^{A_j}$ , sau  $C_{f k\varepsilon}^{B_i} C_{f k'\varepsilon'}^{B_j}$ . Deci, în procesul de împrăștiere neelastică, fenomenul de bătăi cuantice se datorește unui singur atom și nu este caracterizat de efecte colective.

În urma tranziției în starea inițială  $|g\rangle$  (cazul împrăstierii elastice), ambele amplitudini  $C_{g k\varepsilon}^{A_i}$  și  $C_{g k'\varepsilon'}^{B_j}$ , corespund aceleiași stări finale  $|gg\rangle$ , iar canalele pe care au loc tranzițiile nu pot fi deosebite (fig. 19.4). Ca urmare a acestui fapt, în semnal apar termeni de interferență de forma  $C_{g k\varepsilon}^{A_i} C_{g k'\varepsilon'}^{B_j}$  care dau naștere unui fenomen de bătăi la frecvența  $\omega_{ij}$  care se adaugă semnalului de bătăi dat de un singur atom. Considerațiile teoretice făcute pentru un sistem de doi atomi pot fi extinse și pentru un sistem format din  $n$  atomi.

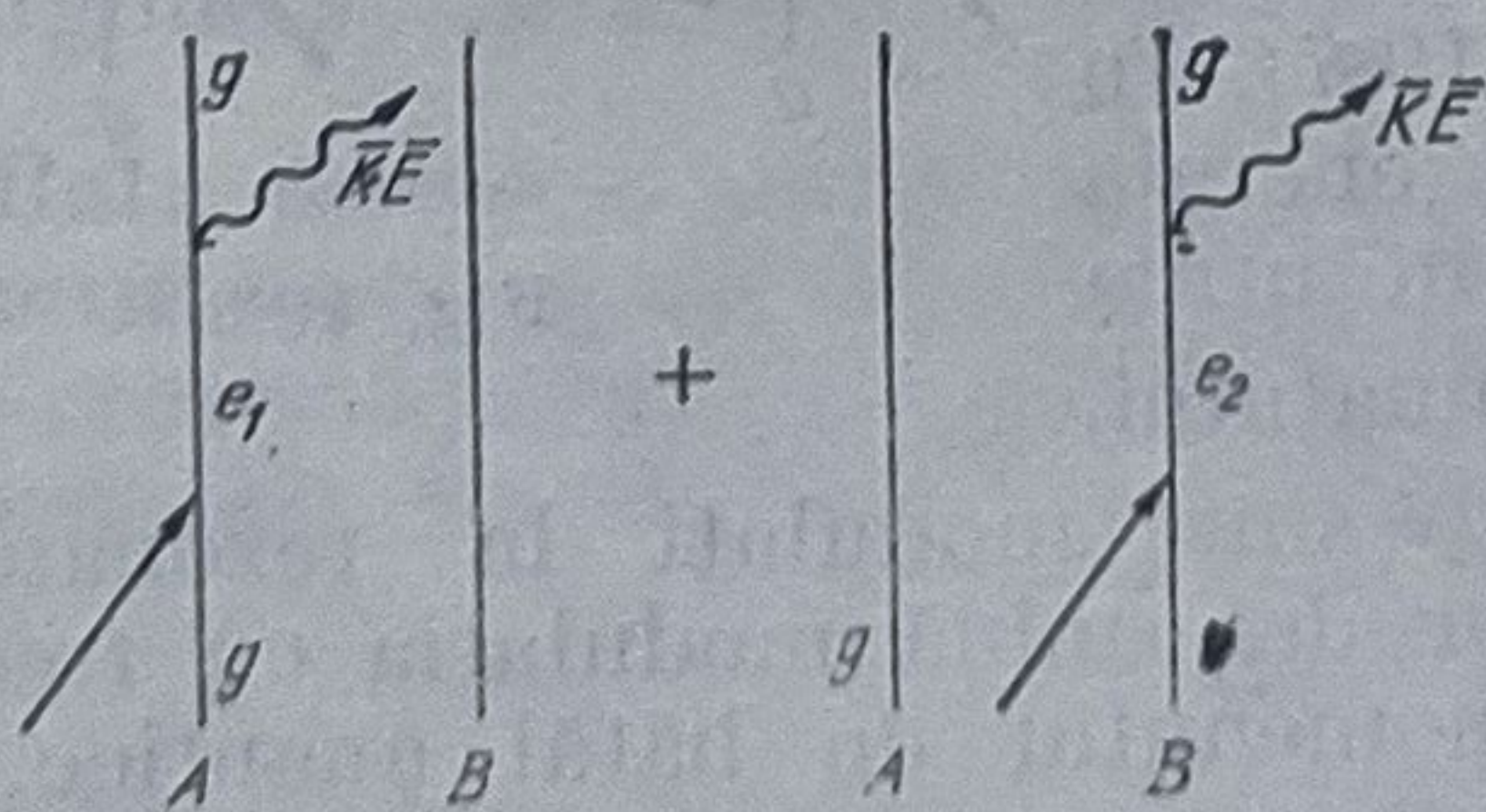


Fig. 19.4

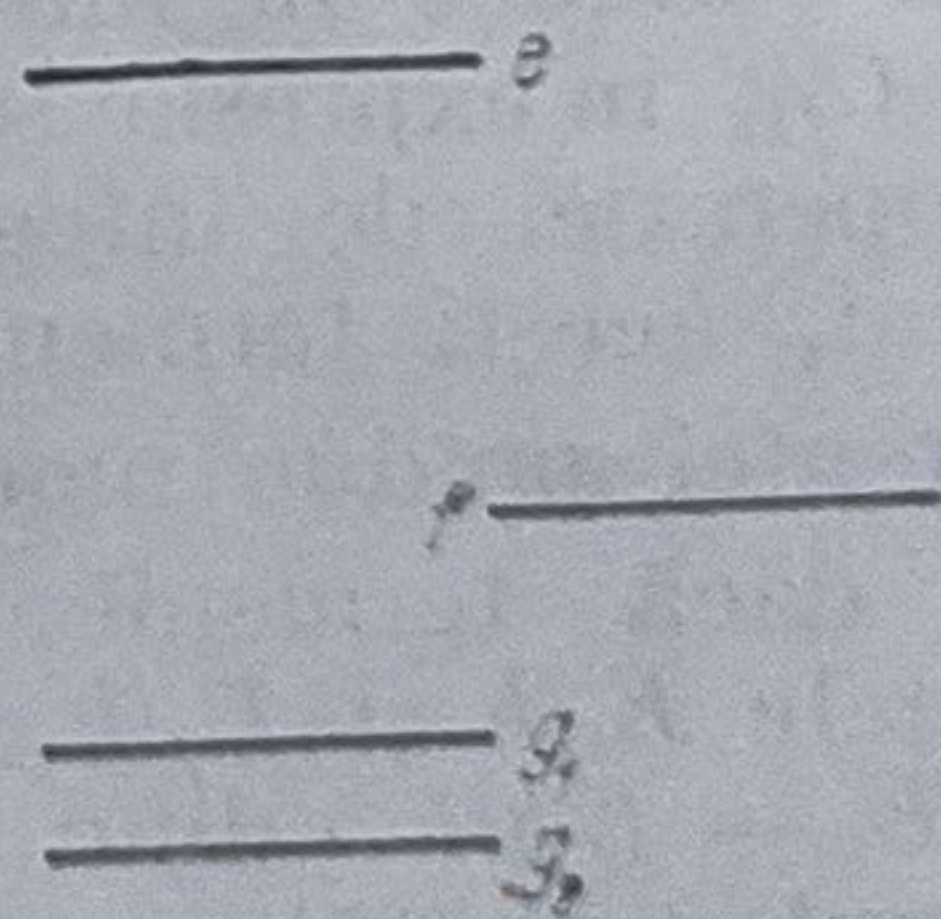


Fig. 19.5

Fenomenul de bătăi cuantice poate să apară într-un sistem de atomi și datorită despicării nivelului fundamental. Pentru a pune în evidență acest fapt se consideră un sistem de doi atomi ale căror stări excitate nu sînt despicate în timp ce starea fundamentală este despicată în două substări  $|g_1\rangle$  și  $|g_2\rangle$  (fig. 19.5).



Prin iradiere, sistemul trece din starea inițială  $|g_1 g_2\rangle$  care reprezintă atomul  $A$  în starea  $|g_1\rangle$  și atomul  $B$  în  $|g_2\rangle$ , într-o stare excitată  $|e\rangle$ , în care poate să se afle atât atomul  $A$  cât și atomul  $B$  și care este descrisă de funcția de undă:

$$\psi|(0)\rangle = \beta_A |e, g_2; 0\rangle + \beta_B |e, g_1; 0\rangle. \quad (19.11)$$

La momentul  $t$ , sistemul trece în starea

$$\begin{aligned} |\psi(t)\rangle = & \beta_A e^{-iE_e t/\hbar - \gamma t/2} |e, g_2; 0\rangle + \beta_B e^{-iE_e t/\hbar - \gamma t/2} \times \\ & \times |e, g_1; 0\rangle + \left( \sum_f \sum_{k\varepsilon} C_{fk\varepsilon}^A(t) |f, g_2; k\varepsilon\rangle + \sum_{f'} \sum_{k'\varepsilon'} C_{f'k'\varepsilon'}^B(t) \times \right. \\ & \left. \times |g_1, f'; k'\varepsilon'\rangle \right). \end{aligned} \quad (19.12)$$

Și în acest caz se constată atât împrăștierea neelastică a fotonilor, corespunzătoare la două canale diferite, determinate de două stări finale diferite  $|fg_2\rangle$  și  $|g_1f'\rangle$ , cât și cea elastică, care generează fenomenul de bătăi cuantice colective, la frecvența  $\omega_{g_1g_2} = (E_{g_1} - E_{g_2})/\hbar$ .

Intensitatea semnalului detectat în urma fenomenului de bătăi cuantice este funcție și de distanța relativă dintre particule, (considerate fixe la început) și detector, întrucît amplitudinile de emisie în cazul a doi atomi  $A$  și  $B$ , de exemplu, sînt proporționale cu  $e^{ikR_A}$  și  $e^{ikR_B}$ . Deci fiecare termen de forma  $C_{fk\varepsilon}^A \cdot C_{f'k'\varepsilon'}^B \cdot e^{i(k-k')r}$  care apare în expresia semnalului conține un factor  $e^{ik(R_A-r)} \times e^{ik'(R_B-r)}$  care caracterizează propagarea de la atomii  $A$  și  $B$  la detectorul aflat în punctul  $r$ . Dacă cei doi atomi se află la distanța  $|R_A - R_B| \gg \lambda = \frac{2\pi}{k}$ , diferența  $|R_A - r| -$

$|R_B - r|$  variază foarte rapid cu poziția detectorului și pentru două puncte apropiate  $r_1$  și  $r_2$  se obțin fenomene de bătăi defazate unele față de altele, iar fotomultiplicatorul nu mai poate detecta semnalul rezultat. În comparație cu fenomenul de bătăi cuantice determinat de un singur atom, în cazul unui sistem de atomi aceștia trebuie să se găsească la o distanță mai mică decît  $\lambda$  pentru a se obține un semnal „colectiv”.

În cazul particulelor aflate în mișcare, amplitudinile care interferă  $C_{fk\varepsilon}^A$  și  $C_{f'k'\varepsilon'}^B$  sînt modificate datorită efectului Doppler, astfel că frecvența fenomenului de bătăi va depinde de vitezele relative ale atomilor  $A$  și  $B$ , astfel încît este imposibil să se descrie direct fenomenul de bătăi „colective” într-o probă macroscopică în care atomii au o distribuție termică a vitezelor. Din acest punct de vedere un avantaj important îl prezintă fenomenul de bătăi cuantice determinat de un singur atom. Datorită efectului Doppler, fenomenul de bătăi cuantice care este determinat de un ansamblu de atomi nu ar putea fi pus în evidență experimental cu ajutorul fluorescenței decît în cazul cristalelor (cînd atomii sînt fieși în spațiu) și în cazul utilizării unor fascicule atomice monocinetice.

## 19.2. Aplicarea formalismului matricei densitate la calculul intensității semnalului de bătăi cuantice determinate de un singur atom

Pentru a calcula intensitatea semnalului bătăilor cuantice determinate de un singur atom (19.7), trebuie determinate amplitudinile de probabilitate  $\alpha_i$  și  $\alpha_j$ , care depind de caracteristicile pulsului luminos de



pompaj (polarizare, intensitate, profil spectral), precum și totalitatea stărilor după care are loc operația de însumare. Calculele care trebuie efectuate, pot fi mult simplificate dacă se utilizează pentru descrierea fenomenului de bătaie cuantice formalismul matricei densitate, întrucât semnalele optice în experiențele de fluorescență sînt proporționale cu valoarea medie a unor observabile atomice, de exemplu, pătratul proiecției momentului de dipol corespunzător tranziției într-o stare excitată  $|e\rangle$ . Aceste mărimi pot fi exprimate cu ajutorul elementelor matricei densitate  $\rho_e(t)$  în stare excitată. Evoluția în timp a elementelor matricei densitate este descrisă de un set de ecuații diferențiale liniare (numite și ecuațiile de pompaj optic), iar soluția acestor ecuații permite calculul explicit, funcție de timp a intensității semnalului de fluorescență întrucât matricea densitate poate fi reprezentată cu ajutorul unei dezvoltări după un set de operatori tensoriali cu simetrie sferică.

Cu ajutorul matricei densitate (anexa 1) produsul  $\alpha_i \alpha_j^*$  poate fi exprimat sub forma [147]

$$\alpha_i \alpha_j^* = \langle e_i | \rho_e(0) | e_j \rangle \quad (19.13)$$

astfel încît relația (19.7) devine

$$S(\mathbf{e}_a, t) = \frac{1}{(4\pi\epsilon_0)^2} \cdot \frac{k_0^2}{r_0^2} \sum_{i,j} (e^{-i\omega_{ij}t} \langle e_i | \rho_e(0) | e_j \rangle e^{-\gamma t}) \times \\ \times \left( \sum_f \langle e_j | \mathbf{e}_a \mathbf{d} | f \rangle \langle f | \mathbf{e}_a^* \mathbf{d} | i \rangle \right). \quad (19.14)$$

În relația (19.14), prima paranteză reprezintă elementele matricei densitate  $\rho_e$  între stările  $|e_i\rangle$  și  $|e_j\rangle$  la momentul  $t$

$$\langle e_i | \rho_e(t) | e_j \rangle = e^{-i\omega_{ij}t} \langle e_i | \rho_e(0) | e_j \rangle e^{-\gamma t}. \quad (19.15)$$

iar  $\mathbf{d}$  operatorul momentului de dipol al atomului.

Acestea pot fi scrise sub formă mai compactă cu ajutorul așa-numitului operator de „detecție” a stării atomice excitate

$$\mathcal{L}(\mathbf{e}_a) = \frac{1}{(4\pi\epsilon_0)^2} \cdot \frac{k_0^2}{r_0^2} \sum_f \mathbf{e}_a \mathbf{d} | f \rangle \langle f | \mathbf{e}_a^* \mathbf{d} \quad (19.16)$$

astfel

$$S(\mathbf{e}_a, t) = \text{Urm} [\rho_e(t) \mathcal{L}(\mathbf{e}_a)]. \quad (19.17)$$

În acest caz modulațiile semnalului de fluorescență se datoresc evoluției în timp a efectelor de coerentă atomice determinate de elementele matricei densitate  $\langle e_i | \rho_e(t) | e_j \rangle$  ale sistemului excitat de radiații cu frecvențele  $\omega_{ij}$  corespunzătoare diferitelor subnivele. În urma precesiei momentului atomic de dipol de-a lungul direcției  $\mathbf{e}_a$ , se produce o modulație a pătratului acestui moment, astfel încît atomul emite lumină după o direcție determinată, avînd frecvența egală cu frecvențele proprii.

Pentru a calcula explicit intensitatea semnalului dată de relația (19.17) trebuie cunoscută dependența de timp a operatorului densitate  $\rho_e(t)$ , de fapt expresia acestui operator la momentul inițial  $\rho_e(0)$ , cu ajutorul căreia se poate determina  $\rho_e(t)$  din (19.15).

Întrucît pentru descrierea evoluției sistemului atomic în urma procesului de excitare trebuie cunoscute precis caracteristicile pulsului, calculele se pot simplifica și mai mult dacă se consideră două cazuri limită:



pompaj (polarizare, intensitate, profil spectral), precum și totalitatea stărilor după care are loc operația de însumare. Calculele care trebuie efectuate, pot fi mult simplificate dacă se utilizează pentru descrierea fenomenului de bătaie cuantice formalismul matricei densitate, întrucât semnalele optice în experiențele de fluorescență sînt proporționale cu valoarea medie a unor observabile atomice, de exemplu, pătratul proiecției momentului de dipol corespunzător tranziției într-o stare excitată  $|e\rangle$ . Aceste mărimi pot fi exprimate cu ajutorul elementelor matricei densitate  $\rho_e(t)$  în stare excitată. Evoluția în timp a elementelor matricei densitate este descrisă de un set de ecuații diferențiale liniare (numite și ecuațiile de pompaj optic), iar soluția acestor ecuații permite calculul explicit, funcție de timp a intensității semnalului de fluorescență întrucât matricea densitate poate fi reprezentată cu ajutorul unei dezvoltări după un set de operatori tensoriali cu simetrie sferică.

Cu ajutorul matricei densitate (anexa 1) produsul  $\alpha_i \alpha_j^*$  poate fi exprimat sub forma [147]

$$\alpha_i \alpha_j^* = \langle e_i | \rho_e(0) | e_j \rangle \quad (19.13)$$

astfel încît relația (19.7) devine

$$S(\mathbf{e}_a, t) = \frac{1}{(4\pi\epsilon_0)^2} \cdot \frac{k_0^2}{r_0^2} \sum_{i,j} (e^{-i\omega_{ij}t} \langle e_i | \rho_e(0) | e_j \rangle e^{-\gamma t}) \times \\ \times \left( \sum_f \langle e_j | \mathbf{e}_a \mathbf{d} | f \rangle \langle f | \mathbf{e}_a^* \mathbf{d} | i \rangle \right). \quad (19.14)$$

În relația (19.14), prima paranteză reprezintă elementele matricei densitate  $\rho_e$  între stările  $|e_i\rangle$  și  $|e_j\rangle$  la momentul  $t$

$$\langle e_i | \rho_e(t) | e_j \rangle = e^{-i\omega_{ij}t} \langle e_i | \rho_e(0) | e_j \rangle e^{-\gamma t}. \quad (19.15)$$

iar  $\mathbf{d}$  operatorul momentului de dipol al atomului.

Acestea pot fi scrise sub formă mai compactă cu ajutorul așa-numitului operator de „detectie” a stării atomice excitate

$$\mathcal{L}(\mathbf{e}_a) = \frac{1}{(4\pi\epsilon_0)^2} \cdot \frac{k_0^2}{r_0^2} \sum_f \mathbf{e}_a \mathbf{d} | f \rangle \langle f | \mathbf{e}_a^* \mathbf{d} \quad (19.16)$$

astfel

$$S(\mathbf{e}_a, t) = \text{Urm} [\rho_e(t) \mathcal{L}(\mathbf{e}_a)]. \quad (19.17)$$

În acest caz modulațiile semnalului de fluorescență se datoresc evoluției în timp a efectelor de coerentă atomice determinate de elementele matricei densitate  $\langle e_i | \rho_e(t) | e_j \rangle$  ale sistemului excitat de radiații cu frecvențele  $\omega_{ij}$  corespunzătoare diferitelor subnivele. În urma precesiei momentului atomic de dipol de-a lungul direcției  $\mathbf{e}_a$ , se produce o modulație a pătratului acestui moment, astfel încît atomul emite lumină după o direcție determinată, avînd frecvența egală cu frecvențele proprii.

Pentru a calcula explicit intensitatea semnalului dată de relația (19.17) trebuie cunoscută dependența de timp a operatorului densitate  $\rho_e(t)$ , de fapt expresia acestui operator la momentul inițial  $\rho_e(0)$ , cu ajutorul căreia se poate determina  $\rho_e(t)$  din (19.15).

Întrucît pentru descrierea evoluției sistemului atomic în urma procesului de excitație trebuie cunoscute precis caracteristicile pulsului, calculele se pot simplifica și mai mult dacă se consideră două cazuri limită:



a) pulsuri cu frecvența și faza bine definite și amplitudine care variază lent în timp ( $\Delta = 1/T$ ).

b) pulsuri cu lărgime spectrală mare corespunzătoare timpului de corelație  $\tau = 1/\Delta$  ( $\Delta$  — lărgimea spectrală) mult mai mic decât durata pulsului  $T$ , ( $\Delta \gg 1/T$ ).

În primul caz, astfel de pulsuri coerente sînt folosite în experiențe care pun în evidență ecoul fonic și este necesară inducerea unui moment optic de dipol macroscopic, iar evoluția sistemului este descrisă de ecuațiile lui Bloch (cap. 1).

În cel de-al doilea caz se poate considera că pulsul este o funcție aleatoare de timp într-un interval de ordinul duratei pulsului  $T$ , iar sistemul este descris de ecuațiile ratelor [194] numite și ecuațiile de pompaj optic.

Din punct de vedere temporal, un puls laser este descris de trei parametri mai importanți: durata sa  $T$  (în care acesta interacționează cu atomii într-un interval cuprins între  $t = -T$  și  $t = 0$ ), timpul de corelație  $\tau = 1/\Delta$  și timpul de pompaj  $T_p(t)$ , care este invers proporțional cu densitatea spectrală instantanee a pulsului  $u(\omega_0, t)$ , corespunzătoare frecvenței  $\omega_0$  a tranziției optice și cu tăria oscilatorului tranziției respective, conform relației

$$\frac{1}{T_p(t)} = \frac{\pi}{\varepsilon_0 \hbar^2} u(\omega_0, t) |\langle e | \mathbf{d} | g \rangle|^2. \quad (19.18)$$

Pentru ca evoluția sistemului atomic să fie descrisă de ecuațiile ratelor în cazul excitării cu pulsuri de bandă largă, trebuie îndeplinite următoarele condiții

$$\Delta \gg 1/T \quad (19.19)$$

$$\Delta \gg 1/T_p \quad (19.20)$$

$$\frac{1}{T} \gg \gamma \quad (19.21)$$

$$\frac{1}{T} \gg \omega_{ij} \quad (19.22)$$

$$\Delta \gg \omega_{ij}. \quad (19.23)$$

Ultimele trei condiții arată că pot fi neglijate efectele legate de fenomenele de emisie spontană și de durata pulsului, precum și faptul că lărgimea benzii pulsului este suficient de mare pentru a acoperi structura stării excitate studiate.

Tratarea teoretică a fenomenului de bătăi cuantice este mult simplificată în cazul considerării unei interacții liniare între sistemul atomic și radiația laser (așa-numita limită a pompajului slab), cînd cel mult un singur foton din puls este absorbit în timpul  $T$  și este îndeplinită condiția

$$T_p(t) \gg T. \quad (19.24)$$

Descrierea evoluției elementelor matricei densitate a stării excitate poate fi făcută cu ajutorul ecuațiilor ratelor [147]

$$\frac{d\rho_e}{dt} = \frac{1}{T_p(t)G_g} P_e e_0 dP_e e_0^* dP_e. \quad (19.25)$$



În relația (19.25)  $e_0$  determină polarizarea pulsului,  $P_e$  și  $P_g$  reprezintă proiectori în stările excitate și respectiv fundamentală, iar  $G_g$  este degenerarea stării fundamentale.

În urma integrării ecuației (19.25) se obțin elementele de matrice ale stării excitate

$$\rho_e(0) = \frac{K_0}{G_g} P_e \mathbf{e}_0 \mathbf{d} P_g \mathbf{e}_0^* \mathbf{d} P_e \quad (19.26)$$

unde 
$$K_0 = \int_{-T}^0 \frac{dt}{T_p(t)} \quad (19.27)$$

reprezintă integrala temporală a ratei de pompaj.

Înlocuind formula (19.26) în relația (19.17) se poate calcula expresia semnalului fenomenului de bătăi cuantice sub forma

$$S(\mathbf{e}_a, t) = \frac{k_0^4 \cdot K_0}{(4\pi\epsilon_0)^2 r_0^2 G_g} \sum_f \sum_{i,j} \sum_g \langle e_i | \mathbf{e}_0 \mathbf{d} | g \rangle \times \\ \times \langle g | \mathbf{e}_0^* \mathbf{d} | e_j \rangle \langle e_j | \mathbf{e}_a \mathbf{d} | f \rangle \langle f | \mathbf{e}_a^* \mathbf{d} | e_i \rangle e^{-\gamma \cdot t - i\omega_{ij} t} \quad (19.28)$$

În relația (19.28) operația de însumare se face după toate stările inițiale și finale.

Pentru a lua în considerare anizotropia stării fundamentale, care se manifestă în cazul proceselor de excitate în trepte, cînd starea excitată este definită prin intermediul unei stări  $|g\rangle$ , „orientată” de un puls inițial de lumină polarizată, relația (19.26) trebuie modificată astfel

$$\rho_e(0) = K_0 P_e \mathbf{e}_0 \mathbf{d} P_g \rho_g(-T) P_g \mathbf{e}_0^* \mathbf{d} P_e \quad (19.29)$$

unde  $\rho_g(-T)$  reprezintă elementul de matrice în starea  $|g\rangle$  la momentul  $(-T)$  anterior excitării.

În urma excitării sistemului atomic cu pulsuri laser intense, este posibil ca tranzițiile optice să sufere fenomenul de saturație. În acest caz condiția (19.23) nu mai este îndeplinită, iar descrierea evoluției sistemului atomic nu mai poate fi făcută cu ajutorul ecuațiilor ratelor (19.25) întrucît trebuie luat în considerare pe lîngă fenomenul de absorbție care determină trecerea atomilor din stare fundamentală în stare excitată și pe cel de emisie stimulată în urma căruia atomii trec din nou în starea fundamentală. De asemenea, tranzițiile virtuale care nu au loc la rezonanță pot determina deplasarea nivelelor atomice și pot afecta evoluția sistemului atomic în timpul duratei pulsului. Descrierea evoluției sistemului atomic în cazul excitării lui cu pulsuri intense se face cu ajutorul unor ecuații diferențiale liniare cuplate care să ia în considerare toate interacțiile posibile [147]. Procesele care apar în acest caz sînt foarte complexe, iar efectele de saturație sînt totuși mici dacă parametrul de saturație  $T/T_p$  nu are valori mari.

Pentru luarea în calcul a structurii fine a nivelelor energetice ale atomilor care suferă fenomenul de bătăi cuantice se consideră un sistem cuantic a cărui structură de nivele este prezentată în fig. 19.6.

Stările  $g$ ,  $e$  și  $f$  ale căror momente cinetice sînt notate cu  $L_g$ ,  $L_e$  și  $L_f$  au același moment de spin  $S$  și sînt despicate în urma interacției spin-orbită în substările corespunzătoare momentelor cinetice totale



notate cu  $J_g$ ,  $J_e$  și  $J_f$ . Fiecare din aceste nivele, corespunzătoare acestor substări este de  $(2J + 1)$  ori degenerat, funcție de valorile numărului cuantic magnetic  $m_g$ . Semnalul obținut în urma fenomenului de bătăi cuantice în urma tranziției  $e \leftrightarrow f$  este de fapt o sumă a contribuțiilor corespunzătoare tuturor acestor stări.

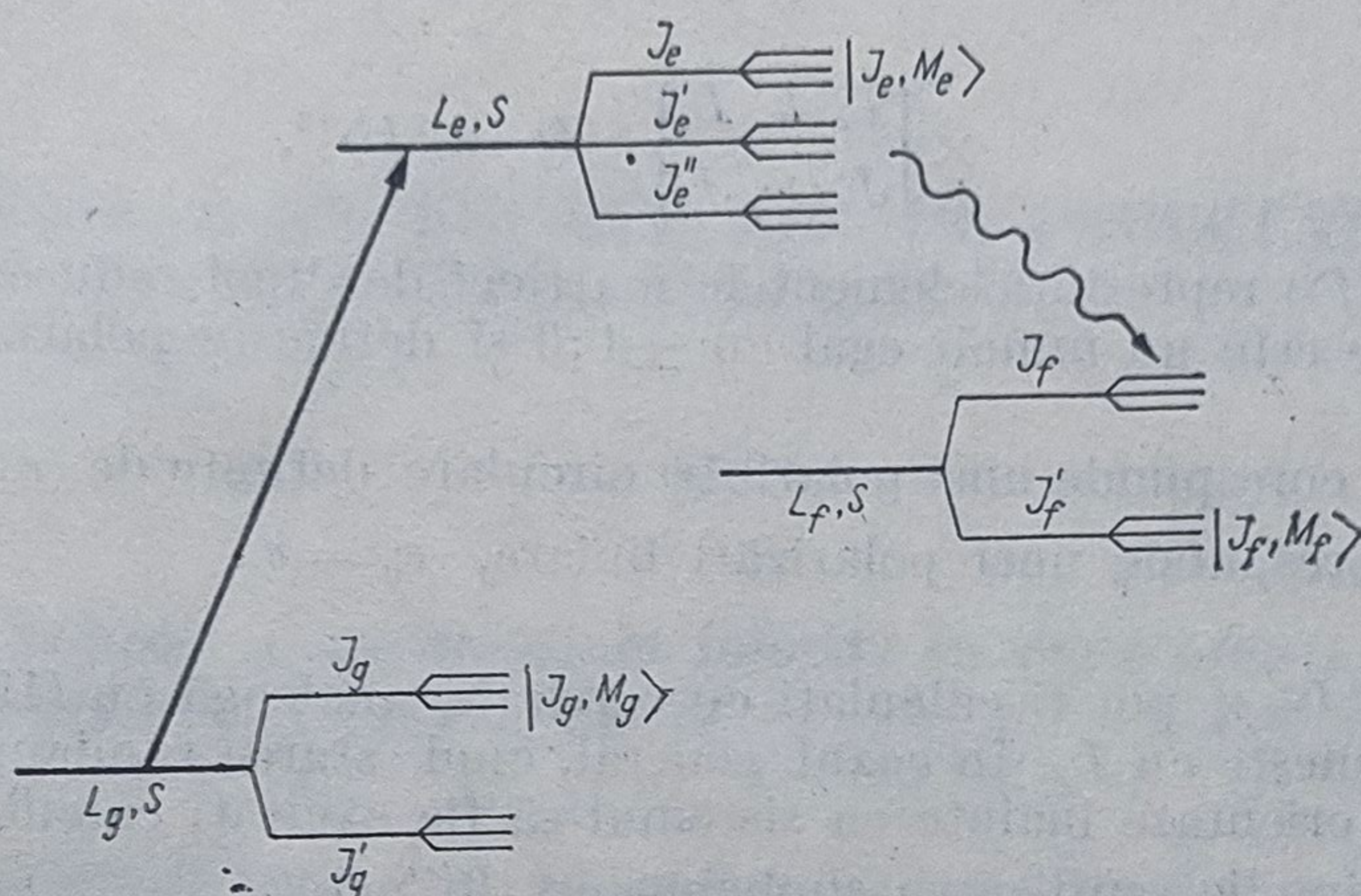


Fig. 19.6

Considerînd că stările excitate au multiplicitățile  $|J_e, M_e\rangle$  și  $|J'_e, M'_e\rangle$  se poate defini operatorul  $T_q^k$  pentru atomul în stare excitată  $|e\rangle$ , prin relația

$$J_e J'_e T_q^k = \sum_{M_e M'_e} \sqrt{2k+1} (-1)^{J_e - M_e} |J_e M_e\rangle \langle J'_e M'_e| \begin{pmatrix} J_e & k & J'_e \\ -M_e & q & M'_e \end{pmatrix} \quad (19.30)$$

în care parantezele rotunde  $( )$  determină simbolul „3j”. Acești operatori formează un sistem de bază ortonormat în starea  $|e\rangle$ , satisfăcînd condiția

$$\text{Urm} \{ J_e J'_e T_q^k J_e J'_e T_{q'}^{k'} \} = \delta_{J_e J'_e} \delta_{J'_e J'_e} \delta_{kk'} \delta_{qq'} \quad (19.31)$$

și se transformă în urma operației de rotație conform relației

$$R(\alpha, \beta, \gamma) J_e J'_e T_q^k R^{-1}(\alpha, \beta, \gamma) = \sum_{q'} R_q^{(k)}(\alpha, \beta, \gamma) J_e J'_e T_{q'}^k. \quad (19.32)$$

Fiecare operator  $J_e J'_e T_q^k$  are elemente de matrice numai între stările  $J_e$  și  $J'_e$ , iar evoluția lui în timp, dacă nu sînt aplicate cîmpuri exterioare, este dată de

$$e^{-iH_0 t/\hbar} J_e J'_e T_q^k e^{iH_0 t/\hbar} = e^{-i\omega J_e J'_e t} J_e J'_e T_q^k \quad (19.33)$$

( $H_0$  fiind hamiltonianul sistemului atomic).

Cu ajutorul operatorului  $J_e J'_e T_q^k$ , elementele matricei densitate în stare excitată  $\rho_e(0)$  și operatorul de „dectecție”  $\mathcal{L}(e_a)$  pot fi exprimate sub forma:

$$\rho_e(0) = \sum_{J_e J'_e} \sum_{k, q} J_e J'_e \rho_q^k(0) J_e J'_e T_q^k \quad (19.34)$$

$$\mathcal{L}_q^k(e_a) = \sum_{J_e J'_e} \sum_{k, q} J_e J'_e \mathcal{L}_q^k(e_a) J_e J'_e T_q^k \quad (19.35)$$



unde coeficienții  $J_e J'_e \mathcal{L}_q^k$  sînt dați de relația

$$J_e J'_e \mathcal{L}_q^k(\mathbf{e}_q) = (-1)^q \delta_{q_0} \begin{pmatrix} k & 1 & 1 \\ 0 & Q & -Q \end{pmatrix} \begin{Bmatrix} k & 1 & 1 \\ L_f & L_e & L_e \end{Bmatrix} \times \\ \times \begin{Bmatrix} L_e & k & L_e \\ J_e & S & J_e \end{Bmatrix} |\langle e || \mathbf{d} || f \rangle|^2. \quad (19.36)$$

Aici ( $\langle e || \mathbf{d} || f \rangle$ ) reprezintă elementele matricei de dipol reduse între stările  $e$  și  $f$ , iar  $Q$  este un număr egal cu  $\pm 1; 0$  și definește polarizarea:

$$Q = \begin{cases} \pm 1, & \text{corespunde unei polarizări circulare definite de } e_{\pm 1} = e_x \pm i e_y \\ 0, & \text{corespunde unei polarizări liniare, } e_0 = e_z. \end{cases}$$

Coeficienții  $J_e J'_e \rho_q^k$  pot fi calculați cu o relație analoagă cu (19.36) în care  $L_f$  se înlocuiește cu  $L_g$ . În cazul general, cînd starea fundamentală  $g$  are o anumită orientare înainte ca sistemul să fie excitat, calculul coeficienților  $J_e J'_e \rho_q^k$  implică utilizarea simbolurilor „ $9j$ ” [147].

Pe baza proprietăților operatorilor  $J_e J'_e T_q^k$  pot fi deduse cîteva reguli simple care pot fi utilizate la calculul coeficienților  $\mathcal{L}_q^k$  și  $\rho_q^k$ , astfel:

- valorile lui  $k$  pentru care coeficienții  $\mathcal{L}_q^k$  nu se anulează sînt  $k = 0$ ;  $k = L$ ;  $k = 2$  (pentru  $k > 2$  coeficienții „ $3j$ ” se anulează);
- pentru o polarizare liniară  $Q = 0$ , există componente diferite de zero numai dacă  $k = 0$  și  $k = 2$  întrucît coeficienții „ $3j$ ” se anulează pentru  $k = 1$  și  $Q = 0$ ;
- dacă  $k = 0$ , suma coeficienților  $J_e J'_e \mathcal{L}_q^k(\mathbf{e}_q)$  după cele trei direcții de polarizare ortogonale ( $Q = +1, -1$  și  $0$ ) este zero.

Folosind relațiile (19.17) (19.34) (19.35) poate fi calculată intensitatea semnalului obținut în urma fenomenului de bătăi sub forma

$$S(\mathbf{e}_d, t) = \sum_{J_e J'_e} \sum_{k=0}^2 \sum_q J_e J'_e \rho_q^k(0) J_e J'_e \mathcal{L}_q^{k*}(\mathbf{e}_d) e^{-i\omega_{J_e J'_e} t - \gamma t}. \quad (19.37)$$

Operația de însumare este formată din trei părți: una scalară ( $k = 0$ ), una vectorială pentru  $k = 1$  (care dă „orientarea”) și o altă parte tensorială pentru  $k = 2$  (care dă „alinieră”).

Formalismul tensorial prezentat mai sus poate fi utilizat pentru a descrie structura hiperfină a fenomenului de bătăi, proprietățile unghiulare ale semnalului și procesele de ciocnire.

Întrucît detecția semnalului obținut în urma fenomenului de bătăi cuantice este mai potrivită pentru spectroscopia cu înaltă putere de rezoluție în care sînt implicate intervale energetice mici ale stărilor atomice și moleculare excitate, metodele folosite sînt asemănătoare cu cele folosite în experiențele de dublă rezonanță, intersecții de nivele, fluorescență modulată care elimină efectul Doppler.



## V. FIZICA EXPERIMENTALĂ A PROCESELOR MULTIFOTONICE

### 20. METODE EXPERIMENTALE DE CERCETARE ÎN SPECTROSCOPIA NELINIARĂ

#### 20.1. Tehnici experimentale folosite în generarea armonicilor optice și mixarea optică

Studiul experimental al proceselor multifotonice este determinat atât de posibilitatea obținerii radiației coerente în domeniile ultraviolet și infraroșu îndepărtat ale spectrului, cât și de obținerea unor informații legate de structura nivelelor energetice ale atomilor și moleculelor și verificarea unor modele teoretice pentru a căror investigare nu pot fi aplicate metodele clasice.

Armonica a treia ( $\lambda = 2313 \text{ \AA}$ ) a fost generală prima dată cu ajutorul unui laser cu rubin ( $\lambda = 6943 \text{ \AA}$ ) în funcționarea Q-switch, într-un cristal de calcit. Întrucât lungimea de coerență este foarte mică (de aproximativ  $1 \mu\text{m}$ ) pentru a se obține eficiențe de conversie cât mai ridicate a fost necesară focalizarea cât mai intensă a radiației laser pe cristal pînă la limita determinată de distrugerea lui, iar acordul indicilor de refracție corespunzători fundamentalei și armonicii, s-a realizat printr-o orientare potrivită a probei. Cu toate acestea cele mai bune eficiențe de conversie au fost de  $3 \cdot 10^{-6}$  [102].

Eficiența conversiei generării armonicii a treia și a celor de ordin superior poate fi mult îmbunătățită dacă se folosesc ca medii de interacție gazele nobile, vaporii metalelor alcaline, alcalino-pămîntoase sau mixturi ale acestora.

Funcție de modul de lucru, generarea armonicilor poate avea loc utilizînd atât unde plane, cât și fascicule focalizate. Este cunoscut faptul că la trecerea unei unde luminoase considerată plană între două puncte are loc o schimbare a fazei acesteia. În cazul fasciculelor gaussiene, schimbarea fazei este de  $180^\circ$  dacă cele două puncte se află la o distanță egală cu parametrii confocali față de focar.

Întrucât polarizarea cu frecvența armonicii a treia generează unde a căror amplitudine este proporțională cu  $E^3 \exp(3i\Phi)$ ,  $E \exp(i\Phi)$ , fiind cîmpul radiației fundamentale care urmează a fi focalizată, rezultă că undele corespunzătoare acestei polarizări suferă o întârziere de fază egală cu  $3\pi$  în comparație cu polarizarea undei plane. Pe de altă parte, polarizarea corespunzătoare armonicii generează unde care sînt de asemenea focalizate și suferă o întârziere de fază egală cu  $\pi$  în comparație cu unda



plană care are frecvența armoniciei. Deci, chiar dacă  $\Delta k = 0$ , adică vitezele de fază ale fundamentalei și armoniciei sînt egale, unda cu frecvența armoniciei se propagă prin focar și înregistrează un avans de fază egal cu  $2\pi$  față de polarizarea corespunzătoare fundamentalei. Astfel, radiația corespunzătoare armoniciei generată în fața focarului o anulează pe cea din spatele lui și nu rezultă o generare netă a armoniciei. Alegînd  $\Delta k = k_3 - 3k_1 < 0$  avansul de fază poate fi compensat și armonica poate fi generată în condiții optime dacă se respectă condițiile impuse de o focalizare puternică într-un mediu care are o dispersie negativă.

Obținerea unei focalizări optime în vederea producerii unei puteri maxime a armoniciei a treia sau a celor de ordin superior în gaze este mult mai complicată decît în cazul generării armoniciei a doua în cristale din cauza numărului mai mare de variabile implicate, cum ar fi de exemplu: lungimea mediului, concentrația atomilor care constituie mediul neliniar, concentrația atomilor gazului tampon, care se adaugă parametrilor ce determină focalizarea fasciculului.

Din relația (12.120) se observă că pentru o valoare dată a dezacordului  $\Delta k$ , valoarea maximă a integralei  $I$  în cazul unei focalizări puternice se obține cînd  $b\Delta k = -2$ , iar  $|I|^2 = 5,3$ . Întrucît dezacordul este proporțional cu concentrația atomilor de gaz ce constituie mediul neliniar, este mai ușor de optimizat produsul dintre pătratul susceptibilității și pătratul integralei,  $|\chi|^2 |I|^2$ , care apare în expresia eficienței conversiei, decît pătratul integralei. De fapt, condiția  $b\Delta k = -2$  înseamnă focalizarea fasciculului într-un mediu a cărui dispersie este negativă, astfel încît parametrul confocal este egal cu lungimea de coerență  $L_c = \pi/|\Delta k|$ . În acest caz aria fasciculului este

$$A = \frac{\pi w_{10}^2}{2} = \lambda_L L_c / 2\pi. \quad (20.1)$$

Deși gazele care constituie mediul neliniar nu sînt supuse fenomenului de distrugere („damage”) puterea radiației de pompaj necesară obținerii unor eficiențe de conversie cît mai ridicate este limitată de anumite valori pentru care componentele optice care intră în montajul experimental suferă fenomenul de distrugere.

Practic, este mai ușor să se modifice dezacordul vectorilor de undă  $\Delta k$ , prin introducerea unei anumite cantități de gaz tampon, care modifică corespunzător dispersia mediului neliniar din celula unde are loc interacția.

În cazul așa numitei focalizări confocale ( $b = L$ ), eficiența conversiei este independentă de lungimea celulei, fiind satisfăcută relația  $\Delta k L = -3,5$ . Întrucît dezacordul  $\Delta k$  poate fi ajustat corespunzător, se pot folosi celule foarte lungi și intensități mici ale radiației de pompaj. Dacă mediul neliniar este constituit din vaporii metalelor alcaline, care au susceptibilități neliniare cu cîteva ordine de mărime mai mari decît ale celorlalte gaze, atunci lungimea celulei nu trebuie să fie prea mare pentru că aceștia prezintă benzi largi de absorbție a fundamentalei radiației de pompaj.



Dacă  $\Delta k$  nu este zero, valoarea maximă pe care funcția  $L^2 \frac{\sin^2 \frac{\Delta k L}{2}}{\left(\frac{\Delta k L}{2}\right)^2}$

din relația (12.126) poate să o ia în cazul generării armonicii a treia este  $\frac{4L_c^2}{\pi^2}$ . Se observă că dacă dezacordul  $\Delta k$  este diferit de zero, eficiența conversiei este aceeași chiar dacă  $\Delta k$  este pozitiv sau negativ ca și în cazul focalizării puternice.

În primele experiențe de generare a armonicii a treia în gaze, celula care conținea vaporii de Rb și de Xe care constituiau mediul neliniar era confecționată dintr-un tub de sticlă (pyrex) cu lungimea de 19 cm. Prin încălzire la 300°C sticla devine galbenă și opacă pentru radiația ultravioletă [102].

Ulterior, pentru a evita dificultățile legate de opacizarea ferestrelor laterale („fogging”), precum și de menținerea temperaturii constante în interiorul mediului neliniar, au fost construite alte tipuri de celule, una din ele fiind prezentată în fig. 20.1.

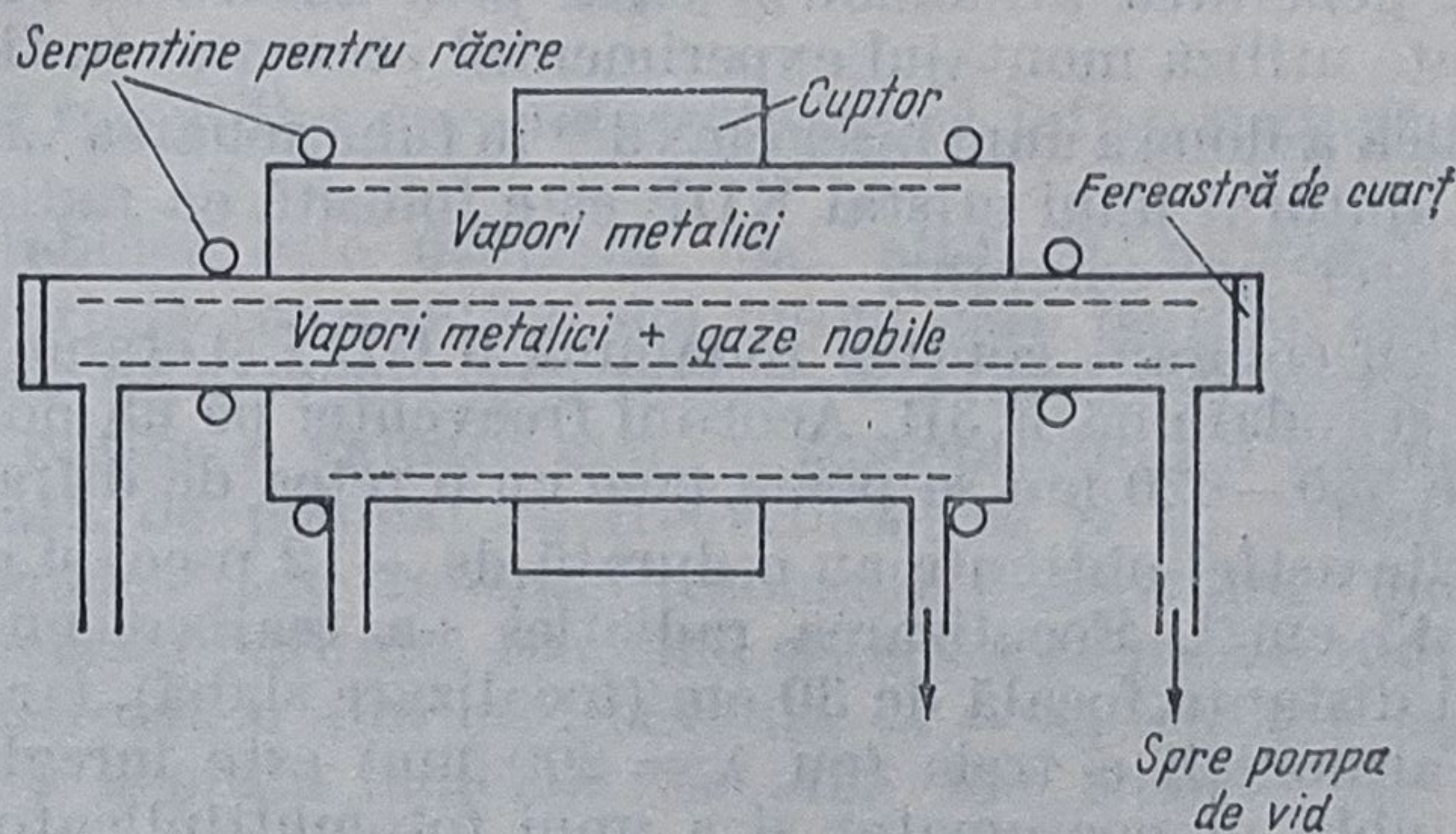


Fig. 20.1.

Aceasta este formată din două tuburi de oțel concentrice, cel interior avînd diametrul de 2,5 mm și lungimea de 1,5 m, iar cel exterior avînd diametrul de 5 cm și lungimea de 1 m. Cele două tuburi sînt prevăzute în interior cu site din fire de oțel care pe baza fenomenelor capilare asigură circulația vaporilor metalelor alcaline. Încălzirea se face cu ajutorul unei rezistențe bobinate uniform pe tubul exterior astfel încît să asigure o temperatură uniformă cu o variație maximă de  $\approx 0,5^\circ\text{C}$ . La cele două capete ale celulei sînt introduse gaze nobile (Xe, Ar) pentru acordul indicilor și pentru a împiedica opacizarea ferestrelor laterale cu vaporii metalelor alcaline. Răcirea capetelor celulei se face cu două serpentine prin care circulă apă. Folosind o astfel de celulă se poate obține o coloană de mixtură cu lungimea de 50 cm care conține vaporii ai metalelor alcaline și gaze nobile cu ajutorul căreia se realizează acordul indicilor pe aproximativ 100 de „lungimi de coerență” ( $L_c$ ). Eficiența de conversie maximă ( $\approx 10\%$ ) a fost obținută pentru densități ale radiației de pompage de  $2 \cdot 10^{11} \text{ W/cm}^2$  (fig. 20.2) și un raport al numărului de atomi de Xe și Na de  $150 \div 1$  (presiunea sodiului fiind de 5 torr).



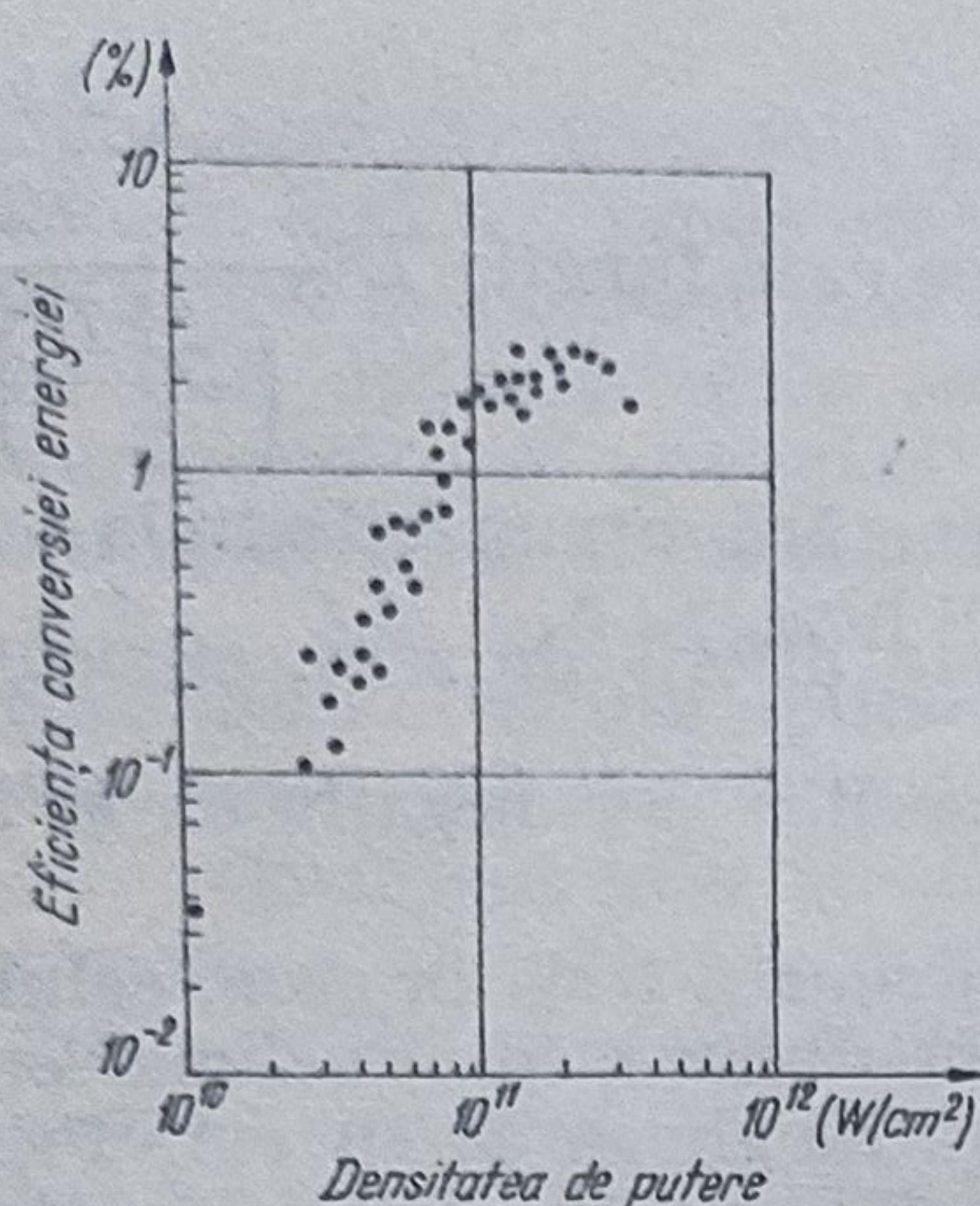


Fig. 20.2

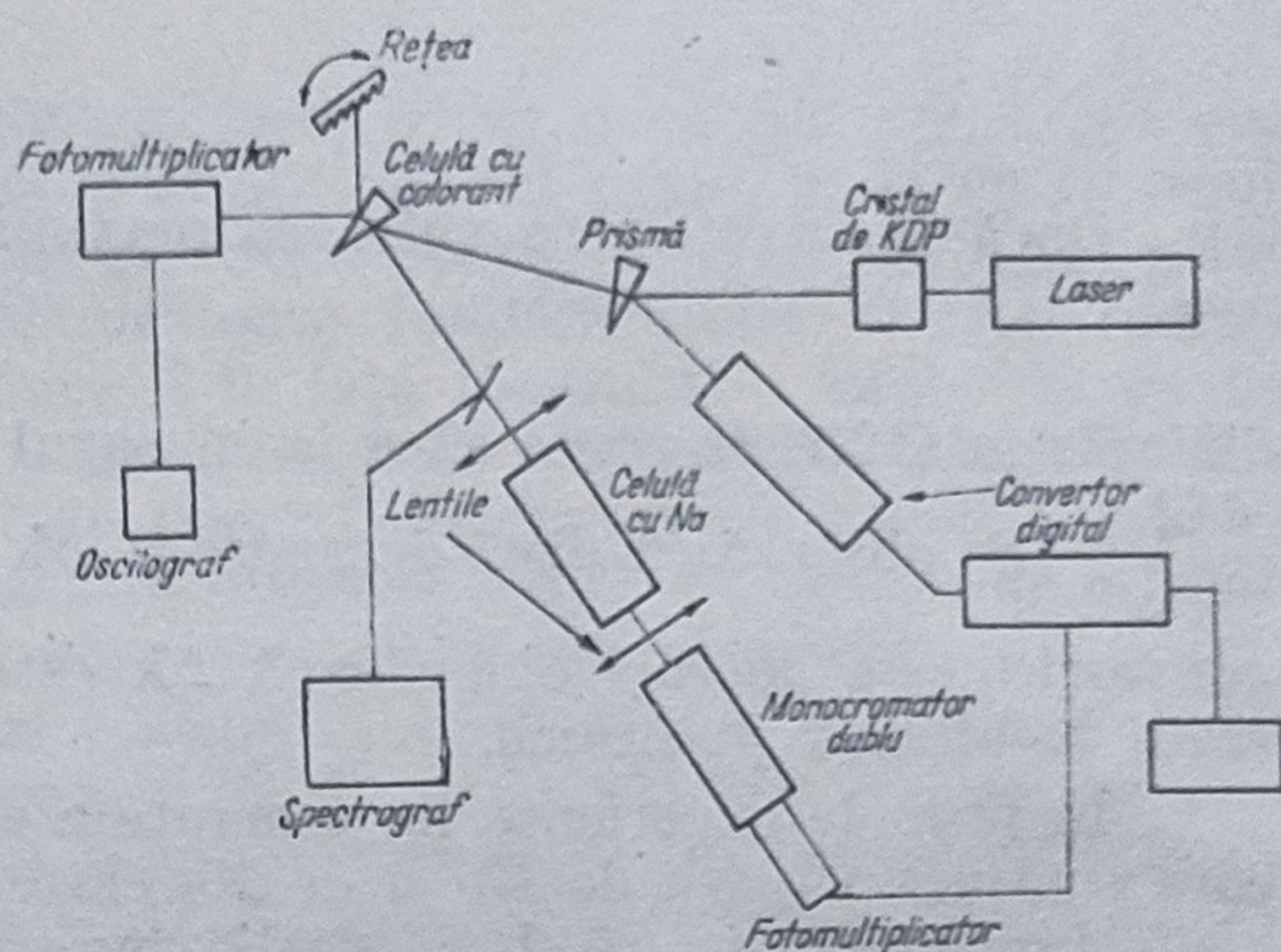


Fig. 20.3

Radiația de pompaj provenită de la un laser cu Nd:YAG în funcționarea „mode-locking”, având pulsuri cu durată de 30 psec., a fost astfel focalizată, încât mărimea spotului să fie de  $1,1 \cdot 10^{-3} \text{ cm}^2$ .

Pentru generarea armonicii a treia prin absorbția rezonantă a doi fotoni se poate utiliza montajul experimental prezentat în fig. 20.3 [102].

Armonica a doua a unui laser cu  $\text{Nd}^{3+}$  în funcționarea „mode-locking”, obținută cu ajutorul unui cristal KDP este folosită ca radiație de pompaj pentru un laser cu colorant.

Celula cu colorant conține rodamină 6 GDN și etanol în amestec cu rodamină B și rodamină F 3B. Acordul frecvenței pe un domeniu spectral cuprins între 550–620 nm se poate face cu o rețea de difracție.

Pulsurile astfel obținute au o durată de  $\sim 12$  psec. și o lărgime spectrală  $\Delta\nu \approx 43 \text{ cm}^{-1}$ . Focalizarea radiației s-a realizat cu ajutorul unei lentile având distanța focală de 30 cm (focalizare slabă), iar radiația corespunzătoare armonicii a treia (cu  $\lambda = 200 \text{ nm}$ ) este înregistrată cu ajutorul unui dublu monocromator și a unui fotomultiplicator. Cu ajutorul unui astfel de montaj experimental, folosindu-se o mixtură de Na și Xe aflate în raportul 1:53 la o temperatură de  $441^\circ\text{C}$  s-au obținut eficiențe de conversie de  $\sim 8\%$  și puteri ale armonicii de  $4,8 \cdot 10^4 \text{ W}$ . Absorbția rezonantă a doi fotoni are loc între nivelele 3 s – 5 s și prezintă un fenomen de saturare pentru intensități ale radiației de pompaj de ordinul  $10^2 \text{ GW/cm}^2$ .

Instalația experimentală folosită pentru generarea armonicilor de ordin superior nu diferă prea mult față de cele prezentate anterior pentru generarea armonicii a treia. Dificultățile care apar sînt legate de obținerea unor radiații de pompaj cu intensități cît mai mari și de înregistrarea armonicilor care se află în domeniul ultravioletului îndepărtat și al razelor X ale spectrului.

Astfel, pentru înregistrarea armonicilor de ordinul cinci și șapte ( $\lambda_5 = 76 \text{ nm}$ ,  $\lambda_7 = 38 \text{ nm}$ ) obținute în celule cu gaze nobile cu ajutorul unui montaj experimental prezentat în fig. 20.4 spectrometrul și celula trebuie menținute la o presiune mai mică decît  $5 \cdot 10^{-4} \text{ torr}$  [102].

Acordul indicilor fundamentalei și armonicilor de diferite ordine cu ajutorul gazelor tampon care compensează dispersia, produce anumite



difficultăți legate de menținerea uniformității mixturii componentilor gazoși și de absorbția suplimentară determinată de lărgirea liniilor spectrale datorită presiunii.

Pentru evitarea dificultăților amintite mai înainte, acordul indicilor mai poate fi făcut în cazul unui singur component gazos prin alege-

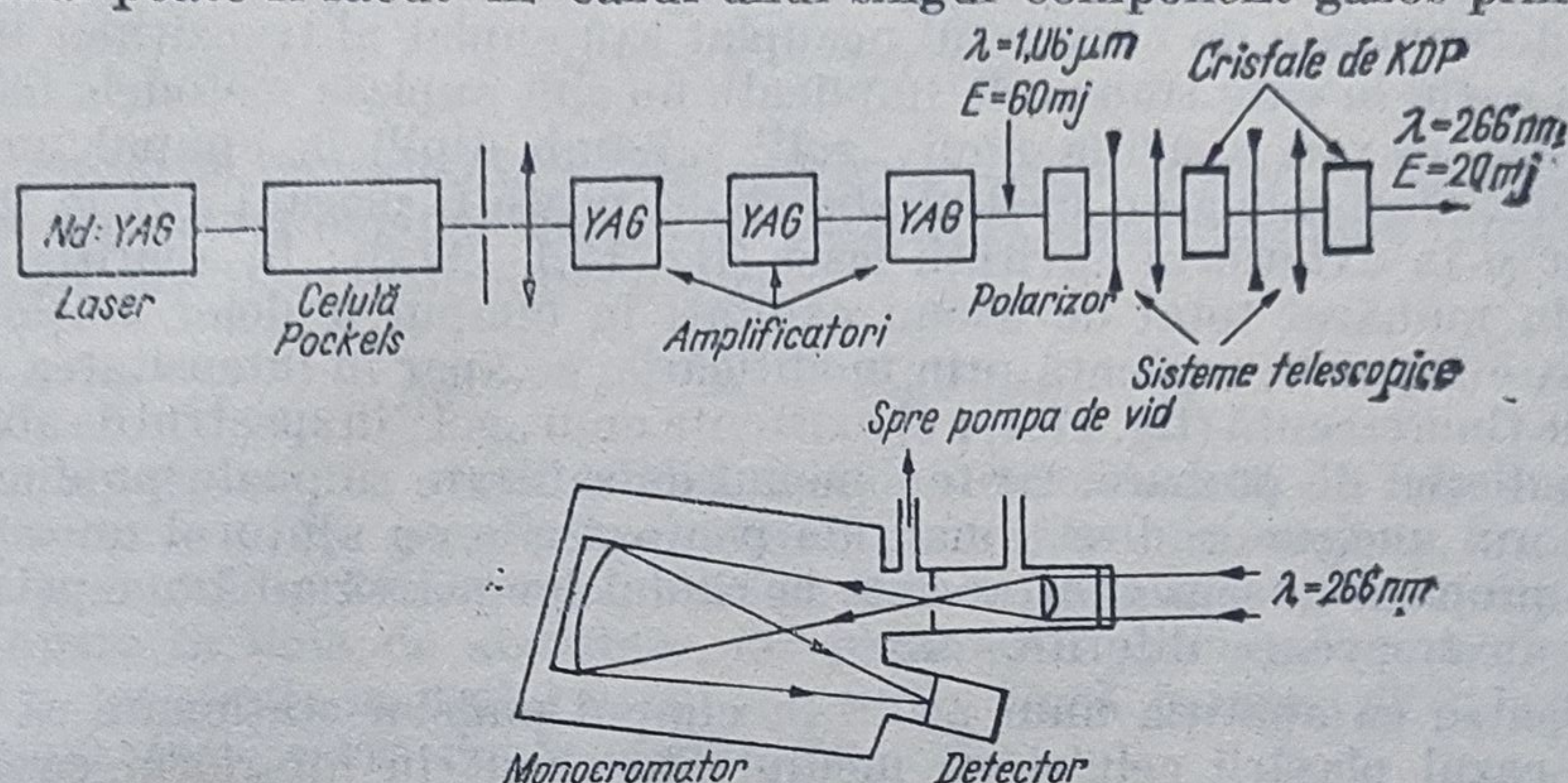


Fig. 20.4

rea frecvențelor radiațiilor care interacționează într-o regiune cu dispersie anormală.

Această tehnică este utilizată mai ales în procesele de mixare optică prin absorbția rezonantă a doi fotoni care permite obținerea radiației coerente într-un domeniu spectral larg, din infraroșu pînă în ultraviolet.

Pentru a obține o valoare mare a susceptibilității neliniare se folosesc două radiații de pompaj cu frecvențele  $\omega_1$  și  $\omega_2$  astfel alese încît  $\omega_1 + \omega_2$  corespunde exact tranziției rezonante între starea fundamentală și finală care au aceeași paritate. Excitînd sistemul cu încă o radiație de frecvență  $\omega_3$  se generează o alta cu frecvența  $\omega_4 = \omega_1 + \omega_2 + \omega_3$ .

Pentru ca acordul indicilor să aibă loc trebuie să fie îndeplinită condiția

$$n_4\omega_4 = n_1\omega_1 + n_2\omega_2 + n_3\omega_3.$$

Contribuțiile semnificative la indicele de refracție pentru fiecare din cele patru radiații considerate se obțin în urma tranzițiilor permise între starea fundamentală și o stare intermediară, care au parități opuse.

Astfel, folosindu-se pentru radiația cu frecvența  $\omega_2$  un laser cu Nd:YAG ( $\lambda = 1,06 \text{ } \mu\text{m}$ ) și acordînd frecvența radiației  $\omega_1$  în așa fel încît  $\omega_1 + \omega_2 = \Omega_{4s-3s}$  în vapori de Na se obține o radiație cu  $\lambda = 231 \text{ nm}$  dacă pentru radiația cu frecvența  $\omega_3$  s-a considerat valoarea 570 nm. Puterea radiației ( $P_4$ ) cu frecvența  $\omega_4$  are valori semnificative numai într-o mică regiune corespunzătoare unui punct în care acordul indicilor este exact (fig. 20.5) [102], [161].

Folosind pentru pompaj radiații cu puteri de ordinul kW puterea radiației generate este 0,02 W.

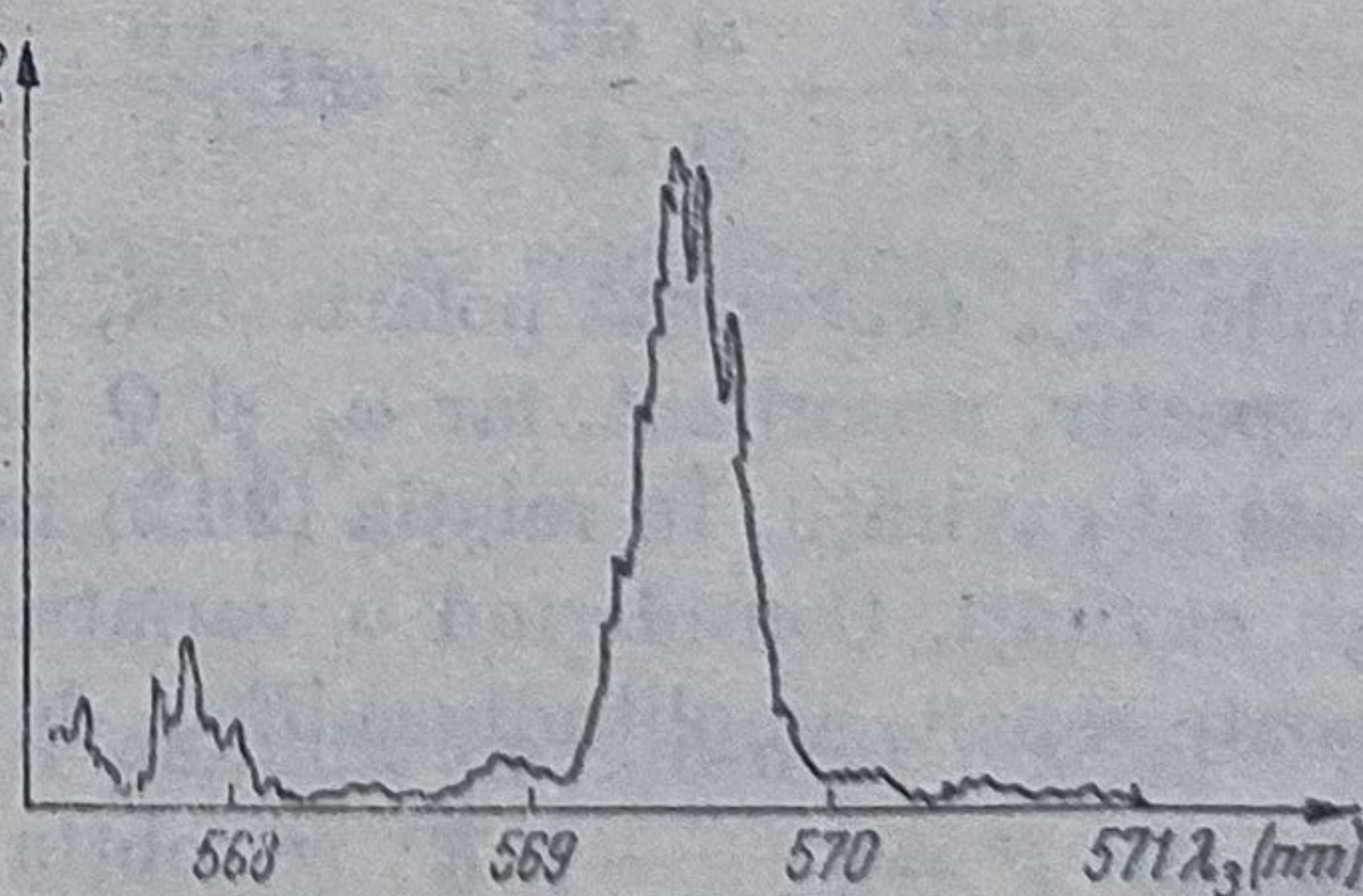


Fig. 20.5



## 20.2. Tehnici experimentale folosite în spectroscopia laser prin metoda absorbției saturate

Pentru punerea în evidență a fenomenelor prezentate în capitolul 17 se folosesc diferite metode experimentale care se împart în două mari grupe, determinate de caracterul necuplat sau cuplat al tranzițiilor implicate. În cazul în care tranzițiile implicate nu sînt cuplate metodele folosite se bazează pe: a) apariția unui „gol” („Lamb dip”) în cîmpul undelor staționare, cînd celula cu mediul absorbant poate fi plasată atît în interiorul, cît și în exteriorul cavității laser (fig. 17.1—17.3); b) apariția unui „gol” în numărul total de atomi excitați în cîmpul undelor staționare, care poate fi pus în evidență prin modificările ce apar în intensitatea spectrului de fluorescență (fig. 17.4); c) existența unui „gol” în spectrul de absorbție al radiației de probare, iar fenomenul de saturare se poate produce fie cu ajutorul unei unde direcționale de pompare fie cu ajutorul unor unde care se propagă în sens contrar care la rîndul lor pot să aibă aceeași frecvență sau frecvențe diferite.

Pentru ca apariția unui „gol” în cîmpul undelor staționare să aibă loc, în cazul plasării celulei cu mediul absorbant în interiorul cavității laser, trebuie îndeplinite următoarele condiții:

— linia de absorbție trebuie să coincidă cu linia care este amplificată de mediul activ;

— intensitatea cîmpului să fie suficient de mare pentru a produce saturarea absorbției;

— linia de absorbție trebuie lărgită neomogen prin efect Doppler.

Primele experiențe au fost efectuate cu ajutorul unei celule cu neon, care a fost plasată în interiorul unei cavități laser cu heliu-neon cu  $\lambda = 6328 \text{ \AA}$  și au pus în evidență fenomenul cunoscut sub numele de „Lamb-dip” inversat (cap. 17, fig. 17.2).

Puterea semnalului la ieșirea din celulă, lărgimea și înălțimea relativă a „picului” puterii se pot deduce pe baza modelului prezentat în lucrarea [178]. În interiorul cavității, cîmpul electric este descris de ecuația

$$\frac{d^2 \mathbf{E}}{dt^2} + \frac{\omega}{Q} \frac{d\mathbf{E}}{dt} + \omega_c^2 \mathbf{E} = -4\pi \left\langle \frac{d^2 \mathbf{P}_a}{dt^2} \right\rangle - 4\pi \left\langle \frac{d^2 \mathbf{P}_b}{dt^2} \right\rangle \quad (20.2)$$

unde  $\mathbf{P}_{a,b}$  reprezintă polarizarea, indicii  $a$  și  $b$  se referă la mediul activ respectiv, absorbant, iar  $\omega_c$  și  $Q$  reprezintă frecvența și factorul de calitate al cavității. În relația (20.2) medierea este făcută pe lungimea întregii cavități. Considerînd o variație lentă în timp a cîmpului electric, se poate separa amplitudinea  $E(t)$ , de faza  $\Phi(t)$ , și ținînd seama de definiția puterii  $P = \left( \frac{c}{8\pi h \omega} \right) E^2$  se obțin următoarele ecuații

$$\frac{dP}{dt} + \frac{\omega}{Q} P = cP [\langle K_a(P) \rangle - \langle K_b(P) \rangle] \quad (20.3)$$

$$\omega - \omega_c + \frac{d\Phi}{dt} = -2\pi\omega (\chi'_a + \chi'_b), \quad (20.4)$$



Coeficientul de absorbție  $K(\omega)$  și indicele de refracție  $n(\omega)$  sînt legați de partea reală, respectiv imaginară a susceptibilității prin relațiile

$$K(\omega) = \frac{4\pi\omega}{c} \chi''(\omega) \quad (20.5)$$

$$n(\omega) - 1 = 2\pi\chi'(\omega). \quad (20.6)$$

Luînd în considerare numai stări staționare ( $dP/dt = 0$ ), puterea la ieșirea din celulă depinde de ceilalți parametri care determină funcționarea laserului printr-o relație de forma

$$\alpha_{ef} = K_a(P, \omega) - K_b(P, \omega) = \gamma_0 \quad (20.7)$$

unde:  $\alpha_{ef}$  reprezintă amplitudinea efectivă determinată de cele două medii, iar  $\gamma_c = \omega/Qc$ , pierderile liniare pe unitatea de lungime. În general forma „picului” puterii nu coincide cu forma „golului” („Lamb-dip-ului”) care apare în linia de absorbție, iar parametrii „picului” puterii depind de caracteristicile mediului activ respectiv. Dacă parametrii de saturație corespunzători celor două medii sînt mici

$$G_a = g_a P \text{ și } G_b = g_b P \ll 1 \quad (20.8)$$

adică amplificarea respectiv absorbția sînt slabe, puterea poate fi calculată cu ajutorul relației

$$P(\omega) = \frac{\gamma_0}{g_a K_{a0}} \cdot \frac{\eta - 1}{(2 - \beta) - \beta L\left(\frac{\omega - \omega_b}{\gamma_b}\right)}; \text{ dacă: } |\omega - \omega_b| \ll \gamma_a \quad (20.9)$$

unde  $L(x) = \frac{1}{1 + x^2}$  reprezintă factorul de formă lorentzian,  $\eta = \alpha_{ef}/\gamma_0$  este excesul amplificării efective inițiale raportat la pierderile liniare, iar parametrul  $\beta = \frac{K_{b0}g_b}{K_{a0}g_a}$  caracterizează variația amplificării efective la  $P = 0$  (cu  $\beta > 1$ ;  $\frac{d\alpha_{ef}}{dP} < 0$  și  $\beta < 1$ ;  $\frac{d\alpha_{ef}}{dP} > 0$ ).

„Picul” puterii are un contur lorentzian, iar semilărgimea lui este dată de relația

$$\Delta\omega_P = 2\gamma_b \left[ \frac{2(1 - \beta)}{2 - \beta} \right]^{1/2}. \quad (20.10)$$

Amplitudinea relativă (contrastul) definită cu ajutorul relației

$$H = \frac{1}{P_0} (P_{max} - P_0) \quad (20.11)$$

mai poate fi scrisă și sub forma

$$H = \frac{\beta}{2(1 - \beta)}.$$



Analizând relațiile (20.9), (20.10) și (20.11) se observă că în cazul unui contrast foarte mic, „picul” puterii coincide cu cel al „Lamb dip”-ului. Creșterea coeficientului de absorbție  $K_{b0}$  și deci a parametrului  $\beta$  conduce la o creștere a contrastului astfel că forma maximului puterii diferă mult de cea a conturului lorentzian care caracterizează „Lamb dip”-ul.

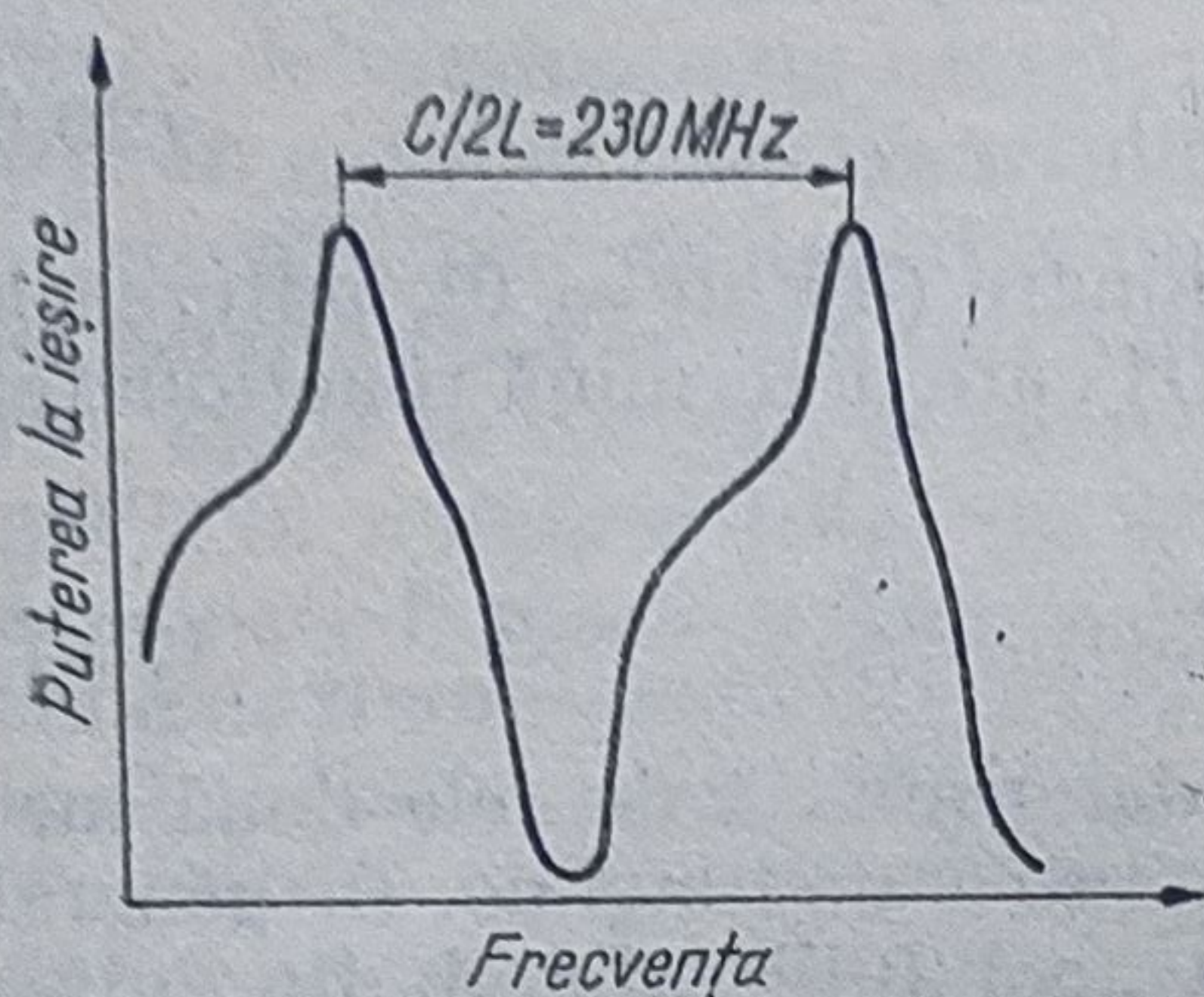


Fig. 20.6

În figura 20.6 este prezentat maximul puterii măsurată la ieșirea dintr-o celulă cu Ne plasată în interiorul cavității laserului cu He-Ne cu  $\lambda = 6328 \text{ \AA}$ .

Absorbanții neliniari care permit punerea în evidență a fenomenului „Lamb-dip” inversat sînt prezentați în tabelul 20.1 și se împart în două mari categorii: atomi și molecule care compun mediul activ, dar care în anumite condiții prezintă o absorbție puternică; molecule ale căror frecvențe de absorbție coincid accidental cu linia laser.

Se observă că pentru a pune în evidență efectul „Lamb-dip” inversat gazele introduse în interiorul cavității laser trebuie să aibă un parametru de saturație a absorbției de același ordin de mărime sau mai mare decît cel al absorbției, iar în cazul moleculelor, timpul de relaxare corespunzător vibrației să fie cît mai mic.

Tabelul 20.1

Laser	$\lambda(\mu\text{m})$	Absorbant	Bibliografie
He—Ne	0,6328	$^{20}\text{Ne}$ (în descărcare)	[161, 147]
		$^{127}\text{I}_2$	[161]
		$^{129}\text{I}_2$	[161]
		$^{79}\text{Br}_2$	[161]
He — $^{22}\text{Ne}$	0,6328	$^{23}\text{Ne}$ (în descărcare)	[161]
		$^{81}\text{Br}_2$	[161]
He—Ne	1,52	$^{20}\text{Ne}$ (în descărcare)	[161, 147]
	3,39	$^{12}\text{CH}_4$ (în cîmp magnetic)	[161]
		$^{12}\text{CH}_4$ (în cîmp electric)	[161]
		$^{12}\text{CH}_4$ (în fascicul molecular)	[161]
He—Xe	3,507	$\text{H}_2\text{CO}$	[161]
$\text{CO}_2$	10,6	$\text{CO}_4$	[161]

Din cauza acestor dificultăți, este mai convenabil să se plaseze celula de probă în exteriorul cavității. În acest caz efectul „Lamb-dip” este obținut cu ajutorul undelor staționare și se poate elimina astfel orice influență a absorbantului asupra amplitudinii și frecvenței laserului. Cu ajutorul acestei tehnici care permite și schimbarea formei spațiale a fascicului, efectul „Lamb-dip” a putut fi pus în evidență într-un număr mult mai mare de sisteme atomice și moleculare prezentate în tabelul 20.2.

Montajul cel mai des utilizat în experiențele cu unde staționare folosește modulația în amplitudine a radiației de pompaj, care produce saturarea absorbției, iar unda de probare care se propagă în sens contrar va fi modulată atunci cînd frecvența ei corespunde frecvenței „golului” indus



în conturul Doppler, de radiația de pompaj (fig. 20.7). Partea modulată a coeficientului de absorbție al undei de probare este descrisă de termenul al doilea din relația (17.86).

Pentru a nu perturba funcționarea laserului, direcția undei de probare face un unghi mic  $\theta$  cu direcția undei intense de pompaj rezultând astfel o lărgire suplimentară

$$\Delta\omega_\theta = (k_1 - k_2)v = 2k v \sin \frac{\theta}{2} \simeq 0 \frac{u}{\lambda} \quad (20.12)$$

a cărei valoare este mică.

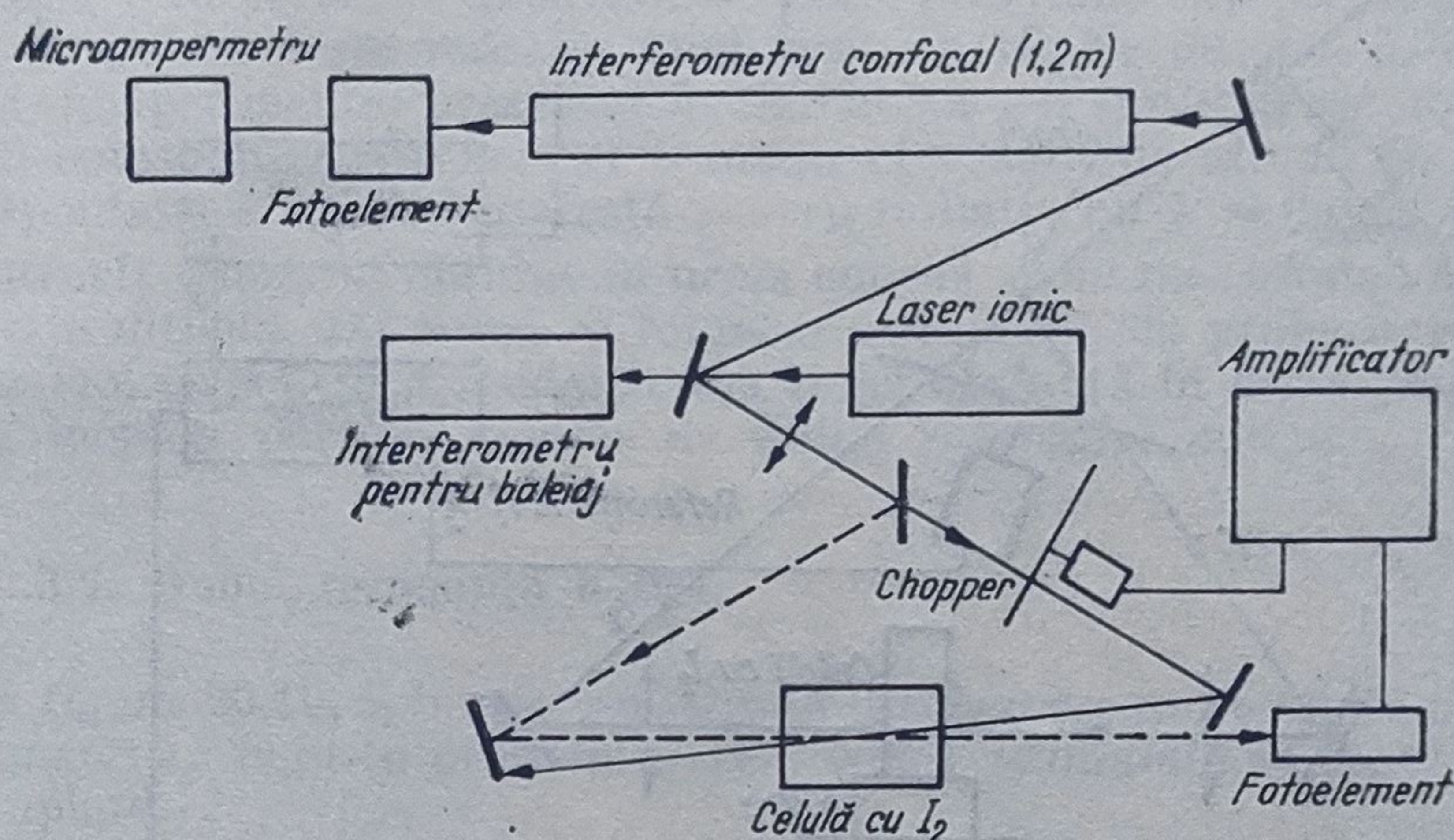


Fig. 20.7

Tabelul 20.2

Laser	$\lambda(\mu\text{m})$	Absorbant	Bibliografie
$\text{Ar}^+$	0,5017	$^{127}\text{I}_2$	[161]
	0,5145	$^{127}\text{I}_2, ^{129}\text{I}_2$	[161]
	0,5208	$^{127}\text{I}_2, ^{129}\text{I}_2$	[161]
$\text{Kr}^+$	0,5682	$^{127}\text{I}_2, ^{129}\text{I}_2$	[161]
$\text{He}-^{20}\text{Ne}$	0,6328	$^{20}\text{Ne}$ (în descărcare)	[161, 147]
	0,6563	H (în descărcare)	[161]
		D (în descărcare)	[161]
Laser cu colorant	3,39	$\text{CH}_4$	[161]
	0,5890	Na	[161]

Amplitudinea „golului” care apare în linia de absorbție

$$H = \frac{\Delta K}{K_0} = 1 - \frac{1}{\sqrt{1 + G}} \quad (20.13)$$

poate fi mărită la rezonanță dacă se folosesc celule cu absorbantți cu densități mari pentru care  $K_0 l \gg 1$  ( $l$  fiind lungimea celulei).

O altă posibilitate de a pune în evidență rezonanțele înguste ale atomilor excitați de undele staționare este legată de înregistrarea spectrului de fluorescență emis de aceștia. Această metodă este foarte sensibilă și



permite studiul unor tranziții pentru care absorbția este foarte slabă,  $K_0 l \ll 10^{-2}$ .

Primele experiențe au fost realizate cu molecule de  $\text{CO}_2$  [161] la presiune scăzută,  $10^{-3} - 10^{-4}$  torr și temperatură de 300 K. Maximele înguste ale spectrului de fluorescență corespund unei tranziții cu  $\lambda = 4,3 \mu\text{m}$  de pe unul din nivelele de rotație-vibrație ale moleculei de  $\text{CO}_2$  pentru care absorbția a fost saturată cu o radiație emisă de un laser cu  $\text{CO}_2$ .

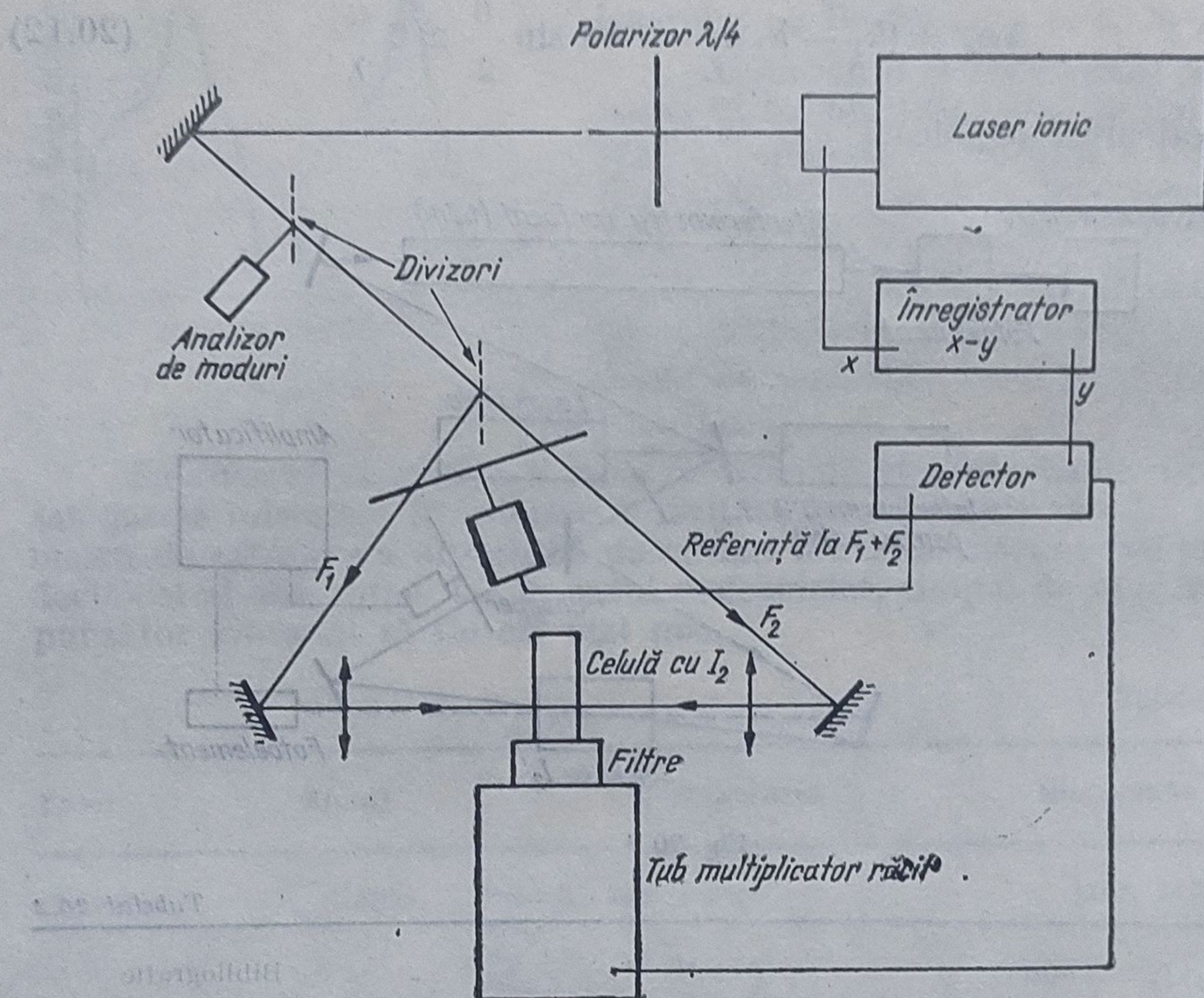


Fig. 20.8

Sensibilitatea poate fi mult mărită dacă saturarea se face cu ajutorul a două radiații de pompaj cu frecvențele  $\nu_1$  și  $\nu_2$  care se propagă în sens contrar ca în fig. 20.8, de exemplu.

În acest caz „dip”-ul apare în semnalul de fluorescență care este modulat cu o frecvență egală cu suma sau diferența frecvențelor  $\nu_1$  și  $\nu_2$ . Prin această metodă se elimină fondul continuu al spectrului de fluorescență și alte semnale parazite. Cu ajutorul fluorescenței mai poate fi măsurat și coeficientul de absorbție al unei tranziții cuplate între un nivel excitat rezultat în urma unei tranziții saturate și un altul aflat în spectrul continuu [179].

Rezonanțe înguste mai pot fi obținute prin plasarea celulei cu absorbant în cîmpul a două unde cu frecvențe diferite. Metoda se bazează pe saturarea produsă de o radiație de pompaj cu frecvența  $\omega_1$  și probarea „golului” rezultat cu o altă radiație cu frecvența  $\omega_2$ . Dacă frecvențele celor două unde sînt acordate simetric față de o altă frecvență  $\omega_0$  rezultă un fenomen de rezonanță îngustă asemănător cu efectul „Lamb-dip”.



### 20.3. Experiențe cu rezonanțe în sisteme cu trei nivele

Studiul sistemelor cu trei nivele, care sînt lărgite prin efect Doppler, evidențiază rezonanțe care pot fi obținute prin metodele enumerate în continuare.

#### 20.3.1. Rezonanțe înguste obținute prin emisie spontană

Tranzițiile implicate în producerea de rezonanțe înguste sînt prezentate în fig. 20.9,b,c și rezultă în urma emisiei spontane de pe nivelul intermediar 0 în prezența unei radiații laser puternice care cuplează tranziția 1—0. Folosindu-se radiația unui laser cu He-Ne cu  $\lambda = 3,39 \mu\text{m}$  și un montaj experimental prezentat în fig. 20.9,a s-a obținut saturarea amplificării corespunzătoare acestei tranziții efectuată de atomii de  $^{20}\text{Ne}$ , iar emisia spontană a fost înregistrată pentru radiația cu  $\lambda = 0,6328 \mu\text{m}$ .

Întrucît semnalul obținut în urma emisiei spontane este slab, detecția lui este dificilă. De aceea se folosește o radiație de probare, care stimulează emisia pentru a studia forma liniei obținută în urma tranzițiilor cuplate, metoda purtînd numele de dublă rezonanță optică.

#### 20.3.2. Dublă rezonanță optică

În figura 20.10, a, b este prezentată o schemă care permite observarea rezonanțelor înguste prin emisie spontană și stimulată în cazul tranzițiilor cuplate.

Între cele două metode de obținere a rezonanțelor înguste, prin emisie stimulată și prin dublă rezonanță optică, există două mari deosebiri.

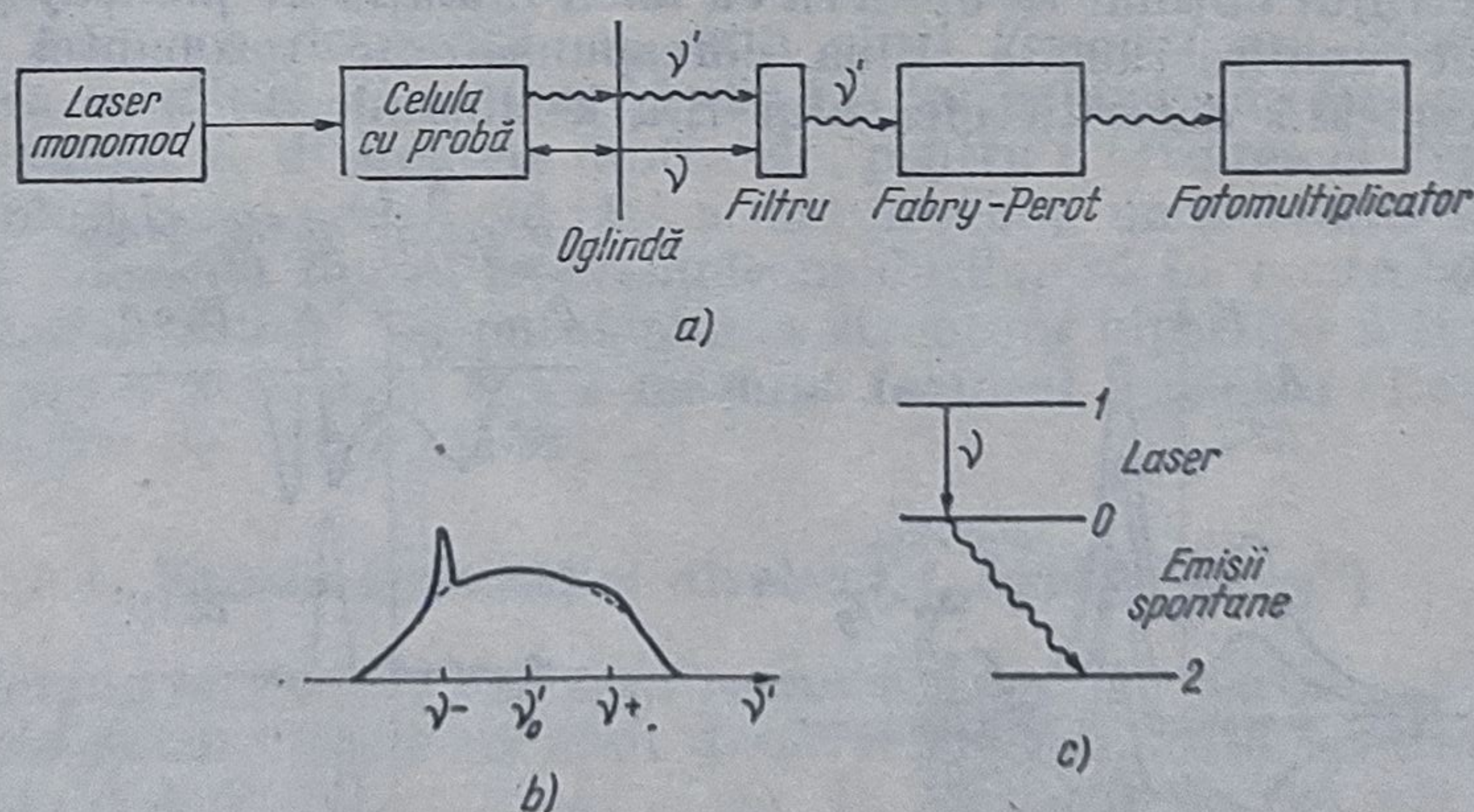


Fig. 20.9

În versiunea emisiei spontane, puterea de rezoluție este determinată de interferometrul Fabry-Pérot și de unghiul sub care radiațiile obținute prin emisie spontană sînt detectate, conducînd pentru rezoluții mari la scăderea sensibilității. Versiunea emisiei stimulate elimină aceste neajunsuri pentru că fasciculul radiației de probare poate fi dirijat paralel



cu cel al radiației de pompaj relativ ușor, obținându-se în final o mare putere de rezoluție pentru un laser monomod.

Emisia spontană poate fi observată numai în cazul tranzițiilor atomice permise și mai rar în cazul tranzițiilor între nivelele de vibrație ale moleculelor, în timp ce prin emisia stimulată se pot studia atât tranzițiile

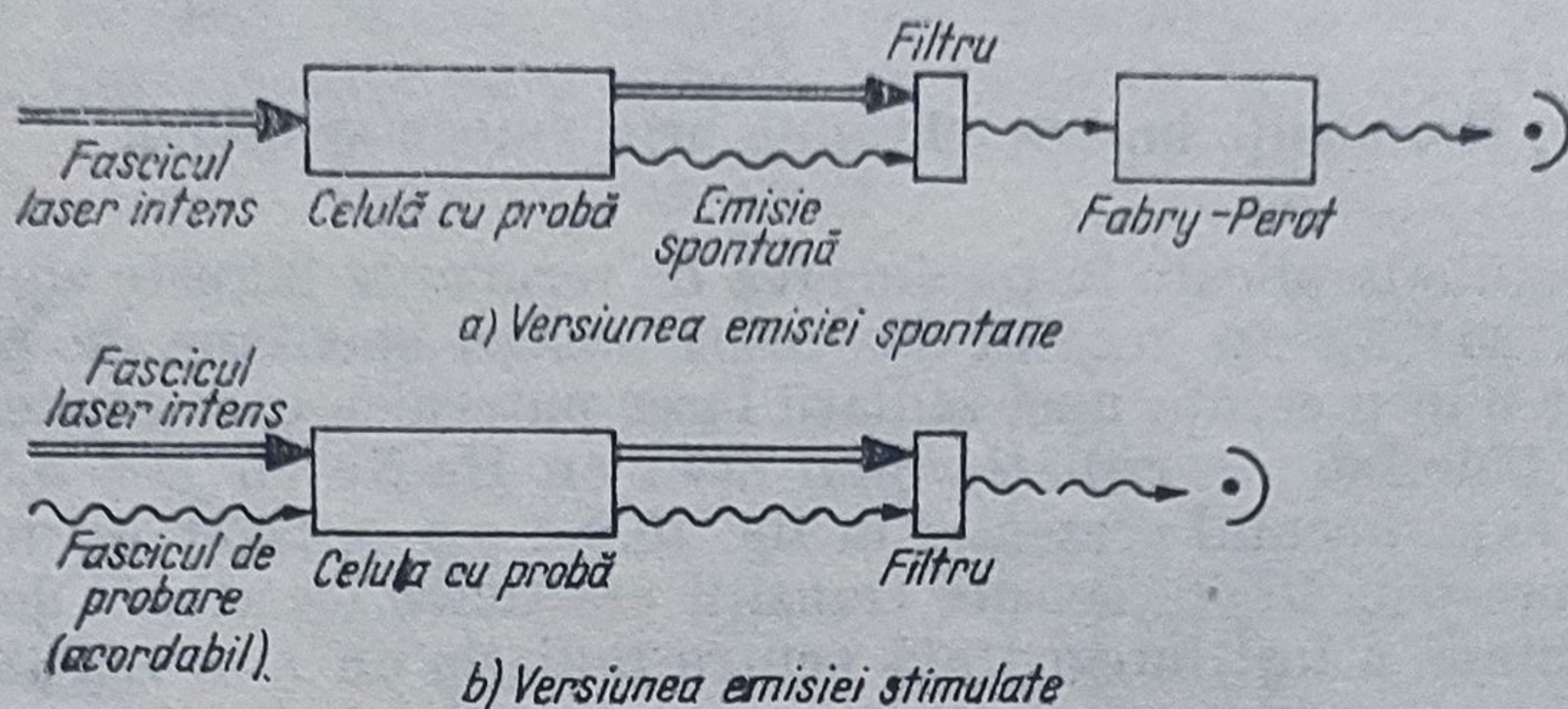


Fig. 20.10

permise cât și cele interzise ale atomilor și moleculelor în domeniul vizibil și ultraviolet al spectrului.

Primele experiențe de acest gen au pus în evidență tranzițiile efectuate de atomii de Ne, tranziții induse de o radiație de pompaj cu  $\lambda_{10} = 0,63 \mu\text{m}$  provenită de la un laser cu He-Ne [182, 183].

În figura 20.11 este prezentată forma liniei pentru o radiație de probare cu  $\lambda_{02}$  (fig. 20.11, a, teoretic; 20.11, b, experimental) funcție de deza-cordul frecvenței față de centrul  $\omega_{10}$ , la diferite valori ale diferenței de populație dintre nivelele 0 și 2.

Atât calculele teoretice [184], cât și valorile experimentale [182, 183] au pus în evidență caracterul anizotrop al liniei Ne cu  $\lambda_{02} = 1,15 \mu\text{m}$ . Din analiza spectrului obținut se observă că dacă radiația de pompaj și cea de probare sînt unidirecționale, linia corespunzătoare rezonanței înguste poate fi despicată datorită efectului Stark dinamic.

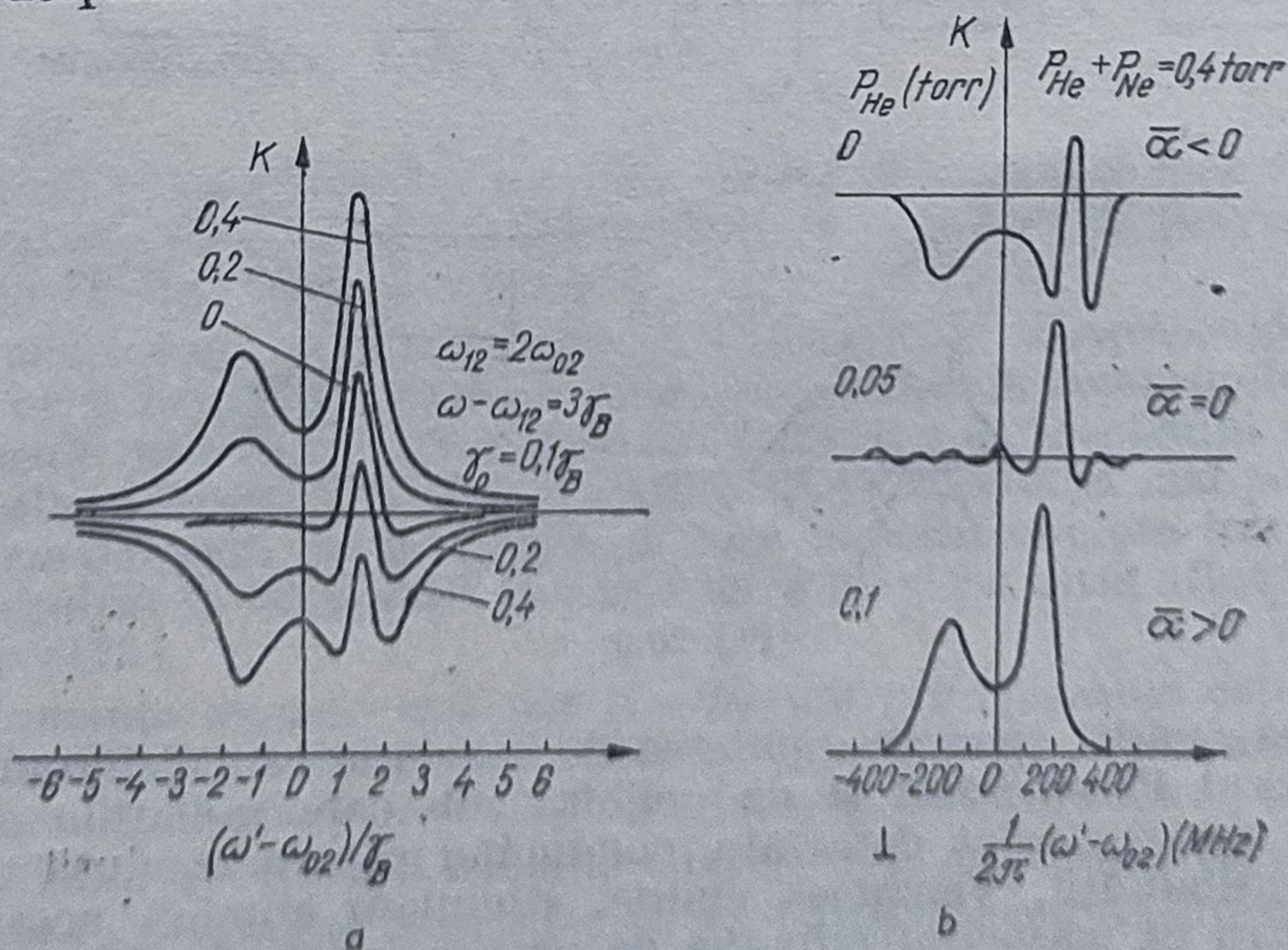


Fig. 20.11



Dacă radiația de pompaj și cea de probare determină tranziții cuplate între diferite nivele de vibrație ale moleculelor, rezultă tot un fenomen de dublă rezonanță în infraroșu. Astfel cu ajutorul unui laser cu  $\text{CO}_2$  a fost investigată molecula de  $\text{CH}_3\text{F}$  [185].

Fenomenul de dublă rezonanță poate să apară și în domeniul infraroșu — microunde, dacă una dintre radiații determină tranziții între nivelele vibraționale, iar cealaltă între nivele de rotație cuplate cu primele.

Această metodă a fost folosită la obținerea spectrului moleculei de  $\text{H}_2\text{CO}$  [186].

### 20.3.3. Metoda intersecției modurilor („mode crossing“)

Principiul acestei metode este asemănător cu cel al dublei rezonanțe optice, deosebirea constând în aceea că nivelele implicate în tranzițiile cuplate sînt atît de apropiate între ele încît profilurile Doppler ale celor

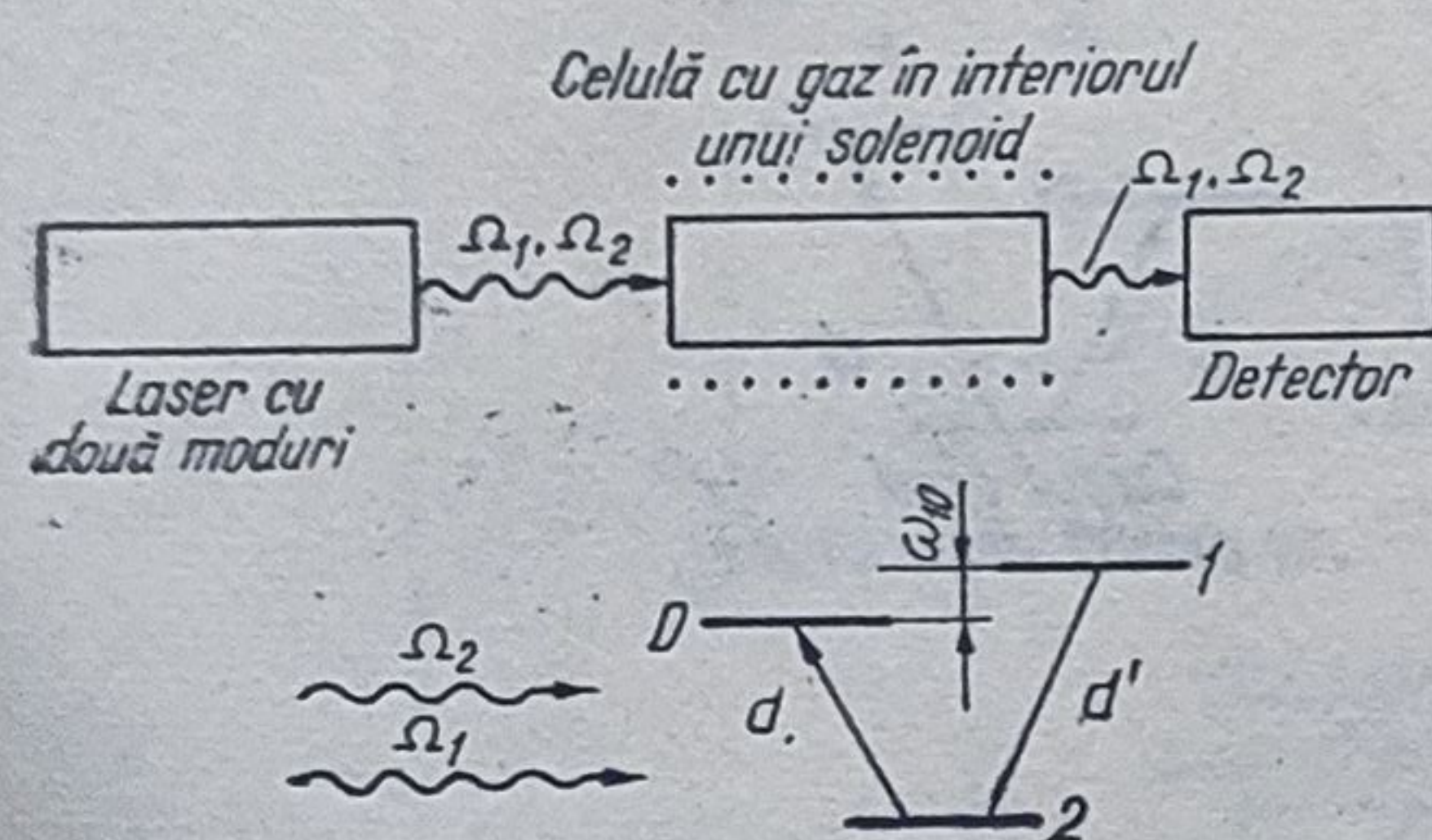


Fig. 20.12

două nivele excitate se suprapun. În acest caz pentru pompaj și pentru probare pot fi folosite undele a două moduri adiacente ale aceluiași laser (fig. 20.12). Fenomenul de rezonanță apare dacă frecvența corespunzătoare tranziției între cele două nivele  $\omega_{10}$  este egală cu diferența frecvențelor celor două moduri

$$\omega_{10} = \Omega_1 - \Omega_2. \quad (20.14)$$

În acest caz sistemul cuantic interacționează cu ambele unde numai dacă este realizată condiția:  $\Omega_1 - \omega_{01} = \Omega_2 - \omega_{02}$  sau dacă schimbările frecvențelor datorită efectului Doppler sînt egale.

Fenomenul de rezonanță se obține variind frecvența unui mod sau variind mărimea despicării  $\omega_{10}$  prin efect Zeeman sau Stark. Întrucît realizarea condiției de rezonanță (20.14) nu depinde de frecvențele absolute, ci numai de diferențele dintre ele, pentru realizarea ei experimentală se pot folosi laseri multimod fără a mai produce unde staționare cu condiția ca diferența dintre frecvențele modurilor să fie controlată. Cu ajutorul acestei metode s-a putut studia structura hiperfină a liniei cu  $\lambda = 3,37 \mu\text{m}$  a xenonului și s-a măsurat factorul  $g$  pentru cîteva tranziții ale atomilor de oxigen [188].

### 20.3.4. Metoda intersecției nivelelor („level crossing“)

Metoda intersecției nivelelor reprezintă un caz particular al metodei intersecției modurilor, cînd unul din nivelele implicate în tranzițiile cuplate este degenerat, adică  $\omega_{01} = \omega_{02}$ . În acest caz pentru a fi îndeplinită condiția de rezonanță (20.14) este necesară o singură undă. Fenomenul de rezonanță se poate manifesta, prin schimbarea coeficientului de absorbție al unei cînd degenerarea este ridicată cu ajutorul unui cîmp electric sau magnetic care pot să aibă intensități mari sau chiar nule (efect Hanle). Montajul experimental este prezentat în fig. 20.13.

Cu ajutorul acestei metode s-a putut studia despicarea Zeeman în oxigen, xenon [188], metan [189] și alte gaze.



### 20.3.5. Metoda dublei rezonanțe optice indusă de ciocniri

„Golurile” și „picurile” care apar în distribuția atomilor după viteze (cap. 17) pot fi produse în nivelele implicate în tranzițiile cuplate și prin ciocniri, adică există posibilitatea de a se crea rezonanțe înguste în aceste tranziții lărgite prin efect Doppler.

Aplicându-se metoda dublei rezonanțe optice moleculei de  $\text{CH}_3\text{F}$  (cap. 20.3.2) s-au observat rezonanțe corespunzătoare tranzițiilor cuplate

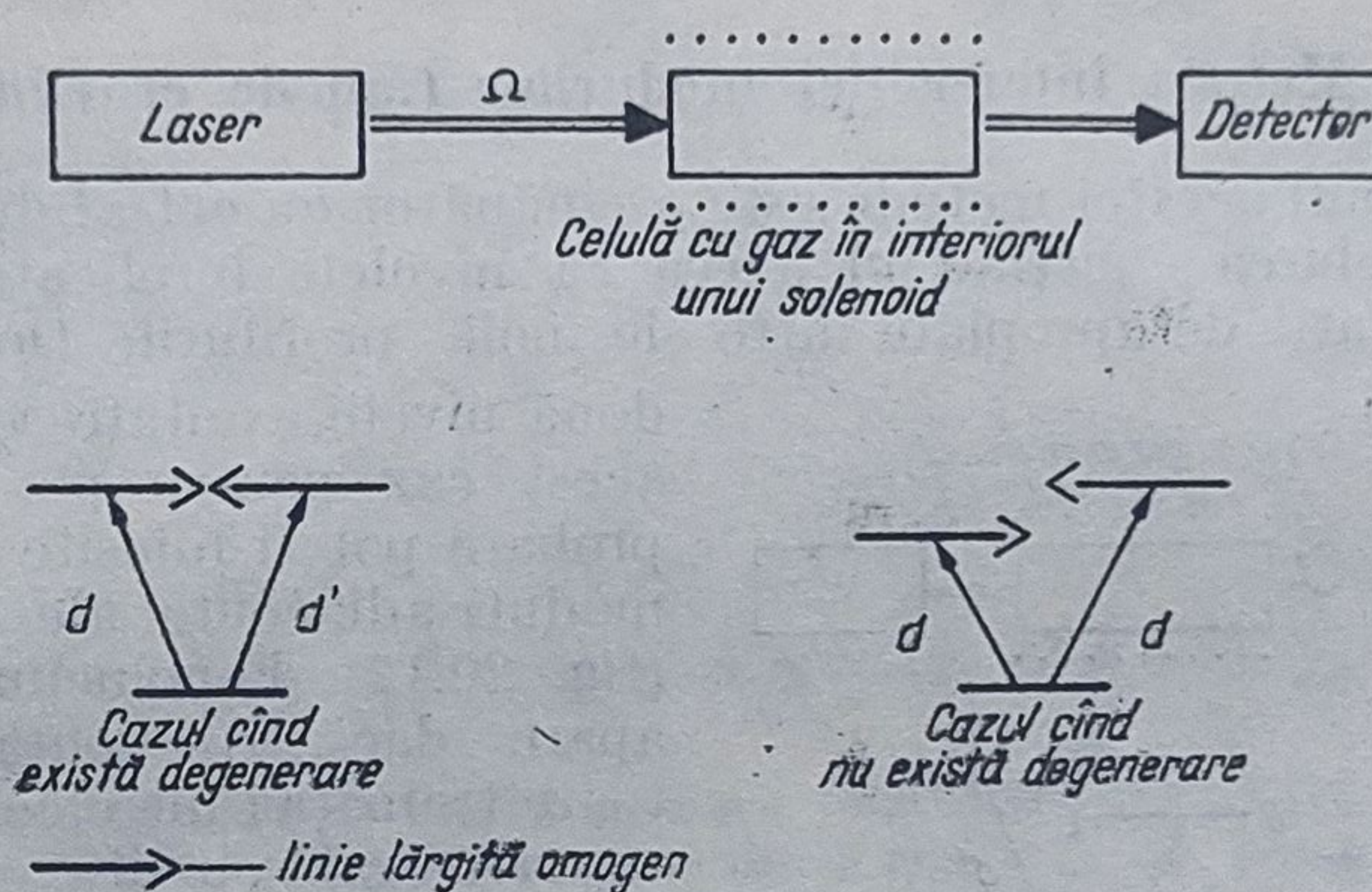


Fig. 20.13

numai datorită proceselor de ciocnire. De fapt, dubla rezonanță indusă de ciocniri poate fi observată în cazul oricărei perechi de tranziții cuplate, ceea ce dovedește că ciocnirile care cuplează tranzițiile conservă vitezele moleculelor.

### 20.3.6. Rezonanțe obținute prin efect Raman stimulat

Pentru a evidenția rezonanțele prin efect Raman stimulat trebuie ca timpul de viață al nivelului intermediar să fie mult mai scurt decât timpurile de viață corespunzătoare nivelului fundamental respectiv final.

Spectrul obținut în urma tranziției  $0 \rightarrow 2$  în cazul tranzițiilor cuplate este format din linii înguste care prezintă și proprietatea de anizotropie în comparație cu cel corespunzător aceleiași tranziții dar care implică un singur foton.

Primele experiențe care au pus în evidență rezonanțe prin efect Raman stimulat au fost efectuate în neon, folosindu-se pentru aceasta tranzițiile  $2s_2 - 2p_4$  ( $\lambda = 1,15 \mu\text{m}$ ) și  $2s_2 - 2p_1$  ( $\lambda = 1,5 \mu\text{m}$ ). Montajul experimental este prezentat în fig. 20.14.

Radiația de pompaj a unui laser cu He-Ne ( $\lambda = 1,52 \mu\text{m}$ ) produce excitarea atomilor de Ne dintr-un tub de descărcare, iar cu ajutorul radiației de probare ( $\lambda = 1,15 \mu\text{m}$ ) provenită tot de la un laser cu He-Ne se înregistrează forma liniei tranziției  $2s_2 - 2p_4$ .

Spectrul obținut (fig. 20.15) este format din linii care sînt mai înguste în cazul în care cele două radiații (de pompaj și de probare) se pro-



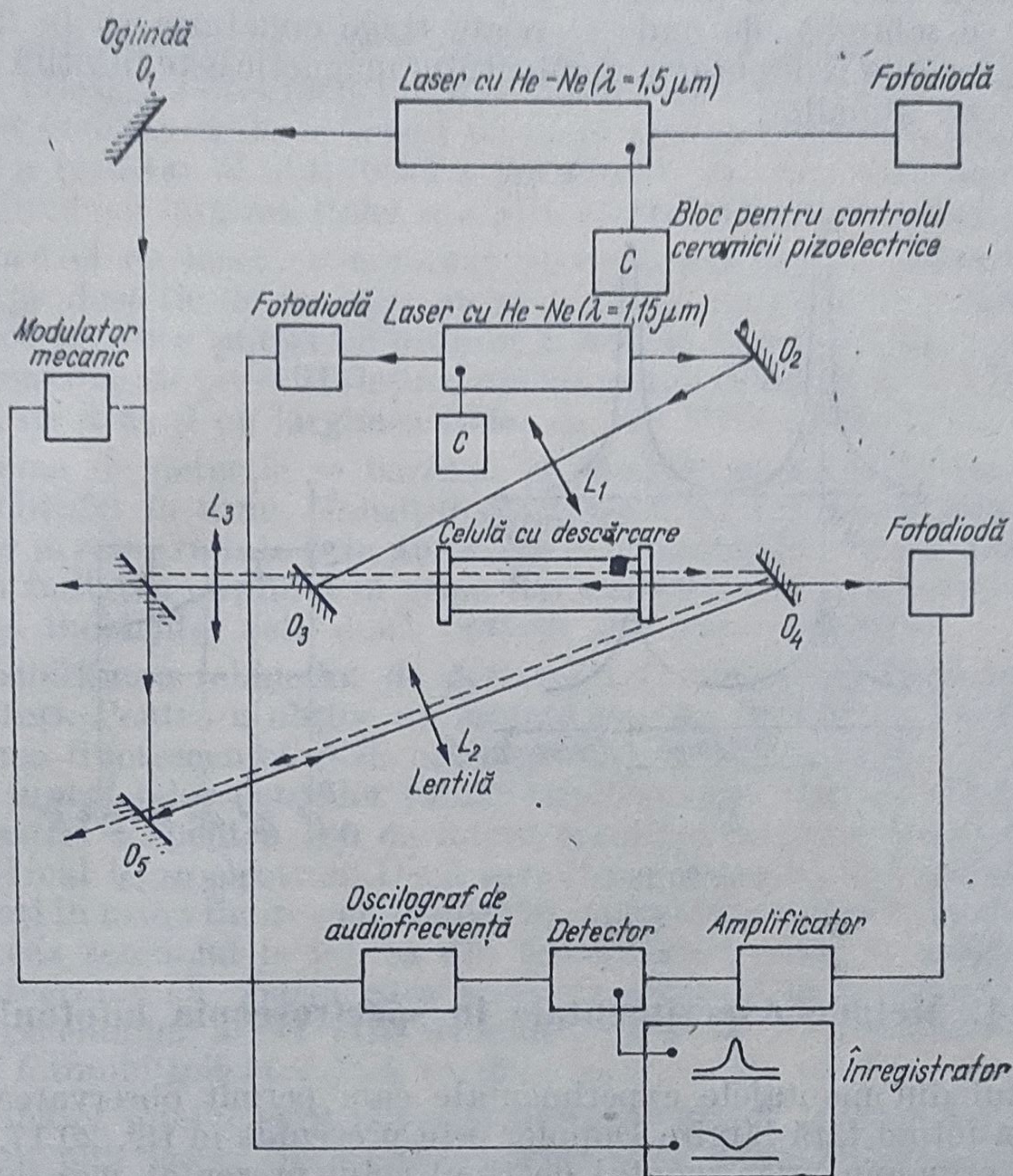


Fig. 20.14

pagă în același sens fig. (20.15, b) decât în cazul în care ele se propagă în sens contrar (fig. 20.15, a).

Ținând seama de valorile timpilor de viață ai celor trei nivele ( $\gamma_{2P_1} = 6,95 \cdot 10^7 \text{s}^{-1}$ ,  $\gamma_{2P_4} = 5,24 \cdot 10^7 \text{s}^{-1}$  și  $\gamma_{2S_2} = 1,6 \cdot 10^8 \text{s}^{-1}$ ) care satisfac condițiile obținerii efectului Raman stimulat se pot calcula lărgimile liniilor corespunzătoare împrăstierii radiațiilor înainte și respectiv înapoi  $2\gamma_- = 30,8 \text{ MHz}$  și  $2\gamma_+ = 82,6 \text{ MHz}$  care sînt în bună concordanță cu cele determinate experimental:  $2\gamma_- = 31 \pm 2 \text{ MHz}$  și  $2\gamma_+ = 86 \pm 3 \text{ MHz}$ .

Structura liniilor observate experimental depinde și de polarizarea cîmpurilor celor două radiații (de pompaj și de probare). În figură este prezentată forma liniei  $2s_2 - 2p_4$  pentru o polarizare circulară a undei cu  $\lambda = 1,52 \mu\text{m}$  (dreaptă — fig. 20.15, a și stîngă fig. 20.15, b).

În figura 20.16 este prezentată dependența gradului de polarizare  $h$  al liniei  $2s_2 - 2p_4$  funcție de unghiul dintre planele de polarizare. Gradul de anizotropie a polarizării este descris de funcția

$$\frac{K}{K_0} = 1 - 0,25 \sin^2 \theta \quad (20.15)$$

unde  $K_0$  este cîștigul obținut pentru polarizări liniare identice. Gradul maxim al polarizării liniei măsurată experimental este 25%.



Pentru valori ale presiunii cuprinse între 0,3—0,5 torr polarizarea liniei nu se schimbă, de unde se poate trage concluzia că în urma excitației la rezonanță reorientarea momentului magnetic este însoțită de schimbarea vitezei atomilor.

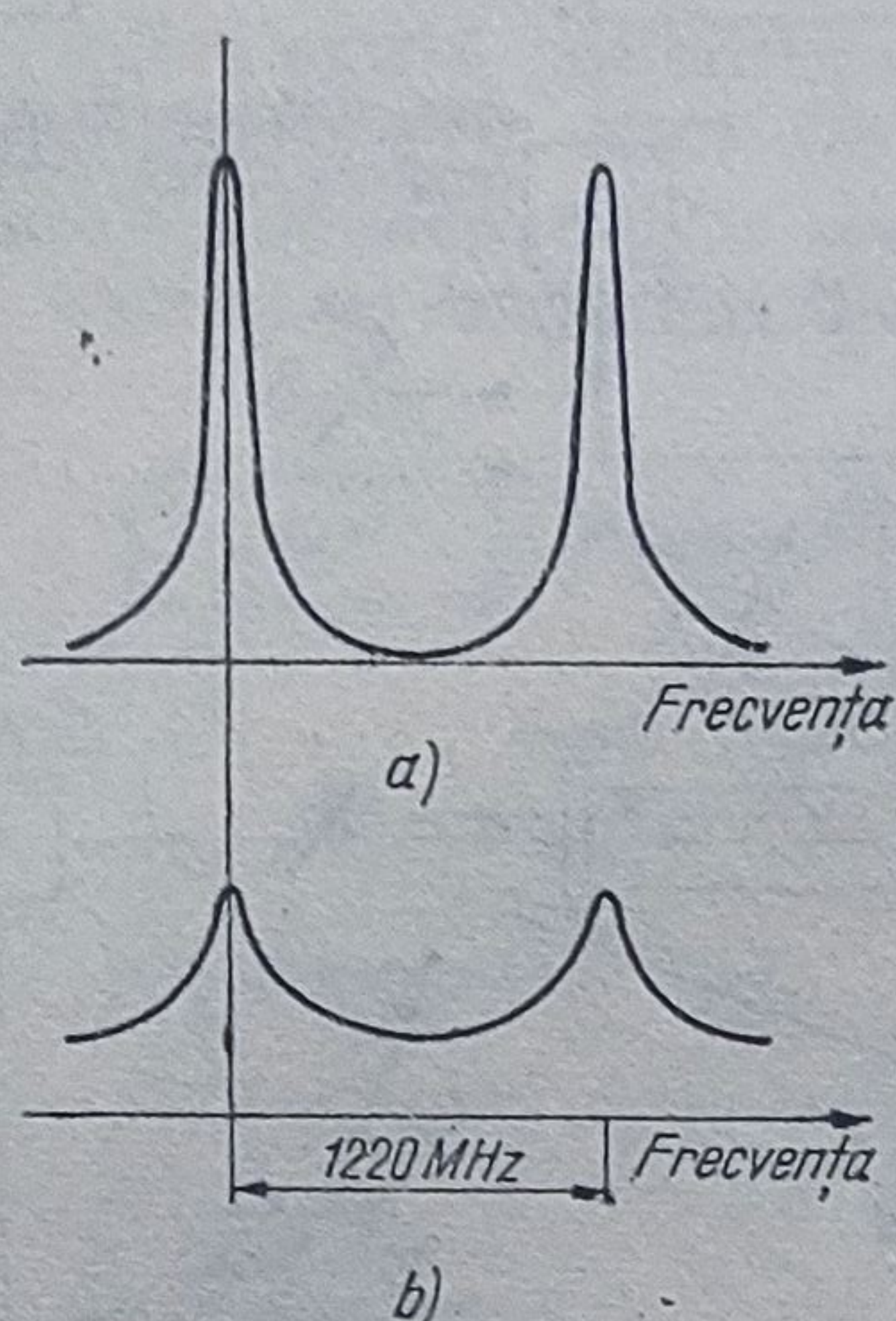


Fig. 20.15

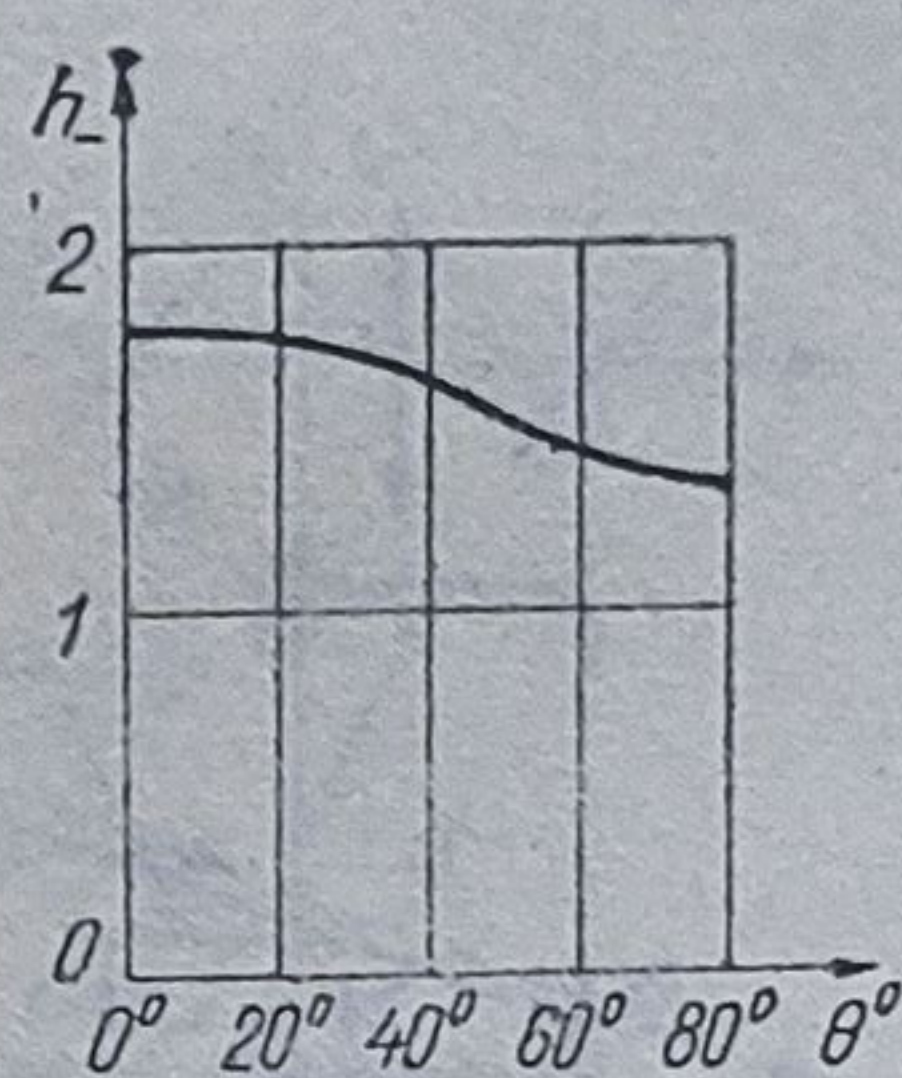


Fig. 20.16

#### 20.4. Metode experimentale în spectroscopia bifotonică

Unul din montajele experimentale care permit observarea absorbției a doi fotoni fără lărgire Doppler este prezentat în fig. 20.17.

În principiu orice montaj de tipul celui prezentat mai înainte trebuie să conțină un sistem de laseri care să producă radiațiile cu frecvențele

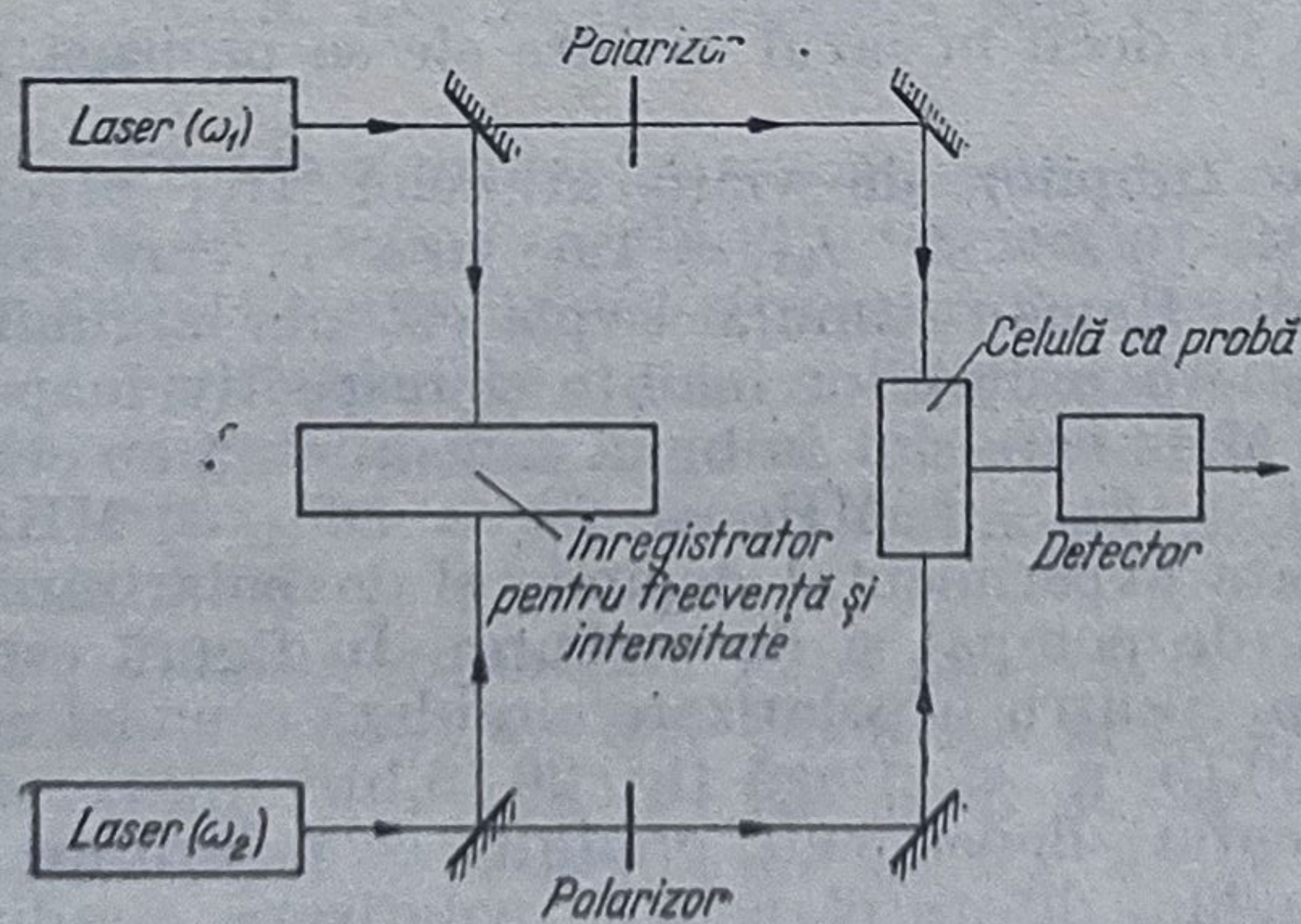


Fig. 20.17

dorite, un sistem de detecție care să permită observarea absorbției a doi fotoni și înregistrarea acesteia funcție de frecvență, și între cele două sisteme, montajul experimental propriu-zis care conține celula cu mediul nelinier în care are loc interacția, polarizori, oglinzi și lentile pentru focalizarea fasciculelor laser.

Tranzițiile bifotonice fără lărgire Doppler au fost observate atât în vizibil oț și în infraroșu și ultraviolet cu ajutorul laserilor acordabili de

bandă îngustă [173]. De asemenea, laserii folosiți trebuie să lucreze pe o singură frecvență stabilizată cu un ecart de 1 MHz, întrucât absorbția scade cu un factor invers proporțional cu ecartul de frecvență folosit.



Laserii folosiți trebuie să aibă moduri transversale coborâte și stabile, de preferință  $TEM_{000}$ , astfel încât radiația să fie concentrată eficient pe probă. Puterea lor trebuie să fie suficient de mare pentru a produce semnale detectabile ca rezultat al absorbției a doi fotoni, dar nici prea mare pentru ca să nu producă lărgirea liniei sau alte efecte neliniare nedorite.

Un astfel de laser cu colorant poate fi excitat cu pulsuri scurte ( $<16$  ns) produse fie de un laser cu azot, fie de un laser cu rubin. Laserii cu azot pot produce puteri de ordinul 1 MW în impulsuri de 8 ns, obținându-se maxime ale puterii la ieșirea din laserul cu colorant de 40 kW, pulsuri cu durată de 6 ns și cu lărgimea liniei de 120 MHz [172, 173].

Schema de detecție se bazează pe înregistrarea spectrului de fluorescență obținut în urma tranzițiilor atomilor pe nivelul fundamental de pe diferite nivele excitate prin absorbție multifotonică. Întrucât lungimea de undă a radiației obținută în urma fluorescenței este mai mică decât cea a radiației incidente, cele două radiații sînt gata separate.

Sensibilitatea tehnicilor de detecție a fluorescenței depinde de mai mulți factori. Pentru a obține un semnal maxim trebuie ca fotonii rezultați în urma fluorescenței să fie colectați într-un unghi solid cît mai mare. În cazul suprafețelor catodilor fotomultiplicatorilor uzuali eficiența este de 10% astfel că pentru 100 de fotoni rezultați în urma fluorescenței se obține în final 1 fotoelectron. Dacă sursa laser lucrează în impulsuri, fotonii rezultați în urma fluorescenței apar în intervalul a cîtorva microsecunde. În acest caz semnalul la ieșirea din fotodetector poate fi mediat de un sistem integrator cu poartă care primește semnale în intervale de timp limitate. Se elimină astfel atît semnalele parazite cît și radiația de fond emisă de fotomultiplicator fără ca detectorul să fie răcit.

Semnalul minim care poate fi detectat astfel, este de un fotoelectron pe un puls laser. Dacă energia unui puls este de  $100 \mu J$ , atenuări ale fasciculului incident de ordinul  $10^{-11}$  pot fi detectate cu ajutorul acestei tehnici.

Radiația parazită obținută în urma fluorescenței diferitelor materiale excitate de laser sau cea datorată absorbției liniare poate fi eliminată cu ajutorul unui filtru sau cu ajutorul unui monocromator.

Între cele două sisteme de excitare și de detecție se inserează celula cu probă, care are la capete două ferestre de sticlă optică de foarte bună calitate, pentru a nu produce împrăștierea luminii care să degradeze focalizarea fasciculului. În cazul în care detecția se face prin înregistrarea fluorescenței rezultate în urma tranziției din stările excitate obținute prin absorbția a doi fotoni, celula mai trebuie prevăzută și cu o fereastră laterală. Dacă celula mai trebuie și încălzită în timpul experienței, trebuie care zistența bobinată să nu producă cîmpuri magnetice care să perturbe energia stărilor excitate.

După ce au fost polarizate, cele două fascicule laser cu frecvențele  $\omega_1$  și  $\omega_2$  sînt focalizate pe celula cu proba în același punct (fig. 20.17). Spotul obținut în urma focalizării nu trebuie să fie foarte mic întrucît absorbția a doi fotoni depinde pe lîngă pătratul puterii absorbite pe unitatea de arie și de numărul de atomi sau molecule din regiunea focală. Mărimea lărgirii Doppler care apare este

$$\Delta\omega_D = (\omega_1 - \omega_2)[2kT/mo^2\ln 2]^{1/2}. \quad (20.16)$$



În urma focalizării și alinierii fasciculelor laser, este posibil ca o parte din radiație să fie introdusă în cavitatea laser și să producă destabilizarea frecvenței oscilațiilor. Pentru eliminarea acestui efect nedorit se folosesc, de exemplu, fascicule ușor necoliniare care introduc o lărgire Doppler suplimentară chiar și în cazul în care cele două frecvențe sînt egale, de forma

$$\Delta\omega_0 = 2\omega_1[2kT/mc^2 \ln 2]^{1/2} \sin \theta \quad (20.17)$$

unde  $\theta$  este unghiul de deviație al fasciculelor laser față de direcția pentru erau erau coliniare.

## 20.5. Rezultate experimentale obținute în spectroscopia laser bifotonică

Primele experiențe care au pus în evidență absorbția a doi fotoni fără lărgire Doppler au fost efectuate cu atomi de sodiu [174, 175]. Cu ajutorul a două radiații cu  $\lambda = 6022,3 \text{ \AA}$ , provenite de la un laser cu coloranți s-a investigat tranziția  $3S \rightarrow 5S$  ce este interzisă în cazul tranzițiilor de dipol care implică un singur foton (fig. 20.18, a). Detecția atomilor de Na în starea excitată  $5S$  se poate face înregistrându-se spectrul de emisie rezultat în urma tranzițiilor pe nivelele  $3P$  sau  $4P$ . Din cauza faptului că atomii de sodiu au spinul nuclear  $I = 3/2$  se produce o despicare hiperfină a nivelelor stărilor  $3S$  și  $5S$  în două subnivele. Pentru tranzițiile care implică doi fotoni regulile de selecție sînt  $\Delta F = 0$  și  $\Delta M_F = 0$ , astfel că spectrul de absorbție este determinat de suprapunerea a două tranziții:  $F = 1 \rightarrow F' = 1$  și  $F = 2 \rightarrow F' = 2$  (fig. 20.18, b). Înregistrarea spectrului a fost făcută atât pentru lumină liniar polarizată, cît și pentru cea circular polarizată (fig. 20.18, c).

Măsurîndu-se mărimea despicării:

$$\Delta\nu = A_{3S} - A_{5S} = 811 \pm 5 \text{ MHz} \quad (20.18)$$

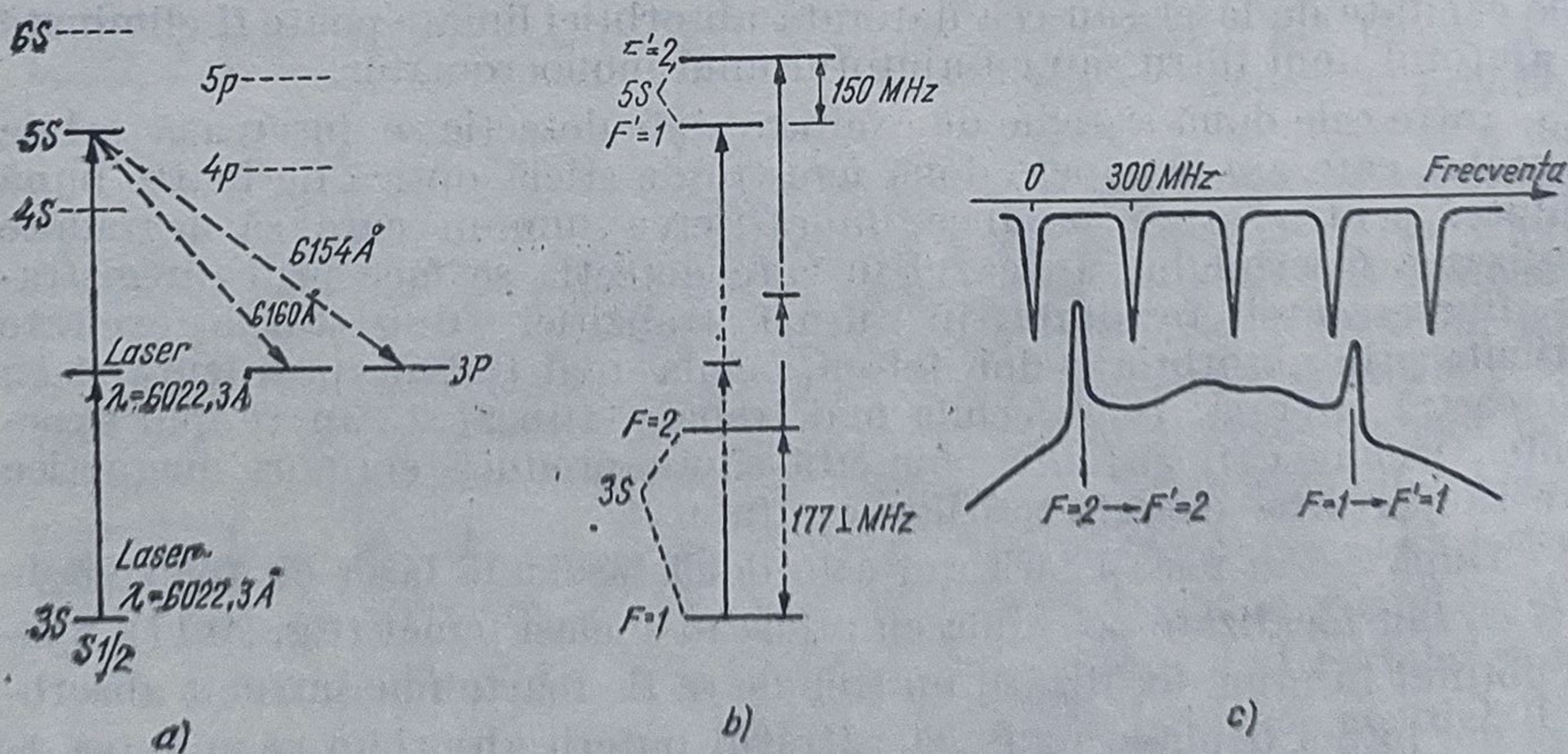


Fig. 20.18

și știind că  $A_{3S} = 886 \text{ MHz}$  se poate obține constanta interacției hiperfine corespunzătoare stării  $5S$ ,  $A_{5S} = 75 \pm 5 \text{ MHz}$ .



Introducându-se celula cu vapori de sodiu într-un câmp magnetic, a fost studiată despicarea Zeeman a liniilor corespunzătoare tranziției  $3S \rightarrow 5S$  (fig. 20.19). Spectrul constă din patru linii egal depărtate cu cantitatea  $\frac{1}{2h} (A_{3S} - A_{5S})$ . Din cauza regulilor de

selecție  $\Delta m_s = \Delta m_j = 0$ , liniile spectrale tind să devină independente de intensitatea câmpului magnetic pentru valori mari ale acestuia. S-a observat de asemenea că pentru orice valoare a câmpului magnetic forma spectrului este independentă de direcția acestuia, precum și de polarizarea și direcția de propagare a fascicului [172].

Tranziția  $3S \rightarrow 4D$  (în câmp electric) a fost studiată folosind două fascicule care se propagă în sensuri contrare obținute cu ajutorul unui laser acordabil cu undă continuă.

Din studiul spectrului prezentat în fig. 20.20 s-a putut determina atât mărimea despicării hiperfine a nivelului fundamental  $3S$ , care corespunde componentelor cu aceeași valoare a lui  $J$ , cât și mărimea despicării nivelului  $4D$  care este determinată de două componente vecine, fie la dreapta, fie la stînga spectrului.

Folosind nivelele intermediare  $3P_{3/2}$  și  $3P_{1/2}$  se poate obține o creștere accentuată a absorbției în cazul rezonanței corespunzătoare tranzițiilor  $3S(F=2) \rightarrow 4D_{5/2}$  și  $3S(F=2) \rightarrow 4D_{3/2}$ , acordînd frecvența primului laser pe frecvența corespunzătoare tranziției  $3S \rightarrow 3P$  (fig. 20.21) [176].

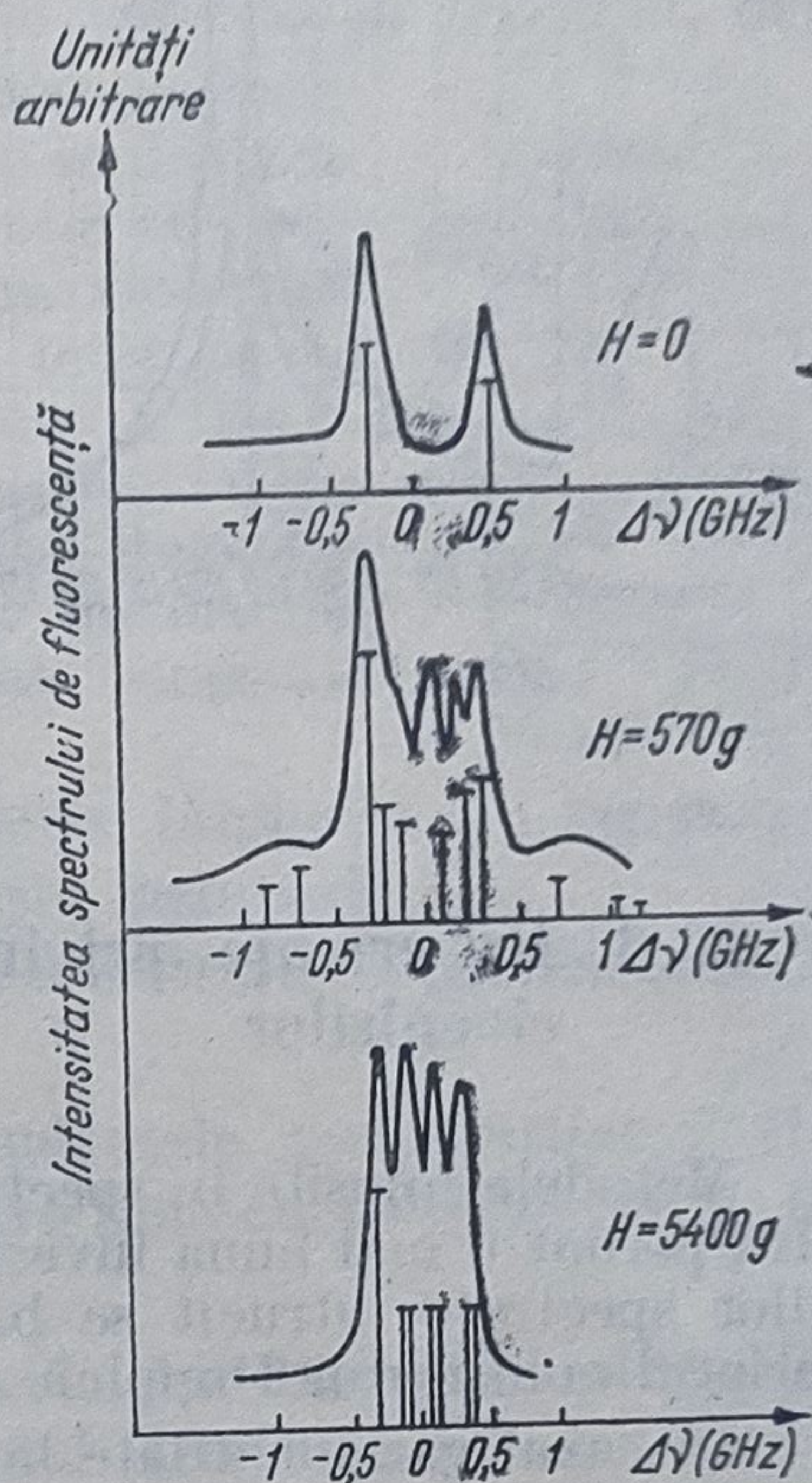


Fig. 20.19

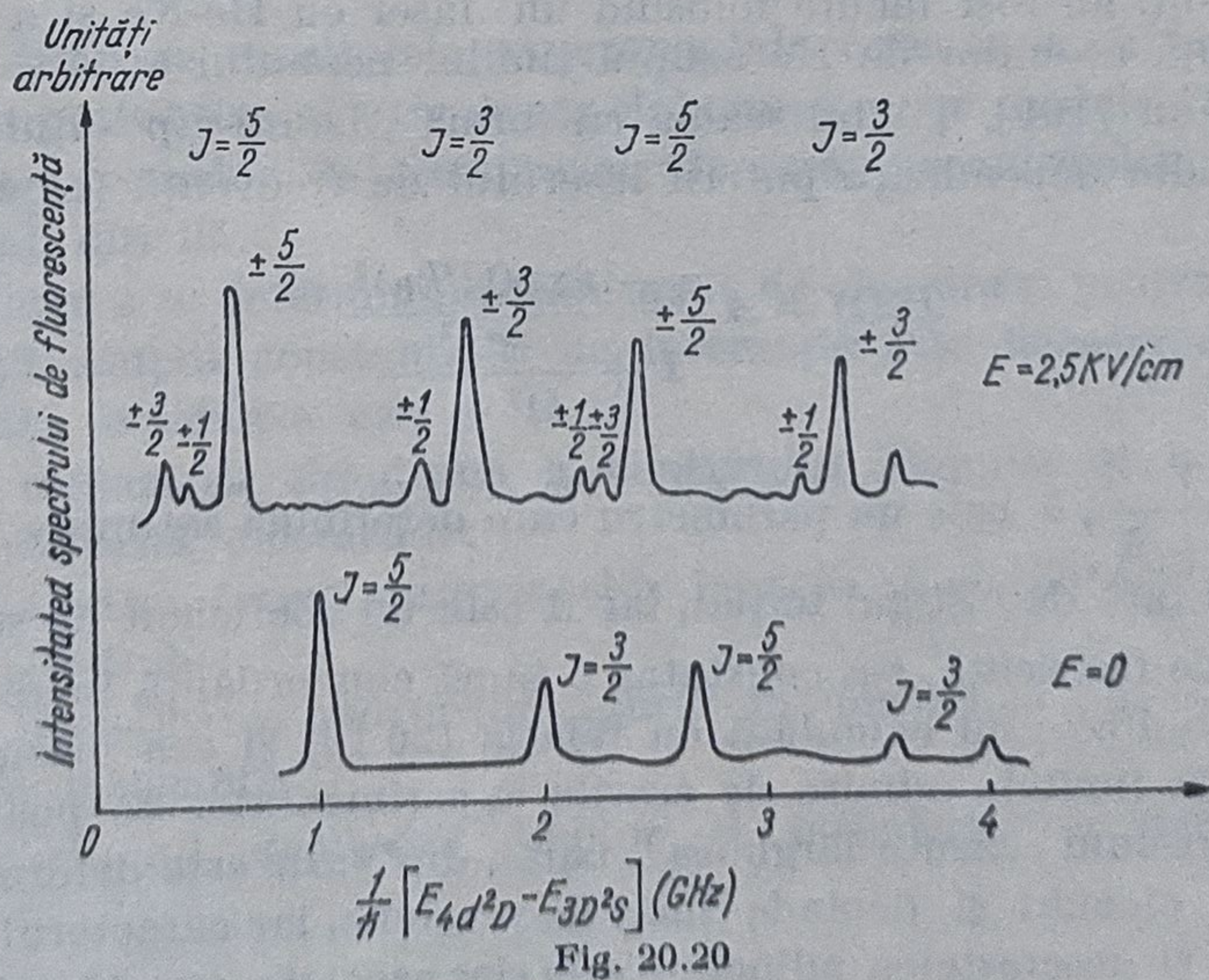


Fig. 20.20



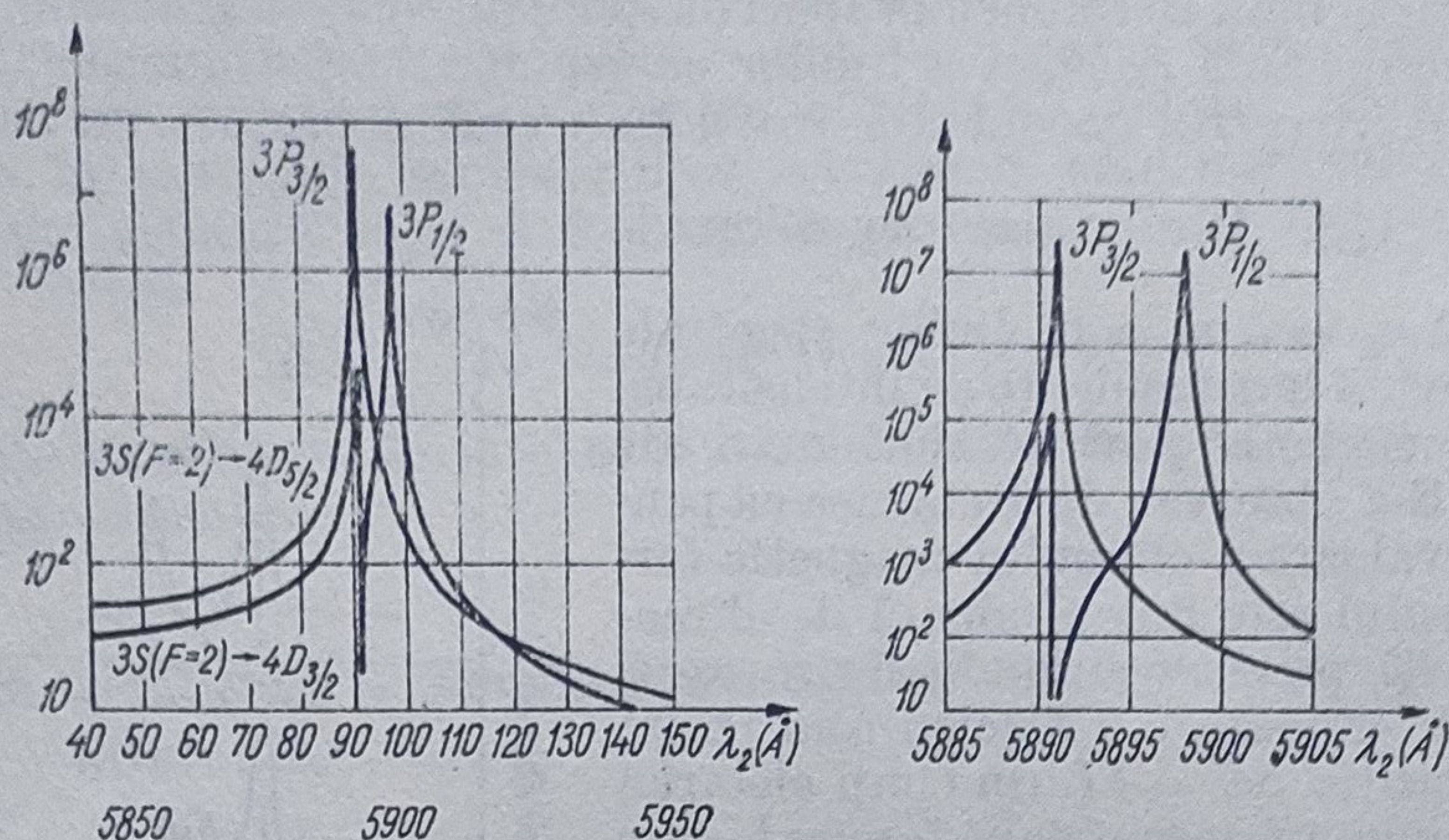


Fig. 20.21

## 20.6. Experiențe privind lărgirea liniilor spectrale datorită ciocnirilor

Metodele folosite în spectroscopia laser cu putere de rezoluție foarte înaltă permit o mai bună investigare a influenței ciocnirilor asupra formei liniilor spectrale întrucât se bazează pe rezonanțele înguste obținute în interiorul conturului Doppler.

În cazul gazelor aflate la presiuni scăzute (cîțiva torri) pentru care sînt valabile modelele binare ale ciocnirilor, iar frecvența ciocnirilor este comparabilă cu rata relaxării nivelelor, modelele teoretice elaborate privind lărgirea și deplasarea liniilor spectrale sînt în bună concordanță cu rezultatele experimentale obținute.

Primele investigații privind modul în care ciocnirile determină „Lamb-dip”-ul, au fost făcute folosind un laser cu He-Ne și a fost studiată influența atomilor de He asupra liniilor neonului cu  $\lambda = 0,63 \mu\text{m}$  și  $\lambda = 1,15 \mu\text{m}$  [161]. Ținînd seama că forma „Lamb-dip”-ului poate fi determinată din dependența puterii laserului de frecvență (capitolul 17)

$$P(\Omega) = A \frac{\eta - \exp(\Omega/ku)^2}{1 + \frac{a\gamma^2}{\Omega^2 + \gamma^2}} \quad (20.19)$$

unde  $a = \frac{1}{1 + \tilde{a}}$ ,  $\tilde{a}$  este un parametru care determină saturația,  $\eta$  reprezintă excesul față de câștigul inițial, iar  $A$  este un coeficient de scală care nu depinde de frecvență, s-a constatat o bună concordanță între semilărgimea „Lamb-dip”-ului calculată cu relația (20.19) și cea măsurată experimental, în limitele admise de erorile experimentale. Se poate considera că la presiuni scăzute lărgimea „Lamb-dip”-ului este determinată în principal de ciocniri și depinde liniar de presiune, iar caracterul omogen al saturației și descreșterea adîncimii sale sînt asociate cu „tăria” ciocni-



rilor. S-a constatat și experimental o dependență liniară a lărgimii „Lamb dip”-ului de presiune cu o pantă de 60 MHz/torr [161].

Deplasarea liniei Ne cu  $\lambda = 0,63 \mu\text{m}$  datorită ciocnirilor atomilor de Ne cu cei de He poate fi măsurată cu ajutorul unui laser cu He-Ne care are „Lamb-dip”-ul stabilizat. Odată cu schimbarea presiunii, deplasarea frecvenței laserului stabilizat obținută experimental este determinată de ciocniri. Cercetându-se deplasarea centrului „Lamb-dip”-ului în comparație cu spectrul laserului cu He-Ne care are o celulă cu absorbant (Ne), s-a constatat că pentru presiuni mai mici de 0,1 torr în celulă nu există practic o deplasare a maximumului puterii. Deci deplasarea frecvenței laserului cu He-Ne este datorată ciocnirilor cu atomii de He. Deplasări liniare ale liniei câștigului spre ultraviolet de ordinul  $20 \pm 2$  MHz și  $16 \pm 2$  MHz/torr au fost obținute pentru izotopii  $^3\text{He}$  respectiv  $^4\text{He}$ .

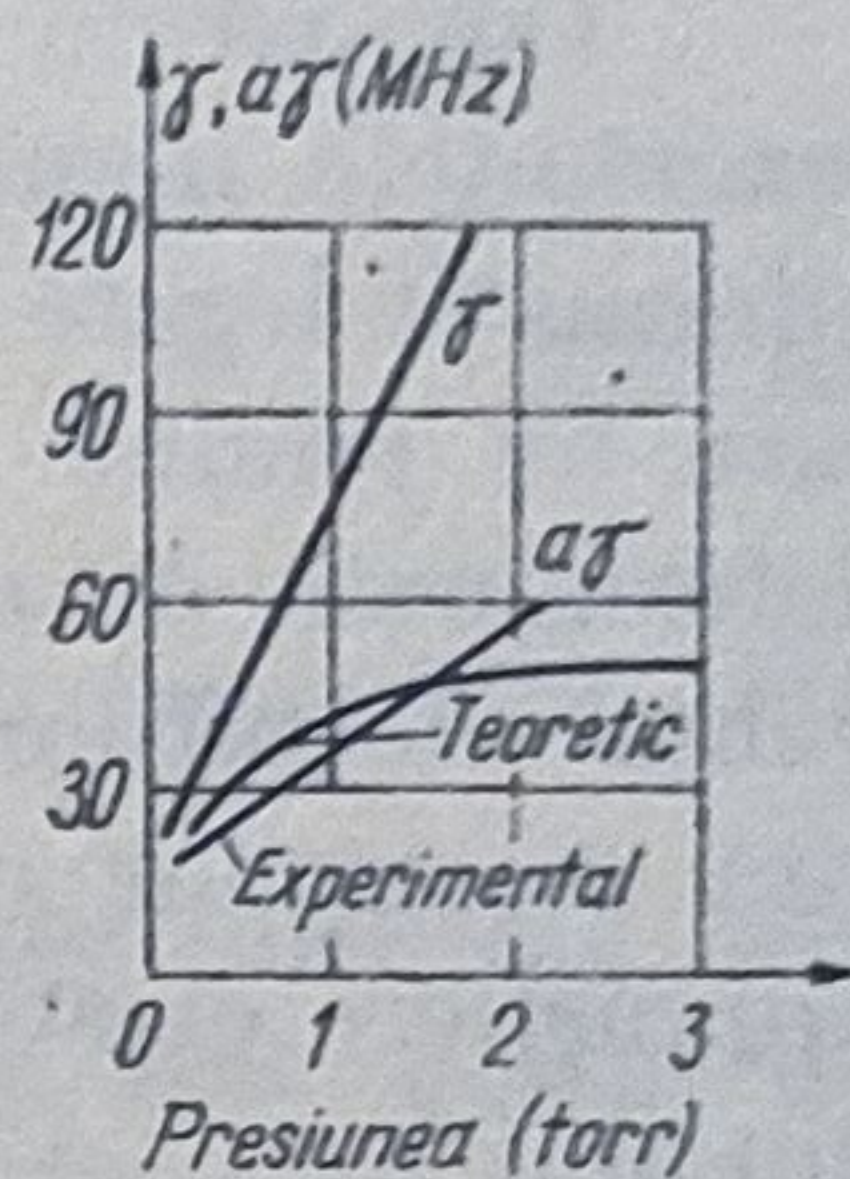


Fig. 20.22

În cazul ciocnirilor „slabe” dependența lărgimii „Lamb-dip”-ului de presiunea gazului este neliniară și este legată de influența ciocnirilor asupra distribuției particulelor după viteze.

În figura 20.22 sînt prezentate dependențele parametrilor  $\gamma$  și  $a\gamma$  de presiune într-o mixtură de He-Ne pentru linia cu  $\lambda = 0,63 \mu\text{m}$ , pe baza datelor din lucrarea [161].

Linia continuă, calculată pe baza modelelor teoretice este în bună concordanță cu valorile obținute experimental [161].

### 20.6.2. Mecanisme de ciocnire

În timp ce rezultatele experimentale care caracterizează lărgimile liniilor se pot obține relativ ușor, elaborarea unor modele fizice de interpretare a proceselor de ciocnire și alegerea mecanismelor potrivite, este mult mai dificilă.

Pentru a se determina mecanismele de ciocnire și pentru a se obține informații asupra constantelor de interacție este necesar să fie făcute investigații complexe ca:

- a) măsurarea simultană a conturului Doppler și a rezonanțelor înguste datorită ciocnirilor;
- b) analiza formei rezonanțelor înguste și a conturului Doppler a liniilor spectrale;
- c) investigarea ciocnirilor „tari” în conexiune cu schimbul excitației de rezonanță;
- d) studiul deplasării liniilor și întinderii lor datorită ciocnirilor;



e) investigarea dependenței de temperatură a lărgimii și deplasării liniilor spectrale, precum și a dependenței lărgimii omogene de deza-cordul frecvențelor;

f) studiul dependenței lărgimii liniei de numărul cuantic principal al nivelelor.

Comparînd lărgimea conturului Doppler datorită ciocnirilor, cu rezonanțele înguste în cazul liniei cu  $\lambda = 0,63 \mu\text{m}$  a neonului se obțin informații legate de contribuția împrăstierii elastice. În cazul ciocnirilor care nu produc o modificare a fazelor, lărgimea „Lamb dip”-ului este determinată de caracteristicile împrăstierii unghiulare [161]. Dacă frecvența ciocnirilor este mică și  $ku\theta \gg \gamma$ , lărgimea „Lamb dip”-ului datorită ciocnirilor este determinată numai de secțiunea totală eficace de împrăstiere elastică. Dacă  $ku\theta < \gamma$ , ciocnirile nu produc lărgirea „Lamb dip-ului”.

Comportarea conturului Doppler în astfel de ciocniri ( $ku\theta > \gamma$ ) diferă calitativ de cea a „Lamb-dip”-ului, rezultînd o scădere a vitezei ( $u$ ) atomilor și o îngustare a liniilor. Astfel, diferența între lărgimea celor două contururi este determinată de contribuția ciocnirilor elastice.

În cazul ciocnirilor care produc o modificare a fazelor nu există diferență între lărgirea rezonanțelor și lărgirea conturului Doppler. O contribuție adițională la lărgirea rezonanțelor poate fi determinată de împrăstierea unghiulară a atomilor în urma ciocnirilor, ea conducînd la o micșorare a „dip”-ului în distribuția atomilor după viteze. Această contribuție adițională depinde neliniar de presiune.

Pentru linia cu  $\lambda = 0,63 \mu\text{m}$  a Ne, lărgimea ei este mai mică decît lărgimea „dip”-ului. Cu creșterea presiunii, unghiul de ciocnire crește proporțional cu rădăcina pătrată a densității în timp ce lărgimea datorită fazelor dezordonate crește proporțional cu densitatea gazului. Deci la presiuni de ordinul a cîtorva torri contribuția difuziei atomilor este foarte mică în comparație cu lărgirea datorată fazelor dezordonate.

Saturarea omogenă și reducerea adîncimii „dip”-ului se datoresc ciocnirilor „tari”. Studiul transferului excitației prin schimbarea vitezei în sistemele cu trei nivele a arătat că schimbarea vitezei prin excitarea atomului este datorată absorbției radiației la rezonanță și nu ciocnirilor.

Aceste efecte apar în special în cazul liniei cu  $\lambda = 1,15 \mu\text{m}$ .

Studiul lărgirii liniilor neonului datorită ciocnirilor funcție de numărul cuantic principal evidențiază noi mecanisme de interacție. În fig. 20.23 este prezentată dependența lărgirii liniilor datorită ciocnirilor, funcție de numărul cuantic  $n$  al nivelelor pentru liniile  $5852 \text{ \AA}$  ( $n = 3$ ),  $11522 \text{ \AA}$  ( $n = 4$ ),  $6328 \text{ \AA}$  ( $n = 5$ ),  $5349 \text{ \AA}$  ( $n = 6$ ),  $4892 \text{ \AA}$  ( $n = 7$ ).

Diferența lărgimii liniilor poate fi atribuită nivelelor care aparțin unei anumite configurații  $ns$ . Din graficul obținut experimental (1) se



observă existența unui minim care corespunde lui  $n = 4$ . Întrucât unul din nivelele implicate în tranziții este rezonant se poate presupune că unul din mecanismele de lărgire a liniilor este determinat de schimbul rezonant al excitației datorită ciocnirilor. Lărgimea liniei datorită transferului rezonant poate fi calculată din formula

$$\frac{\partial \gamma}{\partial p} = 5,7 \tilde{\lambda}^3 N w \quad (20.20)$$

unde  $\tilde{\lambda} = \frac{\lambda}{2\pi}$ ,  $\lambda$  fiind lungimea de undă a radiației de rezonanță, iar

$w$  este probabilitatea tranziției rezonante. Valorile experimentale ale lărgimii liniei datorită transferului rezonant al excitației sînt destul de apropiate de cele calculate teoretic (fig. 20.23 curba 2) cu relația (20.20) pentru linia cu  $\lambda = 5852 \text{ \AA}$  ( $n = 3$ ) ele fiind chiar egale. Odată cu creșterea numărului cuantic principal, prin reducerea lui  $w$  se obține o descreștere a lărgimii datorită transferului rezonant al excitației prin intermediul ciocnirilor. Pentru nivele excitate cu număr cuantic principal mai mare ca 7, lărgimile liniilor datorită transferului rezonant devin foarte mici, forțele de schimb jucînd în acest caz un rol foarte important.

Dacă nu este îndeplinită condiția de rezonanță, forțele de interacție sînt caracterizate de dependența lărgimii liniilor de viteza relativă

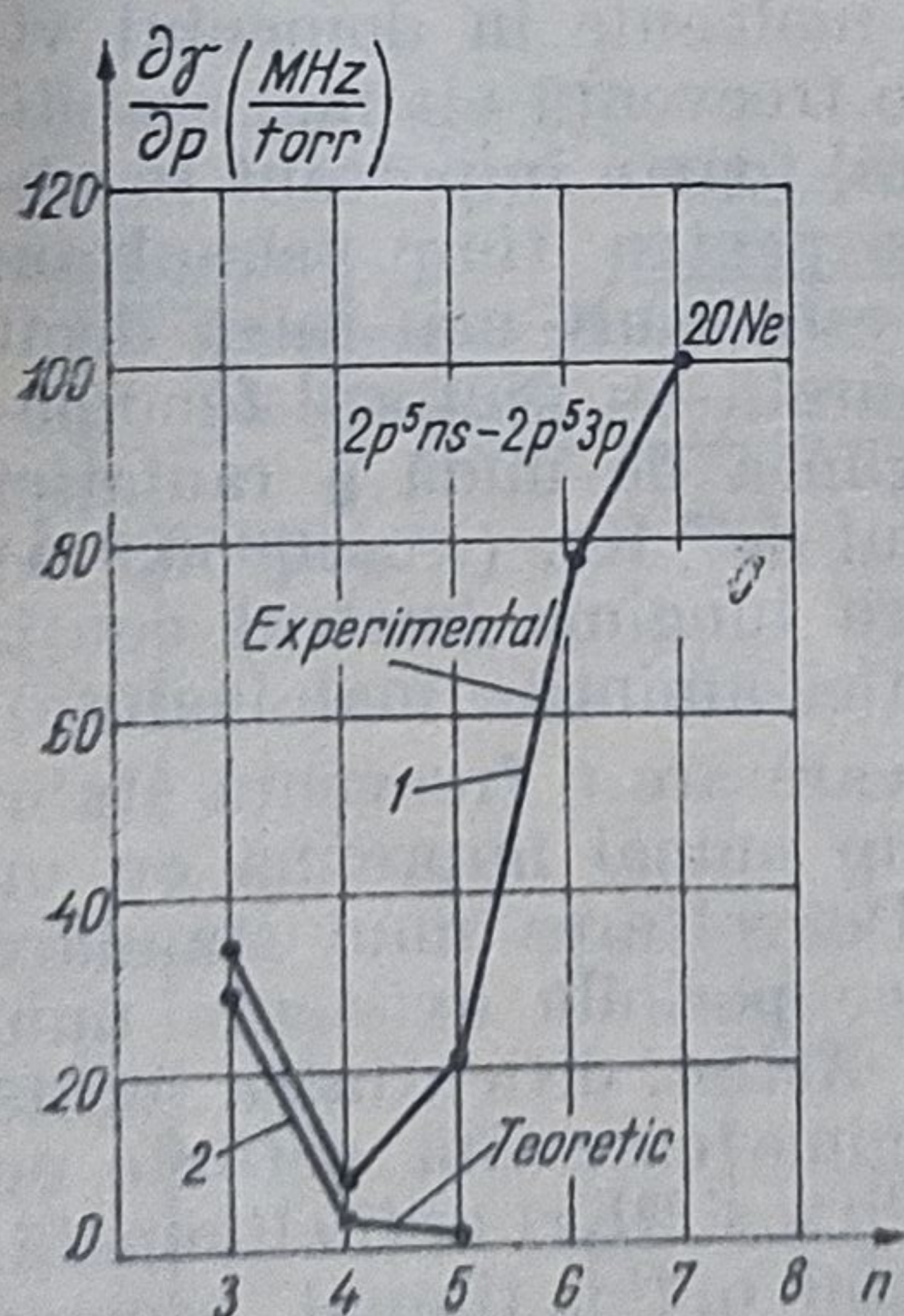


Fig. 20.23

a atomilor care se ciocnesc. Această dependență poate fi folosită pentru a caracteriza tipul de interacție. Întrucât viteza medie a atomilor care se ciocnesc depinde de temperatură și lărgimile liniilor datorită ciocnirilor și deplasările lor sînt funcție, de asemenea, de temperatură. În unele cazuri, dependența lărgimii de viteză poate fi obținută măsurînd lărgimile liniilor omogene pentru diferite valori ale dezacordului frecvențelor față de centrul liniei. În cazul liniilor neonului se obțin următoarele valori:  $20 \pm 2$ ,  $30 \pm 5$ ,  $44 \pm 5$  MHz. Aceste diferențe pot fi explicate dacă se admite o dependență a lărgimii liniilor de vitezele atomilor. Rezonanța nelineară corespunzătoare centrului liniei este legată de atomii ale căror proiecții

ale vitezelor pe axa de observație sînt zero ( $v_z = 0$ ) și conturul Doppler al liniilor rezultate în urma emisiilor spontane se obține în urma emisiei atomilor cu viteze diferite  $v_z - u$ .



## 21. APLICAȚII ÎN ȘTIINȚĂ ȘI INGINERIE

### 21.1. Tehnici experimentale utilizate pentru stabilizarea în frecvență a laserilor folosind rezonanțele înguste

Una din cele mai importante cuceriri ale electronicii cuantice în domeniul microundelor este legată de descoperirea standardului pasiv de frecvență care folosește cesiul și anume tranzițiile între nivelele hiperfine, cu  $F = 4, m_F = 0 \rightarrow F = 3, m_F = 0$  ale stării fundamentale a izotopului  $^{133}\text{Cs}$  în absența câmpurilor exterioare [161]. Acesta este acceptat ca standard internațional cu frecvența 9192631770,0000 Hz. De asemenea, o frecvență foarte bine stabilizată ( $2 \cdot 10^{-14}$  Hz/zi) se obține într-un laser cu hidrogen ca rezultat al tranzițiilor între nivelele cu  $F = 1, m_F = 0$  și  $F = 0, m_F = 0$  ale stării fundamentale a H.

Tranzițiile cuantice suferite de atomi și molecule în domeniul vizibil au fost folosite pentru a obține laseri cu o frecvență cât mai stabilizată. Laserii stabilizați în frecvență joacă un rol foarte important în obținerea standardelor atât pentru lungime cât și pentru timp, simultan. Întrucât lungimea de undă în domeniul optic este mult mai mică decât dimensiunile obiectelor, lungimea poate fi măsurată cu ajutorul fenomenului de interferență. Din această cauză lungimea de undă a radiației obținută în urma tranziției  $2p_{10} - 5d_5$  din atomul de  $^{86}\text{Kr}$ , ( $\lambda = 6056,9 \text{ \AA}$ ) este adoptată ca standard internațional pentru lungime (metrul conținând 1.650.763,73 lungimi de undă ale tranziției amintite mai înainte).

Un generator cuantic în domeniul optic care are o frecvență stabilizată poate servi ca standard cuantic de timp numai împreună cu un instrument de măsură a frecvențelor optice. Dezvoltarea unui standard cuantic de frecvență în domeniul optic ar face posibilă existența unui singur standard pentru timp și pentru lungime. Astfel, dificultatea legată de unitățile internaționale pentru timp și lungime care sînt definite cu ajutorul liniilor spectrale a doi atomi diferiți ( $^{133}\text{Cs}$  și  $^{86}\text{Kr}$ ) ar fi eliminată. De asemenea, folosind un standard în domeniul optic, timpul necesar pentru măsurarea frecvenței sau intervalelor de timp cu o anumită acuratețe ar scăde foarte mult, pentru că acuratețea măsurărilor pentru frecvență pentru un anumit interval de timp dat este invers proporțională cu frecvența.

Pentru a obține un laser cu frecvență cât mai stabilizată este necesar să fie îndeplinite următoarele condiții:



— frecvența de referință trebuie să fie stabilă și reproductibilă, cel puțin tot atât de stabilă cât se cere pentru funcționarea unui laser;

— lărgimea curbei de rezonanță a frecvenței cerute să nu depășească stabilitatea cerută cu un factor mai mare decât  $10^3$  până la  $10^4$ .

Pentru a obține o stabilizare în frecvență și o reproductibilitate de ordinul  $10^{-13}$  este necesară obținerea unor rezonanțe cu aceeași stabilitate ca a centrului liniei și o lărgime relativă de aproximativ  $10^{-9}$ — $10^{-10}$ . Pentru aceasta trebuie ca tranzițiile cuantice ale atomilor și moleculelor între starea inițială și finală să fie foarte puțin perturbate de ciocniri și de câmpuri exterioare. Totuși, din cauza lărgimii liniilor spectrale în gaze datorită efectului Doppler care determină o valoare relativă de ordinul  $10^{-5}$ — $10^{-6}$  condiția a doua nu este îndeplinită. Deci este necesar să fie dezvoltate diferite metode de îngustare a liniilor spectrale.

Un pas hotărâtor în obținerea unor linii spectrale cât mai înguste a fost făcut prin folosirea saturării absorbției în celulele cu gaz la presiune scăzută. A urmat o dezvoltare rapidă a acestor metode astfel încât între anii 1967—1972 stabilizarea în frecvență a laserilor a crescut de la  $10^{-8}$  la  $10^{-14}$ . În același timp au fost dezvoltate și metode de măsurare absolută a frecvențelor oscilațiilor optice.

#### 21.1.1. Stabilizarea în frecvență a laserilor cu ajutorul unei celule cu absorbant plasată în interiorul cavității

Schema bloc folosită pentru stabilizarea laserilor în frecvență, prin maximul puterii, cu ajutorul unei celule cu absorbant plasată în cavitate este prezentată în fig. 21.1 (§17.4).

Maximul puterii se obține prin acordarea frecvenței laser modulate

$$\tilde{\nu} = \nu + \delta \cos(2\pi ft) \quad (21.1)$$

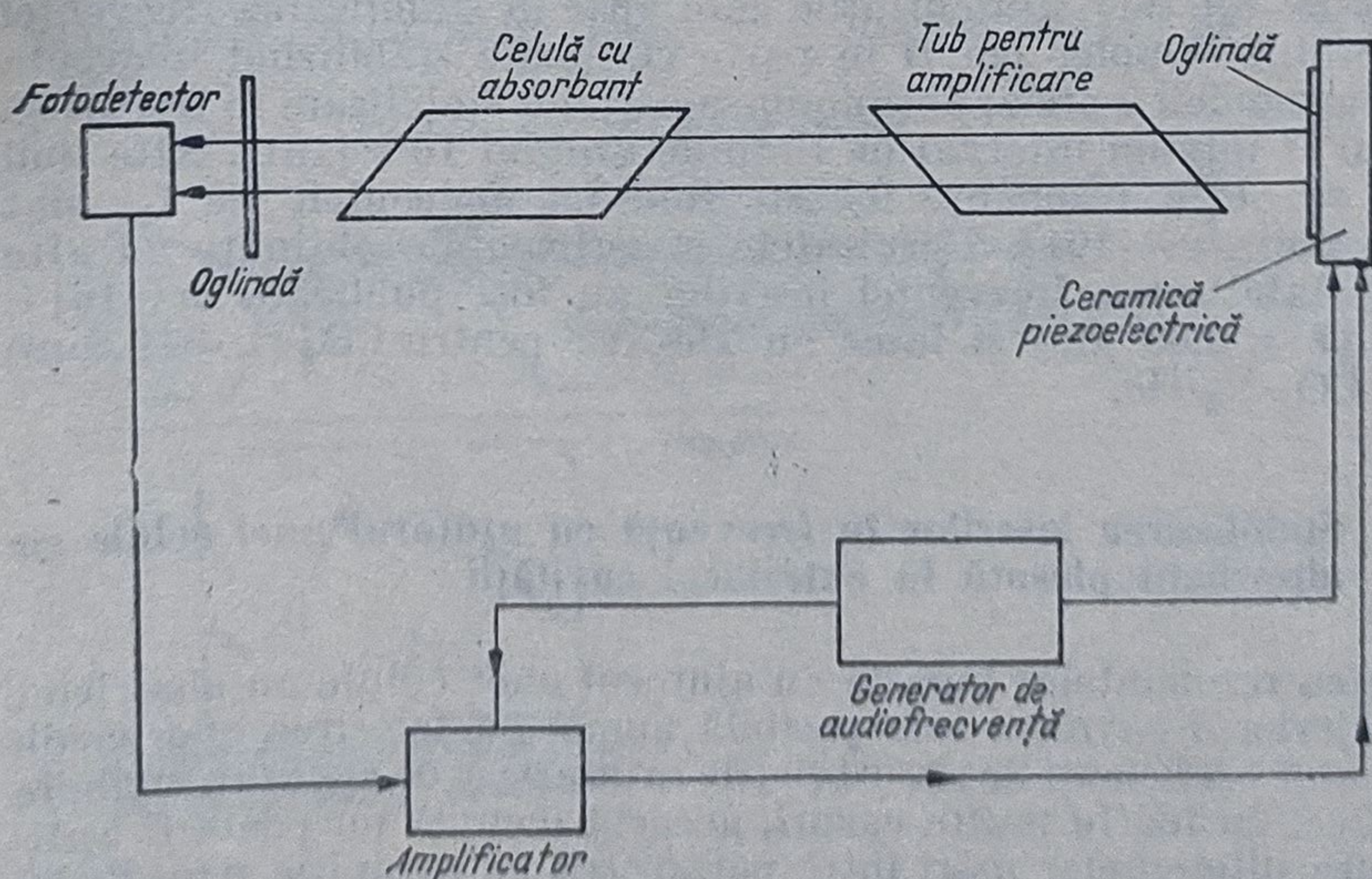


Fig. 21.1

cu frecvența corespunzătoare rezonanței.



Cînd frecvența laserului nu este acordată cu cea corespunzătoare rezonanței, la ieșire se obține un semnal modulat în amplitudine cu frecvență  $f$ . Acest semnal este folosit pentru a controla frecvența cavității (de exemplu, pentru a acorda frecvența generată cu cea corespunzătoare rezonanței). Acordul frecvenței poate fi făcut cu ajutorul unui servosistem care controlează poziția uneia dintre oglinzile cavității.

Primele experiențe legate de stabilizarea laserilor în frecvență au fost făcute cu un laser cu He-Ne ( $\lambda = 6328 \text{ \AA}$ ) în a cărei cavitate a fost plasată o celulă cu Ne la presiunea de 0,1 torr. Lărgimea maximului puterii a fost de 20–40 MHz și se datorește în principal lărgimii naturale (20 MHz) a liniilor spectrale și ciocnirilor (24 MHz/torr). Folosind celule în care presiunea este cuprinsă între 0,1 și 0,3 torr eficiența conversiei puterii este aproape de 100%. Pentru a elimina zgometul în tubul de descărcare se poate folosi o tensiune alternativă cu frecvență foarte înaltă. Nivelul zgometului semnalului la ieșire și schema folosită pentru obținerea unei frecvențe acordabile, prin reglarea lungimii cavității permit obținerea unei frecvențe cu o acuratețe de 0,1 MHz. Reproducibilitatea semnalului la ieșire este limitată de ciocniri, care produc deplasarea liniei spectrale (mărimea deplasării fiind în final funcție de curentul de descărcare), de perturbații mecanice, de zgometele din domeniul acustic și de gradul permanenței descărcării în celulele cu mediul activ și cu absorbant.

Limitările privind stabilizarea în frecvență și reproducibilitatea datorită lărgimii naturale a liniilor spectrale și deplasărilor lor datorită ciocnirilor sînt inerente în montajele care folosesc celule cu absorbant plasate în interiorul cavității laserului. Pentru a obține rezonanțe înguste se pot selecționa diferiți absorbanți moleculari pentru linia cu  $\lambda = 6328 \text{ \AA}$  a unui laser cu He-Ne. Cele mai bune rezultate au fost obținute folosind ca absorbant  $I_2$  pentru că una din liniile sale de absorbție în stare de vapori coincide cu linia laserului cu He-Ne (cu  $\lambda = 6328 \text{ \AA}$ ). Se obține astfel la ieșire o rezonanță îngustă cu o lărgime de 4,5 MHz și o eficiență de 0,1% la o presiune de 0,1 torr. Dificultățile care apar în stabilizarea frecvenței datorită efectului Doppler pot fi în parte eliminate stabilizînd frecvența pe semnalul armonicii a treia, obținîndu-se astfel o stabilizare în frecvență de ordinul  $10^{-13}$  într-un interval de timp de ordinul  $10^3$ s [161]. Alte linii pentru care se obțin rezonanțe înguste folosind moleculele de  $I_2$  sînt publicate în lucrarea [161]. Rezultatele experimentale obținute cu alte gaze pentru stabilizarea frecvenței laserilor au fost publicate în [161]; pentru  $CH_4$  ( $\lambda = 3,39 \text{ }\mu\text{m}$ ) și laser cu He-Ne; pentru  $CO_2$  ( $\lambda = 10,6 \text{ }\mu\text{m}$ ) și laser cu  $CO_2$ - $N_2$ -He.

#### 21.1.2. Stabilizarea laserilor în frecvență cu ajutorul unei celule cu absorbant plasată în exteriorul cavității

Obținerea rezonanțelor înguste cu ajutorul unor celule cu absorbant plasate în interiorul cavității este posibilă numai cu folosirea unor medii neliniare a căror coeficienți de absorbție, de saturație și de câștig au anumite valori specifice. În foarte multe cazuri, această metodă nu poate fi aplicată din cauza diferențelor mari între parametrii de saturație ai mediului activ și ai absorbatului. În astfel de cazuri saturarea absorbției luminii unui laser poate fi obținută prin plasarea celulei cu absorbant în exteriorul cavității întrucît apare un „Lamb-dip” în câmpul undelor staționare



sau un „dip” în absorbție pentru o undă mai puțin intensă care se propagă în sens opus (§17.6 ; 17.5).

Folosind o celulă plasată în exteriorul cavității, se elimină influența absorbantului neliniar asupra frecvenței și amplitudinii oscilațiilor laserului, iar configurația spațială a câmpului undelor luminoase poate fi controlată și variată, obținându-se astfel optimizarea lărgimii și amplitudinii rezonanțelor înguste. De asemenea, astfel se evită „tîrîrea” frecvenței spre maximul liniei de câștig și se poate obține o absorbție dirijată.

Schema folosită în acest caz pentru stabilizarea frecvenței este aceeași cu cea prezentată în fig. 21.1, diferența constînd în faptul că frecvența poate fi modulată în afara cavității folosind un modulator special de fază.

În cazul unui laser cu He-Ne se poate folosi o celulă exterioară cu Ne, supusă unei descărcări continue, obținându-se astfel o stabilizare a unei singure frecvențe ( $\lambda = 6328 \text{ \AA}$ ) [161]. Cu ajutorul unui polarizor și a unei lame „sfert de undă” (izolator optic) se elimină influența undei care se propagă înapoi și se obține o undă circular polarizată în celula de absorbție. Poziția centrului liniei de absorbție poate fi variată cu ajutorul unui câmp magnetic variabil. Se obține un control al frecvenței laserului fără modulație și o reproductibilitate de ordinul  $10^{-9}$  care este limitată numai de deplasarea frecvenței centrului liniei de absorbție pentru diferiți curenți de descărcare.

Stabilizarea laserului cu  $\text{CO}_2$  pentru  $\lambda = 10,6 \text{ }\mu\text{m}$  poate fi făcută cu ajutorul unei rezonanțe înguste obținută în spectrul de absorbție al  $\text{SF}_6$  cu care este umplută celula cu absorbant. Absorbția puternică a  $\text{SF}_6$  pentru cîteva linii ale laserului cu  $\text{CO}_2$  permite variația presiunii cu  $10^{-3}$ — $10^{-2}$  torr și obținerea unor rezonanțe înguste a căror lărgimi variază între 0,3 și 0,1 MHz. În figura 21.2 este prezentată forma unei rezonanțe obținută în transmisie pentru o celulă cu  $\text{SF}_6$  și poziția relativă față de linia câștigului laserului cu  $\text{CO}_2$ .

Stabilizarea laserilor în frecvență cu ajutorul celulelor cu absorbant plasate atît în cavitatea laser, cît și în exteriorul ei nu poate fi aplicată în

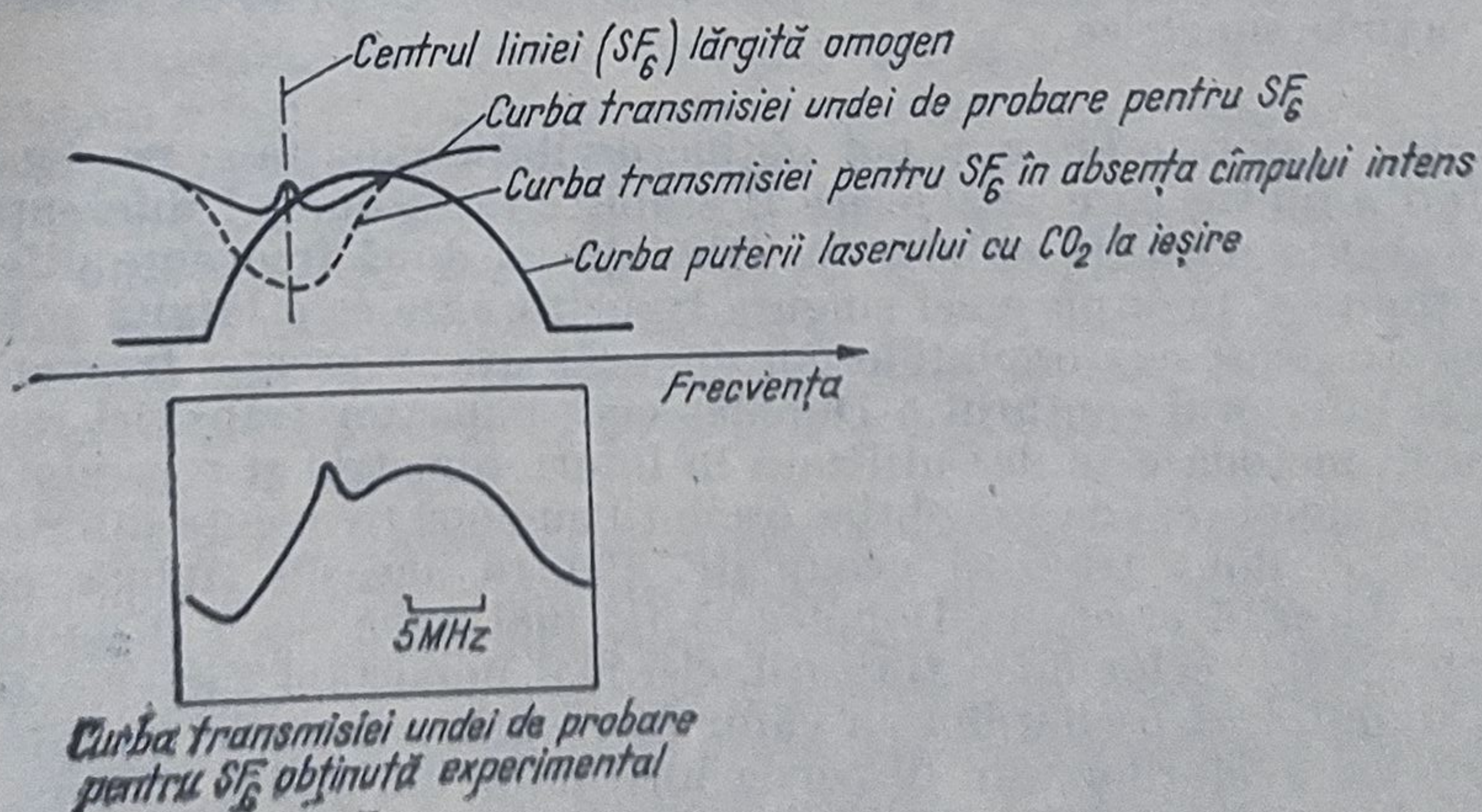


Fig. 21.2

cazul tranzițiilor cu coeficient de absorbție mic pentru care  $K_{ob}l_{ob} \ll 10^{-2}$  ( $K_{ob}$  este coeficientul de absorbție inițial pe unitatea de lungime, iar  $l_{ob}$  este lungimea celulei).



S-a observat că în urma interacției dintre o radiație laser intensă, cu o anumită frecvență și un atom care execută o tranziție lărgită prin efect Doppler, avînd frecvența egală cu cea a radiației laser, rezonanțele obținute în fluorescența intensă rezultată sînt foarte înguste și sînt determinate de saturarea coeficientului de absorbție în cîmpul undelor staționare [161] (cap. 17.4). În cazul absorbției  $\text{CO}_2$  la presiune scăzută, aceasta a fost saturată de o radiație intensă provenită de la un laser cu  $\text{CO}_2$ , iar radiația de fluorescență obținută de pe nivelul superior are  $\lambda = 4,3 \mu\text{m}$ . Sensibilitatea metodei este destul de mare, ținînd seama că tranzițiile între nivelele excitate ale moleculei de  $\text{CO}_2$  au loc cu un coeficient de absorbție de  $1,5 \cdot 10^{-6} \text{ cm}^{-1}$  la o temperatură de 300 K, iar stabilizarea în frecvență este de aproximativ  $10^{-11}$ .

O altă metodă utilizată pentru stabilizarea laserilor în frecvență este cea care folosește competiția între două unde care se propagă în sens contrar într-un laser inelar. Astfel, frecvențele a doi laseri independenți cu He-Ne și celulă cu  $\text{CH}_4$  aflat la o presiune de 10 mtorr, au fost stabilizate în urma competiției între rezonanțe, obținîndu-se o stabilitate în frecvență de  $5 \cdot 10^{-14}$ .

Competiția între rezonanțe mai poate avea loc și într-un laser cu cavitate liniară dacă se selectează două moduri axiale care sînt simetrice față de linia cîștigului. În urma cuplajului neliniar între aceste două moduri, competiția între rezonanțe dă naștere unei linii care are lărgimea mai mică decît lărgimea omogenă. Folosind un laser cu He-Ne și celulă cu  $\text{CH}_4$  s-a obținut o stabilizare în frecvență de ordinul  $3 \cdot 10^{-13}$  [161].

O altă metodă utilizată pentru stabilizarea laserilor în frecvență este cea care folosește autostabilizarea frecvenței. Autostabilizarea apare în urma fenomenului de „tîrîre” a frecvenței laserului spre centrul liniei de absorbție, rezultînd un maxim îngust în linia cîștigului efectiv [161]. Se elimină astfel fluctuațiile frecvenței laserului, operație care este dificil de realizat prin controlul automat al frecvenței maximului puterii.

### 21.1.3. Stabilizarea laserilor în frecvență cu ajutorul a două moduri axiale simetrice

Dacă într-o cavitate laser se pot obține oscilații simultane pe două frecvențe diferite dintre care una poate fi stabilizată, atunci și diferența celor două frecvențe poate fi stabilizată. Oscilații cu două frecvențe diferite pot fi obținute și în urma unei singure tranziții care este lărgită prin efect Doppler. În acest caz oscilațiile corespunzătoare diferenței frecvențelor se află în interiorul conturului Doppler corespunzător tranziției respective. Această metodă este des utilizată în interferometrie și reprezintă una din cele mai simple căi de a se obține oscilații cu două frecvențe diferite corespunzătoare la două tranziții necuplate. Pentru aceasta trebuie ca lărgimea liniei datorită efectului Doppler să fie mai mică decît distanța dintre centrele liniilor celor două tranziții. Cel mai important factor care influențează stabilizarea oscilațiilor a căror frecvență este egală cu diferența frecvențelor modurilor este dispersia anormală. Ea poate fi eliminată printr-o alegere potrivită a condițiilor de operare; de exemplu, dacă frecvența oscilației rezultante depășește cu mult lărgimea liniei cîștigului fiecărei tranziții, lungimea cavității poate fi astfel aleasă încît frecvențele să fie situate în centrele liniilor fiecărei tranziții.



În primele realizări experimentale s-a folosit un laser cu He-Ne și o celulă cu metan, ca absorbant [161]. Diferența frecvențelor între modurile axiale generate a fost de 450 MHz cu un acord continuu pentru frecvența generată de 100 MHz. Variind lungimea cavității, s-a obținut un maxim în puterea la ieșire cu o lărgime de 300 kHz și o eficiență de 3%.

## 21.2. Măsurarea unor constante fizice fundamentale prin metodele opticii neliniare

Metodele folosite pentru obținerea rezonanțelor înguste în optica neliniară permit o măsurare mult mai precisă a frecvențelor liniilor spectrale care sînt lărgite prin efect Doppler, deci și a constantelor fizice fundamentale care se bazează pe aceste măsurări. De asemenea, rezonanțele moleculare înguste au frecvență bine determinată și sînt des folosite la stabilizarea oscilațiilor laser în frecvență, aceasta asigurînd o acuratețe foarte înaltă măsurărilor constantelor fundamentale care necesită surse optice stabilizate în frecvență.

### 21.2.1. Măsurarea vitezei luminii

Măsurarea vitezei luminii poate fi făcută și prin măsurarea exactă a lungimii de undă și a frecvenței oscilațiilor luminoase. Una dintre metodele de măsurare directă și exactă a frecvenței oscilațiilor electromagnetice în domeniul optic se bazează pe transformarea frecvenței radiațiilor oscilatorilor din domeniul microundelor în frecvențe din domeniul vizibil al spectrului. Pentru aceasta sînt necesari laseri cu funcționare în regim continuu, stabilizați în frecvență, în domeniul microundelor și I.R. și de asemenea, elemente neliniare care să nu aibă inerție în aceste domenii.

Operația de mixare neliniară a radiației laser cu armonicile unui clistron a fost făcută în primele experiențe cu ajutorul unei diode cu siliciu [161]. Radiația laser intensă poate fi considerată ca oscilație de referință în detecția unui semnal slab provenit de la armonicile de ordin superior ale unui clistron. Folosind această metodă au fost măsurate frecvențele unor laseri cu HCN ( $\lambda = 337 \mu\text{m}$  și  $\lambda = 311 \mu\text{m}$ ) și DCN ( $\lambda = 194 \mu\text{m}$  și  $\lambda = 190 \mu\text{m}$ ) [161]. În ultimul caz frecvența laserului a fost heterodinată cu armonicile de ordinul 22 și 23 ale unui clistron care funcționa pe frecvența de 70 GHz.

O îmbunătățire substanțială a metodei prezentate mai înainte a fost obținută prin înlocuirea diodei cu siliciu cu un metal, neliniaritatea apărînd în punctul contactului mecanic dintre un filament metalic subțire ( $1-2 \mu\text{m}$ ) de tungsten și o suprafață de cîtiva nm de nichel. Acest dispozitiv (diodă cu contact) a fost plasat în exteriorul ghidului de undă, iar radiația laser a fost focalizată direct pe filament, lângă contact. Frecvența armonicii rezultată din diferența semnalelor mixate în domeniul microundelor a fost detectată în urma heterodinării cu un semnal provenit de la un clistron cu frecvența tot în domeniul microundelor și apropiată de aceasta [161]. Folosind astfel de montaje experimentale s-a obținut o mixare a semnalelor cu frecvențe foarte înalte situate în domeniul  $10^{14}\text{Hz}$ .



De asemenea, au fost măsurate frecvențele absolute ale unor laseri cu funcționare în regim continuu în  $\text{H}_2\text{O}$  ( $\lambda = 78 \mu\text{m}$  și  $\lambda = 28 \mu\text{m}$ ),  $\text{CO}_2$  (liniile  $P$  (18) și  $P$  (20) ale benzii cu  $\lambda = 10,6 \mu\text{m}$ ) și a laserului cu He-Ne cu  $\lambda = 3,39 \mu\text{m}$  [161].

În figura 21.3 este prezentat montajul experimental folosit pentru măsurarea frecvenței laserului cu He-Ne.

Operația de măsurare se realizează în mai multe etape. În primul rând a fost măsurată frecvența liniei  $R(10)$  a benzii cu  $\lambda = 10,6 \mu\text{m}$  a unui laser cu  $\text{CO}_2$ . Această măsurare include și măsurarea frecvențelor laserilor cu  $\text{HCN}$  ( $\lambda = 337 \mu\text{m}$ ) și  $\text{H}_2\text{O}$  ( $\lambda = 28 \mu\text{m}$ ). Frecvența armonicii a treia a laserului cu  $\text{CO}_2$  este apropiată de frecvența stabilizată a laserului cu He-Ne/ $\text{CH}_4$ . În al doilea rând a fost măsurată diferența frecvențelor a

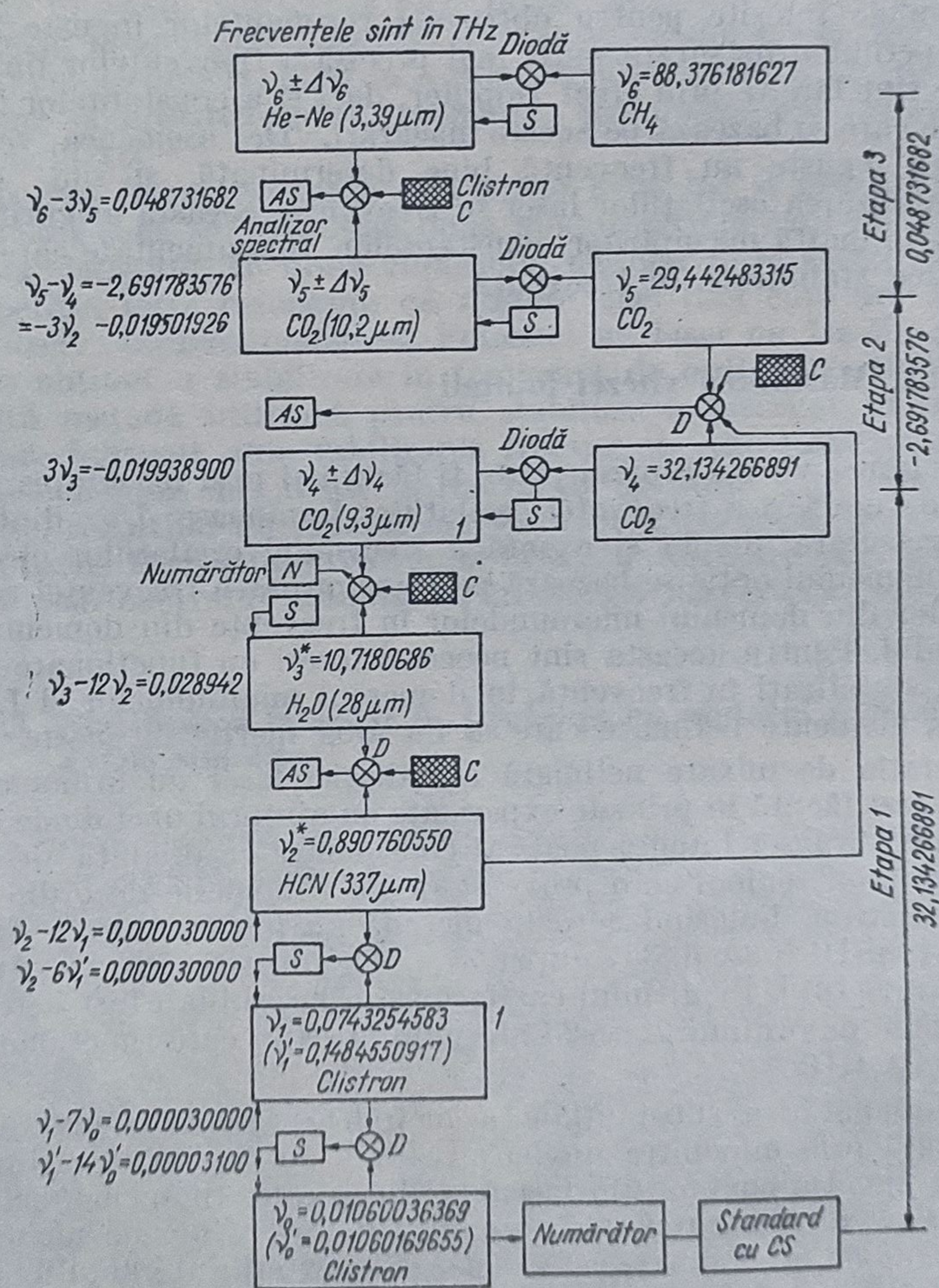


Fig. 21.3

două linii ale laserilor cu  $\text{CO}_2$  prin comparație cu diferența frecvențelor laserului cu  $\text{HCN}$  care are  $\lambda = 337 \mu\text{m}$ . Semnalele provenite de la trei laseri stabilizați în frecvență servesc ca oscilatori de referință pentru lase-



rul cu He-Ne și pentru cei doi laseri cu CO<sub>2</sub>. Scala de frecvență a fost calibrată cu ajutorul unui standard cu Cs. Frecvențele măsurate ale laserilor cu He-Ne și CO<sub>2</sub> sînt prezentate în tabelul 21.1.

Tabelul 21.1

Molecule	Linia	Frecvența (THz)	$\lambda(\mu\text{m})$
<sup>12</sup> C <sup>16</sup> O <sub>2</sub>	R(30)	29,442 483 315	10,18
<sup>12</sup> C <sup>16</sup> O <sub>2</sub>	R(10)	32,134 266 891	9,3
<sup>12</sup> CH <sub>4</sub>	R(7)	88,376 181 627	3,39

Măsurînd independent lungimea de undă a unui laser cu He-Ne/CH<sub>4</sub>, prin compararea interferometrică cu lungimea de undă a standardului internațional <sup>86</sup>Kr s-a obținut pentru  $\lambda_{\text{CH}_4} = 3,392231376 \mu\text{m}$ . Astfei, pentru viteza luminii s-a obținut valoarea  $c = 299\,792\,456,2 \text{ m/s}$  cu o acuratețe de  $\frac{\delta c}{c} = \pm 3,6 \cdot 10^{-9}$ .

#### 21.2.2. Determinarea constantei lui Rydberg și a frecvențelor de tranziție pentru atomul de hidrogen

Determinarea exactă a structurii și poziției liniilor spectrale joacă un rol foarte important pentru determinarea constantei lui Rydberg  $R$  și a lui  $R_\infty = \frac{me^4}{2\hbar^2}$ . Constanta  $R_\infty$  a fost determinată în majoritatea cazurilor cu ajutorul liniilor hidrogenului, a izotopilor săi și a heliului. Cel mai potrivit dintre aceste elemente este hidrogenul, pentru că în acest caz este posibilă o comparație între rezultatele obținute experimental și cele teoretice.

Fără a folosi rezonanțele înguste din optica neliniară, precizia măsurărilor este de  $\pm 0,01 \text{ cm}^{-1}$  [161] obținându-se pentru constanta  $R_\infty$  valoarea:  $R_\infty = 109737,312 \pm 0,007 \text{ cm}^{-1}$ , adică o precizie relativă de  $10^{-7}$ . Cea mai potrivită pentru măsurări este linia  $H_\alpha$  din seria Balmer a spectrului vizibil. Ea are o lărgime datorita efectului Doppler de aproape 6000 MHz, care maschează cele mai importante detalii ale structurii fine ale liniei.

Folosindu-se metodele spectroscopiei neliniare bazate pe intersecția nivelelor, în cazul cînd absorbția a fost saturată cu ajutorul unui laser acordabil în impulsuri, precizia în determinarea lungimii de undă a liniei  $H_\alpha$  ( $\lambda = 6563 \text{ \AA}$ ) a crescut foarte mult [161]. În figura 21.4, a este prezentată diagrama teoretică a structurii fine a liniei  $H_\alpha$ . Starea  $2^3S_{1/2}$  este cu 1058 MHz deasupra stării  $2^3P_{1/2}$ . Aceasta se explică în electrodinamica cuantică prin așa-numita deplasare Lamb și poate fi determinată experimental la temperatura camerei prin metodele absorbției neliniare (§ 17.4). În figura 21.4, b și c sînt prezentate spectrele obținute cu ajutorul meto-



delor folosite în spectroscopia liniară și respectiv absorbției saturate. Astfel măsurându-se lungimea de undă a componentelor liniei  $H_\alpha$ , prin metoda absorbției saturate cu o precizie de 1 MHz s-a obținut pentru constanta  $R_\infty$  valoarea

$$R_\infty = 109737,3143 \text{ cm}^{-1}$$

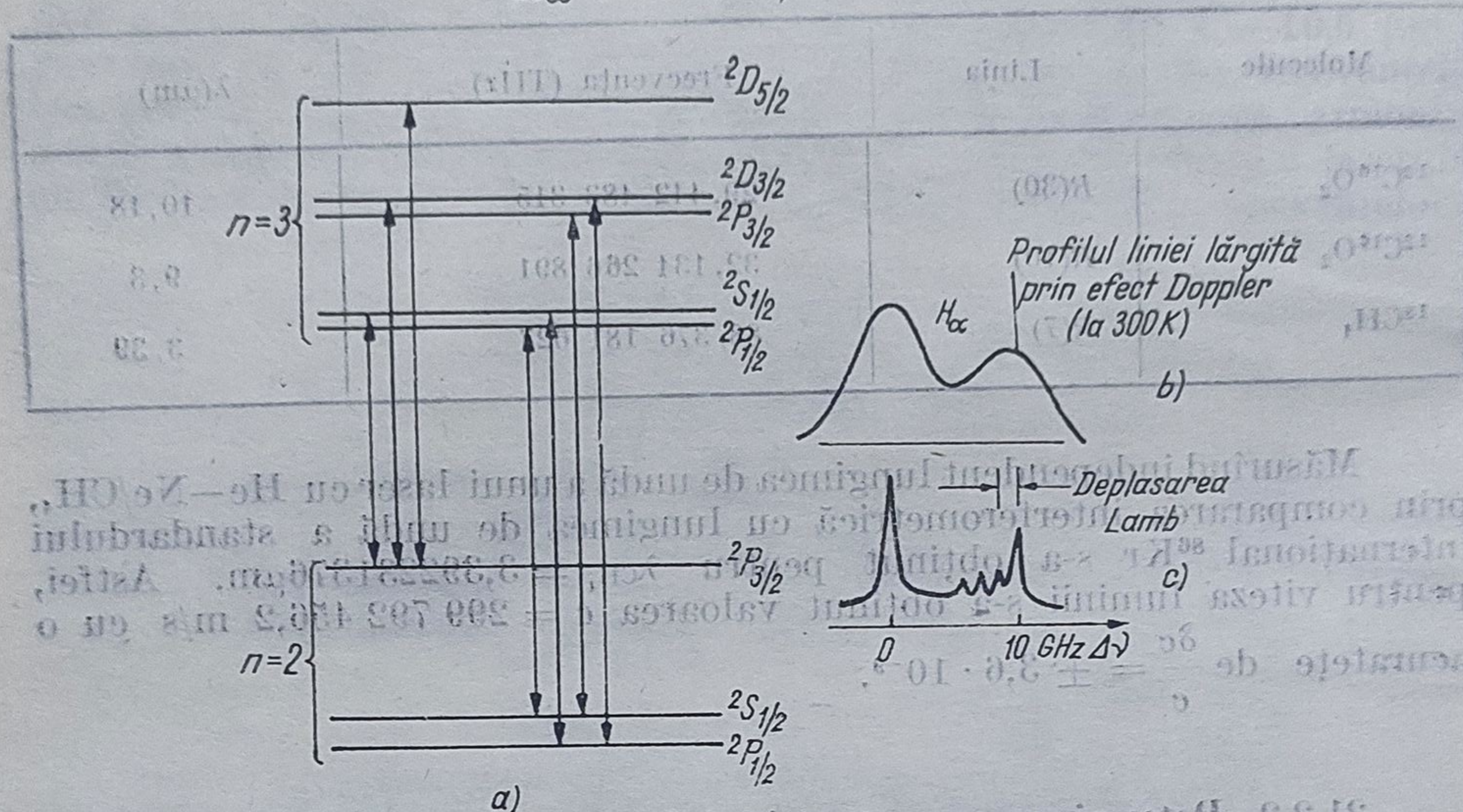


Fig. 21.4

cu o precizie relativă de  $1 \cdot 10^{-8}$ , care este cu cel puțin un ordin de mărime mai bună decât măsurătorile făcute anterior.

### 21.3. Determinarea constantelor atomice și moleculare prin utilizarea metodelor spectroscopiei moleculare

#### 21.3.1. Măsurarea timpilor de viață și a lărgimii naturale a nivelelor

Puterea de rezoluție obținută prin metodele spectroscopice clasice este mult diminuată atât de efectul Doppler, cât și de posibilitățile spectrale ale instrumentelor clasice. Întrucât în domeniul optic al spectrului lărgimea liniilor spectrale ale atomilor în stare gazoasă chiar și pentru presiuni mai mici de 0,1 torr are același ordin de mărime cu cea datorată ciocnirilor (10–100 MHz), se pierde informații legate de procesele de relaxare, măsurarea timpilor de viață ai nivelelor individuale făcându-se prin observarea directă a pierderilor rezultate din tranzițiile spontane. Metodele spectroscopice neliniare permit investigarea liniilor spectrale în interiorul conturului Doppler astfel că măsurarea timpilor de viață ai nivelelor se face mult mai precis, fiind determinați numai de lărgimea naturală a nivelelor implicate.

Primele investigații legate de măsurarea lărgimii rezonanțelor înguste au fost făcute pentru un laser cu He–Ne pentru lungimile de undă  $0,63 \mu\text{m}$  și  $1,15 \mu\text{m}$  corespunzătoare tranzițiilor  $3s_2 - 2p_1$  și  $2s_2 - 2p_1$ , la presiuni de aproximativ 1 torr. Lărgimea „Lamb-dip”-ului datorită ciocnirilor, măsu-



rată experimental, este de câteva ori mai mare decât lărgimea naturală a liniei 0,63  $\mu\text{m}$ . Pentru a obține valoarea lărgimii naturale trebuie extrapolată spre zero dependența de presiune a „Lamb-dip”-ului, care este de obicei liniară. Această extrapolare efectuată la presiuni mai mari poate reduce mult acuratețea determinărilor. Folosindu-se această metodă s-a obținut pentru lărgimea liniei 0,63  $\mu\text{m}$  a  $^{20}\text{Ne}$  valoarea de 12 MHz care este în bună concordanță cu valorile obținute prin alte metode [161]

Pentru a studia influența ciocnirilor asupra „Lamb-dip”-ului se poate folosi formula care dă dependența puterii laserului de frecvență (capitolul 17) [161]

$$P(\Omega) = A \frac{\eta - \exp(\Omega/ku)^2}{1 + \frac{a\gamma^2}{\Omega^2 + \gamma^2}} \quad (21.2)$$

unde  $\gamma$  este lărgimea liniei,  $\eta$  reprezintă excesul câștigului inițial peste valoarea maximă,

$$a = \frac{1}{1 + \tilde{\alpha}} \quad (21.3)$$

$\tilde{\alpha}$  fiind un parametru care depinde de constantele de relaxare ale nivelului, iar  $A$  este un coeficient de scală independent de frecvență.

Parametrii care intervin în relația (21.2) pot fi determinați experimental. Astfel, parametrul  $\eta$  poate fi determinat din raportul lungimilor coloanei de descărcare, corespunzătoare câștigului și pierderilor,  $\eta = \frac{l_2}{l_1}$ ,

iar parametrul Doppler din relația

$$ku = \frac{\Omega_t}{\sqrt{\ln \frac{l_2}{l_1}}}, \quad (21.4)$$

pentru  $ku \gg \gamma$ ,  $\Omega_t$  fiind frecvența pentru care generarea este întreruptă.

Parametrii  $\Omega_t$  și  $\gamma$  se obțin prin metoda aproximațiilor succesive. Pentru  $\Omega_t = 0$ , puterea corespunzătoare centrului liniei este

$$P_0 = A \frac{\eta - 1}{1 + a}. \quad (21.5)$$

Pentru un dezacord al frecvenței  $\Omega_a$ , pentru care puterea la ieșire este egală cu cea în centrul liniei  $P_0$  din relațiile (21.2), (21.5) se obține

$$a = \frac{\eta - 1}{\eta - \exp(\Omega_a/ku)^2} \left( 1 + \frac{a\gamma^2}{\gamma^2 - \Omega_a^2} \right) - 1. \quad (21.6)$$

Ținând seama că

$$\eta = \exp\left(\frac{\Omega_t}{ku}\right)^2 \quad (21.7)$$

în aproximația de ordin zero se obține

$$a^{(0)} = \frac{\exp(\Omega_a/ku)^2 - 1}{\exp(\Omega_t/ku)^2 - \exp(\Omega_a/ku)^2}. \quad (21.8)$$



Cunoscând valoarea lui  $a^{(0)}$  se poate calcula puterea  $P(\gamma)$  corespunzătoare unui dezacord  $\Omega = \gamma$  din relația

$$P(\gamma) = P_0 \frac{1 + a^{(0)}}{1 + \frac{a^{(0)}}{2}}. \quad (21.9)$$

Cu valoarea lui  $P(\gamma)$  se poate determina valoarea  $\gamma^{(0)}$ , apoi a lui  $a^{(1)}$  respectiv  $\gamma^{(1)}$  ș.a.m.d. Întrucât corecțiile date de aproximațiile superioare sînt limitate de acuratețea experiențelor, pentru determinarea lărgimii liniei se folosește de obicei aproximația de ordinul întâi.

Pentru investigarea experimentală a formei „Lamb-dip”-ului în vederea obținerii unei precizii cît mai înalte trebuie prevenite instabilitățile curentului de descărcare, trebuie redusă la minim influența vibrațiilor și de asemenea trebuie obținută o dependență liniară a frecvenței de lungimea cavității fără ca să fie afectată calitatea cavității.

Metoda absorbției neliniare poate fi folosită pentru celule de absorbție plasate atît în interiorul cavității, cît și în exteriorul său. În cazul absorbției slabe, plasarea celulei în interiorul cavității dă rezultate mult mai bune.

În figura 21.5 este prezentată instalația experimentală folosită pentru investigarea saturării absorbției într-o celulă cu absorbant He—Ne plasată în exteriorul cavității într-un cîmp magnetic, cu ajutorul unei radiații de probare care se propagă în sens opus celei de pompaj provenită de la un laser cu He—Ne.

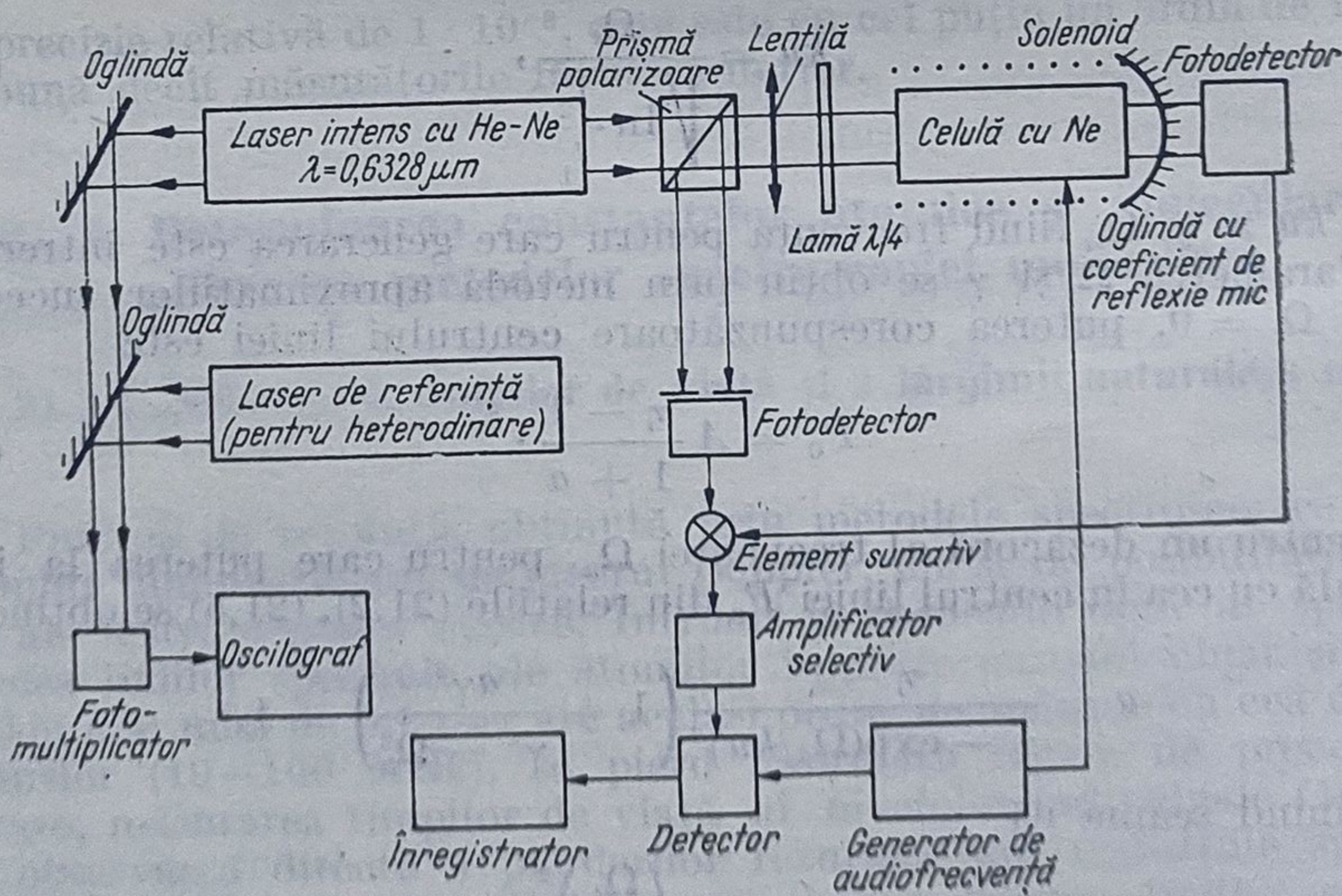


Fig. 21.5

În urma acordării frecvenței laserului se pot obține curbele de absorbție a radiației de probare (fig. 21.6, a), precum și a celei de dispersie (fig. 21.6, b).



Ecartul de frecvență  $2\Delta\Omega$  (fig. 21.6, b) este  $\frac{\Delta\omega}{\sqrt{3}}$ , unde  $\Delta\omega$  este lărgimea „dip”-ului obținut în absorbția neliniară.

De asemenea, mai poate fi măsurat coeficientul absorbției saturate pentru o singură trecere a radiației de pompaj prin celulă,  $K$ , precum și a

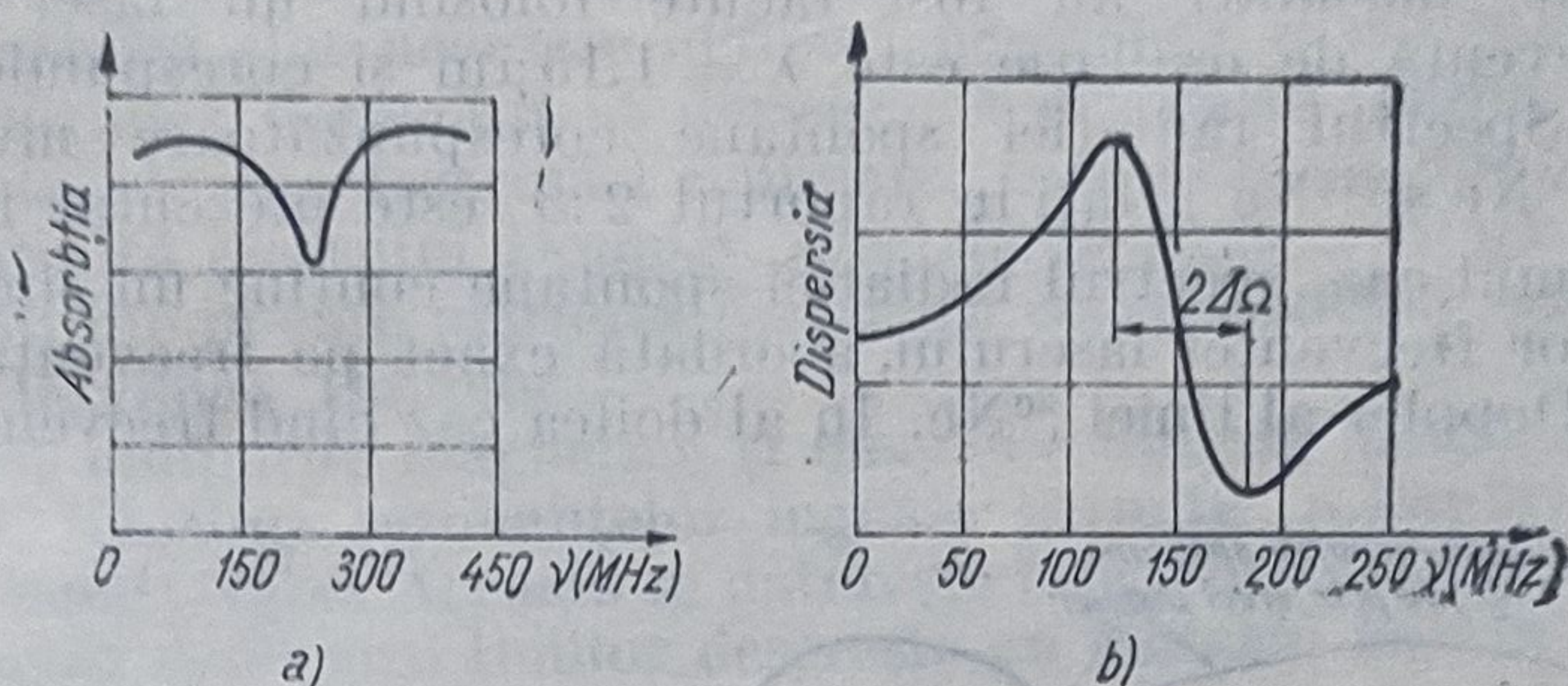


Fig. 21,6

celelalte nesaturate corespunzător radiației de probare  $K_0$ , care permit determinarea parametrului de saturație  $G$  din relația (cap. 17)

$$K = \frac{K_0}{\sqrt{1+G}}. \quad (21.10)$$

Dacă nu se posedă nici o informație în legătură cu timpii de viață ai nivelelor, prin experiențe nu prea complicate, bazate pe schimbarea relativă a populațiilor nivelelor sub acțiunea unui câmp, se poate determina raportul timpilor de viață ai nivelelor.

Raportul variațiilor populațiilor nivelelor  $\Delta n_1$  și  $\Delta n_2$  sub acțiunea unei radiații este egal cu raportul timpilor de viață corespunzători nivelelor respective

$$\frac{\Delta n_1}{\Delta n_2} = \frac{\tau_1}{\tau_2}. \quad (21.11)$$

Variațiile suferite de populații sînt legate de schimbarea intensității radiațiilor spontane prin relația

$$\frac{\Delta I_1}{\Delta I_2} = \frac{\tau_1}{\tau_2} \frac{A_1 \omega_{01}}{A_2 \omega_{02}} \quad (21.12)$$

unde  $A_1$  și  $A_2$  sînt probabilitățile tranzițiilor spontane corespunzătoare nivelelor, iar  $\omega_{01}/\omega_{02}$  este raportul frecvențelor tranzițiilor. Raportul  $A_1/A_2$  poate fi măsurat în anumite condiții în care câștigul este zero. În acest caz raportul intensităților absolute ale liniilor este egal cu cel al probabilităților de tranziție  $A_1/A_2$ , rezultînd astfel raportul  $\tau_1/\tau_2$ .

Folosindu-se această tehnică, au fost determinate probabilitățile de tranziție corespunzătoare tranzițiilor  $3s_2 - 2p_4$  ( $\lambda = 0,63 \mu\text{m}$ ) și  $2p_4 - 1s_4$  ( $\lambda = 0,60 \mu\text{m}$ ) pentru Ne [161].



### 21.3.2. Investigarea structurii nivelelor. Structura izotopică

Odată cu apariția și dezvoltarea laserilor acordabili s-a creat posibilitatea investigării prin metodele spectroscopiei neliniare a structurii liniilor de absorbție mascate de efectul Doppler.

Primele măsurări au fost făcute folosind un laser cu He-Ne a cărui frecvență de oscilație este  $\lambda = 1,15 \mu\text{m}$  și corespunde tranziției  $2p_1 - 2s_2$ . Spectrul radiației spontane corespunzătoare nivelului  $2p_1$  al izotopilor  $^{20}\text{Ne}$  și  $^{22}\text{Ne}$  aflați în raportul 2:3 este prezentat în fig. 21.7.

În primul caz, spectrul radiației spontane conține un singur maxim corespunzător frecvenței laserului, acordată exact pe frecvența centrului conturului Doppler al liniei  $^{20}\text{Ne}$ . În al doilea caz când frecvența laserului

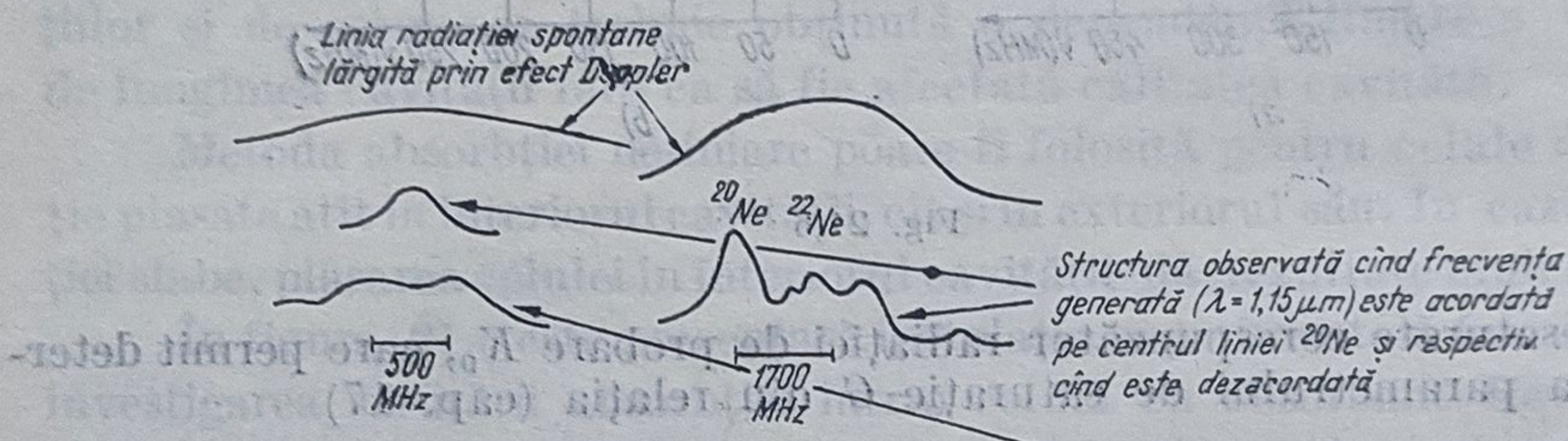


Fig. 21.7

nu mai este acordată pe centrul liniei se obțin două maxime determinate de acțiunea cîmpului undelor staționare asupra tranzițiilor cuplate care modifică distribuția după viteze a atomilor de  $^{20}\text{Ne}$  pe nivelul  $2p_1$  (fig. 21.7). Când frecvența laserului care conține un amestec de izotopi este acordată pe centrul liniei izotopului  $^{20}\text{Ne}$ , spectrul radiației spontane conține trei maxime: unul datorită  $^{20}\text{Ne}$  nedeplasat și alte două datorită  $^{22}\text{Ne}$  (fig. 21.7).

Întrucît centrul liniei pentru  $^{22}\text{Ne}$  se află la mijlocul distanței dintre celelalte două maxime se poate măsura deplasarea izotopică a liniilor  $^{20}\text{Ne}$  și  $^{22}\text{Ne}$  pentru linia cu  $\lambda = 6096 \text{ \AA}$ . Valoarea acestei deplasări este de  $1706 \pm 30 \text{ MHz}$ , iar pentru linia  $1,15 \mu\text{m}$  deplasarea este de  $257 \pm \pm 8 \text{ MHz}$  frecvența izotopului  $^{20}\text{Ne}$  fiind deplasată spre roșu.

Cu ajutorul radiației de pompaj provenită de la un laser cu He-Ne ( $\lambda = 1,15 \mu\text{m}$ ) de mare putere, focalizată pe o celulă cu gaz la presiunea de 0,1 torr plasată în exteriorul cavității, a fost determinată structura hiperfină a nivelelor  $1s_1$ ,  $2p_1$  și  $2s_2$  ale izotopului  $^{21}\text{Ne}$  (fig. 21.8)

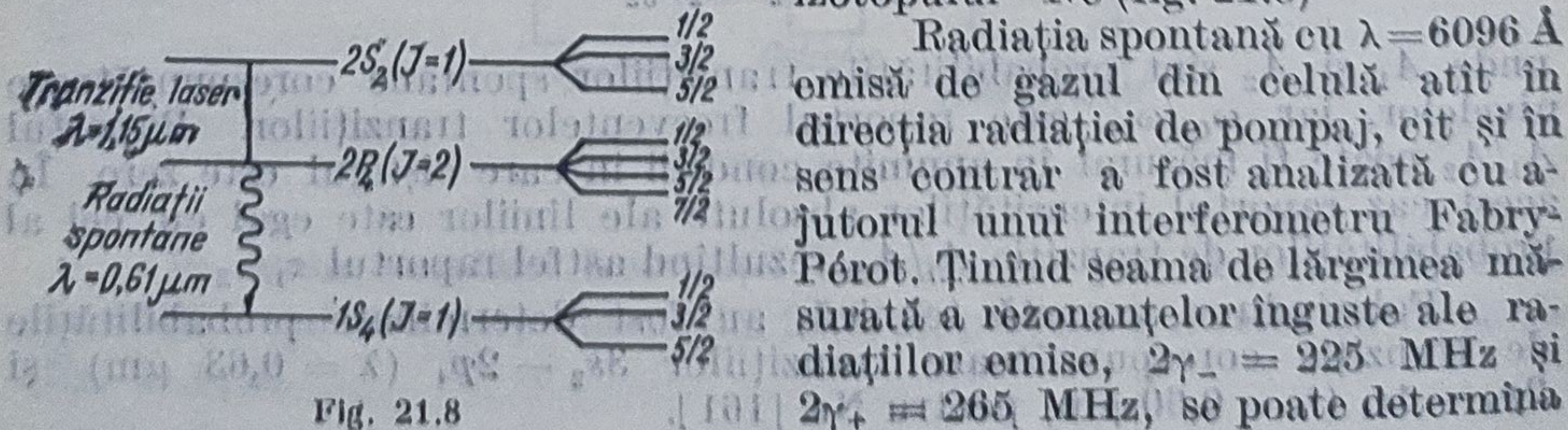


Fig. 21.8

Radiația spontană cu  $\lambda = 6096 \text{ \AA}$  emisă de gazul din celulă atît în direcția radiației de pompaj, cît și în sens contrar a fost analizată cu ajutorul unui interferometru Fabry-Pérot. Ținînd seama de lărgimea măsurată a rezonanțelor înguste ale radiațiilor emise,  $2\gamma_- = 225 \text{ MHz}$  și  $2\gamma_+ = 265 \text{ MHz}$ , se poate determina



momentul de cuadрупol al nucleului izotopului  $^{21}\text{Ne}$ ,  $Q = +0,1029 \pm \pm 0,0075$  barn care este în bună concordanță cu valoarea calculată teoretic [161].

### 21.3.3. Studiul efectelor Zeeman și Stark

Pentru a pune în evidență efectele Zeeman și Stark în domeniul optic al spectrului sînt necesare cîmpuri magnetice și electrice puternice pentru ca mărimea despicării să depășească cel puțin lărgimea Doppler. Folosind metodele spectroscopiei neliniare, care elimină lărgimea liniilor spectrale datorită efectului Doppler, efectele Zeeman și Stark pot fi studiate în condițiile în care mărimea despicării componentelor este mult mai mică decît lărgimea Doppler.

Întrucît cîmpurile magnetice și electrice intense modifică frecvența de tranziție, folosirea rezonanțelor înguste permite măsurări mult mai precise în cîmpuri slabe. Aceasta se datorește faptului că mărimea cîmpului exterior necesar deplasării liniilor descrește cu factorul  $ku/\gamma$  în comparație cu spectroscopia liniară.

Despicarea Zeeman a nivelelor atomilor de Xe dintr-o celulă situată în exteriorul cavității, de exemplu, [161] poate fi măsurată și prin metodele folosite în spectroscopia tranzițiilor cuplate (cap. 17). Astfel, utilizînd pentru excitație două radiații corespunzătoare la două moduri axiale ale unui laser cu Xe, între care diferența frecvențelor este  $\Delta$ , se observă o rezonanță neliniară cînd diferența  $\Delta$  este egală cu diferența frecvențelor  $\omega_1 - \omega_2$  între două subnivele ale Xe, indusă de cîmpul magnetic exterior (fig. 21.9).

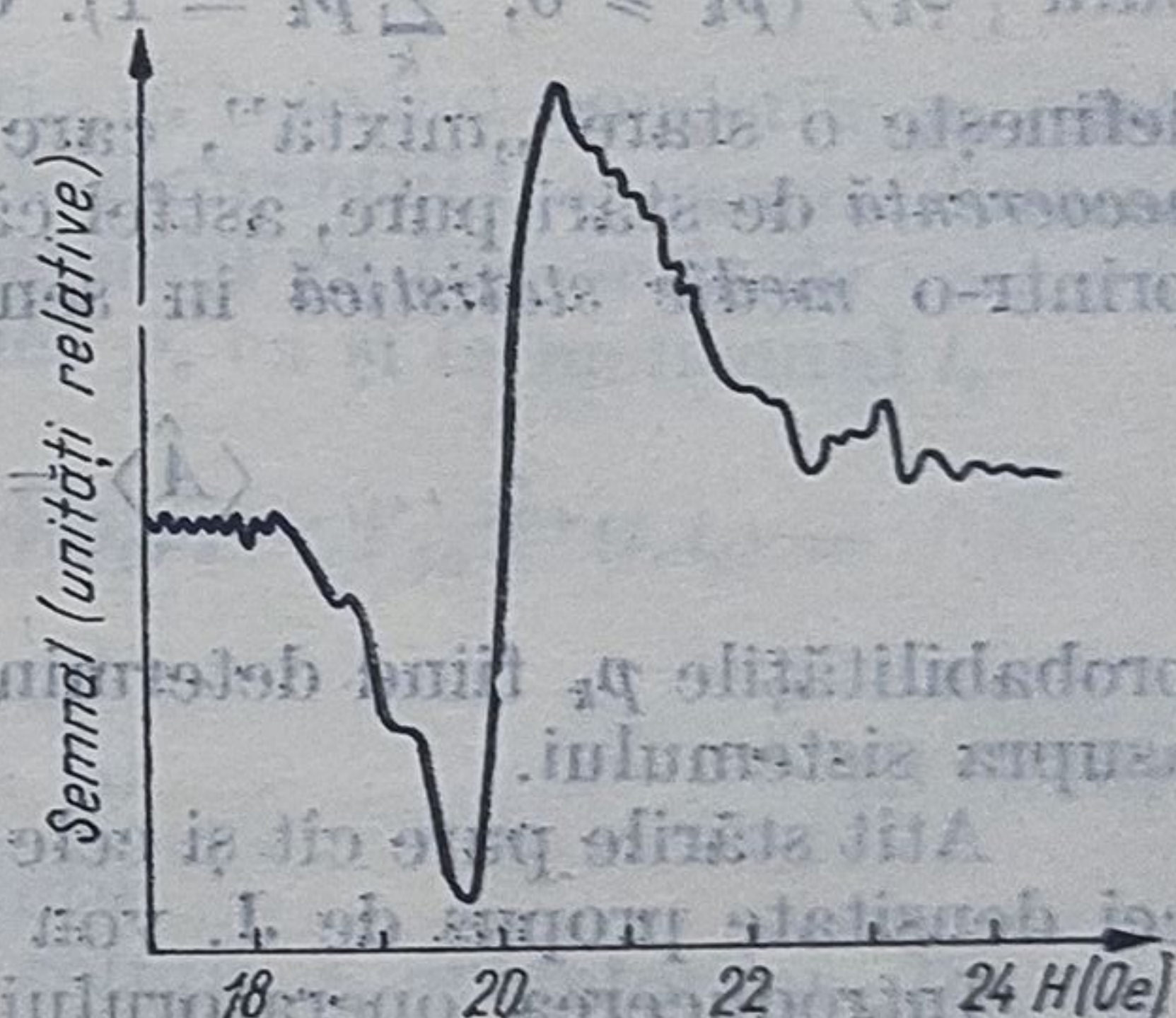


Fig. 21.9

Lărgimea semnalului la rezonanță este  $\gamma = 0,6$  MHz, fiind cu cîteva ordine de mărime mai mică decît lărgimea Doppler întrucît este determinată numai de lărgimile finite ale nivelelor implicate.



## ANEXE

### A1. MATRICEA DENSITATE

Pe lângă stările pure, în studiul sistemelor cuantice intervin în cazul general și stări mixte sau amestecuri de stări. Stările mixte implică absența posibilității unor măsurări maxime asupra sistemelor cuantice, astfel că informația noastră asupra acestora este incompletă.

De exemplu, pentru un ansamblu de  $N$  sisteme cuantice ( $N \rightarrow \infty$ ) ale căror stări pure  $|\psi_i\rangle$  nu sînt cunoscute cu precizie, singura informație posibilă despre un anumit sistem este probabilitatea  $p_k$  de a fi în starea pură  $|\psi_k\rangle$  ( $p_k \geq 0$ ,  $\sum_k p_k = 1$ ). Ca urmare, pentru sistemul considerat se definește o stare „mixtă”, care se poate reprezenta printr-o *superpoziție necoerentă* de stări pure, astfel că valoarea medie a unui operator se obține printr-o *medie statistică* în sens clasic

$$\langle \hat{A} \rangle = \sum_k p_k \langle \psi_k | \hat{A} | \psi_k \rangle \quad (A\ 1.1)$$

probabilitățile  $p_k$  fiind determinate, de asemenea, prin măsurări efectuate asupra sistemului.

Atît stările pure cît și cele mixte pot fi tratate cu formalismul matricei densitate propus de J. von Neumann.

Introducerea operatorului densitate se poate face scriind expresia (A 1.1) a valorii medii a unui operator  $\hat{A}$  cu ajutorul operatorului identitate

$$\sum_n |u_n\rangle \langle u_n| = \hat{I} \quad (A\ 1.2)$$

astfel

$$\begin{aligned} \langle \hat{A} \rangle &= \sum_n p_n \langle \psi_n | \hat{A} | u_k \rangle \langle u_k | \psi_n \rangle = \\ &= \sum_k p_n \langle u_k | \psi_n \rangle \langle \psi_n | \hat{A} | u_k \rangle = \sum_k \langle u_k | \hat{\rho} \hat{A} | u_k \rangle, \end{aligned} \quad (A\ 1.3)$$

unde prin definiție

$$\hat{\rho} = \sum_n p_n | \psi_n \rangle \langle \psi_n | \quad (A\ 1.4)$$

reprezintă *operatorul densitate*. Relația de calcul a valorii medii (A 1.3) scrisă sub forma

$$\langle A \rangle = \text{Urm} (\hat{\rho} \hat{A}) \quad (A\ 1.5)$$

reprezintă o altă definiție echivalentă a operatorului densitate. Pentru o stare pură operatorul densitate degenerază într-un operator de proiecție.



Operatorul  $\hat{\rho}$  este hermitic

$$\langle \psi_1 | \hat{\rho} | \psi_2 \rangle = \langle \psi_2 | \hat{\rho} | \psi_1 \rangle^* \quad (A 1.6)$$

și este normat la unitate

$$\text{Urm}(\hat{\rho}) = 1; \quad (A 1.7)$$

dacă

$$\text{Urm}(\hat{\rho}^2) = 1, \text{ starea este pură.} \quad (A 1.8)$$

În ultimul caz  $(\hat{\rho}^2)_{nm} = \rho_{mn}$ ; matricea densitate pentru starea pură este diagonală avînd o singură valoare proprie egală cu unitatea, celelalte fiind nule; elementele diagonale ale matricei densitate  $\hat{\rho}$  reprezintă probabilitățile ca un sistem din ansamblu să fie caracterizat de stările proprii  $|u_n\rangle$ ; întrucît  $\hat{\rho}$  este atît un „înlocuitor” al vectorilor de stare cît și observabilă (este hermitic, pozitiv definit, avînd urma finită), schimbarea reprezentării se face după regula cunoscută

$$\hat{\rho}' = \hat{U}^{-1} \hat{\rho} \hat{U} \quad (A 1.9)$$

unde  $\hat{U}$  este un operator unitar.

Dacă se consideră un amestec de stări  $|\psi_n\rangle$  avînd ponderile  $p_n$  care caracterizează starea dinamică a sistemului la momentul  $t_0$  și care evoluează în timp, înseamnă că la momentul  $t > t_0$  sistemul va fi descris de vectorii de stare  $|\psi_n\rangle_t$ , cu aceleași ponderi statistice  $p_n$  ca și la momentul  $t_0$

$$\begin{aligned} \hat{\rho}_t &= \sum_n |\psi_n\rangle_t p_n \langle \psi_n|_t = \sum_n \hat{T}(t, t_0) |\psi_n\rangle_0 p_n \langle \psi_n|_0 \hat{T}^+(t, t_0) = \\ &= \hat{T}(t, t_0) \hat{\rho}_0 \hat{T}^+(t, t_0) \end{aligned} \quad (A 1.10)$$

unde  $\hat{T}(t, t_0)$  este operatorul unitar de evoluție.

Dacă se ține seama de ecuația de evoluție a operatorilor  $\hat{T}(t, t_0)$  și  $\hat{T}^+(t, t_0)$  rezultă

$$i\hbar \frac{d\hat{\rho}}{dt} = [\hat{H}, \hat{\rho}] \quad (A 1.11)$$

numită *ecuația Schrödinger pentru operatorul densitate*, care formal se identifică, pînă la semnul comutatorului, cu ecuația Heisenberg pentru operatori.

De exemplu, în teoria semicuantică a laserilor, ecuațiile de polarizare și de populații se obțin utilizîndu-se ecuațiile de mișcare pentru elementele de matrice ale operatorului densitate, datorită relației

$$\langle \dot{\hat{A}} \rangle = \text{Urm} [\hat{\rho} \dot{\hat{A}}] \quad (A 1.12)$$

obținută din (A 1.5) pentru operatorii care nu sînt funcții explicite de timp

## A2. CUANTIFICAREA CÎMPURILOR

Cuantificarea cîmpurilor utilizează tipuri noi de operatori cuantici, cum sînt operatorii *de creare* (emisie), *de anihilare* (absorbție) sau *operatorul  $\hat{N}$*  al numărului de particule ale cîmpului.



Utilizându-se relațiile de comutare (A2.6) se poate scrie

$$\hat{a}_k^+ \hat{N}_k |\Phi\rangle = \hat{a}_k^+ (\hat{a}_k \hat{a}_k^+ - 1) |\Phi\rangle \quad (A\ 2.10)$$

$$\text{sau } \hat{N}_k (\hat{a}_k^+ |\Phi\rangle) = (n_k + 1) (\hat{a}_k^+ |\Phi\rangle) \quad (A\ 2.11)$$

$$\text{și analog } \hat{N}_k (\hat{a}_k |\Phi\rangle) = (n_k - 1) (\hat{a}_k |\Phi\rangle). \quad (A\ 2.12)$$

Prin urmare, dacă  $|\Phi\rangle$  corespunde valorii proprii  $n_k$ ,  $\hat{a}_k^+ |\Phi\rangle$  corespunde valorii proprii  $(n_k + 1)$ , iar  $\hat{a}_k |\Phi\rangle$  valorii proprii  $(n_k - 1)$ . Dacă se notează cu  $|\Phi_0\rangle$  vectorul de stare corespunzător valorii proprii  $n_k = 0$ , conform ecuației  $\hat{N}_k |\Phi_0\rangle = 0$ , prin aplicarea repetată a operatorului  $\hat{a}_k^+$  vectorului de stare  $|\Phi_0\rangle$  se obține spectrul vectorilor proprii  $|\Phi_s\rangle$ . Conform cu (A2.11), spectrul valorilor proprii  $n_k$  ale ecuației (A2.8) va fi format

din numerele întregi nenegative:  $0, 1, 2, \dots, s$ . Se constată că operatorii  $\hat{N}_k$  corespunzători operatorilor  $\hat{a}_k$  satisfac relațiile de comutare

$$[\hat{N}_k, \hat{N}_l] = 0 \quad (A\ 2.13)$$

deci alcătuiesc un set complet de observabile comutative ale câmpului. Fie

$$|\Phi_N\rangle = |\Phi_{N_1, N_2, N_3, \dots, N_k, \dots}\rangle = |n_1, n_2, \dots, n_k, \dots\rangle = |n\rangle \quad (A\ 2.14)$$

vectorii proprii comuni ai operatorilor  $\hat{N}_k$  astfel că

$$|\Phi_0\rangle = |0, 0, 0, \dots\rangle \quad (A\ 2.15)$$

Legătura dintre  $|\Phi_N\rangle$  și  $|\Phi_0\rangle$  este dată de relația

$$|\Phi_N\rangle = \Lambda (\hat{a}_1^+)^{n_1} (\hat{a}_2^+)^{n_2} \dots (\hat{a}_k^+)^{n_k} \dots |\Phi_0\rangle, \quad (A\ 2.16)$$

unde  $\Lambda$  este o constantă de normare

$$\Lambda = (n_1! n_2! \dots n_k! \dots)^{1/2}. \quad (A\ 2.17)$$

Operatorii  $\hat{N}_k$ , deci și  $\hat{N}$  sînt diagonali. Pentru stabilirea semnificației fizice a operatorilor  $\hat{N}_k$ ,  $\hat{a}_k$  și  $\hat{a}_k^+$  se evaluează expresia (A 2.3) scrisă operațional

$$\hat{H} = \sum_k \hat{a}_k^+ \hat{a}_k E_k = \sum_k \hat{N}_k E_k = \sum_k n_k E_k. \quad (A\ 2.18)$$

Rezultă că operatorul  $\hat{N} = \sum_k \hat{N}_k$

$$\hat{N} = \int \psi^+ \psi d\tau = \sum_k \hat{N}_k \quad (A\ 2.19)$$

este operatorul „numărului de particule” pentru câmp și caracterizează starea de excitare a câmpului de undă. Totodată, conform ecuațiilor

$$\hat{a}_k^+ |n_1, n_2, \dots, n_k, \dots\rangle = \sqrt{n_k + 1} |n_1, n_2, \dots, n_k + 1, \dots\rangle \quad (A\ 2.20)$$

$$\hat{a}_k |n_1, n_2, \dots, n_k, \dots\rangle = \sqrt{n_k} |n_1, n_2, \dots, n_k - 1, \dots\rangle. \quad (A\ 2.21)$$



### A2.1. Cuantificarea cîmpului de undă

Pe baza analogiei formale dintre cîmpul de undă Schrödinger  $\psi$  și cîmpul electromagnetic descris de vectorii  $\mathbf{E}$  și  $\mathbf{B}$  se poate interpreta ecuația lui Schrödinger ca fiind o ecuație de cîmp, mărimile  $\psi(\mathbf{r})$  desemnînd gradele de libertate, în număr infinit, ale cîmpului corespunzător,  $\mathbf{r}$  fiind o variabilă continuă. Notînd  $\mathcal{L} = \mathcal{L}(\psi, \text{grad } \psi, \dot{\psi}, t)$  densitatea de lagrangeian a cîmpului de undă  $\psi$ , lagrangeianul cîmpului este dat de expresia:

$$L = \int \mathcal{L}(\psi, \text{grad } \psi, \dot{\psi}, t) d\tau \quad (A 2.1)$$

unde  $d\tau = dx dy dz$ . Impulsul conjugat este

$$\pi(\mathbf{r}, t) = \frac{\partial L}{\partial \dot{\psi}(\mathbf{r}, t)} = i\hbar \psi^*(\mathbf{r}, t) \quad (A 2.2)$$

astfel încît hamiltonianul cîmpului se scrie

$$H(t) = \int \pi(\mathbf{r}, t) \dot{\psi}(\mathbf{r}, t) d\tau - L. \quad (A 2.3)$$

În vederea cuantificării cîmpului de undă, li se asociază variabilelor canonice  $\psi(\mathbf{r})$  și  $\pi(\mathbf{r})$  operatori cuantici care acționează în spațiul Hilbert. Este util să se considere dezvoltarea cîmpului de undă  $\psi$  în raport cu un set ortonormat de funcții proprii,  $u_k(\mathbf{r})$

$$\hat{\psi}(\mathbf{r}, t) = \sum_k \hat{a}_k(t) u_k(\mathbf{r}) \quad (A 2.4)$$

astfel că  $\hat{a}_k(t)$  reprezintă, de asemenea, operatori. Algebrele operatorilor  $\hat{\psi}(\mathbf{r}, t)$  și  $\hat{\pi}(\mathbf{r}, t)$  pot fi de comutare sau anticomutare, după cum sistemele cuantice studiate sînt alcătuite din bosoni sau fermioni.

a) *Cuantificarea cîmpului de undă pentru sistemele de bosoni.* Postulatul cuantificării se generalizează pentru operatorii asociați variabilelor canonice ale cîmpului de undă sub forma

$$[\hat{\psi}(\mathbf{r}, t), \hat{\psi}(\mathbf{r}', t)] = [\hat{\pi}(\mathbf{r}, t), \hat{\pi}(\mathbf{r}', t)] = 0, \quad (A 2.5)$$

$$[\hat{\psi}(\mathbf{r}, t), \hat{\pi}(\mathbf{r}', t)] = i\hbar \delta(\mathbf{r}, \mathbf{r}')$$

Ținînd seama de (A2.2) și de (A2.4)

$$[\hat{a}_k, \hat{a}_l] = [\hat{a}_k^+, \hat{a}_l^+] = 0, [\hat{a}_k, \hat{a}_l^+] = \delta_{kl} \quad (A 2.6)$$

unde  $\hat{a}_k^+$  este operatorul conjugat-hermitic al lui  $\hat{a}_k$ .

Cu ajutorul operatorilor  $\hat{a}_k$  și  $\hat{a}_k^+$  se poate defini operatorul

$$\hat{N}_k = \hat{a}_k^+ \hat{a}_k \quad (A 2.7)$$

ale căruia valori proprii  $n_k$ , date de ecuația

$$\hat{N}_k |\Phi\rangle = n_k |\Phi\rangle, \quad (A 2.8)$$

sînt nenegative.

$$n_k = \langle \Phi | \hat{a}_k^+ \hat{a}_k | \Phi \rangle = \langle \hat{a}_k \Phi | \hat{a}_k \Phi \rangle \geq 0. \quad (A 2.9)$$



Operatorii  $\hat{a}_k^+$  și  $\hat{a}_k$  pot fi interpretați ca operatori de creare, respectiv de anihilare, ținându-se seama de efectul aplicării lor asupra vectorilor de stare  $|\Phi_N\rangle$ .

Întrucât numerele de particule în stările  $|u_k\rangle$  sînt arbitrare, rezultă că formalismul cîmpului de undă dezvoltat mai sus descrie sistemele de bosoni.

Vectorii de stare  $|\Phi_k\rangle$  sînt vectori de stare ai cîmpului care joacă rolul funcțiilor de undă, fiind exprimabili prin funcționale în raport cu numerele de particule  $n_k$ . Dacă se construiesc stările

$$|\psi_F(\mathbf{r}_1, \mathbf{r}_2, \dots, \mathbf{r}_s)\rangle = \frac{1}{\sqrt{s!}} \psi^+(\mathbf{r}_1, t) \psi^+(\mathbf{r}_2, t) \dots \psi^+(\mathbf{r}_s, t) |\Phi_0\rangle \quad (A\ 2.22)$$

numite „stări Fock”, pe baza relațiilor de comutare și a dezvoltării (A 2.4) se poate arăta că

$$N|\psi_F\rangle = s|\psi_F\rangle \quad (A\ 2.23)$$

adică  $|\psi_F\rangle$  descrie starea cîmpului de undă cuantificat, cu  $s$  particule localizate în punctele  $\mathbf{r}_1, \mathbf{r}_2, \dots, \mathbf{r}_s$ . Spațiul subîntins de stările Fock ortonormate se numește *spațiul Fock*.

Reprezentarea particulară utilizată mai sus, în care operatorii comutativi  $\hat{N}$  și  $\hat{N}_k$  sînt diagonali, se numește *reprezentarea  $N$*  și prezintă un interes deosebit în teoria cuantică a cîmpului.

Ecuția de mișcare pentru o observabilă cuantică  $\hat{A}$ , împreună cu hamiltonianul cîmpului de undă cuantificat (A 2.18) și relațiile de comutare (A 2.5) alcătuiesc *ecuațiile cuantice ale cîmpului de undă pentru sistemele de bosoni*.

b) *Cuantificarea cîmpului de undă pentru sistemele de fermioni*. Întrucât sistemele de fermioni ascultă de principiul de excluziune al lui Pauli, teoria dezvoltată mai sus pentru sistemele de bosoni trebuie modificată astfel încît să rezulte pentru operatorul numărului de particule  $\hat{N}$  numai valorile proprii 0 și 1, ceea ce se obține dacă se înlocuiesc relațiile de comutare cu relațiile de anticomutare corespunzătoare

$$[\hat{a}_k, \hat{a}_l]_+ = [\hat{a}_k^+ \hat{a}_l^+]_+ = 0, [\hat{a}_k, \hat{a}_l^+]_+ = \hat{a}_k \hat{a}_l^+ + \hat{a}_l^+ \hat{a}_k = \delta_{kl} \quad (A\ 2.24)$$

$$\text{deci} \quad \hat{N}_k^2 = \hat{a}_k^+ \hat{a}_k \hat{a}_k^+ \hat{a}_k = \hat{a}_k^+ (1 - \hat{a}_k^+ \hat{a}_k) \hat{a}_k = \hat{a}_k^+ \hat{a}_k = \hat{N}_k \quad (1.116)$$

adică

$$n_k^2 = n_k (n_k = 0, 1) \quad (A\ 2.25)$$

astfel că este respectat principiul de excluziune al lui Pauli.

Se constată că ecuația de mișcare Heisenberg a operatorilor și ecuația (A2.18) nu sînt afectate de înlocuirea relațiilor de comutare cu cele de anticomutare pentru operatorii de creare și anihilare. Spre deosebire de relațiile de comutare, relațiile de anticomutare nu au analog clasic. Ca și în cazul sistemelor de bosoni, se poate construi spațiul Fock și pentru sistemele de fermioni, cu condiția (A2.25).

În cazul sistemelor de fermioni se poate utiliza pentru scrierea ecuațiilor cuantice ale cîmpului de undă, ecuația relativistă a lui Dirac.



## K2.2. Cuantificarea cîmpului electromagnetic

Pentru definirea variabilelor canonice ale cîmpului dintr-o incintă cubică de latura  $L$ , se consideră descompunerea acestuia în unde plane, de forma

$$\mathbf{E}_k = L^{-3/2} \cdot e^{-i\mathbf{k}\mathbf{r}} \mathbf{1}_\lambda, \quad (A 2.26)$$

astfel că din condițiile la limită rezultă  $k_\alpha = \frac{2\pi n_\alpha}{L}$  ( $n = \text{întreg}, \alpha = x, y, z$ ).

Indicele  $\lambda = 1, 2$  specifică starea de polarizare a fotonilor din ansamblu, fiind satisfăcută, totodată, condiția de ortonormare

$$\int_V \mathbf{E}_{k\lambda}(\mathbf{r}) \mathbf{E}_{k'\lambda'}(\mathbf{r}) d\tau = \delta_{kk'} \delta_{\lambda\lambda'}, \quad (A 2.27)$$

la care se adaugă condiția de transversalitate a cîmpului ( $\mathbf{1}_E \cdot \mathbf{1}_k = 0$ ).

Cîmpurile electric și magnetic din incintă au forma

$$\mathbf{E} = \sum_k \sum_\lambda i \left( \frac{\hbar \omega_k}{2\epsilon L^3} \right)^{1/2} \mathbf{1}_\lambda [\mathbf{b}_{k\lambda} e^{i\mathbf{k}\mathbf{r}} - \mathbf{b}_{k\lambda}^* e^{-i\mathbf{k}\mathbf{r}}] \quad (A 2.28)$$

$$\mathbf{H} = \sum_k \sum_\lambda i \left( \frac{\hbar \omega_k}{2\mu L^3} \right)^{1/2} (\mathbf{1}_k \times \mathbf{1}_\lambda) [\mathbf{b}_{k\lambda} e^{i\mathbf{k}\mathbf{r}} - \mathbf{b}_{k\lambda}^* e^{-i\mathbf{k}\mathbf{r}}]; \quad (A 2.29)$$

$\mathbf{b}_{k\lambda}$  și  $\mathbf{b}_{k\lambda}^*$  sînt funcții de timp iar factorii constanți din paranteză sînt astfel aleși încît hamiltonianul cîmpului

$$H = \frac{1}{2} \int_V (\epsilon \mathbf{E}\mathbf{E} + \mu \mathbf{H}\mathbf{H}) d\tau = \frac{1}{2} \sum_k \sum_\lambda (\mathbf{b}_{k\lambda} \mathbf{b}_{k\lambda}^* + \mathbf{b}_{k\lambda}^* \mathbf{b}_{k\lambda}) \quad (A 2.30)$$

să se identifice cu energia electromagnetică din incintă.

$$\text{Notînd : } b_{k\lambda} = \frac{1}{\sqrt{2\hbar\omega}} (\omega_k q_{k\lambda} + ip_{k\lambda}) \quad (A 2.31)$$

$$b_{k\lambda}^* = \frac{1}{\sqrt{2\hbar\omega}} (\omega_k q_{k\lambda} - ip_{k\lambda}), \quad (A 2.32)$$

(A 2.30) se reduce la expresia hamiltonianului oscilatorului armonic liniar

$$H = \frac{1}{2} \sum_k \sum_\lambda (p_{k\lambda}^2 + \omega_k^2 q_{k\lambda}^2) \quad (A 2.33)$$

astfel că  $p_{k\lambda}$  și  $q_{k\lambda}$  pot fi considerate variabilele canonice ale cîmpului electromagnetic.

Trecerea la descrierea cuantică a cîmpului se face asociindu-se mărimilor  $b_{k\lambda}$  și  $b_{k\lambda}^*$  operatorii cuantici  $\hat{a}_{k\lambda}$ , respectiv  $\hat{a}_{k\lambda}^*$ , astfel că sînt satisfăcute relațiile de comutare

$$[\hat{a}_{k\lambda}, \hat{a}_{k'\lambda'}^*] = \delta_{kk'} \delta_{\lambda\lambda'} \quad (A 2.34)$$

$$[\hat{q}_{k\lambda}, \hat{p}_{k'\lambda'}] = i\hbar \delta_{kk'} \delta_{\lambda\lambda'}. \quad (A 2.35)$$



Operatorii  $\hat{a}_{k\lambda}^+$  și  $\hat{a}_{k\lambda}$  pot fi interpretați ca operatori de creare și anihilare ai câmpului cuantificat, avînd hamiltonianul

$$\hat{H} = \sum_k \sum_{\lambda} \hbar \omega_k \left( \hat{a}_{k\lambda}^+ \hat{a}_{k\lambda} + \frac{1}{2} \right). \quad (A.2.36)$$

Trecerea la cuantificarea câmpului liber ( $L \rightarrow \infty$ ) se face prin schimbarea

$$\frac{1}{V} \sum_k \rightarrow \frac{1}{(2\pi)^3} \int dk. \quad (A.2.37)$$

Notînd cu  $|n_{k\lambda}\rangle$  stările proprii ale lui  $\hat{H}$ , se pot scrie relațiile

$$\begin{aligned} \hat{H} |n_{k\lambda}\rangle &= E_n |n_{k\lambda}\rangle, \quad \hat{H} \hat{a}_k |n_{k\lambda}\rangle = (E_n - \hbar \omega) \hat{a}_k |n_{k\lambda}\rangle, \quad \hat{H} \hat{a}_k^+ |n_{k\lambda}\rangle = \\ &= (E_n + \hbar \omega) \hat{a}_k^+ |n_{k\lambda}\rangle \end{aligned} \quad (A.2.38)$$

starea cu energia minimă  $|0\rangle$  corespunzînd stării de vid a câmpului electromagnetic. Din (A.2.36) se obține

$$E = \sum_k \sum_{\lambda} \hbar \omega_k \left( n_{k\lambda} + \frac{1}{2} \right). \quad (A.2.39)$$

$n_{k\lambda}$  fiind un întreg. Se observă că starea de vid a câmpului electromagnetic ( $n_{k\lambda} = 0$ ) corespunde energiei de zero a câmpului,  $E_0 = \frac{1}{2} \hbar \omega$ .

Ecuția (A.2.39) permite să se introducă conceptul de *foton* sau *cuantă de lumină* conform relațiilor:  $\varepsilon = \hbar \omega$  și  $p = \hbar k$ , impulsul câmpului fiind dat de relația

$$P = \sum_k \sum_{\lambda} \hbar k \left( n_{k\lambda} + \frac{1}{2} \right). \quad (A.2.40)$$

Stările de polarizare ale fotonilor pot fi analizate prin analogie cu stările de spin ale electronului. Câmpul electromagnetic cuantificat poate fi astfel privit ca format dintr-un ansamblu de fotoni (care, ținîndu-se seama de relațiile de comutare (A.2.34), trebuie să fie bosoni.

### A.3. METODA PERTURBAȚILOR

În cazul celor mai multe probleme de mecanică cuantică, se utilizează pentru studiu metode aproximative. O astfel de metodă este *metoda perturbațiilor*, care este o metodă prin aproximații succesive.

Perturbațiile care intervin în problemele studiate pot fi staționare (independente de timp) sau nestaționare, sistemele analizate putînd fi nedegenerate sau degenerate.

Efectele Zeeman și Stark, radiația undelor electromagnetice, proprietățile optice ale solidelor, fotoemisia și fotocconductivitatea, procesele de difuzie etc. se studiază în teoria cuantică cu ajutorul metodei perturbațiilor.



### A3.1. Metoda perturbațiilor staționare

Se consideră un sistem cuantic nedegenerat avînd hamiltonianul

$$\hat{H} = \hat{H}_0 + \hat{W}, \quad (W \ll H_0) \quad (A \ 3.1)$$

astfel că operatorul hermitic  $\hat{W}$  reprezintă o mică perturbație a lui  $\hat{H}_0$ , independentă de timp.

Trebuie determinate soluțiile aproximative ale ecuației

$$\hat{H} \psi_n = (\hat{H}_0 + \hat{W}) \psi_n = E_n \psi_n \quad (A \ 3.2)$$

atunci cînd se cunosc soluțiile exacte ale ecuației neperturbate

$$\hat{H}_0^{(0)} \psi_n^{(0)} = E_n^{(0)} \psi_n^{(0)}. \quad (A \ 3.3)$$

Întrucît  $W \ll H_0$ ,  $\psi_n$  și  $E_n$  diferă puțin de  $\psi_n^{(0)}$  și  $E_n^{(0)}$  astfel că sînt valabile dezvoltările în serie

$$\psi_n = \psi_n^{(0)} + \psi_n^{(1)} + \psi_n^{(2)} + \dots \quad (A \ 3.4)$$

$$E_n = E_n^{(0)} + E_n^{(1)} + E_n^{(2)} + \dots \quad (A \ 3.5)$$

unde  $\psi_n^{(1)} \ll \psi_n^{(0)}$ ,  $\psi_n^{(2)} \ll \psi_n^{(1)}$  etc. și  $E_n^{(1)} \ll E_n^{(0)}$ ,  $E_n^{(2)} \ll E_n^{(1)}$  etc. Se admite, totodată, că seriile (A 3.4) și (A 3.5) sînt rapid convergente astfel că în calcul ne putem limita la primii termeni, cu o aproximație suficient de bună.

Dacă se introduce expresiile lui  $\psi_n$ , respectiv  $E_n$ , în ecuația (A 3.1) după un calcul simplu rezultă

$$(\hat{H}^{(0)} - E_n^{(0)}) \psi_n^{(1)} = (E_n^{(1)} - \hat{W}) \psi_n^{(0)} \quad (A \ 3.6)$$

$$(\hat{H}^{(0)} - E_n^{(0)}) \psi_n^{(2)} = (E_n^{(1)} - \hat{W}) \psi_n^{(1)} + E_n^{(2)} \psi_n^{(0)} \quad (A \ 3.7)$$

$$(\hat{H}^{(0)} - E_n^{(0)}) \psi_n^{(i)} = (E_n^{(1)} - \hat{W}) \psi_n^{(i-1)} + E_n^{(2)} \psi_n^{(i-2)} + \dots + E_n^{(i)} \psi_n^{(0)}. \quad (A \ 3.8)$$

Aceste ecuații se vor utiliza pentru calculul corecțiilor de diferite ordine ale funcției de undă și ale energiei sistemului perturbat. Pentru aceasta se consideră dezvoltările corecțiilor de diferite ordine  $\psi_n^{(i)}$  în raport cu funcțiile proprii ortonormate  $\psi_k$  ale hamiltonianului neperturbat

$$\psi_n^{(i)} = \sum_k c_{nk}^{(i)} \psi_k^{(0)} \quad (A \ 3.9)$$

și se introduce în ecuațiile de mai sus.

În aproximația de ordinul întâi trebuie calculate mărimile  $E_n^{(1)}$  și  $\psi_n^{(1)}$ . După calcule simple rezultă

$$c_{nm}^{(1)} (E_m^{(0)} - E_n^{(0)}) = E_n^{(1)} \delta_{mn} - W_{mn} \quad (A \ 3.10)$$

$$\text{unde} \quad W_{mn} = \int \psi_m^{(0)*} \hat{W} \psi_n^{(0)} d\tau \quad (A \ 3.11)$$

reprezintă elementul de matrice al perturbației.



Pentru  $m = n$  rezultă corecția de ordinul întâi a energiei

$$E_n^{(1)} = W_{nn}. \quad (A 3.12)$$

Pentru  $m \neq n$  din (A3.10) se obține

$$c_{nm}^{(1)} = - \frac{W_{mn}}{E_m^{(0)} - E_n^{(0)}} = c_{nm}^{(1)*}. \quad (A 3.13)$$

Determinînd coeficientul  $c_{nn}^{(1)}$  ( $n = m$ ) din condiția ca funcția de undă

$$\psi_n = \psi_n^{(0)} + \psi_n^{(1)} \quad (A 3.14)$$

să fie normată la unitate și neglijînd termenii de ordinul doi se poate considera  $c_{nn}^{(1)} = 0$ , astfel că  $(\psi_n, \psi_n) = |c_{nn}|^2 = 1$ , funcția  $\psi_n$  fiind determinată pînă la un factor de fază arbitrar. Ca urmare

$$\psi_n^{(1)} = - \sum_m' \frac{W_{mn}}{E_m^{(0)} - E_n^{(0)}} \psi_m^{(0)}; \quad (A 3.15)$$

indicele „prim” înseamnă sumarea numai a termenilor pentru care  $m \neq n$ .

În aproximația de ordinul al doilea, studiul se face în mod analog. Se obține

$$c_{nm}^{(2)} (E_m^{(0)} - E_n^{(0)}) = E_n^{(1)} \sum_k' c_{nk}^{(1)} \delta_{mk} - \sum_k' c_{nk}^{(1)} W_{mk} + E_n^{(2)} \delta_{mn}. \quad (A 3.16)$$

Pentru  $m = n$  ( $m \neq k$ ) rezultă corecția de ordinul al doilea a energiei

$$E_n^{(2)} = - \sum_k' \frac{|W_{kn}|^2}{E_k^{(0)} - E_n^{(0)}} \quad (A 3.17)$$

întrucît  $W_{nk} W_{kn} = |W_{kn}|^2$ . Se observă că dacă  $E_n^{(0)}$  este energia stării fundamentale, corecția  $E_n^{(2)}$  este negativă întotdeauna. Coeficienții  $c_{nm}^{(2)}$  se obțin sub formă.

$$c_{nm}^{(2)} = \sum_k' \frac{W_{mk} W_{kn}}{(E_m^{(0)} - E_n^{(0)}) (E_k^{(0)} - E_n^{(0)})} - \frac{W_{nn} W_{mn}}{(E_m^{(0)} - E_n^{(0)})^2} \quad (A 3.18)$$

$$\text{și} \quad c_{nn}^{(2)} = - \frac{1}{2} \sum_k' \frac{W_{nk} W_{kn}}{[E_k^{(0)} - E_n^{(0)}]^2} \quad (A 3.19)$$

astfel încît  $\psi_n^{(2)}$  este complet determinată.

Din (A 3.15) rezultă că metoda este aplicabilă dacă elementele de matrice ale operatorului perturbație sînt mici în comparație cu ecartul dintre nivelele energetice, adică

$$|W_{mn}| \ll |E_m^{(0)} - E_n^{(0)}|. \quad (A 3.20)$$

### A3.2. Metoda perturbațiilor dependente de timp

Fie un sistem cuantic al cărui hamiltonian este

$$\hat{H} = \hat{H}_0 + \hat{W}(t), \quad (\hat{W}(t) = 0, \text{ pentru } t < 0) \quad (A 3.21)$$

unde operatorul perturbației  $\hat{W}(t)$  depinde explicit de timp. Se pune problema determinării funcțiilor de undă ale sistemului perturbat  $\psi(\mathbf{r}, t)$ .



cînd sînt cunoscute funcțiile de undă staționare ale sistemului neperturbat  $\psi_n^{(0)}$ . Pentru astfel de sisteme nu este util calculul corecțiilor pentru valorile proprii ale energiei sistemului neperturbat, întrucît nu există stări perturbate staționare.

La un moment dat  $t > 0$ , cînd se presupune că perturbația încetează, sistemul aflat inițial în starea  $\psi_n^{(0)}$  se poate găsi cu o probabilitate  $P_{nm}(t)$  în altă stare proprie  $\psi_m^{(0)}$  a lui  $\hat{H}_0$ . Rezultă că perturbația  $\hat{W}(t)$  poate induce tranziții între stările staționare ale sistemului neperturbat,  $P_{nm}(t)$  fiind *probabilitățile de tranziție* corespunzătoare. Dacă  $\psi(\mathbf{r}, t)$  este o soluție a ecuației lui Schrödinger

$$i\hbar \frac{d}{dt} \psi(\mathbf{r}, t) = (\hat{H}_0 + \hat{W}(t))\psi(\mathbf{r}, t) \quad (A 3.22)$$

cu condiția inițială

$$\psi(t=0) = \psi_n^{(0)}, \quad (A 3.23)$$

probabilitatea de tranziție în starea  $\psi_m$  are expresia

$$P_{mn} = |\langle \psi_m^{(0)} | \psi(\mathbf{r}, t) \rangle|^2 \quad (A 3.24)$$

astfel că alegerea reprezentării  $\{\psi_n^{(0)}\}$  este potrivită pentru calculul ulterior al probabilităților de tranziție. Fie

$$\psi(\mathbf{r}, t) = \sum_n c_n(t) \psi_n^{(0)}(\mathbf{r}) e^{-\frac{i}{\hbar} E_n t} \quad (A 3.25)$$

forma generală a soluției ecuației (A 3.22), coeficienții  $c_n(t)$  fiind funcție de timp. Dacă se introduce (A 3.25) în (A 3.22) se obține

$$-\frac{\hbar}{i} \sum_n \frac{dc_n(t)}{dt} \psi_n^{(0)}(\mathbf{r}) e^{-\frac{i}{\hbar} E_n t} = \hat{W} \sum_n c_n(t) \psi_n^{(0)}(\mathbf{r}) e^{-\frac{i}{\hbar} E_n t} \quad (A 3.26)$$

astfel încît,

$$i\hbar \frac{dc_m(t)}{dt} = \sum_n W_{mn}(t) c_m(t) \quad (A 3.27)$$

unde

$$W_{mn}(t) = W_{mn} e^{-\frac{i}{\hbar} (-E_n + E_m)t} = W_{mn} e^{i\omega_{mn} t}. \quad (A 3.28)$$

Pentru perturbații mici  $W \ll H_0$ , variațiile în timp ale coeficienților  $c_m(t)$  sînt foarte lente ( $c_m(t)$  devin constante pentru  $W \rightarrow 0$ ). Prin urmare, fără a se face o eroare prea mare, în membrul drept al ecuației (A 3.27), se poate considera  $c_m(t) = c_m(t_0)$ . Se obține, în final

$$\frac{dc_m(t)}{dt} = -\frac{i}{\hbar} \sum_n W_{mn}(\mathbf{r}, t) c_m(t_0) \quad (A 3.29)$$

astfel că pentru determinarea funcției de undă (A 3.25) trebuie integrate ecuațiile (A 3.29) cu condițiile inițiale corespunzătoare.

Ecuațiile (A 3.27) sînt echivalente ecuației lui Schrödinger, analiza efectuată pînă în această etapă fiind exactă. Conform metodei perturbațiilor



dependente de timp (numită și metoda variației constantelor) trebuie calculate corecțiile de diferite ordine, pentru coeficienții  $c_m(t)$ . În acest scop se consideră dezvoltarea:

$$c_m = c_m^{(0)} + c_m^{(1)} + c_m^{(2)} + \dots \quad (A\ 3.30)$$

unde

$$c_m^{(1)} \ll c_m^{(0)}, c_m^{(2)} \ll c_m^{(1)} \text{ etc.}$$

Dacă se introduc coeficienții (A 3.30) în ecuațiile (A 3.29), după calcule simple rezultă

$$\dot{c}_m^{(0)} = 0$$

$$\dot{c}_m^{(1)} = -\frac{i}{\hbar} \sum_n W_{mn} c_m^{(0)} e^{i\omega_{mn} t} \quad (A\ 3.31)$$

$$\dots \dots \dots$$

$$\dot{c}_m^{(r)} = -\frac{i}{\hbar} \sum_n W_{mn} c_m^{(r-1)} e^{i\omega_{mn} t}$$

care pot fi integrate succesiv, astfel că se obțin soluțiile perturbate de diferite ordine.

În cazul particular  $c_n^{(0)} = 1$  (sistemul neperturbat se află în starea staționară  $n$  la momentul  $t = 0$ ),  $c_m^{(0)} = 0$  ( $m \neq n$ ) și a doua ecuație (A 3.31) devine

$$\dot{c}_m^{(1)} = -\frac{i}{\hbar} W_{mn} e^{i\omega_{mn} t} \quad (A\ 3.33)$$

astfel că

$$c_m^{(1)} = -\frac{i}{\hbar} \int W_{mn} e^{i\omega_{mn} t} dt. \quad (A\ 3.34)$$

Dacă la  $t = 0$  sistemul se află în starea  $n$ , probabilitatea ca la momentul  $t > 0$  sistemul să sufere o tranziție în starea  $m$  va fi

$$P_{mn} = |c_m(t)|^2 = \frac{1}{\hbar^2} \left| \int_0^{+\infty} W_{mn} e^{i\omega_{mn} t} dt \right|^2 \quad (A\ 3.35)$$

unde în primă aproximație  $c_m(t) = c_m^{(1)}(t)$ . Studiul efectuat poate fi generalizat și pentru cazul în care tranziția are loc între o stare a spectrului discret și stări ale spectrului continuu.

#### A.4. PARTICULARITĂȚI ALE PROBLEMEI CU MAI MULȚI ELECTRONI

Interacția coulombiană dintre electroni, neglijată în aproximația unielectronică, este de multe ori de același ordin de mărime cu interacția dintre electroni și rețea, astfel încît în numeroase probleme se impune lua-



rea sa în considerare, deși rezolvarea ecuației lui Schrödinger în acest caz prezintă dificultăți.

În expresia hamiltonianului sistemului  $\hat{H}$ , interacția coulombiană, intervine sub forma unui termen aditiv prin care cei  $N_e$  electroni sînt cuplați cîte doi prin forțe coulombiene

$$U_{EE} = \frac{1}{2} \sum_{i,j} \frac{e^2}{r_{ij}} \text{ unde } r_{ij} = |\mathbf{r}_i - \mathbf{r}_j| \quad (A \ 4.1)$$

încît

$$\hat{H} = \sum_i \hat{H}_i + \hat{U}_{EE} \quad (A \ 4.2)$$

unde  $\hat{H}_i$  este hamiltonianul unei particule în aproximația unielectronică.

Ca și în cazul unielectronic, simetria translațională a problemei implică soluții de tip Bloch cu mai multe variabile de forma

$$\psi(\mathbf{r}_1, \mathbf{r}_2, \dots) = e^{i\mathbf{k}\mathbf{r}_1} u(\mathbf{r}_1, \mathbf{r}_2, \dots) \quad (A \ 4.3)$$

$$\text{astfel c\^a } u(\mathbf{r}_1 + \mathbf{R}_n, \mathbf{r}_2 + \mathbf{R}_n, \dots) = u(\mathbf{r}_1, \mathbf{r}_2, \dots). \quad (A \ 4.4)$$

În raport cu sistemul centrului de masă

$$\mathbf{r}_c = \frac{1}{N_e} \sum_i \mathbf{r}_i. \quad (A \ 4.5)$$

Întrucît schimbării  $\mathbf{r}_i \rightarrow \mathbf{r}_i + \mathbf{R}_n$  îi corespunde schimbarea  $\mathbf{r}_c \rightarrow \mathbf{r}_c + \mathbf{R}_n$ , funcție de undă (A 4.3) se scrie sub forma mai simplă

$$\psi(\mathbf{r}_c, \mathbf{r}_{ij}) = e^{i\mathbf{k}\mathbf{r}_c} u(\mathbf{r}_c, \mathbf{r}_{ij}) \quad (A \ 4.6)$$

unde

$$u(\mathbf{r}_c, \mathbf{r}_{ij}) = u(\mathbf{r}_c + \mathbf{R}_n, \mathbf{r}_{ij}) \quad (A \ 4.7)$$

adică în expresia funcției de undă  $\psi$  apare variabila suplimentară  $\mathbf{r}_{ij}$ .

Rezultă că în sistemul centrului de masă sistemul de electroni se comportă ca electronii individuali în aproximația unielectronică.

Dacă se ține seama că electronii sînt fermioni și se neglijează pentru început interacția dintre aceștia, atunci funcția de undă multielectronică (A 4.6) se exprimă prin

$$\psi_{(k)} = \frac{1}{\sqrt{N_e!}} \begin{vmatrix} \psi_{k_1} (1) & \psi_{k_1} (2) & \dots & \psi_{k_1} (N_e) \\ \psi_{k_2} (1) & \psi_{k_2} (2) & \dots & \psi_{k_2} (N_e) \\ \dots & \dots & \dots & \dots \\ \psi_{k_{N_e}} (1) & \psi_{k_{N_e}} (2) & \dots & \psi_{k_{N_e}} (N_e) \end{vmatrix} \quad (A \ 4.8)$$

unde argumentele funcțiilor unielectronice  $\psi_{k_i}(j)$  specifică atât coordonatele de poziție, cît și pe cele de spin ale particulelor, iar  $k_i$  desemnează



ocuparea stărilor prin numerele cuantice ale benzii energetice și de spin,  $1/\sqrt{N_e}!$  fiind un factor de normare. Funcțiile de undă  $\psi_{k_i}$  sînt antisimetrice și satisfac principiul de excluziune al lui Pauli.

O soluție exactă a problemei cu mai mulți electroni va fi determinată de o combinație liniară de funcții de forma (A 4.8), atunci cînd  $k$  desemnează prin valorile sale toate stările de ocupare posibile (deci nu numai pe cele ocupate la un moment dat

$$\psi = \sum_k a_k \psi(k) \quad (A\ 4.9)$$

coeficienții dezvoltării  $a_k$  urmînd a fi determinați.

O descriere echivalentă a reprezentării în coordonate de mai sus este posibilă cu ajutorul funcțiilor Wannier. Determinanților (A 4.8) din descrierea Bloch le corespund determinanți construiți cu funcții Wannier în descrierea cu orbitali atomici (descrierea Wannier).

Sistemele cu mai mulți electroni pot fi descrise și cu ajutorul formalismului numărului de ocupare a diferitelor nivele, prin intermediul operatorilor de creare și anihilare. Ca urmare, în locul mișcării particulelor, modificările de stare corespund anihilării acestora de pe anumite nivele și crearea lor pe altele.

Dacă se neglijează interacția dintre electroni, hamiltonianul sistemului are expresia

$$H_0 = \sum_k \hat{a}_k^+ \hat{a}_k E_k \quad (A\ 4.10)$$

unde  $\hat{a}_k$  și  $\hat{a}_k^+$  sînt operatorii de anihilare, respectiv de creare de particule, operatorul număr de particule fiind  $\hat{N}_k = \hat{a}_k^+ \hat{a}_k$ . Dacă se ține seama și de interacția dintre electroni, atunci (A 4.10) capătă forma

$$\hat{H} = \hat{H}_0 - \frac{1}{2} \sum_{kk'k_1k_1'} \hat{a}_k^+ \hat{a}_{k'}^+ \hat{a}_{k_1} \hat{a}_{k_1'} V_{kk'k_1k_1'} \quad (A\ 4.11)$$

unde

$$V_{kk'k_1k_1'} = \int \psi_k^*(\mathbf{r}) \psi_{k'}^*(\mathbf{r}) \frac{e^2}{|\mathbf{r} - \mathbf{r}'|} \psi_{k_1}(\mathbf{r}) \psi_{k_1'}(\mathbf{r}) d\tau d\tau'. \quad (A\ 4.12)$$

Totodată, stările proprii  $\Phi$  ale sistemului se obțin din stare de vid  $\Phi_0$ , prin aplicarea repetată a operatorului  $\hat{a}_k^+$ .



## BIBLIOGRAFIE

1. URSU, I., PROHOROV, A.M., (editori), The First International Conference, *Trends in Quantum Electronics*, Bucharest, 30. aug.—11 sept., 1982.
2. URSU, I., PROHOROV, A.M., (editori), Second International Conference, *Trends in Quantum Electronics*, Bucharest, 2—6 sept., 1985.
3. URSU, I., PROHOROV, A.M. (editori), Third International Conference, *Trends in Quantum Electronics*, Bucharest, 29 aug.—3 sept., 1988.
4. URSU, I., PROHOROV, A.M., (editori), *Lasers and Applications*, Proceedings of the International Conference and School, Bucharest, 9—11 sept., 1982.
5. PROHOROV, A.M., URSU, I., (editori), *Trends in Quantum Electronics*, Proc. TQE, Bucharest, 2—6 sept., 1985. Central Institute of Physics, Bucharest, Springer—Berlin—Heidelberg—New York, 1986.
6. \* \* \* — *Progrese în fizică*, Vol. I—X, Lucrările Sesiunilor Anuale de Comunicări ale Institutului Central de Fizică, București, 1978—1988, Tipografia Institutului Central de Fizică, Măgurele — București.
7. URSU, I., PROKHOROV, A.M. (editori), Proc. SPIE, The International Society for Optical Engineering, *Trends in Quantum Electronics-88*, vol. 1033, 1989, (in print).
8. PROHOROV, A.M., KONOV, V.I., URSU, I., MIHĂILESCU, I.N., *Interacția radiației laser cu metalele*, Editura Academiei, București, 1986.
9. BOWDEN, C.M., HOWGATE, D.W., ROBL, H.K., *Cooperative Effects in Matter and Radiation*, Plenum Press, New York—London, 1977.
10. POPESCU, I.M., *Fizica*, vol. I, II, Editura Didactică și Pedagogică, București, 1982.
11. STERIAN, P.E., STAN, M., *Fizica*, Editura Didactică și Pedagogică, București, 1985.
12. PANTELL, R.H., PUTHOFF, H.E., *Fundamentals of Quantum Electronics*, John Wiley, Inc., London, 1969.
13. CHANG, W.S.C., *Principles of Quantum Electronics*, Addison-Wesley Publishing Company, Menlo Park—California—London—Ontario, 1971.
14. ȚÎȚEICA, R., POPESCU, I.I., *Fizica generală*, vol. I, II, III, Editura Tehnică, București, 1975.
15. MOISIL, G., *Fizica pentru ingineri*, vol. I, II, Editura Tehnică, București, 1968.
16. YARIV, A., *Quantum Electronics*, John Wiley and Sons., Inc., New York, 1967.
17. STERIAN, P.E., *Transmisia optică a informației*, vol. I, II, Editura Tehnică, București, 1981.
18. BEJU, I. ș.a., *Tehnici de calcul spinorial și tensorial neeuclidian cu aplicații*, Editura Tehnică, București, 1979.
19. HAO BAI LIN, *Chaos*, World Scientific, Singapore, 1984.
20. \* \* \* — *Revue Roumaine de Physique*, Tome 33, No. 4—6 (Special Issue) Bucarest, 1988.
21. URSU, I., *Rezonanța electronică de spin*, Editura Academiei R.S.R., București, 1965.
22. LANDAU, L., LIFSIT, E., *Théorie quantique relativiste*, Edition de Moscou, 1974.
23. STERIAN, P.E., *Mecanică relativistă și noțiuni de teoria gravitației*, Editura Tehnică, București, 1979.
24. COURANT, R., HILBERT, D., *Methoden der Mathematischen Physik*, J. Springer, Berlin, 1932.
25. MOSS, I.S. ș.a., *Semiconductor opto-electronics*, John-Wiley and Sons., New York, 1973.
26. URSU, I., VASILIU, V., DOROBANȚU, I.A., DRĂGĂNESCU, V., (editori); *Lasers and Applications*, CIP PRESS, Bucharest, 1985.
27. POPESCU, I.M., CONE, G.F., CRISTESCU, C.P., PREDĂ, A.M., STERIAN, P.E., TUDORACHE, S.St., LUPĂȘCU, A.I., *Aplicații ale laserilor*, Editura Tehnică, București, 1979.
28. STERIAN, P.E., *Fizica sistemelor opto-electronice*, Tipografia Institutului Politehnic București, 1974, 1978.



29. POPESCU, I.M., PREDĂ, A.M., CRISTESCU, C.P., GONE, G.F., STERIAN, P.E., LUPĂȘCU, A.P., *Probleme rezolvate de fizica laserilor*, Editura Tehnică, [București, 1975.
30. DRĂGĂNESCU, V., VELCULESCU, V.G., *Prelucrări termice cu laseri*, Editura Academiei R.S.R., București, 1986.
31. CUCUREZEANU, I., *Laseri*, Editura Academiei R.S.R., București, 1968.
32. DUMITRAȘ, D.C., *Laseri cu gaz*, Editura Academiei R.S.R., București, 1982.
33. POPESCU, N.G., OPRAN, N.E., *Laseri. Aplicații*, Editura Militară, București, 1979.
34. VLAD, V.I., *Introducere în holografie*, Editura Academiei R.S.R., București, 1973.
35. KASTALSKI, A. A., *Sov. Phys. Semicond.* **7**, 635 (1973)
36. McCALL, S. L., HAHN, E. L., *Phys. Rev. Lett.*, **18**, 908 (1967)
37. DUȚU, D.C.A., *Laserul — lumina de mîine*, Editura Albatros, București, 1981.
38. DOICARU, VL., NICULESCU, CL.R., *Laseri cu semiconductori și aplicații*, Editura Tehnică, București, 1978.
39. POPESCU, I.I., IOVA, I., TOADER, E., *Fizica plasmei și aplicații*, Editura Științifică și Enciclopedică, București, 1981.
40. HAKEN, H., *Synergetics*, Springer-Verlag, Berlin-Heidelberg-New York, 1978.
41. POPESCU, I.M., PUȘCAȘ, N.N., STERIAN, P.E., IRIMESCU, D., *Rev. Roum. Phys.*, **31**, 4, 1986.
42. POPESCU, I.M., DUMITRU, M., STERIAN, P.E., CĂRBUNESCU, E., 4 Czechoslovak Conference on Microelectronics and Microsystem, Bratislava 9-11 sept., 1986.
43. PODOLEANU, A.Gh., STERIAN, P.E., The Eleventh International Liquid Crystal Conference — Berkeley, California, June 30-July 4, 1986.
44. STERIAN, P.E., POPESCU, I.M., RANCU, O., PODOLEANU, A.Gh., Conferința Națională de Laseri, Măgurele, București, 20-21 oct., 1987.
45. STERIAN, P.E., Teză de doctorat, București, 1987.
46. STERIAN, P.E., PODOLEANU, A.Gh., DUMITRU, M.A., PUȘCAȘ, N.N., PISCU-REANU, M., *Probleme rezolvate de fizică atomică*, Tipografia Institutului Politehnic București, 1985.
47. POPESCU, I.M., STERIAN, P.E., ȘTEFĂNESCU, E.N., *St. Cerc. Fiz.*, **34**, 10, 1982.
48. SUCIU, P., CUCUREZEANU, I., STERIAN, P., GHIORDĂNESCU, V., *Rev. Roum. Phys.*, **18**, 5, 1973.
49. PODOLEANU, A.Gh., STERIAN, P.E., Brevet de invenție R.S.R. nr. 76955/1982.
50. POPESCU, I.M., DUMITRU, M., STERIAN, P.E., *Bul. Inst. Pol. București*, **XLVI-XLVII**, 1984-1985.
51. STERIAN, P.E., *Bul. Inst. Pol. București*, **XLVI-XLVII**, 1984-1985.
52. STERIAN, P.E., *Bul. Inst. Pol. București*, **XLIV**, Nr. 3, 1982.
53. STERIAN, P.E., *Teoria cuantică în fizică*, vol. I, Institutului Politehnic București, 1981.
54. POPESCU, I.M., PUȘCAȘ, N.N., STERIAN, P.E., International Conference on Photovoltaic and Optoelectronic Processes, 4-7 iulie, Bucharest, 1984.
55. POPESCU, I.M., STERIAN, P.E., PUȘCAȘ, N., *Bul. Inst. Pol. București*, **XLIV**, 4, 1982.
56. POPESCU, I. M., SOFRON, E.V., STERIAN, P.E., — Proceedings of the Fifth Iranian Conference on Electrical Engineering, 2, Shiraz, 1975.
57. LENGYEL, B.A., — *Lasers*, John Wiley & Sons, Inc., New York, 1971.
58. ARNAUD, J.A., *Beam and Fiber Optics*, Academic Press, New York, 1976.
59. AGARBICEANU, I.I., POPESCU, I.M., *Melode optice ale spectroscopiei herfiene*, Editura Academiei R.S.R., București, 1970.
60. BORN, M., WOLF, E., *Principles of Optics*, Pergamon Press, Oxford, 1964.
61. MAITLAND, A., DUNN, M.H., *Laser Physics*, John Wiley & Sons, New York, 1969.
62. ARECHI, F.T., SCHULTZ, E.O., DU BOIS, *Laser Handbook*, North Holland Publ. Co., 1972.
63. NISHIWAKI, A., STERIAN, P.E., HATTORI, S., *Wave Electronics*, No. 3, 1979.
64. STERIAN, P.E., *Technical Report*, Nagoya University, Japan, May 1976.
65. NISHIWAKI, A., STERIAN, P.E., HATTORI, S., *Conference of Applied Physique*, Tohoku University, Japan, October, 1976.
66. STERIAN, P.E., ALUNGULESI, M., Brevet de invenție R.S.R., nr. 63825/1975.
67. KEYES, R.J. *Optical and Infrared Detectors*, Springer Verlag, Berlin-Heidelberg-New York, 1977.
68. \* \* \* *International Conference on Integrated Optics and Optical Fiber Communications*, July, 18-20, Tokyo, Japan, 1977.
69. BOGDANKEVICI, O. ș.a., *Les Lasers à Semiconducteurs*, Editions Mir, Moscou, 1979.
70. NISHIWAKI, A., ITO, H., STERIAN, P.E., HATTORI, S., *Technical Met. Rep.*, Inst. Electr. Com. Japan, dec., 1976.



71. HEINE, V., *Group Theory in Quantum Mechanics*, Pergamon Press, London, 1960. <sup>2</sup>
72. KANO, Y., WOLF, E., *Proc. Phys. Soc.*, 1273 (1962).
73. GLAUBER, R.J., *Phys. Rev. Lett.*, **10**, 84 (1963).
74. L. MANDEL, *Proc. Phys. Soc. (London)*, **72**, 1037 (1958).
75. FORRESTER, A.T., GUDMUNDSEN, R.A. JOHNSON, P.O., *Phys. Rev.*, **99**, 1691 (1955).
76. PODOLEANU, A.Gh., STERIAN, P.E., *Lucrări experimentale de Electronică cuantică și Transmisia optică a informației*, Tipografia Institutului Politehnic din București, 1987.
77. HAIG, N.D. and SILLITTO, R.M., *Phys. Lett*, **28 A**, 63 (1968).
78. PERINA, JAN, *Coherence of Light*, Van Nostrand London—New York—Toronto—Melbourne, 1971.
79. NUSSENZWEIG, H.M., *Introduction to Quantum Optics*, Gordon and Bresch Science Publishers, London—New York—Paris, 1973.
80. HAKEN, H., *Light*, vol. I (*Waves, Photons, Atoms*), North-Holland, Amsterdam—New York—Oxford, 1981.
81. HAKEN, H., *Light and mater*, Ic, Springer Verlag, Berlin—Heidelberg—New York, 1970.
82. IONESCU-PALLAS, N.I., VELCULESCU, V.G., *Rev. Roum. Phys.* **9**, 623 (1964).
83. VASILIU, V., *St. Cerc. Fiz.*, **23**, 637 (1971).
84. LAUDON, L., *The Quantum Theory of Light*, Clarendon Press, 1973.
85. BETHE, H.A., *Phys. Rev.* **72**, 339.
86. LAMB, W.E., *Phys. Rev.*, **13**, A, p. 1429 (1962).
87. SCULLY, M.O., LAMB, W.E., *Phys. Rev.*, Vol. **159**, pp. 208—226, july, 10, 1967.
88. SZÖKE, A., DANEU, V., GOLDHAR, J., KURNIT, A.N., *Appl. Lett.* **15**, 376 (1969); SPILLER, E., *J. Appl. Phys.*, **43**, 1673 (1972); SEIDEL, H., *PATENT, U.S.*, 3610731 (1971).
89. Mc.CALL, L.S., *Phys. Rev.*, A, 1515 (1974).
90. BONIFACIO, R., LUGIATO, A.L., *Phys. Rev.*, **A18**, 1129—44 (1978).
91. POPESCU, I.M., STERIAN, P.E., ȘTEFĂNESCU, E.N., *Proc. Int. Sch. „LAICS”*, Romania, p. 328, 1982.
92. STERIAN, P.E., POPESCU, I.M., ȘTEFĂNESCU, E.N., 2 *Simp. Nat. Teh., Micr.*, București, 1981.
93. POPESCU, I.M., STERIAN, P.E., ȘTEFĂNESCU, E.N., *Stud. Cerc. Fiz.*, **34**, 10 (1982).
94. POPESCU, I.M., PODOLEANU, A.Gh., STERIAN, P.E., *Rev. Phys. Appl.*, **18**, p. 313 (1983).
95. POPESCU, I.M., ȘTEFĂNESCU, E.N., STERIAN, P.E., *Proc. TQE-85*, Springer Verlag, p. 172, 1985.
96. STERIAN, P.E., POPESCU, I.M., ȘTEFĂNESCU, E.N., 3 *Simp. Nat. Tehn. Micr.*, 18—19 nov., București, 1983.
97. ȘTEFĂNESCU, E.N., STERIAN, P.E., POPESCU, I.M., *Rev. Roum. Phys.*, **29**, p. 183 (1984).
98. PODOLEANU, A.GH., STERIAN, P.E., POPESCU, I.M., *Rev. Roum. Sci. Tech.*, **32**, 2, p. 197—203 (1987).
99. POPESCU, I.M., STERIAN, P.E., MĂNĂILĂ, D., PODOLEANU, A.Gh., *Rev. Roum. Phys.*, **27**, No. 6—7, Bucarest, (1982.)
100. AGRAWAL, G.P., CARMICHAEL, H.I., *Phys. Rev.*, A **10**, 2074 (1979).
101. FRANKEN, P.A., HILL, A.E., PETERS, C.W., *Phys. Rev. Lett.*, **7**, 113 (1961).
102. HANNA, D.C., YURATICH, M.A., COTTER, D., *Nonlinear Optics of Free Atoms and Molecules*, Springer Verlag Berlin—Heidelberg—New York, 1979.
103. BREWER, R.G., MOORADIAN, A., *Laser Spectroscopy*, Plenum Press, New York—London, 1974.
104. SOROKIN, P.P., WYNNE, J.J., *Appl. Phys. Lett.*, **22**, 342 (1973).
105. HÄNSCH, T.W., SCHAWLOW, A.L., TOSCHEK, P.E., *IEEE. J. Quantum Electron.* QE-8, 802 (1972).
106. TOMOV, I.V., RICHARDSON, M.C., *IEEE J. Quantum Electron* QE-12, 521 (1976).
107. LEVENSON, M.D., BLOEMBERGEN, N., *Phys. Rev. B*, **10**, 4447 (1974).
108. BUTCHER, P.N., *Nonlinear Optical Phenomena*, Bulletin 200, Engineering Experiment Station, Ohio State University, Columbus—Ohio, 1964.
109. BLOEMBERGEN, N., SHEN, Y.R., *Phys. Rev. A*, **133**, 37 (1964).
110. ARMSTRONG, J.A., BLOEMBERGEN, N., DUCUING, J., PERSHAN, P.R., *Phys. Rev.* **127**, 1918 (1962).
111. EICHER, H., *I.E.E.E. J. Quantum. Electron.* QE-11, 121, (1975).



112. MILLES, R.B., HARRIS, S.E., I.E.E.E. J. Quantum. Electron. QE-9, 470 (1973).
113. ROTENBERG, M., BIVINS, R., METROPOLIS, N., WOOTAN, J.K., *The Three-j and Six-j Symbols*, Cambridge Mass. M.I.T. Press, 1960.
114. BATES, P.R., DAMGAARD, A., Phil. Trans. Roy Soc. (London), A 242, 101 (1949).
115. BEBB, H.B., Phys. Rev. 149, 25 (1966).
116. ANDERSON, E.M., ZILITIS, V.A., Opt. Spectrosc. 16, 99 (1964).
117. POPESCU, I.M., PUȘCAȘ, N.N., STERIAN, P.E., BARANOVSKI, I., Rev. Roum. Phys. 5, 383 (1983).
118. MOORE, G.E., *Atomic Energy Levels*, Washington, D.C. NBS, 1958.
119. WALTHER, H., *Laser Spectroscopy of Atoms and Molecules*, Springer Verlag Berlin—Heidelberg—New York, 1976.
120. LEUNG, K.M., WARD, J.F., ORR, B.J., Phys. Rev. A9, 2440 (1974).
121. PEACH, M., Mem. R. Astron. Soc. 71, 13 (1967).
122. GRISCHOWSKY, D., LOY, M.M.T., LIAO, P.F., Phys. Rev. A.12, 2514 (1975).
123. FANO, U., Phys. Rev. A2, 353 (1970).
124. ARMSTRONG, J.A., WYNNE, J.J., Phys. Rev. Lett. 33, 1183 (1975).
125. BLOEMBERGEN, N., *Nonlinear Spectroscopy*, Proc. Int. School of Physics „Enrico Fermi” Course L XIV (North Holland Amsterdam, 1977).
126. WALLS, D.F., HARWEY, J.D., *Laser Physics*, Proceedings of the Second New Zealand Summer School in Laser Physics, 1980, Academic Press, New York—London—Toronto.
127. BASSINI, M., BIRABEN, F., CAGNAC, B., GRYNBERG, G., Opt. Comm. 21, 263 (1977).
128. WALTHER, H., ROTHE, K.W., *Laser Spectroscopy V*, Springer Verlag Berlin—Heidelberg—New York.
129. HODGSON, R.T., SOROKIN, P.P., WYNNE, J.J., Phys. Rev. Lett. 32, 343 (1974).
130. YOUNG, J.F., BJORKLUND, G.C., KUNG, A.A., MILLES, R.B., HARRIS, S.E., Phys. Rev. Lett. 27, 1551 (1971).
131. REINTJES, J., SHE, C.Y., ECKARDT, R., I.E.E.E. J. Quantum. Electron. QE-14, 581 (1978).
132. PUELL, H., SPANNER, K., FALKENSTEIN, W., KAISER, W., VIDAL, C.R., Phys. Rev. A, 14, 2240 (1976).
133. CHARLES, J., RHODES, K., I.E.E.E. J. QE-17, 10, (1981).
134. LIAO, P.F., BJORKHOLM, J.E., Phys. Rev. Lett. 34, 2 (1975).
135. ELGIN, J.N., NEW, G.H.C., J. Phys. B. 11, 3439 (1978).
136. MOORADIAN, A., JAEGER, T., STOKSETH, P., *Tunable Lasers and Applications*, Springer Series in Optical Sciences, vol. 3, Springer, Berlin—Heidelberg—New York, 1976.
137. KHANIN, YA.I., FAIN, V.M., *Quantum Electronics*, Pergamon Press, 1969.
138. ROTHBERG, L.J., BLOEMBERGEN, N., Phys. Rev. A, 30, 820 (1984).
139. BROSEL, J., BITTER, F., Phys. Rev. 85, 308 (1952).
140. BLOOM, D.M., YARDLEY, J.T., YOUNG, J.F., HARRIS, S.E., Appl. Phys. Lett., 2, 427 (1974).
141. NAKATSUKA, H., OKADA, J., MATSUOKA, M., Journ. Phys. Soc. Japan. 37, 1406 (1974).
142. MATSUOKA, M., NAKATSUKA, H., OKADA, J., Phys. Rev. A 12, 1062 (1975).
143. ARMSTRONG, L., Jr., FENEUILLE, S., J. Phys. B, Atom. Mol. Phys. 8, 546 (1975).
144. HERZBERG, G., *Atomic Spectra and Atomic Structure*, Dover Publications, New York, 1944.
145. PETRASKIN, M.I., TRIFONOV, E.D., *Applications of Group Theory in Quantum Mechanics*, MIT Press, Cambridge, 1969.
146. LOUISELL, W.H., *Quantum Statistical Properties of Radiation*, Wiley, New York, 1973.
147. SHIMODA, K., *High-Resolution Laser Spectroscopy*, Springer Verlag, Berlin—Heidelberg—New York, 1976.
148. BLOEMBERGEN, N., PURCELL, E.M., POUND, R.V., Phys. Rev. 7, 679 (1948).
149. BENNETT, W.R., Jr., Phys. Rev. 126, 580, 1962; Appl. Optics. Suppl., 1, 24 (1962).
150. SHIMODA, K., JAVAN, A., J. Appl. Phys. 36, 718 (1965).
151. FARLANE, R.A., BENNETT, W.R., Jr., LAMB, W.E. Jr., Appl. Phys. Lett., 2, 189 (1963).
152. Mc DOWELL, R.S., GALBRAITH, H.W., CANTRELL, C.D., NERESON, N.G., HINKLEY, E.D., J. Mol. Spectroscop. 68, 288 (1977).
153. Mc DOWELL, R.S., GALBRAITH, H.W., Opt. Lett. 2, 57 (1978).
154. SZÖKE, A., JAVAN, A., Phys. Rev. 14, 38 (1966).
155. CANTRELL, C.D., FOX, K., Opt. Lett. 2, 151 (1978).



156. GROZEVA, M., METCHKO V, D.I., MITEV, V.M., PAVLOV, L.I., STAMENOV, K.V. Phys. Lett. A **64**, 41 (1977).
157. BJORKHOLM, J.E., Phys. Rev. **142**, 126 (1966).
158. KLEINMAN, D.A., Phys. Rev. **128**, 1761 (1962).
159. BOGDAN, A.R., DOWER, M.W., BLOEMBERGEN, N., Phys. Rev. A, **25**, 2275 (1981).
160. DRABOVICH, K.N., METCHIKOV, D.I., MITEV, V.M., PAVLOV, L.I., STAMENOV, K.V., Opt. Comm. **20**, 350 (1977).
161. LETOKHOV, V.S., CHEBOTAYEV, V.P., *Nonlinear Laser Spectroscopy*, Springer-Verlag, Berlin-Heldelberg-New York, 1977.
162. BAKLANOV, E.V., CHEBOTAYEV, V.P., Zh. Eksp. i Teor. Fiz., **62**, 54 (1972).
163. UEHARA, K., SHIMODA, K., Japan J. Appl. Phys. **10**, 623 (1971).
164. FELDMAN, B.J., FELD, M.S., Phys. Rev. A **1**, 1375 (1970).
165. STENHOLM, S., LAMB, W.E., Jr., Phys. Rev. **181**, 618 (1969).
166. BAKLANOV, E.V., CHEBOTAYEV, V.P., Zh. Eksp. i Teor. Fiz. **60**, 551 (1971).
167. ASHKIN, A., BOYD, G.D., DZIEDZIC, J.M., I.E.E.E. J. Quantum Electron, QE2, 109 (1936).
168. WARD, J.F., NEW, G.H.C., Phys. Rev. **185**, 57 (1969).
169. KLEINMAN, D.A., MILLER, R.C., Phys. Rev. **148**, 302 (1966).
170. DIELS, J.C., GEORGES, A.T., Phys. Rev. A, **19**, 1589 (1979).
171. BLOEMBERGEN, N., *Nonlinear Optics*, BENJAMIN, W.A., Inc. New York, 1965.
172. BLOEMBERGEN, N., LEVENSON, M.D., *High Resorbtion Laser Spectroscopy*, "Topics in Applied Physics", vol. **13**, Ed. K. Shimoda, Springer-Verlag, Berlin-Heldelberg-New York, 1976.
173. SCHÄFER, F.P., "Topics in Applied Physics", vol. **1**, *Dye Lasers*, Springer, Berlin-Heldelberg-New York, 1973.
174. BIRABEN, F., CAGNAC, B., GRYNBERG, G., Phys. Lett., **32**, 643 (1974).
175. LEVENSON, M.D., BLOEMBERGEN, N., Phys. Rev. Lett., **32**, 645 (1974).
176. BJORKHOLM, J.E., LIAO, P.F., Phys. Rev. Lett., **33**, 128 (1974).
177. LEE, P.H., SKOLNICK, W.L., Appl. Phys. Letters, **10**, 103 (1962).
178. LISITSYN, V.N., CHEBOTAYEV, V.P., Zh. Eksp. i Teor. Fiz., **65**, 419 (1968).
179. FELD, M.S., JAVAN, A., *Fundamental and Applied Laser Physics*, Wiley Interscience Publ. 1973.
180. MATTICK, A.T., SANCHEZ, A., KURNIT, N.A., JAVAN, A., Appl. Phys. Lett., **23**, 675 (1973).
181. BJORKLUND, G.C., I.E.E.E. J. Quantum Electron. QE-11, 187 (1975).
182. BETEROV, I.M., CHEBOTAYEV, V.P., Pis'ma Zh. Eksper. i Teor. Fiz. **9**, 216 (1969).
183. HÄNSCH, T., KEIL, R., SCHABERT, A., SCHMELZER, CH., TOSCHEK, P., Z. Physik **226**, 293 (1969).
184. HÄNSCH, T., TOSCHEK, P., Z. Physik, **236**, 213 (1970).
185. BREWER, R.G., Phys. Rev. Letters, **25**, 1639 (1970).
186. TAKAMI, M., SHIMODA, K.S., Japan, J. Appl. Phys. **11**, 1647 (1972).
187. VALLÉE, F.F., F. DE RAIGEMONT, LUKASIK, J., I.E.E.E. J. Quantum Electron, QE **19**, 1331 (1983).
188. FLYNN, G.W., FELD, M.S., FELDMAN, B.J., Bull. Am. Phys. Soc. **12**, 669 (1967).
189. LUNTZ, A.C., BREWER, R.G., FOSTER, K.L., SWALEN, J.D., Phys. Rev. Letters, **23**, 951 (1969).
190. STAPPAERTS, E.A., I.E.E.E. J. QE-15, 110 (1979).
191. FELDMAN, B.J., FELD, M.S., Phys. Rev. A **5**, 899 (1972).
192. PRIOR, Y., I.E.E.E. J. Quantum Electron, QE **20**, 37 (1984).
193. POPOVA, T., YA., POPOV, A.K., RAUTIAN, S.G., PORDOVSKY, R.I., Zh. Eksp. i Teor. Phys. **57**, 850 (1969).
194. BALLIAN, R., LIBERMAN, S., *Frontiers in Laser Spectroscopy*, North Holland Publishing Co, Amsterdam, 1976.
195. COHEN-TANNOUDJI, C., Ann. Physique, **7**, 423 (1962).
196. DOITCHEVA, V.L., Optical and Quantum Electronics **10**, 131 (1978).
197. HARRIS, S.E., YOUNG, S.E., GREEN, W.R., FALCONE, R.W., LUKASIK, J., WHISE, J.C., WILLISAN, J.R., WRIGHT, M.D., ZDASINK, G.A., *Laser Spectroscopy V* (ed. de Mc Kellar, Oka, T., Stolcheff, B.P.), Springer Verlag, Berlin-Heldelberg-New York, 1981.
198. HILBING, R., WALLENSTEIN, R., I.E.E.E. J. Quantum Electron QE **19**, 194 (1983).
199. SCHEINGRABER, H., VIDAL, C.R., I.E.E.E. J. Quantul Electron, QE-19, 1747 (1983).
200. ECKARDT, R.C., REINTJES, J., I.E.E.E. J. Quantum Electron, QE-20, 1178 (1984).
201. URSU, I., DRĂGĂNESCU, V., ISBĂŞESCU, M., s.a., *Optical and Quantum Electronics* (in print ).



202. URSU, I., APOSTOL, ILEANA, BĂRBULESCU, DOINA, MIHĂILESCU, I.N., ș.a., Opt. Commun. **39**, 180 (1981).
203. URSU, I., MIHĂILESCU, I.N., NISTOR, LEONA, TEODORESCU, V.S., PROHOROV, A.M., CHAPLIEV, ș.a., Appl. Phys., **A29**, 209 (1982).
204. URSU, I., APOSTOL, ILEANA, BĂRBULESCU, DOINA, LUPEI, V., MIHĂILESCU, I.N., POPA, A., PROHOROV, A.M., CHAPLIEV, N.I., KONOV, V., Opt. Commun., **44**, 332 (1982).
205. URSU, I., APOSTOL, ILEANA, BĂRBULESCU, DOINA, DINESCU, MARIA, DRĂGĂNESCU, V., MIHĂILESCU, I., Rev. Roum. Phys., **27**, 54 (1982).
206. URSU, I., APOSTOL, ILEANA, BĂRBULESCU, DOINA, ș.a., Appl. Phys. **33**, 1513 (1982).
207. URSU, I., APOSTOL, ILEANA, MIHĂILESCU, N.I., NISTOR, LEONA, TEODORESCU, V.S., PROHOROV, A.M., KONOV, V.I., CHAPLIEV, N.I., Surface Studies with Lasers, Series in Chemical Physics, vol. **33**. Springer Verlag, Berlin—Heidelberg, 1983.
208. URSU, I., ș.a., Applied Physics Letters, **44**, (2), 188 (1984).
209. URSU, I., APOSTOL, ILEANA, DINESCU, MARIA, MIHĂILESCU, I.N., POPA, AL., PROHOROV, A.M., KONOV, V.I., CHAPLIEV, N.I., Applied Physics A **34**, 133 (1981).
210. URSU, I., NISTOR, LEONA, TEODORESCU, V.S., MIHĂILESCU, I.N., ș.a., Proc. SPIE The International Society for Optical Engineering, pag. 398 (1983).
211. URSU, I., ș.a., J. Phys. Lett., **45**, L-737—L-740 (1984).
212. I.F.T.A.R., Secția Laseri, Catalog de produse, Comitetul de Stat pentru Energii Nucleară, Institutul Central de Fizică, București, Măgurele, 1981.
213. DRĂGĂNESCU, V., COMANICIU, N., GUȚU, I., FARCAȘ, I., Rev. Roum. Phys., **806** (1974).
214. GUȚU, I., IVANOV, I., ș.a., Rev. Roum. Phys. **351** (1975).
215. DUMITRAȘ, D.C., DUȚU, D.C.A., DRĂGĂNESCU, V., COMANICIU, N., Rev. Roum. Phys., **21**, 275 (1976).
216. DUMITRAȘ, D.C., DUȚU, D.C.A., COMANICIU, N., DRĂGĂNESCU, V., Rev. Roum. Phys., **21**, 559 (1976).
217. AXINTE, C., COMANICIU, N., FARCAȘ, I., GUȚU, I., St. Cerc. Fiz., **29**, 37 (1977).
218. GUȚU, I., COMANICIU, N., DRĂGĂNESCU, V., AXINTE, G., FARCAȘ, I., Rev. Roum. Phys., **23**, 147 (1978).
219. GRIGORIU, C., — St. Cerc. Fiz. **32**, 587 (1980).
220. GUȚU, I., COMANICIU, N., DRĂGĂNESCU, V., AXINTE, C., St. Cerc. Fiz. **32**, 101, (1980).
221. CHIȘ, I., CIURA, AL., DRĂGĂNESCU, V., DRĂGULESCU, GH., GRIGORIU, C., UDREA, ELENA, UDREA, M., VELCULESCU, V.G., Rev. Roum. Phys., **26**, 115, (1981).
222. AXINTE, C., FARCAȘ, I., GUȚU, I., DRĂGĂNESCU, V., St. Cerc. Fiz., **33**, 507, (1981).
223. DRĂGĂNESCU, V., ISBĂȘESCU, M., UDREA, ELENA, VELCULESCU, V.G., Rev. Roum. Phys., **26**, 553, (1981).
224. GUȚU, I., DUMITRAȘ, D.C., MEDIANU, R., COMANICIU, N., DRĂGĂNESCU, V., Rev. Roum. Phys., **27**, 587, (1982).
225. DRĂGĂNESCU, V., AGAFÎTEI, A., APOSTOL, D., ș.a., Rev. Roum. Phys., **27**, 629, (1982).
226. DRĂGĂNESCU, V., St. Cerc. Fiz., **34**, 480, (1982).
227. CIURA, AL., DRĂGĂNESCU, V., GRIGORIU, C., ș.a., Rev. Roum. Phys., **27**, 599, (1982).
228. STEELE, E.L., *Optical Lasers in Electronics*, John Wiley, New York—London—Sydney, 1968.
229. GRIGORIU, C., BRINKSCHULTE, II., Phys., Lett., **42 A**, 347, (1973).
230. CHIȘ, I., CIURA, AL., COJOCARU, EVA, GRIGORIU, C., JULEA, T., POPESCU, I.M., VELCULESCU, V.G., St. Cerc. Fiz., **25**, 875, (1973).
231. AGAFÎTEI, A., FENIC, C., ISBĂȘESCU, M., ZISU, A., Rev. Roum. Phys., **17**, (1972).
232. DRĂGĂNESCU, V., AXINTE, C., COMANICIU, N., DUȚU, D., St. Cerc., Fiz., **24**, 389, (1972).
233. NEMEȘ, G., VLAD, I. V., Rev. Roum. Phys., **14**, 395 (1969).
234. POPESCU, I.M., ș.a., Third International Conference "Trends in Quantum Electronics", Bucharest, 29 aug.—3 sept. 1988.
235. ABRAHAM, E., SMITH, S. D., Rep: Prog. Phys. Vol. **45** (1982)



236. AXINTE, C., FARCAȘ, I., St. Cerc. Fiz., **33**, 499 (1981).
237. TOMULESCU, R., VELCULESCU, V.G., Rev. Roum. Phys., **22**, 461 (1977).
238. VASILIU, V., MARIȘ, ZINGA, RISTICI, M., St. Cerc. Fiz., **36**, 538 (1984).
239. STERIAN, P.E., RANCU, O., POPESCU, I.M., St. Cerc. Fiz. (În curs de publicare).
240. ALEXANDRESCU, R., COJOCARU, ELENA, VELCULESCU, V.G.,
241. VASILIU, V., *Laserii cu heliu-neon și aplicațiile lor*, Editura Științifică și Enciclopedică, București (1987).
242. GUȚU, I., COMANICIU, N., DRĂGĂNESCU, V., DUMITRAȘ, D., MIHĂILESCU, I.N., ș.a., Rev. Roum. Phys., **27**, 697 (1982).
243. URSU, I., ș.a., Applied Physics Letters, **46**, (2) (1985), 110—112.
244. IONESCU-PALLAS, N.J., VELCULESCU, V.G., Opt. i. Spektrosk. **17**, 1, 139 (1964).
245. POPESCU, G., BLĂNARU, G., St. Cerc. Fiz., **28**, 1, 95 (1976).
246. APOSTOL, D., BLAJ, V., IONESCU, A., RISTICI, M., TUTELEA, S., St. Cerc. Fiz., **26**, 10, 1083 (1974).
247. POPESCU, G., IONESCU, A., MAGHIAR, G., St. Cerc. Fiz., **31**, 6, 669 (1979).
248. VASILIU, V., St. Cerc. Fiz., **23**, 6, 637 (1971).
249. CIURA, A.I., RISTICI, M., VASILIU, V., Rev. Roum. Phys., **23**, 9, 1035 (1978).
250. CIURA, A.I., RISTICI, M., VASILIU, V., St. Cerc. Fiz., **30**, 8, 785 (1978).
251. CIURA, A.I., RISTICI, M., VASILIU, V., St. Cerc. Fiz., **29**, 9, 969 (1977).
252. GUȚU, I., IVANOV, I., Rev. Roum. Phys., **20**, 4, 429 (1975).
253. GUȚU, I., IVANOV, I., MEDIANU, R., GEORGESCU, G., Rev. Roum. Phys., **20**, 4, 351 (1975).
254. CIURA, A.I., COJOCARU, E., POPESCU, I.M., St. Cerc. Fiz., **27**, 607 (1975).
255. CRISTESCU, C.P., POPESCU, I.M., PREDA, A.M., Rev. Roum. Phys., **18**, 7 859 (1973).
256. CRISTESCU, C.P., CONE, GABRIELA, POPESCU, I.M., PREDA, A.M., Rev. Roum. Phys., **21**, 2, 153 (1976).
257. CRISTESCU, C.P., LUPAȘCU, A.I., POPESCU, I.M., PREDA, A.M., Can. J. Phys., **56**, 8, 1071 (1978).
258. CIURA, A.I., POPESCU, I.M., St. Cerc. Fiz., **25**, 8, 897 (1973).
259. AGÂRBICEANU, I.I., CIURA, I., POPESCU, I.M., Rev. Roum. Phys., **1**, 6, 607 (1971).
260. CRISTESCU, C.P., POPESCU, I.M., PREDA, A.M., Rev. Roum. Phys., **22**, (1977).
261. CIURA, A.I., POPESCU, I.M., Rev. Roum. Phys., **18**, 6, 775 (1973).
262. DUMITRAȘ, D.C., St. Cerc. Fiz., **28**, 7, 673 (1976).
263. DUMITRAȘ, D.C., St. Cerc. Fiz., **30**, 7, 671 (1978).
264. DUMITRAȘ, D.C., DUȚU, D.C., COMANICIU, N., DRĂGĂNESCU, V., Rev. Roum. Phys., **21**, 6, 559 (1976).
265. DUMITRAȘ, D.C., St. Cerc. Fiz., **29**, 2, 133 (1977).
266. CIURA, A.I., COJOCARU, E., GRIGORIU, C., POPESCU, I.M., VELCULESCU, V.G., Rev. Roum. Phys., **17**, 3, 387 (1972).
267. CHIȘ, I., CIURA, A.I., COJOCARU, E., GRIGORIU, C., JULEA, T., POPESCU, I.M., VELCULESCU, V.G., St. Cerc. Fiz., **25**, 7, 875 (1973).
268. DRĂGULINESCU, D., GRIGORIU, C., NIȚOI, A., POPESCU, I.M., Rev. Roum. Phys., **21**, 7, 665 (1976).
269. APOSTOL, I., DRĂGULINESCU, D., GRIGORIU, C., MIHĂILESCU, I.N., NIȚOI, A., St. Cerc. Fiz., **28**, 2, 181 (1976).
270. APOSTOL, I., DRĂGULINESCU, D., GRIGORIU, C., MIHĂILESCU, I.N., NIȚOI, A., POPESCU, I.M., Rev. Roum. Phys., **18**, 10, 118, 5 (1973).
271. GRIGORIU, C., BRINKSCHULTE, H., Phys. Lett., **42A**, 5, 347 (1973).
272. POPESCU, I.I., BĂDĂRĂU, E., *Gaze ionizate. Procese fundamentale*, Editura Tehnică, București, 1963.
273. POPESCU, I., IONESCU, N., Proc. Phys. Soc., **A75**, 807 (1960).
274. POPESCU, D., COLLINS, C.B., JOHNSON, B.W., POPESCU, I.I., Phys. Rev. A, **11**, 82 (1974).
275. TOADER, E.I., COLLINS, C.B., JOHNSON, B.W., MIRZA M.Y., Phys. Rev., **16 A**, 1490 (1979).
276. PASCU, M.L., Laser and Unconventional Optics Journal, EAS-Sweden, **36**, 9—16, (1971).
277. PASCU, M.L., JOHNSON, B.E., Analele Univ. Buc. (Seria Fizică) Anul XXII, 375 (1973).



278. PASCU, M.L., COLLINS, G.B., JOHNSON, B.W., POPESCU, I.I., Phys. Rev., A8 4, 1666—1672, (1973).
279. COLLINS, G.B., JOHNSON, B.W., POPESCU, D., PASCU, M.L., MUSA, G., POPESCU, I.I., Phys. Rev. A, 8, 2197—2201, (1973).
280. PASCU, M.L., Teză de doctorat, București, 1974.
281. PASCU, M.L., Studii și cercetări de fizică, 29, 4, (1977).
282. PASCU, M.L., CONSTANTINESCU, A., PASCU, A., DUMBRĂVEANU, G., Rev. Roum. Phys., 23, 6, (1978).
283. PASCU, M.L., PASCU, A., CONSTANTINESCU, A., DUMBRĂVEANU, G., Rev. Roum. Phys., 23, 10, (1978).
284. PASCU, M.L., CONSTANTINESCU, A., ZUGRAV, M., NĂSTASE, L., DUMBRĂVEANU, G., MUSA, G., Phys., 27, 6—7, (1982).
285. PASCU, M.L., DANG THI MAI, DUMBRĂVEANU, G., Rev. Roum. Phys., 27 6—7,, (1982).
286. PASCU M.L., NĂSTASE, L., MUSA, G., Rev. Roum. Phys., 27, 9, (1982).
287. PASCU, M.L., "Proceedings of the IV International Conference on Luminiscence", 1982, Szeged, Ungaria.
288. PASCU, M.L., Proceedings of the International Conference and School 1982, Laics, București.
289. PASCU, M.L., NĂSTASE, L., MUSA, G., J. Phys. D., Appl. Phys. 117, 1149, (1984).
290. VASILIU, V., DOROBANȚU, I.A. Realizări și perspective în domeniul lăcerilor și aplicațiile lor în economia națională (Lucr. Conf. Nat.), Centrul Național de Fizică, Buc., 20—21 oct. 1987.
291. LUPEI, A., LUPEI, V., URSU, I., J. Phys. C, vol. 15, 5489 (1982).
292. URSU, I., LUPEI, V., LUPEI, A. Rev. Roum. Phys. vol. 23, p. 673 (1978).
293. CIUCU, C., GEORGESCU, S., LUPEI, V., Rev. Roum. Phys., vol. 26, p. 169 (1981).
294. URSU, I., LUPEI, V., MÎNZATU, V.I., Int. Conf. and School Lasers and Applications, CIP-AP, vol. 2, p. 393, Bucharest, (1982).
295. LUPEI, V., STOICESCU, C., URSU, I., J. Phys. C., vol. 9, L317 (1976).
296. GEORGESCU, S., TOTIA, H., DOMȘA, F., LUPEI, V., J. Phys. E, vol. 12, p. 473, (1979).
297. LUPEI, V., STOICESCU, C., Proc. XIX th Congress Ampere, Heidelberg 1976, p. 243.
298. URSU, I., LUPEI, V., Lasers and Applications, CIP PRESS Bucharest, 1985,
299. PASCU, M.L., VASILE, AURELIA, ș.a. Lasers and Applications, CIP PRESS, Bucha rest, 1985,
300. DOROBANȚU, I.A., Lasers and Applications, CIP PRESS, Bucharest, 1985, p. 369.
301. GIBBS, H.M., SLUSHER, R.E., Phys. Rev. Letters 24, 639 (1970).
302. AGRAWAL G.P., Phys. Rev. vol. 30, No. 2, p. 884, aug., (1984).
303. LYUBAVSKY, YU., OVCHINNIKOV, V., Solid State Laser Technology, Mir Publishers, Moscow, 1975.
304. HILBING, R., WALLENSTEIN, R., IEEE J. Quantum Electron, QE 19, 194, (1983).
305. HARRIS, S.E., McDUFF, O.P., IEEE J. of Quantum Electron., vol. QE-1, No. 6, Sept., (1965).
306. McDUFF, O.P., HARRIS, S.E., IEEE J. of Quantum Electron., vol. QE-3, No. 3, March (1967).
307. KUZEINGA, D.J., SIEGMAN, A.E., IEEE J. Quantum Electron., vol. QE-6, Nov., (1970).
308. KENNEDY, C.J., IEEE J. Quantum Electron., vol. QE-11, No. 11, (1975).
309. FONTANA, J.R., IEEE J. Quantum Electr., vol. QE-8, No. 8 (1972).
310. HARGROVE, L.E., FORX, R.L., POLLACK, M.A., Appl. Phys., Letters 5, 4 (1964).
311. HARRIS, S.E., TARG, R., Appl. Phys. Letters 5, 202 (1964).
312. Di DOMENICO, M.Jr., J. Appl. Phys., vol. 35, pp. 2870—2876, Oct., (1964).
313. POPESCU, I.M., DUMITRU, M.A., STERIAN, P.E., PODOLEANU, A.G., Rev. Roum. Phys., Tome, 28, No. 8, pp. 699—704, Bucharest (1983).
314. CĂTUNEANU, V.M., PODOLEANU, A.Gh., STERIAN, P.E., St. Cerc. Fiz., Tom 37, Nr. 3, pp. 216—221, București (1985).
315. PODOLEANU, A.Gh. STERIAN, P.E., POPESCU, I.M., Al cincilea Simpozion de Tehnica Microundelor, București 18—19, XII, 1987.
316. PODOLEANU, A. Gh., STERIAN, P.E.E., POPESCU I. M., POPA, S., Lucrările „CNETAC-84", vol. 3, Bucuresti, 15 — 17 noiembrie, 1984,
317. PODOLEANU, A. Gh., POPESCU, I. M., STERIAN, P. E., Rev.] Phys. Appl. 21, pp. 277 — 282 (1986).
318. BENNETT, W. R. Jr., Phys. Rev., vol. 126, pp. 580 — 593, April., (1962).
319. BAMBINI, A., BURLAMACCHI, P., IEEE J. Quantum Electr., vol. E-4, pp. 101—102, March (1968).



320. STERIAN, P.E., MĂNĂILĂ, P., POPESCU, I.M., MILLEA, L., Europhysics Conference Abstracts „TQE” Bucharest, 2—6 sept., 1985.
321. POPESCU, I.M., PODOLEANU, A. Gh., DUMITRU, A.M., STERIAN, P.E., St. Cerc. Fiz., Tom 37, Nr. 3, p. 209—215, București (1985).
322. MOCKER, H.W., COLLINS, R.J., Appl. Phys. Lett., vol. 7, pp. 270—273, nov. (1965).
323. STOVER, H.L., STEIER, W.H., Appl. Phys. Lett., 8, 91 (1966).
324. GLENN, W.H., BRIENZA, M.J., De MARIA, A.J., Appl. Phys. Lett., vol. 12, pp. 54—56, Journal 15 (1968).
325. GIBBS, H.M., Mc. CALL, S.L., VENKATESEN, T.N., Phys. Rev., Lett., 36, 113 (1976).
326. MEYSTRE, P., Opt. Commun., 26, 277 (1978).
327. CARMICHAEL, H.I., HERMAN, J.A., Z. Physik, B 38, 365 (1980).
328. SANDLE, W.J., GALLAGHER, A., Phys. Rev., A, 24, 2017 (1981).
329. SMITH, P.W., TURNER, E.H., Appl. Phys. Lett., 30, 282 (1977).
330. SCHNAPPER, A., PAPUCHON, M., PUECH, C., Opt. Commun., 29, 364 (1979).
331. GARMIRE, E., MARBURGER, J.H., ALLEN, S.D., Appl. Phys. Lett., 32, 320 (1978).
332. ȘTEFĂNESCU, E.N., STERIAN, P.E., POPESCU, I.M., 2 Simp. Nat. Tehn. Micr. 30—31 oct., București, p. 443 (1981).
333. POPESCU, I., ȘTEFĂNESCU, E.N., STERIAN, P.E., Bul. Inst. Pol., București, Tom. XLIV, 3, p. 29 (1982).
334. POPESCU, I.M., ȘTEFĂNESCU, E.N., STERIAN, P.E., Rev. Roum. Phys., Tom 19, No. 2, București, p. 183 (1984).
335. POPESCU, I.M., ȘTEFĂNESCU, E.N., STERIAN, P.E., Rev. Roum. Phys., Tome 31, No. 3, pp. 221—235, Bucharest (1986).
336. ȘTEFĂNESCU, E.N., STERIAN, P.E., POPESCU, I.M., Int. Conf. TQE, Bucharest, 2—6 sept. 1985.
337. POPESCU, I.M., STERIAN, P.E., MILLEA, L., Int. Conf. TQE, Bucharest, 2—6 sept., 1985.
338. MIHALACHE, D., TOTIA, M., Int. Conf. TQE, Bucharest, 2—6 sept., 1985.
339. POPESCU, I.M., DUMITRU, M.A., STERIAN, P.E., Rev. Roum. Phys., Tome 30, No. 4, p. 297, Bucharest (1985).
340. PODOLEANU, A. Gh., POPESCU, I.M., STERIAN, P.E., 4 Simp. Nat. Tehn. Micr., 22—24 nov., București, 1985.
341. PASCU, M. L., PASCU, A., DUMBRĂVEANU, G., CAPRINI, M., BOZDOG G., H., MUSA, A., CRIȘAN, D., MUNTEANU, M., St. Cercet. Fiz. 37, 6—8, 576 (1985).
342. PASCU, M. L., SCHIKETANZ, I., SCHIKETANZ, A., GHEORGHIU, M., VASILE, A., BAI ABAN, A. T., Rev. Roum. Chim., 30, 11—12 (1984).
343. BONIFACIO, R. (editor), *Dissipative Systems in Quantum Optics*, Springer-Verlag, Berlin, Heidelberg—New York, 1982.
344. PASCU, M. L., PASCU, A., DUMBRĂVRNU, G., CRIȘAN, D., Sci. Instruments, 19 (1986).
345. PASCU, M. L., VASILE, A., DUMITRAS, M., PENG BAI, PASCU, A., DUMBRĂVEANU, G., *Proceedings of the Second International Conference Trends in Quantum Electronics*, Bucharest, 2—6 sept., 1985.
346. PASCU, M.L., *Proceedings of the Second International Conference, Trends in Quantum Electronics*, 1986, Springer Verlag, Berlin—Heidelberg—New York, 1986.
347. PASCU, M.L., ș.a., Brevet de invenție R.S.R., nr. 73534/1975.
348. POPESCU, I.M., PUȘCAȘ, N.N., STERIAN, P.E., Rev. Roum. Phys., Tome 32, No. 3, p. 273—277, Bucarest (1987).
349. POPESCU, I.M., PUȘCAȘ, N.N., STERIAN, P.E., PODOLEANU, A. Gh., *Proceedings of the 4th Roumanian Microwave Conference*, Bucharest 22—23 Nov. '85.
350. STERIAN, P.E., PODOLEANU, A. Gh., POPESCU, I.M., MĂNĂILĂ, D., Bul. Inst. Pol. București Seria „Electronică”, XLIX, p. 29 (1987).
351. STERIAN, P.E., ȘTEFĂNESCU, E.N., POPESCU, I.M., Bul. Inst. Pol. București seria „Electrotehnică”, XLIX, p. 27 (1987).
352. ȘTEFĂNESCU, E.N., STERIAN, P.E., POPESCU, I.M., NICOLESCU, D., Rev. Roum. Phys. Tome 33, Nr 10, Bucharest (1988).
353. STERIAN, P.E., MILLEA, L., Rev. Roum. Phys. Tome 33, Nr. 10, Bucharest (1988).
354. STERIAN, P.E., POPESCU, I.M., RANCU, O. Rev. Roum. Phys. (in print)
355. WU, F.Y., GROVE, R.E., EZEKIEL, S., Phys. Rev. Lett., 35, 1426 (1975).
356. ȘTEFĂNESCU, E.N., STERIAN, P.E., POPESCU, I.M., Rev. Roum. Phys., Tome 31, No. 4, p. 345—350, Bucarest (1986).



357. PODOLEANU, A.Gh., POPESCU, I.M., STERIAN, P.E., DOICARU, V., NICULESCU, C., Rev. Roum. Phys., **23**, 9, p. 104, (1978).
358. CĂTUNEANU, V.M., BACIVAROF, I., STERIAN, P.E., *Proceedings of the International Conference on Reliability and Maintainability*, Perros Guirec — France, september 1980.
359. SOFRON, E.V., STERIAN, P.E., TEODORESCU, H.N., Le 7-ème Congrès International sur les Cristaux Liquides, 1—5 juillet, Bordeaux, France, 1978.
360. PODOLEANU, A.Gh., STERIAN, P.E., POPESCU, I.M., Rev. Roum. Sci. Techn., **33**, 3 (1988).
361. POPESCU, A., MUSA, G., Phys. Lett. A, **53** A, 4 (1975).
362. COLLINS, C.B., JOHNSON B.W., MÎRZA, M.Y., POPESCU, D., POPESCU, I., Phys. Rev. A, **10**, 3, 813—814, 1974.
363. POPESCU, A., NUCLESCU, N.D., Rev. Roum. Phys., **19**, 5 (1974).
364. POPESCU, D., POPESCU, I., MAURER, J., COLLINS, C.B., JOHNSON B.W., Phys. Rev. A, **12**, 4, 1425—1431 (1975).
365. COLLINS, C.B., CURRY I.M., MÎRZA, M.Y., JOHNSON B.W., POPESCU, D., POPESCU, I., *Int. Conf. on Physics of Electronic and Atomic Collisions*, Seattle, S.U.A., **24—30 VII**, p. 475—476 (1975).
366. CURRY, I.M., COLLINS, C.B., MÎRZA, M.Y., POPESCU, D., POPESCU, I.I., Opt. Comm., **16**, 2 (1976).
367. POPESCU, A., NICULESCU, N., MUSA, G., Int. J. Electron., **40**, 4, (1976).
368. COLLINS, C.B., CURRY, I.M., JOHNSON B.W., MÎRZA, M.Y., POPESCU, D., POPESCU, I., Phys. Rev. A, **14**, 5 (1977).
369. COLLINS, C.B., OLARIU, S., PETRAȘCU, M., POPESCU, I., Phys. Rev. Lett., **42**, 21 (1979).
370. MUSA, G., POPESCU, A., Phys. Lett. A, **49** A, 2 (1974).
371. MUSA, G., POPESCU, A., Rev. Roum. Phys., **20**, 1 (1975).
372. MUSA, G., BALTAG, A., NĂSTASE, L., Rev. Roum. Phys., **20**, 1 (1975).
373. APOSTOL, I.D., DRĂGULINESCU, D., GRIGORIU, C., MIHĂILESCU, I.N., MORJAN, I., NIȚOI, A., POPESCU, I.M., TATU, V.S., St. Cerc. Fiz., **27**, 4, 407 (1975).
374. VASILIU, V., St. Cerc. Fiz., **26**, 4, 407 (1974).
375. VASILIU, V., NOVGORODOV, M.Z., SVIRIDOV, A.G., SOBOLEV, N.N., St. Cerc. Fiz., **26**, 2 (1974).
376. VASILIU, V., NOVGORODOV, M.Z., SVIRIDOV, A.G., SOBOLEV, N.N., St. Cerc. Fiz., **26**, 4 (1974).
377. COJOCARU, E., UDREA, M., Rev. Roum. Phys., **20**, 5 (1975).
378. PASCU, M.L., PASCU, A., DUMBRĂVEANU, G., CONSTANTINESCU, A., Rev. Roum. Phys., **23**, 9 (1978).
379. ȘTEFĂNESCU, E.N., STERIAN, P.E., POPESCU, M.I., Rev. Roum. Phys., **31**, 4, (1986).
380. ABRAHAM, E., BULLOUGH, R.K., HASSAN, S.S., Opt. Commun., **29**, (1979).
381. REID, M., McNEIL, K.J., WALLS, D.F., Phys. Rev., A, **24**, 1 (1981).
382. BONIFACIO, R., (editor) — *Dissipative Systems in Quantum Optics*, Springer — Verlag, Berlin—Heidelberg — New York, 1982.
383. MILIEA, L. — Int. Conf. TQE, Bucharest, 2—6 sept. 1985.
384. Mc CALL, S. L., GIBBS, H. M., Topics in Current Physics, **27**, (1982).
385. LUGIATO, L. A. „Progres, in Optics”, **XXXI**, (1984).
386. ENGLAND, J—C., SNAPP, R. R., SCHIEVE, W. C., Progress in Optics, **XXXI**, (1984).
387. ABRAHAM, E., HASAN, S.S., Opt. Commun., **35**, (1980).
388. BONIFACIO, R. and LUGIATO, L. A., Lett Nuovo Cim., **21**, (1981).
389. McCALL, S. L., GIBBS, H. M. Opt. Commun., **33**, (1980).
390. AGRAWAL, G. P., CARMICHAEL, H. J., Optica Acta, vol. **27**, (1980).
391. HÄNSCH, T. W., SHAHIN, I. S., SCHAWLOW, A. L., Phys. Rev. Letters, **27**, (1971).
392. ELIAS, L. R., MADEY J., Phys. Rev. Letters, **36**, (1976).
393. POPESCU, I. M., STERIAN, P. E., *Noi dimensiuni ale revoluției științifice și tehnice* (coord. S. Stoichiță, P. Sterian), Editura științifică și Enciclopedică, București, (1988).
394. STERIAN, P. E., POPESCU I. M. ȘTEFĂNESCU, E.N., *Noi dimensiuni ale revoluției științifice și tehnice* (coord. S. Stoichiță, P. Sterian), Editura Științifică și Enciclopedică, București (1988).
395. POPESCU, I.M., STERIAN, P.E., PODOLEANU, A.Gh., ȘTEFĂNESCU, E.N., VLAD, I.V., DOROBANȚU, I.A., TIBULEAC, S., Revue Roumaine de Physique, Tome **33**, No. 4—6, Bucharest (1988).



396. STERIAN, P.E., RANCU, O., DOROBANȚU, I.A., A patra Conferință de Electronică, Telecomunicații, Automatică și Calculatoare, CNETAC 88, 7-9 decembrie, București (1988).
397. STERIAN, P.E., PUȘCAȘ, N.N., IRIMESCU, D., A patra Conferință de Electronică Telecomunicații, Automatică și Calculatoare, CNETAC 88, 7-9 decembrie, București (1988).
398. STERIAN, P.E., PODOLEANU, A.Gh., PUȘCAȘ, N.N., POPESCU, I.M., NEMEȘ G., GRIGORESCU, R., Third International Conference *Trends in Quantum Electronics*, Bucharest - Romania, 29 aug.-3 sept., (1988).
399. POPESCU, I.M., STERIAN, P.E., PUȘCAȘ, N.N., IRIMESCU, D., Third International Conference *Trends in Quantum Electronics*, Bucharest - Romania, 29 aug.-3 sept., (1988).
400. POPESCU, I.M., PUȘCAȘ, N.N., STERIAN, P.E., IRIMESCU, D., Proceedings SPIE, International Society for Optical Engineering, TQE-88 (editori Ursu I., Prohorov A.M.) vol. 1033, 1989 (in print).
401. STERIAN, P.E., RANCU, O., POPESCU, I.M., DOROBANȚU, I.A., Proceedings SPIE, International Society for Optical Engineering, TQE-88 (editori Ursu I., Prohorov A.M.) vol. 1033, 1989 (in print).

BIBLIOTECĂ NAȚIONALĂ DE ȘTIINȚE  
TEHNOLOGICE ȘI INDUSTRIALE  
BUCUREȘTI

Data de primire: 11.12.1988  
Data de eliberare: 10.01.1989  
C.N. 631.738

BIBLIOTECĂ NAȚIONALĂ DE ȘTIINȚE  
TEHNOLOGICE ȘI INDUSTRIALE  
BUCUREȘTI